

**ΑΕΙ ΠΕΙΡΑΙΑΤ.Τ.
ΣΧΟΛΗ ΤΕΧΝΟΛΟΓΙΚΩΝ ΕΦΑΡΜΟΓΩΝ
ΤΜΗΜΑ ΜΗΧΑΝΙΚΩΝ ΗΛΕΚΤΡΟΝΙΚΩΝ
ΥΠΟΛΟΓΙΣΤΙΚΩΝ ΣΥΣΤΗΜΑΤΩΝ Τ.Ε.**

ΠΤΥΧΙΑΚΗ ΕΡΓΑΣΙΑ

ΜΕΛΕΤΗ Η/Μ ΔΙΑΤΑΡΑΧΩΝ ΚΙΝΗΤΗΣ ΤΗΛΕΦΩΝΙΑΣ

ABDELSAYED M.AHMED

Αργυρού Α. Νικοκλής

Εισηγητής: Δρ Δημήτριος Νικολόπουλος, Καθηγητής

ΑΘΗΝΑ
ΜΑΡΤΙΟΣ 2018

ΜΕΛΕΤΗ Η/Μ ΔΙΑΤΑΡΑΧΩΝ ΚΙΝΗΤΗΣ ΤΗΛΕΦΩΝΙΑΣ

ΜΕΛΕΤΗ Η/Μ ΔΙΑΤΑΡΑΧΩΝ ΚΙΝΗΤΗΣ ΤΗΛΕΦΩΝΙΑΣ

ΠΤΥΧΙΑΚΗ ΕΡΓΑΣΙΑ

ΜΕΛΕΤΗ Η/Μ ΔΙΑΤΑΡΑΧΩΝ ΚΙΝΗΤΗΣ ΤΗΛΕΦΩΝΙΑΣ

ABDELSAYED M.AHMED

A.M. 45376

Αργυρού Α.Νικοκλής

A.M. 45223

Εισηγητής:

Δρ Δημήτριος Νικολόπουλος, Καθηγητής

Εξεταστική Επιτροπή:

Ημερομηνία εξέτασης:

ΔΗΛΩΣΗ ΣΥΓΓΡΑΦΕΩΝ ΠΤΥΧΙΑΚΗΣ ΕΡΓΑΣΙΑΣ

Οι κάτωθι υπογεγραμμένοι ABDELSAYED AHMED, του MAREI, με αριθμό μητρώου 45376 και Αργυρού Νικοκλής, του Αργύρη, με αριθμό μητρώου 42924 φοιτητές του Τμήματος Μηχανικών Η/Υ Συστημάτων Τ.Ε. του Α.Ε.Ι. Πειραιά Τ.Τ. πριν αναλάβουμε την εκπόνηση της Πτυχιακής Εργασίας μας, δηλώνουμε ότι ενημερωθήκαμε για τα παρακάτω:

«Η Πτυχιακή Εργασία (Π.Ε.) αποτελεί προϊόν πνευματικής ιδιοκτησίας τόσο των συγγραφέων, όσο και του Ιδρύματος και θα πρέπει να έχει μοναδικό χαρακτήρα και πρωτότυπο περιεχόμενο.

Απαγορεύεται αυστηρά οποιοδήποτε κομμάτι κειμένου της να εμφανίζεται αυτούσιο ή μεταφρασμένο από κάποια άλλη δημοσιευμένη πηγή. Κάθε τέτοια πράξη αποτελεί προϊόν λογοκλοπής και εγείρει θέμα Ηθικής Τάξης για τα πνευματικά δικαιώματα του άλλου συγγραφέα. Αποκλειστικοί υπεύθυνοι είναι οι συγγραφείς της Π.Ε., οι οποίοι φέρουν και την ευθύνη των συνεπειών, ποινικών και άλλων, αυτής της πράξης.

Πέραν των όποιων ποινικών ευθυνών των συγγραφέων σε περίπτωση που το Ίδρυμα τους έχει απονεμίσει Πτυχίο, αυτό ανακαλείται με απόφαση της Συνέλευσης του Τμήματος. Η Συνέλευση του Τμήματος με νέα απόφαση της, μετά από αίτηση των ενδιαφερόμενων, τους αναθέτει εκ νέου την εκπόνηση της Π.Ε. με άλλο θέμα και διαφορετικό επιβλέποντα καθηγητή. Η εκπόνηση της εν λόγω Π.Ε. πρέπει να ολοκληρωθεί εντός τουλάχιστον ενός ημερολογιακού 6μήνου από την ημερομηνία ανάθεσης της. Κατά τα λοιπά εφαρμόζονται τα προβλεπόμενα στο άρθρο 18, παρ. 5 του ισχύοντος Εσωτερικού Κανονισμού.»

ΕΥΧΑΡΙΣΤΙΕΣ

Η παρούσα πτυχιακή εργασία ολοκληρώθηκε έπειτα από διαρκείς και επίμονες προσπάθειες σε ένα ενδιαφέρον γνωστικό αντικείμενο, όπως αυτό της έρευνας σχετικά με τη ΜΕΛΕΤΗ Η/Μ ΔΙΑΤΑΡΑΧΩΝ ΚΙΝΗΤΗΣ ΤΗΛΕΦΩΝΙΑΣ. Στην εκπόνηση της πτυχιακής μεγάλο ρόλο είχε ο επιβλέπων Καθηγητής μας, Δρ Νικολόπουλος Δημήτριος ο οποίος μας υποστήριξε, και ενθάρρυνε να συνεχίσουμε μέχρι το τέλος, τον οποίο θα θέλαμε να ευχαριστήσουμε θερμά.

ΠΕΡΙΛΗΨΗ

Η παρούσα πτυχιακή εργασία θα μελετηθούν οι διαταραχές Η/Μ πεδίου κινητής τηλεφωνίας υπό διαφορετικές συνθήκες κλήσης και απόστασης από τον εκπομπό. Θα μελετηθεί η επίδραση της τεχνολογίας του κινητού, του παρόχου και της διάρκειας χρήσης. Η επίδραση στην εκπεμπόμενη ισχύ των σημάτων κινητής τηλεφωνίας διερευνήθηκε με εξοπλισμό πλήρως προσαρμοσμένο στην τεχνολογία και τις ιδιότητες των κινητών τηλεφώνων που εξετάστηκαν. Οι μετρήσεις διενεργήθηκαν σε κινητά τηλέφωνα διαφορετικής τεχνολογίας.

ABSTRACT

This diploma thesis will study cellular telephony disturbances under different dialing and distance conditions. The effect of mobile technology, provider and usage duration will be studied. The effect on the emitted power of mobile telephony signals was investigated with equipment fully adapted to the technology and properties of the mobile phones examined. The measurements were made on mobile phones of different technology.

ΕΠΙΣΤΗΜΟΝΙΚΗ ΠΕΡΙΟΧΗ: Ηλεκτρομαγνητικά φάσματα κινητών τηλεφώνων

ΛΕΞΕΙΣ - ΦΡΑΣΕΙΣ ΚΛΕΙΔΙΑ: Συχνότητα, SRM 3006, Ισχύς σήματος

SCIENTIFIC AREA: Electromagnetic spectrum of mobile phones.

KEYWORDS: Frequency, Spectrum, SRM 3006, Electric field, Output Power.

ΠΕΡΙΕΧΟΜΕΝΑ

ΠΤΥΧΙΑΚΗ ΕΡΓΑΣΙΑ 2

ΔΗΛΩΣΗ ΣΥΓΓΡΑΦΕΑ ΠΤΥΧΙΑΚΗΣ ΕΡΓΑΣΙΑΣ 4

ΕΥΧΑΡΙΣΤΙΕΣ 6

ΠΕΡΙΛΗΨΗ 8

ABSTRACT 8

ΠΕΡΙΕΧΟΜΕΝΑ..... 9

ΣΥΝΤΟΜΟΓΡΑΦΙΕΣ - ΕΠΕΞΗΓΗΣΕΙΣ 9

ΓΕΝΙΚΟ ΜΕΡΟΣ 12

Εισαγωγή 12

Η εξέλιξη της τεχνολογίας στα κινητά 13

Δίκτυα πρώτης γενιάς 14

Δίκτυα δεύτερης γενιάς (2G) 15

Δίκτυα τρίτης γενιάς (3G) 15

Δίκτυα τέταρτης γενιάς (4G) 15

Ηλεκτρικό, Μαγνητικό και Ηλεκτρομαγνητικό Πεδίο 16

Φυσικές ιδιότητες και μονάδες μέτρησης..... 17

Ηλεκτρομαγνητική ακτινοβολία(ΗΜΑ).....19

Ηλεκτρομαγνητικό Φάσμα.....34

Ραδιοκύματα.....23

Πεδία ραδιοσυχνοτήτων.....23

Εφαρμογές των ραδιοκυμάτων.....24

Η ενέργεια των ραδιοκυμάτων.....25

Επιδράσεις στο ανθρώπινο σώμα.....26

Βιολογικά αποτελέσματα και επιπτώσεις στην υγεία.....27

Κινητά τηλέφωνα και επιδημιολογικές μελέτες.....28

Ποιος αποφασίζει για τις οδηγίες;.....29

Πού βασίζονται οι οδηγίες;.....29

ΜΕΛΕΤΗ Η/Μ ΔΙΑΤΑΡΑΧΩΝ ΚΙΝΗΤΗΣ ΤΗΛΕΦΩΝΙΑΣ

Συμπεράσματα της επιστημονικής έρευνας.....	32
Πόλωση.....	34
Αντίσταση στη διάδοση του κύματος.....	34
Πυκνότητα ισχύος.....	34
Κυματομορφές.....	35
Διαμόρφωση.....	36
Εύρος ζώνης συχνότητας.....	37
Παλμική εκπομπή.....	38
Μέθοδοι πολλαπλής πρόσβασης.....	38
Κοντινό πεδίο.....	40
Απόσβεση σήματος και διάδοση πολλαπλών διαδρομών.....	42
Πηγές της έκθεσης στην ακτινοβολία.....	43
Απόσβεση σήματος και διάδοση πολλαπλών διαδρομών.....	48
Μεθοδολογία.....	49
Τύποι κινητών τηλεφώνων.....	50
Τηλέφωνα σε αναμονή.....	50
ΑΠΟΤΕΛΕΣΜΑΤΑ.....	51
ΣΥΜΠΕΡΑΣΜΑΤΑ.....	51
ΠΑΡΑΡΤΗΜΑ.....	52
ΒΙΒΛΙΟΓΡΑΦΙΑ.....	514

ΣΥΝΤΟΜΟΓΡΑΦΙΕΣ – ΕΠΕΞΗΓΗΣΕΙΣ

MRI (Magnetic Resonance Imaging) – Αξονικός τομογράφος.

RMS (Root Mean Square) – Τετραγωνική Ρίζα Μέσης Τιμής.

WHO (World Health Organization) – Π.Ο.Υ (Παγκόσμιος Οργανισμός Υγείας).

EMR (Electromagnetic Radiation) – Ηλεκτρομαγνητική ακτινοβολία / Μετρητής ακτινοβολίας.

DECT (Digital Enhanced Cordless Telecommunications) – Ασύρματα τηλέφωνα.

GSM (Global System for Mobile Communications) / **UMTS** (Universal Mobile Telecommunications System) – Παγκόσμιο Σύστημα Κινητών Τηλεπικοινωνιών.

ICNPR (INTERNATIONAL COMMISSION ON NON-IONIZING RADIATION PROTECTION) – Διεθνής Επιτροπή Προστασίας από Μη Ιονίζουσα Ακτινοβολία.

SRM (Selective Radiation Meter) – Σύστημα για ανάλυση ηλεκτρομαγνητικών πεδίων.

LF-EMR (Low Frequency Electromagnetic Radiation) - Ηλεκτρομαγνητική ακτινοβολία χαμηλών συχνοτήτων.

EETT Εθνική Επιτροπή Τηλεπικοινωνιών & Ταχυδρομείων.

ΡΣ (Ραδιοσυχνότητες).

PDAs (Personal Digital Assistant).

HMA Ηλεκτρομαγνητική ακτινοβολία (Electromagnetic radiation)

ΓΕΝΙΚΟ ΜΕΡΟΣ

Εισαγωγή

Στη σύγχρονη εποχή υπάρχουν επιπρόσθετες πηγές Η/Μ πεδίων από ανθρώπινες εφαρμογές τόσο στην καθημερινή ζωή, όσο και στην ιατρική πρακτική. Στον οικιακό ή στον εργασιακό μας χώρο, Η/Μ πεδία δημιουργούνται γύρω από τις ηλεκτρικές καλωδιώσεις, τις συσκευές μικροκυμάτων, τα τηλεχειριστήρια και άλλες ηλεκτρικές συσκευές, όπως στεγνωτήρες μαλλιών, ξυριστικές μηχανές, οθόνες υπολογιστών και αντικλεπτικά συστήματα. Εξάλλου, στους εξωτερικούς χώρους είμαστε εκτεθειμένοι σε ασθενή Η/Μ πεδία από διάφορες πηγές, όπως ραδιοφωνικές κεραιές, δίκτυα ασύρματων επικοινωνιών, γραμμές μεταφοράς ηλεκτρικού ρεύματος και καλώδια ηλεκτροκίνητων μέσων μεταφοράς.

Η έκθεση σε Η/Μ πεδία ανθρώπινης προέλευσης είναι αναπόφευκτη στις σύγχρονες κοινωνίες, κυρίως λόγω της αυξανόμενης χρήσης κινητών τηλεφώνων με σύγχρονη αύξηση του αριθμού κεραιών κινητής τηλεφωνίας. Συνακόλουθα, αυξάνεται η ανησυχία του κοινού για το κατά πόσο η έκθεση σε Η/Μ πεδία μπορεί να επιφέρει δυσμενείς επιπτώσεις στη δημόσια υγεία, ενώ η επιστημονική κοινότητα δεν είναι ακόμα σε θέση να δώσει μια σαφή απάντηση.

Τα κινητά τηλέφωνα λειτουργούν με Η/Μ πεδία της κατηγορίας των ραδιοκυμάτων, μήκους κύματος από 300MHz ως - 2GHz, φάσμα το οποίο χαρακτηρίζεται από μη ομοιόμορφη –τοπική κυρίως- απορρόφηση ενέργειας από τους ιστούς. Σημειώνεται ότι στην Ελλάδα η κινητή τηλεφωνία λειτουργεί στις συχνότητες 900MHz, 1800MHz και 2100MHz.

Η παροχή υπηρεσιών κινητής τηλεφωνίας στους χρήστες, γίνεται εφικτή με την γεωγραφική διαίρεση των περιοχών σε δομές, γνωστές ως «κυψέλες». Άλλωστε από εδώ προκύπτει και ο χαρακτηρισμός «κυψελοειδές δίκτυο». Ο σταθμός βάσης τοποθετείται σε κατάλληλη θέση εντός της κυψέλης, ώστε να εξασφαλίσει με την πλήρη κάλυψή της, την λειτουργία των κινητών τηλεφώνων εντός αυτής με την απαραίτητη ποιότητα υπηρεσίας. Αποτελε ίται από αρκετές κεραιές εκπομπής και

λήψης, καθώς και από μια μονάδα ελέγχου . Οι σταθμοί βάσης διαχειρίζονται όλες τις κλήσεις των κινητών τηλεφώνων εντός της κυψέλης και συνδέονται με ένα κέντρο με συνηθισμένα τηλεφωνικά καλώδια ή υπερκατευθυντικές ζεύξεις.

Από αυτό λαμβάνουν τις συνομιλίες που πρέπει να διαβιβάσουν σε κάποιο κινητό τηλέφωνο στην κυψέλη τους, και σε αυτό διαβιβάζουν τις συνομιλίες που διενεργούνται από κάποιο κινητό τηλέφωνο στην κυψέλη τους. Αν κάποιο κινητό τηλέφωνο απομακρυνθεί από την κυψέλη τότε η κλήση μεταβιβάζεται αυτόματα στην επόμενη.

Η αδιάκοπη επικοινωνία ενός χρήστη κινητού τηλεφώνου επιτυγχάνεται με την διαδοχική επικοινωνία της συσκευής με τους σταθμούς βάσης που συναντά στην διαδρομή του .

Η εξέλιξη της τεχνολογίας στα τηλέφωνα και τα κινητά

Το 1876 ο Αλεξάντερ Γκράχαμ Μπελ κατασκεύασε το πρώτο τηλέφωνο στον κόσμο, το οποίο αποτελούνταν από μία ελαστική μεμβράνη η οποία βρισκόταν μπροστά από σιδηρομαγνητικό πυρήνα το οποίο ήταν περιτυλιγμένο με μονωμένο αγωγό. Τη συσκευή αυτή τη χρησιμοποιούσαν για ομιλίες σε κοντινές αποστάσεις. Μετά τη κατασκευή το 1877 από τον Ντέιβιντ Χίουζ το τηλέφωνο εξελίχθηκε και χρησιμοποιούνταν σε ομιλίες σε μακρινές αποστάσεις. Τέλος, μετά από πολλές εξελίξεις το τηλέφωνο έφτασε στην σημερινή του μορφή.

Η εξέλιξη του τηλεφώνου

Η περιπέτεια της κινητής τηλεφωνίας ξεκίνησε αμέσως μετά τον Β' παγκόσμιο πόλεμο με τις πρώτες προσπάθειες Σουηδών , Φιλανδών και Αμερικανών να δημιουργήσουν μια συσκευή που δεν εξαρτάται από καλωδιακή σύνδεση με δίκτυο παροχής τηλεφωνίας, ούτε από κάποια τοπική ασύρματη συσκευή εκπομπής ραδιοφωνικού σήματος χαμηλής συχνότητας. Βέβαια η απογείωση των κινητών τηλεφώνων άρχισε την δεκαετία του 90' όπου με την ψηφιοποίηση δικτύων και συσκευών οι συσκευές έγιναν μικρότερες και ελαφρύτερες χωρώντας αντίθετα με παλαιότερα στην παλάμη ή στην τσέπη . Πέρασαμε έτσι στα κινητά δεύτερης γενιάς (2G) όπου παρείχαν και άλλες λειτουργίες όπως την αποστολή σύντομων γραπτών

μηνυμάτων και τη λήψη φωτογραφιών. Στις αρχές του 21ου αιώνα ήρθαν στην αγορά τα κινητά τρίτης γενιάς τα λεγόμενα 3G δηλαδή 3rd generation όπου είχαν απεριόριστες δυνατότητες και λειτουργίες! Τα κινητά τηλέφωνα δεν είχαν πάντοτε οθόνη αφής, κάμερες πολλών Megapixels και την δυνατότητα να χρησιμοποιηθούν ως ένας μικροσκοπικός Η/Υ. Για την ακρίβεια, δεν ήταν καν μικροσκοπικά αφού ειδικά στα πρώτα μοντέλα το μέγεθός τους δεν τα καθιστούσε και πολύ “κινητά”! Η πρώτη συσκευή κινητού τηλεφώνου, η οποία άλλαξε για πάντα την καθημερινότητά μας, εμφανίστηκε το 1973 και στη συνέχεια ακολούθησαν χιλιάδες μοντέλα που βοήθησαν στην εξέλιξη της μορφής αλλά και των λειτουργιών αυτού του μικρού θαύματος της τεχνολογίας που έμελλε να γίνει απαραίτητο gadget για κάθε άνθρωπο.

Αρχή λειτουργίας κινητού τηλεφώνου

Τα κινητά τηλέφωνα είναι πομποδέκτες ραδιοκυμάτων οι οποίοι με μια ενσωματωμένη κεραία και ηλεκτρονικό εξοπλισμό μετατρέπουν τη φωνή σε ψηφιακά δεδομένα και αντίστροφα. Για την αποστολή των ραδιοκυμάτων χρησιμοποιούνται οι σταθμοί βάσης κινητών επικοινωνιών. Όταν κάποιος καλεί από το κινητό του τηλέφωνο αυτό εκπέμπει ραδιοκύματα τα οποία συναντάνε κάποιο δέκτη στο πλησιέστερο σταθμό βάσης. Έτσι, η κλίση αποστέλλεται μέσω του δικτύου κινητής τηλεφωνίας. Οι εξελίξεις στην τεχνολογία της κινητής τηλεφωνίας κατηγοριοποιούνται σε τέσσερις διαφορετικές γενιές.

Δίκτυα πρώτης γενιάς:

Στα πρώιμα χρόνια της δεκαετίας (1980) χρησιμοποιούνταν από τηλέφωνα αυτοκινήτων. Ατομικά τηλέφωνα, και λίγο πιο εξελιγμένες υπηρεσίες, έγιναν διαθέσιμα στα μέσα της δεκαετίας του 1980. Τα συστήματα αυτά βασίζονταν στην αναλογική τεχνολογία, και για την παροχή υπηρεσιών φωνητικής επικοινωνίας χρησιμοποιούσαν διαμόρφωση συχνότητας.

Δίκτυα δεύτερης γενιάς (2G):

Ξεκίνησαν από τις αρχές της δεκαετίας του 1990 και συνεχίζουν να λειτουργούν. Είναι βασισμένα στην ψηφιακή τεχνολογία και χρησιμοποιούν κωδικοποίησης φωνής για τη βελτίωση της φασματικής απόδοσης. Τα συστήματα αυτά βασίζονται στην μέθοδο Πολλαπλής Πρόσβασης με Διαίρεση Χρόνου (TDMA – Time Division Multiple Access) όπως και το Παγκόσμιο Σύστημα Κινητής Τηλεφωνίας (GSM - Global System Mobile) της Ευρώπης. Το σύστημα αυτό εξελίχθηκε στο 2,5G με το πέρασμα των χρόνων προσφέροντας περισσότερες υπηρεσίες.

Δίκτυα τρίτης γενιάς (3G):

Τα συγκεκριμένα δίκτυα τίθενται σε λειτουργία στις αρχές της δεκαετίας του 2000 και εν τέλει θα εξελιχθούν στα σημερινά «smartphones». Τα κινητά τρίτης γενιάς είναι πλήρως συμβατά με τα δίκτυα 2G, έτσι ώστε να χρησιμοποιείται, σε κάθε δεδομένη στιγμή, η δυνατότητα 2G ή 3G, ανάλογα με την κάλυψη του κάθε δικτύου και το πώς οι φορείς (πάροχοι) έχουν επιλέξει να διαχειρίζονται την κυκλοφορία των κλήσεων - δεδομένων εντός του δικτύου τους. Το σύστημα αυτό χρησιμοποιεί τη μέθοδο Πολλαπλής Πρόσβασης με Διαίρεση Κώδικα (CDMA) (AGNIR, 2012).

Δίκτυα τέταρτης γενιάς (4G):

Αυτά τα δίκτυα έχουν αρχίσει ήδη να διατίθεται σε πολλές συσκευές για να ικανοποιηθούν ακόμα περισσότερα αιτήματα και να υλοποιηθούν περισσότερες υπηρεσίες, ενώ η **πέμπτη γενιά** είναι στο τελικό στάδιο του σχεδιασμού της. Συστήματα της 4G όπως το LTE (Long-Term Evolution) χρησιμοποιούν OFDM (Orthogonal Frequency Division Multiplexing), ενώ άλλα βασίζονται στην Παγκόσμια Διαλειτουργικότητα για Πρόσβαση Μικροκυμάτων (Worldwide Interoperability Microwave Access, Wi-Max), ένα πρότυπο ασύρματης επικοινωνίας σχεδιασμένο, για να παρέχει ταχύτητες μεταφοράς δεδομένων 30 - 40 Mbps, με την επικαιροποίηση του 2011 να παρέχει έως 1 Gbps για σταθερούς σταθμούς. Όπως και με τις υπηρεσίες 3G, η τεχνολογία αυτή είναι συμβατή με άλλες υφιστάμενες υπηρεσίες, έτσι ώστε τα τηλέφωνα να είναι σε θέση να υποστηρίζουν πολλαπλούς τρόπους πρόσβασης (4G, 3G και 2G), χωρίς ο χρήστης να γνωρίζει ποια είναι σε χρήση κάθε δεδομένη στιγμή.

Τα κινητά του μέλλοντος

Τα κινητά του μέλλοντος όπως υποστηρίζει ο Κολοσσός πληροφορικής και τεχνολογίας θα μπορούν να έχουν τις πέντε ανθρώπινες αισθήσεις. Πιο συγκεκριμένα τα κινητά στο μέλλον θα μπορούν να αναγνωρίζουν τι είναι αυτό που βλέπουν και με ειδικούς αισθητήρες θα μπορούν να αντιλαμβάνονται τους ήχους. Επιπλέον τα κινητά του μέλλοντος με την <<όσφρηση>> θα μπορούν να αναγνωρίζουν ακόμα και τα βακτήρια στην αναπνοή μας αλλά και θα μπορούν να προτείνουν τη διατροφή συνδυάζοντας τις διατροφικές συνήθειες του χρήστη. Τέλος, με την αφή ο χρήστης θα μπορεί να αγγίζει ρούχα και παπούτσια πριν τα παραγγείλει από το internet.

Ηλεκτρικό, Μαγνητικό και Ηλεκτρομαγνητικό Πεδίο

A)Το ηλεκτρικό πεδίο

Είναι ο χώρος όπου ασκούνται δυνάμεις σε ηλεκτρικά φορτία. Η έντασή του μετριέται σε Volts ανά μέτρο (V/m). Οι δυναμικές γραμμές ενός ομοιόμορφου ηλεκτρικού πεδίου είναι ευθείες παράλληλες μεταξύ τους. Όταν τα φορτία συσσωρεύονται σε ένα σημείο, απωθούν και έλκουν τα ομώνυμα και ετερόνυμα φορτία, αντίστοιχα. Αυτή είναι η ηλεκτρική τάση. Όσο μεγαλύτερη είναι η τάση τόσο ισχυρότερο είναι το ηλεκτρικό πεδίο. Το ηλεκτρικό πεδίο είναι ισχυρότερο κοντά στην πηγή και εξασθενεί όσο αυξάνει η απόσταση από αυτήν. Δεν έχει διεισδυτικό χαρακτήρα και εύκολα μπορεί να εμποδιστεί από κοινά υλικά, όπως είναι το ξύλο και το μέταλλο. Το ηλεκτρικό πεδίο υπάρχει ακόμη και όταν δεν υφίσταται ροή ρεύματος.

B)Το μαγνητικό πεδίο

Είναι ο χώρος όπου ασκούνται δυνάμεις από ηλεκτρικά ρεύματα. Όσο μεγαλύτερη είναι η ένταση του ρεύματος I, τόσο ισχυρότερο είναι το μαγνητικό πεδίο. Η έντασή του μετριέται σε Amperes ανά μέτρο (A/m) αλλά συνήθως εκφράζεται με τις μονάδες της αντίστοιχης μαγνητικής επαγωγής, που είναι το Tesla(T) και το Gauss(G). Η αντιστοιχία τους είναι: $1G = 100\mu T$. Οι δυναμικές γραμμές του μαγνητικού πεδίου είναι κλειστές. Το μαγνητικό πεδίο, όπως και το

ηλεκτρικό, είναι ισχυρότερο κοντά στην πηγή και εξασθενεί με την απόσταση. Ωστόσο διαπερνά εύκολα τα κοινά υλικά και παράγεται μόνο όταν υπάρχει ροή ρεύματος.

Τα πεδία αυτά χαρακτηρίζονται ως στατικά εάν οι εντάσεις τους, E και H αντίστοιχα, παραμένουν χρονικά σταθερές, ή μεταβαλλόμενα και ειδικότερα εναλλασσόμενα όταν οι εντάσεις E και H αλλάζουν μέτρο και φορά (πολικότητα) σε σχέση με το χρόνο t κατά περιοδικό τρόπο.

Γ) Ιδιότητες και Χαρακτηριστικά

Το ηλεκτρικό πεδίο είναι πάντοτε κάθετο στη διεύθυνση διάδοσης, ενώ το μαγνητικό πεδίο είναι κάθετο τόσο στο ηλεκτρικό πεδίο όσο και στη διεύθυνση διάδοσης. Το ηλεκτρικό πεδίο είναι ο χώρος μέσα στον οποίο ασκείται δύναμη σε κάθε ηλεκτρική μονάδα φορτίου. Το μαγνητικό πεδίο είναι ο χώρος που ορίζεται σε σχέση με τη δύναμη που ασκείται σε κάθε κινούμενο ηλεκτρικό φορτίο.

Ηλεκτρικά και μαγνητικά πεδία παράγονται από οποιαδήποτε καλωδίωση, ή εξοπλισμό, που μεταφέρει ηλεκτρικό ρεύμα. Συμπεριλαμβάνονται εναέριες και υπόγειες γραμμές μεταφοράς ηλεκτρικής ενέργειας, η καλωδίωση των κτιρίων και οι ηλεκτρικές συσκευές. Η ισχύς των ηλεκτρικών και μαγνητικών πεδίων μειώνεται σημαντικά με την αύξηση της απόστασης από την πηγή.

Τα ηλεκτρικά και μαγνητικά πεδία είναι θεμελιωδώς διαφορετικά, και στη φύση τους και στον τρόπο που αλληλεπιδρούν με τα υλικά, από την ηλεκτρομαγνητική ακτινοβολία, όπως είναι, για παράδειγμα, τα ραδιοκύματα. Στη φύση υπάρχουν μαγνητικά και ηλεκτρικά πεδία, τα οποία είναι στατικά ή σε μεγάλο βαθμό αμετάβλητα με την πάροδο του χρόνου. Το πιο σημαντικό στατικό μαγνητικό πεδίο είναι το μαγνητικό πεδίο της Γης, η ένταση του οποίου ποικίλλει ανάλογα με το γεωγραφικό πλάτος.

Σε αίθριο καιρό, το χαμηλότερο στρώμα της ατμόσφαιρας λειτουργεί ως στατικό ηλεκτρικό πεδίο που ενισχύεται σημαντικά κατά τη διάρκεια μιας καταιγίδας (πάνω από 1000 φορές). Στατικά πεδία και ηλεκτρικά φορτία δημιουργούνται, επίσης, εύκολα από τριβή των ειδών ένδυσης μέσω της κίνησης. Η παρουσία τους μπορεί να γίνει αισθητή ως μικρό σοκ που βιώνεται, όταν το γυμνό χέρι έρθει σε επαφή με

μεταλλική επιφάνεια. Η ταραχή αυτή μπορεί να είναι δυσάρεστη, αλλά είναι αβλαβής, ακόμη και αν δημιουργηθεί τάση έως 20 kV.

Η ένταση στατικού ηλεκτρικού πεδίου, π.χ. κάτω από ένα ηλεκτροφόρο καλώδιο συνεχούς ρεύματος υψηλής τάσης, μπορεί να φθάσει έως περίπου 30 kV/m. Η ένταση αυτή μπορεί να είναι κατά πολύ περιορισμένη πίσω από δέντρα και κτίρια. Το ηλεκτρικό πεδίο οφείλεται τόσο στην ηλεκτρική τάση της γραμμής όσο και στη δημιουργία ιόντων αέρα (ομάδες μορίων με ένα μικρό ηλεκτρικό φορτίο) γύρω από αυτή. Η δημιουργία και μετακίνηση των ιόντων του αέρα επηρεάζεται σε μεγάλο βαθμό από τις καιρικές συνθήκες, ιδιαίτερα με την παρουσία του ανέμου και της βροχής, έτσι ώστε να μεταβάλλεται η ένταση του ηλεκτρικού πεδίου. Ιόντα αέρα δημιουργούνται, επίσης, από καταιγίδες, καταρράκτες, πυρκαγιές, αλλά και ως αποτέλεσμα απλής κίνησης του αέρα.

Το στατικό μαγνητικό πεδίο κάτω από ένα καλώδιο μεταφοράς συνεχούς ρεύματος υψηλής τάσης έχει ένταση περίπου όση το μισό της έντασης του φυσικού μαγνητικού πεδίου της Γης. Παρόμοια στατικά μαγνητικά πεδία είναι, συνήθως, παρόντα σε ηλεκτροφόρα τρόλεϊ, προαστιακό σιδηροδρομικό δίκτυο, ενώ πολύ ισχυρότερα πεδία αντιμετωπίζουν οι χειριστές σε βιομηχανικές διαδικασίες, όπως η ηλεκτρολυτική τήξη. Οι ασθενείς που υποβάλλονται σε διαγνωστικές εξετάσεις μαγνητικής τομογραφίας (MRI) εκτίθενται σε μαγνητικό πεδίο, περίπου 50.000 φορές ισχυρότερο από το αντίστοιχο των γραμμών μεταφοράς συνεχούς ρεύματος. Τα ηλεκτρικά πεδία παράγονται από ηλεκτρικά φορτία, ανεξάρτητα από την κατάσταση της κίνησής τους. Τα μαγνητικά πεδία παράγονται από κινούμενα ηλεκτρικά φορτία, οπότε η έντασή τους είναι ανάλογη με την ένταση του ηλεκτρικού ρεύματος στο σύστημα. Αν η ταχύτητα του ηλεκτρικού φορτίου και η ένταση του ρεύματος είναι σταθερές, δηλαδή η τιμή τους δεν αλλάζει με το χρόνο, ο ηλεκτρισμός και ο μαγνητισμός είναι δυο ξεχωριστά φαινόμενα. Μεταβαλλόμενες κατανομές φορτίων και μη σταθερή ένταση ηλεκτρικού ρεύματος σημαίνει επιταχυνόμενα φορτία, με αποτέλεσμα τη δημιουργία ακτινοβολίας. Στις χαμηλές συχνότητες το ηλεκτρομαγνητικό πεδίο (ΗΜΠ) της πηγής είναι αμελητέο, ενώ γίνεται σημαντικό, σε σχέση με τα ήδη υπάρχοντα ηλεκτρικό και μαγνητικό πεδίο, σε απόσταση αρκετά μεγαλύτερη του μήκους κύματος.

Οι θεμελιώδεις εξισώσεις του ηλεκτρομαγνητισμού, οι εξισώσεις του Maxwell, περιγράφουν τη σύζευξη μεταξύ των πεδίων και περιγράφουν πώς ένα χρονικά μεταβαλλόμενο ηλεκτρικό πεδίο παράγει ένα χρονικά μεταβαλλόμενο μαγνητικό πεδίο, και το αντίστροφο. Η σύζευξη των ηλεκτρικών και μαγνητικών πεδίων γίνεται ισχυρότερη με την αύξηση της συχνότητας και τα πεδία περιγράφονται ως αλληλοεξαρτώμενα. Σε μεγάλες αποστάσεις, σε σχέση με το μήκος κύματος, τα πεδία συνδυάζονται και σχηματίζουν το ηλεκτρομαγνητικό κύμα.

Ακτινοβολία είναι η διαδικασία μέσω της οποίας ποσότητα ενέργειας ταξιδεύει, ή διαδίδεται, μέσα στο χώρο (κενό ή υλικό μέσο), με μορφή κυμάτων ή σωματιδίων.

Ηλεκτρομαγνητική ακτινοβολία (ΗΜΑ) καλούμε τη μεταφορά ηλεκτρικής και μαγνητικής ενέργειας με τη μορφή διπλού κύματος. Οι εντάσεις του ηλεκτρικού (E-field) και του μαγνητικού πεδίου (H-field) ταλαντώνονται συμφασικά σε δυο διακριτά επίπεδα, κάθετα μεταξύ τους και κάθετα προς την κατεύθυνση της μετάδοσης της ενέργειας.

Ηλεκτρομαγνητική ακτινοβολία(ΗΜΑ)

Η ηλεκτρομαγνητική ενέργεια (ή ηλεκτρομαγνητική ακτινοβολία) αποτελείται από κύματα ηλεκτρικής και μαγνητικής ενέργειας, τα οποία διαδίδονται (ακτινοβολούνται) στον ελεύθερο χώρο.

Η περιοχή στην οποία αναπτύσσονται τα κύματα αυτά ονομάζεται ηλεκτρομαγνητικό πεδίο. Τα ηλεκτρομαγνητικά κύματα εμφανίζονται με πολλές διαφορετικές μορφές. Για παράδειγμα, τα ραδιοκύματα, τα μικροκύματα, το ορατό φως αλλά και οι ακτίνες Χ αποτελούν μορφές ηλεκτρομαγνητικών κυμάτων. Όλα τα ηλεκτρομαγνητικά κύματα διαδίδονται με την ταχύτητα του φωτός.

Τα σημαντικά χαρακτηριστικά των διαφόρων τύπων κυμάτων είναι η απόσταση που καλύπτεται από ένα κύκλο του κύματος, που ονομάζεται μήκος κύματος, και ο αριθμός των κυμάτων που διέρχονται από ένα συγκεκριμένο σημείο ανά δευτερόλεπτο, που είναι η συχνότητα του κύματος. Οι σημαντικότερες διαφορές των διαφορετικών τύπων κυμάτων σχετίζονται με τη συχνότητα. Για οποιοδήποτε ηλεκτρομαγνητικό κύμα, το γινόμενο του μήκους κύματος και της συχνότητας

ΜΕΛΕΤΗ Η/Μ ΔΙΑΤΑΡΑΧΩΝ ΚΙΝΗΤΗΣ ΤΗΛΕΦΩΝΙΑΣ

ισούται με την ταχύτητα του φωτός. Η συχνότητα ενός ηλεκτρομαγνητικού κύματος εκφράζεται συνήθως σε μονάδες Hertz (Hz).

Ένα Hz ισούται με ένα κύμα ανά δευτερόλεπτο. Ένα KiloHertz (KHz) ισούται με χίλια κύματα ανά δευτερόλεπτο, ένα Megahertz (MHz) ισούται με ένα εκατομμύριο κύματα ανά δευτερόλεπτο και ένα Gigahertz (GHz) ισούται με 1 δισεκατομμύριο κύματα ανά δευτερόλεπτο.

Πίνακας 1.1: μονάδες μέτρησης Hertz (Hz)

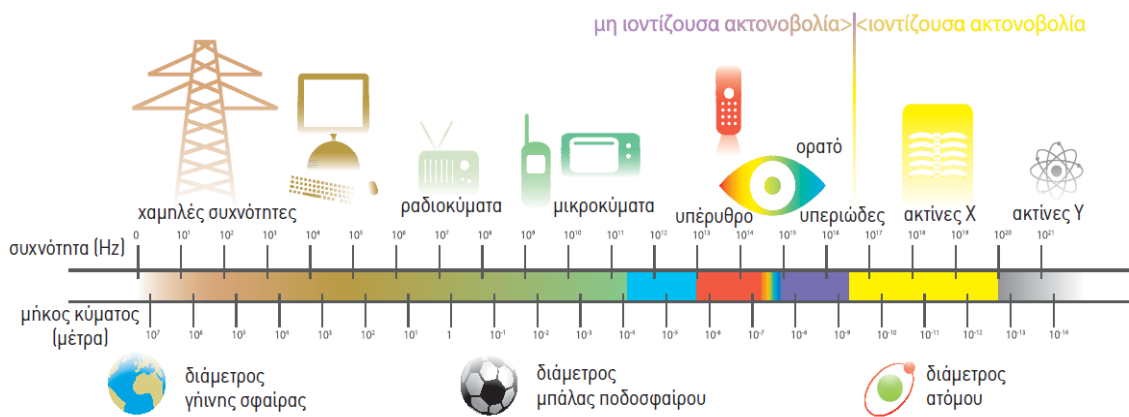
KiloHertz (KHz)	1.000 Hertz
Megahertz (MHz)	1.000.000 Hertz
Gigahertz (GHz)	1.000.000.000 Hertz

Φυσική ηλεκτρομαγνητική ακτινοβολία υπήρχε πάντα στη γη. Ωστόσο, κατά τη διάρκεια του 20ού αιώνα η περιβαλλοντική έκθεση σε τεχνητές πηγές ηλεκτρομαγνητικής ακτινοβολίας αυξήθηκε ραγδαία, εξαιτίας των εφαρμογών του ηλεκτρισμού, της ανάπτυξης της ασύρματης τεχνολογίας και των εφαρμογών της, καθώς επίσης και των αλλαγών στις εργασιακές σχέσεις και στην κοινωνική συμπεριφορά. Σήμερα, οι άνθρωποι εκτίθενται σε πλήθος ηλεκτρικών και μαγνητικών πεδίων σε διάφορες συχνότητες, τόσο στο χώρο κατοικίας όσο και στο χώρο της εργασίας. Τα ενδεχόμενα βιολογικά αποτελέσματα που οφείλονται στις κατασκευασμένες από τον άνθρωπο πηγές ηλεκτρομαγνητικής ακτινοβολίας έχουν προσελκύσει το επιστημονικό ενδιαφέρον από τα τέλη του 1800 και έχουν τύχει ιδιαίτερης προσοχής κατά τα τελευταία 30 χρόνια. Το ηλεκτρομαγνητικό φάσμα (**Εικόνα 1**) μπορεί να διαιρεθεί στα χαμηλής συχνότητας ηλεκτρικά και μαγνητικά πεδία (γραμμές μεταφοράς, ηλεκτρικές συσκευές οικιακής χρήσης, ηλεκτρονικοί υπολογιστές) και στα υψηλής συχνότητας πεδία ή πεδία ραδιοσυχνοτήτων (ραντάρ, εγκαταστάσεις ραδιοφωνικής και τηλεοπτικής μετάδοσης, κινητά τηλέφωνα και σταθμοί βάσης κινητών επικοινωνιών, συστήματα επαγωγικής θέρμανσης και αντικλεπτικά συστήματα).

ΜΕΛΕΤΗ Η/Μ ΔΙΑΤΑΡΑΧΩΝ ΚΙΝΗΤΗΣ ΤΗΛΕΦΩΝΙΑΣ

Σε αντίθεση με την ιοντίζουσα ακτινοβολία (όπως οι ακτίνες γ που εκπέμπονται από ραδιενεργά υλικά, η κοσμική ακτινοβολία και οι ακτίνες X), η οποία εντοπίζεται στο υψηλότερο τμήμα του ηλεκτρομαγνητικού φάσματος, στην περιοχή των ραδιοσυχνότη- των η κβαντική ενέργεια δεν είναι αρκετά ισχυρή ώστε να διασπάσει τους δεσμούς που συγκρατούν μεταξύ τους τα μόρια μέσα στα κύτταρα και, συνεπώς, δεν μπορεί να προκαλέσει ιοντισμό. Για το λόγο αυτό, η χαμηλότερη περιοχή του ηλεκτρομαγνητικού φάσματος χαρακτηρίζεται ως «μη ιοντίζουσα».

Στην (Εικόνα 1) φαίνεται η σχετική θέση της μη ιοντίζουσας περιοχής στο ηλεκτρομαγνητικό φάσμα.



Εικόνα 1: Ηλεκτρομαγνητικό Φάσμα

Φυσικές ιδιότητες και μονάδες μέτρησης συχνότητα, μήκος κύματος και ένταση

Η διακύμανση των E-field και H-field με το χρόνο εξαρτάται μόνο από την πηγή των κυμάτων. Οι περισσότερες τεχνητές πηγές ηλεκτρομαγνητικής ακτινοβολίας παράγουν κύματα με τις εντάσεις αμφοτέρων των πεδίων να μεταβάλλονται περίπου ημιτονοειδώς. Ο αριθμός των κύκλων ανά δευτερόλεπτο είναι γνωστός ως η συχνότητα, f , με μονάδα μέτρησης το Hertz (Hz). Τα ηλεκτρομαγνητικά κύματα ταξιδεύουν με την ταχύτητα του φωτός (3×10^8 m/s), c , στον ελεύθερο χώρο και στον αέρα, αλλά με λίγο χαμηλότερη ταχύτητα σε διηλεκτρικά μέσα,

συμπεριλαμβανομένων των ιστών του σώματος. Συνέπεια αυτού είναι ότι το μήκος κύματος της ΗΜΑ δεδομένης συχνότητας θα είναι μικρότερο σε βιολογικούς ιστούς από όσο στον αέρα.

Τα ηλεκτρομαγνητικά κύματα χαρακτηρίζονται από την ένταση του ηλεκτρικού πεδίου E , που εκφράζεται σε μονάδα Volt ανά μέτρο (V/m). Η ένταση του μαγνητικού πεδίου στο κενό, δηλαδή ανεξάρτητα από το μέσο, H , εκφράζεται με τη μονάδα Ampère ανά μέτρο (A/m). Το μέγεθος «μαγνητική επαγωγή», ή πυκνότητα μαγνητικής ροής, B , αναφέρεται στην ένταση του μαγνητικού πεδίου μέσα σε ένα συγκεκριμένο μέσο, και μετριέται σε Tesla (T). Μεταξύ αυτών ισχύει η σχέση $B = \mu \cdot \mu_0 \cdot H$, όπου μ η σχετική μαγνητική διαπερατότητα του μέσου, σε σχέση με τον αέρα (για τα βιολογικά υλικά δεχόμαστε $\mu = 1$), και μ_0 είναι η απόλυτη μαγνητική διαπερατότητα του κενού, με τιμή $\mu_0 = 4\pi \cdot 10^{-7}$ Henry/m. Όταν $\mu = 1$, ισχύει: $10^{-4} T = 100 \mu T = 79,58 A/m$.

Θα πρέπει, ωστόσο, να σημειωθεί, ότι τέλεια ημιτονοειδής ταλάντωση ενός κύματος, με επακριβώς καθορισμένη συχνότητα, είναι περίπτωση ιδανική, ενώ, τα κύματα, που δημιουργεί η τεχνολογία, συχνά περιέχουν θόρυβο, όπως μεταβολές στη συχνότητα σε σχέση με το χρόνο. Συνέπεια της ύπαρξης του θορύβου είναι ότι η ενέργεια που μεταφέρουν τα κύματα είναι κατανεμημένη σε ένα στενό εύρος συχνοτήτων γύρω από τη θεμελιώδη συχνότητα. Κύματα από ορισμένες πηγές ενδέχεται να έχουν εντελώς τυχαίες διακυμάνσεις σε σχέση με το χρόνο, με τρόπο που να μην είναι καθόλου εμφανής ο ημιτονοειδής χαρακτήρας.

Η ένταση του ηλεκτρικού ή μαγνητικού πεδίου, συνήθως, αναφέρεται με τη μέγιστη (peak) τιμή, είτε θετική είτε αρνητική, αν και πολλές φορές χρησιμοποιείται η ενεργός τιμή RMS. Για ένα ημιτονοειδώς μεταβαλλόμενο πεδίο, η ενεργός τιμή είναι ίση με τη μέγιστη τιμή διαιρεμένη με $\sqrt{2}$.

Ραδιοκύματα

Τα ραδιοκύματα είναι κύματα με συχνότητα από 3 KHz μέχρι 300 GHz. Τα μικροκύματα αποτελούν ένα υποσύνολο των ραδιοκυμάτων με συχνότητες που κυμαίνονται περίπου μεταξύ των 300 MHz και 3 GHz. Το μήκος κύματος των ραδιοκυμάτων ποικίλλει μεταξύ των τιμών 1mm και 10Km. Τα ραδιοκύματα δημιουργούνται από την κίνηση ηλεκτρικών φορτίων επί των κεραίων και αναφέρονται και ως ηλεκτρομαγνητική ακτινοβολία ραδιοσυχνοτήτων (ΡΣ), γιατί ακτινοβολούνται στο χώρο απομακρυνόμενα από την πηγή τους, δηλαδή την κεραία εκπομπής. Τα ραδιοκύματα ανήκουν στην κατηγορία των μη ιοντιζουσών ακτινοβολιών, καθώς δεν είναι ικανά να διασπάσουν χημικούς δεσμούς ή να αποσπάσουν ηλεκτρόνια από άτομα, προκαλώντας ιοντισμό της ύλης, όπως η ραδιενέργεια (ακτίνες Χ, ακτίνες γ). Ο ιοντισμός είναι επικίνδυνος γιατί μπορεί να οδηγήσει σε αλλοιώσεις του γενετικού υλικού και να επιφέρει επιβλαβή αποτελέσματα στην υγεία.

Η κυριότερη βιολογική επίδραση των ραδιοκυμάτων είναι η αύξηση της θερμοκρασίας των ιστών που εκτίθενται σε αυτά υπό ορισμένες συνθήκες. Οι μέχρι σήμερα έρευνες δεν έχουν τεκμηριώσει σχέση αιτίου – αιτιατού μεταξύ αυτού του τύπου της ακτινοβολίας και της πρόκλησης επιβλαβών επιπτώσεων στην υγεία (π.χ. καρκινογενέσεις).

Ο διαχωρισμός μεταξύ ιοντιζουσας και μη ιοντιζουσας ακτινοβολίας είναι σημαντικός, γιατί επιτρέπει την καλύτερη αντίληψη των πραγματικών κινδύνων των διαφόρων τύπων της ηλεκτρομαγνητικής ακτινοβολίας.

Πεδία ραδιοσυχνοτήτων

Τα ραδιοκύματα είναι ηλεκτρομαγνητικά πεδία που μπορούν να ακτινοβολούνται προς όλες τις κατευθύνσεις για ευρυεκπομπή, προς συγκεκριμένες περιοχές του χώρου όπου ενδεχομένως βρίσκεται ένας μετακινούμενος δέκτης, ή προς σταθερούς δέκτες που βρίσκονται σε γνωστές θέσεις. Η κεραία είναι διάταξη σχεδιασμένη για να εκπέμπει και να λαμβάνει ραδιοκύματα.

Η ένταση του πεδίου που δημιουργείται εξαρτάται από:

1-Τη συνολικά ακτινοβολούμενη ισχύ – μεγαλύτερη ισχύς προκαλεί ισχυρότερα πεδία.

2-Την απόσταση από την κεραία – η ένταση του πεδίου μειώνεται σημαντικά με την αύξηση της απόστασης .

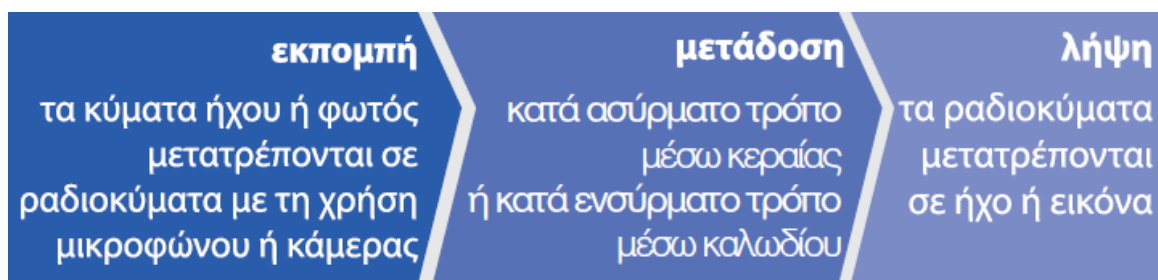
3-Το διάγραμμα ακτινοβολίας της κεραίας– στενές δέσμες δημιουργούν ισχυρά πεδία στο εσωτερικό τους.

Ως προς την εξάρτηση από την απόσταση, τα ραδιοκύματα εξασθενούν αντιστρόφως ανάλογα προς το τετράγωνο της απόστασης από την πηγή τους. Δηλαδή, η πυκνότητα ισχύος που είναι το μέγεθος που καθορίζει την ποσότητα ισχύος που προσπίπτει σε μια επιφάνεια και μετριέται σε W/m^2 , σε απόσταση 100 μέτρων από την πηγή ακτινοβολίας, εξασθενεί 10.000 φορές σε σχέση με την πυκνότητα ισχύος που δημιουργείται σε απόσταση 1 μέτρου από την πηγή.

Όταν συναντούν αντικείμενα κατά τη διάδοσή τους, τα ραδιοκύματα μπορεί να ανακλαστούν, να απορροφηθούν ή να διαπεράσουν το αντικείμενο μερικώς ή ολικώς κατά τρόπο αντίστοιχο με ό,τι συμβαίνει με το φως.

Εφαρμογές των ραδιοκυμάτων

Η πλέον σημαντική εφαρμογή των ραδιοκυμάτων είναι οι τηλεπικοινωνίες. Οι ραδιοφωνικές και τηλεοπτικές εκπομπές, τα κινητά τηλέφωνα, τα ασύρματα τηλέφωνα, οι επικοινωνίες της αστυνομίας και της πυροσβεστικής, οι δορυφορικές επικοινωνίες πραγματοποιούνται μεταδίδοντας την ενέργεια ραδιοκυμάτων. Τα ραδιοκύματα λειτουργούν ως φορείς της πληροφορίας στις τηλεπικοινωνίες, τη ραδιοφωνία και την τηλεόραση. **(Εικόνα 2)**



Εικόνα 2: Εκπομπή, μετάδοση και λήψη των ραδιοκυμάτων

Άλλες χρήσεις των ραδιοκυμάτων περιλαμβάνουν τους φούρνους μικροκυμάτων, τα ραντάρ, βιομηχανικά συστήματα θέρμανσης και στεγανοποίησης και τα ιατρικά μηχανήματα.

Η ενέργεια των ραδιοκυμάτων, ειδικά αυτή των μικροκυμάτων, έχει τη δυνατότητα να θερμαίνει το νερό. Δεδομένου ότι οι περισσότερες τροφές έχουν υψηλή περιεκτικότητα σε νερό, τα μικροκύματα μπορούν να θερμάνουν το φαγητό αρκετά γρήγορα. Τα ραντάρ χρησιμοποιούν την ενέργεια των ραδιοκυμάτων για τον εντοπισμό αυτοκινήτων και αεροπλάνων καθώς και για στρατιωτικές εφαρμογές. Οι βιομηχανικοί θερμαντήρες και στεγανοποιητές χρησιμοποιούν ραδιοκύματα για τη συγκόλληση παραγώγων ξύλου, τη στεγανοποίηση δερμάτινων αντικειμένων όπως παπουτσιών και για την επεξεργασία φαγητού. Οι ιατρικές χρήσεις της ενέργειας ραδιοκυμάτων περιλαμβάνουν τη μαγνητική τομογραφία, την επτοπεία και τον προγραμματισμό βηματοδοτών, την υπερθερμία για την αντιμετώπιση του καρκίνου.

Η ενέργεια των ραδιοκυμάτων

Τα κύματα και τα πεδία ΡΣ διαθέτουν ηλεκτρικές και μαγνητικές συνιστώσες. Η ένταση του πεδίου ΡΣ εκφράζεται με βάση την ένταση και των δύο συνιστωσών. Η μονάδα "Volt ανά μέτρο" (V/m) χρησιμοποιείται για τη μέτρηση της έντασης του ηλεκτρικού πεδίου και η μονάδα "Ampere ανά μέτρο" (A/m) χρησιμοποιείται για να εκφράσει την ένταση του μαγνητικού πεδίου.

Ένας άλλος συνήθης τρόπος για το χαρακτηρισμό ενός πεδίου ΡΣ είναι μέσω της πυκνότητας ισχύος. Η πυκνότητα ισχύος ορίζεται ως η ισχύς του κύματος που προσπίπτει στη μονάδα επιφάνειας. Η πυκνότητα ισχύος μπορεί να εκφραστεί σε μονάδες Watt ανά τετραγωνικό μέτρο (W/m²), milliwatts (1 χιλιοστό του Watt) ανά τετραγωνικό εκατοστό (mW/cm²) ή microwatts (1 εκατομμυριοστό του Watt) ανά τετραγωνικό εκατοστό (μW/cm²).

Το μέγεθος που χρησιμοποιείται για τη μέτρηση της ποσότητας της ενέργειας των ραδιοκυμάτων που απορροφάται από το σώμα ονομάζεται Ρυθμός Ειδικής

Απορρόφησης (Specific Absorption Rate-SAR). Συνήθως εκφράζεται σε Watts ανά χιλιόγραμμα (W/kg) ή milliwatts ανά γραμμάριο (mW/g).

Επιδράσεις στο ανθρώπινο σώμα από τα ηλεκτρομαγνητικά πεδία ραδιοσυχνοτήτων

Ηλεκτρικά ρεύματα υπάρχουν και στο ανθρώπινο σώμα και είναι απαραίτητα για τις φυσιολογικές σωματικές λειτουργίες. Όλες οι δομές του νευρικού συστήματος λειτουργούν μεταδίδοντας παλμικά ηλεκτρικά σήματα. Οι περισσότερες βιοχημικές αντιδράσεις, από εκείνες που σχετίζονται με την πέψη μέχρι εκείνες που σχετίζονται με την εγκεφαλική λειτουργία, περιλαμβάνουν ηλεκτρικές διεργασίες. Τα βιολογικά αποτελέσματα της έκθεσης του ανθρώπινου σώματος και των κυττάρων του σε εξωτερικά πεδία ΡΣ εξαρτώνται κυρίως από τη συχνότητα και την ένταση των ηλεκτρομαγνητικών πεδίων. Στις ραδιοσυχνότητες, η ακτινοβολία απορροφάται μερικώς και διεισδύει σε μικρό μόνο βάθος μέσα στο σώμα. Η ενέργεια αυτών των ηλεκτρομαγνητικών πεδίων απορροφάται και προκαλεί την κίνηση των μορίων. Η τριβή και οι κρούσεις μεταξύ των ταχέως κινουμένων μορίων έχουν ως αποτέλεσμα την αύξηση της θερμοκρασίας. Δύο περιοχές του σώματος, τα μάτια και οι όρχις, είναι ιδιαίτερος ευπαθείς στη θέρμανση ΡΣ διότι χαρακτηρίζονται από χαμηλή αιματική κυκλοφορία και, συνεπώς, ανεπαρκή απαγωγή της αυξημένης θερμότητας. Τα επίπεδα έντασης των πεδίων ΡΣ στα οποία συνήθως εκτίθεται το κοινό στο καθημερινό περιβάλλον του είναι πολύ ασθενέστερα σε σχέση με αυτά που απαιτούνται για να προκληθεί αξιοσημείωτη τοπική θέρμανση ή αύξηση της θερμοκρασίας του σώματος.

Εκτός, όμως, από τα γνωστά θερμικά αποτελέσματα, υπάρχει σήμερα αυξημένο ενδιαφέρον για τη μελέτη ύπαρξης και άλλων μη θερμικών μηχανισμών αλληλεπίδρασης των ραδιοκυμάτων με τους βιολογικούς ιστούς. Ορισμένες μελέτες έχουν δείξει ότι, υπό συγκεκριμένες συνθήκες, τα ραδιοκύματα μπορούν να προκαλέσουν μη θερμικές βιολογικές επιδράσεις σε καλλιέργειες κυττάρων ή πειραματόζωα, χωρίς, ωστόσο, αυτές οι επιδράσεις να σχετίζονται άμεσα με την πρόκληση κάποιας βλάβης στον ανθρώπινο οργανισμό. Επιπλέον, σε μερικές από

τις μελέτες αυτές, τα αποτελέσματα εμφανίζονται αντιφατικά, ενώ σε κάποιες άλλες δεν έγινε δυνατό να επαναληφθούν. Είναι φανερό ότι υπάρχει αβεβαιότητα και ανάγκη για περαιτέρω διερεύνηση των μηχανισμών που σχετίζονται με μη θερμικά φαινόμενα και τη συσχέτισή τους με επιβλαβείς βιολογικές επιδράσεις και ενδεχόμενες επιπτώσεις στην υγεία. Η έρευνα σε παγκόσμιο επίπεδο συνεχίζεται υπό το συντονισμό του Παγκόσμιου Οργανισμού Υγείας.

Βιολογικά αποτελέσματα και επιπτώσεις στην υγεία

Τα βιολογικά αποτελέσματα αποτελούν μετρήσιμες αποκρίσεις του οργανισμού ή των κυττάρων σε κάποια διέγερση ή αλλαγή του περιβάλλοντος. Τέτοιου είδους αποκρίσεις, όπως η ταχυκαρδία μετά την κατανάλωση καφέ ή η υπνηλία μέσα σε ένα αποπνικτικό δωμάτιο, δεν είναι απαραίτητα επιβλαβείς για την υγεία. Η αντίδραση του οργανισμού σε μεταβολές του περιβάλλοντος είναι απολύτως φυσιολογική. Ωστόσο, ο οργανισμός ενδέχεται να μη διαθέτει επαρκείς μηχανισμούς ελέγχου ώστε να ανταποκρίνεται σε όλο το φάσμα των περιβαλλοντικών μεταβολών. Διαρκής περιβαλλοντική έκθεση, ακόμα και ασθενής, μπορεί να αποτελέσει κίνδυνο για την υγεία. Στον ανθρώπινο οργανισμό, ένα αρνητικό αποτέλεσμα για την υγεία προέρχεται από ένα βιολογικό αποτέλεσμα το οποίο προκαλεί ανιχνεύσιμη βλάβη στην υγεία ή στην καλή φυσική κατάσταση των εκτιθεμένων ατόμων. Η συμμόρφωση με τα όρια έκθεσης (βασικούς περιορισμούς και επίπεδα αναφοράς) που προτείνονται από τις εθνικές και τις διεθνείς οδηγίες συντελεί στον έλεγχο του κινδύνου από την έκθεση σε ραδιοκύματα, τα οποία μπορεί να είναι επιβλαβή για την υγεία του ανθρώπου. Ωστόσο, σημαντικό μέρος του πληθυσμού εξακολουθεί να έχει ερωτήματα σχετικά με τα πιθανά αποτελέσματα στην υγεία από την έκθεση σε χαμηλής έντασης ενέργεια ραδιοκυμάτων. Είναι γενικώς αποδεκτό ότι απαιτείται περαιτέρω επιστημονική έρευνα των αποτελεσμάτων που επιβεβαιώνονται και για το αν αυτά είναι επικίνδυνα για τον άνθρωπο. Στο διάστημα αυτό, οι διεθνείς οργανισμοί και οι φορείς τυποποίησης συνεχίζουν να παρακολουθούν τα τελευταία επιστημονικά ευρήματα για να αποφανθούν αν η μακροπρόθεσμη έκθεση σε πεδία επιπέδου χαμηλότερου από τα όρια των οδηγιών μπορεί να προκαλέσει επιβλαβή

αποτελέσματα στην υγεία ή να επηρεάσει την καλή φυσική κατάσταση του ανθρώπου.

Κινητά τηλέφωνα και επιδημιολογικές μελέτες

Το φθινόπωρο του 2000, ξεκίνησε μία διεθνής επιδημιολογική έρευνα γνωστή ως INTERPHONE study με τη συμμετοχή 13 χωρών και σκοπό τη διερεύνηση της ενδεχόμενης συσχέτισης μεταξύ της τακτικής και μακροχρόνιας χρήσης των κινητών τηλεφώνων και της εμφάνισης καρκίνου του εγκεφάλου. Προσφάτως δημοσιευμένα αποτελέσματα από τη Βρετανία δεν μπόρεσαν να συσχετίσουν την τακτική χρήση κινητού τηλεφώνου με αυξημένο κίνδυνο εμφάνισης καρκίνου του εγκεφάλου. Τα αποτελέσματα αυτών των αρχικών μελετών συμφωνούν με τις ήδη δημοσιευμένες έρευνες της Σουηδίας και της Δανίας. Αντιθέτως, η γερμανική έρευνα έδειξε αυξημένο κίνδυνο εμφάνισης γλοιώματος μεταξύ των μακροχρόνιων χρηστών. κινητών τηλεφώνων (πάνω από μια δεκαετία). Επιβεβαίωση των αποτελεσμάτων αυτής της ομάδας μπορεί να καταστεί εφικτή μόνο ύστερα από την ολοκλήρωση της επεξεργασίας των αποτελεσμάτων όλων των ερευνητικών ομάδων των 13 χωρών.

Εκτεταμένες επιδημιολογικές έρευνες μελετούν την εμφάνιση του ακουστικού νευρινώματος και τη συσχέτισή του με τη χρήση του κινητού τηλέφωνου. Το ακουστικό νευρίνωμα είναι ένας καλοήθης όγκος του ακουστικού νεύρου. Μπορεί να επηρεάσει την ακοή με συχνότητα εμφάνισης χαμηλότερη από ένα περιστατικό ανά 100.000 ενήλικες κάθε χρόνο. Σύμφωνα με τα αποτελέσματα διαφόρων πρόσφατων επιδημιολογικών ερευνών, δεν υπάρχει ουσιαστικός κίνδυνος για ακουστικό νευρίνωμα κατά την πρώτη δεκαετία χρήσης του κινητού τηλεφώνου αλλά παρατηρείται αύξηση του κινδύνου μετά από χρήση του κινητού τηλεφώνου για περισσότερα από 10 χρόνια.

ΟΔΗΓΙΕΣ ΚΑΙ ΠΟΛΙΤΙΚΕΣ ΓΙΑ ΤΗΝ ΕΚΘΕΣΗ ΣΕ ΗΛΕΚΤΡΟΜΑΓΝΗΤΙΚΑ ΠΕΔΙΑ

A) Ποιος αποφασίζει για τις οδηγίες;

Σε όλο τον κόσμο, διεθνείς οργανισμοί και χώρες έχουν προχωρήσει στη θέσπιση ορίων αποδεκτής έκθεσης του γενικού πληθυσμού και των εργαζομένων σε μη ιονίζουσα ηλεκτρομαγνητική ακτινοβολία. Οι περισσότερες χώρες στην Ευρώπη και αλλού χρησιμοποιούν τις οδηγίες έκθεσης που έχουν εκδοθεί από τη Διεθνή Επιτροπή για την Προστασία από τη Μη-Ιονίζουσα Ακτινοβολία (International Commission on Non-Ionizing Radiation Protection-ICNIRP). Ο μη κυβερνητικός αυτός οργανισμός, που αναγνωρίζεται επισήμως από τον Παγκόσμιο Οργανισμό Υγείας (World Health Organization-WHO), αποτιμά τα επιστημονικά αποτελέσματα στους τομείς της επιδημιολογίας, της ιατρικής, της βιολογίας, της φυσικής και της μηχανικής σε όλο τον κόσμο. Η ICNIRP ανακοινώνει οδηγίες που προτείνουν όρια για την έκθεση, τα οποία αναθεωρούνται και ενημερώνονται περιοδικά, όταν κρίνεται απαραίτητο. Οι πλέον πρόσφατες οδηγίες της ICNIRP δημοσιεύτηκαν το 1998 και έχουν υιοθετηθεί από την Ευρωπαϊκή Επιτροπή Τυποποίησης CENELEC (Commission Europeen de Normalisation Electrotechnique) και το Ευρωπαϊκό Συμβούλιο κατά τη σύνταξη του ισχύοντος προτύπου για την έκθεση σε ηλεκτρομαγνητικά πεδία. Οι οδηγίες της ICNIRP αποτελούν τη βάση και της ελληνικής νομοθεσίας για την προστασία του κοινού από την έκθεση στην ηλεκτρομαγνητική ακτινοβολία.

B) Πού βασίζονται οι οδηγίες;

Οι οδηγίες της ICNIRP για την έκθεση σε ηλεκτρομαγνητικά πεδία καλύπτουν το εύρος συχνοτήτων της μη ιονίζουσας ακτινοβολίας από 0 μέχρι 300 GHz. Βασίζονται σε διεξοδικές επισκοπήσεις όλης της δημοσιευμένης επιστημονικής βιβλιογραφίας. Τα όρια αποδεκτής έκθεσης έχουν καθοριστεί με βάση αποτελέσματα σχετικά με τη βραχυπρόθεσμη έντονη έκθεση και όχι τη μακροπρόθεσμη έκθεση, διότι η διαθέσιμη επιστημονική πληροφορία για τα μακροπρόθεσμα αποτελέσματα της έκθεσης σε χαμηλής έντασης ηλεκτρομαγνητικά πεδία θεωρείται ανεπαρκής για τη θέσπιση ποσοτικών ορίων. Σε συχνότητες υψηλότερες του 1MHz, η θέσπιση ορίων αποδεκτής έκθεσης αποσκοπεί αποκλειστικά στην αποφυγή των θερμικών αποτελεσμάτων των ηλεκτρομαγνητικών πεδίων.

Γ) Ποια είναι τα διεθνή όρια που έχουν θεσπιστεί για την προστασία από την ηλεκτρομαγνητική ακτινοβολία;

Σύμφωνα με τις οδηγίες της ICNIRP, προτείνεται ένα σύστημα δύο επιπέδων ως προς τα όρια επιτρεπτής έκθεσης: χαμηλότερα όρια για το γενικό πληθυσμό και υψηλότερα για τους επαγγελματικά ασχολούμενους σε χώρους έκθεσης σε ηλεκτρομαγνητική ακτινοβολία, καθώς οι δεύτεροι έχουν γνώση των κινδύνων και μπορούν να λάβουν τα ενδεικνυόμενα μέτρα προστασίας. Επιπλέον, ορίζονται βασικοί περιορισμοί που αφορούν σε δοσιμετρικά μεγέθη αλλά και αντίστοιχα επίπεδα αναφοράς για τα ηλεκτρομαγνητικά πεδία τα οποία μπορούν εύκολα να μετρηθούν. Επισημαίνεται ότι για τη διατύπωση των βασικών περιορισμών έχει υιοθετηθεί ένας παράγοντας ασφάλειας (10 ως και 50), ο οποίος αντιπροσωπεύει την αβεβαιότητα εκτίμησης του ορίου εμφάνισης επιβλαβών επιπτώσεων στην υγεία.

Το βασικό μέγεθος για την ποσοτικοποίηση των θερμικών επιδράσεων είναι ο Ρυθμός Ειδικής Απορρόφησης (SAR).

Η θέσπιση ορίων αποδεκτής έκθεσης από τη CENELEC και άλλες επιτροπές τυποποίησης για ολόσωμη έκθεση σε ηλεκτρομαγνητική ακτινοβολία έχει βασιστεί στην πρόληψη διαταραχών της συμπεριφοράς που παρατηρούνται σε ζώα κατά την έκθεσή τους σε χαμηλά επίπεδα ακτινοβολίας. Ο όρος «διαταραχές συμπεριφοράς» αναφέρεται στην τάση των ζώων να σταματούν την εκτέλεση μιας πολύπλοκης γνωσιακής λειτουργίας όταν εκτίθενται σε συγκεκριμένα επίπεδα ηλεκτρομαγνητικής ενέργειας. Πρόκειται για θερμική επίδραση που παρατηρείται για Ρυθμό Ειδικής Απορρόφησης ίσο με 4 W/kg σωματικού βάρους, υπολογισμένο ως μέση τιμή σε ολόκληρο το σώμα. Για να συμπεριλάβει επιστημονικές αβεβαιότητες, αυτό το επίπεδο κατωφλίου μειώθηκε περαιτέρω για να προκύψουν οι τιμές των ορίων για την ανθρώπινη έκθεση (βασικοί περιορισμοί). Υιοθετώντας ένα συντελεστή ασφαλείας ίσο με 10, καθορίστηκε η μέγιστη επιτρεπτή τιμή του Ρυθμού Ειδικής Απορρόφησης για τον άνθρωπο (επαγγελματική έκθεση) σε 0.4 W/kg και θέτοντας έναν επιπλέον συντελεστή ασφαλείας ίσο με 5 για το γενικό πληθυσμό καθορίστηκε αντίστοιχη μέγιστη τιμή του Ρυθμού Ειδικής Απορρόφησης ίση με

ΜΕΛΕΤΗ Η/Μ ΔΙΑΤΑΡΑΧΩΝ ΚΙΝΗΤΗΣ ΤΗΛΕΦΩΝΙΑΣ

0.08W/kg, υπολογισμένη ως μέση τιμή για ολόκληρο το σώμα και για χρονικό διάστημα μέτρησης 6 λεπτών (Πίνακας 1). Με παρόμοιο σκεπτικό, προέκυψαν αντίστοιχα όρια για τον περιορισμό της έκθεσης τμημάτων του ανθρώπινου σώματος σε ηλεκτρομαγνητικά πεδία ΡΣ (Πίνακας 2).

Πίνακας 2: Βασικοί περιορισμοί για το γενικό πληθυσμό και τους εργαζομένους* σε συνήθεις εφαρμογές ασυρμάτων δικτύων

Εφαρμογή	Ρυθμός Ειδικής Απορρόφησης-SAR (W/Kg) (μέση τιμή για όλο το σώμα)	Ρυθμός Ειδικής Απορρόφησης-SAR (W/Kg) (μέση τιμή για 10g ιστού της κεφαλής ή του κορμού)	Ρυθμός Ειδικής Απορρόφησης-SAR (W/Kg) (μέση τιμή για 10g ιστού των άκρων)
Κινητή τηλεφωνία 900 MHz (GSM)	0.08 (0.4 [*])	2 (10 [*])	4 (20 [*])
Κινητή τηλεφωνία 1800 MHz (DCS)	0.08 (0.4 [*])	2 (10 [*])	4 (20 [*])
Κινητή τηλεφωνία 2100 MHz (UMTS)	0.08 (0.4 [*])	2 (10 [*])	4 (20 [*])
Ασύρματα δίκτυα 2.4 GHz (WiFi)	0.08 (0.4 [*])	2 (10 [*])	4 (20 [*])
Ασύρματα δίκτυα 3.5 GHz (WiMax)	0.08 (0.4 [*])	2 (10 [*])	4 (20 [*])

Οι βασικοί περιορισμοί που προτείνονται από την ICNIRP για το γενικό πληθυσμό και τους εργαζόμενους για τις συνήθεις εφαρμογές ασυρμάτων δικτύων φαίνονται στον Πίνακα 2, όπου οι τιμές του SAR υπολογίζονται ως μέση τιμή σε μάζα 10 g συνεχούς ιστού και για διάστημα μέτρησης 6 λεπτών. Για τις περιπτώσεις όπου δεν είναι δυνατή η απευθείας εκτίμηση της απορροφούμενης ισχύος από τους ιστούς,

ΜΕΛΕΤΗ Η/Μ ΔΙΑΤΑΡΑΧΩΝ ΚΙΝΗΤΗΣ ΤΗΛΕΦΩΝΙΑΣ

ορίζονται από την ICNIRP επίπεδα αναφοράς που αντιστοιχούν σε μεγέθη, τα οποία μπορούν εύκολα να μετρηθούν, όπως είναι η ένταση του ηλεκτρικού ή του μαγνητικού πεδίου ή η πυκνότητα ισχύος. Ο υπολογισμός των πεδίων αναφοράς από τους αντίστοιχους βασικούς περιορισμούς έχει πραγματοποιηθεί με την υπόθεση μέγιστης σύζευξης του ανθρωπίνου σώματος με το ηλεκτρομαγνητικό πεδίο (δυσμενέστερη περίπτωση). Τα επίπεδα αναφοράς που προτείνονται από την ICNIRP για το γενικό πληθυσμό και τους εργαζόμενους για τις συνήθεις εφαρμογές ασυρμάτων δικτύων φαίνονται στον **Πίνακα 3**.

Πίνακας 3: Επίπεδα αναφοράς για το γενικό πληθυσμό και τους εργαζόμενους* σε συνήθεις εφαρμογές ασυρμάτων δικτύων

Εφαρμογή	Ένταση Ηλεκτρικού Πεδίου (V/m)	Ένταση Μαγνητικού Πεδίου(A/m)	Πυκνότητα Ισχύος Ισοδύναμου Επιπέδου ΗΜ Κύματος (W/m ²)
Κινητή τηλεφωνία 900 MHz (GSM)	41 (90 [*])	0.11 (0.24 [*])	4.5 (22.5 [*])
Κινητή τηλεφωνία 1800 MHz (DCS)	58 (127 [*])	0.16 (0.34 [*])	9 (45 [*])
Κινητή τηλεφωνία 2100 MHz (UMTS)	61 (137 [*])	0.16 (0.36 [*])	10 (50 [*])
Ασύρματα δίκτυα 2.4 GHz (WiFi)	61 (137 [*])	0.16 (0.36 [*])	10 (50 [*])
Ασύρματα δίκτυα 3.5 GHz (WiMax)	61 (137 [*])	0.16 (0.36 [*])	10 (50 [*])

Τα όρια (επίπεδα αναφοράς) που προτείνονται από την ICNIRP διαφοροποιούνται με τη συχνότητα της ακτινοβολίας ΡΣ. Αυτό οφείλεται στο γεγονός ότι η απορρόφηση ενέργειας ΡΣ από ολόκληρο το ανθρώπινο σώμα εξαρτάται από τη συχνότητα του σήματος ΡΣ. Τα πλέον αυστηρά όρια για ολόσωμη έκθεση

αντιστοιχούν στο εύρος συχνοτήτων 30-300 MHz, όπου το ανθρώπινο σώμα απορροφά περισσότερο την ενέργεια ΡΣ. Για συσκευές που συμβάλλουν μόνο στην έκθεση τμήματος του σώματος, όπως τα κινητά τηλέφωνα, καθορίζονται τα όρια έκθεσης μόνο με βάση τον SAR.

Συμπεράσματα της επιστημονικής έρευνας

Ως προς τα πεδία ΡΣ, η πλειοψηφία των επιστημονικών συμπερασμάτων συγκλίνει στο ότι η έκθεση σε χαμηλού επιπέδου πεδία ΡΣ (όπως εκείνα που εκπέμπονται από τα κινητά τηλέφωνα και από τους σταθμούς βάσης) δεν προκαλούν επιβλαβή αποτελέσματα στην υγεία. Ορισμένοι επιστήμονες αναφέρουν δευτερεύοντα αποτελέσματα από τη χρήση των κινητών τηλεφώνων, τα οποία συμπεριλαμβάνουν μεταβολές στην εγκεφαλική δραστηριότητα, το χρόνο αντίδρασης και τα πρότυπα του ύπνου. Από τη μέχρι σήμερα επιβεβαίωση αυτών των αποτελεσμάτων, φαίνεται ότι εντάσσονται εντός των φυσιολογικών ορίων της ανθρώπινης συμπεριφοράς. Σήμερα, οι ερευνητικές προσπάθειες επικεντρώνονται στη διερεύνηση της πιθανότητας να προκαλείται σημαντική θερμοκρασιακή αύξηση και επιβλαβή αποτελέσματα στην υγεία από τη μακροπρόθεσμη έκθεση σε πεδία ΡΣ χαμηλής έντασης. Ορισμένες πρόσφατες επιδημιολογικές μελέτες για τη χρήση του κινητού τηλεφώνου δεν κατέληξαν σε πειστικές αποδείξεις σχετικά με αύξηση του κινδύνου του καρκίνου του εγκεφάλου. Ωστόσο, η τεχνολογία είναι πολύ πρόσφατη για να μπορούν να αποκλειστούν πιθανά μακροπρόθεσμα αποτελέσματα. Τα κινητά τηλέφωνα και οι σταθμοί βάσης δημιουργούν αρκετά διαφοροποιημένα χαρακτηριστικά έκθεσης. Η έκθεση σε πεδία ΡΣ είναι πολύ υψηλότερη για τους χρήστες κινητών τηλεφώνων σε σχέση με αυτούς που κατοικούν πλησίον σταθμών βάσης κινητής τηλεφωνίας. Εκτός από σήματα που εκπέμπονται περιοδικά για τη διατήρηση της σύνδεσης με τους γειτονικούς σταθμούς βάσης, τα κινητά τηλέφωνα εκπέμπουν μόνο κατά τη διάρκεια μιας κλήσης. Αντίθετα, αν και οι σταθμοί βάσης κινητής τηλεφωνίας εκπέμπουν συνεχώς, τα επίπεδα στα οποία εκτίθεται το κοινό είναι ιδιαίτερος χαμηλά, ακόμα και για όσους κατοικούν πολύ κοντά στην εγκατάσταση.

Πόλωση

Τα ηλεκτρικά και μαγνητικά πεδία είναι διανυσματικές ποσότητες, δηλαδή χαρακτηρίζονται από την ένταση του πεδίου και την κατεύθυνση. Για στατικά πεδία η κατεύθυνση και η ένταση του πεδίου είναι σταθερές ως προς το χρόνο, ενώ τα χρονικώς μεταβαλλόμενα πεδία μπορούν να έχουν διαφορετική ένταση πεδίου και κατεύθυνση σε κάθε περίοδο της ταλάντωσης.

Η ιδιότητα του ΗΜΠ, που καλείται **πόλωση**, γίνεται ευκολότερα κατανοητή, αν η περιγραφή της βασιστεί, και περιοριστεί, στη συμπεριφορά της ηλεκτρικής συνιστώσας του πεδίου. **Γραμμική πόλωση** είναι, όταν το ηλεκτρικό πεδίο παραμένει παράλληλο προς ένα επίπεδο με σταθερό προσανατολισμό στο χώρο. Κεραίες, που τις διαρρέει ηλεκτρικό ρεύμα με φορτία που ταλαντώνονται παράλληλα με έναν άξονα, ή ρεύμα που κυκλοφορεί γύρω από σταθερό άξονα, δημιουργούν πεδία με γραμμική πόλωση. **Κυκλική πόλωση** είναι, όταν το διάνυσμα της έντασης του πεδίου εκτελεί μια πλήρη περιστροφή ανά περίοδο του κύματος και μπορεί να είναι είτε δεξιόστροφη ή αριστερόστροφη σε σχέση με την κατεύθυνση της διάδοσης. Τα κυκλικά πολωμένα κύματα παράγονται από δύο, ή περισσότερες πηγές, των οποίων ο αγωγός του ηλεκτρικού ρεύματος έχει διαφορετική μεταξύ τους κατεύθυνση και σε κάθε κατεύθυνση το κύμα βρίσκεται σε διαφορετική φάση σε σχέση με την προηγούμενη.

Αντίσταση στη διάδοση του κύματος

Ο λόγος της έντασης της ηλεκτρικής συνιστώσας του ΗΜΠ προς εκείνη της μαγνητικής συνιστώσας του πεδίου είναι σταθερός και γνωστός ως η χαρακτηριστική σύνθετη αντίσταση του μέσου διάδοσης του κύματος. Η χαρακτηριστική σύνθετη αντίσταση του ελεύθερου χώρου και του αέρα είναι ίση με 377Ω , όπου η μονάδα Ohm (Ω) έχει τις διαστάσεις της ηλεκτρικής αντίστασης, R.

Πυκνότητα ισχύος

Η ενέργεια του ΗΜΠ, που ρέει ανά μονάδα επιφάνειας (κάθετης στη διεύθυνση διάδοσης) και ανά μονάδα χρόνου σε ένα σημείο του χώρου, ονομάζεται **πυκνότητα ισχύος**, S, και εκφράζεται σε μονάδες Watt ανά τετραγωνικό μέτρο (W/m^2). Σε απόσταση από κάθε πομπό, μεγαλύτερη από περίπου ένα μήκος κύματος, οι θετικές, ή αρνητικές, κορυφές της έντασης του ηλεκτρικού και μαγνητικού πεδίου συμπίπτουν στο χώρο και το χρόνο, δηλαδή τα δύο πεδία

έρχονται σε φάση. Υπό αυτές τις συνθήκες, η πυκνότητα ισχύος της ηλεκτρομαγνητικής ακτινοβολίας γίνεται ίση με το γινόμενο της ενεργού τιμής της έντασης του ηλεκτρικού πεδίου επί την ενεργό τιμή της έντασης του μαγνητικού πεδίου. Η πυκνότητα ισχύος μειώνεται με την αύξηση της απόστασης από την πηγή, διότι τα κύματα, καθώς απομακρύνονται, διαδίδονται προς κάθε κατεύθυνση. Επομένως η πυκνότητα ισχύος ακολουθεί το νόμο του αντιστρόφου τετραγώνου, έτσι ώστε η S να είναι ανάλογος του λόγου $1/d^2$, όπου d είναι η απόσταση από την πηγή. Η πυκνότητα ισχύος δεν έχει έννοια στον κοντινό χώρο γύρω από την πηγή, επειδή εκεί, τα δυο πεδία - συνιστώσες της ηλεκτρομαγνητικής ακτινοβολίας δεν είναι αλληλοεξαρτώμενα. Η πυκνότητα ισχύος δεν έχει έννοια ούτε στις χαμηλές συχνότητες. Ο Παγκόσμιος Οργανισμός Υγείας (ΠΟΥ, World Health Organization - WHO) αναφέρει ότι σε συχνότητες μεταξύ 0 και 300 Hz, τα μήκη κύματος στον αέρα είναι πολύ μεγάλα (6000 km στα 50 Hz και 5000 km στα 60 Hz), οπότε πρακτικά, τα ηλεκτρικά και μαγνητικά πεδία ενεργούν ανεξάρτητα το ένα από το άλλο και πρέπει να μετρώνται ξεχωριστά. Για τα ηλεκτρικά και μαγνητικά πεδία στην περιοχή συχνοτήτων από 0 έως 100.000 Hz (100 kHz, με μήκος κύματος περίπου 3000 μέτρα) ο ΠΟΥ χρησιμοποιεί την έννοια «εξαιρετικά χαμηλή συχνότητα (extremely low frequencies, ELF)». Το ηλεκτρικό και το μαγνητικό πεδίο μπορούν να θεωρηθούν ως ασύνδετα μεταξύ τους ακόμη και μέχρι τη συχνότητα των 10 MHz (μήκος κύματος περίπου 50 μέτρα) (IARC, 2002, 2013; SCENIHR, 2007, 2009a, 2009b; WHO, 2006, 2007, 2010).

Κυματομορφές

Για την ορθότερη ποσοτικοποίηση της έκθεσης του ανθρώπινου σώματος στα ραδιοκύματα, είναι σημαντικό να λαμβάνονται υπόψη και τα χαρακτηριστικά του συγκεκριμένου συστήματος επικοινωνίας, ειδικά όταν αθροίζεται η συνεισφορά του στην έκθεση από περισσότερα συστήματα. Θα πρέπει να είναι γνωστό αν το σήμα έχει κυματομορφή συνεχή ή παλμική και αν ο τρόπος μεταφοράς της πληροφορίας επηρεάζει σημαντικά χαρακτηριστικά του σήματος (K. R. Foster & Repacholi, 2004). Χαρακτηριστικά του σήματος είναι η διαμόρφωση, το εύρος της ζώνης συχνοτήτων, η παλμική εκπομπή, η μέθοδος πρόσβασης (AGNIR, 2012).

Διαμόρφωση

Στο φάσμα των ραδιοσυχνοτήτων (Radiofrequency, RF), τα σήματα από διάφορες πηγές μπορεί να έχουν πολύ διαφορετικό χαρακτήρα. Η υποκείμενη κυματομορφή μιας πηγής είναι, συνήθως, ημιτονοειδής. Το σήμα, όμως, μπορεί να είναι διαμορφωμένου πλάτους (amplitude modulated, AM) ή διαμορφωμένης συχνότητας (frequency modulated, FM) για ασύρματη επικοινωνία. Σκοπός της διαμόρφωσης είναι να γίνει δυνατή η μεταφορά ενός μηνύματος, όπως ένα σήμα ομιλίας, πάνω σε ένα άλλο σήμα που να μπορεί να μεταδίδεται με απλό και φυσικό τρόπο. Το σήμα ραδιοσυχνοτήτων, που φέρει την πληροφορία του μηνύματος ονομάζεται *φέρων κύμα*. Τα περισσότερα σήματα μεταδίδονται με τη διαμόρφωση ενός κατάλληλου φέροντος κύματος, επειδή τα διαμορφωμένα σήματα εκπέμπονται ευκολότερα, και η διαμόρφωση επιτρέπει τη συνύπαρξη στον ίδιο γεωγραφικό χώρο πολλών σημάτων με διαφορετικές συχνότητες φέροντος, ώστε να μοιράζονται αποδοτικά το διαθέσιμο ηλεκτρομαγνητικό φάσμα.

Τα παλαιότερα συστήματα ραδιοεπικοινωνίας χρησιμοποιούν αναλογική διαμόρφωση στην οποία το φέρον κύμα παράγεται με κατάλληλη συχνότητα για τη διάδοση και, στη συνέχεια, ένα χαρακτηριστικό αυτού του σήματος μεταβάλλεται σε σχέση με ένα σήμα που περιέχει την πληροφορία η οποία πρέπει να διαβιβαστεί. Κατά τη διαμόρφωση πλάτους, το πλάτος του φέροντος σήματος μεταβάλλεται ανάλογα με το πλάτος του σήματος που έχει την καλούμενη βασική συχνότητα. Κατά τη διαμόρφωση συχνότητας (Chiabrera, Bianco, Moggia, & Kaufman, 2000, Γιαννακόπουλος, 2012), είναι η συχνότητα του φέροντος σήματος που μεταβάλλεται αναλογικά. Υπάρχει και η διαμόρφωση φάσης (phase modulated, PM) που μοιάζει με τη διαμόρφωση συχνότητας, καθόσον, για την προώθηση ή επιβράδυνση των ταλαντώσεων του διαμορφωμένου σήματος, σε σχέση με τον αδιαμόρφωτο φορέα, χρησιμοποιούνται μεταβολές στη συχνότητά του. Το είδος της διαμόρφωσης καθορίζει: (α) την αντοχή στο θόρυβο και την παραμόρφωση, (β) την πιστότητα αναπαραγωγής του αρχικού σήματος πληροφορίας, (γ) το εύρος του απαιτούμενου φάσματος για τη μετάδοση και (δ) την πολυπλοκότητα των συστημάτων εκπομπής και λήψης (AGNIR, 2003).

Αν το σήμα πληροφορίας είναι μια ακολουθία παλμών, τότε η διαμόρφωση μπορεί να είναι είτε ρυθμού μετατόπισης κατά πλάτος (Pulse Amplitude Modulation, PAM),

είτε διαμόρφωση σύμφωνα με την διάρκεια των παλμών (Pulse Width Modulation, PWM), είτε διαμόρφωση σύμφωνα με τη θέση του παλμού (Pulse Position Modulation, PPM). Τα σύγχρονα ψηφιακά συστήματα ραδιοεπικοινωνίας μπορούν να χρησιμοποιήσουν περισσότερους από έναν τύπους διαμόρφωσης στο ίδιο σήμα. Αν το σήμα πληροφορίας είναι μια ακολουθία παλμών, τότε η διαμόρφωση μπορεί να είναι είτε ρυθμού μετατόπισης κατά πλάτους (Amplitude Shift Keying, ASK), είτε ψηφιακή διαμόρφωση συχνότητας (Frequency Shift Keying, FSK), είτε ρυθμική μετατόπιση φάσης (Pulse Shift Keying, PSK). (Ρήγας, 2004) Συνήθως χρησιμοποιείται ένα μίγμα διαμόρφωσης πλάτους και φάσης (AGNIR, 2003, 2012, Γιαννακόπουλος, 2012).

Εύρος ζώνης συχνότητας

Ένα τέλειο ημιτονοειδές κύμα, εάν θεωρηθεί στο πεδίο των συχνοτήτων, θα έχει το σύνολο της ενέργειάς του συμπυκνωμένη σε μία μόνο συχνότητα. Όλοι, όμως, οι ταλαντωτές έχουν μικρές τυχαίες μεταβολές στη συχνότητα που παράγουν, με αποτέλεσμα η ενέργεια του σήματος, στην πράξη, να διαδίδεται σε μία περιοχή συχνοτήτων. Συνήθως, η κατανομή της ενέργειας ως συνάρτηση της συχνότητας έχει τη μορφή καμπύλης Gauss, της οποίας το κύριο χαρακτηριστικό είναι το εύρος ζώνης (συχνοτήτων) ημίσειας ισχύος. Αυτή είναι η διαφορά μεταξύ των δύο συχνοτήτων στις οποίες η ισχύς φασματικής πυκνότητας σήματος (σε Watts ανά Hz) είναι ίση με το μισό της μέγιστης τιμής. Για ένα τυπικό αδιαμόρφωτο σήμα σε συχνότητες τηλεπικοινωνιών το εύρος ζώνης είναι περίπου 1 GHz, αλλά μπορεί να είναι και μόνο μερικές δεκάδες Hz. Η διαμόρφωση αυξάνει αισθητά το εύρος ζώνης του σήματος του φορέα. Παράδειγμα αποτελούν τα σήματα TETRA (Terrestrial Trunked Radio) στα 400 MHz, που έχουν εύρος ζώνης ημίσειας ισχύος περίπου 10 kHz. Σήματα GSM (Global System for Mobile Communications) στα 900/1800 MHz έχουν ευρύτερο εύρος ζώνης της τάξης των 100 kHz, ενώ τα σήματα UMTS (Universal Mobile Telecommunications System), δηλαδή σήματα για 3G (Third generation) κινητά τηλέφωνα, έχουν εύρος ζώνης της τάξης των 4 MHz.

Παλμική εκπομπή

Τα σήματα ραδιοσυχνοτήτων συχνά μεταδίδονται σε μια σειρά από σύντομες ριπές ή παλμούς, όπως σε εφαρμογές ραντάρ. Οι παλμοί των ραντάρ διαρκούν χρονικό διάστημα που είναι πολύ μικρό, σε σύγκριση με το χρονικό διάστημα μεταξύ των παλμών. Τυπική διάρκεια του παλμού μπορεί να είναι ένα μsec (μικροδευτερόλεπτο), ενώ το χρονικό διάστημα μεταξύ των παλμών μπορεί να είναι ένα χιλιοστό του δευτερολέπτου. Το ανιχνευόμενο σήμα προκύπτει από την ανάκλαση του αρχικού σε αντικείμενα, και η απόσταση του κάθε αντικειμένου προσδιορίζεται από το χρονικό διάστημα μεταξύ της εκπομπής του παλμού και της ανίχνευσης του ανακλωμένου. Το χρονικό διάστημα μεταξύ των παλμών πρέπει να διασφαλίζει ότι η ηχώ από το πιο μακρινό αντικείμενο θα επιστρέψει πριν από τη μετάδοση του επόμενου παλμού. Ένα σήμα παλμικά διαμορφωμένο θα έχει (χρονικά) μέση ισχύ, ομοιόμορφα κατανομημένη ισχύ παλμών σε ολόκληρη την περίοδο επανάληψής τους, μικρότερη από τη μέγιστη ισχύ (ισχύς κάθε παλμού) κατά μια ποσότητα γνωστή ως παράγοντας λειτουργίας (duty factor). Παράγοντας λειτουργίας είναι ο λόγος της (χρονικά) μέσης ισχύος, $P_{\text{μεσ}}$, προς τη μέγιστη (στιγμιαία) ισχύ, $P_{\text{μεγ}}$ (Hitchcock & Patterson, 1995).

Μέθοδοι πολλαπλής πρόσβασης

Το φάσμα των ραδιοσυχνοτήτων είναι ένας περιορισμένος πόρος, που πρέπει να μοιράζεται μεταξύ πολλών χρηστών. Η απλούστερη μορφή διαμοιρασμού εμφανίζεται σε ραδιοεπικοινωνιακά συστήματα, όπου στους μεμονωμένους χρήστες έχουν ανατεθεί διαφορετικές φέρουσες συχνότητες για τις μεταδόσεις τους, και οι συχνότητες των σημάτων πληροφορίας δε συμπίπτουν. Αυτό είναι γνωστό ως σύστημα *Πολλαπλής Πρόσβασης με Διαίρεση Συχνότητας* (Frequency Division Multiple Access, FDMA), και είναι η βάση λειτουργίας για τη μετάδοση αναλογικών σημάτων ραδιοσυχνοτήτων ραδιοφώνου και τηλεόρασης, τα οποία διαχωρίζονται ανάλογα με το κανάλι της συχνότητάς τους. Η μέθοδος FDMA ήταν η μορφή της κατανομής των συχνοτήτων που χρησιμοποίησε η πρώτη γενιά (αναλογική) κινητών τηλεφώνων. Αξιοσημείωτο είναι το γεγονός ότι τα συστήματα κινητής τηλεφωνίας, συνήθως, χρησιμοποιούν ξεχωριστές συχνότητες για την ανερχόμενη ζεύξη (από τη συσκευή προς το σταθμό βάσης) και την κατερχόμενη ζεύξης (από

το σταθμό βάσης προς τη συσκευή), γνωστή ως Διπλεξία Διάρεσης Συχνότητας (Frequency Division Duplex, FDD) (AGNIR, 2012).

Μερικά σύγχρονα ψηφιακά συστήματα περιλαμβάνουν αναμεταδότες που εκπέμπουν εκ περιτροπής για κάθε παραλήπτη, ενώ χρησιμοποιούν το ίδιο κανάλι συχνοτήτων. Αυτό σημαίνει ότι τα σήματα από κάθε δεδομένο πομπό είναι διαμορφωμένα παλμικά. Αυτή η μορφή κατανομής των πόρων είναι γνωστή ως *Πολλαπλή Πρόσβαση με Διάρεση Χρόνου* (Time Division Multiple Access, TDMA). Θα πρέπει να τονισθεί ότι, με τα κυψελοειδή δίκτυα ραδιοσυχνοτήτων, τα κινητά τερματικά (συσκευές) είναι αυτά που εκπέμπουν εκ περιτροπής προς τους σταθμούς βάσης, και το σήμα τους μεταδίδεται περιοδικά, ενώ οι σταθμοί βάσης εξυπηρετούν κάθε χρήστη με τη σειρά του και, επομένως, οι σταθμοί εκπέμπουν συνεχώς.

Σήματα από πολλά συστήματα δεύτερης γενιάς κινητής τηλεφωνίας, συμπεριλαμβανομένων των GSM και TETRA, περιλαμβάνουν τη χρήση TDMA συγχρόνως με τη χρήση FDMA. Για το GSM, ένας παλμός 0,58 ms μεταδίδεται κάθε 4,6 ms, με αποτέλεσμα τη διαμόρφωση παλμών σε συχνότητα 217 Hz. Τρίτης γενιάς κινητά τηλέφωνα, μαζί με κάποια δεύτερης γενιάς, χρησιμοποιούν τη μέθοδο της Πολλαπλής Πρόσβασης με Διάρεση Κώδικα (Code Division Multiple Access, CDMA), η οποία επιτρέπει σε πολλούς χρήστες να χρησιμοποιούν ταυτόχρονα το ίδιο κανάλι συχνοτήτων με την επισήμανση του σήματος εκπομπής κάθε χρήστη με ένα συγκεκριμένο σύστημα κωδικοποίησης. Η επικοινωνία, που πραγματοποιείται μεταξύ συσκευής και σταθμού βάσης, χρησιμοποιεί τη μέθοδο FDD, αν και συχνά διατίθεται και η μέθοδος *Διπλεξία Διάρεσης Χρόνου* (Time Division Duplex, TDD). Κάθε μετάδοση είναι συνεχής και δεν υπάρχουν κλασικοί παλμοί, παρόλο που ο περιοδικός έλεγχος της προσαρμογής ισχύος, ο οποίος στόχο έχει να διατηρείται η ισχύς του κάθε κινητού σε επιθυμητό επίπεδο, συμβαίνει με ρυθμό 1500 Hz, και προσδίδει ένα «χρώμα». Κινητά τηλέφωνα τέταρτης γενιάς χρησιμοποιούν τη μέθοδο της *Πολυπλεξίας με Ορθογώνια Διάρεση Συχνότητας* (Orthogonal Frequency Division Multiplexing, OFDM) που ορίζει, δυναμικά, κατάλληλους αριθμούς υπο-φορέων σε κάθε χρήστη, προκειμένου να εξισορροπήσει τη χρήση και να διαμοιράσει τους πόρους των ραδιοσυχνοτήτων (AGNIR, 2012).

Κοντινό πεδίο

Σε γενικές γραμμές, τα πεδία κοντά σε πηγές ραδιοσυχνοτήτων μπορούν να χωριστούν σε δύο συνιστώσες: α) μια που ακτινοβολεί και β) μια που αντιδρά. Η συνιστώσα «ακτινοβολίας» σχετίζεται με το τμήμα του πεδίου που προωθεί την εκπεμπόμενη ενέργεια μακριά από την πηγή, ενώ η συνιστώσα «αντίδρασης» σχετίζεται με το τμήμα του πεδίου που αποθηκεύει ενέργεια και βρίσκεται στην περιοχή γύρω από την πηγή. Η αποθηκευμένη ενέργεια ταλαντεύεται εμπρός και πίσω σε σχέση με την πηγή κατά τη διάρκεια της περιόδου του ημιτονοειδούς κύματος, έτσι ώστε να μη διαφεύγει. Σε ένα χώρο που έχει συγχρόνως συνιστώσες αντίδρασης και ακτινοβολίας, υπάρχει μια καθαρή απώλεια ενέργειας (καθαρή ακτινοβολία) κατά τη διάρκεια της περιόδου των ραδιοκυμάτων (AGNIR, 2003, 2012).

Η αντιδραστική συνιστώσα του πεδίου κυριαρχεί κοντά στην πηγή, στην καλούμενη αντιδραστική περιοχή κοντινού πεδίου, ενώ η συνιστώσα ακτινοβολίας κυριαρχεί σε μεγαλύτερη απόσταση. Μια απόσταση περίπου όση το ένα έκτο του μήκους κύματος, ή $\lambda/2\pi$, από την πηγή, θεωρείται ότι καθορίζει το όριο της αντιδραστικής περιοχής του εγγύς-πεδίου, αν και η αλλαγή στα χαρακτηριστικά του πεδίου παρουσιάζεται βαθμιαία. Υπάρχουν περιπτώσεις κατά τις οποίες το «αντιδραστικό» κοντινό πεδίο έχει ως όριο απόσταση ίση με το ένα δέκατο του μήκους κύματος, $\lambda/10$, από την πηγή, ενώ το μακρινό πεδίο εμφανίζεται πέραν των 3λ, έτσι ώστε η περιοχή μεταξύ αυτών των αποστάσεων να θεωρείται ως ένα πεδίο μεταβατικής κατάστασης.

Εντός του «αντιδραστικού» εγγύς-πεδίου, η χωρική κατανομή του ηλεκτρικού και του μαγνητικού πεδίου είναι ουσιαστικά ανεξάρτητες μεταξύ τους. Το ηλεκτρικό και το μαγνητικό πεδίο δεν είναι σε ορθή γωνία μεταξύ τους, και οι εντάσεις τους δε φθάνουν τις μέγιστες τιμές τους στο ίδιο σημείο στο χώρο. Η κυματική αντίσταση είναι μεγαλύτερη από 377 Ω στο μέρος του (χωρητικού) κοντινού πεδίου, που φαίνεται σαν να παράγεται από πηγή ηλεκτρικού δίπολου, και μικρότερη από 377 Ω, στο μέρος του (επαγωγικού) κοντινού πεδίου, που φαίνεται σαν να παράγεται από πηγή μαγνητικού δίπολου.

Στα 100 kHz το μήκος κύματος στον αέρα είναι περίπου 3 km και η απόσταση $\lambda/2\pi$ είναι περίπου 480 m. Σε συχνότητες τηλεπικοινωνιών όπως τα 900 MHz, το

μήκος κύματος στον αέρα είναι περίπου 33 cm και η απόσταση $\lambda/2\pi$, δηλαδή το εύρος του «αντιδραστικού» κοντινού πεδίου είναι περίπου 5 cm, έτσι ώστε το πεδίο, στο οποίο εκτίθεται ένα άτομο κρατώντας κινητό τηλέφωνο στο πλάι της κεφαλής του, να είναι κυρίως «αντιδραστικού» χαρακτήρα. Αντίθετα η έκθεση σε πεδία από τους πομπούς σταθμών βάσης του περιβάλλοντος και συσκευών ραδιοεπικοινωνίας, που κάποιος κρατά μπροστά του, οφείλεται σε πεδίο που ακτινοβολεί. Για υψηλής ισχύος βιομηχανικές πηγές, που λειτουργούν σε συχνότητες μέχρι μερικά MHz, οι χρήστες είναι εκτεθειμένοι, κατά κύριο λόγο, στο «αντιδραστικό» μέρος του πεδίου.

Το αντιδραστικό μέρος του πεδίου δε συμβάλλει στην απομάκρυνση της ενέργειας, και, η ενέργεια που αποθηκεύεται, μπορεί να απορροφηθεί από το υλικό που θα βρεθεί στο κοντινό πεδίο. Η μέτρηση της έντασης της αντιδραστικής συνιστώσας του πεδίου είναι ιδιαίτερα δύσκολη, δεδομένου ότι η εισαγωγή ενός αισθητήρα μπορεί να αλλάξει σημαντικά τη μορφή του πεδίου.

Πηγές που είναι μεγάλες, σε σχέση με το μήκος κύματος της ακτινοβολίας που εκπέμπουν, έχουν μια περιοχή ακτινοβολίας εγγύς-πεδίου που εκτείνεται πέρα από την «αντιδραστική» συνιστώσα, και το μακρινό πεδίο εκτείνεται από κει και πέρα. Συμβατικά, μια απόσταση περίπου $2D^2 / \lambda$ (όπου D είναι η μεγαλύτερη διάσταση της πηγής ή της κεραίας) λαμβάνεται ως το όριο της συνιστώσας «ακτινοβολίας» της κοντινής - εγγύς περιοχής. Πέρα από αυτή την απόσταση, κάθε μετατόπιση φάσης που θα οφειλόταν σε ακτινοβολία που ξεκινά από διαφορετικά σημεία της πηγής και που θα επηρέαζε την ταυτόχρονη άφιξη της ακτινοβολίας σε ένα σημείο παρατήρησης, θα είχε ως αποτέλεσμα μια διαφορά στη διανυόμενη απόσταση μικρότερη από $\lambda/16$, δηλαδή αρκετά μικρή.

Αποστάσεις μεταξύ $\lambda/2\pi$ (το όριο της «αντιδραστικής» περιοχής του κοντινού πεδίου) και $2D^2/\lambda$ (το όριο της «ακτινοβολούσας» περιοχής του κοντινού πεδίου) σχηματίζουν μια μεταβατική περιοχή όπου κυριαρχεί η «ακτινοβολούσα» συνιστώσα. Στη συχνότητα των 900 MHz η απόσταση $\lambda/2\pi$ (5,3 cm) βρίσκεται πολύ κοντά με την απόσταση $2D^2 / \lambda$ (6 cm) για μια τυπική κεραία ραδιοσυχνοτήτων μήκους 10 cm, δηλαδή η μεταβατική περιοχή είναι στενή (ICNIRP, 2009a). Στη μεταβατική περιοχή, η σύνθετη αντίσταση κύματος μπορεί να θεωρηθεί ίση προς 377 Ω, και η ηλεκτρική και η μαγνητική συνιστώσα του πεδίου μπορούν να

θεωρηθούν κάθετες μεταξύ τους. Η γωνιακή κατανομή των πεδίων εξακολουθεί όμως να μεταβάλλεται με την απόσταση. Κεραίες με έντονα κατευθυντικά χαρακτηριστικά, δηλαδή υψηλές τιμές G (η απολαβή της κεραίας που μετράται σε dB), έχουν περιοχή ακτινοβολούσας εγγύς-πεδίου που εκτείνεται σε μεγάλες αποστάσεις, που υπερβαίνουν κατά πολύ την «αντιδραστική» περιοχή του πεδίου. Για κεραίες τηλεπικοινωνιών, που χρησιμοποιούνται στους σταθμούς βάσης κινητής τηλεφωνίας και έχουν απολαβές ως, περίπου, 20 dB (ντεσιμπέλ, λογαριθμικές μονάδες), η «ακτινοβολούσα» περιοχή του κοντινού πεδίου μπορεί να επεκταθεί ως λίγα μέτρα, ενώ για κεραίες δορυφορικής επικοινωνίας, με πολύ υψηλή απολαβή (περίπου 60 dB), η «ακτινοβολούσα» περιοχή του κοντινού πεδίου επεκτείνεται ως ένα χιλιόμετρο ή και περισσότερο. Απολαβή μεγαλύτερη του ένα - δηλαδή 0 dB- είναι η καθοριστική ιδιότητα ενός ενεργητικού κυκλώματος, ενώ ένα παθητικό κύκλωμα θα έχει απολαβή μικρότερη του ένα (AGNIR, 2003, 2012).

Απόσβεση σήματος και διάδοση πολλαπλών διαδρομών

Η απόσβεση είναι ένα θεμελιώδες χαρακτηριστικό των πεδίων ραδιοσυχνοτήτων στο περιβάλλον, ιδιαίτερα στις σχετικά μεγαλύτερες συχνότητες. Σε γενικές γραμμές, τα ραδιοκύματα ανακλώνται από κτίρια, και άλλες κατασκευές που παρεμβάλλονται, φαινόμενο που οδηγεί σε πολλαπλές διαδρομές του σήματος, που διανύει την απόσταση μεταξύ του πομπού και του δέκτη. Οι συνιστώσες του σήματος που ακολουθούν αυτές τις διαφορετικές διαδρομές ταξιδεύουν διαφορετικές αποστάσεις, και έτσι φθάνουν στο δέκτη σε ελαφρώς διαφορετικούς χρόνους. Επειδή τα μήκη των διαφορετικών διαδρομών, συνήθως, διαφέρουν μεταξύ τους κατά ποσό μεγαλύτερο από το μήκος κύματος (συνήθως περίπου 10 cm στις συχνότητες τηλεπικοινωνιών), οι συνιστώσες του σήματος συνεισφέρουν με τρόπο που ή ενισχύουν ή ελαττώνουν την ένταση του σήματος σε δεδομένη θέση. Συνέπεια της διάδοσης μέσω πολλαπλών διαδρομών είναι ότι δημιουργούνται μεγάλες διακυμάνσεις στην ένταση του πεδίου στο περιβάλλον της κεραίας και για αποστάσεις της τάξης του μήκους κύματος και για μικρά χρονικά διαστήματα (κλάσματα του δευτερολέπτου) (AGNIR, 2012).

Η παρουσία της απόσβεσης λόγω της διάδοσης μέσω πολλαπλών διαδρομών σημαίνει ότι η έκθεση ενός ατόμου είναι γενικά μια δυναμική ποσότητα, ακόμα και

αν το άτομο δεν κινείται. Τα χαρακτηριστικά της απόσβεσης, σε χώρο και χρόνο, πρέπει να λαμβάνονται υπόψη κατά την εκτίμηση της έκθεσης. Συνήθως αντιμετώπιση είναι ο υπολογισμός του μέσου όρου της έκθεσης ως προς το χρόνο και το χώρο, με κατάλληλο τρόπο, ώστε να επιτυγχάνονται μετρήσεις που να μπορούν να επαναληφθούν. Η επίδραση της απόσβεσης είναι αμελητέα σε καταστάσεις στις οποίες υπάρχει μια κυρίαρχη διαδρομή της διάδοσης της ακτινοβολίας από την πηγή προς το άτομο που εκτίθεται.

Πηγές της έκθεσης στην ακτινοβολία

Το ΗΜΠ που δημιουργούνται από φυσικές και τεχνητές πηγές διαφέρουν μεταξύ τους ως προς τη φασματική κατανομή, χαρακτηριστικό που περιπλέκει τη σύγκριση των σχετικών εντάσεων τους. Τα πεδία που παράγονται από φυσικές πηγές έχουν πολύ ευρύτερο φάσμα συχνοτήτων από εκείνο που παράγεται από ανθρωπογενείς πηγές και, προκειμένου να γίνουν συγκρίσεις, είναι αναγκαίο να ορίζεται κάθε φορά ένα πιο συγκεκριμένο (στενό) εύρος ζώνης συχνοτήτων. Σε ένα τυπικό εύρος ζώνης συχνοτήτων που χρησιμοποιείται σε ραδιοφωνικές εκπομπές, π.χ. γύρω από το 1 MHz, η ένταση του τεχνητού πεδίου θα εμφανίζεται αρκετές τάξεις μεγέθους ισχυρότερη από την αντίστοιχη ένταση του φυσικού πεδίου. Αν, όμως, θεωρήσουμε ολόκληρο το εύρος ζώνης 0,1 - 300 GHz, τα φυσικά πεδία μπορεί να φανούν ισχυρότερα από τα πεδία τεχνητής προέλευσης.

Μερικές αντιπροσωπευτικές τιμές εντάσεων τεχνητών πεδίων, στις χαμηλές συχνότητες, είναι:

Ακριβώς κάτω από γραμμές μεταφοράς ηλεκτρικής ενέργειας (25 – 400 kV) :

Ηλεκτρικό πεδίο: 0,3 - 5 kV/m

Μαγνητικό πεδίο: 0,5 - 25 μ T

40 μέτρα από τη γραμμή μεταφοράς:

Ηλεκτρικό πεδίο: 0,01 – 0,5 kV/m

Μαγνητικό πεδίο: 0,01 - 2,0 μ T

Σε γενικές γραμμές, το μαγνητικό πεδίο μειώνεται σε περίπου 0,1 μ T εντός 50 - 100 μέτρων από τη γραμμή μεταφοράς.

Τοπικός μετασχηματιστής τροφοδοσίας:

Ηλεκτρικό πεδίο: λιγότερο από 0,1 kV/m

Μαγνητικό πεδίο: 0,3 μέτρα από το μετασχηματιστή: 1 - 10 μ T

2-3 μέτρα από το μετασχηματιστή: περίπου 0,1 μ T

Μέσα σε ένα σπίτι ή το γραφείο (μακριά από γραμμές μεταφοράς και συσκευές):

Ηλεκτρικό πεδίο: 0,003 - 0,03 kV/m

Μαγνητικό πεδίο: 0,05 - 0,15 μ T

Κοντά σε ηλεκτρικές συσκευές:

Ηλεκτρικό πεδίο: 0,01 - 0,05 kV/m

Μαγνητικό πεδίο: 0,3 μέτρα μακριά: 0,01 - 25 μ T

1,0 μέτρο μακριά: 0,01 – 2,0 μ T

ΗΜΠ εντός του φάσματος 100 kHz έως 300 GHz προκύπτουν από μια ποικιλία τεχνητών πηγών. Τα ισχυρότερα πεδία, στα οποία εκτίθενται οι άνθρωποι προκύπτουν από τη σκόπιμη χρήση των φυσικών ιδιοτήτων των πεδίων, όπως στην επαγωγική θέρμανση (συμπεριλαμβανομένης της βιομηχανικής θέρμανσης των υλικών), στην εξ αποστάσεως ανίχνευση αντικειμένων και συσκευών (αντικλεπτικές συσκευές, ραντάρ, αναγνώριση ραδιοσυχνότητας), στην επικοινωνία (ραδιόφωνο, τηλεόραση, κινητά τηλέφωνα, ασύρματα δίκτυα), στη διάγνωση και τη θεραπεία (MRI, υπερθερμία), στο φούρνο μικροκυμάτων και πολλά άλλα. Υπάρχουν όμως και ακούσια δημιουργούμενα πεδία, όπως εκείνα γύρω από τα ηλεκτρονικά κυκλώματα που χρησιμοποιούνται στο σύγχρονο φωτισμό, τους επεξεργαστές ηλεκτρονικών υπολογιστών και τους διάφορους τύπους κινητήρων. Μεγαλύτερη έκθεση, αλλά για περιορισμένο χρόνο, δέχεται όποιος βρεθεί κοντά σε πηγή, π.χ. σε σταθμό βάσης κινητής τηλεφωνίας.

Στην περιοχή των 100 kHz το ισχυρότερο (φυσικής προέλευσης) πεδίο στην επιφάνεια της Γης δημιουργείται από τους κεραυνούς, των οποίων η βραχύβια μέγιστη ένταση του ηλεκτρικού πεδίου μετρήθηκε στα 5-20 V/m σε απόσταση της τάξης των 30 km και 10 kV/m σε μικρότερη απόσταση (AGNIR, 2012). Σε

συχνότητες υψηλότερες των 30 MHz οι γήινες και εξωγήινες φυσικές πηγές συνεισφέρουν σε μικρό βαθμό στην έκθεση των ανθρώπων σε ΗΜΑ. Η πυκνότητα ισχύος της εξωγήινης συνιστώσας (30 MHz ως 30 GHz εξαιτίας των φυσικών ιδιοτήτων διαπερατότητας του στρώματος της ατμόσφαιρας) είναι της τάξης των $\mu\text{W}/\text{m}^2$, ενώ η αντίστοιχη που πηγάζει από την επιφάνεια της Γης είναι της τάξης των mW/m^2 . Πηγές τεχνητής προέλευσης, όπως κεραίες ραδιοφώνου και τηλεόρασης (3-800 MHz), μπορούν να δημιουργήσουν ένταση ηλεκτρικού πεδίου μέχρι 1500 V/m, ανάλογα με την ισχύ τους, ενώ η ακτινοβολούμενη ενεργός ισχύς τους (effective radiative power) μπορεί να ξεπεράσει τα 500 kW (AGNIR, 2012). Στις συχνότητες της κινητής τηλεφωνίας, σε περιοχές γύρω από σταθμούς βάσης, το 5 με 95% των 3321 μετρήσεων έδωσαν διάμεσες τιμές έντασης ηλεκτρικού πεδίου μέχρι 730 mV/m σε εξωτερικούς χώρους και μέχρι 460 mV/m σε εσωτερικούς χώρους, ενώ οι αντίστοιχες τιμές της πυκνότητας ισχύος ήταν 1400 και 560 $\mu\text{W}/\text{m}^2$ (AGNIR, 2012). Στη Σουηδία, η έκθεση από διάφορες πηγές ραδιοσυχνοτήτων, σε 30 περιοχές της Στοκχόλμης έδωσε τιμές έντασης ηλεκτρικού πεδίου 200-2600 mV/m (Joseph, Verloock, Goeminne, Vermeeren, & Martens, 2010).

Για τη μελέτη των πηγών, είναι χρήσιμο να ορισθούν με σαφήνεια οι έννοιες της εκπομπής, της έκθεσης και της δόσης:

Η **εκπομπή** της πηγής είναι το φυσικό μέγεθος που χαρακτηρίζεται από την εκπεμπόμενη ισχύ, συμπεριλαμβανομένης της φασματικής κατανομής και της πορείας της ακτινοβολίας σε σχέση με το χρόνο. Άλλοι παράγοντες, που χαρακτηρίζουν την εκπομπή, είναι η πόλωση και η γωνιακή κατανομή της ακτινοβολίας στο χώρο. Για πηγές μεγάλων διαστάσεων σε σχέση με την απόστασή τους από την τοποθεσία όπου βρίσκεται το εκτιθέμενο άτομο, για να θεωρηθεί πλήρης η περιγραφή ενός πομπού, είναι απαραίτητο να εξετάζεται η χωρική κατανομή της εκπεμπόμενης ακτινοβολίας από όλα τα σημεία της μάζας της πηγής.

Η **έκθεση** είναι το φυσικό μέγεθος που περιγράφει το ΗΜΠ της πηγής, όπως φτάνει στη θέση στην οποία ένα άτομο μπορεί να είναι παρόν. Η περιγραφή του ΗΜΠ αφορά στην ένταση και την κατεύθυνση της ηλεκτρικής και μαγνητικής συνιστώσας του. Εάν οι τιμές τους διαφέρουν από σημείο σε σημείο του σώματος του εκτιθέμενου ατόμου (μη-ομοιόμορφη έκθεση, επειδή η πηγή είναι πολύ κοντά,

ή έχει ισχυρά κατευθυντικά χαρακτηριστικά), καθίσταται απαραίτητη η μέτρηση του ΗΜΠ σε όλο το χώρο που καταλαμβάνεται από το άτομο. Η έκθεση δεν εξαρτάται μόνο από με την εκπομπή της πηγής και τη γεωμετρική σχέση προς την πηγή (απόσταση, γωνιακή κατεύθυνση), αλλά και από την επίδραση του περιβάλλοντος στο πεδίο της ακτινοβολίας. Περιλαμβάνει, δηλαδή, διαδικασίες, όπως η ανάκλαση, θωράκιση και περίθλαση, οι οποίες μπορούν να τροποποιήσουν τα πεδία σε σημαντικό βαθμό.

Η **δόση** αφορά στα μεγέθη της φυσικής και τις επιδράσεις που εμφανίζονται στο εσωτερικό του σώματος μέσω επαγωγής από το πεδίο έκθεσης. Σε αυτά περιλαμβάνονται η ένταση του ηλεκτρικού και του μαγνητικού πεδίου που δημιουργείται στους ιστούς του σώματος, και ο ρυθμός ειδικής απορρόφησης (specific absorption rate SAR) της ενέργειας της ακτινοβολίας. Ο SAR μπορεί να θεωρηθεί ως ένα μέγεθος μέτρησης του ρυθμού απορροφούμενης δόσης, με βάση το ρυθμό αύξησης της θερμοκρασίας του σώματος. Ο SAR υποδηλώνει το ρυθμό με τον οποίο απορροφάται η ενέργεια ανά μονάδα μάζας του υλικού. Η έκθεση στα πεδία πολύ χαμηλής συχνότητας ELF (extremely low frequency), δηλαδή με συχνότητες κάτω των 100 kHz, σε κανονικές συνθήκες, οδηγεί σε αμελητέα απορρόφηση ενέργειας και δεν παρατηρείται μετρήσιμη αύξηση της θερμοκρασίας του σώματος. Επομένως ο SAR έχει ουσιαστική έννοια κυρίως στην περιοχή των ραδιοσυχνοτήτων.

Όταν τα Η/Μ κύματα συναντούν ένα εμπόδιο, τότε μπορεί μέρος αυτών να ανακλαστεί, να διαθλαστεί, να διαδοθεί μέσω του αντικειμένου ή να απορροφηθεί από το αντικείμενο. Ποια από όλες αυτές τις διαδικασίες θα επικρατήσει και σε τι ποσοστό, εξαρτάται από τη συχνότητα του ΗΜ κύματος, τη γωνία πρόσπτωσης, από το πόσο καλός αγωγός του ηλεκτρισμού είναι το αντικείμενο και ακόμη από το σχήμα του αντικειμένου. Στο σώμα του ανθρώπου, που έχει μέτρια αγωγιμότητα, μπορούν να συμβούν όλα τα παραπάνω.

Οι βασικοί μηχανισμοί μεταφοράς ενέργειας από ένα ΗΜ κύμα σε ένα ζωντανό ιστό είναι οι εξής:

A) Διέγερση των ηλεκτρονίων των ατόμων

B) Εξαναγκασμένη πόλωση των ατόμων και μορίων των ιστών από το ηλεκτρικό πεδίο του κύματος

Γ) Ευθυγράμμιση υπαρχόντων διπόλων ατόμων ή μορίων με το ηλεκτρικό πεδίο του κύματος

Όλοι οι παραπάνω μηχανισμοί δυνητικά μπορούν να οδηγήσουν στην αύξηση της θερμοκρασίας του ιστού.

Επειδή ο SAR ουσιαστικά υποκαθιστά την άνοδο της θερμοκρασίας του ιστού, η συσσωρευόμενη ενέργεια, που εναποτίθεται για σχετικά σύντομο χρονικό διάστημα, είναι πολλές φορές εξίσου σημαντικό μέγεθος, όπως είναι και ο ρυθμός με τον οποίο η ενέργεια εναποτίθεται για χρονικό διάστημα συγκρίσιμο με τον απαιτούμενο χρόνο αντίδρασης θερμορυθμιστικού μηχανισμού. Επειδή οι ιστοί του σώματος είναι αρκετά αγωγιμοί, η ισχύς των ηλεκτρικών πεδίων εντός των ιστών του σώματος είναι, γενικά, πολύ μικρότερη από εκείνη του πεδίου έκθεσης (στο εξωτερικό του σώματος). Ορισμένα, όμως, σημεία του σώματος, όπως ο λαιμός, τα πόδια, οι αγκώνες και η κοιλιακή χώρα, εμφανίζουν ιδιαίτερα αυξημένη απορρόφηση ενέργειας και ο τοπικός SAR παίρνει τιμές πολύ μεγαλύτερες (έως και 10 φορές) από το μέσο SAR ολόκληρου του σώματος. Συνεπώς τα σημεία αυτά πρέπει να χρήζουν ιδιαίτερης προσοχής όσον αφορά στην προστασία τους από την ηλεκτρομαγνητική ενέργεια.

Στις περισσότερες περιπτώσεις, η έννοια της εκπομπής, που οδηγεί σε έκθεση και στη συνέχεια σε δόση, είναι χρήσιμη, αλλά υπάρχουν καταστάσεις στις οποίες η παρουσία ενός εκτεθειμένου ατόμου και η δόση που απορροφά επηρεάζει την εκπομπή της πηγής. Αυτό σημαίνει ότι η ενδιάμεση έννοια της έκθεσης ουσιαστικά δεν μπορεί να απομονωθεί. Η δόση πρέπει να εκτιμάται άμεσα από την εκπομπή της πηγής είτε μέσω υπολογιστικών μοντέλων είτε μέσω μέτρησης των πεδίων στο εσωτερικό του σώματος. Όταν ο τρόπος με τον οποίο μια πηγή ακτινοβολεί επηρεάζεται έντονα από την παρουσία του εκτιθέμενου ατόμου, η πηγή και το εκτεθειμένο άτομο περιγράφονται ως «αμοιβαία συζευγμένα». Ένα κλασικό παράδειγμα τέτοιας περίπτωσης είναι, όταν ένα κινητό τηλέφωνο ακουμπά στο σώμα.

Είναι σημαντικό να γνωρίζουμε ότι, όπως συχνά αναφέρουν ερευνητικές ομάδες, στην περιοχή γύρω από τις πηγές, η ένταση του πεδίου, συνήθως, μεταβάλλεται σε μεγάλο βαθμό, και στιγμιαίες μετρήσεις σε τυχαία σημεία του χώρου μπορεί να μη δίνουν αντιπροσωπευτικές τιμές της έκθεσης. Οι μελέτες συχνά έχουν σχεδιαστεί,

για να εντοπίζονται οι μέγιστες τιμές της έκθεσης που παρατηρείται, π.χ. για τους εργαζόμενους κοντά σε πηγές, ώστε να διερευνηθεί το κατά πόσον οι τιμές δεν υπερβαίνουν τα ισχύοντα όρια έκθεσης.

Απόσβεση σήματος και διάδοση πολλαπλών διαδρομών

Η απόσβεση είναι ένα θεμελιώδες χαρακτηριστικό των πεδίων ραδιοσυχνοτήτων στο περιβάλλον, ιδιαίτερα στις σχετικά μεγαλύτερες συχνότητες. Σε γενικές γραμμές, τα ραδιοκύματα ανακλώνται από κτίρια, και άλλες κατασκευές που παρεμβάλλονται, φαινόμενο που οδηγεί σε πολλαπλές διαδρομές του σήματος, που διανύει την απόσταση μεταξύ του πομπού και του δέκτη. Οι συνιστώσες του σήματος που ακολουθούν αυτές τις διαφορετικές διαδρομές ταξιδεύουν διαφορετικές αποστάσεις, και έτσι φθάνουν στο δέκτη σε ελαφρώς διαφορετικούς χρόνους. Επειδή τα μήκη των διαφορετικών διαδρομών, συνήθως, διαφέρουν μεταξύ τους κατά ποσό μεγαλύτερο από το μήκος κύματος (συνήθως περίπου 10 cm στις συχνότητες τηλεπικοινωνιών), οι συνιστώσες του σήματος συνεισφέρουν με τρόπο που ή ενισχύουν ή ελαττώνουν την ένταση του σήματος σε δεδομένη θέση. Συνέπεια της διάδοσης μέσω πολλαπλών διαδρομών είναι ότι δημιουργούνται μεγάλες διακυμάνσεις στην ένταση του πεδίου στο περιβάλλον της κεραίας και για αποστάσεις της τάξης του μήκους κύματος και για μικρά χρονικά διαστήματα (κλάσματα του δευτερολέπτου) (AGNIR, 2012).

Η παρουσία της απόσβεσης λόγω της διάδοσης μέσω πολλαπλών διαδρομών σημαίνει ότι η έκθεση ενός ατόμου είναι γενικά μια δυναμική ποσότητα, ακόμα και αν το άτομο δεν κινείται. Τα χαρακτηριστικά της απόσβεσης, σε χώρο και χρόνο, πρέπει να λαμβάνονται υπόψη κατά την εκτίμηση της έκθεσης. Συνήθης αντιμετώπιση είναι ο υπολογισμός του μέσου όρου της έκθεσης ως προς το χρόνο και το χώρο, με κατάλληλο τρόπο, ώστε να επιτυγχάνονται μετρήσεις που να μπορούν να επαναληφθούν. Η επίδραση της απόσβεσης είναι αμελητέα σε καταστάσεις στις οποίες υπάρχει μια κυρίαρχη διαδρομή της διάδοσης της ακτινοβολίας από την πηγή προς το άτομο που εκτίθεται.

ΥΛΙΚΟ ΚΑΙ ΜΕΘΟΛΟΓΙΑ

Μεθοδολογία

Χρησιμοποιήσαμε το μηχάνημα NARDA SMR-3006 για να μετρήσουμε την ακτινοβολία σε συσκευές κινητής τηλεφωνίας διαφόρων τύπων και παρόχων. Για να μετρήσουμε την ακτινοβολία χρησιμοποιήσαμε διάφορα μοντέλα κινητών και τρεις διαφορετικούς παρόχους (COSMOTE, VODAFONE ΚΑΙ WIND). Αρχικά τοποθετούσαμε το κινητό σε απόσταση 0 μέτρων από το NARDA SMR-3006 και μετρούσαμε την ακτινοβολία του κινητού σε αδράνεια. Ακολούθως μετρούσαμε την ακτινοβολία του κινητού χωρίς συνομιλία και ενεργοποίηση δεδομένων κινητής τηλεφωνίας.

Στην συνέχεια πήραμε μετρήσεις κατά την διάρκεια κλήσης με συνομιλία στα 2,5 λεπτά και στα 5 λεπτά. Μώλις έκλεινε η κλήση πέραμαε ακόμα μια μέτρηση. Τέλος πέραμαε μετρήσεις κατά την ενεργοποίηση δεδομένων κινητής τηλεφωνίας όταν δεν βρίσκονταν σε ιστότοπο και όταν βρισκόταν. Αυτές τις μετρήσεις τις επαναλαμβάναμε αντιστοίχως και σε απόσταση 1 μέτρου. Από το μηχάνημα πέραμαε τις γραφικές για κάθε μέτρηση. Στις γραφικές ο οριζόντιος άξονας είναι ο άξονας των συχνοτήτων (ρυθμισμένο από εμάς από την μπάντα των 1,6 GHz έως αυτή των 2,3 GHz μιας και εκεί εκπέμπουν τα κινητά) ενώ, ο κάθετος άξονας είναι αυτός των λογαριθμικών τιμών του ηλεκτρικού πεδίου που έχει έξοδο το NARDA (σε V/m).

Όλες οι μετρήσεις έγιναν στην ίδια τοποθεσία χωρίς άμεση παρεμβολή άλλων σημάτων.

Τύποι κινητών τηλεφώνων

Τα περισσότερα κινητά τηλέφωνα στην Ευρώπη χρησιμοποιούν τις συχνότητες που αντιστοιχούν στο GSM900, GSM1800 ή UMTS, η οποία αποτελεί και την τελευταία λέξη της τεχνολογίας και αντιστοιχεί σε συχνότητα 1900-2200 MHz. Η ακτινοβολία που λαμβάνουμε από ένα κινητό τηλέφωνο εξαρτάται από διάφορους παράγοντες όπως τα χαρακτηριστικά της συσκευής, τον τύπο και τη θέση της

κεραίας, την απόσταση και τον τρόπο με τον οποίο χρησιμοποιείται το κινητό, τη θέση σχετικά με το κυψελωτό δίκτυο, αν ο χρήστης βρίσκεται σε κίνηση (για παράδειγμα, μέσα σε ένα αυτοκίνητο) και το σημαντικότερο, ο προσαρμοστικός έλεγχος ισχύος, η οποία μπορεί να μειώσει το εκπεμπόμενο δύναμη κατά τάξεις μεγέθους (μέχρι ένα συντελεστή 1.000). Επισημαίνεται ότι σε περιοχές όπου υπάρχουν πολλοί χρήστες κινητών τηλεφώνων, τα κινητά τηλέφωνα μπορούν να λειτουργήσουν σε μέγιστη ισχύ για πολύ μεγάλο χρονικό διάστημα. Στο εσωτερικό των κτιρίων, τα επίπεδα ισχύος των κινητών τηλεφώνων είναι κατά μέσο όρο υψηλότερα από εξωτερικές αναλογίες, λόγω των υλικών κατασκευής. (SCENIHR 2007, Ahlbom 2004).

Τηλέφωνα σε αναμονή

Ένα τηλέφωνο GSM σε λειτουργία «αναμονής» (stand-by) είναι ενεργό μόνο κατά τη διάρκεια της ενημέρωσης για τη θέση του στο δίκτυο. Όταν το τηλέφωνο δεν κινείται, η συχνότητα ενημέρωσης καθορίζεται από το διαχειριστή του δικτύου και είναι συνήθως κάθε 2 - 5 ώρες, ενώ το σήμα έχει τη μορφή σειράς σύντομων ριπών για χρονικό διάστημα περίπου 2 δευτερολέπτων. Όταν το τηλέφωνο είναι σε κίνηση, η ενημέρωση συμβαίνει με καθένα από τους σταθμούς βάσης της πορείας του. Μεταξύ των ενημερώσεων, το κινητό τηλέφωνο είναι ένας παθητικός δέκτης με μηδενική εκπομπή ραδιοσυχνοτήτων.

Οι Urbinello και Rösli (Urbinello & Roosli, 2013) μελέτησαν την συμπεριφορά από τηλέφωνα GSM και UMTS (dualband και quad-band) σε κατάσταση αναμονής κατά τη διάρκεια μετακινήσεων με δημόσια μέσα μεταφοράς, όπως λεωφορεία και τρένα, αλλά και αυτοκίνητα. Εκτός της επιβεβαίωσης ότι τα σήματα «ενημέρωσης» είναι πολύ πιο συχνά κατά τη μετακίνηση, οι ερευνητές διαπίστωσαν ότι κάθε άτομο, εκτίθεται σε μεγάλα ποσά ακτινοβολίας λόγω της μαζικότητας των κινητών τηλεφώνων. Το αποτέλεσμα ήταν ότι η έκθεση σε UMTS ήταν σημαντικά χαμηλότερη από την αντίστοιχη GSM και ότι το Quadband τηλέφωνο φαίνεται να χρησιμοποιεί τόσο τη GSM όσο και την UMTS συχνότητα κατά την ενημέρωση της θέσης.

Τα σημερινά smartphones μεταδίδουν για περισσότερο χρόνο από όσο τα συνηθισμένα κινητά τηλέφωνα, διότι απαιτείται συγχρονισμός δεδομένων, όπως, για παράδειγμα, συμβαίνει με τα μηνύματα ηλεκτρονικού ταχυδρομείου, ο οποίος συγχρονισμός πραγματοποιείται με απομακρυσμένους διακομιστές. Βέβαια, το τηλέφωνο είναι απίθανο να βρίσκεται κοντά στην κεφαλή κατά την εκτέλεση αυτών των υπηρεσιών, αλλά μπορεί να είναι στην τσέπη, ή αλλού κοντά στο σώμα, και εκείνο το μέρος του σώματος θα εκτεθεί σε αρκετά ισχυρό πεδίο, όπως, π.χ. κατά τη διάρκεια χρήσης εφαρμογών με σύνδεση στο διαδίκτυο (General packet radio service, GPRS).

ΑΠΟΤΕΛΕΣΜΑΤΑ

Οι ενδείξεις που λάβαμε από τις παραπάνω μετρήσεις των κινητών τηλεφώνων είναι πολύ χαμηλότερες από τα 61 V/m, που είναι τα ανώτατα όρια για το ευρύ κοινό, τα οποία έχουν τεθεί από τον ICNPR (ICNPR 1998) και εξαρτώνται από την απόσταση. Ωστόσο, θα πρέπει να προβληματιστούμε γιατί ορισμένες δημοσιευμένες μελέτες (Wangetal 2006; Dimbylow και Bolch 2007) έδειξαν ότι στο εύρος συχνοτήτων του συντονισμού του σώματος (100 MHz) και από 1 έως 4 GHz για σώματα κοντύτερα του 1,3 μέτρων (δηλαδή για παιδιά περίπου οκτώ ετών) τα συνιστώμενα επίπεδα αναφοράς που επηρεάζουν το SAR θα μπορούσαν να είναι και 40% υψηλότερα από τα βασικά στις χειρότερες συνθήκες (Hardell 2008; Petridouetal 1977).

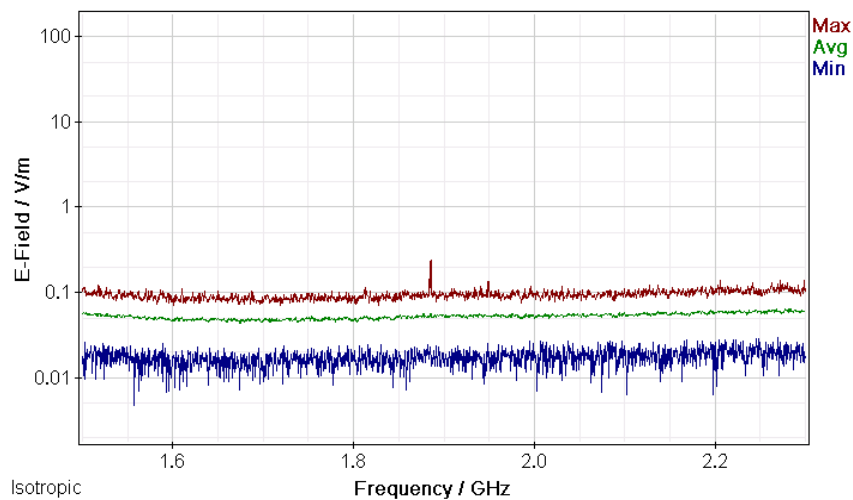
ΣΥΜΠΕΡΑΣΜΑΤΑ

Συμπερασματικά, τ' αποτελέσματα της παραπάνω μελέτης δείχνουν ότι μπορεί να λαμβάνουμε σχετικά χαμηλή ακτινοβολία από τα κινητά τηλέφωνα ωστόσο, λόγω συγκεκριμένων παραγόντων όπως η κατάχρησή τους, οι διάφορες συνθήκες οι οποίες να αυξάνουν την ακτινοβολία, η συσσωρευμένη ακτινοβολία που δεχόμαστε καθημερινά απ' όλες σχεδόν τις συσκευές και ότι είναι η μόνη συσκευή από αυτές που εκπέμπει ακτινοβολία την οποία την τοποθετούμε κατευθείαν στο κεφάλι μας δεν θα πρέπει να περάσει απαρατήρητη.

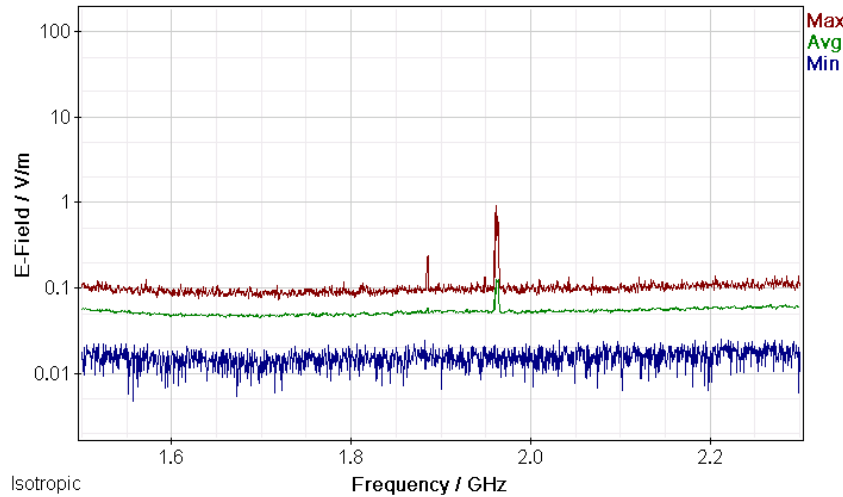
ΠΑΡΑΡΤΗΜΑ

ΠΑΡΑΡΤΗΜΑ 1

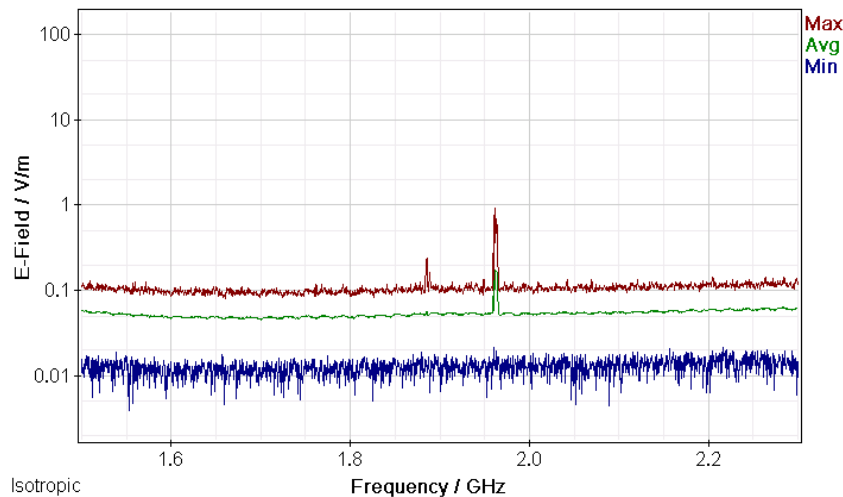
Μετρήσεις διακυμάνσεων (α) ελάχιστης (Min), (β) μέσης (Avg) και (γ) μέγιστης (Max) έντασης ηλεκτρικού πεδίου (E-Field) ως συνάρτηση της συχνότητας (Frequency) του πεδίου για μετρήσεις με οργαολογία τύπου NARDA SMR-3006 σε συσκευές κινητής τηλεφωνίας διαφόρων τύπων και παρόχων σε απόσταση 0 m από την κεραία των συσκευών.



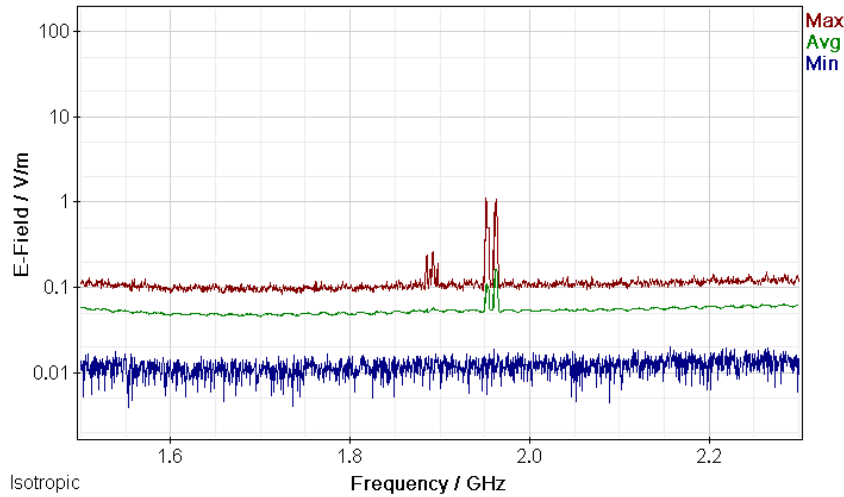
Σχήμα 1: Διακυμάνσεις (α) ελάχιστης (Min), (β) μέσης (Avg) και (γ) μέγιστης (Max) έντασης ηλεκτρικού πεδίου (E-Field) ως συνάρτηση της συχνότητας (Frequency) του πεδίου για μετρήσεις με οργαολογία τύπου NARDA SMR-3006 σε συσκευή κινητής τηλεφωνίας τύπου IPHONE 5S και παρόχου COSMOTE σε απόσταση 0m από την κεραία της συσκευής κατά τη διάρκεια αναμονής χρήσης της συσκευής και χωρίς την ενεργοποίηση δεδομένων κινητής τηλεφωνίας.



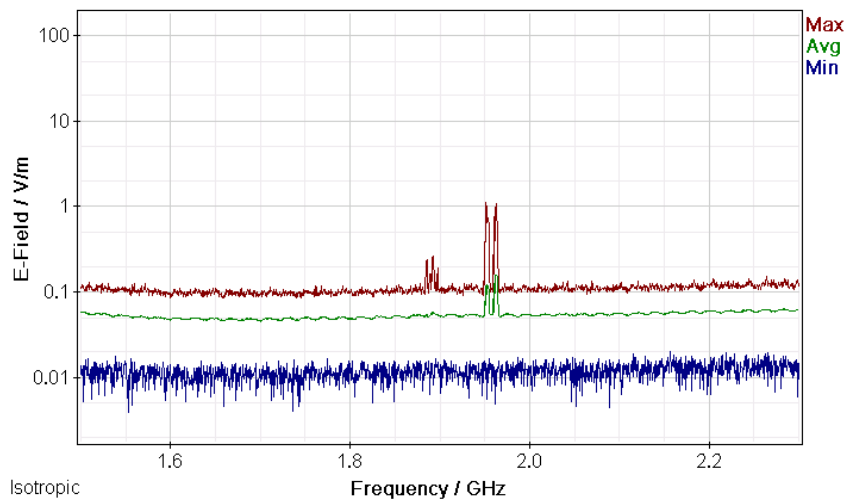
Σχήμα 2: Διακυμάνσεις (α) ελάχιστης (Min), (β) μέσης (Avg) και (γ) μέγιστης (Max) έντασης ηλεκτρικού πεδίου (E-Field) ως συνάρτηση της συχνότητας (Frequency) του πεδίου για μετρήσεις με οργανολογία τύπου NARDA SMR-3006 σε συσκευή κινητής τηλεφωνίας τύπου IPHONE 5S και παρόχου COSMOTE σε απόσταση 0m από την κεραία της συσκευής κατά τη διάρκεια κλήσης χωρίς συνομιλία και ενεργοποίηση δεδομένων κινητής τηλεφωνίας .



Σχήμα 3: Διακυμάνσεις (α) ελάχιστης (Min), (β) μέσης (Avg) και (γ) μέγιστης (Max) έντασης ηλεκτρικού πεδίου (E-Field) ως συνάρτηση της συχνότητας (Frequency) του πεδίου για μετρήσεις με οργανολογία τύπου NARDA SMR-3006 σε συσκευή κινητής τηλεφωνίας τύπου IPHONE 5S και παρόχου COSMOTE σε απόσταση 0m από την κεραία της συσκευής κατά τη διάρκεια συνομιλίας δυόμιση λεπτών χωρίς ενεργοποίηση δεδομένων κινητής τηλεφωνίας.

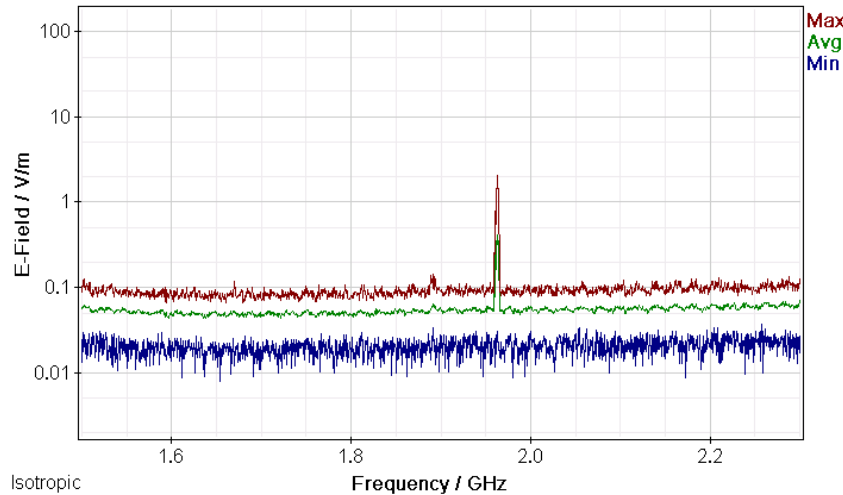


Σχήμα 4: Διακυμάνσεις (α) ελάχιστης (Min), (β) μέσης (Avg) και (γ) μέγιστης (Max) έντασης ηλεκτρικού πεδίου (E-Field) ως συνάρτηση της συχνότητας (Frequency) του πεδίου για μετρήσεις με οργανολογία τύπου NARDA SMR-3006 σε συσκευή κινητής τηλεφωνίας τύπου IPHONE 5S και παρόχου COSMOTE σε απόσταση 0m από την κεραία της συσκευής κατά τη διάρκεια πεντάλεπτης συνομιλίας χωρίς ενεργοποίηση δεδομένων κινητής τηλεφωνίας.

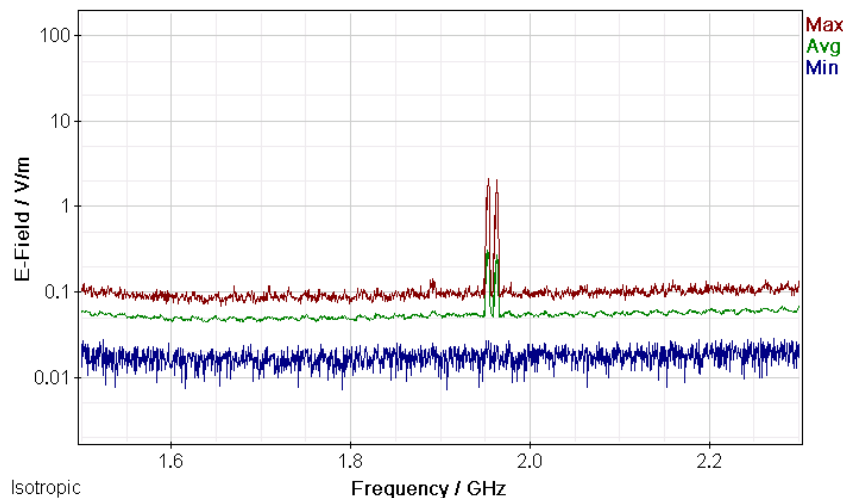


Σχήμα 5: Διακυμάνσεις (α) ελάχιστης (Min), (β) μέσης (Avg) και (γ) μέγιστης (Max) έντασης ηλεκτρικού πεδίου (E-Field) ως συνάρτηση της συχνότητας (Frequency) του πεδίου για μετρήσεις με οργανολογία τύπου NARDA SMR-3006 σε συσκευή κινητής τηλεφωνίας τύπου IPHONE 5S και παρόχου COMOTE σε απόσταση 0m από την κεραία της συσκευής κατά τη διάρκεια τερματισμού της κλήσης χωρίς ενεργοποίηση δεδομένων κινητής τηλεφωνίας.

ΜΕΛΕΤΗ Η/Μ ΔΙΑΤΑΡΑΧΩΝ ΚΙΝΗΤΗΣ ΤΗΛΕΦΩΝΙΑΣ



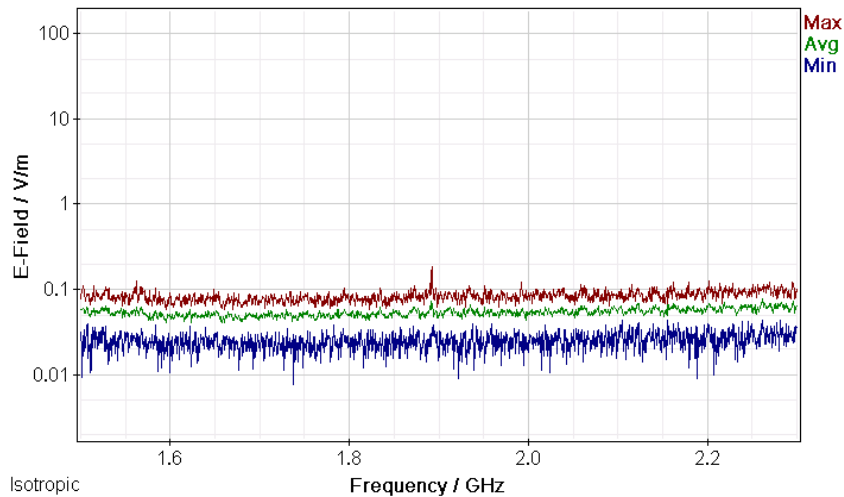
Σχήμα 6: Διακυμάνσεις (α) ελάχιστης (Min), (β) μέσης (Avg) και (γ) μέγιστης (Max) έντασης ηλεκτρικού πεδίου (E-Field) ως συνάρτηση της συχνότητας (Frequency) του πεδίου για μετρήσεις με οργάνολογία τύπου NARDA SMR-3006 σε συσκευή κινητής τηλεφωνίας τύπου IPHONE 5S και παρόχου COSMOTE σε απόσταση 0m από την κεραία της συσκευής κατά τη διάρκεια αναμονής χρήσης της συσκευής με ενεργοποίηση των δεδομένων κινητής τηλεφωνίας χωρίς πρόσβαση στον παγώσιμο ιστό.



Σχήμα 7: Διακυμάνσεις (α) ελάχιστης (Min), (β) μέσης (Avg) και (γ) μέγιστης (Max) έντασης ηλεκτρικού πεδίου (E-Field) ως συνάρτηση της συχνότητας (Frequency) του πεδίου για μετρήσεις με οργάνολογία τύπου NARDA SMR-3006 σε συσκευή κινητής τηλεφωνίας τύπου IPHONE 5S και παρόχου COSMOTE σε απόσταση 0m από την κεραία της συσκευής κατά τη διάρκεια αναμονής χρήσης της συσκευής με ενεργοποίηση των δεδομένων κινητής τηλεφωνίας και αναζήτησης δεδομένων στον παγώσιμο ιστό.

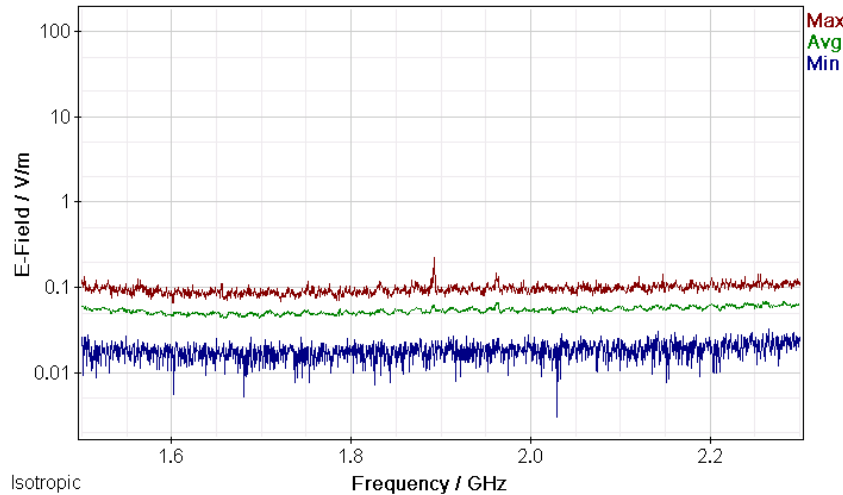
ΠΑΡΑΡΤΗΜΑ 2

Μετρήσεις διακυμάνσεων (α) ελάχιστης (Min), (β) μέσης (Avg) και (γ) μέγιστης (Max) έντασης ηλεκτρικού πεδίου (E-Field) ως συνάρτηση της συχνότητας (Frequency) του πεδίου για μετρήσεις με οργάνολογία τύπου NARDA SMR-3006 σε συσκευές κινητής τηλεφωνίας διαφόρων τύπων και παρόχων σε απόσταση 1 m από την κεραία των συσκευών.

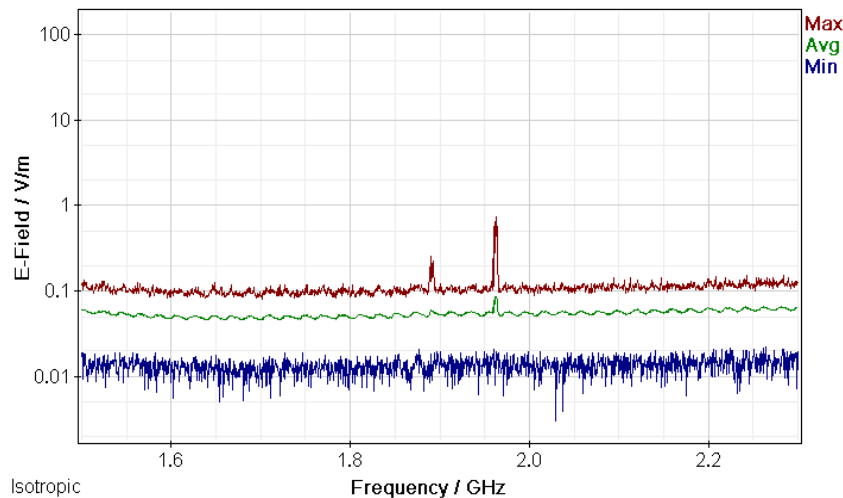


Σχήμα 8: Διακυμάνσεις (α) ελάχιστης (Min), (β) μέσης (Avg) και (γ) μέγιστης (Max) έντασης ηλεκτρικού πεδίου (E-Field) ως συνάρτηση της συχνότητας (Frequency) του πεδίου για μετρήσεις με οργάνολογία τύπου NARDA SMR-3006 σε συσκευή κινητής τηλεφωνίας τύπου IPHONE 5S και παρόχου COSMOTE σε απόσταση 1m από την κεραία της συσκευής κατά τη διάρκεια αναμονής χρήσης της συσκευής και χωρίς την ενεργοποίηση δεδομένων κινητής τηλεφωνίας.

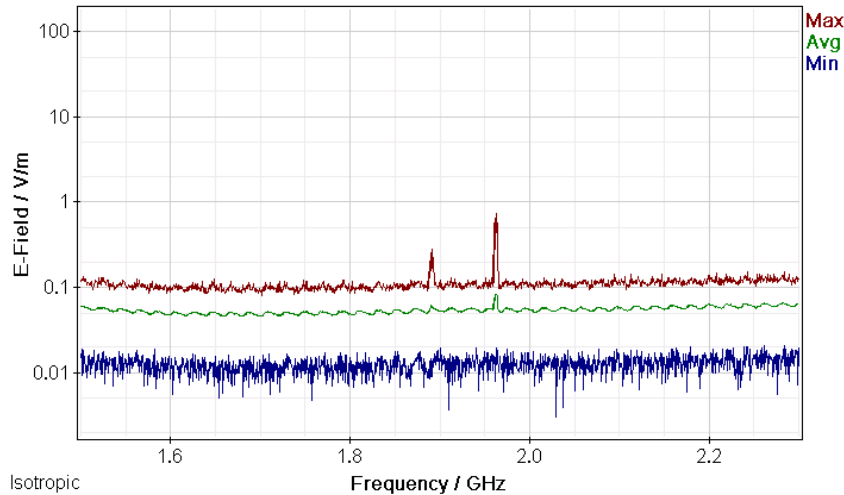
ΜΕΛΕΤΗ Η/Μ ΔΙΑΤΑΡΑΧΩΝ ΚΙΝΗΤΗΣ ΤΗΛΕΦΩΝΙΑΣ



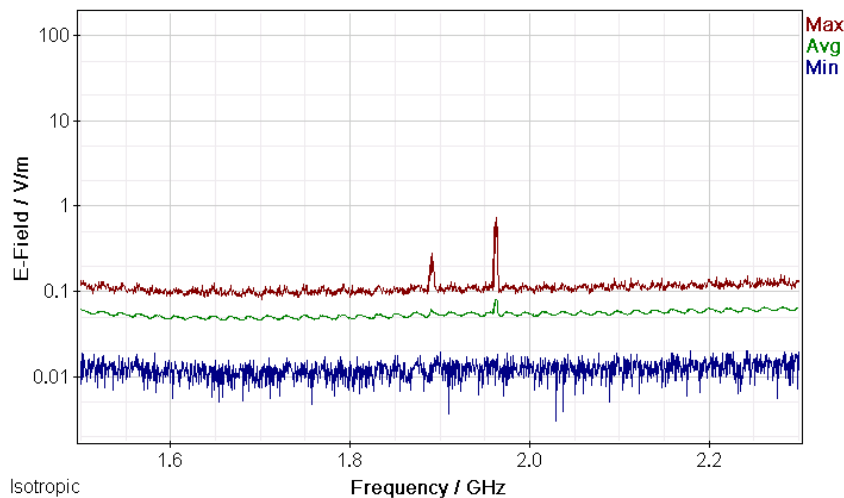
Σχήμα 9: Διακυμάνσεις (α) ελάχιστης (Min), (β) μέσης (Avg) και (γ) μέγιστης (Max) έντασης ηλεκτρικού πεδίου (E-Field) ως συνάρτηση της συχνότητας (Frequency) του πεδίου για μετρήσεις με οργάνολογία τύπου NARDA SMR-3006 σε συσκευή κινητής τηλεφωνίας τύπου IPHONE 5S και παρόχου COSMOTE σε απόσταση 1m από την κεραία της συσκευής κατά τη διάρκεια κλήσης χωρίς συνομιλία και ενεργοποίηση δεδομένων κινητής τηλεφωνίας .



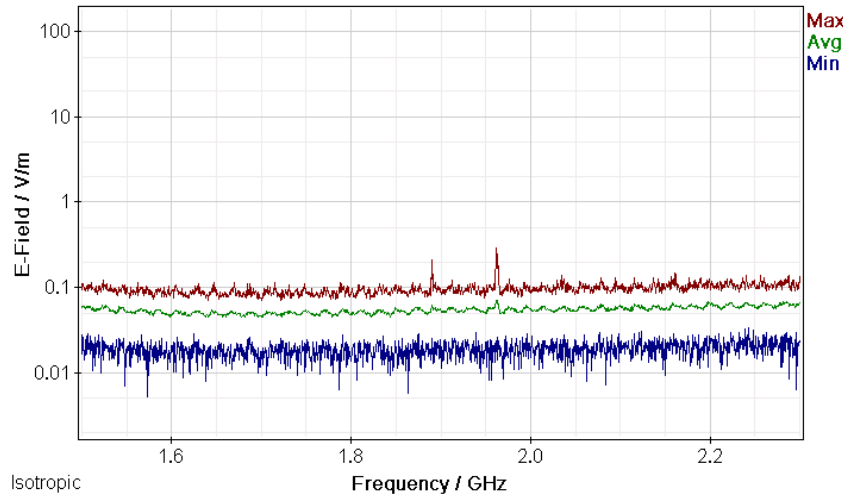
Σχήμα 10: Διακυμάνσεις (α) ελάχιστης (Min), (β) μέσης (Avg) και (γ) μέγιστης (Max) έντασης ηλεκτρικού πεδίου (E-Field) ως συνάρτηση της συχνότητας (Frequency) του πεδίου για μετρήσεις με οργάνολογία τύπου NARDA SMR-3006 σε συσκευή κινητής τηλεφωνίας τύπου IPHONE 5S και παρόχου COSMOTE σε απόσταση 1m από την κεραία της συσκευής κατά τη διάρκεια συνομιλίας δυόμιση λεπτών χωρίς ενεργοποίηση δεδομένων κινητής τηλεφωνίας.



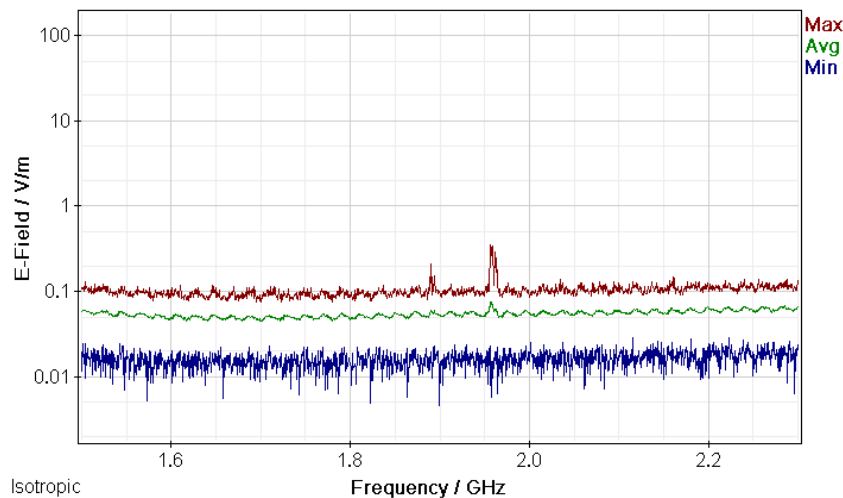
Σχήμα 11: Διακυμάνσεις (α) ελάχιστης (Min), (β) μέσης (Avg) και (γ) μέγιστης (Max) έντασης ηλεκτρικού πεδίου (E-Field) ως συνάρτηση της συχνότητας (Frequency) του πεδίου για μετρήσεις με οργανολογία τύπου NARDA SMR-3006 σε συσκευή κινητής τηλεφωνίας τύπου IPHONE 5S και παρόχου COSMOTE σε απόσταση 1m από την κεραία της συσκευής κατά τη διάρκεια πεντάλεπτης συνομιλίας χωρίς ενεργοποίηση δεδομένων κινητής τηλεφωνίας.



Σχήμα 12: Διακυμάνσεις (α) ελάχιστης (Min), (β) μέσης (Avg) και (γ) μέγιστης (Max) έντασης ηλεκτρικού πεδίου (E-Field) ως συνάρτηση της συχνότητας (Frequency) του πεδίου για μετρήσεις με οργανολογία τύπου NARDA SMR-3006 σε συσκευή κινητής τηλεφωνίας τύπου IPHONE 5S και παρόχου COSMOTE σε απόσταση 1m από την κεραία της συσκευής κατά τη διάρκεια τερματισμού της κλήσης χωρίς ενεργοποίηση δεδομένων κινητής τηλεφωνίας.



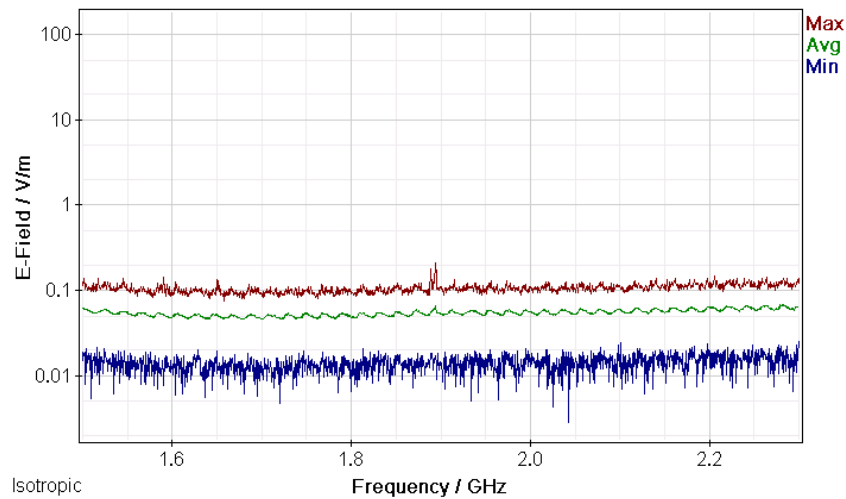
Σχήμα 13: Διακυμάνσεις (α) ελάχιστης (Min), (β) μέσης (Avg) και (γ) μέγιστης (Max) έντασης ηλεκτρικού πεδίου (E-Field) ως συνάρτηση της συχνότητας (Frequency) του πεδίου για μετρήσεις με οργάνολογία τύπου NARDA SMR-3006 σε συσκευή κινητής τηλεφωνίας τύπου IPHONE 5S και παρόχου COSMOTE σε απόσταση 1m από την κεραία της συσκευής κατά τη διάρκεια αναμονής χρήσης της συσκευής με ενεργοποίηση των δεδομένων κινητής τηλεφωνίας χωρίς πρόσβαση στον παγώσιμο ιστό.



Σχήμα 14: Διακυμάνσεις (α) ελάχιστης (Min), (β) μέσης (Avg) και (γ) μέγιστης (Max) έντασης ηλεκτρικού πεδίου (E-Field) ως συνάρτηση της συχνότητας (Frequency) του πεδίου για μετρήσεις με οργάνολογία τύπου NARDA SMR-3006 σε συσκευή κινητής τηλεφωνίας τύπου IPHONE 5S και παρόχου COSMOTE σε απόσταση 1m από την κεραία της συσκευής κατά τη διάρκεια αναμονής χρήσης της συσκευής με ενεργοποίηση των δεδομένων κινητής τηλεφωνίας και αναζήτησης δεδομένων στον παγώσιμο ιστό.

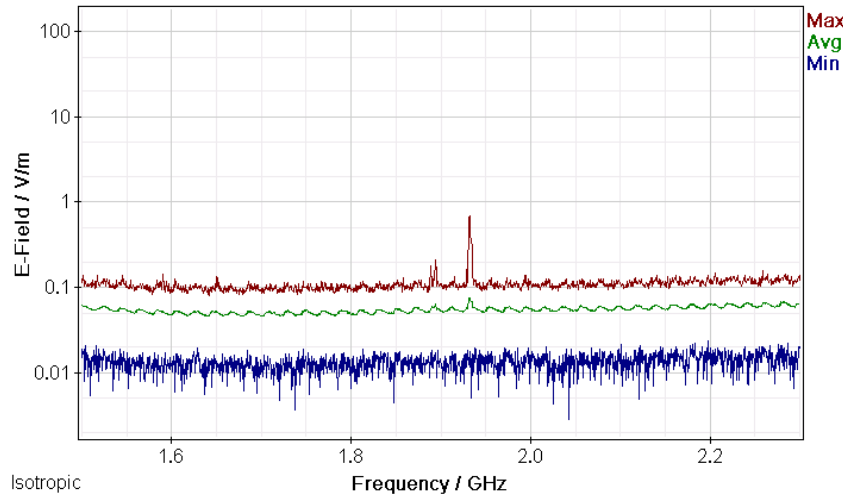
ΠΑΡΑΡΤΗΜΑ 1

Μετρήσεις διακυμάνσεων (α) ελάχιστης (Min), (β) μέσης (Avg) και (γ) μέγιστης (Max) έντασης ηλεκτρικού πεδίου (E-Field) ως συνάρτηση της συχνότητας (Frequency) του πεδίου για μετρήσεις με οργάνολογία τύπου NARDA SMR-3006 σε συσκευές κινητής τηλεφωνίας διαφόρων τύπων και παρόχων σε απόσταση 0 m από την κεραία των συσκευών.

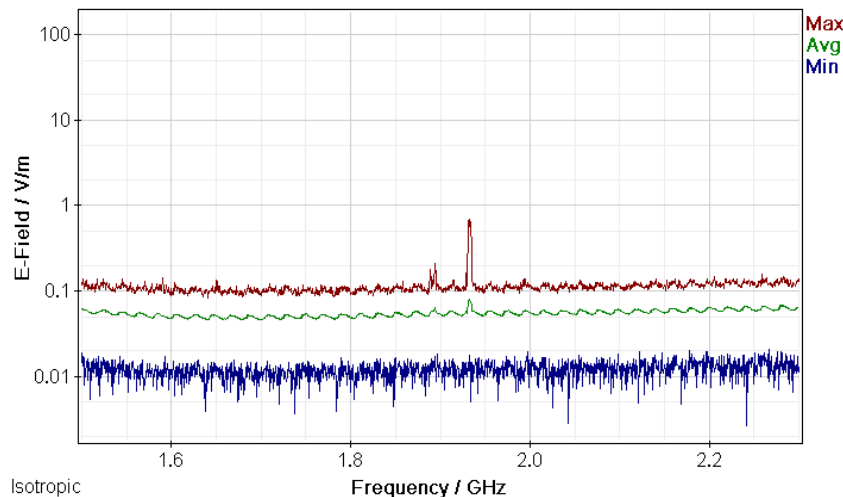


Σχήμα 15: Διακυμάνσεις (α) ελάχιστης (Min), (β) μέσης (Avg) και (γ) μέγιστης (Max) έντασης ηλεκτρικού πεδίου (E-Field) ως συνάρτηση της συχνότητας (Frequency) του πεδίου για μετρήσεις με οργάνολογία τύπου NARDA SMR-3006 σε συσκευή κινητής τηλεφωνίας τύπου IPHONE 5S και παρόχου VODAFONE σε απόσταση 0m από την κεραία της συσκευής κατα τη διάρκεια αναμονής χρήσης της συσκευής και χωρίς την ενεργοποίηση δεδομένων κινητής τηλεφωνίας.

ΜΕΛΕΤΗ Η/Μ ΔΙΑΤΑΡΑΧΩΝ ΚΙΝΗΤΗΣ ΤΗΛΕΦΩΝΙΑΣ

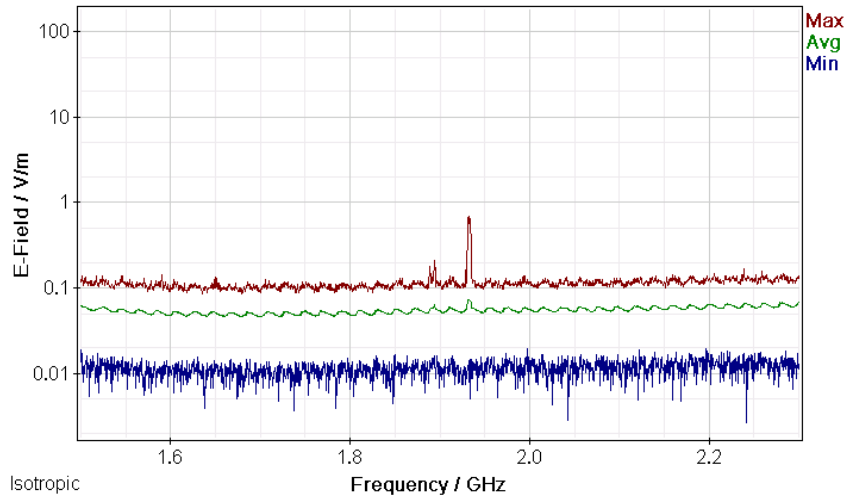


Σχήμα 16: Διακυμάνσεις (α) ελάχιστης (Min), (β) μέσης (Avg) και (γ) μέγιστης (Max) έντασης ηλεκτρικού πεδίου (E-Field) ως συνάρτηση της συχνότητας (Frequency) του πεδίου για μετρήσεις με οργανολογία τύπου NARDA SMR-3006 σε συσκευή κινητής τηλεφωνίας τύπου IPHONE 5S και παρόχου VODAFONE σε απόσταση 0m από την κεραία της συσκευής κατά τη διάρκεια κλήσης χωρίς συνομιλία και ενεργοποίηση δεδομένων κινητής τηλεφωνίας .

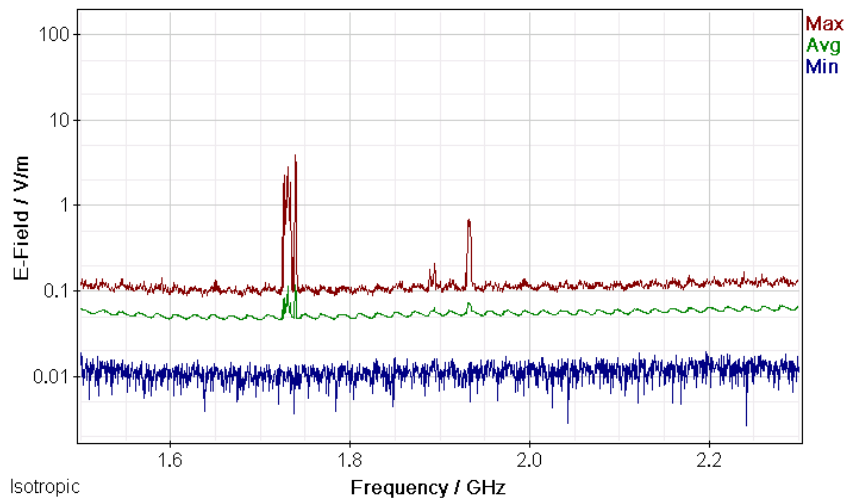


Σχήμα 17: Διακυμάνσεις (α) ελάχιστης (Min), (β) μέσης (Avg) και (γ) μέγιστης (Max) έντασης ηλεκτρικού πεδίου (E-Field) ως συνάρτηση της συχνότητας (Frequency) του πεδίου για μετρήσεις με οργανολογία τύπου NARDA SMR-3006 σε συσκευή κινητής τηλεφωνίας τύπου IPHONE 5S και παρόχου VODAFONE σε απόσταση 0m από την κεραία της συσκευής κατά τη διάρκεια συνομιλίας δύομιση λεπτών χωρίς ενεργοποίηση δεδομένων κινητής τηλεφωνίας.

ΜΕΛΕΤΗ Η/Μ ΔΙΑΤΑΡΑΧΩΝ ΚΙΝΗΤΗΣ ΤΗΛΕΦΩΝΙΑΣ

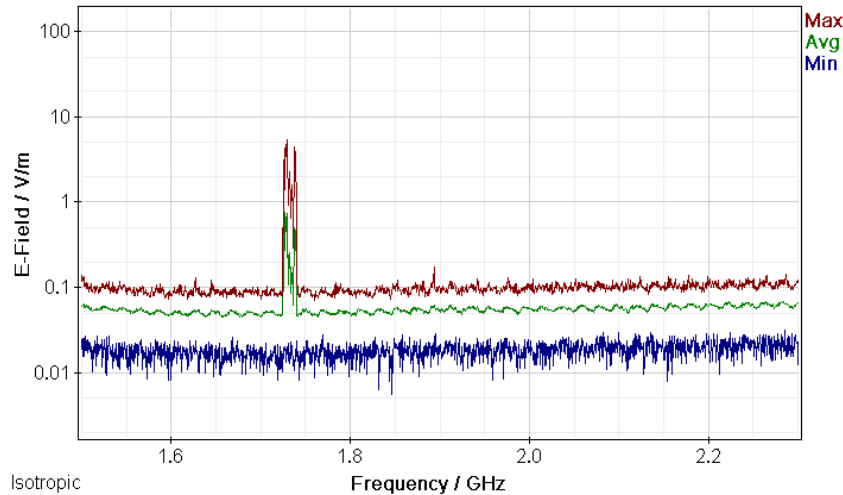


Σχήμα 18: Διακυμάνσεις (α) ελάχιστης (Min), (β) μέσης (Avg) και (γ) μέγιστης (Max) έντασης ηλεκτρικού πεδίου (E-Field) ως συνάρτηση της συχνότητας (Frequency) του πεδίου για μετρήσεις με οργάνολογία τύπου NARDA SMR-3006 σε συσκευή κινητής τηλεφωνίας τύπου IPHONE 5S και παρόχου VODAFONE σε απόσταση 0m από την κεραία της συσκευής κατά τη διάρκεια πεντάλεπτης συνομιλίας χωρίς ενεργοποίηση δεδομένων κινητής τηλεφωνίας.

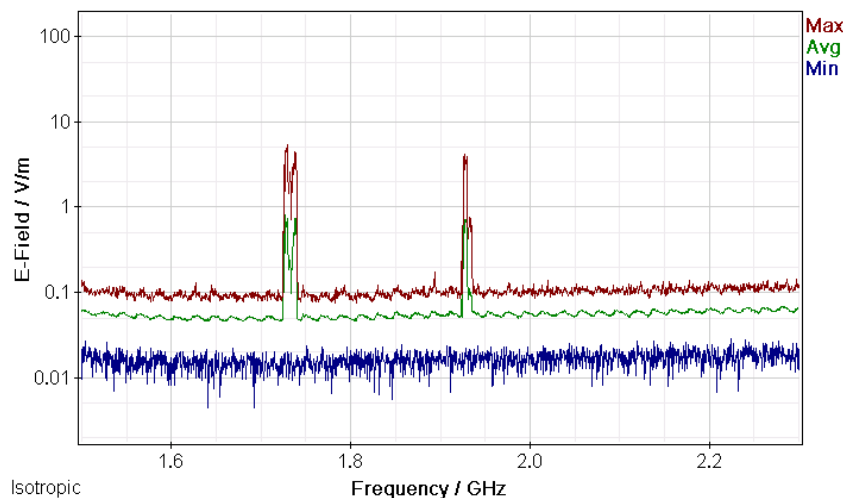


Σχήμα 19: Διακυμάνσεις (α) ελάχιστης (Min), (β) μέσης (Avg) και (γ) μέγιστης (Max) έντασης ηλεκτρικού πεδίου (E-Field) ως συνάρτηση της συχνότητας (Frequency) του πεδίου για μετρήσεις με οργάνολογία τύπου NARDA SMR-3006 σε συσκευή κινητής τηλεφωνίας τύπου IPHONE 5S και παρόχου VODAFONE σε απόσταση 0m από την κεραία της συσκευής κατά τη διάρκεια τερματισμού της κλήσης χωρίς ενεργοποίηση δεδομένων κινητής τηλεφωνίας.

ΜΕΛΕΤΗ Η/Μ ΔΙΑΤΑΡΑΧΩΝ ΚΙΝΗΤΗΣ ΤΗΛΕΦΩΝΙΑΣ



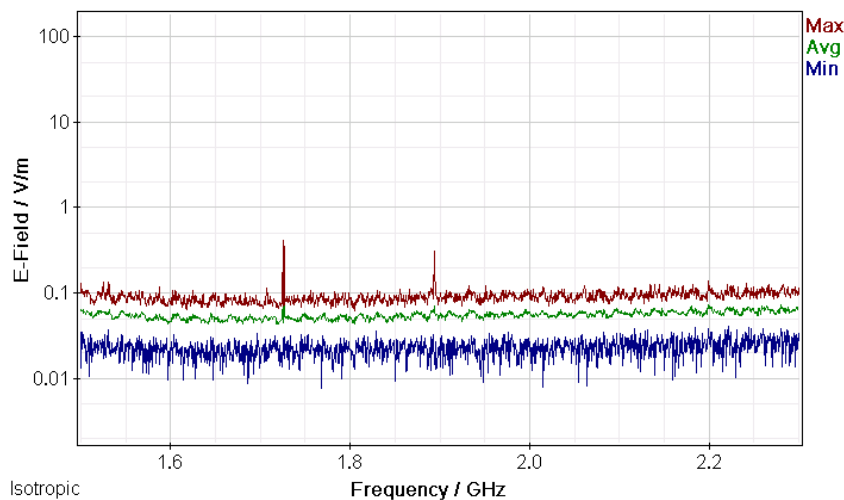
Σχήμα 20: Διακυμάνσεις (α) ελάχιστης (Min), (β) μέσης (Avg) και (γ) μέγιστης (Max) έντασης ηλεκτρικού πεδίου (E-Field) ως συνάρτηση της συχνότητας (Frequency) του πεδίου για μετρήσεις με οργάνολογία τύπου NARDA SMR-3006 σε συσκευή κινητής τηλεφωνίας τύπου IPHONE 5S και παρόχου VODAFONE σε απόσταση 0m από την κεραία της συσκευής κατά τη διάρκεια αναμονής χρήσης της συσκευής με ενεργοποίηση των δεδομένων κινητής τηλεφωνίας χωρίς πρόσβαση στον παγόσμιο ιστό.



Σχήμα 21: Διακυμάνσεις (α) ελάχιστης (Min), (β) μέσης (Avg) και (γ) μέγιστης (Max) έντασης ηλεκτρικού πεδίου (E-Field) ως συνάρτηση της συχνότητας (Frequency) του πεδίου για μετρήσεις με οργάνολογία τύπου NARDA SMR-3006 σε συσκευή κινητής τηλεφωνίας τύπου IPHONE 5S και παρόχου VODAFONE σε απόσταση 0m από την κεραία της συσκευής κατά τη διάρκεια αναμονής χρήσης της συσκευής με ενεργοποίηση των δεδομένων κινητής τηλεφωνίας και αναζήτησης δεδομένων στον παγόσμιο ιστό.

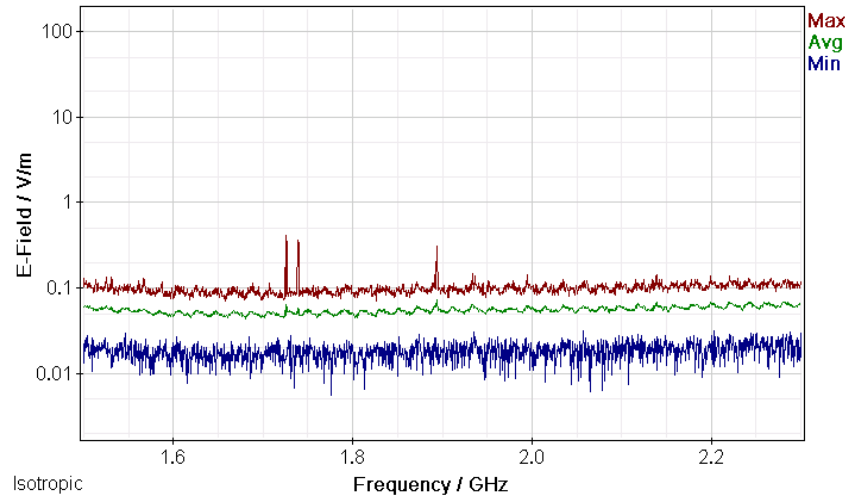
ΠΑΡΑΡΤΗΜΑ 2

Μετρήσεις διακυμάνσεων (α) ελάχιστης (Min), (β) μέσης (Avg) και (γ) μέγιστης (Max) έντασης ηλεκτρικού πεδίου (E-Field) ως συνάρτηση της συχνότητας (Frequency) του πεδίου για μετρήσεις με οργανολογία τύπου NARDA SMR-3006 σε συσκευές κινητής τηλεφωνίας διαφόρων τύπων και παρόχων σε απόσταση 1 m από την κεραία των συσκευών.

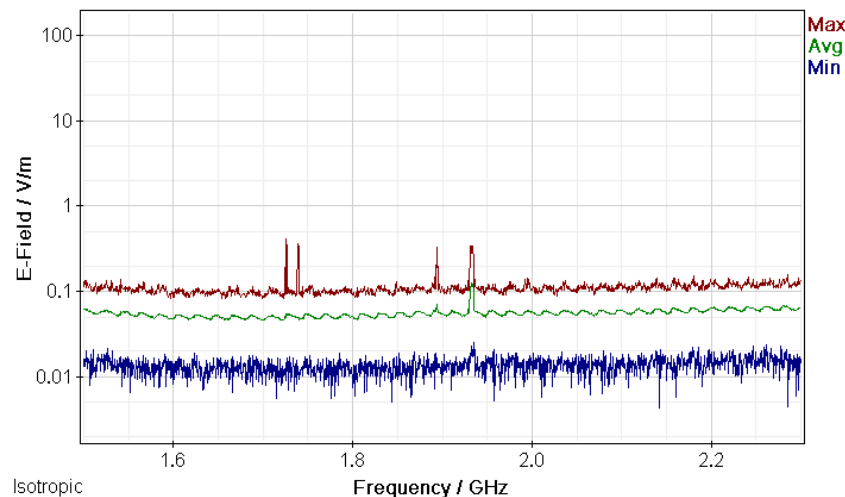


Σχήμα 22: Διακυμάνσεις (α) ελάχιστης (Min), (β) μέσης (Avg) και (γ) μέγιστης (Max) έντασης ηλεκτρικού πεδίου (E-Field) ως συνάρτηση της συχνότητας (Frequency) του πεδίου για μετρήσεις με οργανολογία τύπου NARDA SMR-3006 σε συσκευή κινητής τηλεφωνίας τύπου IPHONE 5S και παρόχου VODAFONE σε απόσταση 1m από την κεραία της συσκευής κατα τη διάρκεια αναμονής χρήσης της συσκευής και χωρίς την ενεργοποίηση δεδομένων κινητής τηλεφωνίας.

ΜΕΛΕΤΗ Η/Μ ΔΙΑΤΑΡΑΧΩΝ ΚΙΝΗΤΗΣ ΤΗΛΕΦΩΝΙΑΣ

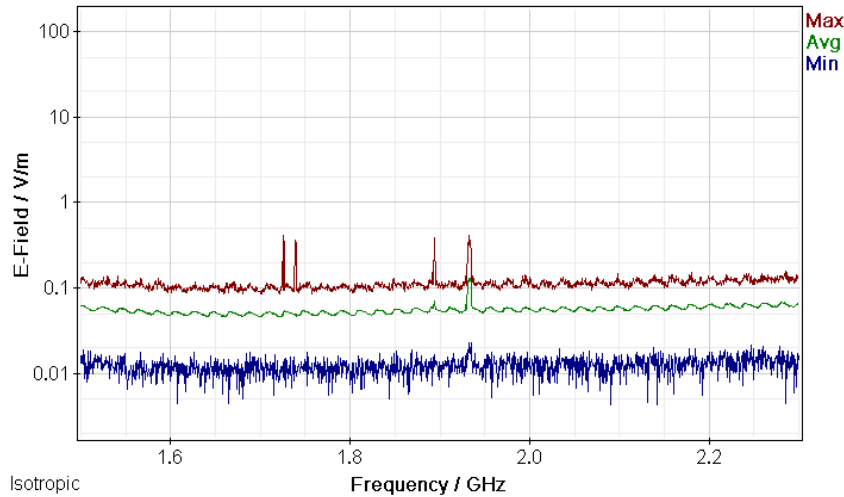


Σχήμα 23: Διακυμάνσεις (α) ελάχιστης (Min), (β) μέσης (Avg) και (γ) μέγιστης (Max) έντασης ηλεκτρικού πεδίου (E-Field) ως συνάρτηση της συχνότητας (Frequency) του πεδίου για μετρήσεις με οργανολογία τύπου NARDA SMR-3006 σε συσκευή κινητής τηλεφωνίας τύπου IPHONE 5S και παρόχου VODAFONE σε απόσταση 1m από την κεραία της συσκευής κατά τη διάρκεια κλήσης χωρίς συνομιλία και ενεργοποίηση δεδομένων κινητής τηλεφωνίας .

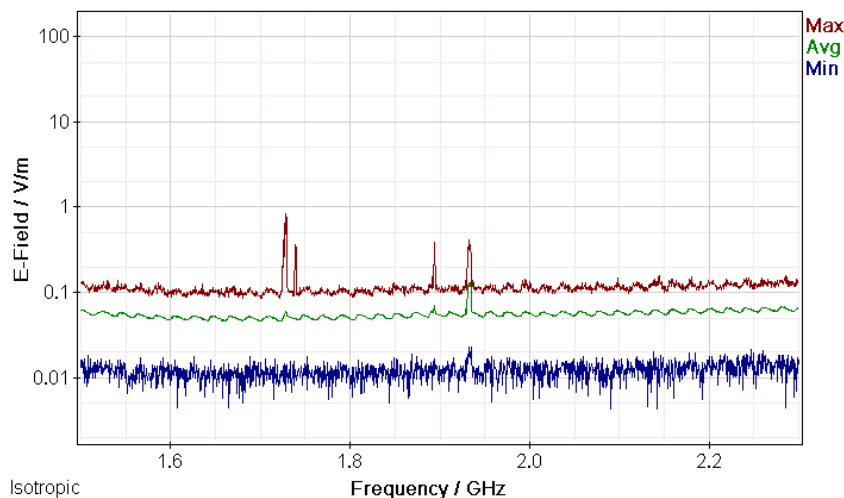


Σχήμα 24: Διακυμάνσεις (α) ελάχιστης (Min), (β) μέσης (Avg) και (γ) μέγιστης (Max) έντασης ηλεκτρικού πεδίου (E-Field) ως συνάρτηση της συχνότητας (Frequency) του πεδίου για μετρήσεις με οργανολογία τύπου NARDA SMR-3006 σε συσκευή κινητής τηλεφωνίας τύπου IPHONE 5S και παρόχου VODAFONE σε απόσταση 1m από την κεραία της συσκευής κατά τη διάρκεια συνομιλίας δυόμιση λεπτών χωρίς ενεργοποίηση δεδομένων κινητής τηλεφωνίας.

ΜΕΛΕΤΗ Η/Μ ΔΙΑΤΑΡΑΧΩΝ ΚΙΝΗΤΗΣ ΤΗΛΕΦΩΝΙΑΣ

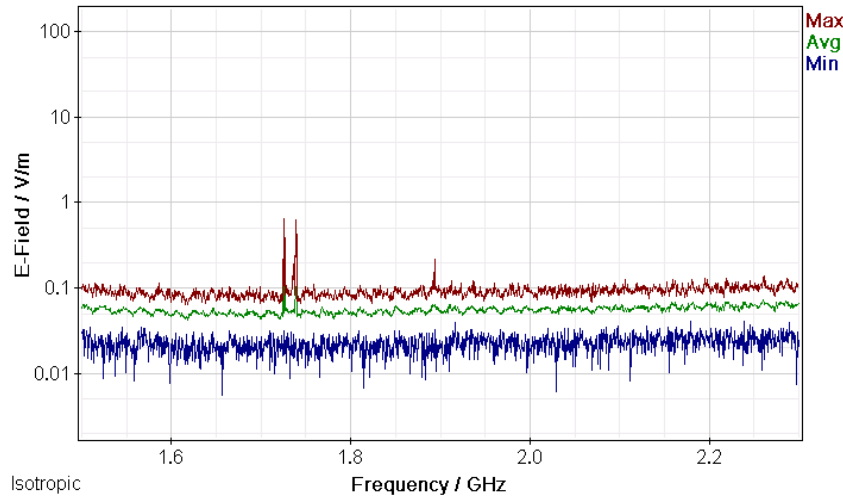


Σχήμα 25: Διακυμάνσεις (α) ελάχιστης (Min), (β) μέσης (Avg) και (γ) μέγιστης (Max) έντασης ηλεκτρικού πεδίου (E-Field) ως συνάρτηση της συχνότητας (Frequency) του πεδίου για μετρήσεις με οργάνολογία τύπου NARDA SMR-3006 σε συσκευή κινητής τηλεφωνίας τύπου IPHONE 5S και παρόχου VODAFONE σε απόσταση 1m από την κεραία της συσκευής κατά τη διάρκεια πεντάλεπτης συνομιλίας χωρίς ενεργοποίηση δεδομένων κινητής τηλεφωνίας.

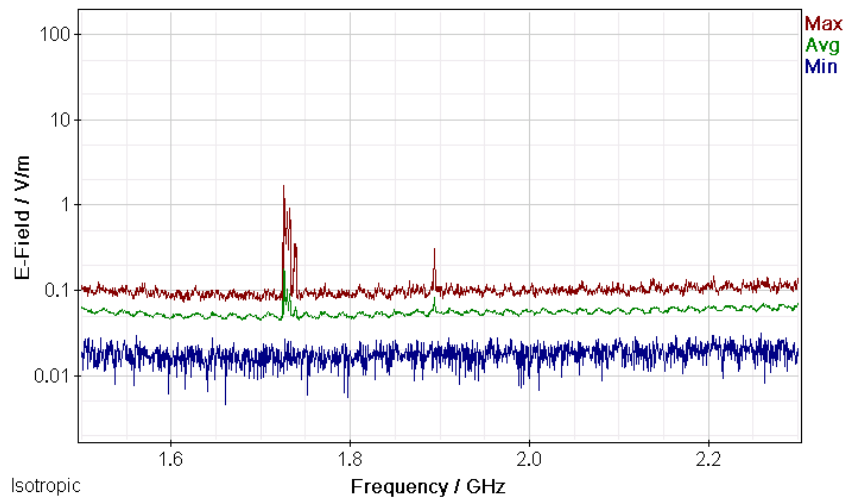


Σχήμα 26: Διακυμάνσεις (α) ελάχιστης (Min), (β) μέσης (Avg) και (γ) μέγιστης (Max) έντασης ηλεκτρικού πεδίου (E-Field) ως συνάρτηση της συχνότητας (Frequency) του πεδίου για μετρήσεις με οργάνολογία τύπου NARDA SMR-3006 σε συσκευή κινητής τηλεφωνίας τύπου IPHONE 5S και παρόχου VODAFONE σε απόσταση 1m από την κεραία της συσκευής κατά τη διάρκεια τερματισμού της κλήσης χωρίς ενεργοποίηση δεδομένων κινητής τηλεφωνίας.

ΜΕΛΕΤΗ Η/Μ ΔΙΑΤΑΡΑΧΩΝ ΚΙΝΗΤΗΣ ΤΗΛΕΦΩΝΙΑΣ



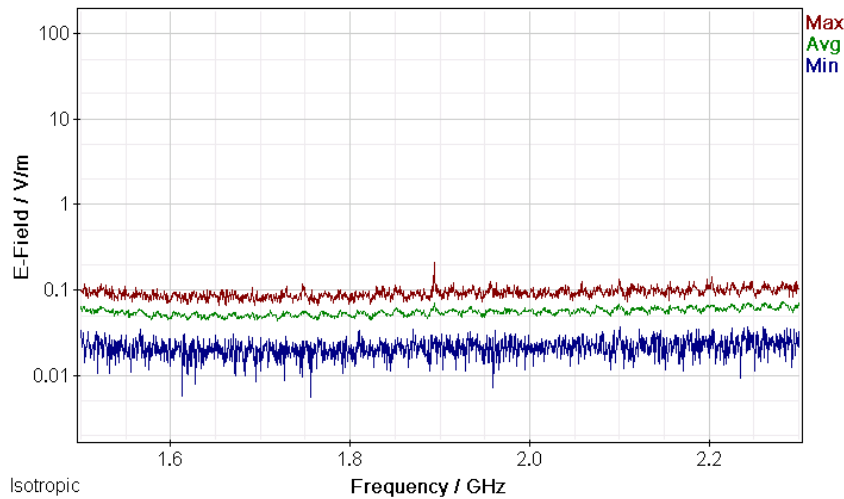
Σχήμα 27: Διακυμάνσεις (α) ελάχιστης (Min), (β) μέσης (Avg) και (γ) μέγιστης (Max) έντασης ηλεκτρικού πεδίου (E-Field) ως συνάρτηση της συχνότητας (Frequency) του πεδίου για μετρήσεις με οργάνολογία τύπου NARDA SMR-3006 σε συσκευή κινητής τηλεφωνίας τύπου IPHONE 5S και παρόχου VODAFONE σε απόσταση 1m από την κεραία της συσκευής κατά τη διάρκεια αναμονής χρήσης της συσκευής με ενεργοποίηση των δεδομένων κινητής τηλεφωνίας χωρίς πρόσβαση στον παγώσιμο ιστό.



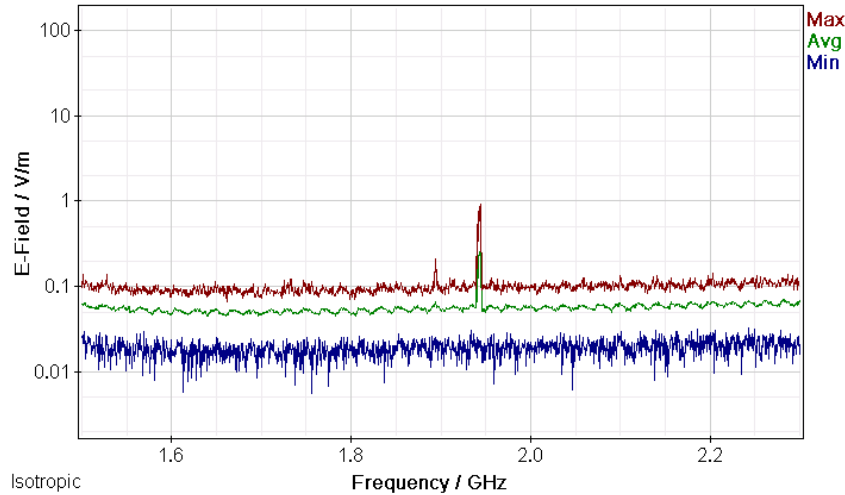
Σχήμα 28: Διακυμάνσεις (α) ελάχιστης (Min), (β) μέσης (Avg) και (γ) μέγιστης (Max) έντασης ηλεκτρικού πεδίου (E-Field) ως συνάρτηση της συχνότητας (Frequency) του πεδίου για μετρήσεις με οργάνολογία τύπου NARDA SMR-3006 σε συσκευή κινητής τηλεφωνίας τύπου IPHONE 5S και παρόχου VODAFONE σε απόσταση 1m από την κεραία της συσκευής κατά τη διάρκεια αναμονής χρήσης της συσκευής με ενεργοποίηση των δεδομένων κινητής τηλεφωνίας και αναζήτησης δεδομένων στον παγώσιμο ιστό.

ΠΑΡΑΡΤΗΜΑ 1

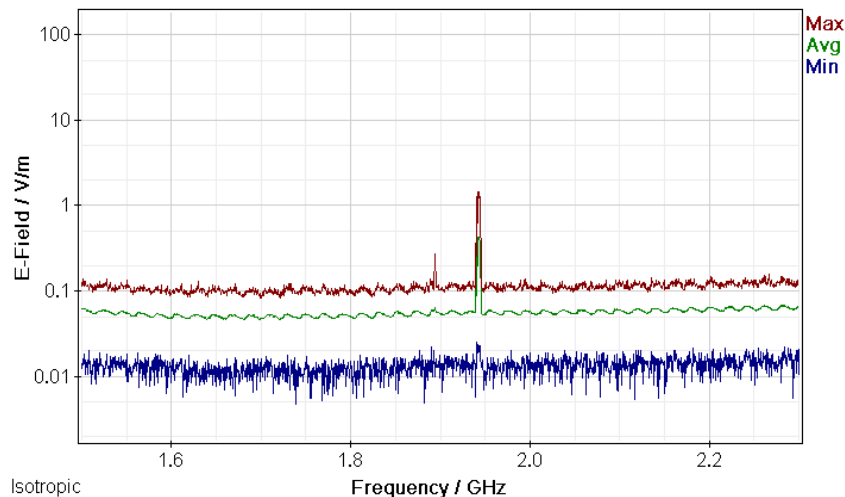
Μετρήσεις διακυμάνσεων (α) ελάχιστης (Min), (β) μέσης (Avg) και (γ) μέγιστης (Max) έντασης ηλεκτρικού πεδίου (E-Field) ως συνάρτηση της συχνότητας (Frequency) του πεδίου για μετρήσεις με οργάνολογία τύπου NARDA SMR-3006 σε συσκευές κινητής τηλεφωνίας διαφόρων τύπων και παρόχων σε απόσταση 0 m από την κεραία των συσκευών.



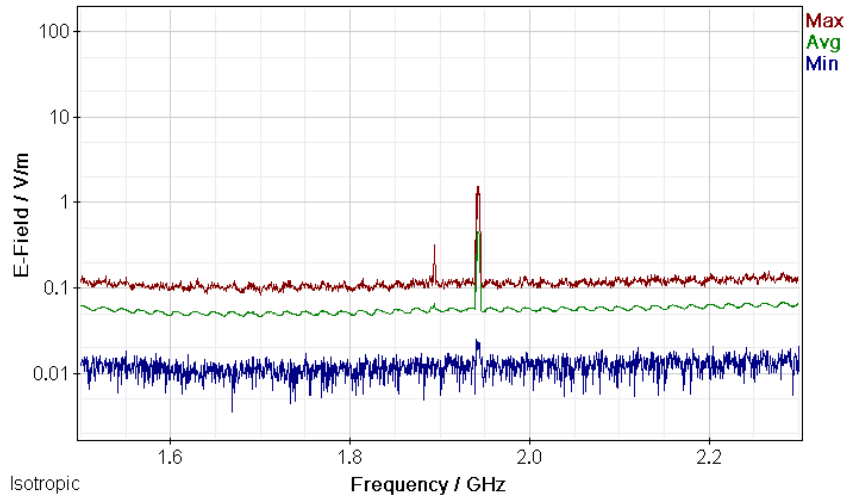
Σχήμα 29: Διακυμάνσεις (α) ελάχιστης (Min), (β) μέσης (Avg) και (γ) μέγιστης (Max) έντασης ηλεκτρικού πεδίου (E-Field) ως συνάρτηση της συχνότητας (Frequency) του πεδίου για μετρήσεις με οργάνολογία τύπου NARDA SMR-3006 σε συσκευή κινητής τηλεφωνίας τύπου IPHONE 5S και παρόχου WIND σε απόσταση 0m από την κεραία της συσκευής κατα τη διάρκεια αναμονής χρήσης της συσκευής και χωρίς την ενεργοποίηση δεδομένων κινητής τηλεφωνίας.



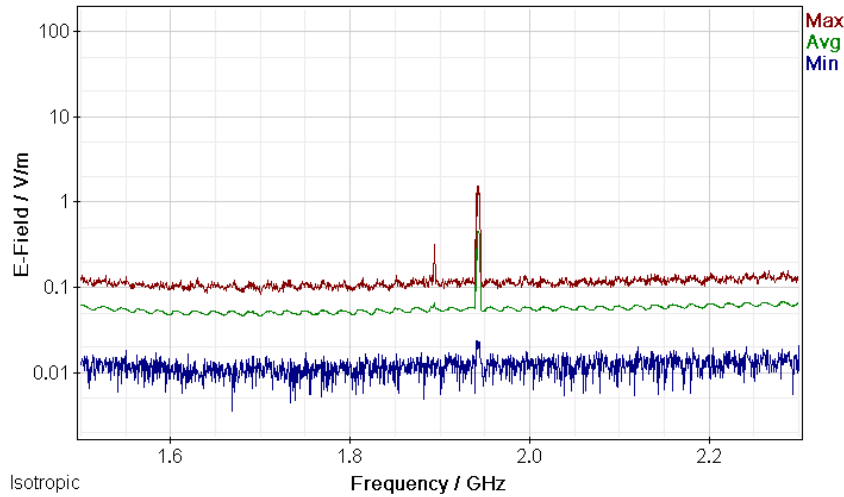
Σχήμα 30: Διακυμάνσεις (α) ελάχιστης (Min), (β) μέσης (Avg) και (γ) μέγιστης (Max) έντασης ηλεκτρικού πεδίου (E-Field) ως συνάρτηση της συχνότητας (Frequency) του πεδίου για μετρήσεις με οργανολογία τύπου NARDA SMR-3006 σε συσκευή κινητής τηλεφωνίας τύπου IPHONE 5S και παρόχου WIND σε απόσταση 0m από την κεραία της συσκευής κατά τη διάρκεια κλήσης χωρίς συνομιλία και ενεργοποίηση δεδομένων κινητής τηλεφωνίας .



Σχήμα 31: Διακυμάνσεις (α) ελάχιστης (Min), (β) μέσης (Avg) και (γ) μέγιστης (Max) έντασης ηλεκτρικού πεδίου (E-Field) ως συνάρτηση της συχνότητας (Frequency) του πεδίου για μετρήσεις με οργανολογία τύπου NARDA SMR-3006 σε συσκευή κινητής τηλεφωνίας τύπου IPHONE 5S και παρόχου WIND σε απόσταση 0m από την κεραία της συσκευής κατά τη διάρκεια συνομιλίας δυόμιση λεπτών χωρίς ενεργοποίηση δεδομένων κινητής τηλεφωνίας.

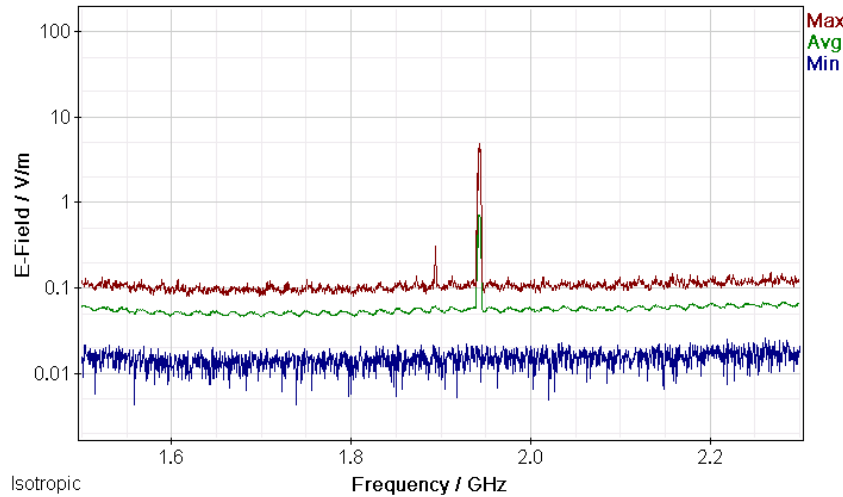


Σχήμα 32: Διακυμάνσεις (α) ελάχιστης (Min), (β) μέσης (Avg) και (γ) μέγιστης (Max) έντασης ηλεκτρικού πεδίου (E-Field) ως συνάρτηση της συχνότητας (Frequency) του πεδίου για μετρήσεις με οργανολογία τύπου NARDA SMR-3006 σε συσκευή κινητής τηλεφωνίας τύπου IPHONE 5S και παρόχου WIND σε απόσταση 0m από την κεραία της συσκευής κατά τη διάρκεια πεντάλεπτης συνομιλίας χωρίς ενεργοποίηση δεδομένων κινητής τηλεφωνίας.

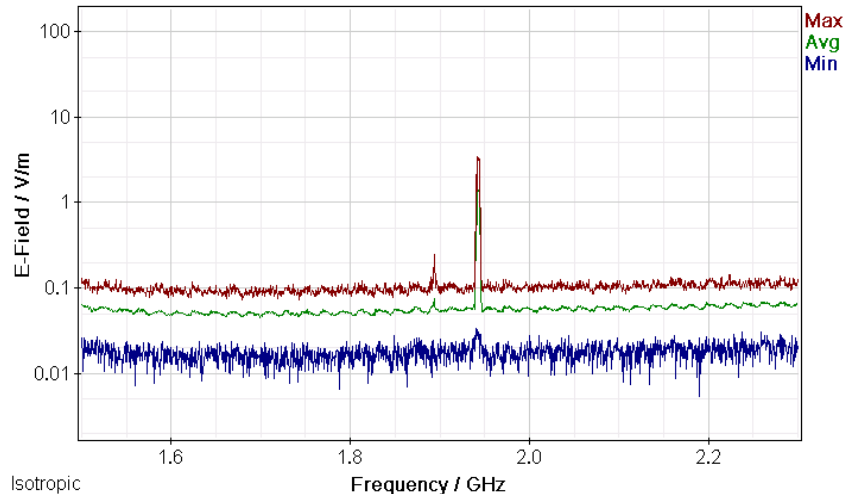


Σχήμα 33: Διακυμάνσεις (α) ελάχιστης (Min), (β) μέσης (Avg) και (γ) μέγιστης (Max) έντασης ηλεκτρικού πεδίου (E-Field) ως συνάρτηση της συχνότητας (Frequency) του πεδίου για μετρήσεις με οργανολογία τύπου NARDA SMR-3006 σε συσκευή κινητής τηλεφωνίας τύπου IPHONE 5S και παρόχου WIND σε απόσταση 0m από την κεραία της συσκευής κατά τη διάρκεια τερματισμού της κλήσης χωρίς ενεργοποίηση δεδομένων κινητής τηλεφωνίας.

ΜΕΛΕΤΗ Η/Μ ΔΙΑΤΑΡΑΧΩΝ ΚΙΝΗΤΗΣ ΤΗΛΕΦΩΝΙΑΣ



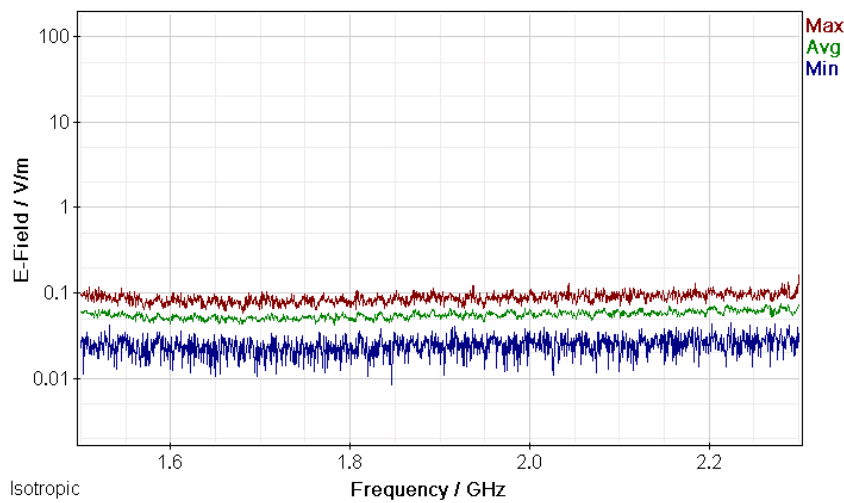
Σχήμα 34: Διακυμάνσεις (α) ελάχιστης (Min), (β) μέσης (Avg) και (γ) μέγιστης (Max) έντασης ηλεκτρικού πεδίου (E-Field) ως συνάρτηση της συχνότητας (Frequency) του πεδίου για μετρήσεις με οργάνολογία τύπου NARDA SMR-3006 σε συσκευή κινητής τηλεφωνίας τύπου IPHONE 5S και παρόχου WIND σε απόσταση 0m από την κεραία της συσκευής κατά τη διάρκεια αναμονής χρήσης της συσκευής με ενεργοποίηση των δεδομένων κινητής τηλεφωνίας χωρίς πρόσβαση στον παγώσιμο ιστό.



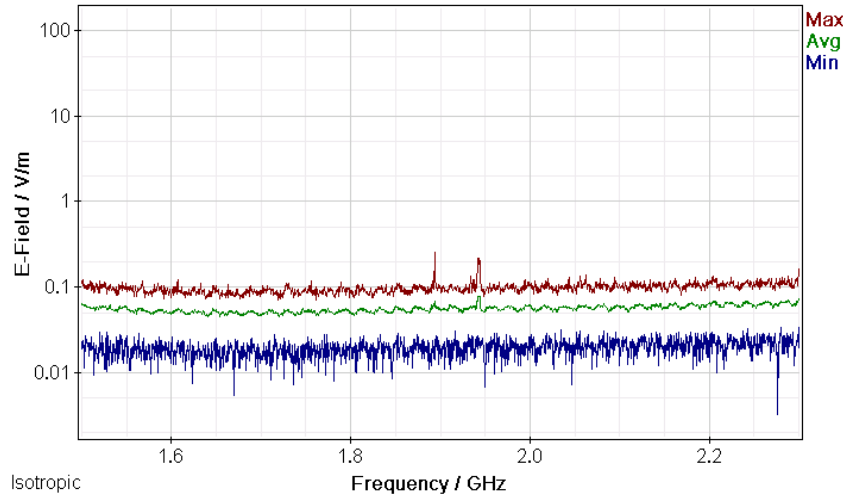
Σχήμα 35: Διακυμάνσεις (α) ελάχιστης (Min), (β) μέσης (Avg) και (γ) μέγιστης (Max) έντασης ηλεκτρικού πεδίου (E-Field) ως συνάρτηση της συχνότητας (Frequency) του πεδίου για μετρήσεις με οργάνολογία τύπου NARDA SMR-3006 σε συσκευή κινητής τηλεφωνίας τύπου IPHONE 5S και παρόχου WIND σε απόσταση 0m από την κεραία της συσκευής κατά τη διάρκεια αναμονής χρήσης της συσκευής με ενεργοποίηση των δεδομένων κινητής τηλεφωνίας και αναζήτησης δεδομένων στον παγώσιμο ιστό.

ΠΑΡΑΡΤΗΜΑ 2

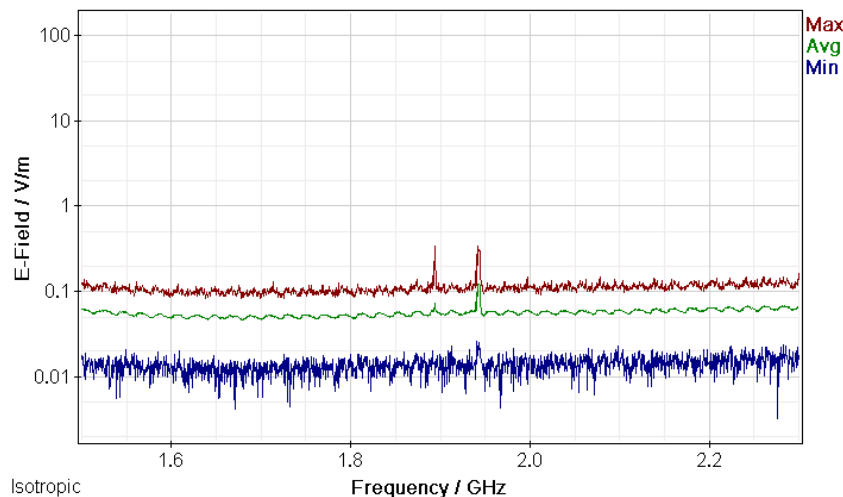
Μετρήσεις διακυμάνσεων (α) ελάχιστης (Min), (β) μέσης (Avg) και (γ) μέγιστης (Max) έντασης ηλεκτρικού πεδίου (E-Field) ως συνάρτηση της συχνότητας (Frequency) του πεδίου για μετρήσεις με οργάνολογία τύπου NARDA SMR-3006 σε συσκευές κινητής τηλεφωνίας διαφόρων τύπων και παρόχων σε απόσταση 1 m από την κεραία των συσκευών.



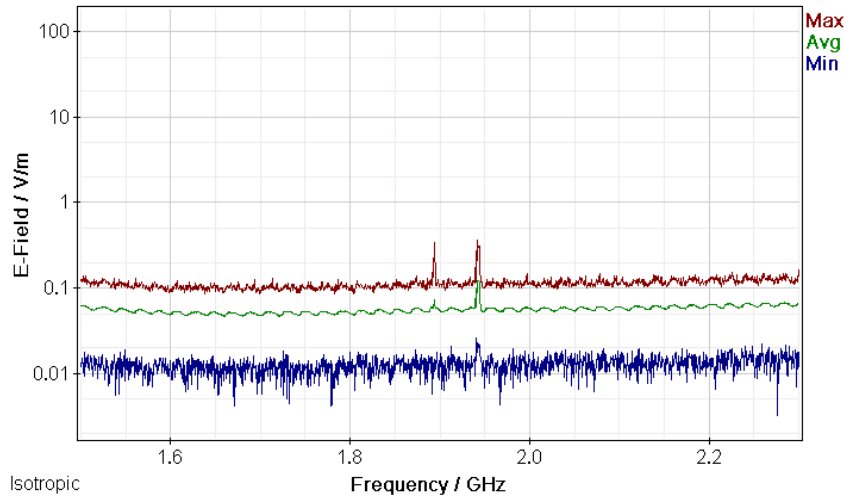
Σχήμα 36: Διακυμάνσεις (α) ελάχιστης (Min), (β) μέσης (Avg) και (γ) μέγιστης (Max) έντασης ηλεκτρικού πεδίου (E-Field) ως συνάρτηση της συχνότητας (Frequency) του πεδίου για μετρήσεις με οργάνολογία τύπου NARDA SMR-3006 σε συσκευή κινητής τηλεφωνίας τύπου IPHONE 5S και παρόχου WIND σε απόσταση 1m από την κεραία της συσκευής κατά τη διάρκεια αναμονής χρήσης της συσκευής και χωρίς την ενεργοποίηση δεδομένων κινητής τηλεφωνίας.



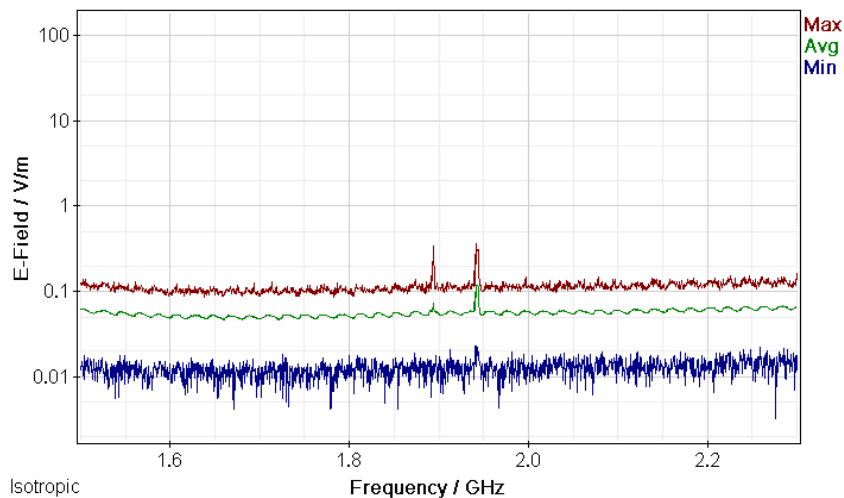
Σχήμα 37: Διακυμάνσεις (α) ελάχιστης (Min), (β) μέσης (Avg) και (γ) μέγιστης (Max) έντασης ηλεκτρικού πεδίου (E-Field) ως συνάρτηση της συχνότητας (Frequency) του πεδίου για μετρήσεις με οργανολογία τύπου NARDA SMR-3006 σε συσκευή κινητής τηλεφωνίας τύπου IPHONE 5S και παρόχου WIND σε απόσταση 1m από την κεραία της συσκευής κατα τη διάρκεια κλήσης χωρίς συνομιλία και ενεργοποίηση δεδομένων κινητής τηλεφωνίας .



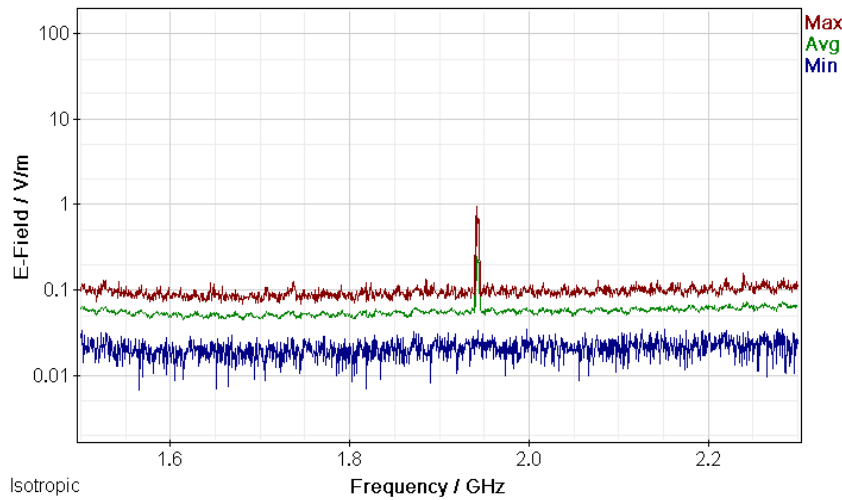
Σχήμα 38: Διακυμάνσεις (α) ελάχιστης (Min), (β) μέσης (Avg) και (γ) μέγιστης (Max) έντασης ηλεκτρικού πεδίου (E-Field) ως συνάρτηση της συχνότητας (Frequency) του πεδίου για μετρήσεις με οργανολογία τύπου NARDA SMR-3006 σε συσκευή κινητής τηλεφωνίας τύπου IPHONE 5S και παρόχου WIND σε απόσταση 1m από την κεραία της συσκευής κατα τη διάρκεια συνομιλίας δυόμιση λεπτών χωρίς ενεργοποίηση δεδομένων κινητής τηλεφωνίας.



Σχήμα 39: Διακυμάνσεις (α) ελάχιστης (Min), (β) μέσης (Avg) και (γ) μέγιστης (Max) έντασης ηλεκτρικού πεδίου (E-Field) ως συνάρτηση της συχνότητας (Frequency) του πεδίου για μετρήσεις με οργάνολογία τύπου NARDA SMR-3006 σε συσκευή κινητής τηλεφωνίας τύπου IPHONE 5S και παρόχου WIND σε απόσταση 1m από την κεραία της συσκευής κατά τη διάρκεια πεντάλεπτης συνομιλίας χωρίς ενεργοποίηση δεδομένων κινητής τηλεφωνίας.



Σχήμα 40: Διακυμάνσεις (α) ελάχιστης (Min), (β) μέσης (Avg) και (γ) μέγιστης (Max) έντασης ηλεκτρικού πεδίου (E-Field) ως συνάρτηση της συχνότητας (Frequency) του πεδίου για μετρήσεις με οργάνολογία τύπου NARDA SMR-3006 σε συσκευή κινητής τηλεφωνίας τύπου IPHONE 5S και παρόχου WIND σε απόσταση 1m από την κεραία της συσκευής κατά τη διάρκεια τερματισμού της κλήσης χωρίς ενεργοποίηση δεδομένων κινητής τηλεφωνίας.

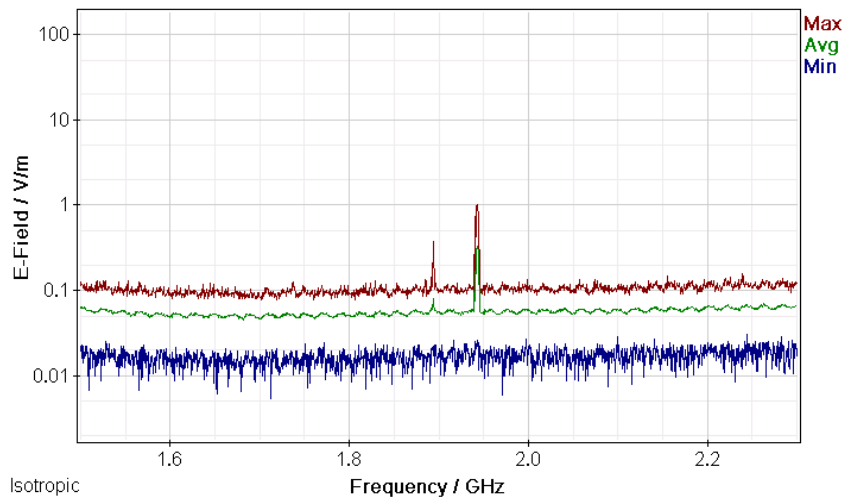


Σχήμα

Isotropic

41:

Διακυμάνσεις (α) ελάχιστης (Min), (β) μέσης (Avg) και (γ) μέγιστης (Max) έντασης ηλεκτρικού πεδίου (E-Field) ως συνάρτηση της συχνότητας (Frequency) του πεδίου για μετρήσεις με οργανολογία τύπου NARDA SMR-3006 σε συσκευή κινητής τηλεφωνίας τύπου IPHONE 5S και παρόχου WIND σε απόσταση 1m από την κεραία της συσκευής κατα τη διάρκεια αναμονής χρήσης της συσκευής με ενεργοποίηση των δεδομένων κινητής τηλεφωνίας χωρίς πρόσβαση στον παγόσμιο ιστό.



Isotropic

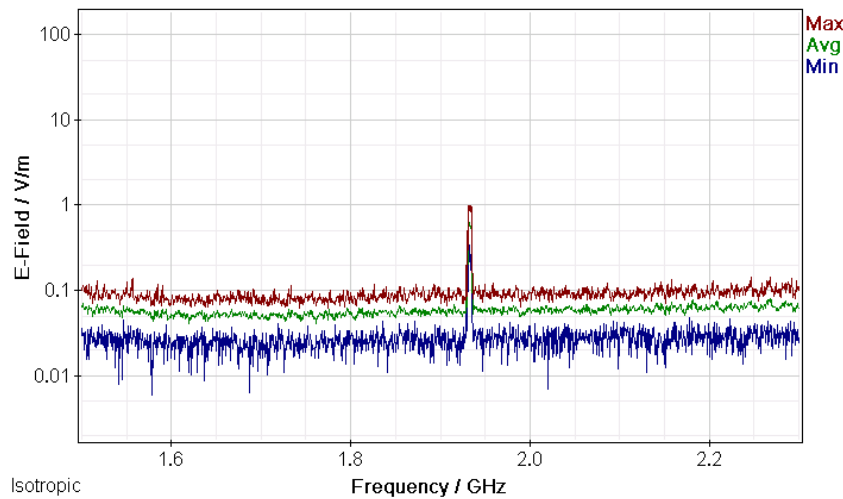
Σχήμα 42: Διακυμάνσεις (α) ελάχιστης (Min), (β) μέσης (Avg) και (γ) μέγιστης (Max) έντασης ηλεκτρικού πεδίου (E-Field) ως συνάρτηση της συχνότητας (Frequency) του πεδίου για μετρήσεις με οργανολογία τύπου NARDA SMR-3006 σε συσκευή κινητής τηλεφωνίας τύπου IPHONE 5S και παρόχου WIND σε απόσταση 1m από την κεραία της συσκευής κατα τη διάρκεια αναμονής χρήσης της συσκευής με ενεργοποίηση των δεδομένων κινητής τηλεφωνίας και αναζήτησης δεδομένων στον παγόσμιο ιστό.

ΠΑΡΑΡΤΗΜΑ 1

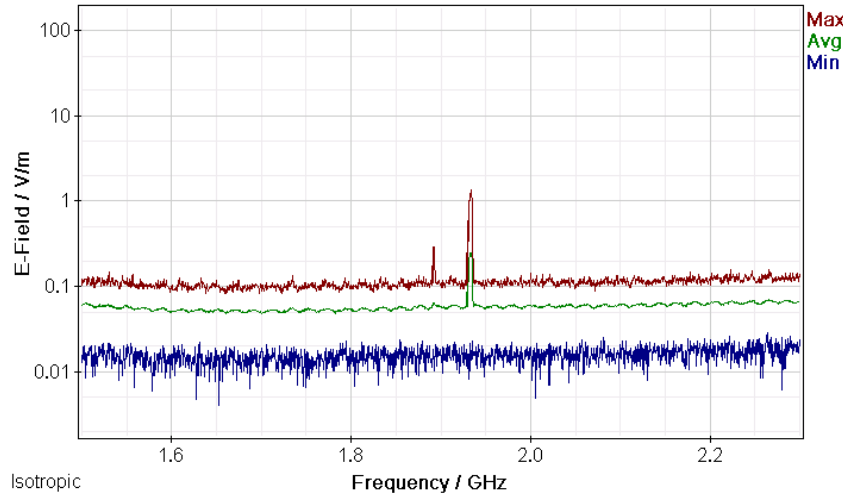
Μετρήσεις διακυμάνσεων (α) ελάχιστης (Min), (β) μέσης (Avg) και (γ) μέγιστης (Max) έντασης ηλεκτρικού πεδίου (E-Field) ως συνάρτηση της συχνότητας (Frequency) του πεδίου για μετρήσεις με οργανολογία τύπου NARDA SMR-3006 σε συσκευές κινητής τηλεφωνίας διαφόρων τύπων και παρόχων σε απόσταση 0 m από την κεραία των συσκευών.



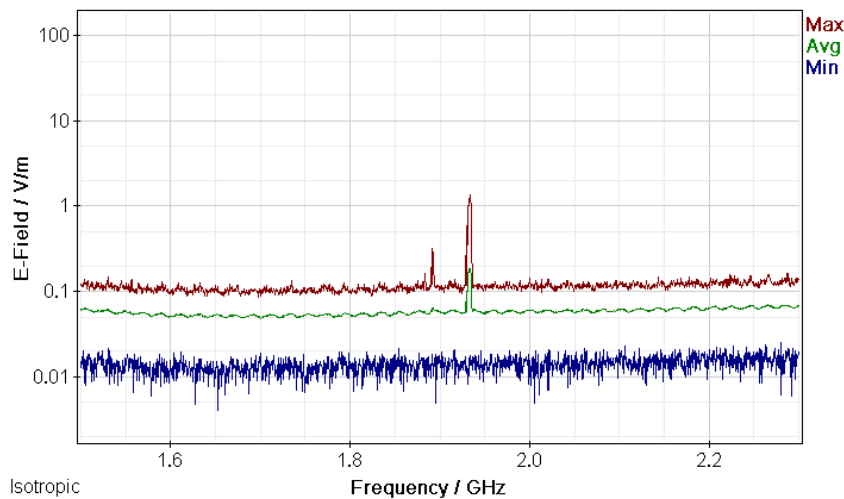
Σχήμα 43: Διακυμάνσεις (α) ελάχιστης (Min), (β) μέσης (Avg) και (γ) μέγιστης (Max) έντασης ηλεκτρικού πεδίου (E-Field) ως συνάρτηση της συχνότητας (Frequency) του πεδίου για μετρήσεις με οργανολογία τύπου NARDA SMR-3006 σε συσκευή κινητής τηλεφωνίας τύπου IPHONE 6S και παρόχου VODAFONE σε απόσταση 0m από την κεραία της συσκευής κατά τη διάρκεια αναμονής χρήσης της συσκευής και χωρίς την ενεργοποίηση δεδομένων κινητής τηλεφωνίας.



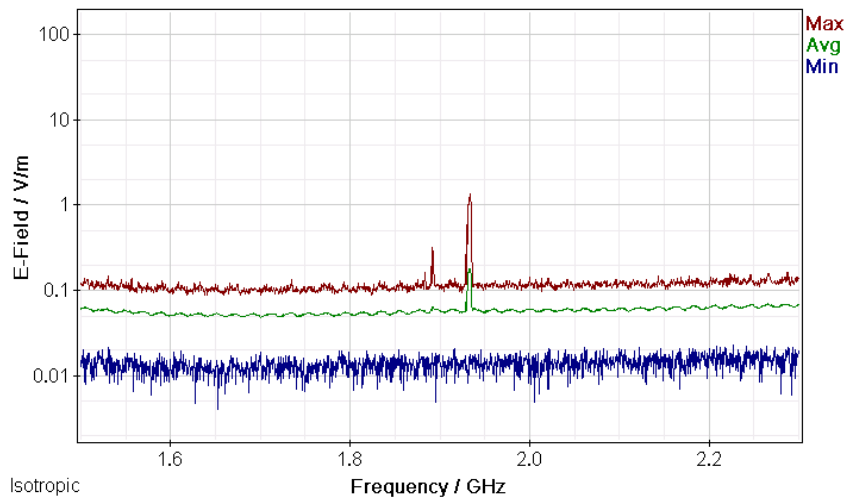
Σχήμα 44: Διακυμάνσεις (α) ελάχιστης (Min), (β) μέσης (Avg) και (γ) μέγιστης (Max) έντασης ηλεκτρικού πεδίου (E-Field) ως συνάρτηση της συχνότητας (Frequency) του πεδίου για μετρήσεις με οργανολογία τύπου NARDA SMR-3006 σε συσκευή κινητής τηλεφωνίας τύπου IPHONE 6S και παρόχου VODAFONE σε απόσταση 0m από την κεραία της συσκευής κατά τη διάρκεια κλήσης χωρίς συνομιλία και ενεργοποίηση δεδομένων κινητής τηλεφωνίας .



Σχήμα 45: Διακυμάνσεις (α) ελάχιστης (Min), (β) μέσης (Avg) και (γ) μέγιστης (Max) έντασης ηλεκτρικού πεδίου (E-Field) ως συνάρτηση της συχνότητας (Frequency) του πεδίου για μετρήσεις με οργανολογία τύπου NARDA SMR-3006 σε συσκευή κινητής τηλεφωνίας τύπου IPHONE 6S και παρόχου VODAFONE σε απόσταση 0m από την κεραία της συσκευής κατά τη διάρκεια συνομιλίας δύομιση λεπτών χωρίς ενεργοποίηση δεδομένων κινητής τηλεφωνίας.

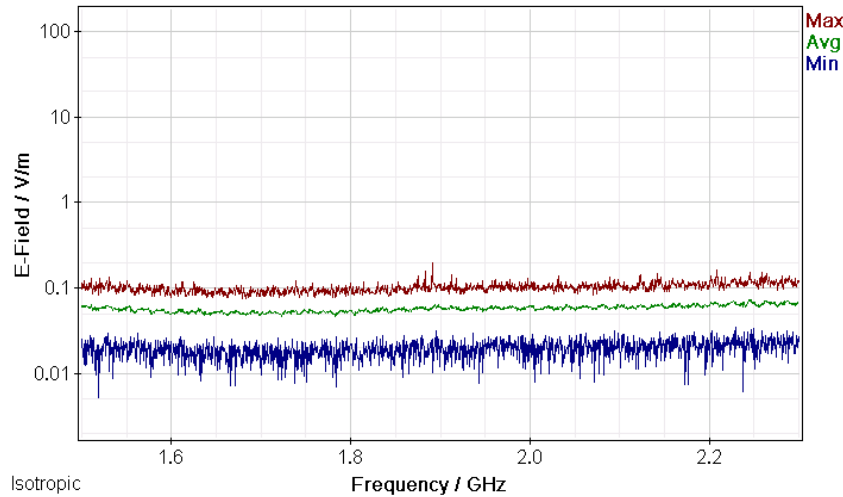


Σχήμα 46: Διακυμάνσεις (α) ελάχιστης (Min), (β) μέσης (Avg) και (γ) μέγιστης (Max) έντασης ηλεκτρικού πεδίου (E-Field) ως συνάρτηση της συχνότητας (Frequency) του πεδίου για μετρήσεις με οργανολογία τύπου NARDA SMR-3006 σε συσκευή κινητής τηλεφωνίας τύπου IPHONE 6S και παρόχου VODAFONE σε απόσταση 0m από την κεραία της συσκευής κατά τη διάρκεια πεντάλεπτης συνομιλίας χωρίς ενεργοποίηση δεδομένων κινητής τηλεφωνίας.

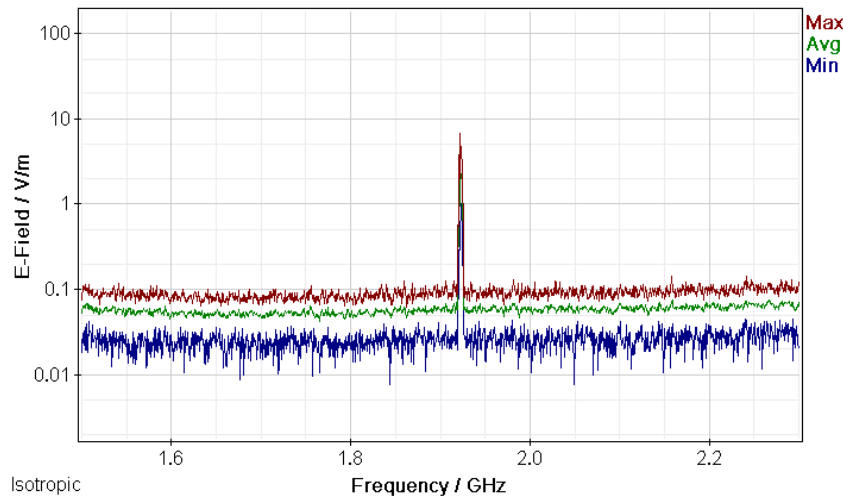


Σχήμα 47: Διακυμάνσεις (α) ελάχιστης (Min), (β) μέσης (Avg) και (γ) μέγιστης (Max) έντασης ηλεκτρικού πεδίου (E-Field) ως συνάρτηση της συχνότητας (Frequency) του πεδίου για μετρήσεις με οργανολογία τύπου NARDA SMR-3006 σε συσκευή κινητής τηλεφωνίας τύπου IPHONE 6S και παρόχου VODAFONE σε απόσταση 0m από την κεραία της συσκευής κατά τη διάρκεια τερματισμού της κλήσης χωρίς ενεργοποίηση δεδομένων κινητής τηλεφωνίας.

ΜΕΛΕΤΗ Η/Μ ΔΙΑΤΑΡΑΧΩΝ ΚΙΝΗΤΗΣ ΤΗΛΕΦΩΝΙΑΣ



Σχήμα 48: Διακυμάνσεις (α) ελάχιστης (Min), (β) μέσης (Avg) και (γ) μέγιστης (Max) έντασης ηλεκτρικού πεδίου (E-Field) ως συνάρτηση της συχνότητας (Frequency) του πεδίου για μετρήσεις με οργάνολογία τύπου NARDA SMR-3006 σε συσκευή κινητής τηλεφωνίας τύπου IPHONE 6S και παρόχου VODAFONE σε απόσταση 0m από την κεραία της συσκευής κατά τη διάρκεια αναμονής χρήσης της συσκευής με ενεργοποίηση των δεδομένων κινητής τηλεφωνίας χωρίς πρόσβαση στον παγώσιμο ιστό.



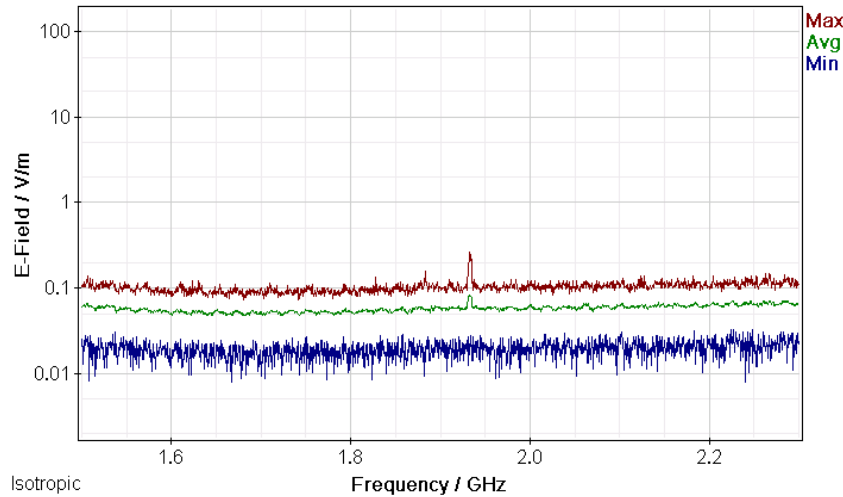
Σχήμα 49: Διακυμάνσεις (α) ελάχιστης (Min), (β) μέσης (Avg) και (γ) μέγιστης (Max) έντασης ηλεκτρικού πεδίου (E-Field) ως συνάρτηση της συχνότητας (Frequency) του πεδίου για μετρήσεις με οργάνολογία τύπου NARDA SMR-3006 σε συσκευή κινητής τηλεφωνίας τύπου IPHONE 6S και παρόχου VODAFONE σε απόσταση 0m από την κεραία της συσκευής κατά τη διάρκεια αναμονής χρήσης της συσκευής με ενεργοποίηση των δεδομένων κινητής τηλεφωνίας και αναζήτησης δεδομένων στον παγώσιμο ιστό.

ΠΑΡΑΡΤΗΜΑ 2

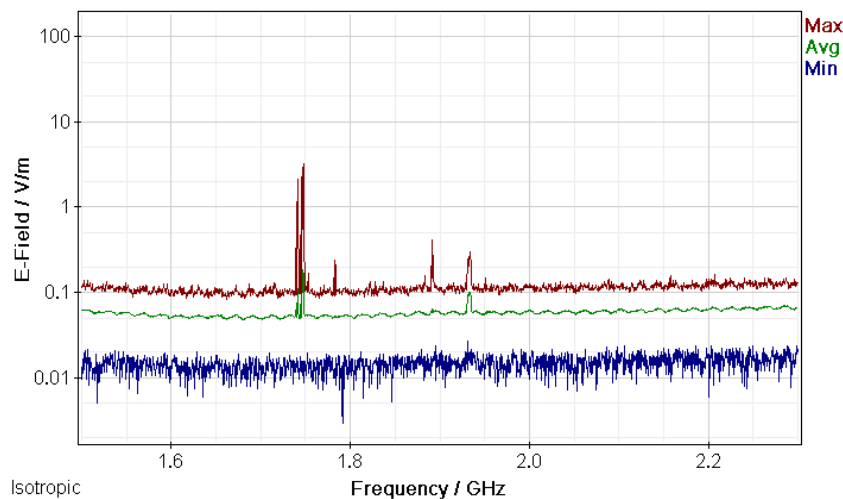
Μετρήσεις διακυμάνσεων (α) ελάχιστης (Min), (β) μέσης (Avg) και (γ) μέγιστης (Max) έντασης ηλεκτρικού πεδίου (E-Field) ως συνάρτηση της συχνότητας (Frequency) του πεδίου για μετρήσεις με οργανολογία τύπου NARDA SMR-3006 σε συσκευές κινητής τηλεφωνίας διαφόρων τύπων και παρόχων σε απόσταση 1 m από την κεραία των συσκευών.



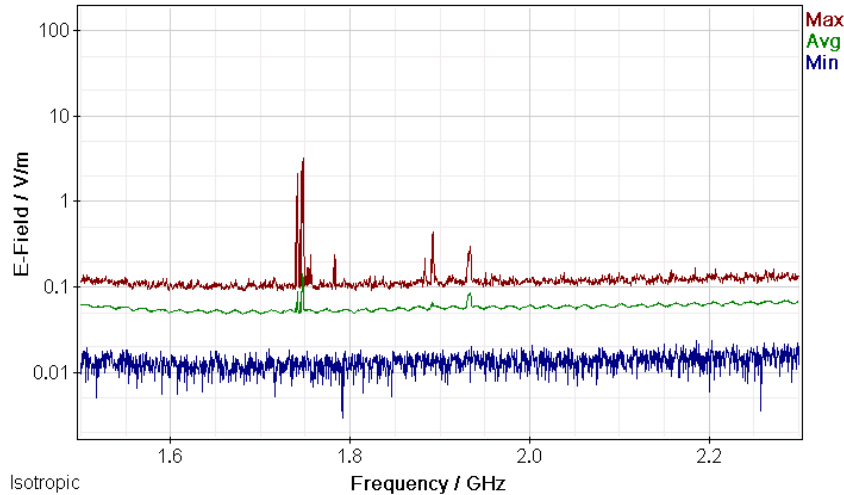
Σχήμα 50: Διακυμάνσεις (α) ελάχιστης (Min), (β) μέσης (Avg) και (γ) μέγιστης (Max) έντασης ηλεκτρικού πεδίου (E-Field) ως συνάρτηση της συχνότητας (Frequency) του πεδίου για μετρήσεις με οργανολογία τύπου NARDA SMR-3006 σε συσκευή κινητής τηλεφωνίας τύπου IPHONE 6S και παρόχου VODAFONE σε απόσταση 1m από την κεραία της συσκευής κατά τη διάρκεια αναμονής χρήσης της συσκευής και χωρίς την ενεργοποίηση δεδομένων κινητής τηλεφωνίας.



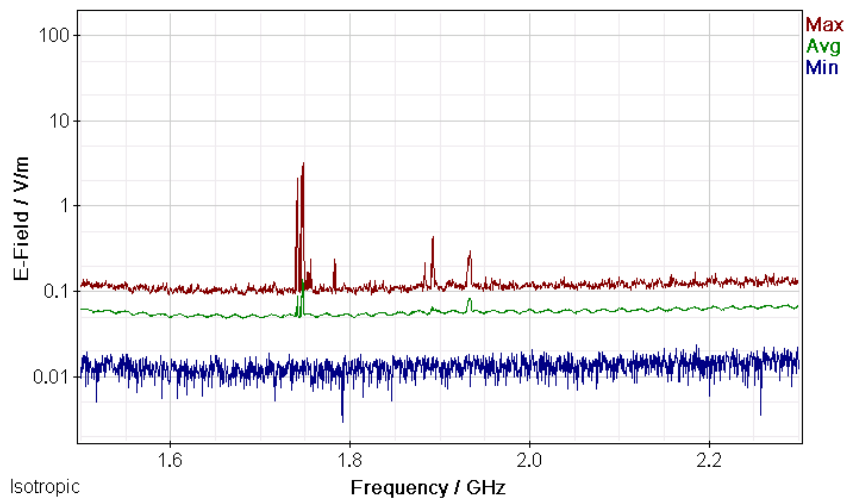
Σχήμα 51: Διακυμάνσεις (α) ελάχιστης (Min), (β) μέσης (Avg) και (γ) μέγιστης (Max) έντασης ηλεκτρικού πεδίου (E-Field) ως συνάρτηση της συχνότητας (Frequency) του πεδίου για μετρήσεις με οργανολογία τύπου NARDA SMR-3006 σε συσκευή κινητής τηλεφωνίας τύπου IPHONE 6S και παρόχου VODAFONE σε απόσταση 1m από την κεραία της συσκευής κατά τη διάρκεια κλήσης χωρίς συνομιλία και ενεργοποίηση δεδομένων κινητής τηλεφωνίας .



Σχήμα 52: Διακυμάνσεις (α) ελάχιστης (Min), (β) μέσης (Avg) και (γ) μέγιστης (Max) έντασης ηλεκτρικού πεδίου (E-Field) ως συνάρτηση της συχνότητας (Frequency) του πεδίου για μετρήσεις με οργανολογία τύπου NARDA SMR-3006 σε συσκευή κινητής τηλεφωνίας τύπου IPHONE 6S και παρόχου VODAFONE σε απόσταση 1m από την κεραία της συσκευής κατά τη διάρκεια συνομιλίας δυόμιση λεπτών χωρίς ενεργοποίηση δεδομένων κινητής τηλεφωνίας.

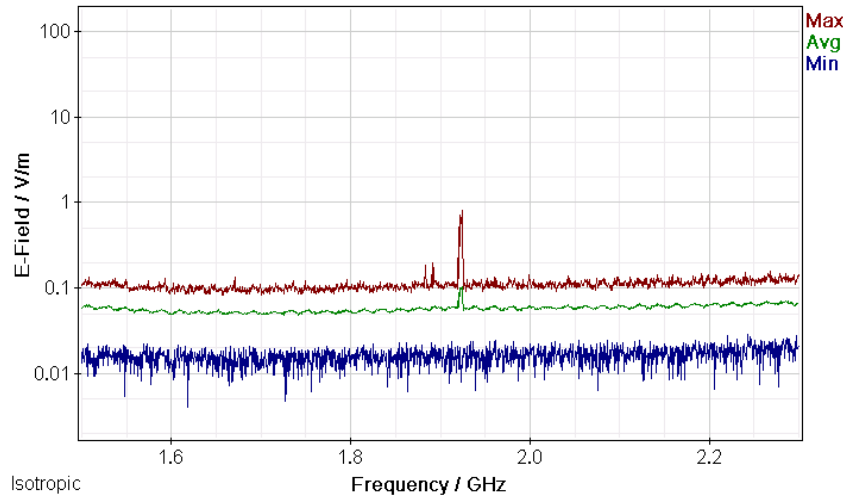


Σχήμα 53: Διακυμάνσεις (α) ελάχιστης (Min), (β) μέσης (Avg) και (γ) μέγιστης (Max) έντασης ηλεκτρικού πεδίου (E-Field) ως συνάρτηση της συχνότητας (Frequency) του πεδίου για μετρήσεις με οργανολογία τύπου NARDA SMR-3006 σε συσκευή κινητής τηλεφωνίας τύπου IPHONE 6S και παρόχου VODAFONE σε απόσταση 1m από την κεραία της συσκευής κατά τη διάρκεια πεντάλεπτης συνομιλίας χωρίς ενεργοποίηση δεδομένων κινητής τηλεφωνίας.

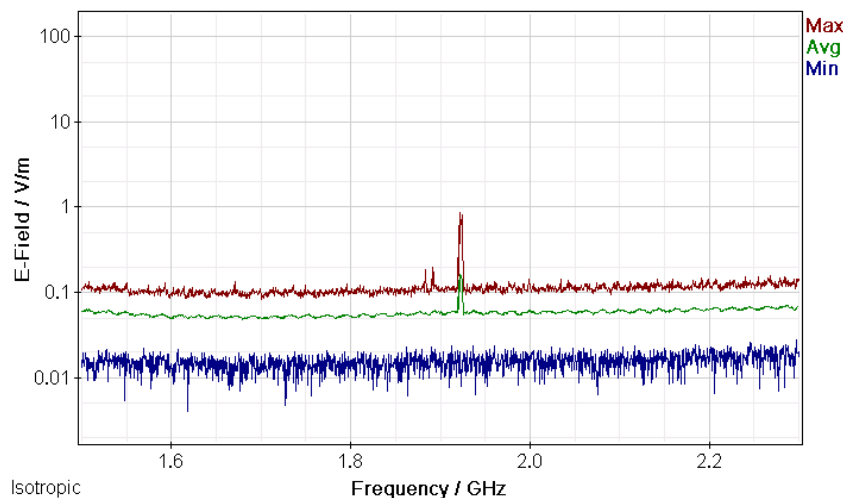


Σχήμα 54: Διακυμάνσεις (α) ελάχιστης (Min), (β) μέσης (Avg) και (γ) μέγιστης (Max) έντασης ηλεκτρικού πεδίου (E-Field) ως συνάρτηση της συχνότητας (Frequency) του πεδίου για μετρήσεις με οργανολογία τύπου NARDA SMR-3006 σε συσκευή κινητής τηλεφωνίας τύπου IPHONE 6S και παρόχου VODAFONE σε απόσταση 1m από την κεραία της συσκευής κατά τη διάρκεια τερματισμού της κλήσης χωρίς ενεργοποίηση δεδομένων κινητής τηλεφωνίας.

ΜΕΛΕΤΗ Η/Μ ΔΙΑΤΑΡΑΧΩΝ ΚΙΝΗΤΗΣ ΤΗΛΕΦΩΝΙΑΣ



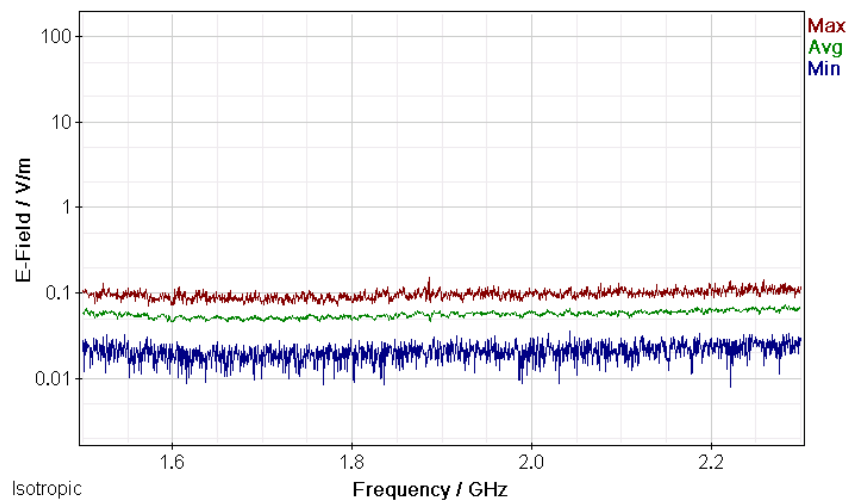
Σχήμα 55: Διακυμάνσεις (α) ελάχιστης (Min), (β) μέσης (Avg) και (γ) μέγιστης (Max) έντασης ηλεκτρικού πεδίου (E-Field) ως συνάρτηση της συχνότητας (Frequency) του πεδίου για μετρήσεις με οργάνολογία τύπου NARDA SMR-3006 σε συσκευή κινητής τηλεφωνίας τύπου IPHONE 6S και παρόχου VODAFONE σε απόσταση 1m από την κεραία της συσκευής κατά τη διάρκεια αναμονής χρήσης της συσκευής με ενεργοποίηση των δεδομένων κινητής τηλεφωνίας χωρίς πρόσβαση στον παγώσιμο ιστό.



Σχήμα 56: Διακυμάνσεις (α) ελάχιστης (Min), (β) μέσης (Avg) και (γ) μέγιστης (Max) έντασης ηλεκτρικού πεδίου (E-Field) ως συνάρτηση της συχνότητας (Frequency) του πεδίου για μετρήσεις με οργάνολογία τύπου NARDA SMR-3006 σε συσκευή κινητής τηλεφωνίας τύπου IPHONE 6S και παρόχου VODAFONE σε απόσταση 1m από την κεραία της συσκευής κατά τη διάρκεια αναμονής χρήσης της συσκευής με ενεργοποίηση των δεδομένων κινητής τηλεφωνίας και αναζήτησης δεδομένων στον παγώσιμο ιστό.

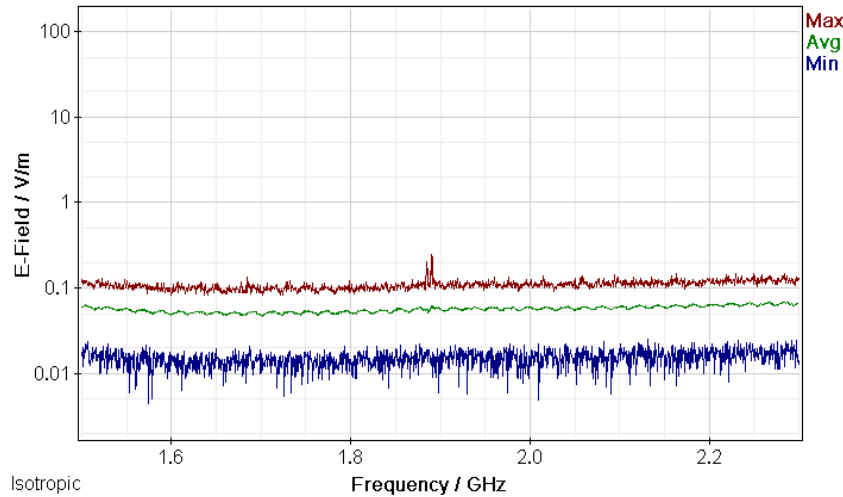
ΠΑΡΑΡΤΗΜΑ 1

Μετρήσεις διακυμάνσεων (α) ελάχιστης (Min), (β) μέσης (Avg) και (γ) μέγιστης (Max) έντασης ηλεκτρικού πεδίου (E-Field) ως συνάρτηση της συχνότητας (Frequency) του πεδίου για μετρήσεις με οργανολογία τύπου NARDA SMR-3006 σε συσκευές κινητής τηλεφωνίας διαφόρων τύπων και παρόχων σε απόσταση 0 m από την κεραία των συσκευών.

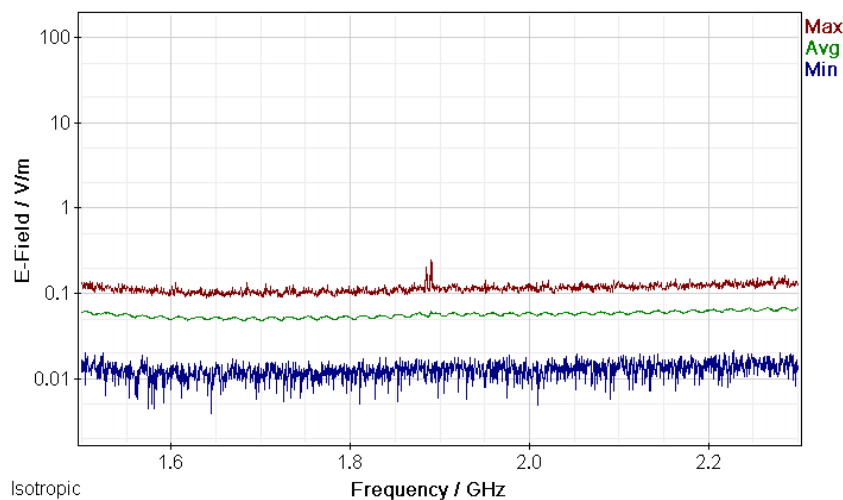


Σχήμα 57: Διακυμάνσεις (α) ελάχιστης (Min), (β) μέσης (Avg) και (γ) μέγιστης (Max) έντασης ηλεκτρικού πεδίου (E-Field) ως συνάρτηση της συχνότητας (Frequency) του πεδίου για μετρήσεις με οργανολογία τύπου NARDA SMR-3006 σε συσκευή κινητής τηλεφωνίας τύπου MICROSOFT MOBILE RM-1090 και παρόχου COSMOTE σε απόσταση 0m από την κεραία της συσκευής κατά τη διάρκεια αναμονής χρήσης της συσκευής και χωρίς την ενεργοποίηση δεδομένων κινητής τηλεφωνίας.

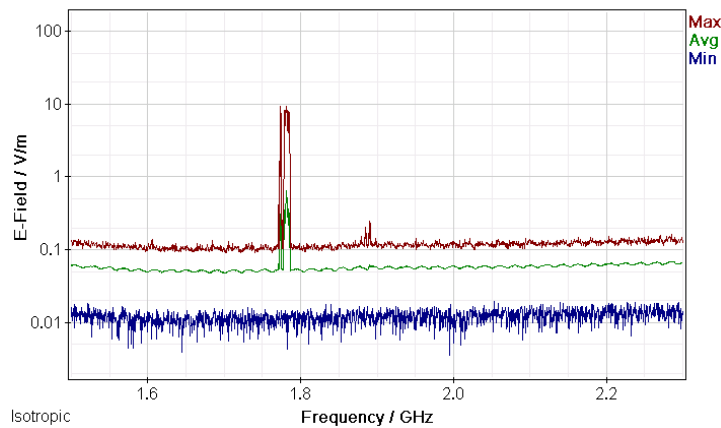
ΜΕΛΕΤΗ Η/Μ ΔΙΑΤΑΡΑΧΩΝ ΚΙΝΗΤΗΣ ΤΗΛΕΦΩΝΙΑΣ



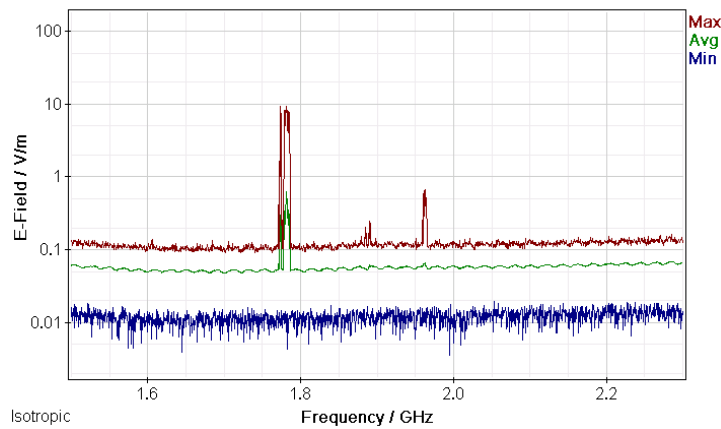
Σχήμα 58: Διακυμάνσεις (α) ελάχιστης (Min), (β) μέσης (Avg) και (γ) μέγιστης (Max) έντασης ηλεκτρικού πεδίου (E-Field) ως συνάρτηση της συχνότητας (Frequency) του πεδίου για μετρήσεις με οργανολογία τύπου NARDA SMR-3006 σε συσκευή κινητής τηλεφωνίας τύπου MICROSOFT MOBILE RM-1090 και παρόχου COSMOTE σε απόσταση 0m από την κεραία της συσκευής κατά τη διάρκεια κλήσης χωρίς συνομιλία και ενεργοποίηση δεδομένων κινητής τηλεφωνίας .



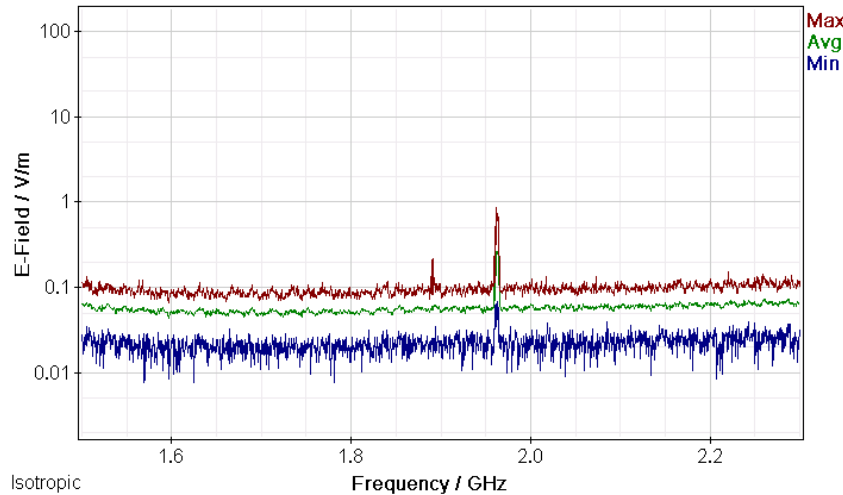
Σχήμα 59: Διακυμάνσεις (α) ελάχιστης (Min), (β) μέσης (Avg) και (γ) μέγιστης (Max) έντασης ηλεκτρικού πεδίου (E-Field) ως συνάρτηση της συχνότητας (Frequency) του πεδίου για μετρήσεις με οργανολογία τύπου NARDA SMR-3006 σε συσκευή κινητής τηλεφωνίας τύπου MICROSOFT MOBILE RM-1090 και παρόχου COSMOTE σε απόσταση 0m από την κεραία της συσκευής κατά τη διάρκεια συνομιλίας δυόμιση λεπτών χωρίς ενεργοποίηση δεδομένων κινητής τηλεφωνίας.



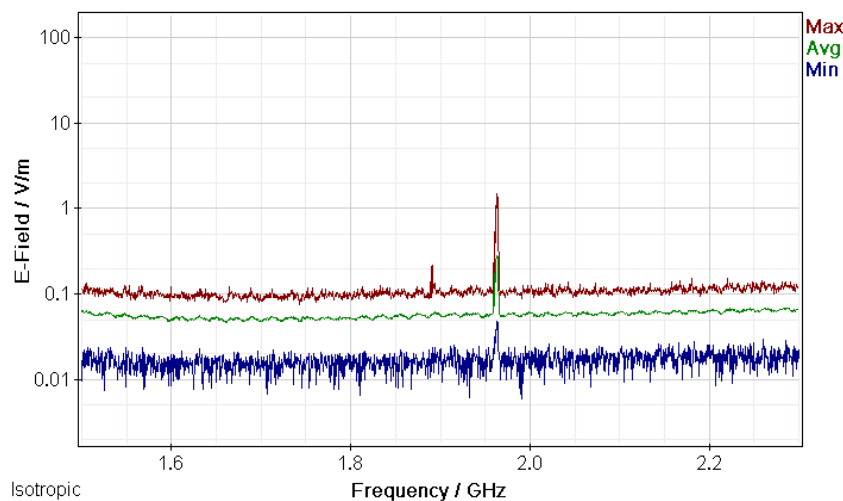
Σχήμα 60: Διακυμάνσεις (α) ελάχιστης (Min), (β) μέσης (Avg) και (γ) μέγιστης (Max) έντασης ηλεκτρικού πεδίου (E-Field) ως συνάρτηση της συχνότητας (Frequency) του πεδίου για μετρήσεις με οργανολογία τύπου NARDA SMR-3006 σε συσκευή κινητής τηλεφωνίας τύπου MICROSOFT MOBILE RM-1090 και παρόχου COSMOTE σε απόσταση 0m από την κεραία της συσκευής κατά τη διάρκεια πεντάλεπτης συνομιλίας χωρίς ενεργοποίηση δεδομένων κινητής τηλεφωνίας.



Σχήμα 61: Διακυμάνσεις (α) ελάχιστης (Min), (β) μέσης (Avg) και (γ) μέγιστης (Max) έντασης ηλεκτρικού πεδίου (E-Field) ως συνάρτηση της συχνότητας (Frequency) του πεδίου για μετρήσεις με οργανολογία τύπου NARDA SMR-3006 σε συσκευή κινητής τηλεφωνίας τύπου MICROSOFT MOBILE RM-1090 και παρόχου COMOTE σε απόσταση 0m από την κεραία της συσκευής κατά τη διάρκεια τερματισμού της κλήσης χωρίς ενεργοποίηση δεδομένων κινητής τηλεφωνίας.



Σχήμα 62: Διακυμάνσεις (α) ελάχιστης (Min), (β) μέσης (Avg) και (γ) μέγιστης (Max) έντασης ηλεκτρικού πεδίου (E-Field) ως συνάρτηση της συχνότητας (Frequency) του πεδίου για μετρήσεις με οργανολογία τύπου NARDA SMR-3006 σε συσκευή κινητής τηλεφωνίας τύπου MICROSOFT MOBILE RM-1090 και παρόχου COSMOTE σε απόσταση 0m από την κεραία της συσκευής κατά τη διάρκεια αναμονής χρήσης της συσκευής με ενεργοποίηση των δεδομένων κινητής τηλεφωνίας χωρίς πρόσβαση στον παγόσμιο ιστό.



Σχήμα 63: Διακυμάνσεις (α) ελάχιστης (Min), (β) μέσης (Avg) και (γ) μέγιστης (Max) έντασης ηλεκτρικού πεδίου (E-Field) ως συνάρτηση της συχνότητας (Frequency) του πεδίου για μετρήσεις με οργανολογία τύπου NARDA SMR-3006 σε συσκευή κινητής τηλεφωνίας τύπου MICROSOFT MOBILE RM-1090 και παρόχου COSMOTE σε απόσταση 0m από την κεραία της συσκευής κατά τη διάρκεια αναμονής χρήσης της συσκευής με ενεργοποίηση των δεδομένων κινητής τηλεφωνίας και αναζήτησης δεδομένων στον παγόσμιο ιστό.

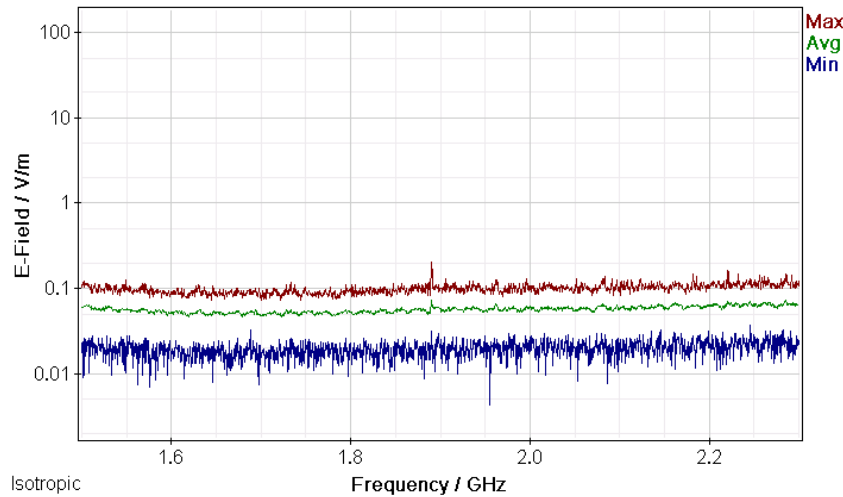
ΠΑΡΑΡΤΗΜΑ 2

Μετρήσεις διακυμάνσεων (α) ελάχιστης (Min), (β) μέσης (Avg) και (γ) μέγιστης (Max) έντασης ηλεκτρικού πεδίου (E-Field) ως συνάρτηση της συχνότητας (Frequency) του πεδίου για μετρήσεις με οργανολογία τύπου NARDA SMR-3006 σε συσκευές κινητής τηλεφωνίας διαφόρων τύπων και παρόχων σε απόσταση 1 m από την κεραία των συσκευών.

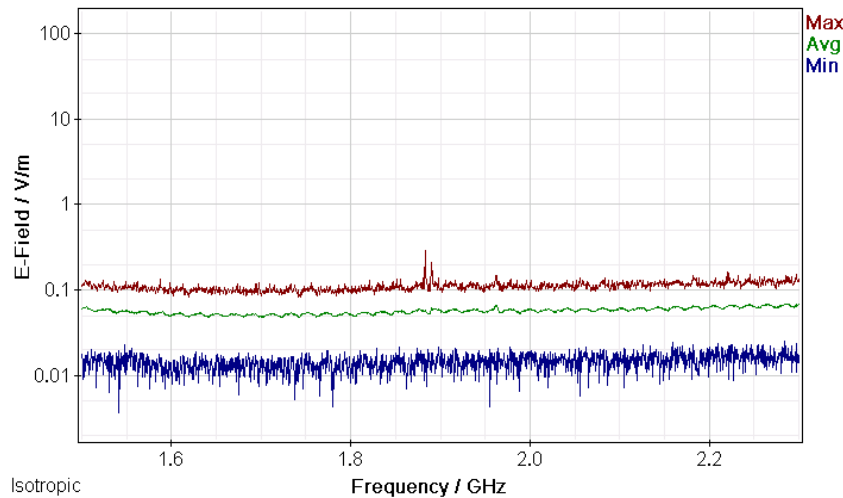


Σχήμα 64: Διακυμάνσεις (α) ελάχιστης (Min), (β) μέσης (Avg) και (γ) μέγιστης (Max) έντασης ηλεκτρικού πεδίου (E-Field) ως συνάρτηση της συχνότητας (Frequency) του πεδίου για μετρήσεις με οργανολογία τύπου NARDA SMR-3006 σε συσκευή κινητής τηλεφωνίας τύπου MICROSOFT MOBILE RM-1090 και παρόχου COSMOTE σε απόσταση 1m από την κεραία της συσκευής κατά τη διάρκεια αναμονής χρήσης της συσκευής και χωρίς την ενεργοποίηση δεδομένων κινητής τηλεφωνίας.

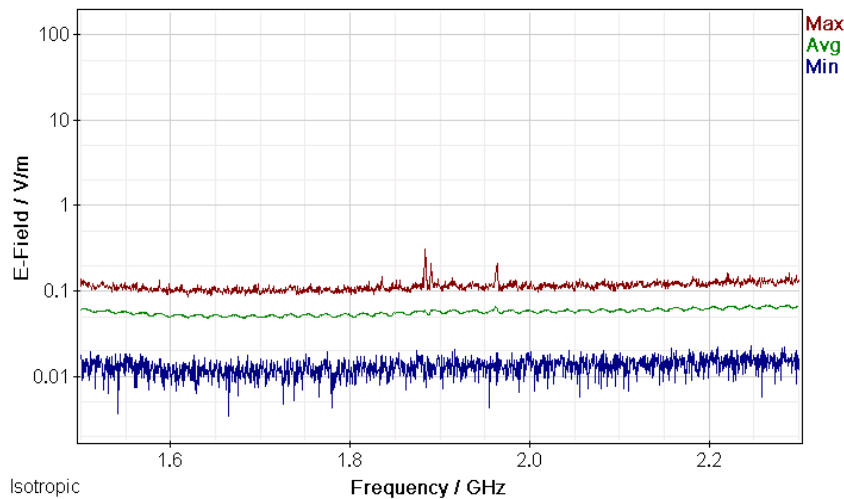
ΜΕΛΕΤΗ Η/Μ ΔΙΑΤΑΡΑΧΩΝ ΚΙΝΗΤΗΣ ΤΗΛΕΦΩΝΙΑΣ



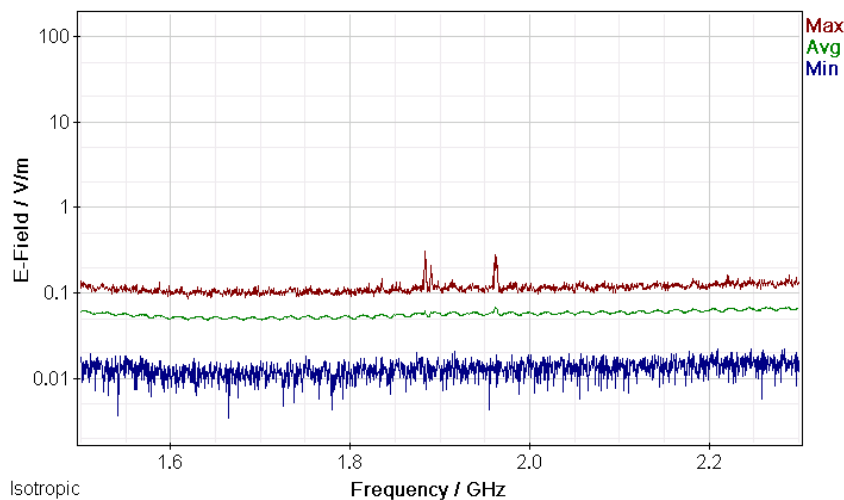
Σχήμα 65: Διακυμάνσεις (α) ελάχιστης (Min), (β) μέσης (Avg) και (γ) μέγιστης (Max) έντασης ηλεκτρικού πεδίου (E-Field) ως συνάρτηση της συχνότητας (Frequency) του πεδίου για μετρήσεις με οργανολογία τύπου NARDA SMR-3006 σε συσκευή κινητής τηλεφωνίας τύπου MICROSOFT MOBILE RM-1090 και παρόχου COSMOTE σε απόσταση 1m από την κεραία της συσκευής κατά τη διάρκεια κλήσης χωρίς συνομιλία και ενεργοποίηση δεδομένων κινητής τηλεφωνίας .



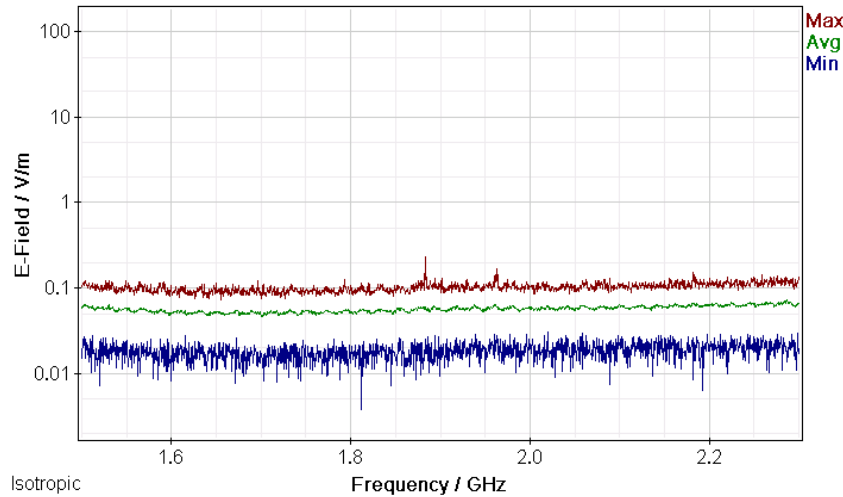
Σχήμα 66: Διακυμάνσεις (α) ελάχιστης (Min), (β) μέσης (Avg) και (γ) μέγιστης (Max) έντασης ηλεκτρικού πεδίου (E-Field) ως συνάρτηση της συχνότητας (Frequency) του πεδίου για μετρήσεις με οργανολογία τύπου NARDA SMR-3006 σε συσκευή κινητής τηλεφωνίας τύπου MICROSOFT MOBILE RM-1090 και παρόχου COSMOTE σε απόσταση 1m από την κεραία της συσκευής κατά τη διάρκεια συνομιλίας δύομιση λεπτών χωρίς ενεργοποίηση δεδομένων κινητής τηλεφωνίας.



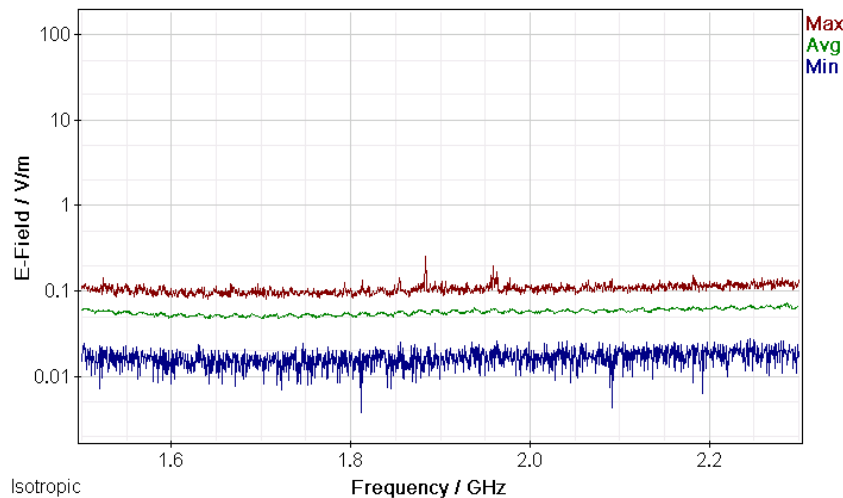
Σχήμα 67: Διακυμάνσεις (α) ελάχιστης (Min), (β) μέσης (Avg) και (γ) μέγιστης (Max) έντασης ηλεκτρικού πεδίου (E-Field) ως συνάρτηση της συχνότητας (Frequency) του πεδίου για μετρήσεις με οργανολογία τύπου NARDA SMR-3006 σε συσκευή κινητής τηλεφωνίας τύπου MICROSOFT MOBILE RM-1090 και παρόχου COSMOTE σε απόσταση 1m από την κεραία της συσκευής κατά τη διάρκεια πεντάλεπτης συνομιλίας χωρίς ενεργοποίηση δεδομένων κινητής τηλεφωνίας.



Σχήμα 68: Διακυμάνσεις (α) ελάχιστης (Min), (β) μέσης (Avg) και (γ) μέγιστης (Max) έντασης ηλεκτρικού πεδίου (E-Field) ως συνάρτηση της συχνότητας (Frequency) του πεδίου για μετρήσεις με οργανολογία τύπου NARDA SMR-3006 σε συσκευή κινητής τηλεφωνίας τύπου MICROSOFT MOBILE RM-1090 και παρόχου COSMOTE σε απόσταση 1m από την κεραία της συσκευής κατά τη διάρκεια τερματισμού της κλήσης χωρίς ενεργοποίηση δεδομένων κινητής τηλεφωνίας.



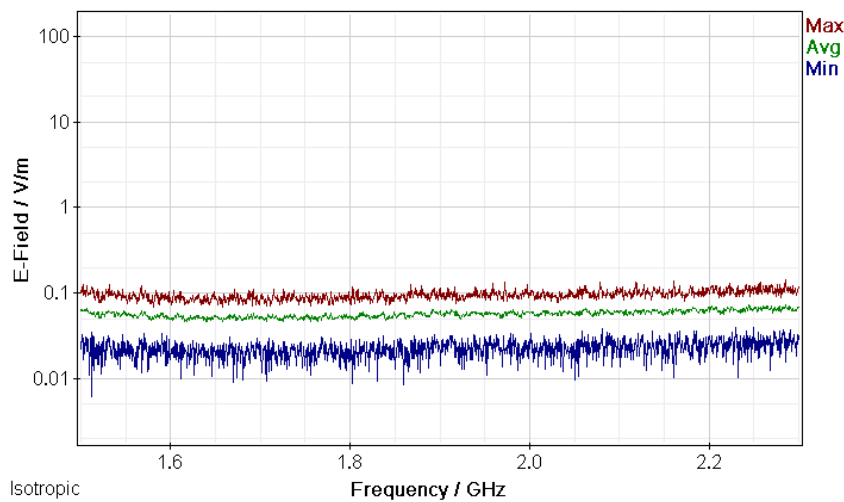
Σχήμα 69: Διακυμάνσεις (α) ελάχιστης (Min), (β) μέσης (Avg) και (γ) μέγιστης (Max) έντασης ηλεκτρικού πεδίου (E-Field) ως συνάρτηση της συχνότητας (Frequency) του πεδίου για μετρήσεις με οργάνολογία τύπου NARDA SMR-3006 σε συσκευή κινητής τηλεφωνίας τύπου MICROSOFT MOBILE RM-1090 και παρόχου COSMOTE σε απόσταση 1m από την κεραία της συσκευής κατά τη διάρκεια αναμονής χρήσης της συσκευής με ενεργοποίηση των δεδομένων κινητής τηλεφωνίας χωρίς πρόσβαση στον παγόσμιο ιστό.



Σχήμα 70: Διακυμάνσεις (α) ελάχιστης (Min), (β) μέσης (Avg) και (γ) μέγιστης (Max) έντασης ηλεκτρικού πεδίου (E-Field) ως συνάρτηση της συχνότητας (Frequency) του πεδίου για μετρήσεις με οργάνολογία τύπου NARDA SMR-3006 σε συσκευή κινητής τηλεφωνίας τύπου MICROSOFT MOBILE RM-1090 και παρόχου COSMOTE σε απόσταση 1m από την κεραία της συσκευής κατά τη διάρκεια αναμονής χρήσης της συσκευής με ενεργοποίηση των δεδομένων κινητής τηλεφωνίας και αναζήτησης δεδομένων στον παγόσμιο ιστό.

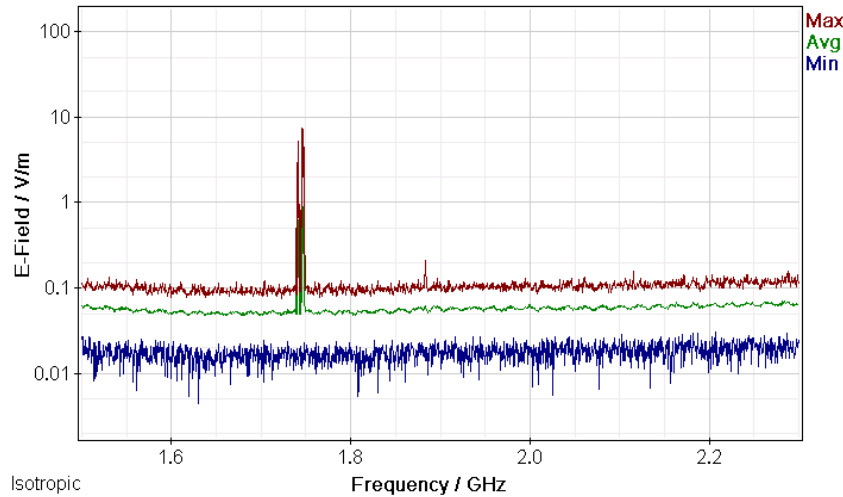
ΠΑΡΑΡΤΗΜΑ 1

Μετρήσεις διακυμάνσεων (α) ελάχιστης (Min), (β) μέσης (Avg) και (γ) μέγιστης (Max) έντασης ηλεκτρικού πεδίου (E-Field) ως συνάρτηση της συχνότητας (Frequency) του πεδίου για μετρήσεις με οργανολογία τύπου NARDA SMR-3006 σε συσκευές κινητής τηλεφωνίας διαφόρων τύπων και παρόχων σε απόσταση 0 m από την κεραία των συσκευών.

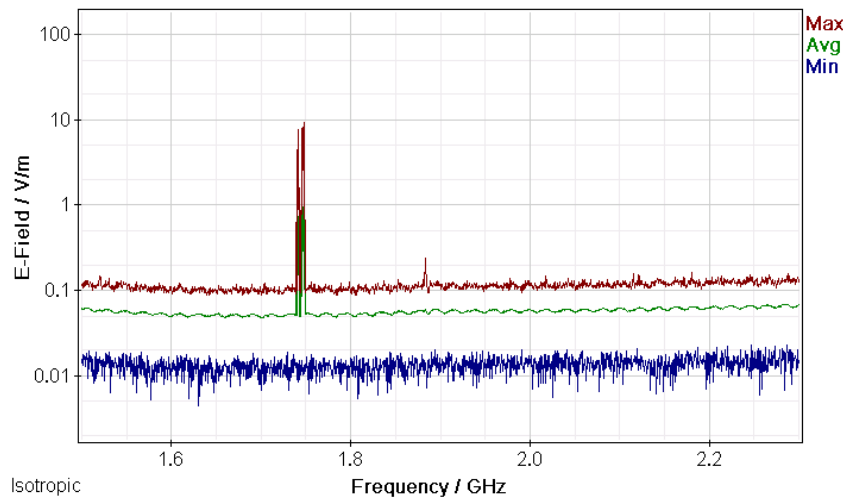


Σχήμα 71: Διακυμάνσεις (α) ελάχιστης (Min), (β) μέσης (Avg) και (γ) μέγιστης (Max) έντασης ηλεκτρικού πεδίου (E-Field) ως συνάρτηση της συχνότητας (Frequency) του πεδίου για μετρήσεις με οργανολογία τύπου NARDA SMR-3006 σε συσκευή κινητής τηλεφωνίας τύπου MICROSOFT MOBILE RM-1090 και παρόχου VODAFONE σε απόσταση 0m από την κεραία της συσκευής κατά τη διάρκεια αναμονής χρήσης της συσκευής και χωρίς την ενεργοποίηση δεδομένων κινητής τηλεφωνίας.

ΜΕΛΕΤΗ Η/Μ ΔΙΑΤΑΡΑΧΩΝ ΚΙΝΗΤΗΣ ΤΗΛΕΦΩΝΙΑΣ

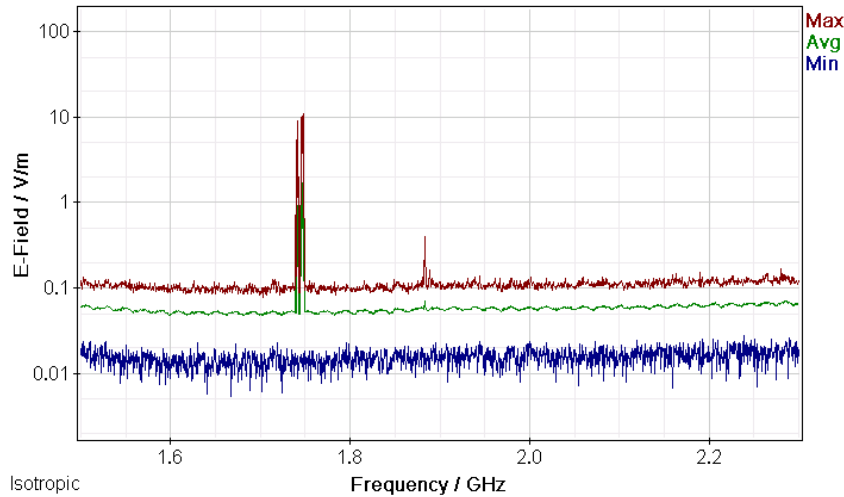


Σχήμα 72: Διακυμάνσεις (α) ελάχιστης (Min), (β) μέσης (Avg) και (γ) μέγιστης (Max) έντασης ηλεκτρικού πεδίου (E-Field) ως συνάρτηση της συχνότητας (Frequency) του πεδίου για μετρήσεις με οργανολογία τύπου NARDA SMR-3006 σε συσκευή κινητής τηλεφωνίας τύπου MICROSOFT MOBILE RM-1090 και παρόχου VODAFONE σε απόσταση 0m από την κεραία της συσκευής κατά τη διάρκεια κλήσης χωρίς συνομιλία και ενεργοποίηση δεδομένων κινητής τηλεφωνίας .

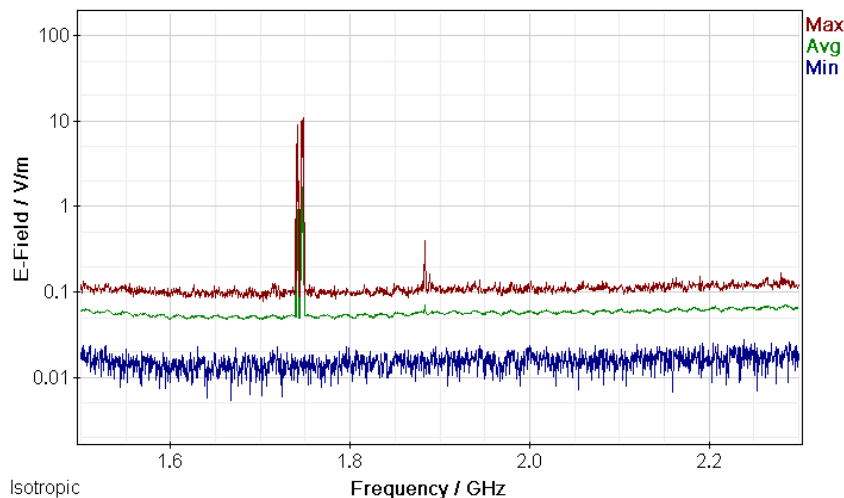


Σχήμα 73: Διακυμάνσεις (α) ελάχιστης (Min), (β) μέσης (Avg) και (γ) μέγιστης (Max) έντασης ηλεκτρικού πεδίου (E-Field) ως συνάρτηση της συχνότητας (Frequency) του πεδίου για μετρήσεις με οργανολογία τύπου NARDA SMR-3006 σε συσκευή κινητής τηλεφωνίας τύπου MICROSOFT MOBILE RM-1090 και παρόχου VODAFONE σε απόσταση 0m από την κεραία της συσκευής κατά τη διάρκεια συνομιλίας δυόμιση λεπτών χωρίς ενεργοποίηση δεδομένων κινητής τηλεφωνίας.

ΜΕΛΕΤΗ Η/Μ ΔΙΑΤΑΡΑΧΩΝ ΚΙΝΗΤΗΣ ΤΗΛΕΦΩΝΙΑΣ

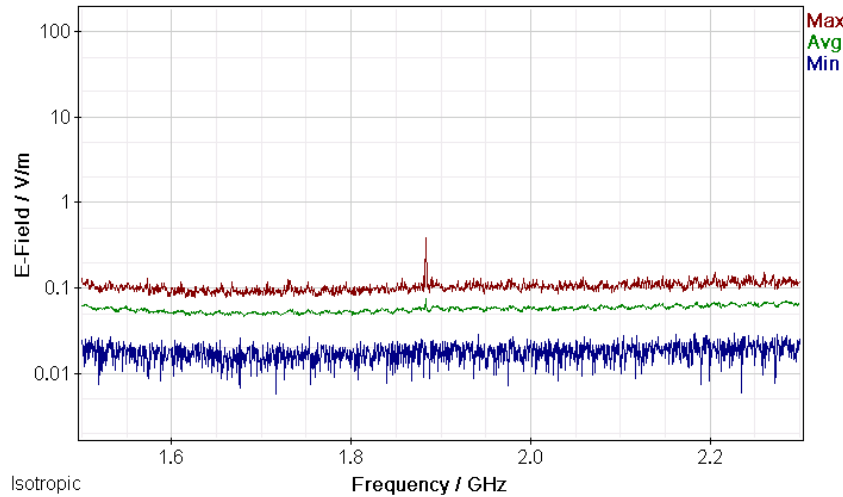


Σχήμα 74: Διακυμάνσεις (α) ελάχιστης (Min), (β) μέσης (Avg) και (γ) μέγιστης (Max) έντασης ηλεκτρικού πεδίου (E-Field) ως συνάρτηση της συχνότητας (Frequency) του πεδίου για μετρήσεις με οργάνολογία τύπου NARDA SMR-3006 σε συσκευή κινητής τηλεφωνίας τύπου MICROSOFT MOBILE RM-1090 και παρόχου VODAFONE σε απόσταση 0m από την κεραία της συσκευής κατά τη διάρκεια πεντάλεπτης συνομιλίας χωρίς ενεργοποίηση δεδομένων κινητής τηλεφωνίας.

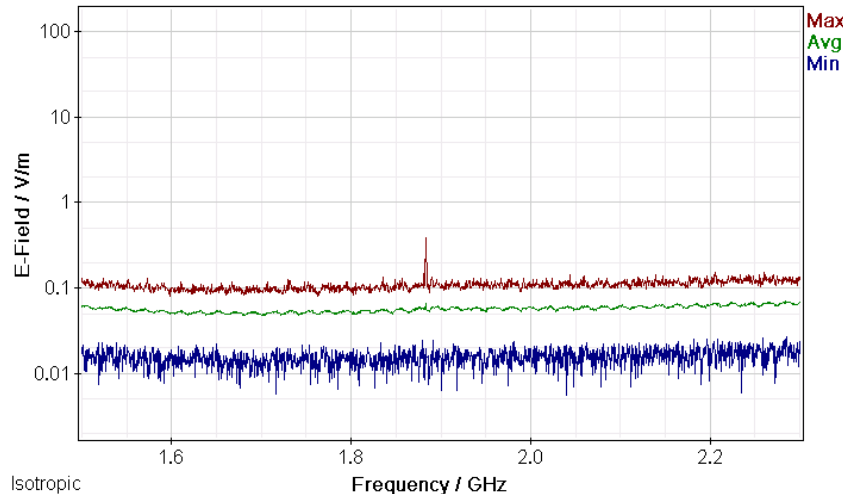


Σχήμα 75: Διακυμάνσεις (α) ελάχιστης (Min), (β) μέσης (Avg) και (γ) μέγιστης (Max) έντασης ηλεκτρικού πεδίου (E-Field) ως συνάρτηση της συχνότητας (Frequency) του πεδίου για μετρήσεις με οργάνολογία τύπου NARDA SMR-3006 σε συσκευή κινητής τηλεφωνίας τύπου MICROSOFT MOBILE RM-1090 και παρόχου VODAFONE σε απόσταση 0m από την κεραία της συσκευής κατά τη διάρκεια τερματισμού της κλήσης χωρίς ενεργοποίηση δεδομένων κινητής τηλεφωνίας.

ΜΕΛΕΤΗ Η/Μ ΔΙΑΤΑΡΑΧΩΝ ΚΙΝΗΤΗΣ ΤΗΛΕΦΩΝΙΑΣ



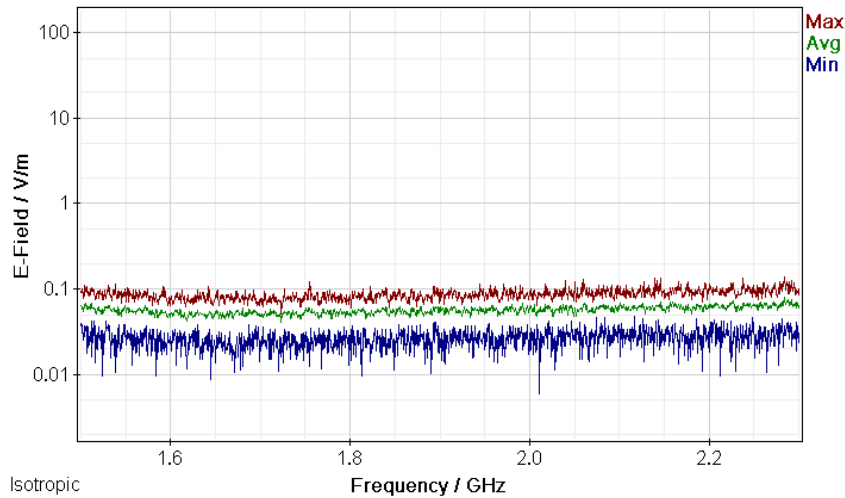
Σχήμα 76: Διακυμάνσεις (α) ελάχιστης (Min), (β) μέσης (Avg) και (γ) μέγιστης (Max) έντασης ηλεκτρικού πεδίου (E-Field) ως συνάρτηση της συχνότητας (Frequency) του πεδίου για μετρήσεις με οργανολογία τύπου NARDA SMR-3006 σε συσκευή κινητής τηλεφωνίας τύπου MICROSOFT MOBILE RM-1090 και παρόχου VODAFONE σε απόσταση 0m από την κεραία της συσκευής κατά τη διάρκεια αναμονής χρήσης της συσκευής με ενεργοποίηση των δεδομένων κινητής τηλεφωνίας χωρίς πρόσβαση στον παγόσμιο ιστό.



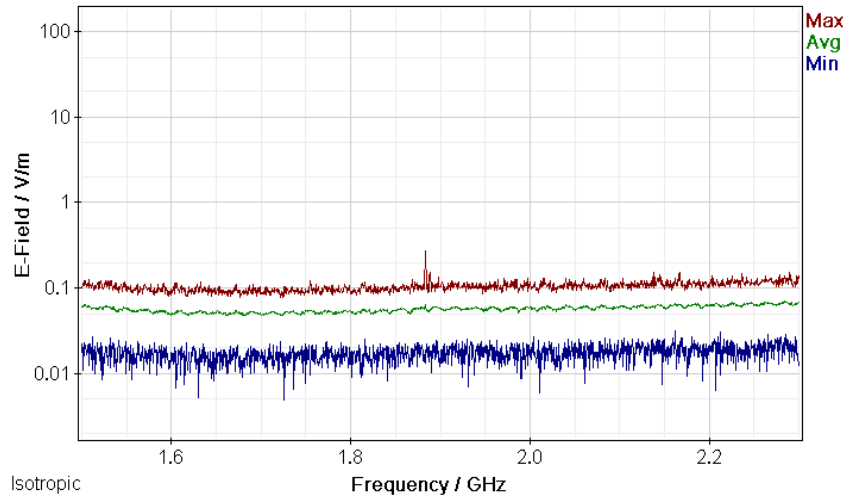
Σχήμα 77: Διακυμάνσεις (α) ελάχιστης (Min), (β) μέσης (Avg) και (γ) μέγιστης (Max) έντασης ηλεκτρικού πεδίου (E-Field) ως συνάρτηση της συχνότητας (Frequency) του πεδίου για μετρήσεις με οργανολογία τύπου NARDA SMR-3006 σε συσκευή κινητής τηλεφωνίας τύπου MICROSOFT MOBILE RM-1090 και παρόχου VODAFONE σε απόσταση 0m από την κεραία της συσκευής κατά τη διάρκεια αναμονής χρήσης της συσκευής με ενεργοποίηση των δεδομένων κινητής τηλεφωνίας και αναζήτησης δεδομένων στον παγόσμιο ιστό.

ΠΑΡΑΡΤΗΜΑ 2

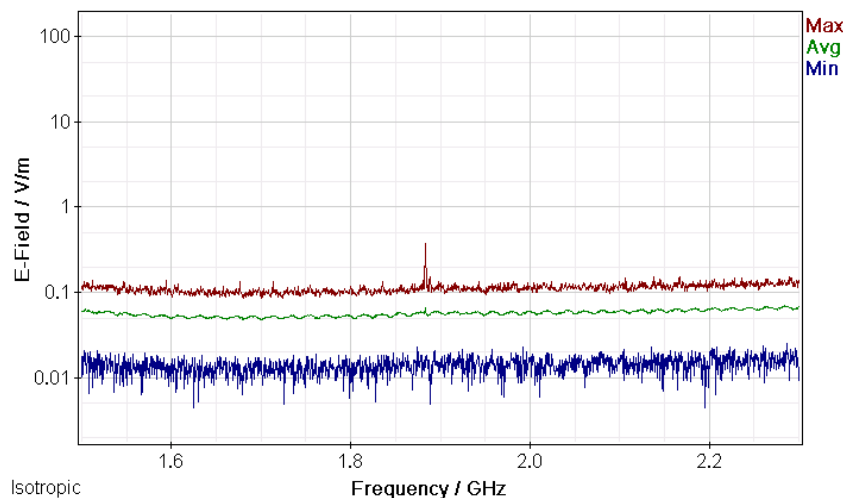
Μετρήσεις διακυμάνσεων (α) ελάχιστης (Min), (β) μέσης (Avg) και (γ) μέγιστης (Max) έντασης ηλεκτρικού πεδίου (E-Field) ως συνάρτηση της συχνότητας (Frequency) του πεδίου για μετρήσεις με οργάνολογία τύπου NARDA SMR-3006 σε συσκευές κινητής τηλεφωνίας διαφόρων τύπων και παρόχων σε απόσταση 1 m από την κεραία των συσκευών.



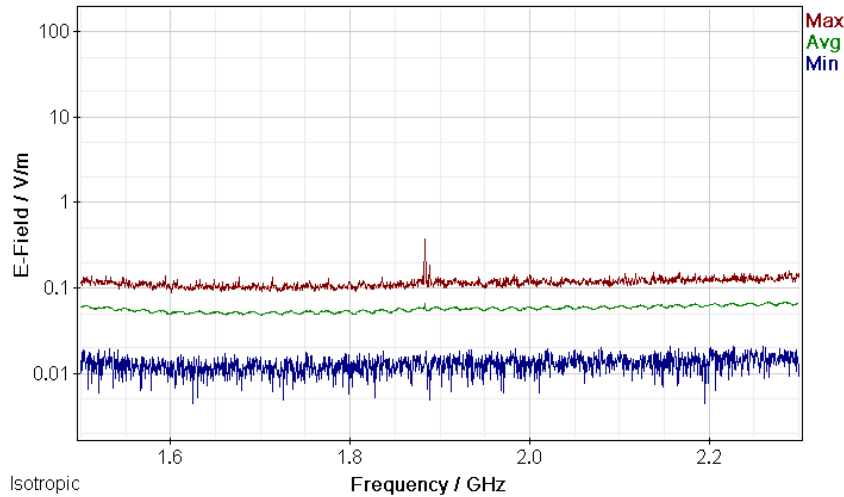
Σχήμα 78: Διακυμάνσεις (α) ελάχιστης (Min), (β) μέσης (Avg) και (γ) μέγιστης (Max) έντασης ηλεκτρικού πεδίου (E-Field) ως συνάρτηση της συχνότητας (Frequency) του πεδίου για μετρήσεις με οργάνολογία τύπου NARDA SMR-3006 σε συσκευή κινητής τηλεφωνίας τύπου MICROSOFT MOBILE RM-1090 και παρόχου VODAFONE σε απόσταση 1m από την κεραία της συσκευής κατά τη διάρκεια αναμονής χρήσης της συσκευής και χωρίς την ενεργοποίηση δεδομένων κινητής τηλεφωνίας.



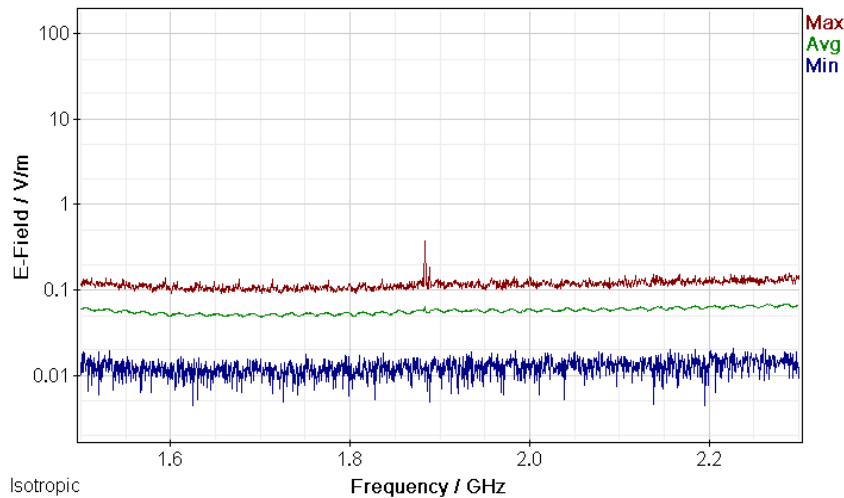
Σχήμα 79: Διακυμάνσεις (α) ελάχιστης (Min), (β) μέσης (Avg) και (γ) μέγιστης (Max) έντασης ηλεκτρικού πεδίου (E-Field) ως συνάρτηση της συχνότητας (Frequency) του πεδίου για μετρήσεις με οργάνολογία τύπου NARDA SMR-3006 σε συσκευή κινητής τηλεφωνίας τύπου MICROSOFT MOBILE RM-1090 και παρόχου VODAFONE σε απόσταση 1m από την κεραία της συσκευής κατά τη διάρκεια κλήσης χωρίς συνομιλία και ενεργοποίηση δεδομένων κινητής τηλεφωνίας .



Σχήμα 80: Διακυμάνσεις (α) ελάχιστης (Min), (β) μέσης (Avg) και (γ) μέγιστης (Max) έντασης ηλεκτρικού πεδίου (E-Field) ως συνάρτηση της συχνότητας (Frequency) του πεδίου για μετρήσεις με οργάνολογία τύπου NARDA SMR-3006 σε συσκευή κινητής τηλεφωνίας τύπου MICROSOFT MOBILE RM-1090 και παρόχου VODAFONE σε απόσταση 1m από την κεραία της συσκευής κατά τη διάρκεια συνομιλίας δύομιση λεπτών χωρίς ενεργοποίηση δεδομένων κινητής τηλεφωνίας.

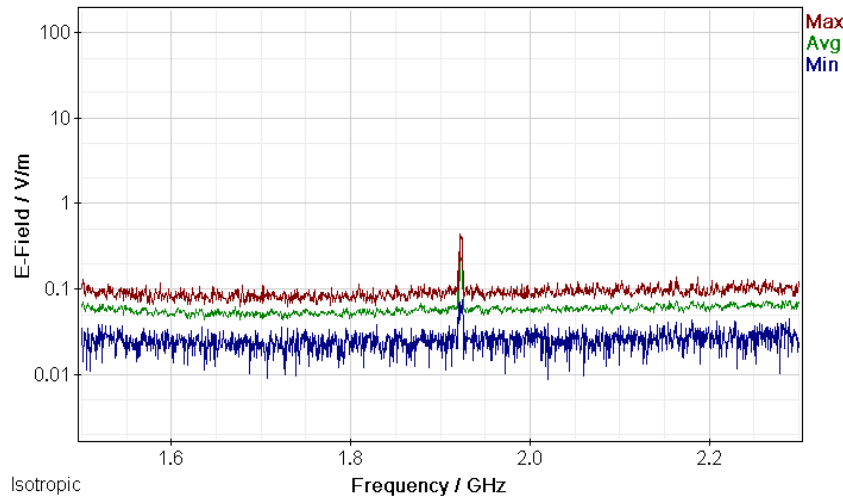


Σχήμα 81: Διακυμάνσεις (α) ελάχιστης (Min), (β) μέσης (Avg) και (γ) μέγιστης (Max) έντασης ηλεκτρικού πεδίου (E-Field) ως συνάρτηση της συχνότητας (Frequency) του πεδίου για μετρήσεις με οργάνολογία τύπου NARDA SMR-3006 σε συσκευή κινητής τηλεφωνίας τύπου MICROSOFT MOBILE RM-1090 και παρόχου VODAFONE σε απόσταση 1m από την κεραία της συσκευής κατά τη διάρκεια πεντάλεπτης συνομιλίας χωρίς ενεργοποίηση δεδομένων κινητής τηλεφωνίας.

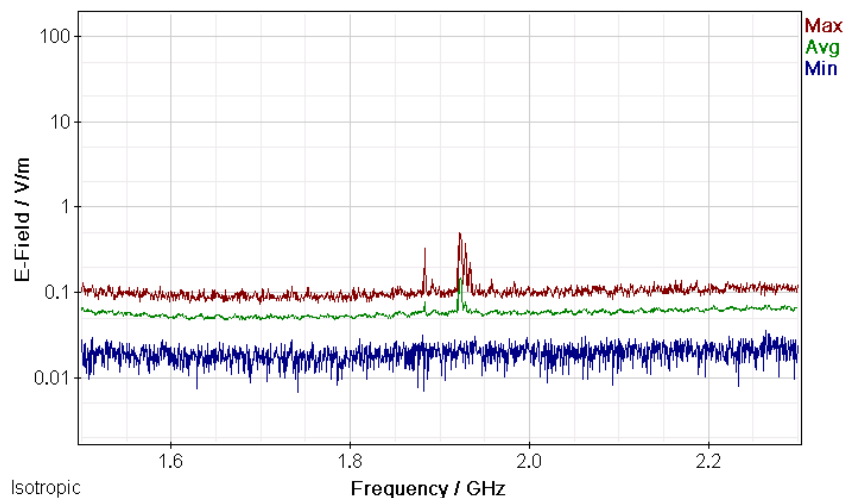


Σχήμα 82: Διακυμάνσεις (α) ελάχιστης (Min), (β) μέσης (Avg) και (γ) μέγιστης (Max) έντασης ηλεκτρικού πεδίου (E-Field) ως συνάρτηση της συχνότητας (Frequency) του πεδίου για μετρήσεις με οργάνολογία τύπου NARDA SMR-3006 σε συσκευή κινητής τηλεφωνίας τύπου MICROSOFT MOBILE RM-1090 και παρόχου VODAFONE σε απόσταση 1m από την κεραία της συσκευής κατά τη διάρκεια τερματισμού της κλήσης χωρίς ενεργοποίηση δεδομένων κινητής τηλεφωνίας.

ΜΕΛΕΤΗ Η/Μ ΔΙΑΤΑΡΑΧΩΝ ΚΙΝΗΤΗΣ ΤΗΛΕΦΩΝΙΑΣ



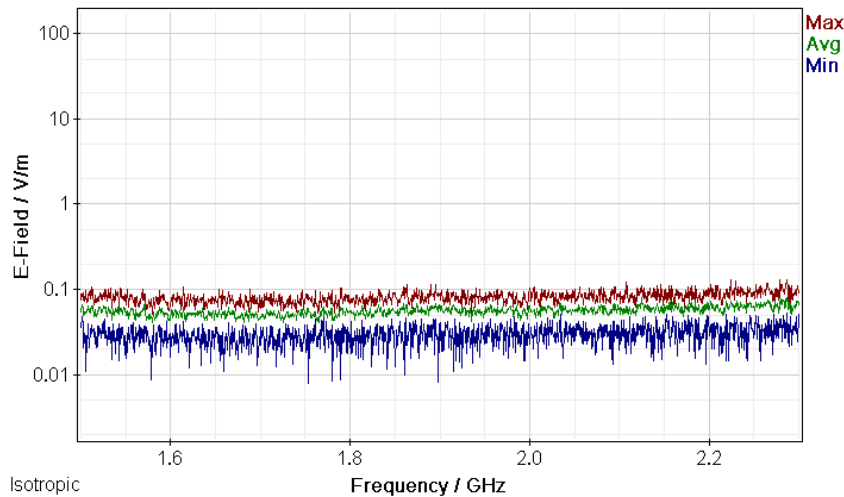
Σχήμα 83: Διακυμάνσεις (α) ελάχιστης (Min), (β) μέσης (Avg) και (γ) μέγιστης (Max) έντασης ηλεκτρικού πεδίου (E-Field) ως συνάρτηση της συχνότητας (Frequency) του πεδίου για μετρήσεις με οργανολογία τύπου NARDA SMR-3006 σε συσκευή κινητής τηλεφωνίας τύπου MICROSOFT MOBILE RM-1090 και παρόχου VODAFONE σε απόσταση 1m από την κεραία της συσκευής κατά τη διάρκεια αναμονής χρήσης της συσκευής με ενεργοποίηση των δεδομένων κινητής τηλεφωνίας χωρίς πρόσβαση στον παγώσιμο ιστό.



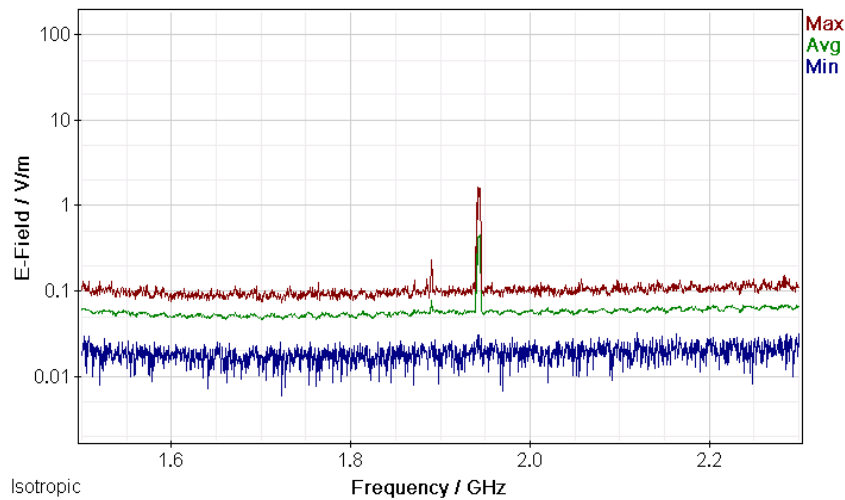
Σχήμα 84: Διακυμάνσεις (α) ελάχιστης (Min), (β) μέσης (Avg) και (γ) μέγιστης (Max) έντασης ηλεκτρικού πεδίου (E-Field) ως συνάρτηση της συχνότητας (Frequency) του πεδίου για μετρήσεις με οργανολογία τύπου NARDA SMR-3006 σε συσκευή κινητής τηλεφωνίας τύπου MICROSOFT MOBILE RM-1090 και παρόχου VODAFONE σε απόσταση 1m από την κεραία της συσκευής κατά τη διάρκεια αναμονής χρήσης της συσκευής με ενεργοποίηση των δεδομένων κινητής τηλεφωνίας και αναζήτησης δεδομένων στον παγώσιμο ιστό.

ΠΑΡΑΡΤΗΜΑ 1

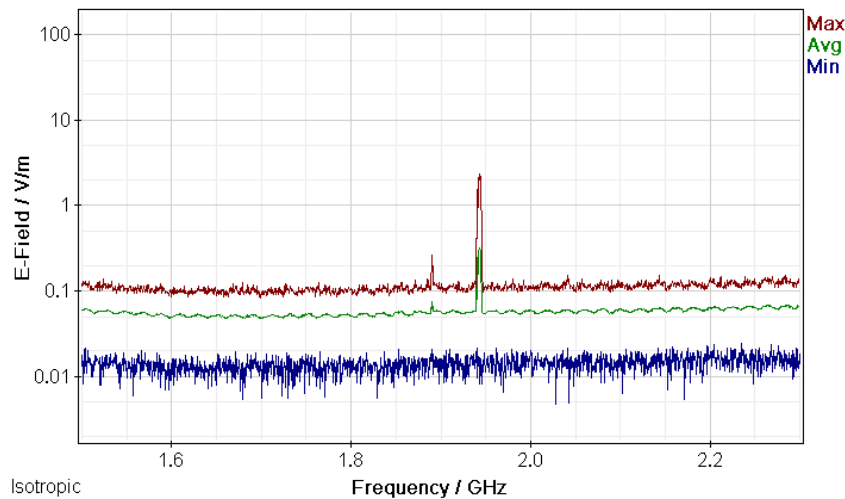
Μετρήσεις διακυμάνσεων (α) ελάχιστης (Min), (β) μέσης (Avg) και (γ) μέγιστης (Max) έντασης ηλεκτρικού πεδίου (E-Field) ως συνάρτηση της συχνότητας (Frequency) του πεδίου για μετρήσεις με οργαολογία τύπου NARDA SMR-3006 σε συσκευές κινητής τηλεφωνίας διαφόρων τύπων και παρόχων σε απόσταση 0 m από την κεραία των συσκευών.



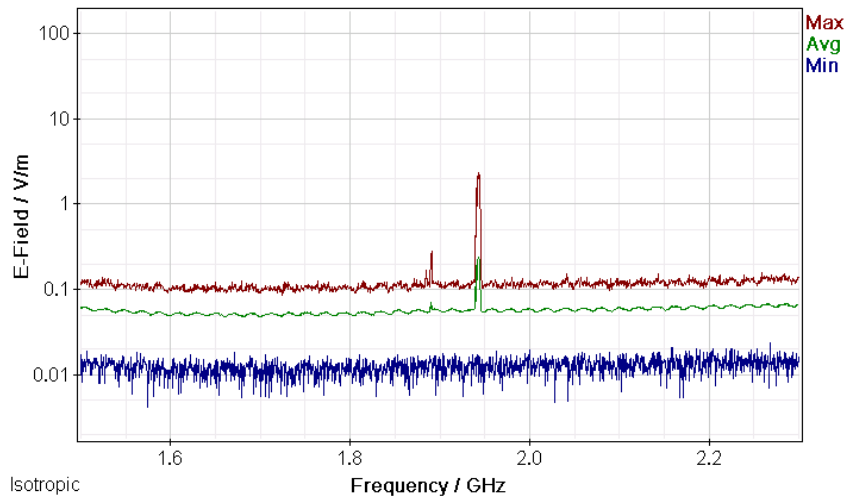
Σχήμα 85: Διακυμάνσεις (α) ελάχιστης (Min), (β) μέσης (Avg) και (γ) μέγιστης (Max) έντασης ηλεκτρικού πεδίου (E-Field) ως συνάρτηση της συχνότητας (Frequency) του πεδίου για μετρήσεις με οργαολογία τύπου NARDA SMR-3006 σε συσκευή κινητής τηλεφωνίας τύπου MICROSOFT MOBILE RM-1090 και παρόχου WIND σε απόσταση 0m από την κεραία της συσκευής κατα τη διάρκεια αναμονής χρήσης της συσκευής και χωρίς την ενεργοποίηση δεδομένων κινητής τηλεφωνίας.



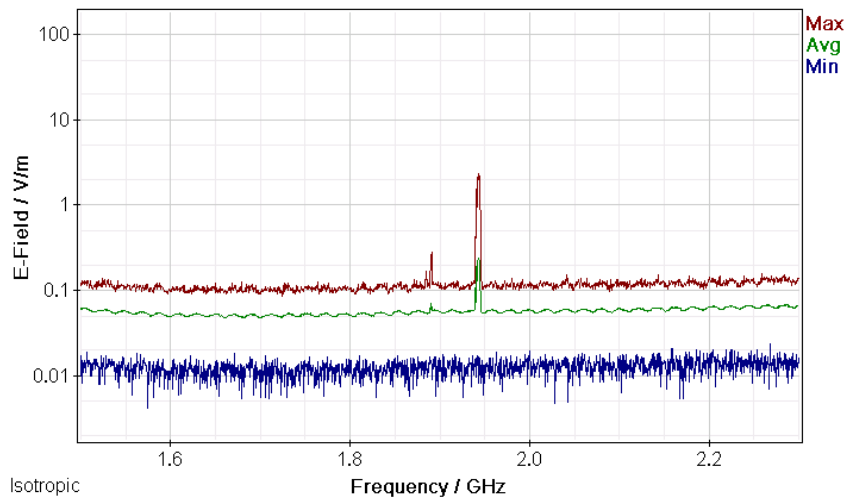
Σχήμα 86: Διακυμάνσεις (α) ελάχιστης (Min), (β) μέσης (Avg) και (γ) μέγιστης (Max) έντασης ηλεκτρικού πεδίου (E-Field) ως συνάρτηση της συχνότητας (Frequency) του πεδίου για μετρήσεις με οργανολογία τύπου NARDA SMR-3006 σε συσκευή κινητής τηλεφωνίας τύπου MICROSOFT MOBILE RM-1090 και παρόχου WIND σε απόσταση 0m από την κεραία της συσκευής κατα τη διάρκεια κλήσης χωρίς συνομιλία και ενεργοποίηση δεδομένων κινητής τηλεφωνίας .



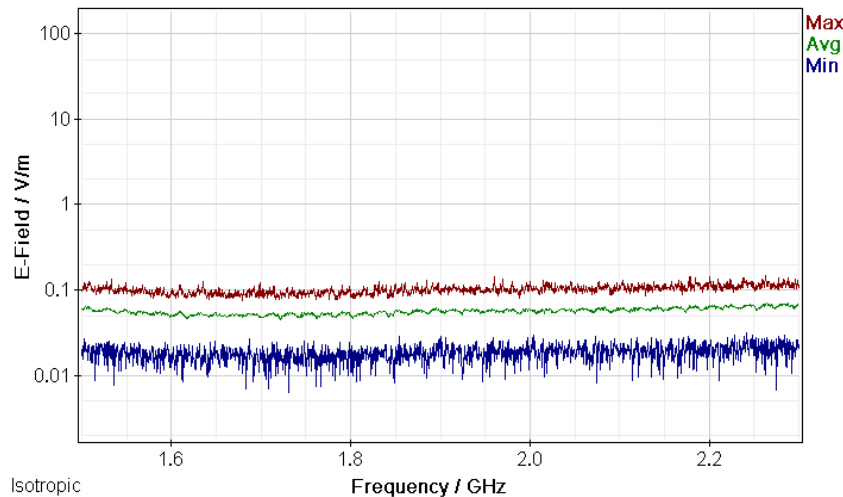
Σχήμα 87: Διακυμάνσεις (α) ελάχιστης (Min), (β) μέσης (Avg) και (γ) μέγιστης (Max) έντασης ηλεκτρικού πεδίου (E-Field) ως συνάρτηση της συχνότητας (Frequency) του πεδίου για μετρήσεις με οργανολογία τύπου NARDA SMR-3006 σε συσκευή κινητής τηλεφωνίας τύπου MICROSOFT MOBILE RM-1090 και παρόχου WIND σε απόσταση 0m από την κεραία της συσκευής κατα τη διάρκεια συνομιλίας δυόμισι λεπτών χωρίς ενεργοποίηση δεδομένων κινητής τηλεφωνίας.



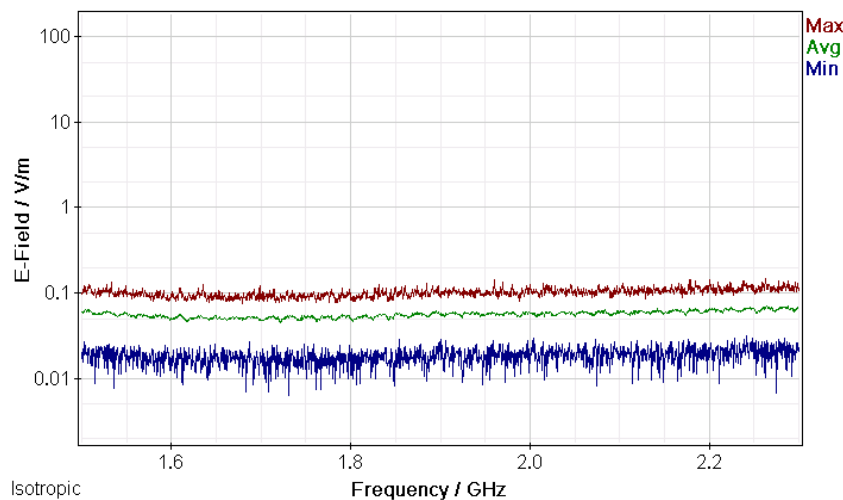
Σχήμα 88: Διακυμάνσεις (α) ελάχιστης (Min), (β) μέσης (Avg) και (γ) μέγιστης (Max) έντασης ηλεκτρικού πεδίου (E-Field) ως συνάρτηση της συχνότητας (Frequency) του πεδίου για μετρήσεις με οργανολογία τύπου NARDA SMR-3006 σε συσκευή κινητής τηλεφωνίας τύπου MICROSOFT MOBILE RM-1090 και παρόχου WIND σε απόσταση 0m από την κεραία της συσκευής κατά τη διάρκεια πεντάλεπτης συνομιλίας χωρίς ενεργοποίηση δεδομένων κινητής τηλεφωνίας.



Σχήμα 89: Διακυμάνσεις (α) ελάχιστης (Min), (β) μέσης (Avg) και (γ) μέγιστης (Max) έντασης ηλεκτρικού πεδίου (E-Field) ως συνάρτηση της συχνότητας (Frequency) του πεδίου για μετρήσεις με οργανολογία τύπου NARDA SMR-3006 σε συσκευή κινητής τηλεφωνίας τύπου MICROSOFT MOBILE RM-1090 και παρόχου WIND σε απόσταση 0m από την κεραία της συσκευής κατά τη διάρκεια τερματισμού της κλήσης χωρίς ενεργοποίηση δεδομένων κινητής τηλεφωνίας.



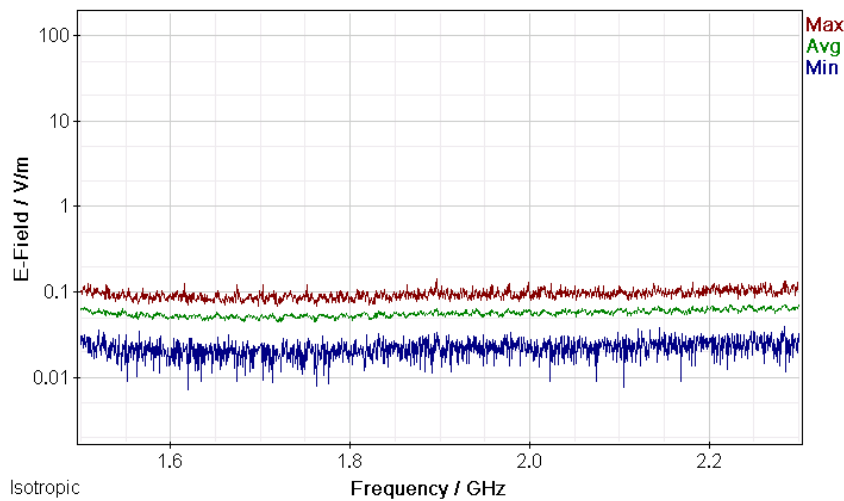
Σχήμα 90: Διακυμάνσεις (α) ελάχιστης (Min), (β) μέσης (Avg) και (γ) μέγιστης (Max) έντασης ηλεκτρικού πεδίου (E-Field) ως συνάρτηση της συχνότητας (Frequency) του πεδίου για μετρήσεις με οργανολογία τύπου NARDA SMR-3006 σε συσκευή κινητής τηλεφωνίας τύπου MICROSOFT MOBILE RM-1090 και παρόχου WIND σε απόσταση 0m από την κεραία της συσκευής κατά τη διάρκεια αναμονής χρήσης της συσκευής με ενεργοποίηση των δεδομένων κινητής τηλεφωνίας χωρίς πρόσβαση στον παγόςμιο ιστό.



Σχήμα 91: Διακυμάνσεις (α) ελάχιστης (Min), (β) μέσης (Avg) και (γ) μέγιστης (Max) έντασης ηλεκτρικού πεδίου (E-Field) ως συνάρτηση της συχνότητας (Frequency) του πεδίου για μετρήσεις με οργανολογία τύπου NARDA SMR-3006 σε συσκευή κινητής τηλεφωνίας τύπου MICROSOFT MOBILE RM-1090 και παρόχου WIND σε απόσταση 0m από την κεραία της συσκευής κατά τη διάρκεια αναμονής χρήσης της συσκευής με ενεργοποίηση των δεδομένων κινητής τηλεφωνίας και αναζήτησης δεδομένων στον παγόςμιο ιστό.

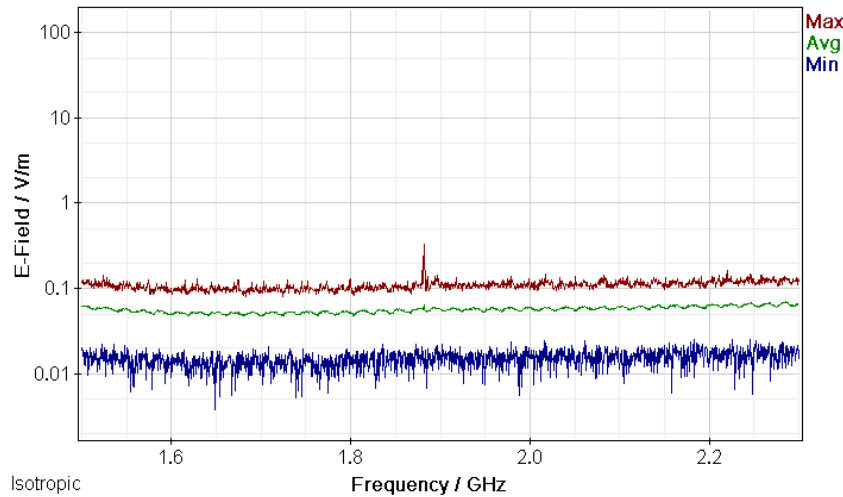
ΠΑΡΑΡΤΗΜΑ 2

Μετρήσεις διακυμάνσεων (α) ελάχιστης (Min), (β) μέσης (Avg) και (γ) μέγιστης (Max) έντασης ηλεκτρικού πεδίου (E-Field) ως συνάρτηση της συχνότητας (Frequency) του πεδίου για μετρήσεις με οργανολογία τύπου NARDA SMR-3006 σε συσκευές κινητής τηλεφωνίας διαφόρων τύπων και παρόχων σε απόσταση 1 m από την κεραία των συσκευών.

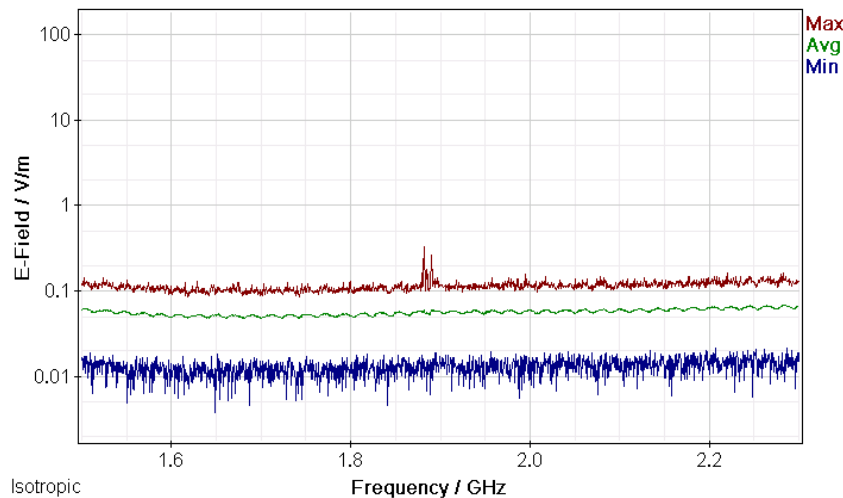


Σχήμα 92: Διακυμάνσεις (α) ελάχιστης (Min), (β) μέσης (Avg) και (γ) μέγιστης (Max) έντασης ηλεκτρικού πεδίου (E-Field) ως συνάρτηση της συχνότητας (Frequency) του πεδίου για μετρήσεις με οργανολογία τύπου NARDA SMR-3006 σε συσκευή κινητής τηλεφωνίας τύπου MICROSOFT MOBILE RM-1090 και παρόχου WIND σε απόσταση 1m από την κεραία της συσκευής κατα τη διάρκεια αναμονής χρήσης της συσκευής και χωρίς την ενεργοποίηση δεδομένων κινητής τηλεφωνίας.

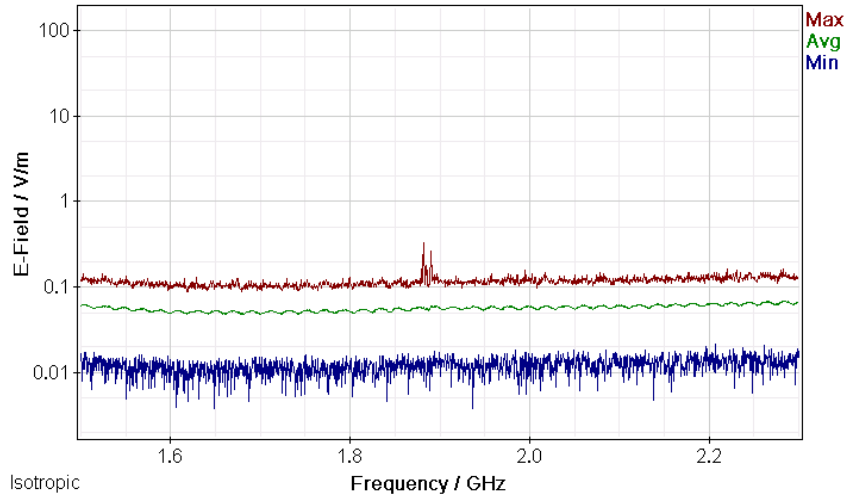
ΜΕΛΕΤΗ Η/Μ ΔΙΑΤΑΡΑΧΩΝ ΚΙΝΗΤΗΣ ΤΗΛΕΦΩΝΙΑΣ



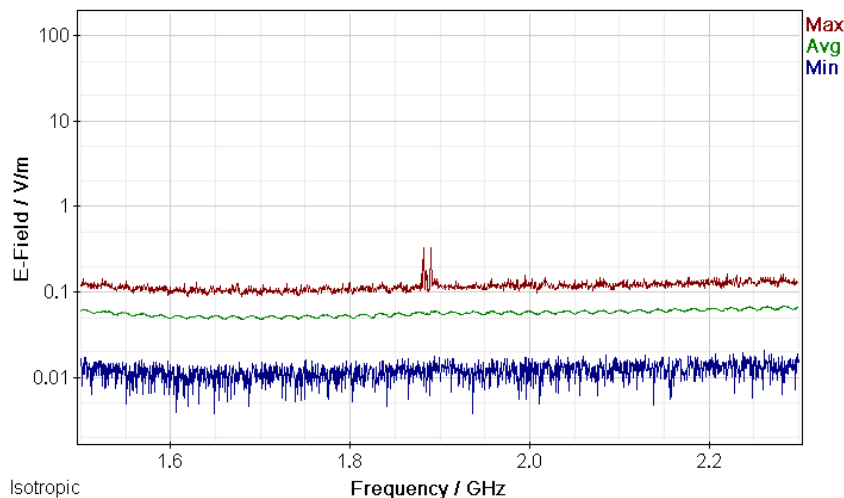
Σχήμα 93: Διακυμάνσεις (α) ελάχιστης (Min), (β) μέσης (Avg) και (γ) μέγιστης (Max) έντασης ηλεκτρικού πεδίου (E-Field) ως συνάρτηση της συχνότητας (Frequency) του πεδίου για μετρήσεις με οργανολογία τύπου NARDA SMR-3006 σε συσκευή κινητής τηλεφωνίας τύπου MICROSOFT MOBILE RM-1090 και παρόχου WIND σε απόσταση 1m από την κεραία της συσκευής κατά τη διάρκεια κλήσης χωρίς συνομιλία και ενεργοποίηση δεδομένων κινητής τηλεφωνίας .



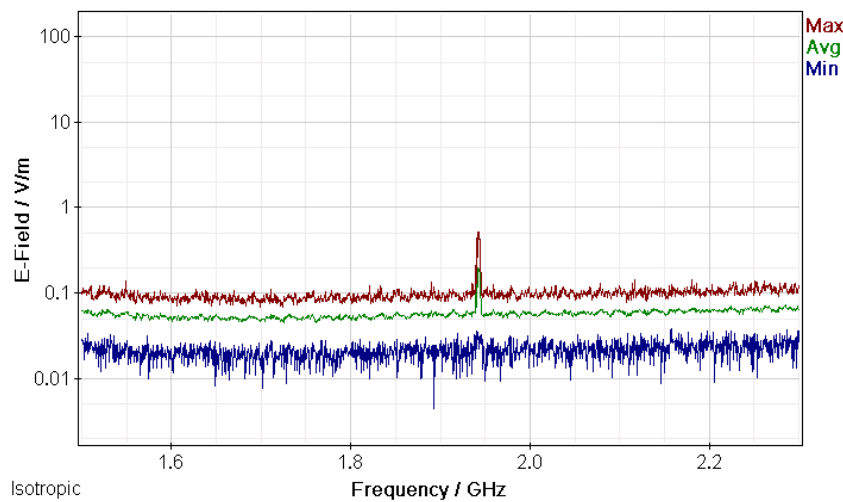
Σχήμα 94: Διακυμάνσεις (α) ελάχιστης (Min), (β) μέσης (Avg) και (γ) μέγιστης (Max) έντασης ηλεκτρικού πεδίου (E-Field) ως συνάρτηση της συχνότητας (Frequency) του πεδίου για μετρήσεις με οργανολογία τύπου NARDA SMR-3006 σε συσκευή κινητής τηλεφωνίας τύπου MICROSOFT MOBILE RM-1090 και παρόχου WIND σε απόσταση 1m από την κεραία της συσκευής κατά τη διάρκεια συνομιλίας δύομισή λεπτών χωρίς ενεργοποίηση δεδομένων κινητής τηλεφωνίας.



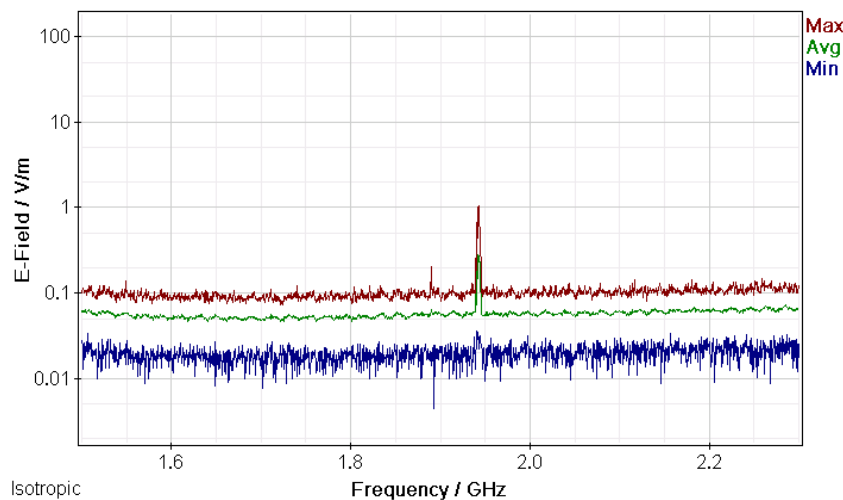
Σχήμα 95: Διακυμάνσεις (α) ελάχιστης (Min), (β) μέσης (Avg) και (γ) μέγιστης (Max) έντασης ηλεκτρικού πεδίου (E-Field) ως συνάρτηση της συχνότητας (Frequency) του πεδίου για μετρήσεις με οργανολογία τύπου NARDA SMR-3006 σε συσκευή κινητής τηλεφωνίας τύπου MICROSOFT MOBILE RM-1090 και παρόχου WIND σε απόσταση 1m από την κεραία της συσκευής κατα τη διάρκεια πεντάλεπτης συνομιλίας χωρίς ενεργοποίηση δεδομένων κινητής τηλεφωνίας.



Σχήμα 96: Διακυμάνσεις (α) ελάχιστης (Min), (β) μέσης (Avg) και (γ) μέγιστης (Max) έντασης ηλεκτρικού πεδίου (E-Field) ως συνάρτηση της συχνότητας (Frequency) του πεδίου για μετρήσεις με οργανολογία τύπου NARDA SMR-3006 σε συσκευή κινητής τηλεφωνίας τύπου MICROSOFT MOBILE RM-1090 και παρόχου WIND σε απόσταση 1m από την κεραία της συσκευής κατα τη διάρκεια τερματισμού της κλήσης χωρίς ενεργοποίηση δεδομένων κινητής τηλεφωνίας.



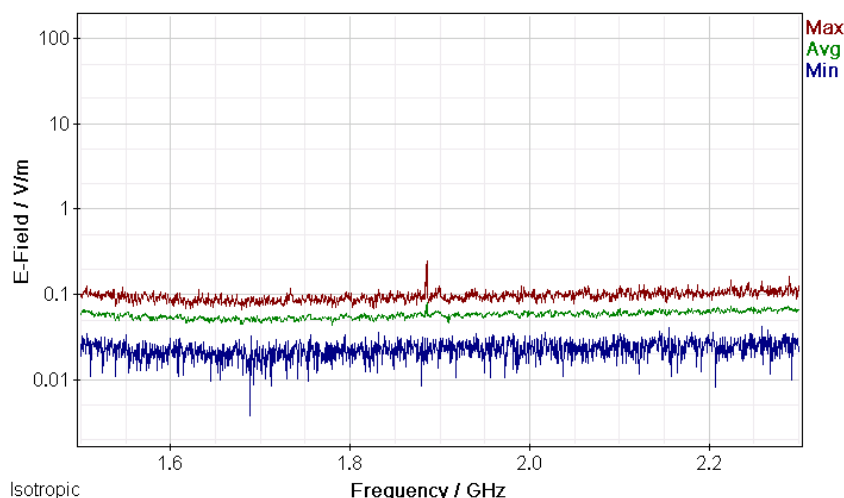
Σχήμα 97: Διακυμάνσεις (α) ελάχιστης (Min), (β) μέσης (Avg) και (γ) μέγιστης (Max) έντασης ηλεκτρικού πεδίου (E-Field) ως συνάρτηση της συχνότητας (Frequency) του πεδίου για μετρήσεις με οργανολογία τύπου NARDA SMR-3006 σε συσκευή κινητής τηλεφωνίας τύπου MICROSOFT MOBILE RM-1090 και παρόχου WIND σε απόσταση 1m από την κεραία της συσκευής κατά τη διάρκεια αναμονής χρήσης της συσκευής με ενεργοποίηση των δεδομένων κινητής τηλεφωνίας χωρίς πρόσβαση στον παγόσμιο ιστό.



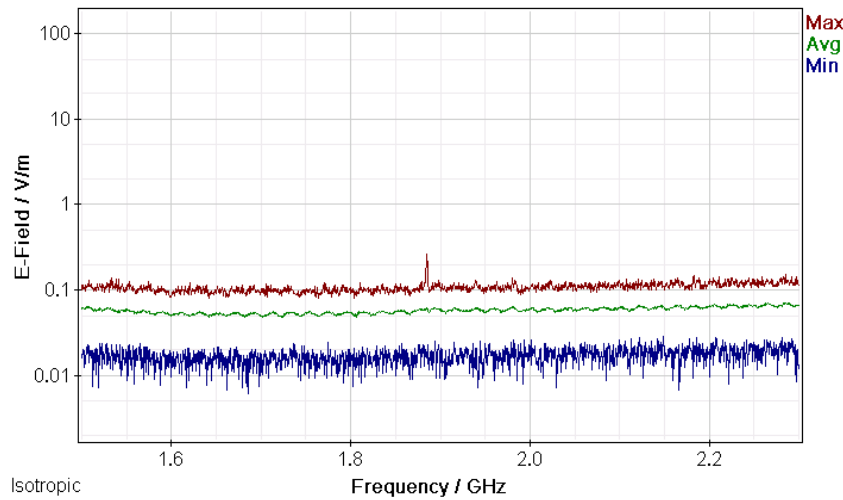
Σχήμα 98: Διακυμάνσεις (α) ελάχιστης (Min), (β) μέσης (Avg) και (γ) μέγιστης (Max) έντασης ηλεκτρικού πεδίου (E-Field) ως συνάρτηση της συχνότητας (Frequency) του πεδίου για μετρήσεις με οργανολογία τύπου NARDA SMR-3006 σε συσκευή κινητής τηλεφωνίας τύπου MICROSOFT MOBILE RM-1090 και παρόχου WIND σε απόσταση 1m από την κεραία της συσκευής κατά τη διάρκεια αναμονής χρήσης της συσκευής με ενεργοποίηση των δεδομένων κινητής τηλεφωνίας και αναζήτησης δεδομένων στον παγόσμιο ιστό.

ΠΑΡΑΡΤΗΜΑ 1

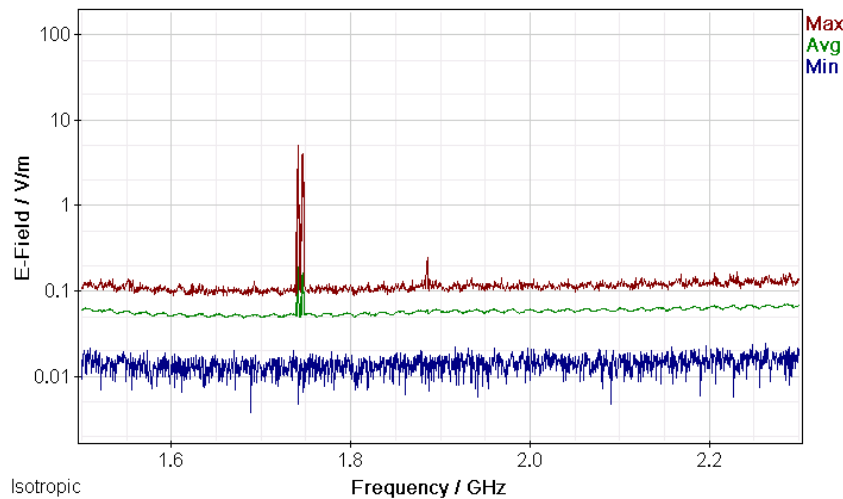
Μετρήσεις διακυμάνσεων (α) ελάχιστης (Min), (β) μέσης (Avg) και (γ) μέγιστης (Max) έντασης ηλεκτρικού πεδίου (E-Field) ως συνάρτηση της συχνότητας (Frequency) του πεδίου για μετρήσεις με οργαολογία τύπου NARDA SMR-3006 σε συσκευές κινητής τηλεφωνίας διαφόρων τύπων και παρόχων σε απόσταση 0 m από την κεραία των συσκευών.



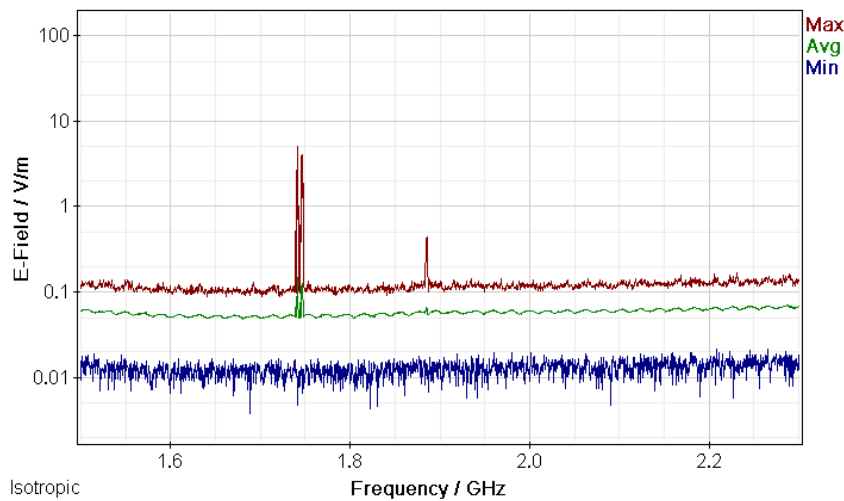
Σχήμα 99: Διακυμάνσεις (α) ελάχιστης (Min), (β) μέσης (Avg) και (γ) μέγιστης (Max) έντασης ηλεκτρικού πεδίου (E-Field) ως συνάρτηση της συχνότητας (Frequency) του πεδίου για μετρήσεις με οργαολογία τύπου NARDA SMR-3006 σε συσκευή κινητής τηλεφωνίας τύπου NOKIA CORPORATION 105 και παρόχου VODAFONE σε απόσταση 0m από την κεραία της συσκευής κατα τη διάρκεια αναμονής χρήσης της συσκευής και χωρίς την ενεργοποίηση δεδομένων κινητής τηλεφωνίας.



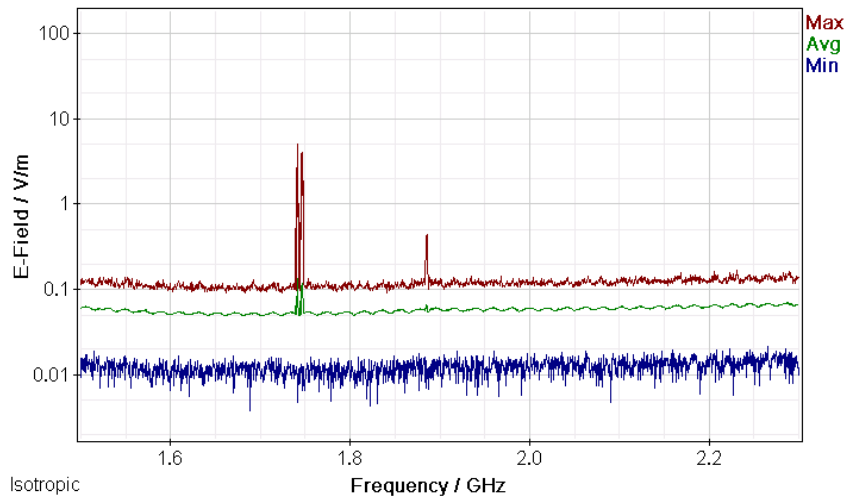
Σχήμα 100: Διακυμάνσεις (α) ελάχιστης (Min), (β) μέσης (Avg) και (γ) μέγιστης (Max) έντασης ηλεκτρικού πεδίου (E-Field) ως συνάρτηση της συχνότητας (Frequency) του πεδίου για μετρήσεις με οργανολογία τύπου NARDA SMR-3006 σε συσκευή κινητής τηλεφωνίας τύπου NOKIA CORPORATION 105 και παρόχου VODAFONE σε απόσταση 0m από την κεραία της συσκευής κατά τη διάρκεια κλήσης χωρίς συνομιλία και ενεργοποίηση δεδομένων κινητής τηλεφωνίας .



Σχήμα 101: Διακυμάνσεις (α) ελάχιστης (Min), (β) μέσης (Avg) και (γ) μέγιστης (Max) έντασης ηλεκτρικού πεδίου (E-Field) ως συνάρτηση της συχνότητας (Frequency) του πεδίου για μετρήσεις με οργανολογία τύπου NARDA SMR-3006 σε συσκευή κινητής τηλεφωνίας τύπου NOKIA CORPORATION 105 και παρόχου VODAFONE σε απόσταση 0m από την κεραία της συσκευής κατά τη διάρκεια συνομιλίας δυόμιση λεπτών χωρίς ενεργοποίηση δεδομένων κινητής τηλεφωνίας.



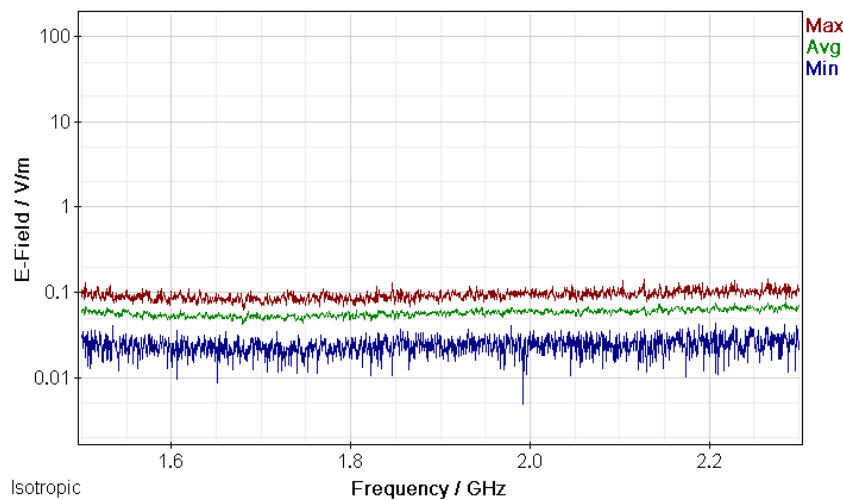
Σχήμα 102: Διακυμάνσεις (α) ελάχιστης (Min), (β) μέσης (Avg) και (γ) μέγιστης (Max) έντασης ηλεκτρικού πεδίου (E-Field) ως συνάρτηση της συχνότητας (Frequency) του πεδίου για μετρήσεις με οργάνολογία τύπου NARDA SMR-3006 σε συσκευή κινητής τηλεφωνίας τύπου NOKIA CORPORATION 105 και παρόχου VODAFONE σε απόσταση 0m από την κεραία της συσκευής κατά τη διάρκεια πεντάλεπτης συνομιλίας χωρίς ενεργοποίηση δεδομένων κινητής τηλεφωνίας.



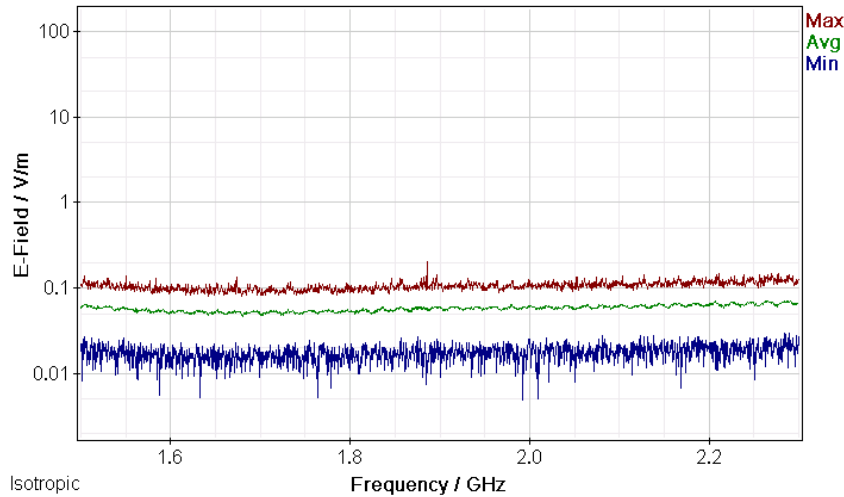
Σχήμα 103: Διακυμάνσεις (α) ελάχιστης (Min), (β) μέσης (Avg) και (γ) μέγιστης (Max) έντασης ηλεκτρικού πεδίου (E-Field) ως συνάρτηση της συχνότητας (Frequency) του πεδίου για μετρήσεις με οργάνολογία τύπου NARDA SMR-3006 σε συσκευή κινητής τηλεφωνίας τύπου NOKIA CORPORATION 105 και παρόχου VODAFONE σε απόσταση 0m από την κεραία της συσκευής κατά τη διάρκεια τερματισμού της κλήσης χωρίς ενεργοποίηση δεδομένων κινητής τηλεφωνίας.

ΠΑΡΑΡΤΗΜΑ 2

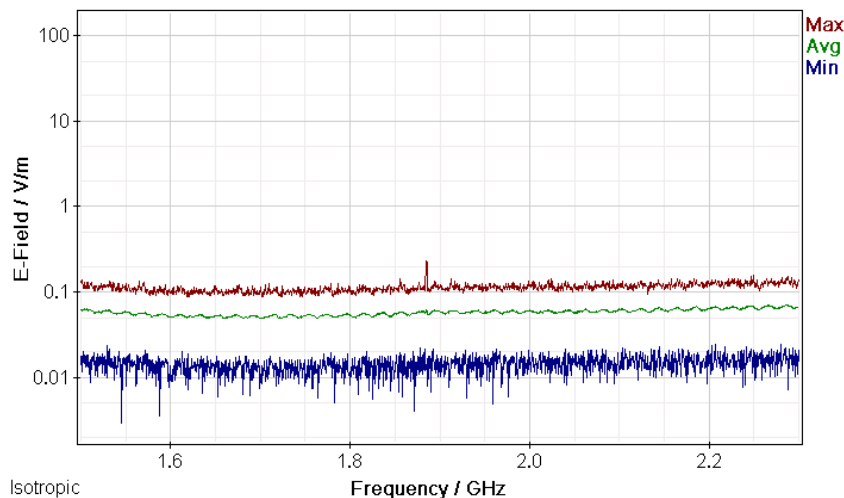
Μετρήσεις διακυμάνσεων (α) ελάχιστης (Min), (β) μέσης (Avg) και (γ) μέγιστης (Max) έντασης ηλεκτρικού πεδίου (E-Field) ως συνάρτηση της συχνότητας (Frequency) του πεδίου για μετρήσεις με οργανολογία τύπου NARDA SMR-3006 σε συσκευές κινητής τηλεφωνίας διαφόρων τύπων και παρόχων σε απόσταση 1 m από την κεραία των συσκευών.



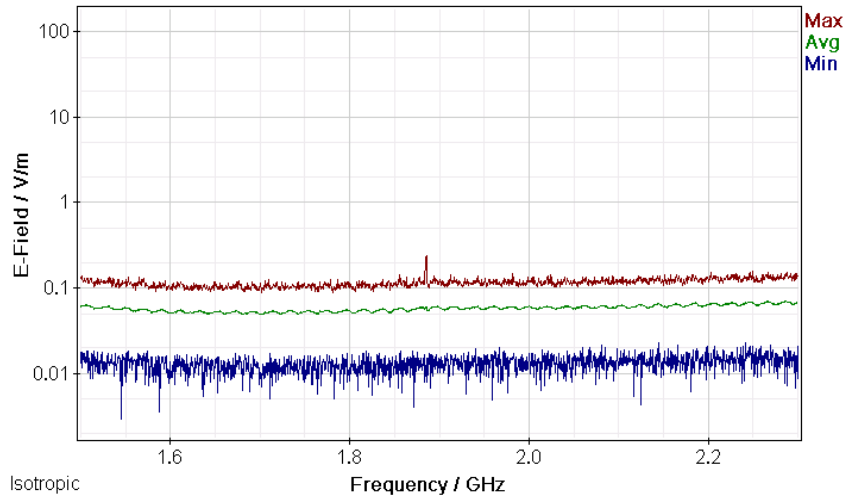
Σχήμα 104: Διακυμάνσεις (α) ελάχιστης (Min), (β) μέσης (Avg) και (γ) μέγιστης (Max) έντασης ηλεκτρικού πεδίου (E-Field) ως συνάρτηση της συχνότητας (Frequency) του πεδίου για μετρήσεις με οργανολογία τύπου NARDA SMR-3006 σε συσκευή κινητής τηλεφωνίας τύπου NOKIA CORPORATION 105 και παρόχου VODAFONE σε απόσταση 1m από την κεραία της συσκευής κατά τη διάρκεια αναμονής χρήσης της συσκευής και χωρίς την ενεργοποίηση δεδομένων κινητής τηλεφωνίας.



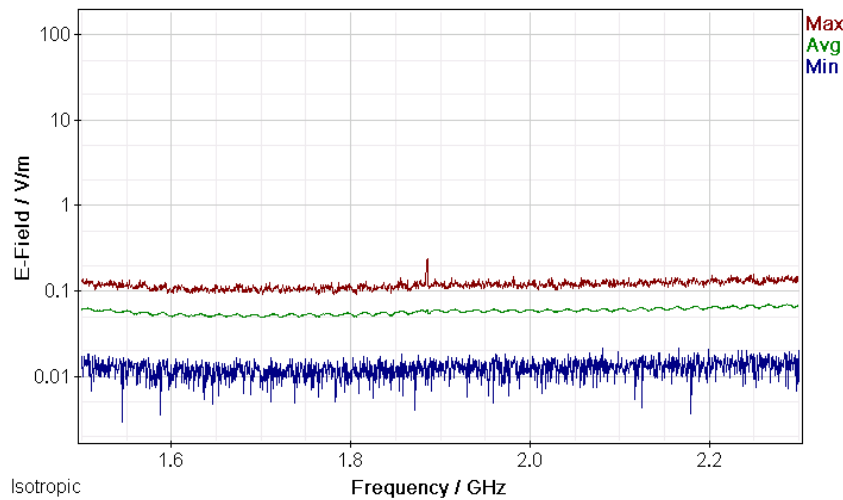
Σχήμα 105: Διακυμάνσεις (α) ελάχιστης (Min), (β) μέσης (Avg) και (γ) μέγιστης (Max) έντασης ηλεκτρικού πεδίου (E-Field) ως συνάρτηση της συχνότητας (Frequency) του πεδίου για μετρήσεις με οργανολογία τύπου NARDA SMR-3006 σε συσκευή κινητής τηλεφωνίας τύπου NOKIA CORPORATION 105 και παρόχου VODAFONE σε απόσταση 1m από την κεραία της συσκευής κατά τη διάρκεια κλήσης χωρίς συνομιλία και ενεργοποίηση δεδομένων κινητής τηλεφωνίας .



Σχήμα 106: Διακυμάνσεις (α) ελάχιστης (Min), (β) μέσης (Avg) και (γ) μέγιστης (Max) έντασης ηλεκτρικού πεδίου (E-Field) ως συνάρτηση της συχνότητας (Frequency) του πεδίου για μετρήσεις με οργανολογία τύπου NARDA SMR-3006 σε συσκευή κινητής τηλεφωνίας τύπου NOKIA CORPORATION 105 και παρόχου VODAFONE σε απόσταση 1m από την κεραία της συσκευής κατά τη διάρκεια συνομιλίας δυόμιση λεπτών χωρίς ενεργοποίηση δεδομένων κινητής τηλεφωνίας.



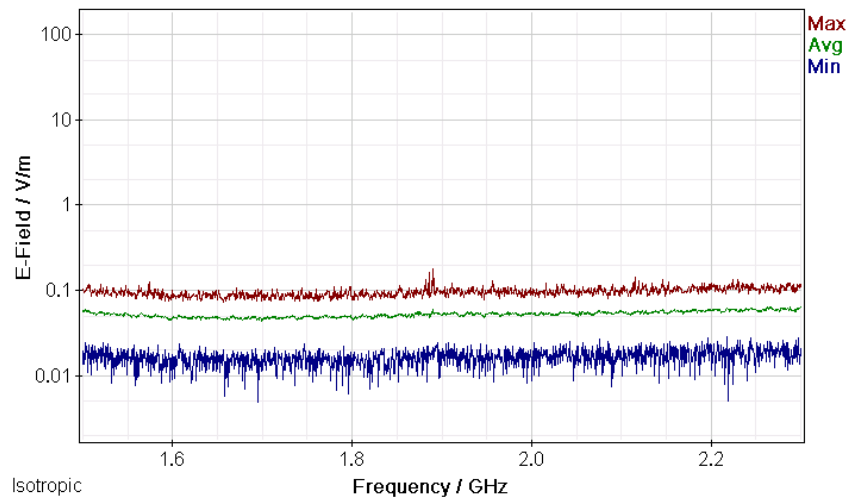
Σχήμα 107: Διακυμάνσεις (α) ελάχιστης (Min), (β) μέσης (Avg) και (γ) μέγιστης (Max) έντασης ηλεκτρικού πεδίου (E-Field) ως συνάρτηση της συχνότητας (Frequency) του πεδίου για μετρήσεις με οργανολογία τύπου NARDA SMR-3006 σε συσκευή κινητής τηλεφωνίας τύπου NOKIA CORPORATION 105 και παρόχου VODAFONE σε απόσταση 1m από την κεραία της συσκευής κατά τη διάρκεια πεντάλεπτης συνομιλίας χωρίς ενεργοποίηση δεδομένων κινητής τηλεφωνίας.



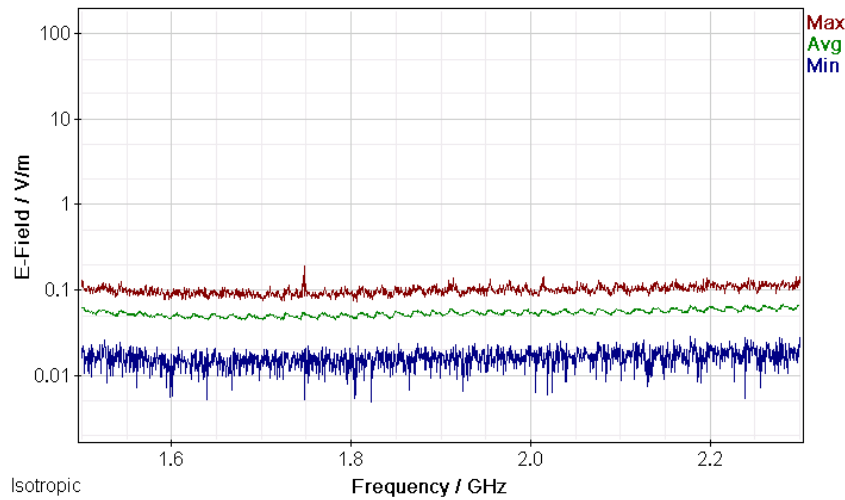
Σχήμα 108: Διακυμάνσεις (α) ελάχιστης (Min), (β) μέσης (Avg) και (γ) μέγιστης (Max) έντασης ηλεκτρικού πεδίου (E-Field) ως συνάρτηση της συχνότητας (Frequency) του πεδίου για μετρήσεις με οργανολογία τύπου NARDA SMR-3006 σε συσκευή κινητής τηλεφωνίας τύπου NOKIA CORPORATION 105 και παρόχου VODAFONE σε απόσταση 1m από την κεραία της συσκευής κατά τη διάρκεια τερματισμού της κλήσης χωρίς ενεργοποίηση δεδομένων κινητής τηλεφωνίας.

ΠΑΡΑΡΤΗΜΑ 1

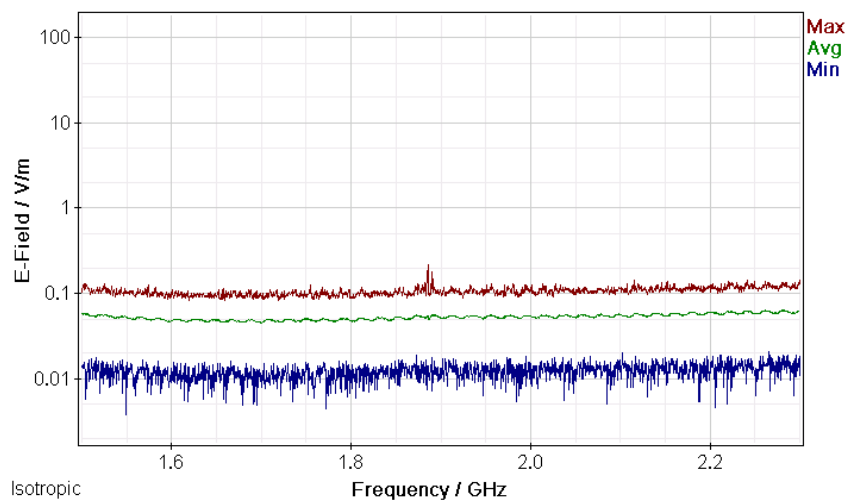
Μετρήσεις διακυμάνσεων (α) ελάχιστης (Min), (β) μέσης (Avg) και (γ) μέγιστης (Max) έντασης ηλεκτρικού πεδίου (E-Field) ως συνάρτηση της συχνότητας (Frequency) του πεδίου για μετρήσεις με οργάνολογία τύπου NARDA SMR-3006 σε συσκευές κινητής τηλεφωνίας διαφόρων τύπων και παρόχων σε απόσταση 0 m από την κεραία των συσκευών.



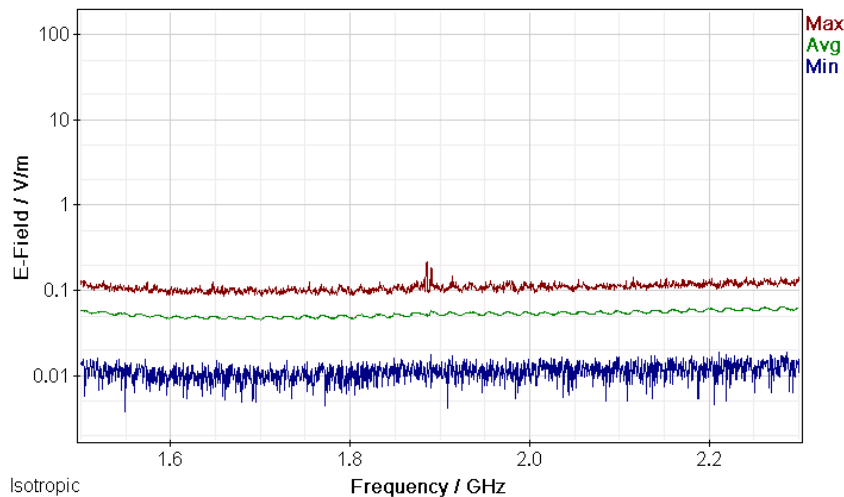
Σχήμα 109: Διακυμάνσεις (α) ελάχιστης (Min), (β) μέσης (Avg) και (γ) μέγιστης (Max) έντασης ηλεκτρικού πεδίου (E-Field) ως συνάρτηση της συχνότητας (Frequency) του πεδίου για μετρήσεις με οργάνολογία τύπου NARDA SMR-3006 σε συσκευή κινητής τηλεφωνίας τύπου NOKIA CORPORATION 105 και παρόχου WIND σε απόσταση 0m από την κεραία της συσκευής κατα τη διάρκεια αναμονής χρήσης της συσκευής και χωρίς την ενεργοποίηση δεδομένων κινητής τηλεφωνίας.



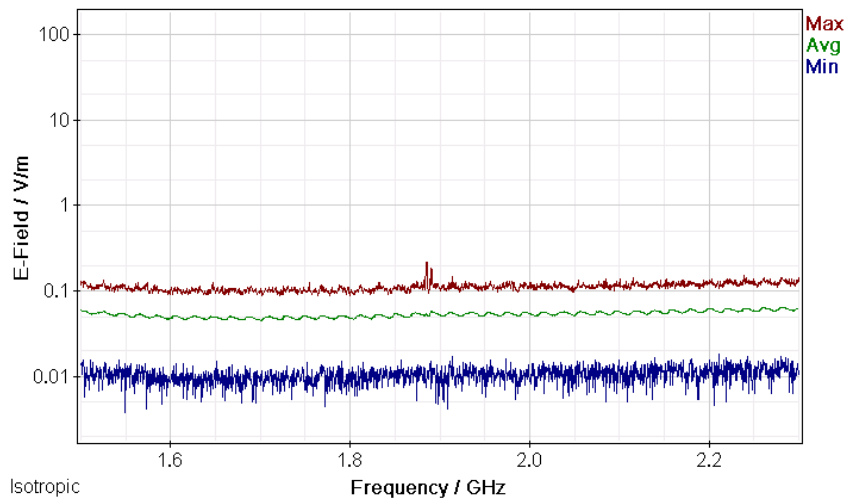
Σχήμα 110: Διακυμάνσεις (α) ελάχιστης (Min), (β) μέσης (Avg) και (γ) μέγιστης (Max) έντασης ηλεκτρικού πεδίου (E-Field) ως συνάρτηση της συχνότητας (Frequency) του πεδίου για μετρήσεις με οργανολογία τύπου NARDA SMR-3006 σε συσκευή κινητής τηλεφωνίας τύπου NOKIA CORPORATION 105 και παρόχου WIND σε απόσταση 0m από την κεραία της συσκευής κατα τη διάρκεια κλήσης χωρίς συνομιλία και ενεργοποίηση δεδομένων κινητής τηλεφωνίας .



Σχήμα 111: Διακυμάνσεις (α) ελάχιστης (Min), (β) μέσης (Avg) και (γ) μέγιστης (Max) έντασης ηλεκτρικού πεδίου (E-Field) ως συνάρτηση της συχνότητας (Frequency) του πεδίου για μετρήσεις με οργανολογία τύπου NARDA SMR-3006 σε συσκευή κινητής τηλεφωνίας τύπου NOKIA CORPORATION 105 και παρόχου WIND σε απόσταση 0m από την κεραία της συσκευής κατα τη διάρκεια συνομιλίας δυόμιση λεπτών χωρίς ενεργοποίηση δεδομένων κινητής τηλεφωνίας.



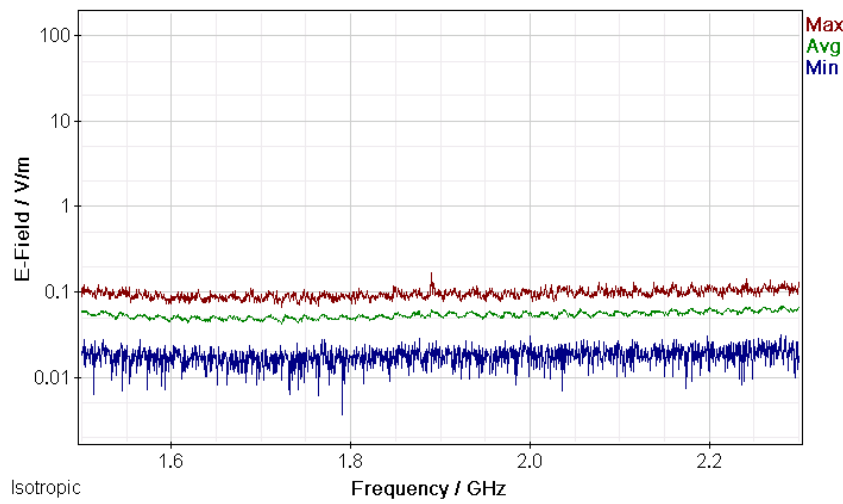
Σχήμα 112: Διακυμάνσεις (α) ελάχιστης (Min), (β) μέσης (Avg) και (γ) μέγιστης (Max) έντασης ηλεκτρικού πεδίου (E-Field) ως συνάρτηση της συχνότητας (Frequency) του πεδίου για μετρήσεις με οργάνολογία τύπου NARDA SMR-3006 σε συσκευή κινητής τηλεφωνίας τύπου NOKIA CORPORATION 105 και παρόχου WIND σε απόσταση 0m από την κεραία της συσκευής κατά τη διάρκεια πεντάλεπτης συνομιλίας χωρίς ενεργοποίηση δεδομένων κινητής τηλεφωνίας.



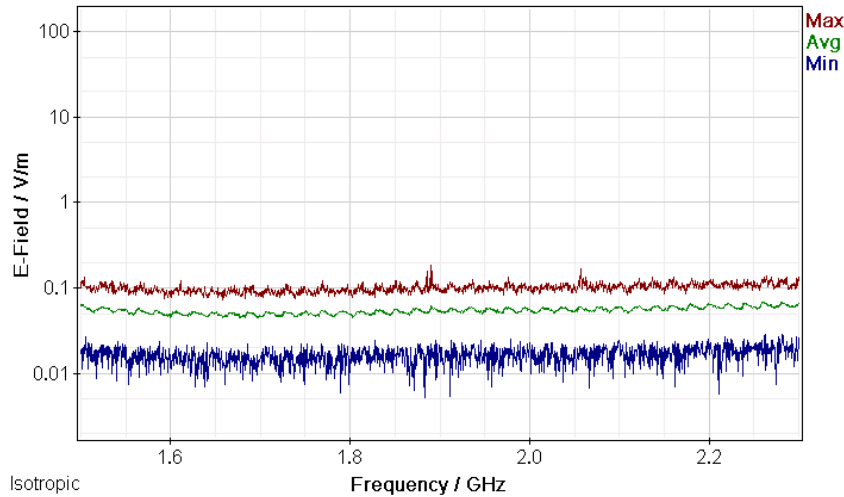
Σχήμα 113: Διακυμάνσεις (α) ελάχιστης (Min), (β) μέσης (Avg) και (γ) μέγιστης (Max) έντασης ηλεκτρικού πεδίου (E-Field) ως συνάρτηση της συχνότητας (Frequency) του πεδίου για μετρήσεις με οργάνολογία τύπου NARDA SMR-3006 σε συσκευή κινητής τηλεφωνίας τύπου NOKIA CORPORATION 105 και παρόχου WIND σε απόσταση 0m από την κεραία της συσκευής κατά τη διάρκεια τερματισμού της κλήσης χωρίς ενεργοποίηση δεδομένων κινητής τηλεφωνίας.

ΠΑΡΑΡΤΗΜΑ 2

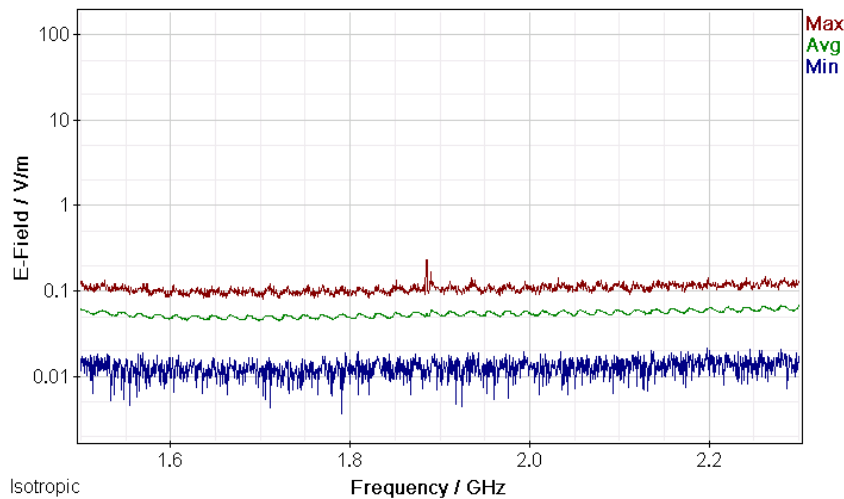
Μετρήσεις διακυμάνσεων (α) ελάχιστης (Min), (β) μέσης (Avg) και (γ) μέγιστης (Max) έντασης ηλεκτρικού πεδίου (E-Field) ως συνάρτηση της συχνότητας (Frequency) του πεδίου για μετρήσεις με οργανολογία τύπου NARDA SMR-3006 σε συσκευές κινητής τηλεφωνίας διαφόρων τύπων και παρόχων σε απόσταση 1 m από την κεραία των συσκευών.



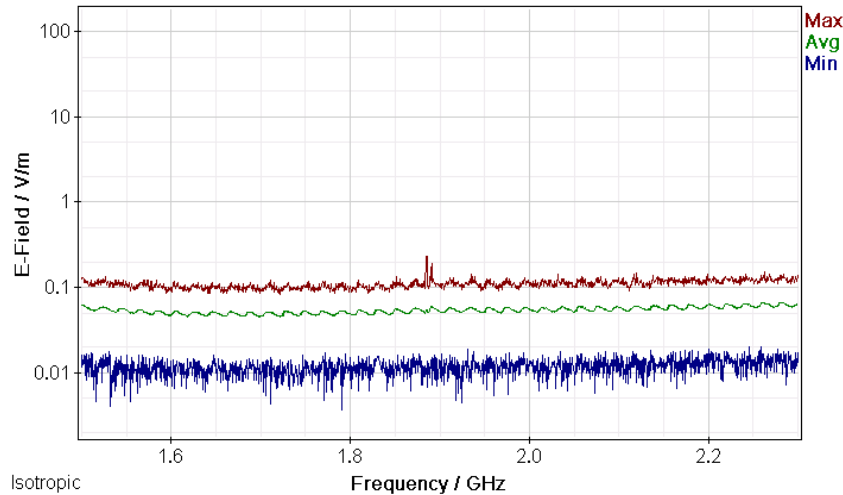
Σχήμα 114: Διακυμάνσεις (α) ελάχιστης (Min), (β) μέσης (Avg) και (γ) μέγιστης (Max) έντασης ηλεκτρικού πεδίου (E-Field) ως συνάρτηση της συχνότητας (Frequency) του πεδίου για μετρήσεις με οργανολογία τύπου NARDA SMR-3006 σε συσκευή κινητής τηλεφωνίας τύπου NOKIA CORPORATION 105 και παρόχου WIND σε απόσταση 1m από την κεραία της συσκευής κατα τη διάρκεια αναμονής χρήσης της συσκευής και χωρίς την ενεργοποίηση δεδομένων κινητής τηλεφωνίας.



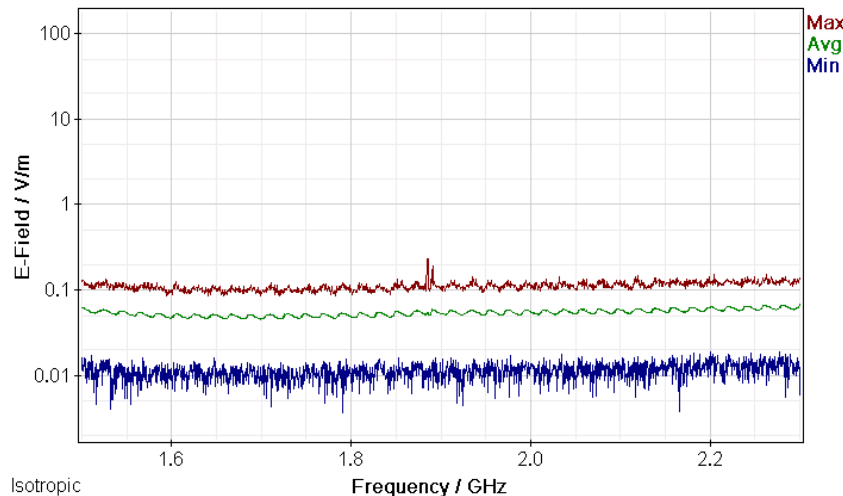
Σχήμα 115: Διακυμάνσεις (α) ελάχιστης (Min), (β) μέσης (Avg) και (γ) μέγιστης (Max) έντασης ηλεκτρικού πεδίου (E-Field) ως συνάρτηση της συχνότητας (Frequency) του πεδίου για μετρήσεις με οργανολογία τύπου NARDA SMR-3006 σε συσκευή κινητής τηλεφωνίας τύπου NOKIA CORPORATION 105 και παρόχου WIND σε απόσταση 1m από την κεραία της συσκευής κατά τη διάρκεια κλήσης χωρίς συνομιλία και ενεργοποίηση δεδομένων κινητής τηλεφωνίας .



Σχήμα 116: Διακυμάνσεις (α) ελάχιστης (Min), (β) μέσης (Avg) και (γ) μέγιστης (Max) έντασης ηλεκτρικού πεδίου (E-Field) ως συνάρτηση της συχνότητας (Frequency) του πεδίου για μετρήσεις με οργανολογία τύπου NARDA SMR-3006 σε συσκευή κινητής τηλεφωνίας τύπου NOKIA CORPORATION 105 και παρόχου WIND σε απόσταση 1m από την κεραία της συσκευής κατά τη διάρκεια συνομιλίας δυόμιση λεπτών χωρίς ενεργοποίηση δεδομένων κινητής τηλεφωνίας.



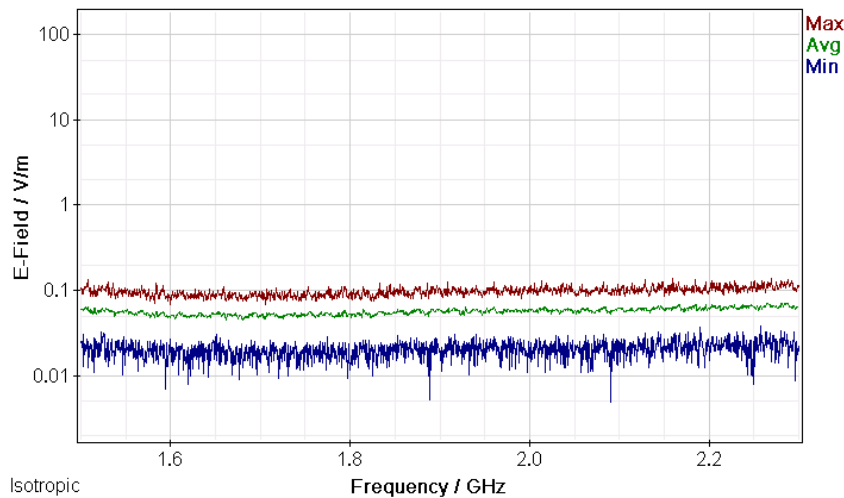
Σχήμα 117: Διακυμάνσεις (α) ελάχιστης (Min), (β) μέσης (Avg) και (γ) μέγιστης (Max) έντασης ηλεκτρικού πεδίου (E-Field) ως συνάρτηση της συχνότητας (Frequency) του πεδίου για μετρήσεις με οργανολογία τύπου NARDA SMR-3006 σε συσκευή κινητής τηλεφωνίας τύπου NOKIA CORPORATION 105 και παρόχου WIND σε απόσταση 1m από την κεραία της συσκευής κατα τη διάρκεια πεντάλεπτης συνομιλίας χωρίς ενεργοποίηση δεδομένων κινητής τηλεφωνίας.



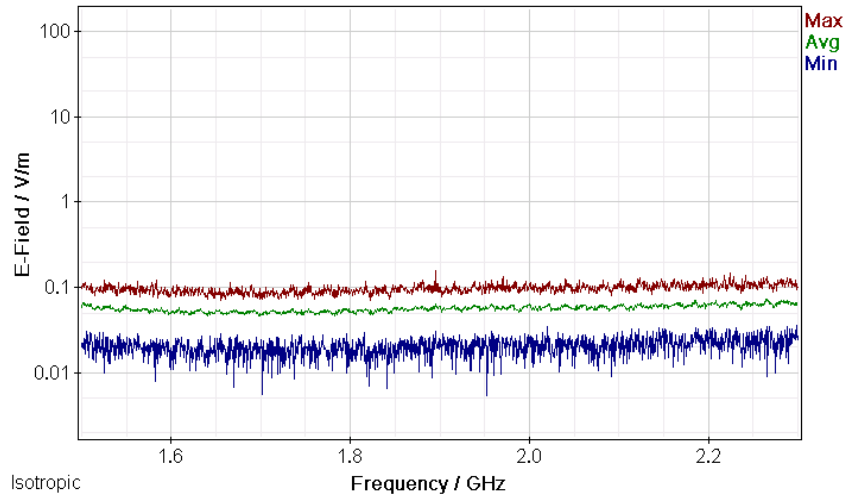
Σχήμα 118: Διακυμάνσεις (α) ελάχιστης (Min), (β) μέσης (Avg) και (γ) μέγιστης (Max) έντασης ηλεκτρικού πεδίου (E-Field) ως συνάρτηση της συχνότητας (Frequency) του πεδίου για μετρήσεις με οργανολογία τύπου NARDA SMR-3006 σε συσκευή κινητής τηλεφωνίας τύπου NOKIA CORPORATION 105 και παρόχου WIND σε απόσταση 1m από την κεραία της συσκευής κατα τη διάρκεια τερματισμού της κλήσης χωρίς ενεργοποίηση δεδομένων κινητής τηλεφωνίας.

ΠΑΡΑΡΤΗΜΑ 1

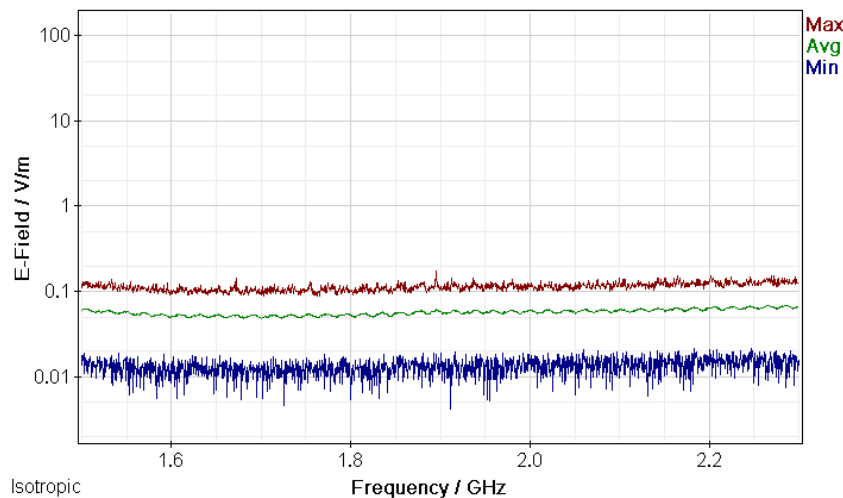
Μετρήσεις διακυμάνσεων (α) ελάχιστης (Min), (β) μέσης (Avg) και (γ) μέγιστης (Max) έντασης ηλεκτρικού πεδίου (E-Field) ως συνάρτηση της συχνότητας (Frequency) του πεδίου για μετρήσεις με οργανολογία τύπου NARDA SMR-3006 σε συσκευές κινητής τηλεφωνίας διαφόρων τύπων και παρόχων σε απόσταση 0 m από την κεραία των συσκευών.



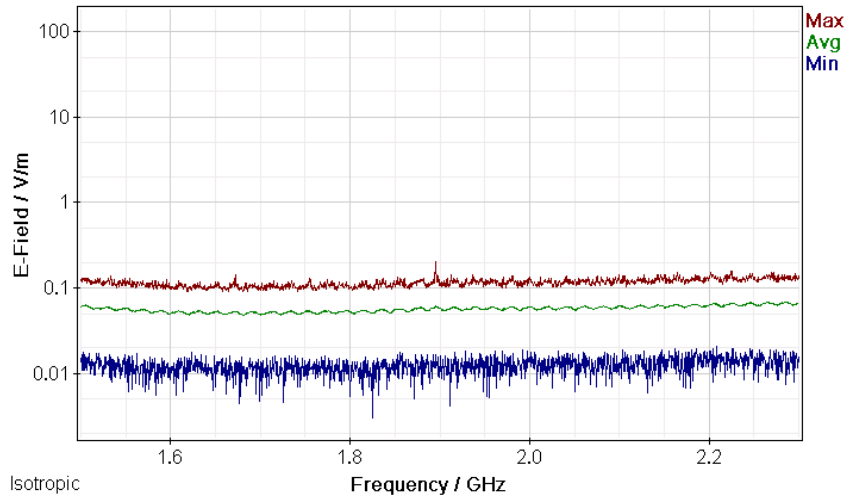
Σχήμα 119: Διακυμάνσεις (α) ελάχιστης (Min), (β) μέσης (Avg) και (γ) μέγιστης (Max) έντασης ηλεκτρικού πεδίου (E-Field) ως συνάρτηση της συχνότητας (Frequency) του πεδίου για μετρήσεις με οργανολογία τύπου NARDA SMR-3006 σε συσκευή κινητής τηλεφωνίας τύπου NOKIA CORPORATION 206 και παρόχου COSMOTE σε απόσταση 0m από την κεραία της συσκευής κατά τη διάρκεια αναμονής χρήσης της συσκευής και χωρίς την ενεργοποίηση δεδομένων κινητής τηλεφωνίας.



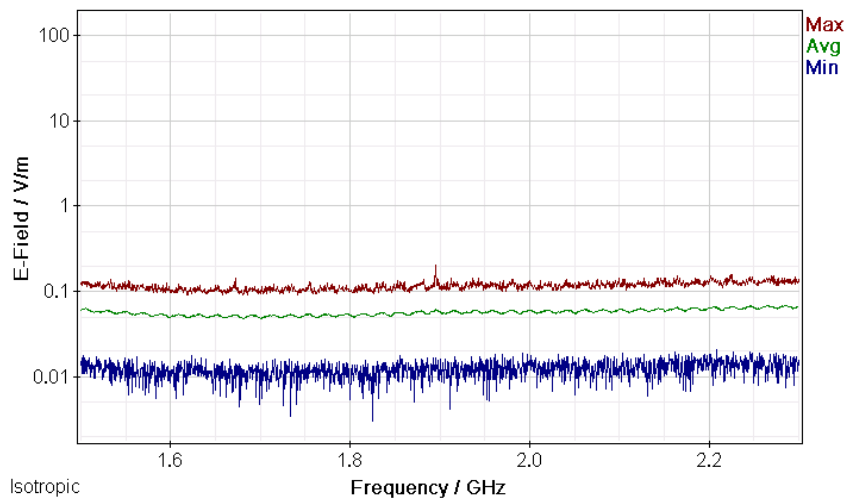
Σχήμα 120: Διακυμάνσεις (α) ελάχιστης (Min), (β) μέσης (Avg) και (γ) μέγιστης (Max) έντασης ηλεκτρικού πεδίου (E-Field) ως συνάρτηση της συχνότητας (Frequency) του πεδίου για μετρήσεις με οργανολογία τύπου NARDA SMR-3006 σε συσκευή κινητής τηλεφωνίας τύπου NOKIA CORPORATION 206 και παρόχου COSMOTE σε απόσταση 0m από την κεραία της συσκευής κατα τη διάρκεια κλήσης χωρίς συνομιλία και ενεργοποίηση δεδομένων κινητής τηλεφωνίας .



Σχήμα 121: Διακυμάνσεις (α) ελάχιστης (Min), (β) μέσης (Avg) και (γ) μέγιστης (Max) έντασης ηλεκτρικού πεδίου (E-Field) ως συνάρτηση της συχνότητας (Frequency) του πεδίου για μετρήσεις με οργανολογία τύπου NARDA SMR-3006 σε συσκευή κινητής τηλεφωνίας τύπου NOKIA CORPORATION 206 και παρόχου COSMOTE σε απόσταση 0m από την κεραία της συσκευής κατα τη διάρκεια συνομιλίας δυόμιση λεπτών χωρίς ενεργοποίηση δεδομένων κινητής τηλεφωνίας.



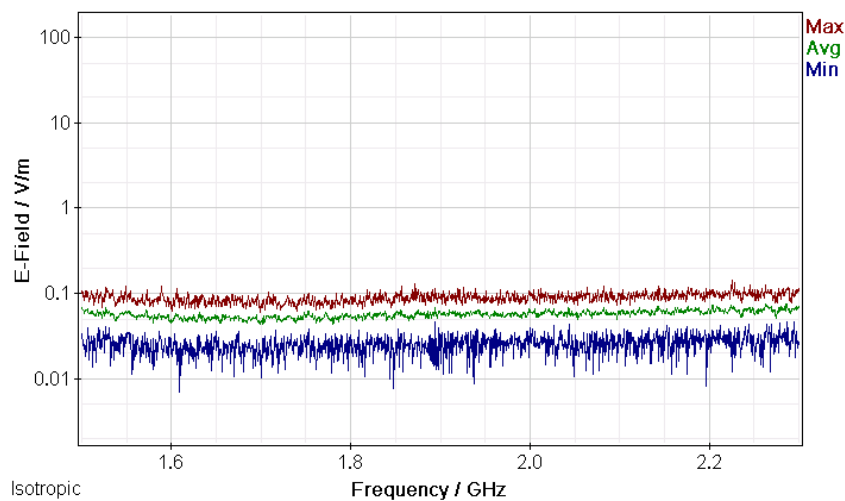
Σχήμα 122: Διακυμάνσεις (α) ελάχιστης (Min), (β) μέσης (Avg) και (γ) μέγιστης (Max) έντασης ηλεκτρικού πεδίου (E-Field) ως συνάρτηση της συχνότητας (Frequency) του πεδίου για μετρήσεις με οργανολογία τύπου NARDA SMR-3006 σε συσκευή κινητής τηλεφωνίας τύπου NOKIA CORPORATION 206 και παρόχου COSMOTE σε απόσταση 0m από την κεραία της συσκευής κατά τη διάρκεια πεντάλεπτης συνομιλίας χωρίς ενεργοποίηση δεδομένων κινητής τηλεφωνίας.



Σχήμα 123: Διακυμάνσεις (α) ελάχιστης (Min), (β) μέσης (Avg) και (γ) μέγιστης (Max) έντασης ηλεκτρικού πεδίου (E-Field) ως συνάρτηση της συχνότητας (Frequency) του πεδίου για μετρήσεις με οργανολογία τύπου NARDA SMR-3006 σε συσκευή κινητής τηλεφωνίας τύπου NOKIA CORPORATION 206 και παρόχου COMOTE σε απόσταση 0m από την κεραία της συσκευής κατά τη διάρκεια τερματισμού της κλήσης χωρίς ενεργοποίηση δεδομένων κινητής τηλεφωνίας.

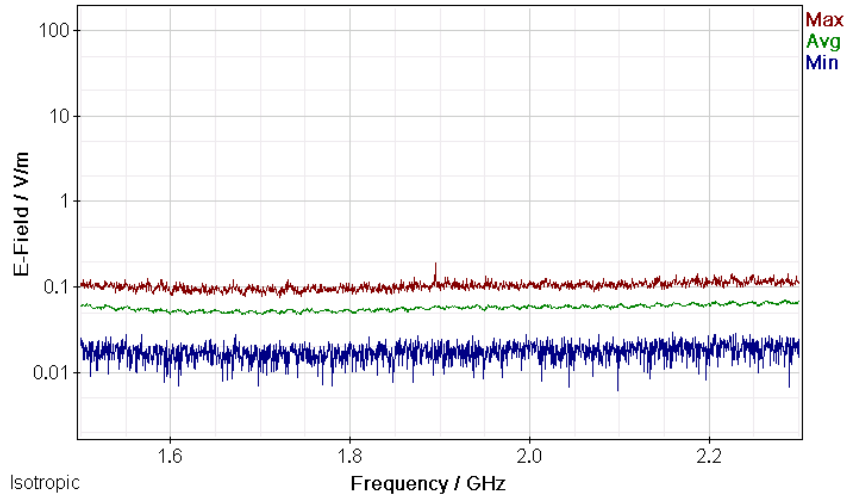
ΠΑΡΑΡΤΗΜΑ 2

Μετρήσεις διακυμάνσεων (α) ελάχιστης (Min), (β) μέσης (Avg) και (γ) μέγιστης (Max) έντασης ηλεκτρικού πεδίου (E-Field) ως συνάρτηση της συχνότητας (Frequency) του πεδίου για μετρήσεις με οργανολογία τύπου NARDA SMR-3006 σε συσκευές κινητής τηλεφωνίας διαφόρων τύπων και παρόχων σε απόσταση 1 m από την κεραία των συσκευών.

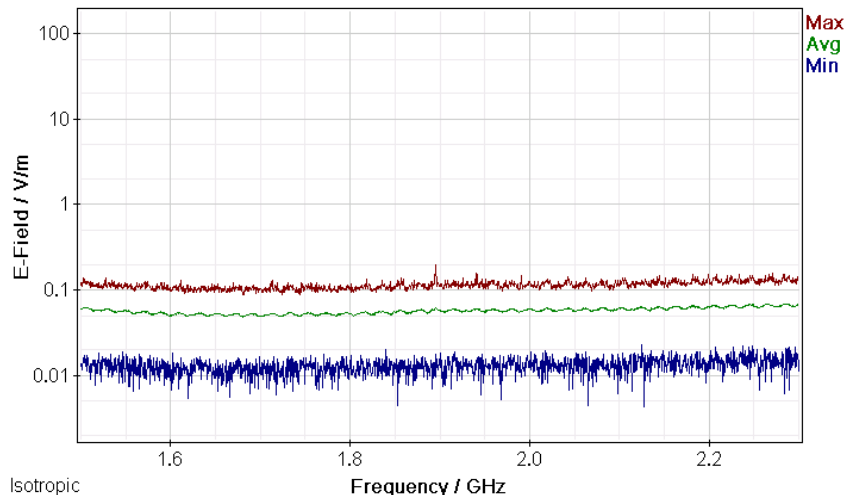


Σχήμα 124: Διακυμάνσεις (α) ελάχιστης (Min), (β) μέσης (Avg) και (γ) μέγιστης (Max) έντασης ηλεκτρικού πεδίου (E-Field) ως συνάρτηση της συχνότητας (Frequency) του πεδίου για μετρήσεις με οργανολογία τύπου NARDA SMR-3006 σε συσκευή κινητής τηλεφωνίας τύπου NOKIA CORPORATION 206 και παρόχου COSMOTE σε απόσταση 1m από την κεραία της συσκευής κατα τη διάρκεια αναμονής χρήσης της συσκευής και χωρίς την ενεργοποίηση δεδομένων κινητής τηλεφωνίας.

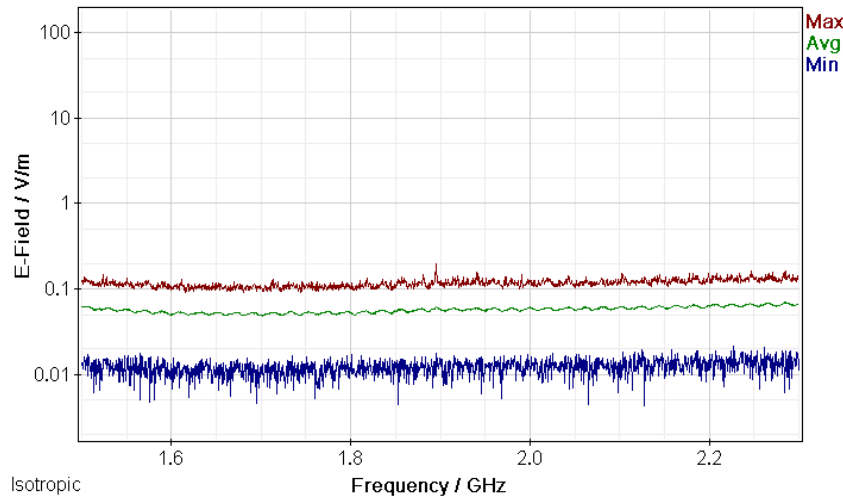
ΜΕΛΕΤΗ Η/Μ ΔΙΑΤΑΡΑΧΩΝ ΚΙΝΗΤΗΣ ΤΗΛΕΦΩΝΙΑΣ



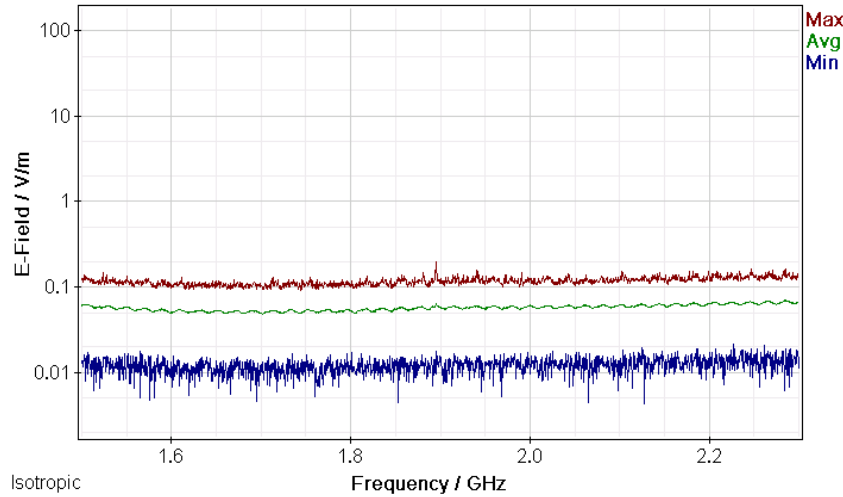
Σχήμα 125: Διακυμάνσεις (α) ελάχιστης (Min), (β) μέσης (Avg) και (γ) μέγιστης (Max) έντασης ηλεκτρικού πεδίου (E-Field) ως συνάρτηση της συχνότητας (Frequency) του πεδίου για μετρήσεις με οργάνολογία τύπου NARDA SMR-3006 σε συσκευή κινητής τηλεφωνίας τύπου NOKIA CORPORATION 206 και παρόχου COSMOTE σε απόσταση 1m από την κεραία της συσκευής κατά τη διάρκεια κλήσης χωρίς συνομιλία και ενεργοποίηση δεδομένων κινητής τηλεφωνίας .



Σχήμα 126: Διακυμάνσεις (α) ελάχιστης (Min), (β) μέσης (Avg) και (γ) μέγιστης (Max) έντασης ηλεκτρικού πεδίου (E-Field) ως συνάρτηση της συχνότητας (Frequency) του πεδίου για μετρήσεις με οργάνολογία τύπου NARDA SMR-3006 σε συσκευή κινητής τηλεφωνίας τύπου NOKIA CORPORATION 206 και παρόχου COSMOTE σε απόσταση 1m από την κεραία της συσκευής κατά τη διάρκεια συνομιλίας δυόμιση λεπτών χωρίς ενεργοποίηση δεδομένων κινητής τηλεφωνίας.



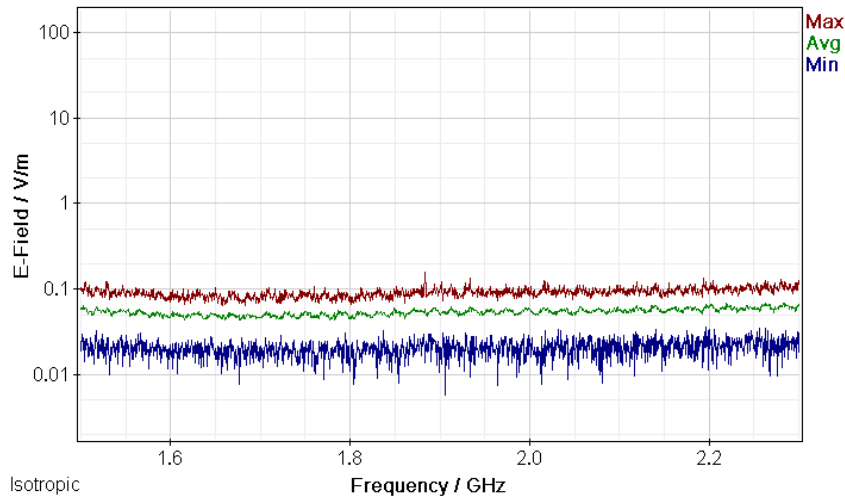
Σχήμα 127: Διακυμάνσεις (α) ελάχιστης (Min), (β) μέσης (Avg) και (γ) μέγιστης (Max) έντασης ηλεκτρικού πεδίου (E-Field) ως συνάρτηση της συχνότητας (Frequency) του πεδίου για μετρήσεις με οργανολογία τύπου NARDA SMR-3006 σε συσκευή κινητής τηλεφωνίας τύπου NOKIA CORPORATION 206 και παρόχου COSMOTE σε απόσταση 1m από την κεραία της συσκευής κατα τη διάρκεια πεντάλεπτης συνομιλίας χωρίς ενεργοποίηση δεδομένων κινητής τηλεφωνίας.



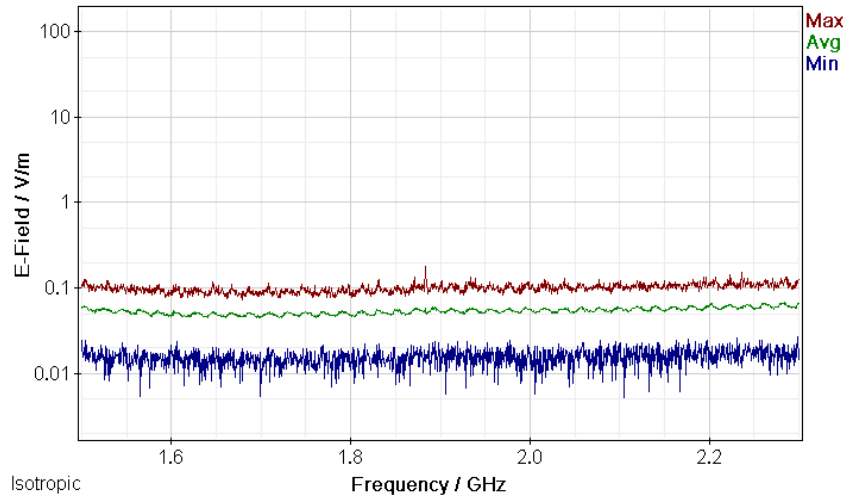
Σχήμα 128: Διακυμάνσεις (α) ελάχιστης (Min), (β) μέσης (Avg) και (γ) μέγιστης (Max) έντασης ηλεκτρικού πεδίου (E-Field) ως συνάρτηση της συχνότητας (Frequency) του πεδίου για μετρήσεις με οργανολογία τύπου NARDA SMR-3006 σε συσκευή κινητής τηλεφωνίας τύπου NOKIA CORPORATION 206 και παρόχου COSMOTE σε απόσταση 1m από την κεραία της συσκευής κατα τη διάρκεια τερματισμού της κλήσης χωρίς ενεργοποίηση δεδομένων κινητής τηλεφωνίας.

ΠΑΡΑΡΤΗΜΑ 1

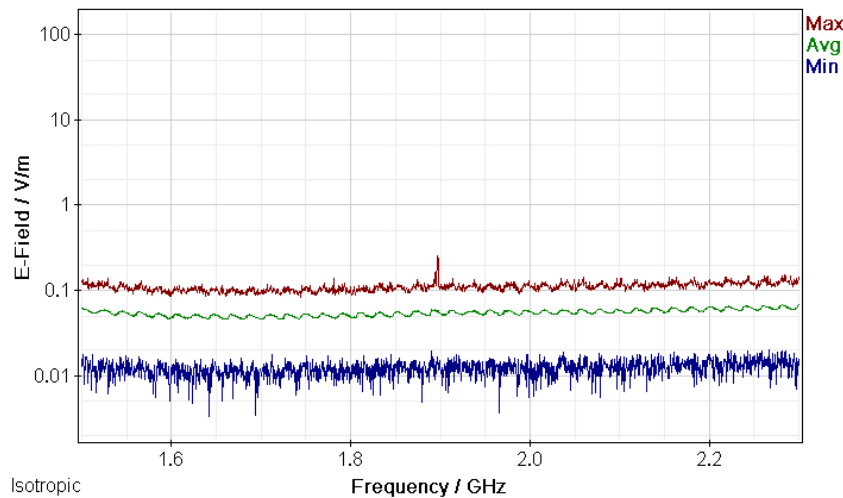
Μετρήσεις διακυμάνσεων (α) ελάχιστης (Min), (β) μέσης (Avg) και (γ) μέγιστης (Max) έντασης ηλεκτρικού πεδίου (E-Field) ως συνάρτηση της συχνότητας (Frequency) του πεδίου για μετρήσεις με οργανολογία τύπου NARDA SMR-3006 σε συσκευές κινητής τηλεφωνίας διαφόρων τύπων και παρόχων σε απόσταση 0 m από την κεραία των συσκευών.



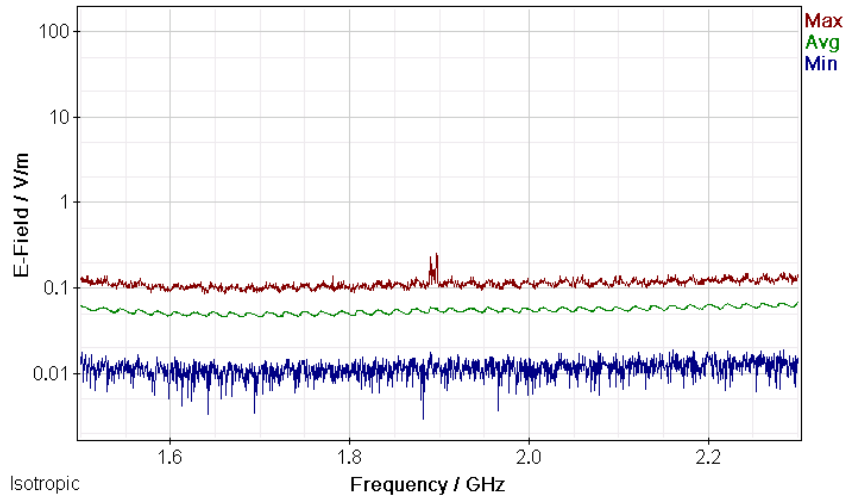
Σχήμα 129: Διακυμάνσεις (α) ελάχιστης (Min), (β) μέσης (Avg) και (γ) μέγιστης (Max) έντασης ηλεκτρικού πεδίου (E-Field) ως συνάρτηση της συχνότητας (Frequency) του πεδίου για μετρήσεις με οργανολογία τύπου NARDA SMR-3006 σε συσκευή κινητής τηλεφωνίας τύπου NOKIA CORPORATION 206 και παρόχου WIND σε απόσταση 0m από την κεραία της συσκευής κατά τη διάρκεια αναμονής χρήσης της συσκευής και χωρίς την ενεργοποίηση δεδομένων κινητής τηλεφωνίας.



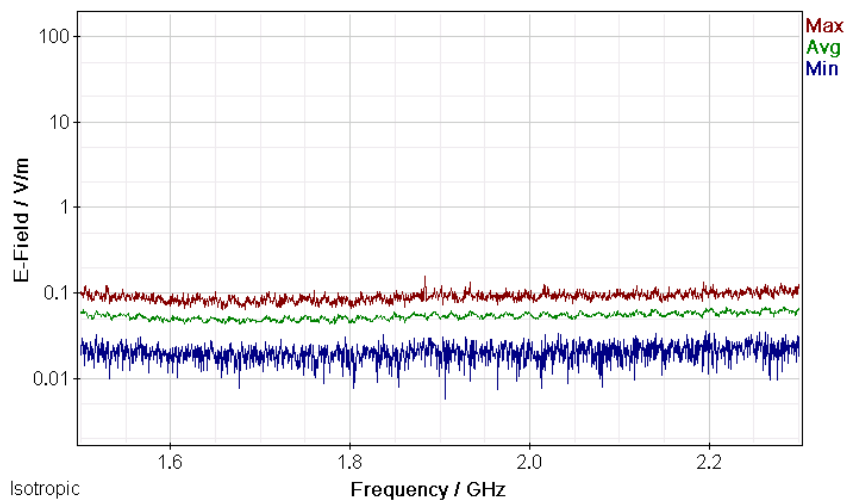
Σχήμα 130: Διακυμάνσεις (α) ελάχιστης (Min), (β) μέσης (Avg) και (γ) μέγιστης (Max) έντασης ηλεκτρικού πεδίου (E-Field) ως συνάρτηση της συχνότητας (Frequency) του πεδίου για μετρήσεις με οργανολογία τύπου NARDA SMR-3006 σε συσκευή κινητής τηλεφωνίας τύπου NOKIA CORPORATION 206 και παρόχου WIND σε απόσταση 0m από την κεραία της συσκευής κατα τη διάρκεια κλήσης χωρίς συνομιλία και ενεργοποίηση δεδομένων κινητής τηλεφωνίας .



Σχήμα 131: Διακυμάνσεις (α) ελάχιστης (Min), (β) μέσης (Avg) και (γ) μέγιστης (Max) έντασης ηλεκτρικού πεδίου (E-Field) ως συνάρτηση της συχνότητας (Frequency) του πεδίου για μετρήσεις με οργανολογία τύπου NARDA SMR-3006 σε συσκευή κινητής τηλεφωνίας τύπου NOKIA CORPORATION 206 και παρόχου WIND σε απόσταση 0m από την κεραία της συσκευής κατα τη διάρκεια συνομιλίας δούμιση λεπτών χωρίς ενεργοποίηση δεδομένων κινητής τηλεφωνίας.



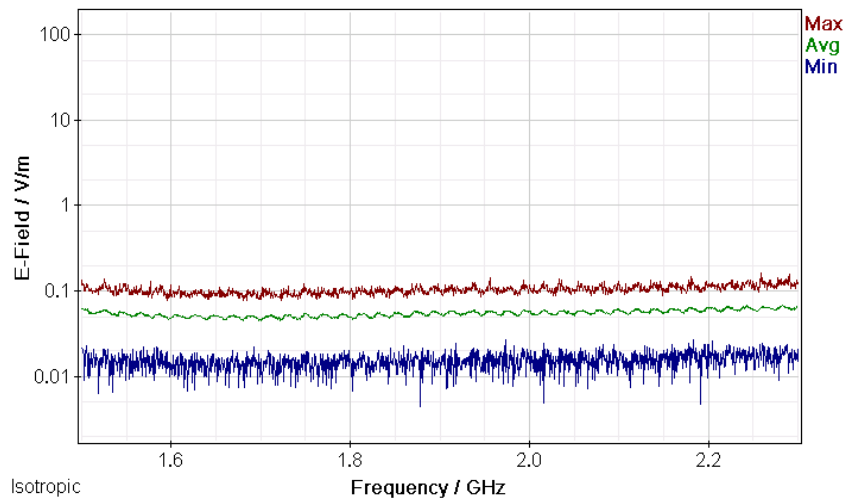
Σχήμα 132: Διακυμάνσεις (α) ελάχιστης (Min), (β) μέσης (Avg) και (γ) μέγιστης (Max) έντασης ηλεκτρικού πεδίου (E-Field) ως συνάρτηση της συχνότητας (Frequency) του πεδίου για μετρήσεις με οργανολογία τύπου NARDA SMR-3006 σε συσκευή κινητής τηλεφωνίας τύπου NOKIA CORPORATION 206 και παρόχου WIND σε απόσταση 0m από την κεραία της συσκευής κατα τη διάρκεια πεντάλεπτης συνομιλίας χωρίς ενεργοποίηση δεδομένων κινητής τηλεφωνίας.



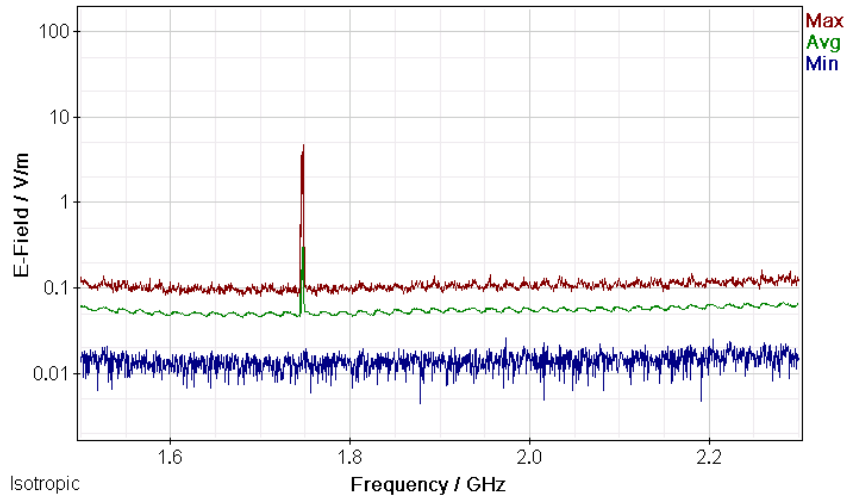
Σχήμα 133: Διακυμάνσεις (α) ελάχιστης (Min), (β) μέσης (Avg) και (γ) μέγιστης (Max) έντασης ηλεκτρικού πεδίου (E-Field) ως συνάρτηση της συχνότητας (Frequency) του πεδίου για μετρήσεις με οργανολογία τύπου NARDA SMR-3006 σε συσκευή κινητής τηλεφωνίας τύπου NOKIA CORPORATION 206 και παρόχου WIND σε απόσταση 0m από την κεραία της συσκευής κατα τη διάρκεια τερματισμού της κλήσης χωρίς ενεργοποίηση δεδομένων κινητής τηλεφωνίας.

ΠΑΡΑΡΤΗΜΑ 2

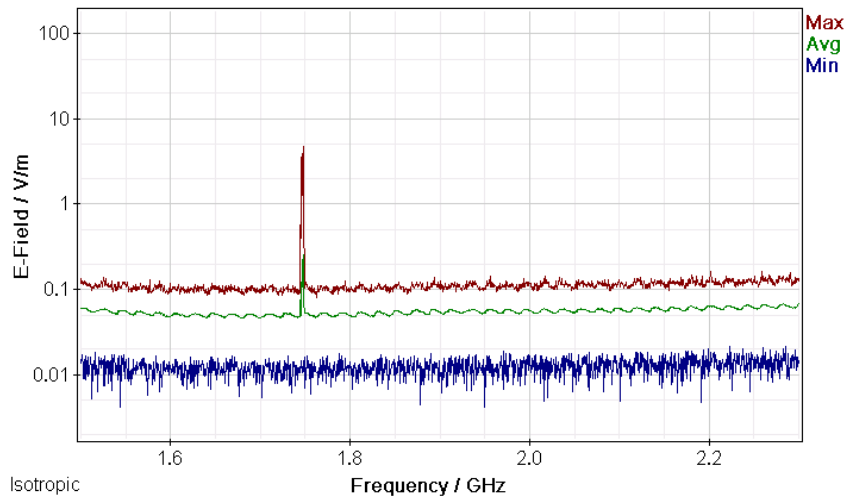
Μετρήσεις διακυμάνσεων (α) ελάχιστης (Min), (β) μέσης (Avg) και (γ) μέγιστης (Max) έντασης ηλεκτρικού πεδίου (E-Field) ως συνάρτηση της συχνότητας (Frequency) του πεδίου για μετρήσεις με οργανολογία τύπου NARDA SMR-3006 σε συσκευές κινητής τηλεφωνίας διαφόρων τύπων και παρόχων σε απόσταση 1 m από την κεραία των συσκευών.



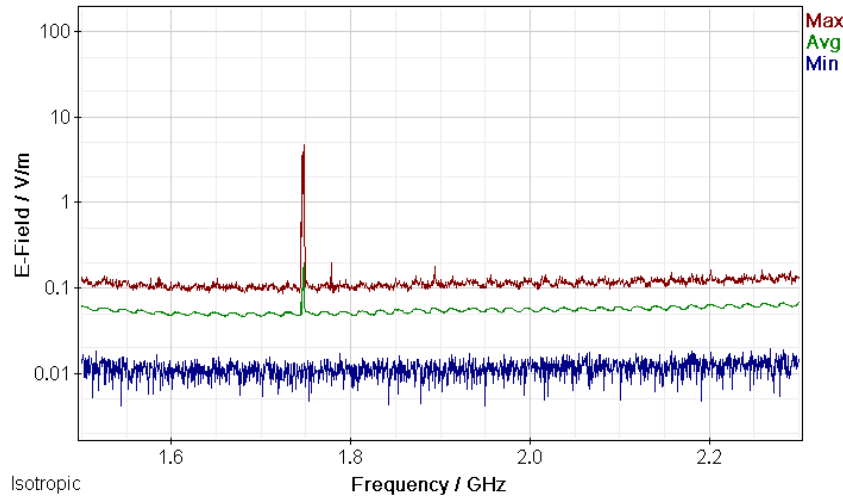
Σχήμα 134: Διακυμάνσεις (α) ελάχιστης (Min), (β) μέσης (Avg) και (γ) μέγιστης (Max) έντασης ηλεκτρικού πεδίου (E-Field) ως συνάρτηση της συχνότητας (Frequency) του πεδίου για μετρήσεις με οργανολογία τύπου NARDA SMR-3006 σε συσκευή κινητής τηλεφωνίας τύπου NOKIA CORPORATION 206 και παρόχου WIND σε απόσταση 1m από την κεραία της συσκευής κατα τη διάρκεια αναμονής χρήσης της συσκευής και χωρίς την ενεργοποίηση δεδομένων κινητής τηλεφωνίας.



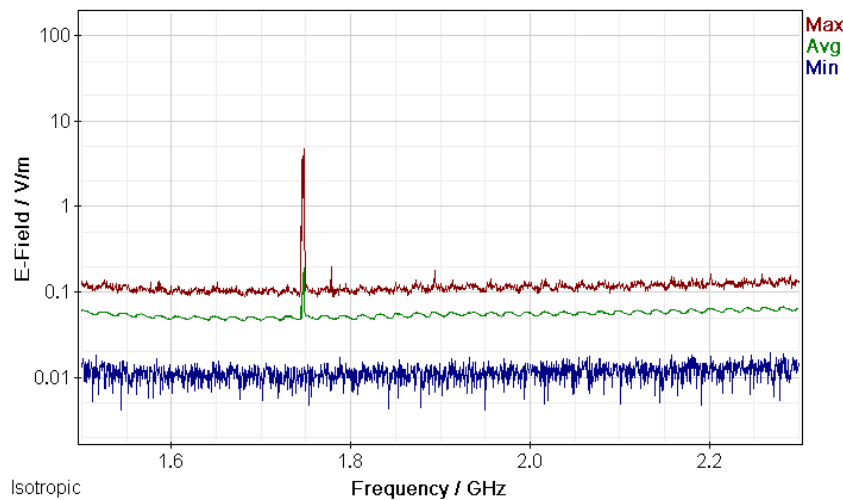
Σχήμα 135: Διακυμάνσεις (α) ελάχιστης (Min), (β) μέσης (Avg) και (γ) μέγιστης (Max) έντασης ηλεκτρικού πεδίου (E-Field) ως συνάρτηση της συχνότητας (Frequency) του πεδίου για μετρήσεις με οργανολογία τύπου NARDA SMR-3006 σε συσκευή κινητής τηλεφωνίας τύπου NOKIA CORPORATION 206 και παρόχου WIND σε απόσταση 1m από την κεραία της συσκευής κατά τη διάρκεια κλήσης χωρίς συνομιλία και ενεργοποίηση δεδομένων κινητής τηλεφωνίας .



Σχήμα 136: Διακυμάνσεις (α) ελάχιστης (Min), (β) μέσης (Avg) και (γ) μέγιστης (Max) έντασης ηλεκτρικού πεδίου (E-Field) ως συνάρτηση της συχνότητας (Frequency) του πεδίου για μετρήσεις με οργανολογία τύπου NARDA SMR-3006 σε συσκευή κινητής τηλεφωνίας τύπου NOKIA CORPORATION 206 και παρόχου WIND σε απόσταση 1m από την κεραία της συσκευής κατά τη διάρκεια συνομιλίας δυόμιση λεπτών χωρίς ενεργοποίηση δεδομένων κινητής τηλεφωνίας.



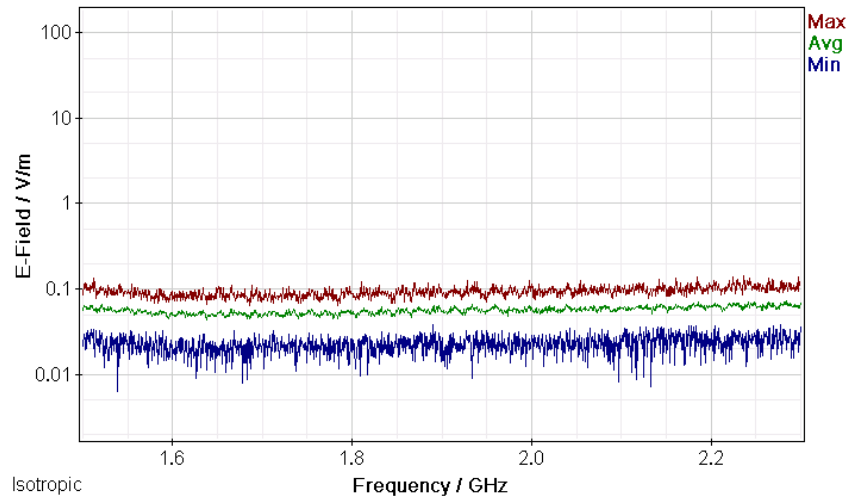
Σχήμα 137: Διακυμάνσεις (α) ελάχιστης (Min), (β) μέσης (Avg) και (γ) μέγιστης (Max) έντασης ηλεκτρικού πεδίου (E-Field) ως συνάρτηση της συχνότητας (Frequency) του πεδίου για μετρήσεις με οργανολογία τύπου NARDA SMR-3006 σε συσκευή κινητής τηλεφωνίας τύπου NOKIA CORPORATION 206 και παρόχου WIND σε απόσταση 1m από την κεραία της συσκευής κατα τη διάρκεια πεντάλεπτης συνομιλίας χωρίς ενεργοποίηση δεδομένων κινητής τηλεφωνίας.



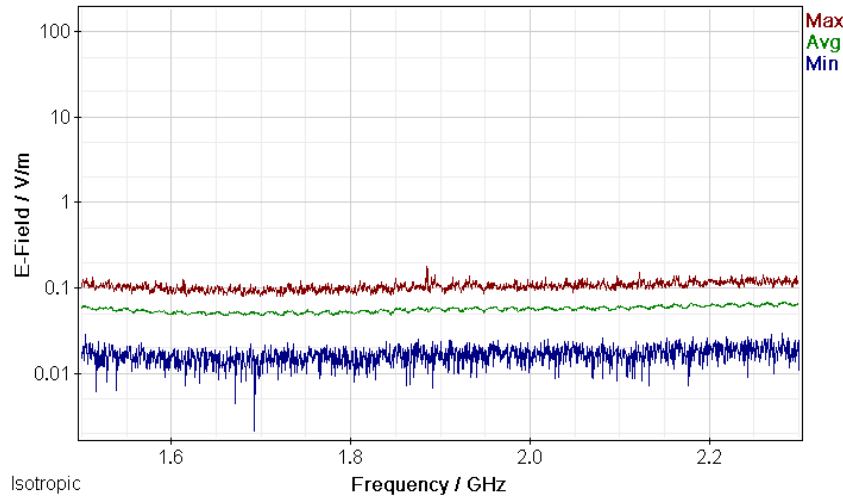
Σχήμα 138: Διακυμάνσεις (α) ελάχιστης (Min), (β) μέσης (Avg) και (γ) μέγιστης (Max) έντασης ηλεκτρικού πεδίου (E-Field) ως συνάρτηση της συχνότητας (Frequency) του πεδίου για μετρήσεις με οργανολογία τύπου NARDA SMR-3006 σε συσκευή κινητής τηλεφωνίας τύπου NOKIA CORPORATION 206 και παρόχου WIND σε απόσταση 1m από την κεραία της συσκευής κατα τη διάρκεια τερματισμού της κλήσης χωρίς ενεργοποίηση δεδομένων κινητής τηλεφωνίας.

ΠΑΡΑΡΤΗΜΑ 1

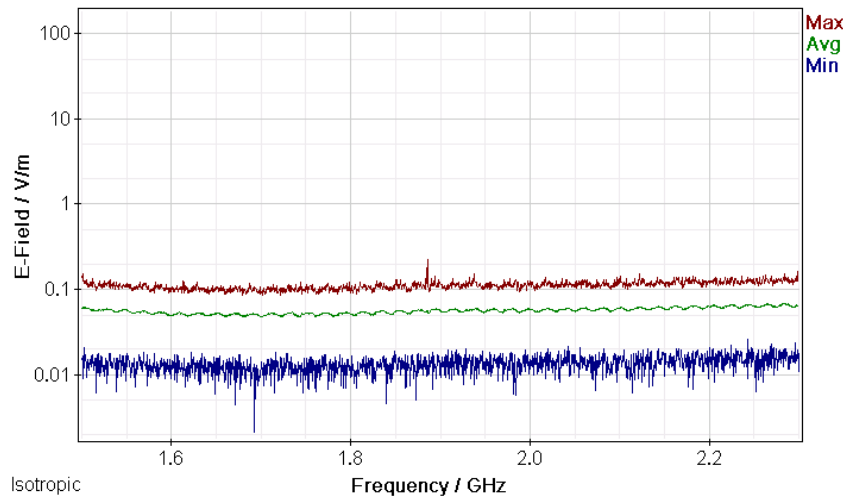
Μετρήσεις διακυμάνσεων (α) ελάχιστης (Min), (β) μέσης (Avg) και (γ) μέγιστης (Max) έντασης ηλεκτρικού πεδίου (E-Field) ως συνάρτηση της συχνότητας (Frequency) του πεδίου για μετρήσεις με οργανολογία τύπου NARDA SMR-3006 σε συσκευές κινητής τηλεφωνίας διαφόρων τύπων και παρόχων σε απόσταση 0 m από την κεραία των συσκευών.



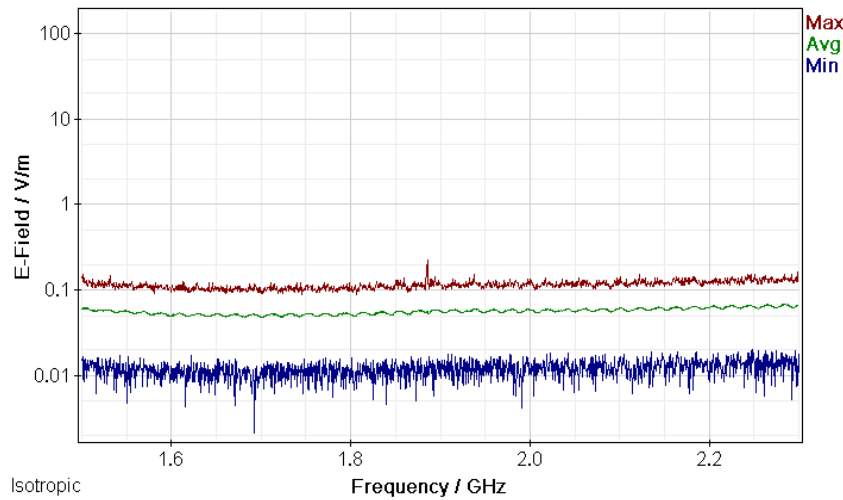
Σχήμα 139: Διακυμάνσεις (α) ελάχιστης (Min), (β) μέσης (Avg) και (γ) μέγιστης (Max) έντασης ηλεκτρικού πεδίου (E-Field) ως συνάρτηση της συχνότητας (Frequency) του πεδίου για μετρήσεις με οργανολογία τύπου NARDA SMR-3006 σε συσκευή κινητής τηλεφωνίας τύπου NOKIA CORPORATION 206 και παρόχου WIND σε απόσταση 0m από την κεραία της συσκευής κατα τη διάρκεια αναμονής χρήσης της συσκευής και χωρίς την ενεργοποίηση δεδομένων κινητής τηλεφωνίας.



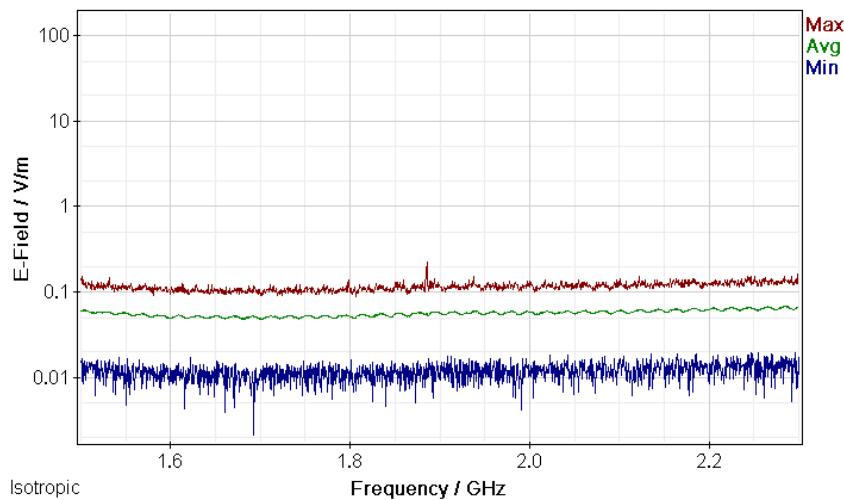
Σχήμα 140: Διακυμάνσεις (α) ελάχιστης (Min), (β) μέσης (Avg) και (γ) μέγιστης (Max) έντασης ηλεκτρικού πεδίου (E-Field) ως συνάρτηση της συχνότητας (Frequency) του πεδίου για μετρήσεις με οργανολογία τύπου NARDA SMR-3006 σε συσκευή κινητής τηλεφωνίας τύπου NOKIA CORPORATION 206 και παρόχου WIND σε απόσταση 0m από την κεραία της συσκευής κατα τη διάρκεια κλήσης χωρίς συνομιλία και ενεργοποίηση δεδομένων κινητής τηλεφωνίας .



Σχήμα 141: Διακυμάνσεις (α) ελάχιστης (Min), (β) μέσης (Avg) και (γ) μέγιστης (Max) έντασης ηλεκτρικού πεδίου (E-Field) ως συνάρτηση της συχνότητας (Frequency) του πεδίου για μετρήσεις με οργανολογία τύπου NARDA SMR-3006 σε συσκευή κινητής τηλεφωνίας τύπου NOKIA CORPORATION 206 και παρόχου WIND σε απόσταση 0m από την κεραία της συσκευής κατα τη διάρκεια συνομιλίας δυόμιση λεπτών χωρίς ενεργοποίηση δεδομένων κινητής τηλεφωνίας.



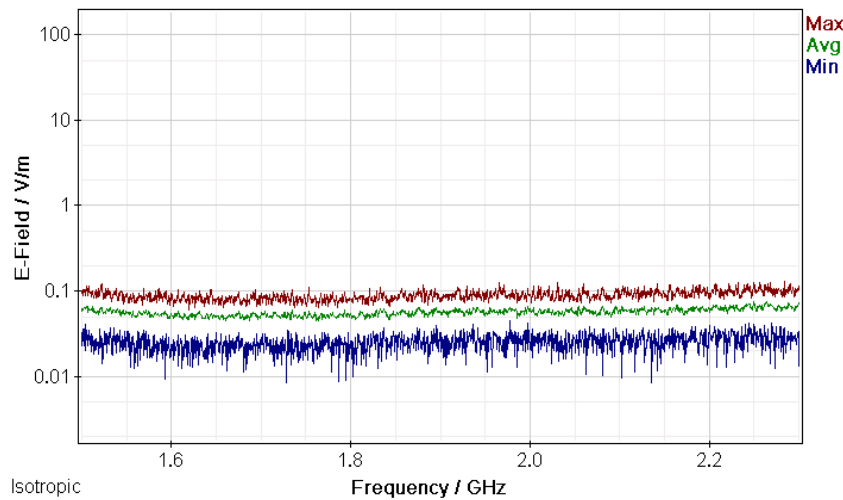
Σχήμα 142: Διακυμάνσεις (α) ελάχιστης (Min), (β) μέσης (Avg) και (γ) μέγιστης (Max) έντασης ηλεκτρικού πεδίου (E-Field) ως συνάρτηση της συχνότητας (Frequency) του πεδίου για μετρήσεις με οργανολογία τύπου NARDA SMR-3006 σε συσκευή κινητής τηλεφωνίας τύπου NOKIA CORPORATION 206 και παρόχου WIND σε απόσταση 0m από την κεραία της συσκευής κατά τη διάρκεια πεντάλεπτης συνομιλίας χωρίς ενεργοποίηση δεδομένων κινητής τηλεφωνίας.



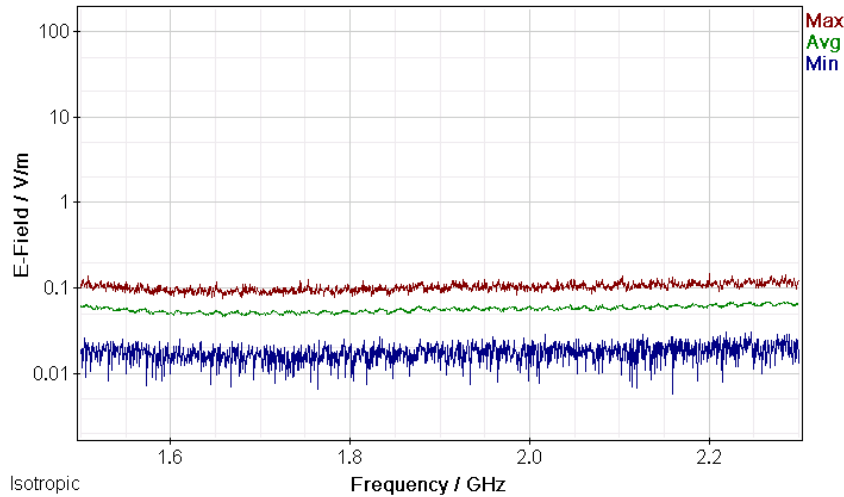
Σχήμα 143: Διακυμάνσεις (α) ελάχιστης (Min), (β) μέσης (Avg) και (γ) μέγιστης (Max) έντασης ηλεκτρικού πεδίου (E-Field) ως συνάρτηση της συχνότητας (Frequency) του πεδίου για μετρήσεις με οργανολογία τύπου NARDA SMR-3006 σε συσκευή κινητής τηλεφωνίας τύπου NOKIA CORPORATION 206 και παρόχου WIND σε απόσταση 0m από την κεραία της συσκευής κατά τη διάρκεια τερματισμού της κλήσης χωρίς ενεργοποίηση δεδομένων κινητής τηλεφωνίας.

ΠΑΡΑΡΤΗΜΑ 2

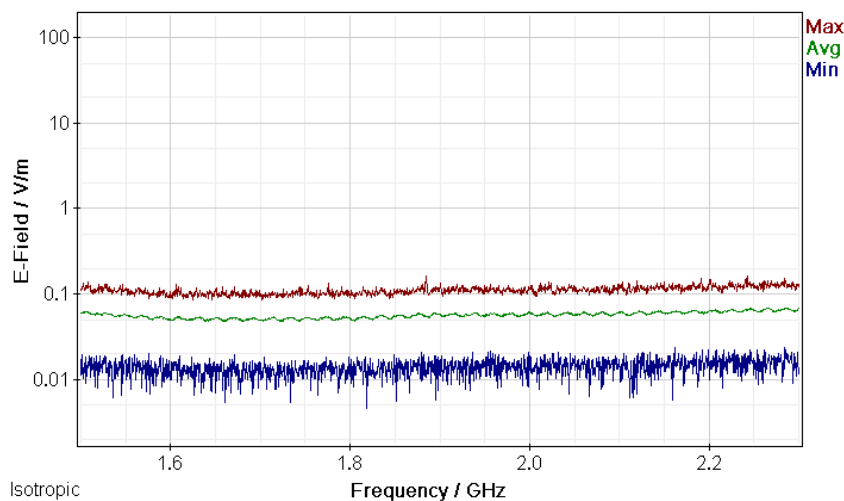
Μετρήσεις διακυμάνσεων (α) ελάχιστης (Min), (β) μέσης (Avg) και (γ) μέγιστης (Max) έντασης ηλεκτρικού πεδίου (E-Field) ως συνάρτηση της συχνότητας (Frequency) του πεδίου για μετρήσεις με οργανολογία τύπου NARDA SMR-3006 σε συσκευές κινητής τηλεφωνίας διαφόρων τύπων και παρόχων σε απόσταση 1 m από την κεραία των συσκευών.



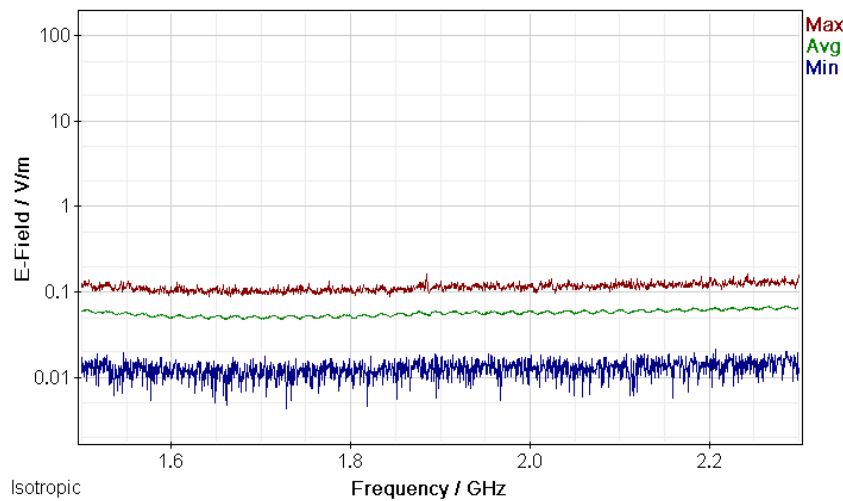
Σχήμα 144: Διακυμάνσεις (α) ελάχιστης (Min), (β) μέσης (Avg) και (γ) μέγιστης (Max) έντασης ηλεκτρικού πεδίου (E-Field) ως συνάρτηση της συχνότητας (Frequency) του πεδίου για μετρήσεις με οργανολογία τύπου NARDA SMR-3006 σε συσκευή κινητής τηλεφωνίας τύπου NOKIA CORPORATION 206 και παρόχου WIND σε απόσταση 1m από την κεραία της συσκευής κατα τη διάρκεια αναμονής χρήσης της συσκευής και χωρίς την ενεργοποίηση δεδομένων κινητής τηλεφωνίας.



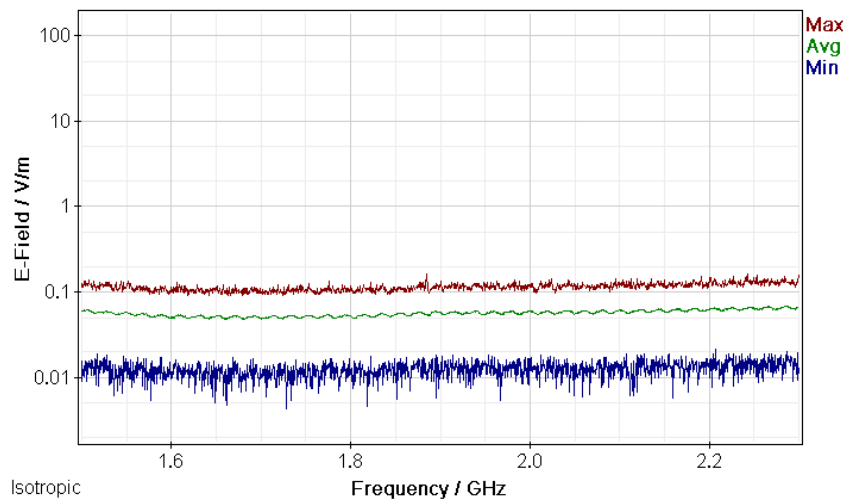
Σχήμα 145: Διακυμάνσεις (α) ελάχιστης (Min), (β) μέσης (Avg) και (γ) μέγιστης (Max) έντασης ηλεκτρικού πεδίου (E-Field) ως συνάρτηση της συχνότητας (Frequency) του πεδίου για μετρήσεις με οργάνολογία τύπου NARDA SMR-3006 σε συσκευή κινητής τηλεφωνίας τύπου NOKIA CORPORATION 206 και παρόχου WIND σε απόσταση 1m από την κεραία της συσκευής κατα τη διάρκεια κλήσης χωρίς συνομιλία και ενεργοποίηση δεδομένων κινητής τηλεφωνίας .



Σχήμα 10: Διακυμάνσεις (α) ελάχιστης (Min), (β) μέσης (Avg) και (γ) μέγιστης (Max) έντασης ηλεκτρικού πεδίου (E-Field) ως συνάρτηση της συχνότητας (Frequency) του πεδίου για μετρήσεις με οργάνολογία τύπου NARDA SMR-3006 σε συσκευή κινητής τηλεφωνίας τύπου NOKIA CORPORATION 206 και παρόχου WIND σε απόσταση 1m από την κεραία της συσκευής κατα τη διάρκεια συνομιλίας δυόμιση λεπτών χωρίς ενεργοποίηση δεδομένων κινητής τηλεφωνίας.



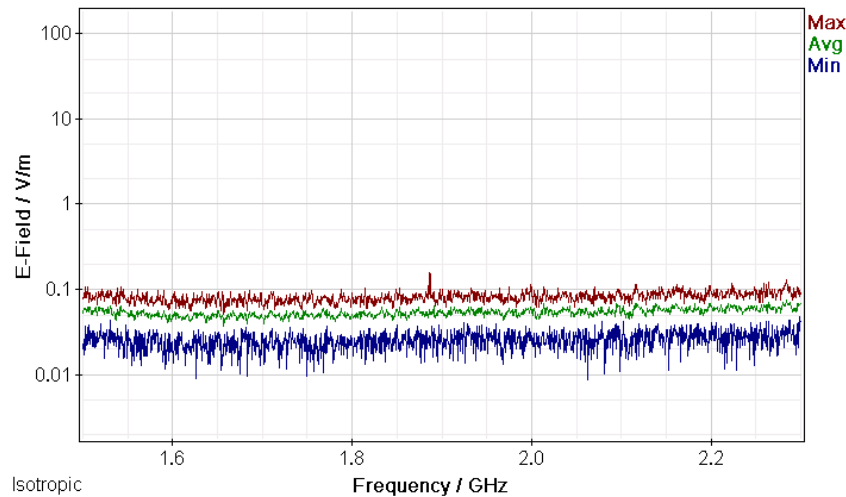
Σχήμα 146: Διακυμάνσεις (α) ελάχιστης (Min), (β) μέσης (Avg) και (γ) μέγιστης (Max) έντασης ηλεκτρικού πεδίου (E-Field) ως συνάρτηση της συχνότητας (Frequency) του πεδίου για μετρήσεις με οργανολογία τύπου NARDA SMR-3006 σε συσκευή κινητής τηλεφωνίας τύπου NOKIA CORPORATION 206 και παρόχου WIND σε απόσταση 1m από την κεραία της συσκευής κατα τη διάρκεια πεντάλεπτης συνομιλίας χωρίς ενεργοποίηση δεδομένων κινητής τηλεφωνίας.



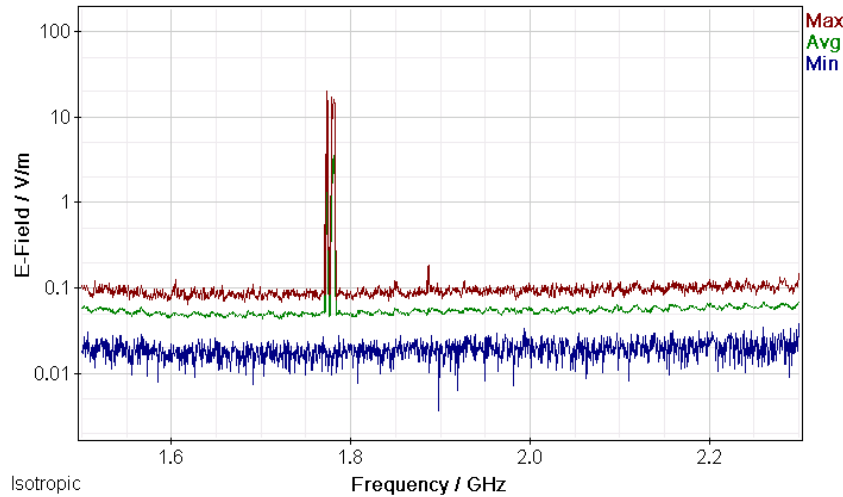
Σχήμα 147: Διακυμάνσεις (α) ελάχιστης (Min), (β) μέσης (Avg) και (γ) μέγιστης (Max) έντασης ηλεκτρικού πεδίου (E-Field) ως συνάρτηση της συχνότητας (Frequency) του πεδίου για μετρήσεις με οργανολογία τύπου NARDA SMR-3006 σε συσκευή κινητής τηλεφωνίας τύπου NOKIA CORPORATION 206 και παρόχου WIND σε απόσταση 1m από την κεραία της συσκευής κατα τη διάρκεια τερματισμού της κλήσης χωρίς ενεργοποίηση δεδομένων κινητής τηλεφωνίας.

ΠΑΡΑΡΤΗΜΑ 1

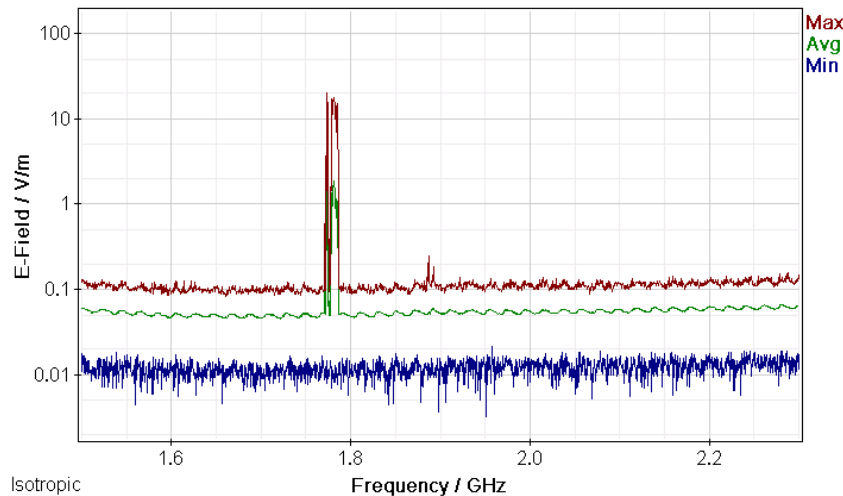
Μετρήσεις διακυμάνσεων (α) ελάχιστης (Min), (β) μέσης (Avg) και (γ) μέγιστης (Max) έντασης ηλεκτρικού πεδίου (E-Field) ως συνάρτηση της συχνότητας (Frequency) του πεδίου για μετρήσεις με οργανολογία τύπου NARDA SMR-3006 σε συσκευές κινητής τηλεφωνίας διαφόρων τύπων και παρόχων σε απόσταση 0 m από την κεραία των συσκευών.



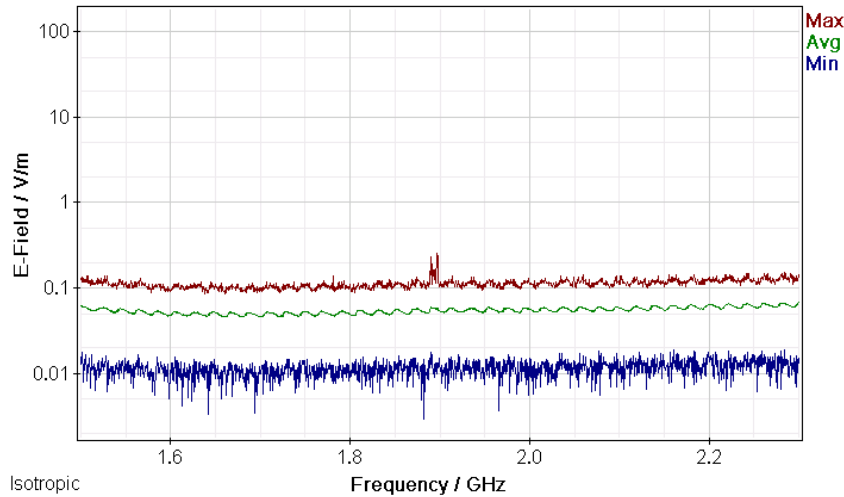
Σχήμα 148: Διακυμάνσεις (α) ελάχιστης (Min), (β) μέσης (Avg) και (γ) μέγιστης (Max) έντασης ηλεκτρικού πεδίου (E-Field) ως συνάρτηση της συχνότητας (Frequency) του πεδίου για μετρήσεις με οργανολογία τύπου NARDA SMR-3006 σε συσκευή κινητής τηλεφωνίας τύπου NOKIA CORPORATION 6500s-1 και παρόχου COSMOTE σε απόσταση 0m από την κεραία της συσκευής κατά τη διάρκεια αναμονής χρήσης της συσκευής και χωρίς την ενεργοποίηση δεδομένων κινητής τηλεφωνίας.



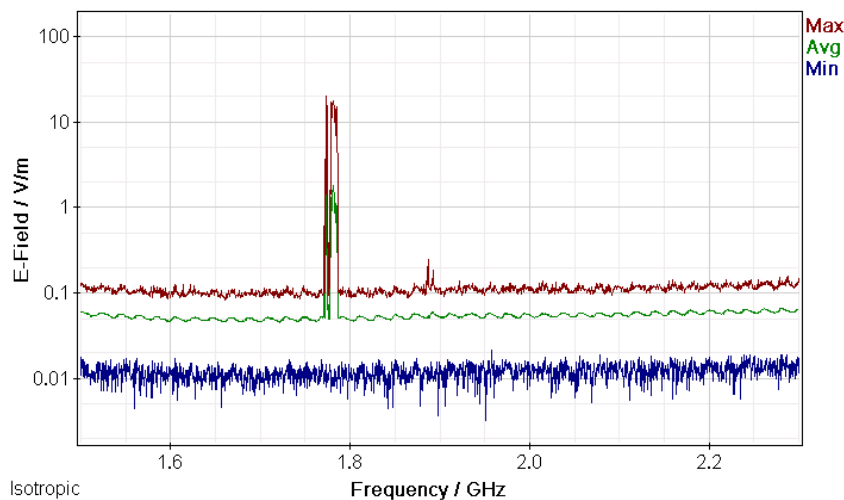
Σχήμα 149: Διακυμάνσεις (α) ελάχιστης (Min), (β) μέσης (Avg) και (γ) μέγιστης (Max) έντασης ηλεκτρικού πεδίου (E-Field) ως συνάρτηση της συχνότητας (Frequency) του πεδίου για μετρήσεις με οργανολογία τύπου NARDA SMR-3006 σε συσκευή κινητής τηλεφωνίας τύπου NOKIA CORPORATION 6500s-1 και παρόχου COSMOTE σε απόσταση 0m από την κεραία της συσκευής κατα τη διάρκεια κλήσης χωρίς συνομιλία και ενεργοποίηση δεδομένων κινητής τηλεφωνίας



Σχήμα 150: Διακυμάνσεις (α) ελάχιστης (Min), (β) μέσης (Avg) και (γ) μέγιστης (Max) έντασης ηλεκτρικού πεδίου (E-Field) ως συνάρτηση της συχνότητας (Frequency) του πεδίου για μετρήσεις με οργανολογία τύπου NARDA SMR-3006 σε συσκευή κινητής τηλεφωνίας τύπου NOKIA CORPORATION 6500s-1 και παρόχου COSMOTE σε απόσταση 0m από την κεραία της συσκευής κατα τη διάρκεια συνομιλίας δυόμιση λεπτών χωρίς ενεργοποίηση δεδομένων κινητής τηλεφωνίας.



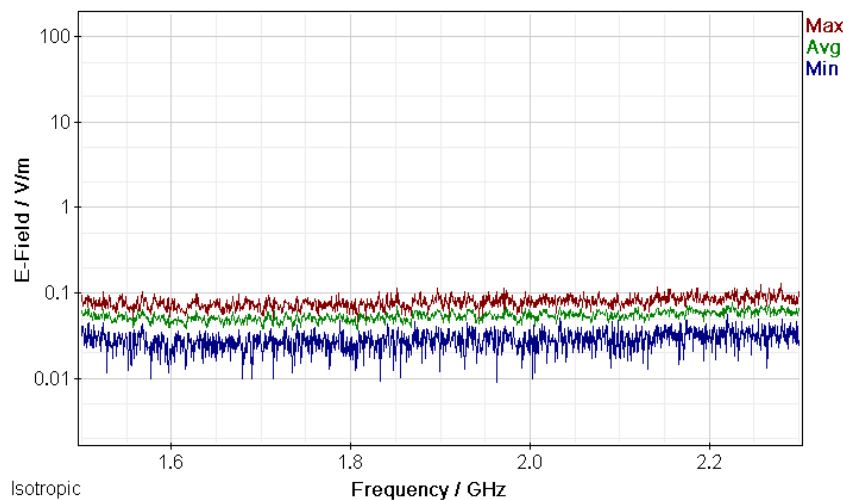
Σχήμα 151: Διακυμάνσεις (α) ελάχιστης (Min), (β) μέσης (Avg) και (γ) μέγιστης (Max) έντασης ηλεκτρικού πεδίου (E-Field) ως συνάρτηση της συχνότητας (Frequency) του πεδίου για μετρήσεις με οργανολογία τύπου NARDA SMR-3006 σε συσκευή κινητής τηλεφωνίας τύπου NOKIA CORPORATION 6500s-1 και παρόχου COSMOTE σε απόσταση 0m από την κεραία της συσκευής κατά τη διάρκεια πεντάλεπτης συνομιλίας χωρίς ενεργοποίηση δεδομένων κινητής τηλεφωνίας.



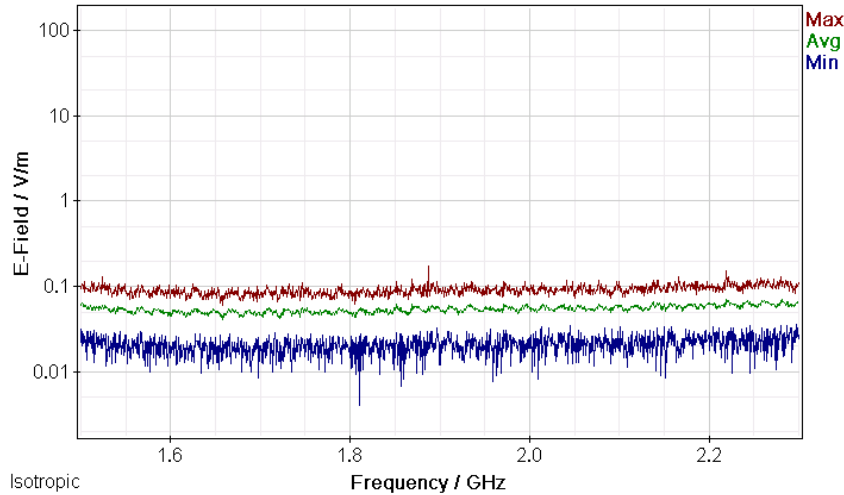
Σχήμα 152: Διακυμάνσεις (α) ελάχιστης (Min), (β) μέσης (Avg) και (γ) μέγιστης (Max) έντασης ηλεκτρικού πεδίου (E-Field) ως συνάρτηση της συχνότητας (Frequency) του πεδίου για μετρήσεις με οργανολογία τύπου NARDA SMR-3006 σε συσκευή κινητής τηλεφωνίας τύπου NOKIA CORPORATION 6500s-1 και παρόχου COSMOTE σε απόσταση 0m από την κεραία της συσκευής κατά τη διάρκεια τερματισμού της κλήσης χωρίς ενεργοποίηση δεδομένων κινητής τηλεφωνίας.

ΠΑΡΑΡΤΗΜΑ 2

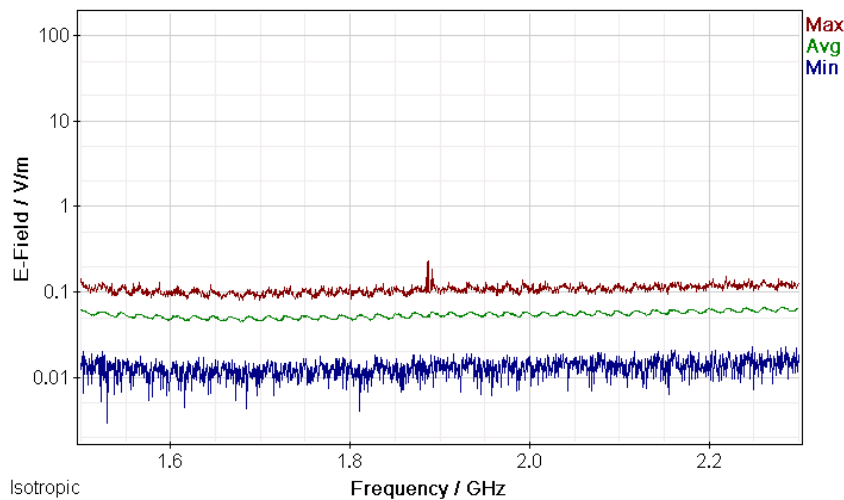
Μετρήσεις διακυμάνσεων (α) ελάχιστης (Min), (β) μέσης (Avg) και (γ) μέγιστης (Max) έντασης ηλεκτρικού πεδίου (E-Field) ως συνάρτηση της συχνότητας (Frequency) του πεδίου για μετρήσεις με οργανολογία τύπου NARDA SMR-3006 σε συσκευές κινητής τηλεφωνίας διαφόρων τύπων και παρόχων σε απόσταση 1 m από την κεραία των συσκευών.



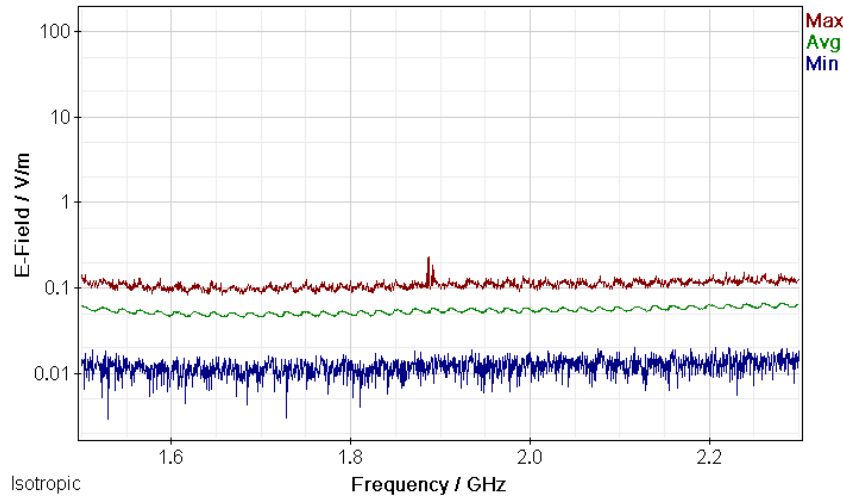
Σχήμα 153: Διακυμάνσεις (α) ελάχιστης (Min), (β) μέσης (Avg) και (γ) μέγιστης (Max) έντασης ηλεκτρικού πεδίου (E-Field) ως συνάρτηση της συχνότητας (Frequency) του πεδίου για μετρήσεις με οργανολογία τύπου NARDA SMR-3006 σε συσκευή κινητής τηλεφωνίας τύπου NOKIA CORPORATION 6500s-1 και παρόχου COSMOTE σε απόσταση 1m από την κεραία της συσκευής κατά τη διάρκεια αναμονής χρήσης της συσκευής και χωρίς την ενεργοποίηση δεδομένων κινητής τηλεφωνίας.



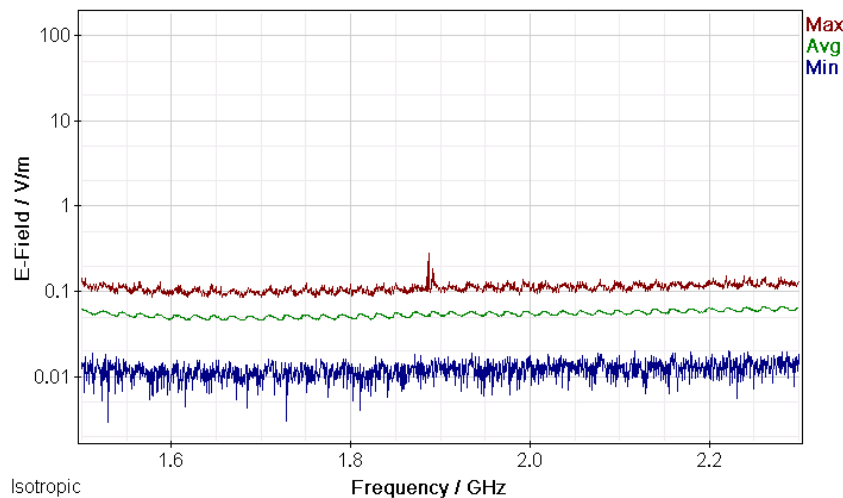
Σχήμα 154: Διακυμάνσεις (α) ελάχιστης (Min), (β) μέσης (Avg) και (γ) μέγιστης (Max) έντασης ηλεκτρικού πεδίου (E-Field) ως συνάρτηση της συχνότητας (Frequency) του πεδίου για μετρήσεις με οργανολογία τύπου NARDA SMR-3006 σε συσκευή κινητής τηλεφωνίας τύπου NOKIA CORPORATION 6500s-1 και παρόχου COSMOTE σε απόσταση 1m από την κεραία της συσκευής κατα τη διάρκεια κλήσης χωρίς συνομιλία και ενεργοποίηση δεδομένων κινητής τηλεφωνίας .



Σχήμα 155: Διακυμάνσεις (α) ελάχιστης (Min), (β) μέσης (Avg) και (γ) μέγιστης (Max) έντασης ηλεκτρικού πεδίου (E-Field) ως συνάρτηση της συχνότητας (Frequency) του πεδίου για μετρήσεις με οργανολογία τύπου NARDA SMR-3006 σε συσκευή κινητής τηλεφωνίας τύπου NOKIA CORPORATION 6500s-1 και παρόχου COSMOTE σε απόσταση 1m από την κεραία της συσκευής κατα τη διάρκεια συνομιλίας δυόμιση λεπτών χωρίς ενεργοποίηση δεδομένων κινητής τηλεφωνίας.



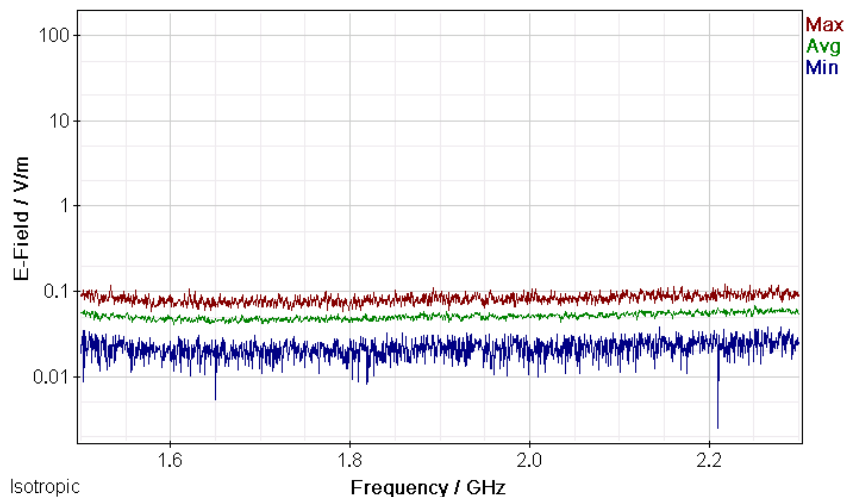
Σχήμα 156: Διακυμάνσεις (α) ελάχιστης (Min), (β) μέσης (Avg) και (γ) μέγιστης (Max) έντασης ηλεκτρικού πεδίου (E-Field) ως συνάρτηση της συχνότητας (Frequency) του πεδίου για μετρήσεις με οργανολογία τύπου NARDA SMR-3006 σε συσκευή κινητής τηλεφωνίας τύπου NOKIA CORPORATION 6500s-1 και παρόχου COSMOTE σε απόσταση 1m από την κεραία της συσκευής κατά τη διάρκεια πεντάλεπτης συνομιλίας χωρίς ενεργοποίηση δεδομένων κινητής τηλεφωνίας.



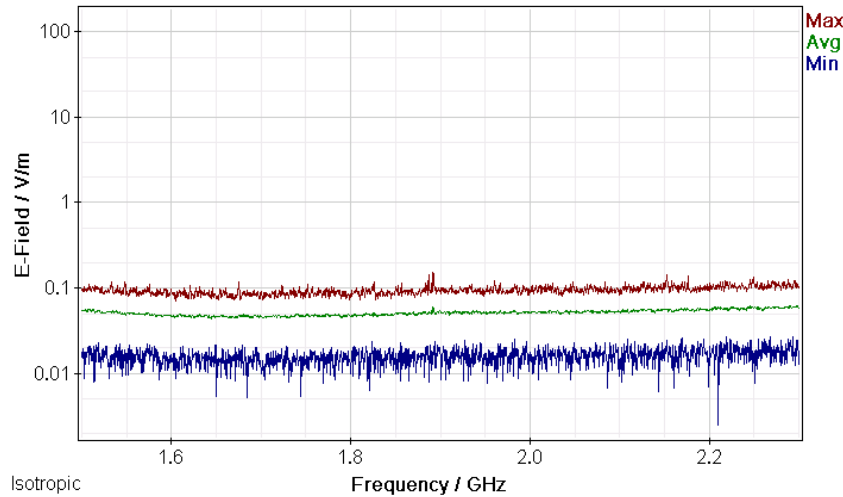
Σχήμα 157: Διακυμάνσεις (α) ελάχιστης (Min), (β) μέσης (Avg) και (γ) μέγιστης (Max) έντασης ηλεκτρικού πεδίου (E-Field) ως συνάρτηση της συχνότητας (Frequency) του πεδίου για μετρήσεις με οργανολογία τύπου NARDA SMR-3006 σε συσκευή κινητής τηλεφωνίας τύπου NOKIA CORPORATION 6500s-1 και παρόχου COSMOTE σε απόσταση 1m από την κεραία της συσκευής κατά τη διάρκεια τερματισμού της κλήσης χωρίς ενεργοποίηση δεδομένων κινητής τηλεφωνίας.

ΠΑΡΑΡΤΗΜΑ 1

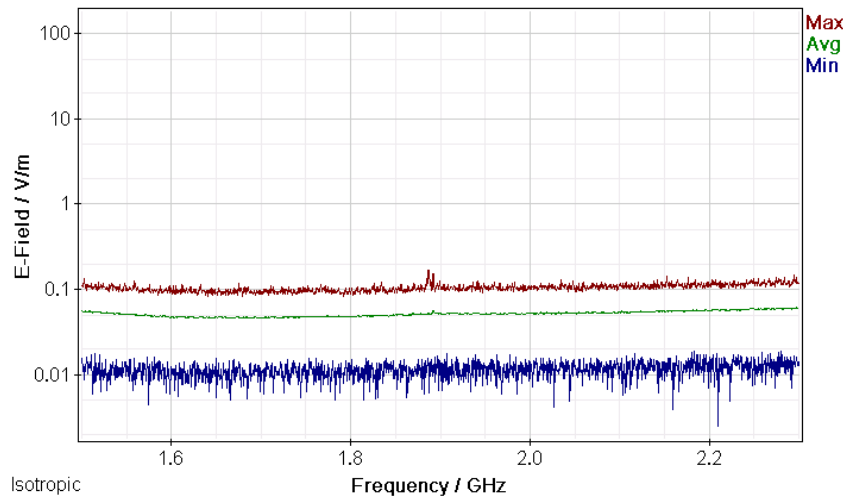
Μετρήσεις διακυμάνσεων (α) ελάχιστης (Min), (β) μέσης (Avg) και (γ) μέγιστης (Max) έντασης ηλεκτρικού πεδίου (E-Field) ως συνάρτηση της συχνότητας (Frequency) του πεδίου για μετρήσεις με οργανολογία τύπου NARDA SMR-3006 σε συσκευές κινητής τηλεφωνίας διαφόρων τύπων και παρόχων σε απόσταση 0 m από την κεραία των συσκευών.



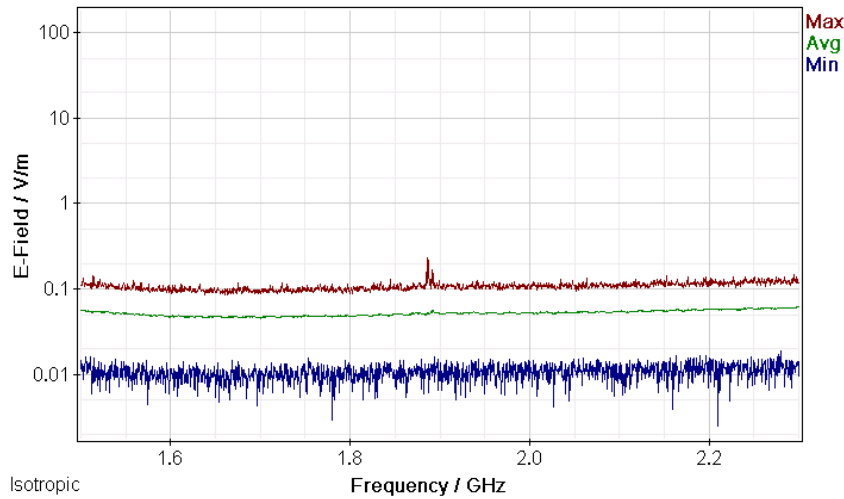
Σχήμα 158: Διακυμάνσεις (α) ελάχιστης (Min), (β) μέσης (Avg) και (γ) μέγιστης (Max) έντασης ηλεκτρικού πεδίου (E-Field) ως συνάρτηση της συχνότητας (Frequency) του πεδίου για μετρήσεις με οργανολογία τύπου NARDA SMR-3006 σε συσκευή κινητής τηλεφωνίας τύπου NOKIA CORPORATION 6500s-1 και παρόχου VODAFONE σε απόσταση 0m από την κεραία της συσκευής κατά τη διάρκεια αναμονής χρήσης της συσκευής και χωρίς την ενεργοποίηση δεδομένων κινητής τηλεφωνίας.



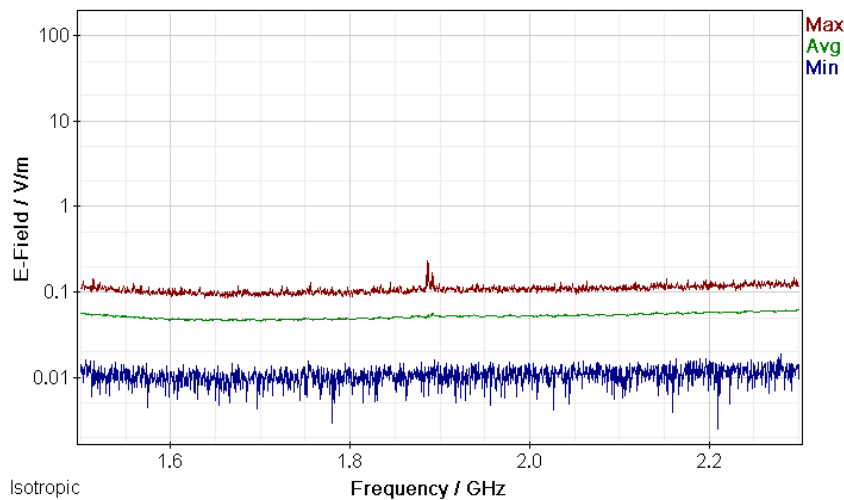
Σχήμα 159: Διακυμάνσεις (α) ελάχιστης (Min), (β) μέσης (Avg) και (γ) μέγιστης (Max) έντασης ηλεκτρικού πεδίου (E-Field) ως συνάρτηση της συχνότητας (Frequency) του πεδίου για μετρήσεις με οργανολογία τύπου NARDA SMR-3006 σε συσκευή κινητής τηλεφωνίας τύπου NOKIA CORPORATION 6500s-1 και παρόχου VODAFONE σε απόσταση 0m από την κεραία της συσκευής κατα τη διάρκεια κλήσης χωρίς συνομιλία και ενεργοποίηση δεδομένων κινητής τηλεφωνίας .



Σχήμα 160: Διακυμάνσεις (α) ελάχιστης (Min), (β) μέσης (Avg) και (γ) μέγιστης (Max) έντασης ηλεκτρικού πεδίου (E-Field) ως συνάρτηση της συχνότητας (Frequency) του πεδίου για μετρήσεις με οργανολογία τύπου NARDA SMR-3006 σε συσκευή κινητής τηλεφωνίας τύπου NOKIA CORPORATION 6500s-1 και παρόχου VODAFONE σε απόσταση 0m από την κεραία της συσκευής κατα τη διάρκεια συνομιλίας δυόμιση λεπτών χωρίς ενεργοποίηση δεδομένων κινητής τηλεφωνίας.



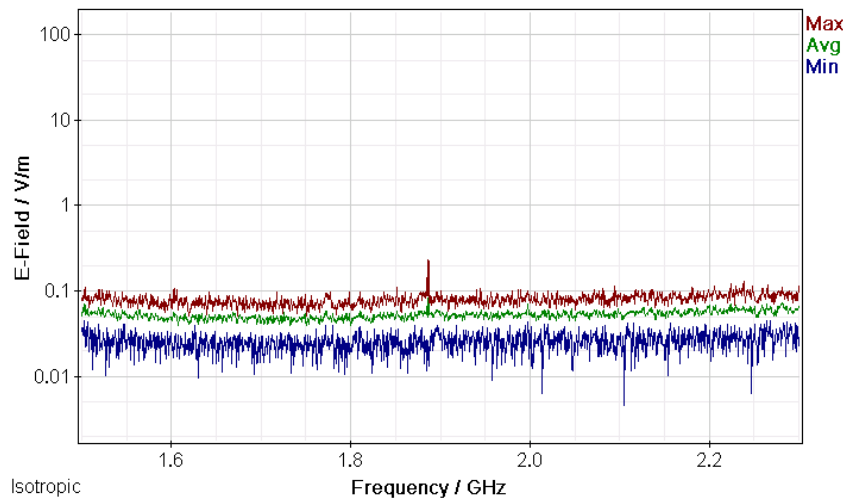
Σχήμα 161: Διακυμάνσεις (α) ελάχιστης (Min), (β) μέσης (Avg) και (γ) μέγιστης (Max) έντασης ηλεκτρικού πεδίου (E-Field) ως συνάρτηση της συχνότητας (Frequency) του πεδίου για μετρήσεις με οργάνολογία τύπου NARDA SMR-3006 σε συσκευή κινητής τηλεφωνίας τύπου NOKIA CORPORATION 6500s-1 και παρόχου VODAFONE σε απόσταση 0m από την κεραία της συσκευής κατα τη διάρκεια πεντάλεπτης συνομιλίας χωρίς ενεργοποίηση δεδομένων κινητής τηλεφωνίας.



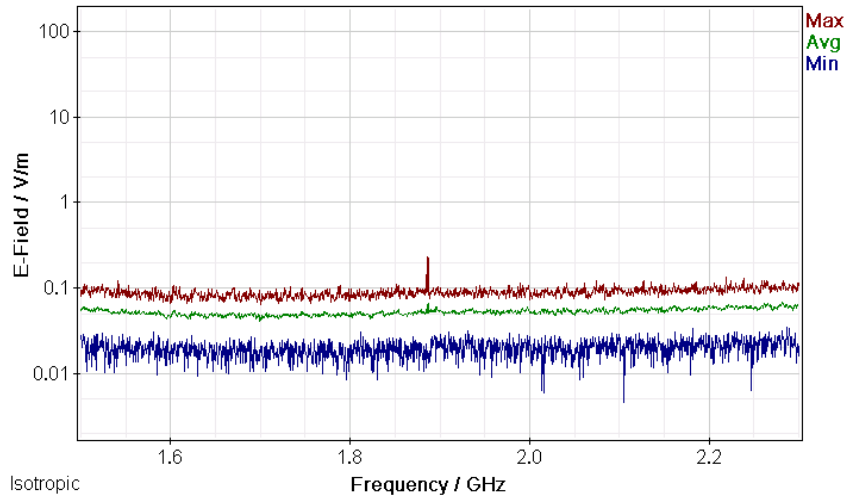
Σχήμα 162: Διακυμάνσεις (α) ελάχιστης (Min), (β) μέσης (Avg) και (γ) μέγιστης (Max) έντασης ηλεκτρικού πεδίου (E-Field) ως συνάρτηση της συχνότητας (Frequency) του πεδίου για μετρήσεις με οργάνολογία τύπου NARDA SMR-3006 σε συσκευή κινητής τηλεφωνίας τύπου NOKIA CORPORATION 6500s-1 και παρόχου VODAFONE σε απόσταση 0m από την κεραία της συσκευής κατα τη διάρκεια τερματισμού της κλήσης χωρίς ενεργοποίηση δεδομένων κινητής τηλεφωνίας.

ΠΑΡΑΡΤΗΜΑ 2

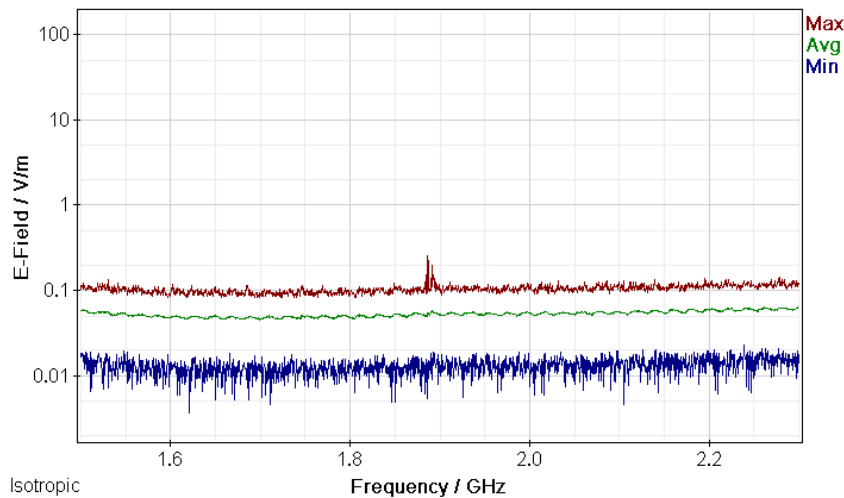
Μετρήσεις διακυμάνσεων (α) ελάχιστης (Min), (β) μέσης (Avg) και (γ) μέγιστης (Max) έντασης ηλεκτρικού πεδίου (E-Field) ως συνάρτηση της συχνότητας (Frequency) του πεδίου για μετρήσεις με οργανολογία τύπου NARDA SMR-3006 σε συσκευές κινητής τηλεφωνίας διαφόρων τύπων και παρόχων σε απόσταση 1 m από την κεραία των συσκευών.



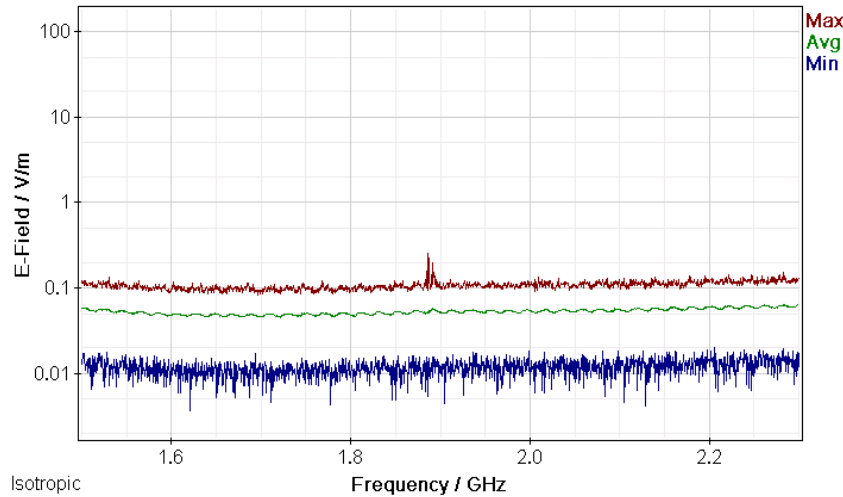
Σχήμα 163: Διακυμάνσεις (α) ελάχιστης (Min), (β) μέσης (Avg) και (γ) μέγιστης (Max) έντασης ηλεκτρικού πεδίου (E-Field) ως συνάρτηση της συχνότητας (Frequency) του πεδίου για μετρήσεις με οργανολογία τύπου NARDA SMR-3006 σε συσκευή κινητής τηλεφωνίας τύπου NOKIA CORPORATION 6500s-1 και παρόχου VODAFONE σε απόσταση 1m από την κεραία της συσκευής κατά τη διάρκεια αναμονής χρήσης της συσκευής και χωρίς την ενεργοποίηση δεδομένων κινητής τηλεφωνίας.



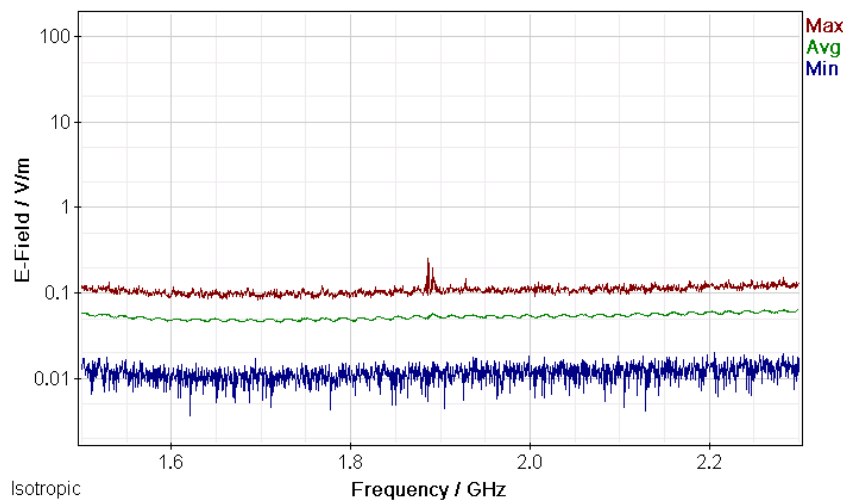
Σχήμα 164: Διακυμάνσεις (α) ελάχιστης (Min), (β) μέσης (Avg) και (γ) μέγιστης (Max) έντασης ηλεκτρικού πεδίου (E-Field) ως συνάρτηση της συχνότητας (Frequency) του πεδίου για μετρήσεις με οργανολογία τύπου NARDA SMR-3006 σε συσκευή κινητής τηλεφωνίας τύπου NOKIA CORPORATION 6500s-1 και παρόχου VODAFONE σε απόσταση 1m από την κεραία της συσκευής κατα τη διάρκεια κλήσης χωρίς συνομιλία και ενεργοποίηση δεδομένων κινητής τηλεφωνίας



Σχήμα 165: Διακυμάνσεις (α) ελάχιστης (Min), (β) μέσης (Avg) και (γ) μέγιστης (Max) έντασης ηλεκτρικού πεδίου (E-Field) ως συνάρτηση της συχνότητας (Frequency) του πεδίου για μετρήσεις με οργανολογία τύπου NARDA SMR-3006 σε συσκευή κινητής τηλεφωνίας τύπου NOKIA CORPORATION 6500s-1 και παρόχου VODAFONE σε απόσταση 1m από την κεραία της συσκευής κατα τη διάρκεια συνομιλίας δυόμιση λεπτών χωρίς ενεργοποίηση δεδομένων κινητής τηλεφωνίας.



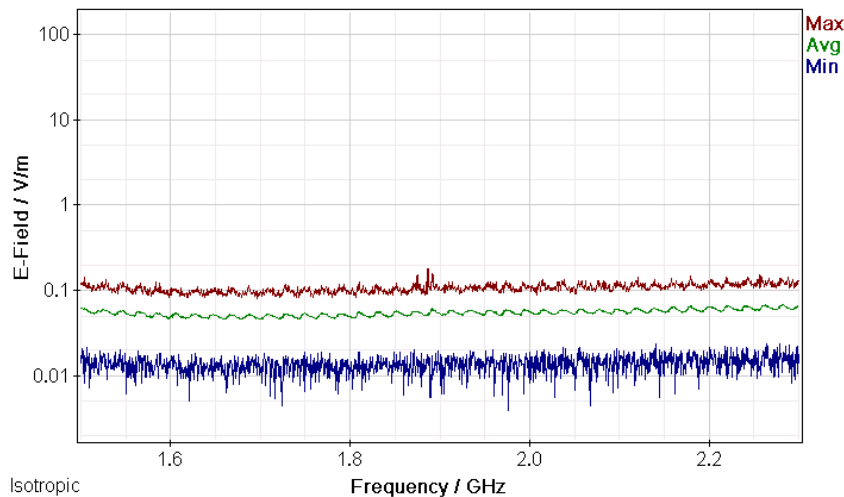
Σχήμα 166: Διακυμάνσεις (α) ελάχιστης (Min), (β) μέσης (Avg) και (γ) μέγιστης (Max) έντασης ηλεκτρικού πεδίου (E-Field) ως συνάρτηση της συχνότητας (Frequency) του πεδίου για μετρήσεις με οργανολογία τύπου NARDA SMR-3006 σε συσκευή κινητής τηλεφωνίας τύπου NOKIA CORPORATION 6500s-1 και παρόχου VODAFONE σε απόσταση 1m από την κεραία της συσκευής κατά τη διάρκεια πεντάλεπτης συνομιλίας χωρίς ενεργοποίηση δεδομένων κινητής τηλεφωνίας.



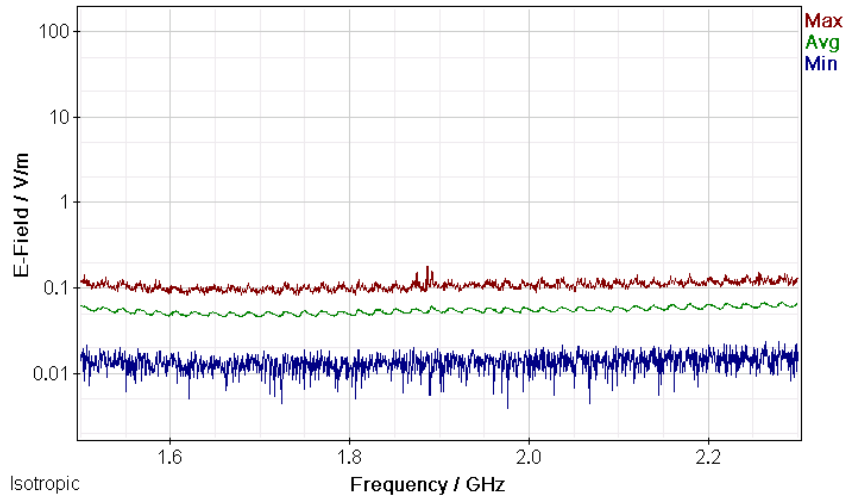
Σχήμα 167: Διακυμάνσεις (α) ελάχιστης (Min), (β) μέσης (Avg) και (γ) μέγιστης (Max) έντασης ηλεκτρικού πεδίου (E-Field) ως συνάρτηση της συχνότητας (Frequency) του πεδίου για μετρήσεις με οργανολογία τύπου NARDA SMR-3006 σε συσκευή κινητής τηλεφωνίας τύπου NOKIA CORPORATION 6500s-1 και παρόχου VODAFONE σε απόσταση 1m από την κεραία της συσκευής κατά τη διάρκεια τερματισμού της κλήσης χωρίς ενεργοποίηση δεδομένων κινητής τηλεφωνίας.

ΠΑΡΑΡΤΗΜΑ 1

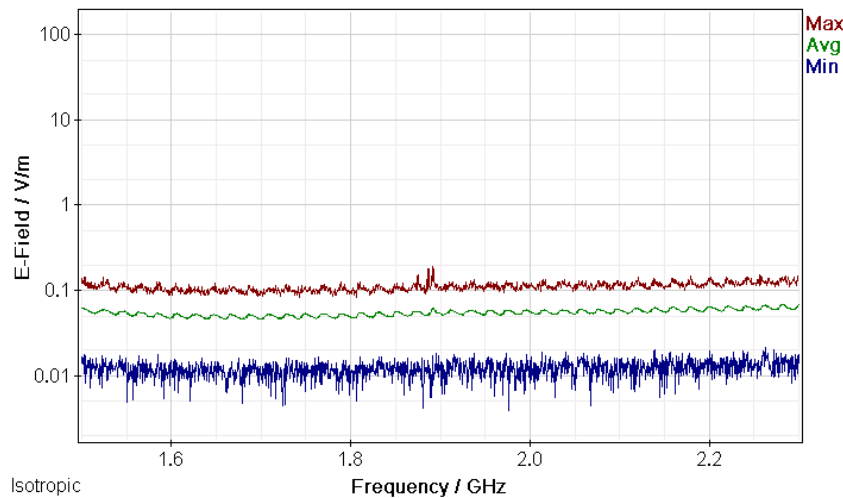
Μετρήσεις διακυμάνσεων (α) ελάχιστης (Min), (β) μέσης (Avg) και (γ) μέγιστης (Max) έντασης ηλεκτρικού πεδίου (E-Field) ως συνάρτηση της συχνότητας (Frequency) του πεδίου για μετρήσεις με οργανολογία τύπου NARDA SMR-3006 σε συσκευές κινητής τηλεφωνίας διαφόρων τύπων και παρόχων σε απόσταση 0 m από την κεραία των συσκευών.



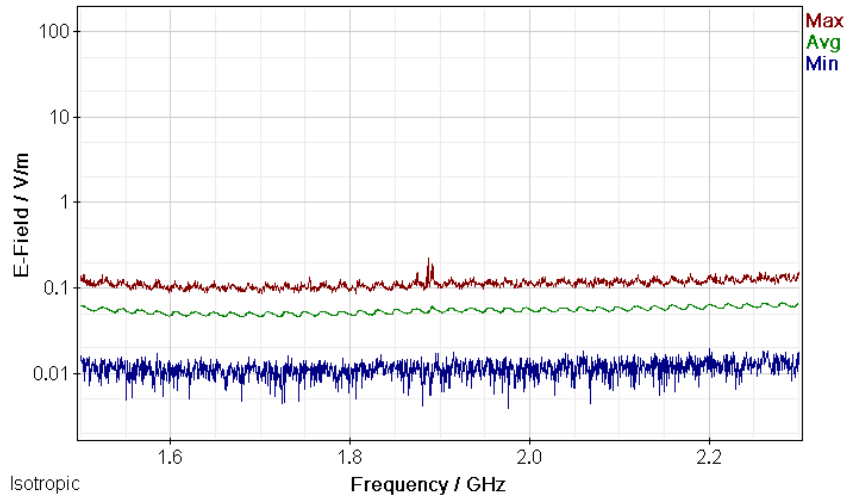
Σχήμα 168: Διακυμάνσεις (α) ελάχιστης (Min), (β) μέσης (Avg) και (γ) μέγιστης (Max) έντασης ηλεκτρικού πεδίου (E-Field) ως συνάρτηση της συχνότητας (Frequency) του πεδίου για μετρήσεις με οργανολογία τύπου NARDA SMR-3006 σε συσκευή κινητής τηλεφωνίας τύπου NOKIA CORPORATION 6500s-1 και παρόχου WIND σε απόσταση 0m από την κεραία της συσκευής κατά τη διάρκεια αναμονής χρήσης της συσκευής και χωρίς την ενεργοποίηση δεδομένων κινητής τηλεφωνίας.



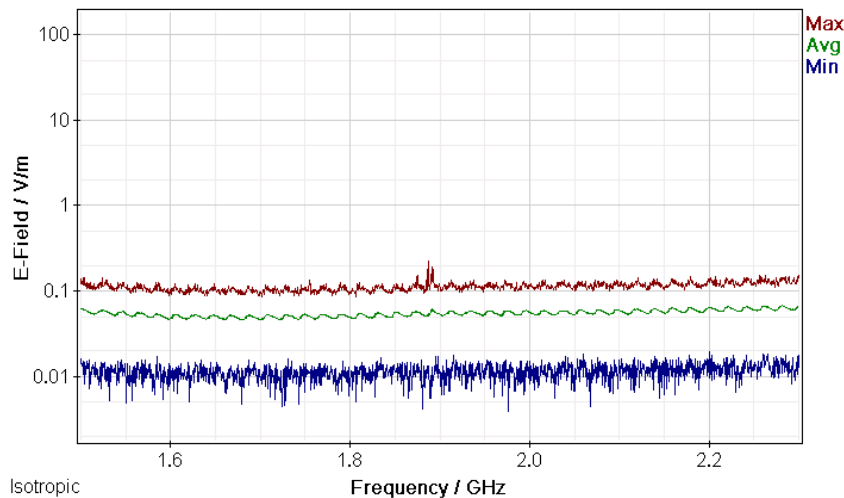
Σχήμα 169: Διακυμάνσεις (α) ελάχιστης (Min), (β) μέσης (Avg) και (γ) μέγιστης (Max) έντασης ηλεκτρικού πεδίου (E-Field) ως συνάρτηση της συχνότητας (Frequency) του πεδίου για μετρήσεις με οργανολογία τύπου NARDA SMR-3006 σε συσκευή κινητής τηλεφωνίας τύπου NOKIA CORPORATION 6500s-1 και παρόχου WIND σε απόσταση 0m από την κεραία της συσκευής κατα τη διάρκεια κλήσης χωρίς συνομιλία και ενεργοποίηση δεδομένων κινητής τηλεφωνίας .



Σχήμα 170: Διακυμάνσεις (α) ελάχιστης (Min), (β) μέσης (Avg) και (γ) μέγιστης (Max) έντασης ηλεκτρικού πεδίου (E-Field) ως συνάρτηση της συχνότητας (Frequency) του πεδίου για μετρήσεις με οργανολογία τύπου NARDA SMR-3006 σε συσκευή κινητής τηλεφωνίας τύπου NOKIA CORPORATION 6500s-1 και παρόχου WIND σε απόσταση 0m από την κεραία της συσκευής κατα τη διάρκεια συνομιλίας δυόμιση λεπτών χωρίς ενεργοποίηση δεδομένων κινητής τηλεφωνίας.



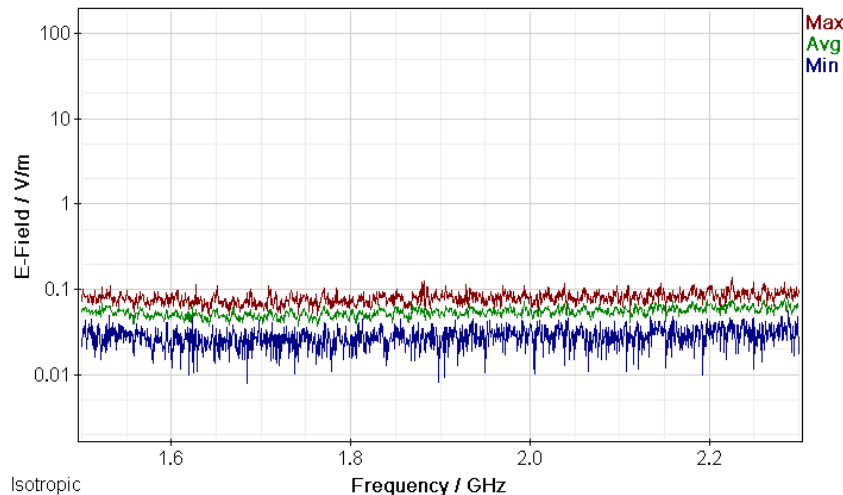
Σχήμα 171: Διακυμάνσεις (α) ελάχιστης (Min), (β) μέσης (Avg) και (γ) μέγιστης (Max) έντασης ηλεκτρικού πεδίου (E-Field) ως συνάρτηση της συχνότητας (Frequency) του πεδίου για μετρήσεις με οργανολογία τύπου NARDA SMR-3006 σε συσκευή κινητής τηλεφωνίας τύπου NOKIA CORPORATION 6500s-1 και παρόχου WIND σε απόσταση 0m από την κεραία της συσκευής κατα τη διάρκεια πεντάλεπτης συνομιλίας χωρίς ενεργοποίηση δεδομένων κινητής τηλεφωνίας.



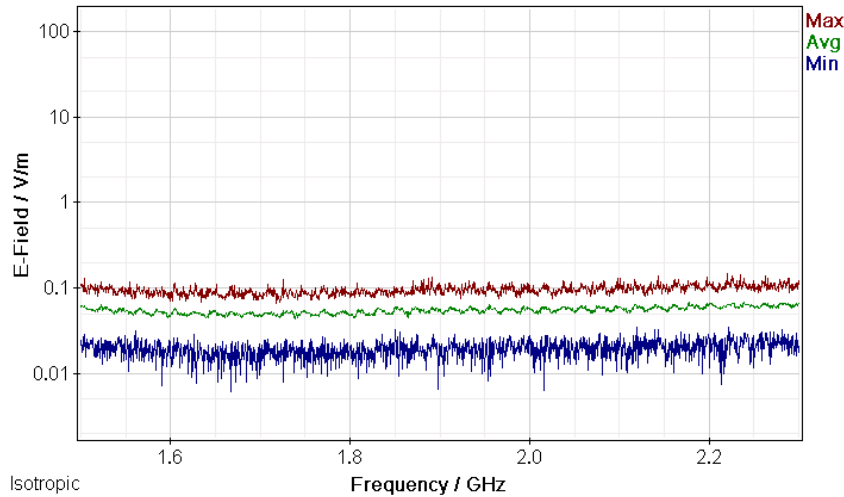
Σχήμα 172: Διακυμάνσεις (α) ελάχιστης (Min), (β) μέσης (Avg) και (γ) μέγιστης (Max) έντασης ηλεκτρικού πεδίου (E-Field) ως συνάρτηση της συχνότητας (Frequency) του πεδίου για μετρήσεις με οργανολογία τύπου NARDA SMR-3006 σε συσκευή κινητής τηλεφωνίας τύπου NOKIA CORPORATION 6500s-1 και παρόχου WIND σε απόσταση 0m από την κεραία της συσκευής κατα τη διάρκεια τερματισμού της κλήσης χωρίς ενεργοποίηση δεδομένων κινητής τηλεφωνίας.

ΠΑΡΑΡΤΗΜΑ 2

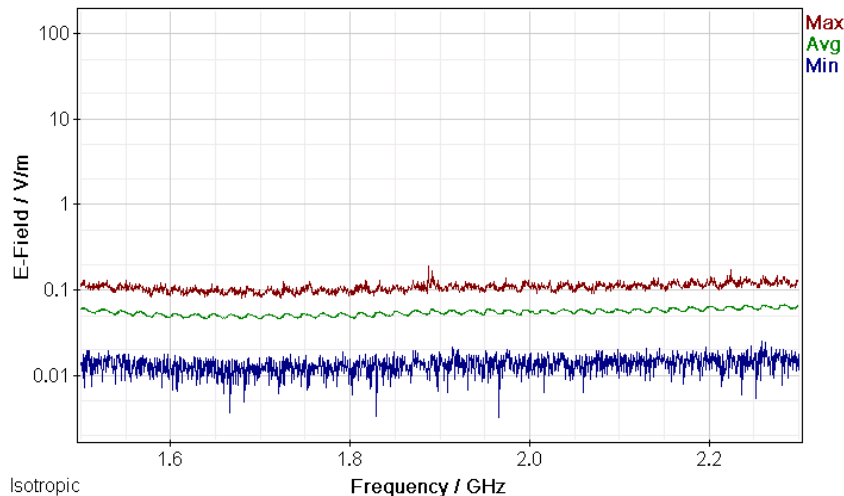
Μετρήσεις διακυμάνσεων (α) ελάχιστης (Min), (β) μέσης (Avg) και (γ) μέγιστης (Max) έντασης ηλεκτρικού πεδίου (E-Field) ως συνάρτηση της συχνότητας (Frequency) του πεδίου για μετρήσεις με οργανολογία τύπου NARDA SMR-3006 σε συσκευές κινητής τηλεφωνίας διαφόρων τύπων και παρόχων σε απόσταση 1 m από την κεραία των συσκευών.



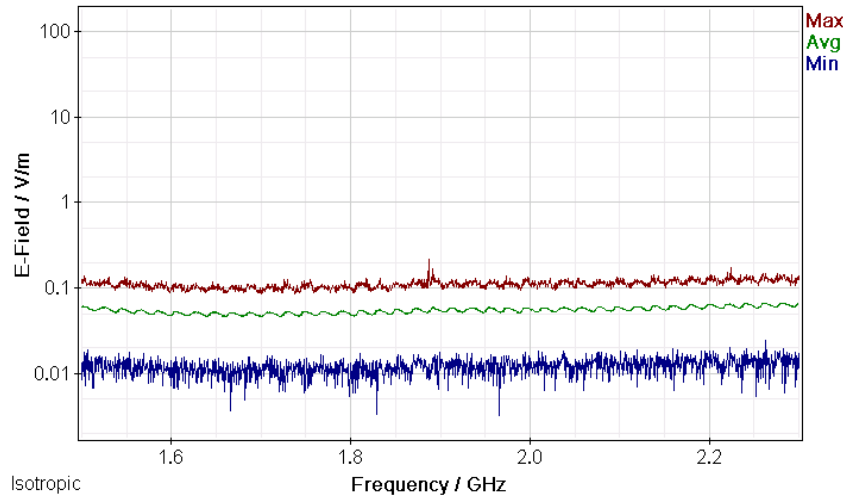
Σχήμα 173: Διακυμάνσεις (α) ελάχιστης (Min), (β) μέσης (Avg) και (γ) μέγιστης (Max) έντασης ηλεκτρικού πεδίου (E-Field) ως συνάρτηση της συχνότητας (Frequency) του πεδίου για μετρήσεις με οργανολογία τύπου NARDA SMR-3006 σε συσκευή κινητής τηλεφωνίας τύπου NOKIA CORPORATION 6500s-1 και παρόχου WIND σε απόσταση 1m από την κεραία της συσκευής κατά τη διάρκεια αναμονής χρήσης της συσκευής και χωρίς την ενεργοποίηση δεδομένων κινητής τηλεφωνίας.



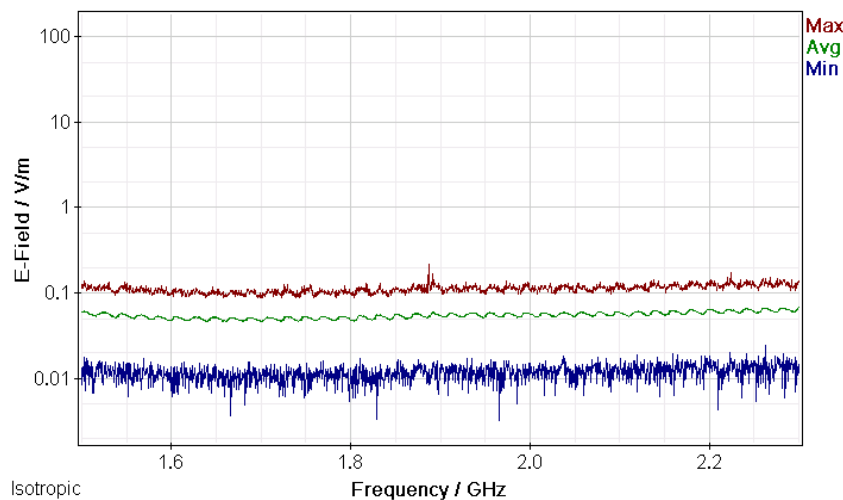
Σχήμα 174: Διακυμάνσεις (α) ελάχιστης (Min), (β) μέσης (Avg) και (γ) μέγιστης (Max) έντασης ηλεκτρικού πεδίου (E-Field) ως συνάρτηση της συχνότητας (Frequency) του πεδίου για μετρήσεις με οργανολογία τύπου NARDA SMR-3006 σε συσκευή κινητής τηλεφωνίας τύπου NOKIA CORPORATION 6500s-1 και παρόχου WIND σε απόσταση 1m από την κεραία της συσκευής κατα τη διάρκεια κλήσης χωρίς συνομιλία και ενεργοποίηση δεδομένων κινητής τηλεφωνίας .



Σχήμα 175: Διακυμάνσεις (α) ελάχιστης (Min), (β) μέσης (Avg) και (γ) μέγιστης (Max) έντασης ηλεκτρικού πεδίου (E-Field) ως συνάρτηση της συχνότητας (Frequency) του πεδίου για μετρήσεις με οργανολογία τύπου NARDA SMR-3006 σε συσκευή κινητής τηλεφωνίας τύπου NOKIA CORPORATION 6500s-1 και παρόχου WIND σε απόσταση 1m από την κεραία της συσκευής κατα τη διάρκεια συνομιλίας δυόμιση λεπτών χωρίς ενεργοποίηση δεδομένων κινητής τηλεφωνίας.



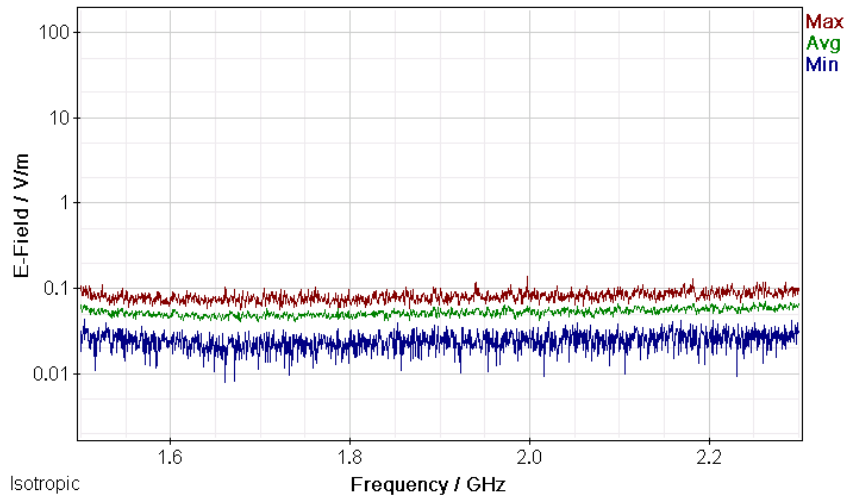
Σχήμα 176: Διακυμάνσεις (α) ελάχιστης (Min), (β) μέσης (Avg) και (γ) μέγιστης (Max) έντασης ηλεκτρικού πεδίου (E-Field) ως συνάρτηση της συχνότητας (Frequency) του πεδίου για μετρήσεις με οργανολογία τύπου NARDA SMR-3006 σε συσκευή κινητής τηλεφωνίας τύπου NOKIA CORPORATION 6500s-1 και παρόχου WIND σε απόσταση 1m από την κεραία της συσκευής κατα τη διάρκεια πεντάλεπτης συνομιλίας χωρίς ενεργοποίηση δεδομένων κινητής τηλεφωνίας.



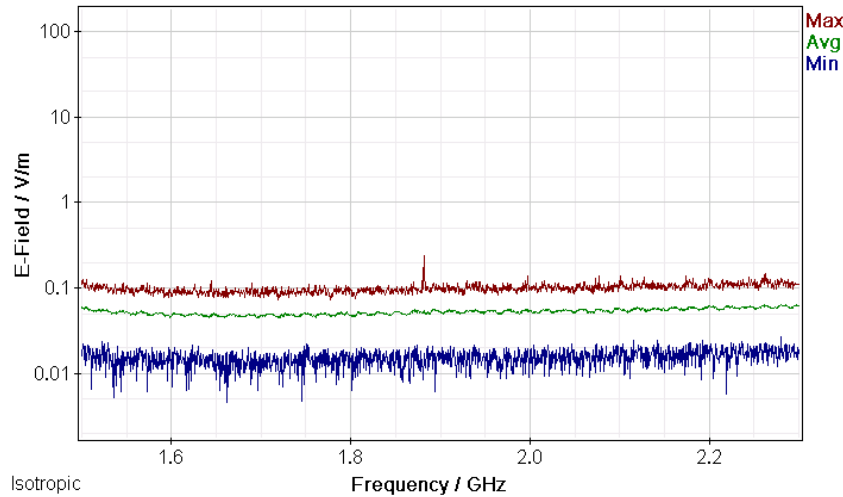
Σχήμα 177: Διακυμάνσεις (α) ελάχιστης (Min), (β) μέσης (Avg) και (γ) μέγιστης (Max) έντασης ηλεκτρικού πεδίου (E-Field) ως συνάρτηση της συχνότητας (Frequency) του πεδίου για μετρήσεις με οργανολογία τύπου NARDA SMR-3006 σε συσκευή κινητής τηλεφωνίας τύπου NOKIA CORPORATION 6500s-1 και παρόχου WIND σε απόσταση 1m από την κεραία της συσκευής κατα τη διάρκεια τερματισμού της κλήσης χωρίς ενεργοποίηση δεδομένων κινητής τηλεφωνίας.

ΠΑΡΑΡΤΗΜΑ 1

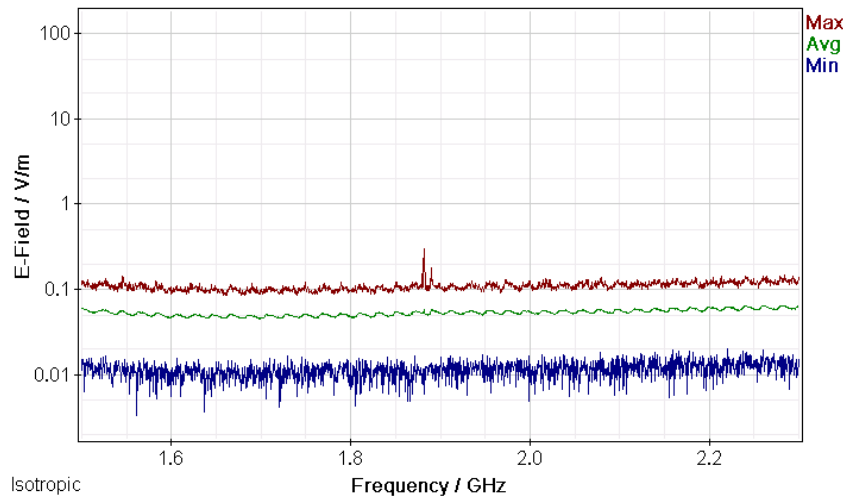
Μετρήσεις διακυμάνσεων (α) ελάχιστης (Min), (β) μέσης (Avg) και (γ) μέγιστης (Max) έντασης ηλεκτρικού πεδίου (E-Field) ως συνάρτηση της συχνότητας (Frequency) του πεδίου για μετρήσεις με οργανολογία τύπου NARDA SMR-3006 σε συσκευές κινητής τηλεφωνίας διαφόρων τύπων και παρόχων σε απόσταση 0 m από την κεραία των συσκευών.



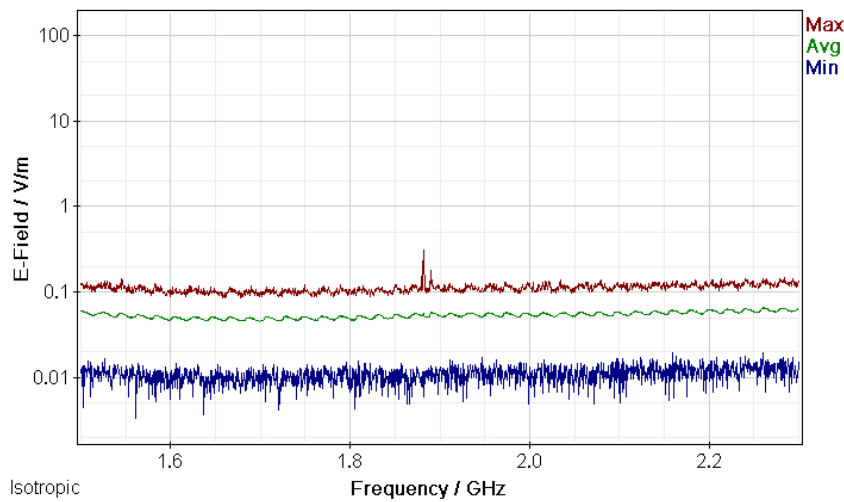
Σχήμα 178: Διακυμάνσεις (α) ελάχιστης (Min), (β) μέσης (Avg) και (γ) μέγιστης (Max) έντασης ηλεκτρικού πεδίου (E-Field) ως συνάρτηση της συχνότητας (Frequency) του πεδίου για μετρήσεις με οργανολογία τύπου NARDA SMR-3006 σε συσκευή κινητής τηλεφωνίας τύπου NOKIA CORPORATION C3 και παρόχου COSMOTE σε απόσταση 0m από την κεραία της συσκευής κατά τη διάρκεια αναμονής χρήσης της συσκευής και χωρίς την ενεργοποίηση δεδομένων κινητής τηλεφωνίας.



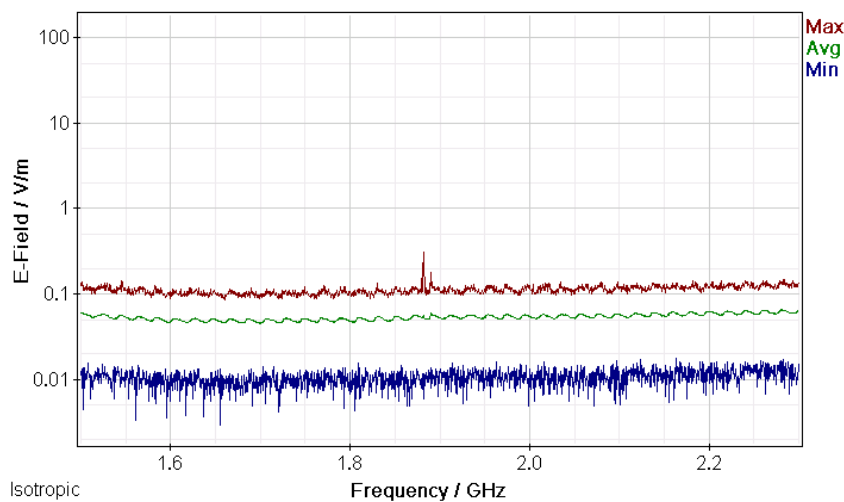
Σχήμα 179: Διακυμάνσεις (α) ελάχιστης (Min), (β) μέσης (Avg) και (γ) μέγιστης (Max) έντασης ηλεκτρικού πεδίου (E-Field) ως συνάρτηση της συχνότητας (Frequency) του πεδίου για μετρήσεις με οργανολογία τύπου NARDA SMR-3006 σε συσκευή κινητής τηλεφωνίας τύπου NOKIA CORPORATION C3 και παρόχου COSMOTE σε απόσταση 0m από την κεραία της συσκευής κατα τη διάρκεια κλήσης χωρίς συνομιλία και ενεργοποίηση δεδομένων κινητής τηλεφωνίας .



Σχήμα 180: Διακυμάνσεις (α) ελάχιστης (Min), (β) μέσης (Avg) και (γ) μέγιστης (Max) έντασης ηλεκτρικού πεδίου (E-Field) ως συνάρτηση της συχνότητας (Frequency) του πεδίου για μετρήσεις με οργανολογία τύπου NARDA SMR-3006 σε συσκευή κινητής τηλεφωνίας τύπου NOKIA CORPORATION C3 και παρόχου COSMOTE σε απόσταση 0m από την κεραία της συσκευής κατα τη διάρκεια συνομιλίας δυόμιση λεπτών χωρίς ενεργοποίηση δεδομένων κινητής τηλεφωνίας.



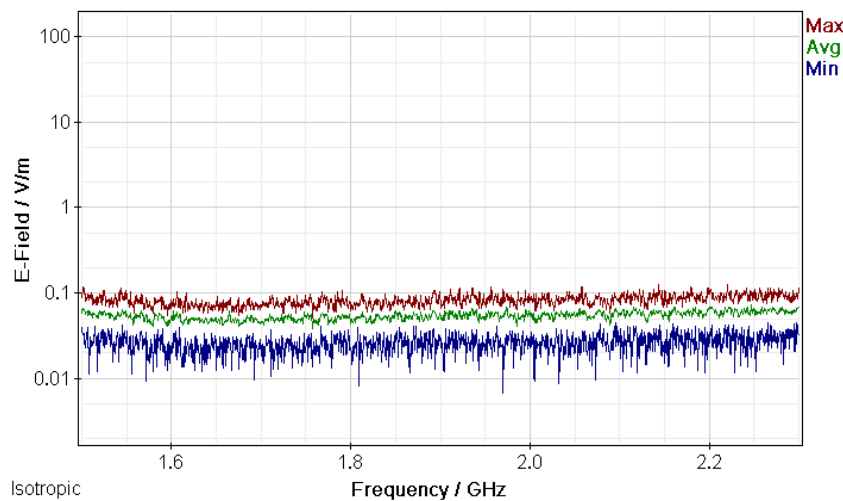
Σχήμα 181: Διακυμάνσεις (α) ελάχιστης (Min), (β) μέσης (Avg) και (γ) μέγιστης (Max) έντασης ηλεκτρικού πεδίου (E-Field) ως συνάρτηση της συχνότητας (Frequency) του πεδίου για μετρήσεις με οργανολογία τύπου NARDA SMR-3006 σε συσκευή κινητής τηλεφωνίας τύπου NOKIA CORPORATION C3 και παρόχου COSMOTE σε απόσταση 0m από την κεραία της συσκευής κατά τη διάρκεια πεντάλεπτης συνομιλίας χωρίς ενεργοποίηση δεδομένων κινητής τηλεφωνίας.



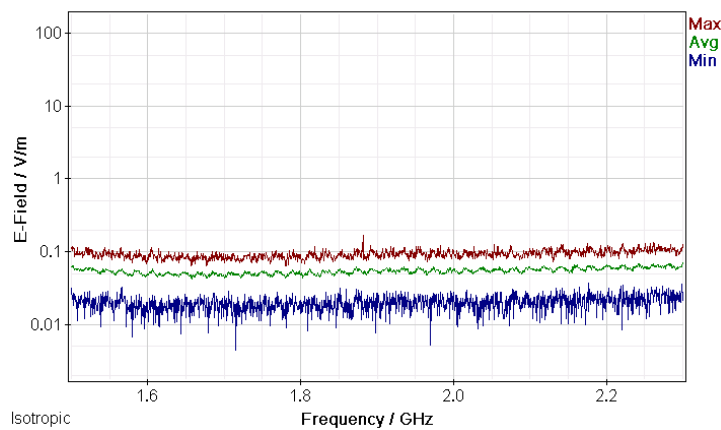
Σχήμα 182: Διακυμάνσεις (α) ελάχιστης (Min), (β) μέσης (Avg) και (γ) μέγιστης (Max) έντασης ηλεκτρικού πεδίου (E-Field) ως συνάρτηση της συχνότητας (Frequency) του πεδίου για μετρήσεις με οργανολογία τύπου NARDA SMR-3006 σε συσκευή κινητής τηλεφωνίας τύπου NOKIA CORPORATION C3 και παρόχου COSMOTE σε απόσταση 0m από την κεραία της συσκευής κατά τη διάρκεια τερματισμού της κλήσης χωρίς ενεργοποίηση δεδομένων κινητής τηλεφωνίας.

ΠΑΡΑΡΤΗΜΑ 2

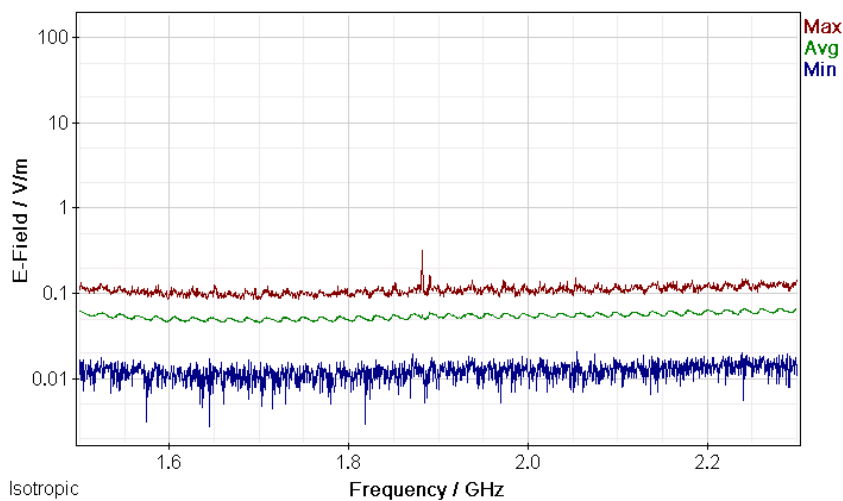
Μετρήσεις διακυμάνσεων (α) ελάχιστης (Min), (β) μέσης (Avg) και (γ) μέγιστης (Max) έντασης ηλεκτρικού πεδίου (E-Field) ως συνάρτηση της συχνότητας (Frequency) του πεδίου για μετρήσεις με οργανολογία τύπου NARDA SMR-3006 σε συσκευές κινητής τηλεφωνίας διαφόρων τύπων και παρόχων σε απόσταση 1 m από την κεραία των συσκευών.



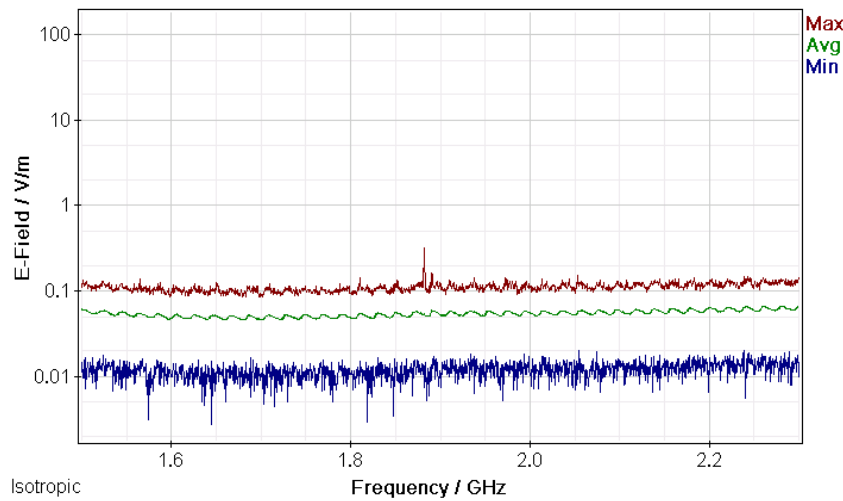
Σχήμα 183: Διακυμάνσεις (α) ελάχιστης (Min), (β) μέσης (Avg) και (γ) μέγιστης (Max) έντασης ηλεκτρικού πεδίου (E-Field) ως συνάρτηση της συχνότητας (Frequency) του πεδίου για μετρήσεις με οργανολογία τύπου NARDA SMR-3006 σε συσκευή κινητής τηλεφωνίας τύπου NOKIA CORPORATION C3 και παρόχου COSMOTE σε απόσταση 1m από την κεραία της συσκευής κατά τη διάρκεια αναμονής χρήσης της συσκευής και χωρίς την ενεργοποίηση δεδομένων κινητής τηλεφωνίας.



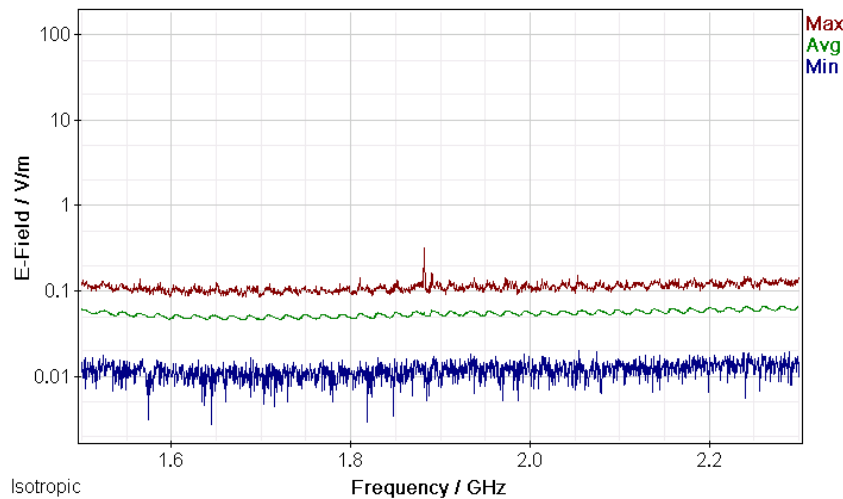
Σχήμα 184: Διακυμάνσεις (α) ελάχιστης (Min), (β) μέσης (Avg) και (γ) μέγιστης (Max) έντασης ηλεκτρικού πεδίου (E-Field) ως συνάρτηση της συχνότητας (Frequency) του πεδίου για μετρήσεις με οργάνολογία τύπου NARDA SMR-3006 σε συσκευή κινητής τηλεφωνίας τύπου NOKIA CORPORATION C3 και παρόχου COSMOTE σε απόσταση 1m από την κεραία της συσκευής κατα τη διάρκεια κλήσης χωρίς συνομιλία και ενεργοποίηση δεδομένων κινητής τηλεφωνίας .



Σχήμα 185: Διακυμάνσεις (α) ελάχιστης (Min), (β) μέσης (Avg) και (γ) μέγιστης (Max) έντασης ηλεκτρικού πεδίου (E-Field) ως συνάρτηση της συχνότητας (Frequency) του πεδίου για μετρήσεις με οργάνολογία τύπου NARDA SMR-3006 σε συσκευή κινητής τηλεφωνίας τύπου NOKIA CORPORATION C3 και παρόχου COSMOTE σε απόσταση 1m από την κεραία της συσκευής κατα τη διάρκεια συνομιλίας δυόμιση λεπτών χωρίς ενεργοποίηση δεδομένων κινητής τηλεφωνίας.



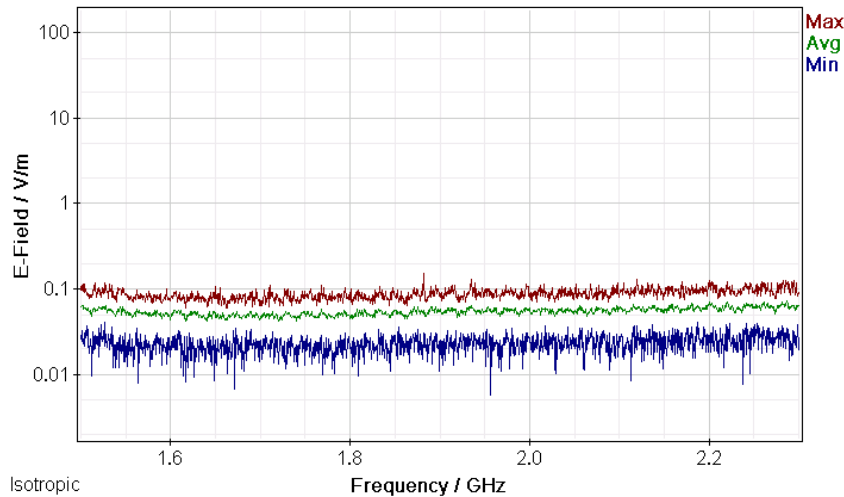
Σχήμα 186: Διακυμάνσεις (α) ελάχιστης (Min), (β) μέσης (Avg) και (γ) μέγιστης (Max) έντασης ηλεκτρικού πεδίου (E-Field) ως συνάρτηση της συχνότητας (Frequency) του πεδίου για μετρήσεις με οργανολογία τύπου NARDA SMR-3006 σε συσκευή κινητής τηλεφωνίας τύπου NOKIA CORPORATION C3 και παρόχου COSMOTE σε απόσταση 1m από την κεραία της συσκευής κατα τη διάρκεια πεντάλεπτης συνομιλίας χωρίς ενεργοποίηση δεδομένων κινητής τηλεφωνίας.



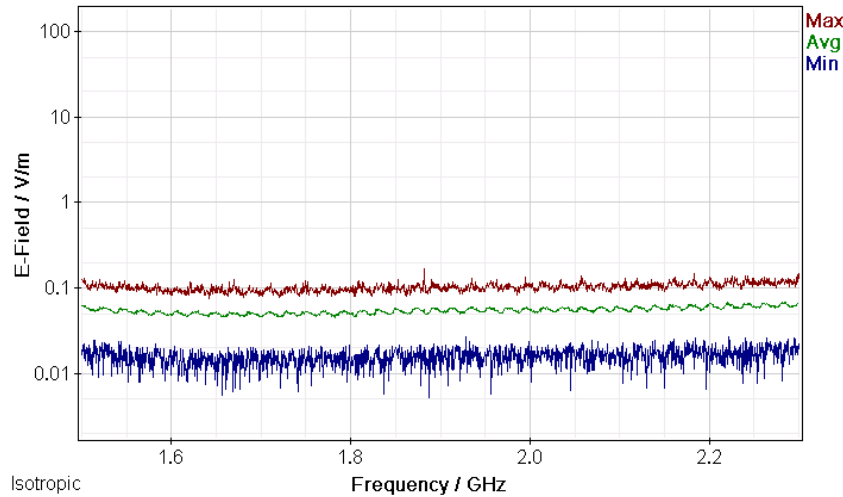
Σχήμα 187: Διακυμάνσεις (α) ελάχιστης (Min), (β) μέσης (Avg) και (γ) μέγιστης (Max) έντασης ηλεκτρικού πεδίου (E-Field) ως συνάρτηση της συχνότητας (Frequency) του πεδίου για μετρήσεις με οργανολογία τύπου NARDA SMR-3006 σε συσκευή κινητής τηλεφωνίας τύπου NOKIA CORPORATION C3 και παρόχου COSMOTE σε απόσταση 1m από την κεραία της συσκευής κατα τη διάρκεια τερματισμού της κλήσης χωρίς ενεργοποίηση δεδομένων κινητής τηλεφωνίας.

ΠΑΡΑΡΤΗΜΑ 1

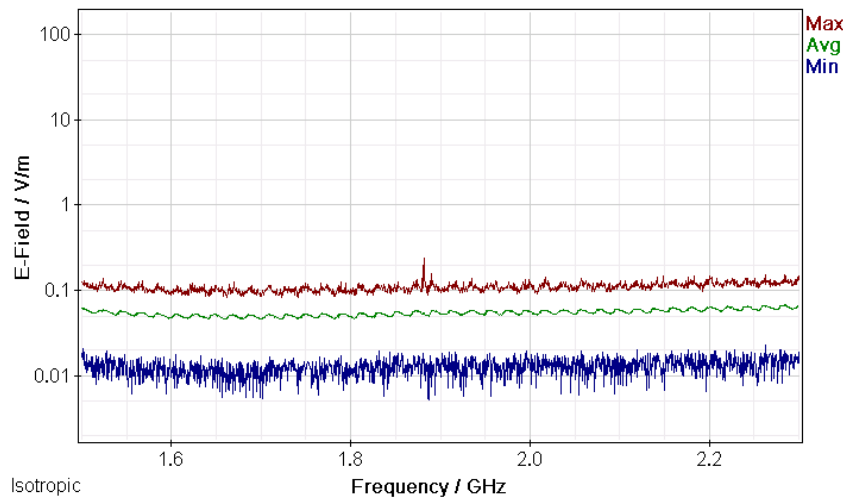
Μετρήσεις διακυμάνσεων (α) ελάχιστης (Min), (β) μέσης (Avg) και (γ) μέγιστης (Max) έντασης ηλεκτρικού πεδίου (E-Field) ως συνάρτηση της συχνότητας (Frequency) του πεδίου για μετρήσεις με οργανολογία τύπου NARDA SMR-3006 σε συσκευές κινητής τηλεφωνίας διαφόρων τύπων και παρόχων σε απόσταση 0 m από την κεραία των συσκευών.



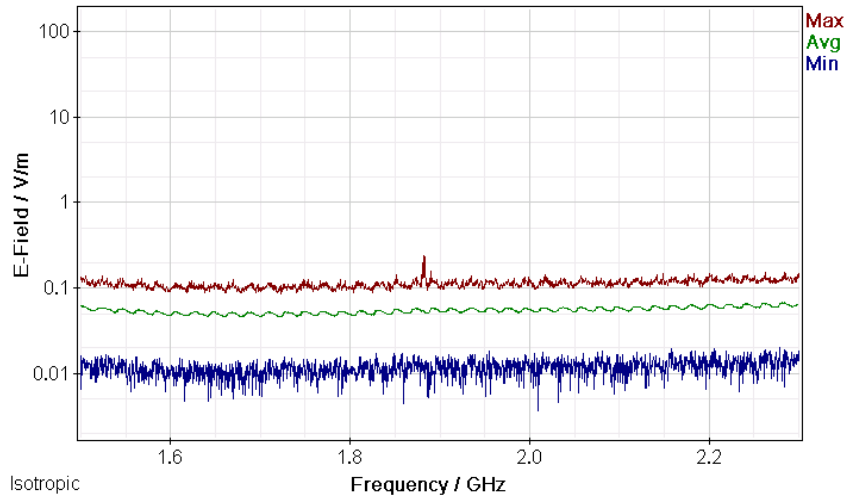
Σχήμα 188: Διακυμάνσεις (α) ελάχιστης (Min), (β) μέσης (Avg) και (γ) μέγιστης (Max) έντασης ηλεκτρικού πεδίου (E-Field) ως συνάρτηση της συχνότητας (Frequency) του πεδίου για μετρήσεις με οργανολογία τύπου NARDA SMR-3006 σε συσκευή κινητής τηλεφωνίας τύπου NOKIA CORPORATION C3 και παρόχου VODAFONE σε απόσταση 0m από την κεραία της συσκευής κατά τη διάρκεια αναμονής χρήσης της συσκευής και χωρίς την ενεργοποίηση δεδομένων κινητής τηλεφωνίας.



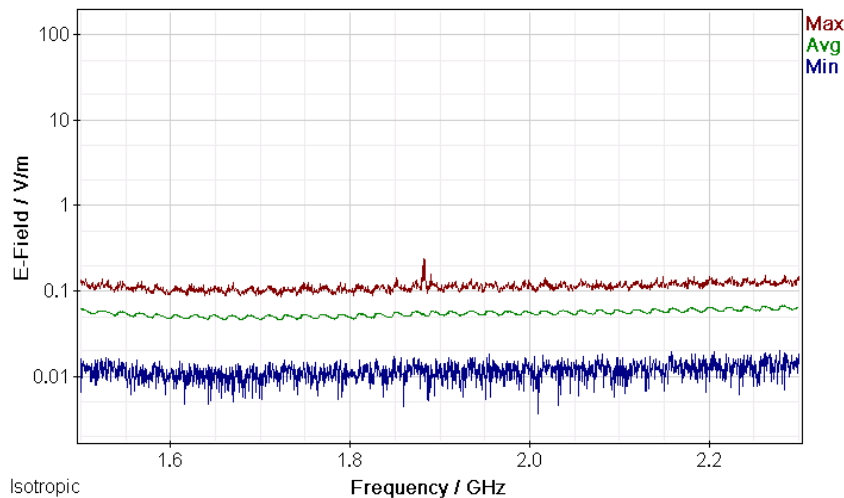
Σχήμα 189: Διακυμάνσεις (α) ελάχιστης (Min), (β) μέσης (Avg) και (γ) μέγιστης (Max) έντασης ηλεκτρικού πεδίου (E-Field) ως συνάρτηση της συχνότητας (Frequency) του πεδίου για μετρήσεις με οργανολογία τύπου NARDA SMR-3006 σε συσκευή κινητής τηλεφωνίας τύπου NOKIA CORPORATION C3 και παρόχου VODAFONE σε απόσταση 0m από την κεραία της συσκευής κατά τη διάρκεια κλήσης χωρίς συνομιλία και ενεργοποίηση δεδομένων κινητής τηλεφωνίας .



Σχήμα 190: Διακυμάνσεις (α) ελάχιστης (Min), (β) μέσης (Avg) και (γ) μέγιστης (Max) έντασης ηλεκτρικού πεδίου (E-Field) ως συνάρτηση της συχνότητας (Frequency) του πεδίου για μετρήσεις με οργανολογία τύπου NARDA SMR-3006 σε συσκευή κινητής τηλεφωνίας τύπου NOKIA CORPORATION C3 και παρόχου VODAFONE σε απόσταση 0m από την κεραία της συσκευής κατά τη διάρκεια συνομιλίας δυόμιση λεπτών χωρίς ενεργοποίηση δεδομένων κινητής τηλεφωνίας.



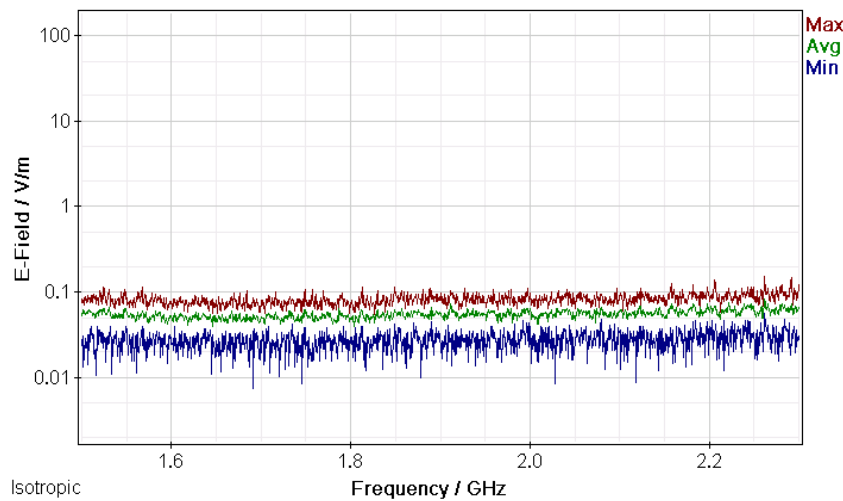
Σχήμα 191: Διακυμάνσεις (α) ελάχιστης (Min), (β) μέσης (Avg) και (γ) μέγιστης (Max) έντασης ηλεκτρικού πεδίου (E-Field) ως συνάρτηση της συχνότητας (Frequency) του πεδίου για μετρήσεις με οργανολογία τύπου NARDA SMR-3006 σε συσκευή κινητής τηλεφωνίας τύπου NOKIA CORPORATION C3 και παρόχου VODAFONE σε απόσταση 0m από την κεραία της συσκευής κατα τη διάρκεια πεντάλεπτης συνομιλίας χωρίς ενεργοποίηση δεδομένων κινητής τηλεφωνίας.



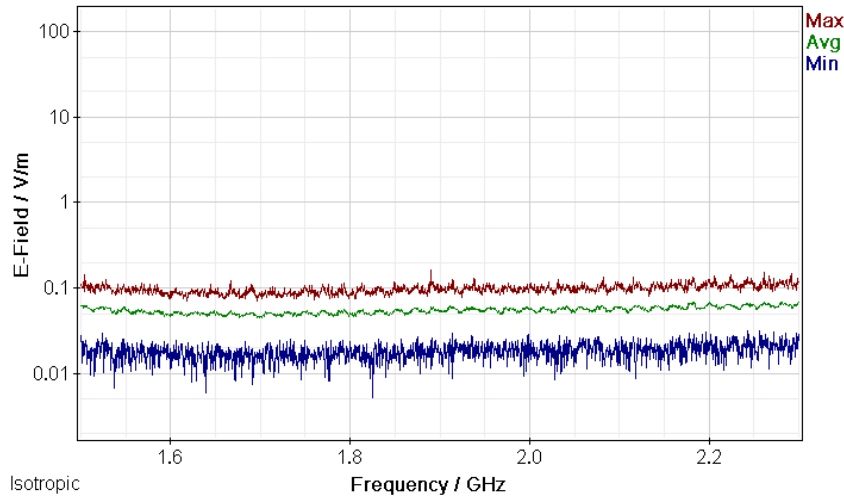
Σχήμα 192: Διακυμάνσεις (α) ελάχιστης (Min), (β) μέσης (Avg) και (γ) μέγιστης (Max) έντασης ηλεκτρικού πεδίου (E-Field) ως συνάρτηση της συχνότητας (Frequency) του πεδίου για μετρήσεις με οργανολογία τύπου NARDA SMR-3006 σε συσκευή κινητής τηλεφωνίας τύπου NOKIA CORPORATION C3 και παρόχου VODAFONE σε απόσταση 0m από την κεραία της συσκευής κατα τη διάρκεια τερματισμού της κλήσης χωρίς ενεργοποίηση δεδομένων κινητής τηλεφωνίας.

ΠΑΡΑΡΤΗΜΑ 2

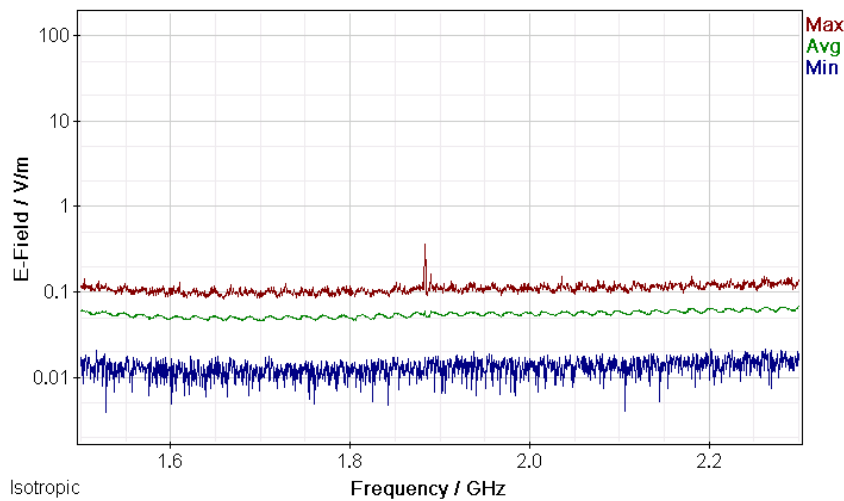
Μετρήσεις διακυμάνσεων (α) ελάχιστης (Min), (β) μέσης (Avg) και (γ) μέγιστης (Max) έντασης ηλεκτρικού πεδίου (E-Field) ως συνάρτηση της συχνότητας (Frequency) του πεδίου για μετρήσεις με οργανολογία τύπου NARDA SMR-3006 σε συσκευές κινητής τηλεφωνίας διαφόρων τύπων και παρόχων σε απόσταση 1 m από την κεραία των συσκευών.



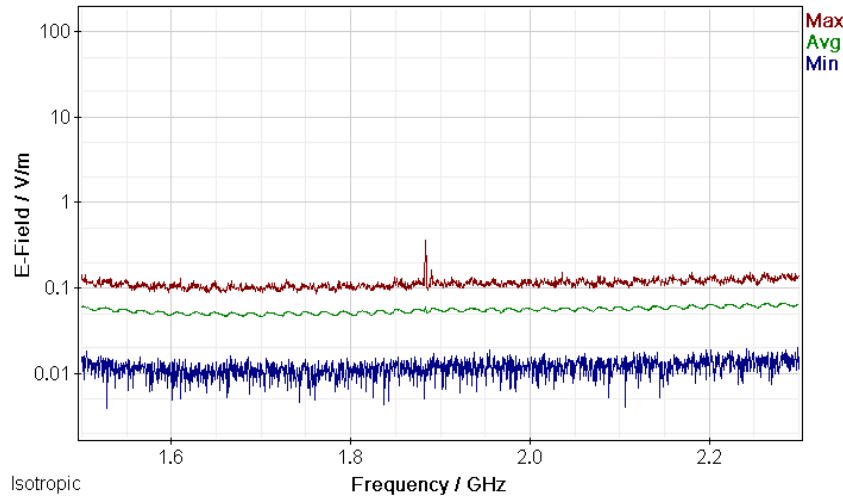
Σχήμα 193: Διακυμάνσεις (α) ελάχιστης (Min), (β) μέσης (Avg) και (γ) μέγιστης (Max) έντασης ηλεκτρικού πεδίου (E-Field) ως συνάρτηση της συχνότητας (Frequency) του πεδίου για μετρήσεις με οργανολογία τύπου NARDA SMR-3006 σε συσκευή κινητής τηλεφωνίας τύπου NOKIA CORPORATION C3 και παρόχου VODAFONE σε απόσταση 1m από την κεραία της συσκευής κατά τη διάρκεια αναμονής χρήσης της συσκευής και χωρίς την ενεργοποίηση δεδομένων κινητής τηλεφωνίας.



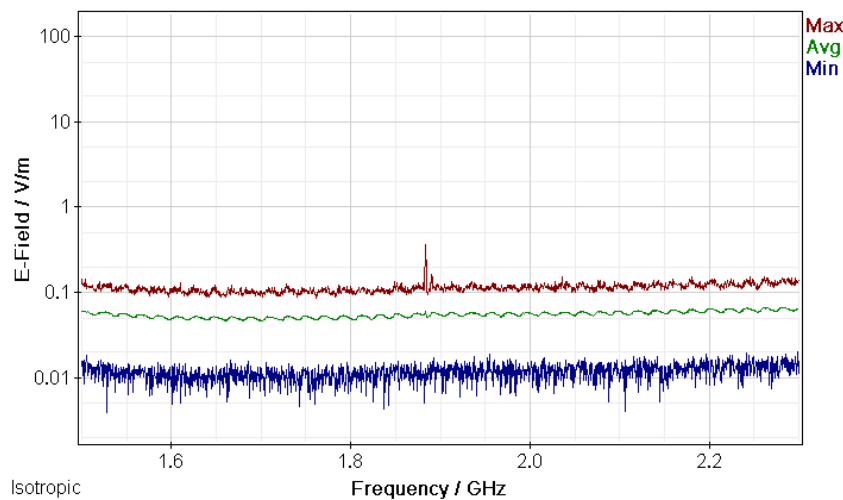
Σχήμα 194: Διακυμάνσεις (α) ελάχιστης (Min), (β) μέσης (Avg) και (γ) μέγιστης (Max) έντασης ηλεκτρικού πεδίου (E-Field) ως συνάρτηση της συχνότητας (Frequency) του πεδίου για μετρήσεις με οργανολογία τύπου NARDA SMR-3006 σε συσκευή κινητής τηλεφωνίας τύπου NOKIA CORPORATION C3 και παρόχου VODAFONE σε απόσταση 1m από την κεραία της συσκευής κατά τη διάρκεια κλήσης χωρίς συνομιλία και ενεργοποίηση δεδομένων κινητής τηλεφωνίας .



Σχήμα 195: Διακυμάνσεις (α) ελάχιστης (Min), (β) μέσης (Avg) και (γ) μέγιστης (Max) έντασης ηλεκτρικού πεδίου (E-Field) ως συνάρτηση της συχνότητας (Frequency) του πεδίου για μετρήσεις με οργανολογία τύπου NARDA SMR-3006 σε συσκευή κινητής τηλεφωνίας τύπου NOKIA CORPORATION C3 και παρόχου VODAFONE σε απόσταση 1m από την κεραία της συσκευής κατά τη διάρκεια συνομιλίας δυόμιση λεπτών χωρίς ενεργοποίηση δεδομένων κινητής τηλεφωνίας.



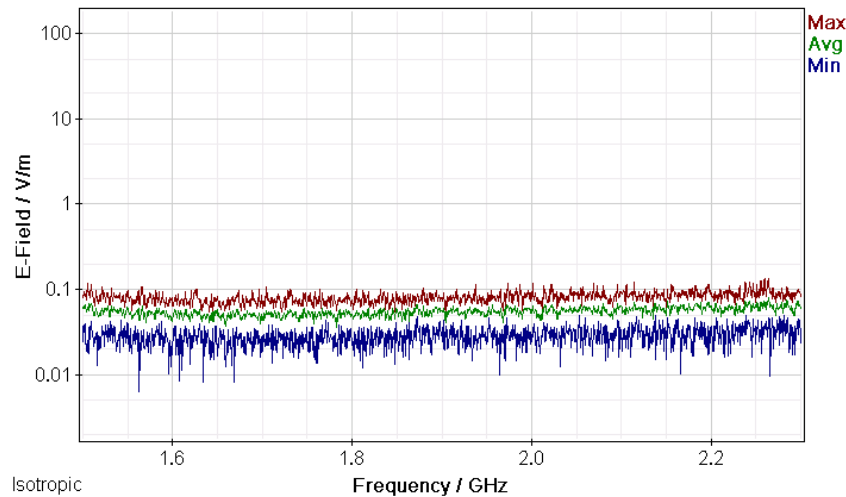
Σχήμα 196: Διακυμάνσεις (α) ελάχιστης (Min), (β) μέσης (Avg) και (γ) μέγιστης (Max) έντασης ηλεκτρικού πεδίου (E-Field) ως συνάρτηση της συχνότητας (Frequency) του πεδίου για μετρήσεις με οργανολογία τύπου NARDA SMR-3006 σε συσκευή κινητής τηλεφωνίας τύπου NOKIA CORPORATION C3 και παρόχου VODAFONE σε απόσταση 1m από την κεραία της συσκευής κατα τη διάρκεια πεντάλεπτης συνομιλίας χωρίς ενεργοποίηση δεδομένων κινητής τηλεφωνίας.



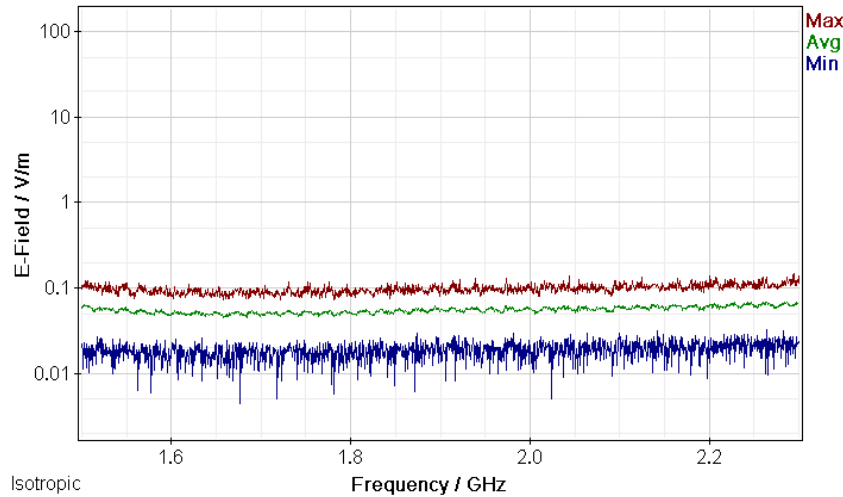
Σχήμα 197: Διακυμάνσεις (α) ελάχιστης (Min), (β) μέσης (Avg) και (γ) μέγιστης (Max) έντασης ηλεκτρικού πεδίου (E-Field) ως συνάρτηση της συχνότητας (Frequency) του πεδίου για μετρήσεις με οργανολογία τύπου NARDA SMR-3006 σε συσκευή κινητής τηλεφωνίας τύπου NOKIA CORPORATION C3 και παρόχου VODAFONE σε απόσταση 1m από την κεραία της συσκευής κατα τη διάρκεια τερματισμού της κλήσης χωρίς ενεργοποίηση δεδομένων κινητής τηλεφωνίας.

ΠΑΡΑΡΤΗΜΑ 1

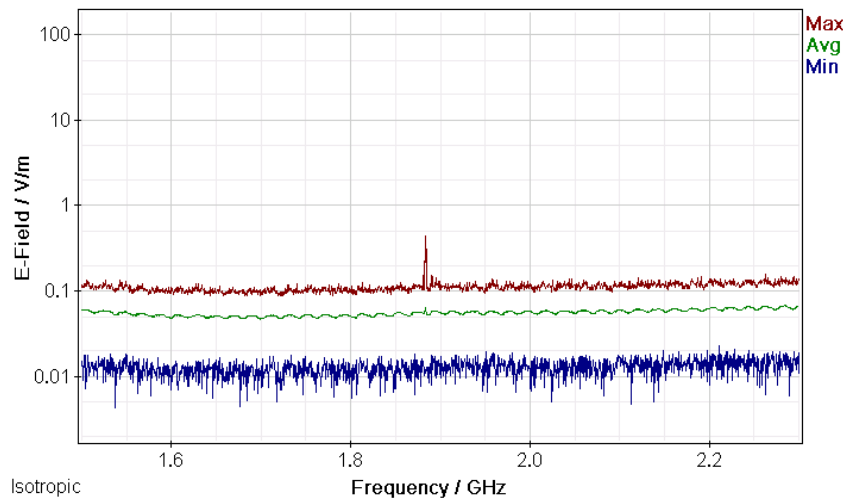
Μετρήσεις διακυμάνσεων (α) ελάχιστης (Min), (β) μέσης (Avg) και (γ) μέγιστης (Max) έντασης ηλεκτρικού πεδίου (E-Field) ως συνάρτηση της συχνότητας (Frequency) του πεδίου για μετρήσεις με οργανολογία τύπου NARDA SMR-3006 σε συσκευές κινητής τηλεφωνίας διαφόρων τύπων και παρόχων σε απόσταση 0 m από την κεραία των συσκευών.



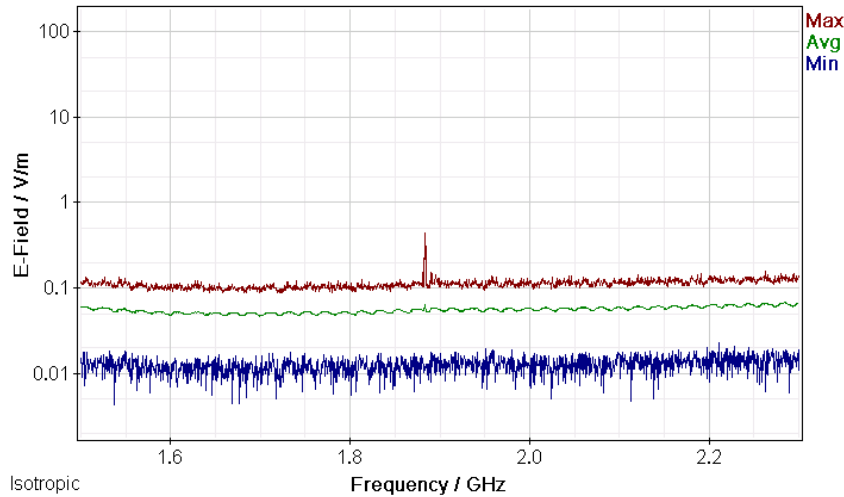
Σχήμα 198: Διακυμάνσεις (α) ελάχιστης (Min), (β) μέσης (Avg) και (γ) μέγιστης (Max) έντασης ηλεκτρικού πεδίου (E-Field) ως συνάρτηση της συχνότητας (Frequency) του πεδίου για μετρήσεις με οργανολογία τύπου NARDA SMR-3006 σε συσκευή κινητής τηλεφωνίας τύπου NOKIA CORPORATION C3 και παρόχου WIND σε απόσταση 0m από την κεραία της συσκευής κατά τη διάρκεια αναμονής χρήσης της συσκευής και χωρίς την ενεργοποίηση δεδομένων κινητής τηλεφωνίας.



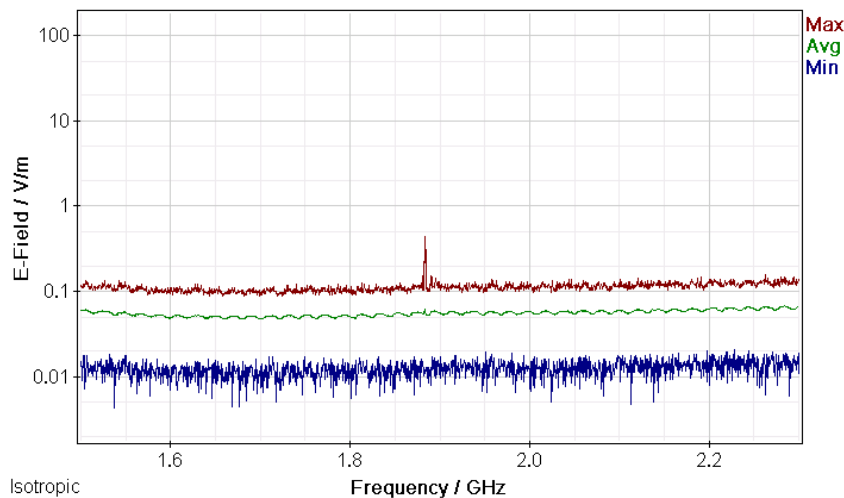
Σχήμα 199: Διακυμάνσεις (α) ελάχιστης (Min), (β) μέσης (Avg) και (γ) μέγιστης (Max) έντασης ηλεκτρικού πεδίου (E-Field) ως συνάρτηση της συχνότητας (Frequency) του πεδίου για μετρήσεις με οργανολογία τύπου NARDA SMR-3006 σε συσκευή κινητής τηλεφωνίας τύπου NOKIA CORPORATION C3 και παρόχου WIND σε απόσταση 0m από την κεραία της συσκευής κατα τη διάρκεια κλήσης χωρίς συνομιλία και ενεργοποίηση δεδομένων κινητής τηλεφωνίας .



Σχήμα 200: Διακυμάνσεις (α) ελάχιστης (Min), (β) μέσης (Avg) και (γ) μέγιστης (Max) έντασης ηλεκτρικού πεδίου (E-Field) ως συνάρτηση της συχνότητας (Frequency) του πεδίου για μετρήσεις με οργανολογία τύπου NARDA SMR-3006 σε συσκευή κινητής τηλεφωνίας τύπου NOKIA CORPORATION C3 και παρόχου WIND σε απόσταση 0m από την κεραία της συσκευής κατα τη διάρκεια συνομιλίας δούμιση λεπτών χωρίς ενεργοποίηση δεδομένων κινητής τηλεφωνίας.



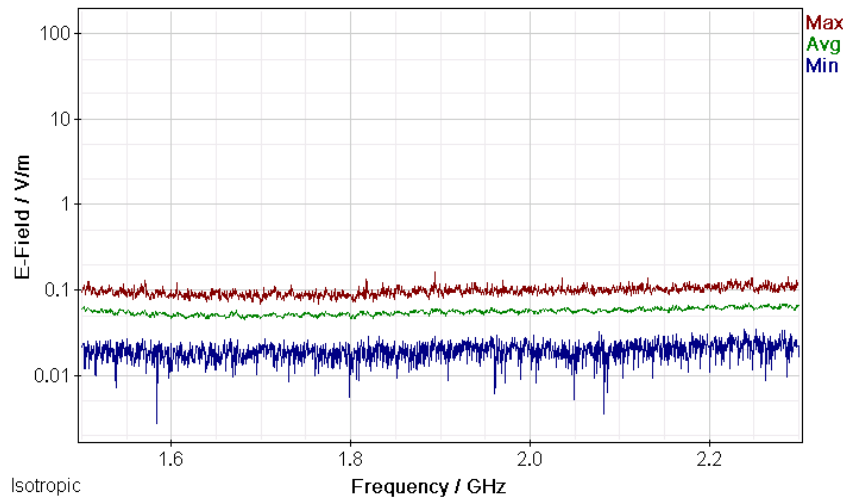
Σχήμα 201: Διακυμάνσεις (α) ελάχιστης (Min), (β) μέσης (Avg) και (γ) μέγιστης (Max) έντασης ηλεκτρικού πεδίου (E-Field) ως συνάρτηση της συχνότητας (Frequency) του πεδίου για μετρήσεις με οργανολογία τύπου NARDA SMR-3006 σε συσκευή κινητής τηλεφωνίας τύπου NOKIA CORPORATION C3 και παρόχου WIND σε απόσταση 0m από την κεραία της συσκευής κατα τη διάρκεια πεντάλεπτης συνομιλίας χωρίς ενεργοποίηση δεδομένων κινητής τηλεφωνίας.



Σχήμα 202: Διακυμάνσεις (α) ελάχιστης (Min), (β) μέσης (Avg) και (γ) μέγιστης (Max) έντασης ηλεκτρικού πεδίου (E-Field) ως συνάρτηση της συχνότητας (Frequency) του πεδίου για μετρήσεις με οργανολογία τύπου NARDA SMR-3006 σε συσκευή κινητής τηλεφωνίας τύπου NOKIA CORPORATION C3 και παρόχου WIND σε απόσταση 0m από την κεραία της συσκευής κατα τη διάρκεια τερματισμού της κλήσης χωρίς ενεργοποίηση δεδομένων κινητής τηλεφωνίας.

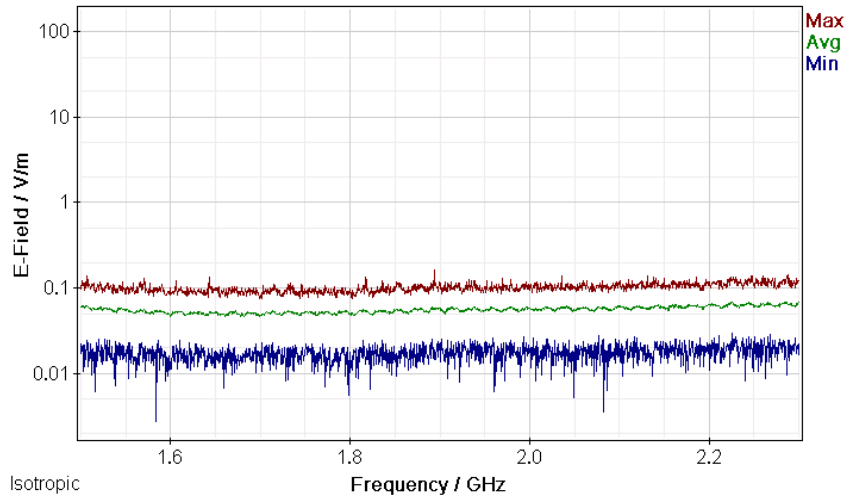
ΠΑΡΑΡΤΗΜΑ 2

Μετρήσεις διακυμάνσεων (α) ελάχιστης (Min), (β) μέσης (Avg) και (γ) μέγιστης (Max) έντασης ηλεκτρικού πεδίου (E-Field) ως συνάρτηση της συχνότητας (Frequency) του πεδίου για μετρήσεις με οργανολογία τύπου NARDA SMR-3006 σε συσκευές κινητής τηλεφωνίας διαφόρων τύπων και παρόχων σε απόσταση 1 m από την κεραία των συσκευών.

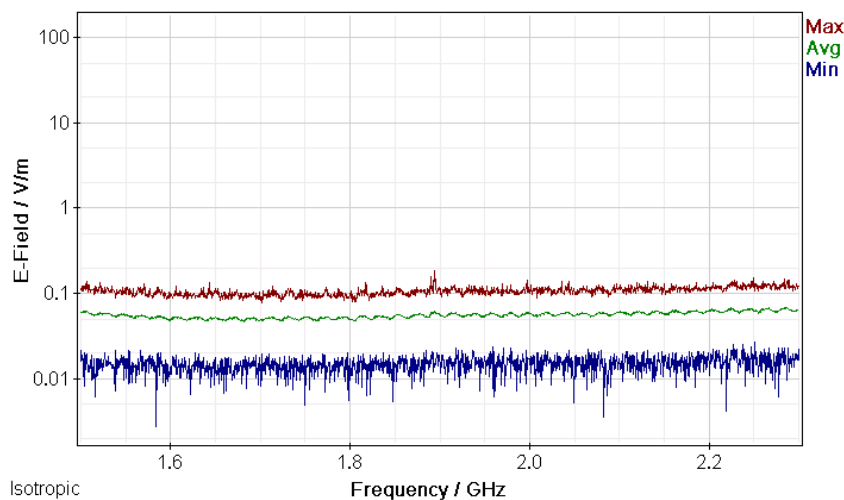


Σχήμα 203: Διακυμάνσεις (α) ελάχιστης (Min), (β) μέσης (Avg) και (γ) μέγιστης (Max) έντασης ηλεκτρικού πεδίου (E-Field) ως συνάρτηση της συχνότητας (Frequency) του πεδίου για μετρήσεις με οργανολογία τύπου NARDA SMR-3006 σε συσκευή κινητής τηλεφωνίας τύπου NOKIA CORPORATION C3 και παρόχου WIND σε απόσταση 1m από την κεραία της συσκευής κατά τη διάρκεια αναμονής χρήσης της συσκευής και χωρίς την ενεργοποίηση δεδομένων κινητής τηλεφωνίας.

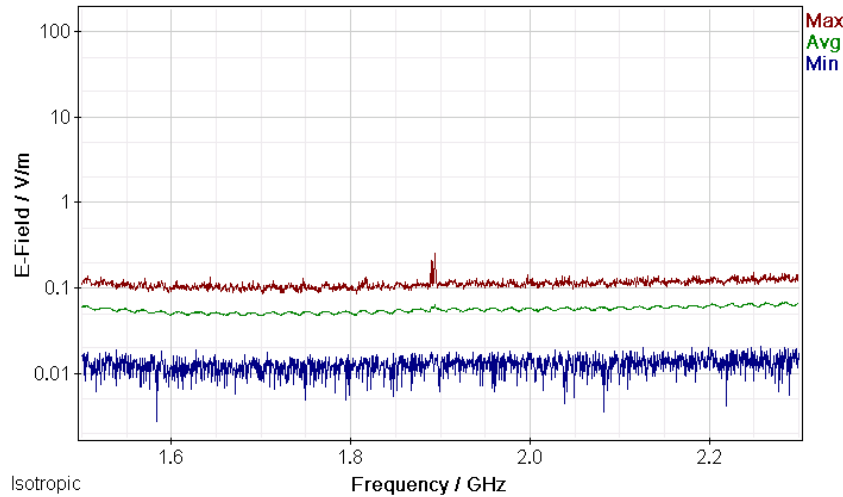
ΜΕΛΕΤΗ Η/Μ ΔΙΑΤΑΡΑΧΩΝ ΚΙΝΗΤΗΣ ΤΗΛΕΦΩΝΙΑΣ



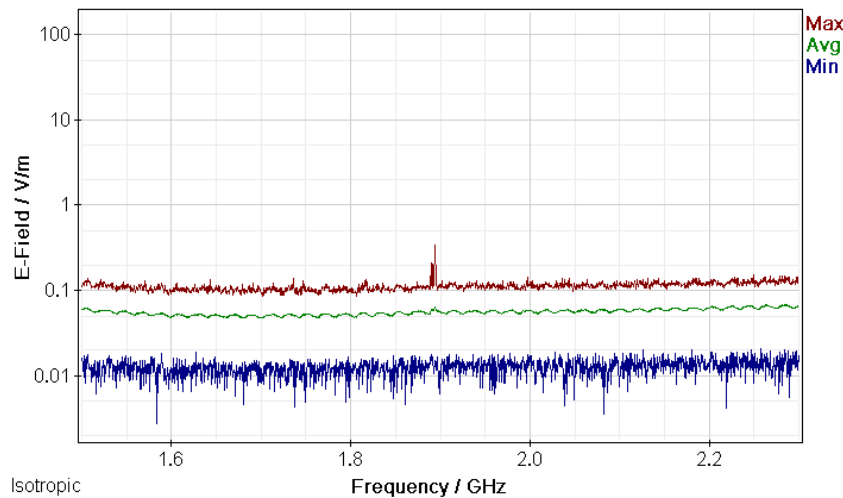
Σχήμα 204: Διακυμάνσεις (α) ελάχιστης (Min), (β) μέσης (Avg) και (γ) μέγιστης (Max) έντασης ηλεκτρικού πεδίου (E-Field) ως συνάρτηση της συχνότητας (Frequency) του πεδίου για μετρήσεις με οργανολογία τύπου NARDA SMR-3006 σε συσκευή κινητής τηλεφωνίας τύπου NOKIA CORPORATION C3 και παρόχου WIND σε απόσταση 1m από την κεραία της συσκευής κατα τη διάρκεια κλήσης χωρίς συνομιλία και ενεργοποίηση δεδομένων κινητής τηλεφωνίας .



Σχήμα 205: Διακυμάνσεις (α) ελάχιστης (Min), (β) μέσης (Avg) και (γ) μέγιστης (Max) έντασης ηλεκτρικού πεδίου (E-Field) ως συνάρτηση της συχνότητας (Frequency) του πεδίου για μετρήσεις με οργανολογία τύπου NARDA SMR-3006 σε συσκευή κινητής τηλεφωνίας τύπου NOKIA CORPORATION C3 και παρόχου WIND σε απόσταση 1m από την κεραία της συσκευής κατα τη διάρκεια συνομιλίας δυόμιση λεπτών χωρίς ενεργοποίηση δεδομένων κινητής τηλεφωνίας.



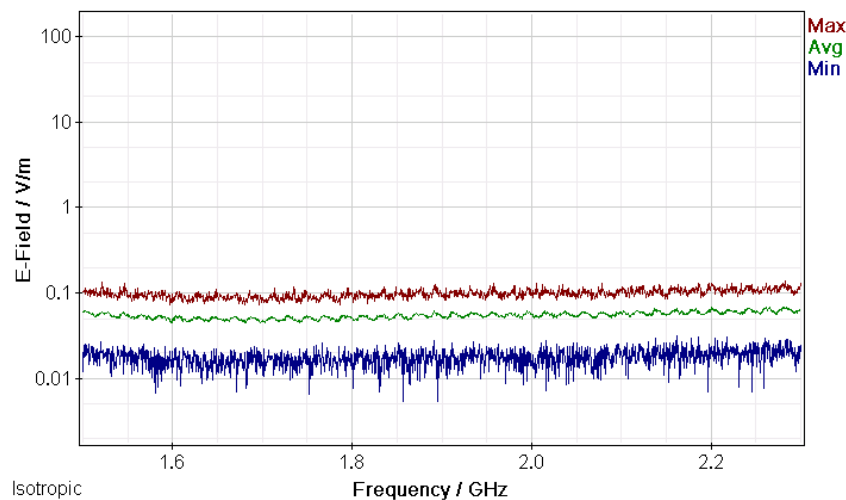
Σχήμα 206: Διακυμάνσεις (α) ελάχιστης (Min), (β) μέσης (Avg) και (γ) μέγιστης (Max) έντασης ηλεκτρικού πεδίου (E-Field) ως συνάρτηση της συχνότητας (Frequency) του πεδίου για μετρήσεις με οργανολογία τύπου NARDA SMR-3006 σε συσκευή κινητής τηλεφωνίας τύπου NOKIA CORPORATION C3 και παρόχου WIND σε απόσταση 1m από την κεραία της συσκευής κατα τη διάρκεια πεντάλεπτης συνομιλίας χωρίς ενεργοποίηση δεδομένων κινητής τηλεφωνίας.



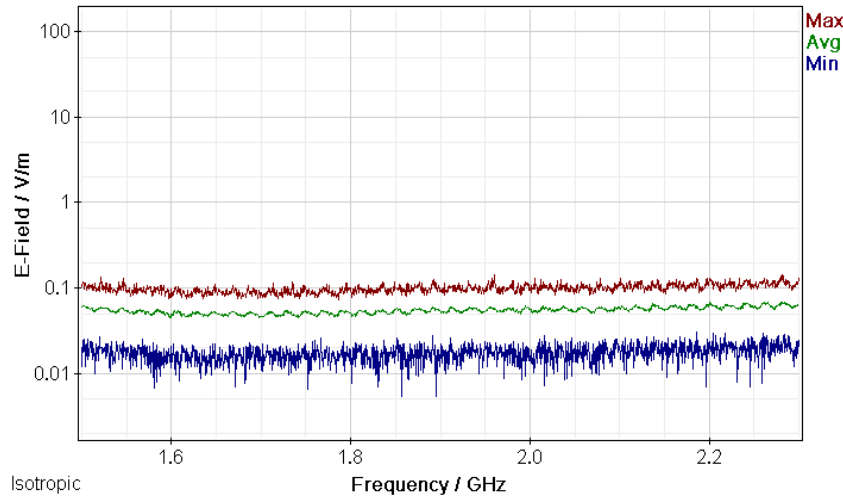
Σχήμα 207: Διακυμάνσεις (α) ελάχιστης (Min), (β) μέσης (Avg) και (γ) μέγιστης (Max) έντασης ηλεκτρικού πεδίου (E-Field) ως συνάρτηση της συχνότητας (Frequency) του πεδίου για μετρήσεις με οργανολογία τύπου NARDA SMR-3006 σε συσκευή κινητής τηλεφωνίας τύπου NOKIA CORPORATION C3 και παρόχου WIND σε απόσταση 1m από την κεραία της συσκευής κατα τη διάρκεια τερματισμού της κλήσης χωρίς ενεργοποίηση δεδομένων κινητής τηλεφωνίας.

ΠΑΡΑΡΤΗΜΑ 1

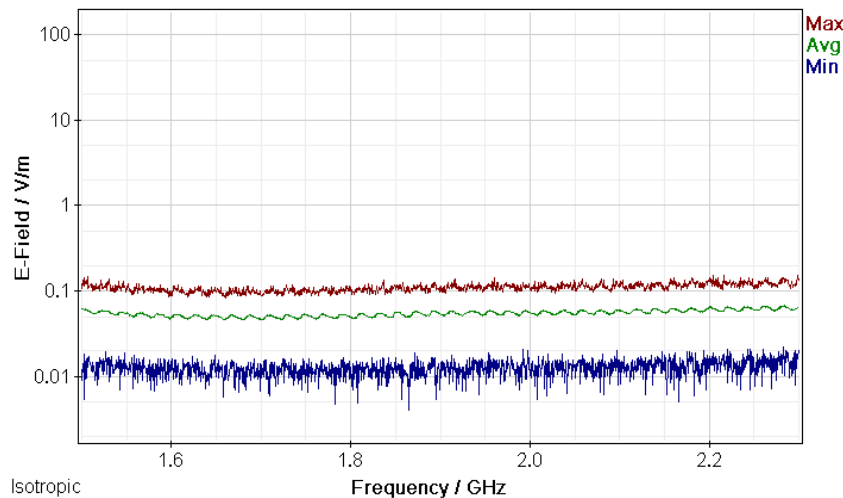
Μετρήσεις διακυμάνσεων (α) ελάχιστης (Min), (β) μέσης (Avg) και (γ) μέγιστης (Max) έντασης ηλεκτρικού πεδίου (E-Field) ως συνάρτηση της συχνότητας (Frequency) του πεδίου για μετρήσεις με οργανολογία τύπου NARDA SMR-3006 σε συσκευές κινητής τηλεφωνίας διαφόρων τύπων και παρόχων σε απόσταση 0 m από την κεραία των συσκευών.



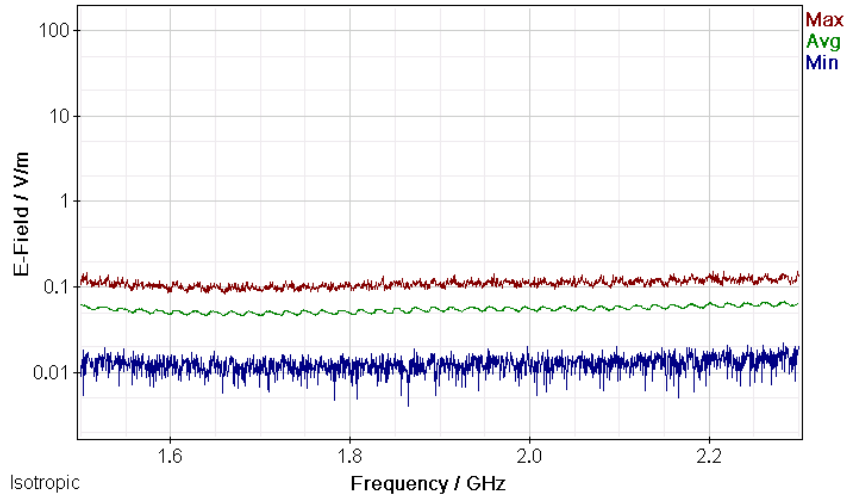
Σχήμα 208: Διακυμάνσεις (α) ελάχιστης (Min), (β) μέσης (Avg) και (γ) μέγιστης (Max) έντασης ηλεκτρικού πεδίου (E-Field) ως συνάρτηση της συχνότητας (Frequency) του πεδίου για μετρήσεις με οργανολογία τύπου NARDA SMR-3006 σε συσκευή κινητής τηλεφωνίας τύπου NOKIA RM-944 και παρόχου COSMOTE σε απόσταση 0m από την κεραία της συσκευής κατά τη διάρκεια αναμονής χρήσης της συσκευής και χωρίς την ενεργοποίηση δεδομένων κινητής τηλεφωνίας.



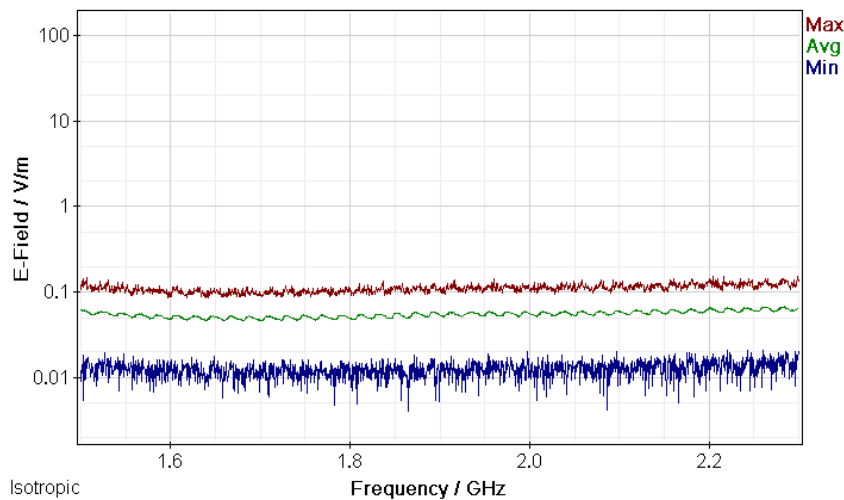
Σχήμα 209: Διακυμάνσεις (α) ελάχιστης (Min), (β) μέσης (Avg) και (γ) μέγιστης (Max) έντασης ηλεκτρικού πεδίου (E-Field) ως συνάρτηση της συχνότητας (Frequency) του πεδίου για μετρήσεις με οργανολογία τύπου NARDA SMR-3006 σε συσκευή κινητής τηλεφωνίας τύπου NOKIA RM-944 και παρόχου COSMOTE σε απόσταση 0m από την κεραία της συσκευής κατα τη διάρκεια κλήσης χωρίς συνομιλία και ενεργοποίηση δεδομένων κινητής τηλεφωνίας .



Σχήμα 210: Διακυμάνσεις (α) ελάχιστης (Min), (β) μέσης (Avg) και (γ) μέγιστης (Max) έντασης ηλεκτρικού πεδίου (E-Field) ως συνάρτηση της συχνότητας (Frequency) του πεδίου για μετρήσεις με οργανολογία τύπου NARDA SMR-3006 σε συσκευή κινητής τηλεφωνίας τύπου NOKIA RM-944 και παρόχου COSMOTE σε απόσταση 0m από την κεραία της συσκευής κατα τη διάρκεια συνομιλίας δυόμιση λεπτών χωρίς ενεργοποίηση δεδομένων κινητής τηλεφωνίας.



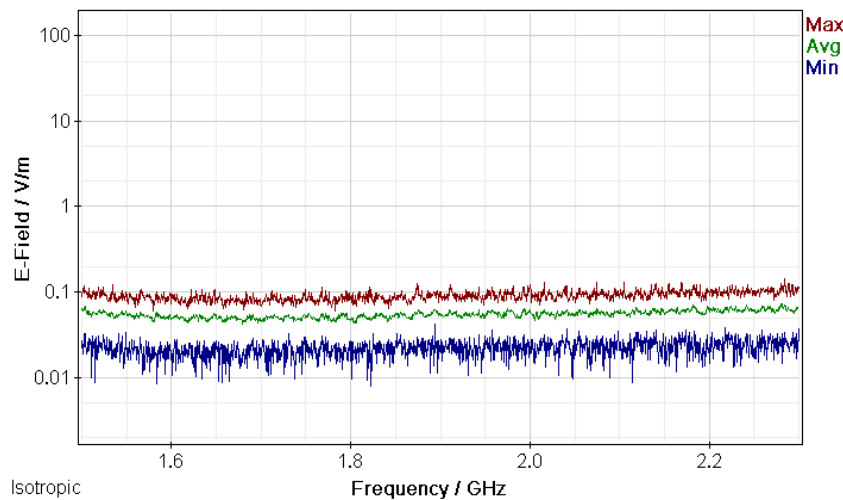
Σχήμα 211: Διακυμάνσεις (α) ελάχιστης (Min), (β) μέσης (Avg) και (γ) μέγιστης (Max) έντασης ηλεκτρικού πεδίου (E-Field) ως συνάρτηση της συχνότητας (Frequency) του πεδίου για μετρήσεις με οργανολογία τύπου NARDA SMR-3006 σε συσκευή κινητής τηλεφωνίας τύπου NOKIA RM-944 και παρόχου COSMOTE σε απόσταση 0m από την κεραία της συσκευής κατά τη διάρκεια πεντάλεπτης συνομιλίας χωρίς ενεργοποίηση δεδομένων κινητής τηλεφωνίας.



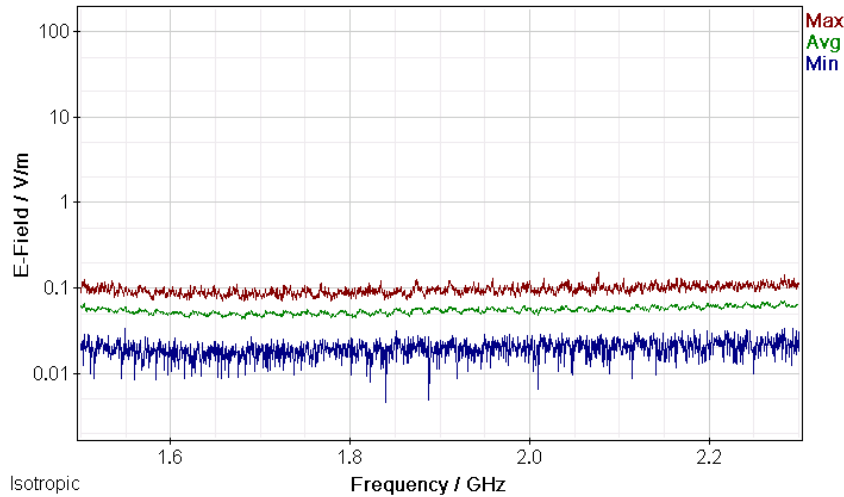
Σχήμα 212: Διακυμάνσεις (α) ελάχιστης (Min), (β) μέσης (Avg) και (γ) μέγιστης (Max) έντασης ηλεκτρικού πεδίου (E-Field) ως συνάρτηση της συχνότητας (Frequency) του πεδίου για μετρήσεις με οργανολογία τύπου NARDA SMR-3006 σε συσκευή κινητής τηλεφωνίας τύπου NOKIA RM-944 και παρόχου COSMOTE σε απόσταση 0m από την κεραία της συσκευής κατά τη διάρκεια τερματισμού της κλήσης χωρίς ενεργοποίηση δεδομένων κινητής τηλεφωνίας.

ΠΑΡΑΡΤΗΜΑ 2

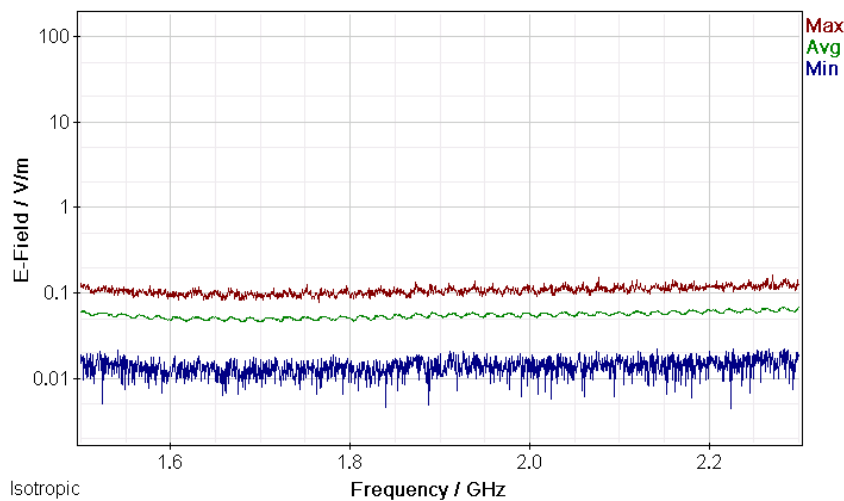
Μετρήσεις διακυμάνσεων (α) ελάχιστης (Min), (β) μέσης (Avg) και (γ) μέγιστης (Max) έντασης ηλεκτρικού πεδίου (E-Field) ως συνάρτηση της συχνότητας (Frequency) του πεδίου για μετρήσεις με οργανολογία τύπου NARDA SMR-3006 σε συσκευές κινητής τηλεφωνίας διαφόρων τύπων και παρόχων σε απόσταση 1 m από την κεραία των συσκευών.



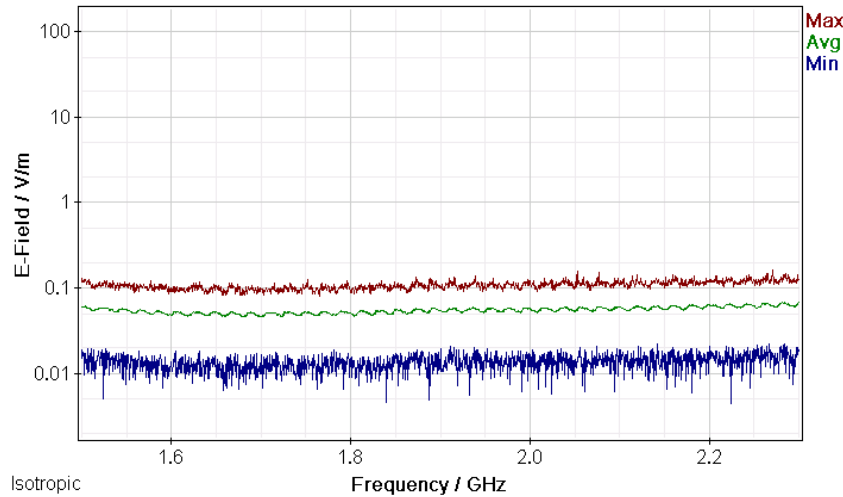
Σχήμα 213: Διακυμάνσεις (α) ελάχιστης (Min), (β) μέσης (Avg) και (γ) μέγιστης (Max) έντασης ηλεκτρικού πεδίου (E-Field) ως συνάρτηση της συχνότητας (Frequency) του πεδίου για μετρήσεις με οργανολογία τύπου NARDA SMR-3006 σε συσκευή κινητής τηλεφωνίας τύπου NOKIA RM-944 και παρόχου COSMOTE σε απόσταση 1m από την κεραία της συσκευής κατα τη διάρκεια αναμονής χρήσης της συσκευής και χωρίς την ενεργοποίηση δεδομένων κινητής τηλεφωνίας.



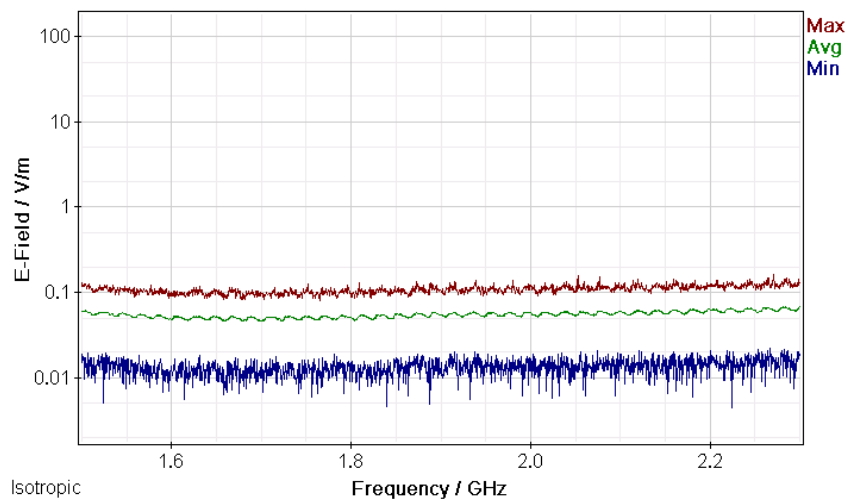
Σχήμα 214: Διακυμάνσεις (α) ελάχιστης (Min), (β) μέσης (Avg) και (γ) μέγιστης (Max) έντασης ηλεκτρικού πεδίου (E-Field) ως συνάρτηση της συχνότητας (Frequency) του πεδίου για μετρήσεις με οργάνολογία τύπου NARDA SMR-3006 σε συσκευή κινητής τηλεφωνίας τύπου NOKIA RM-944 και παρόχου COSMOTE σε απόσταση 1m από την κεραία της συσκευής κατα τη διάρκεια κλήσης χωρίς συνομιλία και ενεργοποίηση δεδομένων κινητής τηλεφωνίας .



Σχήμα 215: Διακυμάνσεις (α) ελάχιστης (Min), (β) μέσης (Avg) και (γ) μέγιστης (Max) έντασης ηλεκτρικού πεδίου (E-Field) ως συνάρτηση της συχνότητας (Frequency) του πεδίου για μετρήσεις με οργάνολογία τύπου NARDA SMR-3006 σε συσκευή κινητής τηλεφωνίας τύπου NOKIA RM-944 και παρόχου COSMOTE σε απόσταση 1m από την κεραία της συσκευής κατα τη διάρκεια συνομιλίας δυόμιση λεπτών χωρίς ενεργοποίηση δεδομένων κινητής τηλεφωνίας.



Σχήμα 216: Διακυμάνσεις (α) ελάχιστης (Min), (β) μέσης (Avg) και (γ) μέγιστης (Max) έντασης ηλεκτρικού πεδίου (E-Field) ως συνάρτηση της συχνότητας (Frequency) του πεδίου για μετρήσεις με οργανολογία τύπου NARDA SMR-3006 σε συσκευή κινητής τηλεφωνίας τύπου NOKIA RM-944 και παρόχου COSMOTE σε απόσταση 1m από την κεραία της συσκευής κατά τη διάρκεια πεντάλεπτης συνομιλίας χωρίς ενεργοποίηση δεδομένων κινητής τηλεφωνίας.



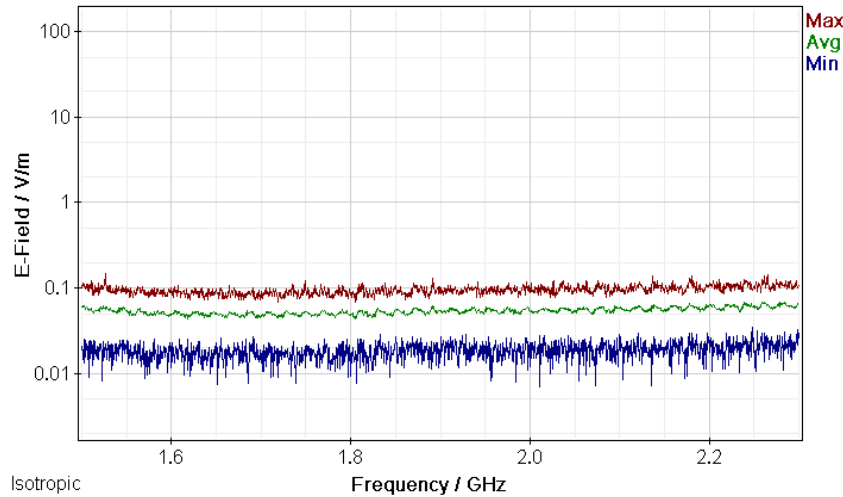
Σχήμα 217: Διακυμάνσεις (α) ελάχιστης (Min), (β) μέσης (Avg) και (γ) μέγιστης (Max) έντασης ηλεκτρικού πεδίου (E-Field) ως συνάρτηση της συχνότητας (Frequency) του πεδίου για μετρήσεις με οργανολογία τύπου NARDA SMR-3006 σε συσκευή κινητής τηλεφωνίας τύπου NOKIA RM-944 και παρόχου COSMOTE σε απόσταση 1m από την κεραία της συσκευής κατά τη διάρκεια τερματισμού της κλήσης χωρίς ενεργοποίηση δεδομένων κινητής τηλεφωνίας.

ΠΑΡΑΡΤΗΜΑ 1

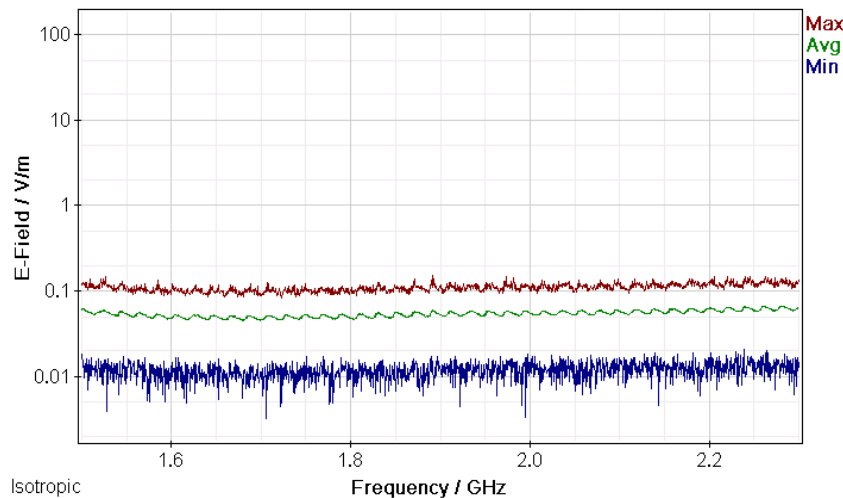
Μετρήσεις διακυμάνσεων (α) ελάχιστης (Min), (β) μέσης (Avg) και (γ) μέγιστης (Max) έντασης ηλεκτρικού πεδίου (E-Field) ως συνάρτηση της συχνότητας (Frequency) του πεδίου για μετρήσεις με οργανολογία τύπου NARDA SMR-3006 σε συσκευές κινητής τηλεφωνίας διαφόρων τύπων και παρόχων σε απόσταση 0 m από την κεραία των συσκευών.



Σχήμα 218: Διακυμάνσεις (α) ελάχιστης (Min), (β) μέσης (Avg) και (γ) μέγιστης (Max) έντασης ηλεκτρικού πεδίου (E-Field) ως συνάρτηση της συχνότητας (Frequency) του πεδίου για μετρήσεις με οργανολογία τύπου NARDA SMR-3006 σε συσκευή κινητής τηλεφωνίας τύπου NOKIA RM-944 και παρόχου VODAFONE σε απόσταση 0m από την κεραία της συσκευής κατά τη διάρκεια αναμονής χρήσης της συσκευής και χωρίς την ενεργοποίηση δεδομένων κινητής τηλεφωνίας.

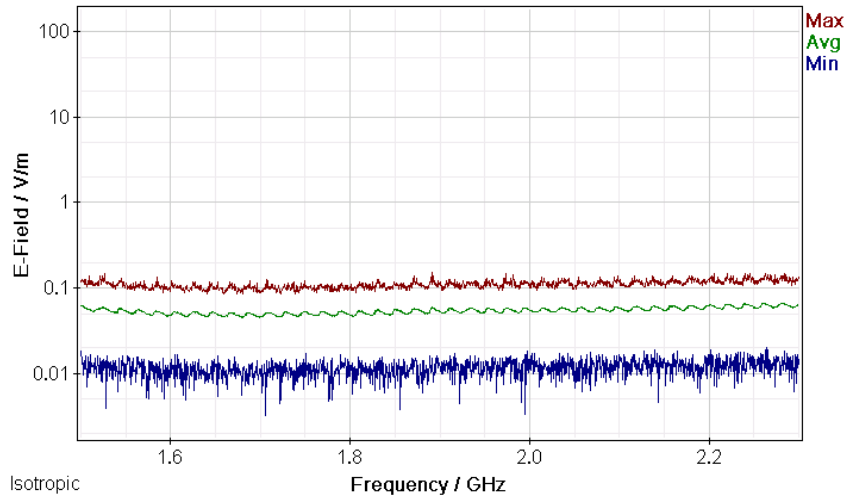


Σχήμα 219: Διακυμάνσεις (α) ελάχιστης (Min), (β) μέσης (Avg) και (γ) μέγιστης (Max) έντασης ηλεκτρικού πεδίου (E-Field) ως συνάρτηση της συχνότητας (Frequency) του πεδίου για μετρήσεις με οργανολογία τύπου NARDA SMR-3006 σε συσκευή κινητής τηλεφωνίας τύπου NOKIA RM-944 και παρόχου VODAFONE σε απόσταση 0m από την κεραία της συσκευής κατά τη διάρκεια κλήσης χωρίς συνομιλία και ενεργοποίηση δεδομένων κινητής τηλεφωνίας .

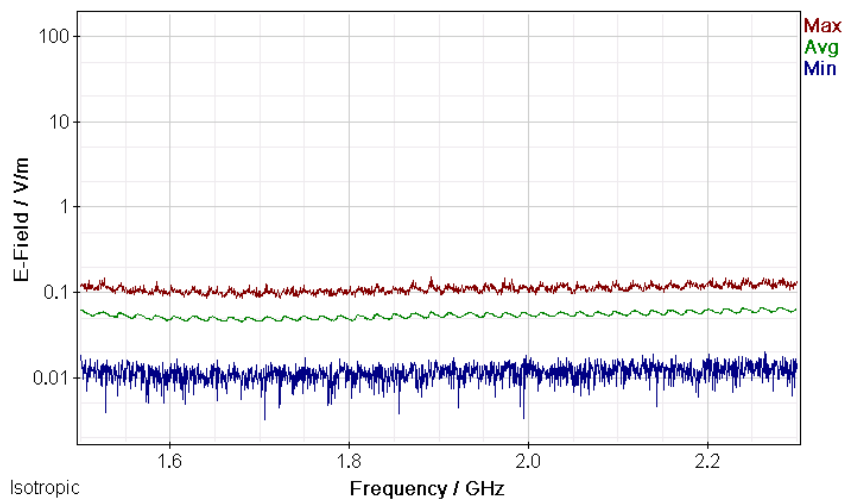


Σχήμα 220: Διακυμάνσεις (α) ελάχιστης (Min), (β) μέσης (Avg) και (γ) μέγιστης (Max) έντασης ηλεκτρικού πεδίου (E-Field) ως συνάρτηση της συχνότητας (Frequency) του πεδίου για μετρήσεις με οργανολογία τύπου NARDA SMR-3006 σε συσκευή κινητής τηλεφωνίας τύπου NOKIA RM-944 και παρόχου VODAFONE σε απόσταση 0m από την κεραία της συσκευής κατά τη διάρκεια συνομιλίας δυόμιση λεπτών χωρίς ενεργοποίηση δεδομένων κινητής τηλεφωνίας.

ΜΕΛΕΤΗ Η/Μ ΔΙΑΤΑΡΑΧΩΝ ΚΙΝΗΤΗΣ ΤΗΛΕΦΩΝΙΑΣ



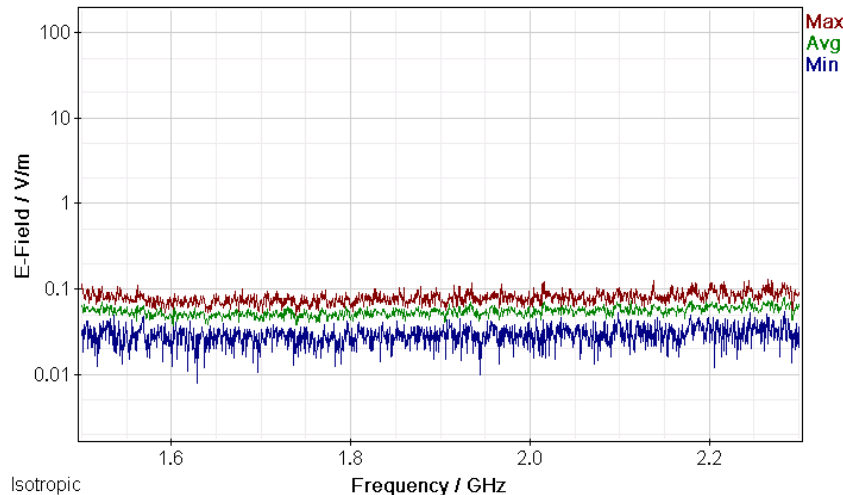
Σχήμα 221: Διακυμάνσεις (α) ελάχιστης (Min), (β) μέσης (Avg) και (γ) μέγιστης (Max) έντασης ηλεκτρικού πεδίου (E-Field) ως συνάρτηση της συχνότητας (Frequency) του πεδίου για μετρήσεις με οργανολογία τύπου NARDA SMR-3006 σε συσκευή κινητής τηλεφωνίας τύπου NOKIA RM-944 και παρόχου VODAFONE σε απόσταση 0m από την κεραία της συσκευής κατά τη διάρκεια πεντάλεπτης συνομιλίας χωρίς ενεργοποίηση δεδομένων κινητής τηλεφωνίας.



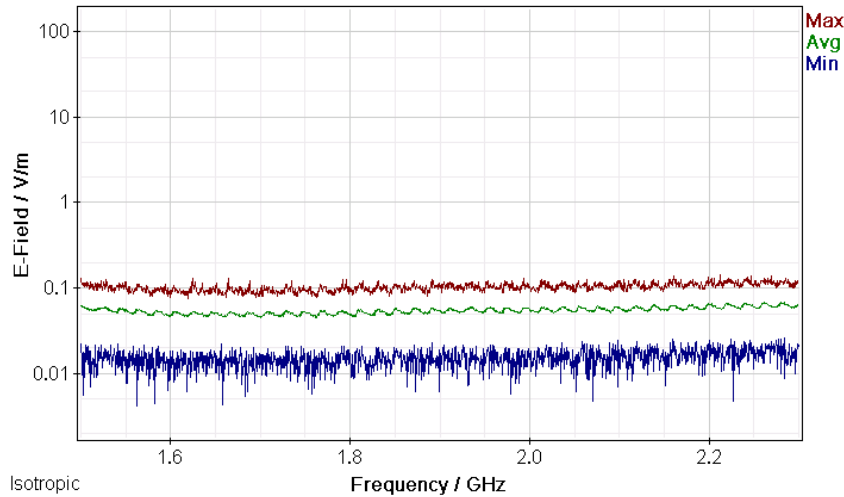
Σχήμα 222: Διακυμάνσεις (α) ελάχιστης (Min), (β) μέσης (Avg) και (γ) μέγιστης (Max) έντασης ηλεκτρικού πεδίου (E-Field) ως συνάρτηση της συχνότητας (Frequency) του πεδίου για μετρήσεις με οργανολογία τύπου NARDA SMR-3006 σε συσκευή κινητής τηλεφωνίας τύπου NOKIA RM-944 και παρόχου VODAFONE σε απόσταση 0m από την κεραία της συσκευής κατά τη διάρκεια τερματισμού της κλήσης χωρίς ενεργοποίηση δεδομένων κινητής τηλεφωνίας.

ΠΑΡΑΡΤΗΜΑ 2

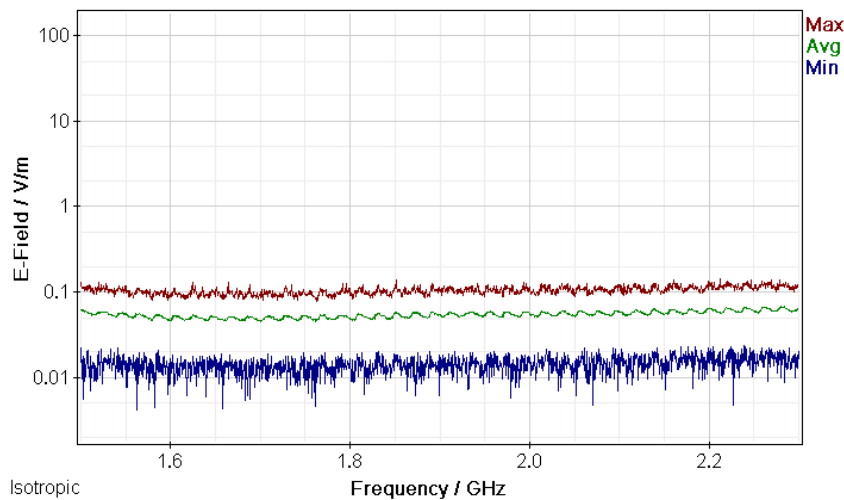
Μετρήσεις διακυμάνσεων (α) ελάχιστης (Min), (β) μέσης (Avg) και (γ) μέγιστης (Max) έντασης ηλεκτρικού πεδίου (E-Field) ως συνάρτηση της συχνότητας (Frequency) του πεδίου για μετρήσεις με οργανολογία τύπου NARDA SMR-3006 σε συσκευές κινητής τηλεφωνίας διαφόρων τύπων και παρόχων σε απόσταση 1 m από την κεραία των συσκευών.



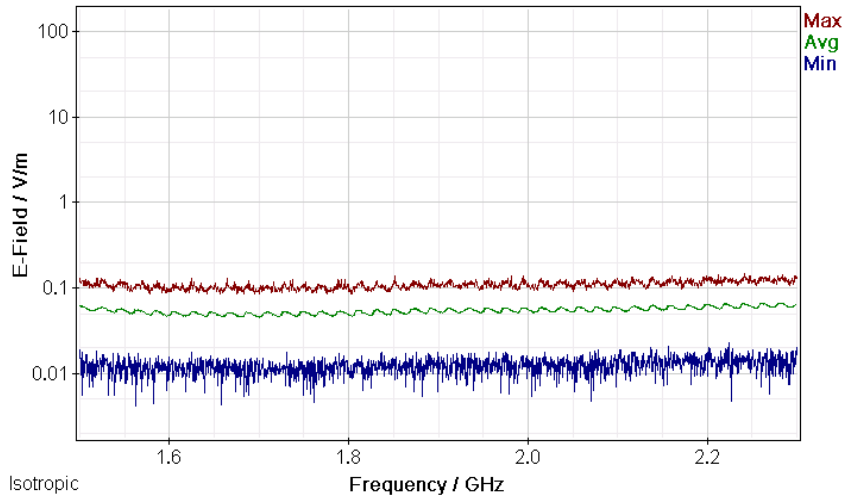
Σχήμα 223: Διακυμάνσεις (α) ελάχιστης (Min), (β) μέσης (Avg) και (γ) μέγιστης (Max) έντασης ηλεκτρικού πεδίου (E-Field) ως συνάρτηση της συχνότητας (Frequency) του πεδίου για μετρήσεις με οργανολογία τύπου NARDA SMR-3006 σε συσκευή κινητής τηλεφωνίας τύπου NOKIA RM-944 και παρόχου VODAFONE σε απόσταση 1m από την κεραία της συσκευής κατά τη διάρκεια αναμονής χρήσης της συσκευής και χωρίς την ενεργοποίηση δεδομένων κινητής τηλεφωνίας.



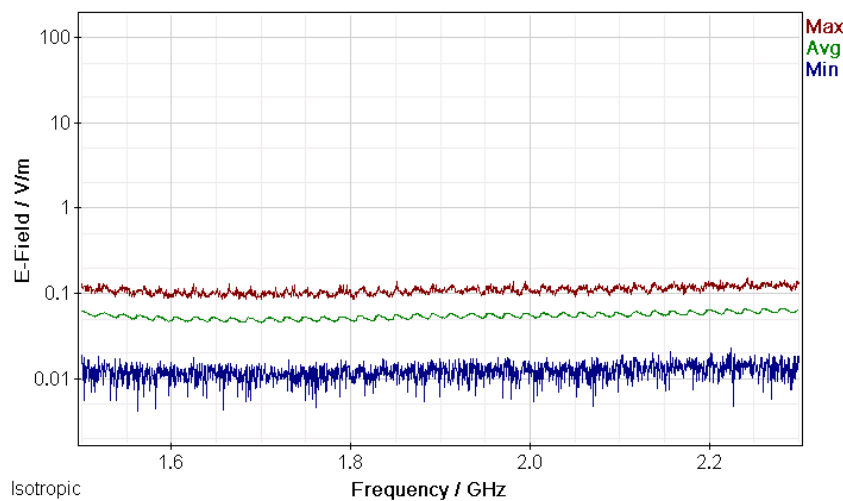
Σχήμα 224: Διακυμάνσεις (α) ελάχιστης (Min), (β) μέσης (Avg) και (γ) μέγιστης (Max) έντασης ηλεκτρικού πεδίου (E-Field) ως συνάρτηση της συχνότητας (Frequency) του πεδίου για μετρήσεις με οργανολογία τύπου NARDA SMR-3006 σε συσκευή κινητής τηλεφωνίας τύπου NOKIA RM-944 και παρόχου VODAFONE σε απόσταση 1m από την κεραία της συσκευής κατα τη διάρκεια κλήσης χωρίς συνομιλία και ενεργοποίηση δεδομένων κινητής τηλεφωνίας .



Σχήμα 225: Διακυμάνσεις (α) ελάχιστης (Min), (β) μέσης (Avg) και (γ) μέγιστης (Max) έντασης ηλεκτρικού πεδίου (E-Field) ως συνάρτηση της συχνότητας (Frequency) του πεδίου για μετρήσεις με οργανολογία τύπου NARDA SMR-3006 σε συσκευή κινητής τηλεφωνίας τύπου NOKIA RM-944 και παρόχου VODAFONE σε απόσταση 1m από την κεραία της συσκευής κατα τη διάρκεια συνομιλίας δυόμιση λεπτών χωρίς ενεργοποίηση δεδομένων κινητής τηλεφωνίας.



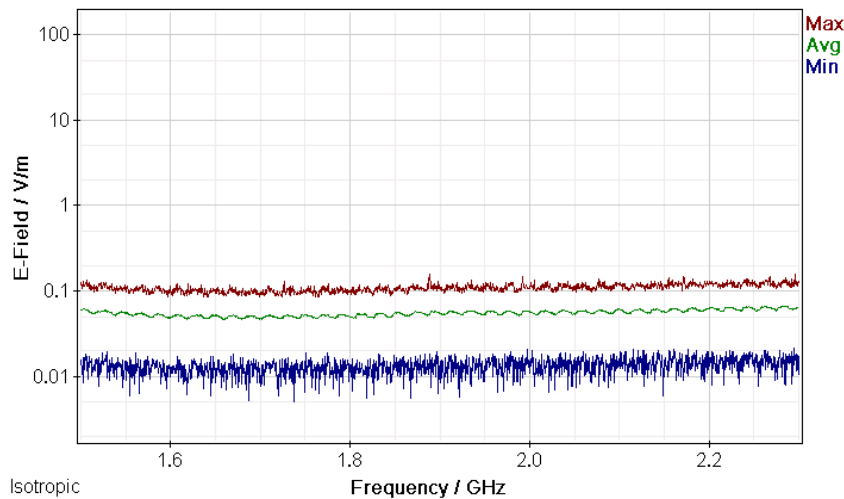
Σχήμα 226: Διακυμάνσεις (α) ελάχιστης (Min), (β) μέσης (Avg) και (γ) μέγιστης (Max) έντασης ηλεκτρικού πεδίου (E-Field) ως συνάρτηση της συχνότητας (Frequency) του πεδίου για μετρήσεις με οργανολογία τύπου NARDA SMR-3006 σε συσκευή κινητής τηλεφωνίας τύπου NOKIA RM-944 και παρόχου VODAFONE σε απόσταση 1m από την κεραία της συσκευής κατα τη διάρκεια πεντάλεπτης συνομιλίας χωρίς ενεργοποίηση δεδομένων κινητής τηλεφωνίας.



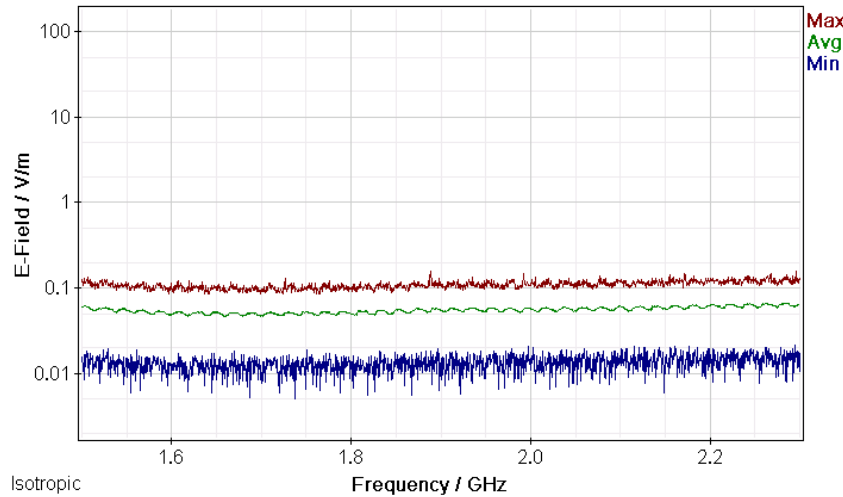
Σχήμα 227: Διακυμάνσεις (α) ελάχιστης (Min), (β) μέσης (Avg) και (γ) μέγιστης (Max) έντασης ηλεκτρικού πεδίου (E-Field) ως συνάρτηση της συχνότητας (Frequency) του πεδίου για μετρήσεις με οργανολογία τύπου NARDA SMR-3006 σε συσκευή κινητής τηλεφωνίας τύπου NOKIA RM-944 και παρόχου VODAFONE σε απόσταση 1m από την κεραία της συσκευής κατα τη διάρκεια τερματισμού της κλήσης χωρίς ενεργοποίηση δεδομένων κινητής τηλεφωνίας.

ΠΑΡΑΡΤΗΜΑ 1

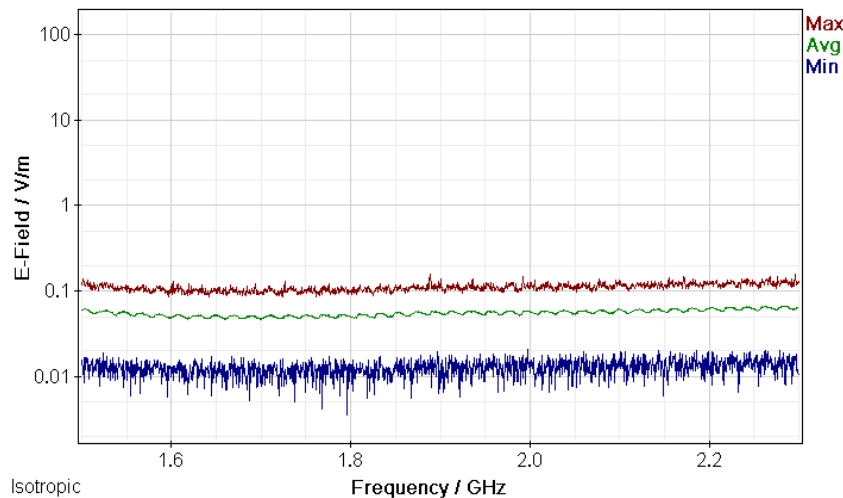
Μετρήσεις διακυμάνσεων (α) ελάχιστης (Min), (β) μέσης (Avg) και (γ) μέγιστης (Max) έντασης ηλεκτρικού πεδίου (E-Field) ως συνάρτηση της συχνότητας (Frequency) του πεδίου για μετρήσεις με οργανολογία τύπου NARDA SMR-3006 σε συσκευές κινητής τηλεφωνίας διαφόρων τύπων και παρόχων σε απόσταση 0 m από την κεραία των συσκευών.



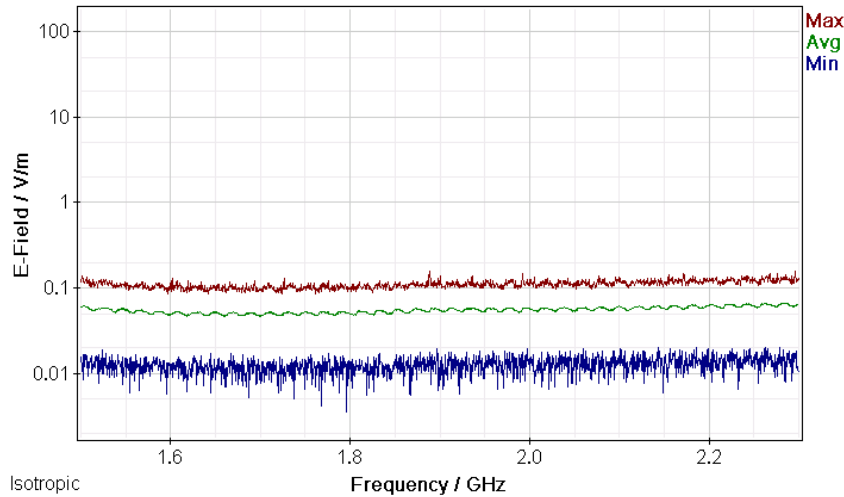
Σχήμα 228: Διακυμάνσεις (α) ελάχιστης (Min), (β) μέσης (Avg) και (γ) μέγιστης (Max) έντασης ηλεκτρικού πεδίου (E-Field) ως συνάρτηση της συχνότητας (Frequency) του πεδίου για μετρήσεις με οργανολογία τύπου NARDA SMR-3006 σε συσκευή κινητής τηλεφωνίας τύπου NOKIA RM-944 και παρόχου WIND σε απόσταση 0m από την κεραία της συσκευής κατα τη διάρκεια αναμονής χρήσης της συσκευής και χωρίς την ενεργοποίηση δεδομένων κινητής τηλεφωνίας.



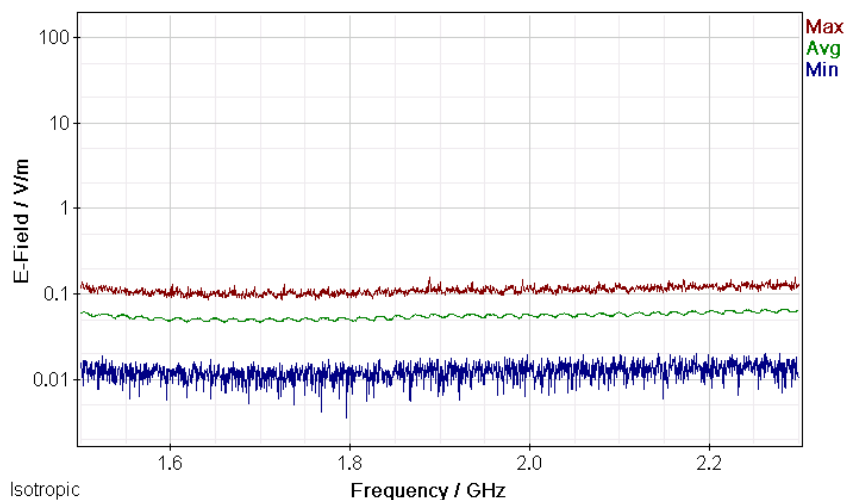
Σχήμα 229: Διακυμάνσεις (α) ελάχιστης (Min), (β) μέσης (Avg) και (γ) μέγιστης (Max) έντασης ηλεκτρικού πεδίου (E-Field) ως συνάρτηση της συχνότητας (Frequency) του πεδίου για μετρήσεις με οργανολογία τύπου NARDA SMR-3006 σε συσκευή κινητής τηλεφωνίας τύπου NOKIA RM-944 και παρόχου WIND σε απόσταση 0m από την κεραία της συσκευής κατα τη διάρκεια κλήσης χωρίς συνομιλία και ενεργοποίηση δεδομένων κινητής τηλεφωνίας .



Σχήμα 230: Διακυμάνσεις (α) ελάχιστης (Min), (β) μέσης (Avg) και (γ) μέγιστης (Max) έντασης ηλεκτρικού πεδίου (E-Field) ως συνάρτηση της συχνότητας (Frequency) του πεδίου για μετρήσεις με οργανολογία τύπου NARDA SMR-3006 σε συσκευή κινητής τηλεφωνίας τύπου NOKIA RM-944 και παρόχου WIND σε απόσταση 0m από την κεραία της συσκευής κατα τη διάρκεια συνομιλίας δυόμιση λεπτών χωρίς ενεργοποίηση δεδομένων κινητής τηλεφωνίας.



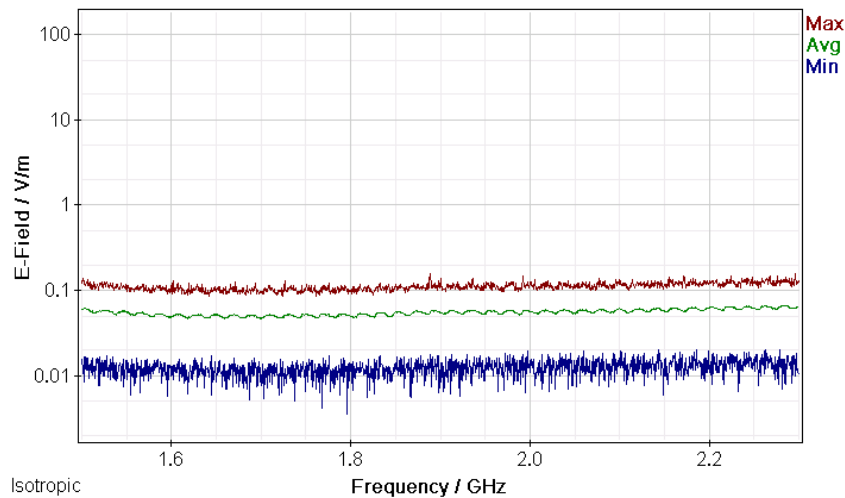
Σχήμα 231: Διακυμάνσεις (α) ελάχιστης (Min), (β) μέσης (Avg) και (γ) μέγιστης (Max) έντασης ηλεκτρικού πεδίου (E-Field) ως συνάρτηση της συχνότητας (Frequency) του πεδίου για μετρήσεις με οργάνολογία τύπου NARDA SMR-3006 σε συσκευή κινητής τηλεφωνίας τύπου NOKIA RM-944 και παρόχου WIND σε απόσταση 0m από την κεραία της συσκευής κατα τη διάρκεια πεντάλεπτης συνομιλίας χωρίς ενεργοποίηση δεδομένων κινητής τηλεφωνίας.



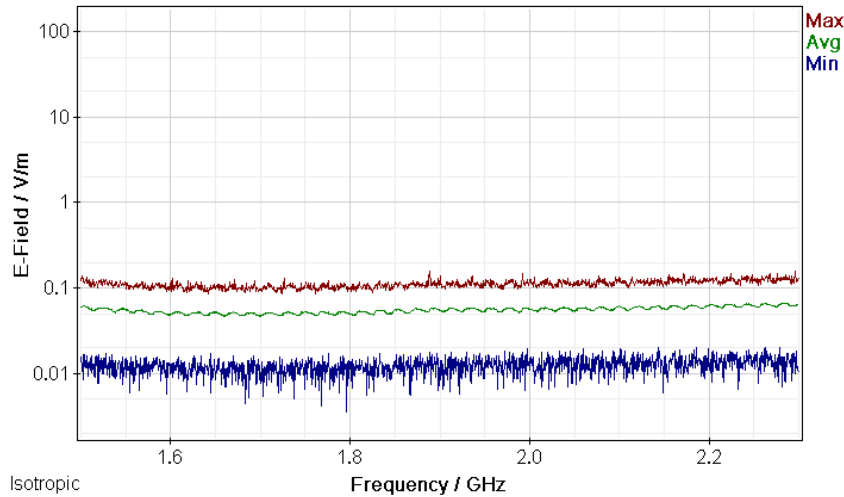
Σχήμα 232: Διακυμάνσεις (α) ελάχιστης (Min), (β) μέσης (Avg) και (γ) μέγιστης (Max) έντασης ηλεκτρικού πεδίου (E-Field) ως συνάρτηση της συχνότητας (Frequency) του πεδίου για μετρήσεις με οργάνολογία τύπου NARDA SMR-3006 σε συσκευή κινητής τηλεφωνίας τύπου NOKIA RM-944 και παρόχου WIND σε απόσταση 0m από την κεραία της συσκευής κατα τη διάρκεια τερματισμού της κλήσης χωρίς ενεργοποίηση δεδομένων κινητής τηλεφωνίας.

ΠΑΡΑΡΤΗΜΑ 2

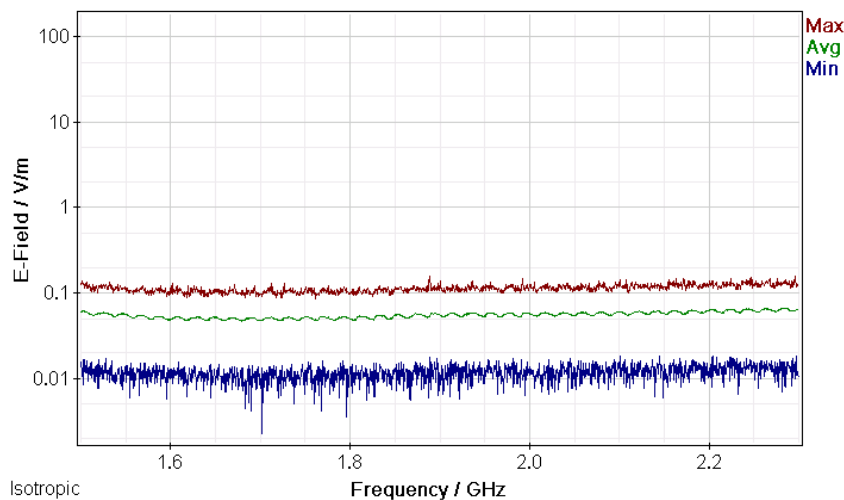
Μετρήσεις διακυμάνσεων (α) ελάχιστης (Min), (β) μέσης (Avg) και (γ) μέγιστης (Max) έντασης ηλεκτρικού πεδίου (E-Field) ως συνάρτηση της συχνότητας (Frequency) του πεδίου για μετρήσεις με οργανολογία τύπου NARDA SMR-3006 σε συσκευές κινητής τηλεφωνίας διαφόρων τύπων και παρόχων σε απόσταση 1 m από την κεραία των συσκευών.



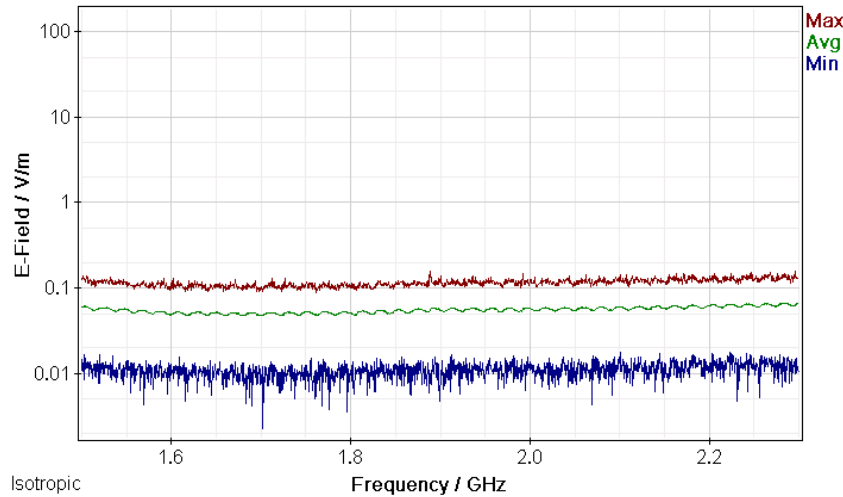
Σχήμα 233: Διακυμάνσεις (α) ελάχιστης (Min), (β) μέσης (Avg) και (γ) μέγιστης (Max) έντασης ηλεκτρικού πεδίου (E-Field) ως συνάρτηση της συχνότητας (Frequency) του πεδίου για μετρήσεις με οργανολογία τύπου NARDA SMR-3006 σε συσκευή κινητής τηλεφωνίας τύπου NOKIA RM-944 και παρόχου WIND σε απόσταση 1m από την κεραία της συσκευής κατα τη διάρκεια αναμονής χρήσης της συσκευής και χωρίς την ενεργοποίηση δεδομένων κινητής τηλεφωνίας.



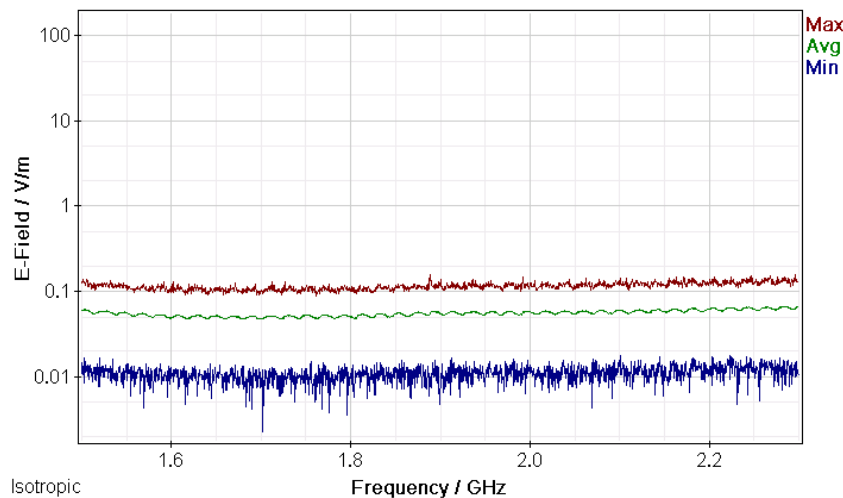
Σχήμα 234: Διακυμάνσεις (α) ελάχιστης (Min), (β) μέσης (Avg) και (γ) μέγιστης (Max) έντασης ηλεκτρικού πεδίου (E-Field) ως συνάρτηση της συχνότητας (Frequency) του πεδίου για μετρήσεις με οργάνολογία τύπου NARDA SMR-3006 σε συσκευή κινητής τηλεφωνίας τύπου NOKIA RM-944 και παρόχου WIND σε απόσταση 1m από την κεραία της συσκευής κατα τη διάρκεια κλήσης χωρίς συνομιλία και ενεργοποίηση δεδομένων κινητής τηλεφωνίας .



Σχήμα 235: Διακυμάνσεις (α) ελάχιστης (Min), (β) μέσης (Avg) και (γ) μέγιστης (Max) έντασης ηλεκτρικού πεδίου (E-Field) ως συνάρτηση της συχνότητας (Frequency) του πεδίου για μετρήσεις με οργάνολογία τύπου NARDA SMR-3006 σε συσκευή κινητής τηλεφωνίας τύπου NOKIA RM-944 και παρόχου WIND σε απόσταση 1m από την κεραία της συσκευής κατα τη διάρκεια συνομιλίας δυόμιση λεπτών χωρίς ενεργοποίηση δεδομένων κινητής τηλεφωνίας.



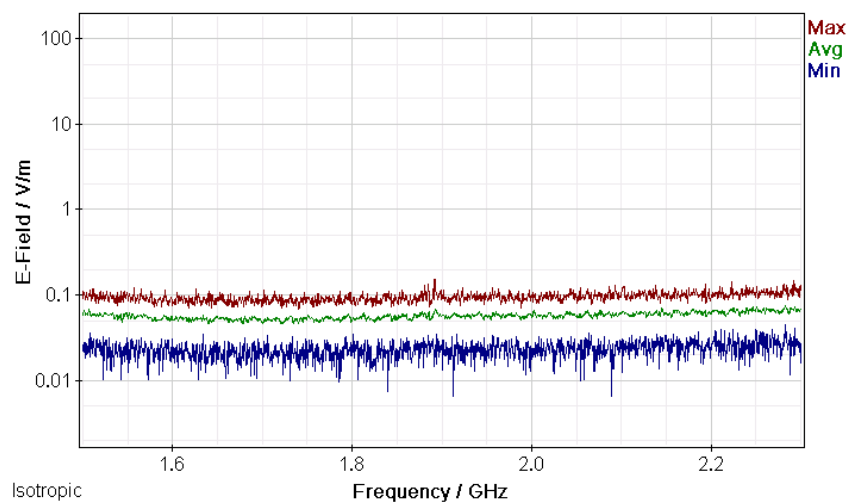
Σχήμα 236: Διακυμάνσεις (α) ελάχιστης (Min), (β) μέσης (Avg) και (γ) μέγιστης (Max) έντασης ηλεκτρικού πεδίου (E-Field) ως συνάρτηση της συχνότητας (Frequency) του πεδίου για μετρήσεις με οργάνολογία τύπου NARDA SMR-3006 σε συσκευή κινητής τηλεφωνίας τύπου NOKIA RM-944 και παρόχου WIND σε απόσταση 1m από την κεραία της συσκευής κατα τη διάρκεια πεντάλεπτης συνομιλίας χωρίς ενεργοποίηση δεδομένων κινητής τηλεφωνίας.



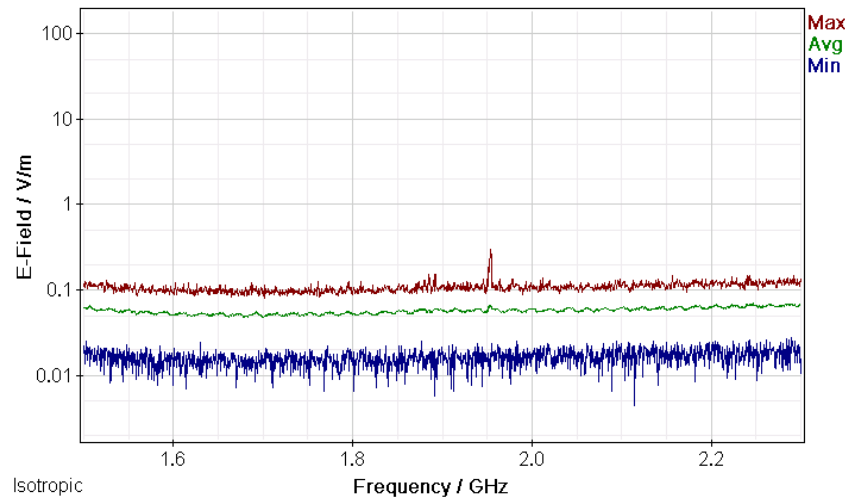
Σχήμα 237: Διακυμάνσεις (α) ελάχιστης (Min), (β) μέσης (Avg) και (γ) μέγιστης (Max) έντασης ηλεκτρικού πεδίου (E-Field) ως συνάρτηση της συχνότητας (Frequency) του πεδίου για μετρήσεις με οργάνολογία τύπου NARDA SMR-3006 σε συσκευή κινητής τηλεφωνίας τύπου NOKIA RM-944 και παρόχου WIND σε απόσταση 1m από την κεραία της συσκευής κατα τη διάρκεια τερματισμού της κλήσης χωρίς ενεργοποίηση δεδομένων κινητής τηλεφωνίας.

ΠΑΡΑΡΤΗΜΑ 1

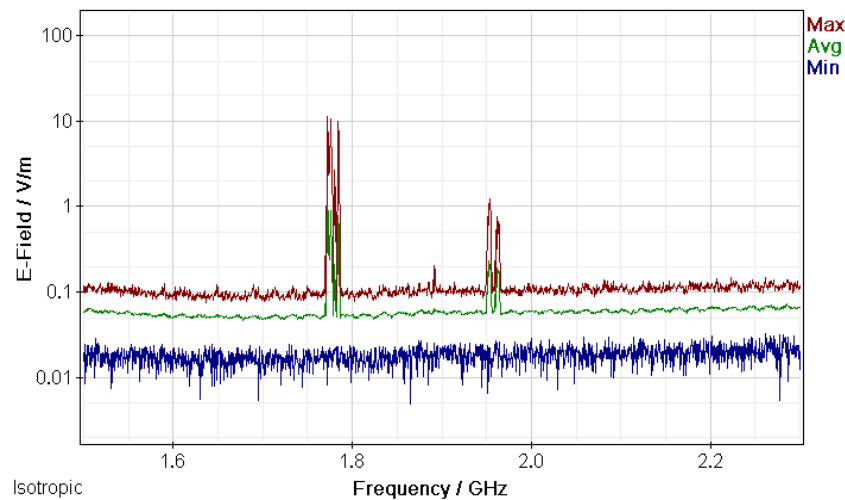
Μετρήσεις διακυμάνσεων (α) ελάχιστης (Min), (β) μέσης (Avg) και (γ) μέγιστης (Max) έντασης ηλεκτρικού πεδίου (E-Field) ως συνάρτηση της συχνότητας (Frequency) του πεδίου για μετρήσεις με οργανολογία τύπου NARDA SMR-3006 σε συσκευές κινητής τηλεφωνίας διαφόρων τύπων και παρόχων σε απόσταση 0 m από την κεραία των συσκευών.



Σχήμα 238: Διακυμάνσεις (α) ελάχιστης (Min), (β) μέσης (Avg) και (γ) μέγιστης (Max) έντασης ηλεκτρικού πεδίου (E-Field) ως συνάρτηση της συχνότητας (Frequency) του πεδίου για μετρήσεις με οργανολογία τύπου NARDA SMR-3006 σε συσκευή κινητής τηλεφωνίας τύπου SAMSUNG GALAXY A5 SM-A510F και παρόχου COSMOTE σε απόσταση 0m από την κεραία της συσκευής κατά τη διάρκεια αναμονής χρήσης της συσκευής και χωρίς την ενεργοποίηση δεδομένων κινητής τηλεφωνίας.

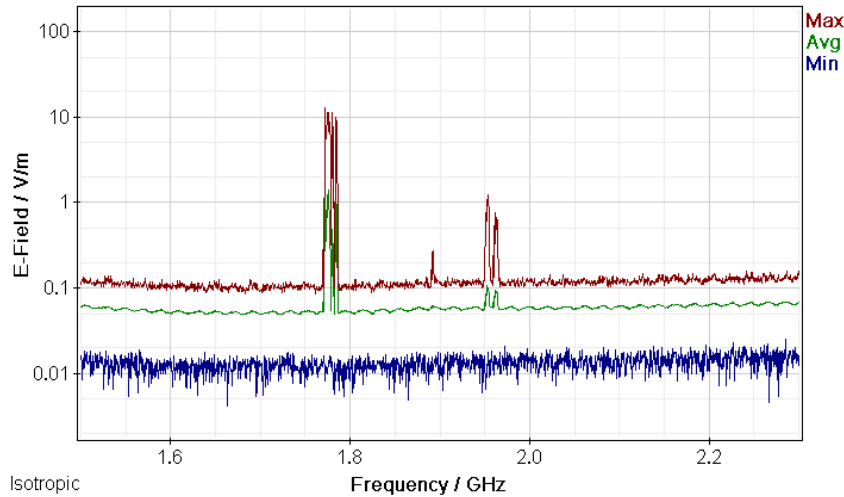


Σχήμα 239: Διακυμάνσεις (α) ελάχιστης (Min), (β) μέσης (Avg) και (γ) μέγιστης (Max) έντασης ηλεκτρικού πεδίου (E-Field) ως συνάρτηση της συχνότητας (Frequency) του πεδίου για μετρήσεις με οργανολογία τύπου NARDA SMR-3006 σε συσκευή κινητής τηλεφωνίας τύπου SAMSUNG GALAXY A5 SM-A510F και παρόχου COSMOTE σε απόσταση 0m από την κεραία της συσκευής κατά τη διάρκεια κλήσης χωρίς συνομιλία και ενεργοποίηση δεδομένων κινητής τηλεφωνίας

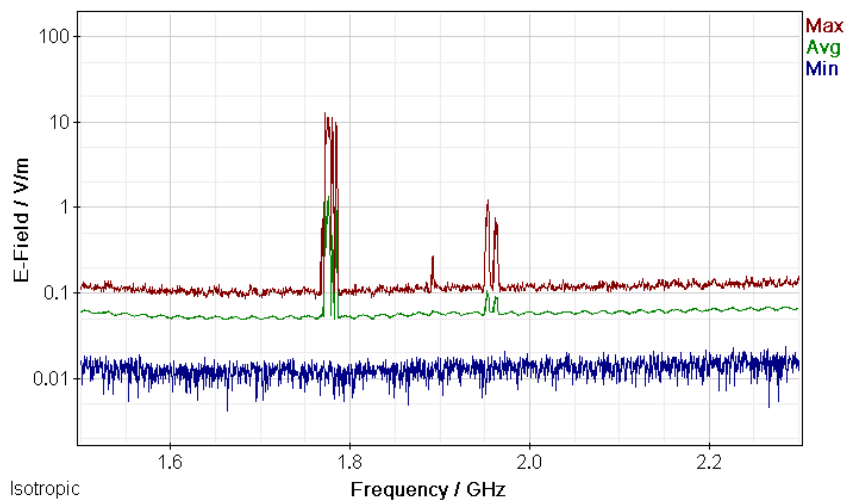


Σχήμα 240: Διακυμάνσεις (α) ελάχιστης (Min), (β) μέσης (Avg) και (γ) μέγιστης (Max) έντασης ηλεκτρικού πεδίου (E-Field) ως συνάρτηση της συχνότητας (Frequency) του πεδίου για μετρήσεις με οργανολογία τύπου NARDA SMR-3006 σε συσκευή κινητής τηλεφωνίας τύπου SAMSUNG GALAXY A5 SM-A510F και παρόχου COSMOTE σε απόσταση 0m από την κεραία της συσκευής κατά τη διάρκεια συνομιλίας δυόμιση λεπτών χωρίς ενεργοποίηση δεδομένων κινητής τηλεφωνίας.

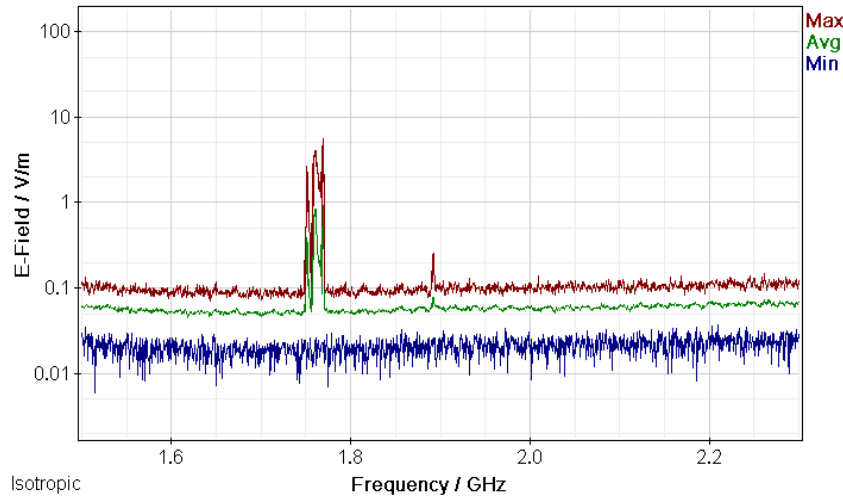
ΜΕΛΕΤΗ Η/Μ ΔΙΑΤΑΡΑΧΩΝ ΚΙΝΗΤΗΣ ΤΗΛΕΦΩΝΙΑΣ



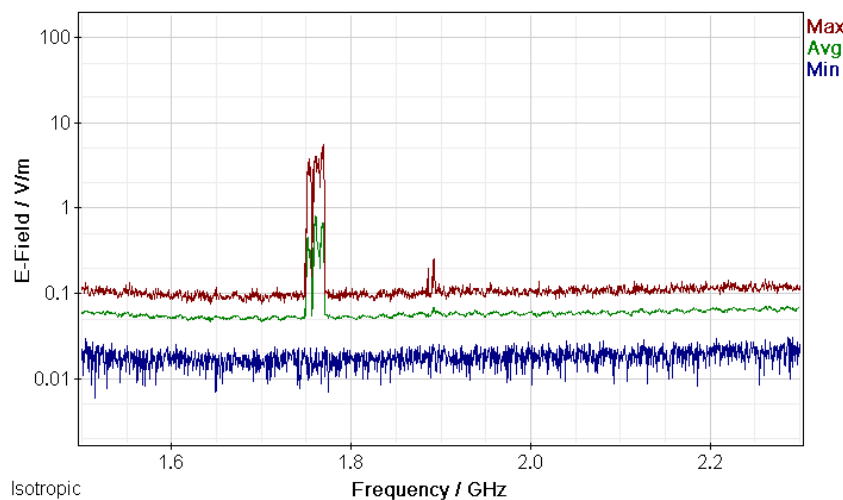
Σχήμα 241: Διακυμάνσεις (α) ελάχιστης (Min), (β) μέσης (Avg) και (γ) μέγιστης (Max) έντασης ηλεκτρικού πεδίου (E-Field) ως συνάρτηση της συχνότητας (Frequency) του πεδίου για μετρήσεις με οργανολογία τύπου NARDA SMR-3006 σε συσκευή κινητής τηλεφωνίας τύπου SAMSUNG GALAXY A5 SM-A510F και παρόχου COSMOTE σε απόσταση 0m από την κεραία της συσκευής κατά τη διάρκεια πεντάλεπτης συνομιλίας χωρίς ενεργοποίηση δεδομένων κινητής τηλεφωνίας.



Σχήμα 242: Διακυμάνσεις (α) ελάχιστης (Min), (β) μέσης (Avg) και (γ) μέγιστης (Max) έντασης ηλεκτρικού πεδίου (E-Field) ως συνάρτηση της συχνότητας (Frequency) του πεδίου για μετρήσεις με οργανολογία τύπου NARDA SMR-3006 σε συσκευή κινητής τηλεφωνίας τύπου SAMSUNG GALAXY A5 SM-A510F και παρόχου COMOTE σε απόσταση 0m από την κεραία της συσκευής κατά τη διάρκεια τερματισμού της κλήσης χωρίς ενεργοποίηση δεδομένων κινητής τηλεφωνίας.



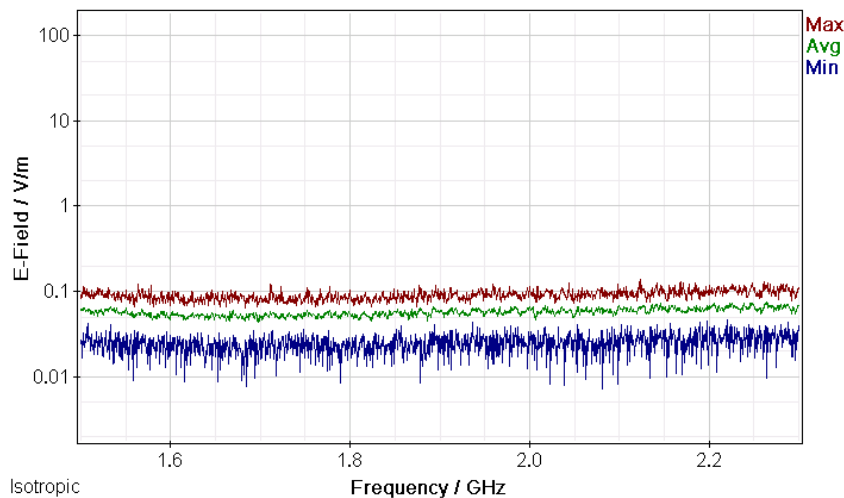
Σχήμα 243: Διακυμάνσεις (α) ελάχιστης (Min), (β) μέσης (Avg) και (γ) μέγιστης (Max) έντασης ηλεκτρικού πεδίου (E-Field) ως συνάρτηση της συχνότητας (Frequency) του πεδίου για μετρήσεις με οργάνολογία τύπου NARDA SMR-3006 σε συσκευή κινητής τηλεφωνίας τύπου SAMSUNG GALAXY A5 SM-A510F και παρόχου COSMOTE σε απόσταση 0m από την κεραία της συσκευής κατά τη διάρκεια αναμονής χρήσης της συσκευής με ενεργοποίηση των δεδομένων κινητής τηλεφωνίας χωρίς πρόσβαση στον παγόσμιο ιστό.



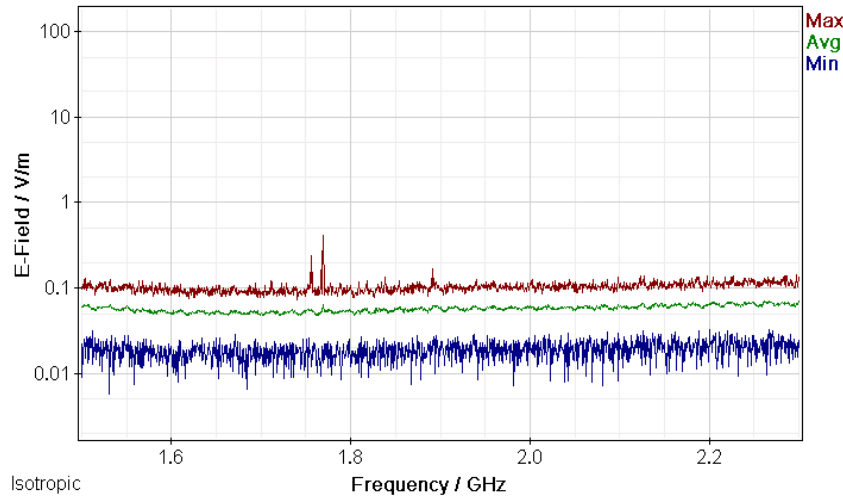
Σχήμα 244: Διακυμάνσεις (α) ελάχιστης (Min), (β) μέσης (Avg) και (γ) μέγιστης (Max) έντασης ηλεκτρικού πεδίου (E-Field) ως συνάρτηση της συχνότητας (Frequency) του πεδίου για μετρήσεις με οργάνολογία τύπου NARDA SMR-3006 σε συσκευή κινητής τηλεφωνίας τύπου SAMSUNG GALAXY A5 SM-A510F και παρόχου COSMOTE σε απόσταση 0m από την κεραία της συσκευής κατά τη διάρκεια αναμονής χρήσης της συσκευής με ενεργοποίηση των δεδομένων κινητής τηλεφωνίας και αναζήτησης δεδομένων στον παγόσμιο ιστό.

ΠΑΡΑΡΤΗΜΑ 2

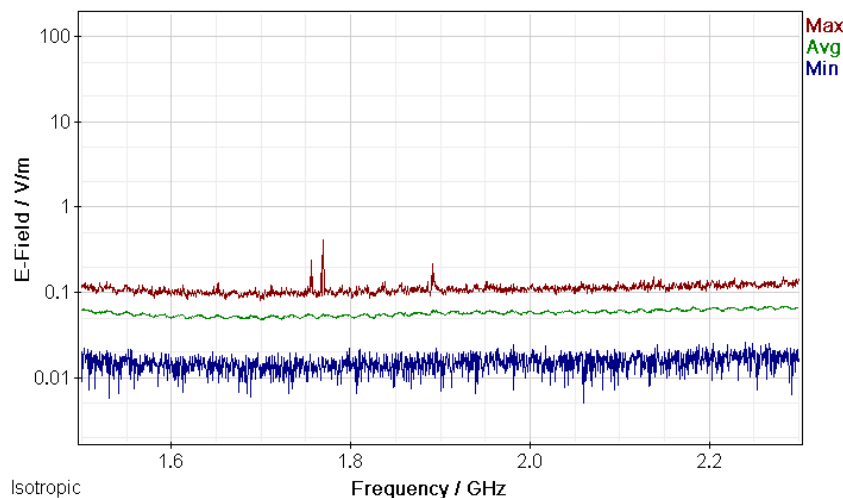
Μετρήσεις διακυμάνσεων (α) ελάχιστης (Min), (β) μέσης (Avg) και (γ) μέγιστης (Max) έντασης ηλεκτρικού πεδίου (E-Field) ως συνάρτηση της συχνότητας (Frequency) του πεδίου για μετρήσεις με οργάνολογία τύπου NARDA SMR-3006 σε συσκευές κινητής τηλεφωνίας διαφόρων τύπων και παρόχων σε απόσταση 1 m από την κεραία των συσκευών.



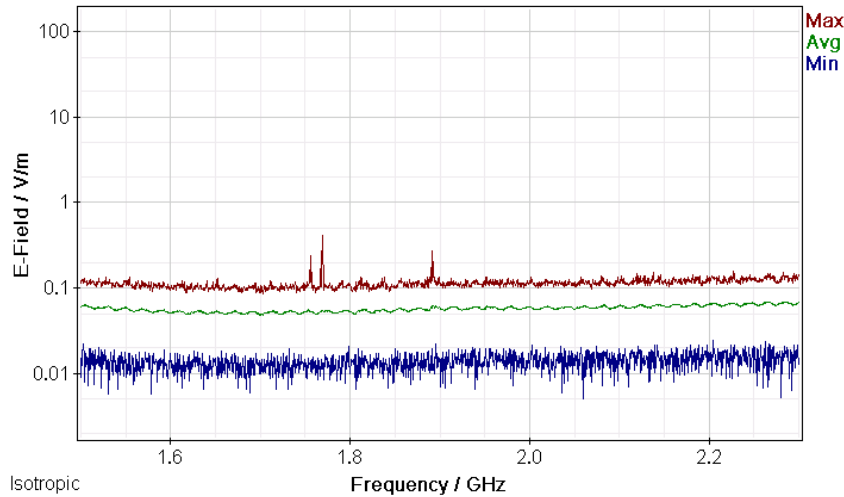
Σχήμα 245: Διακυμάνσεις (α) ελάχιστης (Min), (β) μέσης (Avg) και (γ) μέγιστης (Max) έντασης ηλεκτρικού πεδίου (E-Field) ως συνάρτηση της συχνότητας (Frequency) του πεδίου για μετρήσεις με οργάνολογία τύπου NARDA SMR-3006 σε συσκευή κινητής τηλεφωνίας τύπου SAMSUNG GALAXY A5 SM-A510F και παρόχου COSMOTE σε απόσταση 1m από την κεραία της συσκευής κατά τη διάρκεια αναμονής χρήσης της συσκευής και χωρίς την ενεργοποίηση δεδομένων κινητής τηλεφωνίας.



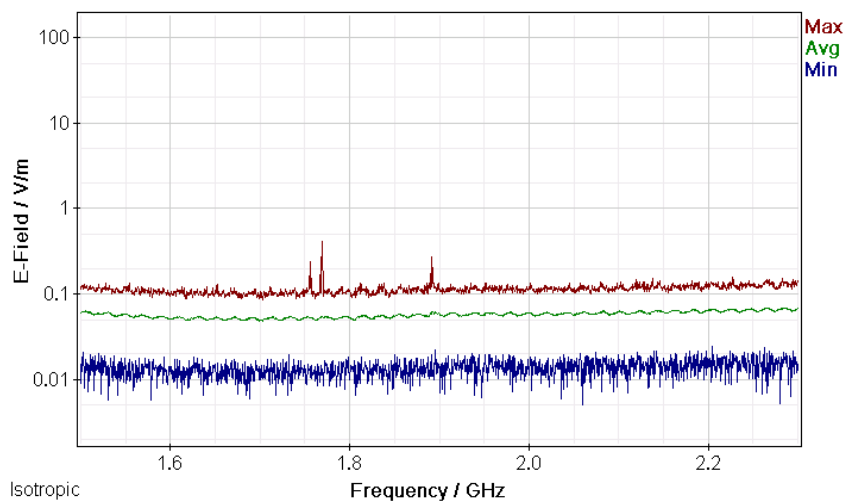
Σχήμα 246: Διακυμάνσεις (α) ελάχιστης (Min), (β) μέσης (Avg) και (γ) μέγιστης (Max) έντασης ηλεκτρικού πεδίου (E-Field) ως συνάρτηση της συχνότητας (Frequency) του πεδίου για μετρήσεις με οργάνολογία τύπου NARDA SMR-3006 σε συσκευή κινητής τηλεφωνίας τύπου SAMSUNG GALAXY A5 SM-A510F και παρόχου COSMOTE σε απόσταση 1m από την κεραία της συσκευής κατα τη διάρκεια κλήσης χωρίς συνομιλία και ενεργοποίηση δεδομένων κινητής τηλεφωνίας .



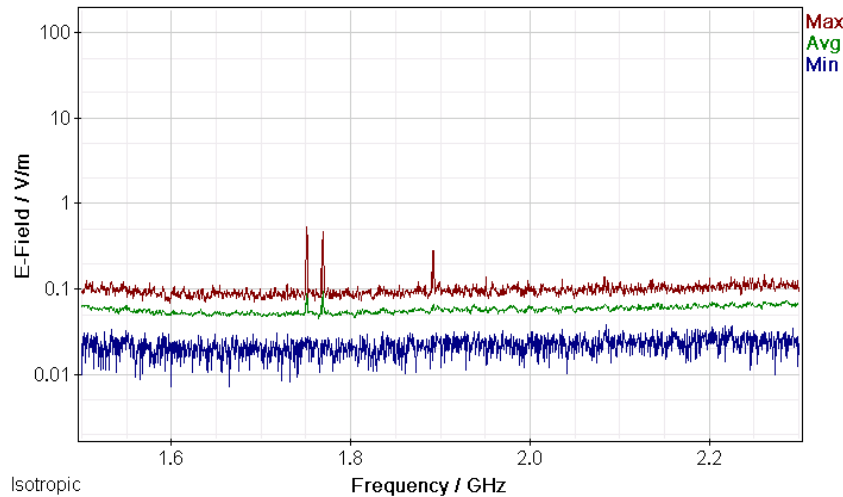
Σχήμα 247: Διακυμάνσεις (α) ελάχιστης (Min), (β) μέσης (Avg) και (γ) μέγιστης (Max) έντασης ηλεκτρικού πεδίου (E-Field) ως συνάρτηση της συχνότητας (Frequency) του πεδίου για μετρήσεις με οργάνολογία τύπου NARDA SMR-3006 σε συσκευή κινητής τηλεφωνίας τύπου SAMSUNG GALAXY A5 SM-A510F και παρόχου COSMOTE σε απόσταση 1m από την κεραία της συσκευής κατα τη διάρκεια συνομιλίας δυόμιση λεπτών χωρίς ενεργοποίηση δεδομένων κινητής τηλεφωνίας.



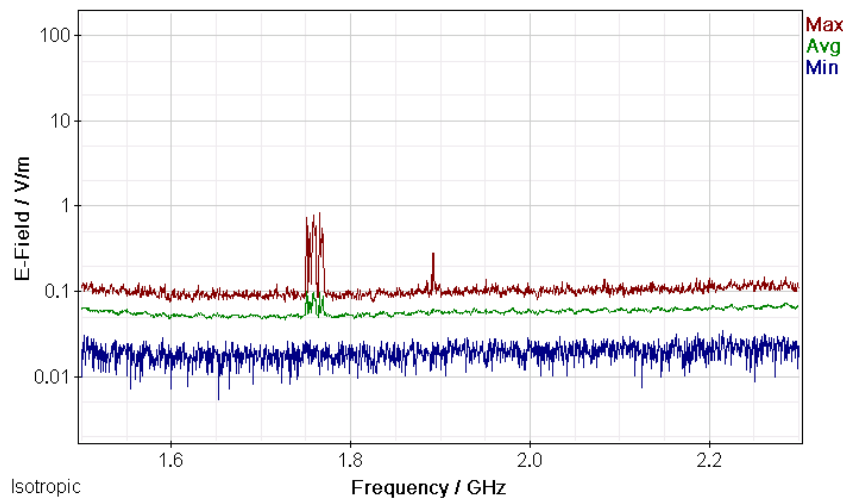
Σχήμα 248: Διακυμάνσεις (α) ελάχιστης (Min), (β) μέσης (Avg) και (γ) μέγιστης (Max) έντασης ηλεκτρικού πεδίου (E-Field) ως συνάρτηση της συχνότητας (Frequency) του πεδίου για μετρήσεις με οργάνολογία τύπου NARDA SMR-3006 σε συσκευή κινητής τηλεφωνίας τύπου SAMSUNG GALAXY A5 SM-A510F και παρόχου COSMOTE σε απόσταση 1m από την κεραία της συσκευής κατα τη διάρκεια πεντάλεπτης συνομιλίας χωρίς ενεργοποίηση δεδομένων κινητής τηλεφωνίας.



Σχήμα 249: Διακυμάνσεις (α) ελάχιστης (Min), (β) μέσης (Avg) και (γ) μέγιστης (Max) έντασης ηλεκτρικού πεδίου (E-Field) ως συνάρτηση της συχνότητας (Frequency) του πεδίου για μετρήσεις με οργάνολογία τύπου NARDA SMR-3006 σε συσκευή κινητής τηλεφωνίας τύπου SAMSUNG GALAXY A5 SM-A510F και παρόχου COSMOTE σε απόσταση 1m από την κεραία της συσκευής κατα τη διάρκεια τερματισμού της κλήσης χωρίς ενεργοποίηση δεδομένων κινητής τηλεφωνίας.



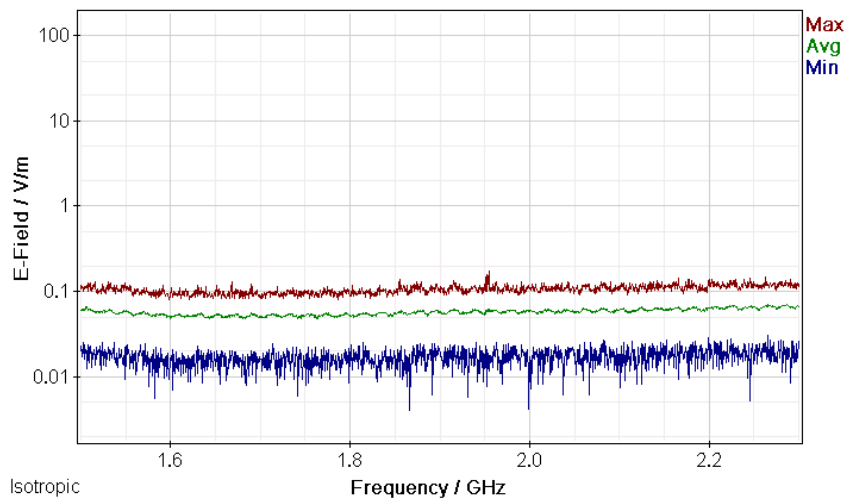
Σχήμα 250: Διακυμάνσεις (α) ελάχιστης (Min), (β) μέσης (Avg) και (γ) μέγιστης (Max) έντασης ηλεκτρικού πεδίου (E-Field) ως συνάρτηση της συχνότητας (Frequency) του πεδίου για μετρήσεις με οργανολογία τύπου NARDA SMR-3006 σε συσκευή κινητής τηλεφωνίας τύπου SAMSUNG GALAXY A5 SM-A510F και παρόχου COSMOTE σε απόσταση 1m από την κεραία της συσκευής κατά τη διάρκεια αναμονής χρήσης της συσκευής με ενεργοποίηση των δεδομένων κινητής τηλεφωνίας χωρίς πρόσβαση στον παγόσμιο ιστό.



Σχήμα 251: Διακυμάνσεις (α) ελάχιστης (Min), (β) μέσης (Avg) και (γ) μέγιστης (Max) έντασης ηλεκτρικού πεδίου (E-Field) ως συνάρτηση της συχνότητας (Frequency) του πεδίου για μετρήσεις με οργανολογία τύπου NARDA SMR-3006 σε συσκευή κινητής τηλεφωνίας τύπου SAMSUNG GALAXY A5 SM-A510F και παρόχου COSMOTE σε απόσταση 1m από την κεραία της συσκευής κατά τη διάρκεια αναμονής χρήσης της συσκευής με ενεργοποίηση των δεδομένων κινητής τηλεφωνίας και αναζήτησης δεδομένων στον παγόσμιο ιστό.

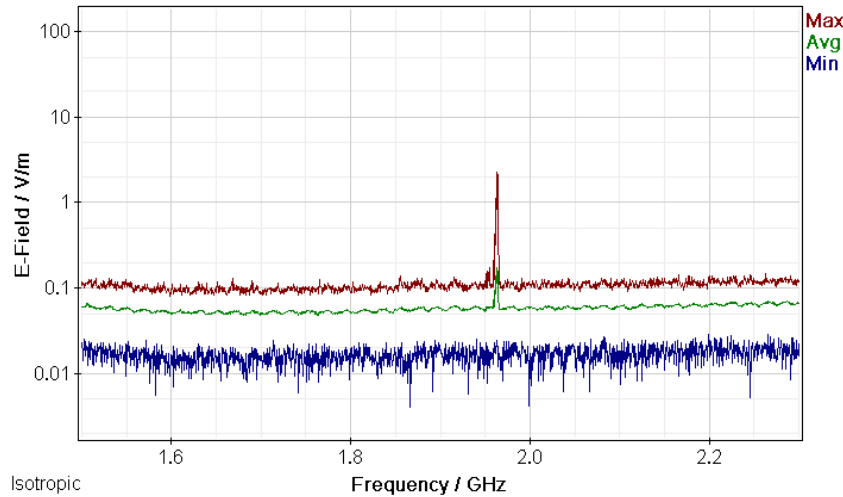
ΠΑΡΑΡΤΗΜΑ 1

Μετρήσεις διακυμάνσεων (α) ελάχιστης (Min), (β) μέσης (Avg) και (γ) μέγιστης (Max) έντασης ηλεκτρικού πεδίου (E-Field) ως συνάρτηση της συχνότητας (Frequency) του πεδίου για μετρήσεις με οργανολογία τύπου NARDA SMR-3006 σε συσκευές κινητής τηλεφωνίας διαφόρων τύπων και παρόχων σε απόσταση 0 m από την κεραία των συσκευών.

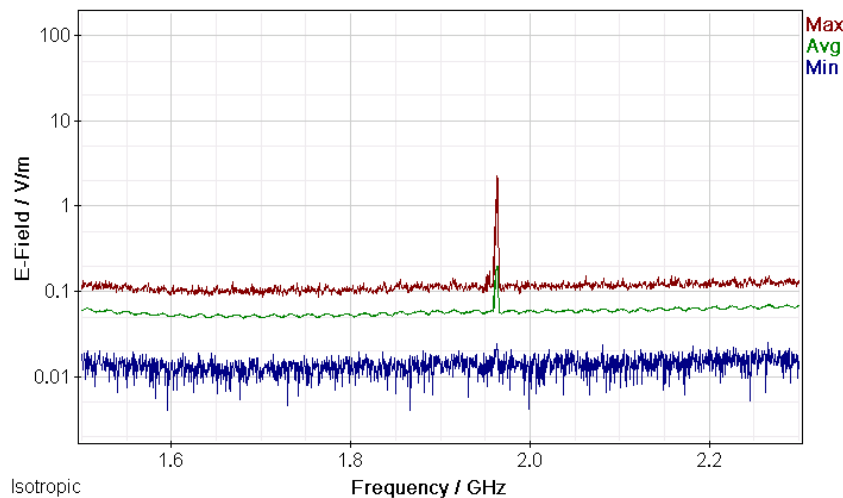


Σχήμα 252: Διακυμάνσεις (α) ελάχιστης (Min), (β) μέσης (Avg) και (γ) μέγιστης (Max) έντασης ηλεκτρικού πεδίου (E-Field) ως συνάρτηση της συχνότητας (Frequency) του πεδίου για μετρήσεις με οργανολογία τύπου NARDA SMR-3006 σε συσκευή κινητής τηλεφωνίας τύπου SAMSUNG GALAXY GT-I8190 και παρόχου COSMOTE σε απόσταση 0m από την κεραία της συσκευής κατά τη διάρκεια αναμονής χρήσης της συσκευής και χωρίς την ενεργοποίηση δεδομένων κινητής τηλεφωνίας.

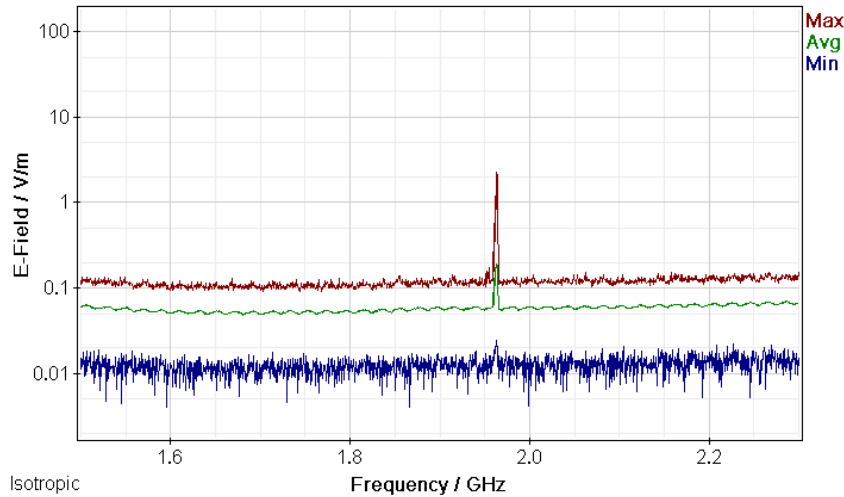
ΜΕΛΕΤΗ Η/Μ ΔΙΑΤΑΡΑΧΩΝ ΚΙΝΗΤΗΣ ΤΗΛΕΦΩΝΙΑΣ



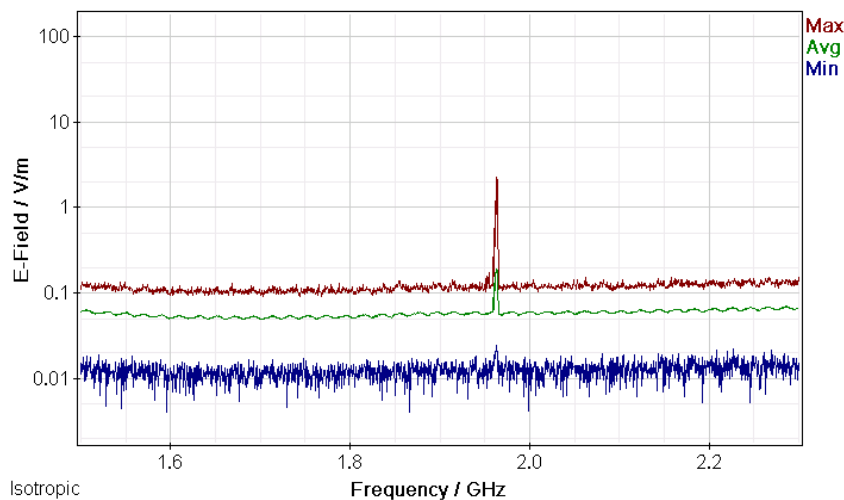
Σχήμα 253: Διακυμάνσεις (α) ελάχιστης (Min), (β) μέσης (Avg) και (γ) μέγιστης (Max) έντασης ηλεκτρικού πεδίου (E-Field) ως συνάρτηση της συχνότητας (Frequency) του πεδίου για μετρήσεις με οργανολογία τύπου NARDA SMR-3006 σε συσκευή κινητής τηλεφωνίας τύπου SAMSUNG GALAXY GT-I8190 και παρόχου COSMOTE σε απόσταση 0m από την κεραία της συσκευής κατά τη διάρκεια κλήσης χωρίς συνομιλία και ενεργοποίηση δεδομένων κινητής τηλεφωνίας.



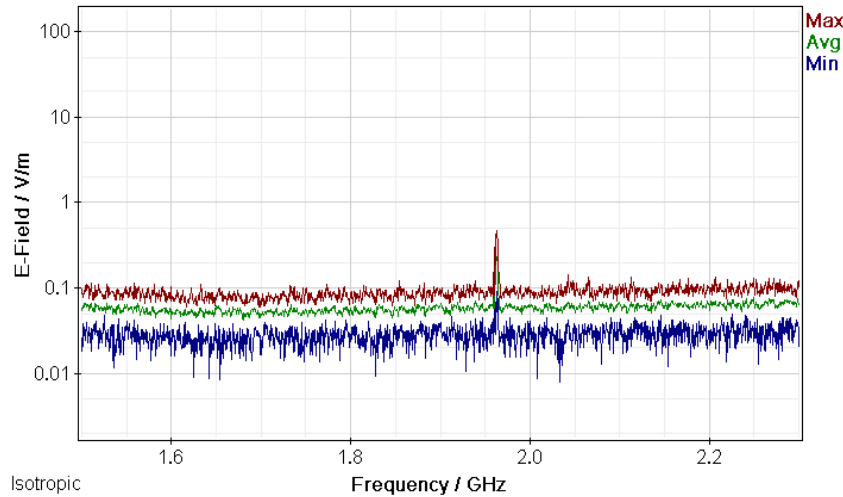
Σχήμα 254: Διακυμάνσεις (α) ελάχιστης (Min), (β) μέσης (Avg) και (γ) μέγιστης (Max) έντασης ηλεκτρικού πεδίου (E-Field) ως συνάρτηση της συχνότητας (Frequency) του πεδίου για μετρήσεις με οργανολογία τύπου NARDA SMR-3006 σε συσκευή κινητής τηλεφωνίας τύπου SAMSUNG GALAXY GT-I8190 και παρόχου COSMOTE σε απόσταση 0m από την κεραία της συσκευής κατά τη διάρκεια συνομιλίας δυόμιση λεπτών χωρίς ενεργοποίηση δεδομένων κινητής τηλεφωνίας.



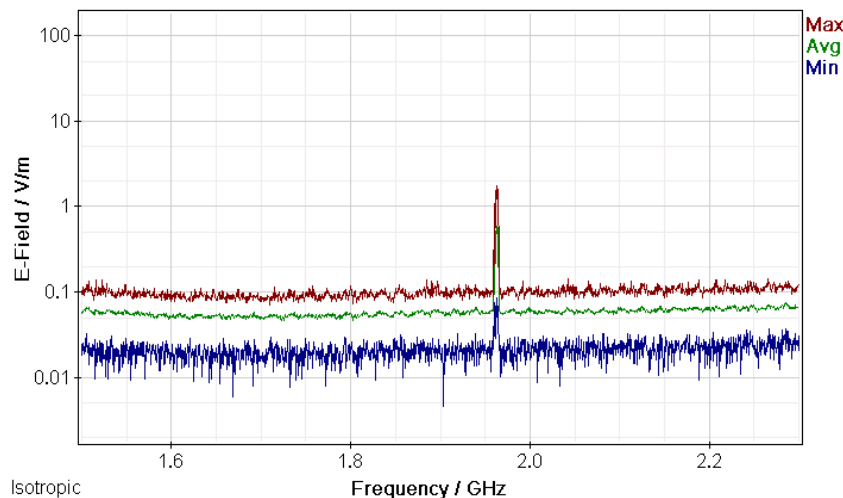
Σχήμα 255: Διακυμάνσεις (α) ελάχιστης (Min), (β) μέσης (Avg) και (γ) μέγιστης (Max) έντασης ηλεκτρικού πεδίου (E-Field) ως συνάρτηση της συχνότητας (Frequency) του πεδίου για μετρήσεις με οργάνολογία τύπου NARDA SMR-3006 σε συσκευή κινητής τηλεφωνίας τύπου SAMSUNG GALAXY GT-I8190 και παρόχου COSMOTE σε απόσταση 0m από την κεραία της συσκευής κατά τη διάρκεια πεντάλεπτης συνομιλίας χωρίς ενεργοποίηση δεδομένων κινητής τηλεφωνίας.



Σχήμα 256: Διακυμάνσεις (α) ελάχιστης (Min), (β) μέσης (Avg) και (γ) μέγιστης (Max) έντασης ηλεκτρικού πεδίου (E-Field) ως συνάρτηση της συχνότητας (Frequency) του πεδίου για μετρήσεις με οργάνολογία τύπου NARDA SMR-3006 σε συσκευή κινητής τηλεφωνίας τύπου SAMSUNG GALAXY GT-I8190 και παρόχου COMOTE σε απόσταση 0m από την κεραία της συσκευής κατά τη διάρκεια τερματισμού της κλήσης χωρίς ενεργοποίηση δεδομένων κινητής τηλεφωνίας.



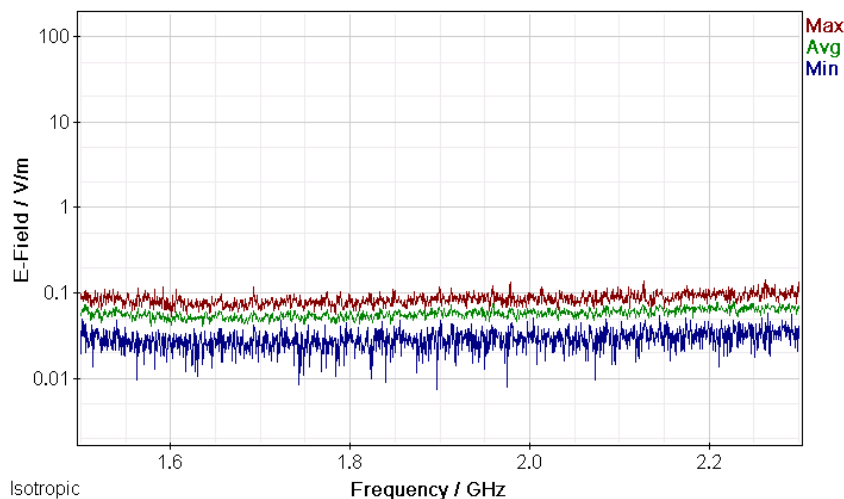
Σχήμα 257: Διακυμάνσεις (α) ελάχιστης (Min), (β) μέσης (Avg) και (γ) μέγιστης (Max) έντασης ηλεκτρικού πεδίου (E-Field) ως συνάρτηση της συχνότητας (Frequency) του πεδίου για μετρήσεις με οργανολογία τύπου NARDA SMR-3006 σε συσκευή κινητής τηλεφωνίας τύπου SAMSUNG GALAXY GT-I8190 και παρόχου COSMOTE σε απόσταση 0m από την κεραία της συσκευής κατά τη διάρκεια αναμονής χρήσης της συσκευής με ενεργοποίηση των δεδομένων κινητής τηλεφωνίας χωρίς πρόσβαση στον παγόσμιο ιστό.



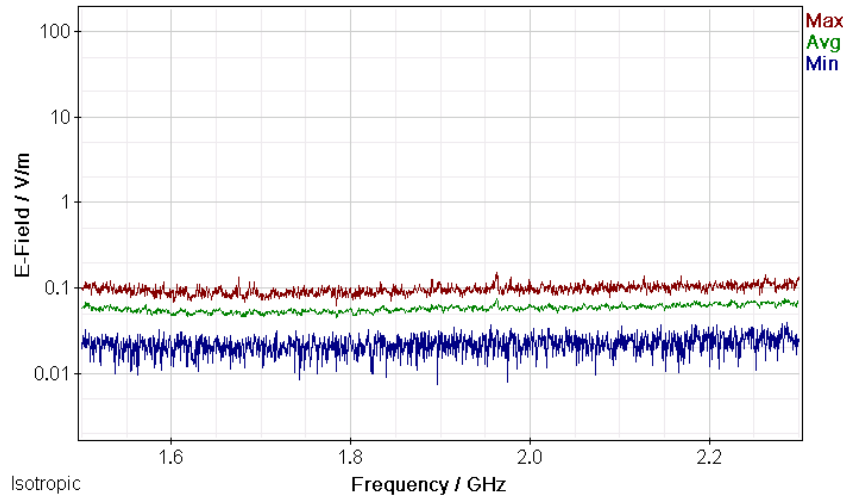
Σχήμα 258: Διακυμάνσεις (α) ελάχιστης (Min), (β) μέσης (Avg) και (γ) μέγιστης (Max) έντασης ηλεκτρικού πεδίου (E-Field) ως συνάρτηση της συχνότητας (Frequency) του πεδίου για μετρήσεις με οργανολογία τύπου NARDA SMR-3006 σε συσκευή κινητής τηλεφωνίας τύπου SAMSUNG GALAXY GT-I8190 και παρόχου COSMOTE σε απόσταση 0m από την κεραία της συσκευής κατά τη διάρκεια αναμονής χρήσης της συσκευής με ενεργοποίηση των δεδομένων κινητής τηλεφωνίας και αναζήτησης δεδομένων στον παγόσμιο ιστό.

ΠΑΡΑΡΤΗΜΑ 2

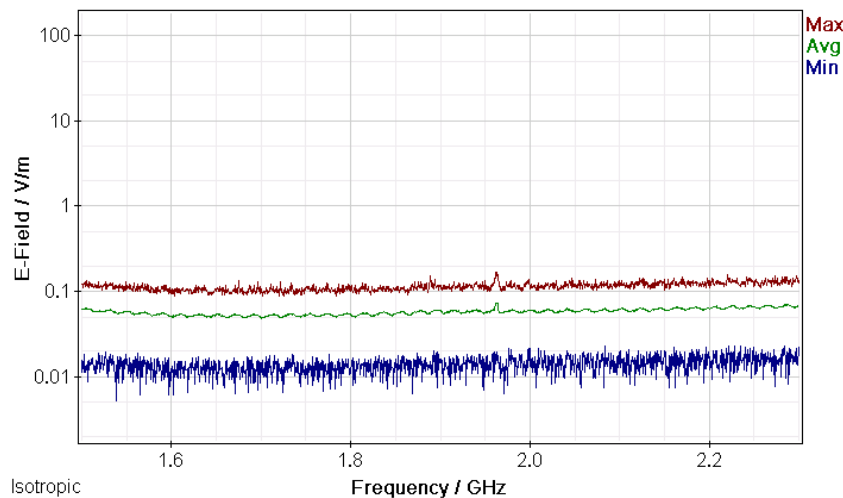
Μετρήσεις διακυμάνσεων (α) ελάχιστης (Min), (β) μέσης (Avg) και (γ) μέγιστης (Max) έντασης ηλεκτρικού πεδίου (E-Field) ως συνάρτηση της συχνότητας (Frequency) του πεδίου για μετρήσεις με οργάνολογία τύπου NARDA SMR-3006 σε συσκευές κινητής τηλεφωνίας διαφόρων τύπων και παρόχων σε απόσταση 1 m από την κεραία των συσκευών.



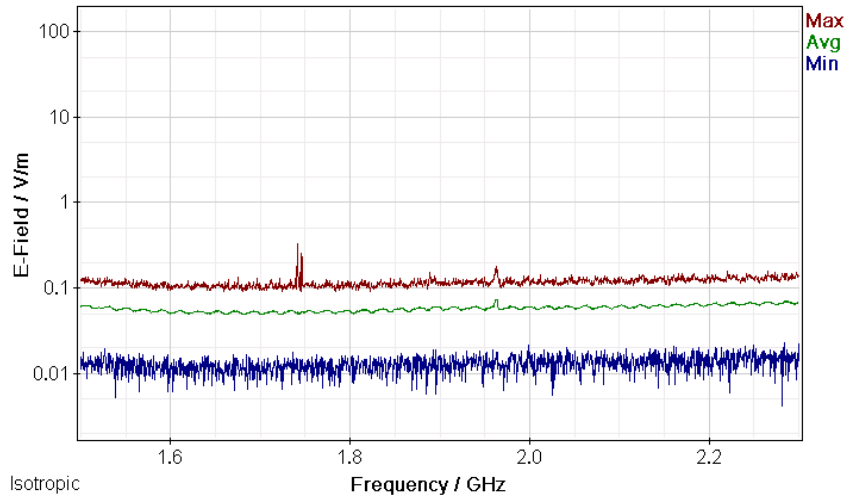
Σχήμα 259: Διακυμάνσεις (α) ελάχιστης (Min), (β) μέσης (Avg) και (γ) μέγιστης (Max) έντασης ηλεκτρικού πεδίου (E-Field) ως συνάρτηση της συχνότητας (Frequency) του πεδίου για μετρήσεις με οργάνολογία τύπου NARDA SMR-3006 σε συσκευή κινητής τηλεφωνίας τύπου SAMSUNG GALAXY GT-I8190 και παρόχου COSMOTE σε απόσταση 1m από την κεραία της συσκευής κατά τη διάρκεια αναμονής χρήσης της συσκευής και χωρίς την ενεργοποίηση δεδομένων κινητής τηλεφωνίας.



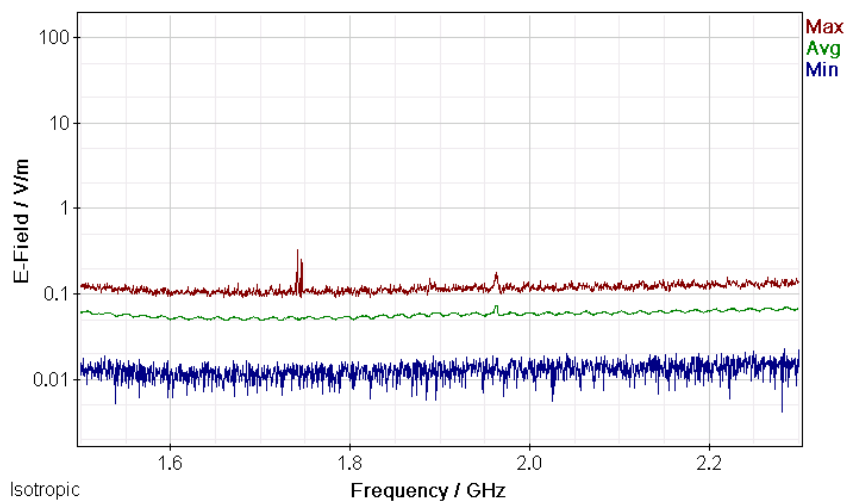
Σχήμα 260: Διακυμάνσεις (α) ελάχιστης (Min), (β) μέσης (Avg) και (γ) μέγιστης (Max) έντασης ηλεκτρικού πεδίου (E-Field) ως συνάρτηση της συχνότητας (Frequency) του πεδίου για μετρήσεις με οργανολογία τύπου NARDA SMR-3006 σε συσκευή κινητής τηλεφωνίας τύπου SAMSUNG GALAXY GT-I8190 και παρόχου COSMOTE σε απόσταση 1m από την κεραία της συσκευής κατα τη διάρκεια κλήσης χωρίς συνομιλία και ενεργοποίηση δεδομένων κινητής τηλεφωνίας .



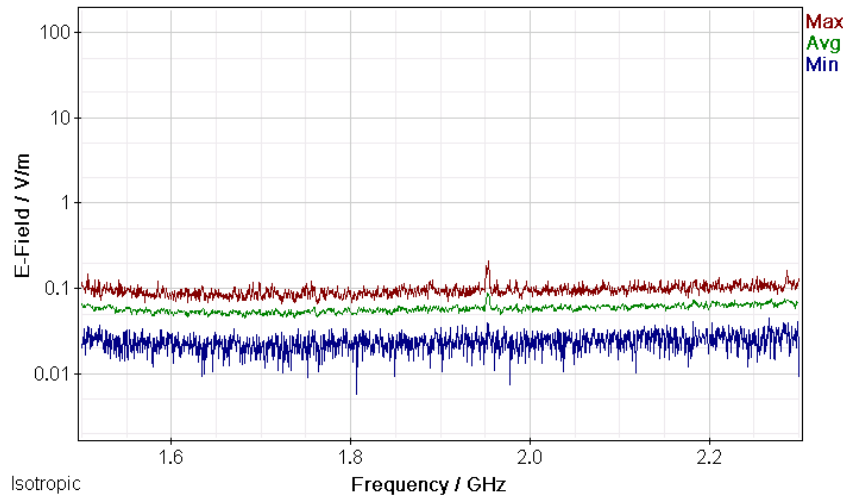
Σχήμα 261: Διακυμάνσεις (α) ελάχιστης (Min), (β) μέσης (Avg) και (γ) μέγιστης (Max) έντασης ηλεκτρικού πεδίου (E-Field) ως συνάρτηση της συχνότητας (Frequency) του πεδίου για μετρήσεις με οργανολογία τύπου NARDA SMR-3006 σε συσκευή κινητής τηλεφωνίας τύπου SAMSUNG GALAXY GT-I8190 και παρόχου COSMOTE σε απόσταση 1m από την κεραία της συσκευής κατα τη διάρκεια συνομιλίας δυόμιση λεπτών χωρίς ενεργοποίηση δεδομένων κινητής τηλεφωνίας.



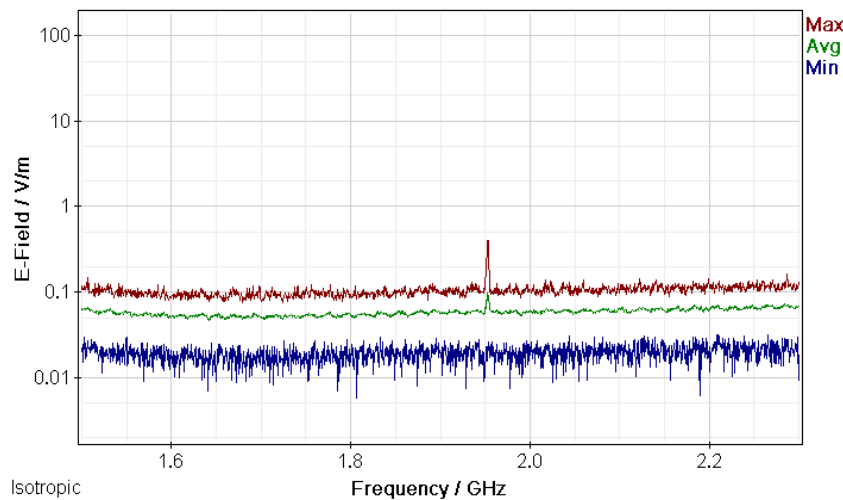
Σχήμα 262: Διακυμάνσεις (α) ελάχιστης (Min), (β) μέσης (Avg) και (γ) μέγιστης (Max) έντασης ηλεκτρικού πεδίου (E-Field) ως συνάρτηση της συχνότητας (Frequency) του πεδίου για μετρήσεις με οργάνολογία τύπου NARDA SMR-3006 σε συσκευή κινητής τηλεφωνίας τύπου SAMSUNG GALAXY GT-I8190 και παρόχου COSMOTE σε απόσταση 1m από την κεραία της συσκευής κατά τη διάρκεια πεντάλεπτης συνομιλίας χωρίς ενεργοποίηση δεδομένων κινητής τηλεφωνίας.



Σχήμα 263: Διακυμάνσεις (α) ελάχιστης (Min), (β) μέσης (Avg) και (γ) μέγιστης (Max) έντασης ηλεκτρικού πεδίου (E-Field) ως συνάρτηση της συχνότητας (Frequency) του πεδίου για μετρήσεις με οργάνολογία τύπου NARDA SMR-3006 σε συσκευή κινητής τηλεφωνίας τύπου SAMSUNG GALAXY GT-I8190 και παρόχου COSMOTE σε απόσταση 1m από την κεραία της συσκευής κατά τη διάρκεια τερματισμού της κλήσης χωρίς ενεργοποίηση δεδομένων κινητής τηλεφωνίας.



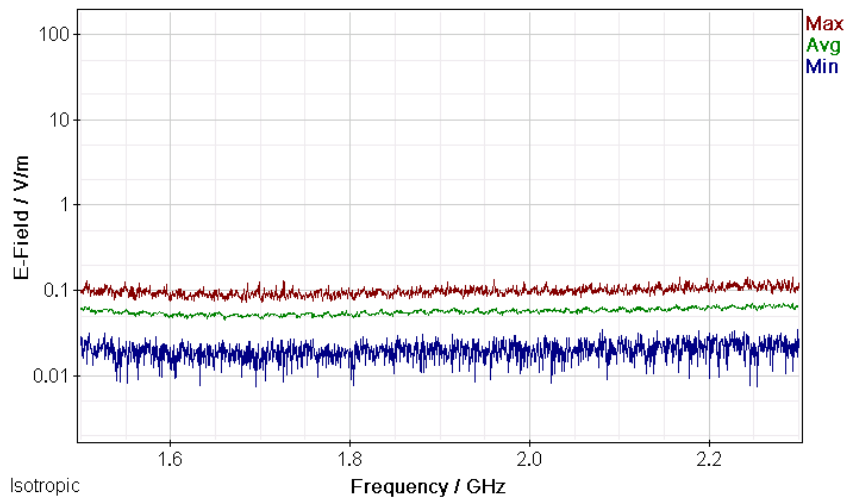
Σχήμα 264: Διακυμάνσεις (α) ελάχιστης (Min), (β) μέσης (Avg) και (γ) μέγιστης (Max) έντασης ηλεκτρικού πεδίου (E-Field) ως συνάρτηση της συχνότητας (Frequency) του πεδίου για μετρήσεις με οργάνολογία τύπου NARDA SMR-3006 σε συσκευή κινητής τηλεφωνίας τύπου SAMSUNG GALAXY GT-I8190 και παρόχου COSMOTE σε απόσταση 1m από την κεραία της συσκευής κατα τη διάρκεια αναμονής χρήσης της συσκευής με ενεργοποίηση των δεδομένων κινητής τηλεφωνίας χωρίς πρόσβαση στον παγώσιμο ιστό.



Σχήμα 265: Διακυμάνσεις (α) ελάχιστης (Min), (β) μέσης (Avg) και (γ) μέγιστης (Max) έντασης ηλεκτρικού πεδίου (E-Field) ως συνάρτηση της συχνότητας (Frequency) του πεδίου για μετρήσεις με οργάνολογία τύπου NARDA SMR-3006 σε συσκευή κινητής τηλεφωνίας τύπου SAMSUNG GALAXY GT-I8190 και παρόχου COSMOTE σε απόσταση 1m από την κεραία της συσκευής κατα τη διάρκεια αναμονής χρήσης της συσκευής με ενεργοποίηση των δεδομένων κινητής τηλεφωνίας και αναζήτησης δεδομένων στον παγώσιμο ιστό.

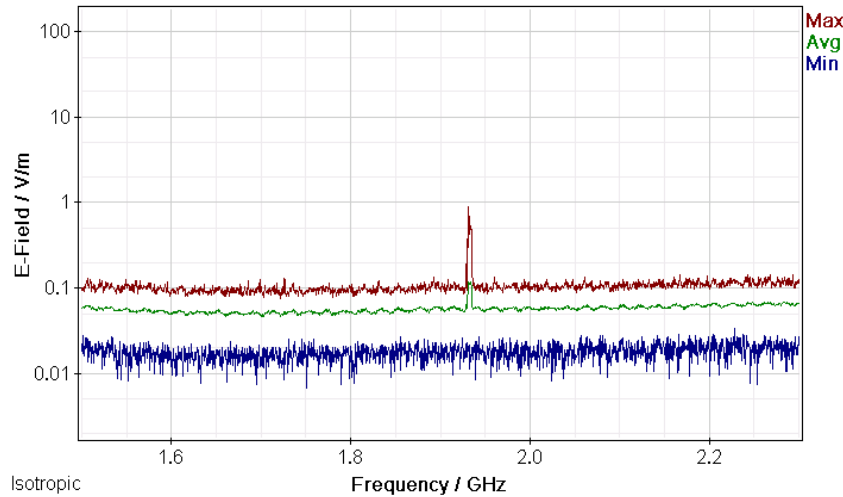
ΠΑΡΑΡΤΗΜΑ 1

Μετρήσεις διακυμάνσεων (α) ελάχιστης (Min), (β) μέσης (Avg) και (γ) μέγιστης (Max) έντασης ηλεκτρικού πεδίου (E-Field) ως συνάρτηση της συχνότητας (Frequency) του πεδίου για μετρήσεις με οργανολογία τύπου NARDA SMR-3006 σε συσκευές κινητής τηλεφωνίας διαφόρων τύπων και παρόχων σε απόσταση 0 m από την κεραία των συσκευών.

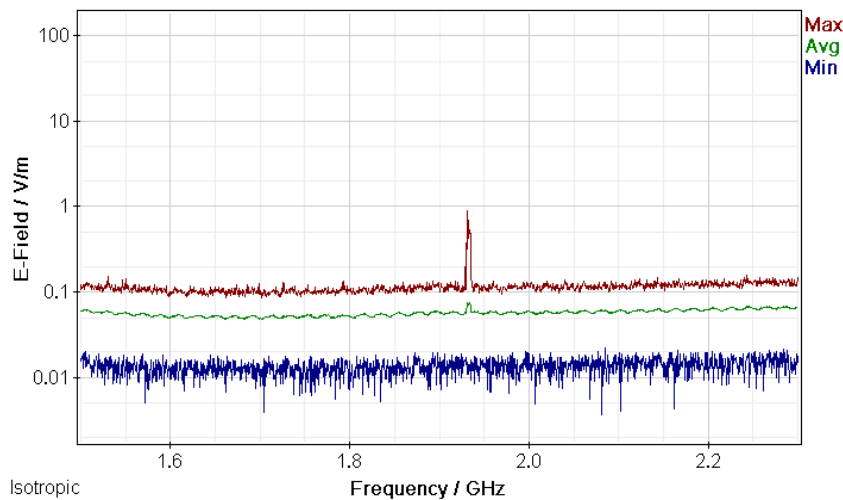


Σχήμα 266: Διακυμάνσεις (α) ελάχιστης (Min), (β) μέσης (Avg) και (γ) μέγιστης (Max) έντασης ηλεκτρικού πεδίου (E-Field) ως συνάρτηση της συχνότητας (Frequency) του πεδίου για μετρήσεις με οργανολογία τύπου NARDA SMR-3006 σε συσκευή κινητής τηλεφωνίας τύπου SAMSUNG GALAXY GT-I8190 και παρόχου VODAFONE σε απόσταση 0m από την κεραία της συσκευής κατά τη διάρκεια αναμονής χρήσης της συσκευής και χωρίς την ενεργοποίηση δεδομένων κινητής τηλεφωνίας.

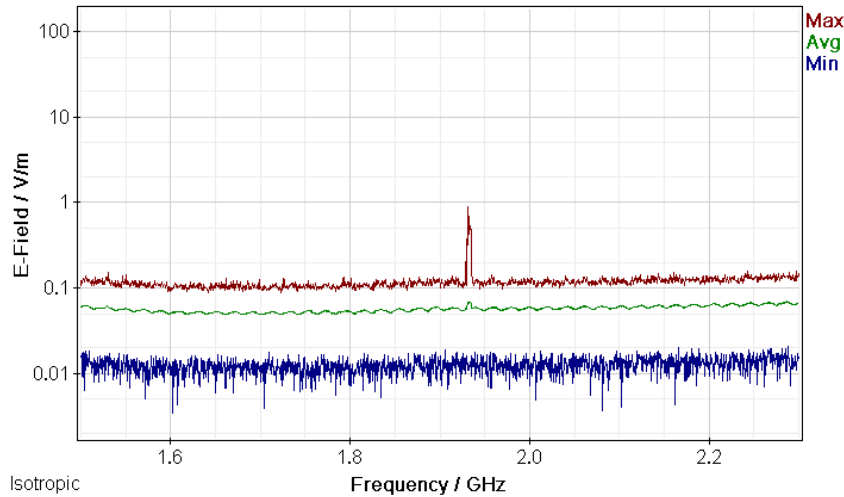
ΜΕΛΕΤΗ Η/Μ ΔΙΑΤΑΡΑΧΩΝ ΚΙΝΗΤΗΣ ΤΗΛΕΦΩΝΙΑΣ



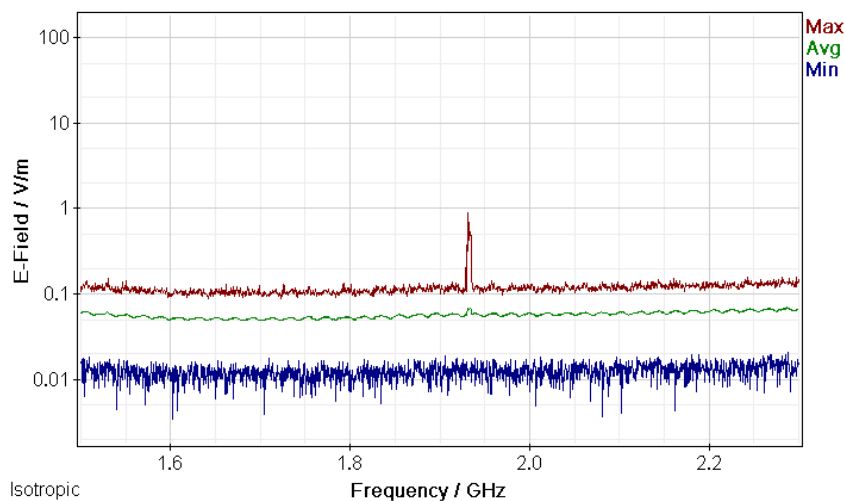
Σχήμα 267: Διακυμάνσεις (α) ελάχιστης (Min), (β) μέσης (Avg) και (γ) μέγιστης (Max) έντασης ηλεκτρικού πεδίου (E-Field) ως συνάρτηση της συχνότητας (Frequency) του πεδίου για μετρήσεις με οργάνολογία τύπου NARDA SMR-3006 σε συσκευή κινητής τηλεφωνίας τύπου SAMSUNG GALAXY GT-I8190 και παρόχου VODAFONE σε απόσταση 0m από την κεραία της συσκευής κατά τη διάρκεια κλήσης χωρίς συνομιλία και ενεργοποίηση δεδομένων κινητής τηλεφωνίας.



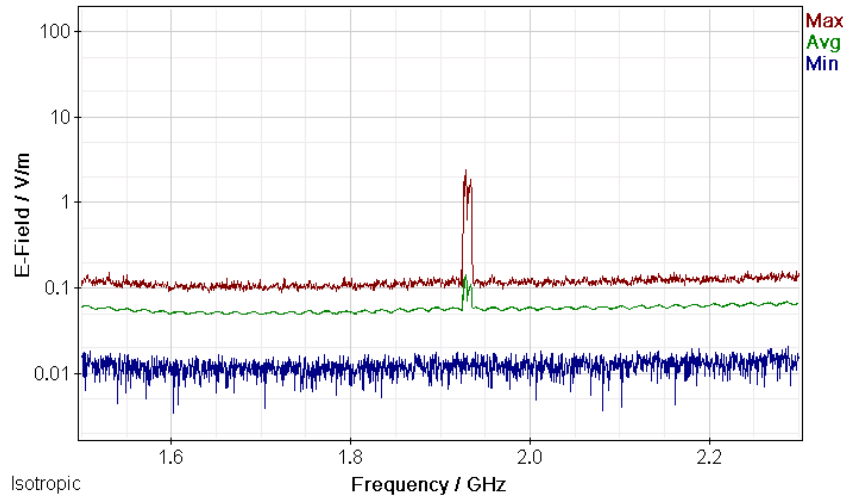
Σχήμα 268: Διακυμάνσεις (α) ελάχιστης (Min), (β) μέσης (Avg) και (γ) μέγιστης (Max) έντασης ηλεκτρικού πεδίου (E-Field) ως συνάρτηση της συχνότητας (Frequency) του πεδίου για μετρήσεις με οργάνολογία τύπου NARDA SMR-3006 σε συσκευή κινητής τηλεφωνίας τύπου SAMSUNG GALAXY GT-I8190 και παρόχου VODAFONE σε απόσταση 0m από την κεραία της συσκευής κατά τη διάρκεια συνομιλίας δυόμιση λεπτών χωρίς ενεργοποίηση δεδομένων κινητής τηλεφωνίας.



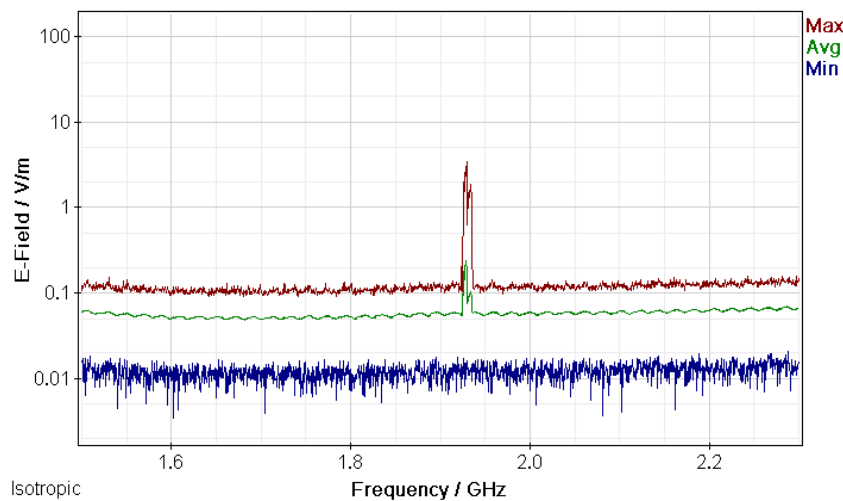
Σχήμα 269: Διακυμάνσεις (α) ελάχιστης (Min), (β) μέσης (Avg) και (γ) μέγιστης (Max) έντασης ηλεκτρικού πεδίου (E-Field) ως συνάρτηση της συχνότητας (Frequency) του πεδίου για μετρήσεις με οργάνολογία τύπου NARDA SMR-3006 σε συσκευή κινητής τηλεφωνίας τύπου SAMSUNG GALAXY GT-I8190 και παρόχου VODAFONE σε απόσταση 0m από την κεραία της συσκευής κατά τη διάρκεια πεντάλεπτης συνομιλίας χωρίς ενεργοποίηση δεδομένων κινητής τηλεφωνίας.



Σχήμα 270: Διακυμάνσεις (α) ελάχιστης (Min), (β) μέσης (Avg) και (γ) μέγιστης (Max) έντασης ηλεκτρικού πεδίου (E-Field) ως συνάρτηση της συχνότητας (Frequency) του πεδίου για μετρήσεις με οργάνολογία τύπου NARDA SMR-3006 σε συσκευή κινητής τηλεφωνίας τύπου SAMSUNG GALAXY GT-I8190 και παρόχου VODAFONE σε απόσταση 0m από την κεραία της συσκευής κατά τη διάρκεια τερματισμού της κλήσης χωρίς ενεργοποίηση δεδομένων κινητής τηλεφωνίας.



Σχήμα 271: Διακυμάνσεις (α) ελάχιστης (Min), (β) μέσης (Avg) και (γ) μέγιστης (Max) έντασης ηλεκτρικού πεδίου (E-Field) ως συνάρτηση της συχνότητας (Frequency) του πεδίου για μετρήσεις με οργανολογία τύπου NARDA SMR-3006 σε συσκευή κινητής τηλεφωνίας τύπου SAMSUNG GALAXY GT-I8190 και παρόχου VODAFONE σε απόσταση 0m από την κεραία της συσκευής κατά τη διάρκεια αναμονής χρήσης της συσκευής με ενεργοποίηση των δεδομένων κινητής τηλεφωνίας χωρίς πρόσβαση στον παγώσιμο ιστό.



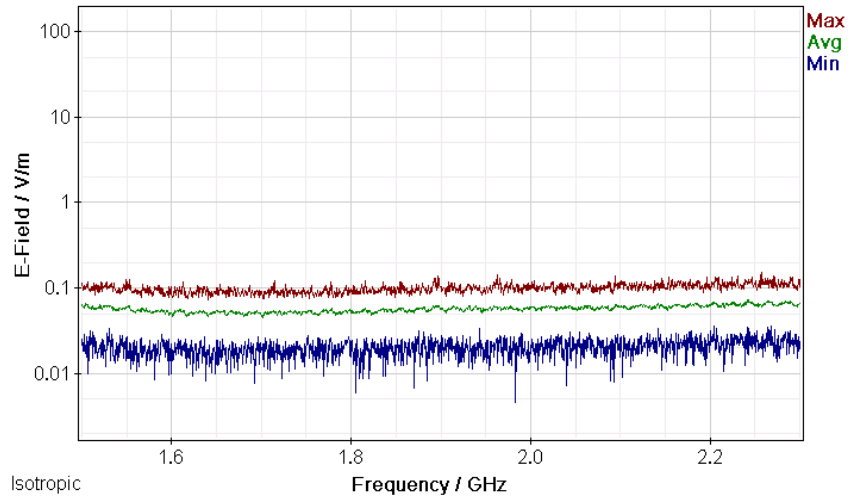
Σχήμα 272: Διακυμάνσεις (α) ελάχιστης (Min), (β) μέσης (Avg) και (γ) μέγιστης (Max) έντασης ηλεκτρικού πεδίου (E-Field) ως συνάρτηση της συχνότητας (Frequency) του πεδίου για μετρήσεις με οργανολογία τύπου NARDA SMR-3006 σε συσκευή κινητής τηλεφωνίας τύπου SAMSUNG GALAXY GT-I8190 και παρόχου VODAFONE σε απόσταση 0m από την κεραία της συσκευής κατά τη διάρκεια αναμονής χρήσης της συσκευής με ενεργοποίηση των δεδομένων κινητής τηλεφωνίας και αναζήτησης δεδομένων στον παγώσιμο ιστό.

ΠΑΡΑΡΤΗΜΑ 2

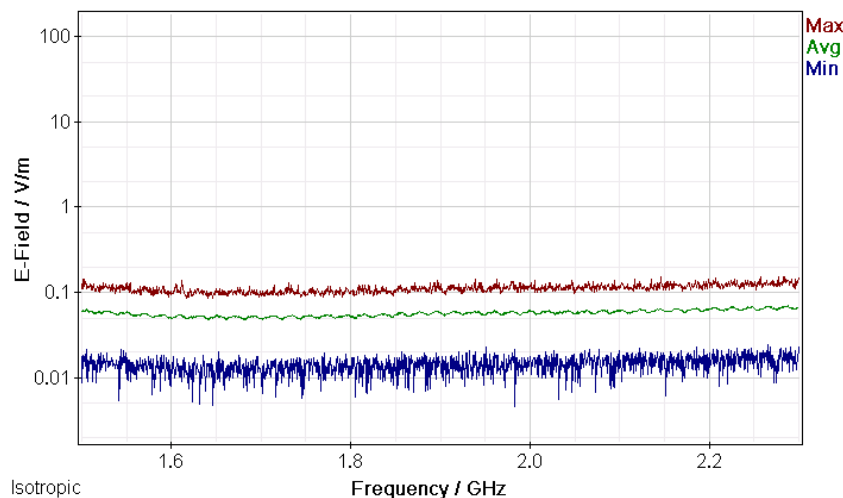
Μετρήσεις διακυμάνσεων (α) ελάχιστης (Min), (β) μέσης (Avg) και (γ) μέγιστης (Max) έντασης ηλεκτρικού πεδίου (E-Field) ως συνάρτηση της συχνότητας (Frequency) του πεδίου για μετρήσεις με οργανολογία τύπου NARDA SMR-3006 σε συσκευές κινητής τηλεφωνίας διαφόρων τύπων και παρόχων σε απόσταση 1 m από την κεραία των συσκευών.



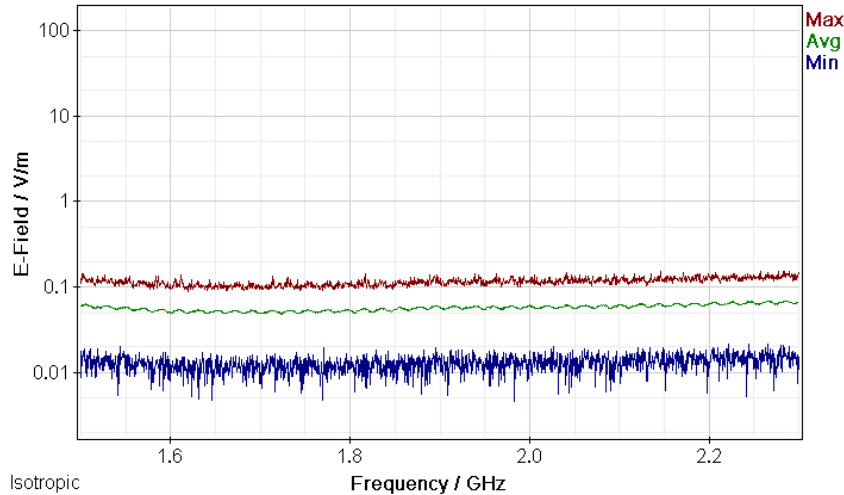
Σχήμα 273: Διακυμάνσεις (α) ελάχιστης (Min), (β) μέσης (Avg) και (γ) μέγιστης (Max) έντασης ηλεκτρικού πεδίου (E-Field) ως συνάρτηση της συχνότητας (Frequency) του πεδίου για μετρήσεις με οργανολογία τύπου NARDA SMR-3006 σε συσκευή κινητής τηλεφωνίας τύπου SAMSUNG GALAXY GT-I8190 και παρόχου VODAFONE σε απόσταση 1m από την κεραία της συσκευής κατά τη διάρκεια αναμονής χρήσης της συσκευής και χωρίς την ενεργοποίηση δεδομένων κινητής τηλεφωνίας.



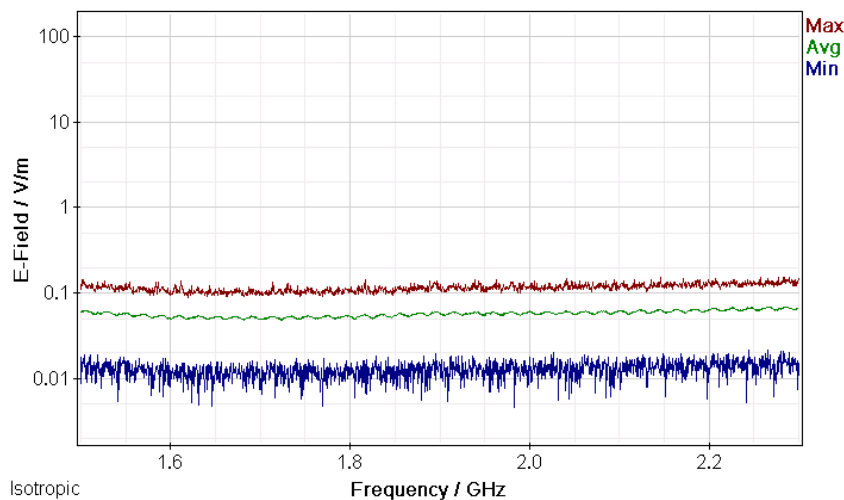
Σχήμα 274: Διακυμάνσεις (α) ελάχιστης (Min), (β) μέσης (Avg) και (γ) μέγιστης (Max) έντασης ηλεκτρικού πεδίου (E-Field) ως συνάρτηση της συχνότητας (Frequency) του πεδίου για μετρήσεις με οργανολογία τύπου NARDA SMR-3006 σε συσκευή κινητής τηλεφωνίας τύπου SAMSUNG GALAXY GT-I8190 και παρόχου VODAFONE σε απόσταση 1m από την κεραία της συσκευής κατα τη διάρκεια κλήσης χωρίς συνομιλία και ενεργοποίηση δεδομένων κινητής τηλεφωνίας



Σχήμα 275: Διακυμάνσεις (α) ελάχιστης (Min), (β) μέσης (Avg) και (γ) μέγιστης (Max) έντασης ηλεκτρικού πεδίου (E-Field) ως συνάρτηση της συχνότητας (Frequency) του πεδίου για μετρήσεις με οργανολογία τύπου NARDA SMR-3006 σε συσκευή κινητής τηλεφωνίας τύπου SAMSUNG GALAXY GT-I8190 και παρόχου VODAFONE σε απόσταση 1m από την κεραία της συσκευής κατα τη διάρκεια συνομιλίας δυόμιση λεπτών χωρίς ενεργοποίηση δεδομένων κινητής τηλεφωνίας.

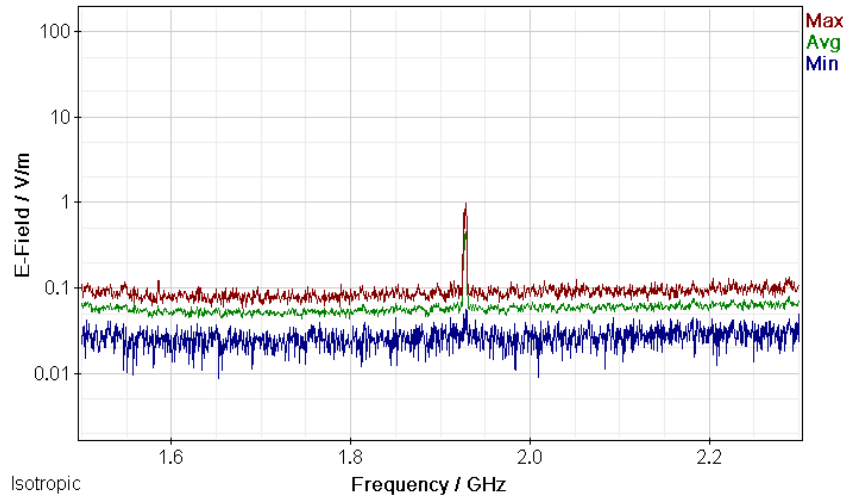


Σχήμα 276: Διακυμάνσεις (α) ελάχιστης (Min), (β) μέσης (Avg) και (γ) μέγιστης (Max) έντασης ηλεκτρικού πεδίου (E-Field) ως συνάρτηση της συχνότητας (Frequency) του πεδίου για μετρήσεις με οργανολογία τύπου NARDA SMR-3006 σε συσκευή κινητής τηλεφωνίας τύπου SAMSUNG GALAXY GT-I8190 και παρόχου VODAFONE σε απόσταση 1m από την κεραία της συσκευής κατα τη διάρκεια πεντάλεπτης συνομιλίας χωρίς ενεργοποίηση δεδομένων κινητής τηλεφωνίας.

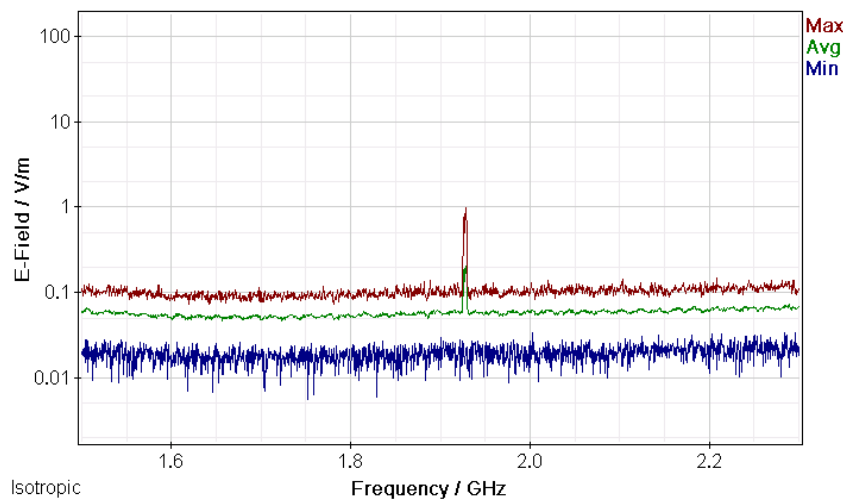


Σχήμα 277: Διακυμάνσεις (α) ελάχιστης (Min), (β) μέσης (Avg) και (γ) μέγιστης (Max) έντασης ηλεκτρικού πεδίου (E-Field) ως συνάρτηση της συχνότητας (Frequency) του πεδίου για μετρήσεις με οργανολογία τύπου NARDA SMR-3006 σε συσκευή κινητής τηλεφωνίας τύπου SAMSUNG GALAXY GT-I8190 και παρόχου VODAFONE σε απόσταση 1m από την κεραία της συσκευής κατα τη διάρκεια τερματισμού της κλήσης χωρίς ενεργοποίηση δεδομένων κινητής τηλεφωνίας.

ΜΕΛΕΤΗ Η/Μ ΔΙΑΤΑΡΑΧΩΝ ΚΙΝΗΤΗΣ ΤΗΛΕΦΩΝΙΑΣ



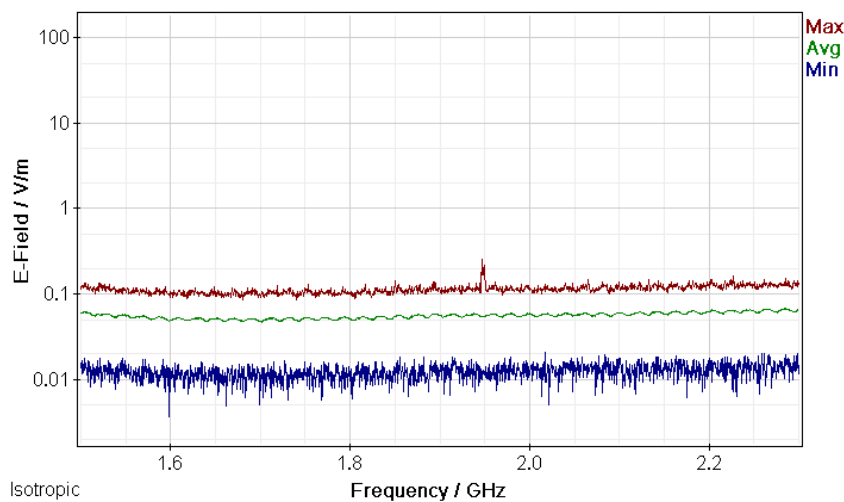
Σχήμα 278: Διακυμάνσεις (α) ελάχιστης (Min), (β) μέσης (Avg) και (γ) μέγιστης (Max) έντασης ηλεκτρικού πεδίου (E-Field) ως συνάρτηση της συχνότητας (Frequency) του πεδίου για μετρήσεις με οργανολογία τύπου NARDA SMR-3006 σε συσκευή κινητής τηλεφωνίας τύπου SAMSUNG GALAXY GT-I8190 και παρόχου VODAFONE σε απόσταση 1m από την κεραία της συσκευής κατά τη διάρκεια αναμονής χρήσης της συσκευής με ενεργοποίηση των δεδομένων κινητής τηλεφωνίας χωρίς πρόσβαση στον παγόσμιο ιστό.



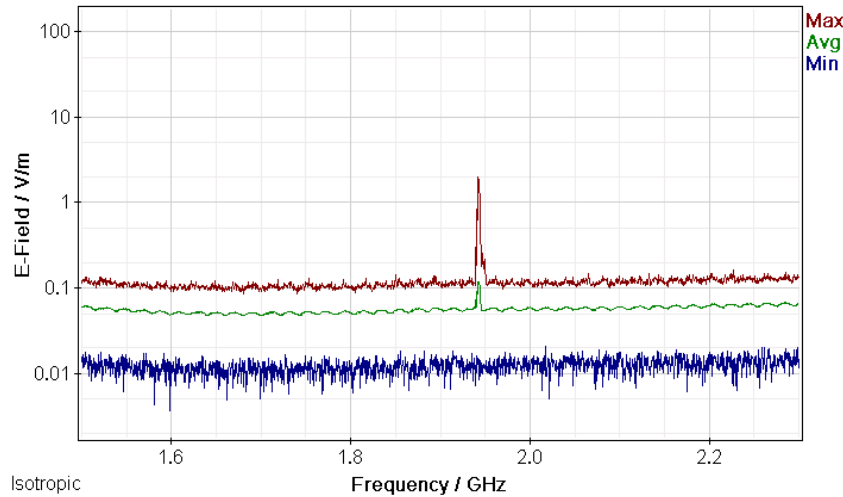
Σχήμα 279: Διακυμάνσεις (α) ελάχιστης (Min), (β) μέσης (Avg) και (γ) μέγιστης (Max) έντασης ηλεκτρικού πεδίου (E-Field) ως συνάρτηση της συχνότητας (Frequency) του πεδίου για μετρήσεις με οργανολογία τύπου NARDA SMR-3006 σε συσκευή κινητής τηλεφωνίας τύπου SAMSUNG GALAXY GT-I8190 και παρόχου VODAFONE σε απόσταση 1m από την κεραία της συσκευής κατά τη διάρκεια αναμονής χρήσης της συσκευής με ενεργοποίηση των δεδομένων κινητής τηλεφωνίας και αναζήτησης δεδομένων στον παγόσμιο ιστό.

ΠΑΡΑΡΤΗΜΑ 1

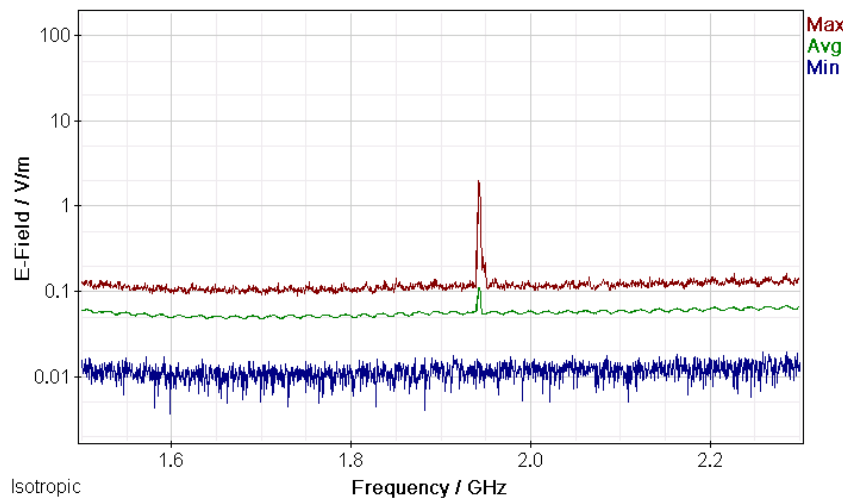
Μετρήσεις διακυμάνσεων (α) ελάχιστης (Min), (β) μέσης (Avg) και (γ) μέγιστης (Max) έντασης ηλεκτρικού πεδίου (E-Field) ως συνάρτηση της συχνότητας (Frequency) του πεδίου για μετρήσεις με οργανολογία τύπου NARDA SMR-3006 σε συσκευές κινητής τηλεφωνίας διαφόρων τύπων και παρόχων σε απόσταση 0 m από την κεραία των συσκευών.



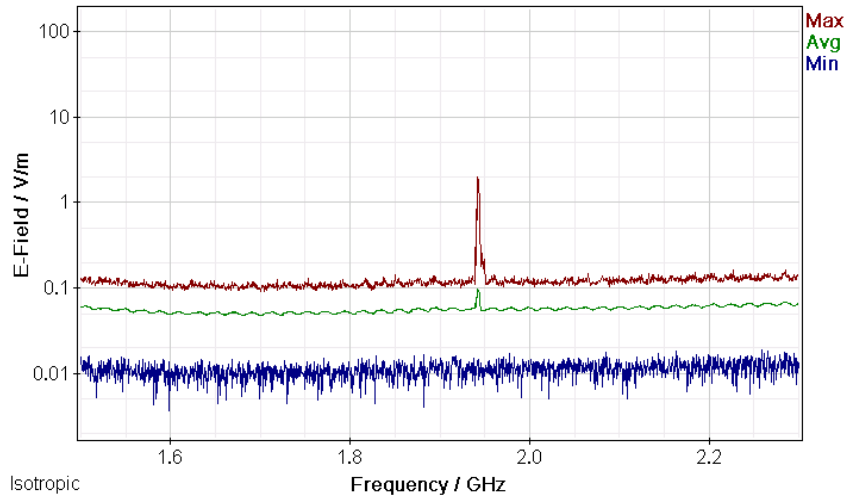
Σχήμα 280: Διακυμάνσεις (α) ελάχιστης (Min), (β) μέσης (Avg) και (γ) μέγιστης (Max) έντασης ηλεκτρικού πεδίου (E-Field) ως συνάρτηση της συχνότητας (Frequency) του πεδίου για μετρήσεις με οργανολογία τύπου NARDA SMR-3006 σε συσκευή κινητής τηλεφωνίας τύπου SAMSUNG GALAXY GT-I8190 και παρόχου WIND σε απόσταση 0m από την κεραία της συσκευής κατά τη διάρκεια αναμονής χρήσης της συσκευής και χωρίς την ενεργοποίηση δεδομένων κινητής τηλεφωνίας.



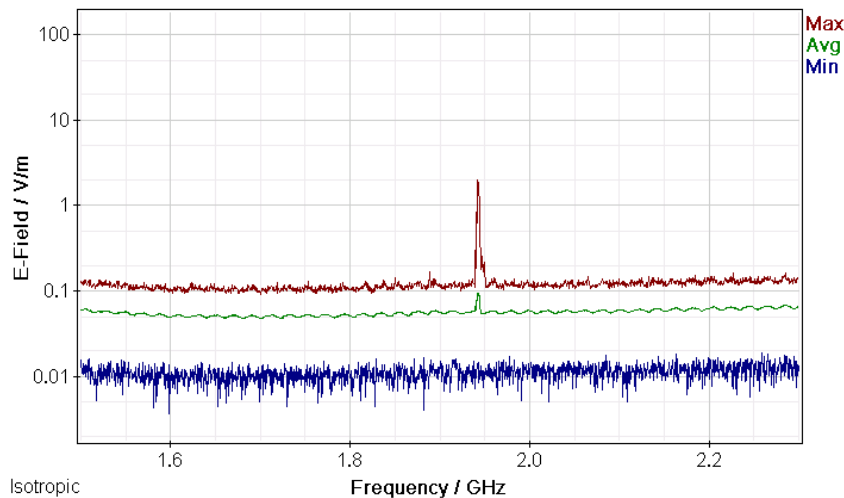
Σχήμα 281: Διακυμάνσεις (α) ελάχιστης (Min), (β) μέσης (Avg) και (γ) μέγιστης (Max) έντασης ηλεκτρικού πεδίου (E-Field) ως συνάρτηση της συχνότητας (Frequency) του πεδίου για μετρήσεις με οργανολογία τύπου NARDA SMR-3006 σε συσκευή κινητής τηλεφωνίας τύπου SAMSUNG GALAXY GT-I8190 και παρόχου WIND σε απόσταση 0m από την κεραία της συσκευής κατα τη διάρκεια κλήσης χωρίς συνομιλία και ενεργοποίηση δεδομένων κινητής τηλεφωνίας .



Σχήμα 282: Διακυμάνσεις (α) ελάχιστης (Min), (β) μέσης (Avg) και (γ) μέγιστης (Max) έντασης ηλεκτρικού πεδίου (E-Field) ως συνάρτηση της συχνότητας (Frequency) του πεδίου για μετρήσεις με οργανολογία τύπου NARDA SMR-3006 σε συσκευή κινητής τηλεφωνίας τύπου SAMSUNG GALAXY GT-I8190 και παρόχου WIND σε απόσταση 0m από την κεραία της συσκευής κατα τη διάρκεια συνομιλίας δυόμιση λεπτών χωρίς ενεργοποίηση δεδομένων κινητής τηλεφωνίας.

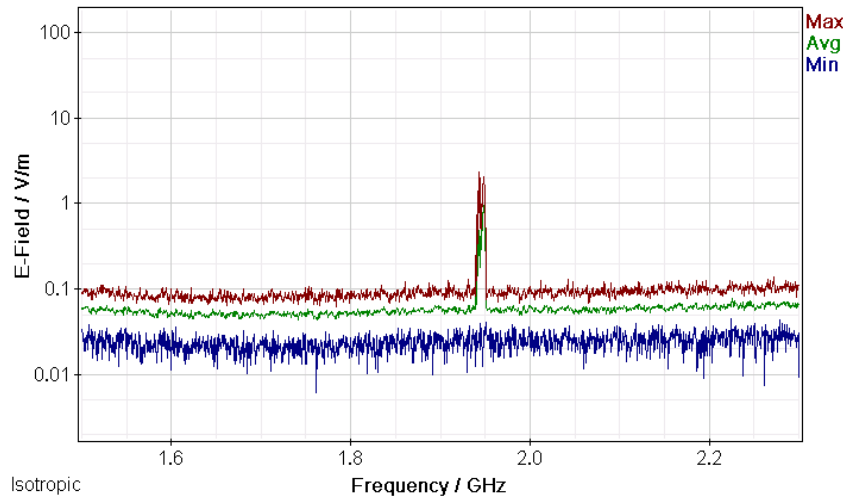


Σχήμα 283: Διακυμάνσεις (α) ελάχιστης (Min), (β) μέσης (Avg) και (γ) μέγιστης (Max) έντασης ηλεκτρικού πεδίου (E-Field) ως συνάρτηση της συχνότητας (Frequency) του πεδίου για μετρήσεις με οργάνολογία τύπου NARDA SMR-3006 σε συσκευή κινητής τηλεφωνίας τύπου SAMSUNG GALAXY GT-I8190 και παρόχου WIND σε απόσταση 0m από την κεραία της συσκευής κατα τη διάρκεια πεντάλεπτης συνομιλίας χωρίς ενεργοποίηση δεδομένων κινητής τηλεφωνίας.

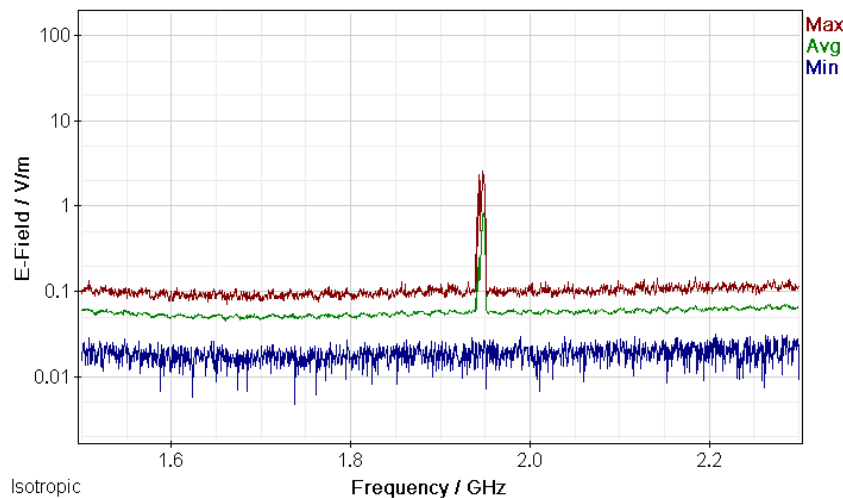


Σχήμα 284: Διακυμάνσεις (α) ελάχιστης (Min), (β) μέσης (Avg) και (γ) μέγιστης (Max) έντασης ηλεκτρικού πεδίου (E-Field) ως συνάρτηση της συχνότητας (Frequency) του πεδίου για μετρήσεις με οργάνολογία τύπου NARDA SMR-3006 σε συσκευή κινητής τηλεφωνίας τύπου SAMSUNG GALAXY GT-I8190 και παρόχου WIND σε απόσταση 0m από την κεραία της συσκευής κατα τη διάρκεια τερματισμού της κλήσης χωρίς ενεργοποίηση δεδομένων κινητής τηλεφωνίας.

ΜΕΛΕΤΗ Η/Μ ΔΙΑΤΑΡΑΧΩΝ ΚΙΝΗΤΗΣ ΤΗΛΕΦΩΝΙΑΣ



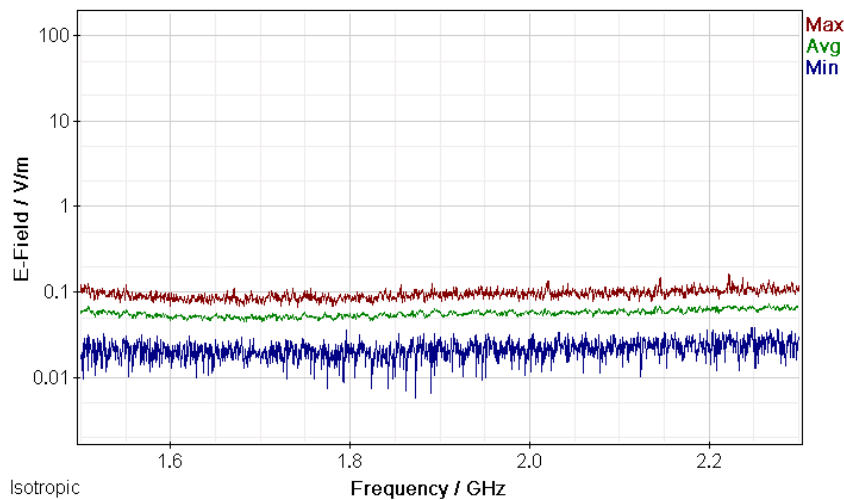
Σχήμα 285: Διακυμάνσεις (α) ελάχιστης (Min), (β) μέσης (Avg) και (γ) μέγιστης (Max) έντασης ηλεκτρικού πεδίου (E-Field) ως συνάρτηση της συχνότητας (Frequency) του πεδίου για μετρήσεις με οργανολογία τύπου NARDA SMR-3006 σε συσκευή κινητής τηλεφωνίας τύπου SAMSUNG GALAXY GT-I8190 και παρόχου WIND σε απόσταση 0m από την κεραία της συσκευής κατά τη διάρκεια αναμονής χρήσης της συσκευής με ενεργοποίηση των δεδομένων κινητής τηλεφωνίας χωρίς πρόσβαση στον παγόσμιο ιστό.



Σχήμα 286: Διακυμάνσεις (α) ελάχιστης (Min), (β) μέσης (Avg) και (γ) μέγιστης (Max) έντασης ηλεκτρικού πεδίου (E-Field) ως συνάρτηση της συχνότητας (Frequency) του πεδίου για μετρήσεις με οργανολογία τύπου NARDA SMR-3006 σε συσκευή κινητής τηλεφωνίας τύπου SAMSUNG GALAXY GT-I8190 και παρόχου WIND σε απόσταση 0m από την κεραία της συσκευής κατά τη διάρκεια αναμονής χρήσης της συσκευής με ενεργοποίηση των δεδομένων κινητής τηλεφωνίας και αναζήτησης δεδομένων στον παγόσμιο ιστό.

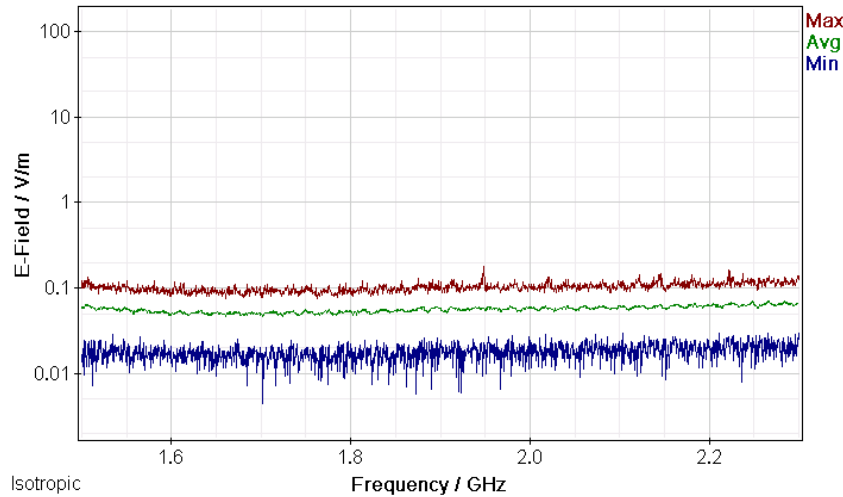
ΠΑΡΑΡΤΗΜΑ 2

Μετρήσεις διακυμάνσεων (α) ελάχιστης (Min), (β) μέσης (Avg) και (γ) μέγιστης (Max) έντασης ηλεκτρικού πεδίου (E-Field) ως συνάρτηση της συχνότητας (Frequency) του πεδίου για μετρήσεις με οργανολογία τύπου NARDA SMR-3006 σε συσκευές κινητής τηλεφωνίας διαφόρων τύπων και παρόχων σε απόσταση 1 m από την κεραία των συσκευών.

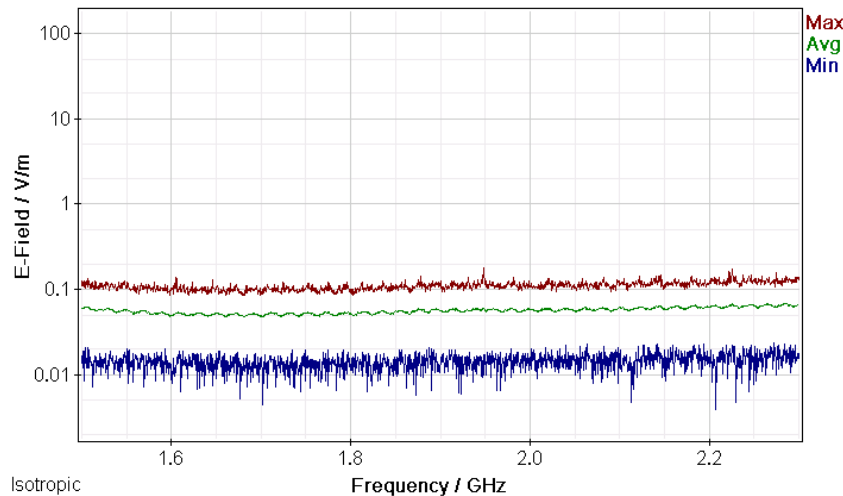


Σχήμα 287: Διακυμάνσεις (α) ελάχιστης (Min), (β) μέσης (Avg) και (γ) μέγιστης (Max) έντασης ηλεκτρικού πεδίου (E-Field) ως συνάρτηση της συχνότητας (Frequency) του πεδίου για μετρήσεις με οργανολογία τύπου NARDA SMR-3006 σε συσκευή κινητής τηλεφωνίας τύπου SAMSUNG GALAXY GT-I8190 και παρόχου WIND σε απόσταση 1m από την κεραία της συσκευής κατά τη διάρκεια αναμονής χρήσης της συσκευής και χωρίς την ενεργοποίηση δεδομένων κινητής τηλεφωνίας.

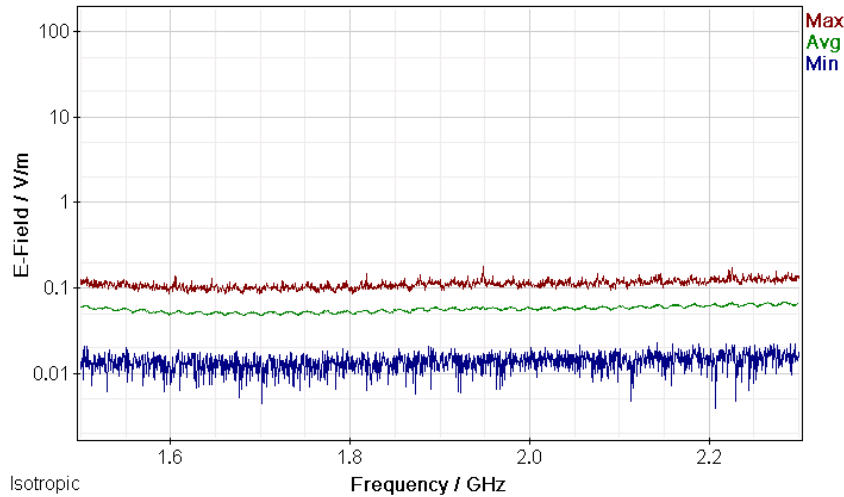
ΜΕΛΕΤΗ Η/Μ ΔΙΑΤΑΡΑΧΩΝ ΚΙΝΗΤΗΣ ΤΗΛΕΦΩΝΙΑΣ



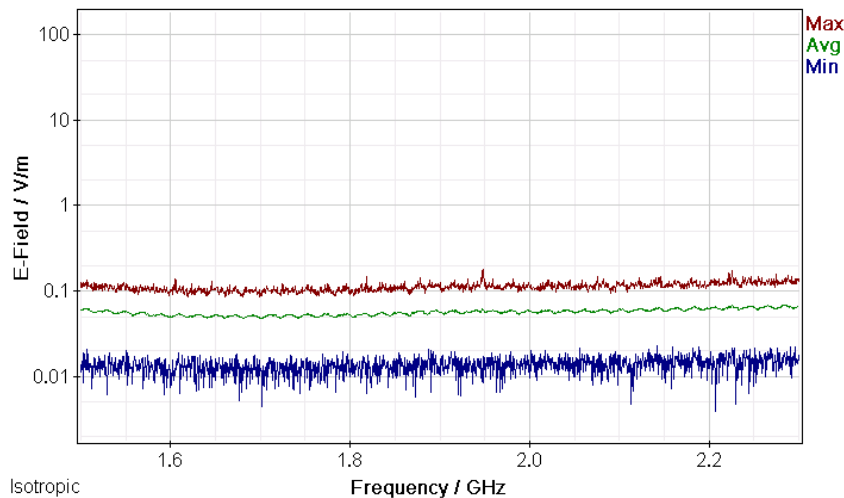
Σχήμα 288: Διακυμάνσεις (α) ελάχιστης (Min), (β) μέσης (Avg) και (γ) μέγιστης (Max) έντασης ηλεκτρικού πεδίου (E-Field) ως συνάρτηση της συχνότητας (Frequency) του πεδίου για μετρήσεις με οργανολογία τύπου NARDA SMR-3006 σε συσκευή κινητής τηλεφωνίας τύπου SAMSUNG GALAXY GT-I8190 και παρόχου WIND σε απόσταση 1m από την κεραία της συσκευής κατα τη διάρκεια κλήσης χωρίς συνομιλία και ενεργοποίηση δεδομένων κινητής τηλεφωνίας .



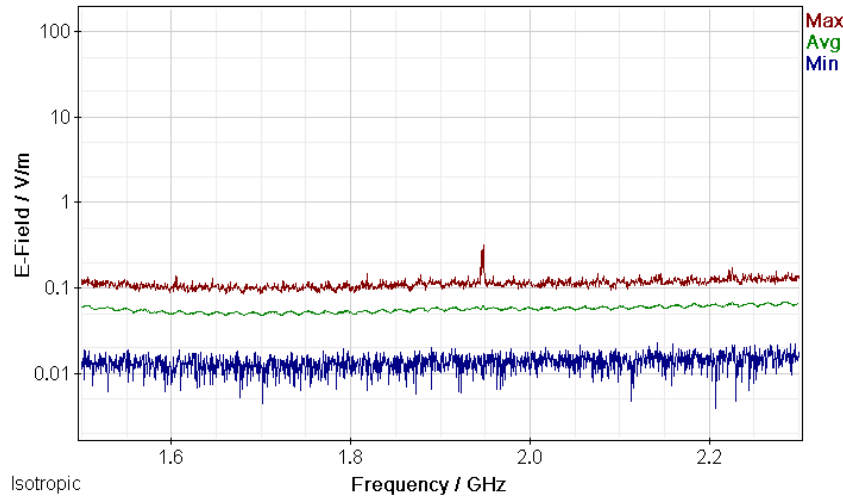
Σχήμα 289: Διακυμάνσεις (α) ελάχιστης (Min), (β) μέσης (Avg) και (γ) μέγιστης (Max) έντασης ηλεκτρικού πεδίου (E-Field) ως συνάρτηση της συχνότητας (Frequency) του πεδίου για μετρήσεις με οργανολογία τύπου NARDA SMR-3006 σε συσκευή κινητής τηλεφωνίας τύπου SAMSUNG GALAXY GT-I8190 και παρόχου WIND σε απόσταση 1m από την κεραία της συσκευής κατα τη διάρκεια συνομιλίας δυόμιση λεπτών χωρίς ενεργοποίηση δεδομένων κινητής τηλεφωνίας.



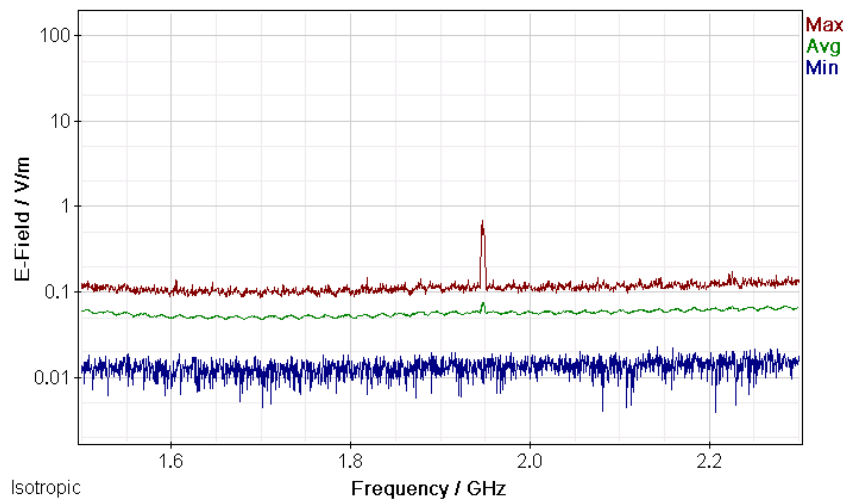
Σχήμα 290: Διακυμάνσεις (α) ελάχιστης (Min), (β) μέσης (Avg) και (γ) μέγιστης (Max) έντασης ηλεκτρικού πεδίου (E-Field) ως συνάρτηση της συχνότητας (Frequency) του πεδίου για μετρήσεις με οργανολογία τύπου NARDA SMR-3006 σε συσκευή κινητής τηλεφωνίας τύπου SAMSUNG GALAXY GT-I8190 και παρόχου WIND σε απόσταση 1m από την κεραία της συσκευής κατά τη διάρκεια πεντάλεπτης συνομιλίας χωρίς ενεργοποίηση δεδομένων κινητής τηλεφωνίας.



Σχήμα 291: Διακυμάνσεις (α) ελάχιστης (Min), (β) μέσης (Avg) και (γ) μέγιστης (Max) έντασης ηλεκτρικού πεδίου (E-Field) ως συνάρτηση της συχνότητας (Frequency) του πεδίου για μετρήσεις με οργανολογία τύπου NARDA SMR-3006 σε συσκευή κινητής τηλεφωνίας τύπου SAMSUNG GALAXY GT-I8190 και παρόχου WIND σε απόσταση 1m από την κεραία της συσκευής κατά τη διάρκεια τερματισμού της κλήσης χωρίς ενεργοποίηση δεδομένων κινητής τηλεφωνίας



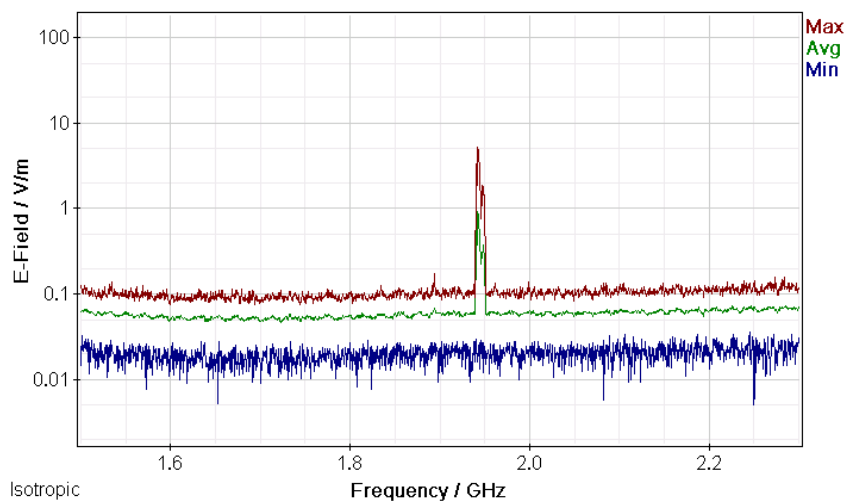
Σχήμα 292: Διακυμάνσεις (α) ελάχιστης (Min), (β) μέσης (Avg) και (γ) μέγιστης (Max) έντασης ηλεκτρικού πεδίου (E-Field) ως συνάρτηση της συχνότητας (Frequency) του πεδίου για μετρήσεις με οργανολογία τύπου NARDA SMR-3006 σε συσκευή κινητής τηλεφωνίας τύπου SAMSUNG GALAXY GT-I8190 και παρόχου WIND σε απόσταση 1m από την κεραία της συσκευής κατα τη διάρκεια αναμονής χρήσης της συσκευής με ενεργοποίηση των δεδομένων κινητής τηλεφωνίας χωρίς πρόσβαση στον παγόσμιο ιστό.



Σχήμα 293: Διακυμάνσεις (α) ελάχιστης (Min), (β) μέσης (Avg) και (γ) μέγιστης (Max) έντασης ηλεκτρικού πεδίου (E-Field) ως συνάρτηση της συχνότητας (Frequency) του πεδίου για μετρήσεις με οργανολογία τύπου NARDA SMR-3006 σε συσκευή κινητής τηλεφωνίας τύπου SAMSUNG GALAXY GT-I8190 και παρόχου WIND σε απόσταση 1m από την κεραία της συσκευής κατα τη διάρκεια αναμονής χρήσης της συσκευής με ενεργοποίηση των δεδομένων κινητής τηλεφωνίας και αναζήτησης δεδομένων στον παγόσμιο ιστό.

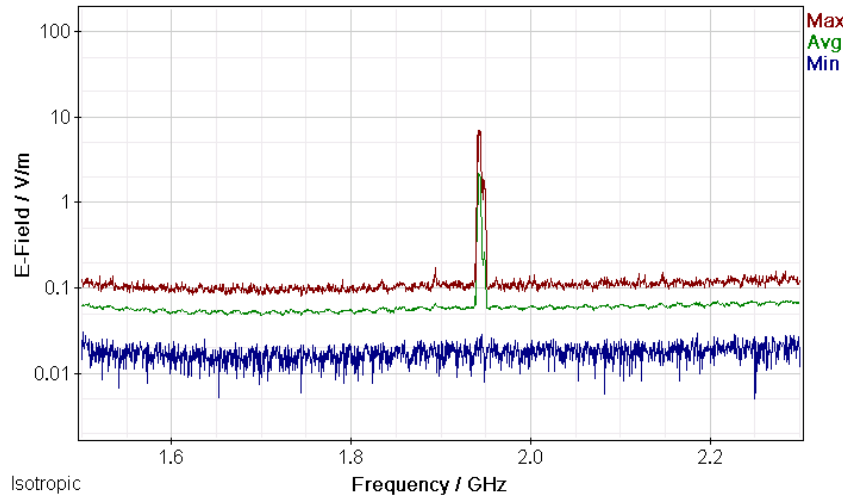
ΠΑΡΑΡΤΗΜΑ 1

Μετρήσεις διακυμάνσεων (α) ελάχιστης (Min), (β) μέσης (Avg) και (γ) μέγιστης (Max) έντασης ηλεκτρικού πεδίου (E-Field) ως συνάρτηση της συχνότητας (Frequency) του πεδίου για μετρήσεις με οργανολογία τύπου NARDA SMR-3006 σε συσκευές κινητής τηλεφωνίας διαφόρων τύπων και παρόχων σε απόσταση 0 m από την κεραία των συσκευών.

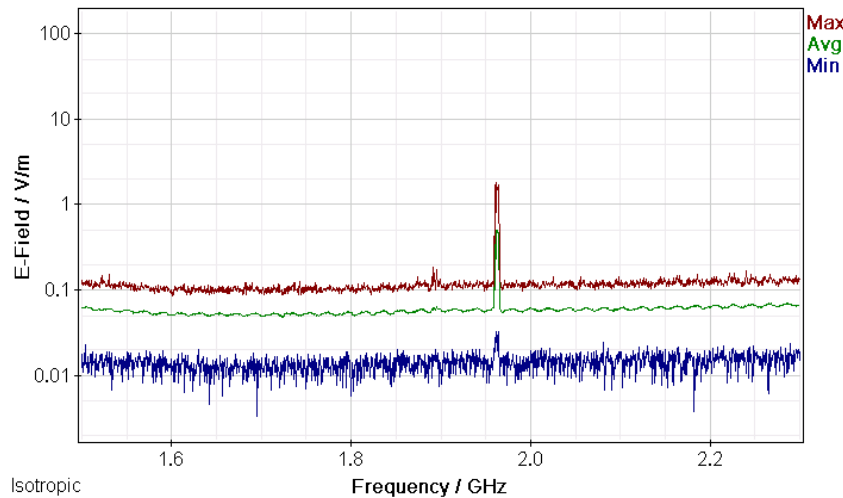


Σχήμα 294: Διακυμάνσεις (α) ελάχιστης (Min), (β) μέσης (Avg) και (γ) μέγιστης (Max) έντασης ηλεκτρικού πεδίου (E-Field) ως συνάρτηση της συχνότητας (Frequency) του πεδίου για μετρήσεις με οργανολογία τύπου NARDA SMR-3006 σε συσκευή κινητής τηλεφωνίας τύπου SONY XPERIA E5603 και παρόχου COSMOTE σε απόσταση 0m από την κεραία της συσκευής κατά τη διάρκεια αναμονής χρήσης της συσκευής και χωρίς την ενεργοποίηση δεδομένων κινητής τηλεφωνίας.

ΜΕΛΕΤΗ Η/Μ ΔΙΑΤΑΡΑΧΩΝ ΚΙΝΗΤΗΣ ΤΗΛΕΦΩΝΙΑΣ

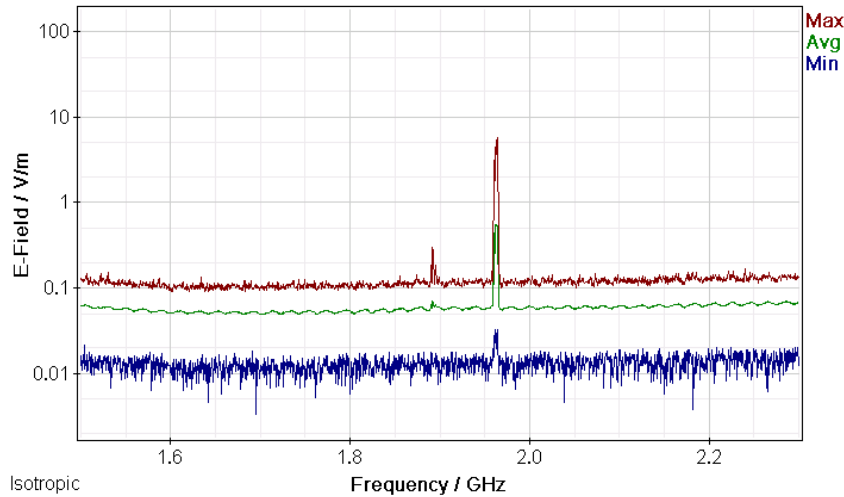


Σχήμα 295: Διακυμάνσεις (α) ελάχιστης (Min), (β) μέσης (Avg) και (γ) μέγιστης (Max) έντασης ηλεκτρικού πεδίου (E-Field) ως συνάρτηση της συχνότητας (Frequency) του πεδίου για μετρήσεις με οργανολογία τύπου NARDA SMR-3006 σε συσκευή κινητής τηλεφωνίας τύπου SONY XPERIA E5603 και παρόχου COSMOTE σε απόσταση 0m από την κεραία της συσκευής κατα τη διάρκεια κλήσης χωρίς συνομιλία και ενεργοποίηση δεδομένων κινητής τηλεφωνίας .

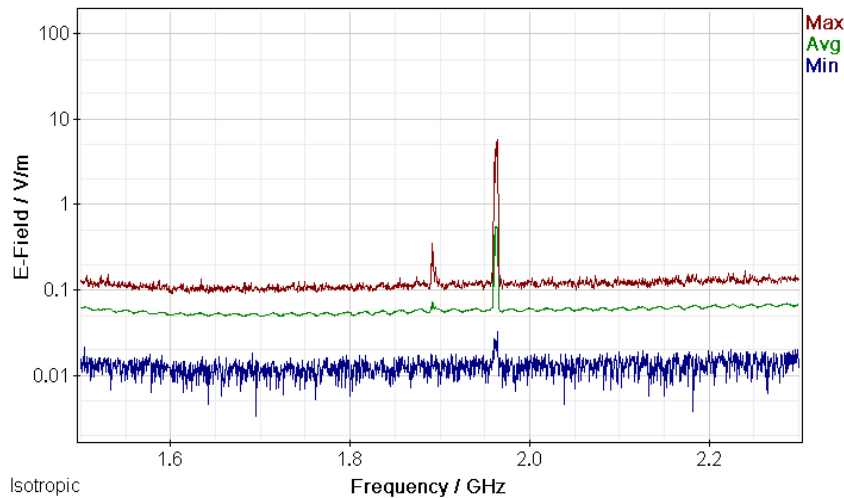


Σχήμα 296: Διακυμάνσεις (α) ελάχιστης (Min), (β) μέσης (Avg) και (γ) μέγιστης (Max) έντασης ηλεκτρικού πεδίου (E-Field) ως συνάρτηση της συχνότητας (Frequency) του πεδίου για μετρήσεις με οργανολογία τύπου NARDA SMR-3006 σε συσκευή κινητής τηλεφωνίας τύπου SONY XPERIA E5603 και παρόχου COSMOTE σε απόσταση 0m από την κεραία της συσκευής κατα τη διάρκεια συνομιλίας δυόμιση λεπτών χωρίς ενεργοποίηση δεδομένων κινητής τηλεφωνίας.

ΜΕΛΕΤΗ Η/Μ ΔΙΑΤΑΡΑΧΩΝ ΚΙΝΗΤΗΣ ΤΗΛΕΦΩΝΙΑΣ

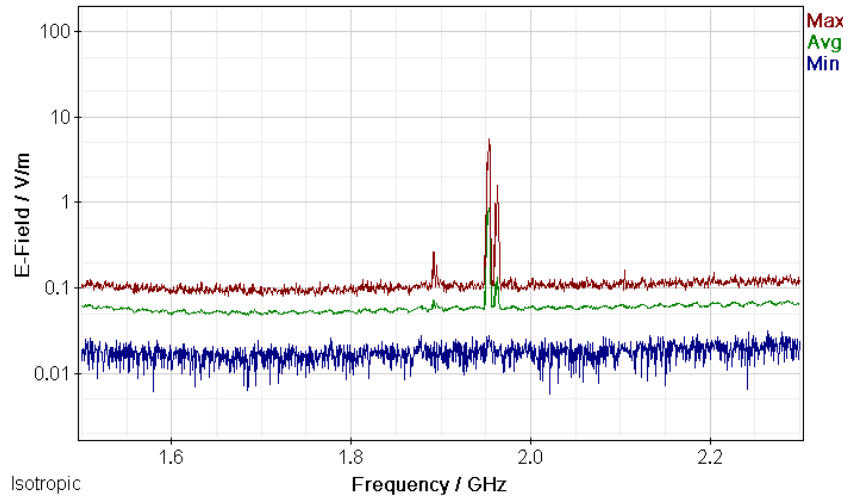


Σχήμα 297: Διακυμάνσεις (α) ελάχιστης (Min), (β) μέσης (Avg) και (γ) μέγιστης (Max) έντασης ηλεκτρικού πεδίου (E-Field) ως συνάρτηση της συχνότητας (Frequency) του πεδίου για μετρήσεις με οργάνολογία τύπου NARDA SMR-3006 σε συσκευή κινητής τηλεφωνίας τύπου SONY XPERIA E5603 και παρόχου COSMOTE σε απόσταση 0m από την κεραία της συσκευής κατά τη διάρκεια πεντάλεπτης συνομιλίας χωρίς ενεργοποίηση δεδομένων κινητής τηλεφωνίας.

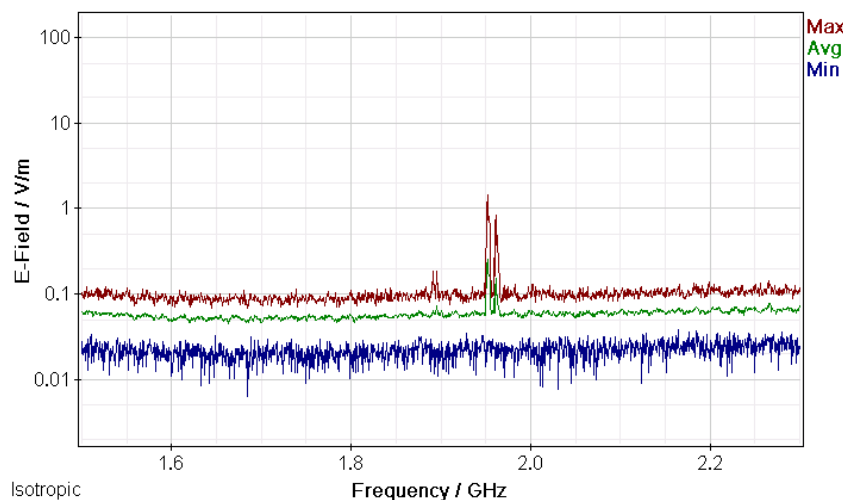


Σχήμα 298: Διακυμάνσεις (α) ελάχιστης (Min), (β) μέσης (Avg) και (γ) μέγιστης (Max) έντασης ηλεκτρικού πεδίου (E-Field) ως συνάρτηση της συχνότητας (Frequency) του πεδίου για μετρήσεις με οργάνολογία τύπου NARDA SMR-3006 σε συσκευή κινητής τηλεφωνίας τύπου SONY XPERIA E5603 και παρόχου COMOTE σε απόσταση 0m από την κεραία της συσκευής κατά τη διάρκεια τερματισμού της κλήσης χωρίς ενεργοποίηση δεδομένων κινητής τηλεφωνίας.

ΜΕΛΕΤΗ Η/Μ ΔΙΑΤΑΡΑΧΩΝ ΚΙΝΗΤΗΣ ΤΗΛΕΦΩΝΙΑΣ



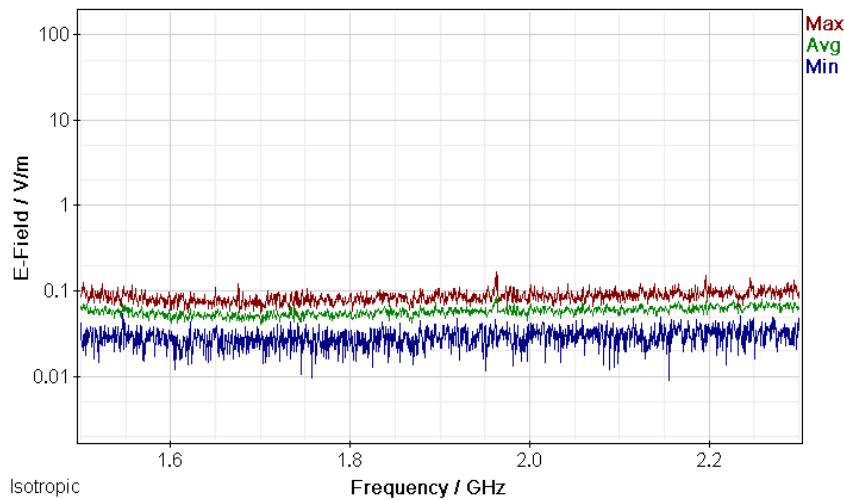
Σχήμα 299: Διακυμάνσεις (α) ελάχιστης (Min), (β) μέσης (Avg) και (γ) μέγιστης (Max) έντασης ηλεκτρικού πεδίου (E-Field) ως συνάρτηση της συχνότητας (Frequency) του πεδίου για μετρήσεις με οργανολογία τύπου NARDA SMR-3006 σε συσκευή κινητής τηλεφωνίας τύπου SONY XPERIA E5603 και παρόχου COSMOTE σε απόσταση 0m από την κεραία της συσκευής κατά τη διάρκεια αναμονής χρήσης της συσκευής με ενεργοποίηση των δεδομένων κινητής τηλεφωνίας χωρίς πρόσβαση στον παγόσμιο ιστό.



Σχήμα 300: Διακυμάνσεις (α) ελάχιστης (Min), (β) μέσης (Avg) και (γ) μέγιστης (Max) έντασης ηλεκτρικού πεδίου (E-Field) ως συνάρτηση της συχνότητας (Frequency) του πεδίου για μετρήσεις με οργανολογία τύπου NARDA SMR-3006 σε συσκευή κινητής τηλεφωνίας τύπου SONY XPERIA E5603 και παρόχου COSMOTE σε απόσταση 0m από την κεραία της συσκευής κατά τη διάρκεια αναμονής χρήσης της συσκευής με ενεργοποίηση των δεδομένων κινητής τηλεφωνίας και αναζήτησης δεδομένων στον παγόσμιο ιστό.

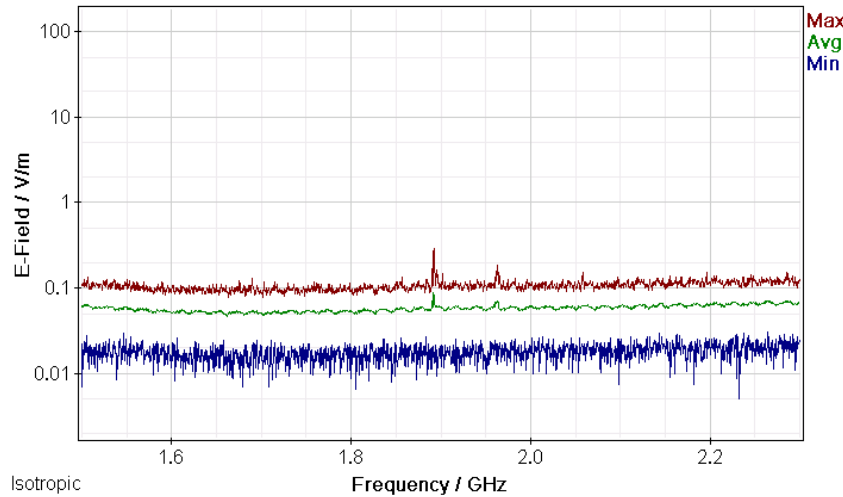
ΠΑΡΑΡΤΗΜΑ 2

Μετρήσεις διακυμάνσεων (α) ελάχιστης (Min), (β) μέσης (Avg) και (γ) μέγιστης (Max) έντασης ηλεκτρικού πεδίου (E-Field) ως συνάρτηση της συχνότητας (Frequency) του πεδίου για μετρήσεις με οργάνολογία τύπου NARDA SMR-3006 σε συσκευές κινητής τηλεφωνίας διαφόρων τύπων και παρόχων σε απόσταση 1 m από την κεραία των συσκευών.

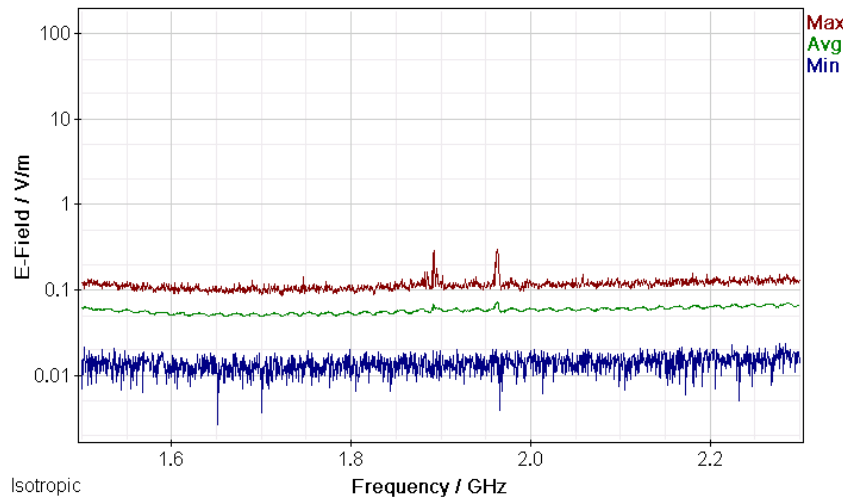


Σχήμα 301: Διακυμάνσεις (α) ελάχιστης (Min), (β) μέσης (Avg) και (γ) μέγιστης (Max) έντασης ηλεκτρικού πεδίου (E-Field) ως συνάρτηση της συχνότητας (Frequency) του πεδίου για μετρήσεις με οργάνολογία τύπου NARDA SMR-3006 σε συσκευή κινητής τηλεφωνίας τύπου SONY XPERIA E5603 και παρόχου COSMOTE σε απόσταση 1m από την κεραία της συσκευής κατα τη διάρκεια αναμονής χρήσης της συσκευής και χωρίς την ενεργοποίηση δεδομένων κινητής τηλεφωνίας.

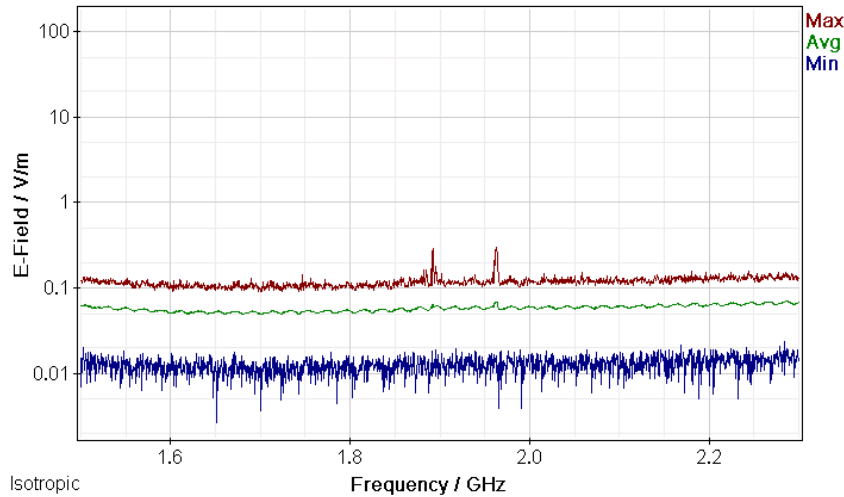
ΜΕΛΕΤΗ Η/Μ ΔΙΑΤΑΡΑΧΩΝ ΚΙΝΗΤΗΣ ΤΗΛΕΦΩΝΙΑΣ



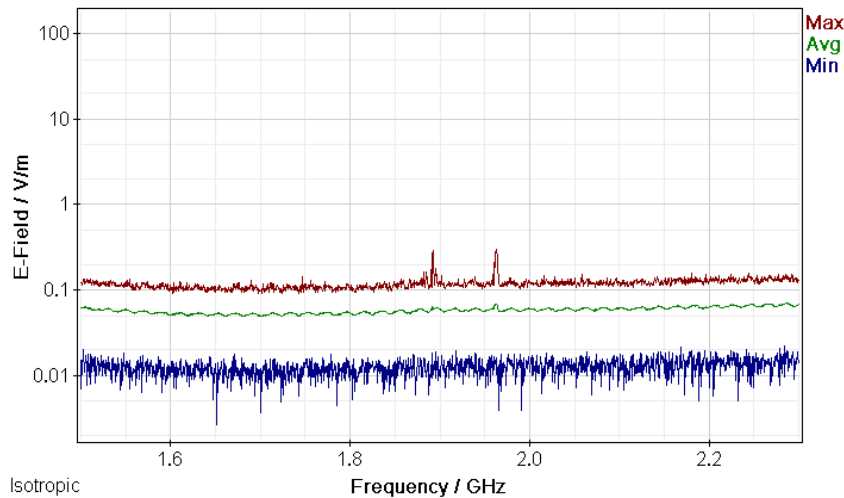
Σχήμα 302: Διακυμάνσεις (α) ελάχιστης (Min), (β) μέσης (Avg) και (γ) μέγιστης (Max) έντασης ηλεκτρικού πεδίου (E-Field) ως συνάρτηση της συχνότητας (Frequency) του πεδίου για μετρήσεις με οργάνολογία τύπου NARDA SMR-3006 σε συσκευή κινητής τηλεφωνίας τύπου SONY XPERIA E5603 και παρόχου COSMOTE σε απόσταση 1m από την κεραία της συσκευής κατα τη διάρκεια κλήσης χωρίς συνομιλία και ενεργοποίηση δεδομένων κινητής τηλεφωνίας .



Σχήμα 303: Διακυμάνσεις (α) ελάχιστης (Min), (β) μέσης (Avg) και (γ) μέγιστης (Max) έντασης ηλεκτρικού πεδίου (E-Field) ως συνάρτηση της συχνότητας (Frequency) του πεδίου για μετρήσεις με οργάνολογία τύπου NARDA SMR-3006 σε συσκευή κινητής τηλεφωνίας τύπου SONY XPERIA E5603 και παρόχου COSMOTE σε απόσταση 1m από την κεραία της συσκευής κατα τη διάρκεια συνομιλίας δυόμιση λεπτών χωρίς ενεργοποίηση δεδομένων κινητής τηλεφωνίας.

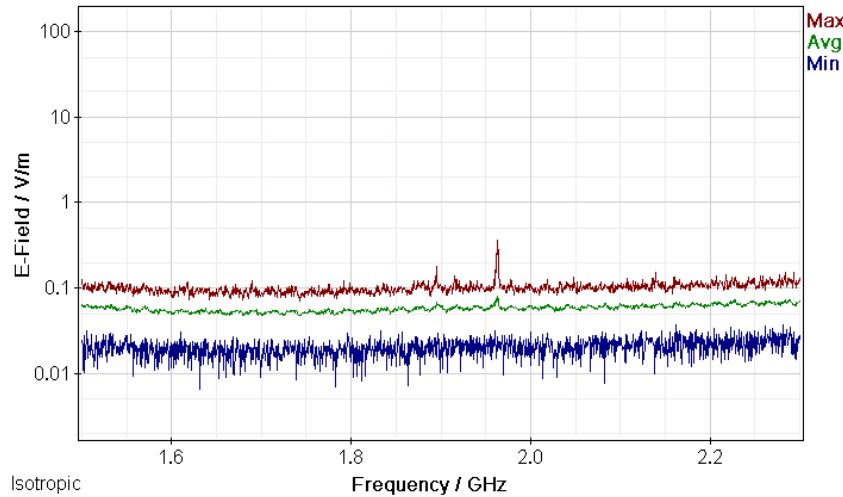


Σχήμα 304: Διακυμάνσεις (α) ελάχιστης (Min), (β) μέσης (Avg) και (γ) μέγιστης (Max) έντασης ηλεκτρικού πεδίου (E-Field) ως συνάρτηση της συχνότητας (Frequency) του πεδίου για μετρήσεις με οργάνολογία τύπου NARDA SMR-3006 σε συσκευή κινητής τηλεφωνίας τύπου SONY XPERIA E5603 και παρόχου COSMOTE σε απόσταση 1m από την κεραία της συσκευής κατά τη διάρκεια πεντάλεπτης συνομιλίας χωρίς ενεργοποίηση δεδομένων κινητής τηλεφωνίας.

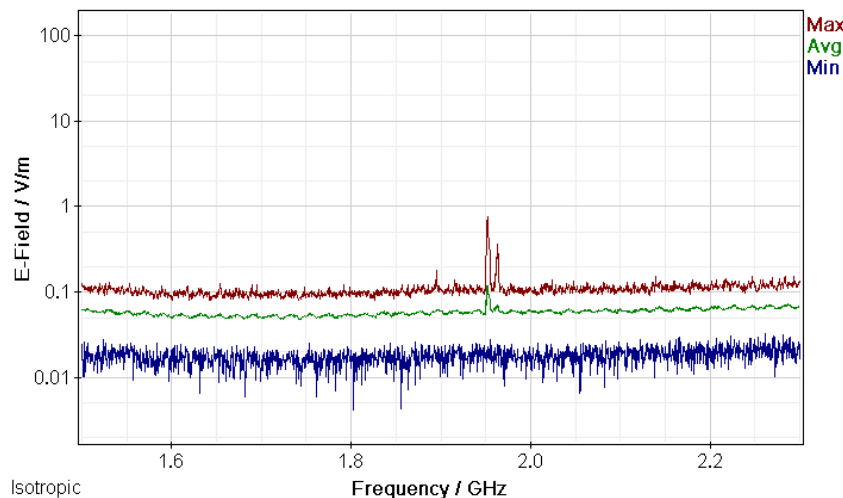


Σχήμα 305: Διακυμάνσεις (α) ελάχιστης (Min), (β) μέσης (Avg) και (γ) μέγιστης (Max) έντασης ηλεκτρικού πεδίου (E-Field) ως συνάρτηση της συχνότητας (Frequency) του πεδίου για μετρήσεις με οργάνολογία τύπου NARDA SMR-3006 σε συσκευή κινητής τηλεφωνίας τύπου SONY XPERIA E5603 και παρόχου COSMOTE σε απόσταση 1m από την κεραία της συσκευής κατά τη διάρκεια τερματισμού της κλήσης χωρίς ενεργοποίηση δεδομένων κινητής τηλεφωνίας.

ΜΕΛΕΤΗ Η/Μ ΔΙΑΤΑΡΑΧΩΝ ΚΙΝΗΤΗΣ ΤΗΛΕΦΩΝΙΑΣ



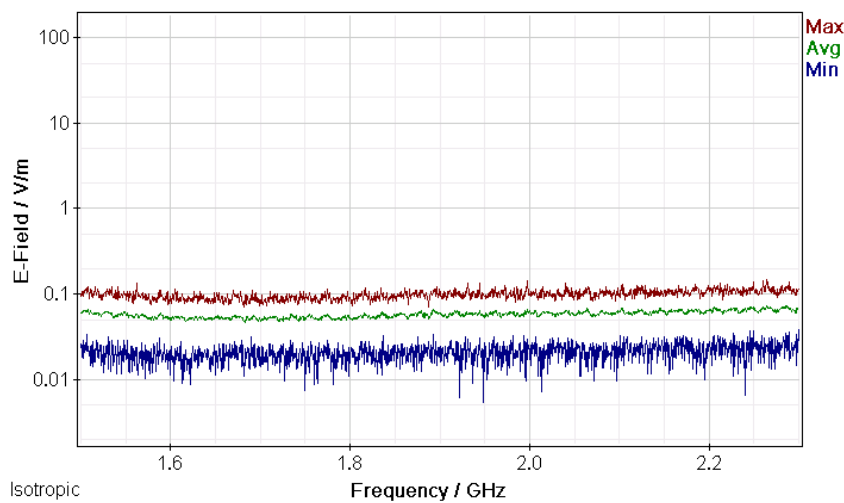
Σχήμα 306: Διακυμάνσεις (α) ελάχιστης (Min), (β) μέσης (Avg) και (γ) μέγιστης (Max) έντασης ηλεκτρικού πεδίου (E-Field) ως συνάρτηση της συχνότητας (Frequency) του πεδίου για μετρήσεις με οργανολογία τύπου NARDA SMR-3006 σε συσκευή κινητής τηλεφωνίας τύπου SONY XPERIA E5603 και παρόχου COSMOTE σε απόσταση 1m από την κεραία της συσκευής κατά τη διάρκεια αναμονής χρήσης της συσκευής με ενεργοποίηση των δεδομένων κινητής τηλεφωνίας χωρίς πρόσβαση στον παγώσιμο ιστό.



Σχήμα 307: Διακυμάνσεις (α) ελάχιστης (Min), (β) μέσης (Avg) και (γ) μέγιστης (Max) έντασης ηλεκτρικού πεδίου (E-Field) ως συνάρτηση της συχνότητας (Frequency) του πεδίου για μετρήσεις με οργανολογία τύπου NARDA SMR-3006 σε συσκευή κινητής τηλεφωνίας τύπου SONY XPERIA E5603 και παρόχου COSMOTE σε απόσταση 1m από την κεραία της συσκευής κατά τη διάρκεια αναμονής χρήσης της συσκευής με ενεργοποίηση των δεδομένων κινητής τηλεφωνίας και αναζήτησης δεδομένων στον παγώσιμο ιστό.

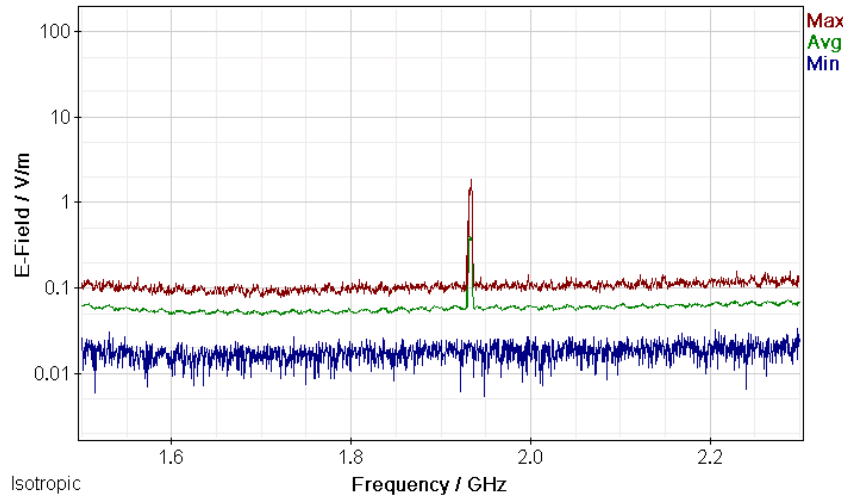
ΠΑΡΑΡΤΗΜΑ 1

Μετρήσεις διακυμάνσεων (α) ελάχιστης (Min), (β) μέσης (Avg) και (γ) μέγιστης (Max) έντασης ηλεκτρικού πεδίου (E-Field) ως συνάρτηση της συχνότητας (Frequency) του πεδίου για μετρήσεις με οργανολογία τύπου NARDA SMR-3006 σε συσκευές κινητής τηλεφωνίας διαφόρων τύπων και παρόχων σε απόσταση 0 m από την κεραία των συσκευών.

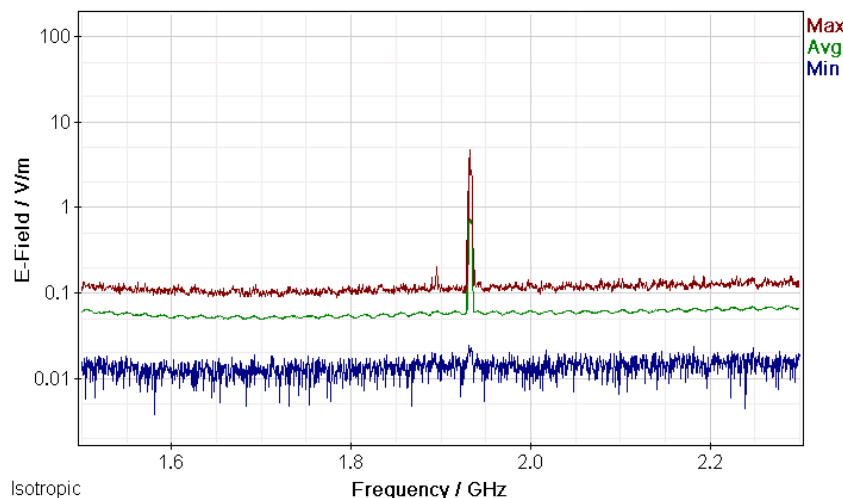


Σχήμα 308: Διακυμάνσεις (α) ελάχιστης (Min), (β) μέσης (Avg) και (γ) μέγιστης (Max) έντασης ηλεκτρικού πεδίου (E-Field) ως συνάρτηση της συχνότητας (Frequency) του πεδίου για μετρήσεις με οργανολογία τύπου NARDA SMR-3006 σε συσκευή κινητής τηλεφωνίας τύπου SONY XPERIA E5603 και παρόχου VODAFONE σε απόσταση 0m από την κεραία της συσκευής κατά τη διάρκεια αναμονής χρήσης της συσκευής και χωρίς την ενεργοποίηση δεδομένων κινητής τηλεφωνίας.

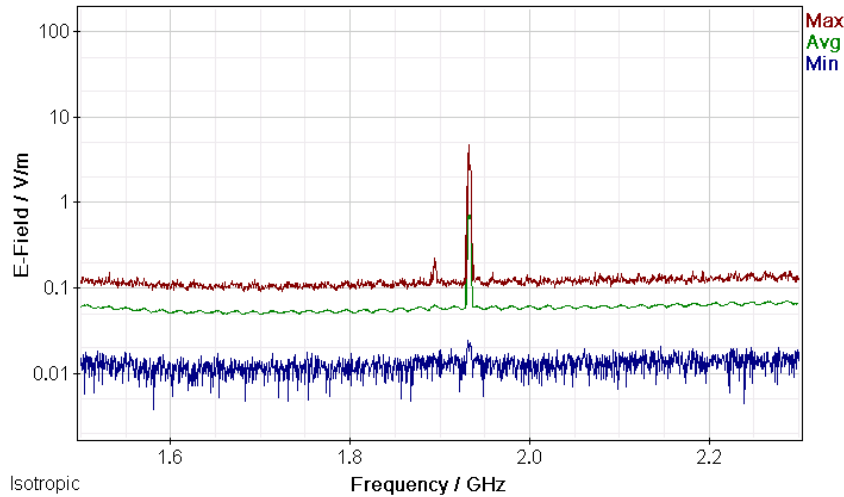
ΜΕΛΕΤΗ Η/Μ ΔΙΑΤΑΡΑΧΩΝ ΚΙΝΗΤΗΣ ΤΗΛΕΦΩΝΙΑΣ



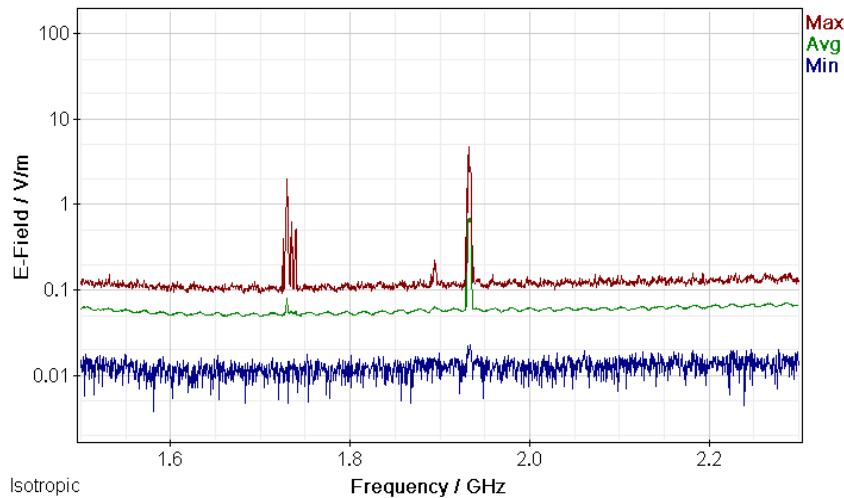
Σχήμα 309: Διακυμάνσεις (α) ελάχιστης (Min), (β) μέσης (Avg) και (γ) μέγιστης (Max) έντασης ηλεκτρικού πεδίου (E-Field) ως συνάρτηση της συχνότητας (Frequency) του πεδίου για μετρήσεις με οργανολογία τύπου NARDA SMR-3006 σε συσκευή κινητής τηλεφωνίας τύπου SONY XPERIA E5603 και παρόχου VODAFONE σε απόσταση 0m από την κεραία της συσκευής κατά τη διάρκεια κλήσης χωρίς συνομιλία και ενεργοποίηση δεδομένων κινητής τηλεφωνίας .



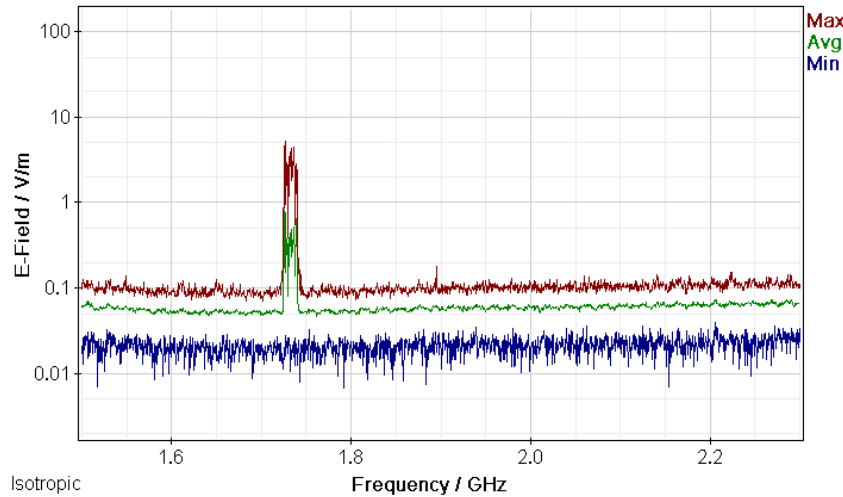
Σχήμα 310: Διακυμάνσεις (α) ελάχιστης (Min), (β) μέσης (Avg) και (γ) μέγιστης (Max) έντασης ηλεκτρικού πεδίου (E-Field) ως συνάρτηση της συχνότητας (Frequency) του πεδίου για μετρήσεις με οργανολογία τύπου NARDA SMR-3006 σε συσκευή κινητής τηλεφωνίας τύπου SONY XPERIA E5603 και παρόχου VODAFONE σε απόσταση 0m από την κεραία της συσκευής κατά τη διάρκεια συνομιλίας δυόμιση λεπτών χωρίς ενεργοποίηση δεδομένων κινητής τηλεφωνίας.



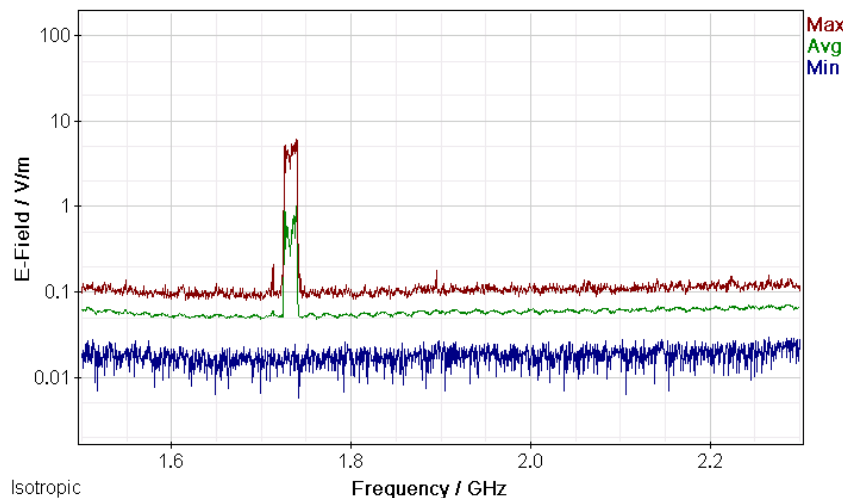
Σχήμα 311: Διακυμάνσεις (α) ελάχιστης (Min), (β) μέσης (Avg) και (γ) μέγιστης (Max) έντασης ηλεκτρικού πεδίου (E-Field) ως συνάρτηση της συχνότητας (Frequency) του πεδίου για μετρήσεις με οργάνολογία τύπου NARDA SMR-3006 σε συσκευή κινητής τηλεφωνίας τύπου SONY XPERIA E5603 και παρόχου VODAFONE σε απόσταση 0m από την κεραία της συσκευής κατά τη διάρκεια πεντάλεπτης συνομιλίας χωρίς ενεργοποίηση δεδομένων κινητής τηλεφωνίας.



Σχήμα 312: Διακυμάνσεις (α) ελάχιστης (Min), (β) μέσης (Avg) και (γ) μέγιστης (Max) έντασης ηλεκτρικού πεδίου (E-Field) ως συνάρτηση της συχνότητας (Frequency) του πεδίου για μετρήσεις με οργάνολογία τύπου NARDA SMR-3006 σε συσκευή κινητής τηλεφωνίας τύπου SONY XPERIA E5603 και παρόχου VODAFONE σε απόσταση 0m από την κεραία της συσκευής κατά τη διάρκεια τερματισμού της κλήσης χωρίς ενεργοποίηση δεδομένων κινητής τηλεφωνίας.



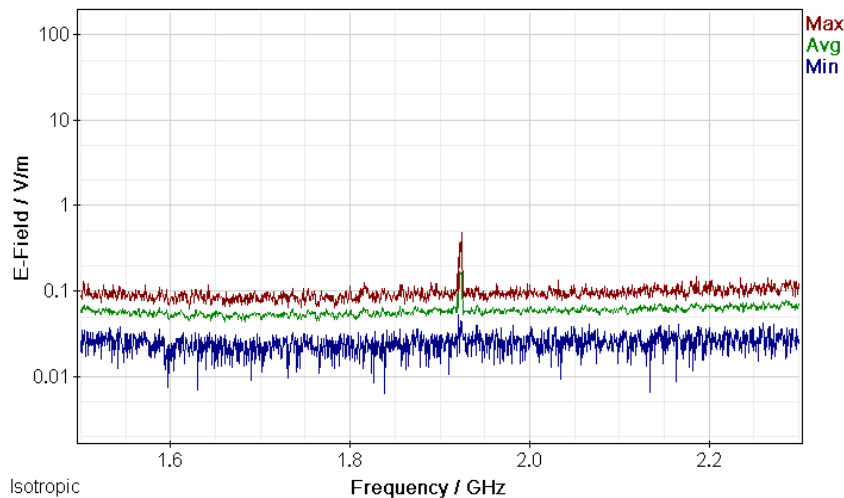
Σχήμα 313: Διακυμάνσεις (α) ελάχιστης (Min), (β) μέσης (Avg) και (γ) μέγιστης (Max) έντασης ηλεκτρικού πεδίου (E-Field) ως συνάρτηση της συχνότητας (Frequency) του πεδίου για μετρήσεις με οργανολογία τύπου NARDA SMR-3006 σε συσκευή κινητής τηλεφωνίας τύπου SONY XPERIA E5603 και παρόχου VODAFONE σε απόσταση 0m από την κεραία της συσκευής κατά τη διάρκεια αναμονής χρήσης της συσκευής με ενεργοποίηση των δεδομένων κινητής τηλεφωνίας χωρίς πρόσβαση στον παγώσιμο ιστό.



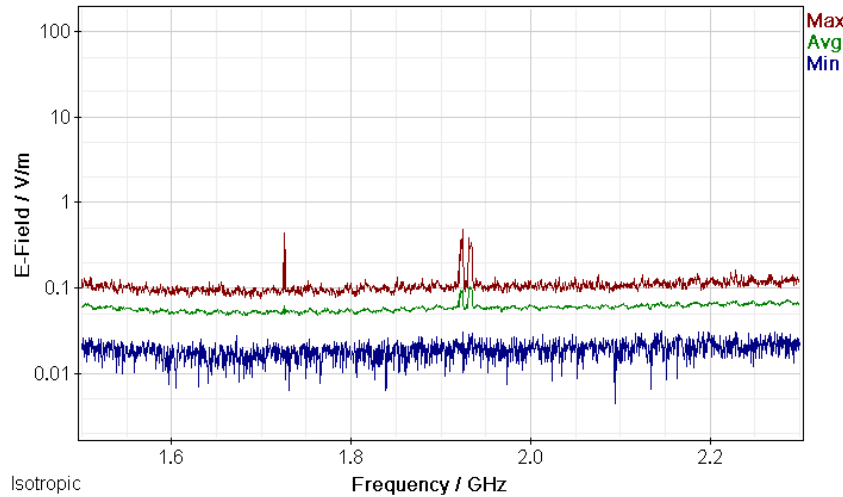
Σχήμα 314: Διακυμάνσεις (α) ελάχιστης (Min), (β) μέσης (Avg) και (γ) μέγιστης (Max) έντασης ηλεκτρικού πεδίου (E-Field) ως συνάρτηση της συχνότητας (Frequency) του πεδίου για μετρήσεις με οργανολογία τύπου NARDA SMR-3006 σε συσκευή κινητής τηλεφωνίας τύπου SONY XPERIA E5603 και παρόχου VODAFONE σε απόσταση 0m από την κεραία της συσκευής κατά τη διάρκεια αναμονής χρήσης της συσκευής με ενεργοποίηση των δεδομένων κινητής τηλεφωνίας και αναζήτησης δεδομένων στον παγώσιμο ιστό.

ΠΑΡΑΡΤΗΜΑ 2

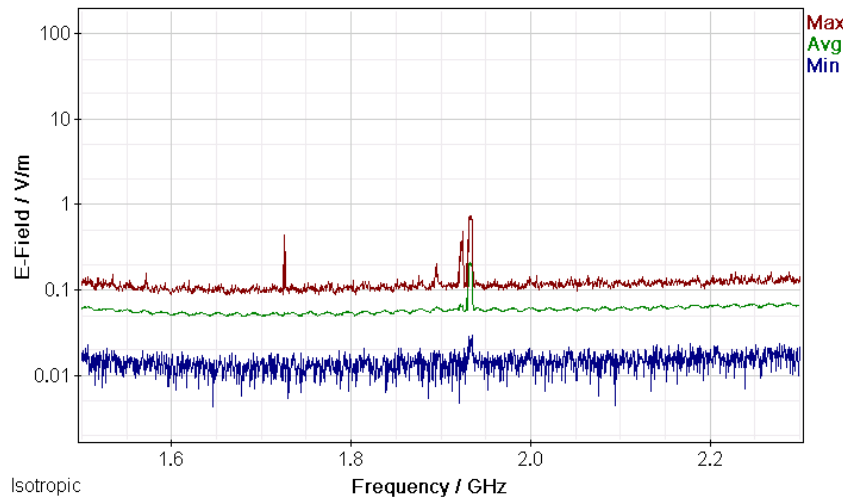
Μετρήσεις διακυμάνσεων (α) ελάχιστης (Min), (β) μέσης (Avg) και (γ) μέγιστης (Max) έντασης ηλεκτρικού πεδίου (E-Field) ως συνάρτηση της συχνότητας (Frequency) του πεδίου για μετρήσεις με οργάνολογία τύπου NARDA SMR-3006 σε συσκευές κινητής τηλεφωνίας διαφόρων τύπων και παρόχων σε απόσταση 1 m από την κεραία των συσκευών.



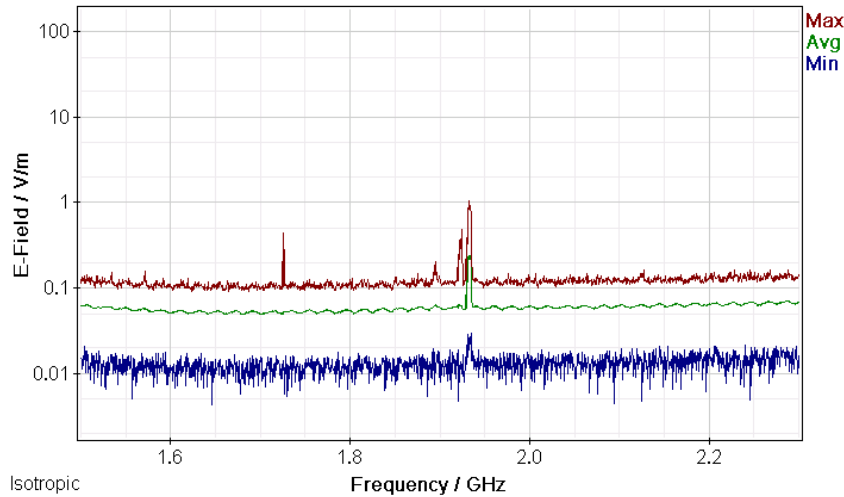
Σχήμα 315: Διακυμάνσεις (α) ελάχιστης (Min), (β) μέσης (Avg) και (γ) μέγιστης (Max) έντασης ηλεκτρικού πεδίου (E-Field) ως συνάρτηση της συχνότητας (Frequency) του πεδίου για μετρήσεις με οργάνολογία τύπου NARDA SMR-3006 σε συσκευή κινητής τηλεφωνίας τύπου SONY XPERIA E5603 και παρόχου VODAFONE σε απόσταση 1m από την κεραία της συσκευής κατά τη διάρκεια αναμονής χρήσης της συσκευής και χωρίς την ενεργοποίηση δεδομένων κινητής τηλεφωνίας.



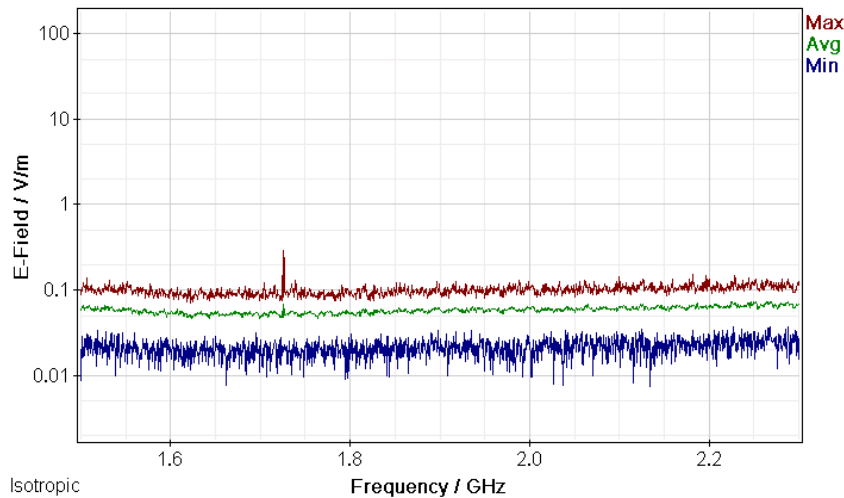
Σχήμα 316: Διακυμάνσεις (α) ελάχιστης (Min), (β) μέσης (Avg) και (γ) μέγιστης (Max) έντασης ηλεκτρικού πεδίου (E-Field) ως συνάρτηση της συχνότητας (Frequency) του πεδίου για μετρήσεις με οργανολογία τύπου NARDA SMR-3006 σε συσκευή κινητής τηλεφωνίας τύπου SONY XPERIA E5603 και παρόχου VODAFONE σε απόσταση 1m από την κεραία της συσκευής κατα τη διάρκεια κλήσης χωρίς συνομιλία και ενεργοποίηση δεδομένων κινητής τηλεφωνίας .



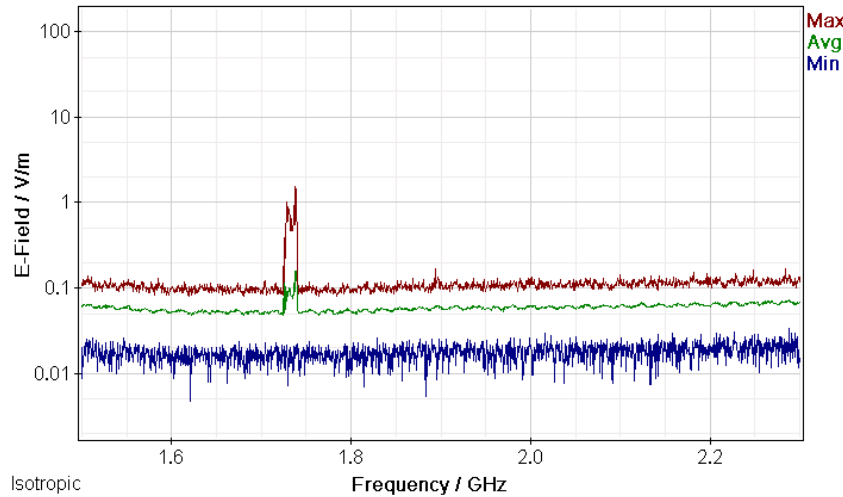
Σχήμα 317: Διακυμάνσεις (α) ελάχιστης (Min), (β) μέσης (Avg) και (γ) μέγιστης (Max) έντασης ηλεκτρικού πεδίου (E-Field) ως συνάρτηση της συχνότητας (Frequency) του πεδίου για μετρήσεις με οργανολογία τύπου NARDA SMR-3006 σε συσκευή κινητής τηλεφωνίας τύπου SONY XPERIA E5603 και παρόχου VODAFONE σε απόσταση 1m από την κεραία της συσκευής κατα τη διάρκεια συνομιλίας δύομιση λεπτών χωρίς ενεργοποίηση δεδομένων κινητής τηλεφωνίας.



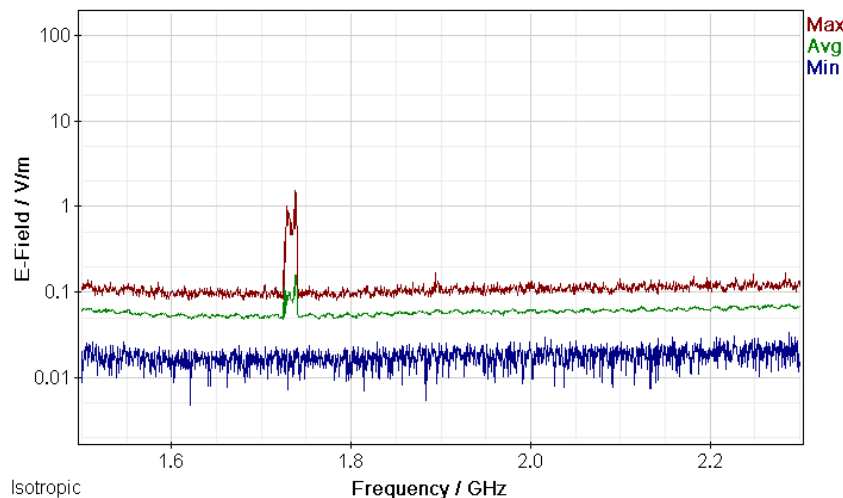
Σχήμα 318: Διακυμάνσεις (α) ελάχιστης (Min), (β) μέσης (Avg) και (γ) μέγιστης (Max) έντασης ηλεκτρικού πεδίου (E-Field) ως συνάρτηση της συχνότητας (Frequency) του πεδίου για μετρήσεις με οργαολογία τύπου NARDA SMR-3006 σε συσκευή κινητής τηλεφωνίας τύπου SONY XPERIA E5603 και παρόχου VODAFONE σε απόσταση 1m από την κεραία της συσκευής κατα τη διάρκεια πεντάλεπτης συνομιλίας χωρίς ενεργοποίηση δεδομένων κινητής τηλεφωνίας.



Σχήμα 319: Διακυμάνσεις (α) ελάχιστης (Min), (β) μέσης (Avg) και (γ) μέγιστης (Max) έντασης ηλεκτρικού πεδίου (E-Field) ως συνάρτηση της συχνότητας (Frequency) του πεδίου για μετρήσεις με οργαολογία τύπου NARDA SMR-3006 σε συσκευή κινητής τηλεφωνίας τύπου SONY XPERIA E5603 και παρόχου VODAFONE σε απόσταση 1m από την κεραία της συσκευής κατα τη διάρκεια τερματισμού της κλήσης χωρίς ενεργοποίηση δεδομένων κινητής τηλεφωνίας.



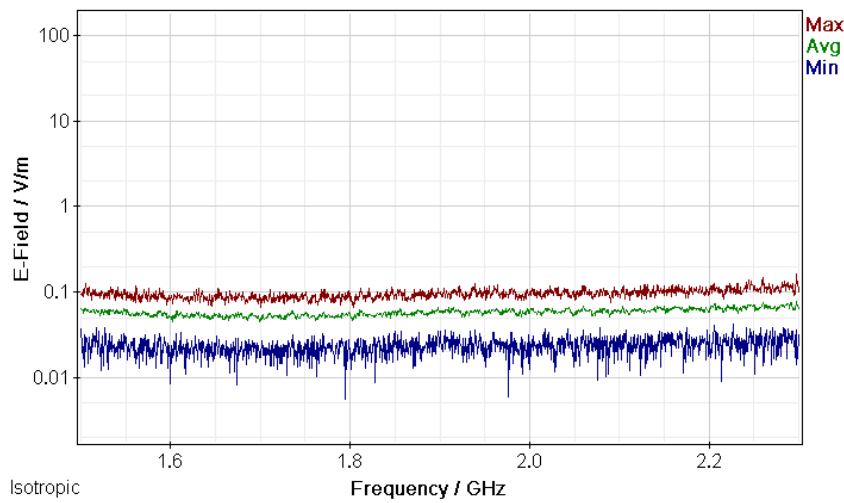
Σχήμα 320: Διακυμάνσεις (α) ελάχιστης (Min), (β) μέσης (Avg) και (γ) μέγιστης (Max) έντασης ηλεκτρικού πεδίου (E-Field) ως συνάρτηση της συχνότητας (Frequency) του πεδίου για μετρήσεις με οργανολογία τύπου NARDA SMR-3006 σε συσκευή κινητής τηλεφωνίας τύπου SONY XPERIA E5603 και παρόχου VODAFONE σε απόσταση 1m από την κεραία της συσκευής κατά τη διάρκεια αναμονής χρήσης της συσκευής με ενεργοποίηση των δεδομένων κινητής τηλεφωνίας χωρίς πρόσβαση στον παγόσμιο ιστό.



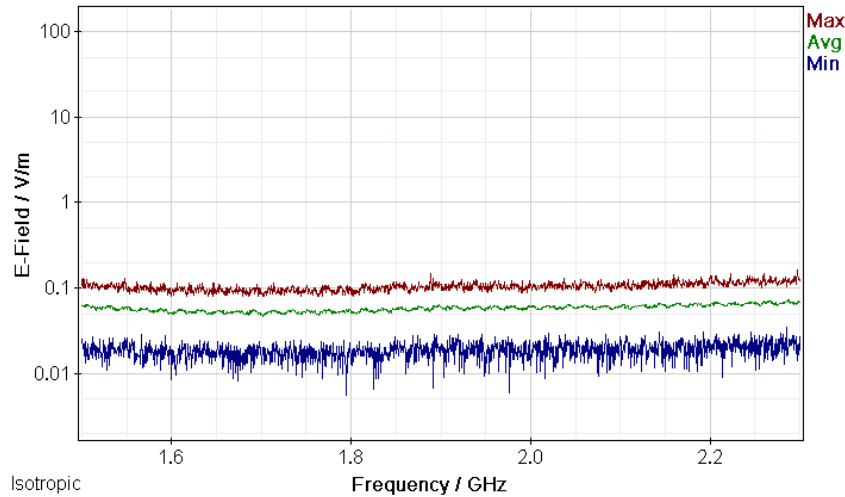
Σχήμα 321: Διακυμάνσεις (α) ελάχιστης (Min), (β) μέσης (Avg) και (γ) μέγιστης (Max) έντασης ηλεκτρικού πεδίου (E-Field) ως συνάρτηση της συχνότητας (Frequency) του πεδίου για μετρήσεις με οργανολογία τύπου NARDA SMR-3006 σε συσκευή κινητής τηλεφωνίας τύπου SONY XPERIA E5603 και παρόχου VODAFONE σε απόσταση 1m από την κεραία της συσκευής κατά τη διάρκεια αναμονής χρήσης της συσκευής με ενεργοποίηση των δεδομένων κινητής τηλεφωνίας και αναζήτησης δεδομένων στον παγόσμιο ιστό.

ΠΑΡΑΡΤΗΜΑ 1

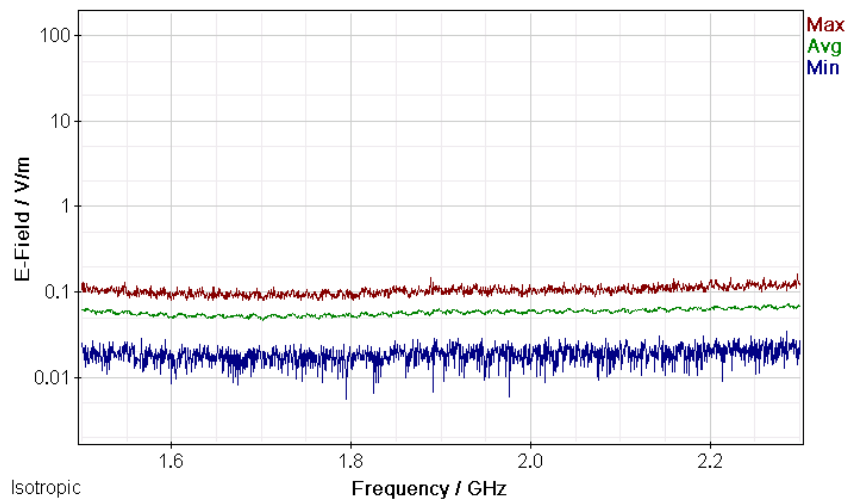
Μετρήσεις διακυμάνσεων (α) ελάχιστης (Min), (β) μέσης (Avg) και (γ) μέγιστης (Max) έντασης ηλεκτρικού πεδίου (E-Field) ως συνάρτηση της συχνότητας (Frequency) του πεδίου για μετρήσεις με οργανολογία τύπου NARDA SMR-3006 σε συσκευές κινητής τηλεφωνίας διαφόρων τύπων και παρόχων σε απόσταση 0 m από την κεραία των συσκευών.



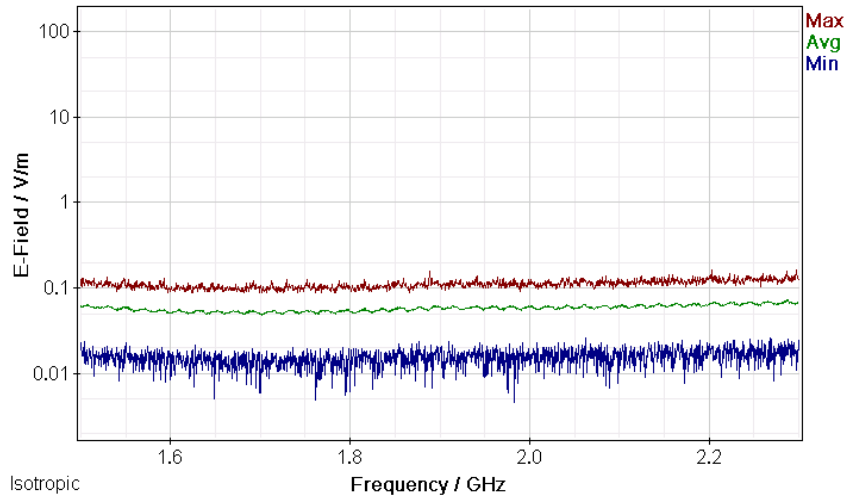
Σχήμα 322: Διακυμάνσεις (α) ελάχιστης (Min), (β) μέσης (Avg) και (γ) μέγιστης (Max) έντασης ηλεκτρικού πεδίου (E-Field) ως συνάρτηση της συχνότητας (Frequency) του πεδίου για μετρήσεις με οργανολογία τύπου NARDA SMR-3006 σε συσκευή κινητής τηλεφωνίας τύπου SONY XPERIA E5603 και παρόχου WIND σε απόσταση 0m από την κεραία της συσκευής κατά τη διάρκεια αναμονής χρήσης της συσκευής και χωρίς την ενεργοποίηση δεδομένων κινητής τηλεφωνίας.



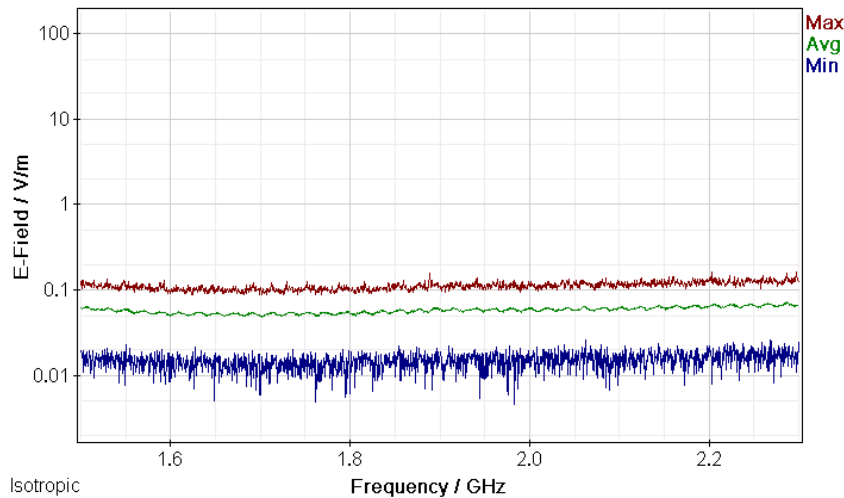
Σχήμα 323: Διακυμάνσεις (α) ελάχιστης (Min), (β) μέσης (Avg) και (γ) μέγιστης (Max) έντασης ηλεκτρικού πεδίου (E-Field) ως συνάρτηση της συχνότητας (Frequency) του πεδίου για μετρήσεις με οργανολογία τύπου NARDA SMR-3006 σε συσκευή κινητής τηλεφωνίας τύπου SONY XPERIA E5603 και παρόχου WIND σε απόσταση 0m από την κεραία της συσκευής κατά τη διάρκεια κλήσης χωρίς συνομιλία και ενεργοποίηση δεδομένων κινητής τηλεφωνίας .



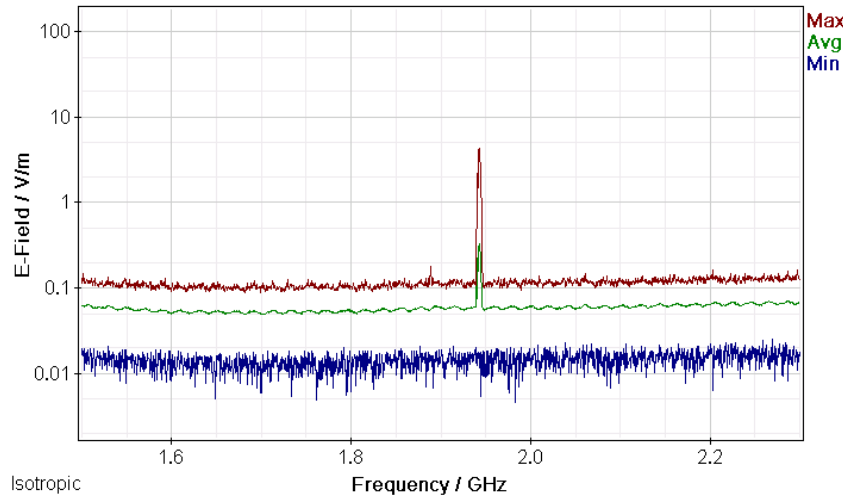
Σχήμα 324: Διακυμάνσεις (α) ελάχιστης (Min), (β) μέσης (Avg) και (γ) μέγιστης (Max) έντασης ηλεκτρικού πεδίου (E-Field) ως συνάρτηση της συχνότητας (Frequency) του πεδίου για μετρήσεις με οργανολογία τύπου NARDA SMR-3006 σε συσκευή κινητής τηλεφωνίας τύπου SONY XPERIA E5603 και παρόχου WIND σε απόσταση 0m από την κεραία της συσκευής κατά τη διάρκεια συνομιλίας δούμιση λεπτών χωρίς ενεργοποίηση δεδομένων κινητής τηλεφωνίας.



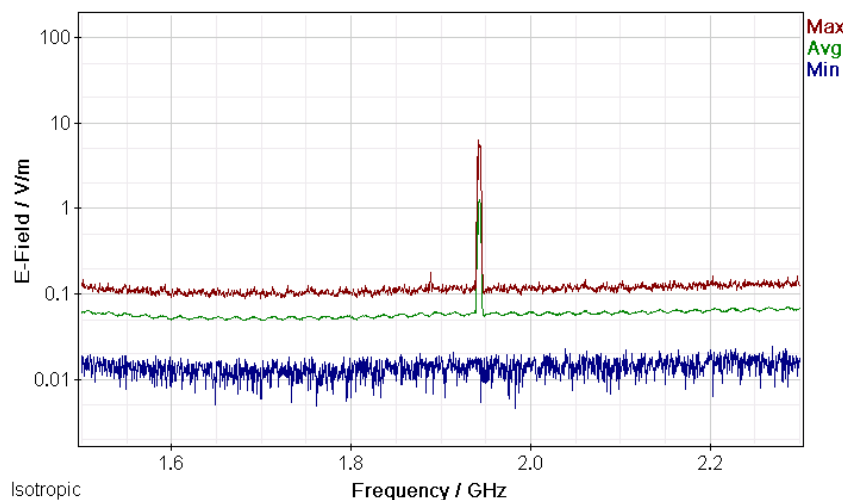
Σχήμα 325: Διακυμάνσεις (α) ελάχιστης (Min), (β) μέσης (Avg) και (γ) μέγιστης (Max) έντασης ηλεκτρικού πεδίου (E-Field) ως συνάρτηση της συχνότητας (Frequency) του πεδίου για μετρήσεις με οργάνολογία τύπου NARDA SMR-3006 σε συσκευή κινητής τηλεφωνίας τύπου SONY XPERIA E5603 και παρόχου WIND σε απόσταση 0m από την κεραία της συσκευής κατά τη διάρκεια πεντάλεπτης συνομιλίας χωρίς ενεργοποίηση δεδομένων κινητής τηλεφωνίας.



Σχήμα 326: Διακυμάνσεις (α) ελάχιστης (Min), (β) μέσης (Avg) και (γ) μέγιστης (Max) έντασης ηλεκτρικού πεδίου (E-Field) ως συνάρτηση της συχνότητας (Frequency) του πεδίου για μετρήσεις με οργάνολογία τύπου NARDA SMR-3006 σε συσκευή κινητής τηλεφωνίας τύπου SONY XPERIA E5603 και παρόχου WIND σε απόσταση 0m από την κεραία της συσκευής κατά τη διάρκεια τερματισμού της κλήσης χωρίς ενεργοποίηση δεδομένων κινητής τηλεφωνίας.



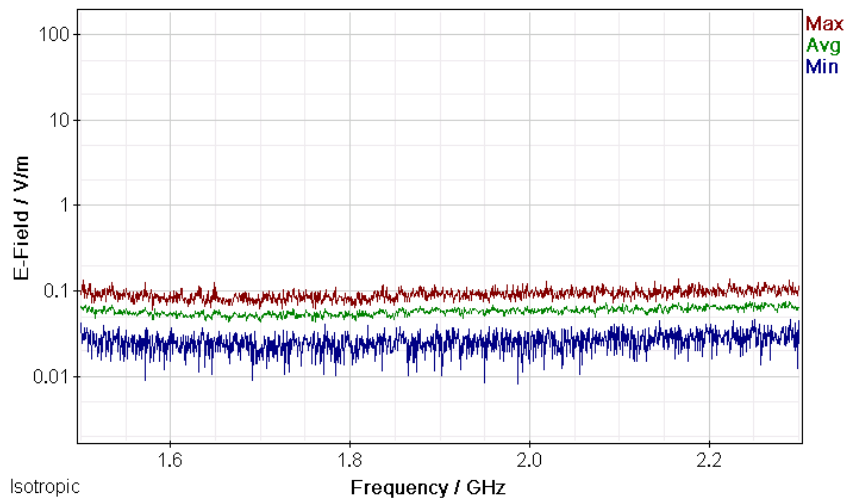
Σχήμα 327: Διακυμάνσεις (α) ελάχιστης (Min), (β) μέσης (Avg) και (γ) μέγιστης (Max) έντασης ηλεκτρικού πεδίου (E-Field) ως συνάρτηση της συχνότητας (Frequency) του πεδίου για μετρήσεις με οργανολογία τύπου NARDA SMR-3006 σε συσκευή κινητής τηλεφωνίας τύπου SONY XPERIA E5603 και παρόχου WIND σε απόσταση 0m από την κεραία της συσκευής κατα τη διάρκεια αναμονής χρήσης της συσκευής με ενεργοποίηση των δεδομένων κινητής τηλεφωνίας χωρίς πρόσβαση στον παγόσμιο ιστό.



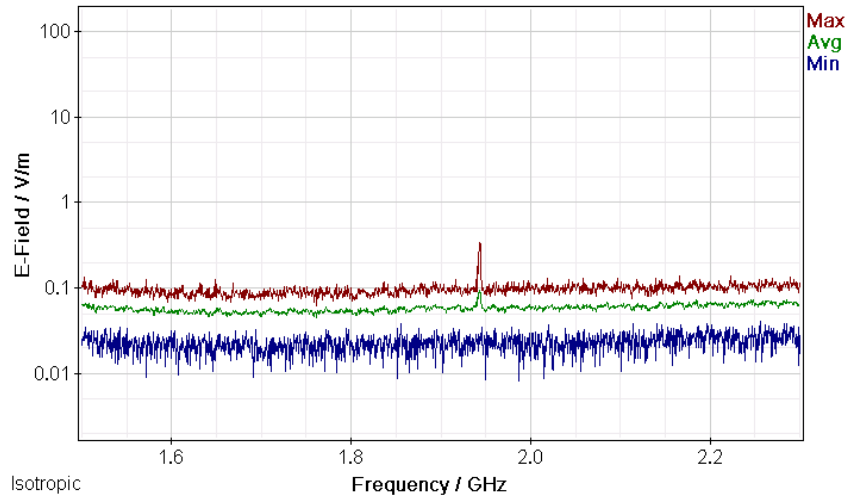
Σχήμα 328: Διακυμάνσεις (α) ελάχιστης (Min), (β) μέσης (Avg) και (γ) μέγιστης (Max) έντασης ηλεκτρικού πεδίου (E-Field) ως συνάρτηση της συχνότητας (Frequency) του πεδίου για μετρήσεις με οργανολογία τύπου NARDA SMR-3006 σε συσκευή κινητής τηλεφωνίας τύπου SONY XPERIA E5603 και παρόχου WIND σε απόσταση 0m από την κεραία της συσκευής κατα τη διάρκεια αναμονής χρήσης της συσκευής με ενεργοποίηση των δεδομένων κινητής τηλεφωνίας και αναζήτησης δεδομένων στον παγόσμιο ιστό.

ΠΑΡΑΡΤΗΜΑ 2

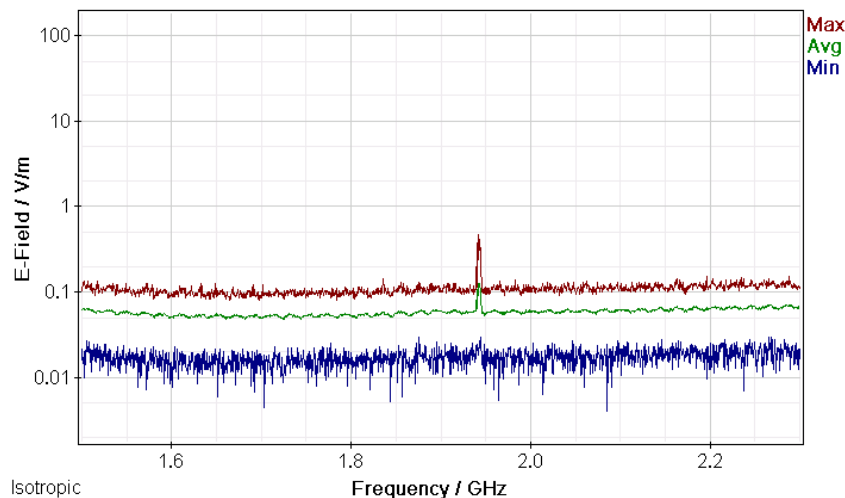
Μετρήσεις διακυμάνσεων (α) ελάχιστης (Min), (β) μέσης (Avg) και (γ) μέγιστης (Max) έντασης ηλεκτρικού πεδίου (E-Field) ως συνάρτηση της συχνότητας (Frequency) του πεδίου για μετρήσεις με οργάνολογία τύπου NARDA SMR-3006 σε συσκευές κινητής τηλεφωνίας διαφόρων τύπων και παρόχων σε απόσταση 1 m από την κεραία των συσκευών.



Σχήμα 329: Διακυμάνσεις (α) ελάχιστης (Min), (β) μέσης (Avg) και (γ) μέγιστης (Max) έντασης ηλεκτρικού πεδίου (E-Field) ως συνάρτηση της συχνότητας (Frequency) του πεδίου για μετρήσεις με οργάνολογία τύπου NARDA SMR-3006 σε συσκευή κινητής τηλεφωνίας τύπου SONY XPERIA E5603 και παρόχου WIND σε απόσταση 1m από την κεραία της συσκευής κατά τη διάρκεια αναμονής χρήσης της συσκευής και χωρίς την ενεργοποίηση δεδομένων κινητής τηλεφωνίας.

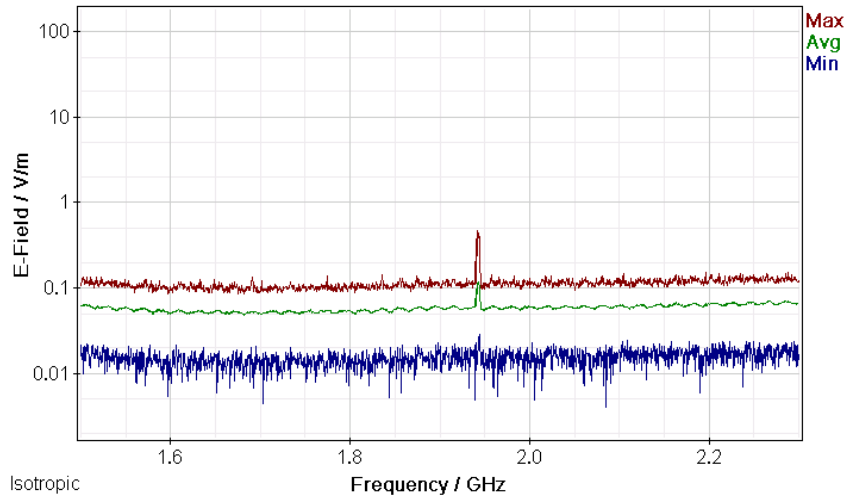


Σχήμα 330: Διακυμάνσεις (α) ελάχιστης (Min), (β) μέσης (Avg) και (γ) μέγιστης (Max) έντασης ηλεκτρικού πεδίου (E-Field) ως συνάρτηση της συχνότητας (Frequency) του πεδίου για μετρήσεις με οργανολογία τύπου NARDA SMR-3006 σε συσκευή κινητής τηλεφωνίας τύπου SONY XPERIA E5603 και παρόχου WIND σε απόσταση 1m από την κεραία της συσκευής κατά τη διάρκεια κλήσης χωρίς συνομιλία και ενεργοποίηση δεδομένων κινητής τηλεφωνίας .

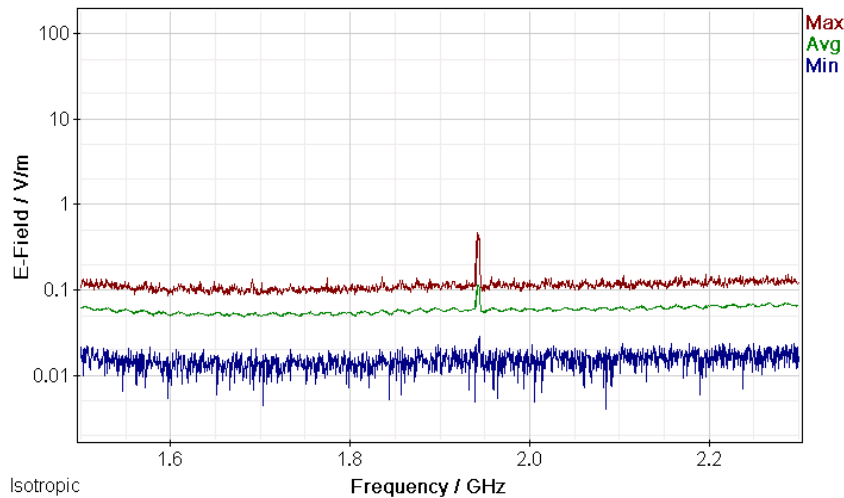


Σχήμα 331: Διακυμάνσεις (α) ελάχιστης (Min), (β) μέσης (Avg) και (γ) μέγιστης (Max) έντασης ηλεκτρικού πεδίου (E-Field) ως συνάρτηση της συχνότητας (Frequency) του πεδίου για μετρήσεις με οργανολογία τύπου NARDA SMR-3006 σε συσκευή κινητής τηλεφωνίας τύπου SONY XPERIA E5603 και παρόχου WIND σε απόσταση 1m από την κεραία της συσκευής κατά τη διάρκεια συνομιλίας δυόμιση λεπτών χωρίς ενεργοποίηση δεδομένων κινητής τηλεφωνίας.

ΜΕΛΕΤΗ Η/Μ ΔΙΑΤΑΡΑΧΩΝ ΚΙΝΗΤΗΣ ΤΗΛΕΦΩΝΙΑΣ

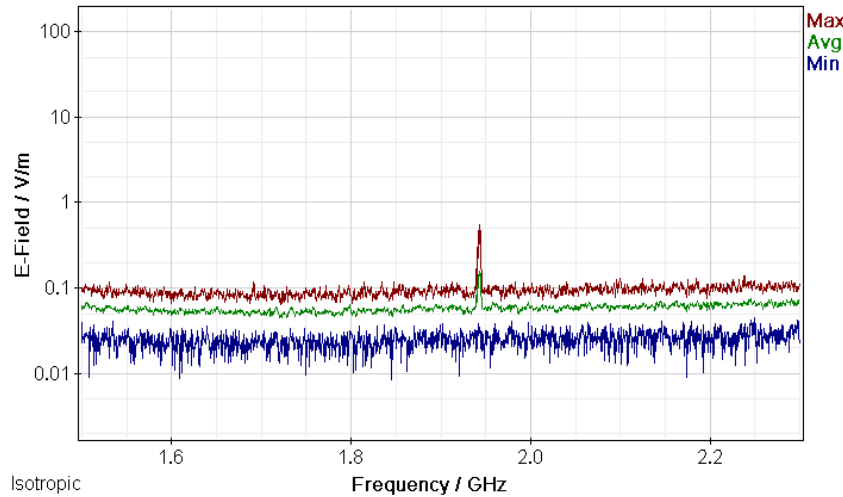


Σχήμα 332: Διακυμάνσεις (α) ελάχιστης (Min), (β) μέσης (Avg) και (γ) μέγιστης (Max) έντασης ηλεκτρικού πεδίου (E-Field) ως συνάρτηση της συχνότητας (Frequency) του πεδίου για μετρήσεις με οργάνολογία τύπου NARDA SMR-3006 σε συσκευή κινητής τηλεφωνίας τύπου SONY XPERIA E5603 και παρόχου WIND σε απόσταση 1m από την κεραία της συσκευής κατά τη διάρκεια πεντάλεπτης συνομιλίας χωρίς ενεργοποίηση δεδομένων κινητής τηλεφωνίας.

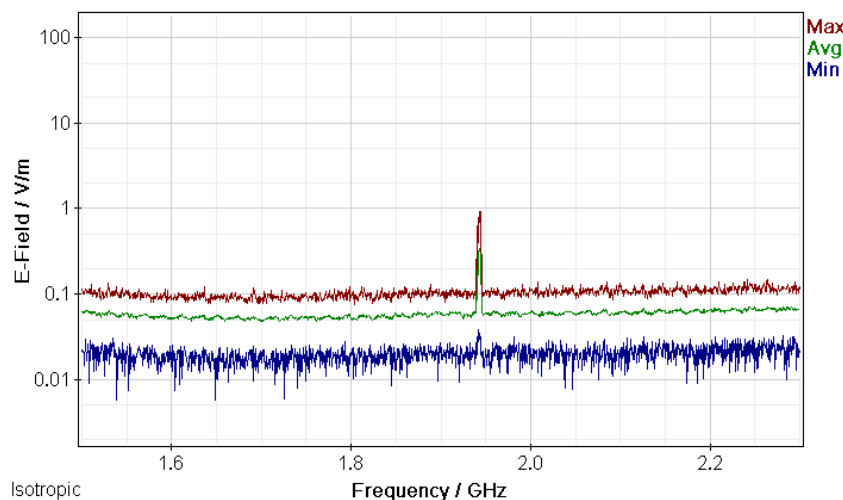


Σχήμα 333: Διακυμάνσεις (α) ελάχιστης (Min), (β) μέσης (Avg) και (γ) μέγιστης (Max) έντασης ηλεκτρικού πεδίου (E-Field) ως συνάρτηση της συχνότητας (Frequency) του πεδίου για μετρήσεις με οργάνολογία τύπου NARDA SMR-3006 σε συσκευή κινητής τηλεφωνίας τύπου SONY XPERIA E5603 και παρόχου WIND σε απόσταση 1m από την κεραία της συσκευής κατά τη διάρκεια τερματισμού της κλήσης χωρίς ενεργοποίηση δεδομένων κινητής τηλεφωνίας.

ΜΕΛΕΤΗ Η/Μ ΔΙΑΤΑΡΑΧΩΝ ΚΙΝΗΤΗΣ ΤΗΛΕΦΩΝΙΑΣ



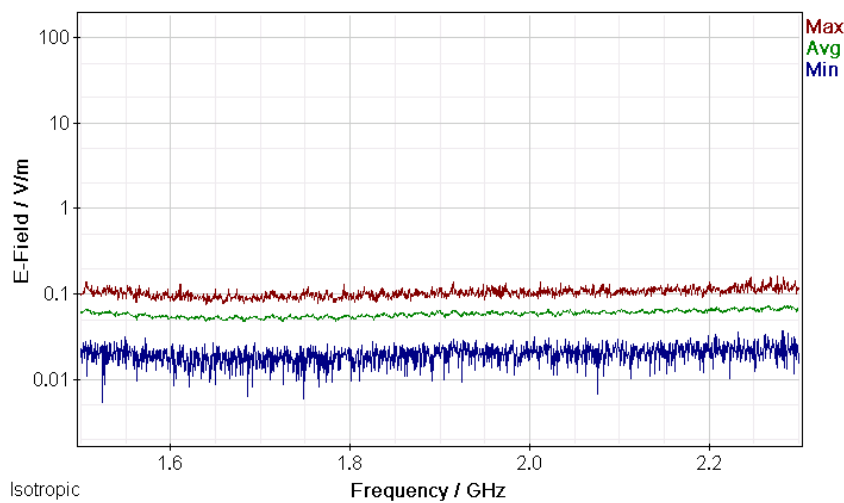
Σχήμα 334: Διακυμάνσεις (α) ελάχιστης (Min), (β) μέσης (Avg) και (γ) μέγιστης (Max) έντασης ηλεκτρικού πεδίου (E-Field) ως συνάρτηση της συχνότητας (Frequency) του πεδίου για μετρήσεις με οργάνολογία τύπου NARDA SMR-3006 σε συσκευή κινητής τηλεφωνίας τύπου SONY XPERIA E5603 και παρόχου WIND σε απόσταση 1m από την κεραία της συσκευής κατα τη διάρκεια αναμονής χρήσης της συσκευής με ενεργοποίηση των δεδομένων κινητής τηλεφωνίας χωρίς πρόσβαση στον παγόσμιο ιστό.



Σχήμα 335: Διακυμάνσεις (α) ελάχιστης (Min), (β) μέσης (Avg) και (γ) μέγιστης (Max) έντασης ηλεκτρικού πεδίου (E-Field) ως συνάρτηση της συχνότητας (Frequency) του πεδίου για μετρήσεις με οργάνολογία τύπου NARDA SMR-3006 σε συσκευή κινητής τηλεφωνίας τύπου SONY XPERIA E5603 και παρόχου WIND σε απόσταση 1m από την κεραία της συσκευής κατα τη διάρκεια αναμονής χρήσης της συσκευής με ενεργοποίηση των δεδομένων κινητής τηλεφωνίας και αναζήτησης δεδομένων στον παγόσμιο ιστό.

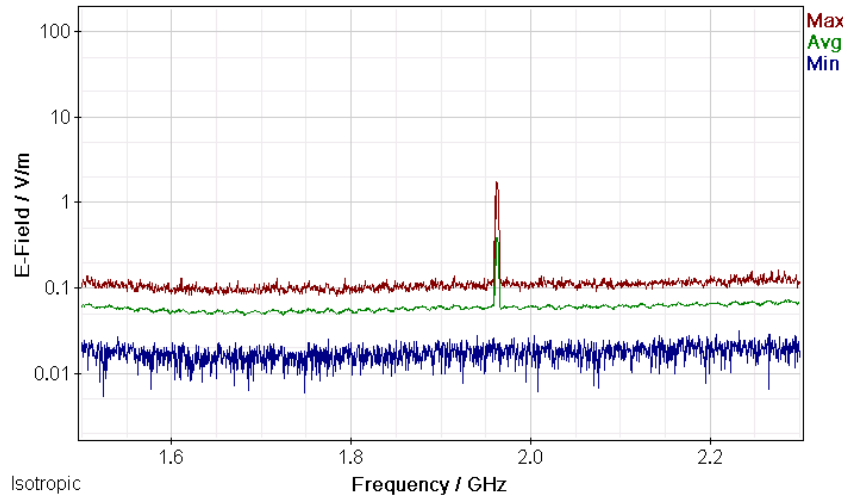
ΠΑΡΑΡΤΗΜΑ 1

Μετρήσεις διακυμάνσεων (α) ελάχιστης (Min), (β) μέσης (Avg) και (γ) μέγιστης (Max) έντασης ηλεκτρικού πεδίου (E-Field) ως συνάρτηση της συχνότητας (Frequency) του πεδίου για μετρήσεις με οργανολογία τύπου NARDA SMR-3006 σε συσκευές κινητής τηλεφωνίας διαφόρων τύπων και παρόχων σε απόσταση 0 m από την κεραία των συσκευών.

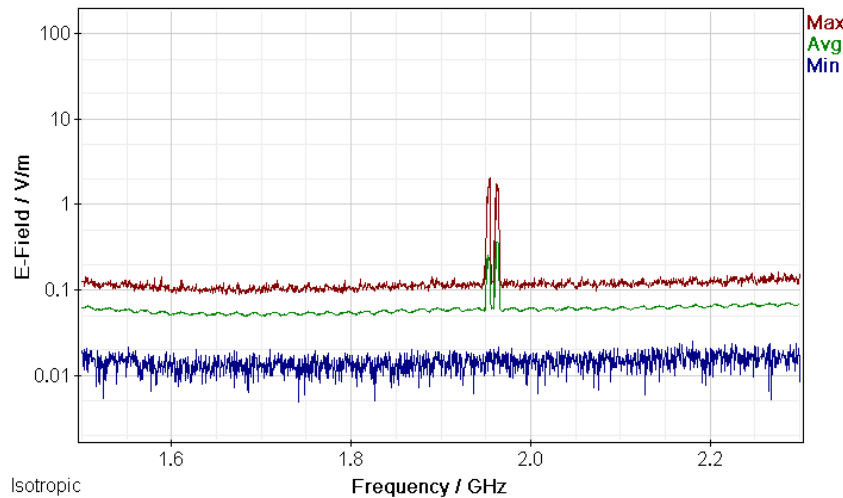


Σχήμα 336: Διακυμάνσεις (α) ελάχιστης (Min), (β) μέσης (Avg) και (γ) μέγιστης (Max) έντασης ηλεκτρικού πεδίου (E-Field) ως συνάρτηση της συχνότητας (Frequency) του πεδίου για μετρήσεις με οργανολογία τύπου NARDA SMR-3006 σε συσκευή κινητής τηλεφωνίας τύπου SONY XPERIA E2303 και παρόχου COSMOTE σε απόσταση 0m από την κεραία της συσκευής κατά τη διάρκεια αναμονής χρήσης της συσκευής και χωρίς την ενεργοποίηση δεδομένων κινητής τηλεφωνίας.

ΜΕΛΕΤΗ Η/Μ ΔΙΑΤΑΡΑΧΩΝ ΚΙΝΗΤΗΣ ΤΗΛΕΦΩΝΙΑΣ

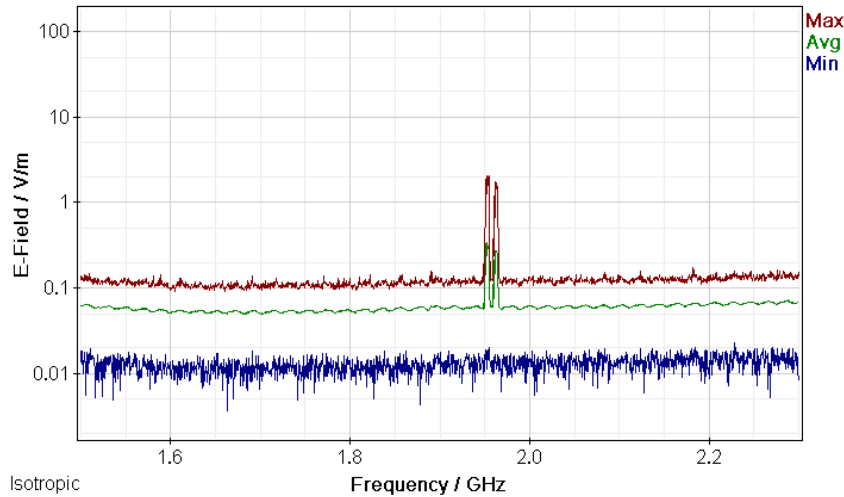


Σχήμα 337: Διακυμάνσεις (α) ελάχιστης (Min), (β) μέσης (Avg) και (γ) μέγιστης (Max) έντασης ηλεκτρικού πεδίου (E-Field) ως συνάρτηση της συχνότητας (Frequency) του πεδίου για μετρήσεις με οργανολογία τύπου NARDA SMR-3006 σε συσκευή κινητής τηλεφωνίας τύπου SONY XPERIA E2303 και παρόχου COSMOTE σε απόσταση 0m από την κεραία της συσκευής κατα τη διάρκεια κλήσης χωρίς συνομιλία και ενεργοποίηση δεδομένων κινητής τηλεφωνίας .

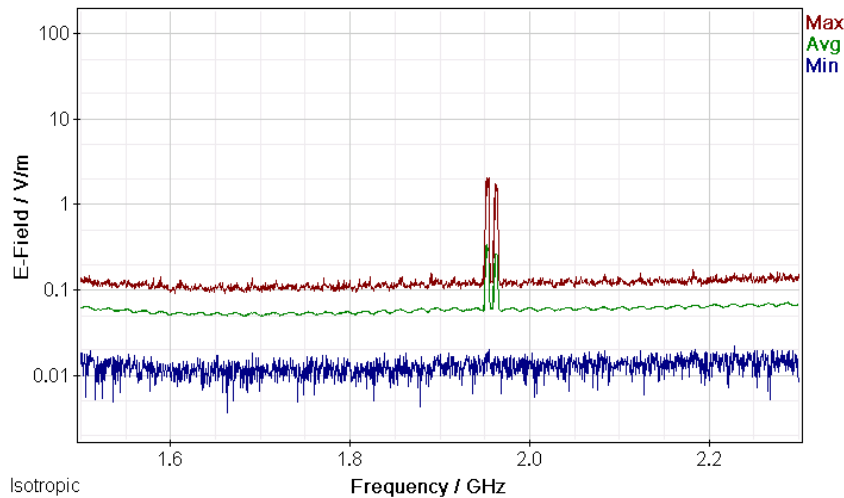


Σχήμα 338: Διακυμάνσεις (α) ελάχιστης (Min), (β) μέσης (Avg) και (γ) μέγιστης (Max) έντασης ηλεκτρικού πεδίου (E-Field) ως συνάρτηση της συχνότητας (Frequency) του πεδίου για μετρήσεις με οργανολογία τύπου NARDA SMR-3006 σε συσκευή κινητής τηλεφωνίας τύπου SONY XPERIA E2303 και παρόχου COSMOTE σε απόσταση 0m από την κεραία της συσκευής κατα τη διάρκεια συνομιλίας δυόμιση λεπτών χωρίς ενεργοποίηση δεδομένων κινητής τηλεφωνίας.

ΜΕΛΕΤΗ Η/Μ ΔΙΑΤΑΡΑΧΩΝ ΚΙΝΗΤΗΣ ΤΗΛΕΦΩΝΙΑΣ

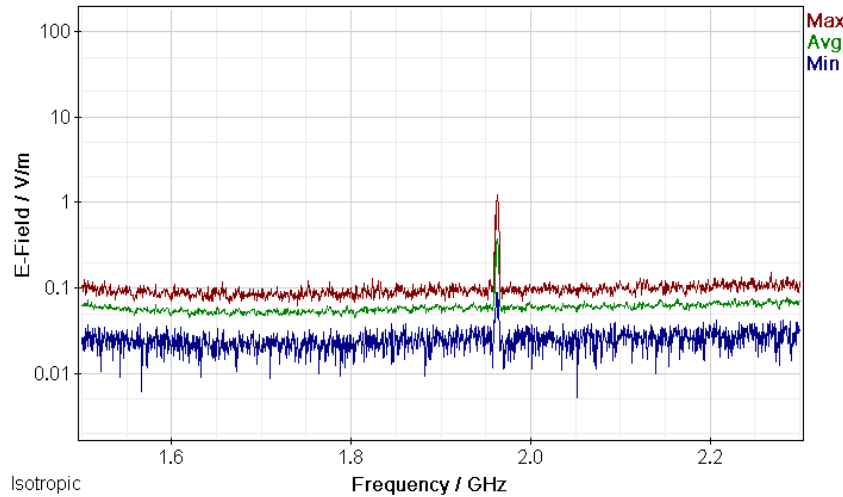


Σχήμα 339: Διακυμάνσεις (α) ελάχιστης (Min), (β) μέσης (Avg) και (γ) μέγιστης (Max) έντασης ηλεκτρικού πεδίου (E-Field) ως συνάρτηση της συχνότητας (Frequency) του πεδίου για μετρήσεις με οργάνολογία τύπου NARDA SMR-3006 σε συσκευή κινητής τηλεφωνίας τύπου SONY XPERIA E2303 και παρόχου COSMOTE σε απόσταση 0m από την κεραία της συσκευής κατά τη διάρκεια πεντάλεπτης συνομιλίας χωρίς ενεργοποίηση δεδομένων κινητής τηλεφωνίας.

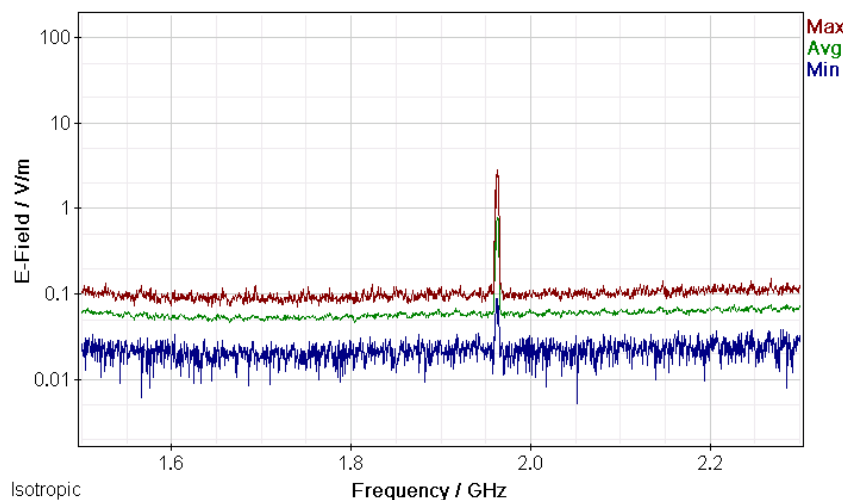


Σχήμα 340: Διακυμάνσεις (α) ελάχιστης (Min), (β) μέσης (Avg) και (γ) μέγιστης (Max) έντασης ηλεκτρικού πεδίου (E-Field) ως συνάρτηση της συχνότητας (Frequency) του πεδίου για μετρήσεις με οργάνολογία τύπου NARDA SMR-3006 σε συσκευή κινητής τηλεφωνίας τύπου SONY XPERIA E2303 και παρόχου COMOTE σε απόσταση 0m από την κεραία της συσκευής κατά τη διάρκεια τερματισμού της κλήσης χωρίς ενεργοποίηση δεδομένων κινητής τηλεφωνίας.

ΜΕΛΕΤΗ Η/Μ ΔΙΑΤΑΡΑΧΩΝ ΚΙΝΗΤΗΣ ΤΗΛΕΦΩΝΙΑΣ



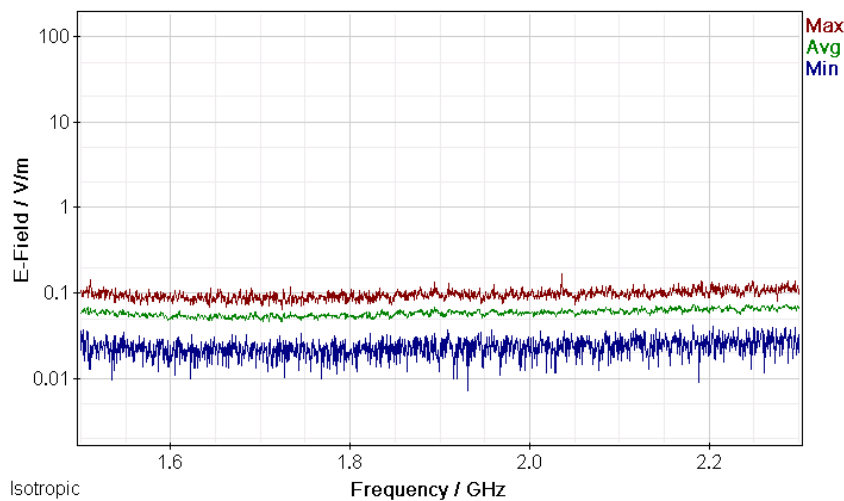
Σχήμα 341: Διακυμάνσεις (α) ελάχιστης (Min), (β) μέσης (Avg) και (γ) μέγιστης (Max) έντασης ηλεκτρικού πεδίου (E-Field) ως συνάρτηση της συχνότητας (Frequency) του πεδίου για μετρήσεις με οργανολογία τύπου NARDA SMR-3006 σε συσκευή κινητής τηλεφωνίας τύπου SONY XPERIA E2303 και παρόχου COSMOTE σε απόσταση 0m από την κεραία της συσκευής κατά τη διάρκεια αναμονής χρήσης της συσκευής με ενεργοποίηση των δεδομένων κινητής τηλεφωνίας χωρίς πρόσβαση στον παγώσιμο ιστό.



Σχήμα 342: Διακυμάνσεις (α) ελάχιστης (Min), (β) μέσης (Avg) και (γ) μέγιστης (Max) έντασης ηλεκτρικού πεδίου (E-Field) ως συνάρτηση της συχνότητας (Frequency) του πεδίου για μετρήσεις με οργανολογία τύπου NARDA SMR-3006 σε συσκευή κινητής τηλεφωνίας τύπου SONY XPERIA E2303 και παρόχου COSMOTE σε απόσταση 0m από την κεραία της συσκευής κατά τη διάρκεια αναμονής χρήσης της συσκευής με ενεργοποίηση των δεδομένων κινητής τηλεφωνίας και αναζήτησης δεδομένων στον παγώσιμο ιστό.

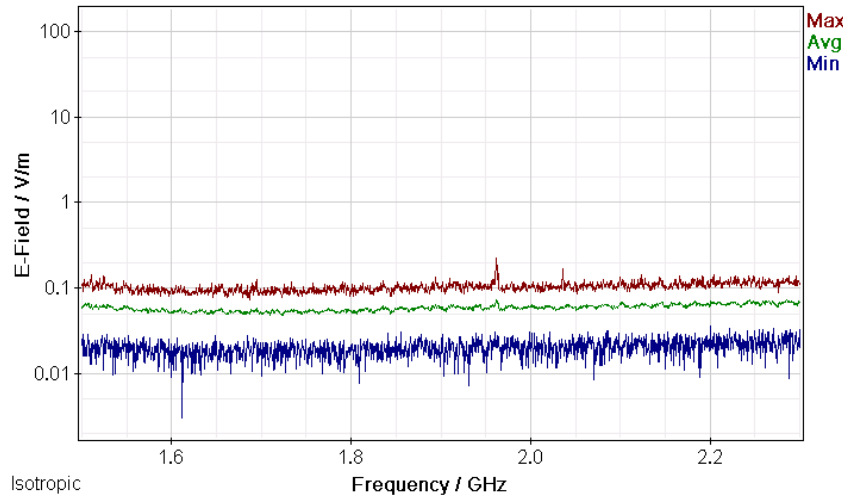
ΠΑΡΑΡΤΗΜΑ 2

Μετρήσεις διακυμάνσεων (α) ελάχιστης (Min), (β) μέσης (Avg) και (γ) μέγιστης (Max) έντασης ηλεκτρικού πεδίου (E-Field) ως συνάρτηση της συχνότητας (Frequency) του πεδίου για μετρήσεις με οργανολογία τύπου NARDA SMR-3006 σε συσκευές κινητής τηλεφωνίας διαφόρων τύπων και παρόχων σε απόσταση 1 m από την κεραία των συσκευών.

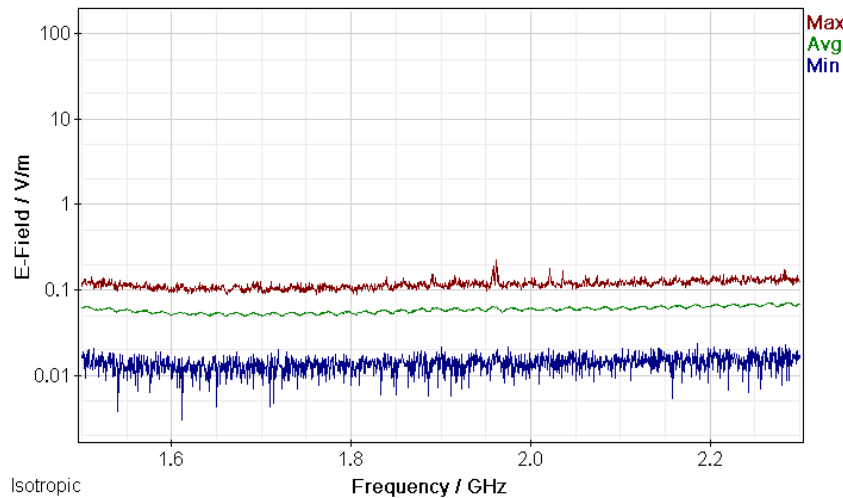


Σχήμα 343: Διακυμάνσεις (α) ελάχιστης (Min), (β) μέσης (Avg) και (γ) μέγιστης (Max) έντασης ηλεκτρικού πεδίου (E-Field) ως συνάρτηση της συχνότητας (Frequency) του πεδίου για μετρήσεις με οργανολογία τύπου NARDA SMR-3006 σε συσκευή κινητής τηλεφωνίας τύπου SONY XPERIA E2303 και παρόχου COSMOTE σε απόσταση 1m από την κεραία της συσκευής κατά τη διάρκεια αναμονής χρήσης της συσκευής και χωρίς την ενεργοποίηση δεδομένων κινητής τηλεφωνίας.

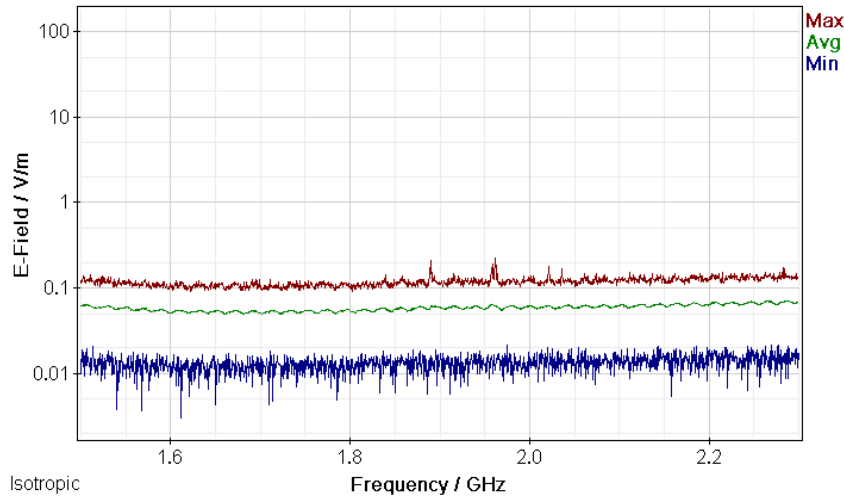
ΜΕΛΕΤΗ Η/Μ ΔΙΑΤΑΡΑΧΩΝ ΚΙΝΗΤΗΣ ΤΗΛΕΦΩΝΙΑΣ



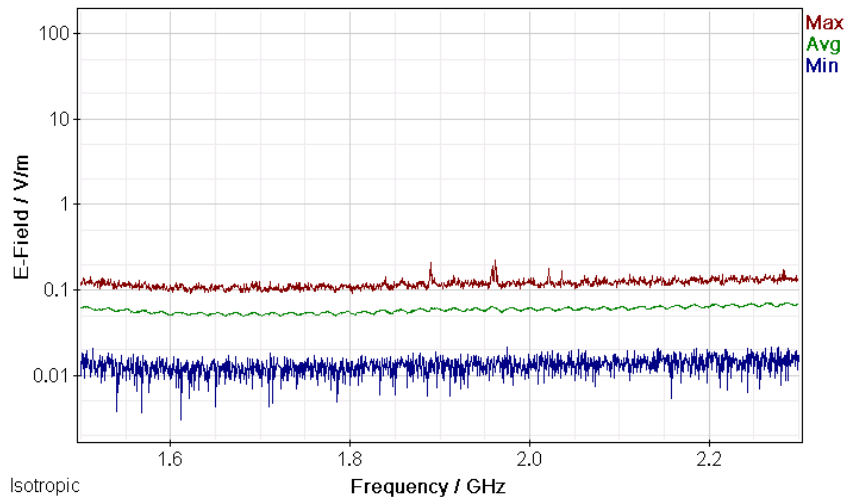
Σχήμα 344: Διακυμάνσεις (α) ελάχιστης (Min), (β) μέσης (Avg) και (γ) μέγιστης (Max) έντασης ηλεκτρικού πεδίου (E-Field) ως συνάρτηση της συχνότητας (Frequency) του πεδίου για μετρήσεις με οργανολογία τύπου NARDA SMR-3006 σε συσκευή κινητής τηλεφωνίας τύπου SONY XPERIA E2303 και παρόχου COSMOTE σε απόσταση 1m από την κεραία της συσκευής κατά τη διάρκεια κλήσης χωρίς συνομιλία και ενεργοποίηση δεδομένων κινητής τηλεφωνίας .



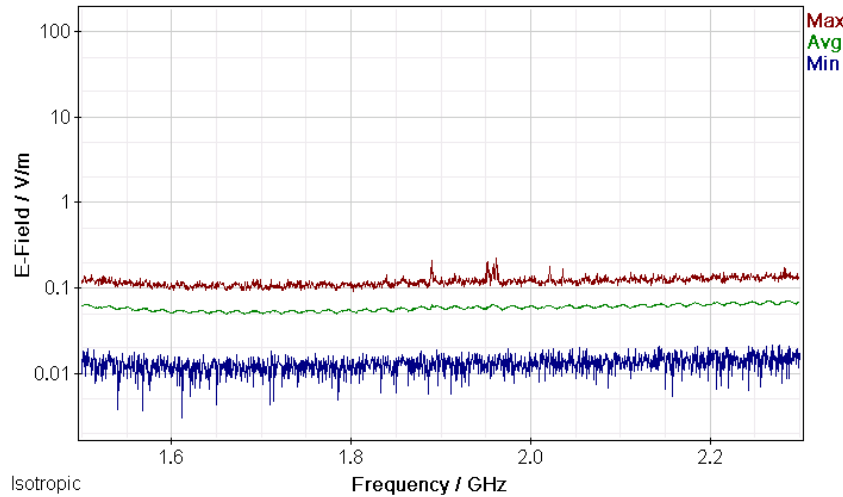
Σχήμα 345: Διακυμάνσεις (α) ελάχιστης (Min), (β) μέσης (Avg) και (γ) μέγιστης (Max) έντασης ηλεκτρικού πεδίου (E-Field) ως συνάρτηση της συχνότητας (Frequency) του πεδίου για μετρήσεις με οργανολογία τύπου NARDA SMR-3006 σε συσκευή κινητής τηλεφωνίας τύπου SONY XPERIA E2303 και παρόχου COSMOTE σε απόσταση 1m από την κεραία της συσκευής κατά τη διάρκεια συνομιλίας δύομιση λεπτών χωρίς ενεργοποίηση δεδομένων κινητής τηλεφωνίας.



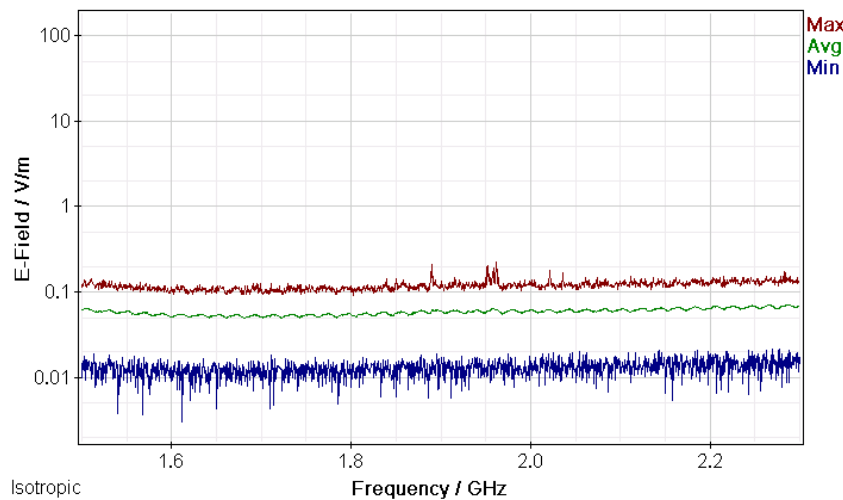
Σχήμα 346: Διακυμάνσεις (α) ελάχιστης (Min), (β) μέσης (Avg) και (γ) μέγιστης (Max) έντασης ηλεκτρικού πεδίου (E-Field) ως συνάρτηση της συχνότητας (Frequency) του πεδίου για μετρήσεις με οργάνολογία τύπου NARDA SMR-3006 σε συσκευή κινητής τηλεφωνίας τύπου SONY XPERIA E2303 και παρόχου COSMOTE σε απόσταση 1m από την κεραία της συσκευής κατα τη διάρκεια πεντάλεπτης συνομιλίας χωρίς ενεργοποίηση δεδομένων κινητής τηλεφωνίας.



Σχήμα 347: Διακυμάνσεις (α) ελάχιστης (Min), (β) μέσης (Avg) και (γ) μέγιστης (Max) έντασης ηλεκτρικού πεδίου (E-Field) ως συνάρτηση της συχνότητας (Frequency) του πεδίου για μετρήσεις με οργάνολογία τύπου NARDA SMR-3006 σε συσκευή κινητής τηλεφωνίας τύπου SONY XPERIA E2303 και παρόχου COSMOTE σε απόσταση 1m από την κεραία της συσκευής κατα τη διάρκεια τερματισμού της κλήσης χωρίς ενεργοποίηση δεδομένων κινητής τηλεφωνίας.



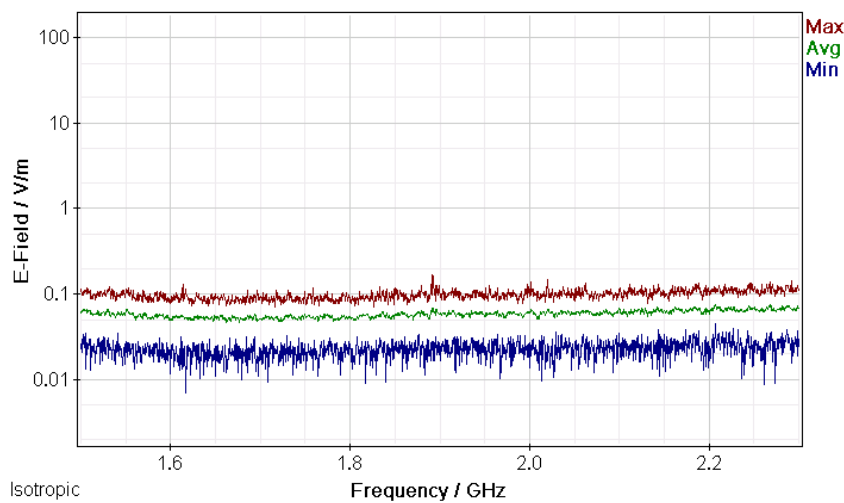
Σχήμα 348: Διακυμάνσεις (α) ελάχιστης (Min), (β) μέσης (Avg) και (γ) μέγιστης (Max) έντασης ηλεκτρικού πεδίου (E-Field) ως συνάρτηση της συχνότητας (Frequency) του πεδίου για μετρήσεις με οργανολογία τύπου NARDA SMR-3006 σε συσκευή κινητής τηλεφωνίας τύπου SONY XPERIA E2303 και παρόχου COSMOTE σε απόσταση 1m από την κεραία της συσκευής κατά τη διάρκεια αναμονής χρήσης της συσκευής με ενεργοποίηση των δεδομένων κινητής τηλεφωνίας χωρίς πρόσβαση στον παγόςμιο ιστό.



Σχήμα 349: Διακυμάνσεις (α) ελάχιστης (Min), (β) μέσης (Avg) και (γ) μέγιστης (Max) έντασης ηλεκτρικού πεδίου (E-Field) ως συνάρτηση της συχνότητας (Frequency) του πεδίου για μετρήσεις με οργανολογία τύπου NARDA SMR-3006 σε συσκευή κινητής τηλεφωνίας τύπου SONY XPERIA E2303 και παρόχου COSMOTE σε απόσταση 1m από την κεραία της συσκευής κατά τη διάρκεια αναμονής χρήσης της συσκευής με ενεργοποίηση των δεδομένων κινητής τηλεφωνίας και αναζήτησης δεδομένων στον παγόςμιο ιστό.

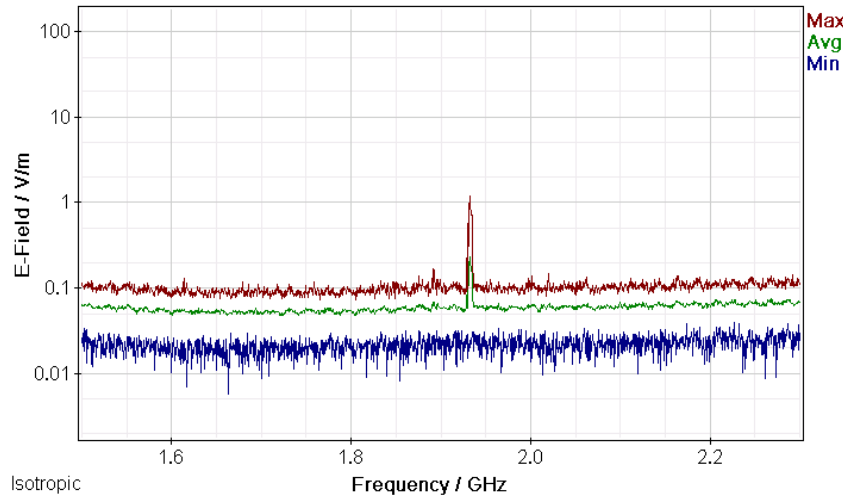
ΠΑΡΑΡΤΗΜΑ 1

Μετρήσεις διακυμάνσεων (α) ελάχιστης (Min), (β) μέσης (Avg) και (γ) μέγιστης (Max) έντασης ηλεκτρικού πεδίου (E-Field) ως συνάρτηση της συχνότητας (Frequency) του πεδίου για μετρήσεις με οργανολογία τύπου NARDA SMR-3006 σε συσκευές κινητής τηλεφωνίας διαφόρων τύπων και παρόχων σε απόσταση 0 m από την κεραία των συσκευών.

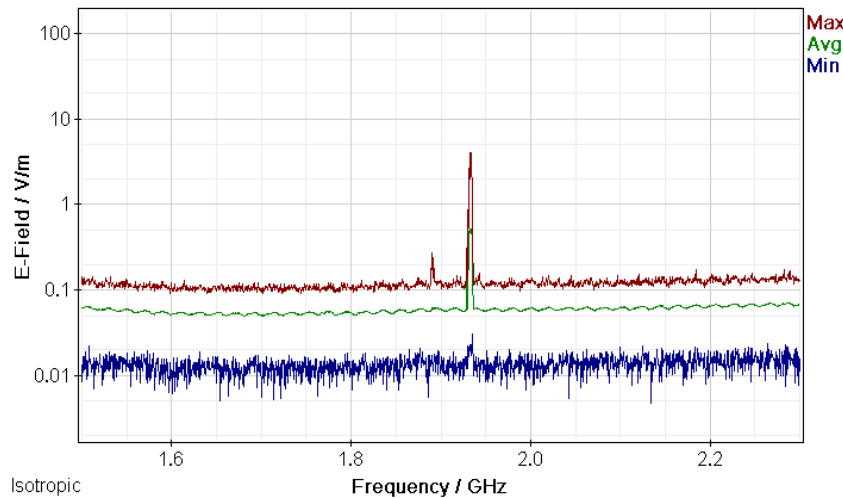


Σχήμα 350: Διακυμάνσεις (α) ελάχιστης (Min), (β) μέσης (Avg) και (γ) μέγιστης (Max) έντασης ηλεκτρικού πεδίου (E-Field) ως συνάρτηση της συχνότητας (Frequency) του πεδίου για μετρήσεις με οργανολογία τύπου NARDA SMR-3006 σε συσκευή κινητής τηλεφωνίας τύπου SONY XPERIA E2303 και παρόχου VODAFONE σε απόσταση 0m από την κεραία της συσκευής κατά τη διάρκεια αναμονής χρήσης της συσκευής και χωρίς την ενεργοποίηση δεδομένων κινητής τηλεφωνίας.

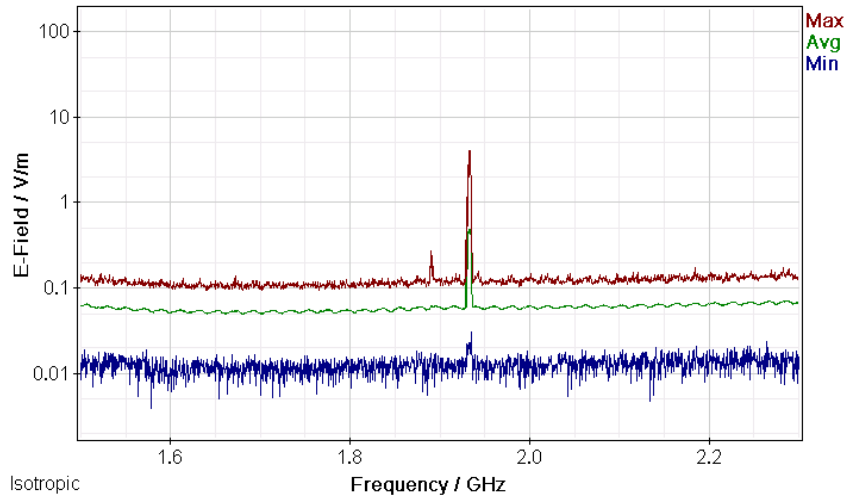
ΜΕΛΕΤΗ Η/Μ ΔΙΑΤΑΡΑΧΩΝ ΚΙΝΗΤΗΣ ΤΗΛΕΦΩΝΙΑΣ



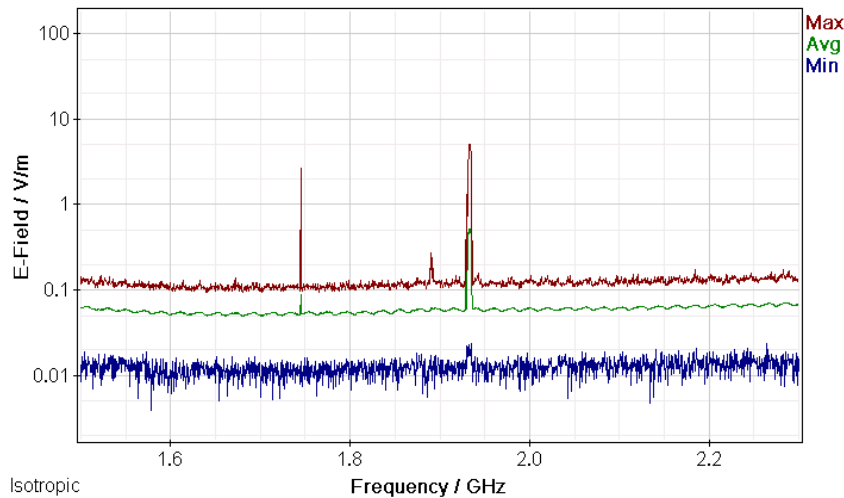
Σχήμα 351: Διακυμάνσεις (α) ελάχιστης (Min), (β) μέσης (Avg) και (γ) μέγιστης (Max) έντασης ηλεκτρικού πεδίου (E-Field) ως συνάρτηση της συχνότητας (Frequency) του πεδίου για μετρήσεις με οργανολογία τύπου NARDA SMR-3006 σε συσκευή κινητής τηλεφωνίας τύπου SONY XPERIA E2303 και παρόχου VODAFONE σε απόσταση 0m από την κεραία της συσκευής κατά τη διάρκεια κλήσης χωρίς συνομιλία και ενεργοποίηση δεδομένων κινητής τηλεφωνίας



Σχήμα 352: Διακυμάνσεις (α) ελάχιστης (Min), (β) μέσης (Avg) και (γ) μέγιστης (Max) έντασης ηλεκτρικού πεδίου (E-Field) ως συνάρτηση της συχνότητας (Frequency) του πεδίου για μετρήσεις με οργανολογία τύπου NARDA SMR-3006 σε συσκευή κινητής τηλεφωνίας τύπου SONY XPERIA E2303 και παρόχου VODAFONE σε απόσταση 0m από την κεραία της συσκευής κατά τη διάρκεια συνομιλίας δυόμιση λεπτών χωρίς ενεργοποίηση δεδομένων κινητής τηλεφωνίας.

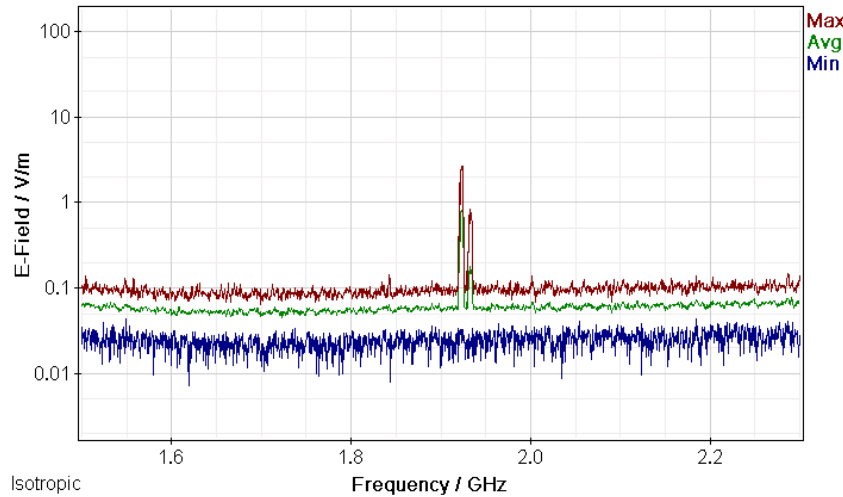


Σχήμα 353: Διακυμάνσεις (α) ελάχιστης (Min), (β) μέσης (Avg) και (γ) μέγιστης (Max) έντασης ηλεκτρικού πεδίου (E-Field) ως συνάρτηση της συχνότητας (Frequency) του πεδίου για μετρήσεις με οργάνολογία τύπου NARDA SMR-3006 σε συσκευή κινητής τηλεφωνίας τύπου SONY XPERIA E2303 και παρόχου VODAFONE σε απόσταση 0m από την κεραία της συσκευής κατά τη διάρκεια πεντάλεπτης συνομιλίας χωρίς ενεργοποίηση δεδομένων κινητής τηλεφωνίας.

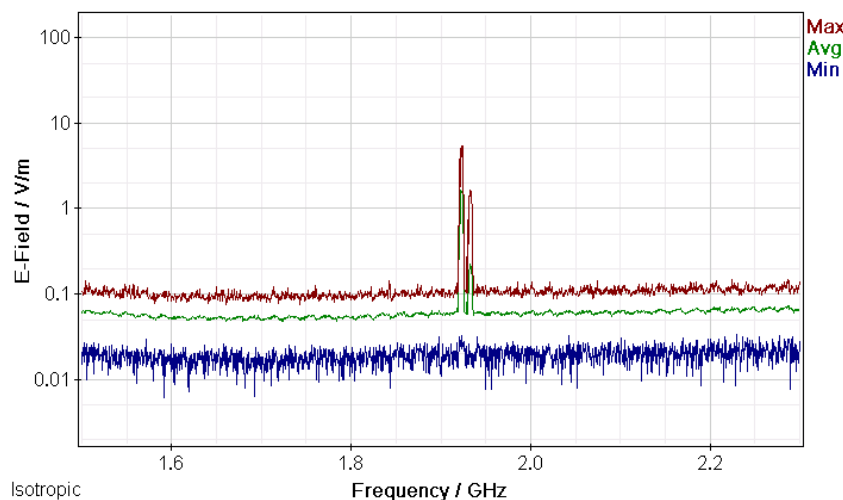


Σχήμα 354: Διακυμάνσεις (α) ελάχιστης (Min), (β) μέσης (Avg) και (γ) μέγιστης (Max) έντασης ηλεκτρικού πεδίου (E-Field) ως συνάρτηση της συχνότητας (Frequency) του πεδίου για μετρήσεις με οργάνολογία τύπου NARDA SMR-3006 σε συσκευή κινητής τηλεφωνίας τύπου SONY XPERIA E2303 και παρόχου VODAFONE σε απόσταση 0m από την κεραία της συσκευής κατά τη διάρκεια τερματισμού της κλήσης χωρίς ενεργοποίηση δεδομένων κινητής τηλεφωνίας.

ΜΕΛΕΤΗ Η/Μ ΔΙΑΤΑΡΑΧΩΝ ΚΙΝΗΤΗΣ ΤΗΛΕΦΩΝΙΑΣ



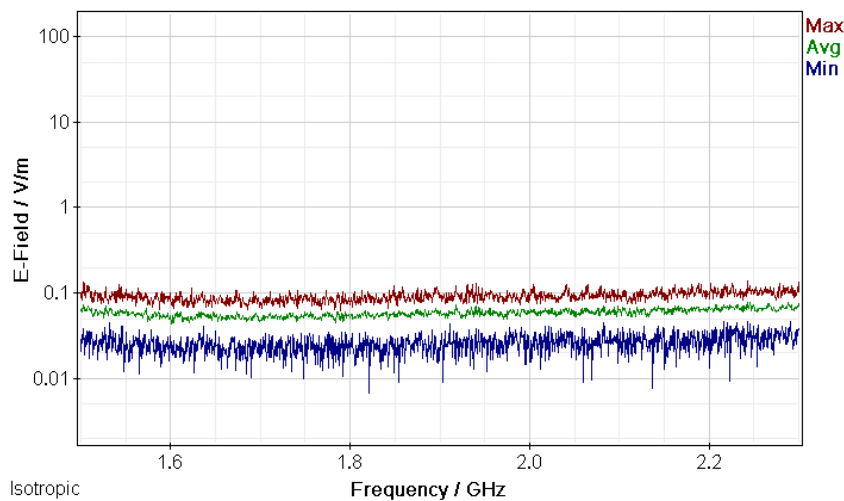
Σχήμα 355: Διακυμάνσεις (α) ελάχιστης (Min), (β) μέσης (Avg) και (γ) μέγιστης (Max) έντασης ηλεκτρικού πεδίου (E-Field) ως συνάρτηση της συχνότητας (Frequency) του πεδίου για μετρήσεις με οργανολογία τύπου NARDA SMR-3006 σε συσκευή κινητής τηλεφωνίας τύπου SONY XPERIA E2303 και παρόχου VODAFONE σε απόσταση 0m από την κεραία της συσκευής κατά τη διάρκεια αναμονής χρήσης της συσκευής με ενεργοποίηση των δεδομένων κινητής τηλεφωνίας χωρίς πρόσβαση στον παγόσμιο ιστό.



Σχήμα 356: Διακυμάνσεις (α) ελάχιστης (Min), (β) μέσης (Avg) και (γ) μέγιστης (Max) έντασης ηλεκτρικού πεδίου (E-Field) ως συνάρτηση της συχνότητας (Frequency) του πεδίου για μετρήσεις με οργανολογία τύπου NARDA SMR-3006 σε συσκευή κινητής τηλεφωνίας τύπου SONY XPERIA E2303 και παρόχου VODAFONE σε απόσταση 0m από την κεραία της συσκευής κατά τη διάρκεια αναμονής χρήσης της συσκευής με ενεργοποίηση των δεδομένων κινητής τηλεφωνίας και αναζήτησης δεδομένων στον παγόσμιο ιστό.

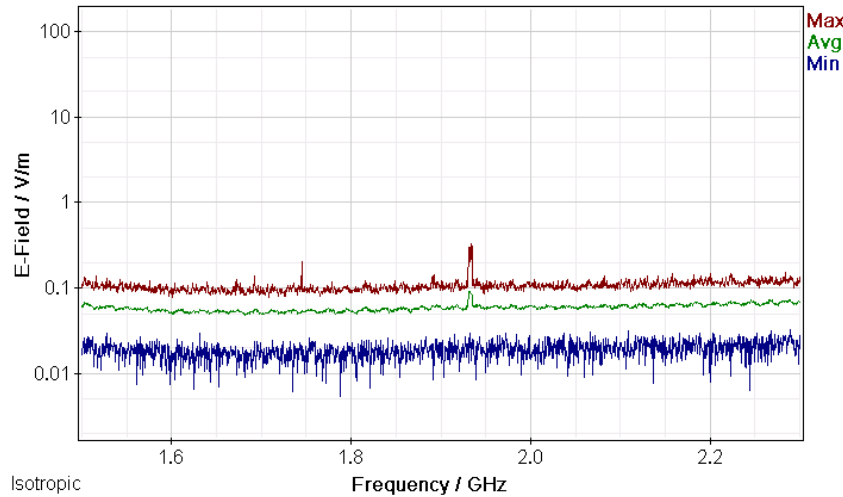
ΠΑΡΑΡΤΗΜΑ 2

Μετρήσεις διακυμάνσεων (α) ελάχιστης (Min), (β) μέσης (Avg) και (γ) μέγιστης (Max) έντασης ηλεκτρικού πεδίου (E-Field) ως συνάρτηση της συχνότητας (Frequency) του πεδίου για μετρήσεις με οργανολογία τύπου NARDA SMR-3006 σε συσκευές κινητής τηλεφωνίας διαφόρων τύπων και παρόχων σε απόσταση 1 m από την κεραία των συσκευών.

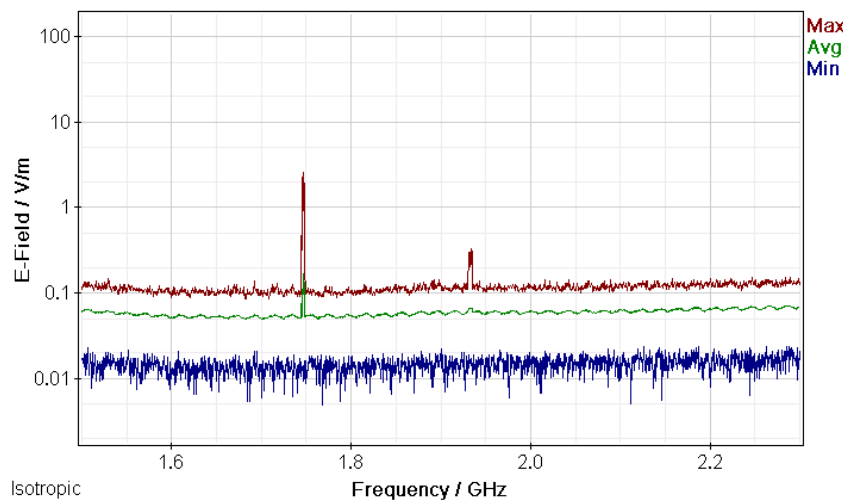


Σχήμα 357: Διακυμάνσεις (α) ελάχιστης (Min), (β) μέσης (Avg) και (γ) μέγιστης (Max) έντασης ηλεκτρικού πεδίου (E-Field) ως συνάρτηση της συχνότητας (Frequency) του πεδίου για μετρήσεις με οργανολογία τύπου NARDA SMR-3006 σε συσκευή κινητής τηλεφωνίας τύπου SONY XPERIA E2303 και παρόχου VODAFONE σε απόσταση 1m από την κεραία της συσκευής κατά τη διάρκεια αναμονής χρήσης της συσκευής και χωρίς την ενεργοποίηση δεδομένων κινητής τηλεφωνίας.

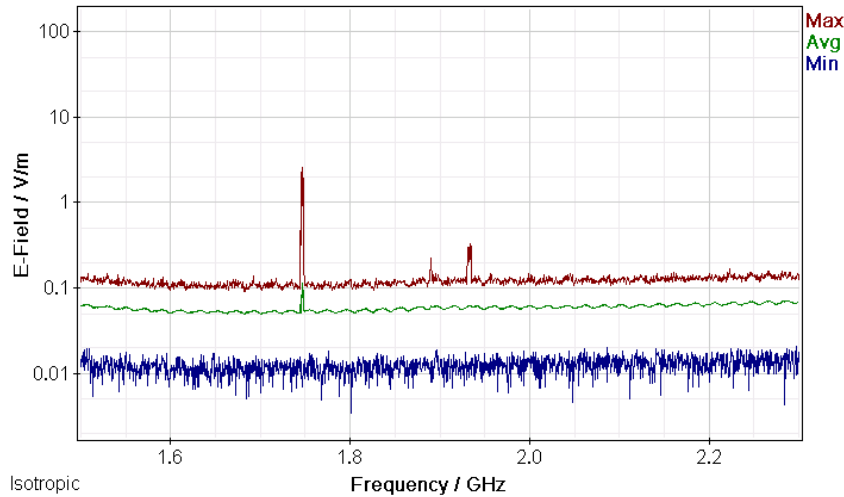
ΜΕΛΕΤΗ Η/Μ ΔΙΑΤΑΡΑΧΩΝ ΚΙΝΗΤΗΣ ΤΗΛΕΦΩΝΙΑΣ



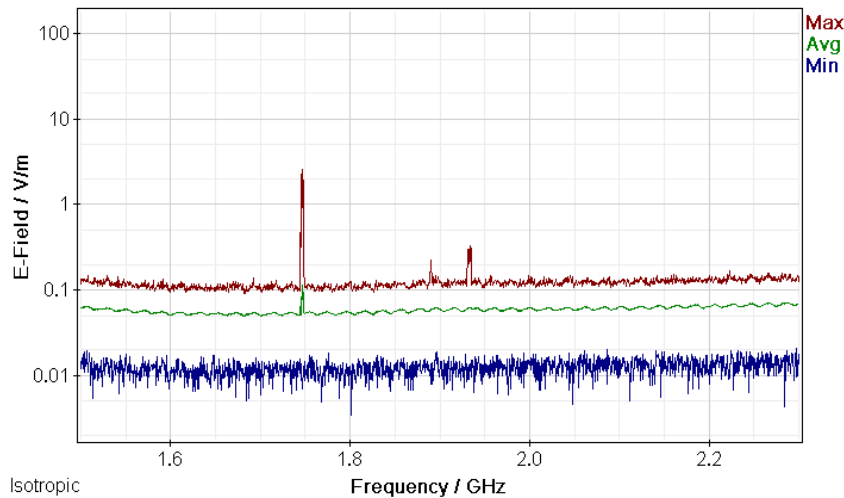
Σχήμα 358: Διακυμάνσεις (α) ελάχιστης (Min), (β) μέσης (Avg) και (γ) μέγιστης (Max) έντασης ηλεκτρικού πεδίου (E-Field) ως συνάρτηση της συχνότητας (Frequency) του πεδίου για μετρήσεις με οργανολογία τύπου NARDA SMR-3006 σε συσκευή κινητής τηλεφωνίας τύπου SONY XPERIA E2303 και παρόχου VODAFONE σε απόσταση 1m από την κεραία της συσκευής κατά τη διάρκεια κλήσης χωρίς συνομιλία και ενεργοποίηση δεδομένων κινητής τηλεφωνίας .



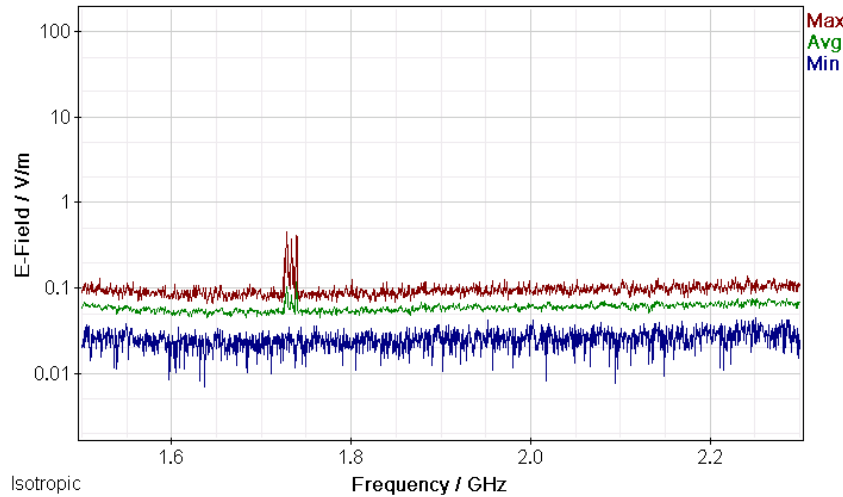
Σχήμα 359: Διακυμάνσεις (α) ελάχιστης (Min), (β) μέσης (Avg) και (γ) μέγιστης (Max) έντασης ηλεκτρικού πεδίου (E-Field) ως συνάρτηση της συχνότητας (Frequency) του πεδίου για μετρήσεις με οργανολογία τύπου NARDA SMR-3006 σε συσκευή κινητής τηλεφωνίας τύπου SONY XPERIA E2303 και παρόχου VODAFONE σε απόσταση 1m από την κεραία της συσκευής κατά τη διάρκεια συνομιλίας δύομιση λεπτών χωρίς ενεργοποίηση δεδομένων κινητής τηλεφωνίας.



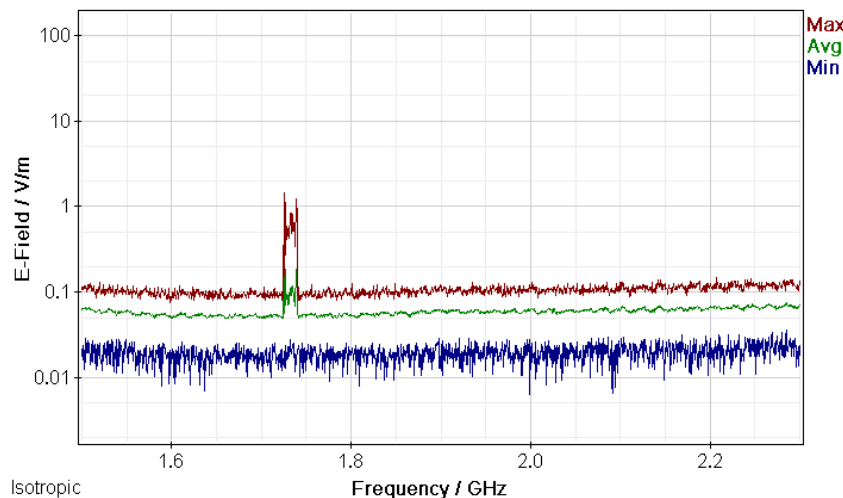
Σχήμα 360: Διακυμάνσεις (α) ελάχιστης (Min), (β) μέσης (Avg) και (γ) μέγιστης (Max) έντασης ηλεκτρικού πεδίου (E-Field) ως συνάρτηση της συχνότητας (Frequency) του πεδίου για μετρήσεις με οργάνολογία τύπου NARDA SMR-3006 σε συσκευή κινητής τηλεφωνίας τύπου SONY XPERIA E2303 και παρόχου VODAFONE σε απόσταση 1m από την κεραία της συσκευής κατά τη διάρκεια πεντάλεπτης συνομιλίας χωρίς ενεργοποίηση δεδομένων κινητής τηλεφωνίας.



Σχήμα 361: Διακυμάνσεις (α) ελάχιστης (Min), (β) μέσης (Avg) και (γ) μέγιστης (Max) έντασης ηλεκτρικού πεδίου (E-Field) ως συνάρτηση της συχνότητας (Frequency) του πεδίου για μετρήσεις με οργάνολογία τύπου NARDA SMR-3006 σε συσκευή κινητής τηλεφωνίας τύπου SONY XPERIA E2303 και παρόχου VODAFONE σε απόσταση 1m από την κεραία της συσκευής κατά τη διάρκεια τερματισμού της κλήσης χωρίς ενεργοποίηση δεδομένων κινητής τηλεφωνίας.



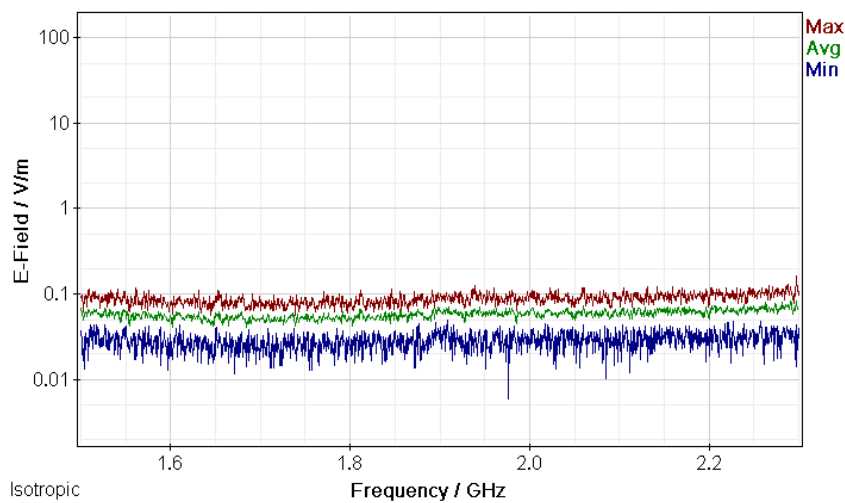
Σχήμα 362: Διακυμάνσεις (α) ελάχιστης (Min), (β) μέσης (Avg) και (γ) μέγιστης (Max) έντασης ηλεκτρικού πεδίου (E-Field) ως συνάρτηση της συχνότητας (Frequency) του πεδίου για μετρήσεις με οργανολογία τύπου NARDA SMR-3006 σε συσκευή κινητής τηλεφωνίας τύπου SONY XPERIA E2303 και παρόχου VODAFONE σε απόσταση 1m από την κεραία της συσκευής κατά τη διάρκεια αναμονής χρήσης της συσκευής με ενεργοποίηση των δεδομένων κινητής τηλεφωνίας χωρίς πρόσβαση στον παγόσμιο ιστό.



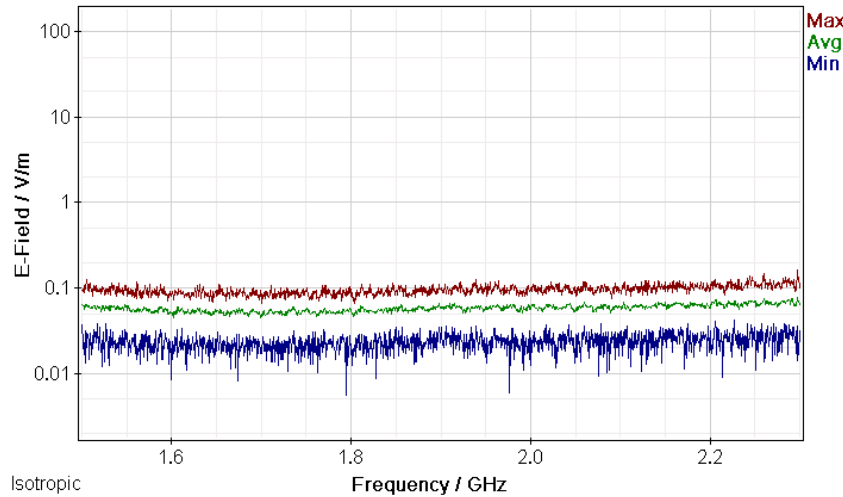
Σχήμα 363: Διακυμάνσεις (α) ελάχιστης (Min), (β) μέσης (Avg) και (γ) μέγιστης (Max) έντασης ηλεκτρικού πεδίου (E-Field) ως συνάρτηση της συχνότητας (Frequency) του πεδίου για μετρήσεις με οργανολογία τύπου NARDA SMR-3006 σε συσκευή κινητής τηλεφωνίας τύπου SONY XPERIA E2303 και παρόχου VODAFONE σε απόσταση 1m από την κεραία της συσκευής κατά τη διάρκεια αναμονής χρήσης της συσκευής με ενεργοποίηση των δεδομένων κινητής τηλεφωνίας και αναζήτησης δεδομένων στον παγόσμιο ιστό.

ΠΑΡΑΡΤΗΜΑ 1

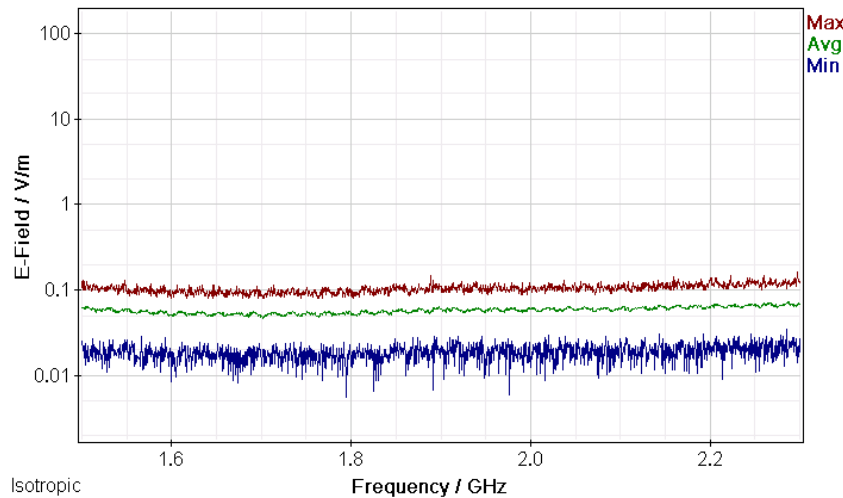
Μετρήσεις διακυμάνσεων (α) ελάχιστης (Min), (β) μέσης (Avg) και (γ) μέγιστης (Max) έντασης ηλεκτρικού πεδίου (E-Field) ως συνάρτηση της συχνότητας (Frequency) του πεδίου για μετρήσεις με οργανολογία τύπου NARDA SMR-3006 σε συσκευές κινητής τηλεφωνίας διαφόρων τύπων και παρόχων σε απόσταση 0 m από την κεραία των συσκευών.



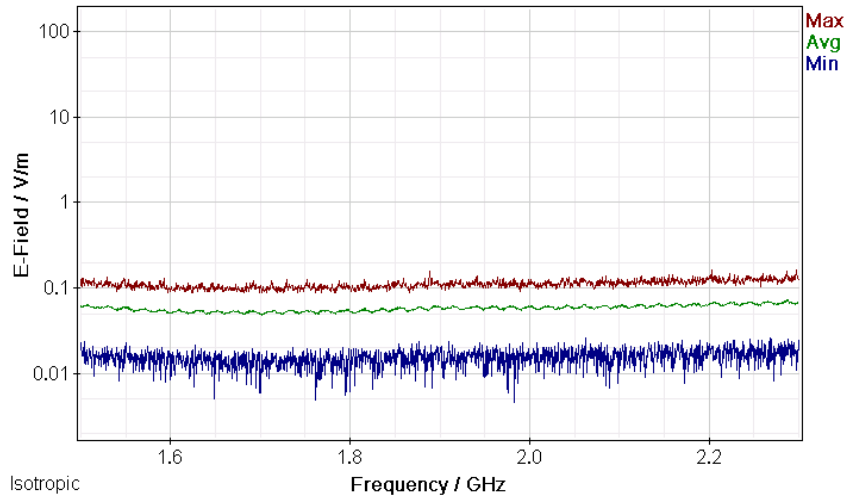
Σχήμα 364: Διακυμάνσεις (α) ελάχιστης (Min), (β) μέσης (Avg) και (γ) μέγιστης (Max) έντασης ηλεκτρικού πεδίου (E-Field) ως συνάρτηση της συχνότητας (Frequency) του πεδίου για μετρήσεις με οργανολογία τύπου NARDA SMR-3006 σε συσκευή κινητής τηλεφωνίας τύπου SONY XPERIA E2303 και παρόχου WIND σε απόσταση 0m από την κεραία της συσκευής κατά τη διάρκεια αναμονής χρήσης της συσκευής και χωρίς την ενεργοποίηση δεδομένων κινητής τηλεφωνίας.



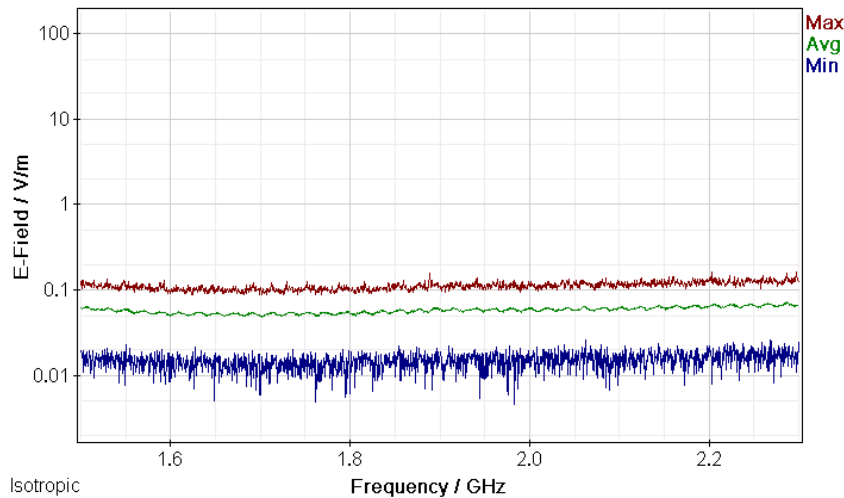
Σχήμα 365: Διακυμάνσεις (α) ελάχιστης (Min), (β) μέσης (Avg) και (γ) μέγιστης (Max) έντασης ηλεκτρικού πεδίου (E-Field) ως συνάρτηση της συχνότητας (Frequency) του πεδίου για μετρήσεις με οργανολογία τύπου NARDA SMR-3006 σε συσκευή κινητής τηλεφωνίας τύπου SONY XPERIA E2303 και παρόχου WIND σε απόσταση 0m από την κεραία της συσκευής κατά τη διάρκεια κλήσης χωρίς συνομιλία και ενεργοποίηση δεδομένων κινητής τηλεφωνίας .



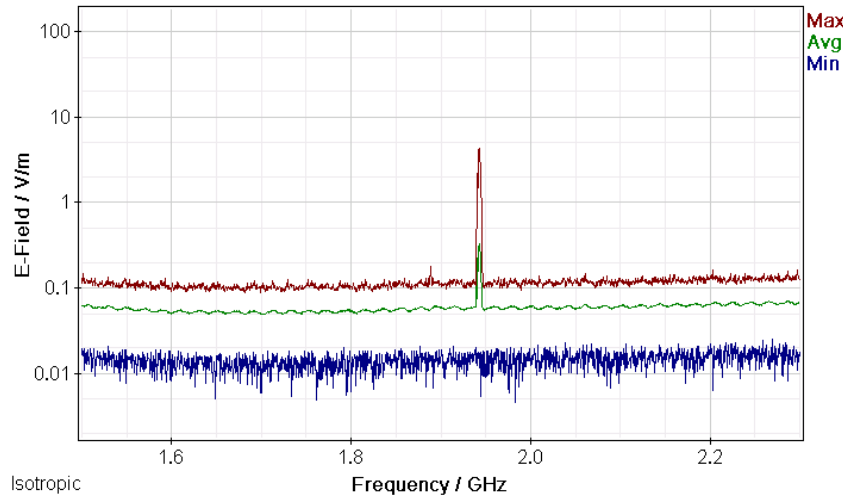
Σχήμα 366: Διακυμάνσεις (α) ελάχιστης (Min), (β) μέσης (Avg) και (γ) μέγιστης (Max) έντασης ηλεκτρικού πεδίου (E-Field) ως συνάρτηση της συχνότητας (Frequency) του πεδίου για μετρήσεις με οργανολογία τύπου NARDA SMR-3006 σε συσκευή κινητής τηλεφωνίας τύπου SONY XPERIA E2303 και παρόχου WIND σε απόσταση 0m από την κεραία της συσκευής κατά τη διάρκεια συνομιλίας δυόμιση λεπτών χωρίς ενεργοποίηση δεδομένων κινητής τηλεφωνίας.



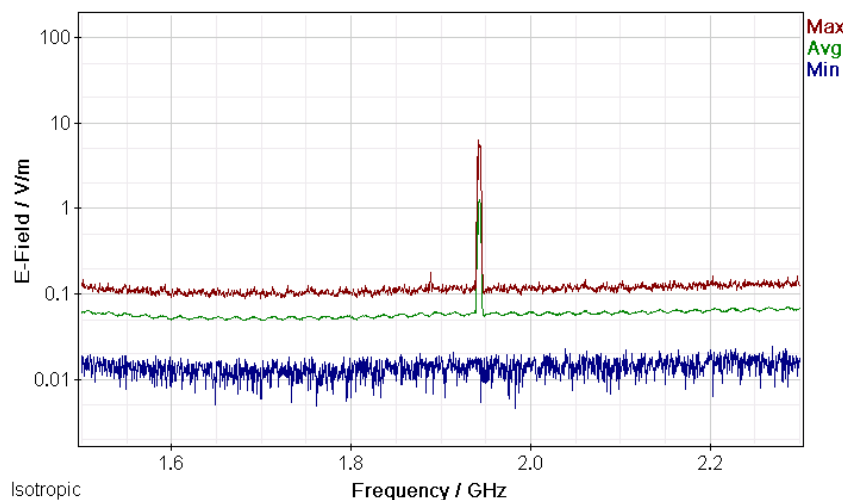
Σχήμα 367: Διακυμάνσεις (α) ελάχιστης (Min), (β) μέσης (Avg) και (γ) μέγιστης (Max) έντασης ηλεκτρικού πεδίου (E-Field) ως συνάρτηση της συχνότητας (Frequency) του πεδίου για μετρήσεις με οργάνολογία τύπου NARDA SMR-3006 σε συσκευή κινητής τηλεφωνίας τύπου SONY XPERIA E2303 και παρόχου WIND σε απόσταση 0m από την κεραία της συσκευής κατα τη διάρκεια πεντάλεπτης συνομιλίας χωρίς ενεργοποίηση δεδομένων κινητής τηλεφωνίας.



Σχήμα 368: Διακυμάνσεις (α) ελάχιστης (Min), (β) μέσης (Avg) και (γ) μέγιστης (Max) έντασης ηλεκτρικού πεδίου (E-Field) ως συνάρτηση της συχνότητας (Frequency) του πεδίου για μετρήσεις με οργάνολογία τύπου NARDA SMR-3006 σε συσκευή κινητής τηλεφωνίας τύπου SONY XPERIA E2303 και παρόχου WIND σε απόσταση 0m από την κεραία της συσκευής κατα τη διάρκεια τερματισμού της κλήσης χωρίς ενεργοποίηση δεδομένων κινητής τηλεφωνίας.



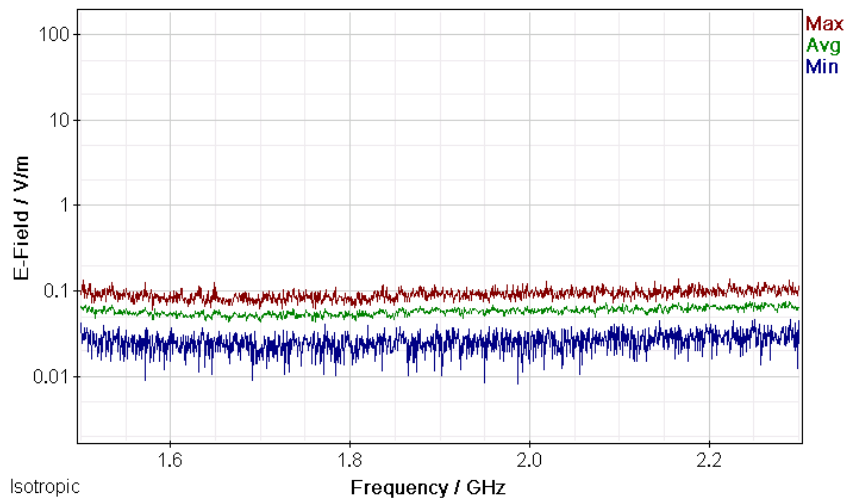
Σχήμα 369: Διακυμάνσεις (α) ελάχιστης (Min), (β) μέσης (Avg) και (γ) μέγιστης (Max) έντασης ηλεκτρικού πεδίου (E-Field) ως συνάρτηση της συχνότητας (Frequency) του πεδίου για μετρήσεις με οργάνολογία τύπου NARDA SMR-3006 σε συσκευή κινητής τηλεφωνίας τύπου SONY XPERIA E2303 και παρόχου WIND σε απόσταση 0m από την κεραία της συσκευής κατα τη διάρκεια αναμονής χρήσης της συσκευής με ενεργοποίηση των δεδομένων κινητής τηλεφωνίας χωρίς πρόσβαση στον παγόσμιο ιστό.



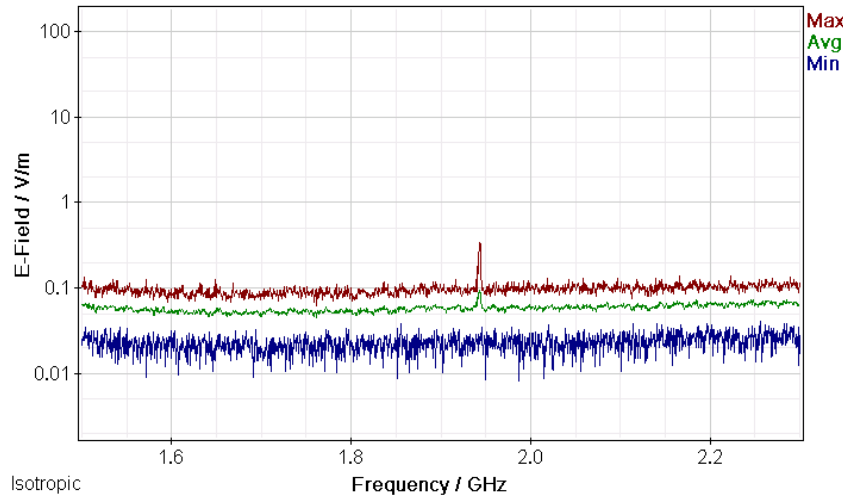
Σχήμα 370: Διακυμάνσεις (α) ελάχιστης (Min), (β) μέσης (Avg) και (γ) μέγιστης (Max) έντασης ηλεκτρικού πεδίου (E-Field) ως συνάρτηση της συχνότητας (Frequency) του πεδίου για μετρήσεις με οργάνολογία τύπου NARDA SMR-3006 σε συσκευή κινητής τηλεφωνίας τύπου SONY XPERIA E2303 και παρόχου WIND σε απόσταση 0m από την κεραία της συσκευής κατα τη διάρκεια αναμονής χρήσης της συσκευής με ενεργοποίηση των δεδομένων κινητής τηλεφωνίας και αναζήτησης δεδομένων στον παγόσμιο ιστό.

ΠΑΡΑΡΤΗΜΑ 2

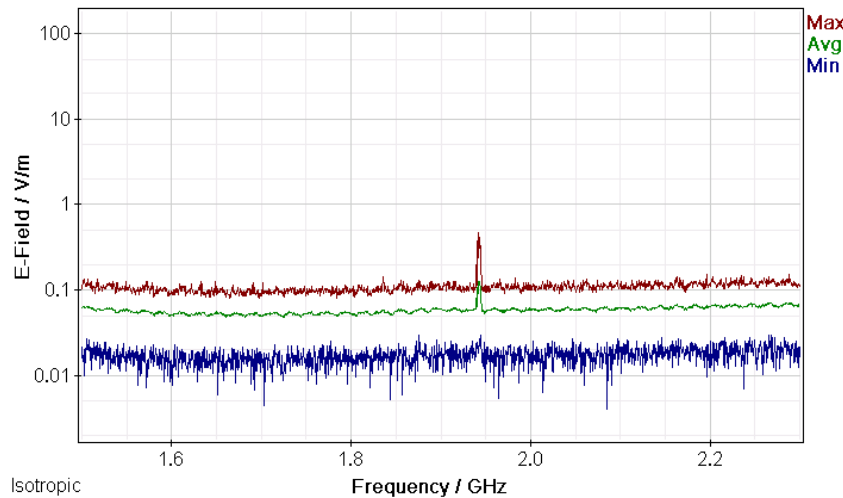
Μετρήσεις διακυμάνσεων (α) ελάχιστης (Min), (β) μέσης (Avg) και (γ) μέγιστης (Max) έντασης ηλεκτρικού πεδίου (E-Field) ως συνάρτηση της συχνότητας (Frequency) του πεδίου για μετρήσεις με οργάνολογία τύπου NARDA SMR-3006 σε συσκευές κινητής τηλεφωνίας διαφόρων τύπων και παρόχων σε απόσταση 1 m από την κεραία των συσκευών.



Σχήμα 371: Διακυμάνσεις (α) ελάχιστης (Min), (β) μέσης (Avg) και (γ) μέγιστης (Max) έντασης ηλεκτρικού πεδίου (E-Field) ως συνάρτηση της συχνότητας (Frequency) του πεδίου για μετρήσεις με οργάνολογία τύπου NARDA SMR-3006 σε συσκευή κινητής τηλεφωνίας τύπου SONY XPERIA E2303 και παρόχου WIND σε απόσταση 1m από την κεραία της συσκευής κατά τη διάρκεια αναμονής χρήσης της συσκευής και χωρίς την ενεργοποίηση δεδομένων κινητής τηλεφωνίας.

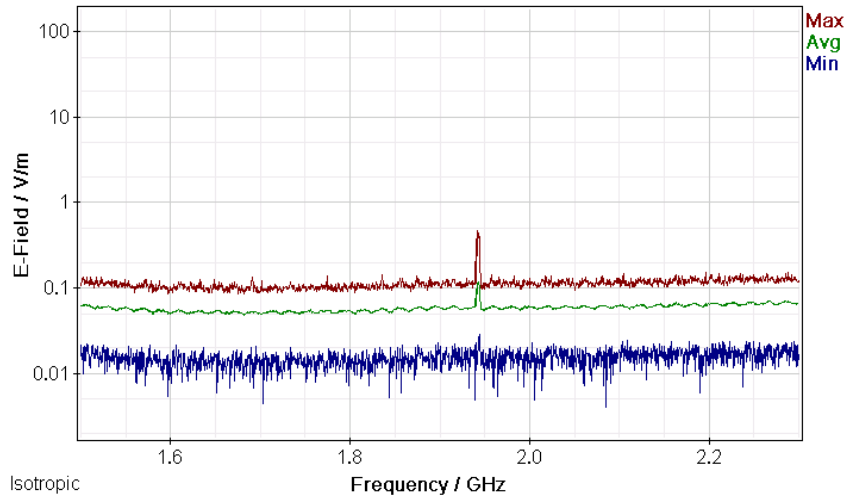


Σχήμα 372: Διακυμάνσεις (α) ελάχιστης (Min), (β) μέσης (Avg) και (γ) μέγιστης (Max) έντασης ηλεκτρικού πεδίου (E-Field) ως συνάρτηση της συχνότητας (Frequency) του πεδίου για μετρήσεις με οργανολογία τύπου NARDA SMR-3006 σε συσκευή κινητής τηλεφωνίας τύπου SONY XPERIA E2303 και παρόχου WIND σε απόσταση 1m από την κεραία της συσκευής κατά τη διάρκεια κλήσης χωρίς συνομιλία και ενεργοποίηση δεδομένων κινητής τηλεφωνίας .

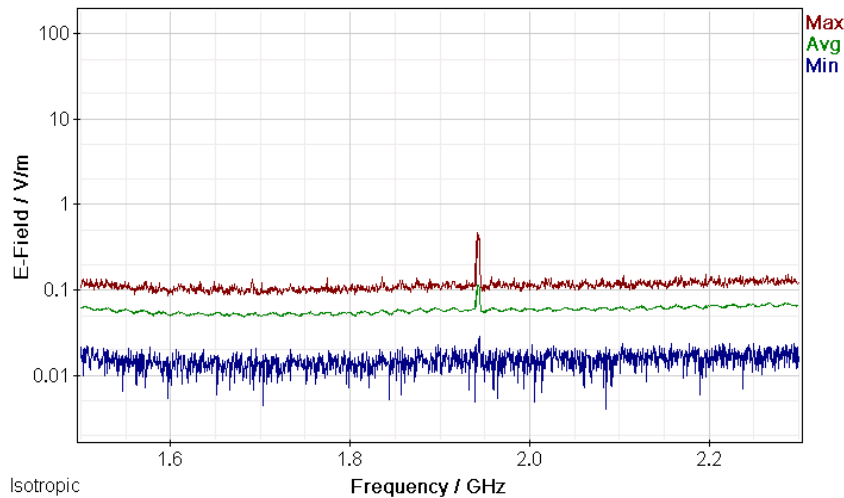


Σχήμα 373: Διακυμάνσεις (α) ελάχιστης (Min), (β) μέσης (Avg) και (γ) μέγιστης (Max) έντασης ηλεκτρικού πεδίου (E-Field) ως συνάρτηση της συχνότητας (Frequency) του πεδίου για μετρήσεις με οργανολογία τύπου NARDA SMR-3006 σε συσκευή κινητής τηλεφωνίας τύπου SONY XPERIA E2303 και παρόχου WIND σε απόσταση 1m από την κεραία της συσκευής κατά τη διάρκεια συνομιλίας δυόμιση λεπτών χωρίς ενεργοποίηση δεδομένων κινητής τηλεφωνίας.

ΜΕΛΕΤΗ Η/Μ ΔΙΑΤΑΡΑΧΩΝ ΚΙΝΗΤΗΣ ΤΗΛΕΦΩΝΙΑΣ

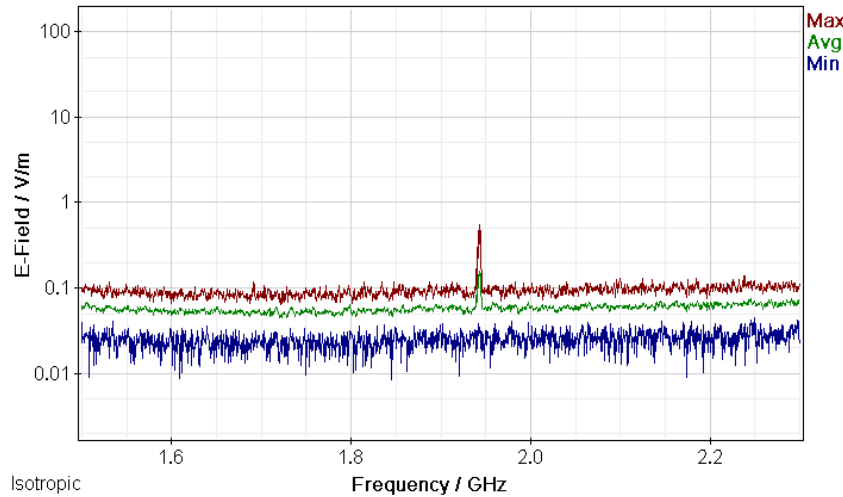


Σχήμα 374: Διακυμάνσεις (α) ελάχιστης (Min), (β) μέσης (Avg) και (γ) μέγιστης (Max) έντασης ηλεκτρικού πεδίου (E-Field) ως συνάρτηση της συχνότητας (Frequency) του πεδίου για μετρήσεις με οργάνολογία τύπου NARDA SMR-3006 σε συσκευή κινητής τηλεφωνίας τύπου SONY XPERIA E2303 και παρόχου WIND σε απόσταση 1m από την κεραία της συσκευής κατά τη διάρκεια πεντάλεπτης συνομιλίας χωρίς ενεργοποίηση δεδομένων κινητής τηλεφωνίας.

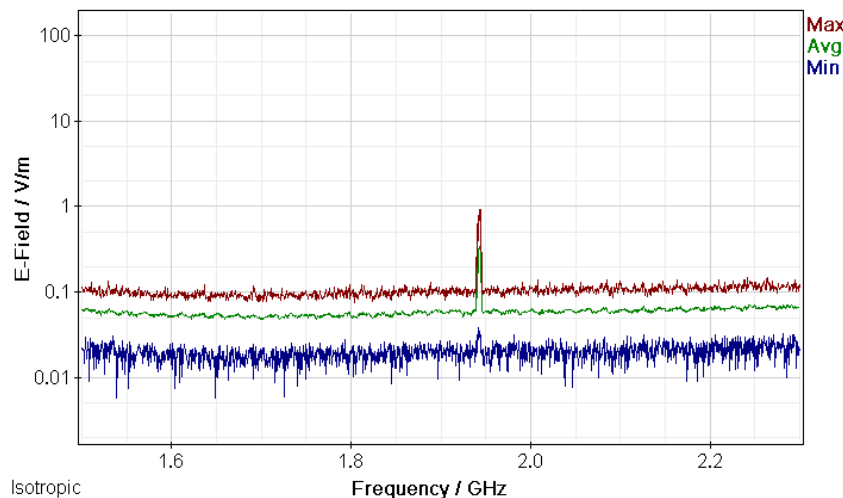


Σχήμα 375: Διακυμάνσεις (α) ελάχιστης (Min), (β) μέσης (Avg) και (γ) μέγιστης (Max) έντασης ηλεκτρικού πεδίου (E-Field) ως συνάρτηση της συχνότητας (Frequency) του πεδίου για μετρήσεις με οργάνολογία τύπου NARDA SMR-3006 σε συσκευή κινητής τηλεφωνίας τύπου SONY XPERIA E2303 και παρόχου WIND σε απόσταση 1m από την κεραία της συσκευής κατά τη διάρκεια τερματισμού της κλήσης χωρίς ενεργοποίηση δεδομένων κινητής τηλεφωνίας.

ΜΕΛΕΤΗ Η/Μ ΔΙΑΤΑΡΑΧΩΝ ΚΙΝΗΤΗΣ ΤΗΛΕΦΩΝΙΑΣ



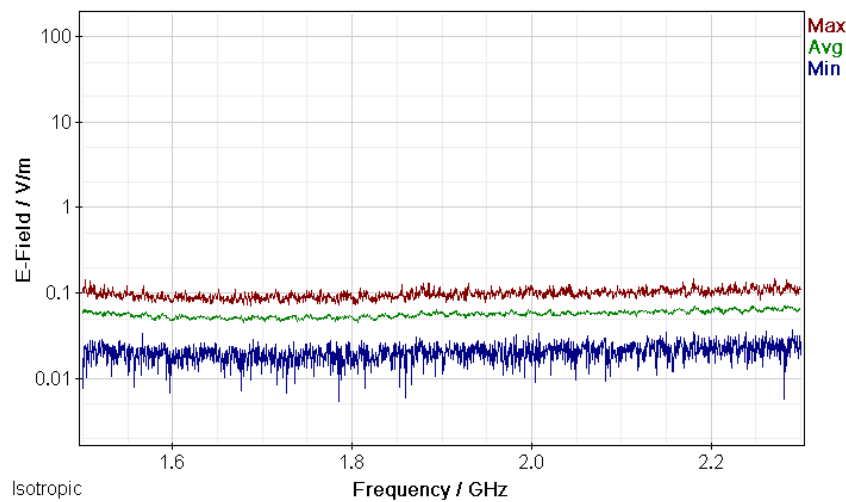
Σχήμα 376: Διακυμάνσεις (α) ελάχιστης (Min), (β) μέσης (Avg) και (γ) μέγιστης (Max) έντασης ηλεκτρικού πεδίου (E-Field) ως συνάρτηση της συχνότητας (Frequency) του πεδίου για μετρήσεις με οργάνολογία τύπου NARDA SMR-3006 σε συσκευή κινητής τηλεφωνίας τύπου SONY XPERIA E2303 και παρόχου WIND σε απόσταση 1m από την κεραία της συσκευής κατα τη διάρκεια αναμονής χρήσης της συσκευής με ενεργοποίηση των δεδομένων κινητής τηλεφωνίας χωρίς πρόσβαση στον παγόσμιο ιστό.



Σχήμα 377: Διακυμάνσεις (α) ελάχιστης (Min), (β) μέσης (Avg) και (γ) μέγιστης (Max) έντασης ηλεκτρικού πεδίου (E-Field) ως συνάρτηση της συχνότητας (Frequency) του πεδίου για μετρήσεις με οργάνολογία τύπου NARDA SMR-3006 σε συσκευή κινητής τηλεφωνίας τύπου SONY XPERIA E2303 και παρόχου WIND σε απόσταση 1m από την κεραία της συσκευής κατα τη διάρκεια αναμονής χρήσης της συσκευής με ενεργοποίηση των δεδομένων κινητής τηλεφωνίας και αναζήτησης δεδομένων στον παγόσμιο ιστό.

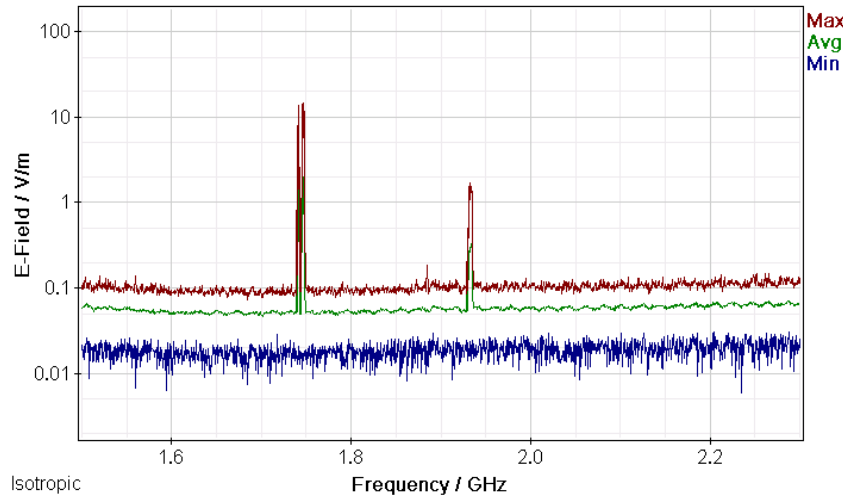
ΠΑΡΑΡΤΗΜΑ 1

Μετρήσεις διακυμάνσεων (α) ελάχιστης (Min), (β) μέσης (Avg) και (γ) μέγιστης (Max) έντασης ηλεκτρικού πεδίου (E-Field) ως συνάρτηση της συχνότητας (Frequency) του πεδίου για μετρήσεις με οργανολογία τύπου NARDA SMR-3006 σε συσκευές κινητής τηλεφωνίας διαφόρων τύπων και παρόχων σε απόσταση 0 m από την κεραία των συσκευών.

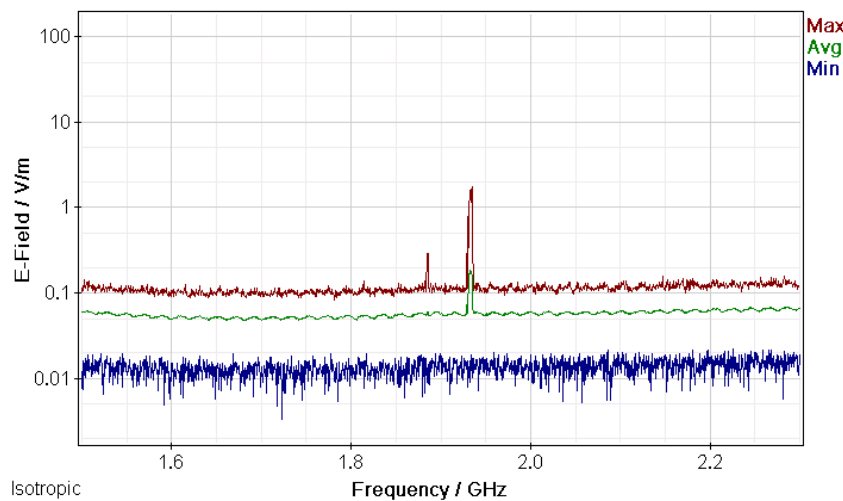


Σχήμα 378: Διακυμάνσεις (α) ελάχιστης (Min), (β) μέσης (Avg) και (γ) μέγιστης (Max) έντασης ηλεκτρικού πεδίου (E-Field) ως συνάρτηση της συχνότητας (Frequency) του πεδίου για μετρήσεις με οργανολογία τύπου NARDA SMR-3006 σε συσκευή κινητής τηλεφωνίας τύπου SONY ERICSSON wT19i και παρόχου VODAFONE σε απόσταση 0m από την κεραία της συσκευής κατά τη διάρκεια αναμονής χρήσης της συσκευής και χωρίς την ενεργοποίηση δεδομένων κινητής τηλεφωνίας.

ΜΕΛΕΤΗ Η/Μ ΔΙΑΤΑΡΑΧΩΝ ΚΙΝΗΤΗΣ ΤΗΛΕΦΩΝΙΑΣ

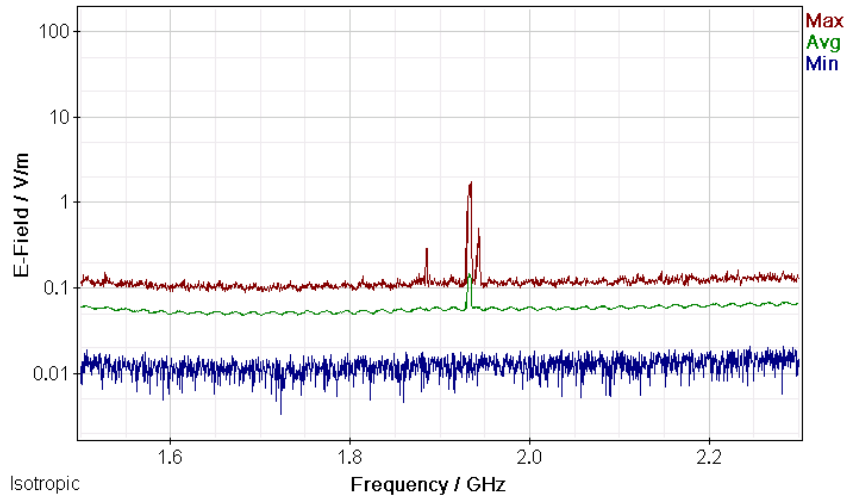


Σχήμα 379: Διακυμάνσεις (α) ελάχιστης (Min), (β) μέσης (Avg) και (γ) μέγιστης (Max) έντασης ηλεκτρικού πεδίου (E-Field) ως συνάρτηση της συχνότητας (Frequency) του πεδίου για μετρήσεις με οργανολογία τύπου NARDA SMR-3006 σε συσκευή κινητής τηλεφωνίας τύπου SONY ERICSSON wT19i και παρόχου VODAFONE σε απόσταση 0m από την κεραία της συσκευής κατά τη διάρκεια κλήσης χωρίς συνομιλία και ενεργοποίηση δεδομένων κινητής τηλεφωνίας

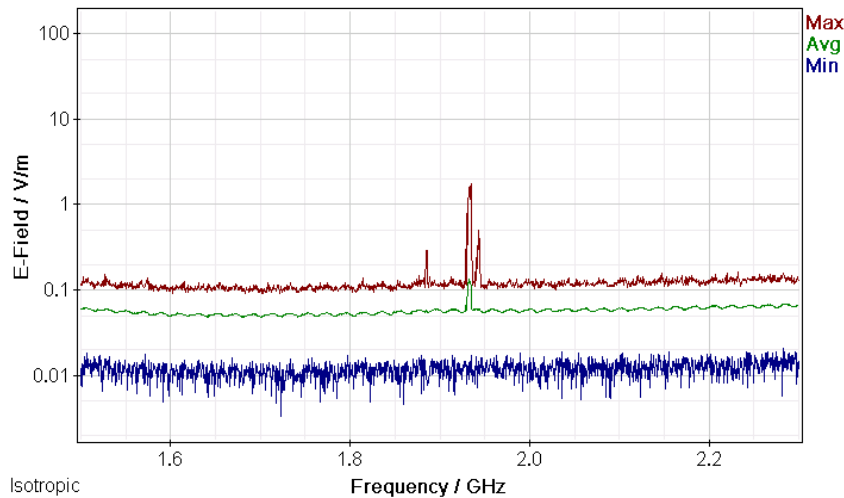


Σχήμα 380: Διακυμάνσεις (α) ελάχιστης (Min), (β) μέσης (Avg) και (γ) μέγιστης (Max) έντασης ηλεκτρικού πεδίου (E-Field) ως συνάρτηση της συχνότητας (Frequency) του πεδίου για μετρήσεις με οργανολογία τύπου NARDA SMR-3006 σε συσκευή κινητής τηλεφωνίας τύπου SONY ERICSSON wT19i και παρόχου VODAFONE σε απόσταση 0m από την κεραία της συσκευής κατά τη διάρκεια συνομιλίας δυόμιση λεπτών χωρίς ενεργοποίηση δεδομένων κινητής τηλεφωνίας.

ΜΕΛΕΤΗ Η/Μ ΔΙΑΤΑΡΑΧΩΝ ΚΙΝΗΤΗΣ ΤΗΛΕΦΩΝΙΑΣ



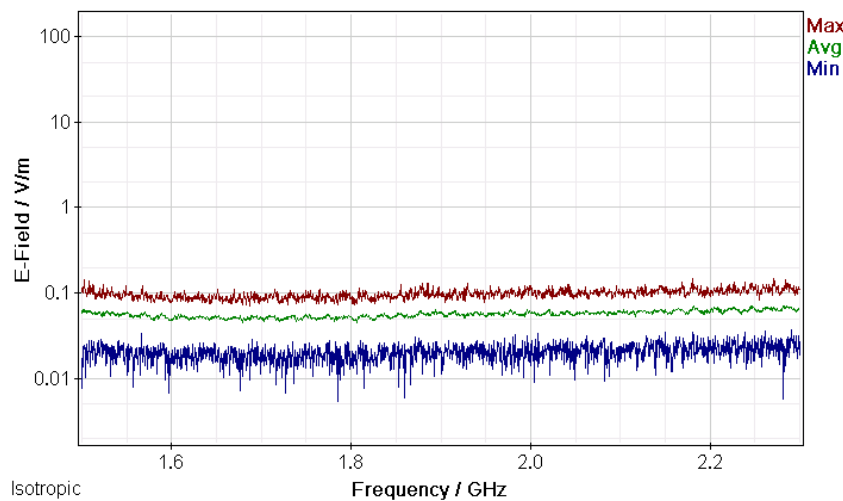
Σχήμα 381: Διακυμάνσεις (α) ελάχιστης (Min), (β) μέσης (Avg) και (γ) μέγιστης (Max) έντασης ηλεκτρικού πεδίου (E-Field) ως συνάρτηση της συχνότητας (Frequency) του πεδίου για μετρήσεις με οργάνολογία τύπου NARDA SMR-3006 σε συσκευή κινητής τηλεφωνίας τύπου SONY ERICSSON wT19i και παρόχου VODAFONE σε απόσταση 0m από την κεραία της συσκευής κατά τη διάρκεια πεντάλεπτης συνομιλίας χωρίς ενεργοποίηση δεδομένων κινητής τηλεφωνίας.



Σχήμα 382: Διακυμάνσεις (α) ελάχιστης (Min), (β) μέσης (Avg) και (γ) μέγιστης (Max) έντασης ηλεκτρικού πεδίου (E-Field) ως συνάρτηση της συχνότητας (Frequency) του πεδίου για μετρήσεις με οργάνολογία τύπου NARDA SMR-3006 σε συσκευή κινητής τηλεφωνίας τύπου SONY ERICSSON wT19i και παρόχου VODAFONE σε απόσταση 0m από την κεραία της συσκευής κατά τη διάρκεια τερματισμού της κλήσης χωρίς ενεργοποίηση δεδομένων κινητής τηλεφωνίας.

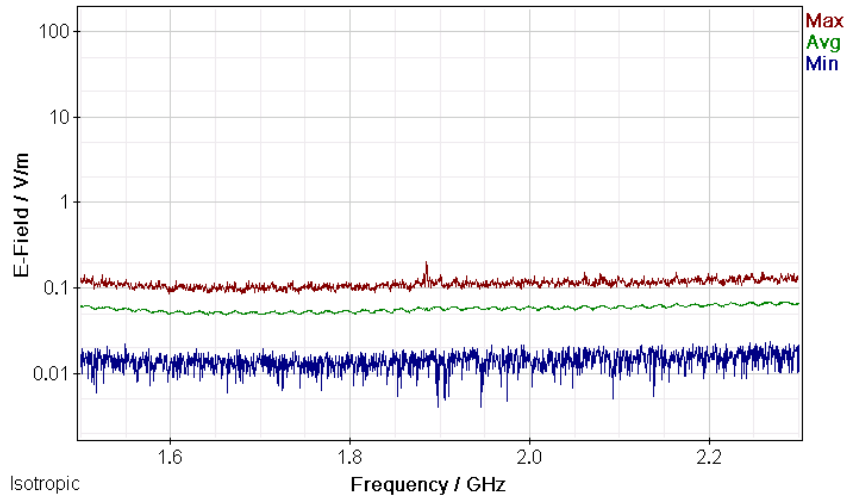
ΠΑΡΑΡΤΗΜΑ 2

Μετρήσεις διακυμάνσεων (α) ελάχιστης (Min), (β) μέσης (Avg) και (γ) μέγιστης (Max) έντασης ηλεκτρικού πεδίου (E-Field) ως συνάρτηση της συχνότητας (Frequency) του πεδίου για μετρήσεις με οργανολογία τύπου NARDA SMR-3006 σε συσκευές κινητής τηλεφωνίας διαφόρων τύπων και παρόχων σε απόσταση 1 m από την κεραία των συσκευών.

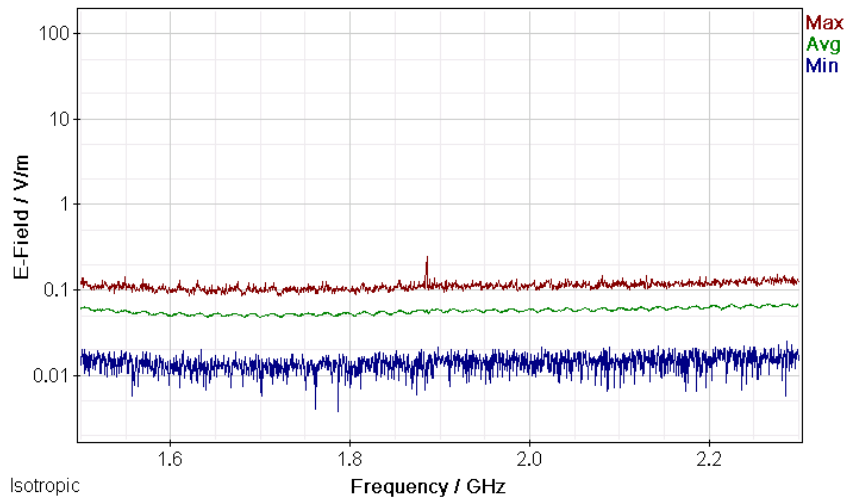


Σχήμα 383: Διακυμάνσεις (α) ελάχιστης (Min), (β) μέσης (Avg) και (γ) μέγιστης (Max) έντασης ηλεκτρικού πεδίου (E-Field) ως συνάρτηση της συχνότητας (Frequency) του πεδίου για μετρήσεις με οργανολογία τύπου NARDA SMR-3006 σε συσκευή κινητής τηλεφωνίας τύπου SONY ERICSSON wT19i και παρόχου VODAFONE σε απόσταση 1m από την κεραία της συσκευής κατά τη διάρκεια αναμονής χρήσης της συσκευής και χωρίς την ενεργοποίηση δεδομένων κινητής τηλεφωνίας.

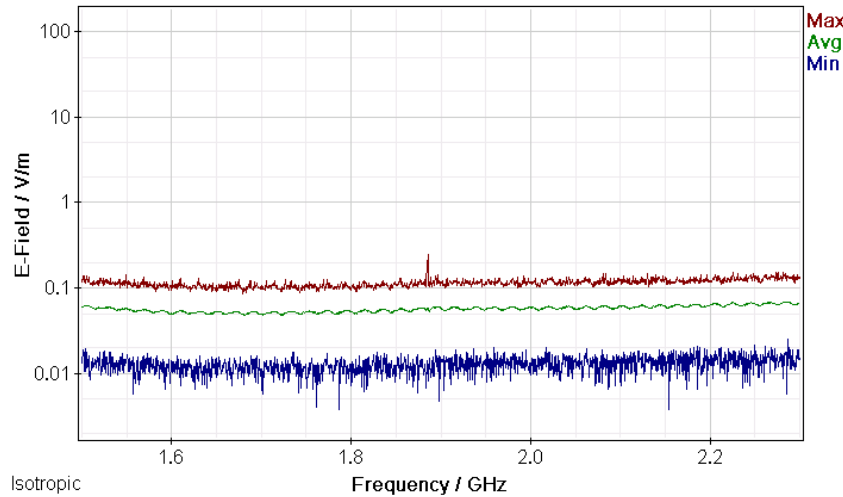
ΜΕΛΕΤΗ Η/Μ ΔΙΑΤΑΡΑΧΩΝ ΚΙΝΗΤΗΣ ΤΗΛΕΦΩΝΙΑΣ



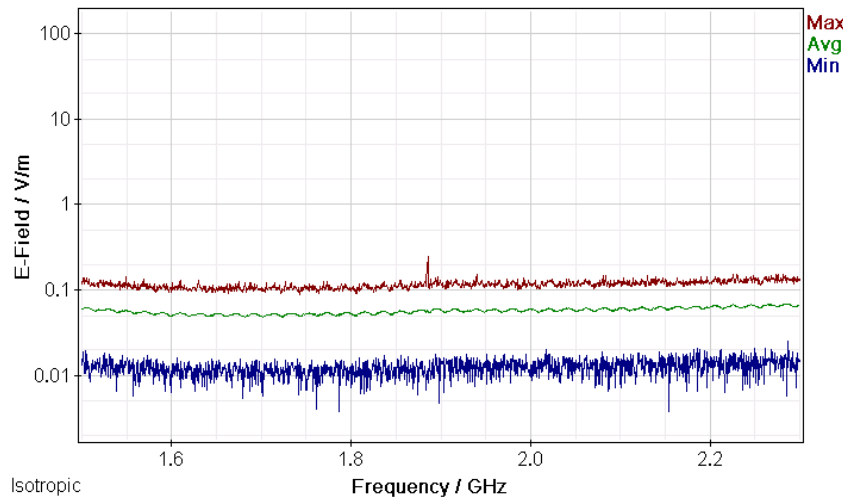
Σχήμα 384: Διακυμάνσεις (α) ελάχιστης (Min), (β) μέσης (Avg) και (γ) μέγιστης (Max) έντασης ηλεκτρικού πεδίου (E-Field) ως συνάρτηση της συχνότητας (Frequency) του πεδίου για μετρήσεις με οργάνολογία τύπου NARDA SMR-3006 σε συσκευή κινητής τηλεφωνίας τύπου SONY ERICSSON wT19i και παρόχου VODAFONE σε απόσταση 1m από την κεραία της συσκευής κατά τη διάρκεια κλήσης χωρίς συνομιλία και ενεργοποίηση δεδομένων κινητής τηλεφωνίας .



Σχήμα 385: Διακυμάνσεις (α) ελάχιστης (Min), (β) μέσης (Avg) και (γ) μέγιστης (Max) έντασης ηλεκτρικού πεδίου (E-Field) ως συνάρτηση της συχνότητας (Frequency) του πεδίου για μετρήσεις με οργάνολογία τύπου NARDA SMR-3006 σε συσκευή κινητής τηλεφωνίας τύπου SONY ERICSSON wT19i και παρόχου VODAFONE σε απόσταση 1m από την κεραία της συσκευής κατά τη διάρκεια συνομιλίας δυόμιση λεπτών χωρίς ενεργοποίηση δεδομένων κινητής τηλεφωνίας.



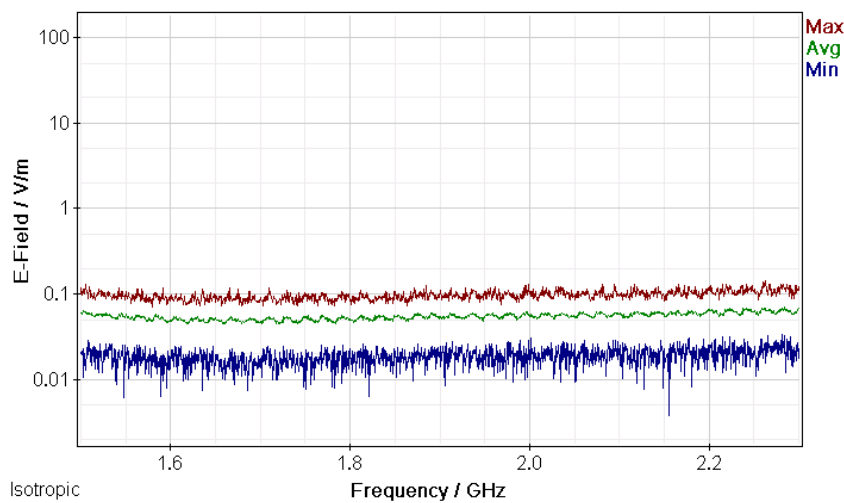
Σχήμα 386: Διακυμάνσεις (α) ελάχιστης (Min), (β) μέσης (Avg) και (γ) μέγιστης (Max) έντασης ηλεκτρικού πεδίου (E-Field) ως συνάρτηση της συχνότητας (Frequency) του πεδίου για μετρήσεις με οργανολογία τύπου NARDA SMR-3006 σε συσκευή κινητής τηλεφωνίας τύπου SONY ERICSSON wT19i και παρόχου VODAFONE σε απόσταση 1m από την κεραία της συσκευής κατα τη διάρκεια πεντάλεπτης συνομιλίας χωρίς ενεργοποίηση δεδομένων κινητής τηλεφωνίας.



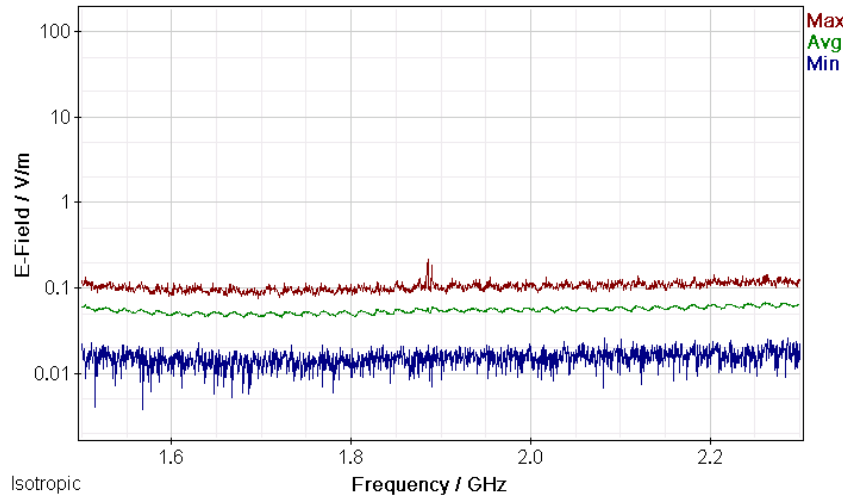
Σχήμα 387: Διακυμάνσεις (α) ελάχιστης (Min), (β) μέσης (Avg) και (γ) μέγιστης (Max) έντασης ηλεκτρικού πεδίου (E-Field) ως συνάρτηση της συχνότητας (Frequency) του πεδίου για μετρήσεις με οργανολογία τύπου NARDA SMR-3006 σε συσκευή κινητής τηλεφωνίας τύπου SONY ERICSSON wT19i και παρόχου VODAFONE σε απόσταση 1m από την κεραία της συσκευής κατα τη διάρκεια τερματισμού της κλήσης χωρίς ενεργοποίηση δεδομένων κινητής τηλεφωνίας.

ΠΑΡΑΡΤΗΜΑ 1

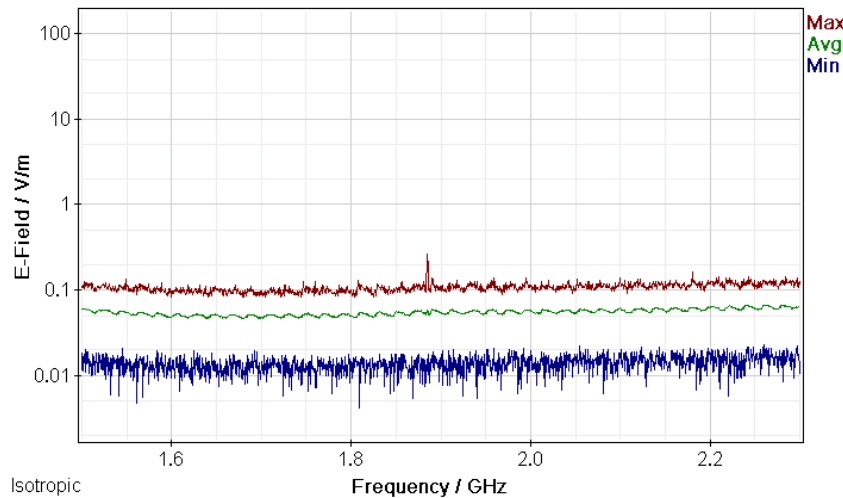
Μετρήσεις διακυμάνσεων (α) ελάχιστης (Min), (β) μέσης (Avg) και (γ) μέγιστης (Max) έντασης ηλεκτρικού πεδίου (E-Field) ως συνάρτηση της συχνότητας (Frequency) του πεδίου για μετρήσεις με οργανολογία τύπου NARDA SMR-3006 σε συσκευές κινητής τηλεφωνίας διαφόρων τύπων και παρόχων σε απόσταση 0 m από την κεραία των συσκευών.



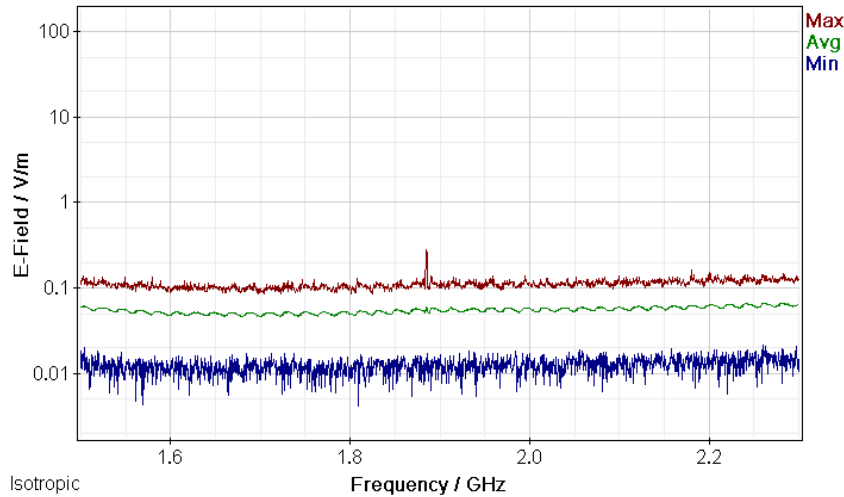
Σχήμα 388: Διακυμάνσεις (α) ελάχιστης (Min), (β) μέσης (Avg) και (γ) μέγιστης (Max) έντασης ηλεκτρικού πεδίου (E-Field) ως συνάρτηση της συχνότητας (Frequency) του πεδίου για μετρήσεις με οργανολογία τύπου NARDA SMR-3006 σε συσκευή κινητής τηλεφωνίας τύπου SONY ERICSSON wT19i και παρόχου WIND σε απόσταση 0m από την κεραία της συσκευής κατά τη διάρκεια αναμονής χρήσης της συσκευής και χωρίς την ενεργοποίηση δεδομένων κινητής τηλεφωνίας.



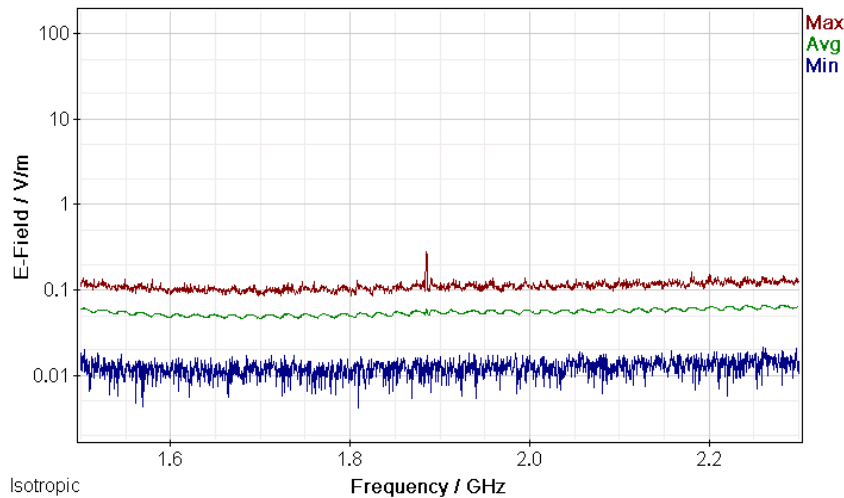
Σχήμα 389: Διακυμάνσεις (α) ελάχιστης (Min), (β) μέσης (Avg) και (γ) μέγιστης (Max) έντασης ηλεκτρικού πεδίου (E-Field) ως συνάρτηση της συχνότητας (Frequency) του πεδίου για μετρήσεις με οργανολογία τύπου NARDA SMR-3006 σε συσκευή κινητής τηλεφωνίας τύπου SONY ERICSSON wT19i και παρόχου WIND σε απόσταση 0m από την κεραία της συσκευής κατα τη διάρκεια κλήσης χωρίς συνομιλία και ενεργοποίηση δεδομένων κινητής τηλεφωνίας .



Σχήμα 390: Διακυμάνσεις (α) ελάχιστης (Min), (β) μέσης (Avg) και (γ) μέγιστης (Max) έντασης ηλεκτρικού πεδίου (E-Field) ως συνάρτηση της συχνότητας (Frequency) του πεδίου για μετρήσεις με οργανολογία τύπου NARDA SMR-3006 σε συσκευή κινητής τηλεφωνίας τύπου SONY ERICSSON wT19i και παρόχου WIND σε απόσταση 0m από την κεραία της συσκευής κατα τη διάρκεια συνομιλίας δυόμιση λεπτών χωρίς ενεργοποίηση δεδομένων κινητής τηλεφωνίας.



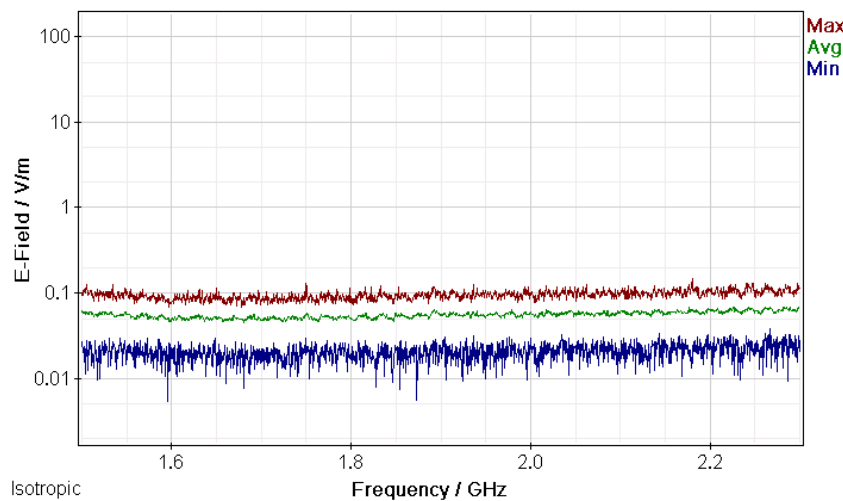
Σχήμα 391: Διακυμάνσεις (α) ελάχιστης (Min), (β) μέσης (Avg) και (γ) μέγιστης (Max) έντασης ηλεκτρικού πεδίου (E-Field) ως συνάρτηση της συχνότητας (Frequency) του πεδίου για μετρήσεις με οργάνολογία τύπου NARDA SMR-3006 σε συσκευή κινητής τηλεφωνίας τύπου SONY ERICSSON wT19i και παρόχου WIND σε απόσταση 0m από την κεραία της συσκευής κατα τη διάρκεια πεντάλεπτης συνομιλίας χωρίς ενεργοποίηση δεδομένων κινητής τηλεφωνίας.



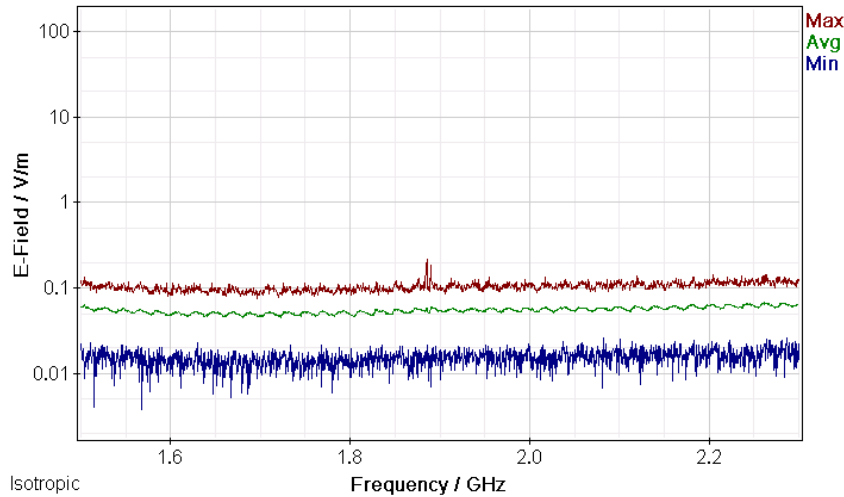
Σχήμα 392: Διακυμάνσεις (α) ελάχιστης (Min), (β) μέσης (Avg) και (γ) μέγιστης (Max) έντασης ηλεκτρικού πεδίου (E-Field) ως συνάρτηση της συχνότητας (Frequency) του πεδίου για μετρήσεις με οργάνολογία τύπου NARDA SMR-3006 σε συσκευή κινητής τηλεφωνίας τύπου SONY ERICSSON wT19i και παρόχου WIND σε απόσταση 0m από την κεραία της συσκευής κατα τη διάρκεια τερματισμού της κλήσης χωρίς ενεργοποίηση δεδομένων κινητής τηλεφωνίας.

ΠΑΡΑΡΤΗΜΑ 2

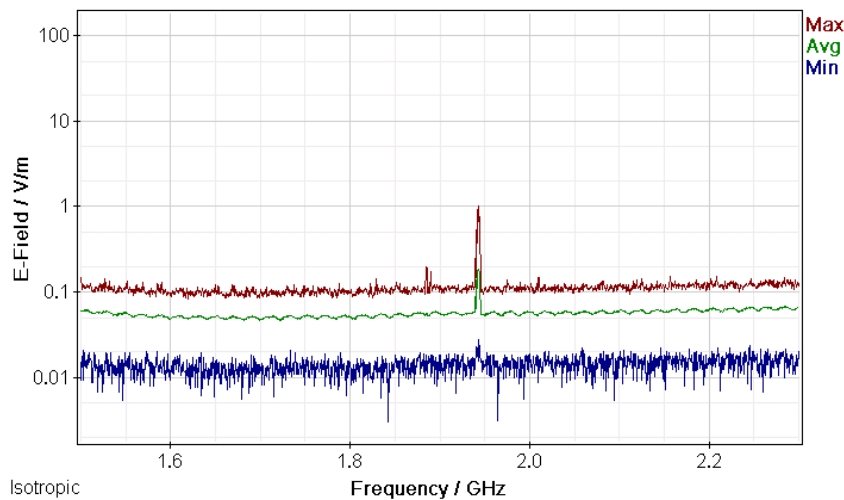
Μετρήσεις διακυμάνσεων (α) ελάχιστης (Min), (β) μέσης (Avg) και (γ) μέγιστης (Max) έντασης ηλεκτρικού πεδίου (E-Field) ως συνάρτηση της συχνότητας (Frequency) του πεδίου για μετρήσεις με οργανολογία τύπου NARDA SMR-3006 σε συσκευές κινητής τηλεφωνίας διαφόρων τύπων και παρόχων σε απόσταση 1 m από την κεραία των συσκευών.



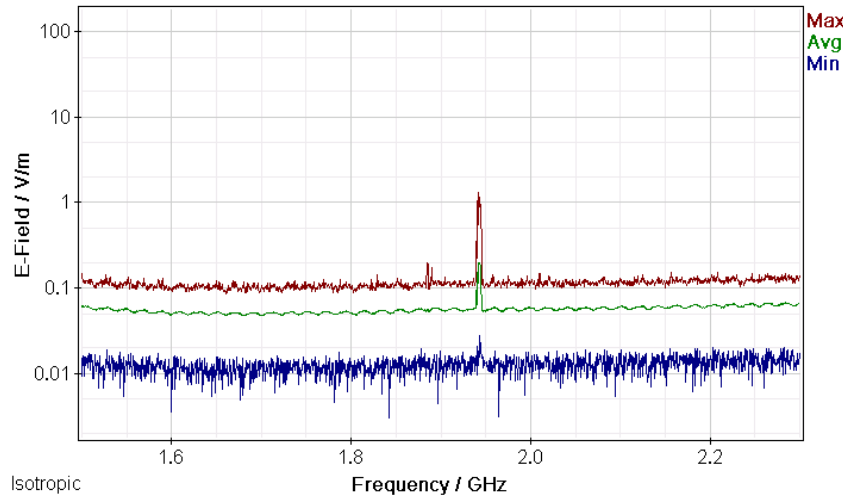
Σχήμα 393: Διακυμάνσεις (α) ελάχιστης (Min), (β) μέσης (Avg) και (γ) μέγιστης (Max) έντασης ηλεκτρικού πεδίου (E-Field) ως συνάρτηση της συχνότητας (Frequency) του πεδίου για μετρήσεις με οργανολογία τύπου NARDA SMR-3006 σε συσκευή κινητής τηλεφωνίας τύπου SONY ERICSSON wT19i και παρόχου WIND σε απόσταση 1m από την κεραία της συσκευής κατά τη διάρκεια αναμονής χρήσης της συσκευής και χωρίς την ενεργοποίηση δεδομένων κινητής τηλεφωνίας.



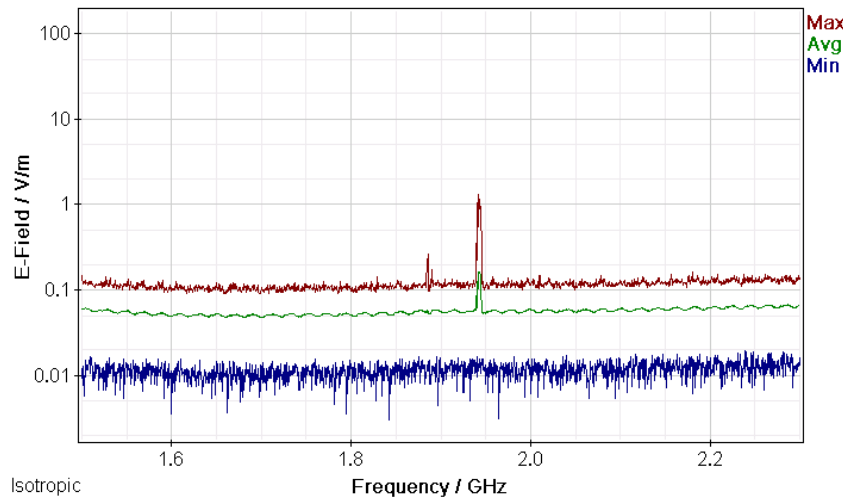
Σχήμα 394: Διακυμάνσεις (α) ελάχιστης (Min), (β) μέσης (Avg) και (γ) μέγιστης (Max) έντασης ηλεκτρικού πεδίου (E-Field) ως συνάρτηση της συχνότητας (Frequency) του πεδίου για μετρήσεις με οργάνολογία τύπου NARDA SMR-3006 σε συσκευή κινητής τηλεφωνίας τύπου SONY ERICSSON wT19i και παρόχου WIND σε απόσταση 1m από την κεραία της συσκευής κατά τη διάρκεια κλήσης χωρίς συνομιλία και ενεργοποίηση δεδομένων κινητής τηλεφωνίας .



Σχήμα 395: Διακυμάνσεις (α) ελάχιστης (Min), (β) μέσης (Avg) και (γ) μέγιστης (Max) έντασης ηλεκτρικού πεδίου (E-Field) ως συνάρτηση της συχνότητας (Frequency) του πεδίου για μετρήσεις με οργάνολογία τύπου NARDA SMR-3006 σε συσκευή κινητής τηλεφωνίας τύπου SONY ERICSSON wT19i και παρόχου WIND σε απόσταση 1m από την κεραία της συσκευής κατά τη διάρκεια συνομιλίας δυόμιση λεπτών χωρίς ενεργοποίηση δεδομένων κινητής τηλεφωνίας.



Σχήμα 396: Διακυμάνσεις (α) ελάχιστης (Min), (β) μέσης (Avg) και (γ) μέγιστης (Max) έντασης ηλεκτρικού πεδίου (E-Field) ως συνάρτηση της συχνότητας (Frequency) του πεδίου για μετρήσεις με οργανολογία τύπου NARDA SMR-3006 σε συσκευή κινητής τηλεφωνίας τύπου SONY ERICSSON wT19i και παρόχου WIND σε απόσταση 1m από την κεραία της συσκευής κατα τη διάρκεια πεντάλεπτης συνομιλίας χωρίς ενεργοποίηση δεδομένων κινητής τηλεφωνίας.



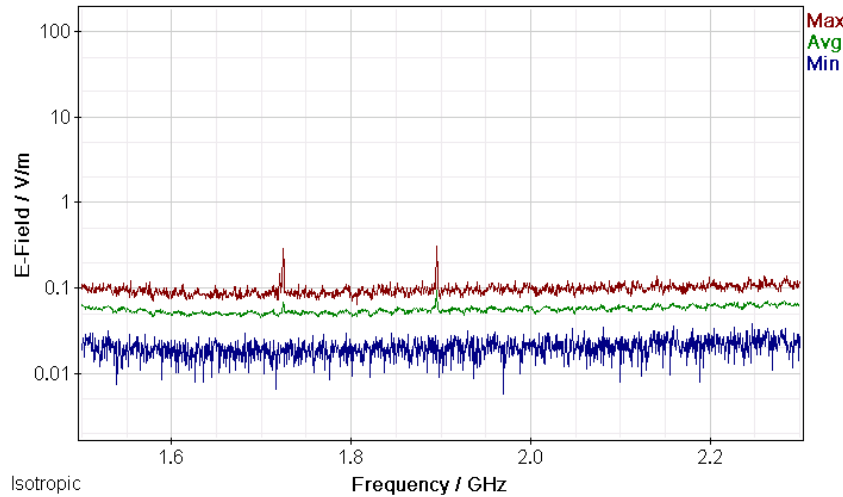
Σχήμα 397: Διακυμάνσεις (α) ελάχιστης (Min), (β) μέσης (Avg) και (γ) μέγιστης (Max) έντασης ηλεκτρικού πεδίου (E-Field) ως συνάρτηση της συχνότητας (Frequency) του πεδίου για μετρήσεις με οργανολογία τύπου NARDA SMR-3006 σε συσκευή κινητής τηλεφωνίας τύπου SONY ERICSSON wT19i και παρόχου WIND σε απόσταση 1m από την κεραία της συσκευής κατα τη διάρκεια τερματισμού της κλήσης χωρίς ενεργοποίηση δεδομένων κινητής τηλεφωνίας.

ΠΑΡΑΡΤΗΜΑ 1

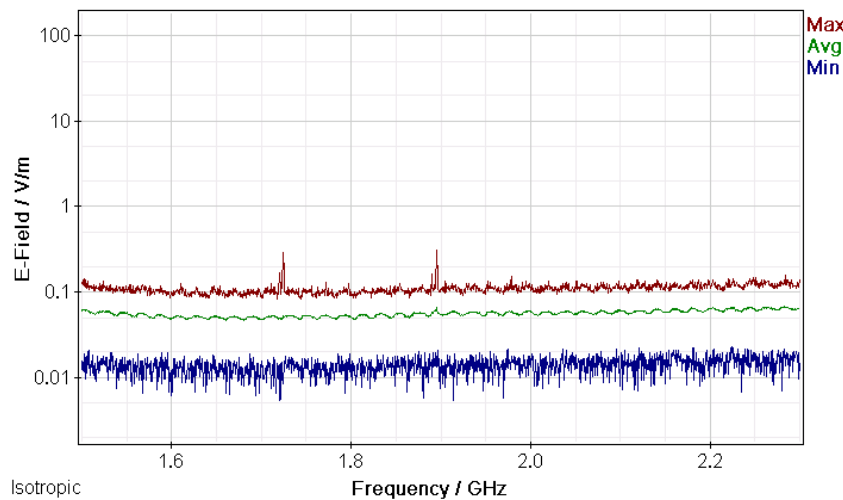
Μετρήσεις διακυμάνσεων (α) ελάχιστης (Min), (β) μέσης (Avg) και (γ) μέγιστης (Max) έντασης ηλεκτρικού πεδίου (E-Field) ως συνάρτηση της συχνότητας (Frequency) του πεδίου για μετρήσεις με οργανολογία τύπου NARDA SMR-3006 σε συσκευές κινητής τηλεφωνίας διαφόρων τύπων και παρόχων σε απόσταση 0 m από την κεραία των συσκευών.



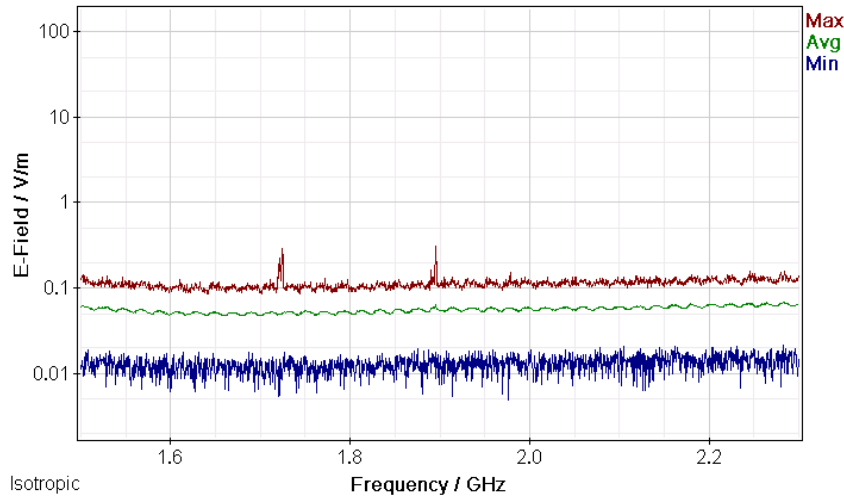
Σχήμα 398: Διακυμάνσεις (α) ελάχιστης (Min), (β) μέσης (Avg) και (γ) μέγιστης (Max) έντασης ηλεκτρικού πεδίου (E-Field) ως συνάρτηση της συχνότητας (Frequency) του πεδίου για μετρήσεις με οργανολογία τύπου NARDA SMR-3006 σε συσκευή κινητής τηλεφωνίας τύπου SAMSUNG YATELEY.GU46 66GG και παρόχου COSMOTE σε απόσταση 0m από την κεραία της συσκευής κατά τη διάρκεια αναμονής χρήσης της συσκευής και χωρίς την ενεργοποίηση δεδομένων κινητής τηλεφωνίας.



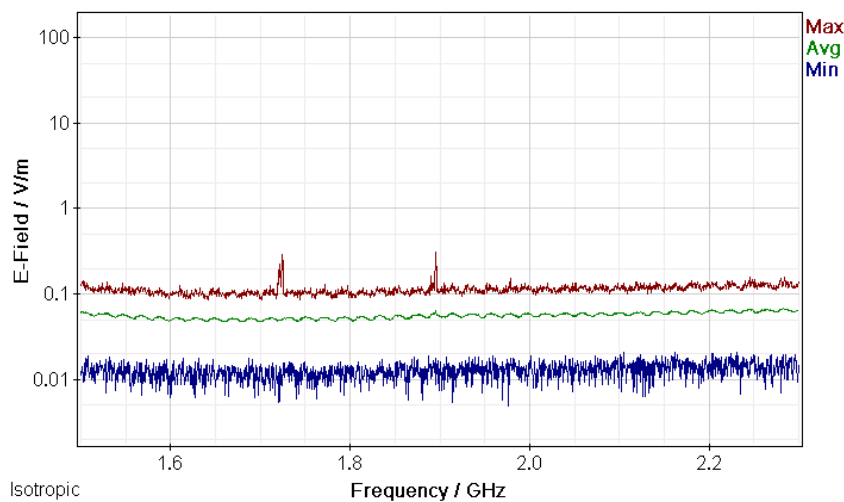
Σχήμα 399: Διακυμάνσεις (α) ελάχιστης (Min), (β) μέσης (Avg) και (γ) μέγιστης (Max) έντασης ηλεκτρικού πεδίου (E-Field) ως συνάρτηση της συχνότητας (Frequency) του πεδίου για μετρήσεις με οργανολογία τύπου NARDA SMR-3006 σε συσκευή κινητής τηλεφωνίας τύπου SAMSUNG YATELEY.GU46 66GG και παρόχου COSMOTE σε απόσταση 0m από την κεραία της συσκευής κατα τη διάρκεια κλήσης χωρίς συνομιλία και ενεργοποίηση δεδομένων κινητής τηλεφωνίας .



Σχήμα 400: Διακυμάνσεις (α) ελάχιστης (Min), (β) μέσης (Avg) και (γ) μέγιστης (Max) έντασης ηλεκτρικού πεδίου (E-Field) ως συνάρτηση της συχνότητας (Frequency) του πεδίου για μετρήσεις με οργανολογία τύπου NARDA SMR-3006 σε συσκευή κινητής τηλεφωνίας τύπου SAMSUNG YATELEY.GU46 66GG και παρόχου COSMOTE σε απόσταση 0m από την κεραία της συσκευής κατα τη διάρκεια συνομιλίας δυόμιση λεπτών χωρίς ενεργοποίηση δεδομένων κινητής τηλεφωνίας.



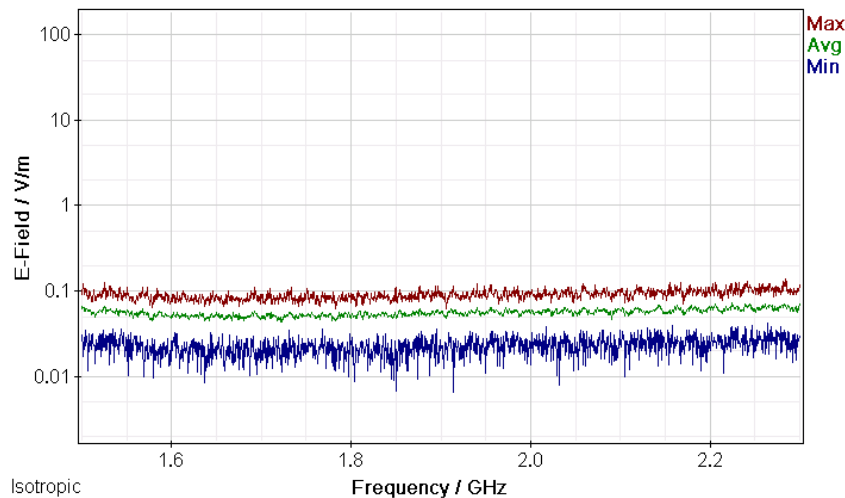
Σχήμα 401: Διακυμάνσεις (α) ελάχιστης (Min), (β) μέσης (Avg) και (γ) μέγιστης (Max) έντασης ηλεκτρικού πεδίου (E-Field) ως συνάρτηση της συχνότητας (Frequency) του πεδίου για μετρήσεις με οργάνολογία τύπου NARDA SMR-3006 σε συσκευή κινητής τηλεφωνίας τύπου SAMSUNG YATELEY.GU46 66GG και παρόχου COSMOTE σε απόσταση 0m από την κεραία της συσκευής κατά τη διάρκεια πεντάλεπτης συνομιλίας χωρίς ενεργοποίηση δεδομένων κινητής τηλεφωνίας.



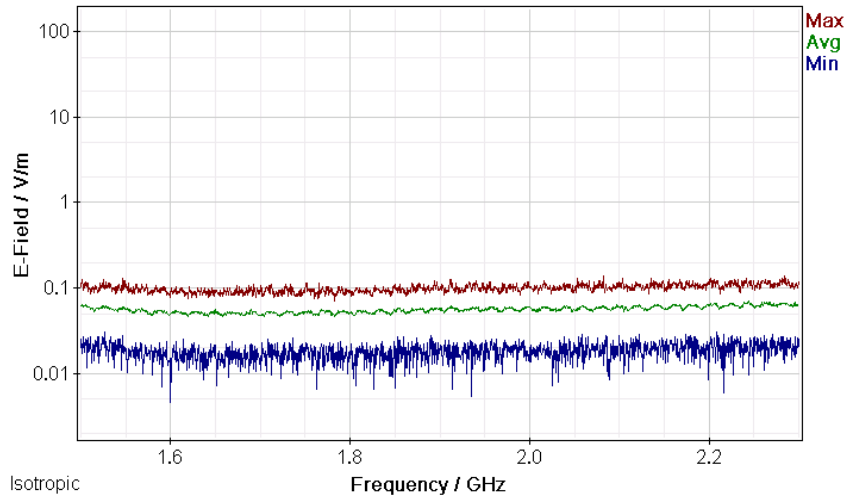
Σχήμα 402: Διακυμάνσεις (α) ελάχιστης (Min), (β) μέσης (Avg) και (γ) μέγιστης (Max) έντασης ηλεκτρικού πεδίου (E-Field) ως συνάρτηση της συχνότητας (Frequency) του πεδίου για μετρήσεις με οργάνολογία τύπου NARDA SMR-3006 σε συσκευή κινητής τηλεφωνίας τύπου SAMSUNG YATELEY.GU46 66GG και παρόχου COMOTE σε απόσταση 0m από την κεραία της συσκευής κατά τη διάρκεια τερματισμού της κλήσης χωρίς ενεργοποίηση δεδομένων κινητής τηλεφωνίας.

ΠΑΡΑΡΤΗΜΑ 2

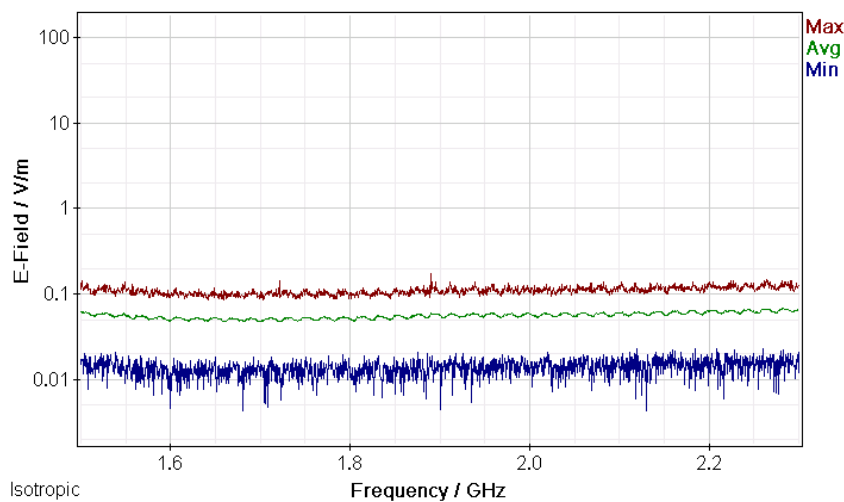
Μετρήσεις διακυμάνσεων (α) ελάχιστης (Min), (β) μέσης (Avg) και (γ) μέγιστης (Max) έντασης ηλεκτρικού πεδίου (E-Field) ως συνάρτηση της συχνότητας (Frequency) του πεδίου για μετρήσεις με οργανολογία τύπου NARDA SMR-3006 σε συσκευές κινητής τηλεφωνίας διαφόρων τύπων και παρόχων σε απόσταση 1 m από την κεραία των συσκευών.



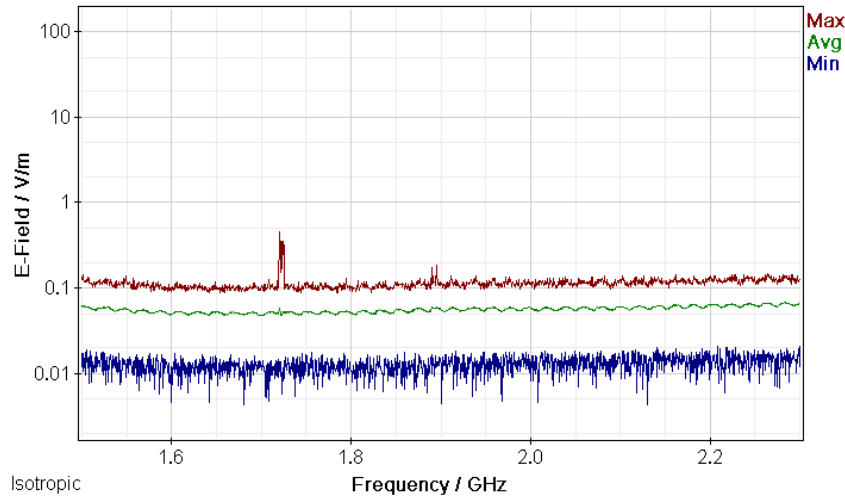
Σχήμα 403: Διακυμάνσεις (α) ελάχιστης (Min), (β) μέσης (Avg) και (γ) μέγιστης (Max) έντασης ηλεκτρικού πεδίου (E-Field) ως συνάρτηση της συχνότητας (Frequency) του πεδίου για μετρήσεις με οργανολογία τύπου NARDA SMR-3006 σε συσκευή κινητής τηλεφωνίας τύπου SAMSUNG YATELEY.GU46 66GG και παρόχου COSMOTE σε απόσταση 1m από την κεραία της συσκευής κατά τη διάρκεια αναμονής χρήσης της συσκευής και χωρίς την ενεργοποίηση δεδομένων κινητής τηλεφωνίας.



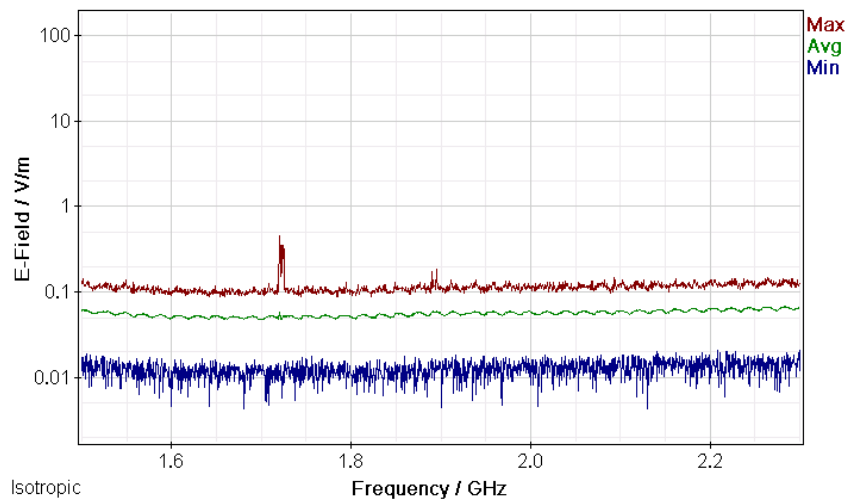
Σχήμα 404: Διακυμάνσεις (α) ελάχιστης (Min), (β) μέσης (Avg) και (γ) μέγιστης (Max) έντασης ηλεκτρικού πεδίου (E-Field) ως συνάρτηση της συχνότητας (Frequency) του πεδίου για μετρήσεις με οργανολογία τύπου NARDA SMR-3006 σε συσκευή κινητής τηλεφωνίας τύπου SAMSUNG YATELEY.GU46 66GG και παρόχου COSMOTE σε απόσταση 1m από την κεραία της συσκευής κατα τη διάρκεια κλήσης χωρίς συνομιλία και ενεργοποίηση δεδομένων κινητής τηλεφωνίας



Σχήμα 405: Διακυμάνσεις (α) ελάχιστης (Min), (β) μέσης (Avg) και (γ) μέγιστης (Max) έντασης ηλεκτρικού πεδίου (E-Field) ως συνάρτηση της συχνότητας (Frequency) του πεδίου για μετρήσεις με οργανολογία τύπου NARDA SMR-3006 σε συσκευή κινητής τηλεφωνίας τύπου SAMSUNG YATELEY.GU46 66GG και παρόχου COSMOTE σε απόσταση 1m από την κεραία της συσκευής κατα τη διάρκεια συνομιλίας δυόμιση λεπτών χωρίς ενεργοποίηση δεδομένων κινητής τηλεφωνίας.



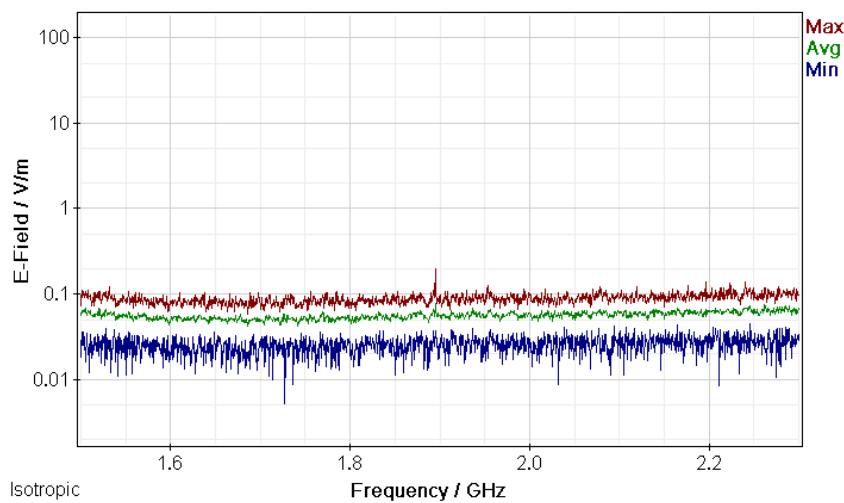
Σχήμα 406: Διακυμάνσεις (α) ελάχιστης (Min), (β) μέσης (Avg) και (γ) μέγιστης (Max) έντασης ηλεκτρικού πεδίου (E-Field) ως συνάρτηση της συχνότητας (Frequency) του πεδίου για μετρήσεις με οργανολογία τύπου NARDA SMR-3006 σε συσκευή κινητής τηλεφωνίας τύπου SAMSUNG YATELEY.GU46 66GG και παρόχου COSMOTE σε απόσταση 1m από την κεραία της συσκευής κατά τη διάρκεια πεντάλεπτης συνομιλίας χωρίς ενεργοποίηση δεδομένων κινητής τηλεφωνίας.



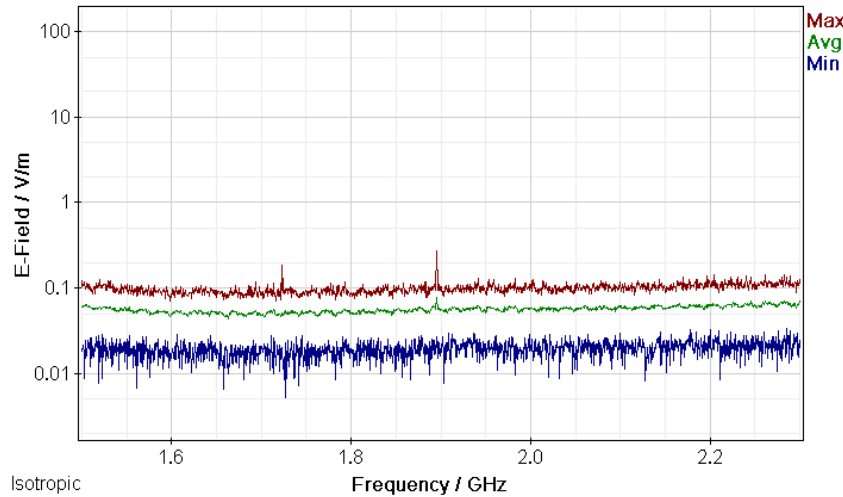
Σχήμα 407: Διακυμάνσεις (α) ελάχιστης (Min), (β) μέσης (Avg) και (γ) μέγιστης (Max) έντασης ηλεκτρικού πεδίου (E-Field) ως συνάρτηση της συχνότητας (Frequency) του πεδίου για μετρήσεις με οργανολογία τύπου NARDA SMR-3006 σε συσκευή κινητής τηλεφωνίας τύπου SAMSUNG YATELEY.GU46 66GG και παρόχου COSMOTE σε απόσταση 1m από την κεραία της συσκευής κατά τη διάρκεια τερματισμού της κλήσης χωρίς ενεργοποίηση δεδομένων κινητής τηλεφωνίας.

ΠΑΡΑΡΤΗΜΑ 1

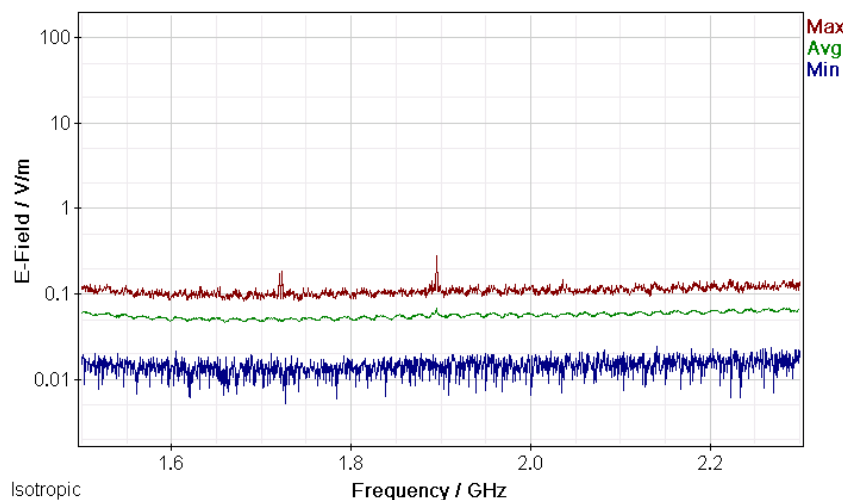
Μετρήσεις διακυμάνσεων (α) ελάχιστης (Min), (β) μέσης (Avg) και (γ) μέγιστης (Max) έντασης ηλεκτρικού πεδίου (E-Field) ως συνάρτηση της συχνότητας (Frequency) του πεδίου για μετρήσεις με οργανολογία τύπου NARDA SMR-3006 σε συσκευές κινητής τηλεφωνίας διαφόρων τύπων και παρόχων σε απόσταση 0 m από την κεραία των συσκευών.



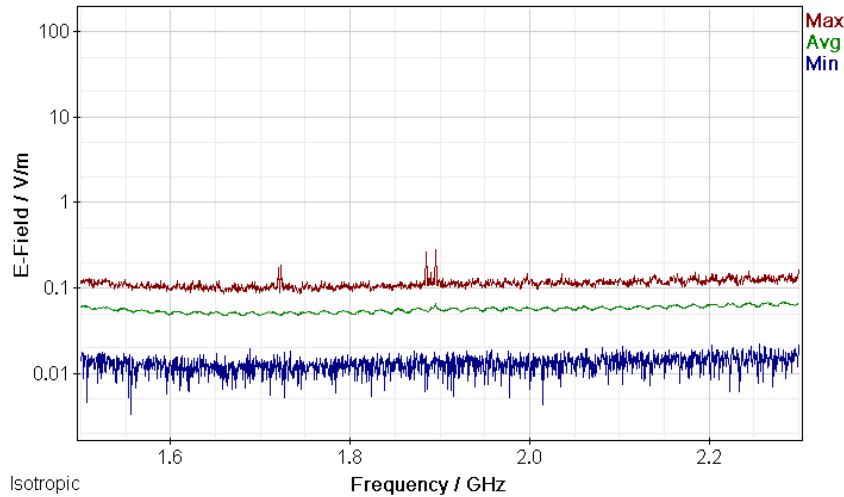
Σχήμα 408: Διακυμάνσεις (α) ελάχιστης (Min), (β) μέσης (Avg) και (γ) μέγιστης (Max) έντασης ηλεκτρικού πεδίου (E-Field) ως συνάρτηση της συχνότητας (Frequency) του πεδίου για μετρήσεις με οργανολογία τύπου NARDA SMR-3006 σε συσκευή κινητής τηλεφωνίας τύπου SAMSUNG YATELEY.GU46 66GG και παρόχου VODAFONE σε απόσταση 0m από την κεραία της συσκευής κατά τη διάρκεια αναμονής χρήσης της συσκευής και χωρίς την ενεργοποίηση δεδομένων κινητής τηλεφωνίας.



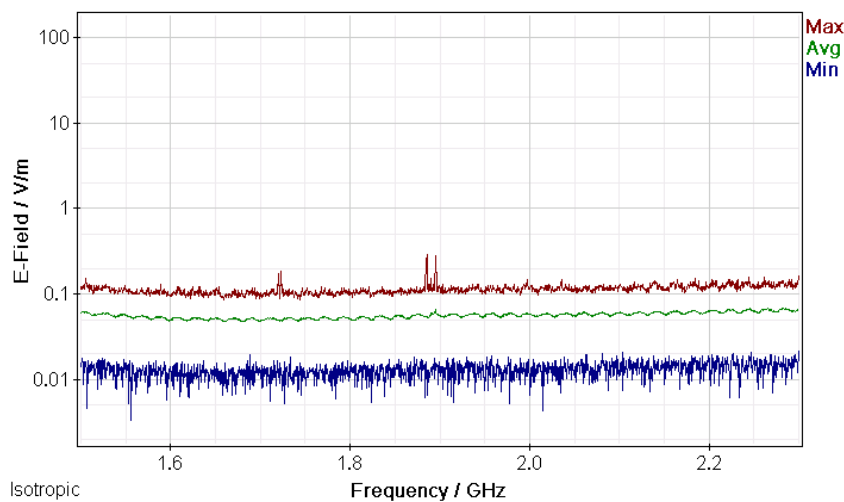
Σχήμα 409: Διακυμάνσεις (α) ελάχιστης (Min), (β) μέσης (Avg) και (γ) μέγιστης (Max) έντασης ηλεκτρικού πεδίου (E-Field) ως συνάρτηση της συχνότητας (Frequency) του πεδίου για μετρήσεις με οργανολογία τύπου NARDA SMR-3006 σε συσκευή κινητής τηλεφωνίας τύπου SAMSUNG YATELEY.GU46 66GG και παρόχου VODAFONE σε απόσταση 0m από την κεραία της συσκευής κατα τη διάρκεια κλήσης χωρίς συνομιλία και ενεργοποίηση δεδομένων κινητής τηλεφωνίας



Σχήμα 410: Διακυμάνσεις (α) ελάχιστης (Min), (β) μέσης (Avg) και (γ) μέγιστης (Max) έντασης ηλεκτρικού πεδίου (E-Field) ως συνάρτηση της συχνότητας (Frequency) του πεδίου για μετρήσεις με οργανολογία τύπου NARDA SMR-3006 σε συσκευή κινητής τηλεφωνίας τύπου SAMSUNG YATELEY.GU46 66GG και παρόχου VODAFONE σε απόσταση 0m από την κεραία της συσκευής κατα τη διάρκεια συνομιλίας δυόμιση λεπτών χωρίς ενεργοποίηση δεδομένων κινητής τηλεφωνίας.



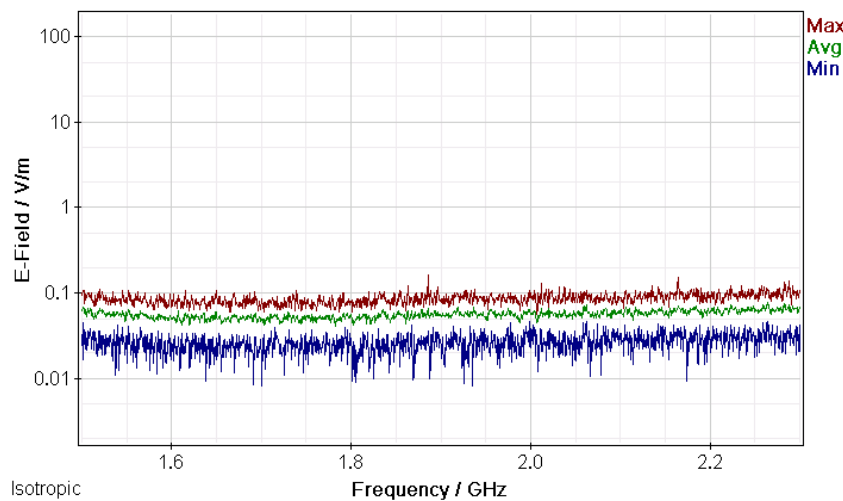
Σχήμα 411: Διακυμάνσεις (α) ελάχιστης (Min), (β) μέσης (Avg) και (γ) μέγιστης (Max) έντασης ηλεκτρικού πεδίου (E-Field) ως συνάρτηση της συχνότητας (Frequency) του πεδίου για μετρήσεις με οργάνολογία τύπου NARDA SMR-3006 σε συσκευή κινητής τηλεφωνίας τύπου SAMSUNG YATELEY.GU46 66GG και παρόχου VODAFONE σε απόσταση 0m από την κεραία της συσκευής κατά τη διάρκεια πεντάλεπτης συνομιλίας χωρίς ενεργοποίηση δεδομένων κινητής τηλεφωνίας.



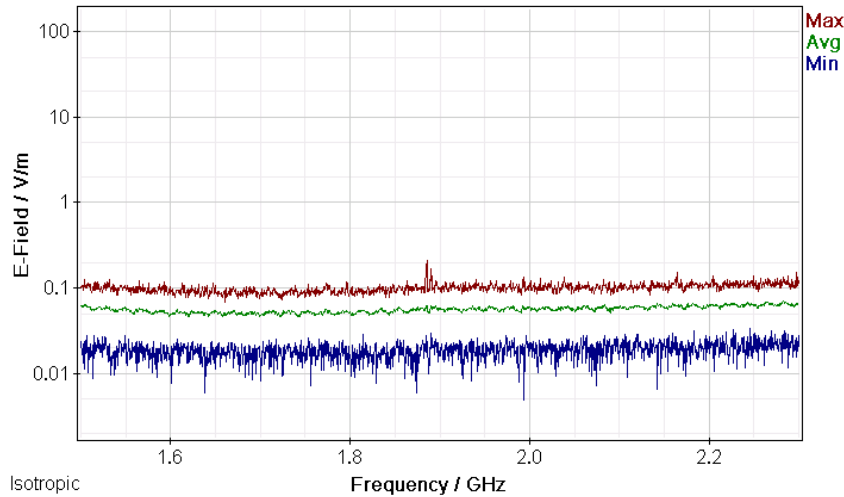
Σχήμα 412: Διακυμάνσεις (α) ελάχιστης (Min), (β) μέσης (Avg) και (γ) μέγιστης (Max) έντασης ηλεκτρικού πεδίου (E-Field) ως συνάρτηση της συχνότητας (Frequency) του πεδίου για μετρήσεις με οργάνολογία τύπου NARDA SMR-3006 σε συσκευή κινητής τηλεφωνίας τύπου SAMSUNG YATELEY.GU46 66GG και παρόχου VODAFONE σε απόσταση 0m από την κεραία της συσκευής κατά τη διάρκεια τερματισμού της κλήσης χωρίς ενεργοποίηση δεδομένων κινητής τηλεφωνίας.

ΠΑΡΑΡΤΗΜΑ 2

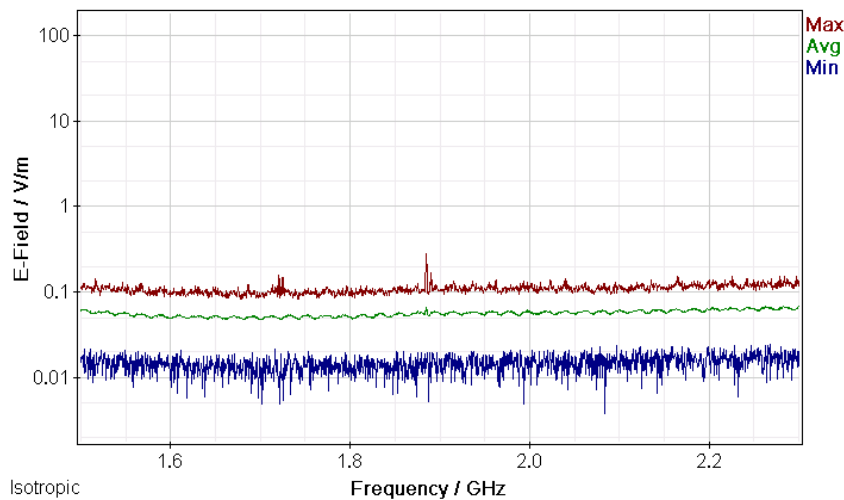
Μετρήσεις διακυμάνσεων (α) ελάχιστης (Min), (β) μέσης (Avg) και (γ) μέγιστης (Max) έντασης ηλεκτρικού πεδίου (E-Field) ως συνάρτηση της συχνότητας (Frequency) του πεδίου για μετρήσεις με οργανολογία τύπου NARDA SMR-3006 σε συσκευές κινητής τηλεφωνίας διαφόρων τύπων και παρόχων σε απόσταση 1 m από την κεραία των συσκευών.



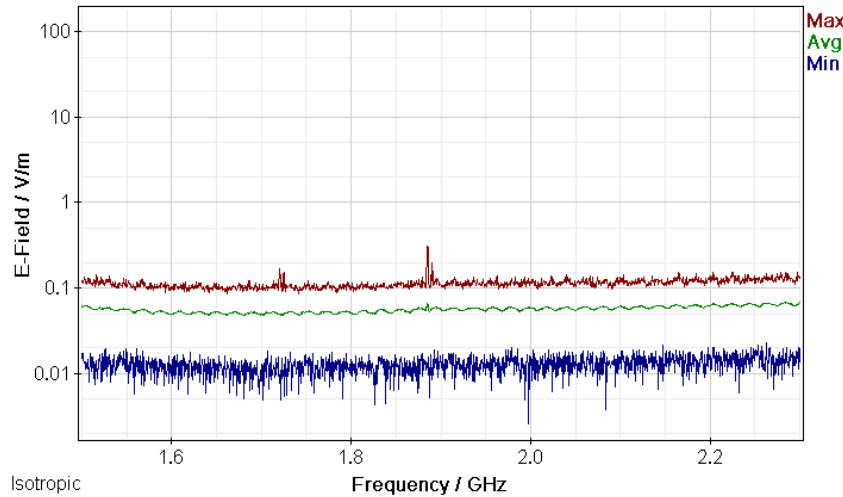
Σχήμα 413: Διακυμάνσεις (α) ελάχιστης (Min), (β) μέσης (Avg) και (γ) μέγιστης (Max) έντασης ηλεκτρικού πεδίου (E-Field) ως συνάρτηση της συχνότητας (Frequency) του πεδίου για μετρήσεις με οργανολογία τύπου NARDA SMR-3006 σε συσκευή κινητής τηλεφωνίας τύπου SAMSUNG YATELEY.GU46 66GG και παρόχου VODAFONE σε απόσταση 1m από την κεραία της συσκευής κατά τη διάρκεια αναμονής χρήσης της συσκευής και χωρίς την ενεργοποίηση δεδομένων κινητής τηλεφωνίας.



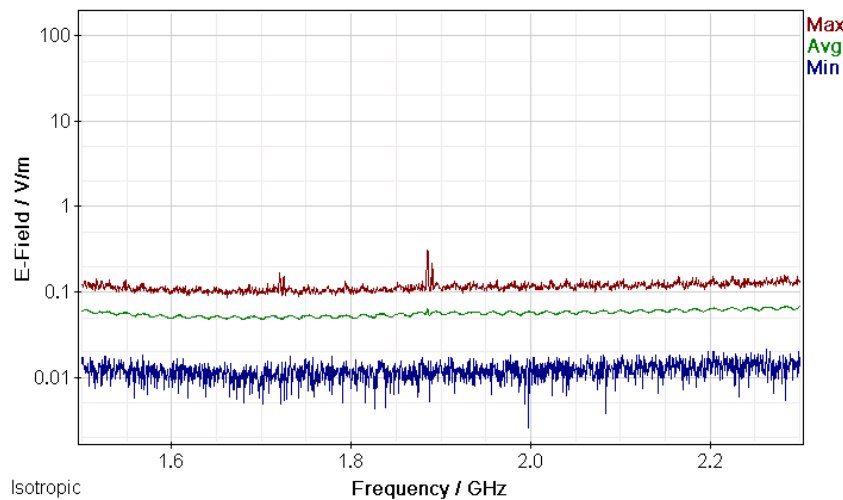
Σχήμα 414: Διακυμάνσεις (α) ελάχιστης (Min), (β) μέσης (Avg) και (γ) μέγιστης (Max) έντασης ηλεκτρικού πεδίου (E-Field) ως συνάρτηση της συχνότητας (Frequency) του πεδίου για μετρήσεις με οργανολογία τύπου NARDA SMR-3006 σε συσκευή κινητής τηλεφωνίας τύπου SAMSUNG YATELEY.GU46 66GG και παρόχου VODAFONE σε απόσταση 1m από την κεραία της συσκευής κατα τη διάρκεια κλήσης χωρίς συνομιλία και ενεργοποίηση δεδομένων κινητής τηλεφωνίας



Σχήμα 415: Διακυμάνσεις (α) ελάχιστης (Min), (β) μέσης (Avg) και (γ) μέγιστης (Max) έντασης ηλεκτρικού πεδίου (E-Field) ως συνάρτηση της συχνότητας (Frequency) του πεδίου για μετρήσεις με οργανολογία τύπου NARDA SMR-3006 σε συσκευή κινητής τηλεφωνίας τύπου SAMSUNG YATELEY.GU46 66GG και παρόχου VODAFONE σε απόσταση 1m από την κεραία της συσκευής κατα τη διάρκεια συνομιλίας δυόμιση λεπτών χωρίς ενεργοποίηση δεδομένων κινητής τηλεφωνίας.



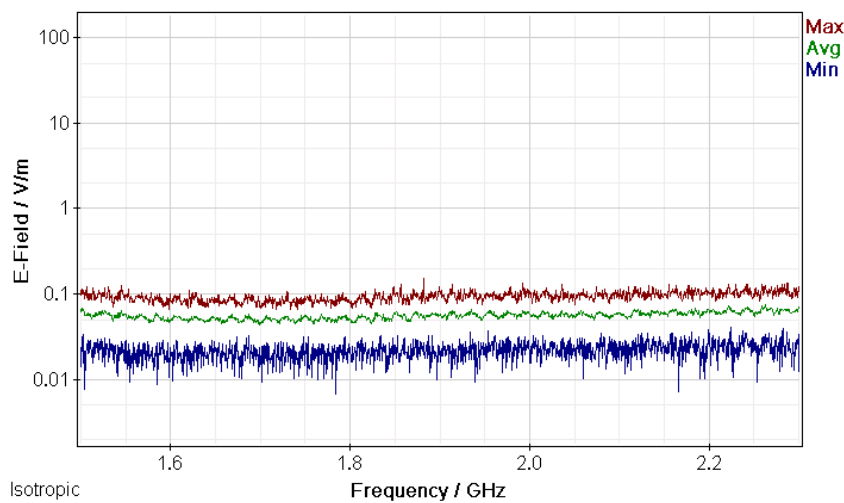
Σχήμα 416: Διακυμάνσεις (α) ελάχιστης (Min), (β) μέσης (Avg) και (γ) μέγιστης (Max) έντασης ηλεκτρικού πεδίου (E-Field) ως συνάρτηση της συχνότητας (Frequency) του πεδίου για μετρήσεις με οργανολογία τύπου NARDA SMR-3006 σε συσκευή κινητής τηλεφωνίας τύπου SAMSUNG YATELEY.GU46 66GG και παρόχου VODAFONE σε απόσταση 1m από την κεραία της συσκευής κατά τη διάρκεια πεντάλεπτης συνομιλίας χωρίς ενεργοποίηση δεδομένων κινητής τηλεφωνίας.



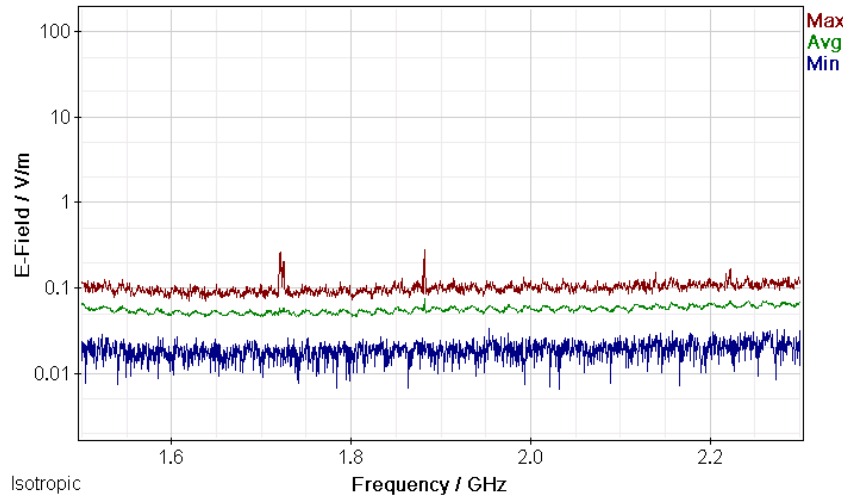
Σχήμα 417: Διακυμάνσεις (α) ελάχιστης (Min), (β) μέσης (Avg) και (γ) μέγιστης (Max) έντασης ηλεκτρικού πεδίου (E-Field) ως συνάρτηση της συχνότητας (Frequency) του πεδίου για μετρήσεις με οργανολογία τύπου NARDA SMR-3006 σε συσκευή κινητής τηλεφωνίας τύπου SAMSUNG YATELEY.GU46 66GG και παρόχου VODAFONE σε απόσταση 1m από την κεραία της συσκευής κατά τη διάρκεια τερματισμού της κλήσης χωρίς ενεργοποίηση δεδομένων κινητής τηλεφωνίας.

ΠΑΡΑΡΤΗΜΑ 1

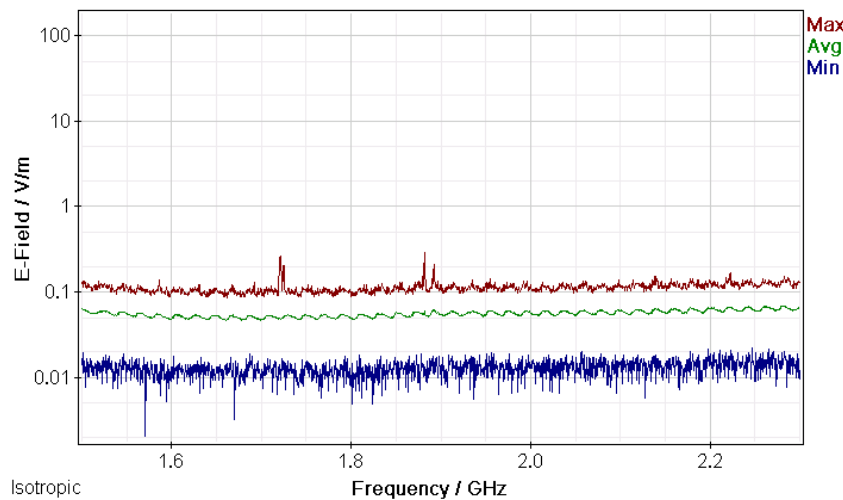
Μετρήσεις διακυμάνσεων (α) ελάχιστης (Min), (β) μέσης (Avg) και (γ) μέγιστης (Max) έντασης ηλεκτρικού πεδίου (E-Field) ως συνάρτηση της συχνότητας (Frequency) του πεδίου για μετρήσεις με οργανολογία τύπου NARDA SMR-3006 σε συσκευές κινητής τηλεφωνίας διαφόρων τύπων και παρόχων σε απόσταση 0 m από την κεραία των συσκευών.



Σχήμα 418: Διακυμάνσεις (α) ελάχιστης (Min), (β) μέσης (Avg) και (γ) μέγιστης (Max) έντασης ηλεκτρικού πεδίου (E-Field) ως συνάρτηση της συχνότητας (Frequency) του πεδίου για μετρήσεις με οργανολογία τύπου NARDA SMR-3006 σε συσκευή κινητής τηλεφωνίας τύπου SAMSUNG YATELEY.GU46 66GG και παρόχου WIND σε απόσταση 0m από την κεραία της συσκευής κατά τη διάρκεια αναμονής χρήσης της συσκευής και χωρίς την ενεργοποίηση δεδομένων κινητής τηλεφωνίας.

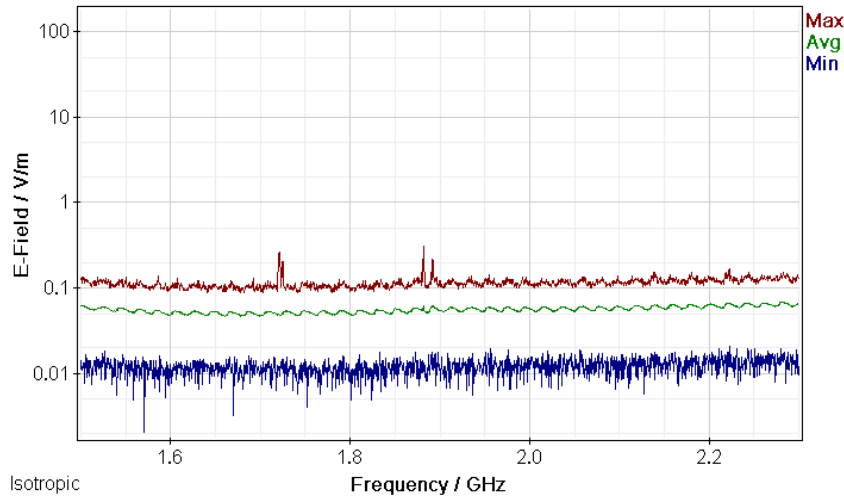


Σχήμα 419: Διακυμάνσεις (α) ελάχιστης (Min), (β) μέσης (Avg) και (γ) μέγιστης (Max) έντασης ηλεκτρικού πεδίου (E-Field) ως συνάρτηση της συχνότητας (Frequency) του πεδίου για μετρήσεις με οργανολογία τύπου NARDA SMR-3006 σε συσκευή κινητής τηλεφωνίας τύπου SAMSUNG YATELEY.GU46 66GG και παρόχου WIND σε απόσταση 0m από την κεραία της συσκευής κατά τη διάρκεια κλήσης χωρίς συνομιλία και ενεργοποίηση δεδομένων κινητής τηλεφωνίας .

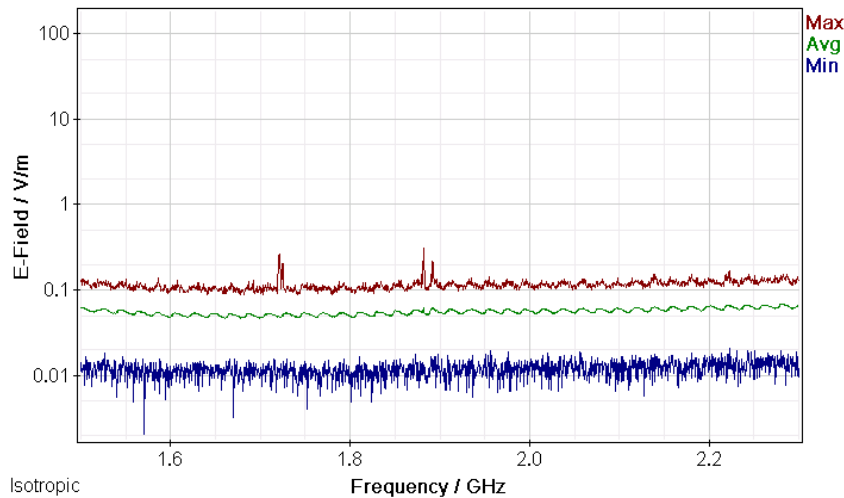


Σχήμα 420: Διακυμάνσεις (α) ελάχιστης (Min), (β) μέσης (Avg) και (γ) μέγιστης (Max) έντασης ηλεκτρικού πεδίου (E-Field) ως συνάρτηση της συχνότητας (Frequency) του πεδίου για μετρήσεις με οργανολογία τύπου NARDA SMR-3006 σε συσκευή κινητής τηλεφωνίας τύπου SAMSUNG YATELEY.GU46 66GG και παρόχου WIND σε απόσταση 0m από την κεραία της συσκευής κατά τη διάρκεια συνομιλίας δύομιση λεπτών χωρίς ενεργοποίηση δεδομένων κινητής τηλεφωνίας.

ΜΕΛΕΤΗ Η/Μ ΔΙΑΤΑΡΑΧΩΝ ΚΙΝΗΤΗΣ ΤΗΛΕΦΩΝΙΑΣ



Σχήμα 421: Διακυμάνσεις (α) ελάχιστης (Min), (β) μέσης (Avg) και (γ) μέγιστης (Max) έντασης ηλεκτρικού πεδίου (E-Field) ως συνάρτηση της συχνότητας (Frequency) του πεδίου για μετρήσεις με οργανολογία τύπου NARDA SMR-3006 σε συσκευή κινητής τηλεφωνίας τύπου SONY XPERIA E5603 και παρόχου WIND σε απόσταση 0m από την κεραία της συσκευής κατά τη διάρκεια πεντάλεπτης συνομιλίας χωρίς ενεργοποίηση δεδομένων κινητής τηλεφωνίας.



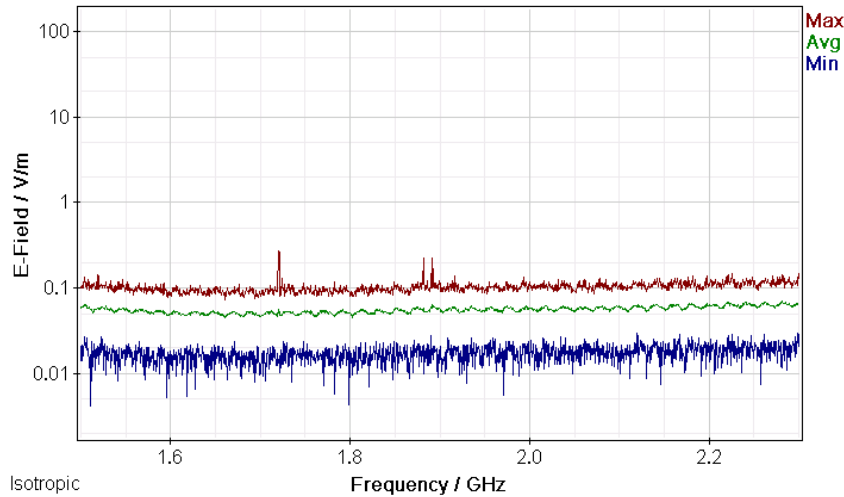
Σχήμα 422: Διακυμάνσεις (α) ελάχιστης (Min), (β) μέσης (Avg) και (γ) μέγιστης (Max) έντασης ηλεκτρικού πεδίου (E-Field) ως συνάρτηση της συχνότητας (Frequency) του πεδίου για μετρήσεις με οργανολογία τύπου NARDA SMR-3006 σε συσκευή κινητής τηλεφωνίας τύπου SAMSUNG YATELEY.GU46 66GG και παρόχου WIND σε απόσταση 0m από την κεραία της συσκευής κατά τη διάρκεια τερματισμού της κλήσης χωρίς ενεργοποίηση δεδομένων κινητής τηλεφωνίας.

ΠΑΡΑΡΤΗΜΑ 2

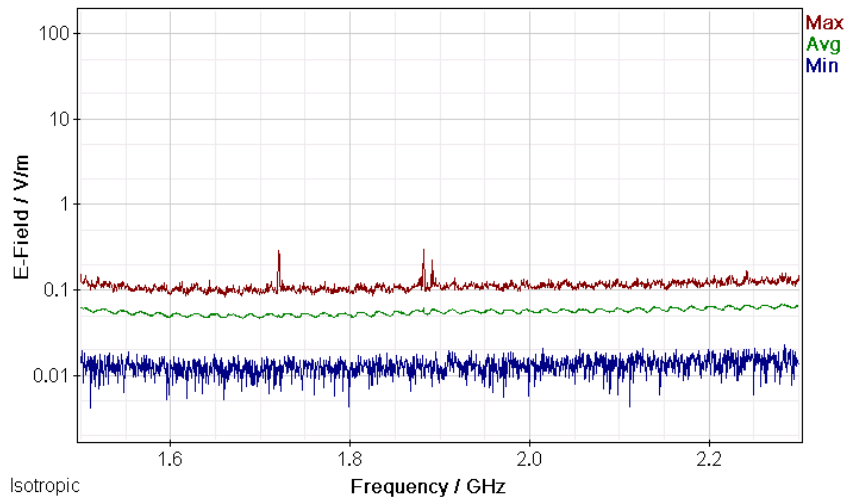
Μετρήσεις διακυμάνσεων (α) ελάχιστης (Min), (β) μέσης (Avg) και (γ) μέγιστης (Max) έντασης ηλεκτρικού πεδίου (E-Field) ως συνάρτηση της συχνότητας (Frequency) του πεδίου για μετρήσεις με οργανολογία τύπου NARDA SMR-3006 σε συσκευές κινητής τηλεφωνίας διαφόρων τύπων και παρόχων σε απόσταση 1 m από την κεραία των συσκευών.



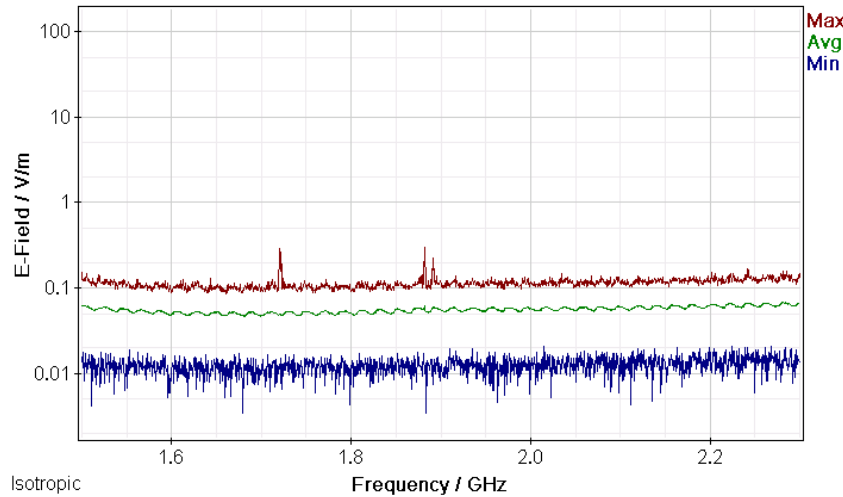
Σχήμα 423: Διακυμάνσεις (α) ελάχιστης (Min), (β) μέσης (Avg) και (γ) μέγιστης (Max) έντασης ηλεκτρικού πεδίου (E-Field) ως συνάρτηση της συχνότητας (Frequency) του πεδίου για μετρήσεις με οργανολογία τύπου NARDA SMR-3006 σε συσκευή κινητής τηλεφωνίας τύπου SAMSUNG YATELEY.GU46 66GG και παρόχου WIND σε απόσταση 1m από την κεραία της συσκευής κατα τη διάρκεια αναμονής χρήσης της συσκευής και χωρίς την ενεργοποίηση δεδομένων κινητής τηλεφωνίας.



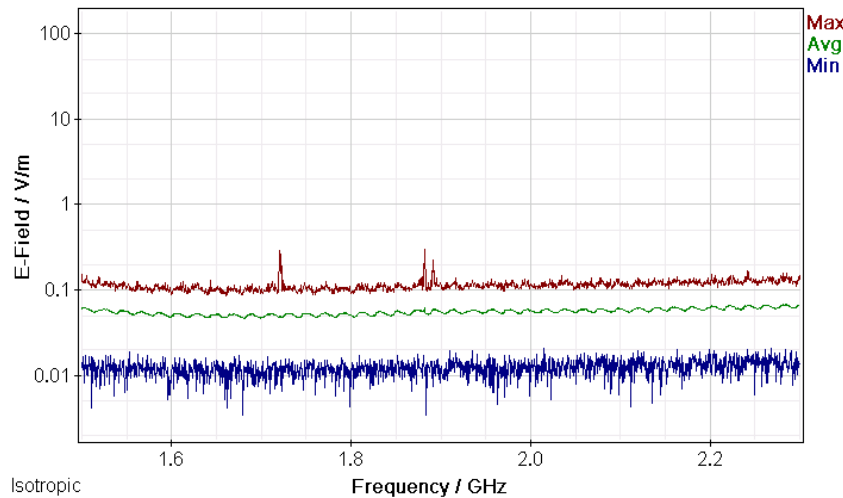
Σχήμα 424: Διακυμάνσεις (α) ελάχιστης (Min), (β) μέσης (Avg) και (γ) μέγιστης (Max) έντασης ηλεκτρικού πεδίου (E-Field) ως συνάρτηση της συχνότητας (Frequency) του πεδίου για μετρήσεις με οργανολογία τύπου NARDA SMR-3006 σε συσκευή κινητής τηλεφωνίας τύπου SAMSUNG YATELEY.GU46 66GG και παρόχου WIND σε απόσταση 1m από την κεραία της συσκευής κατα τη διάρκεια κλήσης χωρίς συνομιλία και ενεργοποίηση δεδομένων κινητής τηλεφωνίας .



Σχήμα 425: Διακυμάνσεις (α) ελάχιστης (Min), (β) μέσης (Avg) και (γ) μέγιστης (Max) έντασης ηλεκτρικού πεδίου (E-Field) ως συνάρτηση της συχνότητας (Frequency) του πεδίου για μετρήσεις με οργανολογία τύπου NARDA SMR-3006 σε συσκευή κινητής τηλεφωνίας τύπου SAMSUNG YATELEY.GU46 66GG και παρόχου WIND σε απόσταση 1m από την κεραία της συσκευής κατα τη διάρκεια συνομιλίας δυόμιση λεπτών χωρίς ενεργοποίηση δεδομένων κινητής τηλεφωνίας.



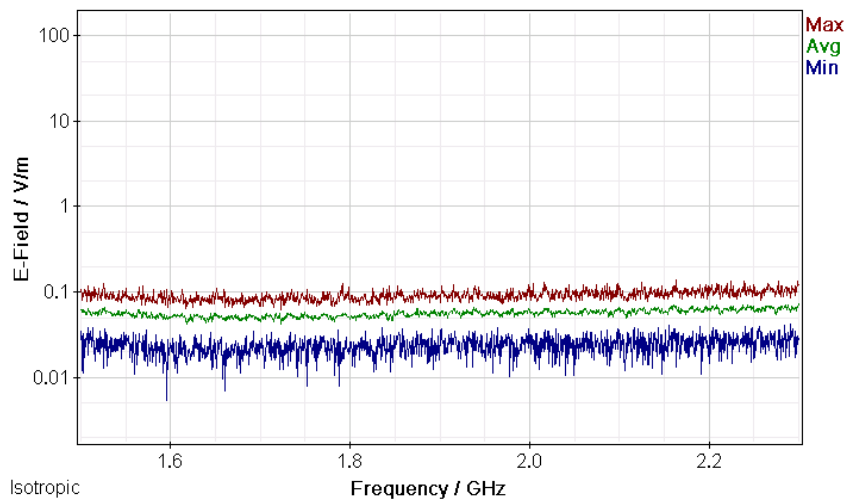
Σχήμα 426: Διακυμάνσεις (α) ελάχιστης (Min), (β) μέσης (Avg) και (γ) μέγιστης (Max) έντασης ηλεκτρικού πεδίου (E-Field) ως συνάρτηση της συχνότητας (Frequency) του πεδίου για μετρήσεις με οργανολογία τύπου NARDA SMR-3006 σε συσκευή κινητής τηλεφωνίας τύπου SAMSUNG YATELEY.GU46 66GG και παρόχου WIND σε απόσταση 1m από την κεραία της συσκευής κατα τη διάρκεια πεντάλεπτης συνομιλίας χωρίς ενεργοποίηση δεδομένων κινητής τηλεφωνίας.



Σχήμα 427: Διακυμάνσεις (α) ελάχιστης (Min), (β) μέσης (Avg) και (γ) μέγιστης (Max) έντασης ηλεκτρικού πεδίου (E-Field) ως συνάρτηση της συχνότητας (Frequency) του πεδίου για μετρήσεις με οργανολογία τύπου NARDA SMR-3006 σε συσκευή κινητής τηλεφωνίας τύπου SAMSUNG YATELEY.GU46 66GG και παρόχου WIND σε απόσταση 1m από την κεραία της συσκευής κατα τη διάρκεια τερματισμού της κλήσης χωρίς ενεργοποίηση δεδομένων κινητής τηλεφωνίας.

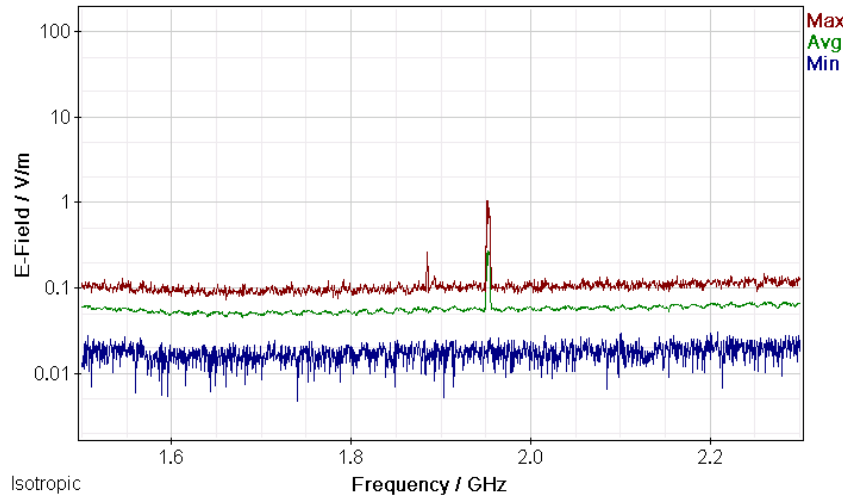
ΠΑΡΑΡΤΗΜΑ 1

Μετρήσεις διακυμάνσεων (α) ελάχιστης (Min), (β) μέσης (Avg) και (γ) μέγιστης (Max) έντασης ηλεκτρικού πεδίου (E-Field) ως συνάρτηση της συχνότητας (Frequency) του πεδίου για μετρήσεις με οργάνολογία τύπου NARDA SMR-3006 σε συσκευές κινητής τηλεφωνίας διαφόρων τύπων και παρόχων σε απόσταση 0 m από την κεραία των συσκευών.

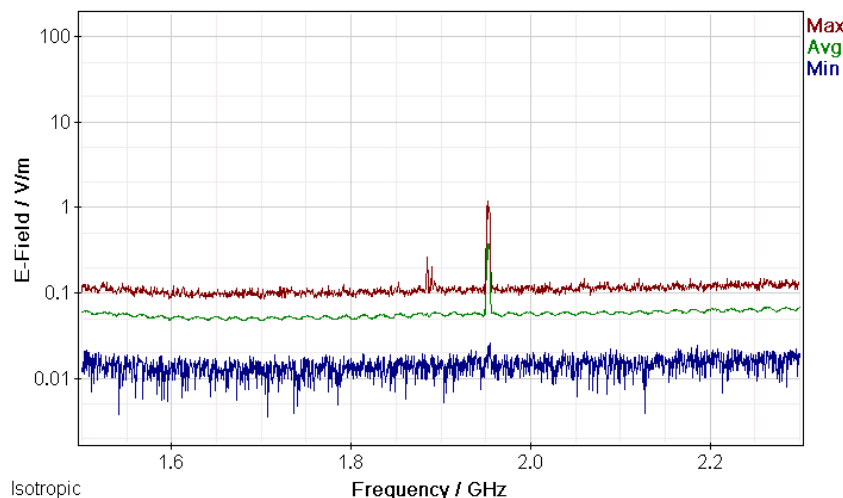


Σχήμα 428: Διακυμάνσεις (α) ελάχιστης (Min), (β) μέσης (Avg) και (γ) μέγιστης (Max) έντασης ηλεκτρικού πεδίου (E-Field) ως συνάρτηση της συχνότητας (Frequency) του πεδίου για μετρήσεις με οργάνολογία τύπου NARDA SMR-3006 σε συσκευή κινητής τηλεφωνίας τύπου SAMSUNG J3-6 SM-J320FN και παρόχου COSMOTE σε απόσταση 0m από την κεραία της συσκευής κατά τη διάρκεια αναμονής χρήσης της συσκευής και χωρίς την ενεργοποίηση δεδομένων κινητής τηλεφωνίας.

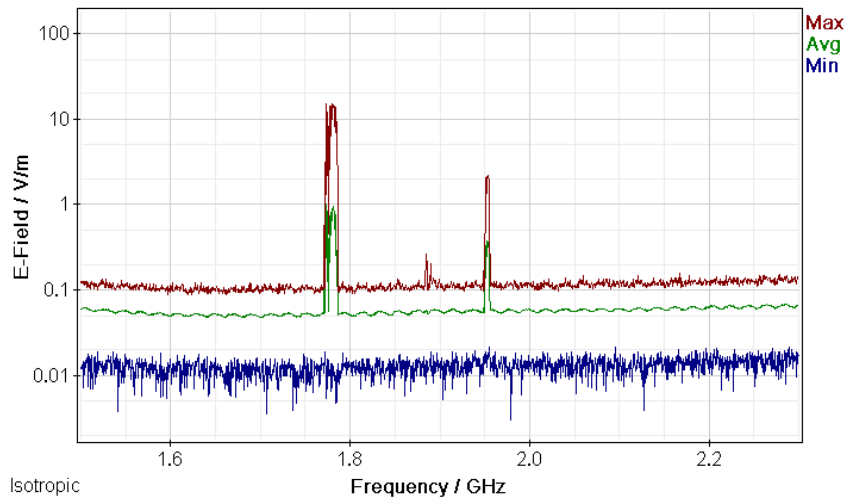
ΜΕΛΕΤΗ Η/Μ ΔΙΑΤΑΡΑΧΩΝ ΚΙΝΗΤΗΣ ΤΗΛΕΦΩΝΙΑΣ



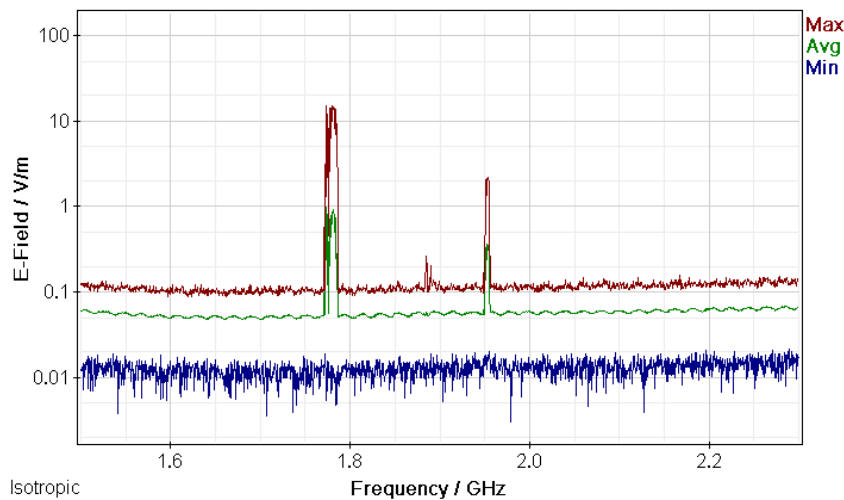
Σχήμα 429: Διακυμάνσεις (α) ελάχιστης (Min), (β) μέσης (Avg) και (γ) μέγιστης (Max) έντασης ηλεκτρικού πεδίου (E-Field) ως συνάρτηση της συχνότητας (Frequency) του πεδίου για μετρήσεις με οργάνολογία τύπου NARDA SMR-3006 σε συσκευή κινητής τηλεφωνίας τύπου SAMSUNG J3-6 SM-J320FN και παρόχου COSMOTE σε απόσταση 0m από την κεραία της συσκευής κατά τη διάρκεια κλήσης χωρίς συνομιλία και ενεργοποίηση δεδομένων κινητής τηλεφωνίας .



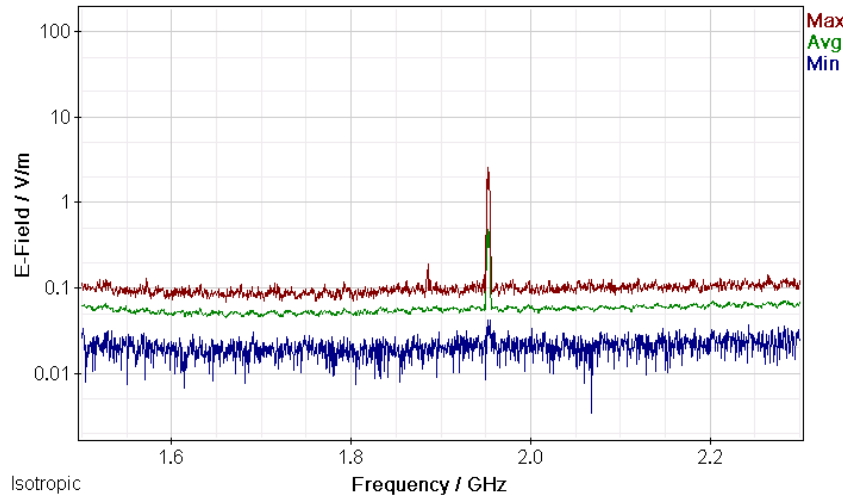
Σχήμα 430: Διακυμάνσεις (α) ελάχιστης (Min), (β) μέσης (Avg) και (γ) μέγιστης (Max) έντασης ηλεκτρικού πεδίου (E-Field) ως συνάρτηση της συχνότητας (Frequency) του πεδίου για μετρήσεις με οργάνολογία τύπου NARDA SMR-3006 σε συσκευή κινητής τηλεφωνίας τύπου SONY XPERIA E5603 και παρόχου COSMOTE σε απόσταση 0m από την κεραία της συσκευής κατά τη διάρκεια συνομιλίας δύομιση λεπτών χωρίς ενεργοποίηση δεδομένων κινητής τηλεφωνίας.



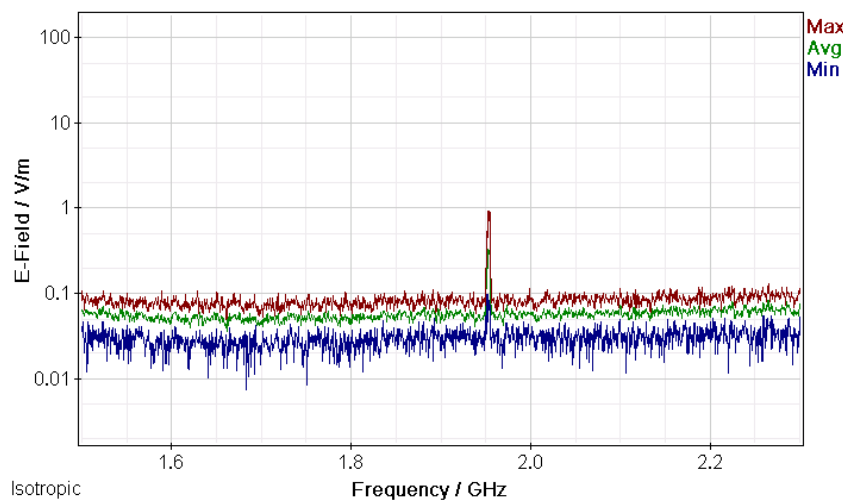
Σχήμα 431: Διακυμάνσεις (α) ελάχιστης (Min), (β) μέσης (Avg) και (γ) μέγιστης (Max) έντασης ηλεκτρικού πεδίου (E-Field) ως συνάρτηση της συχνότητας (Frequency) του πεδίου για μετρήσεις με οργανολογία τύπου NARDA SMR-3006 σε συσκευή κινητής τηλεφωνίας τύπου SAMSUNG J3-6 SM-J320FN και παρόχου COSMOTE σε απόσταση 0m από την κεραία της συσκευής κατά τη διάρκεια πεντάλεπτης συνομιλίας χωρίς ενεργοποίηση δεδομένων κινητής τηλεφωνίας.



Σχήμα 432: Διακυμάνσεις (α) ελάχιστης (Min), (β) μέσης (Avg) και (γ) μέγιστης (Max) έντασης ηλεκτρικού πεδίου (E-Field) ως συνάρτηση της συχνότητας (Frequency) του πεδίου για μετρήσεις με οργανολογία τύπου NARDA SMR-3006 σε συσκευή κινητής τηλεφωνίας τύπου SAMSUNG J3-6 SM-J320FN και παρόχου COMOTE σε απόσταση 0m από την κεραία της συσκευής κατά τη διάρκεια τερματισμού της κλήσης χωρίς ενεργοποίηση δεδομένων κινητής τηλεφωνίας.



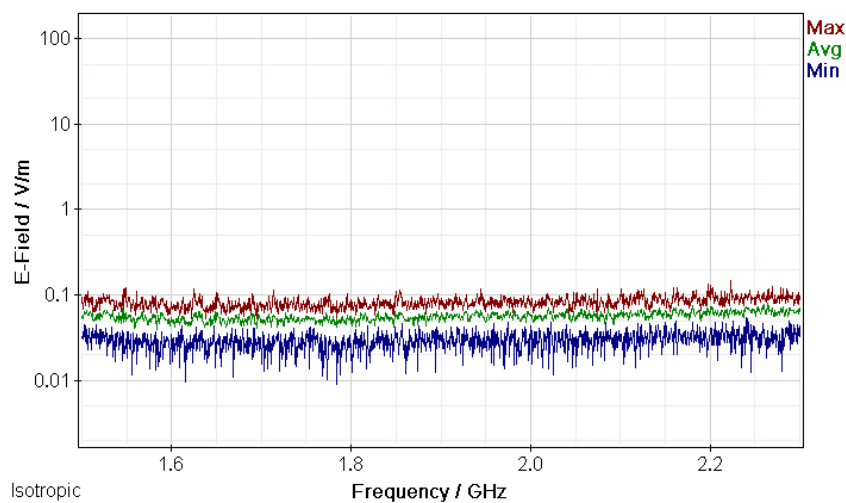
Σχήμα 433: Διακυμάνσεις (α) ελάχιστης (Min), (β) μέσης (Avg) και (γ) μέγιστης (Max) έντασης ηλεκτρικού πεδίου (E-Field) ως συνάρτηση της συχνότητας (Frequency) του πεδίου για μετρήσεις με οργανολογία τύπου NARDA SMR-3006 σε συσκευή κινητής τηλεφωνίας τύπου SAMSUNG J3-6 SM-J320FN και παρόχου COSMOTE σε απόσταση 0m από την κεραία της συσκευής κατά τη διάρκεια αναμονής χρήσης της συσκευής με ενεργοποίηση των δεδομένων κινητής τηλεφωνίας χωρίς πρόσβαση στον παγόσμιο ιστό.



Σχήμα 434: Διακυμάνσεις (α) ελάχιστης (Min), (β) μέσης (Avg) και (γ) μέγιστης (Max) έντασης ηλεκτρικού πεδίου (E-Field) ως συνάρτηση της συχνότητας (Frequency) του πεδίου για μετρήσεις με οργανολογία τύπου NARDA SMR-3006 σε συσκευή κινητής τηλεφωνίας τύπου SAMSUNG J3-6 SM-J320FN και παρόχου COSMOTE σε απόσταση 0m από την κεραία της συσκευής κατά τη διάρκεια αναμονής χρήσης της συσκευής με ενεργοποίηση των δεδομένων κινητής τηλεφωνίας και αναζήτησης δεδομένων στον παγόσμιο ιστό.

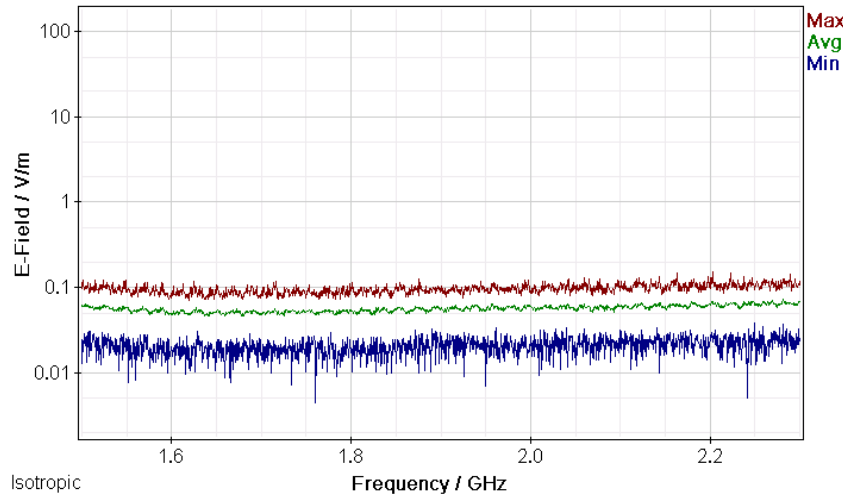
ΠΑΡΑΡΤΗΜΑ 2

Μετρήσεις διακυμάνσεων (α) ελάχιστης (Min), (β) μέσης (Avg) και (γ) μέγιστης (Max) έντασης ηλεκτρικού πεδίου (E-Field) ως συνάρτηση της συχνότητας (Frequency) του πεδίου για μετρήσεις με οργανολογία τύπου NARDA SMR-3006 σε συσκευές κινητής τηλεφωνίας διαφόρων τύπων και παρόχων σε απόσταση 1 m από την κεραία των συσκευών.

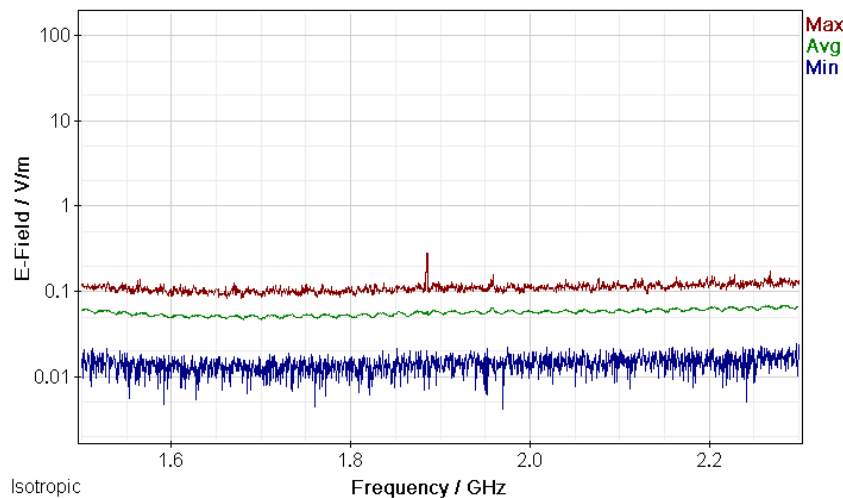


Σχήμα 435: Διακυμάνσεις (α) ελάχιστης (Min), (β) μέσης (Avg) και (γ) μέγιστης (Max) έντασης ηλεκτρικού πεδίου (E-Field) ως συνάρτηση της συχνότητας (Frequency) του πεδίου για μετρήσεις με οργανολογία τύπου NARDA SMR-3006 σε συσκευή κινητής τηλεφωνίας τύπου SAMSUNG J3-6 SM-J320FN και παρόχου COSMOTE σε απόσταση 1m από την κεραία της συσκευής κατά τη διάρκεια αναμονής χρήσης της συσκευής και χωρίς την ενεργοποίηση δεδομένων κινητής τηλεφωνίας.

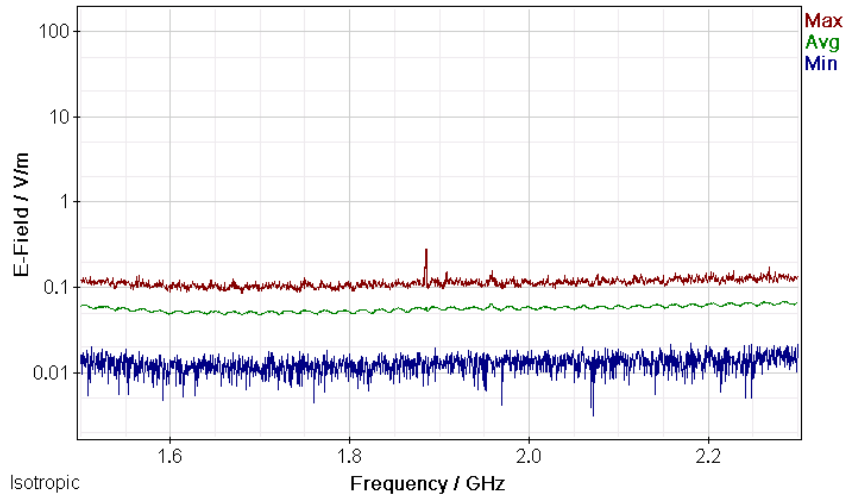
ΜΕΛΕΤΗ Η/Μ ΔΙΑΤΑΡΑΧΩΝ ΚΙΝΗΤΗΣ ΤΗΛΕΦΩΝΙΑΣ



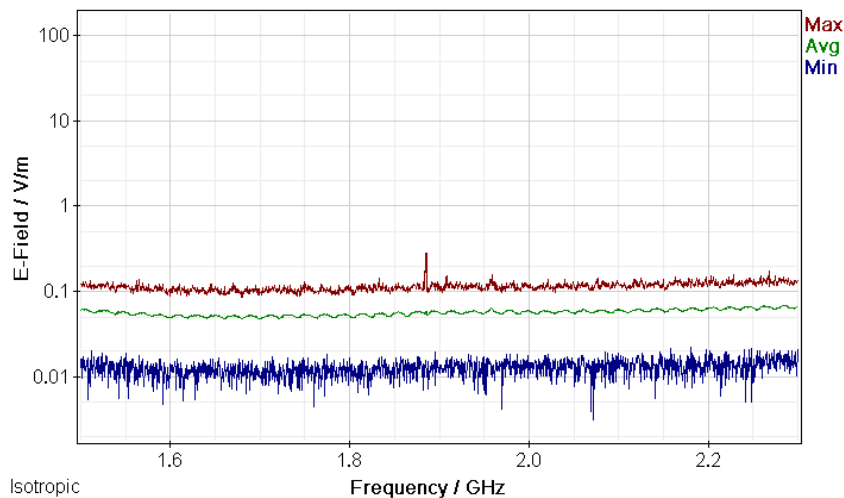
Σχήμα 436: Διακυμάνσεις (α) ελάχιστης (Min), (β) μέσης (Avg) και (γ) μέγιστης (Max) έντασης ηλεκτρικού πεδίου (E-Field) ως συνάρτηση της συχνότητας (Frequency) του πεδίου για μετρήσεις με οργανολογία τύπου NARDA SMR-3006 σε συσκευή κινητής τηλεφωνίας τύπου SAMSUNG J3-6 SM-J320FN και παρόχου COSMOTE σε απόσταση 1m από την κεραία της συσκευής κατά τη διάρκεια κλήσης χωρίς συνομιλία και ενεργοποίηση δεδομένων κινητής τηλεφωνίας .



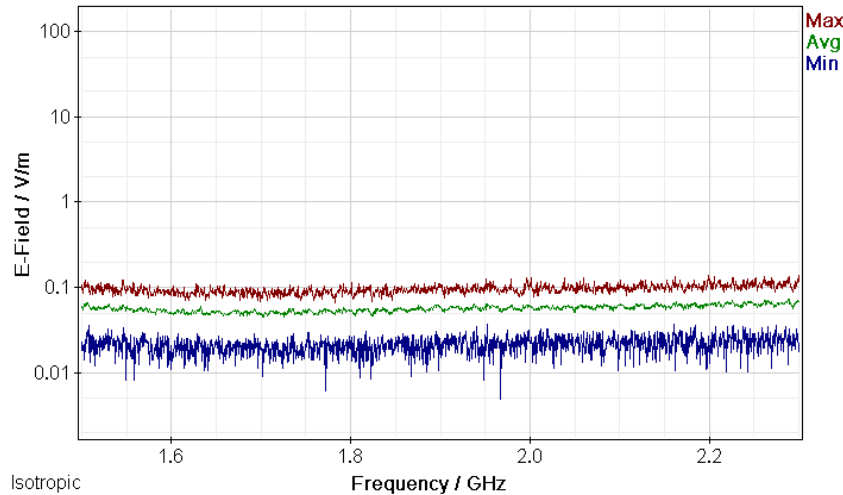
Σχήμα 437: Διακυμάνσεις (α) ελάχιστης (Min), (β) μέσης (Avg) και (γ) μέγιστης (Max) έντασης ηλεκτρικού πεδίου (E-Field) ως συνάρτηση της συχνότητας (Frequency) του πεδίου για μετρήσεις με οργανολογία τύπου NARDA SMR-3006 σε συσκευή κινητής τηλεφωνίας τύπου SAMSUNG J3-6 SM-J320FN και παρόχου COSMOTE σε απόσταση 1m από την κεραία της συσκευής κατά τη διάρκεια συνομιλίας δυόμιση λεπτών χωρίς ενεργοποίηση δεδομένων κινητής τηλεφωνίας.



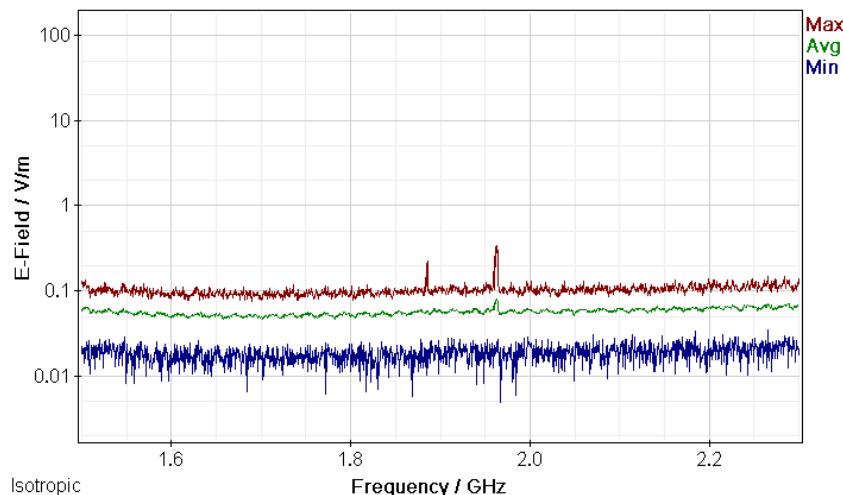
Σχήμα 438: Διακυμάνσεις (α) ελάχιστης (Min), (β) μέσης (Avg) και (γ) μέγιστης (Max) έντασης ηλεκτρικού πεδίου (E-Field) ως συνάρτηση της συχνότητας (Frequency) του πεδίου για μετρήσεις με οργάνολογία τύπου NARDA SMR-3006 σε συσκευή κινητής τηλεφωνίας τύπου SAMSUNG J3-6 SM-J320FN και παρόχου COSMOTE σε απόσταση 1m από την κεραία της συσκευής κατά τη διάρκεια πεντάλεπτης συνομιλίας χωρίς ενεργοποίηση δεδομένων κινητής τηλεφωνίας.



Σχήμα 439: Διακυμάνσεις (α) ελάχιστης (Min), (β) μέσης (Avg) και (γ) μέγιστης (Max) έντασης ηλεκτρικού πεδίου (E-Field) ως συνάρτηση της συχνότητας (Frequency) του πεδίου για μετρήσεις με οργάνολογία τύπου NARDA SMR-3006 σε συσκευή κινητής τηλεφωνίας τύπου SAMSUNG J3-6 SM-J320FN και παρόχου COSMOTE σε απόσταση 1m από την κεραία της συσκευής κατά τη διάρκεια τερματισμού της κλήσης χωρίς ενεργοποίηση δεδομένων κινητής τηλεφωνίας.



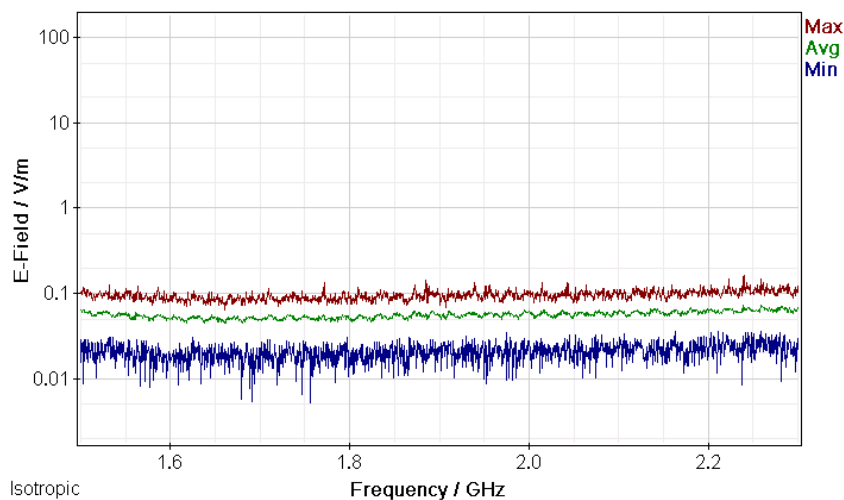
Σχήμα 440: Διακυμάνσεις (α) ελάχιστης (Min), (β) μέσης (Avg) και (γ) μέγιστης (Max) έντασης ηλεκτρικού πεδίου (E-Field) ως συνάρτηση της συχνότητας (Frequency) του πεδίου για μετρήσεις με οργανολογία τύπου NARDA SMR-3006 σε συσκευή κινητής τηλεφωνίας τύπου SAMSUNG J3-6 SM-J320FN και παρόχου COSMOTE σε απόσταση 1m από την κεραία της συσκευής κατά τη διάρκεια αναμονής χρήσης της συσκευής με ενεργοποίηση των δεδομένων κινητής τηλεφωνίας χωρίς πρόσβαση στον παγώσιμο ιστό.



Σχήμα 441: Διακυμάνσεις (α) ελάχιστης (Min), (β) μέσης (Avg) και (γ) μέγιστης (Max) έντασης ηλεκτρικού πεδίου (E-Field) ως συνάρτηση της συχνότητας (Frequency) του πεδίου για μετρήσεις με οργανολογία τύπου NARDA SMR-3006 σε συσκευή κινητής τηλεφωνίας τύπου SAMSUNG J3-6 SM-J320FN και παρόχου COSMOTE σε απόσταση 1m από την κεραία της συσκευής κατά τη διάρκεια αναμονής χρήσης της συσκευής με ενεργοποίηση των δεδομένων κινητής τηλεφωνίας και αναζήτησης δεδομένων στον παγώσιμο ιστό.

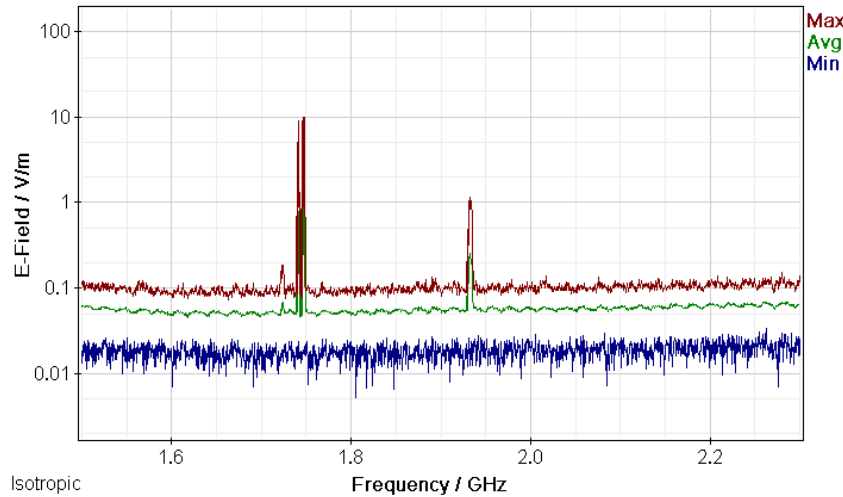
ΠΑΡΑΡΤΗΜΑ 1

Μετρήσεις διακυμάνσεων (α) ελάχιστης (Min), (β) μέσης (Avg) και (γ) μέγιστης (Max) έντασης ηλεκτρικού πεδίου (E-Field) ως συνάρτηση της συχνότητας (Frequency) του πεδίου για μετρήσεις με οργανολογία τύπου NARDA SMR-3006 σε συσκευές κινητής τηλεφωνίας διαφόρων τύπων και παρόχων σε απόσταση 0 m από την κεραία των συσκευών.

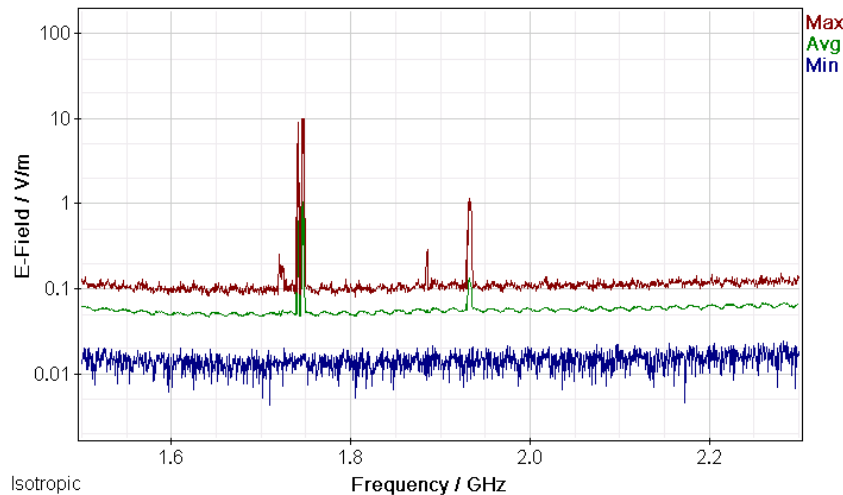


Σχήμα 442: Διακυμάνσεις (α) ελάχιστης (Min), (β) μέσης (Avg) και (γ) μέγιστης (Max) έντασης ηλεκτρικού πεδίου (E-Field) ως συνάρτηση της συχνότητας (Frequency) του πεδίου για μετρήσεις με οργανολογία τύπου NARDA SMR-3006 σε συσκευή κινητής τηλεφωνίας τύπου SAMSUNG J3-6 SM-J320FN και παρόχου VODAFONE σε απόσταση 0m από την κεραία της συσκευής κατά τη διάρκεια αναμονής χρήσης της συσκευής και χωρίς την ενεργοποίηση δεδομένων κινητής τηλεφωνίας.

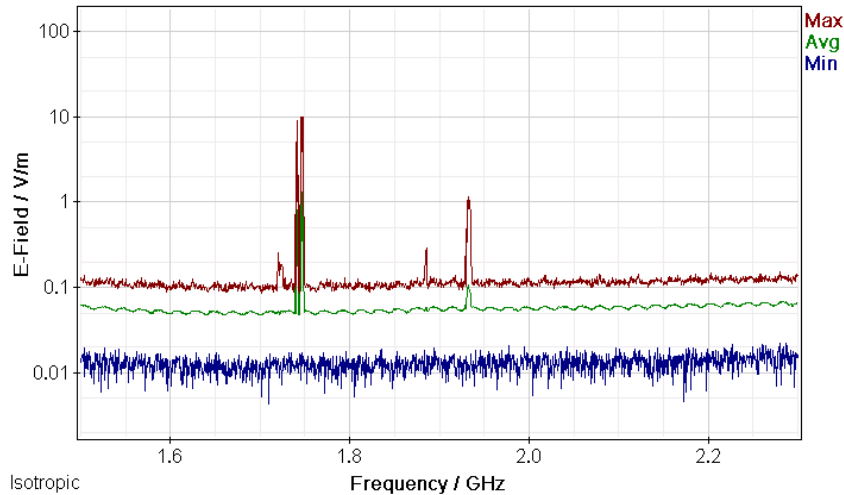
ΜΕΛΕΤΗ Η/Μ ΔΙΑΤΑΡΑΧΩΝ ΚΙΝΗΤΗΣ ΤΗΛΕΦΩΝΙΑΣ



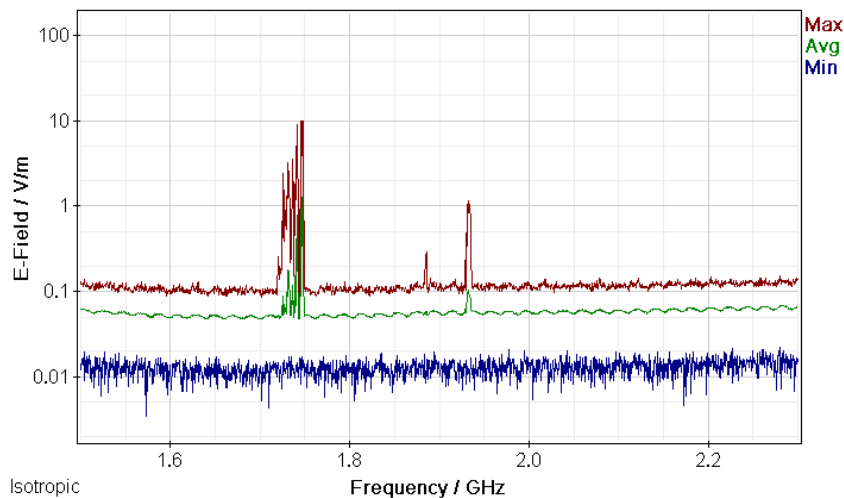
Σχήμα 443: Διακυμάνσεις (α) ελάχιστης (Min), (β) μέσης (Avg) και (γ) μέγιστης (Max) έντασης ηλεκτρικού πεδίου (E-Field) ως συνάρτηση της συχνότητας (Frequency) του πεδίου για μετρήσεις με οργάνολογία τύπου NARDA SMR-3006 σε συσκευή κινητής τηλεφωνίας τύπου SONY XPERIA E5603 και παρόχου VODAFONE σε απόσταση 0m από την κεραία της συσκευής κατά τη διάρκεια κλήσης χωρίς συνομιλία και ενεργοποίηση δεδομένων κινητής τηλεφωνίας .



Σχήμα 444: Διακυμάνσεις (α) ελάχιστης (Min), (β) μέσης (Avg) και (γ) μέγιστης (Max) έντασης ηλεκτρικού πεδίου (E-Field) ως συνάρτηση της συχνότητας (Frequency) του πεδίου για μετρήσεις με οργάνολογία τύπου NARDA SMR-3006 σε συσκευή κινητής τηλεφωνίας τύπου SAMSUNG J3-6 SM-J320FN και παρόχου VODAFONE σε απόσταση 0m από την κεραία της συσκευής κατά τη διάρκεια συνομιλίας δυόμιση λεπτών χωρίς ενεργοποίηση δεδομένων κινητής τηλεφωνίας.

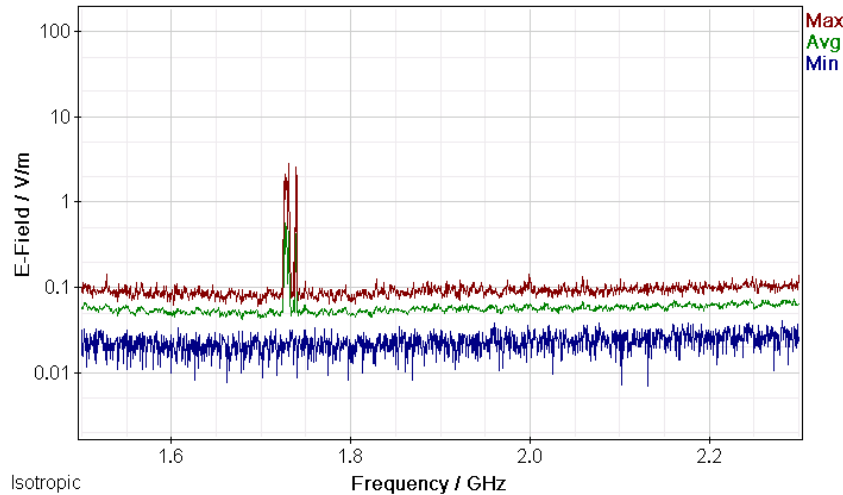


Σχήμα 445: Διακυμάνσεις (α) ελάχιστης (Min), (β) μέσης (Avg) και (γ) μέγιστης (Max) έντασης ηλεκτρικού πεδίου (E-Field) ως συνάρτηση της συχνότητας (Frequency) του πεδίου για μετρήσεις με οργανολογία τύπου NARDA SMR-3006 σε συσκευή κινητής τηλεφωνίας τύπου SAMSUNG J3-6 SM-J320FN και παρόχου VODAFONE σε απόσταση 0m από την κεραία της συσκευής κατά τη διάρκεια πεντάλεπτης συνομιλίας χωρίς ενεργοποίηση δεδομένων κινητής τηλεφωνίας.

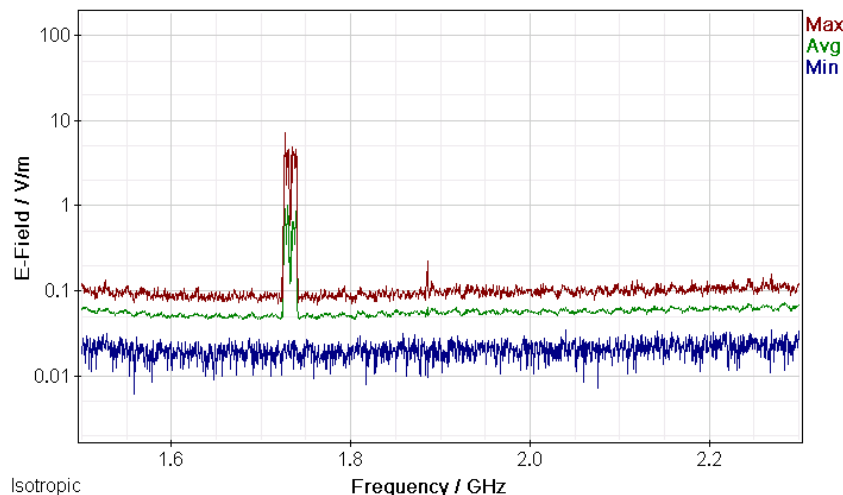


Σχήμα 446: Διακυμάνσεις (α) ελάχιστης (Min), (β) μέσης (Avg) και (γ) μέγιστης (Max) έντασης ηλεκτρικού πεδίου (E-Field) ως συνάρτηση της συχνότητας (Frequency) του πεδίου για μετρήσεις με οργανολογία τύπου NARDA SMR-3006 σε συσκευή κινητής τηλεφωνίας τύπου SAMSUNG J3-6 SM-J320FN και παρόχου VODAFONE σε απόσταση 0m από την κεραία της συσκευής κατά τη διάρκεια τερματισμού της κλήσης χωρίς ενεργοποίηση δεδομένων κινητής τηλεφωνίας.

ΜΕΛΕΤΗ Η/Μ ΔΙΑΤΑΡΑΧΩΝ ΚΙΝΗΤΗΣ ΤΗΛΕΦΩΝΙΑΣ



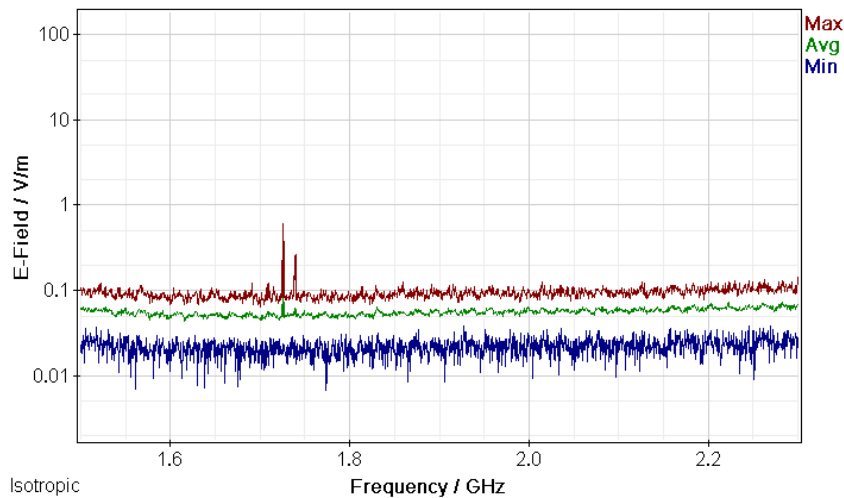
Σχήμα 447: Διακυμάνσεις (α) ελάχιστης (Min), (β) μέσης (Avg) και (γ) μέγιστης (Max) έντασης ηλεκτρικού πεδίου (E-Field) ως συνάρτηση της συχνότητας (Frequency) του πεδίου για μετρήσεις με οργανολογία τύπου NARDA SMR-3006 σε συσκευή κινητής τηλεφωνίας τύπου SAMSUNG J3-6 SM-J320FN και παρόχου VODAFONE σε απόσταση 0m από την κεραία της συσκευής κατά τη διάρκεια αναμονής χρήσης της συσκευής με ενεργοποίηση των δεδομένων κινητής τηλεφωνίας χωρίς πρόσβαση στον παγόςμιο ιστό.



Σχήμα 448: Διακυμάνσεις (α) ελάχιστης (Min), (β) μέσης (Avg) και (γ) μέγιστης (Max) έντασης ηλεκτρικού πεδίου (E-Field) ως συνάρτηση της συχνότητας (Frequency) του πεδίου για μετρήσεις με οργανολογία τύπου NARDA SMR-3006 σε συσκευή κινητής τηλεφωνίας τύπου SAMSUNG J3-6 SM-J320FN και παρόχου VODAFONE σε απόσταση 0m από την κεραία της συσκευής κατά τη διάρκεια αναμονής χρήσης της συσκευής με ενεργοποίηση των δεδομένων κινητής τηλεφωνίας και αναζήτησης δεδομένων στον παγόςμιο ιστό.

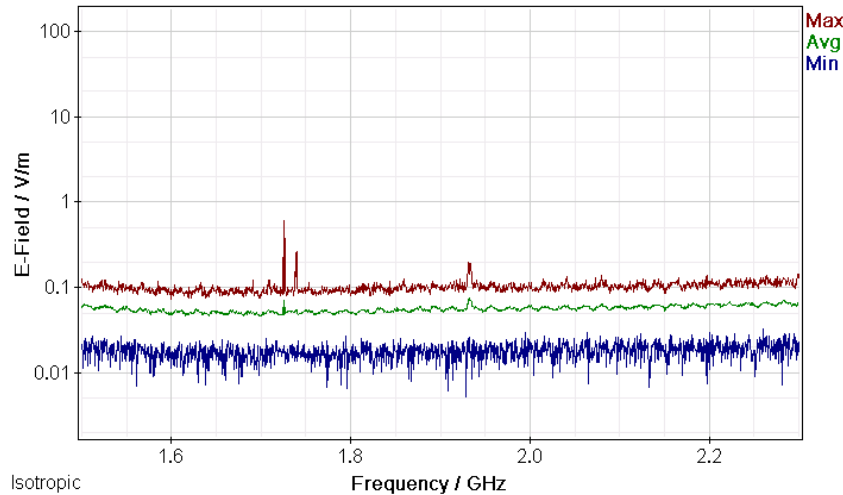
ΠΑΡΑΡΤΗΜΑ 2

Μετρήσεις διακυμάνσεων (α) ελάχιστης (Min), (β) μέσης (Avg) και (γ) μέγιστης (Max) έντασης ηλεκτρικού πεδίου (E-Field) ως συνάρτηση της συχνότητας (Frequency) του πεδίου για μετρήσεις με οργανολογία τύπου NARDA SMR-3006 σε συσκευές κινητής τηλεφωνίας διαφόρων τύπων και παρόχων σε απόσταση 1 m από την κεραία των συσκευών.

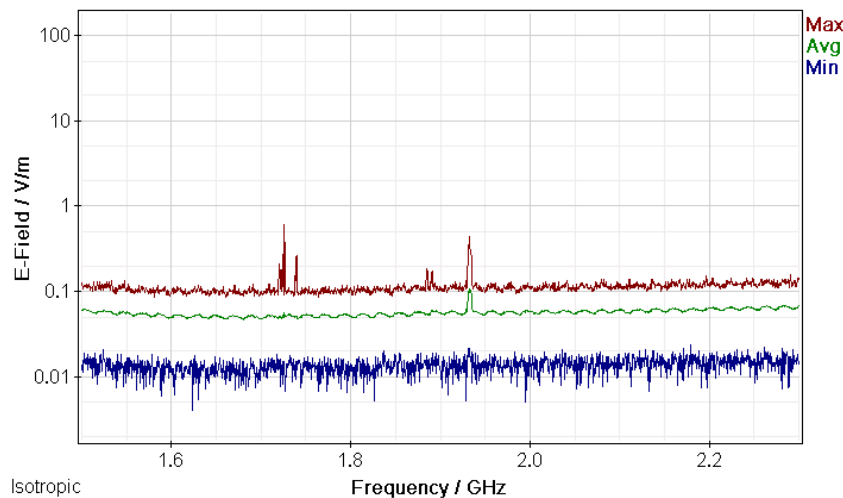


Σχήμα 449: Διακυμάνσεις (α) ελάχιστης (Min), (β) μέσης (Avg) και (γ) μέγιστης (Max) έντασης ηλεκτρικού πεδίου (E-Field) ως συνάρτηση της συχνότητας (Frequency) του πεδίου για μετρήσεις με οργανολογία τύπου NARDA SMR-3006 σε συσκευή κινητής τηλεφωνίας τύπου SAMSUNG J3-6 SM-J320FN και παρόχου VODAFONE σε απόσταση 1m από την κεραία της συσκευής κατά τη διάρκεια αναμονής χρήσης της συσκευής και χωρίς την ενεργοποίηση δεδομένων κινητής τηλεφωνίας.

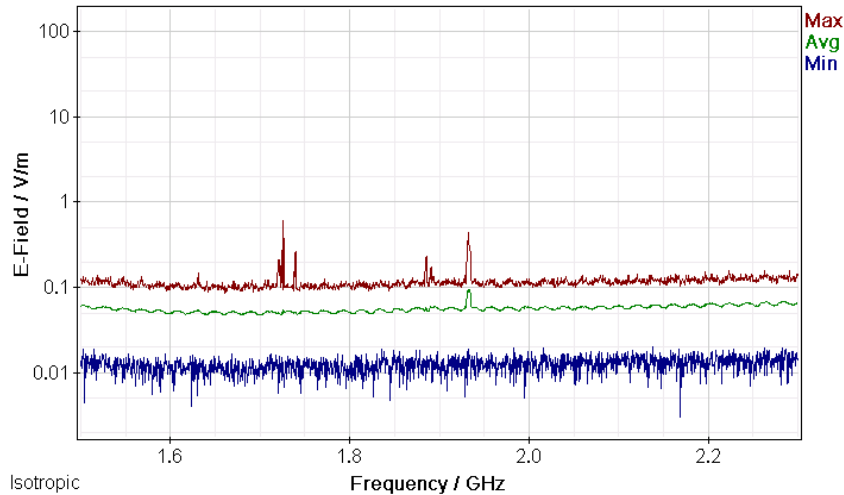
ΜΕΛΕΤΗ Η/Μ ΔΙΑΤΑΡΑΧΩΝ ΚΙΝΗΤΗΣ ΤΗΛΕΦΩΝΙΑΣ



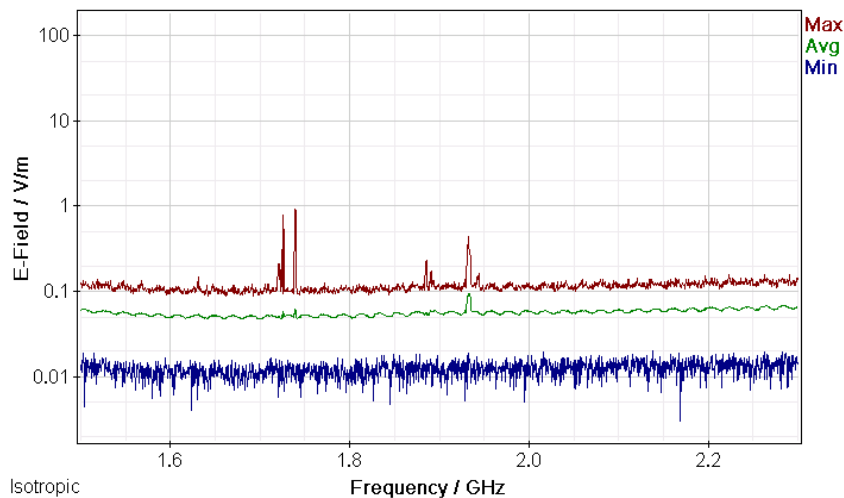
Σχήμα 450: Διακυμάνσεις (α) ελάχιστης (Min), (β) μέσης (Avg) και (γ) μέγιστης (Max) έντασης ηλεκτρικού πεδίου (E-Field) ως συνάρτηση της συχνότητας (Frequency) του πεδίου για μετρήσεις με οργανολογία τύπου NARDA SMR-3006 σε συσκευή κινητής τηλεφωνίας τύπου SAMSUNG J3-6 SM-J320FN και παρόχου VODAFONE σε απόσταση 1m από την κεραία της συσκευής κατά τη διάρκεια κλήσης χωρίς συνομιλία και ενεργοποίηση δεδομένων κινητής τηλεφωνίας .



Σχήμα 451: Διακυμάνσεις (α) ελάχιστης (Min), (β) μέσης (Avg) και (γ) μέγιστης (Max) έντασης ηλεκτρικού πεδίου (E-Field) ως συνάρτηση της συχνότητας (Frequency) του πεδίου για μετρήσεις με οργανολογία τύπου NARDA SMR-3006 σε συσκευή κινητής τηλεφωνίας τύπου SAMSUNG J3-6 SM-J320FN και παρόχου VODAFONE σε απόσταση 1m από την κεραία της συσκευής κατά τη διάρκεια συνομιλίας δυόμιση λεπτών χωρίς ενεργοποίηση δεδομένων κινητής τηλεφωνίας.

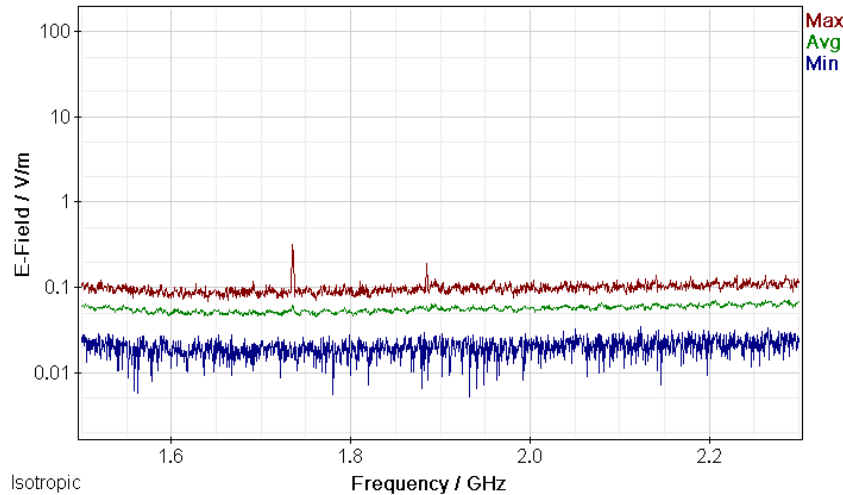


Σχήμα 452: Διακυμάνσεις (α) ελάχιστης (Min), (β) μέσης (Avg) και (γ) μέγιστης (Max) έντασης ηλεκτρικού πεδίου (E-Field) ως συνάρτηση της συχνότητας (Frequency) του πεδίου για μετρήσεις με οργανολογία τύπου NARDA SMR-3006 σε συσκευή κινητής τηλεφωνίας τύπου SAMSUNG J3-6 SM-J320FN και παρόχου VODAFONE σε απόσταση 1m από την κεραία της συσκευής κατά τη διάρκεια πεντάλεπτης συνομιλίας χωρίς ενεργοποίηση δεδομένων κινητής τηλεφωνίας.

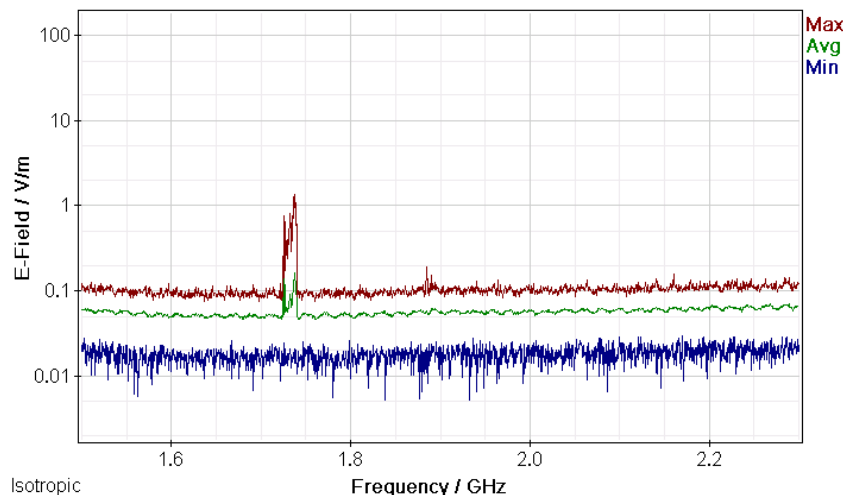


Σχήμα 453: Διακυμάνσεις (α) ελάχιστης (Min), (β) μέσης (Avg) και (γ) μέγιστης (Max) έντασης ηλεκτρικού πεδίου (E-Field) ως συνάρτηση της συχνότητας (Frequency) του πεδίου για μετρήσεις με οργανολογία τύπου NARDA SMR-3006 σε συσκευή κινητής τηλεφωνίας τύπου SAMSUNG J3-6 SM-J320FN και παρόχου VODAFONE σε απόσταση 1m από την κεραία της συσκευής κατά τη διάρκεια τερματισμού της κλήσης χωρίς ενεργοποίηση δεδομένων κινητής τηλεφωνίας.

ΜΕΛΕΤΗ Η/Μ ΔΙΑΤΑΡΑΧΩΝ ΚΙΝΗΤΗΣ ΤΗΛΕΦΩΝΙΑΣ



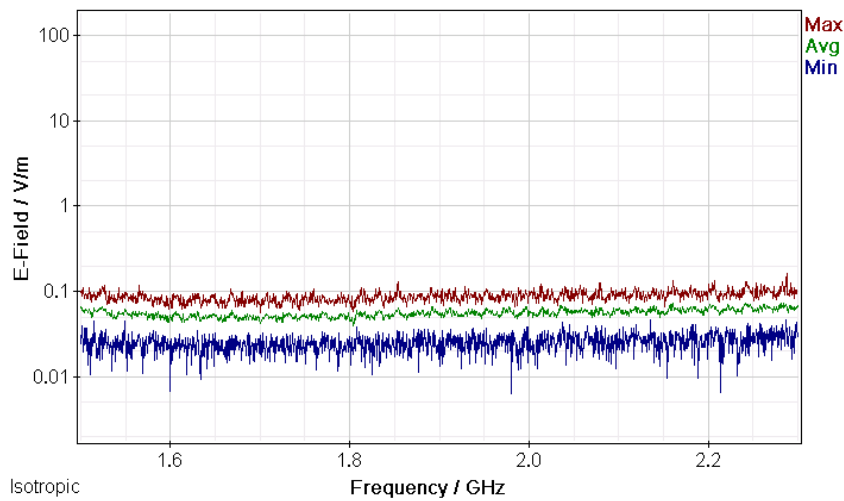
Σχήμα 454: Διακυμάνσεις (α) ελάχιστης (Min), (β) μέσης (Avg) και (γ) μέγιστης (Max) έντασης ηλεκτρικού πεδίου (E-Field) ως συνάρτηση της συχνότητας (Frequency) του πεδίου για μετρήσεις με οργανολογία τύπου NARDA SMR-3006 σε συσκευή κινητής τηλεφωνίας τύπου SAMSUNG J3-6 SM-J320FN και παρόχου VODAFONE σε απόσταση 1m από την κεραία της συσκευής κατά τη διάρκεια αναμονής χρήσης της συσκευής με ενεργοποίηση των δεδομένων κινητής τηλεφωνίας χωρίς πρόσβαση στον παγόςμιο ιστό.



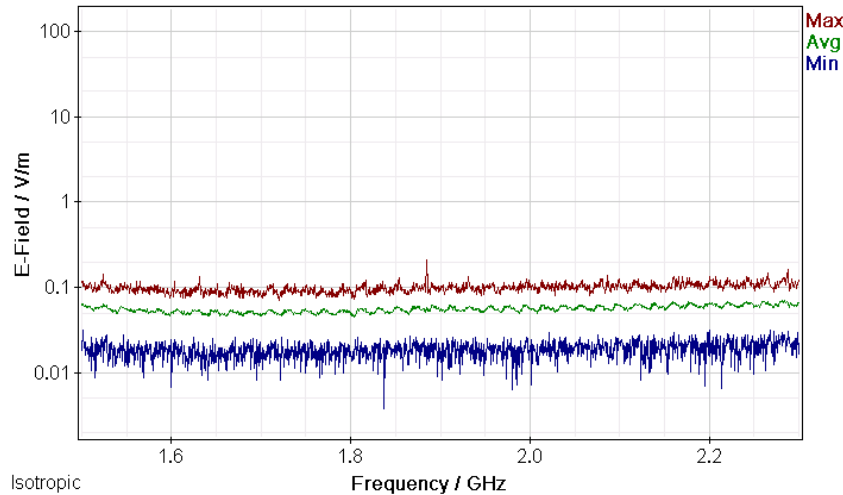
Σχήμα 455: Διακυμάνσεις (α) ελάχιστης (Min), (β) μέσης (Avg) και (γ) μέγιστης (Max) έντασης ηλεκτρικού πεδίου (E-Field) ως συνάρτηση της συχνότητας (Frequency) του πεδίου για μετρήσεις με οργανολογία τύπου NARDA SMR-3006 σε συσκευή κινητής τηλεφωνίας τύπου SAMSUNG J3-6 SM-J320FN και παρόχου VODAFONE σε απόσταση 1m από την κεραία της συσκευής κατά τη διάρκεια αναμονής χρήσης της συσκευής με ενεργοποίηση των δεδομένων κινητής τηλεφωνίας και αναζήτησης δεδομένων στον παγόςμιο ιστό.

ΠΑΡΑΡΤΗΜΑ 1

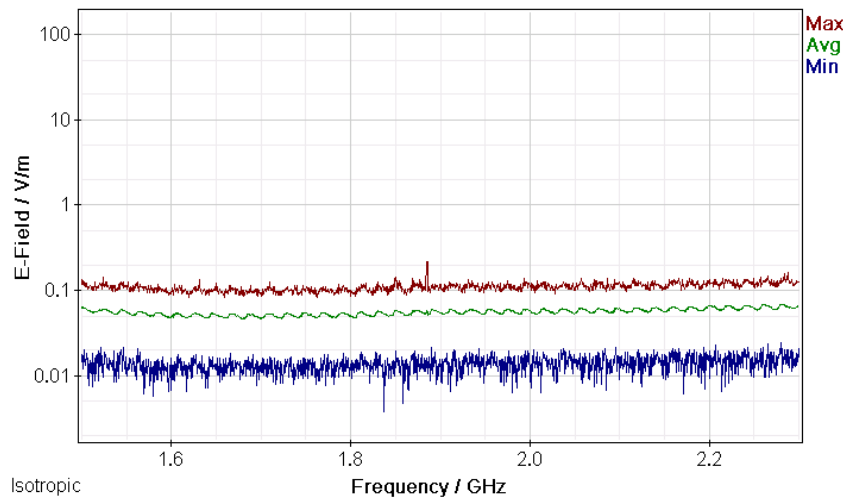
Μετρήσεις διακυμάνσεων (α) ελάχιστης (Min), (β) μέσης (Avg) και (γ) μέγιστης (Max) έντασης ηλεκτρικού πεδίου (E-Field) ως συνάρτηση της συχνότητας (Frequency) του πεδίου για μετρήσεις με οργανολογία τύπου NARDA SMR-3006 σε συσκευές κινητής τηλεφωνίας διαφόρων τύπων και παρόχων σε απόσταση 0 m από την κεραία των συσκευών.



Σχήμα 456: Διακυμάνσεις (α) ελάχιστης (Min), (β) μέσης (Avg) και (γ) μέγιστης (Max) έντασης ηλεκτρικού πεδίου (E-Field) ως συνάρτηση της συχνότητας (Frequency) του πεδίου για μετρήσεις με οργανολογία τύπου NARDA SMR-3006 σε συσκευή κινητής τηλεφωνίας τύπου SAMSUNG J3-6 SM-J320FN και παρόχου WIND σε απόσταση 0m από την κεραία της συσκευής κατά τη διάρκεια αναμονής χρήσης της συσκευής και χωρίς την ενεργοποίηση δεδομένων κινητής τηλεφωνίας.

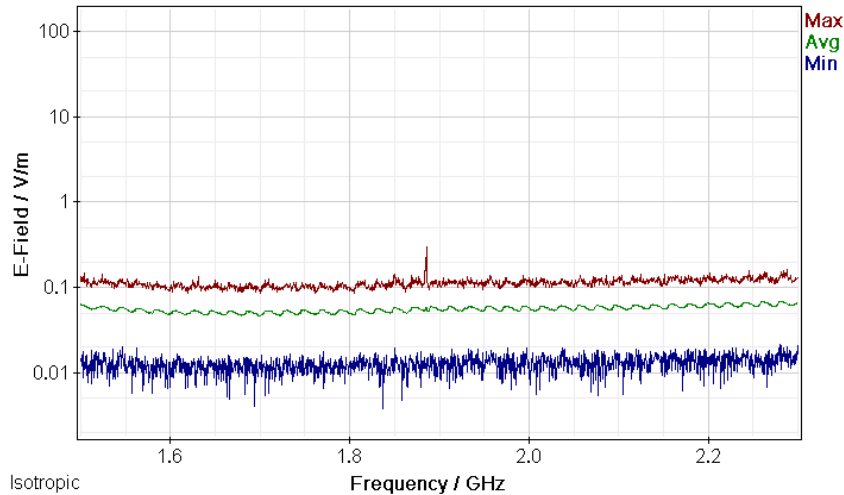


Σχήμα 457: Διακυμάνσεις (α) ελάχιστης (Min), (β) μέσης (Avg) και (γ) μέγιστης (Max) έντασης ηλεκτρικού πεδίου (E-Field) ως συνάρτηση της συχνότητας (Frequency) του πεδίου για μετρήσεις με οργανολογία τύπου NARDA SMR-3006 σε συσκευή κινητής τηλεφωνίας τύπου SAMSUNG J3-6 SM-J320FN και παρόχου WIND σε απόσταση 0m από την κεραία της συσκευής κατα τη διάρκεια κλήσης χωρίς συνομιλία και ενεργοποίηση δεδομένων κινητής τηλεφωνίας .

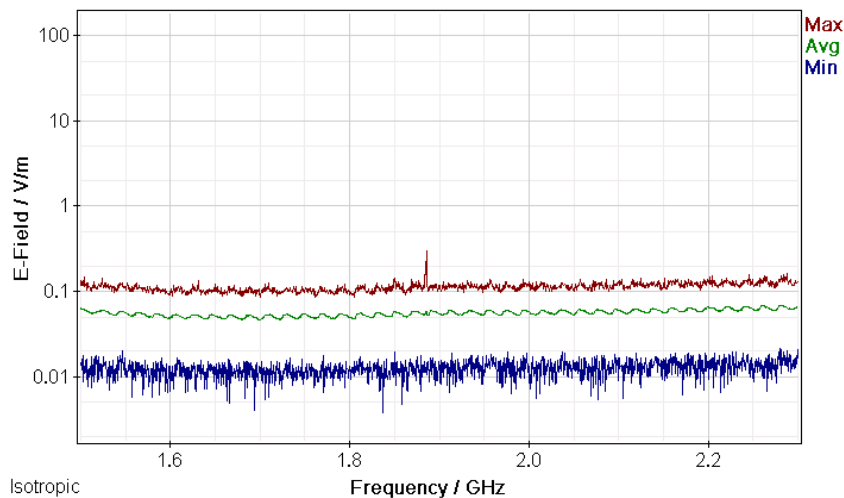


Σχήμα 458: Διακυμάνσεις (α) ελάχιστης (Min), (β) μέσης (Avg) και (γ) μέγιστης (Max) έντασης ηλεκτρικού πεδίου (E-Field) ως συνάρτηση της συχνότητας (Frequency) του πεδίου για μετρήσεις με οργανολογία τύπου NARDA SMR-3006 σε συσκευή κινητής τηλεφωνίας τύπου SAMSUNG J3-6 SM-J320FN και παρόχου WIND σε απόσταση 0m από την κεραία της συσκευής κατα τη διάρκεια συνομιλίας δυόμιση λεπτών χωρίς ενεργοποίηση δεδομένων κινητής τηλεφωνίας.

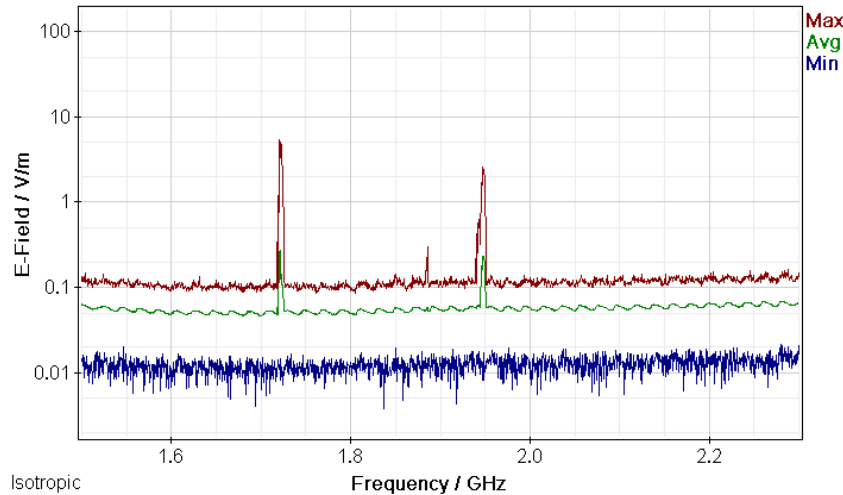
ΜΕΛΕΤΗ Η/Μ ΔΙΑΤΑΡΑΧΩΝ ΚΙΝΗΤΗΣ ΤΗΛΕΦΩΝΙΑΣ



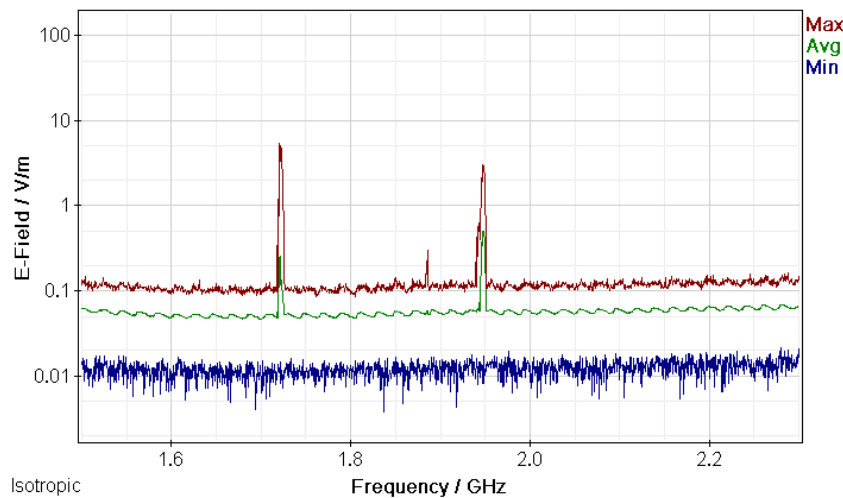
Σχήμα 459: Διακυμάνσεις (α) ελάχιστης (Min), (β) μέσης (Avg) και (γ) μέγιστης (Max) έντασης ηλεκτρικού πεδίου (E-Field) ως συνάρτηση της συχνότητας (Frequency) του πεδίου για μετρήσεις με οργάνολογία τύπου NARDA SMR-3006 σε συσκευή κινητής τηλεφωνίας τύπου SAMSUNG J3-6 SM-J320FN και παρόχου WIND σε απόσταση 0m από την κεραία της συσκευής κατα τη διάρκεια πεντάλεπτης συνομιλίας χωρίς ενεργοποίηση δεδομένων κινητής τηλεφωνίας.



Σχήμα 460: Διακυμάνσεις (α) ελάχιστης (Min), (β) μέσης (Avg) και (γ) μέγιστης (Max) έντασης ηλεκτρικού πεδίου (E-Field) ως συνάρτηση της συχνότητας (Frequency) του πεδίου για μετρήσεις με οργάνολογία τύπου NARDA SMR-3006 σε συσκευή κινητής τηλεφωνίας τύπου SAMSUNG J3-6 SM-J320FN και παρόχου WIND σε απόσταση 0m από την κεραία της συσκευής κατα τη διάρκεια τερματισμού της κλήσης χωρίς ενεργοποίηση δεδομένων κινητής τηλεφωνίας.



Σχήμα 461: Διακυμάνσεις (α) ελάχιστης (Min), (β) μέσης (Avg) και (γ) μέγιστης (Max) έντασης ηλεκτρικού πεδίου (E-Field) ως συνάρτηση της συχνότητας (Frequency) του πεδίου για μετρήσεις με οργανολογία τύπου NARDA SMR-3006 σε συσκευή κινητής τηλεφωνίας τύπου SAMSUNG J3-6 SM-J320FN και παρόχου WIND σε απόσταση 0m από την κεραία της συσκευής κατά τη διάρκεια αναμονής χρήσης της συσκευής με ενεργοποίηση των δεδομένων κινητής τηλεφωνίας χωρίς πρόσβαση στον παγώσιμο ιστό.

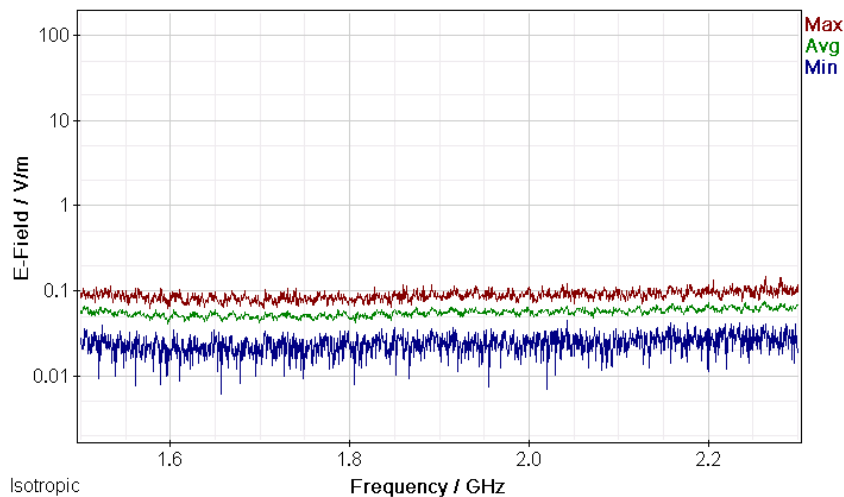


Σχήμα 462: Διακυμάνσεις (α) ελάχιστης (Min), (β) μέσης (Avg) και (γ) μέγιστης (Max) έντασης ηλεκτρικού πεδίου (E-Field) ως συνάρτηση της συχνότητας (Frequency) του πεδίου για μετρήσεις με οργανολογία τύπου NARDA SMR-3006 σε συσκευή κινητής τηλεφωνίας τύπου SAMSUNG J3-6 SM-J320FN και παρόχου WIND σε απόσταση 0m από την κεραία της συσκευής κατά τη διάρκεια αναμονής

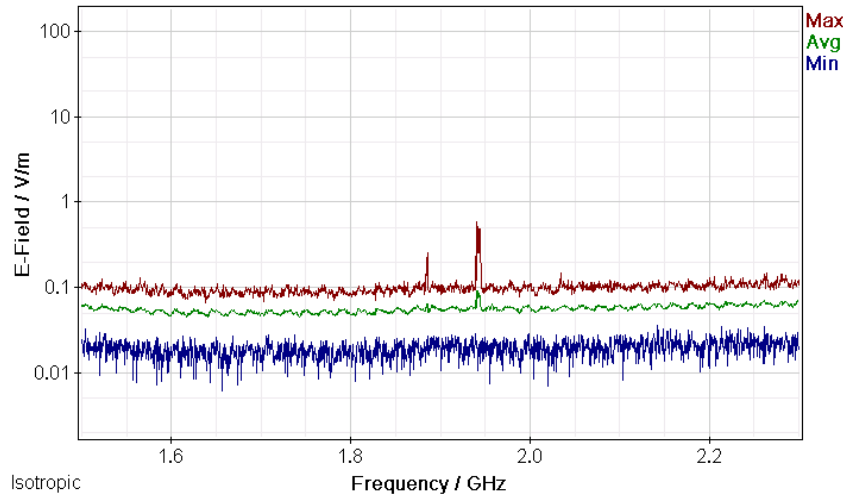
χρήσης της συσκευής με ενεργοποίηση των δεδομένων κινητής τηλεφωνίας και αναζήτησης δεδομένων στον παγόσμιο ιστό.

ΠΑΡΑΡΤΗΜΑ 2

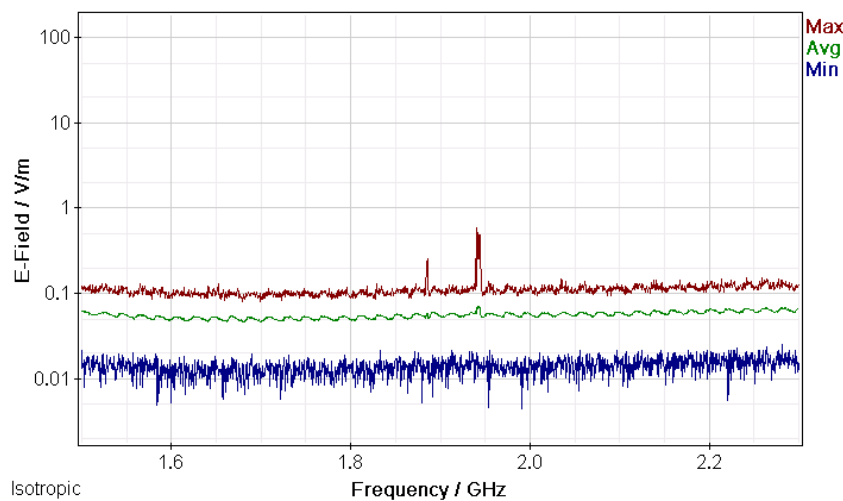
Μετρήσεις διακυμάνσεων (α) ελάχιστης (Min), (β) μέσης (Avg) και (γ) μέγιστης (Max) έντασης ηλεκτρικού πεδίου (E-Field) ως συνάρτηση της συχνότητας (Frequency) του πεδίου για μετρήσεις με οργανολογία τύπου NARDA SMR-3006 σε συσκευές κινητής τηλεφωνίας διαφόρων τύπων και παρόχων σε απόσταση 1 m από την κεραία των συσκευών.



Σχήμα 463: Διακυμάνσεις (α) ελάχιστης (Min), (β) μέσης (Avg) και (γ) μέγιστης (Max) έντασης ηλεκτρικού πεδίου (E-Field) ως συνάρτηση της συχνότητας (Frequency) του πεδίου για μετρήσεις με οργανολογία τύπου NARDA SMR-3006 σε συσκευή κινητής τηλεφωνίας τύπου SAMSUNG J3-6 SM-J320FN και παρόχου WIND σε απόσταση 1m από την κεραία της συσκευής κατα τη διάρκεια αναμονής χρήσης της συσκευής και χωρίς την ενεργοποίηση δεδομένων κινητής τηλεφωνίας.

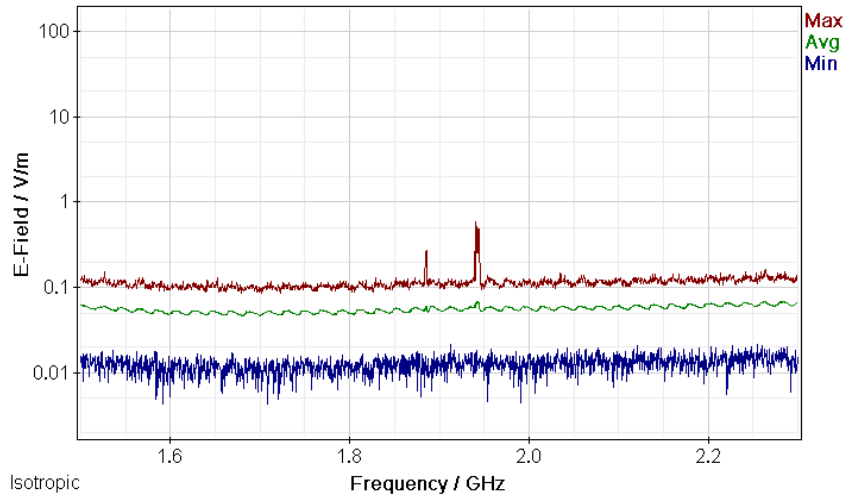


Σχήμα 464: Διακυμάνσεις (α) ελάχιστης (Min), (β) μέσης (Avg) και (γ) μέγιστης (Max) έντασης ηλεκτρικού πεδίου (E-Field) ως συνάρτηση της συχνότητας (Frequency) του πεδίου για μετρήσεις με οργάνολογία τύπου NARDA SMR-3006 σε συσκευή κινητής τηλεφωνίας τύπου SAMSUNG J3-6 SM-J320FN και παρόχου WIND σε απόσταση 1m από την κεραία της συσκευής κατα τη διάρκεια κλήσης χωρίς συνομιλία και ενεργοποίηση δεδομένων κινητής τηλεφωνίας .

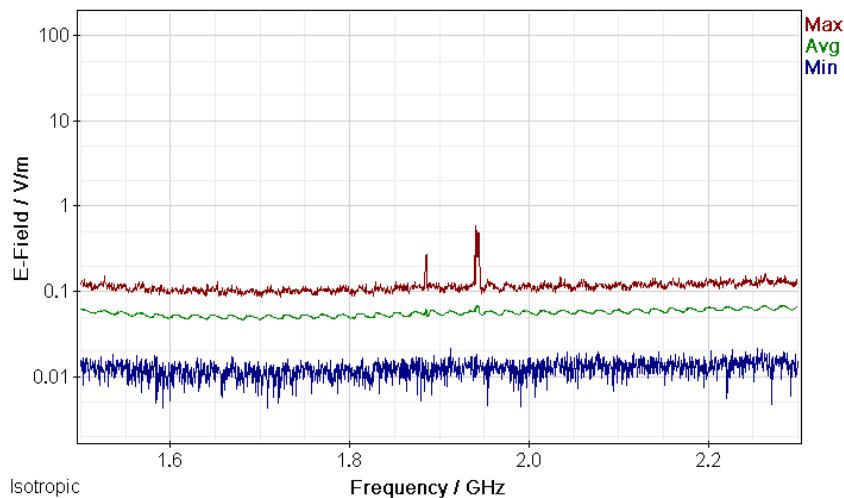


Σχήμα 465: Διακυμάνσεις (α) ελάχιστης (Min), (β) μέσης (Avg) και (γ) μέγιστης (Max) έντασης ηλεκτρικού πεδίου (E-Field) ως συνάρτηση της συχνότητας (Frequency) του πεδίου για μετρήσεις με οργάνολογία τύπου NARDA SMR-3006 σε συσκευή κινητής τηλεφωνίας τύπου SAMSUNG J3-6 SM-J320FN και παρόχου WIND σε απόσταση 1m από την κεραία της συσκευής κατα τη διάρκεια συνομιλίας δυόμιση λεπτών χωρίς ενεργοποίηση δεδομένων κινητής τηλεφωνίας.

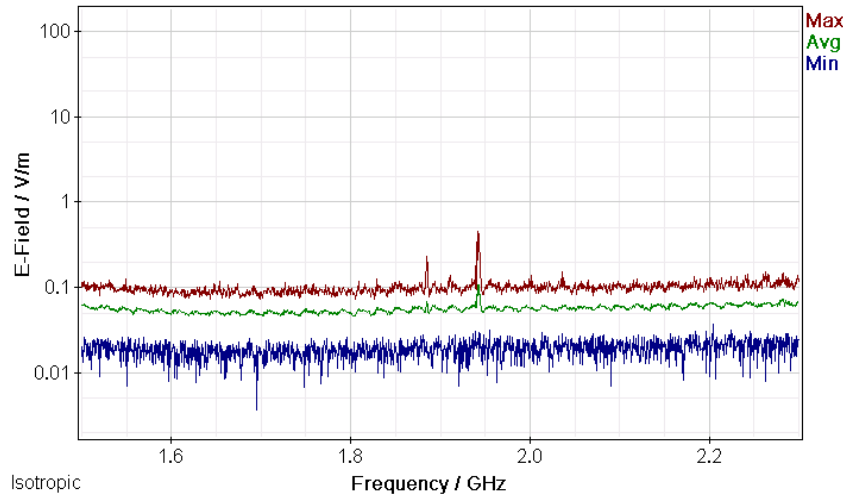
ΜΕΛΕΤΗ Η/Μ ΔΙΑΤΑΡΑΧΩΝ ΚΙΝΗΤΗΣ ΤΗΛΕΦΩΝΙΑΣ



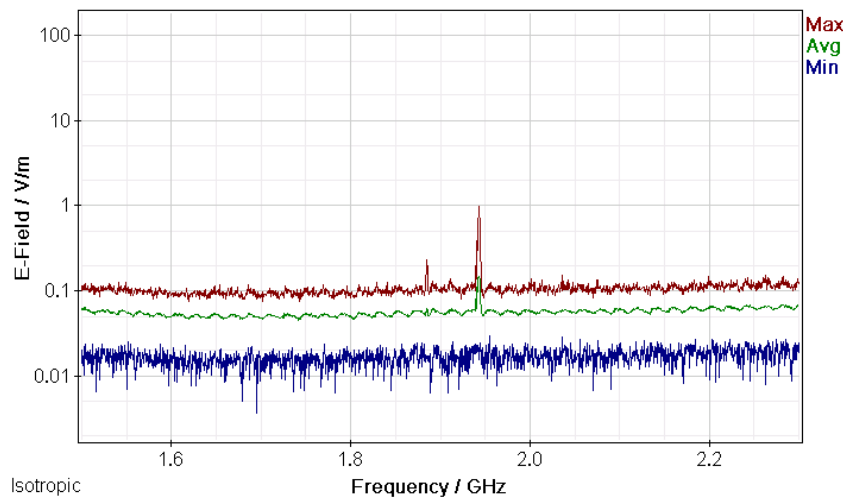
Σχήμα 466: Διακυμάνσεις (α) ελάχιστης (Min), (β) μέσης (Avg) και (γ) μέγιστης (Max) έντασης ηλεκτρικού πεδίου (E-Field) ως συνάρτηση της συχνότητας (Frequency) του πεδίου για μετρήσεις με οργάνολογία τύπου NARDA SMR-3006 σε συσκευή κινητής τηλεφωνίας τύπου SAMSUNG J3-6 SM-J320FN και παρόχου WIND σε απόσταση 1m από την κεραία της συσκευής κατά τη διάρκεια πεντάλεπτης συνομιλίας χωρίς ενεργοποίηση δεδομένων κινητής τηλεφωνίας.



Σχήμα 467: Διακυμάνσεις (α) ελάχιστης (Min), (β) μέσης (Avg) και (γ) μέγιστης (Max) έντασης ηλεκτρικού πεδίου (E-Field) ως συνάρτηση της συχνότητας (Frequency) του πεδίου για μετρήσεις με οργάνολογία τύπου NARDA SMR-3006 σε συσκευή κινητής τηλεφωνίας τύπου SAMSUNG J3-6 SM-J320FN και παρόχου WIND σε απόσταση 1m από την κεραία της συσκευής κατά τη διάρκεια τερματισμού της κλήσης χωρίς ενεργοποίηση δεδομένων κινητής τηλεφωνίας.



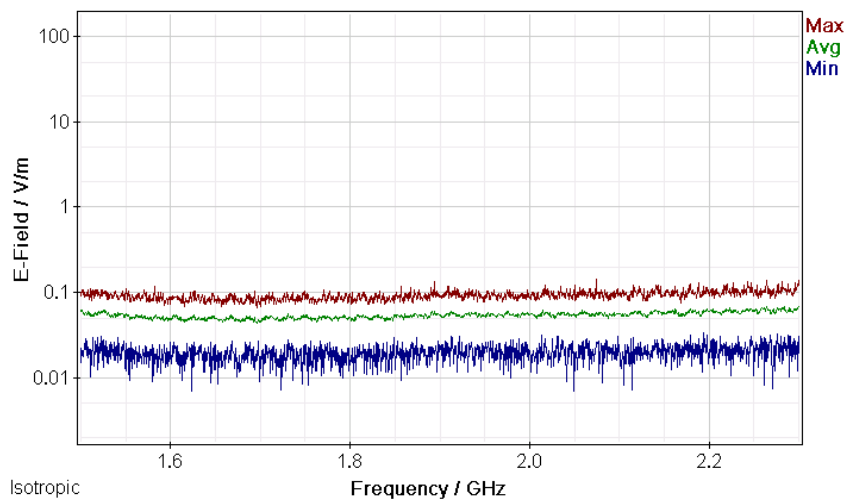
Σχήμα 468: Διακυμάνσεις (α) ελάχιστης (Min), (β) μέσης (Avg) και (γ) μέγιστης (Max) έντασης ηλεκτρικού πεδίου (E-Field) ως συνάρτηση της συχνότητας (Frequency) του πεδίου για μετρήσεις με οργανολογία τύπου NARDA SMR-3006 σε συσκευή κινητής τηλεφωνίας τύπου SAMSUNG J3-6 SM-J320FN και παρόχου WIND σε απόσταση 1m από την κεραία της συσκευής κατά τη διάρκεια αναμονής χρήσης της συσκευής με ενεργοποίηση των δεδομένων κινητής τηλεφωνίας χωρίς πρόσβαση στον παγόσμιο ιστό.



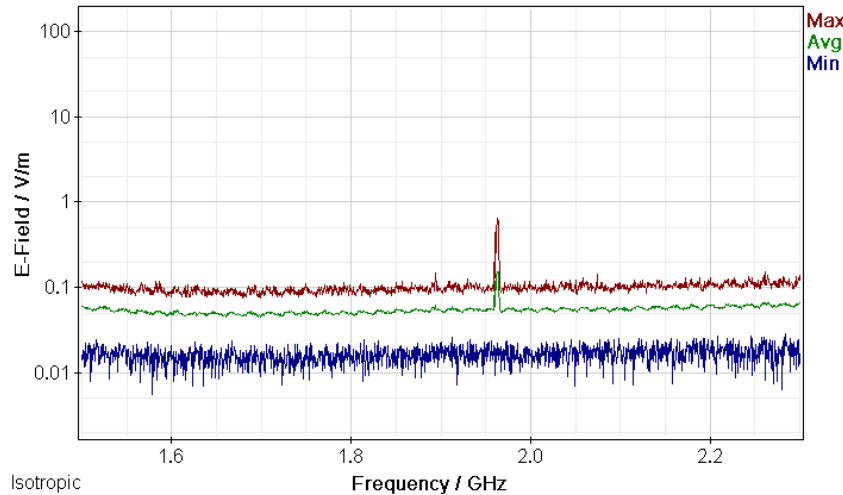
Σχήμα 469: Διακυμάνσεις (α) ελάχιστης (Min), (β) μέσης (Avg) και (γ) μέγιστης (Max) έντασης ηλεκτρικού πεδίου (E-Field) ως συνάρτηση της συχνότητας (Frequency) του πεδίου για μετρήσεις με οργανολογία τύπου NARDA SMR-3006 σε συσκευή κινητής τηλεφωνίας τύπου SAMSUNG J3-6 SM-J320FN και παρόχου WIND σε απόσταση 1m από την κεραία της συσκευής κατά τη διάρκεια αναμονής χρήσης της συσκευής με ενεργοποίηση των δεδομένων κινητής τηλεφωνίας και αναζήτησης δεδομένων στον παγόσμιο ιστό.

ΠΑΡΑΡΤΗΜΑ 1

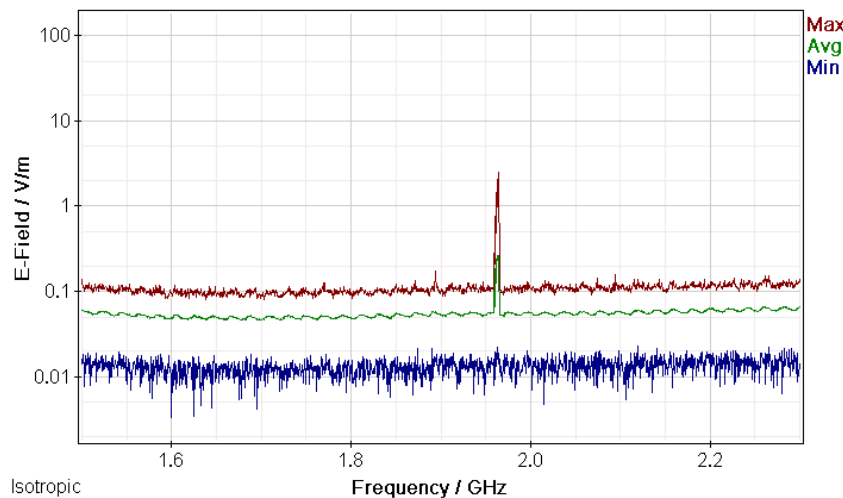
Μετρήσεις διακυμάνσεων (α) ελάχιστης (Min), (β) μέσης (Avg) και (γ) μέγιστης (Max) έντασης ηλεκτρικού πεδίου (E-Field) ως συνάρτηση της συχνότητας (Frequency) του πεδίου για μετρήσεις με οργάνολογία τύπου NARDA SMR-3006 σε συσκευές κινητής τηλεφωνίας διαφόρων τύπων και παρόχων σε απόσταση 0 m από την κεραία των συσκευών.



Σχήμα 470: Διακυμάνσεις (α) ελάχιστης (Min), (β) μέσης (Avg) και (γ) μέγιστης (Max) έντασης ηλεκτρικού πεδίου (E-Field) ως συνάρτηση της συχνότητας (Frequency) του πεδίου για μετρήσεις με οργάνολογία τύπου NARDA SMR-3006 σε συσκευή κινητής τηλεφωνίας τύπου SAMSUNG GT-S5310 και παρόχου COSMOTE σε απόσταση 0m από την κεραία της συσκευής κατά τη διάρκεια αναμονής χρήσης της συσκευής και χωρίς την ενεργοποίηση δεδομένων κινητής τηλεφωνίας.

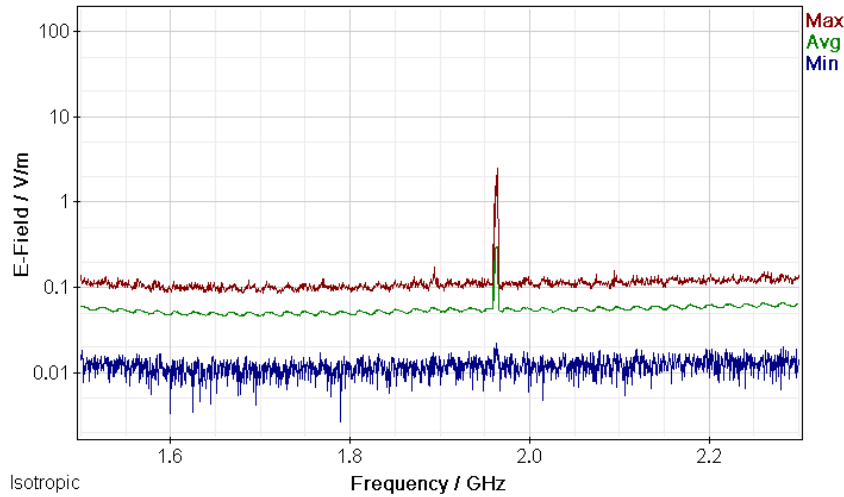


Σχήμα 471: Διακυμάνσεις (α) ελάχιστης (Min), (β) μέσης (Avg) και (γ) μέγιστης (Max) έντασης ηλεκτρικού πεδίου (E-Field) ως συνάρτηση της συχνότητας (Frequency) του πεδίου για μετρήσεις με οργανολογία τύπου NARDA SMR-3006 σε συσκευή κινητής τηλεφωνίας τύπου SAMSUNG GT-S5310 και παρόχου COSMOTE σε απόσταση 0m από την κεραία της συσκευής κατα τη διάρκεια κλήσης χωρίς συνομιλία και ενεργοποίηση δεδομένων κινητής τηλεφωνίας .

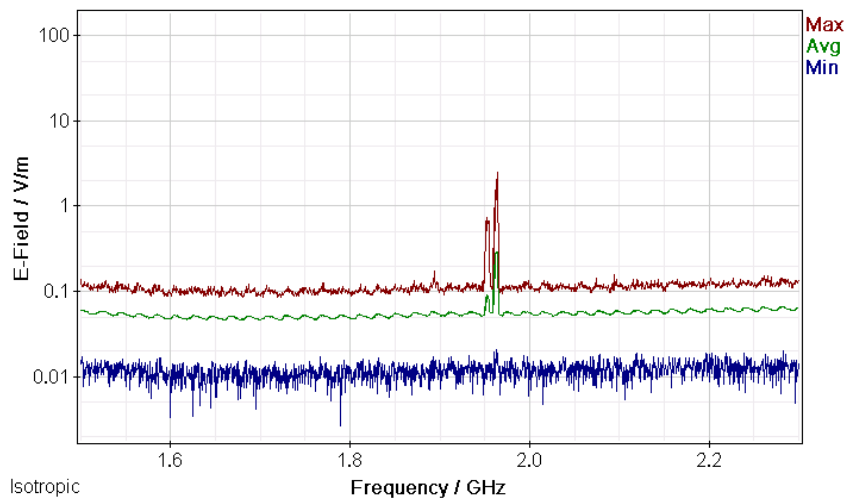


Σχήμα 472: Διακυμάνσεις (α) ελάχιστης (Min), (β) μέσης (Avg) και (γ) μέγιστης (Max) έντασης ηλεκτρικού πεδίου (E-Field) ως συνάρτηση της συχνότητας (Frequency) του πεδίου για μετρήσεις με οργανολογία τύπου NARDA SMR-3006 σε συσκευή κινητής τηλεφωνίας τύπου SONY XPERIA E5603 και παρόχου COSMOTE σε απόσταση 0m από την κεραία της συσκευής κατα τη διάρκεια συνομιλίας δυόμιση λεπτών χωρίς ενεργοποίηση δεδομένων κινητής τηλεφωνίας.

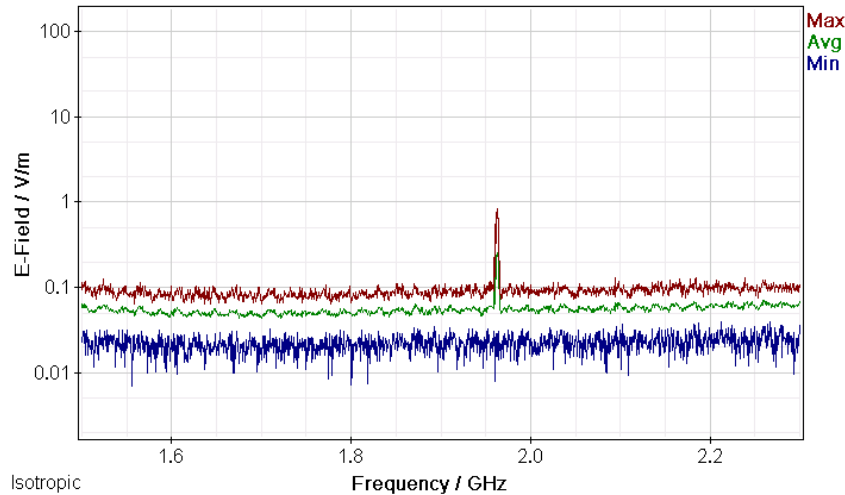
ΜΕΛΕΤΗ Η/Μ ΔΙΑΤΑΡΑΧΩΝ ΚΙΝΗΤΗΣ ΤΗΛΕΦΩΝΙΑΣ



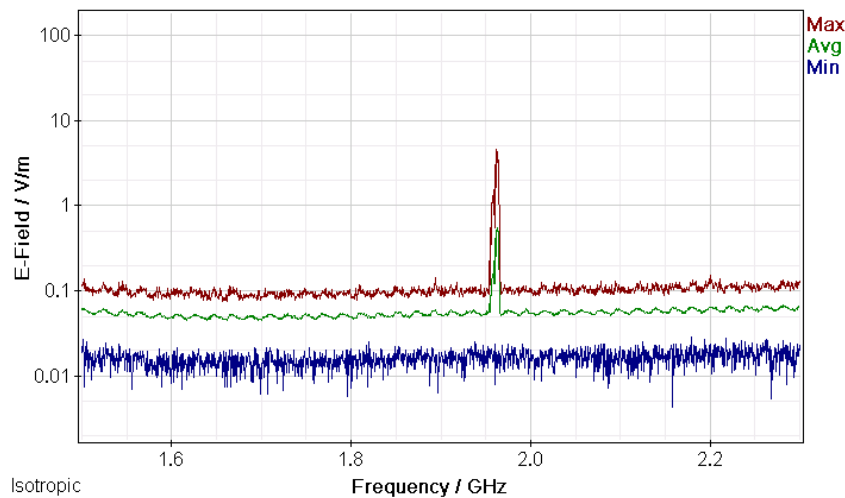
Σχήμα 473: Διακυμάνσεις (α) ελάχιστης (Min), (β) μέσης (Avg) και (γ) μέγιστης (Max) έντασης ηλεκτρικού πεδίου (E-Field) ως συνάρτηση της συχνότητας (Frequency) του πεδίου για μετρήσεις με οργάνολογία τύπου NARDA SMR-3006 σε συσκευή κινητής τηλεφωνίας τύπου SAMSUNG GT-S5310 και παρόχου COSMOTE σε απόσταση 0m από την κεραία της συσκευής κατά τη διάρκεια πεντάλεπτης συνομιλίας χωρίς ενεργοποίηση δεδομένων κινητής τηλεφωνίας.



Σχήμα 474: Διακυμάνσεις (α) ελάχιστης (Min), (β) μέσης (Avg) και (γ) μέγιστης (Max) έντασης ηλεκτρικού πεδίου (E-Field) ως συνάρτηση της συχνότητας (Frequency) του πεδίου για μετρήσεις με οργάνολογία τύπου NARDA SMR-3006 σε συσκευή κινητής τηλεφωνίας τύπου SAMSUNG GT-S5310 και παρόχου COMOTE σε απόσταση 0m από την κεραία της συσκευής κατά τη διάρκεια τερματισμού της κλήσης χωρίς ενεργοποίηση δεδομένων κινητής τηλεφωνίας.



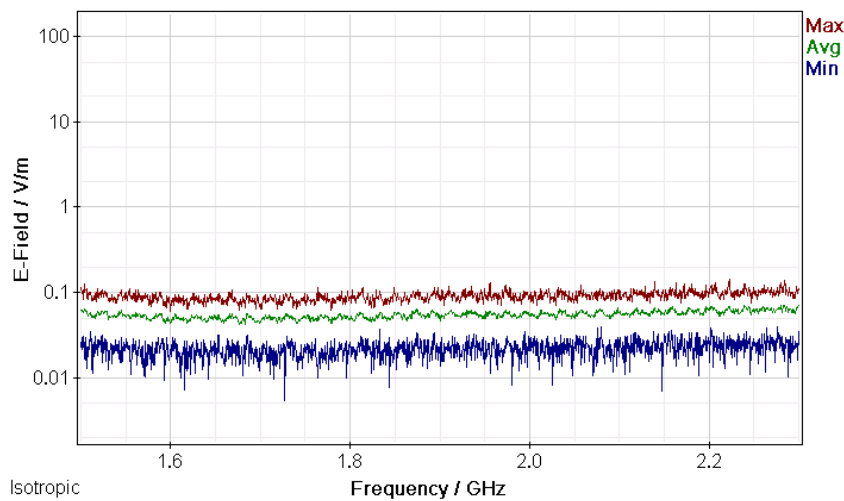
Σχήμα 475: Διακυμάνσεις (α) ελάχιστης (Min), (β) μέσης (Avg) και (γ) μέγιστης (Max) έντασης ηλεκτρικού πεδίου (E-Field) ως συνάρτηση της συχνότητας (Frequency) του πεδίου για μετρήσεις με οργανολογία τύπου NARDA SMR-3006 σε συσκευή κινητής τηλεφωνίας τύπου SAMSUNG GT-S5310 και παρόχου COSMOTE σε απόσταση 0m από την κεραία της συσκευής κατα τη διάρκεια αναμονής χρήσης της συσκευής με ενεργοποίηση των δεδομένων κινητής τηλεφωνίας χωρίς πρόσβαση στον παγόςμιο ιστό.



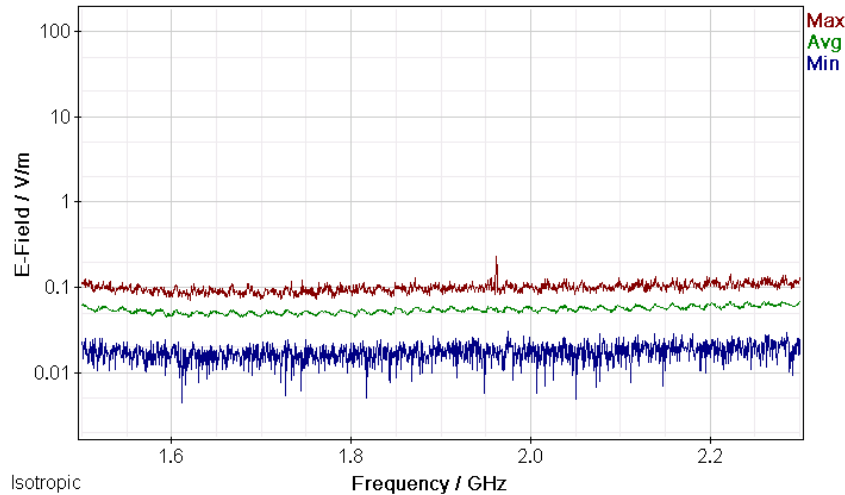
Σχήμα 476: Διακυμάνσεις (α) ελάχιστης (Min), (β) μέσης (Avg) και (γ) μέγιστης (Max) έντασης ηλεκτρικού πεδίου (E-Field) ως συνάρτηση της συχνότητας (Frequency) του πεδίου για μετρήσεις με οργανολογία τύπου NARDA SMR-3006 σε συσκευή κινητής τηλεφωνίας τύπου SAMSUNG GT-S5310 και παρόχου COSMOTE σε απόσταση 0m από την κεραία της συσκευής κατα τη διάρκεια αναμονής χρήσης της συσκευής με ενεργοποίηση των δεδομένων κινητής τηλεφωνίας και αναζήτησης δεδομένων στον παγόςμιο ιστό.

ΠΑΡΑΡΤΗΜΑ 2

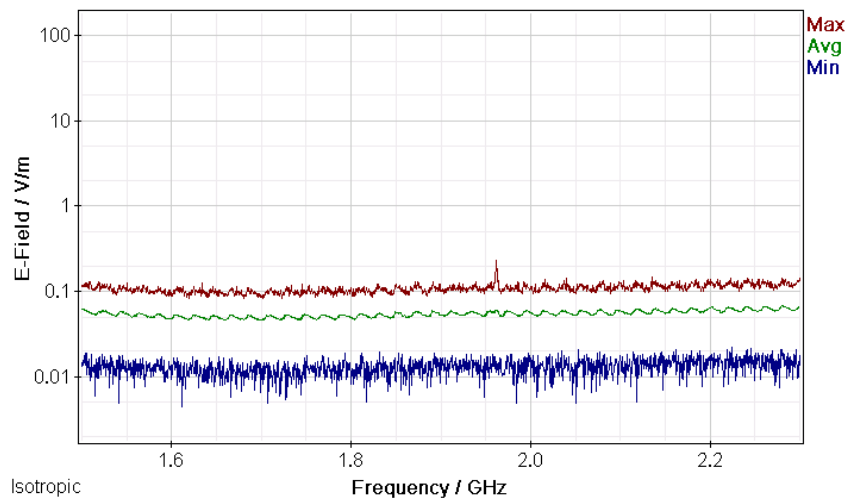
Μετρήσεις διακυμάνσεων (α) ελάχιστης (Min), (β) μέσης (Avg) και (γ) μέγιστης (Max) έντασης ηλεκτρικού πεδίου (E-Field) ως συνάρτηση της συχνότητας (Frequency) του πεδίου για μετρήσεις με οργανολογία τύπου NARDA SMR-3006 σε συσκευές κινητής τηλεφωνίας διαφόρων τύπων και παρόχων σε απόσταση 1 m από την κεραία των συσκευών.



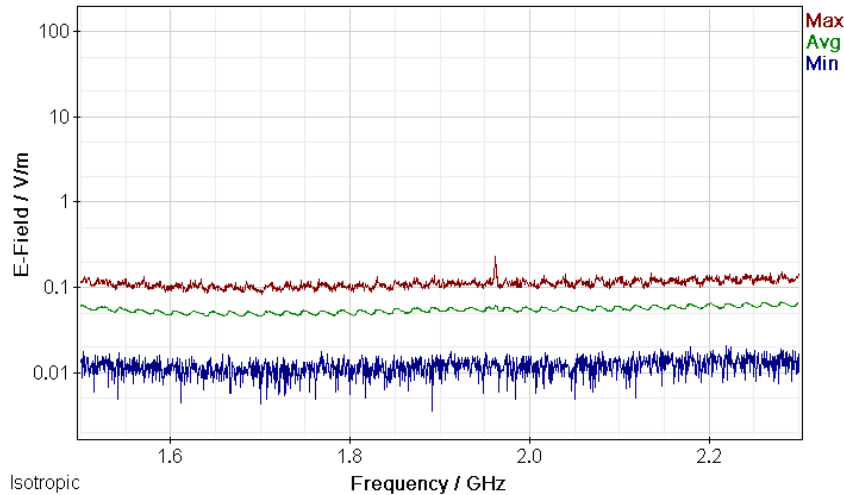
Σχήμα 477: Διακυμάνσεις (α) ελάχιστης (Min), (β) μέσης (Avg) και (γ) μέγιστης (Max) έντασης ηλεκτρικού πεδίου (E-Field) ως συνάρτηση της συχνότητας (Frequency) του πεδίου για μετρήσεις με οργανολογία τύπου NARDA SMR-3006 σε συσκευή κινητής τηλεφωνίας τύπου SAMSUNG GT-S5310 και παρόχου COSMOTE σε απόσταση 1m από την κεραία της συσκευής κατά τη διάρκεια αναμονής χρήσης της συσκευής και χωρίς την ενεργοποίηση δεδομένων κινητής τηλεφωνίας.



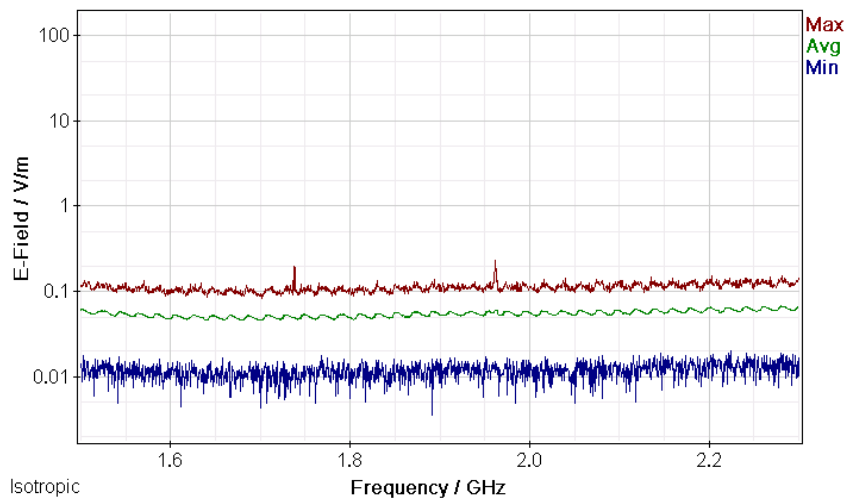
Σχήμα 478: Διακυμάνσεις (α) ελάχιστης (Min), (β) μέσης (Avg) και (γ) μέγιστης (Max) έντασης ηλεκτρικού πεδίου (E-Field) ως συνάρτηση της συχνότητας (Frequency) του πεδίου για μετρήσεις με οργανολογία τύπου NARDA SMR-3006 σε συσκευή κινητής τηλεφωνίας τύπου SAMSUNG GT-S5310 και παρόχου COSMOTE σε απόσταση 1m από την κεραία της συσκευής κατα τη διάρκεια κλήσης χωρίς συνομιλία και ενεργοποίηση δεδομένων κινητής τηλεφωνίας .



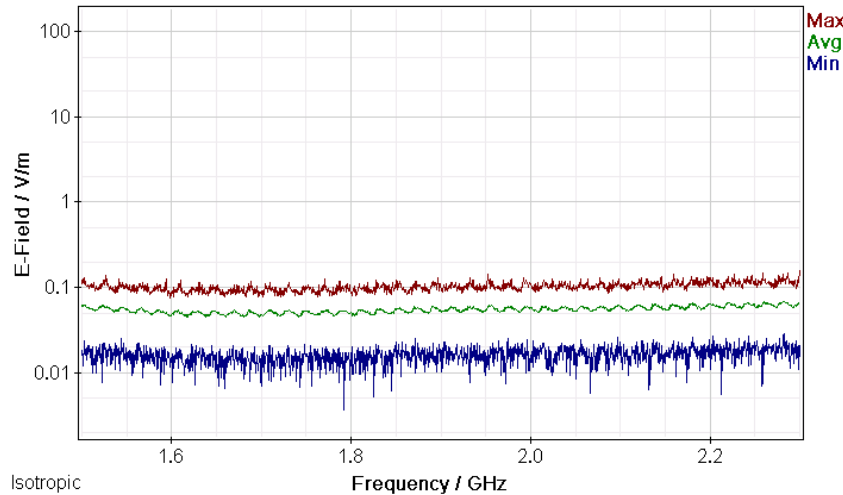
Σχήμα 479: Διακυμάνσεις (α) ελάχιστης (Min), (β) μέσης (Avg) και (γ) μέγιστης (Max) έντασης ηλεκτρικού πεδίου (E-Field) ως συνάρτηση της συχνότητας (Frequency) του πεδίου για μετρήσεις με οργανολογία τύπου NARDA SMR-3006 σε συσκευή κινητής τηλεφωνίας τύπου SAMSUNG GT-S5310 και παρόχου COSMOTE σε απόσταση 1m από την κεραία της συσκευής κατα τη διάρκεια συνομιλίας δυόμιση λεπτών χωρίς ενεργοποίηση δεδομένων κινητής τηλεφωνίας.



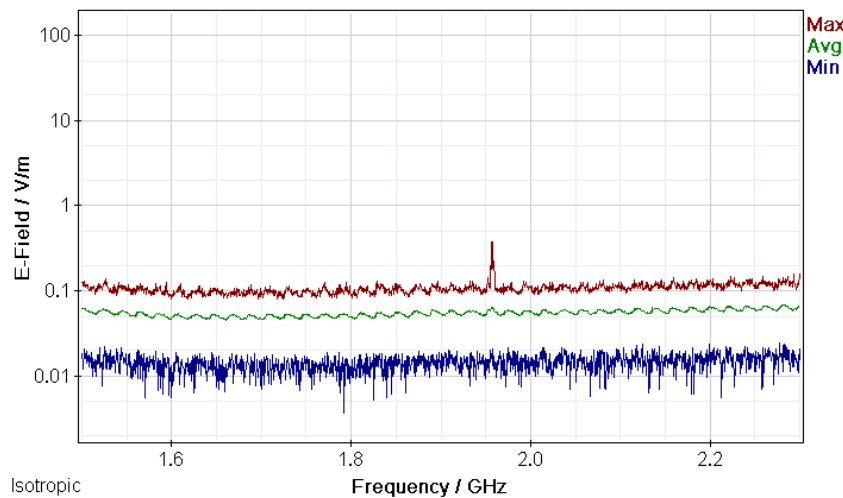
Σχήμα 480: Διακυμάνσεις (α) ελάχιστης (Min), (β) μέσης (Avg) και (γ) μέγιστης (Max) έντασης ηλεκτρικού πεδίου (E-Field) ως συνάρτηση της συχνότητας (Frequency) του πεδίου για μετρήσεις με οργάνολογία τύπου NARDA SMR-3006 σε συσκευή κινητής τηλεφωνίας τύπου SAMSUNG GT-S5310 και παρόχου COSMOTE σε απόσταση 1m από την κεραία της συσκευής κατά τη διάρκεια πεντάλεπτης συνομιλίας χωρίς ενεργοποίηση δεδομένων κινητής τηλεφωνίας.



Σχήμα 481: Διακυμάνσεις (α) ελάχιστης (Min), (β) μέσης (Avg) και (γ) μέγιστης (Max) έντασης ηλεκτρικού πεδίου (E-Field) ως συνάρτηση της συχνότητας (Frequency) του πεδίου για μετρήσεις με οργάνολογία τύπου NARDA SMR-3006 σε συσκευή κινητής τηλεφωνίας τύπου SAMSUNG GT-S5310 και παρόχου COSMOTE σε απόσταση 1m από την κεραία της συσκευής κατά τη διάρκεια τερματισμού της κλήσης χωρίς ενεργοποίηση δεδομένων κινητής τηλεφωνίας.



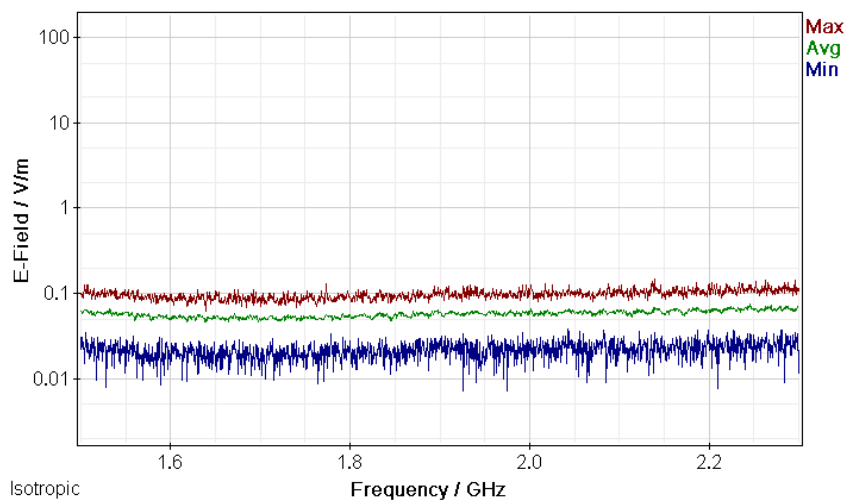
Σχήμα 482: Διακυμάνσεις (α) ελάχιστης (Min), (β) μέσης (Avg) και (γ) μέγιστης (Max) έντασης ηλεκτρικού πεδίου (E-Field) ως συνάρτηση της συχνότητας (Frequency) του πεδίου για μετρήσεις με οργάνολογία τύπου NARDA SMR-3006 σε συσκευή κινητής τηλεφωνίας τύπου SAMSUNG GT-S5310 και παρόχου COSMOTE σε απόσταση 1m από την κεραία της συσκευής κατά τη διάρκεια αναμονής χρήσης της συσκευής με ενεργοποίηση των δεδομένων κινητής τηλεφωνίας χωρίς πρόσβαση στον παγόςμιο ιστό.



Σχήμα 483: Διακυμάνσεις (α) ελάχιστης (Min), (β) μέσης (Avg) και (γ) μέγιστης (Max) έντασης ηλεκτρικού πεδίου (E-Field) ως συνάρτηση της συχνότητας (Frequency) του πεδίου για μετρήσεις με οργάνολογία τύπου NARDA SMR-3006 σε συσκευή κινητής τηλεφωνίας τύπου SAMSUNG GT-S5310 και παρόχου COSMOTE σε απόσταση 1m από την κεραία της συσκευής κατά τη διάρκεια αναμονής χρήσης της συσκευής με ενεργοποίηση των δεδομένων κινητής τηλεφωνίας και αναζήτησης δεδομένων στον παγόςμιο ιστό.

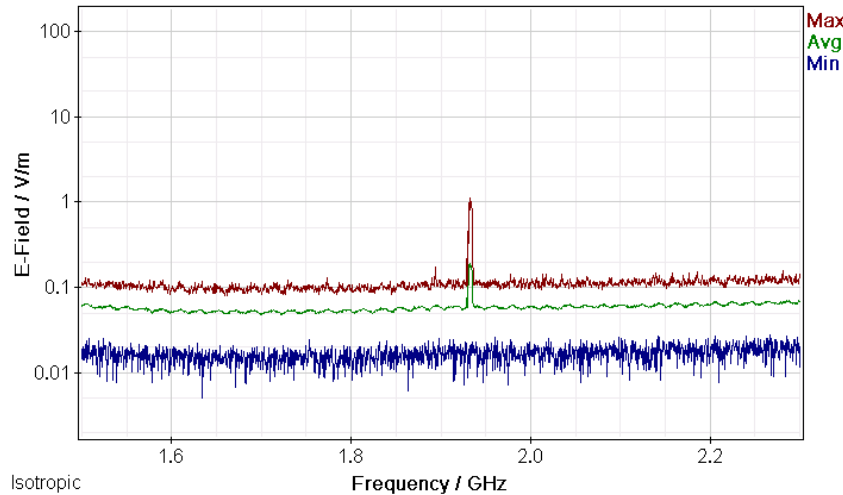
ΠΑΡΑΡΤΗΜΑ 1

Μετρήσεις διακυμάνσεων (α) ελάχιστης (Min), (β) μέσης (Avg) και (γ) μέγιστης (Max) έντασης ηλεκτρικού πεδίου (E-Field) ως συνάρτηση της συχνότητας (Frequency) του πεδίου για μετρήσεις με οργανολογία τύπου NARDA SMR-3006 σε συσκευές κινητής τηλεφωνίας διαφόρων τύπων και παρόχων σε απόσταση 0 m από την κεραία των συσκευών.

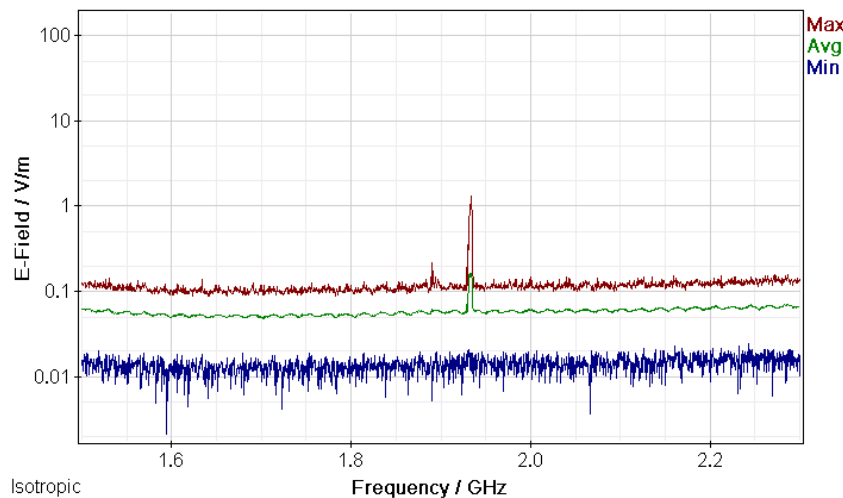


Σχήμα 484: Διακυμάνσεις (α) ελάχιστης (Min), (β) μέσης (Avg) και (γ) μέγιστης (Max) έντασης ηλεκτρικού πεδίου (E-Field) ως συνάρτηση της συχνότητας (Frequency) του πεδίου για μετρήσεις με οργανολογία τύπου NARDA SMR-3006 σε συσκευή κινητής τηλεφωνίας τύπου SAMSUNG GT-S5310 και παρόχου VODAFONE σε απόσταση 0m από την κεραία της συσκευής κατά τη διάρκεια αναμονής χρήσης της συσκευής και χωρίς την ενεργοποίηση δεδομένων κινητής τηλεφωνίας.

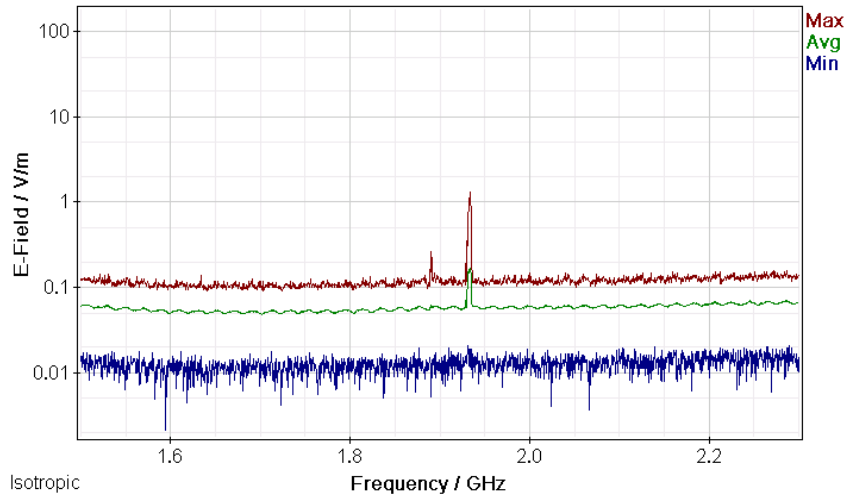
ΜΕΛΕΤΗ Η/Μ ΔΙΑΤΑΡΑΧΩΝ ΚΙΝΗΤΗΣ ΤΗΛΕΦΩΝΙΑΣ



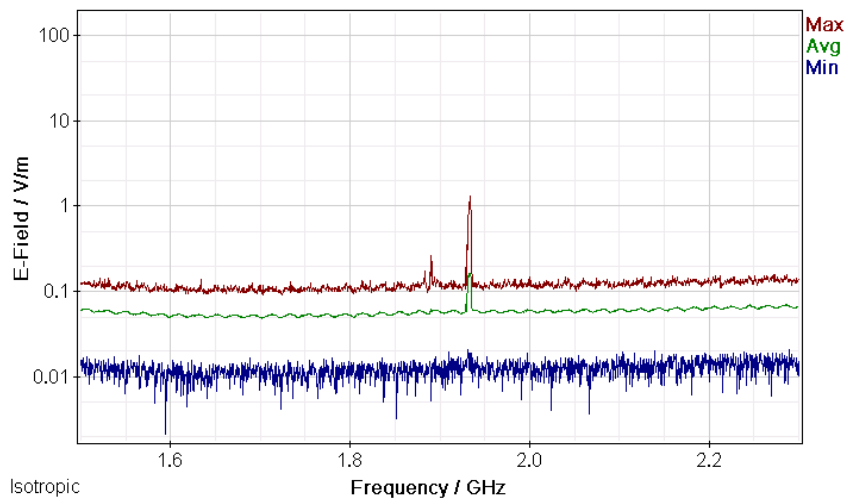
Σχήμα 485: Διακυμάνσεις (α) ελάχιστης (Min), (β) μέσης (Avg) και (γ) μέγιστης (Max) έντασης ηλεκτρικού πεδίου (E-Field) ως συνάρτηση της συχνότητας (Frequency) του πεδίου για μετρήσεις με οργάνολογία τύπου NARDA SMR-3006 σε συσκευή κινητής τηλεφωνίας τύπου SAMSUNG GT-S5310 και παρόχου VODAFONE σε απόσταση 0m από την κεραία της συσκευής κατά τη διάρκεια κλήσης χωρίς συνομιλία και ενεργοποίηση δεδομένων κινητής τηλεφωνίας .



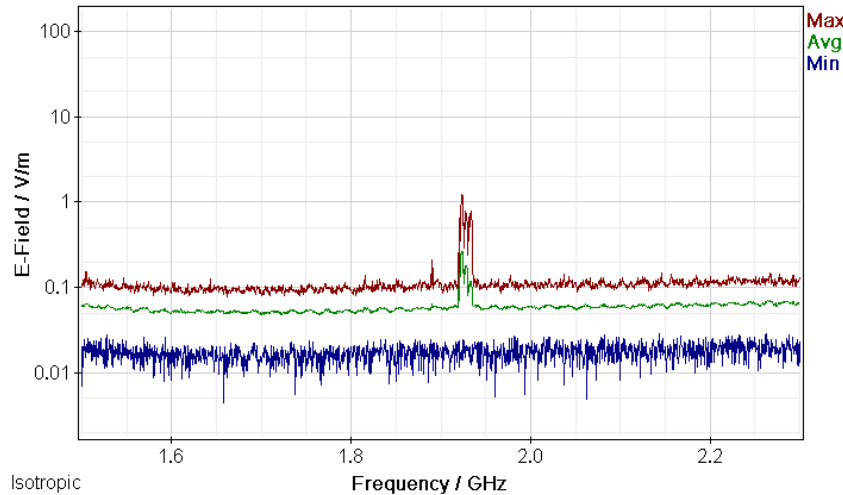
Σχήμα 486: Διακυμάνσεις (α) ελάχιστης (Min), (β) μέσης (Avg) και (γ) μέγιστης (Max) έντασης ηλεκτρικού πεδίου (E-Field) ως συνάρτηση της συχνότητας (Frequency) του πεδίου για μετρήσεις με οργάνολογία τύπου NARDA SMR-3006 σε συσκευή κινητής τηλεφωνίας τύπου SAMSUNG GT-S5310 και παρόχου VODAFONE σε απόσταση 0m από την κεραία της συσκευής κατά τη διάρκεια συνομιλίας δυόμιση λεπτών χωρίς ενεργοποίηση δεδομένων κινητής τηλεφωνίας.



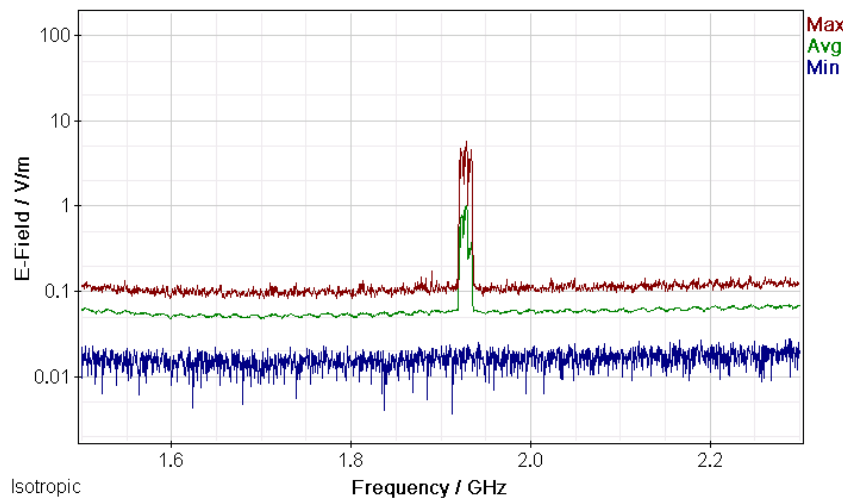
Σχήμα 487: Διακυμάνσεις (α) ελάχιστης (Min), (β) μέσης (Avg) και (γ) μέγιστης (Max) έντασης ηλεκτρικού πεδίου (E-Field) ως συνάρτηση της συχνότητας (Frequency) του πεδίου για μετρήσεις με οργάνολογία τύπου NARDA SMR-3006 σε συσκευή κινητής τηλεφωνίας τύπου SAMSUNG GT-S5310 και παρόχου VODAFONE σε απόσταση 0m από την κεραία της συσκευής κατά τη διάρκεια πεντάλεπτης συνομιλίας χωρίς ενεργοποίηση δεδομένων κινητής τηλεφωνίας.



Σχήμα 488: Διακυμάνσεις (α) ελάχιστης (Min), (β) μέσης (Avg) και (γ) μέγιστης (Max) έντασης ηλεκτρικού πεδίου (E-Field) ως συνάρτηση της συχνότητας (Frequency) του πεδίου για μετρήσεις με οργάνολογία τύπου NARDA SMR-3006 σε συσκευή κινητής τηλεφωνίας τύπου SAMSUNG GT-S5310 και παρόχου VODAFONE σε απόσταση 0m από την κεραία της συσκευής κατά τη διάρκεια τερματισμού της κλήσης χωρίς ενεργοποίηση δεδομένων κινητής τηλεφωνίας.



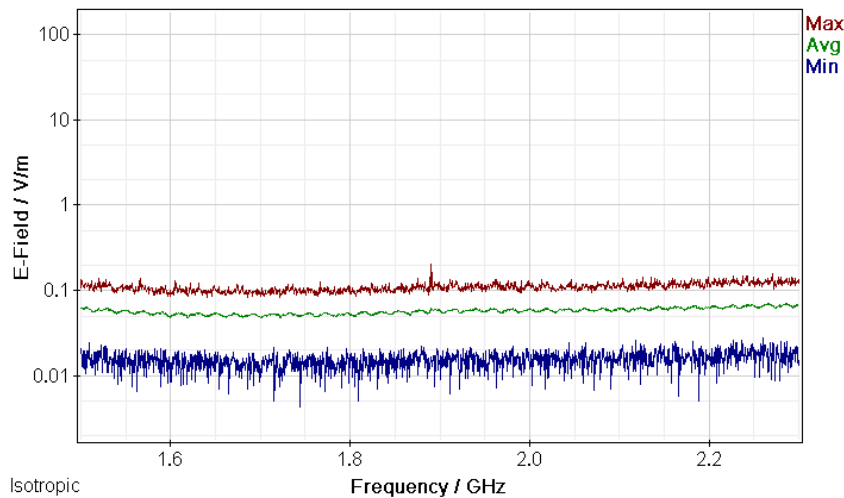
Σχήμα 489: Διακυμάνσεις (α) ελάχιστης (Min), (β) μέσης (Avg) και (γ) μέγιστης (Max) έντασης ηλεκτρικού πεδίου (E-Field) ως συνάρτηση της συχνότητας (Frequency) του πεδίου για μετρήσεις με οργανολογία τύπου NARDA SMR-3006 σε συσκευή κινητής τηλεφωνίας τύπου SAMSUNG GT-S5310 και παρόχου VODAFONE σε απόσταση 0m από την κεραία της συσκευής κατά τη διάρκεια αναμονής χρήσης της συσκευής με ενεργοποίηση των δεδομένων κινητής τηλεφωνίας χωρίς πρόσβαση στον παγόςμιο ιστό.



Σχήμα 490: Διακυμάνσεις (α) ελάχιστης (Min), (β) μέσης (Avg) και (γ) μέγιστης (Max) έντασης ηλεκτρικού πεδίου (E-Field) ως συνάρτηση της συχνότητας (Frequency) του πεδίου για μετρήσεις με οργανολογία τύπου NARDA SMR-3006 σε συσκευή κινητής τηλεφωνίας τύπου SAMSUNG GT-S5310 και παρόχου VODAFONE σε απόσταση 0m από την κεραία της συσκευής κατά τη διάρκεια αναμονής χρήσης της συσκευής με ενεργοποίηση των δεδομένων κινητής τηλεφωνίας και αναζήτησης δεδομένων στον παγόςμιο ιστό.

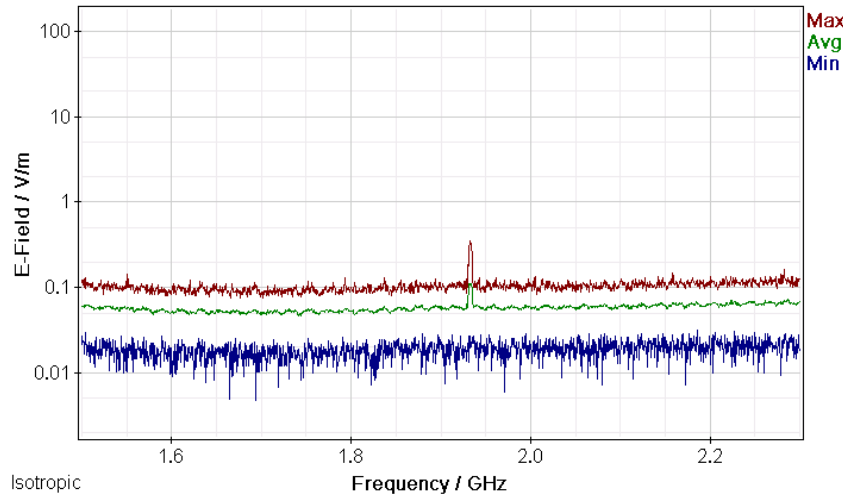
ΠΑΡΑΡΤΗΜΑ 2

Μετρήσεις διακυμάνσεων (α) ελάχιστης (Min), (β) μέσης (Avg) και (γ) μέγιστης (Max) έντασης ηλεκτρικού πεδίου (E-Field) ως συνάρτηση της συχνότητας (Frequency) του πεδίου για μετρήσεις με οργανολογία τύπου NARDA SMR-3006 σε συσκευές κινητής τηλεφωνίας διαφόρων τύπων και παρόχων σε απόσταση 1 m από την κεραία των συσκευών.

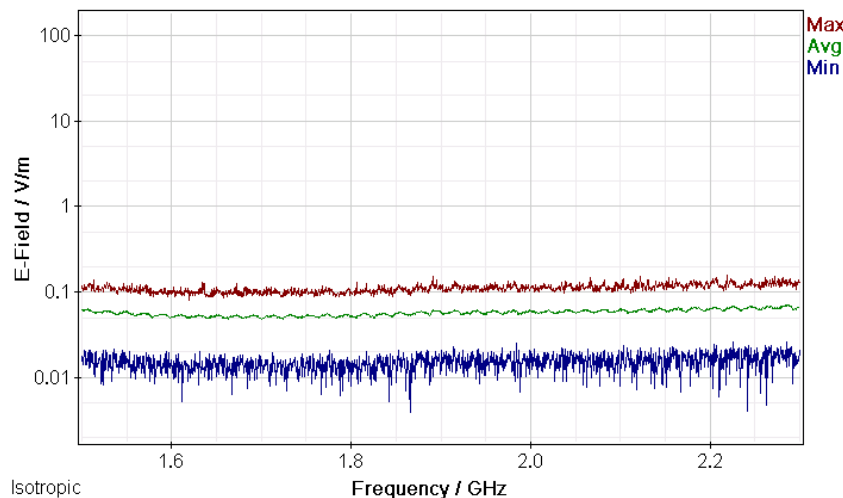


Σχήμα 491: Διακυμάνσεις (α) ελάχιστης (Min), (β) μέσης (Avg) και (γ) μέγιστης (Max) έντασης ηλεκτρικού πεδίου (E-Field) ως συνάρτηση της συχνότητας (Frequency) του πεδίου για μετρήσεις με οργανολογία τύπου NARDA SMR-3006 σε συσκευή κινητής τηλεφωνίας τύπου SAMSUNG GT-S5310 και παρόχου VODAFONE σε απόσταση 1m από την κεραία της συσκευής κατά τη διάρκεια αναμονής χρήσης της συσκευής και χωρίς την ενεργοποίηση δεδομένων κινητής τηλεφωνίας.

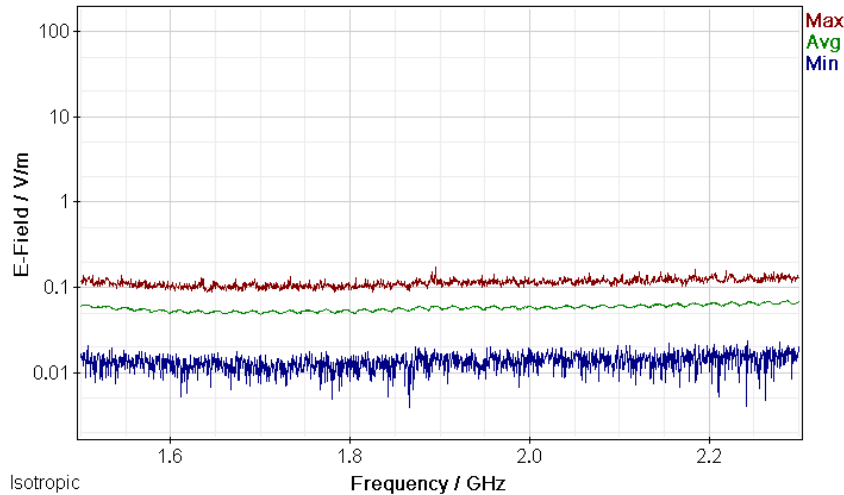
ΜΕΛΕΤΗ Η/Μ ΔΙΑΤΑΡΑΧΩΝ ΚΙΝΗΤΗΣ ΤΗΛΕΦΩΝΙΑΣ



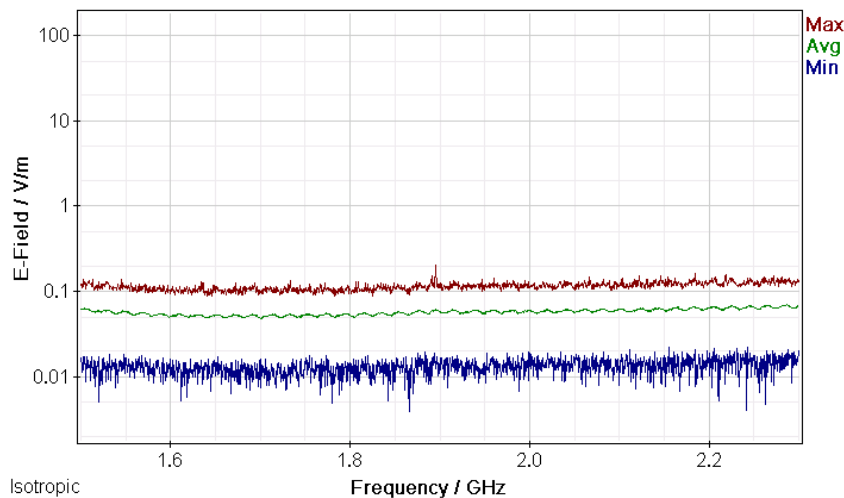
Σχήμα 492: Διακυμάνσεις (α) ελάχιστης (Min), (β) μέσης (Avg) και (γ) μέγιστης (Max) έντασης ηλεκτρικού πεδίου (E-Field) ως συνάρτηση της συχνότητας (Frequency) του πεδίου για μετρήσεις με οργανολογία τύπου NARDA SMR-3006 σε συσκευή κινητής τηλεφωνίας τύπου SAMSUNG GT-S5310 και παρόχου VODAFONE σε απόσταση 1m από την κεραία της συσκευής κατά τη διάρκεια κλήσης χωρίς συνομιλία και ενεργοποίηση δεδομένων κινητής τηλεφωνίας .



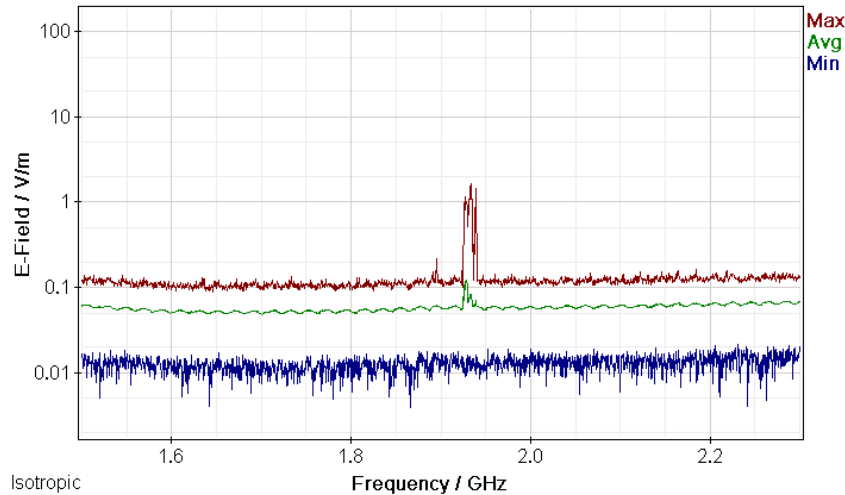
Σχήμα 493: Διακυμάνσεις (α) ελάχιστης (Min), (β) μέσης (Avg) και (γ) μέγιστης (Max) έντασης ηλεκτρικού πεδίου (E-Field) ως συνάρτηση της συχνότητας (Frequency) του πεδίου για μετρήσεις με οργανολογία τύπου NARDA SMR-3006 σε συσκευή κινητής τηλεφωνίας τύπου SAMSUNG GT-S5310 και παρόχου VODAFONE σε απόσταση 1m από την κεραία της συσκευής κατά τη διάρκεια συνομιλίας δυόμιση λεπτών χωρίς ενεργοποίηση δεδομένων κινητής τηλεφωνίας.



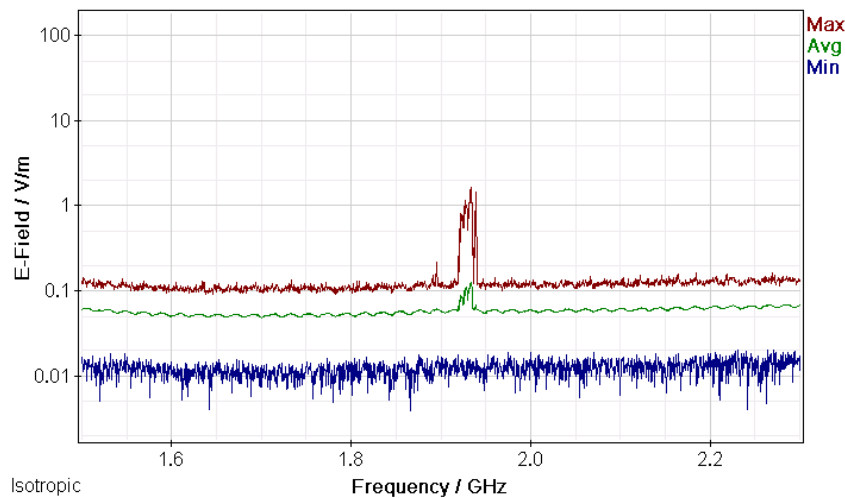
Σχήμα 494: Διακυμάνσεις (α) ελάχιστης (Min), (β) μέσης (Avg) και (γ) μέγιστης (Max) έντασης ηλεκτρικού πεδίου (E-Field) ως συνάρτηση της συχνότητας (Frequency) του πεδίου για μετρήσεις με οργανολογία τύπου NARDA SMR-3006 σε συσκευή κινητής τηλεφωνίας τύπου SAMSUNG GT-S5310 και παρόχου VODAFONE σε απόσταση 1m από την κεραία της συσκευής κατά τη διάρκεια πεντάλεπτης συνομιλίας χωρίς ενεργοποίηση δεδομένων κινητής τηλεφωνίας.



Σχήμα 495: Διακυμάνσεις (α) ελάχιστης (Min), (β) μέσης (Avg) και (γ) μέγιστης (Max) έντασης ηλεκτρικού πεδίου (E-Field) ως συνάρτηση της συχνότητας (Frequency) του πεδίου για μετρήσεις με οργανολογία τύπου NARDA SMR-3006 σε συσκευή κινητής τηλεφωνίας τύπου SAMSUNG GT-S5310 και παρόχου VODAFONE σε απόσταση 1m από την κεραία της συσκευής κατά τη διάρκεια τερματισμού της κλήσης χωρίς ενεργοποίηση δεδομένων κινητής τηλεφωνίας.



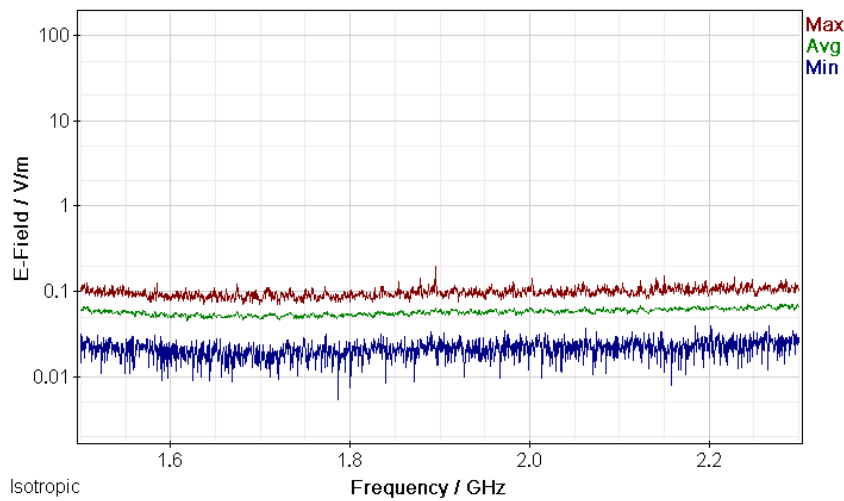
Σχήμα 496: Διακυμάνσεις (α) ελάχιστης (Min), (β) μέσης (Avg) και (γ) μέγιστης (Max) έντασης ηλεκτρικού πεδίου (E-Field) ως συνάρτηση της συχνότητας (Frequency) του πεδίου για μετρήσεις με οργανολογία τύπου NARDA SMR-3006 σε συσκευή κινητής τηλεφωνίας τύπου SAMSUNG GT-S5310 και παρόχου VODAFONE σε απόσταση 1m από την κεραία της συσκευής κατά τη διάρκεια αναμονής χρήσης της συσκευής με ενεργοποίηση των δεδομένων κινητής τηλεφωνίας χωρίς πρόσβαση στον παγόςμιο ιστό.



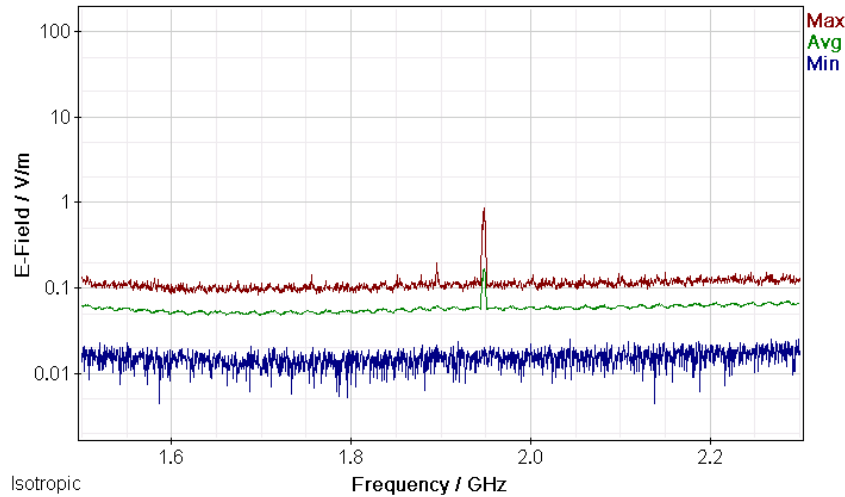
Σχήμα 497: Διακυμάνσεις (α) ελάχιστης (Min), (β) μέσης (Avg) και (γ) μέγιστης (Max) έντασης ηλεκτρικού πεδίου (E-Field) ως συνάρτηση της συχνότητας (Frequency) του πεδίου για μετρήσεις με οργανολογία τύπου NARDA SMR-3006 σε συσκευή κινητής τηλεφωνίας τύπου SAMSUNG GT-S5310 και παρόχου VODAFONE σε απόσταση 1m από την κεραία της συσκευής κατά τη διάρκεια αναμονής χρήσης της συσκευής με ενεργοποίηση των δεδομένων κινητής τηλεφωνίας και αναζήτησης δεδομένων στον παγόςμιο ιστό.

ΠΑΡΑΡΤΗΜΑ 1

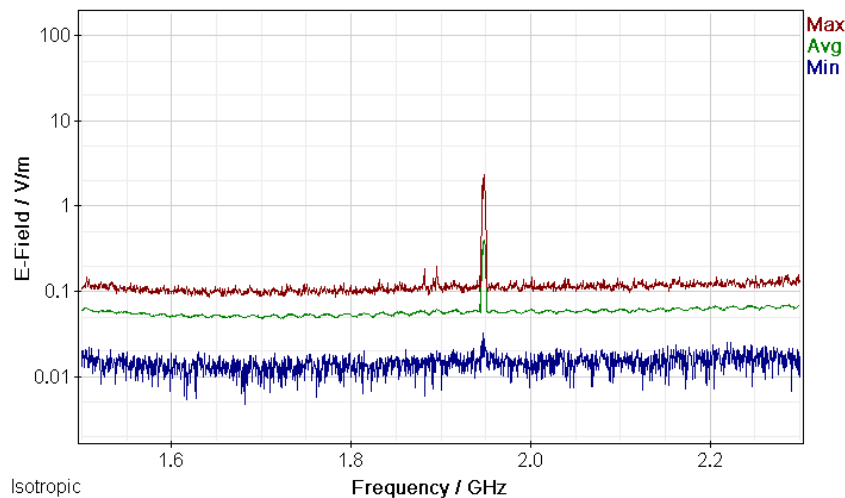
Μετρήσεις διακυμάνσεων (α) ελάχιστης (Min), (β) μέσης (Avg) και (γ) μέγιστης (Max) έντασης ηλεκτρικού πεδίου (E-Field) ως συνάρτηση της συχνότητας (Frequency) του πεδίου για μετρήσεις με οργανολογία τύπου NARDA SMR-3006 σε συσκευές κινητής τηλεφωνίας διαφόρων τύπων και παρόχων σε απόσταση 0 m από την κεραία των συσκευών.



Σχήμα 498: Διακυμάνσεις (α) ελάχιστης (Min), (β) μέσης (Avg) και (γ) μέγιστης (Max) έντασης ηλεκτρικού πεδίου (E-Field) ως συνάρτηση της συχνότητας (Frequency) του πεδίου για μετρήσεις με οργανολογία τύπου NARDA SMR-3006 σε συσκευή κινητής τηλεφωνίας τύπου SAMSUNG GT-S5310 και παρόχου WIND σε απόσταση 0m από την κεραία της συσκευής κατά τη διάρκεια αναμονής χρήσης της συσκευής και χωρίς την ενεργοποίηση δεδομένων κινητής τηλεφωνίας.

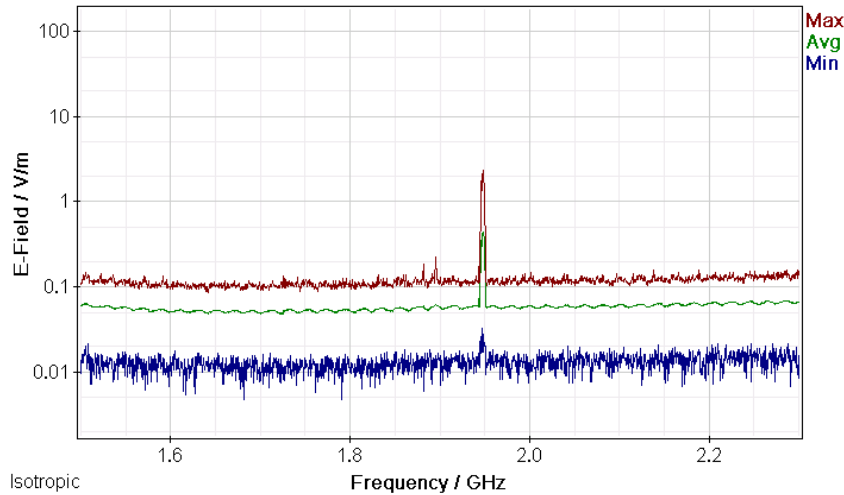


Σχήμα 499: Διακυμάνσεις (α) ελάχιστης (Min), (β) μέσης (Avg) και (γ) μέγιστης (Max) έντασης ηλεκτρικού πεδίου (E-Field) ως συνάρτηση της συχνότητας (Frequency) του πεδίου για μετρήσεις με οργανολογία τύπου NARDA SMR-3006 σε συσκευή κινητής τηλεφωνίας τύπου SAMSUNG GT-S5310 και παρόχου WIND σε απόσταση 0m από την κεραία της συσκευής κατά τη διάρκεια κλήσης χωρίς συνομιλία και ενεργοποίηση δεδομένων κινητής τηλεφωνίας .

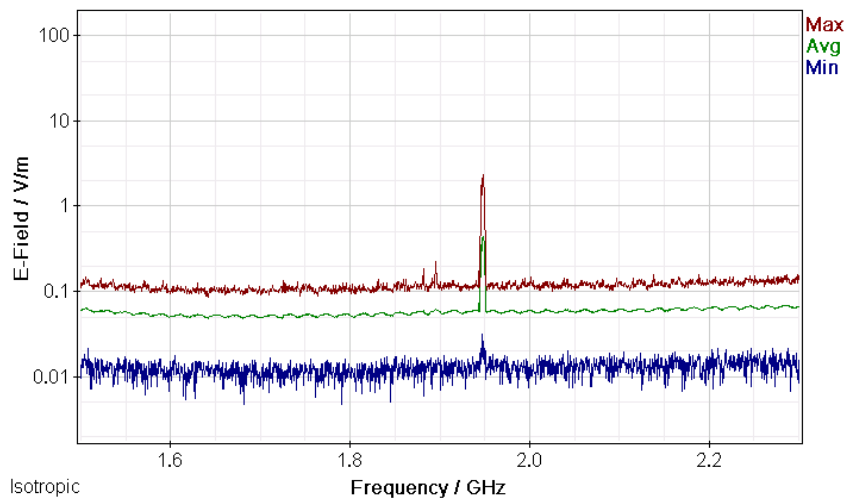


Σχήμα 500: Διακυμάνσεις (α) ελάχιστης (Min), (β) μέσης (Avg) και (γ) μέγιστης (Max) έντασης ηλεκτρικού πεδίου (E-Field) ως συνάρτηση της συχνότητας (Frequency) του πεδίου για μετρήσεις με οργανολογία τύπου NARDA SMR-3006 σε συσκευή κινητής τηλεφωνίας τύπου SAMSUNG GT-S5310 και παρόχου WIND σε απόσταση 0m από την κεραία της συσκευής κατά τη διάρκεια συνομιλίας δυόμιση λεπτών χωρίς ενεργοποίηση δεδομένων κινητής τηλεφωνίας.

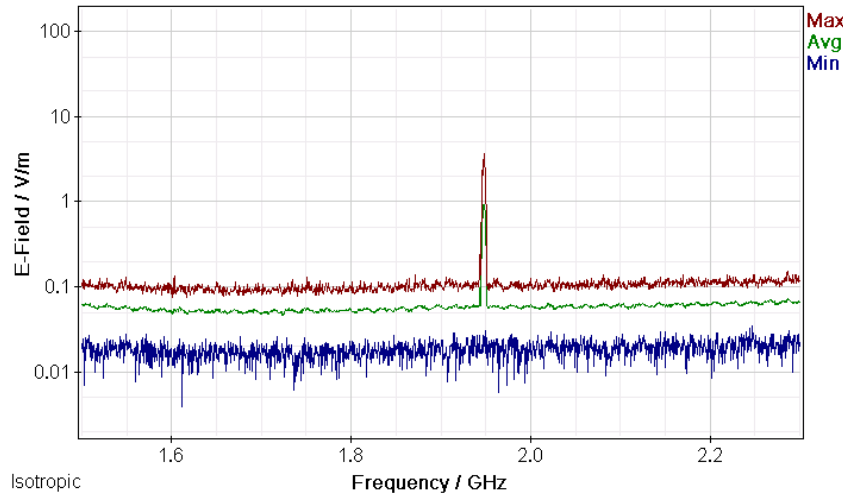
ΜΕΛΕΤΗ Η/Μ ΔΙΑΤΑΡΑΧΩΝ ΚΙΝΗΤΗΣ ΤΗΛΕΦΩΝΙΑΣ



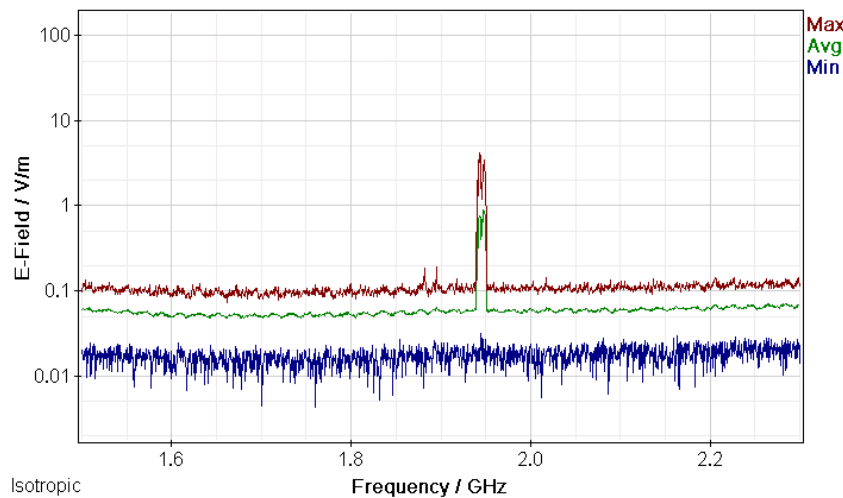
Σχήμα 501: Διακυμάνσεις (α) ελάχιστης (Min), (β) μέσης (Avg) και (γ) μέγιστης (Max) έντασης ηλεκτρικού πεδίου (E-Field) ως συνάρτηση της συχνότητας (Frequency) του πεδίου για μετρήσεις με οργάνολογία τύπου NARDA SMR-3006 σε συσκευή κινητής τηλεφωνίας τύπου SAMSUNG GT-S5310 και παρόχου WIND σε απόσταση 0m από την κεραία της συσκευής κατά τη διάρκεια πεντάλεπτης συνομιλίας χωρίς ενεργοποίηση δεδομένων κινητής τηλεφωνίας.



Σχήμα 502: Διακυμάνσεις (α) ελάχιστης (Min), (β) μέσης (Avg) και (γ) μέγιστης (Max) έντασης ηλεκτρικού πεδίου (E-Field) ως συνάρτηση της συχνότητας (Frequency) του πεδίου για μετρήσεις με οργάνολογία τύπου NARDA SMR-3006 σε συσκευή κινητής τηλεφωνίας τύπου SAMSUNG GT-S5310 και παρόχου WIND σε απόσταση 0m από την κεραία της συσκευής κατά τη διάρκεια τερματισμού της κλήσης χωρίς ενεργοποίηση δεδομένων κινητής τηλεφωνίας.



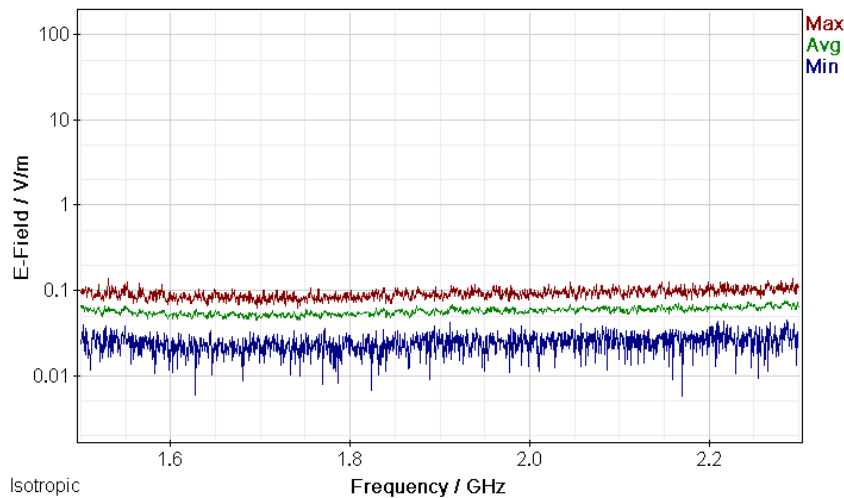
Σχήμα 503: Διακυμάνσεις (α) ελάχιστης (Min), (β) μέσης (Avg) και (γ) μέγιστης (Max) έντασης ηλεκτρικού πεδίου (E-Field) ως συνάρτηση της συχνότητας (Frequency) του πεδίου για μετρήσεις με οργανολογία τύπου NARDA SMR-3006 σε συσκευή κινητής τηλεφωνίας τύπου SAMSUNG GT-S5310 και παρόχου WIND σε απόσταση 0m από την κεραία της συσκευής κατά τη διάρκεια αναμονής χρήσης της συσκευής με ενεργοποίηση των δεδομένων κινητής τηλεφωνίας χωρίς πρόσβαση στον παγόσμιο ιστό.



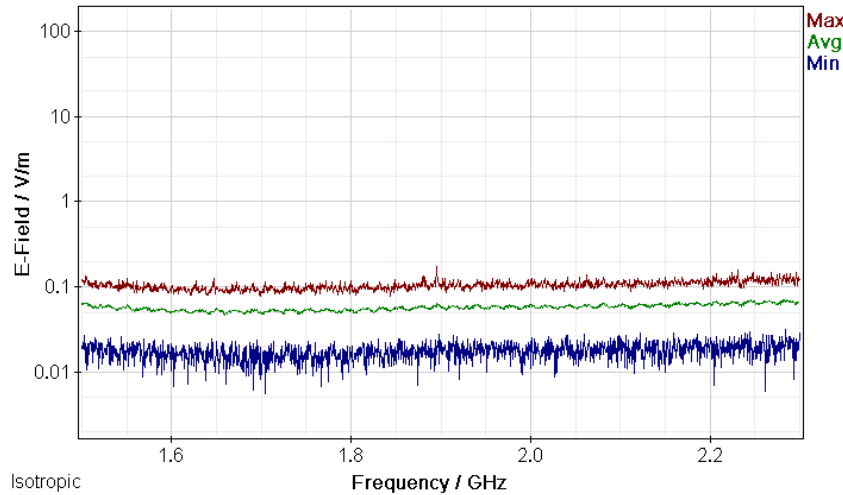
Σχήμα 504: Διακυμάνσεις (α) ελάχιστης (Min), (β) μέσης (Avg) και (γ) μέγιστης (Max) έντασης ηλεκτρικού πεδίου (E-Field) ως συνάρτηση της συχνότητας (Frequency) του πεδίου για μετρήσεις με οργανολογία τύπου NARDA SMR-3006 σε συσκευή κινητής τηλεφωνίας τύπου SAMSUNG GT-S5310 και παρόχου WIND σε απόσταση 0m από την κεραία της συσκευής κατά τη διάρκεια αναμονής χρήσης της συσκευής με ενεργοποίηση των δεδομένων κινητής τηλεφωνίας και αναζήτησης δεδομένων στον παγόσμιο ιστό.

ΠΑΡΑΡΤΗΜΑ 2

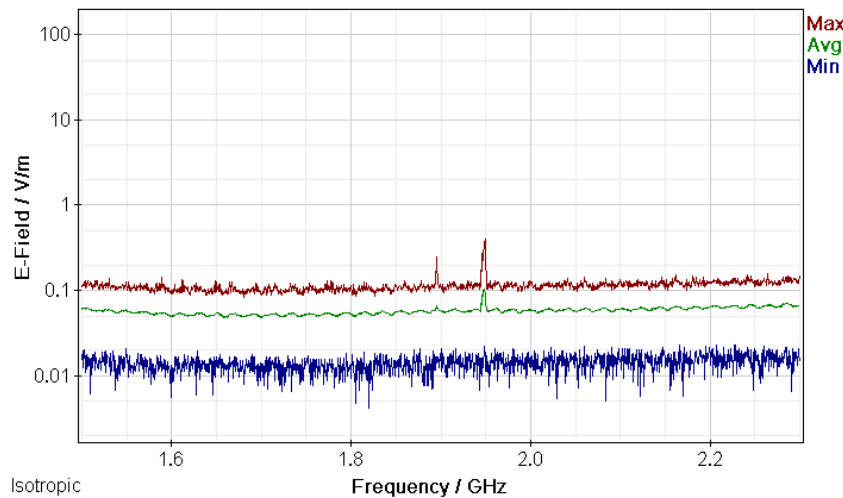
Μετρήσεις διακυμάνσεων (α) ελάχιστης (Min), (β) μέσης (Avg) και (γ) μέγιστης (Max) έντασης ηλεκτρικού πεδίου (E-Field) ως συνάρτηση της συχνότητας (Frequency) του πεδίου για μετρήσεις με οργανολογία τύπου NARDA SMR-3006 σε συσκευές κινητής τηλεφωνίας διαφόρων τύπων και παρόχων σε απόσταση 1 m από την κεραία των συσκευών.



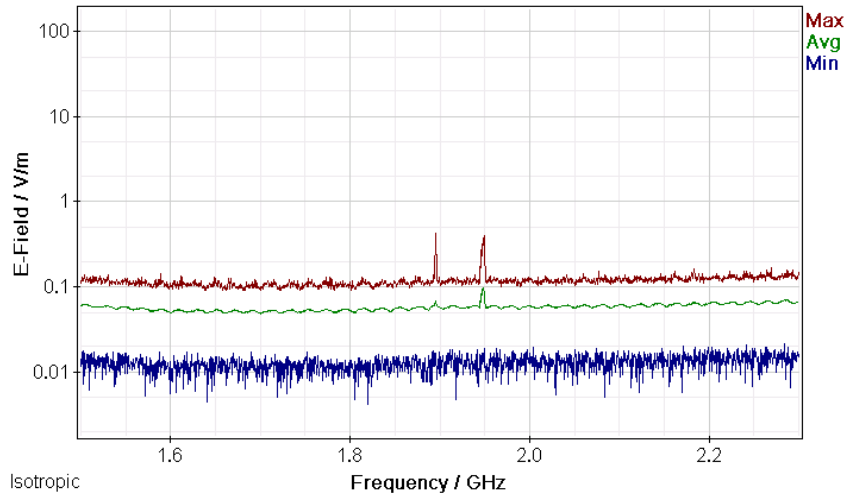
Σχήμα 505: Διακυμάνσεις (α) ελάχιστης (Min), (β) μέσης (Avg) και (γ) μέγιστης (Max) έντασης ηλεκτρικού πεδίου (E-Field) ως συνάρτηση της συχνότητας (Frequency) του πεδίου για μετρήσεις με οργανολογία τύπου NARDA SMR-3006 σε συσκευή κινητής τηλεφωνίας τύπου SAMSUNG GT-S5310 και παρόχου WIND σε απόσταση 1m από την κεραία της συσκευής κατά τη διάρκεια αναμονής χρήσης της συσκευής και χωρίς την ενεργοποίηση δεδομένων κινητής τηλεφωνίας.



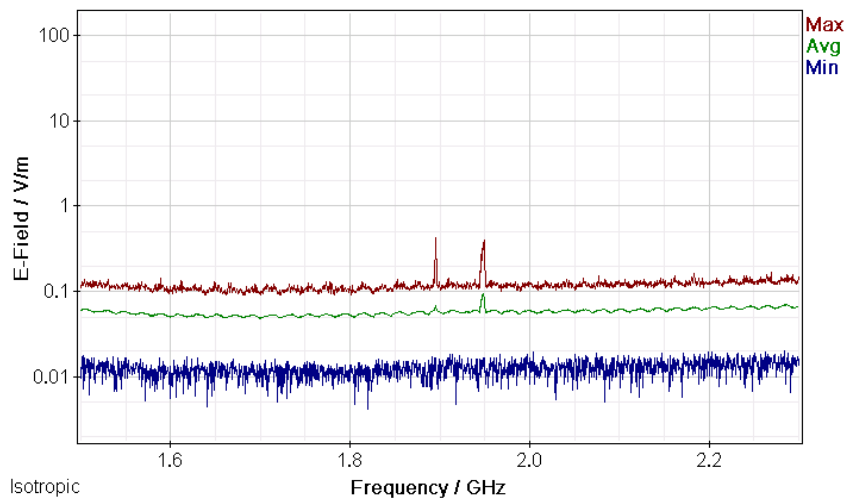
Σχήμα 506: Διακυμάνσεις (α) ελάχιστης (Min), (β) μέσης (Avg) και (γ) μέγιστης (Max) έντασης ηλεκτρικού πεδίου (E-Field) ως συνάρτηση της συχνότητας (Frequency) του πεδίου για μετρήσεις με οργάνολογία τύπου NARDA SMR-3006 σε συσκευή κινητής τηλεφωνίας τύπου SAMSUNG GT-S5310 και παρόχου WIND σε απόσταση 1m από την κεραία της συσκευής κατά τη διάρκεια κλήσης χωρίς συνομιλία και ενεργοποίηση δεδομένων κινητής τηλεφωνίας .



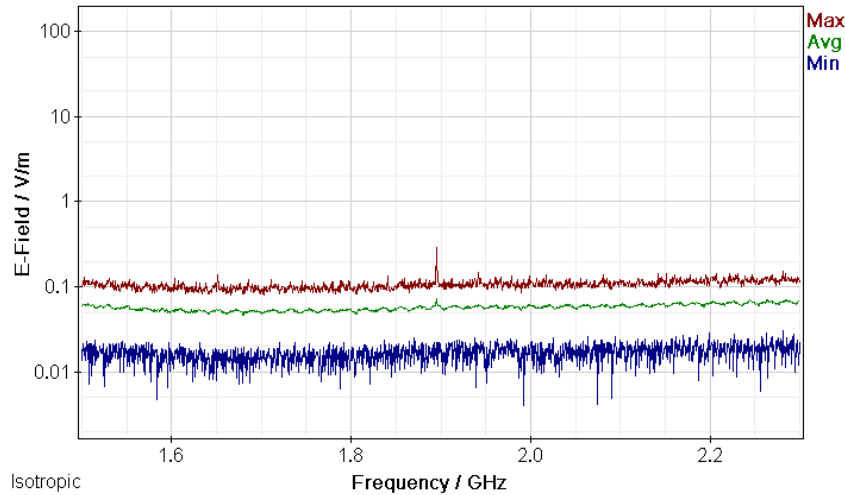
Σχήμα 507: Διακυμάνσεις (α) ελάχιστης (Min), (β) μέσης (Avg) και (γ) μέγιστης (Max) έντασης ηλεκτρικού πεδίου (E-Field) ως συνάρτηση της συχνότητας (Frequency) του πεδίου για μετρήσεις με οργάνολογία τύπου NARDA SMR-3006 σε συσκευή κινητής τηλεφωνίας τύπου SAMSUNG GT-S5310 και παρόχου WIND σε απόσταση 1m από την κεραία της συσκευής κατά τη διάρκεια συνομιλίας δυόμιση λεπτών χωρίς ενεργοποίηση δεδομένων κινητής τηλεφωνίας.



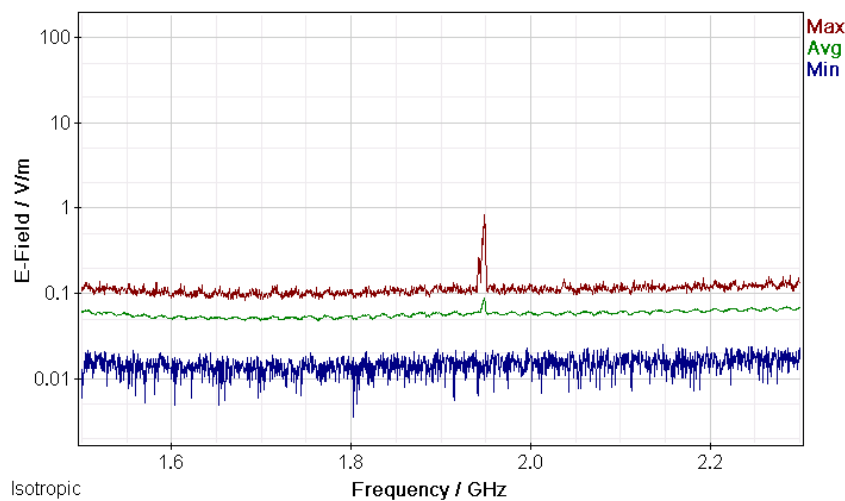
Σχήμα 508: Διακυμάνσεις (α) ελάχιστης (Min), (β) μέσης (Avg) και (γ) μέγιστης (Max) έντασης ηλεκτρικού πεδίου (E-Field) ως συνάρτηση της συχνότητας (Frequency) του πεδίου για μετρήσεις με οργανολογία τύπου NARDA SMR-3006 σε συσκευή κινητής τηλεφωνίας τύπου SAMSUNG GT-S5310 και παρόχου WIND σε απόσταση 1m από την κεραία της συσκευής κατά τη διάρκεια πεντάλεπτης συνομιλίας χωρίς ενεργοποίηση δεδομένων κινητής τηλεφωνίας.



Σχήμα 509: Διακυμάνσεις (α) ελάχιστης (Min), (β) μέσης (Avg) και (γ) μέγιστης (Max) έντασης ηλεκτρικού πεδίου (E-Field) ως συνάρτηση της συχνότητας (Frequency) του πεδίου για μετρήσεις με οργανολογία τύπου NARDA SMR-3006 σε συσκευή κινητής τηλεφωνίας τύπου SAMSUNG GT-S5310 και παρόχου WIND σε απόσταση 1m από την κεραία της συσκευής κατά τη διάρκεια τερματισμού της κλήσης χωρίς ενεργοποίηση δεδομένων κινητής τηλεφωνίας.



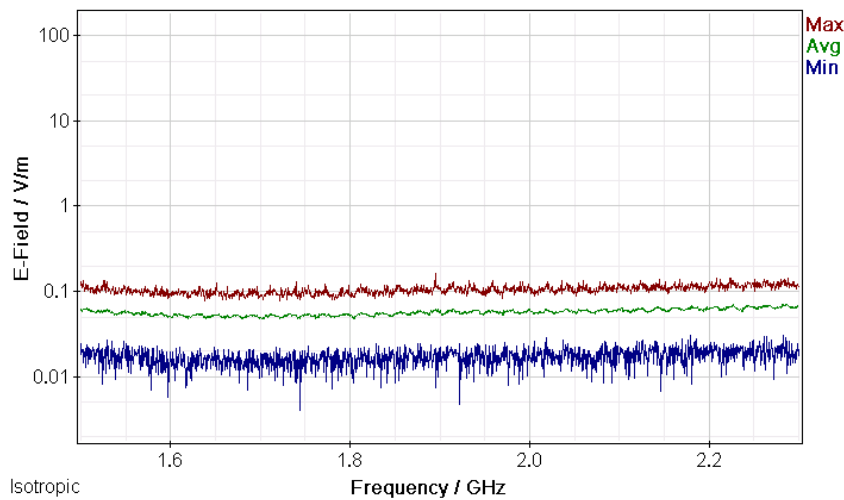
Σχήμα 510: Διακυμάνσεις (α) ελάχιστης (Min), (β) μέσης (Avg) και (γ) μέγιστης (Max) έντασης ηλεκτρικού πεδίου (E-Field) ως συνάρτηση της συχνότητας (Frequency) του πεδίου για μετρήσεις με οργανολογία τύπου NARDA SMR-3006 σε συσκευή κινητής τηλεφωνίας τύπου SAMSUNG GT-S5310 και παρόχου WIND σε απόσταση 1m από την κεραία της συσκευής κατά τη διάρκεια αναμονής χρήσης της συσκευής με ενεργοποίηση των δεδομένων κινητής τηλεφωνίας χωρίς πρόσβαση στον παγόσμιο ιστό.



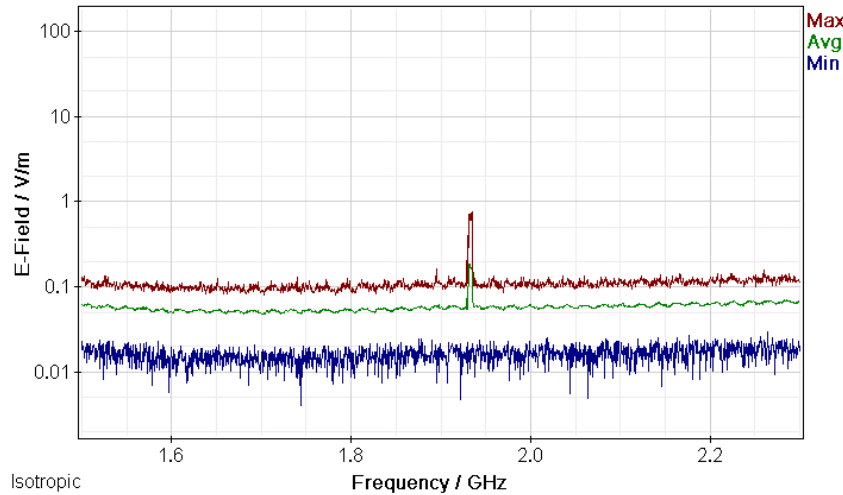
Σχήμα 511: Διακυμάνσεις (α) ελάχιστης (Min), (β) μέσης (Avg) και (γ) μέγιστης (Max) έντασης ηλεκτρικού πεδίου (E-Field) ως συνάρτηση της συχνότητας (Frequency) του πεδίου για μετρήσεις με οργανολογία τύπου NARDA SMR-3006 σε συσκευή κινητής τηλεφωνίας τύπου SAMSUNG GT-S5310 και παρόχου WIND σε απόσταση 1m από την κεραία της συσκευής κατά τη διάρκεια αναμονής χρήσης της συσκευής με ενεργοποίηση των δεδομένων κινητής τηλεφωνίας και αναζήτησης δεδομένων στον παγόσμιο ιστό.

ΠΑΡΑΡΤΗΜΑ 1

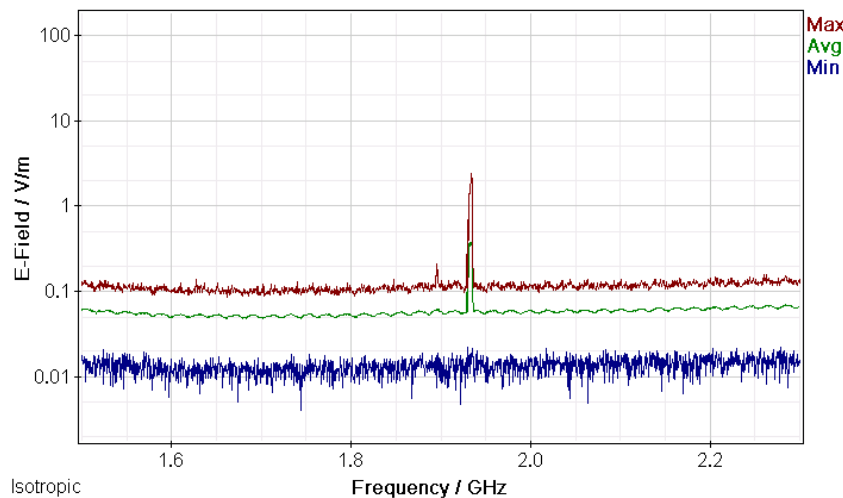
Μετρήσεις διακυμάνσεων (α) ελάχιστης (Min), (β) μέσης (Avg) και (γ) μέγιστης (Max) έντασης ηλεκτρικού πεδίου (E-Field) ως συνάρτηση της συχνότητας (Frequency) του πεδίου για μετρήσεις με οργάνολογία τύπου NARDA SMR-3006 σε συσκευές κινητής τηλεφωνίας διαφόρων τύπων και παρόχων σε απόσταση 0 m από την κεραία των συσκευών.



Σχήμα 512: Διακυμάνσεις (α) ελάχιστης (Min), (β) μέσης (Avg) και (γ) μέγιστης (Max) έντασης ηλεκτρικού πεδίου (E-Field) ως συνάρτηση της συχνότητας (Frequency) του πεδίου για μετρήσεις με οργάνολογία τύπου NARDA SMR-3006 σε συσκευή κινητής τηλεφωνίας τύπου SAMSUNG GT-P3100 και παρόχου VODAFONE σε απόσταση 0m από την κεραία της συσκευής κατά τη διάρκεια αναμονής χρήσης της συσκευής και χωρίς την ενεργοποίηση δεδομένων κινητής τηλεφωνίας.

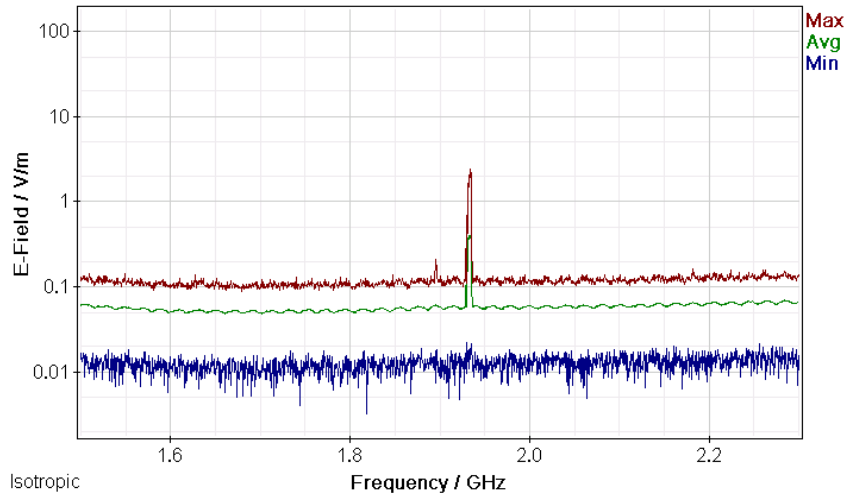


Σχήμα 513: Διακυμάνσεις (α) ελάχιστης (Min), (β) μέσης (Avg) και (γ) μέγιστης (Max) έντασης ηλεκτρικού πεδίου (E-Field) ως συνάρτηση της συχνότητας (Frequency) του πεδίου για μετρήσεις με οργανολογία τύπου NARDA SMR-3006 σε συσκευή κινητής τηλεφωνίας τύπου SAMSUNG GT-P3100 και παρόχου VODAFONE σε απόσταση 0m από την κεραία της συσκευής κατά τη διάρκεια κλήσης χωρίς συνομιλία και ενεργοποίηση δεδομένων κινητής τηλεφωνίας .

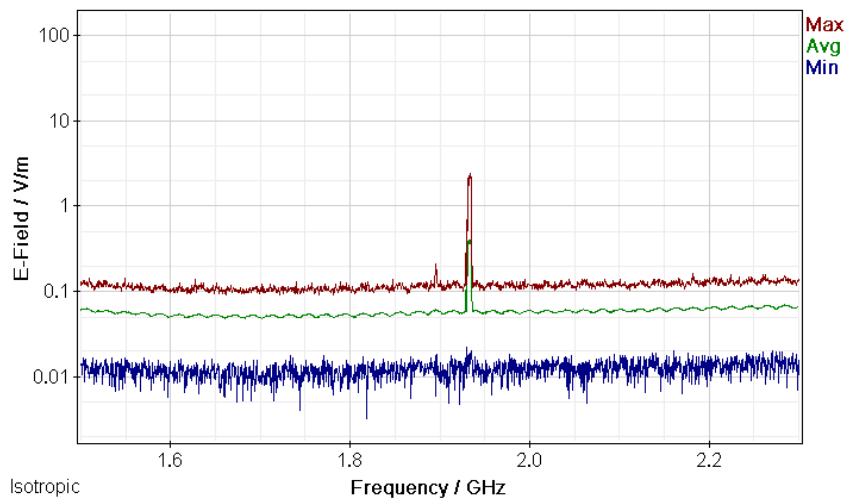


Σχήμα 514: Διακυμάνσεις (α) ελάχιστης (Min), (β) μέσης (Avg) και (γ) μέγιστης (Max) έντασης ηλεκτρικού πεδίου (E-Field) ως συνάρτηση της συχνότητας (Frequency) του πεδίου για μετρήσεις με οργανολογία τύπου NARDA SMR-3006 σε συσκευή κινητής τηλεφωνίας τύπου SAMSUNG GT-P3100 και παρόχου VODAFONE σε απόσταση 0m από την κεραία της συσκευής κατά τη διάρκεια συνομιλίας δυόμιση λεπτών χωρίς ενεργοποίηση δεδομένων κινητής τηλεφωνίας.

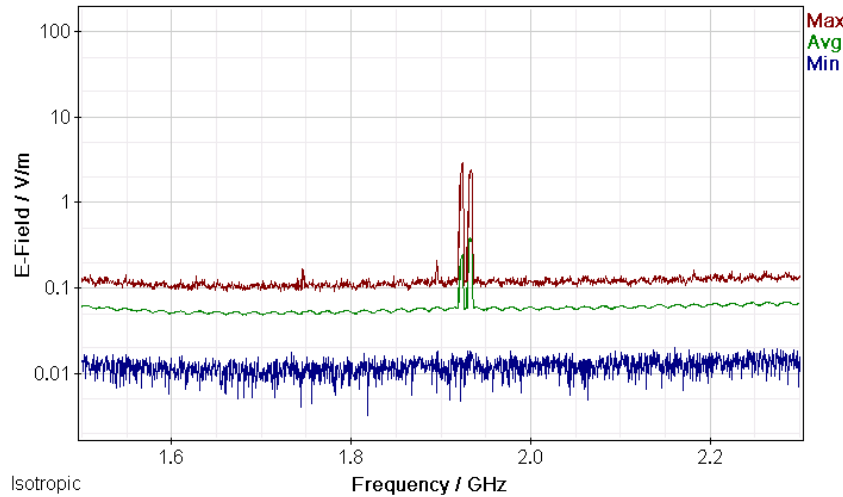
ΜΕΛΕΤΗ Η/Μ ΔΙΑΤΑΡΑΧΩΝ ΚΙΝΗΤΗΣ ΤΗΛΕΦΩΝΙΑΣ



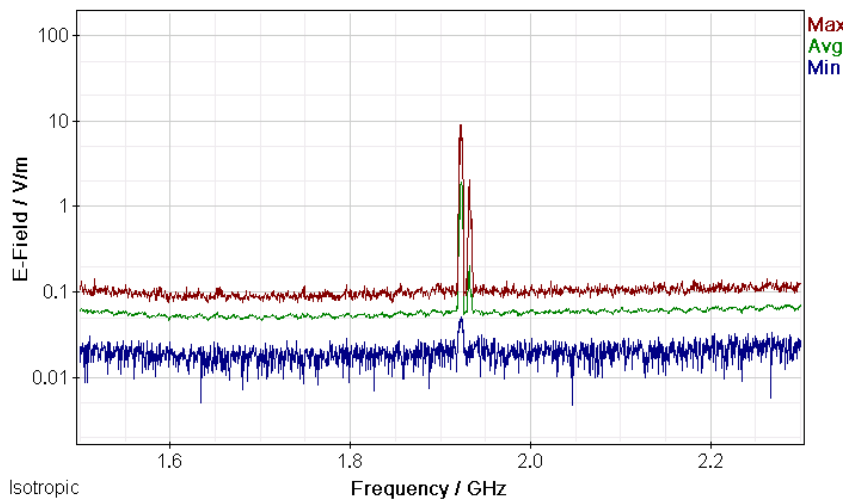
Σχήμα 515: Διακυμάνσεις (α) ελάχιστης (Min), (β) μέσης (Avg) και (γ) μέγιστης (Max) έντασης ηλεκτρικού πεδίου (E-Field) ως συνάρτηση της συχνότητας (Frequency) του πεδίου για μετρήσεις με οργάνολογία τύπου NARDA SMR-3006 σε συσκευή κινητής τηλεφωνίας τύπου SAMSUNG GT-P3100 και παρόχου VODAFONE σε απόσταση 0m από την κεραία της συσκευής κατά τη διάρκεια πεντάλεπτης συνομιλίας χωρίς ενεργοποίηση δεδομένων κινητής τηλεφωνίας.



Σχήμα 516: Διακυμάνσεις (α) ελάχιστης (Min), (β) μέσης (Avg) και (γ) μέγιστης (Max) έντασης ηλεκτρικού πεδίου (E-Field) ως συνάρτηση της συχνότητας (Frequency) του πεδίου για μετρήσεις με οργάνολογία τύπου NARDA SMR-3006 σε συσκευή κινητής τηλεφωνίας τύπου SAMSUNG GT-P3100 και παρόχου VODAFONE σε απόσταση 0m από την κεραία της συσκευής κατά τη διάρκεια τερματισμού της κλήσης χωρίς ενεργοποίηση δεδομένων κινητής τηλεφωνίας.



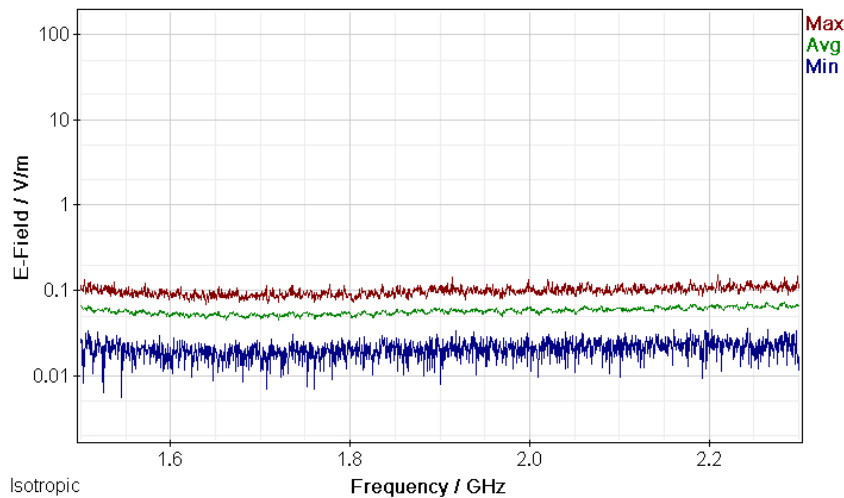
Σχήμα 517: Διακυμάνσεις (α) ελάχιστης (Min), (β) μέσης (Avg) και (γ) μέγιστης (Max) έντασης ηλεκτρικού πεδίου (E-Field) ως συνάρτηση της συχνότητας (Frequency) του πεδίου για μετρήσεις με οργανολογία τύπου NARDA SMR-3006 σε συσκευή κινητής τηλεφωνίας τύπου SAMSUNG GT-P3100 και παρόχου VODAFONE σε απόσταση 0m από την κεραία της συσκευής κατά τη διάρκεια αναμονής χρήσης της συσκευής με ενεργοποίηση των δεδομένων κινητής τηλεφωνίας χωρίς πρόσβαση στον παγόςμιο ιστό.



Σχήμα 518: Διακυμάνσεις (α) ελάχιστης (Min), (β) μέσης (Avg) και (γ) μέγιστης (Max) έντασης ηλεκτρικού πεδίου (E-Field) ως συνάρτηση της συχνότητας (Frequency) του πεδίου για μετρήσεις με οργανολογία τύπου NARDA SMR-3006 σε συσκευή κινητής τηλεφωνίας τύπου SAMSUNG GT-P3100 και παρόχου VODAFONE σε απόσταση 0m από την κεραία της συσκευής κατά τη διάρκεια αναμονής χρήσης της συσκευής με ενεργοποίηση των δεδομένων κινητής τηλεφωνίας και αναζήτησης δεδομένων στον παγόςμιο ιστό.

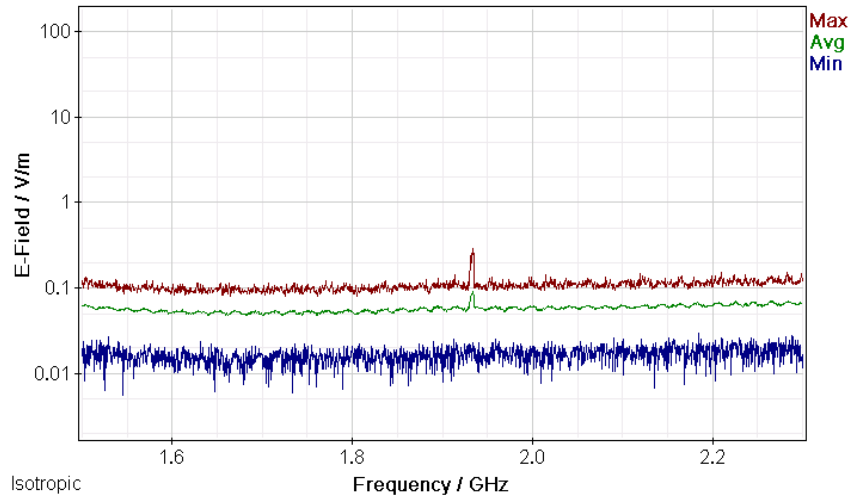
ΠΑΡΑΡΤΗΜΑ 2

Μετρήσεις διακυμάνσεων (α) ελάχιστης (Min), (β) μέσης (Avg) και (γ) μέγιστης (Max) έντασης ηλεκτρικού πεδίου (E-Field) ως συνάρτηση της συχνότητας (Frequency) του πεδίου για μετρήσεις με οργανολογία τύπου NARDA SMR-3006 σε συσκευές κινητής τηλεφωνίας διαφόρων τύπων και παρόχων σε απόσταση 1 m από την κεραία των συσκευών.

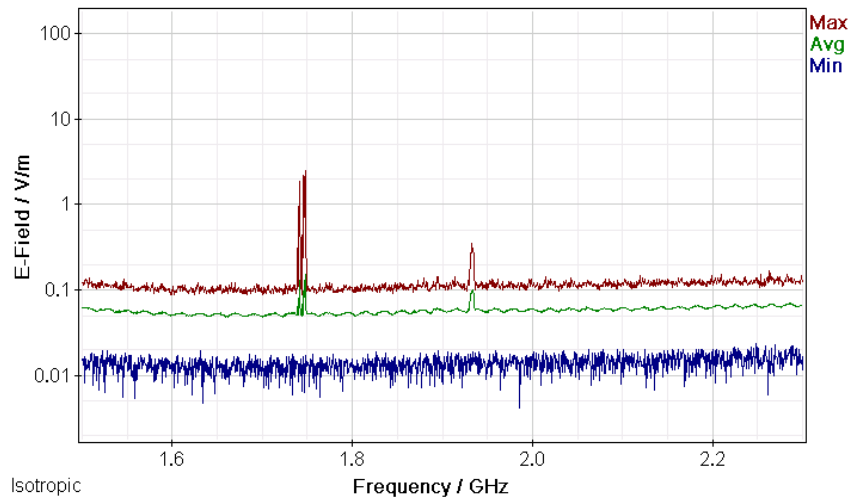


Σχήμα 519: Διακυμάνσεις (α) ελάχιστης (Min), (β) μέσης (Avg) και (γ) μέγιστης (Max) έντασης ηλεκτρικού πεδίου (E-Field) ως συνάρτηση της συχνότητας (Frequency) του πεδίου για μετρήσεις με οργανολογία τύπου NARDA SMR-3006 σε συσκευή κινητής τηλεφωνίας τύπου SAMSUNG GT-P3100 και παρόχου VODAFONE σε απόσταση 1m από την κεραία της συσκευής κατά τη διάρκεια αναμονής χρήσης της συσκευής και χωρίς την ενεργοποίηση δεδομένων κινητής τηλεφωνίας.

ΜΕΛΕΤΗ Η/Μ ΔΙΑΤΑΡΑΧΩΝ ΚΙΝΗΤΗΣ ΤΗΛΕΦΩΝΙΑΣ

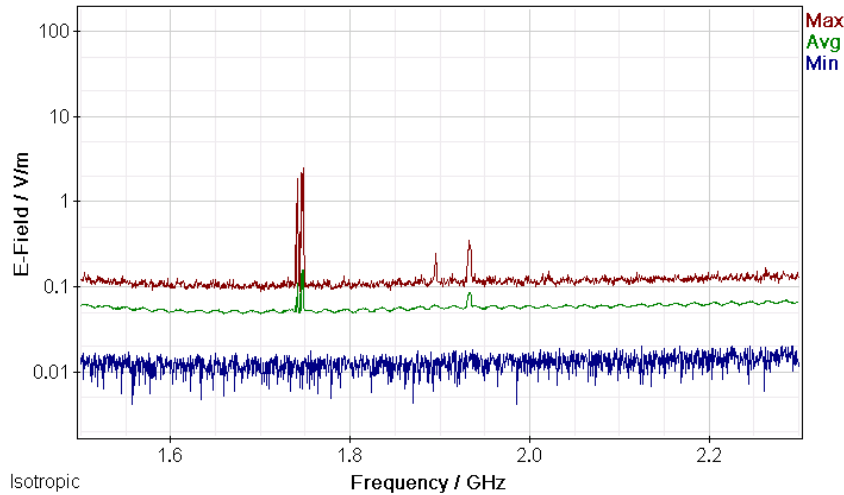


Σχήμα 520: Διακυμάνσεις (α) ελάχιστης (Min), (β) μέσης (Avg) και (γ) μέγιστης (Max) έντασης ηλεκτρικού πεδίου (E-Field) ως συνάρτηση της συχνότητας (Frequency) του πεδίου για μετρήσεις με οργανολογία τύπου NARDA SMR-3006 σε συσκευή κινητής τηλεφωνίας τύπου SAMSUNG GT-P3100 και παρόχου VODAFONE σε απόσταση 1m από την κεραία της συσκευής κατά τη διάρκεια κλήσης χωρίς συνομιλία και ενεργοποίηση δεδομένων κινητής τηλεφωνίας .

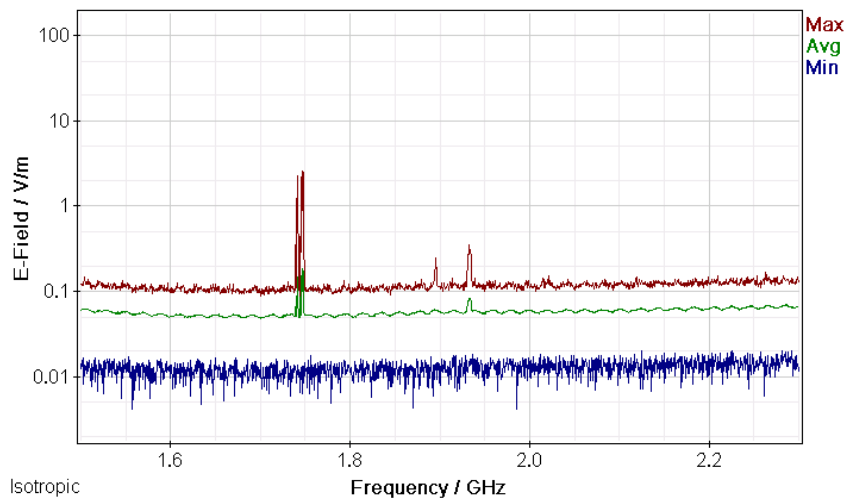


Σχήμα 521: Διακυμάνσεις (α) ελάχιστης (Min), (β) μέσης (Avg) και (γ) μέγιστης (Max) έντασης ηλεκτρικού πεδίου (E-Field) ως συνάρτηση της συχνότητας (Frequency) του πεδίου για μετρήσεις με οργανολογία τύπου NARDA SMR-3006 σε συσκευή κινητής τηλεφωνίας τύπου SAMSUNG GT-P3100 και παρόχου VODAFONE σε απόσταση 1m από την κεραία της συσκευής κατά τη διάρκεια συνομιλίας δυόμιση λεπτών χωρίς ενεργοποίηση δεδομένων κινητής τηλεφωνίας.

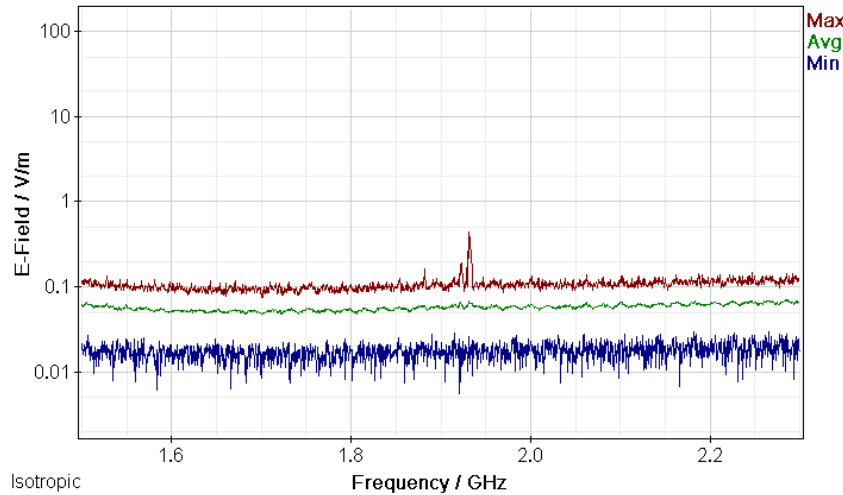
ΜΕΛΕΤΗ Η/Μ ΔΙΑΤΑΡΑΧΩΝ ΚΙΝΗΤΗΣ ΤΗΛΕΦΩΝΙΑΣ



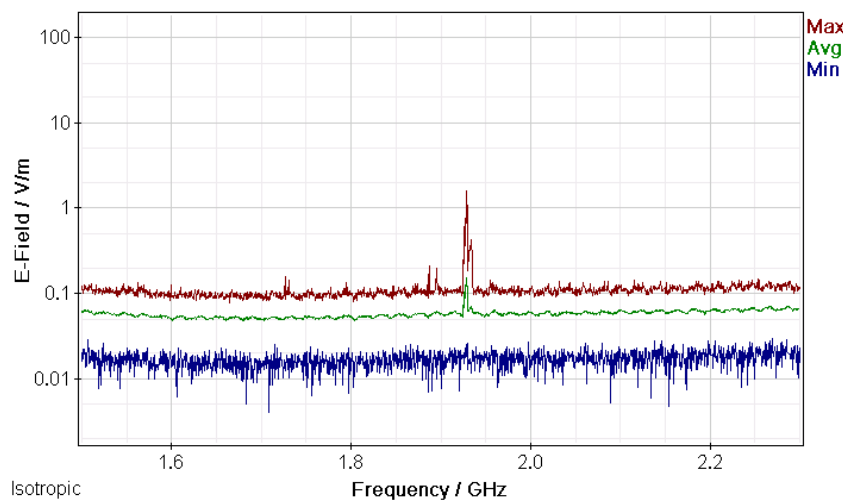
Σχήμα 522: Διακυμάνσεις (α) ελάχιστης (Min), (β) μέσης (Avg) και (γ) μέγιστης (Max) έντασης ηλεκτρικού πεδίου (E-Field) ως συνάρτηση της συχνότητας (Frequency) του πεδίου για μετρήσεις με οργανολογία τύπου NARDA SMR-3006 σε συσκευή κινητής τηλεφωνίας τύπου SAMSUNG GT-P3100 και παρόχου VODAFONE σε απόσταση 1m από την κεραία της συσκευής κατά τη διάρκεια πεντάλεπτης συνομιλίας χωρίς ενεργοποίηση δεδομένων κινητής τηλεφωνίας.



Σχήμα 523: Διακυμάνσεις (α) ελάχιστης (Min), (β) μέσης (Avg) και (γ) μέγιστης (Max) έντασης ηλεκτρικού πεδίου (E-Field) ως συνάρτηση της συχνότητας (Frequency) του πεδίου για μετρήσεις με οργανολογία τύπου NARDA SMR-3006 σε συσκευή κινητής τηλεφωνίας τύπου SAMSUNG GT-P3100 και παρόχου VODAFONE σε απόσταση 1m από την κεραία της συσκευής κατά τη διάρκεια τερματισμού της κλήσης χωρίς ενεργοποίηση δεδομένων κινητής τηλεφωνίας.



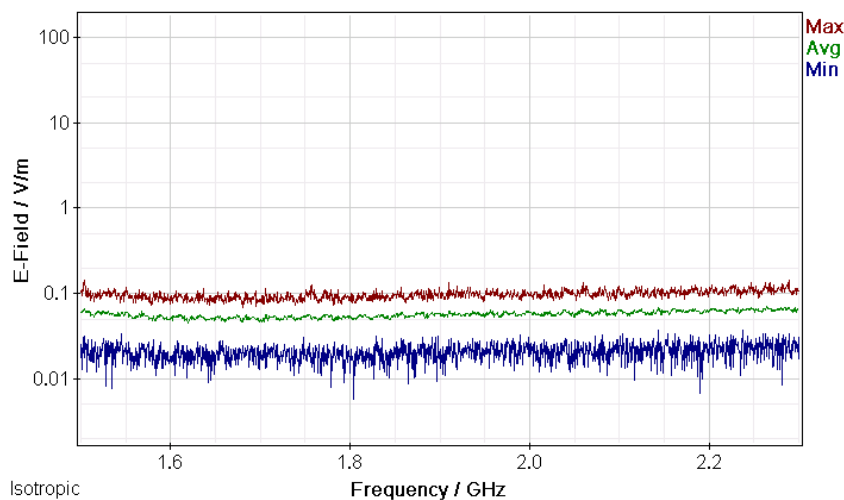
Σχήμα 524: Διακυμάνσεις (α) ελάχιστης (Min), (β) μέσης (Avg) και (γ) μέγιστης (Max) έντασης ηλεκτρικού πεδίου (E-Field) ως συνάρτηση της συχνότητας (Frequency) του πεδίου για μετρήσεις με οργανολογία τύπου NARDA SMR-3006 σε συσκευή κινητής τηλεφωνίας τύπου SAMSUNG GT-P3100 και παρόχου VODAFONE σε απόσταση 1m από την κεραία της συσκευής κατά τη διάρκεια αναμονής χρήσης της συσκευής με ενεργοποίηση των δεδομένων κινητής τηλεφωνίας χωρίς πρόσβαση στον παγόςμιο ιστό.



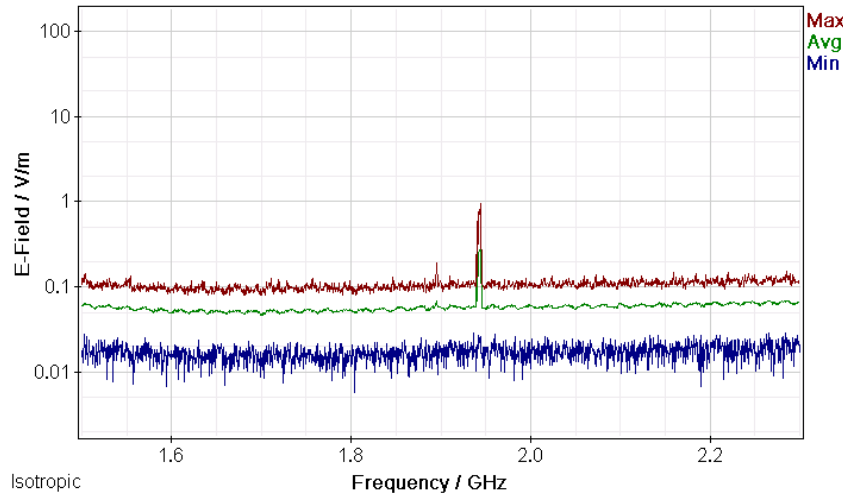
Σχήμα 525: Διακυμάνσεις (α) ελάχιστης (Min), (β) μέσης (Avg) και (γ) μέγιστης (Max) έντασης ηλεκτρικού πεδίου (E-Field) ως συνάρτηση της συχνότητας (Frequency) του πεδίου για μετρήσεις με οργανολογία τύπου NARDA SMR-3006 σε συσκευή κινητής τηλεφωνίας τύπου SAMSUNG GT-P3100 και παρόχου VODAFONE σε απόσταση 1m από την κεραία της συσκευής κατά τη διάρκεια αναμονής χρήσης της συσκευής με ενεργοποίηση των δεδομένων κινητής τηλεφωνίας και αναζήτησης δεδομένων στον παγόςμιο ιστό.

ΠΑΡΑΡΤΗΜΑ 1

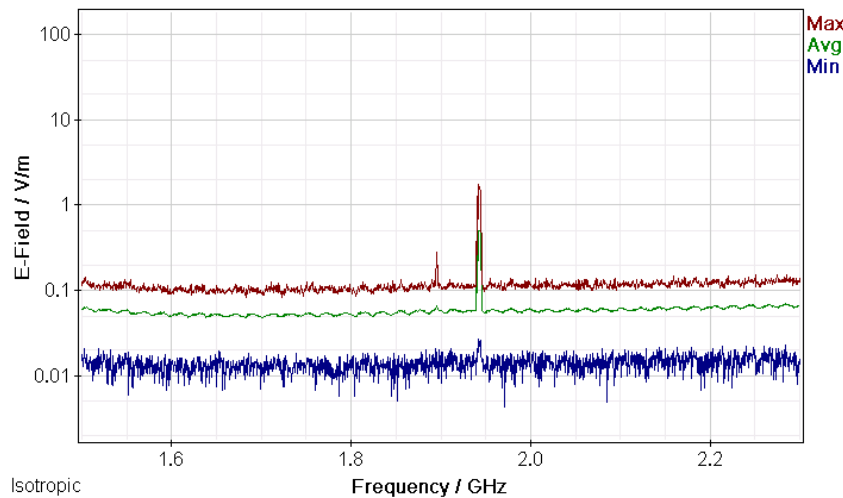
Μετρήσεις διακυμάνσεων (α) ελάχιστης (Min), (β) μέσης (Avg) και (γ) μέγιστης (Max) έντασης ηλεκτρικού πεδίου (E-Field) ως συνάρτηση της συχνότητας (Frequency) του πεδίου για μετρήσεις με οργανολογία τύπου NARDA SMR-3006 σε συσκευές κινητής τηλεφωνίας διαφόρων τύπων και παρόχων σε απόσταση 0 m από την κεραία των συσκευών.



Σχήμα 526: Διακυμάνσεις (α) ελάχιστης (Min), (β) μέσης (Avg) και (γ) μέγιστης (Max) έντασης ηλεκτρικού πεδίου (E-Field) ως συνάρτηση της συχνότητας (Frequency) του πεδίου για μετρήσεις με οργανολογία τύπου NARDA SMR-3006 σε συσκευή κινητής τηλεφωνίας τύπου SAMSUNG GT-P3100 και παρόχου WIND σε απόσταση 0m από την κεραία της συσκευής κατά τη διάρκεια αναμονής χρήσης της συσκευής και χωρίς την ενεργοποίηση δεδομένων κινητής τηλεφωνίας.

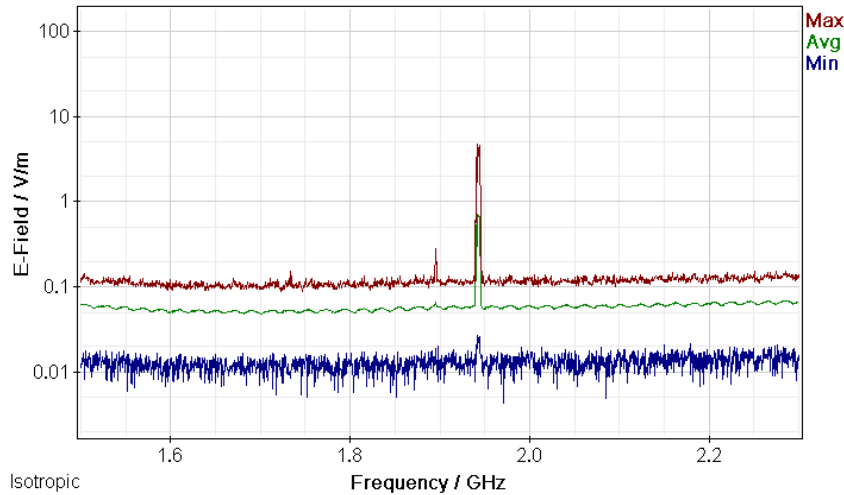


Σχήμα 527: Διακυμάνσεις (α) ελάχιστης (Min), (β) μέσης (Avg) και (γ) μέγιστης (Max) έντασης ηλεκτρικού πεδίου (E-Field) ως συνάρτηση της συχνότητας (Frequency) του πεδίου για μετρήσεις με οργανολογία τύπου NARDA SMR-3006 σε συσκευή κινητής τηλεφωνίας τύπου SAMSUNG GT-P3100 και παρόχου WIND σε απόσταση 0m από την κεραία της συσκευής κατά τη διάρκεια κλήσης χωρίς συνομιλία και ενεργοποίηση δεδομένων κινητής τηλεφωνίας .

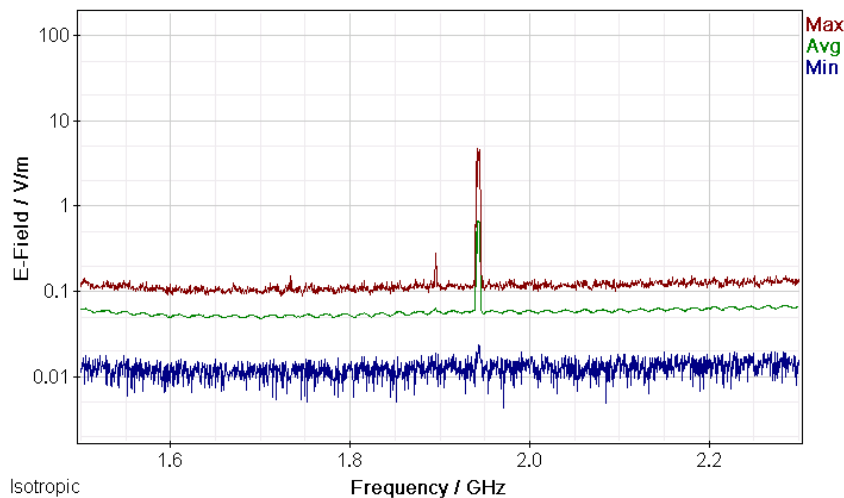


Σχήμα 528: Διακυμάνσεις (α) ελάχιστης (Min), (β) μέσης (Avg) και (γ) μέγιστης (Max) έντασης ηλεκτρικού πεδίου (E-Field) ως συνάρτηση της συχνότητας (Frequency) του πεδίου για μετρήσεις με οργανολογία τύπου NARDA SMR-3006 σε συσκευή κινητής τηλεφωνίας τύπου SAMSUNG GT-P3100 και παρόχου WIND σε απόσταση 0m από την κεραία της συσκευής κατά τη διάρκεια συνομιλίας δυόμιση λεπτών χωρίς ενεργοποίηση δεδομένων κινητής τηλεφωνίας.

ΜΕΛΕΤΗ Η/Μ ΔΙΑΤΑΡΑΧΩΝ ΚΙΝΗΤΗΣ ΤΗΛΕΦΩΝΙΑΣ



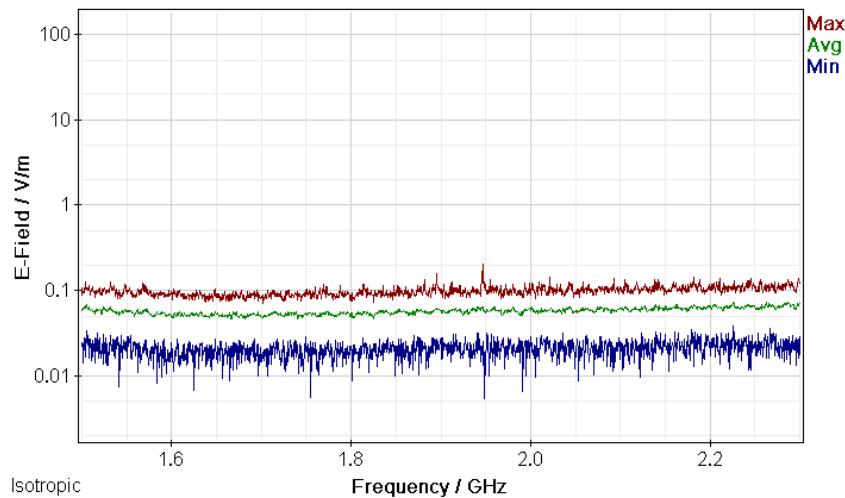
Σχήμα 529: Διακυμάνσεις (α) ελάχιστης (Min), (β) μέσης (Avg) και (γ) μέγιστης (Max) έντασης ηλεκτρικού πεδίου (E-Field) ως συνάρτηση της συχνότητας (Frequency) του πεδίου για μετρήσεις με οργάνολογία τύπου NARDA SMR-3006 σε συσκευή κινητής τηλεφωνίας τύπου SAMSUNG GT-P3100 και παρόχου WIND σε απόσταση 0m από την κεραία της συσκευής κατά τη διάρκεια πεντάλεπτης συνομιλίας χωρίς ενεργοποίηση δεδομένων κινητής τηλεφωνίας.



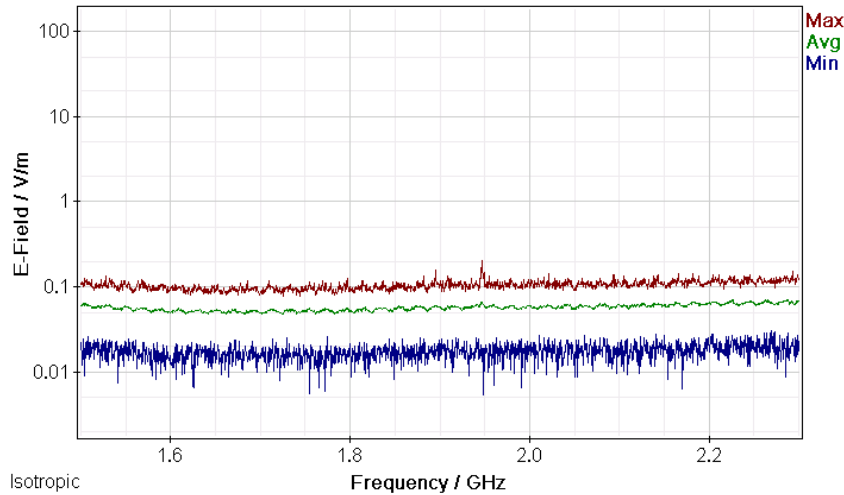
Σχήμα 530: Διακυμάνσεις (α) ελάχιστης (Min), (β) μέσης (Avg) και (γ) μέγιστης (Max) έντασης ηλεκτρικού πεδίου (E-Field) ως συνάρτηση της συχνότητας (Frequency) του πεδίου για μετρήσεις με οργάνολογία τύπου NARDA SMR-3006 σε συσκευή κινητής τηλεφωνίας τύπου SAMSUNG GT-P3100 και παρόχου WIND σε απόσταση 0m από την κεραία της συσκευής κατά τη διάρκεια τερματισμού της κλήσης χωρίς ενεργοποίηση δεδομένων κινητής τηλεφωνίας.

ΠΑΡΑΡΤΗΜΑ 2

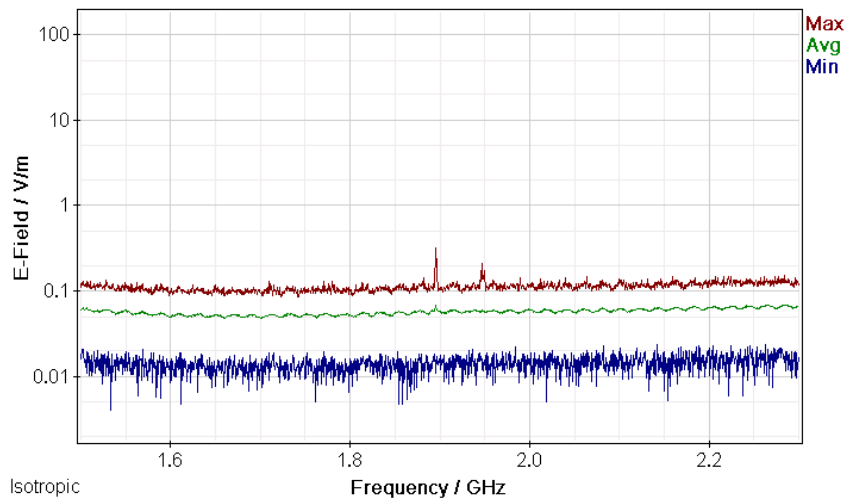
Μετρήσεις διακυμάνσεων (α) ελάχιστης (Min), (β) μέσης (Avg) και (γ) μέγιστης (Max) έντασης ηλεκτρικού πεδίου (E-Field) ως συνάρτηση της συχνότητας (Frequency) του πεδίου για μετρήσεις με οργανολογία τύπου NARDA SMR-3006 σε συσκευές κινητής τηλεφωνίας διαφόρων τύπων και παρόχων σε απόσταση 1 m από την κεραία των συσκευών.



Σχήμα 531: Διακυμάνσεις (α) ελάχιστης (Min), (β) μέσης (Avg) και (γ) μέγιστης (Max) έντασης ηλεκτρικού πεδίου (E-Field) ως συνάρτηση της συχνότητας (Frequency) του πεδίου για μετρήσεις με οργανολογία τύπου NARDA SMR-3006 σε συσκευή κινητής τηλεφωνίας τύπου SAMSUNG GT-P3100 και παρόχου WIND σε απόσταση 1m από την κεραία της συσκευής κατά τη διάρκεια αναμονής χρήσης της συσκευής και χωρίς την ενεργοποίηση δεδομένων κινητής τηλεφωνίας.

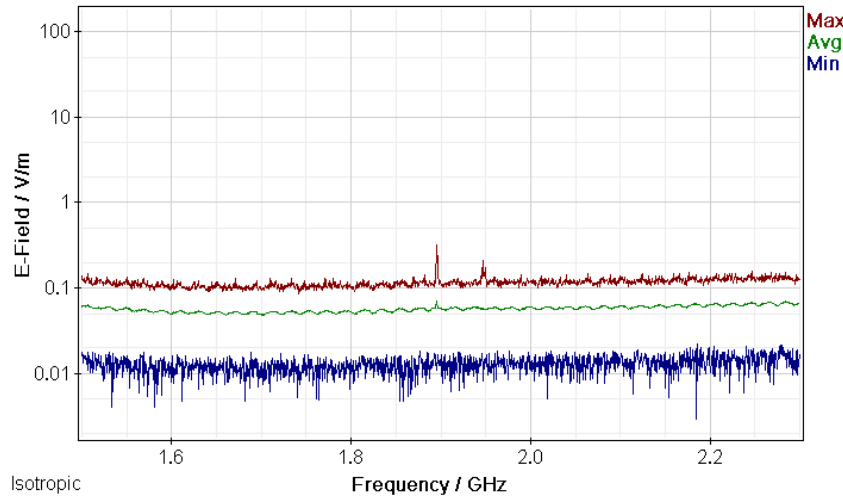


Σχήμα 532: Διακυμάνσεις (α) ελάχιστης (Min), (β) μέσης (Avg) και (γ) μέγιστης (Max) έντασης ηλεκτρικού πεδίου (E-Field) ως συνάρτηση της συχνότητας (Frequency) του πεδίου για μετρήσεις με οργάνολογία τύπου NARDA SMR-3006 σε συσκευή κινητής τηλεφωνίας τύπου SAMSUNG GT-P3100 και παρόχου WIND σε απόσταση 1m από την κεραία της συσκευής κατα τη διάρκεια κλήσης χωρίς συνομιλία και ενεργοποίηση δεδομένων κινητής τηλεφωνίας .

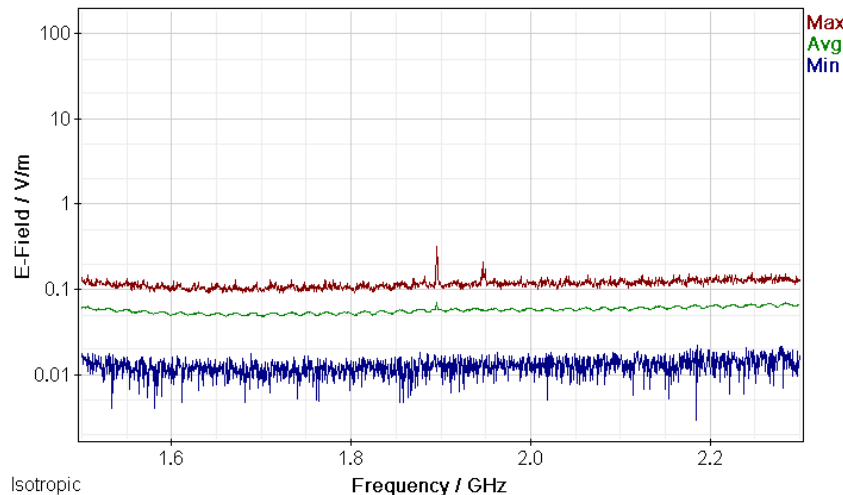


Σχήμα 533: Διακυμάνσεις (α) ελάχιστης (Min), (β) μέσης (Avg) και (γ) μέγιστης (Max) έντασης ηλεκτρικού πεδίου (E-Field) ως συνάρτηση της συχνότητας (Frequency) του πεδίου για μετρήσεις με οργάνολογία τύπου NARDA SMR-3006 σε συσκευή κινητής τηλεφωνίας τύπου SAMSUNG GT-P3100 και παρόχου WIND σε απόσταση 1m από την κεραία της συσκευής κατα τη διάρκεια συνομιλίας δυόμιση λεπτών χωρίς ενεργοποίηση δεδομένων κινητής τηλεφωνίας.

ΜΕΛΕΤΗ Η/Μ ΔΙΑΤΑΡΑΧΩΝ ΚΙΝΗΤΗΣ ΤΗΛΕΦΩΝΙΑΣ



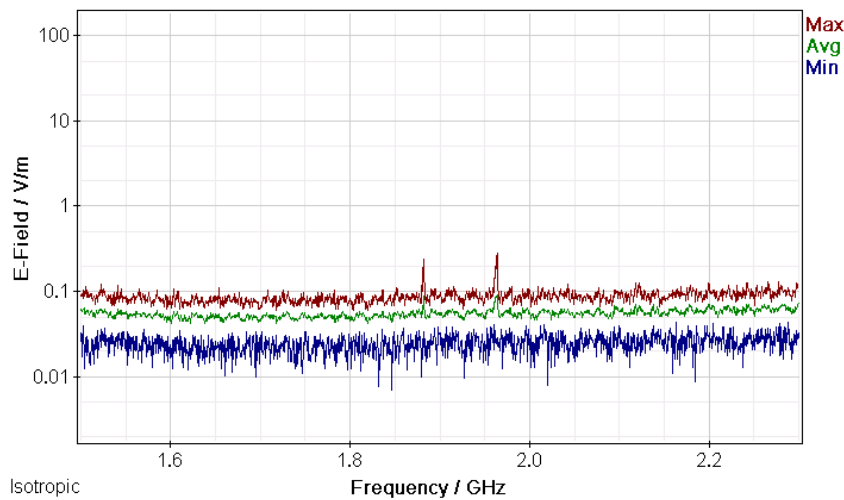
Σχήμα 534: Διακυμάνσεις (α) ελάχιστης (Min), (β) μέσης (Avg) και (γ) μέγιστης (Max) έντασης ηλεκτρικού πεδίου (E-Field) ως συνάρτηση της συχνότητας (Frequency) του πεδίου για μετρήσεις με οργανολογία τύπου NARDA SMR-3006 σε συσκευή κινητής τηλεφωνίας τύπου SAMSUNG GT-P3100 και παρόχου WIND σε απόσταση 1m από την κεραία της συσκευής κατά τη διάρκεια πεντάλεπτης συνομιλίας χωρίς ενεργοποίηση δεδομένων κινητής τηλεφωνίας.



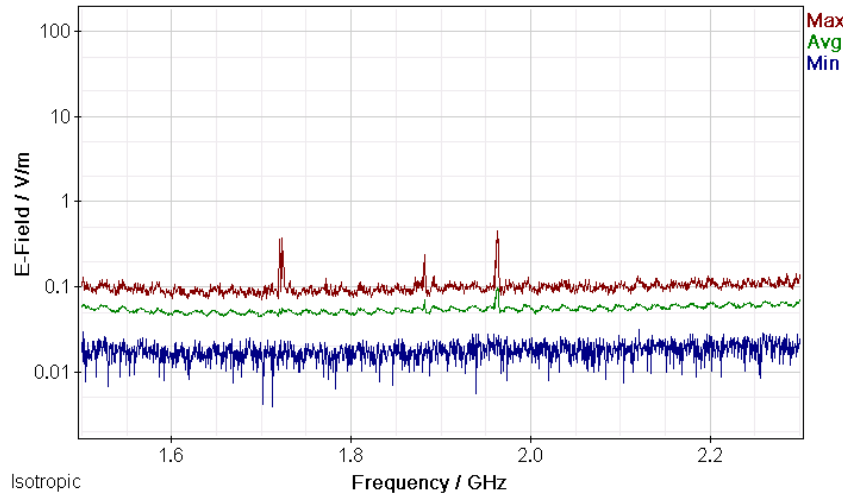
Σχήμα 535: Διακυμάνσεις (α) ελάχιστης (Min), (β) μέσης (Avg) και (γ) μέγιστης (Max) έντασης ηλεκτρικού πεδίου (E-Field) ως συνάρτηση της συχνότητας (Frequency) του πεδίου για μετρήσεις με οργανολογία τύπου NARDA SMR-3006 σε συσκευή κινητής τηλεφωνίας τύπου SAMSUNG GT-P3100 και παρόχου WIND σε απόσταση 1m από την κεραία της συσκευής κατά τη διάρκεια τερματισμού της κλήσης χωρίς ενεργοποίηση δεδομένων κινητής τηλεφωνίας.

ΠΑΡΑΡΤΗΜΑ 1

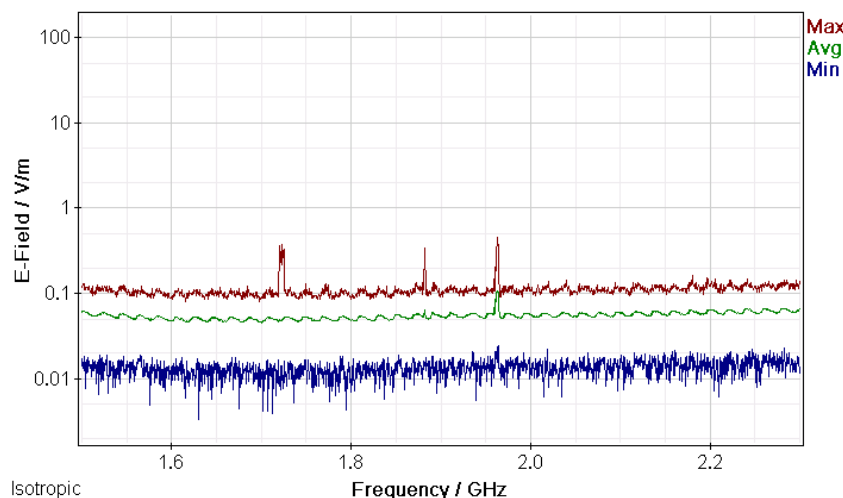
Μετρήσεις διακυμάνσεων (α) ελάχιστης (Min), (β) μέσης (Avg) και (γ) μέγιστης (Max) έντασης ηλεκτρικού πεδίου (E-Field) ως συνάρτηση της συχνότητας (Frequency) του πεδίου για μετρήσεις με οργανολογία τύπου NARDA SMR-3006 σε συσκευές κινητής τηλεφωνίας διαφόρων τύπων και παρόχων σε απόσταση 0 m από την κεραία των συσκευών.



Σχήμα 536: Διακυμάνσεις (α) ελάχιστης (Min), (β) μέσης (Avg) και (γ) μέγιστης (Max) έντασης ηλεκτρικού πεδίου (E-Field) ως συνάρτηση της συχνότητας (Frequency) του πεδίου για μετρήσεις με οργανολογία τύπου NARDA SMR-3006 σε συσκευή κινητής τηλεφωνίας τύπου SAMSUNG GRAND PRIME SM-G531F και παρόχου COSMOTE σε απόσταση 0m από την κεραία της συσκευής κατά τη διάρκεια αναμονής χρήσης της συσκευής και χωρίς την ενεργοποίηση δεδομένων κινητής τηλεφωνίας.

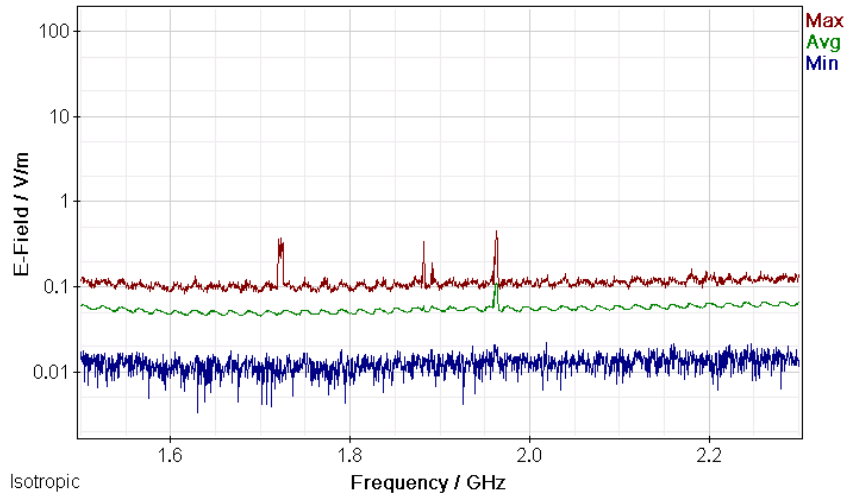


Σχήμα 537: Διακυμάνσεις (α) ελάχιστης (Min), (β) μέσης (Avg) και (γ) μέγιστης (Max) έντασης ηλεκτρικού πεδίου (E-Field) ως συνάρτηση της συχνότητας (Frequency) του πεδίου για μετρήσεις με οργανολογία τύπου NARDA SMR-3006 σε συσκευή κινητής τηλεφωνίας τύπου SAMSUNG GRAND PRIME SM-G531F και παρόχου COSMOTE σε απόσταση 0m από την κεραία της συσκευής κατα τη διάρκεια κλήσης χωρίς συνομιλία και ενεργοποίηση δεδομένων κινητής τηλεφωνίας

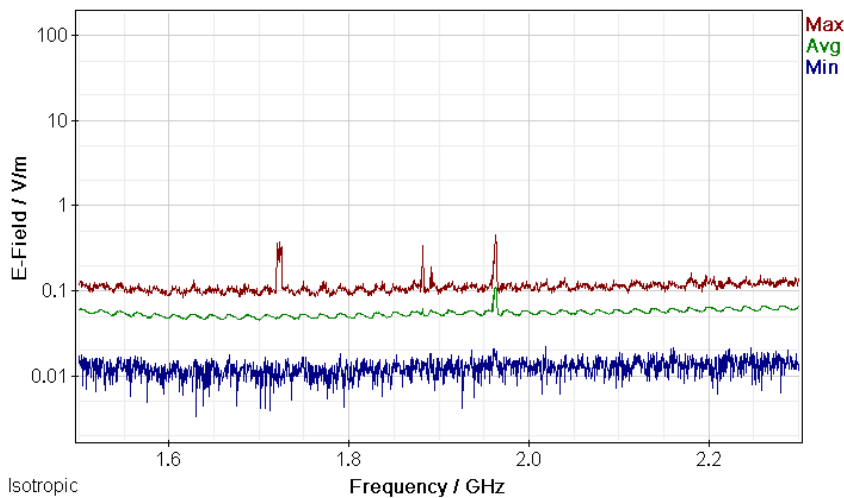


Σχήμα 538: Διακυμάνσεις (α) ελάχιστης (Min), (β) μέσης (Avg) και (γ) μέγιστης (Max) έντασης ηλεκτρικού πεδίου (E-Field) ως συνάρτηση της συχνότητας (Frequency) του πεδίου για μετρήσεις με οργανολογία τύπου NARDA SMR-3006 σε συσκευή κινητής τηλεφωνίας τύπου SAMSUNG GRAND PRIME SM-G531F και παρόχου COSMOTE σε απόσταση 0m από την κεραία της συσκευής κατα τη διάρκεια συνομιλίας δυόμιση λεπτών χωρίς ενεργοποίηση δεδομένων κινητής τηλεφωνίας.

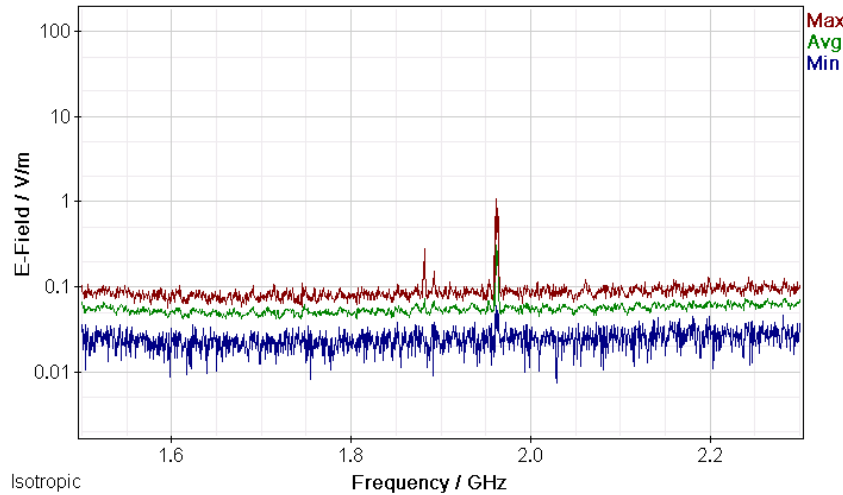
ΜΕΛΕΤΗ Η/Μ ΔΙΑΤΑΡΑΧΩΝ ΚΙΝΗΤΗΣ ΤΗΛΕΦΩΝΙΑΣ



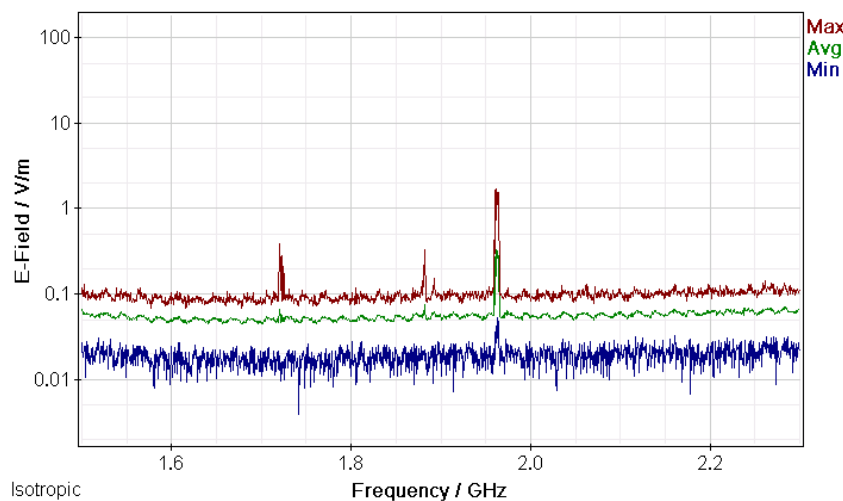
Σχήμα 539: Διακυμάνσεις (α) ελάχιστης (Min), (β) μέσης (Avg) και (γ) μέγιστης (Max) έντασης ηλεκτρικού πεδίου (E-Field) ως συνάρτηση της συχνότητας (Frequency) του πεδίου για μετρήσεις με οργανολογία τύπου NARDA SMR-3006 σε συσκευή κινητής τηλεφωνίας τύπου SAMSUNG GRAND PRIME SM-G531F και παρόχου COSMOTE σε απόσταση 0m από την κεραία της συσκευής κατά τη διάρκεια πεντάλεπτης συνομιλίας χωρίς ενεργοποίηση δεδομένων κινητής τηλεφωνίας.



Σχήμα 540: Διακυμάνσεις (α) ελάχιστης (Min), (β) μέσης (Avg) και (γ) μέγιστης (Max) έντασης ηλεκτρικού πεδίου (E-Field) ως συνάρτηση της συχνότητας (Frequency) του πεδίου για μετρήσεις με οργανολογία τύπου NARDA SMR-3006 σε συσκευή κινητής τηλεφωνίας τύπου SAMSUNG GRAND PRIME SM-G531F και παρόχου COMOTE σε απόσταση 0m από την κεραία της συσκευής κατά τη διάρκεια τερματισμού της κλήσης χωρίς ενεργοποίηση δεδομένων κινητής τηλεφωνίας.



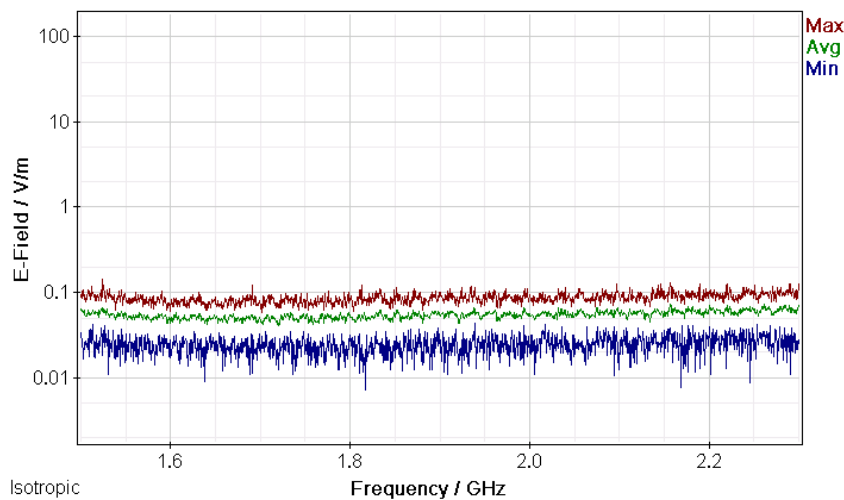
Σχήμα 541: Διακυμάνσεις (α) ελάχιστης (Min), (β) μέσης (Avg) και (γ) μέγιστης (Max) έντασης ηλεκτρικού πεδίου (E-Field) ως συνάρτηση της συχνότητας (Frequency) του πεδίου για μετρήσεις με οργανολογία τύπου NARDA SMR-3006 σε συσκευή κινητής τηλεφωνίας τύπου SAMSUNG GRAND PRIME SM-G531F και παρόχου COSMOTE σε απόσταση 0m από την κεραία της συσκευής κατα τη διάρκεια αναμονής χρήσης της συσκευής με ενεργοποίηση των δεδομένων κινητής τηλεφωνίας χωρίς πρόσβαση στον παγώσιμο ιστό.



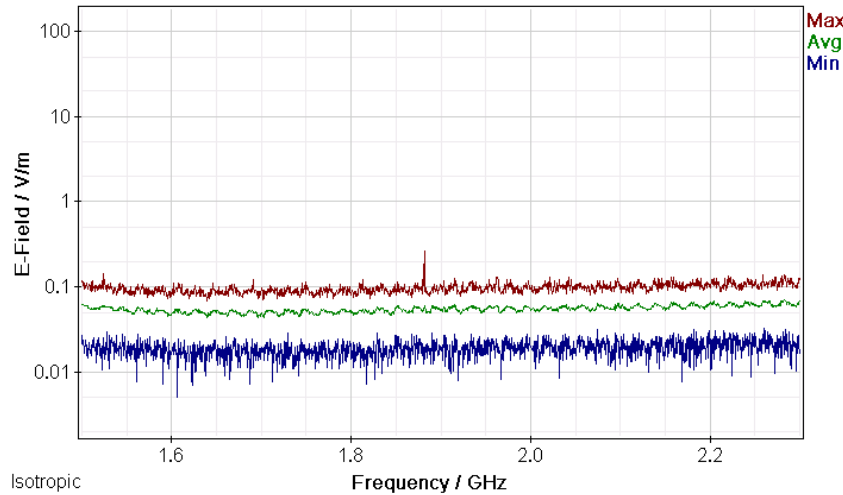
Σχήμα 542: Διακυμάνσεις (α) ελάχιστης (Min), (β) μέσης (Avg) και (γ) μέγιστης (Max) έντασης ηλεκτρικού πεδίου (E-Field) ως συνάρτηση της συχνότητας (Frequency) του πεδίου για μετρήσεις με οργανολογία τύπου NARDA SMR-3006 σε συσκευή κινητής τηλεφωνίας τύπου SAMSUNG GRAND PRIME SM-G531F και παρόχου COSMOTE σε απόσταση 0m από την κεραία της συσκευής κατα τη διάρκεια αναμονής χρήσης της συσκευής με ενεργοποίηση των δεδομένων κινητής τηλεφωνίας και αναζήτησης δεδομένων στον παγώσιμο ιστό.

ΠΑΡΑΡΤΗΜΑ 2

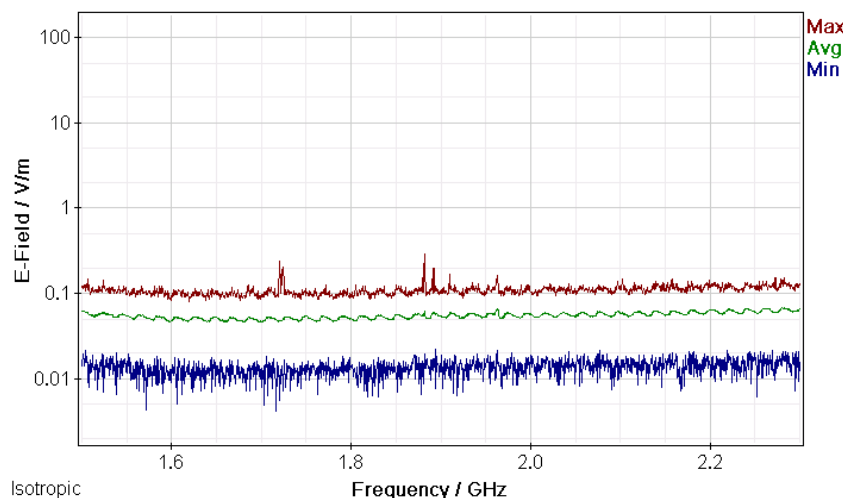
Μετρήσεις διακυμάνσεων (α) ελάχιστης (Min), (β) μέσης (Avg) και (γ) μέγιστης (Max) έντασης ηλεκτρικού πεδίου (E-Field) ως συνάρτηση της συχνότητας (Frequency) του πεδίου για μετρήσεις με οργανολογία τύπου NARDA SMR-3006 σε συσκευές κινητής τηλεφωνίας διαφόρων τύπων και παρόχων σε απόσταση 1 m από την κεραία των συσκευών.



Σχήμα 543: Διακυμάνσεις (α) ελάχιστης (Min), (β) μέσης (Avg) και (γ) μέγιστης (Max) έντασης ηλεκτρικού πεδίου (E-Field) ως συνάρτηση της συχνότητας (Frequency) του πεδίου για μετρήσεις με οργανολογία τύπου NARDA SMR-3006 σε συσκευή κινητής τηλεφωνίας τύπου SAMSUNG GRAND PRIME SM-G531F και παρόχου COSMOTE σε απόσταση 1m από την κεραία της συσκευής κατά τη διάρκεια αναμονής χρήσης της συσκευής και χωρίς την ενεργοποίηση δεδομένων κινητής τηλεφωνίας.

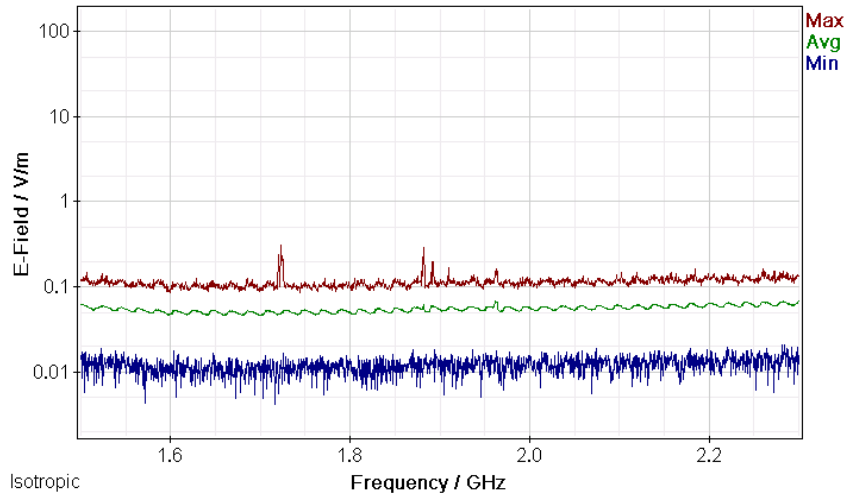


Σχήμα 544: Διακυμάνσεις (α) ελάχιστης (Min), (β) μέσης (Avg) και (γ) μέγιστης (Max) έντασης ηλεκτρικού πεδίου (E-Field) ως συνάρτηση της συχνότητας (Frequency) του πεδίου για μετρήσεις με οργανολογία τύπου NARDA SMR-3006 σε συσκευή κινητής τηλεφωνίας τύπου SAMSUNG GRAND PRIME SM-G531F και παρόχου COSMOTE σε απόσταση 1m από την κεραία της συσκευής κατα τη διάρκεια κλήσης χωρίς συνομιλία και ενεργοποίηση δεδομένων κινητής τηλεφωνίας .

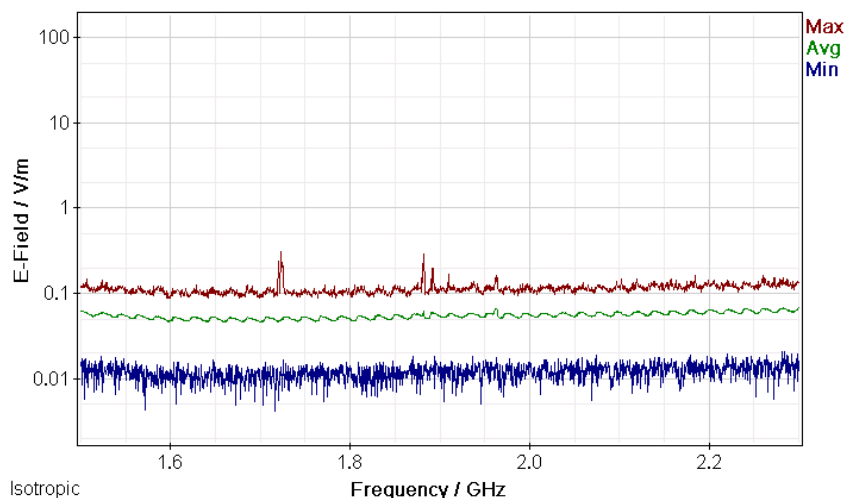


Σχήμα 545: Διακυμάνσεις (α) ελάχιστης (Min), (β) μέσης (Avg) και (γ) μέγιστης (Max) έντασης ηλεκτρικού πεδίου (E-Field) ως συνάρτηση της συχνότητας (Frequency) του πεδίου για μετρήσεις με οργανολογία τύπου NARDA SMR-3006 σε συσκευή κινητής τηλεφωνίας τύπου SAMSUNG GRAND PRIME SM-G531F και παρόχου COSMOTE σε απόσταση 1m από την κεραία της συσκευής κατα τη διάρκεια συνομιλίας δυόμιση λεπτών χωρίς ενεργοποίηση δεδομένων κινητής τηλεφωνίας.

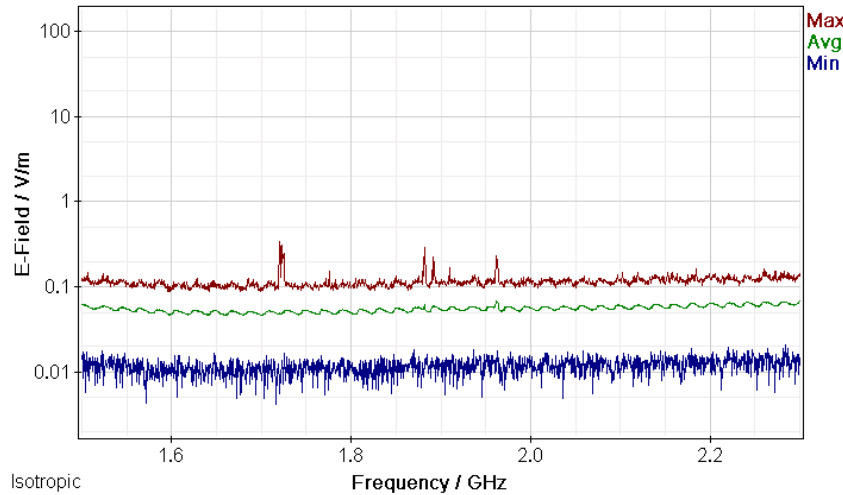
ΜΕΛΕΤΗ Η/Μ ΔΙΑΤΑΡΑΧΩΝ ΚΙΝΗΤΗΣ ΤΗΛΕΦΩΝΙΑΣ



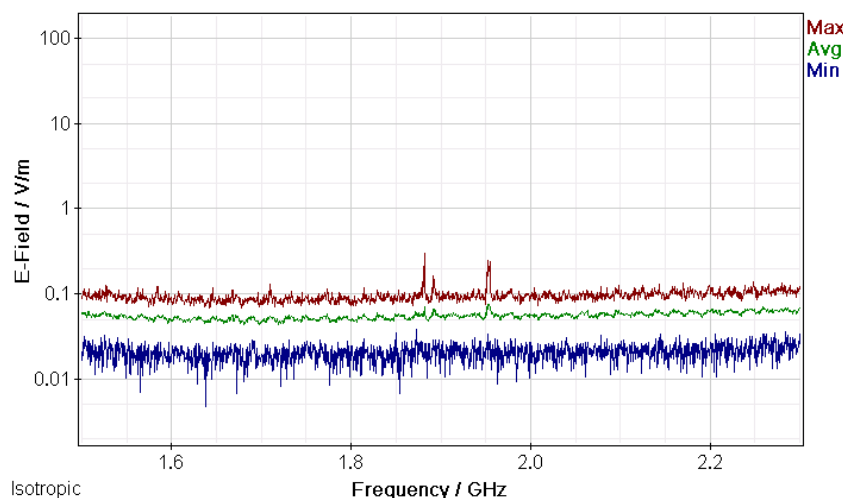
Σχήμα 546: Διακυμάνσεις (α) ελάχιστης (Min), (β) μέσης (Avg) και (γ) μέγιστης (Max) έντασης ηλεκτρικού πεδίου (E-Field) ως συνάρτηση της συχνότητας (Frequency) του πεδίου για μετρήσεις με οργανολογία τύπου NARDA SMR-3006 σε συσκευή κινητής τηλεφωνίας τύπου SAMSUNG GRAND PRIME SM-G531F και παρόχου COSMOTE σε απόσταση 1m από την κεραία της συσκευής κατά τη διάρκεια πεντάλεπτης συνομιλίας χωρίς ενεργοποίηση δεδομένων κινητής τηλεφωνίας.



Σχήμα 547: Διακυμάνσεις (α) ελάχιστης (Min), (β) μέσης (Avg) και (γ) μέγιστης (Max) έντασης ηλεκτρικού πεδίου (E-Field) ως συνάρτηση της συχνότητας (Frequency) του πεδίου για μετρήσεις με οργανολογία τύπου NARDA SMR-3006 σε συσκευή κινητής τηλεφωνίας τύπου SAMSUNG GRAND PRIME SM-G531F και παρόχου COSMOTE σε απόσταση 1m από την κεραία της συσκευής κατά τη διάρκεια τερματισμού της κλήσης χωρίς ενεργοποίηση δεδομένων κινητής τηλεφωνίας.



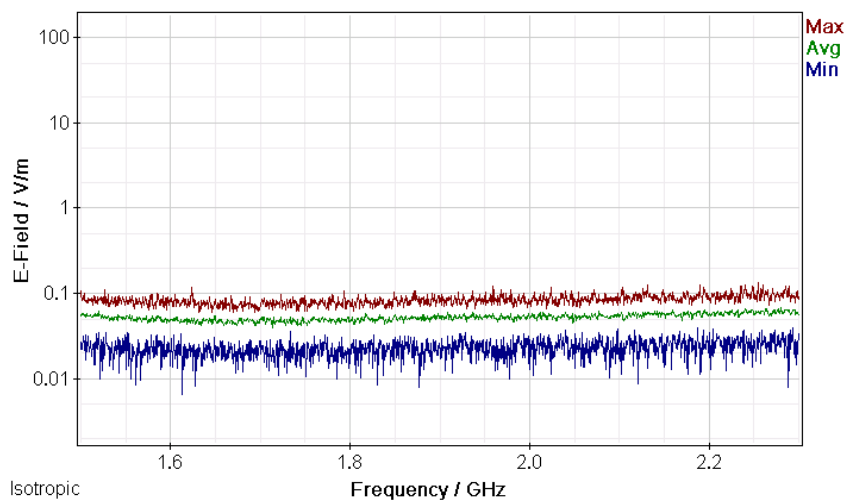
Σχήμα 548: Διακυμάνσεις (α) ελάχιστης (Min), (β) μέσης (Avg) και (γ) μέγιστης (Max) έντασης ηλεκτρικού πεδίου (E-Field) ως συνάρτηση της συχνότητας (Frequency) του πεδίου για μετρήσεις με οργανολογία τύπου NARDA SMR-3006 σε συσκευή κινητής τηλεφωνίας τύπου SAMSUNG GRAND PRIME SM-G531F και παρόχου COSMOTE σε απόσταση 1m από την κεραία της συσκευής κατά τη διάρκεια αναμονής χρήσης της συσκευής με ενεργοποίηση των δεδομένων κινητής τηλεφωνίας χωρίς πρόσβαση στον παγόσμιο ιστό.



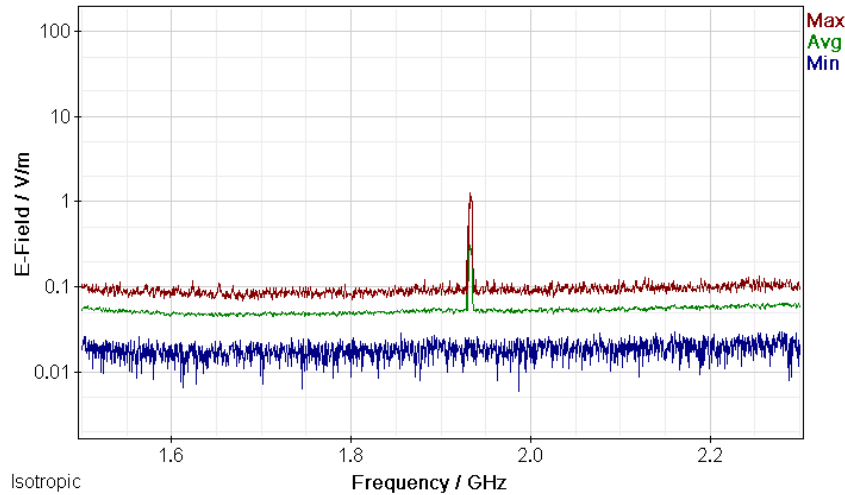
Σχήμα 549: Διακυμάνσεις (α) ελάχιστης (Min), (β) μέσης (Avg) και (γ) μέγιστης (Max) έντασης ηλεκτρικού πεδίου (E-Field) ως συνάρτηση της συχνότητας (Frequency) του πεδίου για μετρήσεις με οργανολογία τύπου NARDA SMR-3006 σε συσκευή κινητής τηλεφωνίας τύπου SONY XPERIA E5603 και παρόχου COSMOTE σε απόσταση 1m από την κεραία της συσκευής κατά τη διάρκεια αναμονής χρήσης της συσκευής με ενεργοποίηση των δεδομένων κινητής τηλεφωνίας και αναζήτησης δεδομένων στον παγόσμιο ιστό.

ΠΑΡΑΡΤΗΜΑ 1

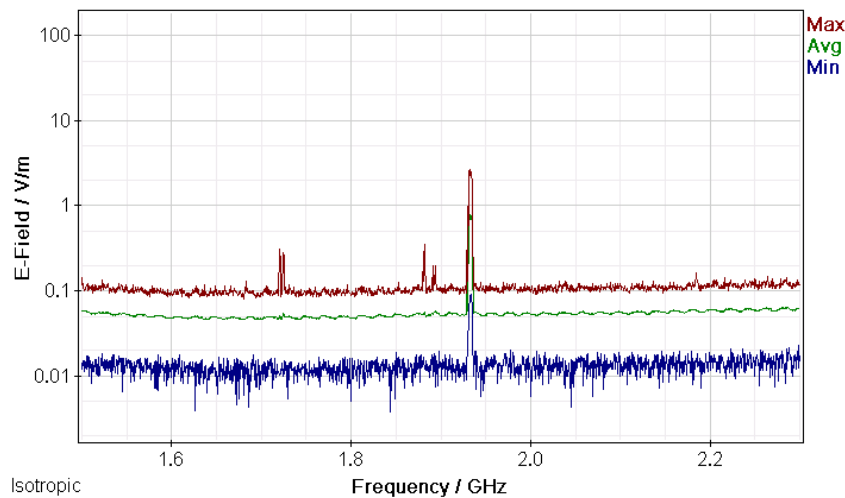
Μετρήσεις διακυμάνσεων (α) ελάχιστης (Min), (β) μέσης (Avg) και (γ) μέγιστης (Max) έντασης ηλεκτρικού πεδίου (E-Field) ως συνάρτηση της συχνότητας (Frequency) του πεδίου για μετρήσεις με οργανολογία τύπου NARDA SMR-3006 σε συσκευές κινητής τηλεφωνίας διαφόρων τύπων και παρόχων σε απόσταση 0 m από την κεραία των συσκευών.



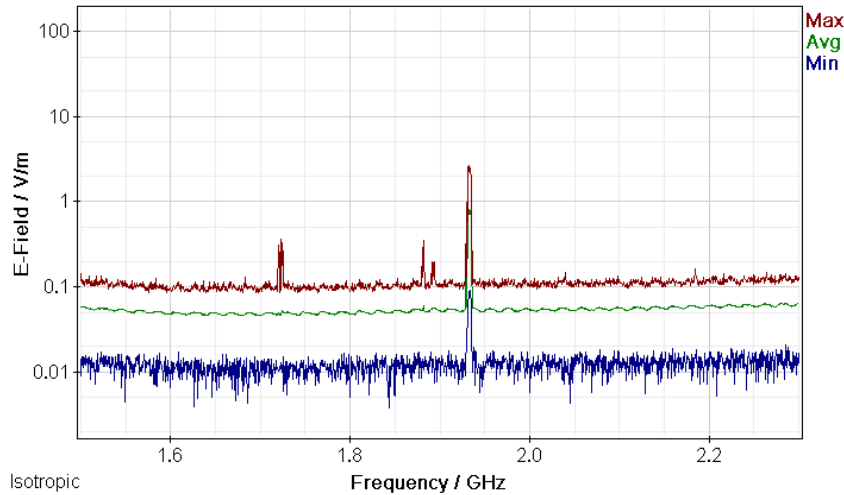
Σχήμα 550: Διακυμάνσεις (α) ελάχιστης (Min), (β) μέσης (Avg) και (γ) μέγιστης (Max) έντασης ηλεκτρικού πεδίου (E-Field) ως συνάρτηση της συχνότητας (Frequency) του πεδίου για μετρήσεις με οργανολογία τύπου NARDA SMR-3006 σε συσκευή κινητής τηλεφωνίας τύπου SAMSUNG GRAND PRIME SM-G531F και παρόχου VODAFONE σε απόσταση 0m από την κεραία της συσκευής κατά τη διάρκεια αναμονής χρήσης της συσκευής και χωρίς την ενεργοποίηση δεδομένων κινητής τηλεφωνίας.



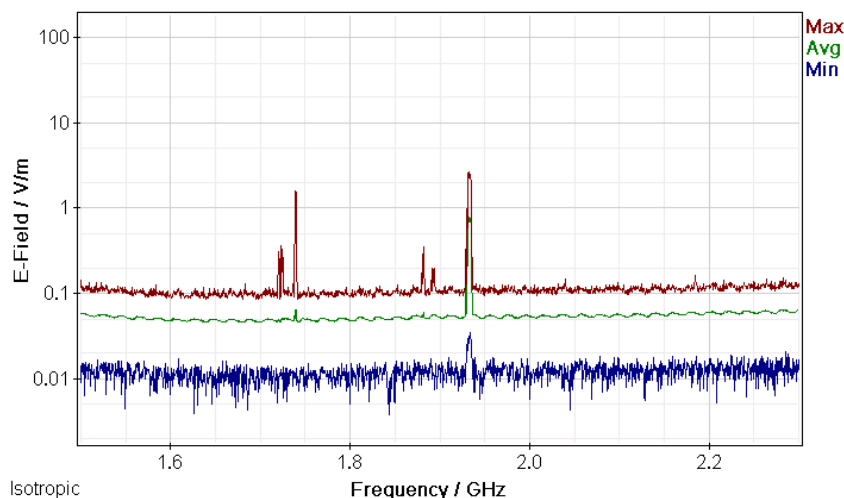
Σχήμα 551: Διακυμάνσεις (α) ελάχιστης (Min), (β) μέσης (Avg) και (γ) μέγιστης (Max) έντασης ηλεκτρικού πεδίου (E-Field) ως συνάρτηση της συχνότητας (Frequency) του πεδίου για μετρήσεις με οργανολογία τύπου NARDA SMR-3006 σε συσκευή κινητής τηλεφωνίας τύπου SAMSUNG GRAND PRIME SM-G531F και παρόχου VODAFONE σε απόσταση 0m από την κεραία της συσκευής κατα τη διάρκεια κλήσης χωρίς συνομιλία και ενεργοποίηση δεδομένων κινητής τηλεφωνίας.



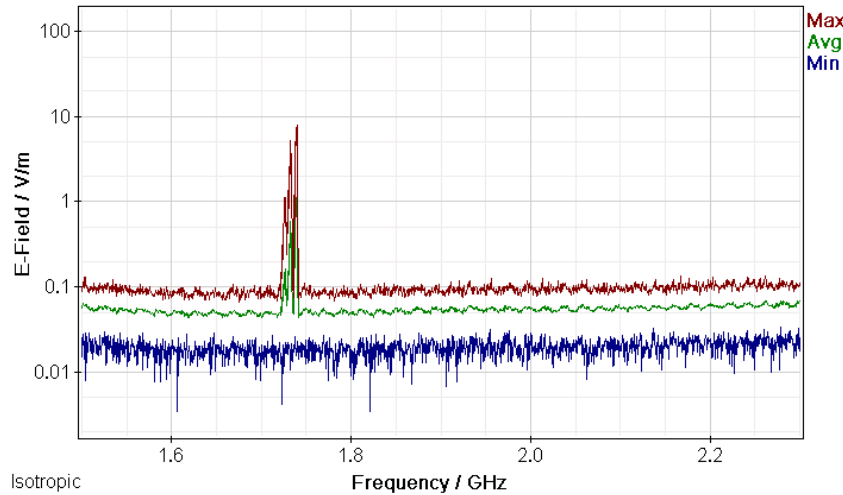
Σχήμα 552: Διακυμάνσεις (α) ελάχιστης (Min), (β) μέσης (Avg) και (γ) μέγιστης (Max) έντασης ηλεκτρικού πεδίου (E-Field) ως συνάρτηση της συχνότητας (Frequency) του πεδίου για μετρήσεις με οργανολογία τύπου NARDA SMR-3006 σε συσκευή κινητής τηλεφωνίας τύπου SAMSUNG GRAND PRIME SM-G531F και παρόχου VODAFONE σε απόσταση 0m από την κεραία της συσκευής κατα τη διάρκεια συνομιλίας δυόμιση λεπτών χωρίς ενεργοποίηση δεδομένων κινητής τηλεφωνίας.



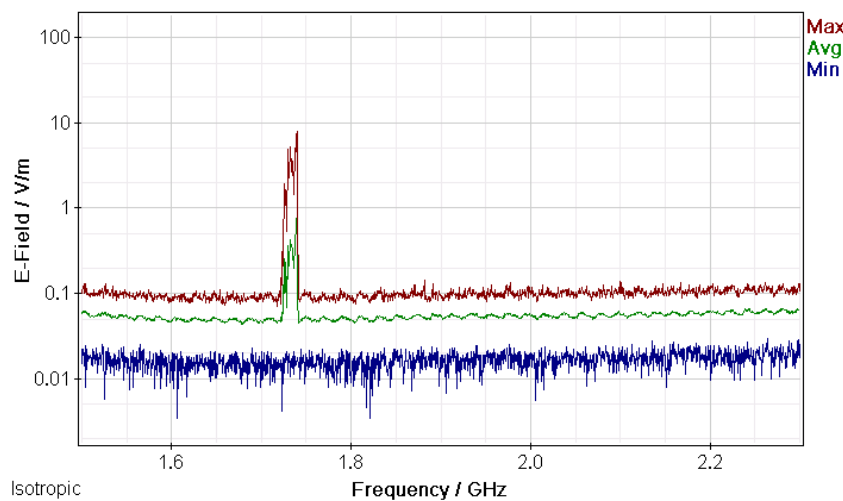
Σχήμα 553: Διακυμάνσεις (α) ελάχιστης (Min), (β) μέσης (Avg) και (γ) μέγιστης (Max) έντασης ηλεκτρικού πεδίου (E-Field) ως συνάρτηση της συχνότητας (Frequency) του πεδίου για μετρήσεις με οργανολογία τύπου NARDA SMR-3006 σε συσκευή κινητής τηλεφωνίας τύπου SAMSUNG GRAND PRIME SM-G531F και παρόχου VODAFONE σε απόσταση 0m από την κεραία της συσκευής κατα τη διάρκεια πεντάλεπτης συνομιλίας χωρίς ενεργοποίηση δεδομένων κινητής τηλεφωνίας.



Σχήμα 554: Διακυμάνσεις (α) ελάχιστης (Min), (β) μέσης (Avg) και (γ) μέγιστης (Max) έντασης ηλεκτρικού πεδίου (E-Field) ως συνάρτηση της συχνότητας (Frequency) του πεδίου για μετρήσεις με οργανολογία τύπου NARDA SMR-3006 σε συσκευή κινητής τηλεφωνίας τύπου SAMSUNG GRAND PRIME SM-G531F και παρόχου VODAFONE σε απόσταση 0m από την κεραία της συσκευής κατα τη διάρκεια τερματισμού της κλήσης χωρίς ενεργοποίηση δεδομένων κινητής τηλεφωνίας.



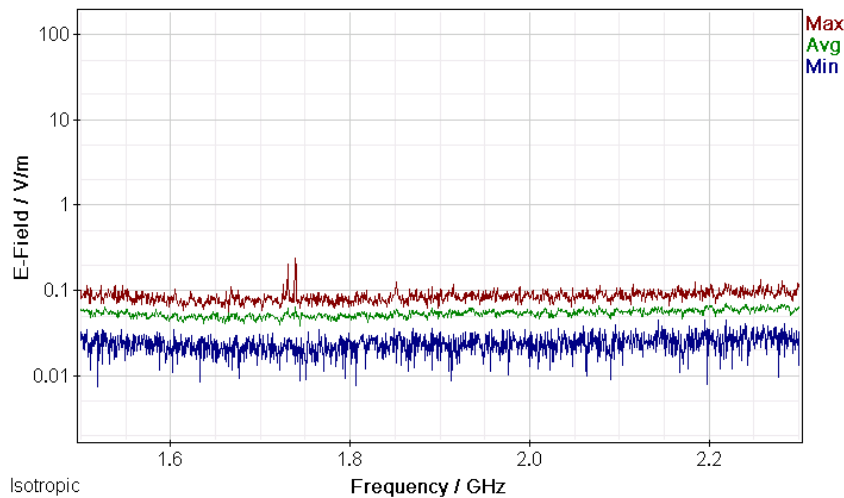
Σχήμα 555: Διακυμάνσεις (α) ελάχιστης (Min), (β) μέσης (Avg) και (γ) μέγιστης (Max) έντασης ηλεκτρικού πεδίου (E-Field) ως συνάρτηση της συχνότητας (Frequency) του πεδίου για μετρήσεις με οργανολογία τύπου NARDA SMR-3006 σε συσκευή κινητής τηλεφωνίας τύπου SAMSUNG GRAND PRIME SM-G531F και παρόχου VODAFONE σε απόσταση 0m από την κεραία της συσκευής κατά τη διάρκεια αναμονής χρήσης της συσκευής με ενεργοποίηση των δεδομένων κινητής τηλεφωνίας χωρίς πρόσβαση στον παγόσμιο ιστό.



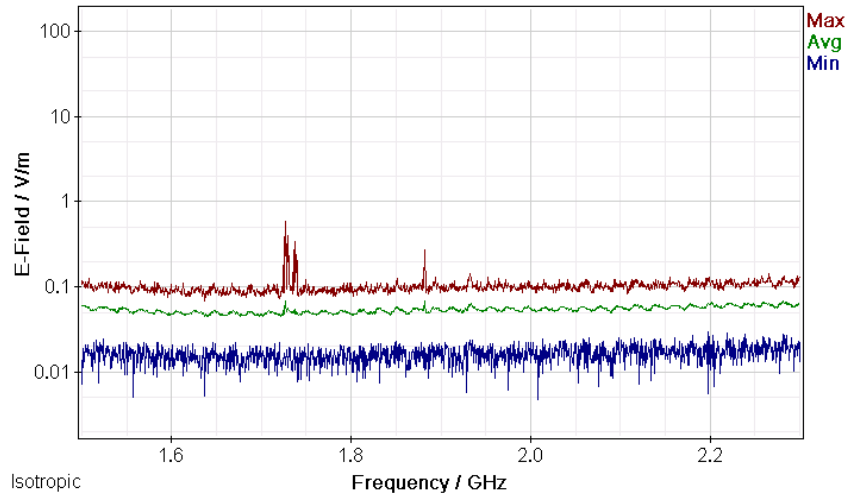
Σχήμα 556: Διακυμάνσεις (α) ελάχιστης (Min), (β) μέσης (Avg) και (γ) μέγιστης (Max) έντασης ηλεκτρικού πεδίου (E-Field) ως συνάρτηση της συχνότητας (Frequency) του πεδίου για μετρήσεις με οργανολογία τύπου NARDA SMR-3006 σε συσκευή κινητής τηλεφωνίας τύπου SAMSUNG GRAND PRIME SM-G531F και παρόχου VODAFONE σε απόσταση 0m από την κεραία της συσκευής κατά τη διάρκεια αναμονής χρήσης της συσκευής με ενεργοποίηση των δεδομένων κινητής τηλεφωνίας και αναζήτησης δεδομένων στον παγόσμιο ιστό.

ΠΑΡΑΡΤΗΜΑ 2

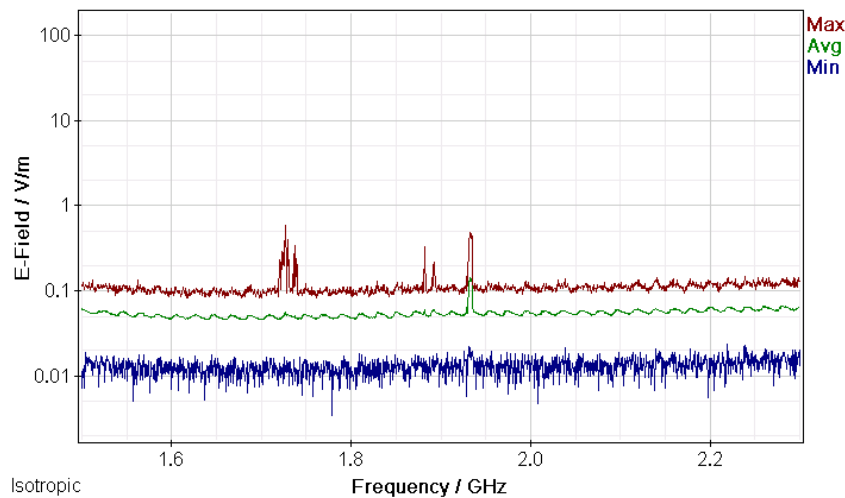
Μετρήσεις διακυμάνσεων (α) ελάχιστης (Min), (β) μέσης (Avg) και (γ) μέγιστης (Max) έντασης ηλεκτρικού πεδίου (E-Field) ως συνάρτηση της συχνότητας (Frequency) του πεδίου για μετρήσεις με οργανολογία τύπου NARDA SMR-3006 σε συσκευές κινητής τηλεφωνίας διαφόρων τύπων και παρόχων σε απόσταση 1 m από την κεραία των συσκευών.



Σχήμα 557: Διακυμάνσεις (α) ελάχιστης (Min), (β) μέσης (Avg) και (γ) μέγιστης (Max) έντασης ηλεκτρικού πεδίου (E-Field) ως συνάρτηση της συχνότητας (Frequency) του πεδίου για μετρήσεις με οργανολογία τύπου NARDA SMR-3006 σε συσκευή κινητής τηλεφωνίας τύπου SAMSUNG GRAND PRIME SM-G531F και παρόχου VODAFONE σε απόσταση 1m από την κεραία της συσκευής κατά τη διάρκεια αναμονής χρήσης της συσκευής και χωρίς την ενεργοποίηση δεδομένων κινητής τηλεφωνίας.

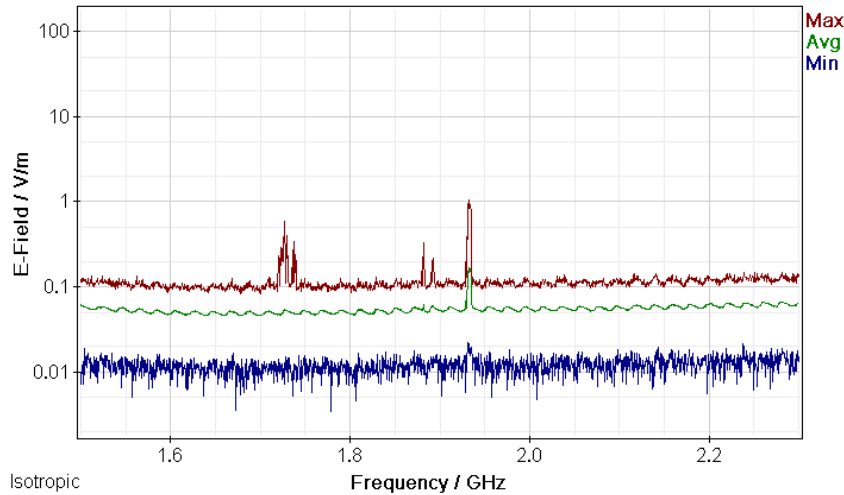


Σχήμα 558: Διακυμάνσεις (α) ελάχιστης (Min), (β) μέσης (Avg) και (γ) μέγιστης (Max) έντασης ηλεκτρικού πεδίου (E-Field) ως συνάρτηση της συχνότητας (Frequency) του πεδίου για μετρήσεις με οργανολογία τύπου NARDA SMR-3006 σε συσκευή κινητής τηλεφωνίας τύπου SAMSUNG GRAND PRIME SM-G531F και παρόχου VODAFONE σε απόσταση 1m από την κεραία της συσκευής κατα τη διάρκεια κλήσης χωρίς συνομιλία και ενεργοποίηση δεδομένων κινητής τηλεφωνίας .

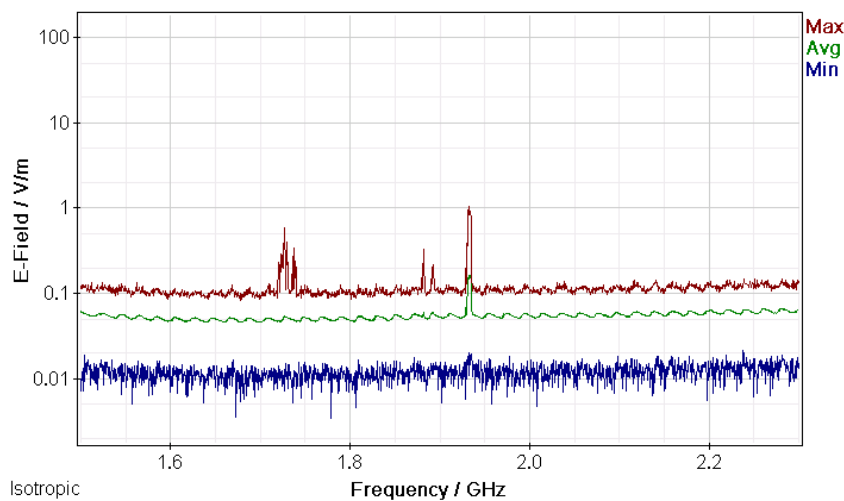


Σχήμα 559: Διακυμάνσεις (α) ελάχιστης (Min), (β) μέσης (Avg) και (γ) μέγιστης (Max) έντασης ηλεκτρικού πεδίου (E-Field) ως συνάρτηση της συχνότητας (Frequency) του πεδίου για μετρήσεις με οργανολογία τύπου NARDA SMR-3006 σε συσκευή κινητής τηλεφωνίας τύπου SAMSUNG GRAND PRIME SM-G531F και παρόχου VODAFONE σε απόσταση 1m από την κεραία της συσκευής κατα τη διάρκεια συνομιλίας δυόμιση λεπτών χωρίς ενεργοποίηση δεδομένων κινητής τηλεφωνίας.

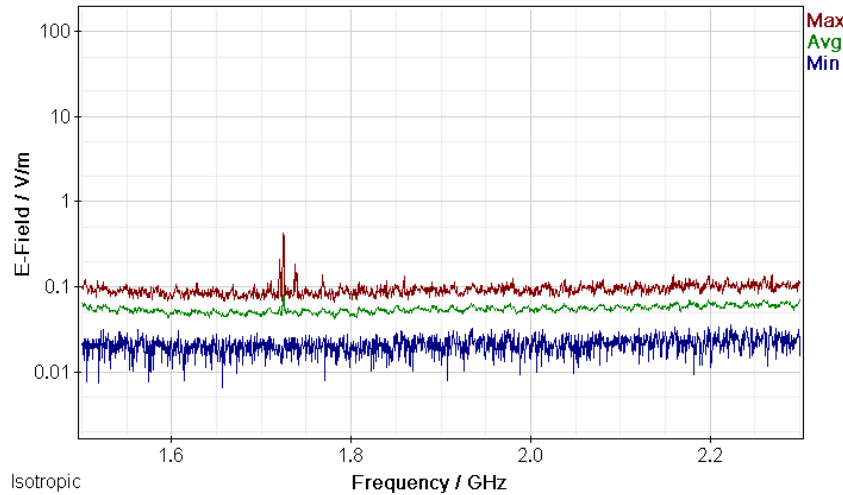
ΜΕΛΕΤΗ Η/Μ ΔΙΑΤΑΡΑΧΩΝ ΚΙΝΗΤΗΣ ΤΗΛΕΦΩΝΙΑΣ



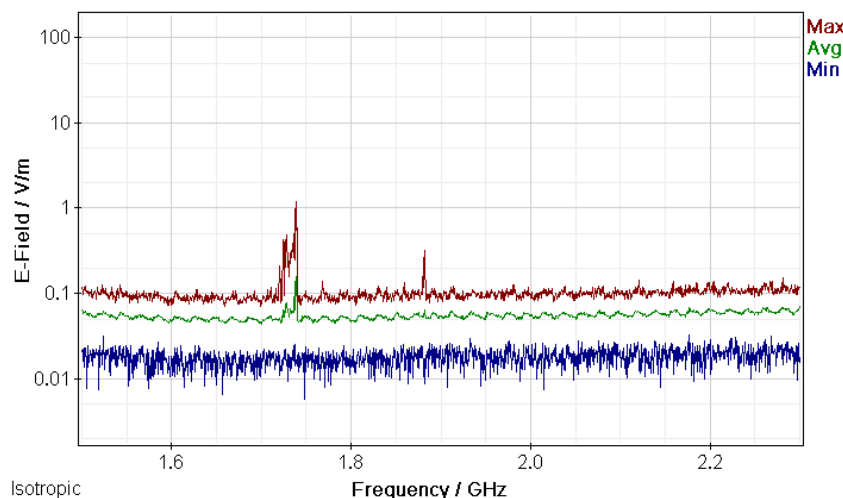
Σχήμα 560: Διακυμάνσεις (α) ελάχιστης (Min), (β) μέσης (Avg) και (γ) μέγιστης (Max) έντασης ηλεκτρικού πεδίου (E-Field) ως συνάρτηση της συχνότητας (Frequency) του πεδίου για μετρήσεις με οργανολογία τύπου NARDA SMR-3006 σε συσκευή κινητής τηλεφωνίας τύπου SAMSUNG GRAND PRIME SM-G531F και παρόχου VODAFONE σε απόσταση 1m από την κεραία της συσκευής κατά τη διάρκεια πεντάλεπτης συνομιλίας χωρίς ενεργοποίηση δεδομένων κινητής τηλεφωνίας.



Σχήμα 561: Διακυμάνσεις (α) ελάχιστης (Min), (β) μέσης (Avg) και (γ) μέγιστης (Max) έντασης ηλεκτρικού πεδίου (E-Field) ως συνάρτηση της συχνότητας (Frequency) του πεδίου για μετρήσεις με οργανολογία τύπου NARDA SMR-3006 σε συσκευή κινητής τηλεφωνίας τύπου SAMSUNG GRAND PRIME SM-G531F και παρόχου VODAFONE σε απόσταση 1m από την κεραία της συσκευής κατά τη διάρκεια τερματισμού της κλήσης χωρίς ενεργοποίηση δεδομένων κινητής τηλεφωνίας.



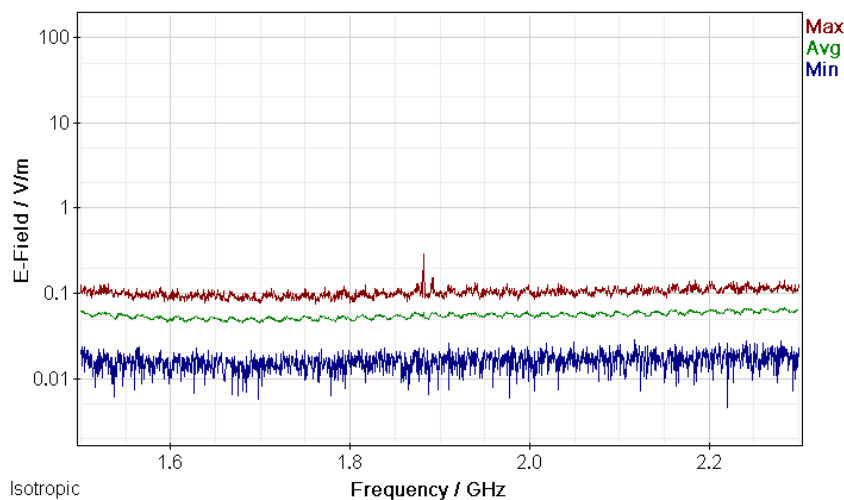
Σχήμα 562: Διακυμάνσεις (α) ελάχιστης (Min), (β) μέσης (Avg) και (γ) μέγιστης (Max) έντασης ηλεκτρικού πεδίου (E-Field) ως συνάρτηση της συχνότητας (Frequency) του πεδίου για μετρήσεις με οργανολογία τύπου NARDA SMR-3006 σε συσκευή κινητής τηλεφωνίας τύπου SAMSUNG GRAND PRIME SM-G531F και παρόχου VODAFONE σε απόσταση 1m από την κεραία της συσκευής κατά τη διάρκεια αναμονής χρήσης της συσκευής με ενεργοποίηση των δεδομένων κινητής τηλεφωνίας χωρίς πρόσβαση στον παγώσιμο ιστό.



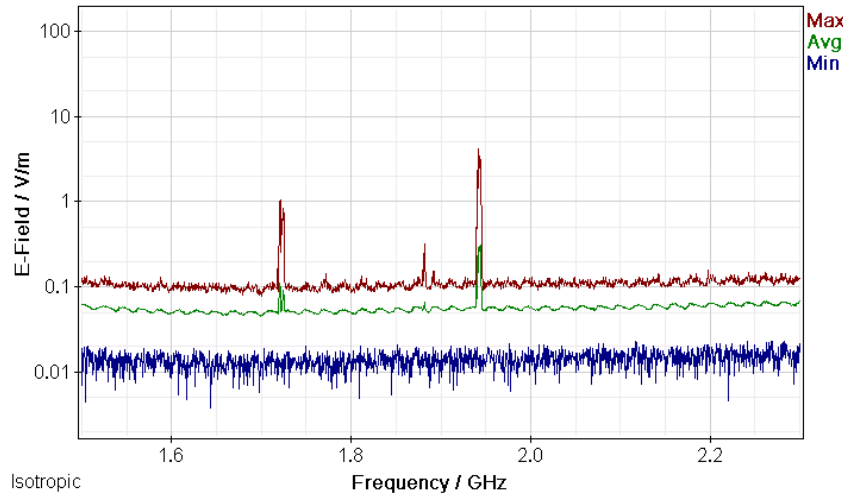
Σχήμα 563: Διακυμάνσεις (α) ελάχιστης (Min), (β) μέσης (Avg) και (γ) μέγιστης (Max) έντασης ηλεκτρικού πεδίου (E-Field) ως συνάρτηση της συχνότητας (Frequency) του πεδίου για μετρήσεις με οργανολογία τύπου NARDA SMR-3006 σε συσκευή κινητής τηλεφωνίας τύπου SAMSUNG GRAND PRIME SM-G531F και παρόχου VODAFONE σε απόσταση 1m από την κεραία της συσκευής κατά τη διάρκεια αναμονής χρήσης της συσκευής με ενεργοποίηση των δεδομένων κινητής τηλεφωνίας και αναζήτησης δεδομένων στον παγώσιμο ιστό.

ΠΑΡΑΡΤΗΜΑ 1

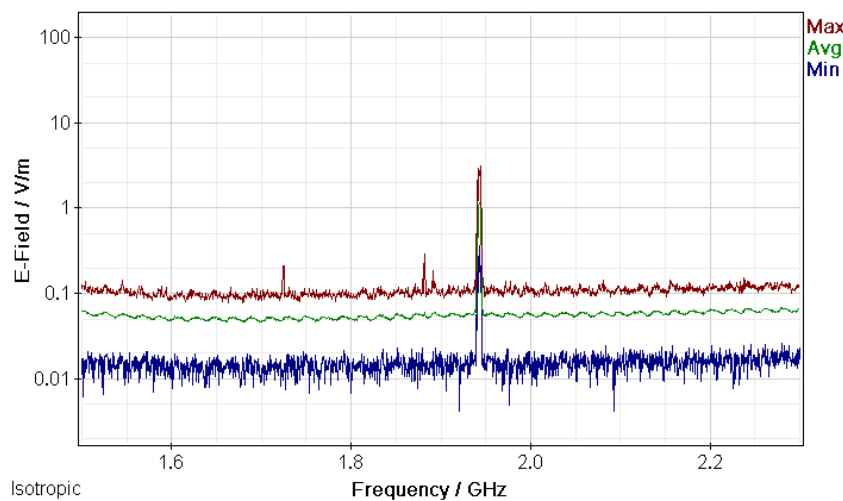
Μετρήσεις διακυμάνσεων (α) ελάχιστης (Min), (β) μέσης (Avg) και (γ) μέγιστης (Max) έντασης ηλεκτρικού πεδίου (E-Field) ως συνάρτηση της συχνότητας (Frequency) του πεδίου για μετρήσεις με οργανολογία τύπου NARDA SMR-3006 σε συσκευές κινητής τηλεφωνίας διαφόρων τύπων και παρόχων σε απόσταση 0 m από την κεραία των συσκευών.



Σχήμα 564: Διακυμάνσεις (α) ελάχιστης (Min), (β) μέσης (Avg) και (γ) μέγιστης (Max) έντασης ηλεκτρικού πεδίου (E-Field) ως συνάρτηση της συχνότητας (Frequency) του πεδίου για μετρήσεις με οργανολογία τύπου NARDA SMR-3006 σε συσκευή κινητής τηλεφωνίας τύπου SAMSUNG GRAND PRIME SM-G531F και παρόχου WIND σε απόσταση 0m από την κεραία της συσκευής κατά τη διάρκεια αναμονής χρήσης της συσκευής και χωρίς την ενεργοποίηση δεδομένων κινητής τηλεφωνίας.

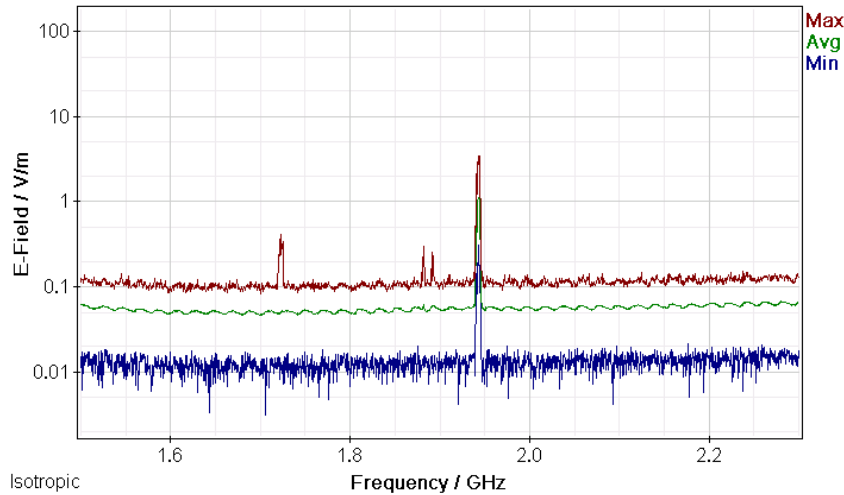


Σχήμα 565: Διακυμάνσεις (α) ελάχιστης (Min), (β) μέσης (Avg) και (γ) μέγιστης (Max) έντασης ηλεκτρικού πεδίου (E-Field) ως συνάρτηση της συχνότητας (Frequency) του πεδίου για μετρήσεις με οργάνολογία τύπου NARDA SMR-3006 σε συσκευή κινητής τηλεφωνίας τύπου SAMSUNG GRAND PRIME SM-G531F και παρόχου WIND σε απόσταση 0m από την κεραία της συσκευής κατα τη διάρκεια κλήσης χωρίς συνομιλία και ενεργοποίηση δεδομένων κινητής τηλεφωνίας .

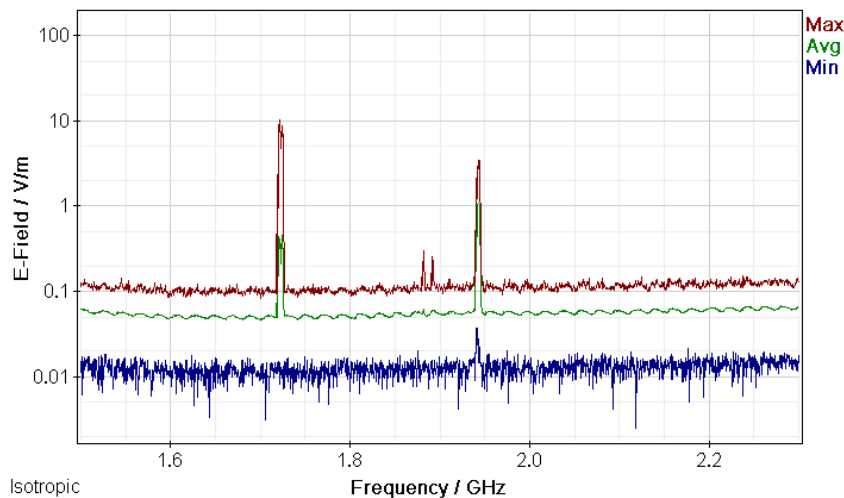


Σχήμα 566: Διακυμάνσεις (α) ελάχιστης (Min), (β) μέσης (Avg) και (γ) μέγιστης (Max) έντασης ηλεκτρικού πεδίου (E-Field) ως συνάρτηση της συχνότητας (Frequency) του πεδίου για μετρήσεις με οργάνολογία τύπου NARDA SMR-3006 σε συσκευή κινητής τηλεφωνίας τύπου SAMSUNG GRAND PRIME SM-G531F και παρόχου WIND σε απόσταση 0m από την κεραία της συσκευής κατα τη διάρκεια συνομιλίας δυόμιση λεπτών χωρίς ενεργοποίηση δεδομένων κινητής τηλεφωνίας.

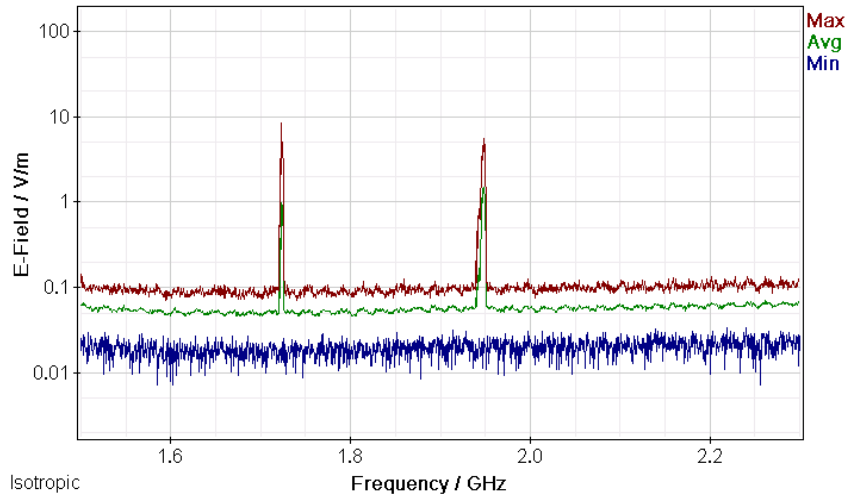
ΜΕΛΕΤΗ Η/Μ ΔΙΑΤΑΡΑΧΩΝ ΚΙΝΗΤΗΣ ΤΗΛΕΦΩΝΙΑΣ



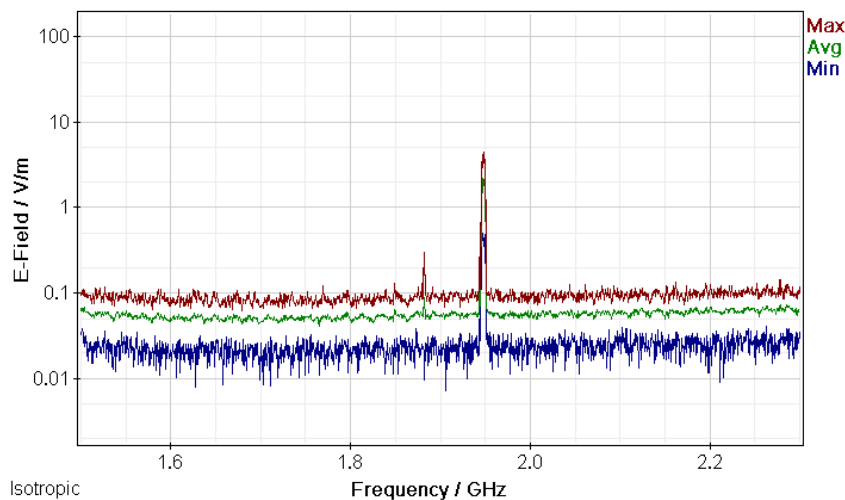
Σχήμα 567: Διακυμάνσεις (α) ελάχιστης (Min), (β) μέσης (Avg) και (γ) μέγιστης (Max) έντασης ηλεκτρικού πεδίου (E-Field) ως συνάρτηση της συχνότητας (Frequency) του πεδίου για μετρήσεις με οργάνολογία τύπου NARDA SMR-3006 σε συσκευή κινητής τηλεφωνίας τύπου SAMSUNG GRAND PRIME SM-G531F και παρόχου WIND σε απόσταση 0m από την κεραία της συσκευής κατά τη διάρκεια πεντάλεπτης συνομιλίας χωρίς ενεργοποίηση δεδομένων κινητής τηλεφωνίας.



Σχήμα 568: Διακυμάνσεις (α) ελάχιστης (Min), (β) μέσης (Avg) και (γ) μέγιστης (Max) έντασης ηλεκτρικού πεδίου (E-Field) ως συνάρτηση της συχνότητας (Frequency) του πεδίου για μετρήσεις με οργάνολογία τύπου NARDA SMR-3006 σε συσκευή κινητής τηλεφωνίας τύπου SAMSUNG GRAND PRIME SM-G531F και παρόχου WIND σε απόσταση 0m από την κεραία της συσκευής κατά τη διάρκεια τερματισμού της κλήσης χωρίς ενεργοποίηση δεδομένων κινητής τηλεφωνίας.



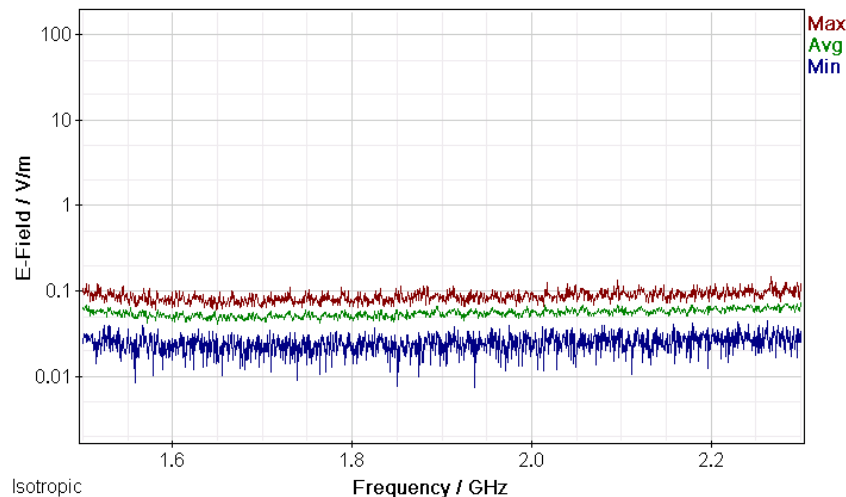
Σχήμα 569: Διακυμάνσεις (α) ελάχιστης (Min), (β) μέσης (Avg) και (γ) μέγιστης (Max) έντασης ηλεκτρικού πεδίου (E-Field) ως συνάρτηση της συχνότητας (Frequency) του πεδίου για μετρήσεις με οργανολογία τύπου NARDA SMR-3006 σε συσκευή κινητής τηλεφωνίας τύπου SAMSUNG GRAND PRIME SM-G531F και παρόχου WIND σε απόσταση 0m από την κεραία της συσκευής κατά τη διάρκεια αναμονής χρήσης της συσκευής με ενεργοποίηση των δεδομένων κινητής τηλεφωνίας χωρίς πρόσβαση στον παγόσμιο ιστό.



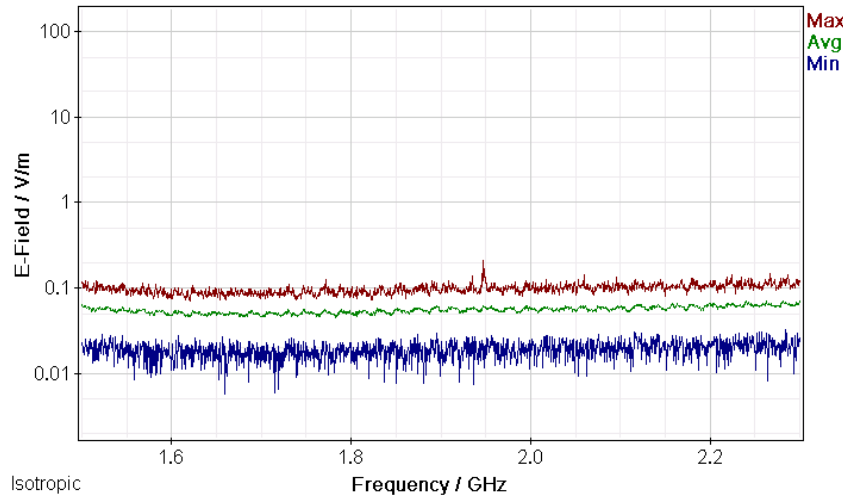
Σχήμα 570: Διακυμάνσεις (α) ελάχιστης (Min), (β) μέσης (Avg) και (γ) μέγιστης (Max) έντασης ηλεκτρικού πεδίου (E-Field) ως συνάρτηση της συχνότητας (Frequency) του πεδίου για μετρήσεις με οργανολογία τύπου NARDA SMR-3006 σε συσκευή κινητής τηλεφωνίας τύπου SAMSUNG GRAND PRIME SM-G531F και παρόχου WIND σε απόσταση 0m από την κεραία της συσκευής κατά τη διάρκεια αναμονής χρήσης της συσκευής με ενεργοποίηση των δεδομένων κινητής τηλεφωνίας και αναζήτησης δεδομένων στον παγόσμιο ιστό.

ΠΑΡΑΡΤΗΜΑ 2

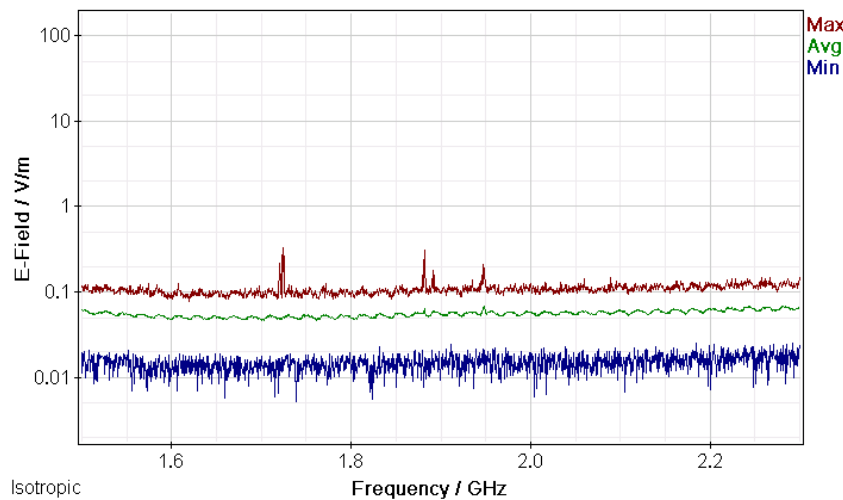
Μετρήσεις διακυμάνσεων (α) ελάχιστης (Min), (β) μέσης (Avg) και (γ) μέγιστης (Max) έντασης ηλεκτρικού πεδίου (E-Field) ως συνάρτηση της συχνότητας (Frequency) του πεδίου για μετρήσεις με οργανολογία τύπου NARDA SMR-3006 σε συσκευές κινητής τηλεφωνίας διαφόρων τύπων και παρόχων σε απόσταση 1 m από την κεραία των συσκευών.



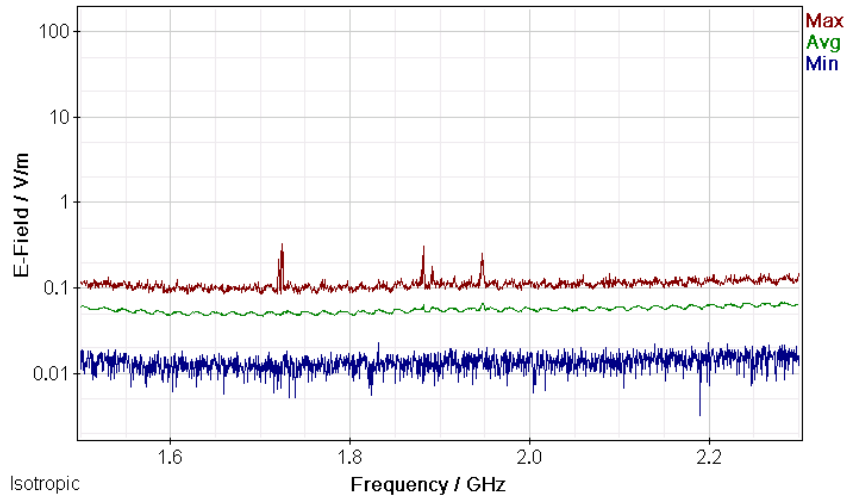
Σχήμα 571: Διακυμάνσεις (α) ελάχιστης (Min), (β) μέσης (Avg) και (γ) μέγιστης (Max) έντασης ηλεκτρικού πεδίου (E-Field) ως συνάρτηση της συχνότητας (Frequency) του πεδίου για μετρήσεις με οργανολογία τύπου NARDA SMR-3006 σε συσκευή κινητής τηλεφωνίας τύπου SAMSUNG GRAND PRIME SM-G531F και παρόχου WIND σε απόσταση 1m από την κεραία της συσκευής κατά τη διάρκεια αναμονής χρήσης της συσκευής και χωρίς την ενεργοποίηση δεδομένων κινητής τηλεφωνίας.



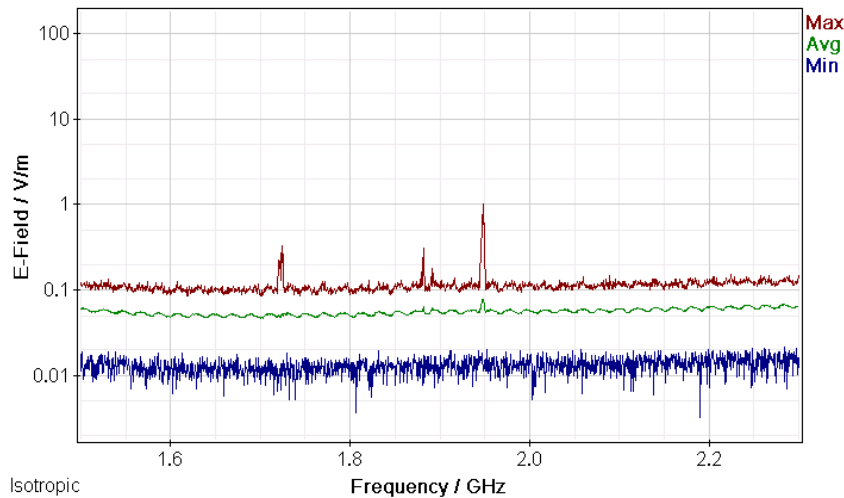
Σχήμα 572: Διακυμάνσεις (α) ελάχιστης (Min), (β) μέσης (Avg) και (γ) μέγιστης (Max) έντασης ηλεκτρικού πεδίου (E-Field) ως συνάρτηση της συχνότητας (Frequency) του πεδίου για μετρήσεις με οργανολογία τύπου NARDA SMR-3006 σε συσκευή κινητής τηλεφωνίας τύπου SAMSUNG GRAND PRIME SM-G531F και παρόχου WIND σε απόσταση 1m από την κεραία της συσκευής κατά τη διάρκεια κλήσης χωρίς συνομιλία και ενεργοποίηση δεδομένων κινητής τηλεφωνίας .



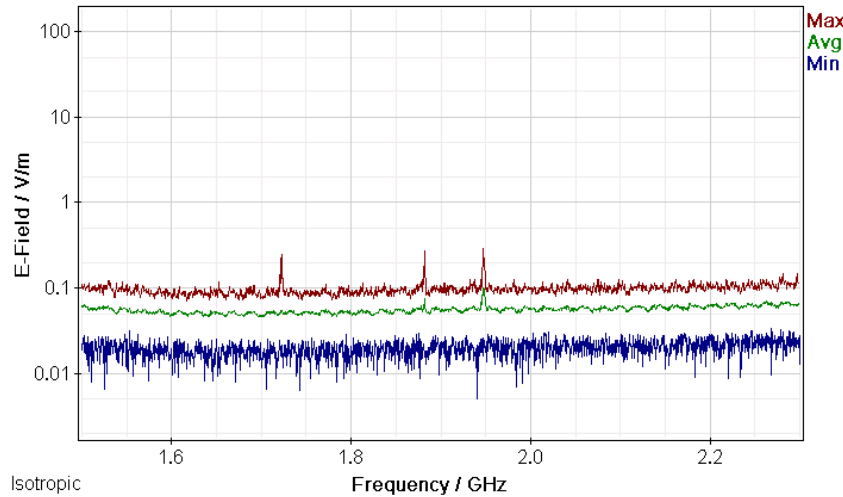
Σχήμα 573: Διακυμάνσεις (α) ελάχιστης (Min), (β) μέσης (Avg) και (γ) μέγιστης (Max) έντασης ηλεκτρικού πεδίου (E-Field) ως συνάρτηση της συχνότητας (Frequency) του πεδίου για μετρήσεις με οργανολογία τύπου NARDA SMR-3006 σε συσκευή κινητής τηλεφωνίας τύπου SAMSUNG GRAND PRIME SM-G531F και παρόχου WIND σε απόσταση 1m από την κεραία της συσκευής κατά τη διάρκεια συνομιλίας δύομιση λεπτών χωρίς ενεργοποίηση δεδομένων κινητής τηλεφωνίας.



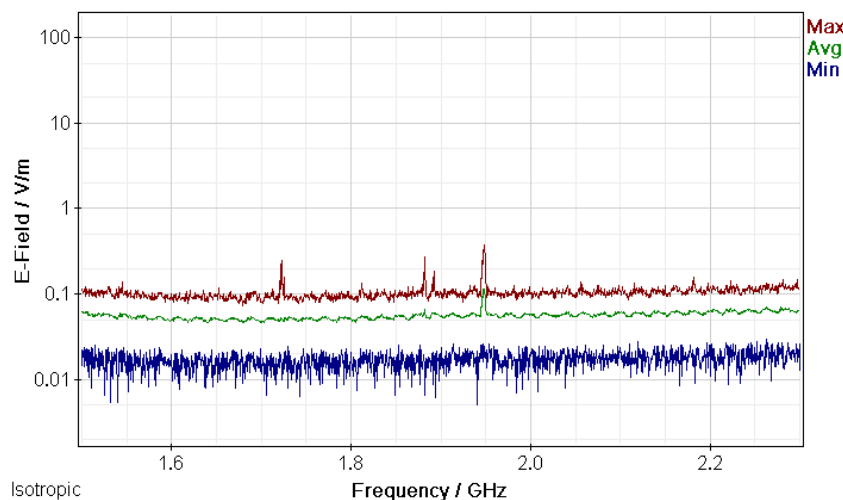
Σχήμα 574: Διακυμάνσεις (α) ελάχιστης (Min), (β) μέσης (Avg) και (γ) μέγιστης (Max) έντασης ηλεκτρικού πεδίου (E-Field) ως συνάρτηση της συχνότητας (Frequency) του πεδίου για μετρήσεις με οργάνολογία τύπου NARDA SMR-3006 σε συσκευή κινητής τηλεφωνίας τύπου SAMSUNG GRAND PRIME SM-G531F και παρόχου WIND σε απόσταση 1m από την κεραία της συσκευής κατά τη διάρκεια πεντάλεπτης συνομιλίας χωρίς ενεργοποίηση δεδομένων κινητής τηλεφωνίας.



Σχήμα 575: Διακυμάνσεις (α) ελάχιστης (Min), (β) μέσης (Avg) και (γ) μέγιστης (Max) έντασης ηλεκτρικού πεδίου (E-Field) ως συνάρτηση της συχνότητας (Frequency) του πεδίου για μετρήσεις με οργάνολογία τύπου NARDA SMR-3006 σε συσκευή κινητής τηλεφωνίας τύπου SAMSUNG GRAND PRIME SM-G531F και παρόχου WIND σε απόσταση 1m από την κεραία της συσκευής κατά τη διάρκεια τερματισμού της κλήσης χωρίς ενεργοποίηση δεδομένων κινητής τηλεφωνίας.



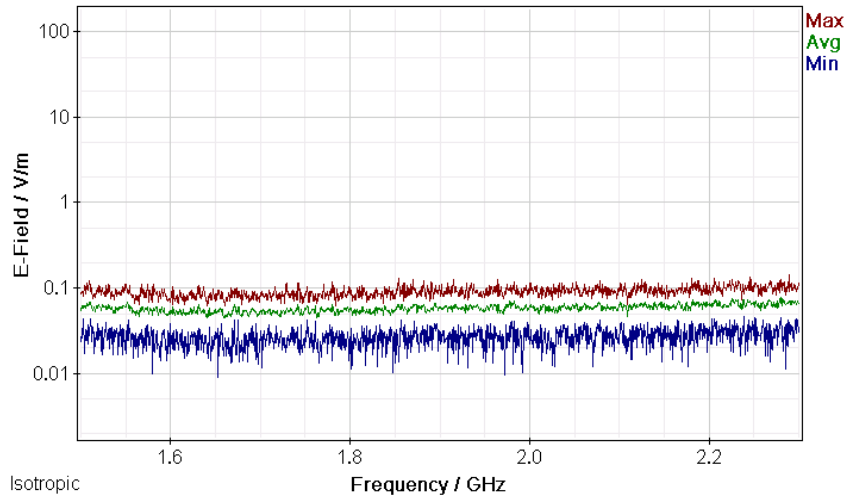
Σχήμα 576: Διακυμάνσεις (α) ελάχιστης (Min), (β) μέσης (Avg) και (γ) μέγιστης (Max) έντασης ηλεκτρικού πεδίου (E-Field) ως συνάρτηση της συχνότητας (Frequency) του πεδίου για μετρήσεις με οργανολογία τύπου NARDA SMR-3006 σε συσκευή κινητής τηλεφωνίας τύπου SAMSUNG GRAND PRIME SM-G531F και παρόχου WIND σε απόσταση 1m από την κεραία της συσκευής κατά τη διάρκεια αναμονής χρήσης της συσκευής με ενεργοποίηση των δεδομένων κινητής τηλεφωνίας χωρίς πρόσβαση στον παγόσμιο ιστό.



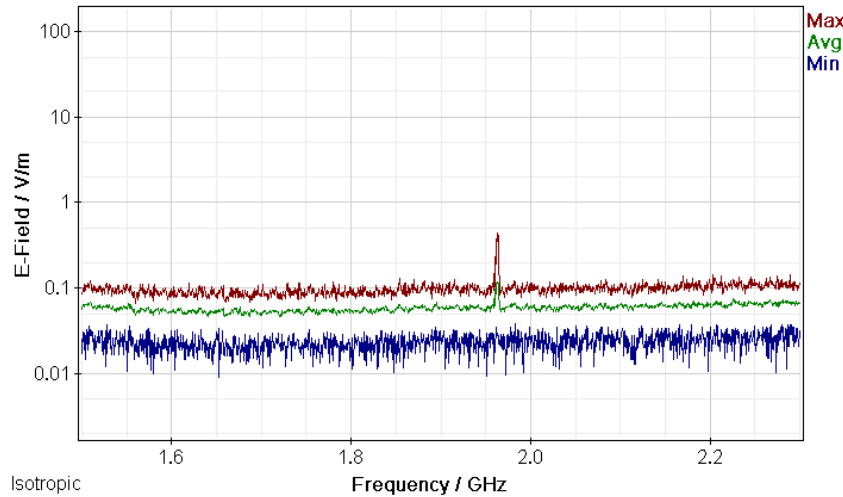
Σχήμα 577: Διακυμάνσεις (α) ελάχιστης (Min), (β) μέσης (Avg) και (γ) μέγιστης (Max) έντασης ηλεκτρικού πεδίου (E-Field) ως συνάρτηση της συχνότητας (Frequency) του πεδίου για μετρήσεις με οργανολογία τύπου NARDA SMR-3006 σε συσκευή κινητής τηλεφωνίας τύπου SAMSUNG GRAND PRIME SM-G531F και παρόχου WIND σε απόσταση 1m από την κεραία της συσκευής κατά τη διάρκεια αναμονής χρήσης της συσκευής με ενεργοποίηση των δεδομένων κινητής τηλεφωνίας και αναζήτησης δεδομένων στον παγόσμιο ιστό.

ΠΑΡΑΡΤΗΜΑ 1

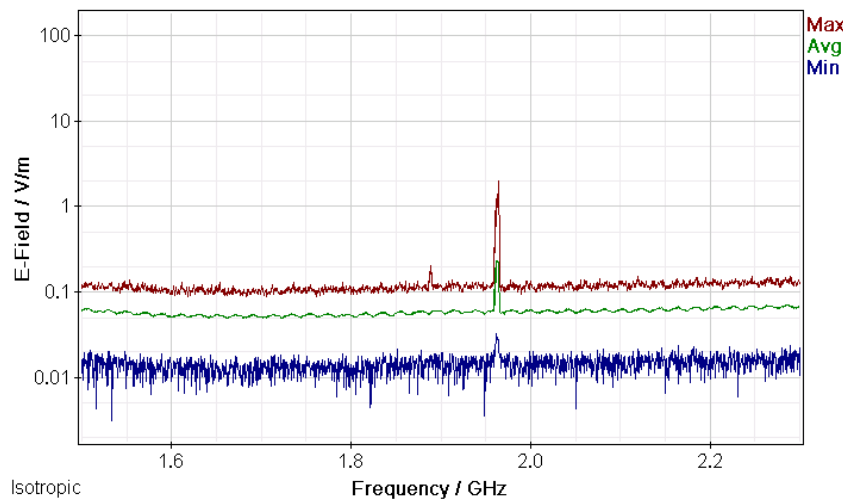
Μετρήσεις διακυμάνσεων (α) ελάχιστης (Min), (β) μέσης (Avg) και (γ) μέγιστης (Max) έντασης ηλεκτρικού πεδίου (E-Field) ως συνάρτηση της συχνότητας (Frequency) του πεδίου για μετρήσεις με οργανολογία τύπου NARDA SMR-3006 σε συσκευές κινητής τηλεφωνίας διαφόρων τύπων και παρόχων σε απόσταση 0 m από την κεραία των συσκευών.



Σχήμα 578: Διακυμάνσεις (α) ελάχιστης (Min), (β) μέσης (Avg) και (γ) μέγιστης (Max) έντασης ηλεκτρικού πεδίου (E-Field) ως συνάρτηση της συχνότητας (Frequency) του πεδίου για μετρήσεις με οργανολογία τύπου NARDA SMR-3006 σε συσκευή κινητής τηλεφωνίας τύπου SAMSUNG GALAXY S4 GT-19500 και παρόχου COSMOTE σε απόσταση 0m από την κεραία της συσκευής κατά τη διάρκεια αναμονής χρήσης της συσκευής και χωρίς την ενεργοποίηση δεδομένων κινητής τηλεφωνίας.

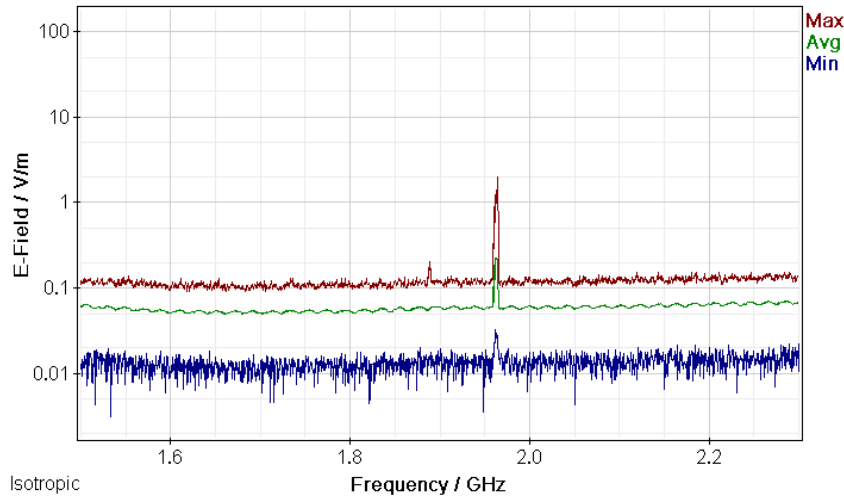


Σχήμα 579: Διακυμάνσεις (α) ελάχιστης (Min), (β) μέσης (Avg) και (γ) μέγιστης (Max) έντασης ηλεκτρικού πεδίου (E-Field) ως συνάρτηση της συχνότητας (Frequency) του πεδίου για μετρήσεις με οργανολογία τύπου NARDA SMR-3006 σε συσκευή κινητής τηλεφωνίας τύπου SAMSUNG GALAXY S4 GT-19500 και παρόχου COSMOTE σε απόσταση 0m από την κεραία της συσκευής κατα τη διάρκεια κλήσης χωρίς συνομιλία και ενεργοποίηση δεδομένων κινητής τηλεφωνίας .

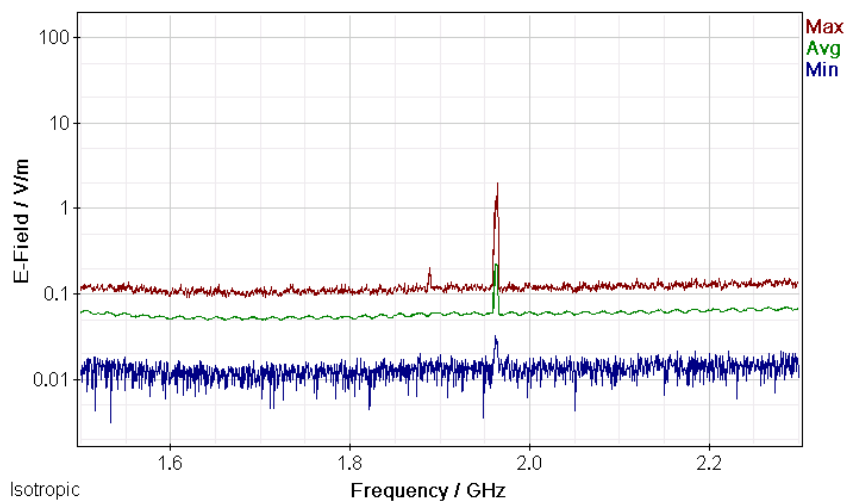


Σχήμα 580: Διακυμάνσεις (α) ελάχιστης (Min), (β) μέσης (Avg) και (γ) μέγιστης (Max) έντασης ηλεκτρικού πεδίου (E-Field) ως συνάρτηση της συχνότητας (Frequency) του πεδίου για μετρήσεις με οργανολογία τύπου NARDA SMR-3006 σε συσκευή κινητής τηλεφωνίας τύπου SAMSUNG GALAXY S4 GT-19500 και παρόχου COSMOTE σε απόσταση 0m από την κεραία της συσκευής κατα τη διάρκεια συνομιλίας δυόμιση λεπτών χωρίς ενεργοποίηση δεδομένων κινητής τηλεφωνίας.

ΜΕΛΕΤΗ Η/Μ ΔΙΑΤΑΡΑΧΩΝ ΚΙΝΗΤΗΣ ΤΗΛΕΦΩΝΙΑΣ

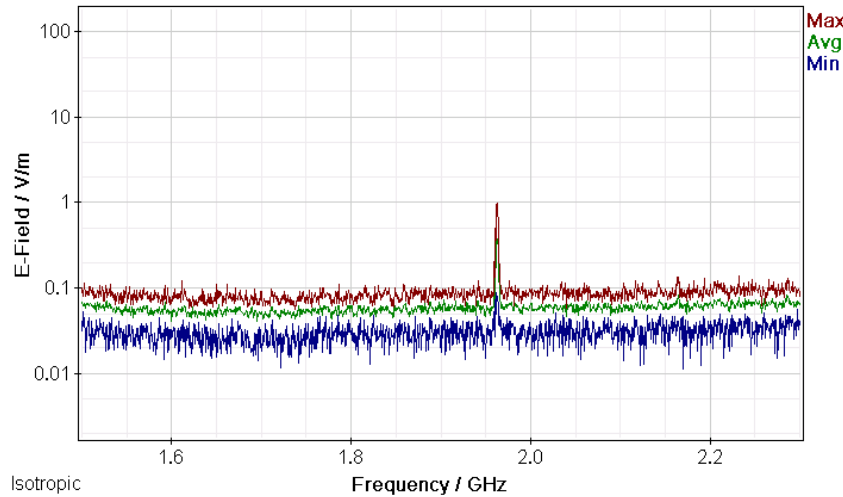


Σχήμα 581: Διακυμάνσεις (α) ελάχιστης (Min), (β) μέσης (Avg) και (γ) μέγιστης (Max) έντασης ηλεκτρικού πεδίου (E-Field) ως συνάρτηση της συχνότητας (Frequency) του πεδίου για μετρήσεις με οργάνολογία τύπου NARDA SMR-3006 σε συσκευή κινητής τηλεφωνίας τύπου SAMSUNG GALAXY S4 GT-19500 και παρόχου COSMOTE σε απόσταση 0m από την κεραία της συσκευής κατά τη διάρκεια πεντάλεπτης συνομιλίας χωρίς ενεργοποίηση δεδομένων κινητής τηλεφωνίας.

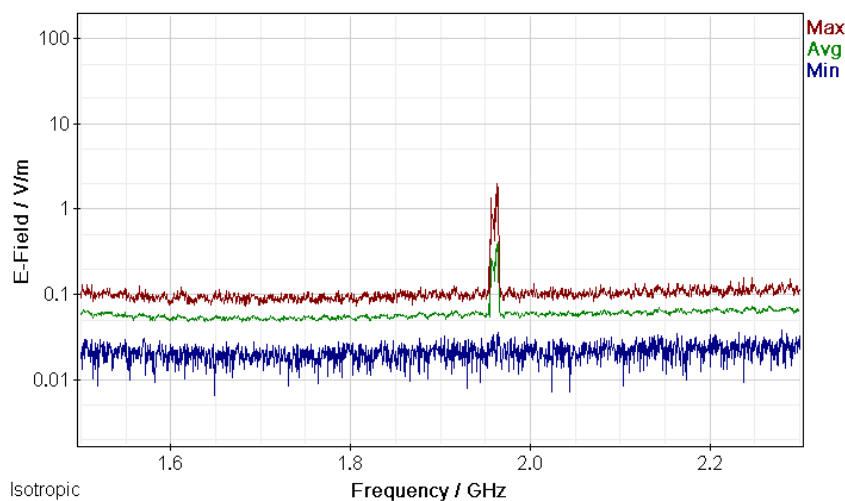


Σχήμα 582: Διακυμάνσεις (α) ελάχιστης (Min), (β) μέσης (Avg) και (γ) μέγιστης (Max) έντασης ηλεκτρικού πεδίου (E-Field) ως συνάρτηση της συχνότητας (Frequency) του πεδίου για μετρήσεις με οργάνολογία τύπου NARDA SMR-3006 σε συσκευή κινητής τηλεφωνίας τύπου SAMSUNG GALAXY S4 GT-19500 και παρόχου COMOTE σε απόσταση 0m από την κεραία της συσκευής κατά τη διάρκεια τερματισμού της κλήσης χωρίς ενεργοποίηση δεδομένων κινητής τηλεφωνίας.

ΜΕΛΕΤΗ Η/Μ ΔΙΑΤΑΡΑΧΩΝ ΚΙΝΗΤΗΣ ΤΗΛΕΦΩΝΙΑΣ



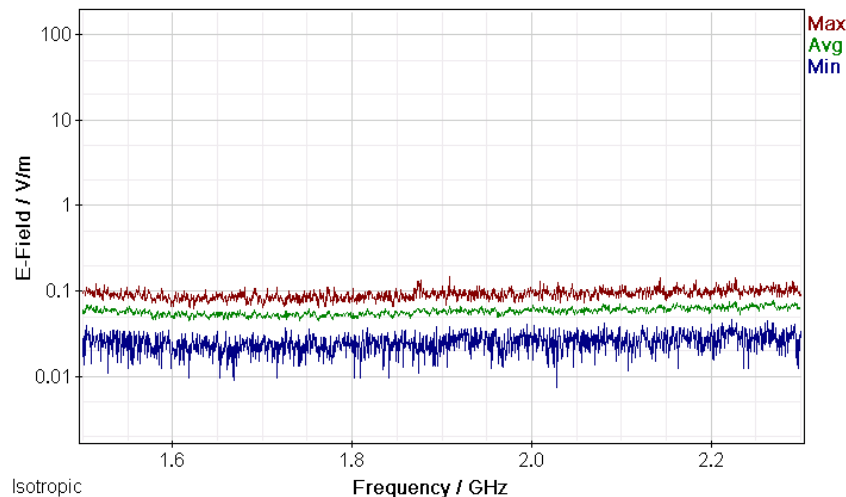
Σχήμα 583: Διακυμάνσεις (α) ελάχιστης (Min), (β) μέσης (Avg) και (γ) μέγιστης (Max) έντασης ηλεκτρικού πεδίου (E-Field) ως συνάρτηση της συχνότητας (Frequency) του πεδίου για μετρήσεις με οργανολογία τύπου NARDA SMR-3006 σε συσκευή κινητής τηλεφωνίας τύπου SAMSUNG GALAXY S4 GT-19500 και παρόχου COSMOTE σε απόσταση 0m από την κεραία της συσκευής κατά τη διάρκεια αναμονής χρήσης της συσκευής με ενεργοποίηση των δεδομένων κινητής τηλεφωνίας χωρίς πρόσβαση στον παγώσιμο ιστό.



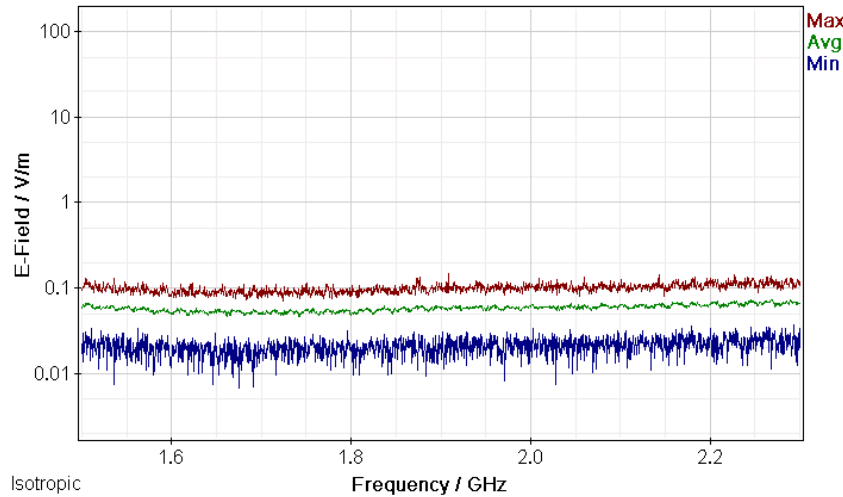
Σχήμα 584: Διακυμάνσεις (α) ελάχιστης (Min), (β) μέσης (Avg) και (γ) μέγιστης (Max) έντασης ηλεκτρικού πεδίου (E-Field) ως συνάρτηση της συχνότητας (Frequency) του πεδίου για μετρήσεις με οργανολογία τύπου NARDA SMR-3006 σε συσκευή κινητής τηλεφωνίας τύπου SAMSUNG GALAXY S4 GT-19500 και παρόχου COSMOTE σε απόσταση 0m από την κεραία της συσκευής κατά τη διάρκεια αναμονής χρήσης της συσκευής με ενεργοποίηση των δεδομένων κινητής τηλεφωνίας και αναζήτησης δεδομένων στον παγώσιμο ιστό.

ΠΑΡΑΡΤΗΜΑ 2

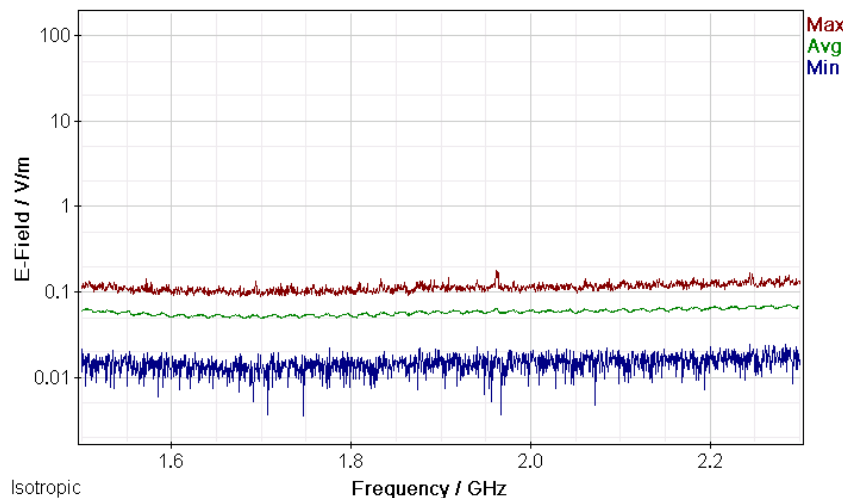
Μετρήσεις διακυμάνσεων (α) ελάχιστης (Min), (β) μέσης (Avg) και (γ) μέγιστης (Max) έντασης ηλεκτρικού πεδίου (E-Field) ως συνάρτηση της συχνότητας (Frequency) του πεδίου για μετρήσεις με οργάνολογία τύπου NARDA SMR-3006 σε συσκευές κινητής τηλεφωνίας διαφόρων τύπων και παρόχων σε απόσταση 1 m από την κεραία των συσκευών.



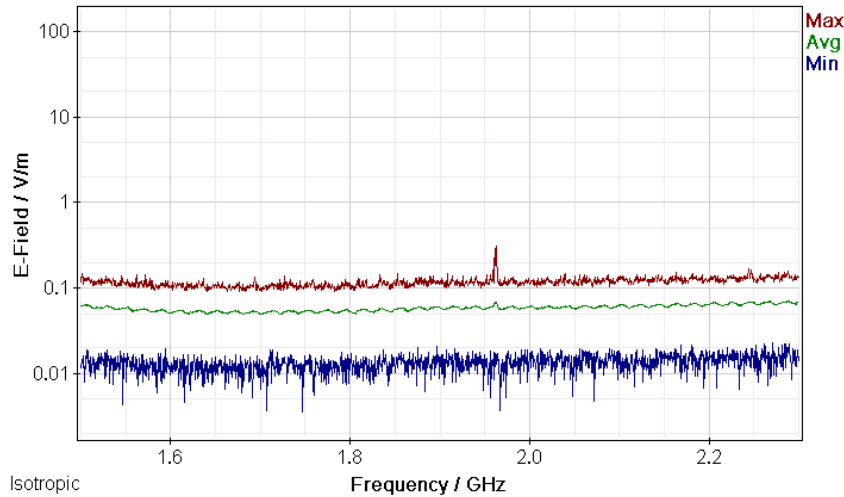
Σχήμα 585: Διακυμάνσεις (α) ελάχιστης (Min), (β) μέσης (Avg) και (γ) μέγιστης (Max) έντασης ηλεκτρικού πεδίου (E-Field) ως συνάρτηση της συχνότητας (Frequency) του πεδίου για μετρήσεις με οργάνολογία τύπου NARDA SMR-3006 σε συσκευή κινητής τηλεφωνίας τύπου SAMSUNG GALAXY S4 GT-19500 και παρόχου COSMOTE σε απόσταση 1m από την κεραία της συσκευής κατά τη διάρκεια αναμονής χρήσης της συσκευής και χωρίς την ενεργοποίηση δεδομένων κινητής τηλεφωνίας.



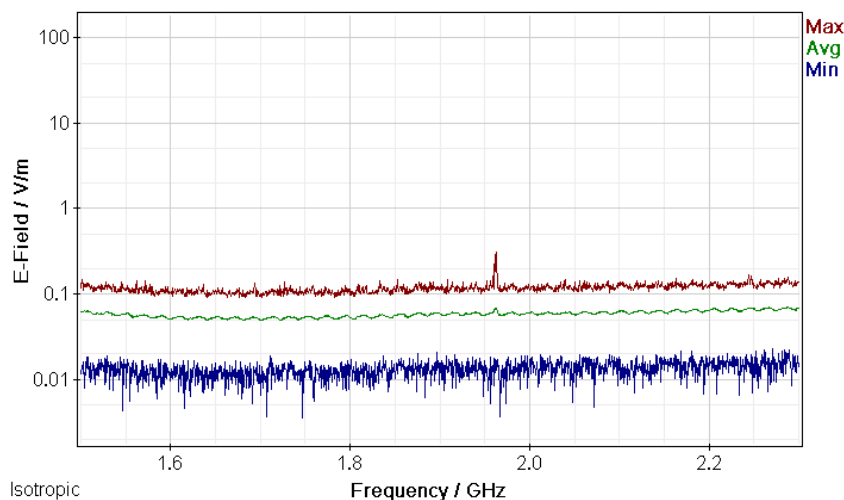
Σχήμα 586: Διακυμάνσεις (α) ελάχιστης (Min), (β) μέσης (Avg) και (γ) μέγιστης (Max) έντασης ηλεκτρικού πεδίου (E-Field) ως συνάρτηση της συχνότητας (Frequency) του πεδίου για μετρήσεις με οργανολογία τύπου NARDA SMR-3006 σε συσκευή κινητής τηλεφωνίας τύπου SAMSUNG GALAXY S4 GT-19500 και παρόχου COSMOTE σε απόσταση 1m από την κεραία της συσκευής κατα τη διάρκεια κλήσης χωρίς συνομιλία και ενεργοποίηση δεδομένων κινητής τηλεφωνίας .



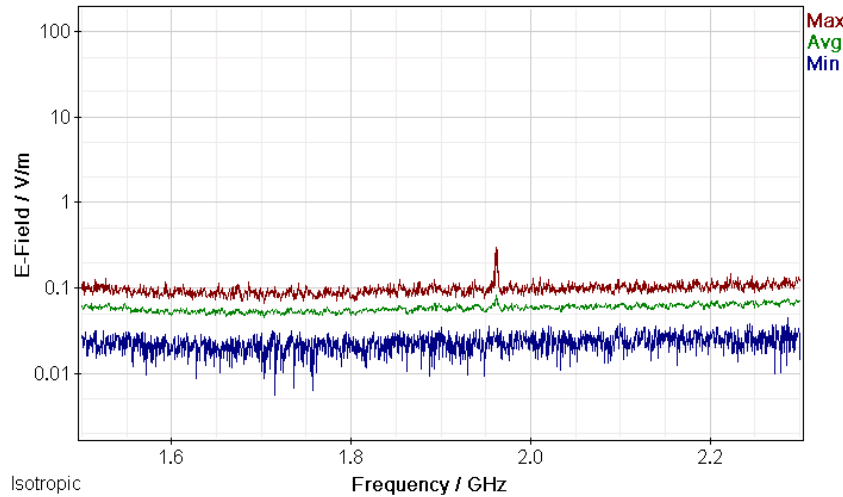
Σχήμα 587: Διακυμάνσεις (α) ελάχιστης (Min), (β) μέσης (Avg) και (γ) μέγιστης (Max) έντασης ηλεκτρικού πεδίου (E-Field) ως συνάρτηση της συχνότητας (Frequency) του πεδίου για μετρήσεις με οργανολογία τύπου NARDA SMR-3006 σε συσκευή κινητής τηλεφωνίας τύπου SAMSUNG GALAXY S4 GT-19500 και παρόχου COSMOTE σε απόσταση 1m από την κεραία της συσκευής κατα τη διάρκεια συνομιλίας δυόμιση λεπτών χωρίς ενεργοποίηση δεδομένων κινητής τηλεφωνίας.



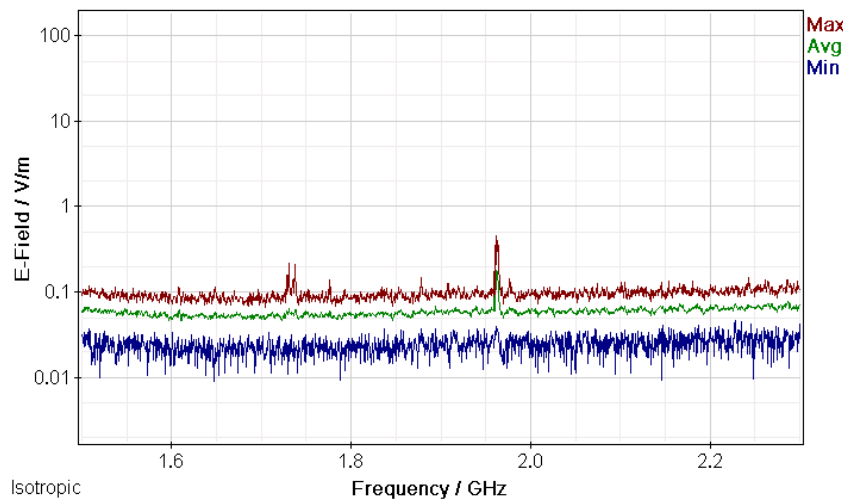
Σχήμα 588: Διακυμάνσεις (α) ελάχιστης (Min), (β) μέσης (Avg) και (γ) μέγιστης (Max) έντασης ηλεκτρικού πεδίου (E-Field) ως συνάρτηση της συχνότητας (Frequency) του πεδίου για μετρήσεις με οργάνολογία τύπου NARDA SMR-3006 σε συσκευή κινητής τηλεφωνίας τύπου SAMSUNG GALAXY S4 GT-19500 και παρόχου COSMOTE σε απόσταση 1m από την κεραία της συσκευής κατά τη διάρκεια πεντάλεπτης συνομιλίας χωρίς ενεργοποίηση δεδομένων κινητής τηλεφωνίας.



Σχήμα 589: Διακυμάνσεις (α) ελάχιστης (Min), (β) μέσης (Avg) και (γ) μέγιστης (Max) έντασης ηλεκτρικού πεδίου (E-Field) ως συνάρτηση της συχνότητας (Frequency) του πεδίου για μετρήσεις με οργάνολογία τύπου NARDA SMR-3006 σε συσκευή κινητής τηλεφωνίας τύπου SAMSUNG GALAXY S4 GT-19500 και παρόχου COSMOTE σε απόσταση 1m από την κεραία της συσκευής κατά τη διάρκεια τερματισμού της κλήσης χωρίς ενεργοποίηση δεδομένων κινητής τηλεφωνίας.



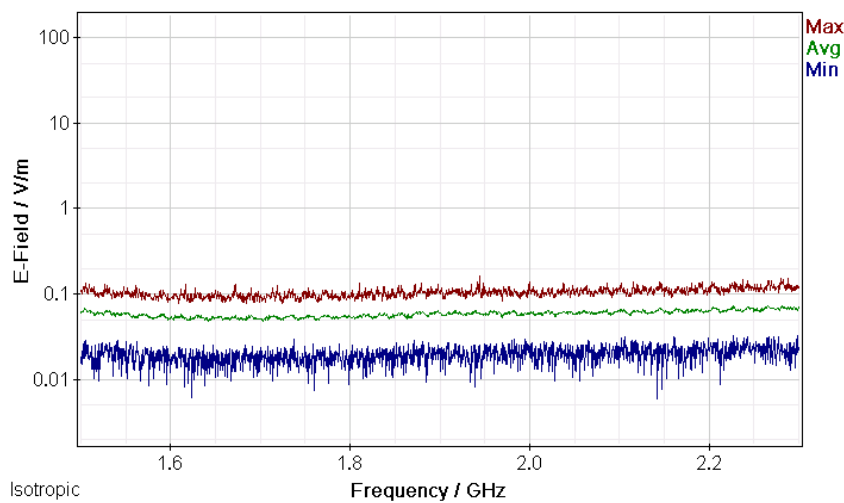
Σχήμα 590: Διακυμάνσεις (α) ελάχιστης (Min), (β) μέσης (Avg) και (γ) μέγιστης (Max) έντασης ηλεκτρικού πεδίου (E-Field) ως συνάρτηση της συχνότητας (Frequency) του πεδίου για μετρήσεις με οργανολογία τύπου NARDA SMR-3006 σε συσκευή κινητής τηλεφωνίας τύπου SAMSUNG GALAXY S4 GT-19500 και παρόχου COSMOTE σε απόσταση 1m από την κεραία της συσκευής κατά τη διάρκεια αναμονής χρήσης της συσκευής με ενεργοποίηση των δεδομένων κινητής τηλεφωνίας χωρίς πρόσβαση στον παγώσιμο ιστό.



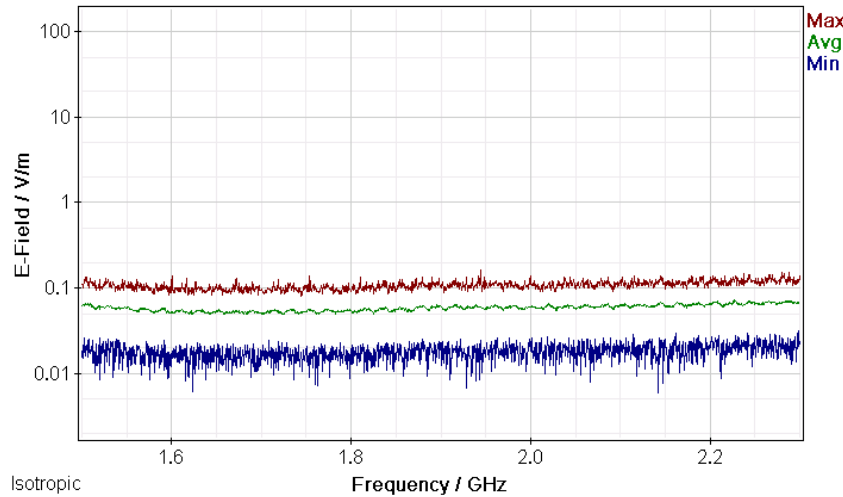
Σχήμα 591: Διακυμάνσεις (α) ελάχιστης (Min), (β) μέσης (Avg) και (γ) μέγιστης (Max) έντασης ηλεκτρικού πεδίου (E-Field) ως συνάρτηση της συχνότητας (Frequency) του πεδίου για μετρήσεις με οργανολογία τύπου NARDA SMR-3006 σε συσκευή κινητής τηλεφωνίας τύπου SAMSUNG GALAXY S4 GT-19500 και παρόχου COSMOTE σε απόσταση 1m από την κεραία της συσκευής κατά τη διάρκεια αναμονής χρήσης της συσκευής με ενεργοποίηση των δεδομένων κινητής τηλεφωνίας και αναζήτησης δεδομένων στον παγώσιμο ιστό.

ΠΑΡΑΡΤΗΜΑ 1

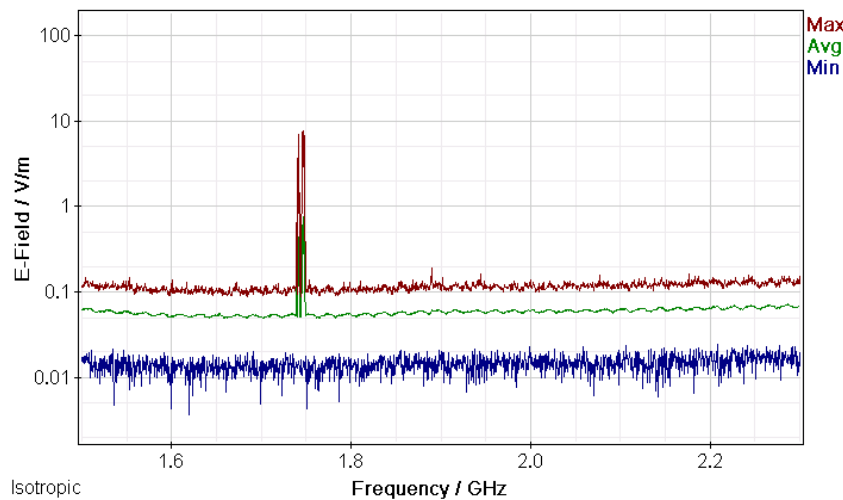
Μετρήσεις διακυμάνσεων (α) ελάχιστης (Min), (β) μέσης (Avg) και (γ) μέγιστης (Max) έντασης ηλεκτρικού πεδίου (E-Field) ως συνάρτηση της συχνότητας (Frequency) του πεδίου για μετρήσεις με οργανολογία τύπου NARDA SMR-3006 σε συσκευές κινητής τηλεφωνίας διαφόρων τύπων και παρόχων σε απόσταση 0 m από την κεραία των συσκευών.



Σχήμα 592: Διακυμάνσεις (α) ελάχιστης (Min), (β) μέσης (Avg) και (γ) μέγιστης (Max) έντασης ηλεκτρικού πεδίου (E-Field) ως συνάρτηση της συχνότητας (Frequency) του πεδίου για μετρήσεις με οργανολογία τύπου NARDA SMR-3006 σε συσκευή κινητής τηλεφωνίας τύπου SAMSUNG GALAXY S4 GT-19500 και παρόχου VODAFONE σε απόσταση 0m από την κεραία της συσκευής κατά τη διάρκεια αναμονής χρήσης της συσκευής και χωρίς την ενεργοποίηση δεδομένων κινητής τηλεφωνίας.

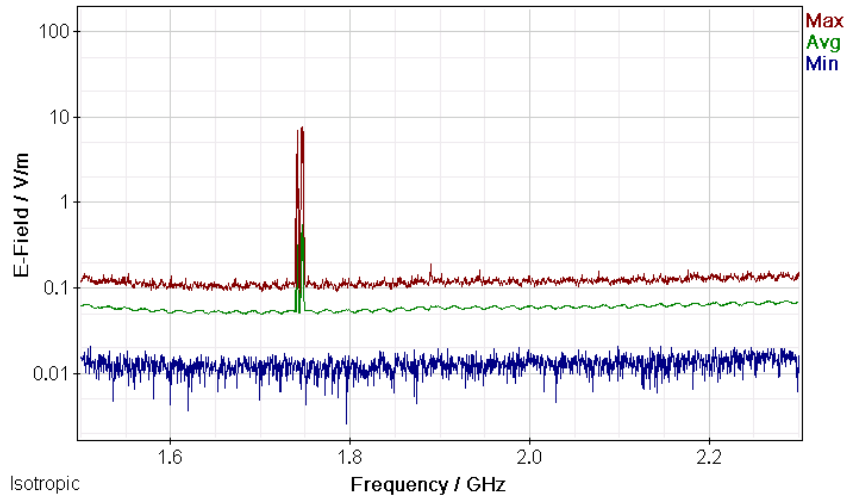


Σχήμα 593: Διακυμάνσεις (α) ελάχιστης (Min), (β) μέσης (Avg) και (γ) μέγιστης (Max) έντασης ηλεκτρικού πεδίου (E-Field) ως συνάρτηση της συχνότητας (Frequency) του πεδίου για μετρήσεις με οργανολογία τύπου NARDA SMR-3006 σε συσκευή κινητής τηλεφωνίας τύπου SAMSUNG GALAXY S4 GT-19500 και παρόχου VODAFONE σε απόσταση 0m από την κεραία της συσκευής κατα τη διάρκεια κλήσης χωρίς συνομιλία και ενεργοποίηση δεδομένων κινητής τηλεφωνίας

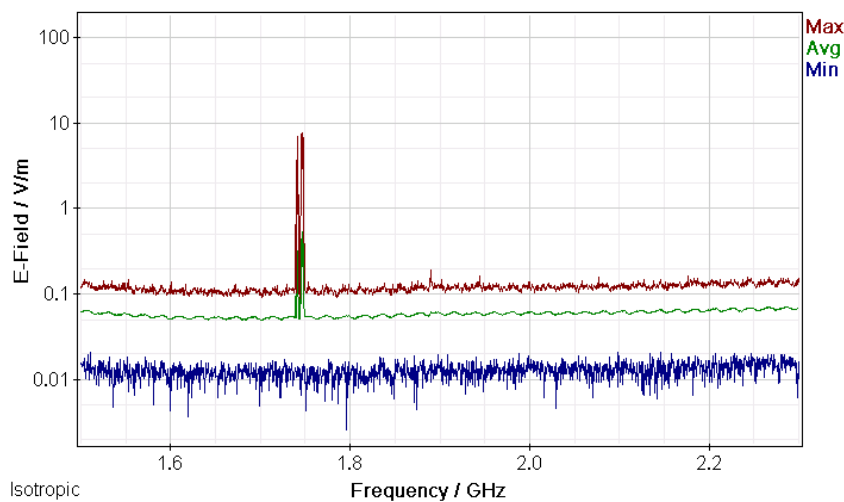


Σχήμα 594: Διακυμάνσεις (α) ελάχιστης (Min), (β) μέσης (Avg) και (γ) μέγιστης (Max) έντασης ηλεκτρικού πεδίου (E-Field) ως συνάρτηση της συχνότητας (Frequency) του πεδίου για μετρήσεις με οργανολογία τύπου NARDA SMR-3006 σε συσκευή κινητής τηλεφωνίας τύπου SAMSUNG GALAXY S4 GT-19500 και παρόχου VODAFONE σε απόσταση 0m από την κεραία της συσκευής κατα τη διάρκεια συνομιλίας δυόμιση λεπτών χωρίς ενεργοποίηση δεδομένων κινητής τηλεφωνίας.

ΜΕΛΕΤΗ Η/Μ ΔΙΑΤΑΡΑΧΩΝ ΚΙΝΗΤΗΣ ΤΗΛΕΦΩΝΙΑΣ

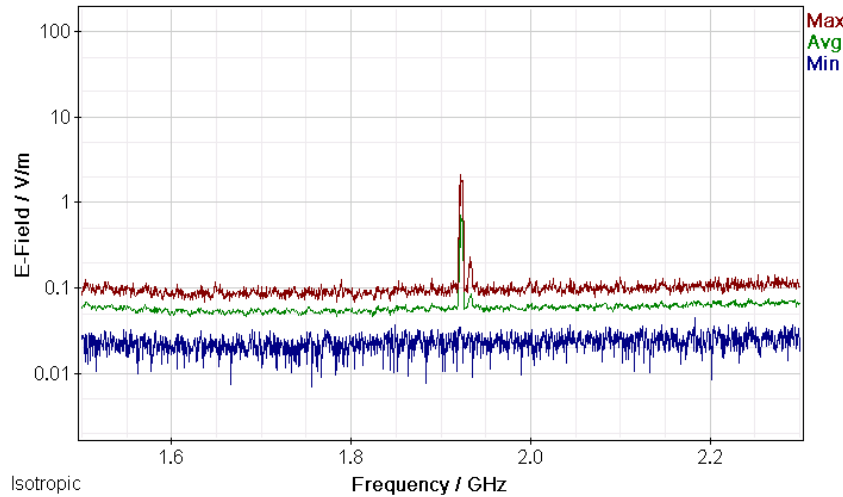


Σχήμα 595: Διακυμάνσεις (α) ελάχιστης (Min), (β) μέσης (Avg) και (γ) μέγιστης (Max) έντασης ηλεκτρικού πεδίου (E-Field) ως συνάρτηση της συχνότητας (Frequency) του πεδίου για μετρήσεις με οργάνολογία τύπου NARDA SMR-3006 σε συσκευή κινητής τηλεφωνίας τύπου SAMSUNG GALAXY S4 GT-19500 και παρόχου VODAFONE σε απόσταση 0m από την κεραία της συσκευής κατά τη διάρκεια πεντάλεπτης συνομιλίας χωρίς ενεργοποίηση δεδομένων κινητής τηλεφωνίας.

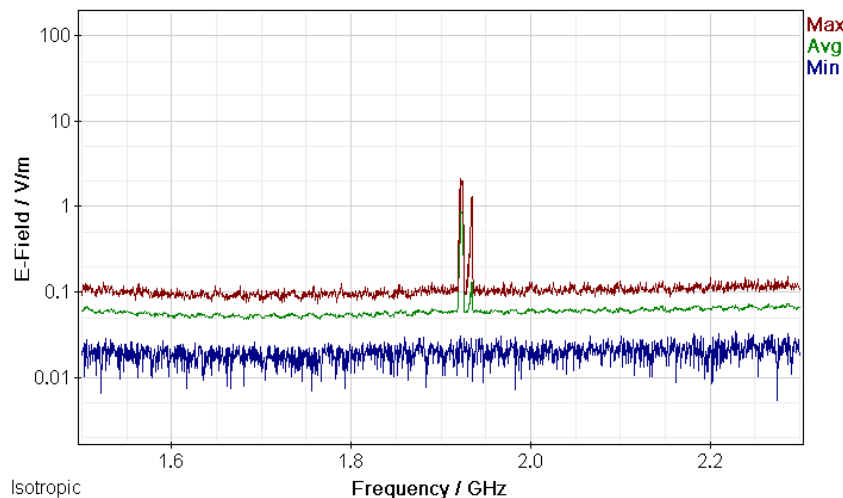


Σχήμα 596: Διακυμάνσεις (α) ελάχιστης (Min), (β) μέσης (Avg) και (γ) μέγιστης (Max) έντασης ηλεκτρικού πεδίου (E-Field) ως συνάρτηση της συχνότητας (Frequency) του πεδίου για μετρήσεις με οργάνολογία τύπου NARDA SMR-3006 σε συσκευή κινητής τηλεφωνίας τύπου SAMSUNG GALAXY S4 GT-19500 και παρόχου VODAFONE σε απόσταση 0m από την κεραία της συσκευής κατά τη διάρκεια τερματισμού της κλήσης χωρίς ενεργοποίηση δεδομένων κινητής τηλεφωνίας.

ΜΕΛΕΤΗ Η/Μ ΔΙΑΤΑΡΑΧΩΝ ΚΙΝΗΤΗΣ ΤΗΛΕΦΩΝΙΑΣ



Σχήμα 597: Διακυμάνσεις (α) ελάχιστης (Min), (β) μέσης (Avg) και (γ) μέγιστης (Max) έντασης ηλεκτρικού πεδίου (E-Field) ως συνάρτηση της συχνότητας (Frequency) του πεδίου για μετρήσεις με οργανολογία τύπου NARDA SMR-3006 σε συσκευή κινητής τηλεφωνίας τύπου SAMSUNG GALAXY S4 GT-19500 και παρόχου VODAFONE σε απόσταση 0m από την κεραία της συσκευής κατά τη διάρκεια αναμονής χρήσης της συσκευής με ενεργοποίηση των δεδομένων κινητής τηλεφωνίας χωρίς πρόσβαση στον παγώσιμο ιστό.



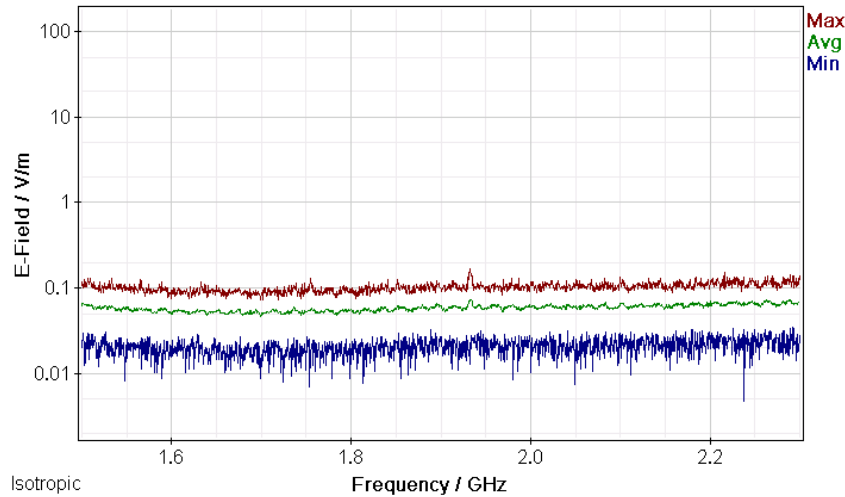
Σχήμα 598: Διακυμάνσεις (α) ελάχιστης (Min), (β) μέσης (Avg) και (γ) μέγιστης (Max) έντασης ηλεκτρικού πεδίου (E-Field) ως συνάρτηση της συχνότητας (Frequency) του πεδίου για μετρήσεις με οργανολογία τύπου NARDA SMR-3006 σε συσκευή κινητής τηλεφωνίας τύπου SAMSUNG GALAXY S4 GT-19500 και παρόχου VODAFONE σε απόσταση 0m από την κεραία της συσκευής κατά τη διάρκεια αναμονής χρήσης της συσκευής με ενεργοποίηση των δεδομένων κινητής τηλεφωνίας και αναζήτησης δεδομένων στον παγώσιμο ιστό.

ΠΑΡΑΡΤΗΜΑ 2

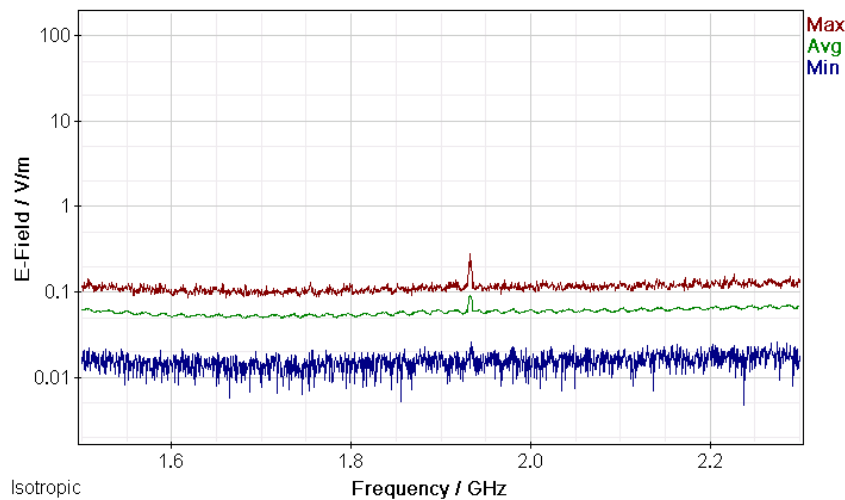
Μετρήσεις διακυμάνσεων (α) ελάχιστης (Min), (β) μέσης (Avg) και (γ) μέγιστης (Max) έντασης ηλεκτρικού πεδίου (E-Field) ως συνάρτηση της συχνότητας (Frequency) του πεδίου για μετρήσεις με οργανολογία τύπου NARDA SMR-3006 σε συσκευές κινητής τηλεφωνίας διαφόρων τύπων και παρόχων σε απόσταση 1 m από την κεραία των συσκευών.



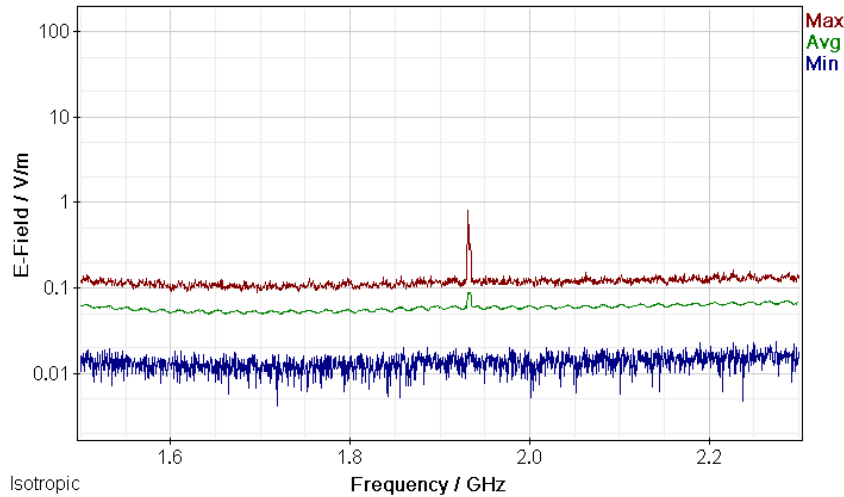
Σχήμα 599: Διακυμάνσεις (α) ελάχιστης (Min), (β) μέσης (Avg) και (γ) μέγιστης (Max) έντασης ηλεκτρικού πεδίου (E-Field) ως συνάρτηση της συχνότητας (Frequency) του πεδίου για μετρήσεις με οργανολογία τύπου NARDA SMR-3006 σε συσκευή κινητής τηλεφωνίας τύπου SAMSUNG GALAXY S4 GT-19500 και παρόχου VODAFONE σε απόσταση 1m από την κεραία της συσκευής κατά τη διάρκεια αναμονής χρήσης της συσκευής και χωρίς την ενεργοποίηση δεδομένων κινητής τηλεφωνίας.



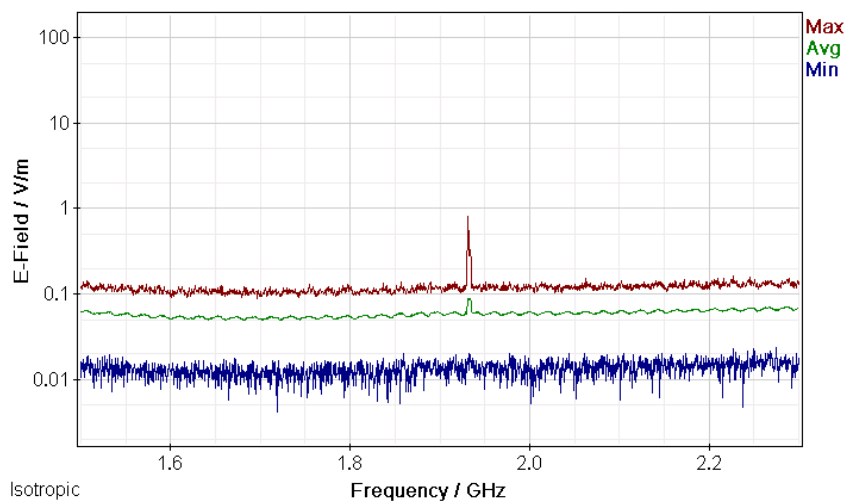
Σχήμα 600: Διακυμάνσεις (α) ελάχιστης (Min), (β) μέσης (Avg) και (γ) μέγιστης (Max) έντασης ηλεκτρικού πεδίου (E-Field) ως συνάρτηση της συχνότητας (Frequency) του πεδίου για μετρήσεις με οργανολογία τύπου NARDA SMR-3006 σε συσκευή κινητής τηλεφωνίας τύπου SAMSUNG GALAXY S4 GT-19500 και παρόχου VODAFONE σε απόσταση 1m από την κεραία της συσκευής κατα τη διάρκεια κλήσης χωρίς συνομιλία και ενεργοποίηση δεδομένων κινητής τηλεφωνίας



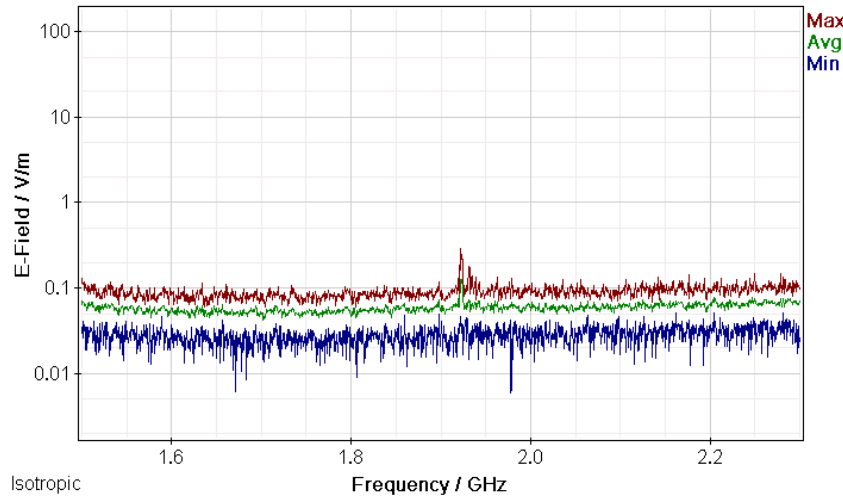
Σχήμα 601: Διακυμάνσεις (α) ελάχιστης (Min), (β) μέσης (Avg) και (γ) μέγιστης (Max) έντασης ηλεκτρικού πεδίου (E-Field) ως συνάρτηση της συχνότητας (Frequency) του πεδίου για μετρήσεις με οργανολογία τύπου NARDA SMR-3006 σε συσκευή κινητής τηλεφωνίας τύπου SAMSUNG GALAXY S4 GT-19500 και παρόχου VODAFONE σε απόσταση 1m από την κεραία της συσκευής κατα τη διάρκεια συνομιλίας δυόμιση λεπτών χωρίς ενεργοποίηση δεδομένων κινητής τηλεφωνίας.



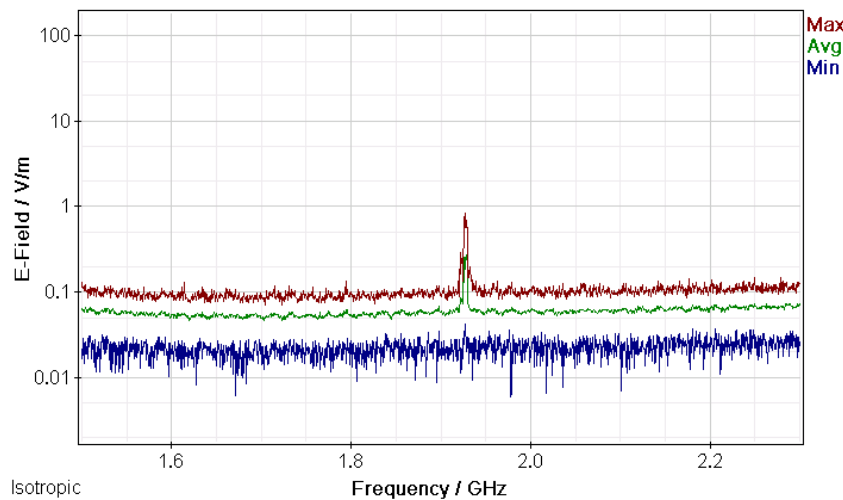
Σχήμα 602: Διακυμάνσεις (α) ελάχιστης (Min), (β) μέσης (Avg) και (γ) μέγιστης (Max) έντασης ηλεκτρικού πεδίου (E-Field) ως συνάρτηση της συχνότητας (Frequency) του πεδίου για μετρήσεις με οργάνολογία τύπου NARDA SMR-3006 σε συσκευή κινητής τηλεφωνίας τύπου SAMSUNG GALAXY S4 GT-19500 και παρόχου VODAFONE σε απόσταση 1m από την κεραία της συσκευής κατά τη διάρκεια πεντάλεπτης συνομιλίας χωρίς ενεργοποίηση δεδομένων κινητής τηλεφωνίας.



Σχήμα 603: Διακυμάνσεις (α) ελάχιστης (Min), (β) μέσης (Avg) και (γ) μέγιστης (Max) έντασης ηλεκτρικού πεδίου (E-Field) ως συνάρτηση της συχνότητας (Frequency) του πεδίου για μετρήσεις με οργάνολογία τύπου NARDA SMR-3006 σε συσκευή κινητής τηλεφωνίας τύπου SAMSUNG GALAXY S4 GT-19500 και παρόχου VODAFONE σε απόσταση 1m από την κεραία της συσκευής κατά τη διάρκεια τερματισμού της κλήσης χωρίς ενεργοποίηση δεδομένων κινητής τηλεφωνίας.



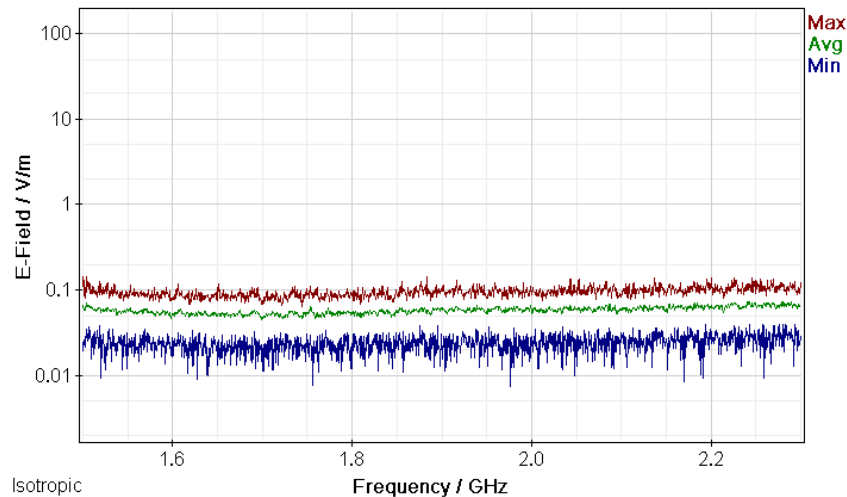
Σχήμα 604: Διακυμάνσεις (α) ελάχιστης (Min), (β) μέσης (Avg) και (γ) μέγιστης (Max) έντασης ηλεκτρικού πεδίου (E-Field) ως συνάρτηση της συχνότητας (Frequency) του πεδίου για μετρήσεις με οργανολογία τύπου NARDA SMR-3006 σε συσκευή κινητής τηλεφωνίας τύπου SAMSUNG GALAXY S4 GT-19500 και παρόχου VODAFONE σε απόσταση 1m από την κεραία της συσκευής κατα τη διάρκεια αναμονής χρήσης της συσκευής με ενεργοποίηση των δεδομένων κινητής τηλεφωνίας χωρίς πρόσβαση στον παγόσμιο ιστό.



Σχήμα 605: Διακυμάνσεις (α) ελάχιστης (Min), (β) μέσης (Avg) και (γ) μέγιστης (Max) έντασης ηλεκτρικού πεδίου (E-Field) ως συνάρτηση της συχνότητας (Frequency) του πεδίου για μετρήσεις με οργανολογία τύπου NARDA SMR-3006 σε συσκευή κινητής τηλεφωνίας τύπου SAMSUNG GALAXY S4 GT-19500 και παρόχου VODAFONE σε απόσταση 1m από την κεραία της συσκευής κατα τη διάρκεια αναμονής χρήσης της συσκευής με ενεργοποίηση των δεδομένων κινητής τηλεφωνίας και αναζήτησης δεδομένων στον παγόσμιο ιστό.

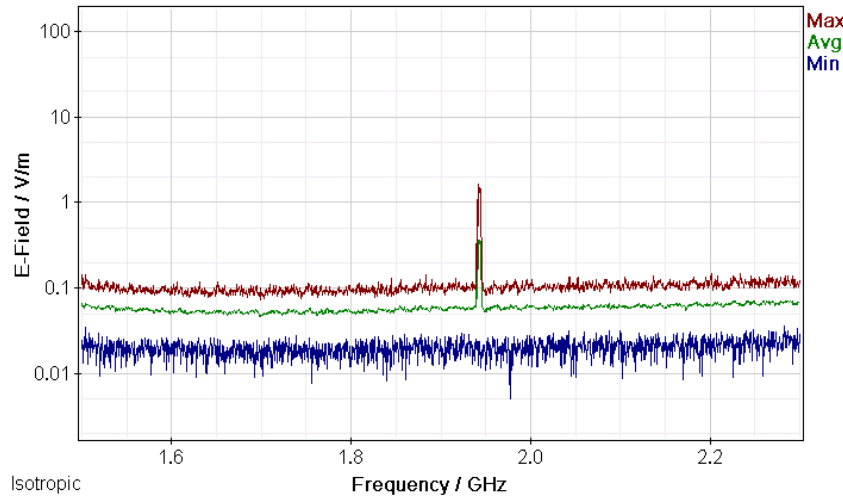
ΠΑΡΑΡΤΗΜΑ 1

Μετρήσεις διακυμάνσεων (α) ελάχιστης (Min), (β) μέσης (Avg) και (γ) μέγιστης (Max) έντασης ηλεκτρικού πεδίου (E-Field) ως συνάρτηση της συχνότητας (Frequency) του πεδίου για μετρήσεις με οργάνολογία τύπου NARDA SMR-3006 σε συσκευές κινητής τηλεφωνίας διαφόρων τύπων και παρόχων σε απόσταση 0 m από την κεραία των συσκευών.

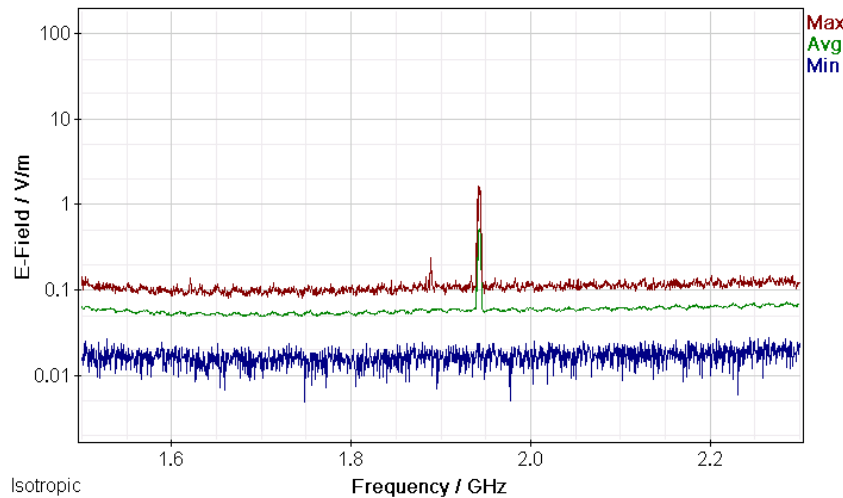


Σχήμα 606: Διακυμάνσεις (α) ελάχιστης (Min), (β) μέσης (Avg) και (γ) μέγιστης (Max) έντασης ηλεκτρικού πεδίου (E-Field) ως συνάρτηση της συχνότητας (Frequency) του πεδίου για μετρήσεις με οργάνολογία τύπου NARDA SMR-3006 σε συσκευή κινητής τηλεφωνίας τύπου SAMSUNG GALAXY S4 GT-19500 και παρόχου WIND σε απόσταση 0m από την κεραία της συσκευής κατα τη διάρκεια αναμονής χρήσης της συσκευής και χωρίς την ενεργοποίηση δεδομένων κινητής τηλεφωνίας.

ΜΕΛΕΤΗ Η/Μ ΔΙΑΤΑΡΑΧΩΝ ΚΙΝΗΤΗΣ ΤΗΛΕΦΩΝΙΑΣ

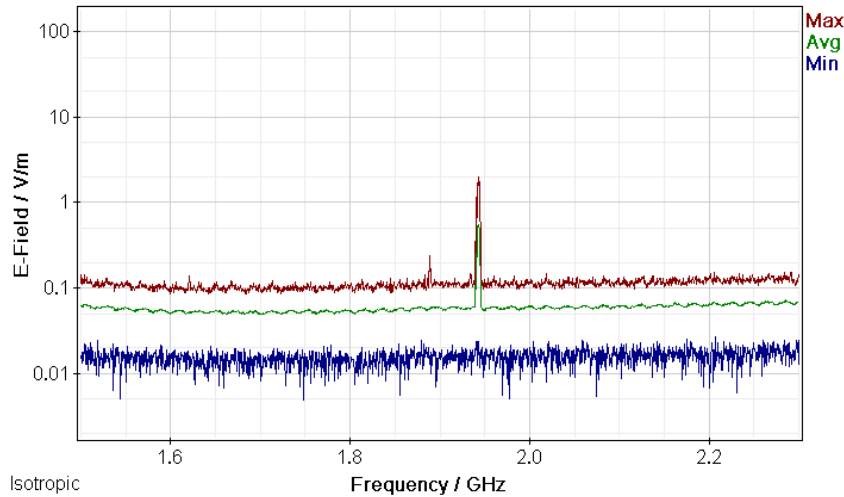


Σχήμα 607: Διακυμάνσεις (α) ελάχιστης (Min), (β) μέσης (Avg) και (γ) μέγιστης (Max) έντασης ηλεκτρικού πεδίου (E-Field) ως συνάρτηση της συχνότητας (Frequency) του πεδίου για μετρήσεις με οργανολογία τύπου NARDA SMR-3006 σε συσκευή κινητής τηλεφωνίας τύπου SAMSUNG GALAXY S4 GT-19500 και παρόχου WIND σε απόσταση 0m από την κεραία της συσκευής κατα τη διάρκεια κλήσης χωρίς συνομιλία και ενεργοποίηση δεδομένων κινητής τηλεφωνίας .

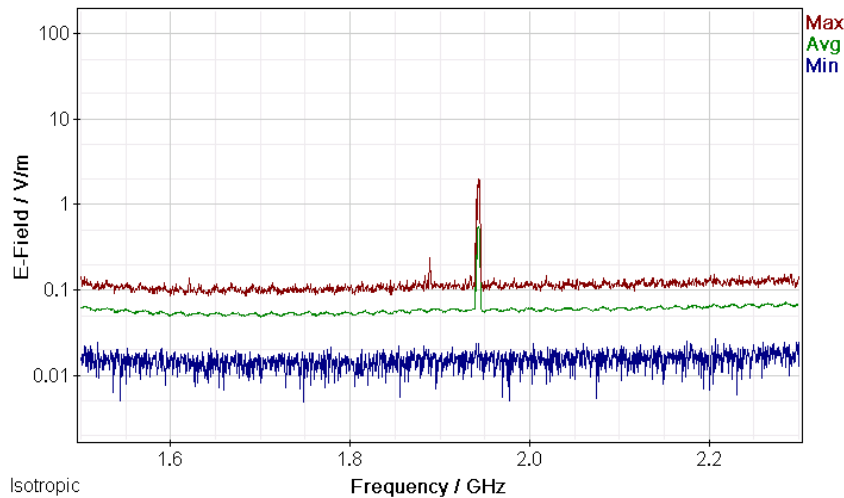


Σχήμα 608: Διακυμάνσεις (α) ελάχιστης (Min), (β) μέσης (Avg) και (γ) μέγιστης (Max) έντασης ηλεκτρικού πεδίου (E-Field) ως συνάρτηση της συχνότητας (Frequency) του πεδίου για μετρήσεις με οργανολογία τύπου NARDA SMR-3006 σε συσκευή κινητής τηλεφωνίας τύπου SAMSUNG GALAXY S4 GT-19500 και παρόχου WIND σε απόσταση 0m από την κεραία της συσκευής κατα τη διάρκεια συνομιλίας δυόμιση λεπτών χωρίς ενεργοποίηση δεδομένων κινητής τηλεφωνίας.

ΜΕΛΕΤΗ Η/Μ ΔΙΑΤΑΡΑΧΩΝ ΚΙΝΗΤΗΣ ΤΗΛΕΦΩΝΙΑΣ

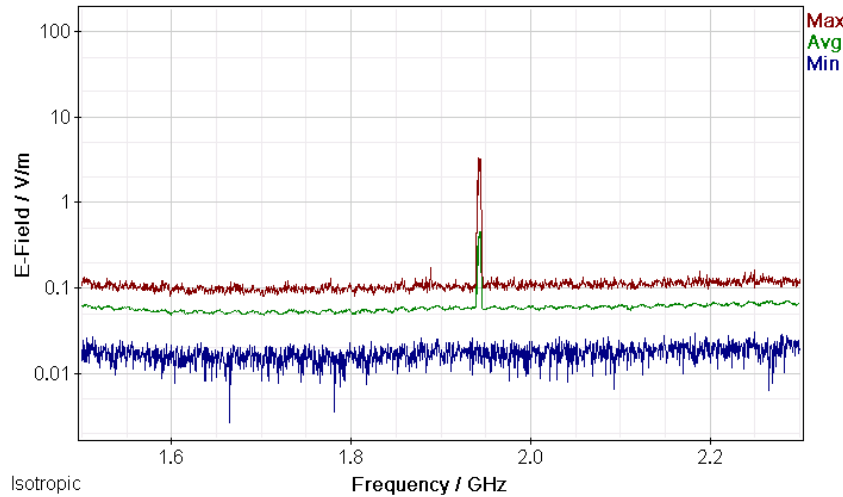


Σχήμα 609: Διακυμάνσεις (α) ελάχιστης (Min), (β) μέσης (Avg) και (γ) μέγιστης (Max) έντασης ηλεκτρικού πεδίου (E-Field) ως συνάρτηση της συχνότητας (Frequency) του πεδίου για μετρήσεις με οργάνολογία τύπου NARDA SMR-3006 σε συσκευή κινητής τηλεφωνίας τύπου SAMSUNG GALAXY S4 GT-19500 και παρόχου WIND σε απόσταση 0m από την κεραία της συσκευής κατά τη διάρκεια πεντάλεπτης συνομιλίας χωρίς ενεργοποίηση δεδομένων κινητής τηλεφωνίας.

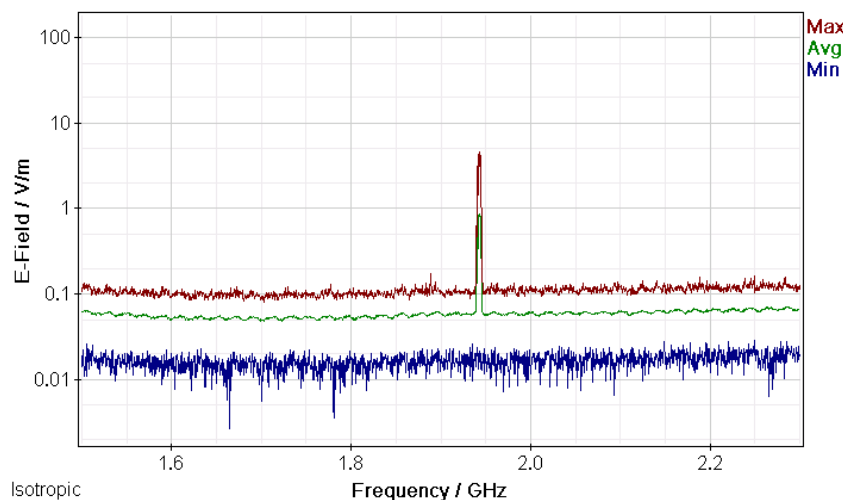


Σχήμα 610: Διακυμάνσεις (α) ελάχιστης (Min), (β) μέσης (Avg) και (γ) μέγιστης (Max) έντασης ηλεκτρικού πεδίου (E-Field) ως συνάρτηση της συχνότητας (Frequency) του πεδίου για μετρήσεις με οργάνολογία τύπου NARDA SMR-3006 σε συσκευή κινητής τηλεφωνίας τύπου SAMSUNG GALAXY S4 GT-19500 και παρόχου WIND σε απόσταση 0m από την κεραία της συσκευής κατά τη διάρκεια τερματισμού της κλήσης χωρίς ενεργοποίηση δεδομένων κινητής τηλεφωνίας.

ΜΕΛΕΤΗ Η/Μ ΔΙΑΤΑΡΑΧΩΝ ΚΙΝΗΤΗΣ ΤΗΛΕΦΩΝΙΑΣ



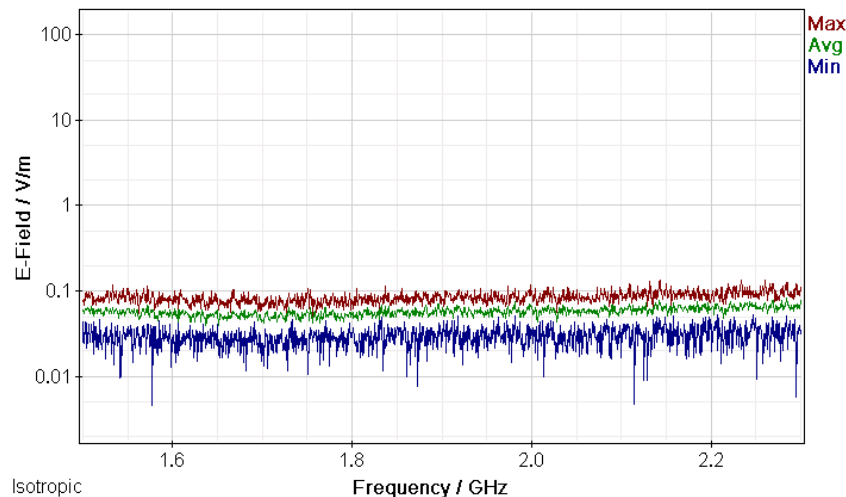
Σχήμα 611: Διακυμάνσεις (α) ελάχιστης (Min), (β) μέσης (Avg) και (γ) μέγιστης (Max) έντασης ηλεκτρικού πεδίου (E-Field) ως συνάρτηση της συχνότητας (Frequency) του πεδίου για μετρήσεις με οργανολογία τύπου NARDA SMR-3006 σε συσκευή κινητής τηλεφωνίας τύπου SAMSUNG GALAXY S4 GT-19500 και παρόχου WIND σε απόσταση 0m από την κεραία της συσκευής κατά τη διάρκεια αναμονής χρήσης της συσκευής με ενεργοποίηση των δεδομένων κινητής τηλεφωνίας χωρίς πρόσβαση στον παγώσιμο ιστό.



Σχήμα 612: Διακυμάνσεις (α) ελάχιστης (Min), (β) μέσης (Avg) και (γ) μέγιστης (Max) έντασης ηλεκτρικού πεδίου (E-Field) ως συνάρτηση της συχνότητας (Frequency) του πεδίου για μετρήσεις με οργανολογία τύπου NARDA SMR-3006 σε συσκευή κινητής τηλεφωνίας τύπου SAMSUNG GALAXY S4 GT-19500 και παρόχου WIND σε απόσταση 0m από την κεραία της συσκευής κατά τη διάρκεια αναμονής χρήσης της συσκευής με ενεργοποίηση των δεδομένων κινητής τηλεφωνίας και αναζήτησης δεδομένων στον παγώσιμο ιστό.

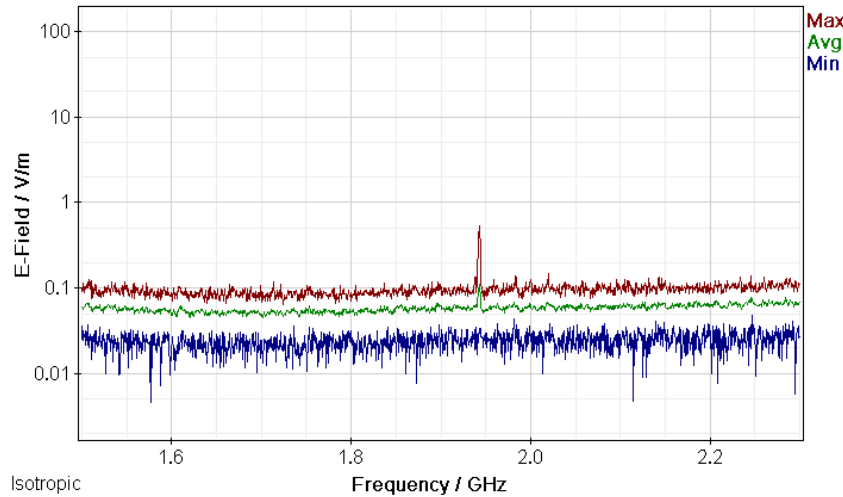
ΠΑΡΑΡΤΗΜΑ 2

Μετρήσεις διακυμάνσεων (α) ελάχιστης (Min), (β) μέσης (Avg) και (γ) μέγιστης (Max) έντασης ηλεκτρικού πεδίου (E-Field) ως συνάρτηση της συχνότητας (Frequency) του πεδίου για μετρήσεις με οργανολογία τύπου NARDA SMR-3006 σε συσκευές κινητής τηλεφωνίας διαφόρων τύπων και παρόχων σε απόσταση 1 m από την κεραία των συσκευών.

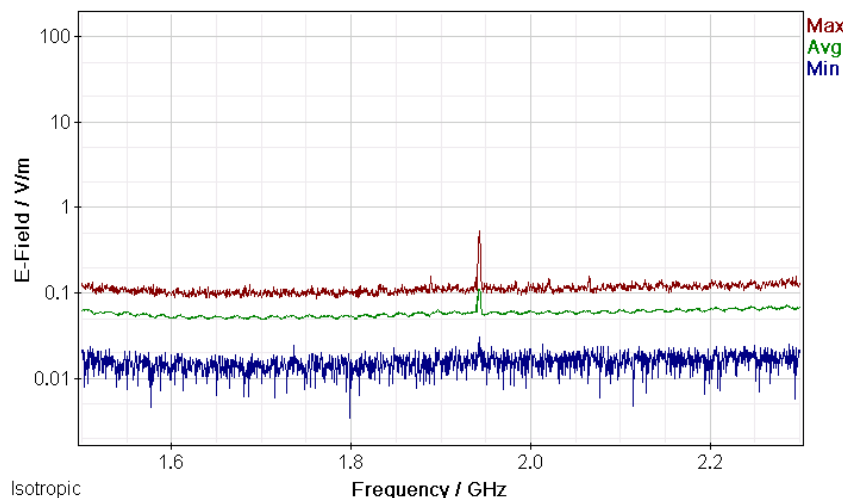


Σχήμα 613: Διακυμάνσεις (α) ελάχιστης (Min), (β) μέσης (Avg) και (γ) μέγιστης (Max) έντασης ηλεκτρικού πεδίου (E-Field) ως συνάρτηση της συχνότητας (Frequency) του πεδίου για μετρήσεις με οργανολογία τύπου NARDA SMR-3006 σε συσκευή κινητής τηλεφωνίας τύπου SAMSUNG GALAXY S4 GT-19500 και παρόχου WIND σε απόσταση 1m από την κεραία της συσκευής κατά τη διάρκεια αναμονής χρήσης της συσκευής και χωρίς την ενεργοποίηση δεδομένων κινητής τηλεφωνίας.

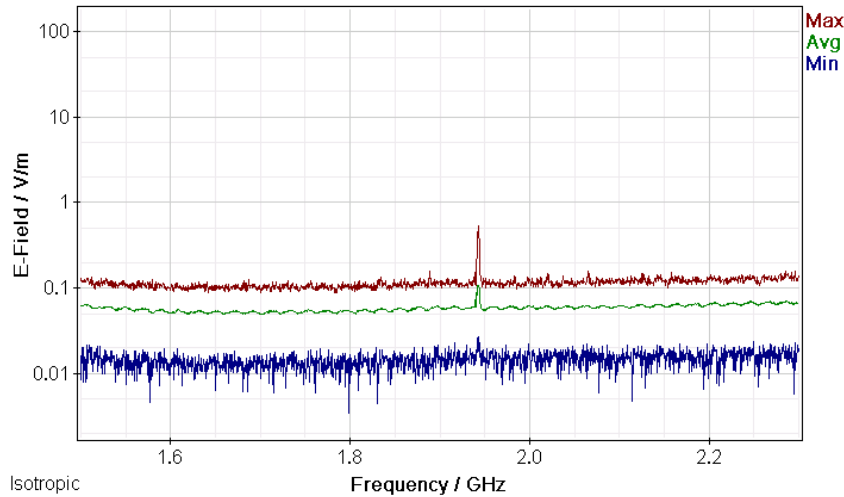
ΜΕΛΕΤΗ Η/Μ ΔΙΑΤΑΡΑΧΩΝ ΚΙΝΗΤΗΣ ΤΗΛΕΦΩΝΙΑΣ



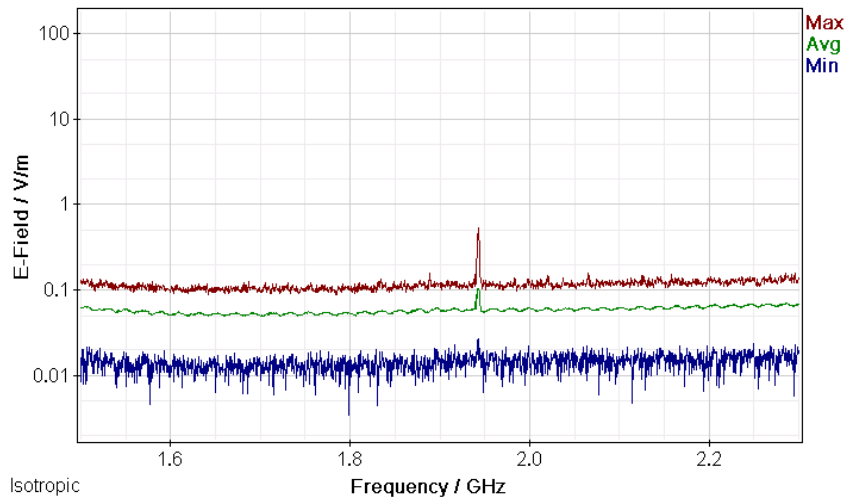
Σχήμα 614: Διακυμάνσεις (α) ελάχιστης (Min), (β) μέσης (Avg) και (γ) μέγιστης (Max) έντασης ηλεκτρικού πεδίου (E-Field) ως συνάρτηση της συχνότητας (Frequency) του πεδίου για μετρήσεις με οργάνολογία τύπου NARDA SMR-3006 σε συσκευή κινητής τηλεφωνίας τύπου SONY XPERIA E5603 και παρόχου WIND σε απόσταση 1m από την κεραία της συσκευής κατά τη διάρκεια κλήσης χωρίς συνομιλία και ενεργοποίηση δεδομένων κινητής τηλεφωνίας .



Σχήμα 615: Διακυμάνσεις (α) ελάχιστης (Min), (β) μέσης (Avg) και (γ) μέγιστης (Max) έντασης ηλεκτρικού πεδίου (E-Field) ως συνάρτηση της συχνότητας (Frequency) του πεδίου για μετρήσεις με οργάνολογία τύπου NARDA SMR-3006 σε συσκευή κινητής τηλεφωνίας τύπου SAMSUNG GALAXY S4 GT-19500 και παρόχου WIND σε απόσταση 1m από την κεραία της συσκευής κατά τη διάρκεια συνομιλίας δυόμιση λεπτών χωρίς ενεργοποίηση δεδομένων κινητής τηλεφωνίας.

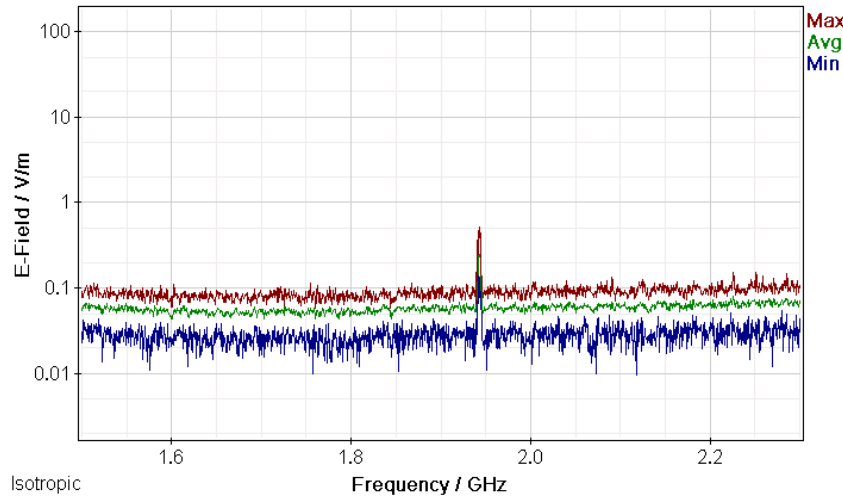


Σχήμα 616: Διακυμάνσεις (α) ελάχιστης (Min), (β) μέσης (Avg) και (γ) μέγιστης (Max) έντασης ηλεκτρικού πεδίου (E-Field) ως συνάρτηση της συχνότητας (Frequency) του πεδίου για μετρήσεις με οργάνολογία τύπου NARDA SMR-3006 σε συσκευή κινητής τηλεφωνίας τύπου SAMSUNG GALAXY S4 GT-19500 και παρόχου WIND σε απόσταση 1m από την κεραία της συσκευής κατά τη διάρκεια πεντάλεπτης συνομιλίας χωρίς ενεργοποίηση δεδομένων κινητής τηλεφωνίας.

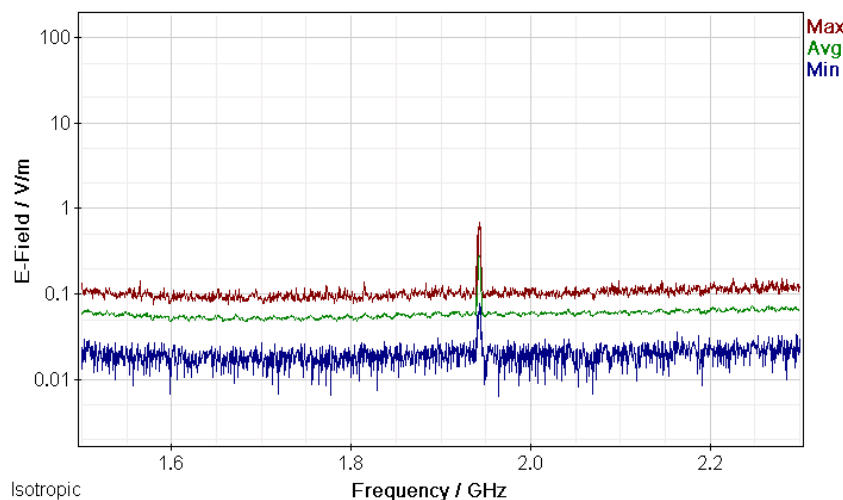


Σχήμα 617: Διακυμάνσεις (α) ελάχιστης (Min), (β) μέσης (Avg) και (γ) μέγιστης (Max) έντασης ηλεκτρικού πεδίου (E-Field) ως συνάρτηση της συχνότητας (Frequency) του πεδίου για μετρήσεις με οργάνολογία τύπου NARDA SMR-3006 σε συσκευή κινητής τηλεφωνίας τύπου SAMSUNG GALAXY S4 GT-19500 και παρόχου WIND σε απόσταση 1m από την κεραία της συσκευής κατά τη διάρκεια τερματισμού της κλήσης χωρίς ενεργοποίηση δεδομένων κινητής τηλεφωνίας.

ΜΕΛΕΤΗ Η/Μ ΔΙΑΤΑΡΑΧΩΝ ΚΙΝΗΤΗΣ ΤΗΛΕΦΩΝΙΑΣ



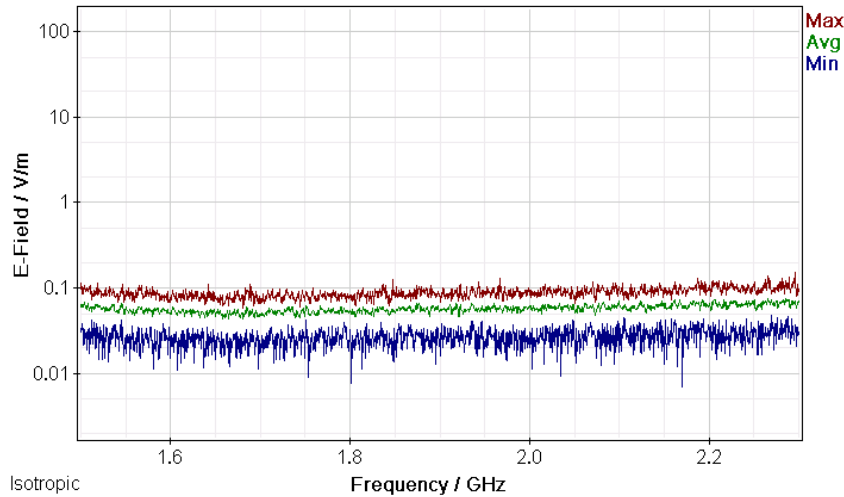
Σχήμα 618: Διακυμάνσεις (α) ελάχιστης (Min), (β) μέσης (Avg) και (γ) μέγιστης (Max) έντασης ηλεκτρικού πεδίου (E-Field) ως συνάρτηση της συχνότητας (Frequency) του πεδίου για μετρήσεις με οργανολογία τύπου NARDA SMR-3006 σε συσκευή κινητής τηλεφωνίας τύπου SAMSUNG GALAXY S4 GT-19500 και παρόχου WIND σε απόσταση 1m από την κεραία της συσκευής κατά τη διάρκεια αναμονής χρήσης της συσκευής με ενεργοποίηση των δεδομένων κινητής τηλεφωνίας χωρίς πρόσβαση στον παγώσιμο ιστό.



Σχήμα 619: Διακυμάνσεις (α) ελάχιστης (Min), (β) μέσης (Avg) και (γ) μέγιστης (Max) έντασης ηλεκτρικού πεδίου (E-Field) ως συνάρτηση της συχνότητας (Frequency) του πεδίου για μετρήσεις με οργανολογία τύπου NARDA SMR-3006 σε συσκευή κινητής τηλεφωνίας τύπου SAMSUNG GALAXY S4 GT-19500 και παρόχου WIND σε απόσταση 1m από την κεραία της συσκευής κατά τη διάρκεια αναμονής χρήσης της συσκευής με ενεργοποίηση των δεδομένων κινητής τηλεφωνίας και αναζήτησης δεδομένων στον παγώσιμο ιστό.

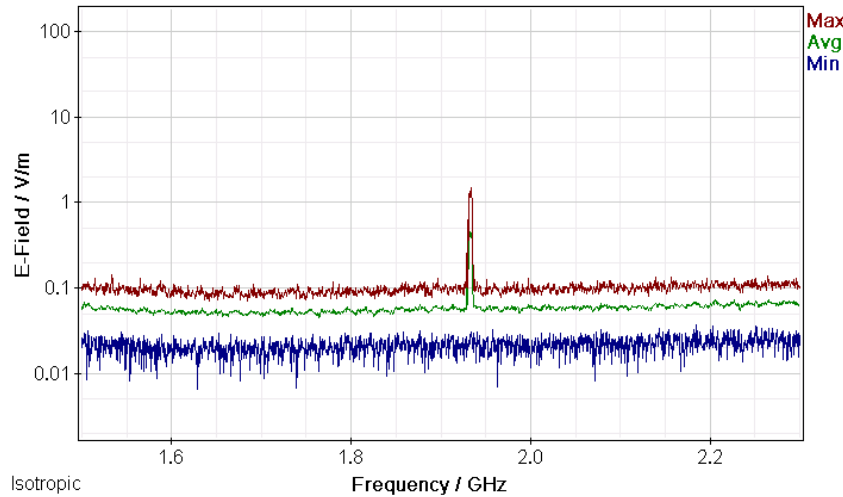
ΠΑΡΑΡΤΗΜΑ 1

Μετρήσεις διακυμάνσεων (α) ελάχιστης (Min), (β) μέσης (Avg) και (γ) μέγιστης (Max) έντασης ηλεκτρικού πεδίου (E-Field) ως συνάρτηση της συχνότητας (Frequency) του πεδίου για μετρήσεις με οργανολογία τύπου NARDA SMR-3006 σε συσκευές κινητής τηλεφωνίας διαφόρων τύπων και παρόχων σε απόσταση 0 m από την κεραία των συσκευών.

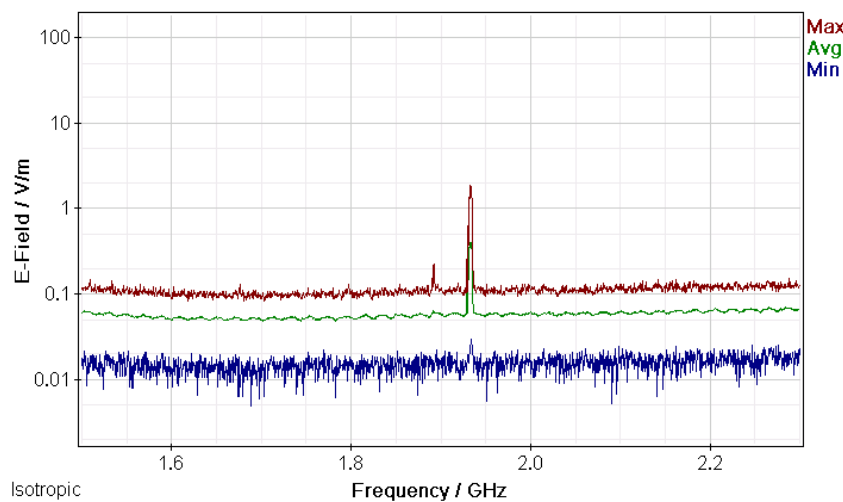


Σχήμα 620: Διακυμάνσεις (α) ελάχιστης (Min), (β) μέσης (Avg) και (γ) μέγιστης (Max) έντασης ηλεκτρικού πεδίου (E-Field) ως συνάρτηση της συχνότητας (Frequency) του πεδίου για μετρήσεις με οργανολογία τύπου NARDA SMR-3006 σε συσκευή κινητής τηλεφωνίας τύπου SAMSUNG GALAXY SM-G361F και παρόχου VODAFONE σε απόσταση 0m από την κεραία της συσκευής κατά τη διάρκεια αναμονής χρήσης της συσκευής και χωρίς την ενεργοποίηση δεδομένων κινητής τηλεφωνίας.

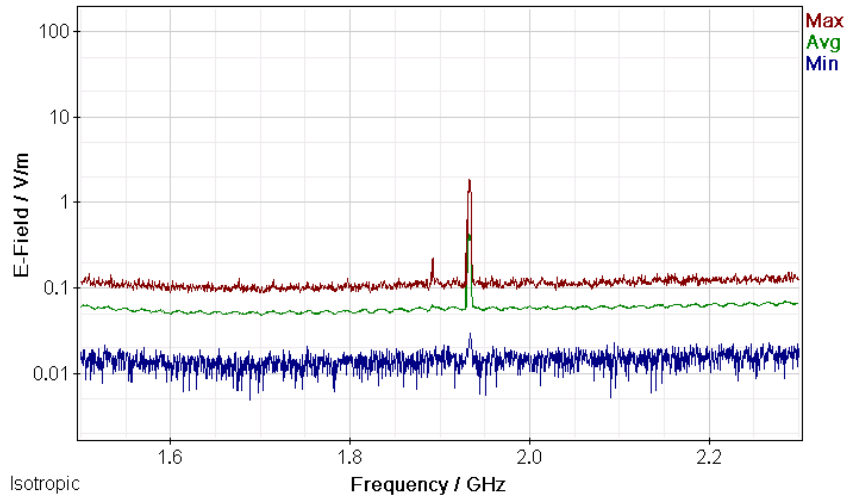
ΜΕΛΕΤΗ Η/Μ ΔΙΑΤΑΡΑΧΩΝ ΚΙΝΗΤΗΣ ΤΗΛΕΦΩΝΙΑΣ



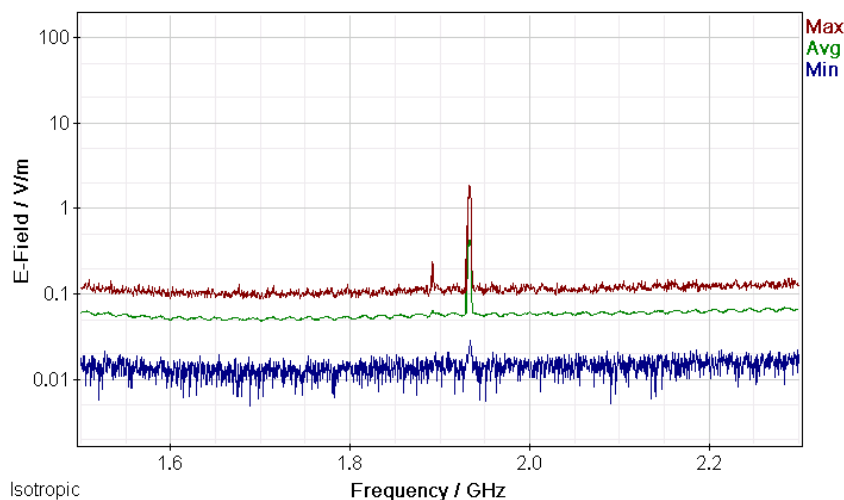
Σχήμα 621: Διακυμάνσεις (α) ελάχιστης (Min), (β) μέσης (Avg) και (γ) μέγιστης (Max) έντασης ηλεκτρικού πεδίου (E-Field) ως συνάρτηση της συχνότητας (Frequency) του πεδίου για μετρήσεις με οργανολογία τύπου NARDA SMR-3006 σε συσκευή κινητής τηλεφωνίας τύπου SAMSUNG GALAXY SM-G361F και παρόχου VODAFONE σε απόσταση 0m από την κεραία της συσκευής κατά τη διάρκεια κλήσης χωρίς συνομιλία και ενεργοποίηση δεδομένων κινητής τηλεφωνίας



Σχήμα 622: Διακυμάνσεις (α) ελάχιστης (Min), (β) μέσης (Avg) και (γ) μέγιστης (Max) έντασης ηλεκτρικού πεδίου (E-Field) ως συνάρτηση της συχνότητας (Frequency) του πεδίου για μετρήσεις με οργανολογία τύπου NARDA SMR-3006 σε συσκευή κινητής τηλεφωνίας τύπου SAMSUNG GALAXY SM-G361F και παρόχου VODAFONE σε απόσταση 0m από την κεραία της συσκευής κατά τη διάρκεια συνομιλίας δυόμιση λεπτών χωρίς ενεργοποίηση δεδομένων κινητής τηλεφωνίας.

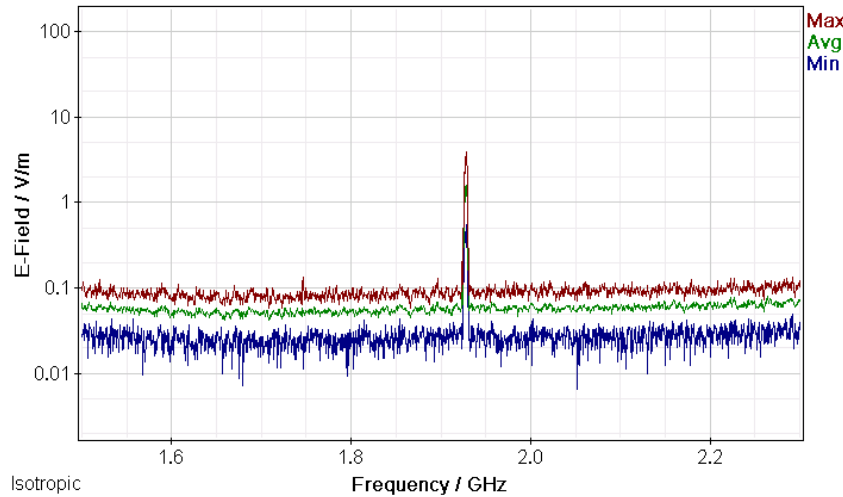


Σχήμα 623: Διακυμάνσεις (α) ελάχιστης (Min), (β) μέσης (Avg) και (γ) μέγιστης (Max) έντασης ηλεκτρικού πεδίου (E-Field) ως συνάρτηση της συχνότητας (Frequency) του πεδίου για μετρήσεις με οργάνολογία τύπου NARDA SMR-3006 σε συσκευή κινητής τηλεφωνίας τύπου SAMSUNG GALAXY SM-G361F και παρόχου VODAFONE σε απόσταση 0m από την κεραία της συσκευής κατά τη διάρκεια πεντάλεπτης συνομιλίας χωρίς ενεργοποίηση δεδομένων κινητής τηλεφωνίας.

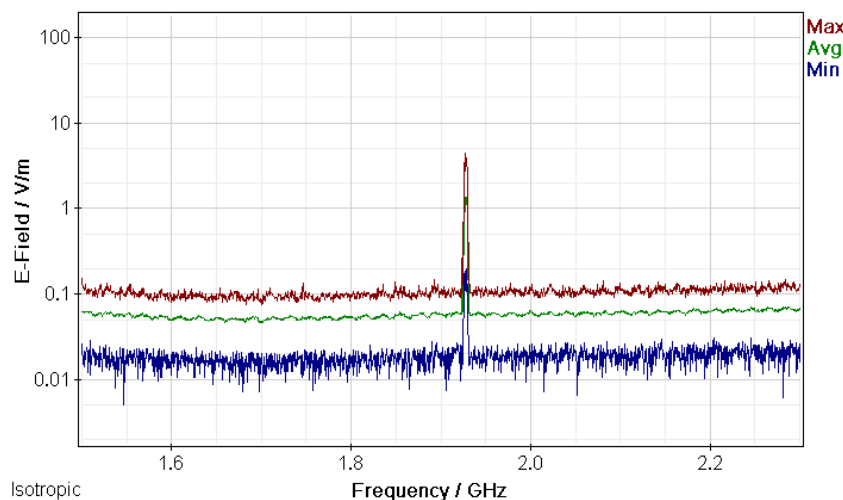


Σχήμα 624: Διακυμάνσεις (α) ελάχιστης (Min), (β) μέσης (Avg) και (γ) μέγιστης (Max) έντασης ηλεκτρικού πεδίου (E-Field) ως συνάρτηση της συχνότητας (Frequency) του πεδίου για μετρήσεις με οργάνολογία τύπου NARDA SMR-3006 σε συσκευή κινητής τηλεφωνίας τύπου SAMSUNG GALAXY SM-G361F και παρόχου VODAFONE σε απόσταση 0m από την κεραία της συσκευής κατά τη διάρκεια τερματισμού της κλήσης χωρίς ενεργοποίηση δεδομένων κινητής τηλεφωνίας.

ΜΕΛΕΤΗ Η/Μ ΔΙΑΤΑΡΑΧΩΝ ΚΙΝΗΤΗΣ ΤΗΛΕΦΩΝΙΑΣ



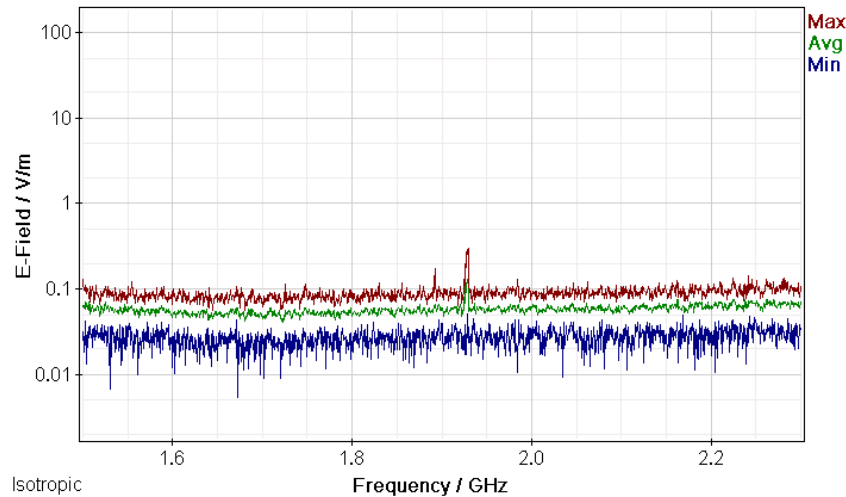
Σχήμα 625: Διακυμάνσεις (α) ελάχιστης (Min), (β) μέσης (Avg) και (γ) μέγιστης (Max) έντασης ηλεκτρικού πεδίου (E-Field) ως συνάρτηση της συχνότητας (Frequency) του πεδίου για μετρήσεις με οργανολογία τύπου NARDA SMR-3006 σε συσκευή κινητής τηλεφωνίας τύπου SAMSUNG GALAXY SM-G361F και παρόχου VODAFONE σε απόσταση 0m από την κεραία της συσκευής κατά τη διάρκεια αναμονής χρήσης της συσκευής με ενεργοποίηση των δεδομένων κινητής τηλεφωνίας χωρίς πρόσβαση στον παγόσμιο ιστό.



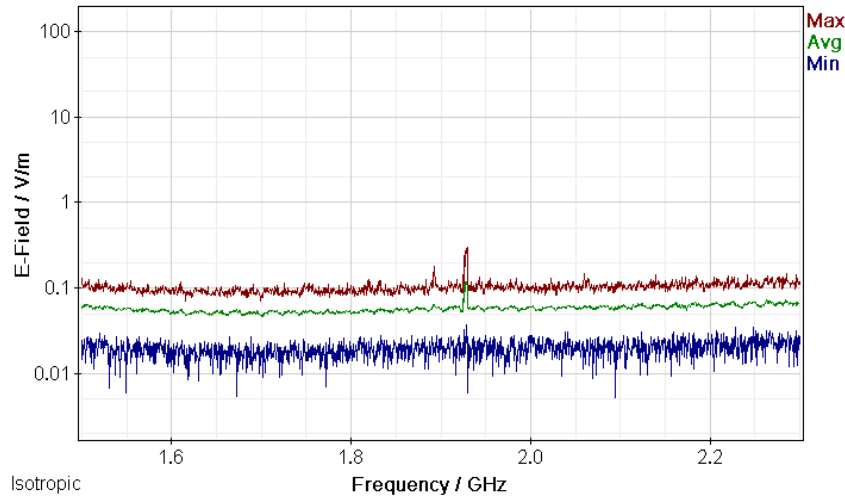
Σχήμα 626: Διακυμάνσεις (α) ελάχιστης (Min), (β) μέσης (Avg) και (γ) μέγιστης (Max) έντασης ηλεκτρικού πεδίου (E-Field) ως συνάρτηση της συχνότητας (Frequency) του πεδίου για μετρήσεις με οργανολογία τύπου NARDA SMR-3006 σε συσκευή κινητής τηλεφωνίας τύπου SAMSUNG GALAXY SM-G361F και παρόχου VODAFONE σε απόσταση 0m από την κεραία της συσκευής κατά τη διάρκεια αναμονής χρήσης της συσκευής με ενεργοποίηση των δεδομένων κινητής τηλεφωνίας και αναζήτησης δεδομένων στον παγόσμιο ιστό.

ΠΑΡΑΡΤΗΜΑ 2

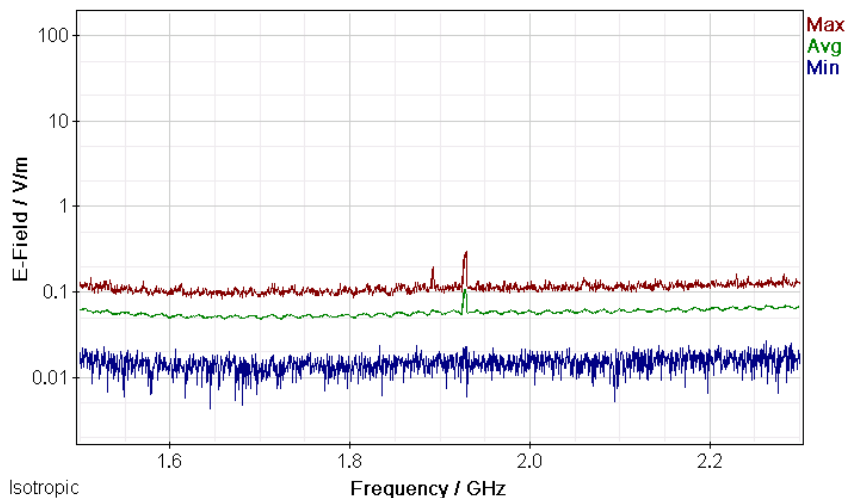
Μετρήσεις διακυμάνσεων (α) ελάχιστης (Min), (β) μέσης (Avg) και (γ) μέγιστης (Max) έντασης ηλεκτρικού πεδίου (E-Field) ως συνάρτηση της συχνότητας (Frequency) του πεδίου για μετρήσεις με οργανολογία τύπου NARDA SMR-3006 σε συσκευές κινητής τηλεφωνίας διαφόρων τύπων και παρόχων σε απόσταση 1 m από την κεραία των συσκευών.



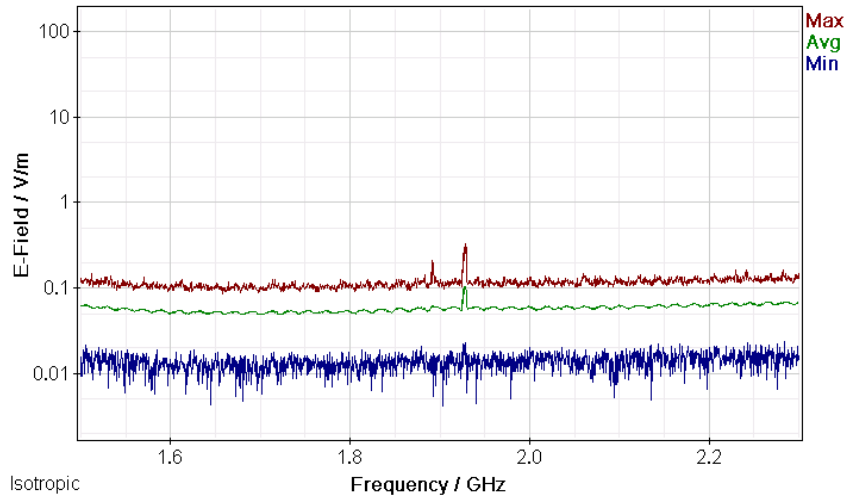
Σχήμα 627: Διακυμάνσεις (α) ελάχιστης (Min), (β) μέσης (Avg) και (γ) μέγιστης (Max) έντασης ηλεκτρικού πεδίου (E-Field) ως συνάρτηση της συχνότητας (Frequency) του πεδίου για μετρήσεις με οργανολογία τύπου NARDA SMR-3006 σε συσκευή κινητής τηλεφωνίας τύπου SAMSUNG GALAXY SM-G361F και παρόχου VODAFONE σε απόσταση 1m από την κεραία της συσκευής κατά τη διάρκεια αναμονής χρήσης της συσκευής και χωρίς την ενεργοποίηση δεδομένων κινητής τηλεφωνίας.



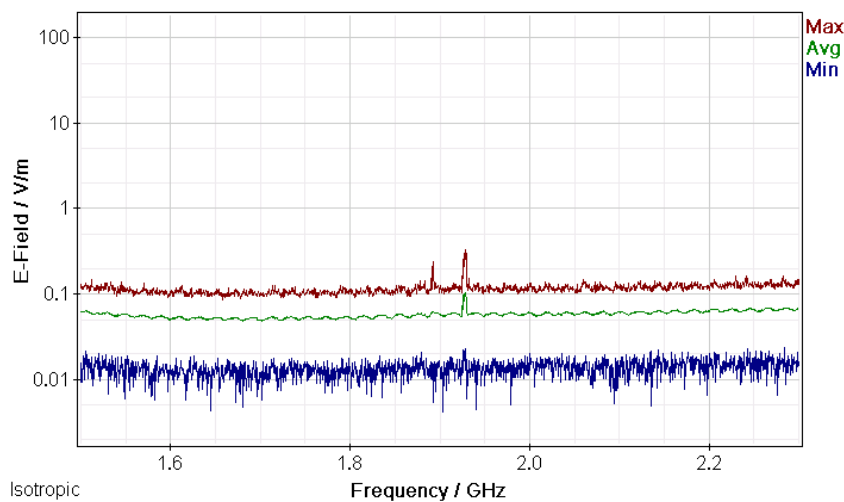
Σχήμα 628: Διακυμάνσεις (α) ελάχιστης (Min), (β) μέσης (Avg) και (γ) μέγιστης (Max) έντασης ηλεκτρικού πεδίου (E-Field) ως συνάρτηση της συχνότητας (Frequency) του πεδίου για μετρήσεις με οργανολογία τύπου NARDA SMR-3006 σε συσκευή κινητής τηλεφωνίας τύπου SAMSUNG GALAXY SM-G361F και παρόχου VODAFONE σε απόσταση 1m από την κεραία της συσκευής κατα τη διάρκεια κλήσης χωρίς συνομιλία και ενεργοποίηση δεδομένων κινητής τηλεφωνίας



Σχήμα 629: Διακυμάνσεις (α) ελάχιστης (Min), (β) μέσης (Avg) και (γ) μέγιστης (Max) έντασης ηλεκτρικού πεδίου (E-Field) ως συνάρτηση της συχνότητας (Frequency) του πεδίου για μετρήσεις με οργανολογία τύπου NARDA SMR-3006 σε συσκευή κινητής τηλεφωνίας τύπου SAMSUNG GALAXY SM-G361F και παρόχου VODAFONE σε απόσταση 1m από την κεραία της συσκευής κατα τη διάρκεια συνομιλίας δυόμιση λεπτών χωρίς ενεργοποίηση δεδομένων κινητής τηλεφωνίας.

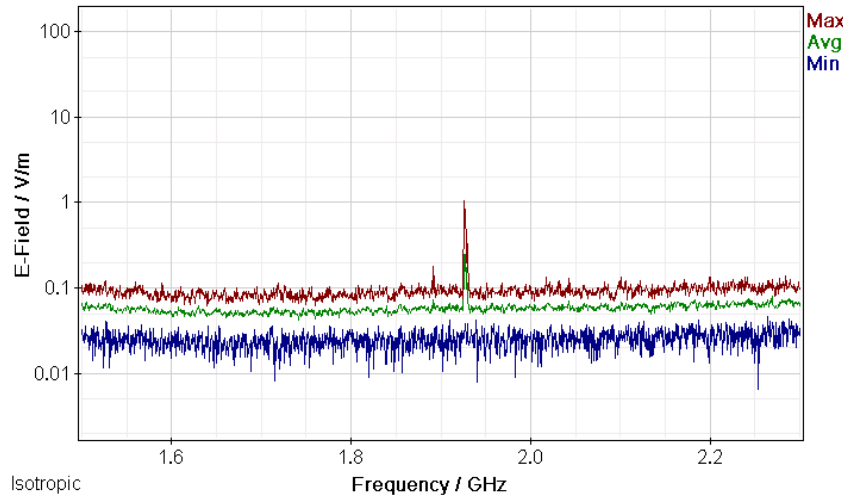


Σχήμα 630: Διακυμάνσεις (α) ελάχιστης (Min), (β) μέσης (Avg) και (γ) μέγιστης (Max) έντασης ηλεκτρικού πεδίου (E-Field) ως συνάρτηση της συχνότητας (Frequency) του πεδίου για μετρήσεις με οργανολογία τύπου NARDA SMR-3006 σε συσκευή κινητής τηλεφωνίας τύπου SAMSUNG GALAXY SM-G361F και παρόχου VODAFONE σε απόσταση 1m από την κεραία της συσκευής κατά τη διάρκεια πεντάλεπτης συνομιλίας χωρίς ενεργοποίηση δεδομένων κινητής τηλεφωνίας.

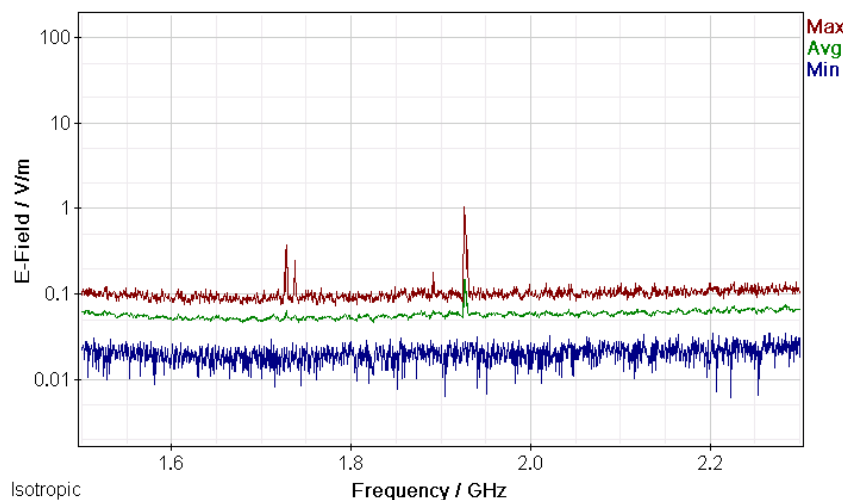


Σχήμα 631: Διακυμάνσεις (α) ελάχιστης (Min), (β) μέσης (Avg) και (γ) μέγιστης (Max) έντασης ηλεκτρικού πεδίου (E-Field) ως συνάρτηση της συχνότητας (Frequency) του πεδίου για μετρήσεις με οργανολογία τύπου NARDA SMR-3006 σε συσκευή κινητής τηλεφωνίας τύπου SAMSUNG GALAXY SM-G361F και παρόχου VODAFONE σε απόσταση 1m από την κεραία της συσκευής κατά τη διάρκεια τερματισμού της κλήσης χωρίς ενεργοποίηση δεδομένων κινητής τηλεφωνίας.

ΜΕΛΕΤΗ Η/Μ ΔΙΑΤΑΡΑΧΩΝ ΚΙΝΗΤΗΣ ΤΗΛΕΦΩΝΙΑΣ



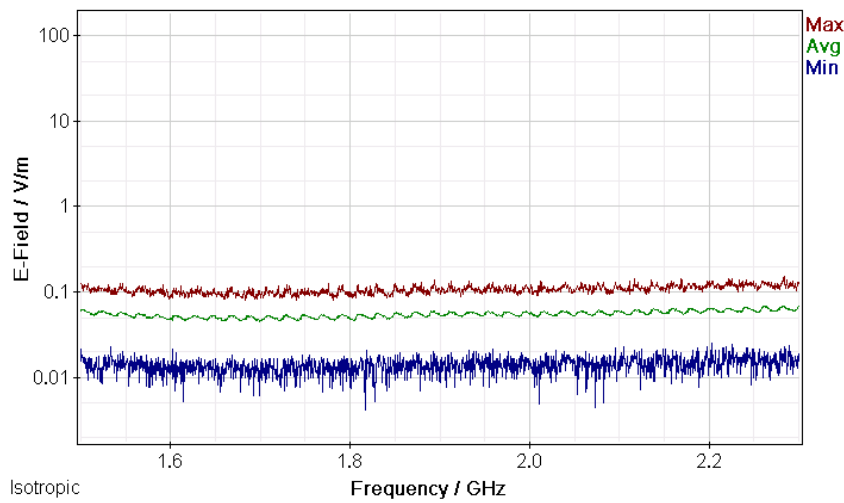
Σχήμα 632: Διακυμάνσεις (α) ελάχιστης (Min), (β) μέσης (Avg) και (γ) μέγιστης (Max) έντασης ηλεκτρικού πεδίου (E-Field) ως συνάρτηση της συχνότητας (Frequency) του πεδίου για μετρήσεις με οργανολογία τύπου NARDA SMR-3006 σε συσκευή κινητής τηλεφωνίας τύπου SAMSUNG GALAXY SM-G361F και παρόχου VODAFONE σε απόσταση 1m από την κεραία της συσκευής κατά τη διάρκεια αναμονής χρήσης της συσκευής με ενεργοποίηση των δεδομένων κινητής τηλεφωνίας χωρίς πρόσβαση στον παγώσιμο ιστό.



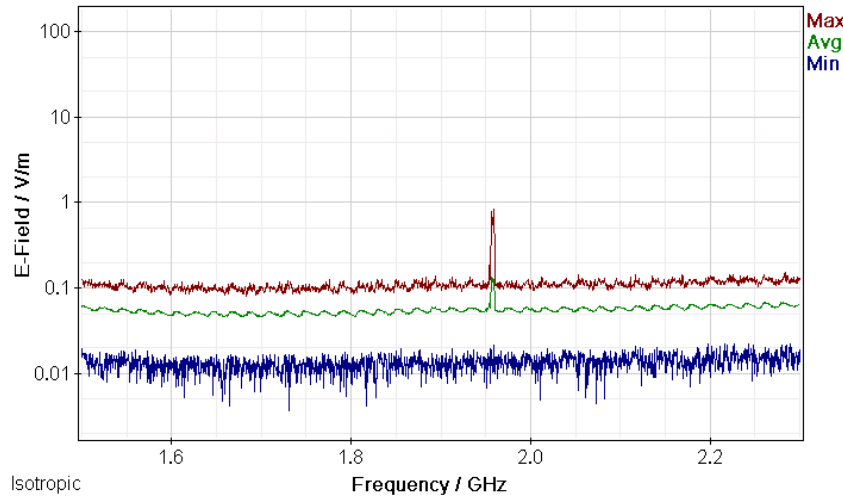
Σχήμα 633: Διακυμάνσεις (α) ελάχιστης (Min), (β) μέσης (Avg) και (γ) μέγιστης (Max) έντασης ηλεκτρικού πεδίου (E-Field) ως συνάρτηση της συχνότητας (Frequency) του πεδίου για μετρήσεις με οργανολογία τύπου NARDA SMR-3006 σε συσκευή κινητής τηλεφωνίας τύπου SAMSUNG GALAXY SM-G361F και παρόχου VODAFONE σε απόσταση 1m από την κεραία της συσκευής κατά τη διάρκεια αναμονής χρήσης της συσκευής με ενεργοποίηση των δεδομένων κινητής τηλεφωνίας και αναζήτησης δεδομένων στον παγώσιμο ιστό.

ΠΑΡΑΡΤΗΜΑ 1

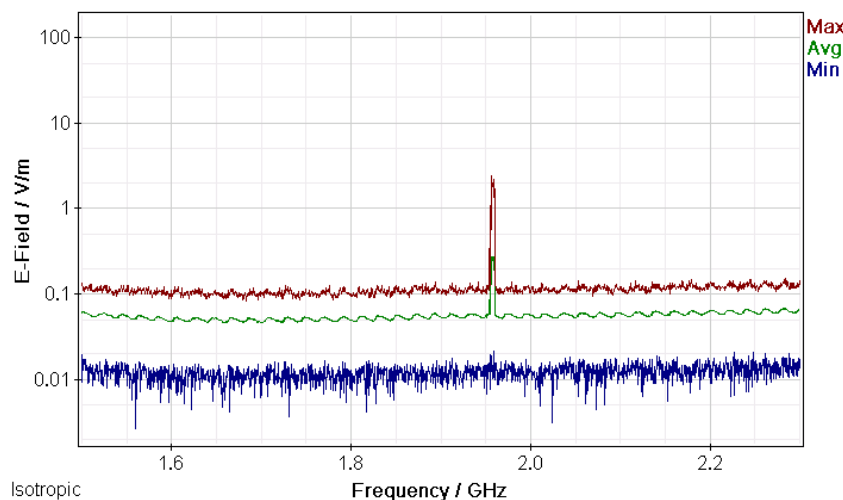
Μετρήσεις διακυμάνσεων (α) ελάχιστης (Min), (β) μέσης (Avg) και (γ) μέγιστης (Max) έντασης ηλεκτρικού πεδίου (E-Field) ως συνάρτηση της συχνότητας (Frequency) του πεδίου για μετρήσεις με οργανολογία τύπου NARDA SMR-3006 σε συσκευές κινητής τηλεφωνίας διαφόρων τύπων και παρόχων σε απόσταση 0 m από την κεραία των συσκευών.



Σχήμα 634: Διακυμάνσεις (α) ελάχιστης (Min), (β) μέσης (Avg) και (γ) μέγιστης (Max) έντασης ηλεκτρικού πεδίου (E-Field) ως συνάρτηση της συχνότητας (Frequency) του πεδίου για μετρήσεις με οργανολογία τύπου NARDA SMR-3006 σε συσκευή κινητής τηλεφωνίας τύπου SAMSUNG GALAXY GT-S7580 και παρόχου COSMOTE σε απόσταση 0m από την κεραία της συσκευής κατά τη διάρκεια αναμονής χρήσης της συσκευής και χωρίς την ενεργοποίηση δεδομένων κινητής τηλεφωνίας.

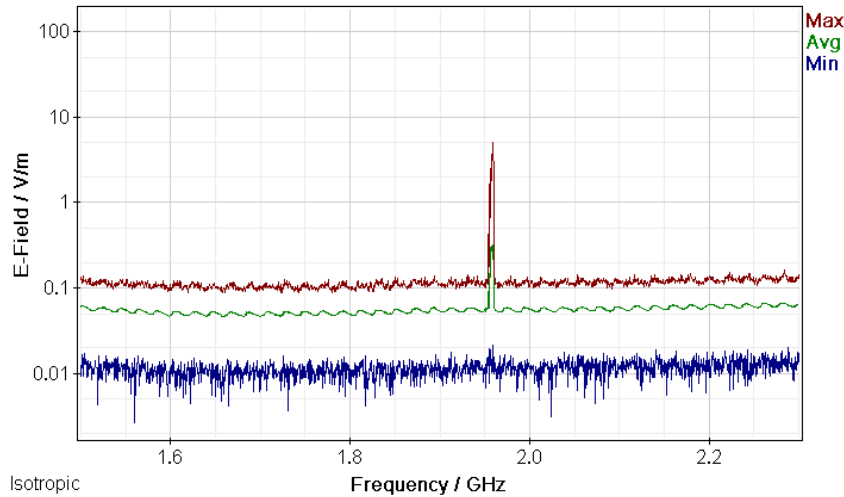


Σχήμα 635: Διακυμάνσεις (α) ελάχιστης (Min), (β) μέσης (Avg) και (γ) μέγιστης (Max) έντασης ηλεκτρικού πεδίου (E-Field) ως συνάρτηση της συχνότητας (Frequency) του πεδίου για μετρήσεις με οργάνολογία τύπου NARDA SMR-3006 σε συσκευή κινητής τηλεφωνίας τύπου SAMSUNG GALAXY GT-S7580 και παρόχου COSMOTE σε απόσταση 0m από την κεραία της συσκευής κατα τη διάρκεια κλήσης χωρίς συνομιλία και ενεργοποίηση δεδομένων κινητής τηλεφωνίας .

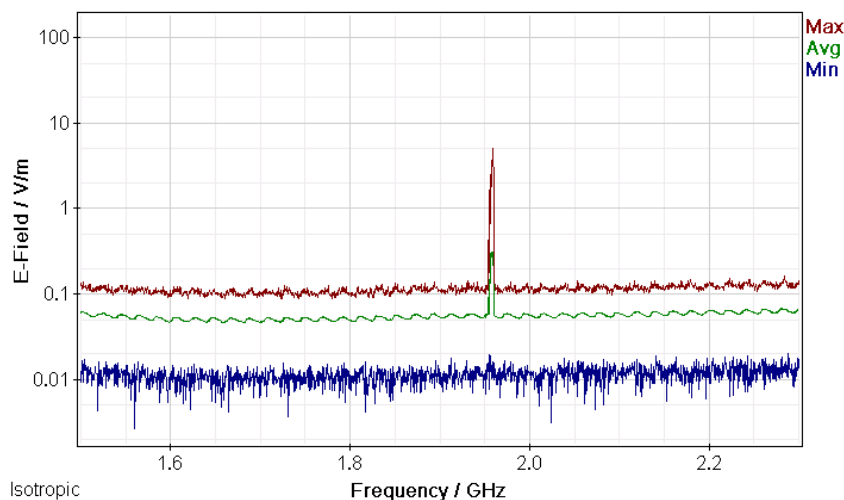


Σχήμα 636: Διακυμάνσεις (α) ελάχιστης (Min), (β) μέσης (Avg) και (γ) μέγιστης (Max) έντασης ηλεκτρικού πεδίου (E-Field) ως συνάρτηση της συχνότητας (Frequency) του πεδίου για μετρήσεις με οργάνολογία τύπου NARDA SMR-3006 σε συσκευή κινητής τηλεφωνίας τύπου SAMSUNG GALAXY GT-S7580 και παρόχου COSMOTE σε απόσταση 0m από την κεραία της συσκευής κατα τη διάρκεια συνομιλίας δυόμιση λεπτών χωρίς ενεργοποίηση δεδομένων κινητής τηλεφωνίας.

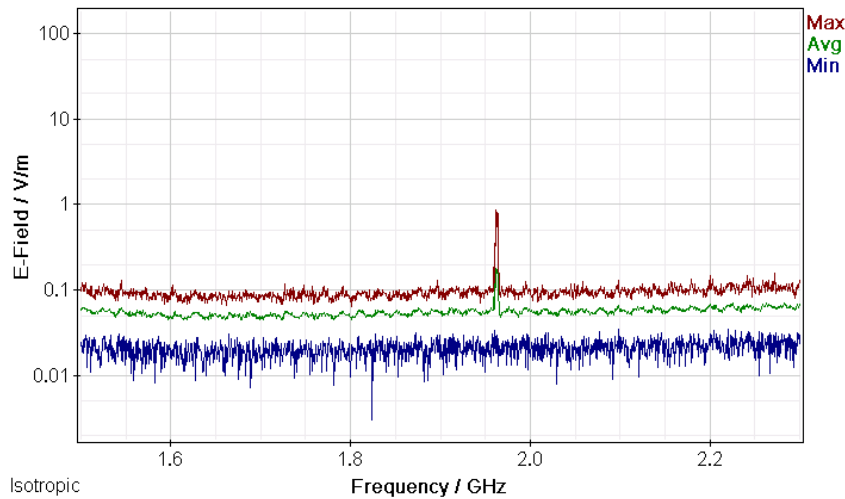
ΜΕΛΕΤΗ Η/Μ ΔΙΑΤΑΡΑΧΩΝ ΚΙΝΗΤΗΣ ΤΗΛΕΦΩΝΙΑΣ



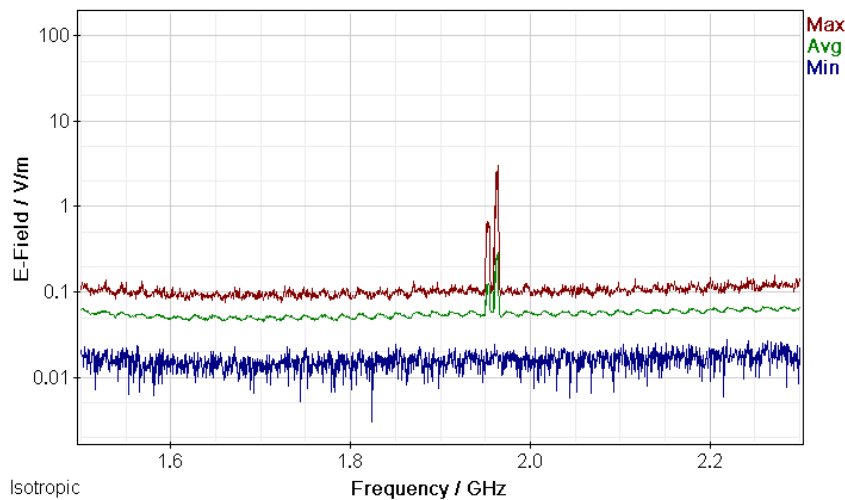
Σχήμα 637: Διακυμάνσεις (α) ελάχιστης (Min), (β) μέσης (Avg) και (γ) μέγιστης (Max) έντασης ηλεκτρικού πεδίου (E-Field) ως συνάρτηση της συχνότητας (Frequency) του πεδίου για μετρήσεις με οργάνολογία τύπου NARDA SMR-3006 σε συσκευή κινητής τηλεφωνίας τύπου SAMSUNG GALAXY GT-S7580 και παρόχου COSMOTE σε απόσταση 0m από την κεραία της συσκευής κατά τη διάρκεια πεντάλεπτης συνομιλίας χωρίς ενεργοποίηση δεδομένων κινητής τηλεφωνίας.



Σχήμα 638: Διακυμάνσεις (α) ελάχιστης (Min), (β) μέσης (Avg) και (γ) μέγιστης (Max) έντασης ηλεκτρικού πεδίου (E-Field) ως συνάρτηση της συχνότητας (Frequency) του πεδίου για μετρήσεις με οργάνολογία τύπου NARDA SMR-3006 σε συσκευή κινητής τηλεφωνίας τύπου SAMSUNG GALAXY GT-S7580 και παρόχου COMOTE σε απόσταση 0m από την κεραία της συσκευής κατά τη διάρκεια τερματισμού της κλήσης χωρίς ενεργοποίηση δεδομένων κινητής τηλεφωνίας.



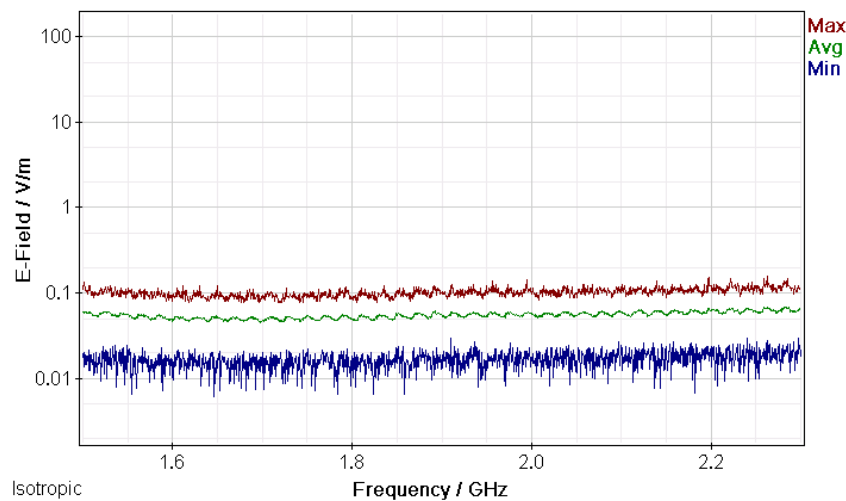
Σχήμα 639: Διακυμάνσεις (α) ελάχιστης (Min), (β) μέσης (Avg) και (γ) μέγιστης (Max) έντασης ηλεκτρικού πεδίου (E-Field) ως συνάρτηση της συχνότητας (Frequency) του πεδίου για μετρήσεις με οργάνολογία τύπου NARDA SMR-3006 σε συσκευή κινητής τηλεφωνίας τύπου SAMSUNG GALAXY GT-S7580 και παρόχου COSMOTE σε απόσταση 0m από την κεραία της συσκευής κατά τη διάρκεια αναμονής χρήσης της συσκευής με ενεργοποίηση των δεδομένων κινητής τηλεφωνίας χωρίς πρόσβαση στον παγώσιμο ιστό.



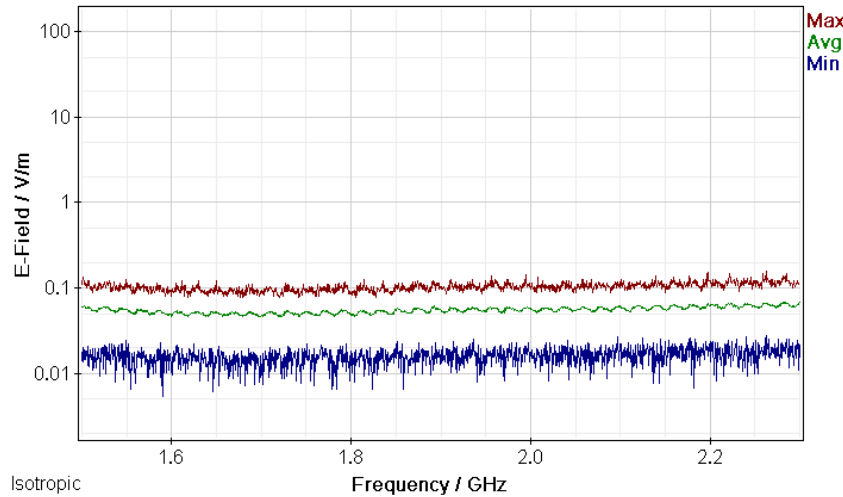
Σχήμα 640: Διακυμάνσεις (α) ελάχιστης (Min), (β) μέσης (Avg) και (γ) μέγιστης (Max) έντασης ηλεκτρικού πεδίου (E-Field) ως συνάρτηση της συχνότητας (Frequency) του πεδίου για μετρήσεις με οργάνολογία τύπου NARDA SMR-3006 σε συσκευή κινητής τηλεφωνίας τύπου SAMSUNG GALAXY GT-S7580 και παρόχου COSMOTE σε απόσταση 0m από την κεραία της συσκευής κατά τη διάρκεια αναμονής χρήσης της συσκευής με ενεργοποίηση των δεδομένων κινητής τηλεφωνίας και αναζήτησης δεδομένων στον παγώσιμο ιστό.

ΠΑΡΑΡΤΗΜΑ 2

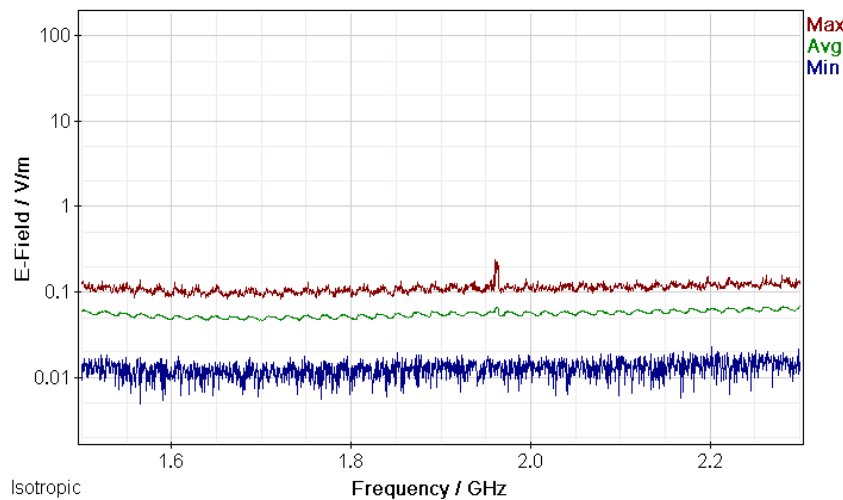
Μετρήσεις διακυμάνσεων (α) ελάχιστης (Min), (β) μέσης (Avg) και (γ) μέγιστης (Max) έντασης ηλεκτρικού πεδίου (E-Field) ως συνάρτηση της συχνότητας (Frequency) του πεδίου για μετρήσεις με οργανολογία τύπου NARDA SMR-3006 σε συσκευές κινητής τηλεφωνίας διαφόρων τύπων και παρόχων σε απόσταση 1 m από την κεραία των συσκευών.



Σχήμα 641: Διακυμάνσεις (α) ελάχιστης (Min), (β) μέσης (Avg) και (γ) μέγιστης (Max) έντασης ηλεκτρικού πεδίου (E-Field) ως συνάρτηση της συχνότητας (Frequency) του πεδίου για μετρήσεις με οργανολογία τύπου NARDA SMR-3006 σε συσκευή κινητής τηλεφωνίας τύπου SAMSUNG GALAXY GT-S7580 και παρόχου COSMOTE σε απόσταση 1m από την κεραία της συσκευής κατά τη διάρκεια αναμονής χρήσης της συσκευής και χωρίς την ενεργοποίηση δεδομένων κινητής τηλεφωνίας.

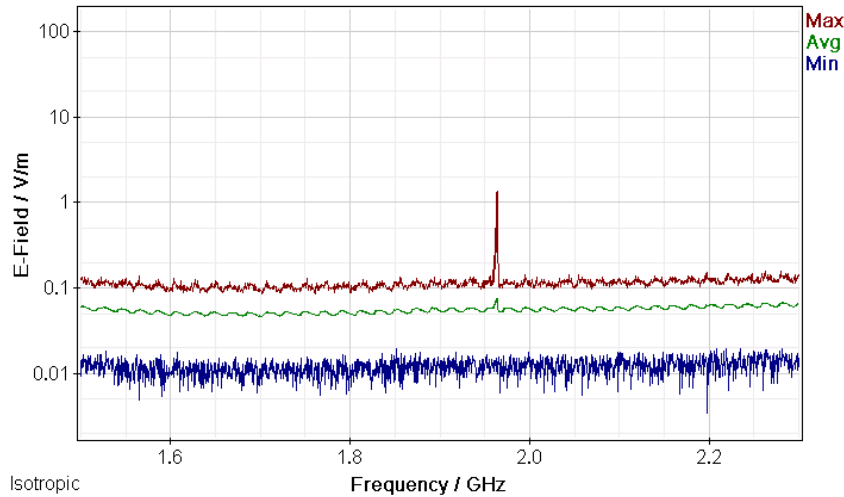


Σχήμα 642: Διακυμάνσεις (α) ελάχιστης (Min), (β) μέσης (Avg) και (γ) μέγιστης (Max) έντασης ηλεκτρικού πεδίου (E-Field) ως συνάρτηση της συχνότητας (Frequency) του πεδίου για μετρήσεις με οργανολογία τύπου NARDA SMR-3006 σε συσκευή κινητής τηλεφωνίας τύπου SAMSUNG GALAXY GT-S7580 και παρόχου COSMOTE σε απόσταση 1m από την κεραία της συσκευής κατα τη διάρκεια κλήσης χωρίς συνομιλία και ενεργοποίηση δεδομένων κινητής τηλεφωνίας .

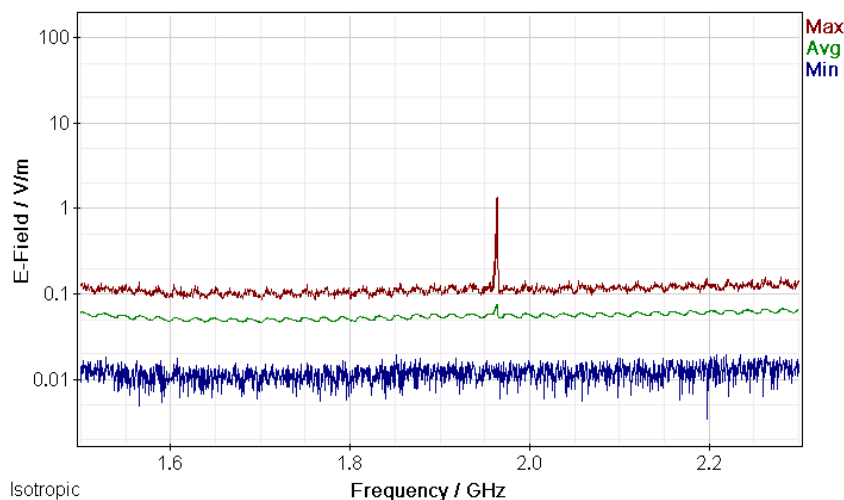


Σχήμα 643: Διακυμάνσεις (α) ελάχιστης (Min), (β) μέσης (Avg) και (γ) μέγιστης (Max) έντασης ηλεκτρικού πεδίου (E-Field) ως συνάρτηση της συχνότητας (Frequency) του πεδίου για μετρήσεις με οργανολογία τύπου NARDA SMR-3006 σε συσκευή κινητής τηλεφωνίας τύπου SAMSUNG GALAXY GT-S7580 και παρόχου COSMOTE σε απόσταση 1m από την κεραία της συσκευής κατα τη διάρκεια συνομιλίας δυόμιση λεπτών χωρίς ενεργοποίηση δεδομένων κινητής τηλεφωνίας.

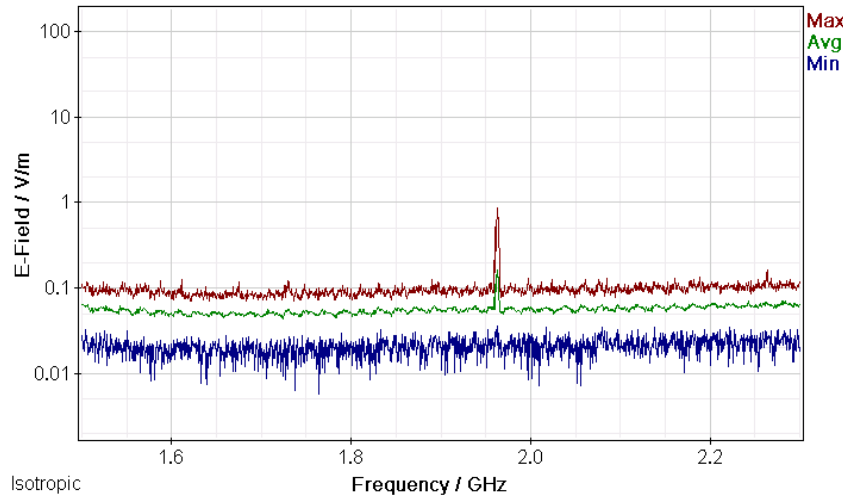
ΜΕΛΕΤΗ Η/Μ ΔΙΑΤΑΡΑΧΩΝ ΚΙΝΗΤΗΣ ΤΗΛΕΦΩΝΙΑΣ



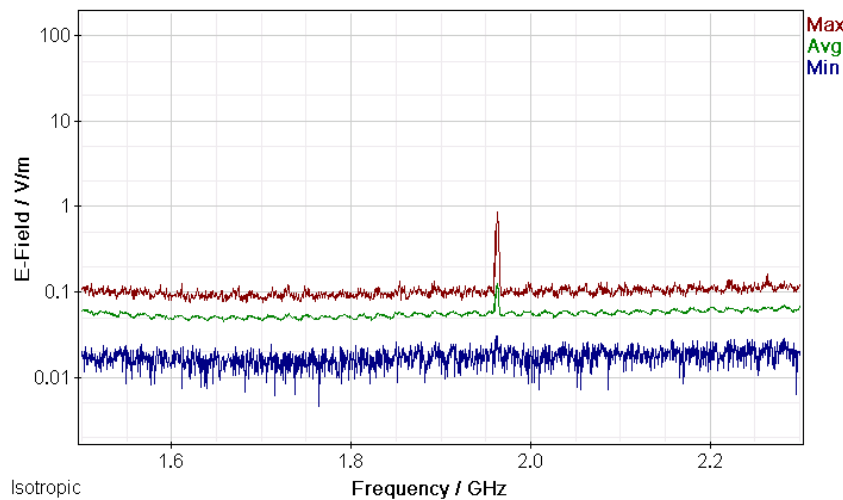
Σχήμα 644: Διακυμάνσεις (α) ελάχιστης (Min), (β) μέσης (Avg) και (γ) μέγιστης (Max) έντασης ηλεκτρικού πεδίου (E-Field) ως συνάρτηση της συχνότητας (Frequency) του πεδίου για μετρήσεις με οργάνολογία τύπου NARDA SMR-3006 σε συσκευή κινητής τηλεφωνίας τύπου SAMSUNG GALAXY GT-S7580 και παρόχου COSMOTE σε απόσταση 1m από την κεραία της συσκευής κατά τη διάρκεια πεντάλεπτης συνομιλίας χωρίς ενεργοποίηση δεδομένων κινητής τηλεφωνίας.



Σχήμα 645: Διακυμάνσεις (α) ελάχιστης (Min), (β) μέσης (Avg) και (γ) μέγιστης (Max) έντασης ηλεκτρικού πεδίου (E-Field) ως συνάρτηση της συχνότητας (Frequency) του πεδίου για μετρήσεις με οργάνολογία τύπου NARDA SMR-3006 σε συσκευή κινητής τηλεφωνίας τύπου SAMSUNG GALAXY GT-S7580 και παρόχου COSMOTE σε απόσταση 1m από την κεραία της συσκευής κατά τη διάρκεια τερματισμού της κλήσης χωρίς ενεργοποίηση δεδομένων κινητής τηλεφωνίας.



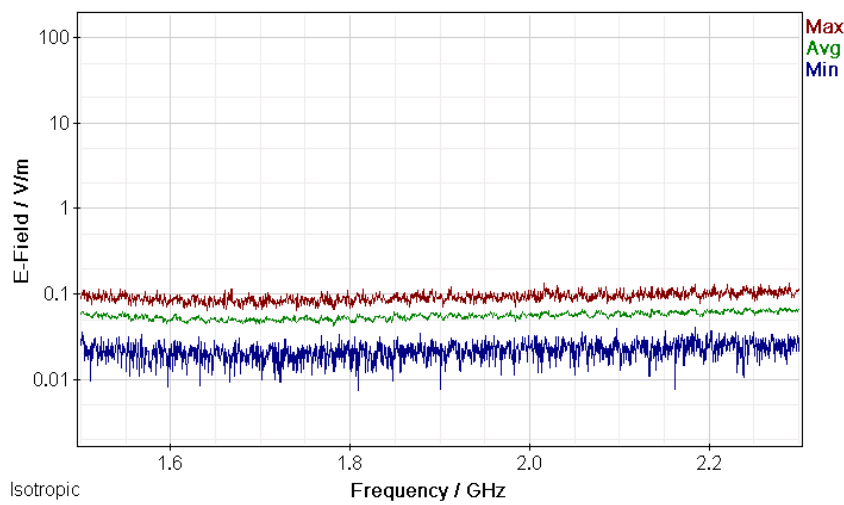
Σχήμα 646: Διακυμάνσεις (α) ελάχιστης (Min), (β) μέσης (Avg) και (γ) μέγιστης (Max) έντασης ηλεκτρικού πεδίου (E-Field) ως συνάρτηση της συχνότητας (Frequency) του πεδίου για μετρήσεις με οργανολογία τύπου NARDA SMR-3006 σε συσκευή κινητής τηλεφωνίας τύπου SAMSUNG GALAXY GT-S7580 και παρόχου COSMOTE σε απόσταση 1m από την κεραία της συσκευής κατα τη διάρκεια αναμονής χρήσης της συσκευής με ενεργοποίηση των δεδομένων κινητής τηλεφωνίας χωρίς πρόσβαση στον παγόςμιο ιστό.



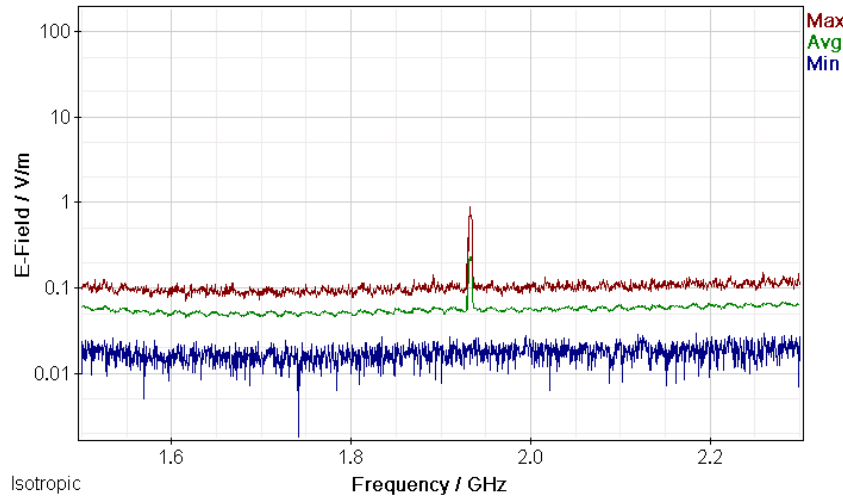
Σχήμα 647: Διακυμάνσεις (α) ελάχιστης (Min), (β) μέσης (Avg) και (γ) μέγιστης (Max) έντασης ηλεκτρικού πεδίου (E-Field) ως συνάρτηση της συχνότητας (Frequency) του πεδίου για μετρήσεις με οργανολογία τύπου NARDA SMR-3006 σε συσκευή κινητής τηλεφωνίας τύπου SAMSUNG GALAXY GT-S7580 και παρόχου COSMOTE σε απόσταση 1m από την κεραία της συσκευής κατα τη διάρκεια αναμονής χρήσης της συσκευής με ενεργοποίηση των δεδομένων κινητής τηλεφωνίας και αναζήτησης δεδομένων στον παγόςμιο ιστό.

ΠΑΡΑΡΤΗΜΑ 1

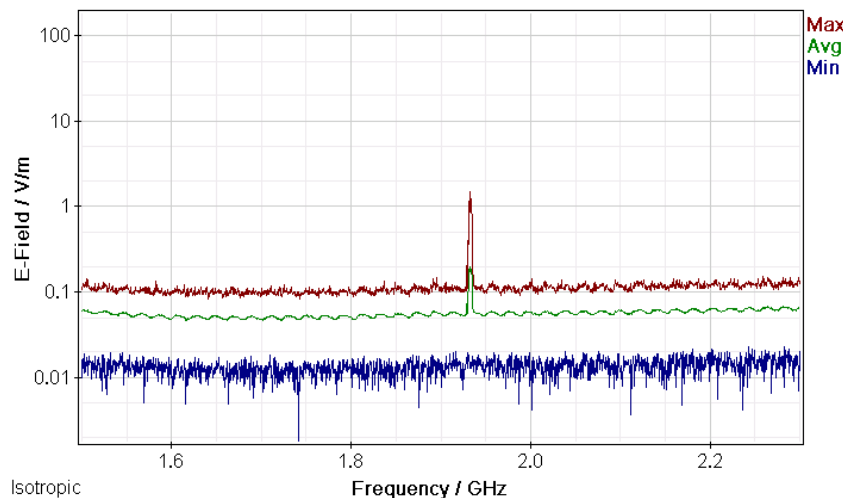
Μετρήσεις διακυμάνσεων (α) ελάχιστης (Min), (β) μέσης (Avg) και (γ) μέγιστης (Max) έντασης ηλεκτρικού πεδίου (E-Field) ως συνάρτηση της συχνότητας (Frequency) του πεδίου για μετρήσεις με οργανολογία τύπου NARDA SMR-3006 σε συσκευές κινητής τηλεφωνίας διαφόρων τύπων και παρόχων σε απόσταση 0 m από την κεραία των συσκευών.



Σχήμα 648: Διακυμάνσεις (α) ελάχιστης (Min), (β) μέσης (Avg) και (γ) μέγιστης (Max) έντασης ηλεκτρικού πεδίου (E-Field) ως συνάρτηση της συχνότητας (Frequency) του πεδίου για μετρήσεις με οργανολογία τύπου NARDA SMR-3006 σε συσκευή κινητής τηλεφωνίας τύπου SAMSUNG GALAXY GT-S7580 και παρόχου VODAFONE σε απόσταση 0m από την κεραία της συσκευής κατά τη διάρκεια αναμονής χρήσης της συσκευής και χωρίς την ενεργοποίηση δεδομένων κινητής τηλεφωνίας.

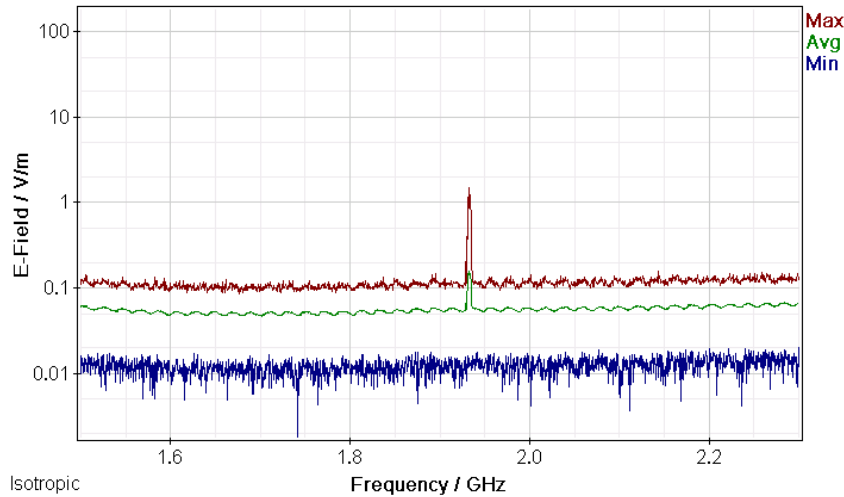


Σχήμα 649: Διακυμάνσεις (α) ελάχιστης (Min), (β) μέσης (Avg) και (γ) μέγιστης (Max) έντασης ηλεκτρικού πεδίου (E-Field) ως συνάρτηση της συχνότητας (Frequency) του πεδίου για μετρήσεις με οργανολογία τύπου NARDA SMR-3006 σε συσκευή κινητής τηλεφωνίας τύπου SAMSUNG GALAXY GT-S7580 και παρόχου VODAFONE σε απόσταση 0m από την κεραία της συσκευής κατα τη διάρκεια κλήσης χωρίς συνομιλία και ενεργοποίηση δεδομένων κινητής τηλεφωνίας

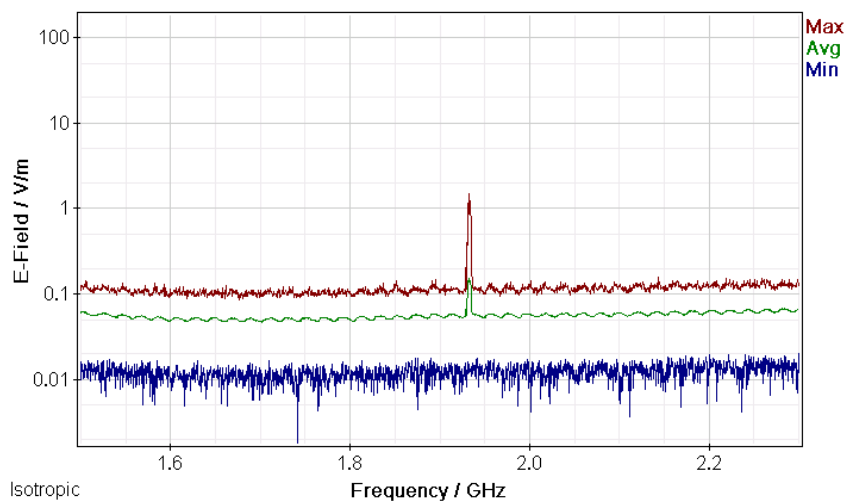


Σχήμα 650: Διακυμάνσεις (α) ελάχιστης (Min), (β) μέσης (Avg) και (γ) μέγιστης (Max) έντασης ηλεκτρικού πεδίου (E-Field) ως συνάρτηση της συχνότητας (Frequency) του πεδίου για μετρήσεις με οργανολογία τύπου NARDA SMR-3006 σε συσκευή κινητής τηλεφωνίας τύπου SAMSUNG GALAXY GT-S7580 και παρόχου VODAFONE σε απόσταση 0m από την κεραία της συσκευής κατα τη διάρκεια συνομιλίας δυόμιση λεπτών χωρίς ενεργοποίηση δεδομένων κινητής τηλεφωνίας.

ΜΕΛΕΤΗ Η/Μ ΔΙΑΤΑΡΑΧΩΝ ΚΙΝΗΤΗΣ ΤΗΛΕΦΩΝΙΑΣ

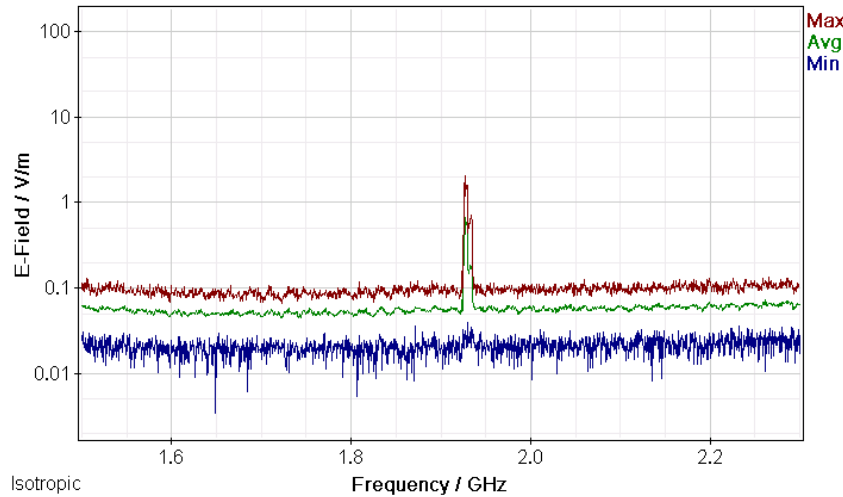


Σχήμα 651: Διακυμάνσεις (α) ελάχιστης (Min), (β) μέσης (Avg) και (γ) μέγιστης (Max) έντασης ηλεκτρικού πεδίου (E-Field) ως συνάρτηση της συχνότητας (Frequency) του πεδίου για μετρήσεις με οργάνολογία τύπου NARDA SMR-3006 σε συσκευή κινητής τηλεφωνίας τύπου SAMSUNG GALAXY GT-S7580 και παρόχου VODAFONE σε απόσταση 0m από την κεραία της συσκευής κατά τη διάρκεια πεντάλεπτης συνομιλίας χωρίς ενεργοποίηση δεδομένων κινητής τηλεφωνίας.

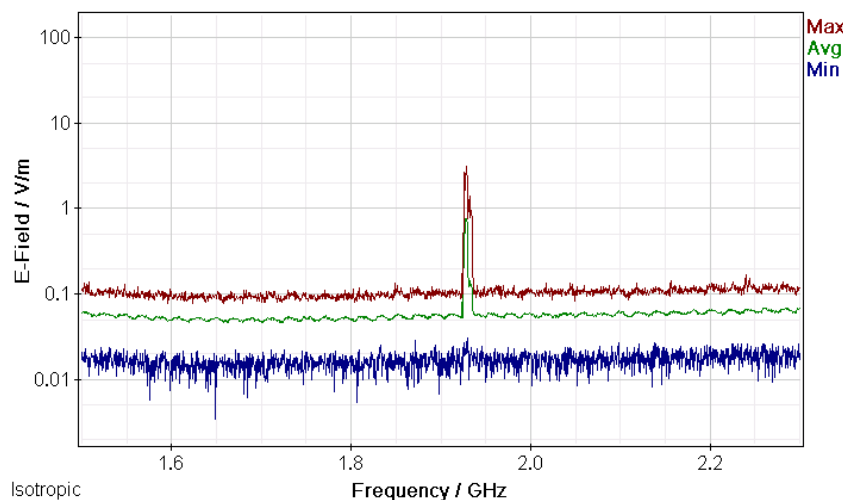


Σχήμα 652: Διακυμάνσεις (α) ελάχιστης (Min), (β) μέσης (Avg) και (γ) μέγιστης (Max) έντασης ηλεκτρικού πεδίου (E-Field) ως συνάρτηση της συχνότητας (Frequency) του πεδίου για μετρήσεις με οργάνολογία τύπου NARDA SMR-3006 σε συσκευή κινητής τηλεφωνίας τύπου SAMSUNG GALAXY GT-S7580 και παρόχου VODAFONE σε απόσταση 0m από την κεραία της συσκευής κατά τη διάρκεια τερματισμού της κλήσης χωρίς ενεργοποίηση δεδομένων κινητής τηλεφωνίας.

ΜΕΛΕΤΗ Η/Μ ΔΙΑΤΑΡΑΧΩΝ ΚΙΝΗΤΗΣ ΤΗΛΕΦΩΝΙΑΣ



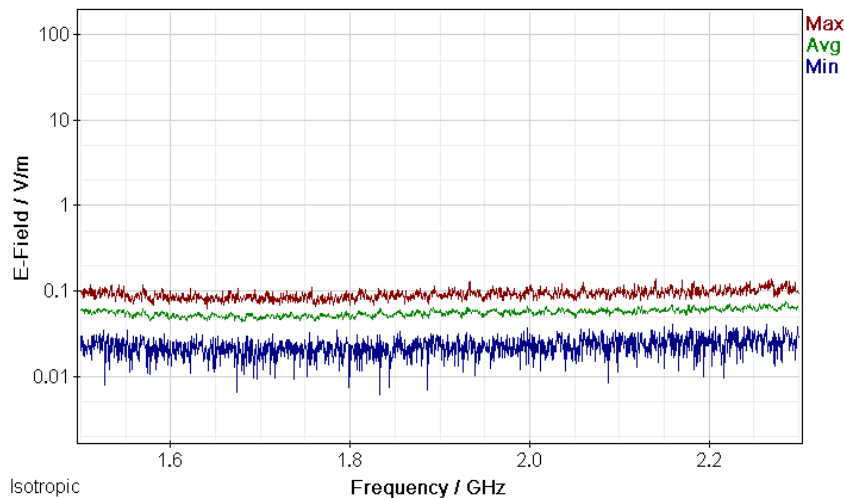
Σχήμα 653: Διακυμάνσεις (α) ελάχιστης (Min), (β) μέσης (Avg) και (γ) μέγιστης (Max) έντασης ηλεκτρικού πεδίου (E-Field) ως συνάρτηση της συχνότητας (Frequency) του πεδίου για μετρήσεις με οργανολογία τύπου NARDA SMR-3006 σε συσκευή κινητής τηλεφωνίας τύπου SAMSUNG GALAXY GT-S7580 και παρόχου VODAFONE σε απόσταση 0m από την κεραία της συσκευής κατά τη διάρκεια αναμονής χρήσης της συσκευής με ενεργοποίηση των δεδομένων κινητής τηλεφωνίας χωρίς πρόσβαση στον παγώσμιο ιστό.



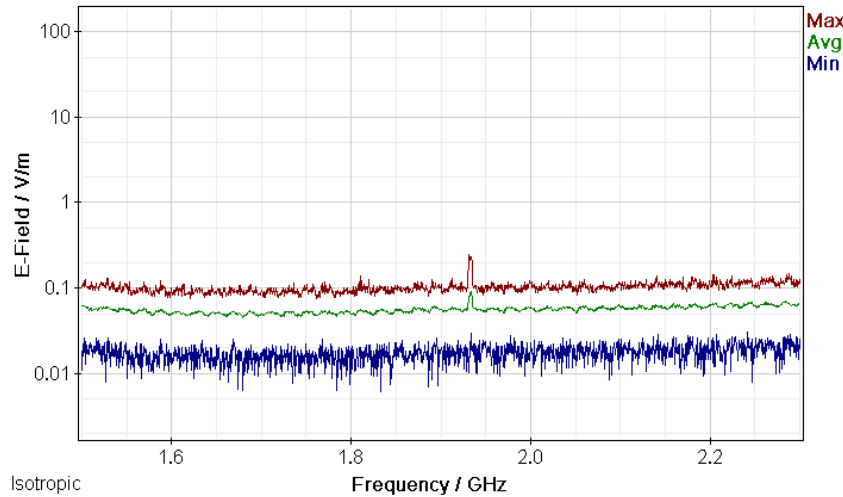
Σχήμα 654: Διακυμάνσεις (α) ελάχιστης (Min), (β) μέσης (Avg) και (γ) μέγιστης (Max) έντασης ηλεκτρικού πεδίου (E-Field) ως συνάρτηση της συχνότητας (Frequency) του πεδίου για μετρήσεις με οργανολογία τύπου NARDA SMR-3006 σε συσκευή κινητής τηλεφωνίας τύπου SAMSUNG GALAXY GT-S7580 και παρόχου VODAFONE σε απόσταση 0m από την κεραία της συσκευής κατά τη διάρκεια αναμονής χρήσης της συσκευής με ενεργοποίηση των δεδομένων κινητής τηλεφωνίας και αναζήτησης δεδομένων στον παγώσμιο ιστό.

ΠΑΡΑΡΤΗΜΑ 2

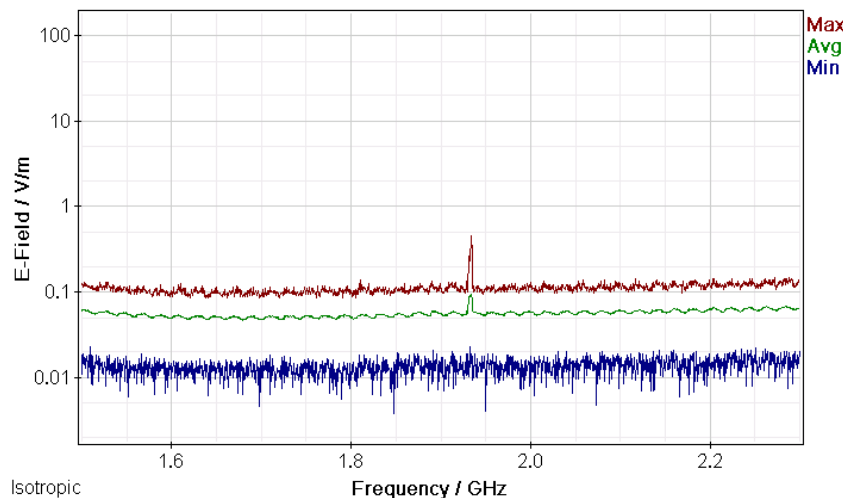
Μετρήσεις διακυμάνσεων (α) ελάχιστης (Min), (β) μέσης (Avg) και (γ) μέγιστης (Max) έντασης ηλεκτρικού πεδίου (E-Field) ως συνάρτηση της συχνότητας (Frequency) του πεδίου για μετρήσεις με οργανολογία τύπου NARDA SMR-3006 σε συσκευές κινητής τηλεφωνίας διαφόρων τύπων και παρόχων σε απόσταση 1 m από την κεραία των συσκευών.



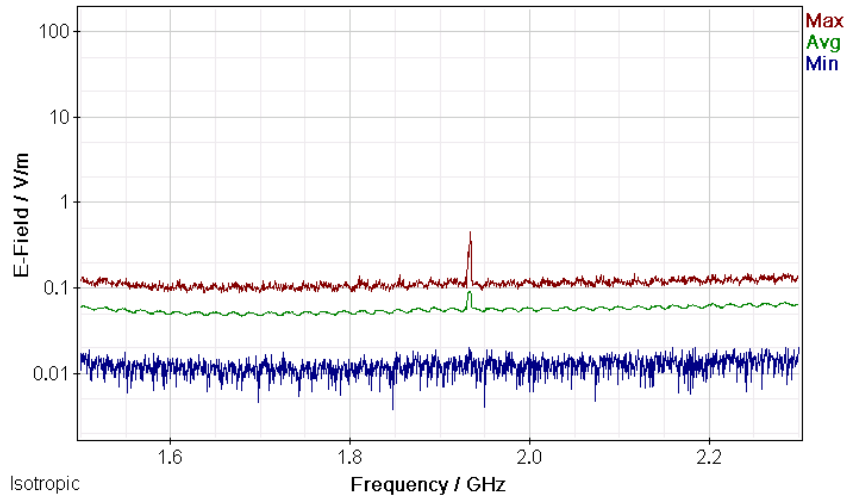
Σχήμα 655: Διακυμάνσεις (α) ελάχιστης (Min), (β) μέσης (Avg) και (γ) μέγιστης (Max) έντασης ηλεκτρικού πεδίου (E-Field) ως συνάρτηση της συχνότητας (Frequency) του πεδίου για μετρήσεις με οργανολογία τύπου NARDA SMR-3006 σε συσκευή κινητής τηλεφωνίας τύπου SAMSUNG GALAXY GT-S7580 και παρόχου VODAFONE σε απόσταση 1m από την κεραία της συσκευής κατά τη διάρκεια αναμονής χρήσης της συσκευής και χωρίς την ενεργοποίηση δεδομένων κινητής τηλεφωνίας.



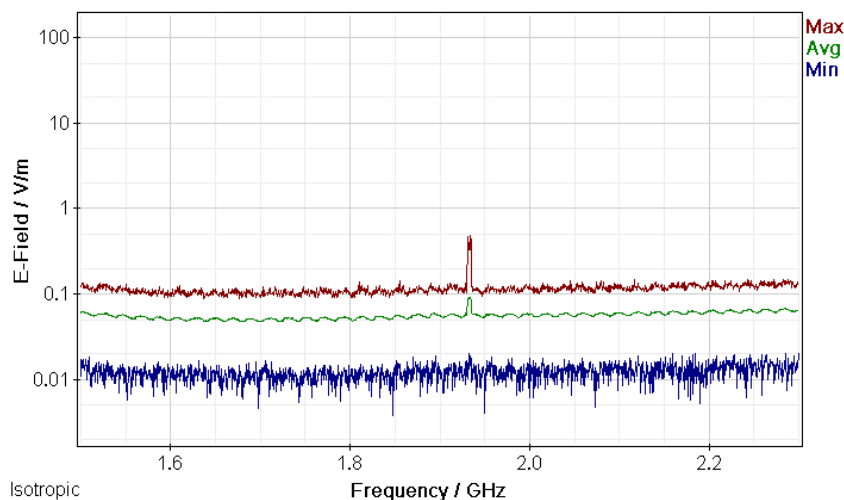
Σχήμα 656: Διακυμάνσεις (α) ελάχιστης (Min), (β) μέσης (Avg) και (γ) μέγιστης (Max) έντασης ηλεκτρικού πεδίου (E-Field) ως συνάρτηση της συχνότητας (Frequency) του πεδίου για μετρήσεις με οργανολογία τύπου NARDA SMR-3006 σε συσκευή κινητής τηλεφωνίας τύπου SAMSUNG GALAXY GT-S7580 και παρόχου VODAFONE σε απόσταση 1m από την κεραία της συσκευής κατα τη διάρκεια κλήσης χωρίς συνομιλία και ενεργοποίηση δεδομένων κινητής τηλεφωνίας



Σχήμα 657: Διακυμάνσεις (α) ελάχιστης (Min), (β) μέσης (Avg) και (γ) μέγιστης (Max) έντασης ηλεκτρικού πεδίου (E-Field) ως συνάρτηση της συχνότητας (Frequency) του πεδίου για μετρήσεις με οργανολογία τύπου NARDA SMR-3006 σε συσκευή κινητής τηλεφωνίας τύπου SAMSUNG GALAXY GT-S7580 και παρόχου VODAFONE σε απόσταση 1m από την κεραία της συσκευής κατα τη διάρκεια συνομιλίας δυόμιση λεπτών χωρίς ενεργοποίηση δεδομένων κινητής τηλεφωνίας.

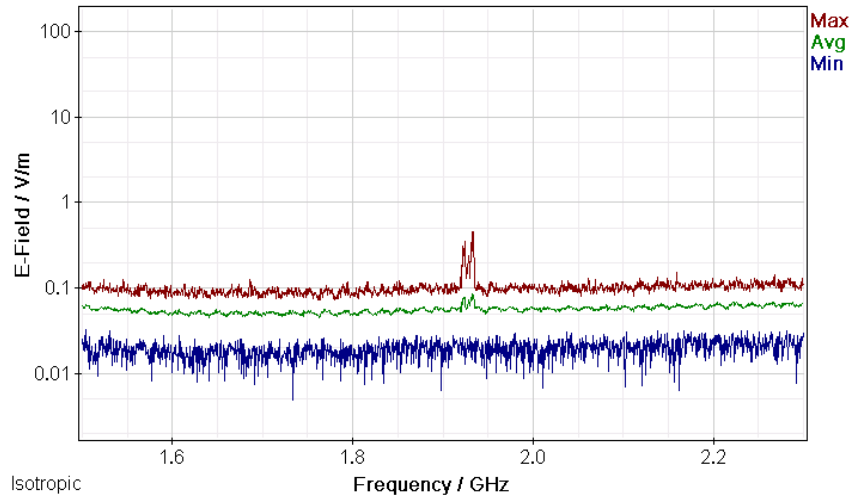


Σχήμα 658: Διακυμάνσεις (α) ελάχιστης (Min), (β) μέσης (Avg) και (γ) μέγιστης (Max) έντασης ηλεκτρικού πεδίου (E-Field) ως συνάρτηση της συχνότητας (Frequency) του πεδίου για μετρήσεις με οργανολογία τύπου NARDA SMR-3006 σε συσκευή κινητής τηλεφωνίας τύπου SAMSUNG GALAXY GT-S7580 και παρόχου VODAFONE σε απόσταση 1m από την κεραία της συσκευής κατά τη διάρκεια πεντάλεπτης συνομιλίας χωρίς ενεργοποίηση δεδομένων κινητής τηλεφωνίας.

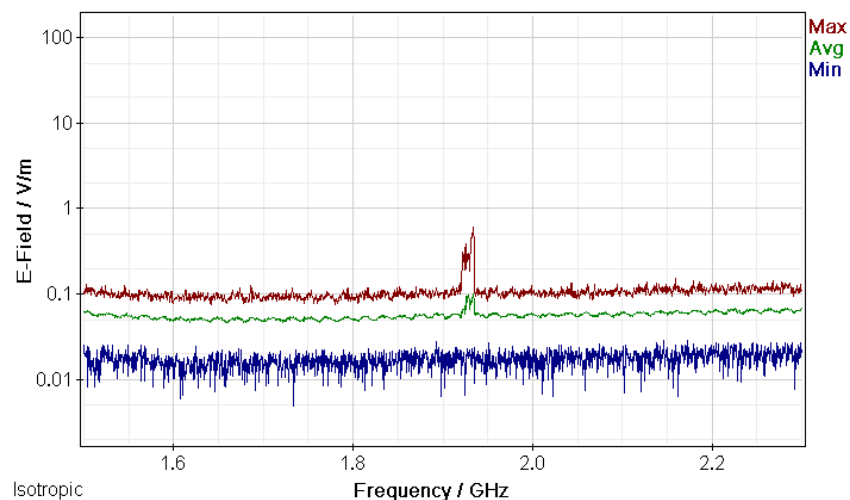


Σχήμα 659: Διακυμάνσεις (α) ελάχιστης (Min), (β) μέσης (Avg) και (γ) μέγιστης (Max) έντασης ηλεκτρικού πεδίου (E-Field) ως συνάρτηση της συχνότητας (Frequency) του πεδίου για μετρήσεις με οργανολογία τύπου NARDA SMR-3006 σε συσκευή κινητής τηλεφωνίας τύπου SAMSUNG GALAXY GT-S7580 και παρόχου VODAFONE σε απόσταση 1m από την κεραία της συσκευής κατά τη διάρκεια τερματισμού της κλήσης χωρίς ενεργοποίηση δεδομένων κινητής τηλεφωνίας.

ΜΕΛΕΤΗ Η/Μ ΔΙΑΤΑΡΑΧΩΝ ΚΙΝΗΤΗΣ ΤΗΛΕΦΩΝΙΑΣ



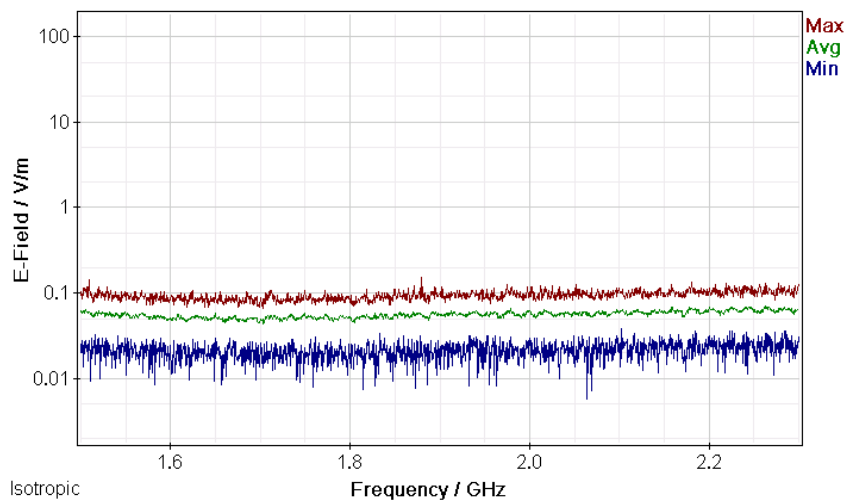
Σχήμα 660: Διακυμάνσεις (α) ελάχιστης (Min), (β) μέσης (Avg) και (γ) μέγιστης (Max) έντασης ηλεκτρικού πεδίου (E-Field) ως συνάρτηση της συχνότητας (Frequency) του πεδίου για μετρήσεις με οργάνολογία τύπου NARDA SMR-3006 σε συσκευή κινητής τηλεφωνίας τύπου SAMSUNG GALAXY GT-S7580 και παρόχου VODAFONE σε απόσταση 1m από την κεραία της συσκευής κατά τη διάρκεια αναμονής χρήσης της συσκευής με ενεργοποίηση των δεδομένων κινητής τηλεφωνίας χωρίς πρόσβαση στον παγώσιμο ιστό.



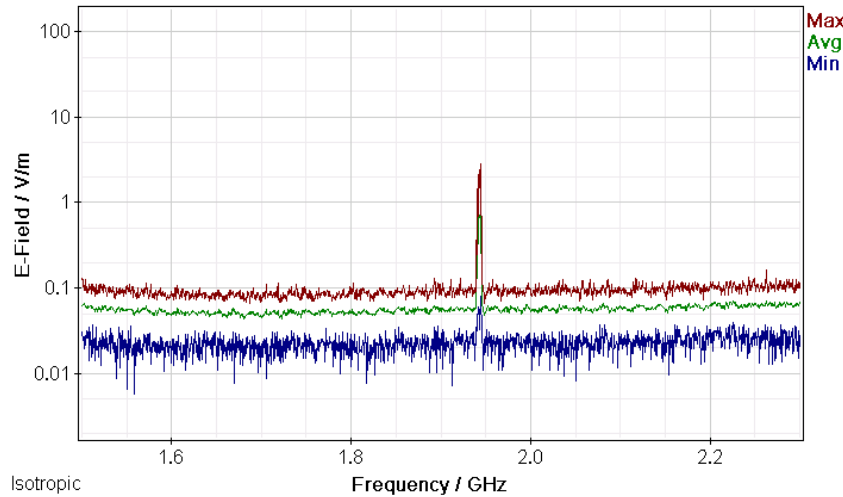
Σχήμα 661: Διακυμάνσεις (α) ελάχιστης (Min), (β) μέσης (Avg) και (γ) μέγιστης (Max) έντασης ηλεκτρικού πεδίου (E-Field) ως συνάρτηση της συχνότητας (Frequency) του πεδίου για μετρήσεις με οργάνολογία τύπου NARDA SMR-3006 σε συσκευή κινητής τηλεφωνίας τύπου SAMSUNG GALAXY GT-S7580 και παρόχου VODAFONE σε απόσταση 1m από την κεραία της συσκευής κατά τη διάρκεια αναμονής χρήσης της συσκευής με ενεργοποίηση των δεδομένων κινητής τηλεφωνίας και αναζήτησης δεδομένων στον παγώσιμο ιστό.

ΠΑΡΑΡΤΗΜΑ 1

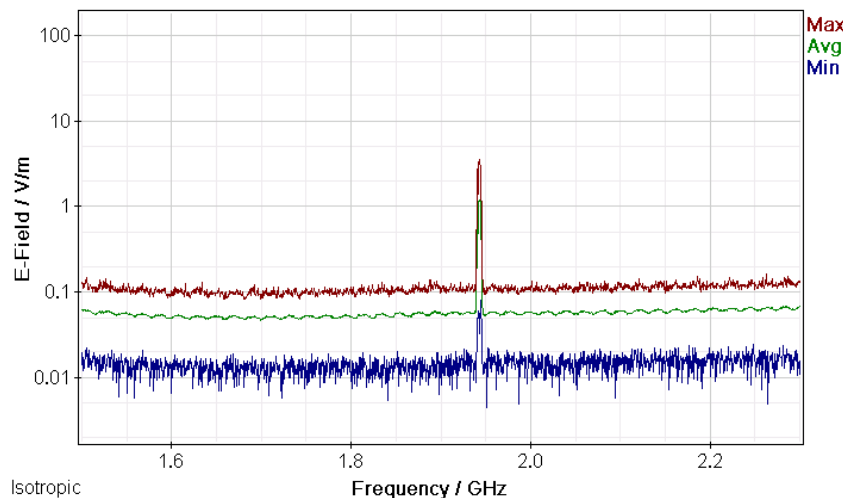
Μετρήσεις διακυμάνσεων (α) ελάχιστης (Min), (β) μέσης (Avg) και (γ) μέγιστης (Max) έντασης ηλεκτρικού πεδίου (E-Field) ως συνάρτηση της συχνότητας (Frequency) του πεδίου για μετρήσεις με οργανολογία τύπου NARDA SMR-3006 σε συσκευές κινητής τηλεφωνίας διαφόρων τύπων και παρόχων σε απόσταση 0 m από την κεραία των συσκευών.



Σχήμα 662: Διακυμάνσεις (α) ελάχιστης (Min), (β) μέσης (Avg) και (γ) μέγιστης (Max) έντασης ηλεκτρικού πεδίου (E-Field) ως συνάρτηση της συχνότητας (Frequency) του πεδίου για μετρήσεις με οργανολογία τύπου NARDA SMR-3006 σε συσκευή κινητής τηλεφωνίας τύπου SAMSUNG GALAXY GT-S7580 και παρόχου WIND σε απόσταση 0m από την κεραία της συσκευής κατά τη διάρκεια αναμονής χρήσης της συσκευής και χωρίς την ενεργοποίηση δεδομένων κινητής τηλεφωνίας.

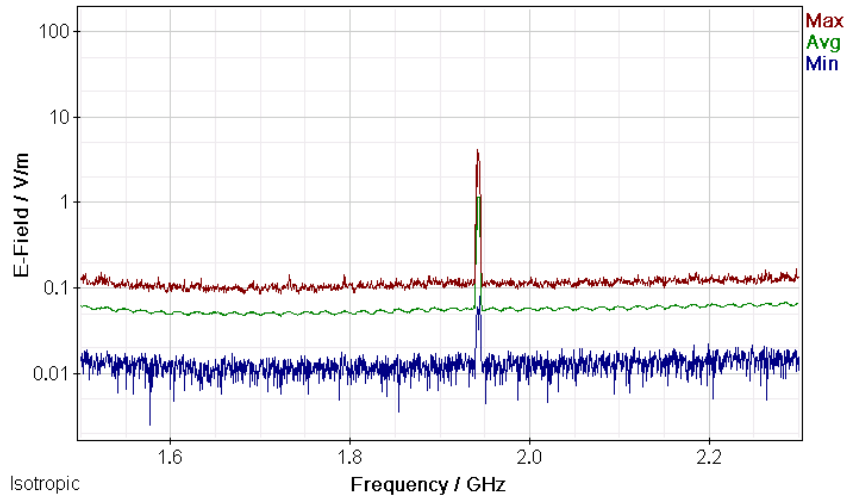


Σχήμα 663: Διακυμάνσεις (α) ελάχιστης (Min), (β) μέσης (Avg) και (γ) μέγιστης (Max) έντασης ηλεκτρικού πεδίου (E-Field) ως συνάρτηση της συχνότητας (Frequency) του πεδίου για μετρήσεις με οργανολογία τύπου NARDA SMR-3006 σε συσκευή κινητής τηλεφωνίας τύπου SAMSUNG GALAXY GT-S7580 και παρόχου WIND σε απόσταση 0m από την κεραία της συσκευής κατα τη διάρκεια κλήσης χωρίς συνομιλία και ενεργοποίηση δεδομένων κινητής τηλεφωνίας .

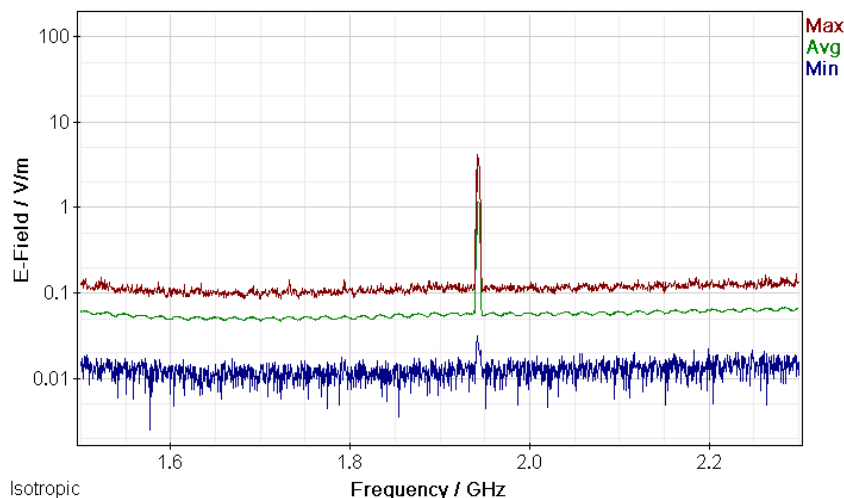


Σχήμα 664: Διακυμάνσεις (α) ελάχιστης (Min), (β) μέσης (Avg) και (γ) μέγιστης (Max) έντασης ηλεκτρικού πεδίου (E-Field) ως συνάρτηση της συχνότητας (Frequency) του πεδίου για μετρήσεις με οργανολογία τύπου NARDA SMR-3006 σε συσκευή κινητής τηλεφωνίας τύπου SAMSUNG GALAXY GT-S7580 και παρόχου WIND σε απόσταση 0m από την κεραία της συσκευής κατα τη διάρκεια συνομιλίας δύομιση λεπτών χωρίς ενεργοποίηση δεδομένων κινητής τηλεφωνίας.

ΜΕΛΕΤΗ Η/Μ ΔΙΑΤΑΡΑΧΩΝ ΚΙΝΗΤΗΣ ΤΗΛΕΦΩΝΙΑΣ

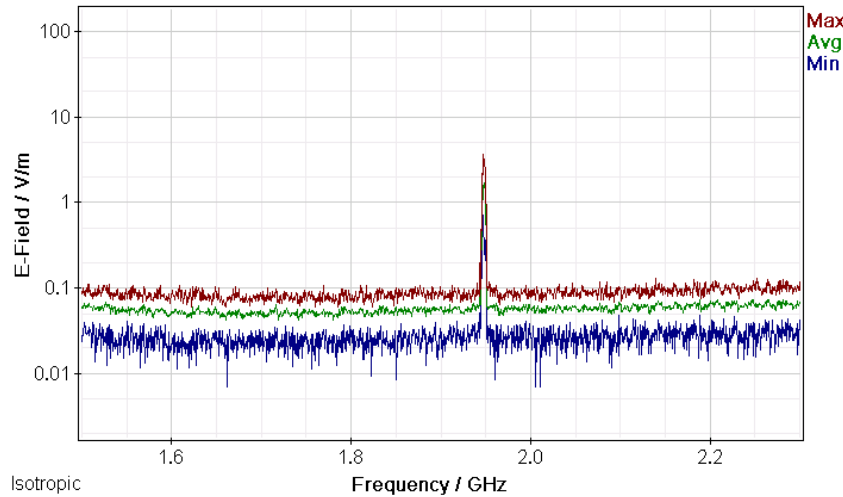


Σχήμα 665: Διακυμάνσεις (α) ελάχιστης (Min), (β) μέσης (Avg) και (γ) μέγιστης (Max) έντασης ηλεκτρικού πεδίου (E-Field) ως συνάρτηση της συχνότητας (Frequency) του πεδίου για μετρήσεις με οργάνολογία τύπου NARDA SMR-3006 σε συσκευή κινητής τηλεφωνίας τύπου SAMSUNG GALAXY GT-S7580 και παρόχου WIND σε απόσταση 0m από την κεραία της συσκευής κατά τη διάρκεια πεντάλεπτης συνομιλίας χωρίς ενεργοποίηση δεδομένων κινητής τηλεφωνίας.

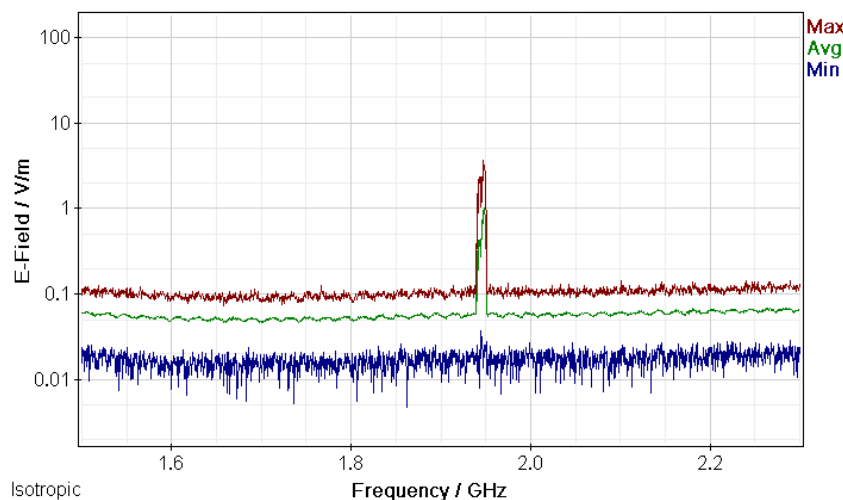


Σχήμα 666: Διακυμάνσεις (α) ελάχιστης (Min), (β) μέσης (Avg) και (γ) μέγιστης (Max) έντασης ηλεκτρικού πεδίου (E-Field) ως συνάρτηση της συχνότητας (Frequency) του πεδίου για μετρήσεις με οργάνολογία τύπου NARDA SMR-3006 σε συσκευή κινητής τηλεφωνίας τύπου SAMSUNG GALAXY GT-S7580 και παρόχου WIND σε απόσταση 0m από την κεραία της συσκευής κατά τη διάρκεια τερματισμού της κλήσης χωρίς ενεργοποίηση δεδομένων κινητής τηλεφωνίας.

ΜΕΛΕΤΗ Η/Μ ΔΙΑΤΑΡΑΧΩΝ ΚΙΝΗΤΗΣ ΤΗΛΕΦΩΝΙΑΣ



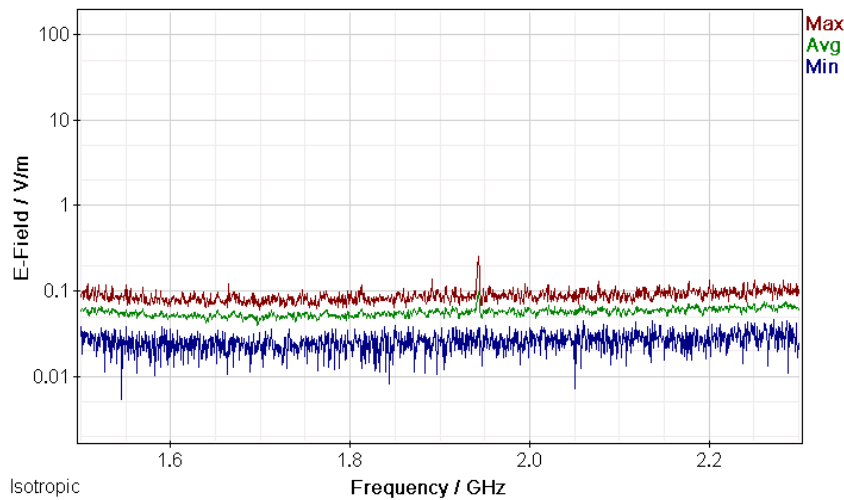
Σχήμα 667: Διακυμάνσεις (α) ελάχιστης (Min), (β) μέσης (Avg) και (γ) μέγιστης (Max) έντασης ηλεκτρικού πεδίου (E-Field) ως συνάρτηση της συχνότητας (Frequency) του πεδίου για μετρήσεις με οργάνολογία τύπου NARDA SMR-3006 σε συσκευή κινητής τηλεφωνίας τύπου SAMSUNG GALAXY GT-S7580 και παρόχου WIND σε απόσταση 0m από την κεραία της συσκευής κατά τη διάρκεια αναμονής χρήσης της συσκευής με ενεργοποίηση των δεδομένων κινητής τηλεφωνίας χωρίς πρόσβαση στον παγώσιμο ιστό.



Σχήμα 668: Διακυμάνσεις (α) ελάχιστης (Min), (β) μέσης (Avg) και (γ) μέγιστης (Max) έντασης ηλεκτρικού πεδίου (E-Field) ως συνάρτηση της συχνότητας (Frequency) του πεδίου για μετρήσεις με οργάνολογία τύπου NARDA SMR-3006 σε συσκευή κινητής τηλεφωνίας τύπου SAMSUNG GALAXY GT-S7580 και παρόχου WIND σε απόσταση 0m από την κεραία της συσκευής κατά τη διάρκεια αναμονής χρήσης της συσκευής με ενεργοποίηση των δεδομένων κινητής τηλεφωνίας και αναζήτησης δεδομένων στον παγώσιμο ιστό.

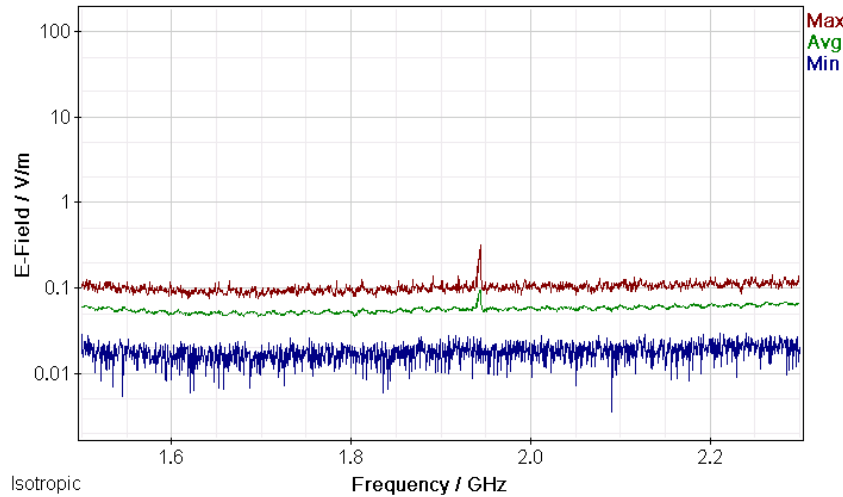
ΠΑΡΑΡΤΗΜΑ 2

Μετρήσεις διακυμάνσεων (α) ελάχιστης (Min), (β) μέσης (Avg) και (γ) μέγιστης (Max) έντασης ηλεκτρικού πεδίου (E-Field) ως συνάρτηση της συχνότητας (Frequency) του πεδίου για μετρήσεις με οργανολογία τύπου NARDA SMR-3006 σε συσκευές κινητής τηλεφωνίας διαφόρων τύπων και παρόχων σε απόσταση 1 m από την κεραία των συσκευών.

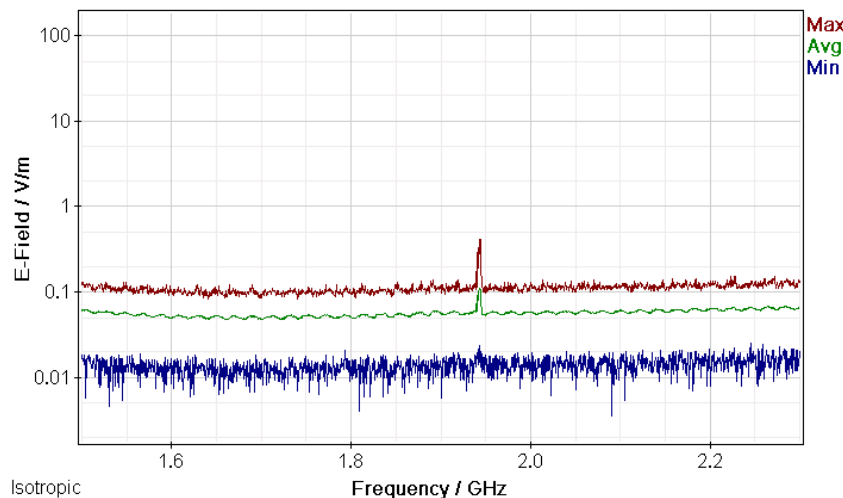


Σχήμα 669: Διακυμάνσεις (α) ελάχιστης (Min), (β) μέσης (Avg) και (γ) μέγιστης (Max) έντασης ηλεκτρικού πεδίου (E-Field) ως συνάρτηση της συχνότητας (Frequency) του πεδίου για μετρήσεις με οργανολογία τύπου NARDA SMR-3006 σε συσκευή κινητής τηλεφωνίας τύπου SAMSUNG GALAXY GT-S7580 και παρόχου WIND σε απόσταση 1m από την κεραία της συσκευής κατα τη διάρκεια αναμονής χρήσης της συσκευής και χωρίς την ενεργοποίηση δεδομένων κινητής τηλεφωνίας.

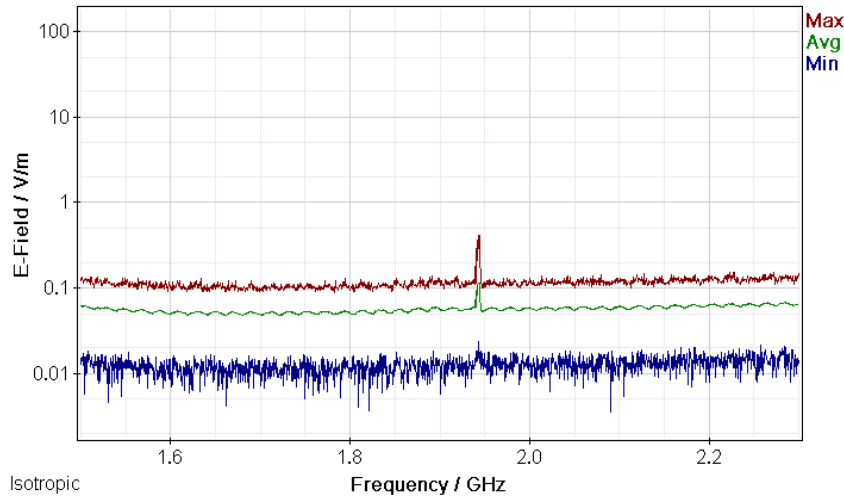
ΜΕΛΕΤΗ Η/Μ ΔΙΑΤΑΡΑΧΩΝ ΚΙΝΗΤΗΣ ΤΗΛΕΦΩΝΙΑΣ



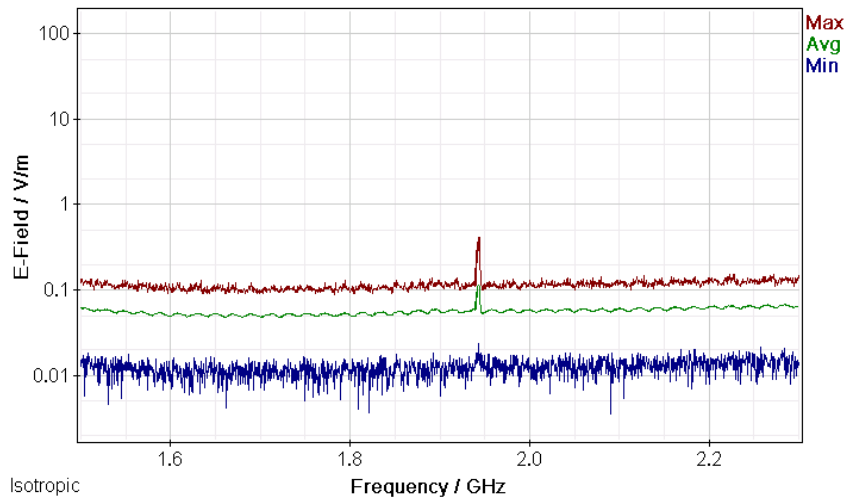
Σχήμα 670: Διακυμάνσεις (α) ελάχιστης (Min), (β) μέσης (Avg) και (γ) μέγιστης (Max) έντασης ηλεκτρικού πεδίου (E-Field) ως συνάρτηση της συχνότητας (Frequency) του πεδίου για μετρήσεις με οργανολογία τύπου NARDA SMR-3006 σε συσκευή κινητής τηλεφωνίας τύπου SAMSUNG GALAXY GT-S7580 και παρόχου WIND σε απόσταση 1m από την κεραία της συσκευής κατά τη διάρκεια κλήσης χωρίς συνομιλία και ενεργοποίηση δεδομένων κινητής τηλεφωνίας .



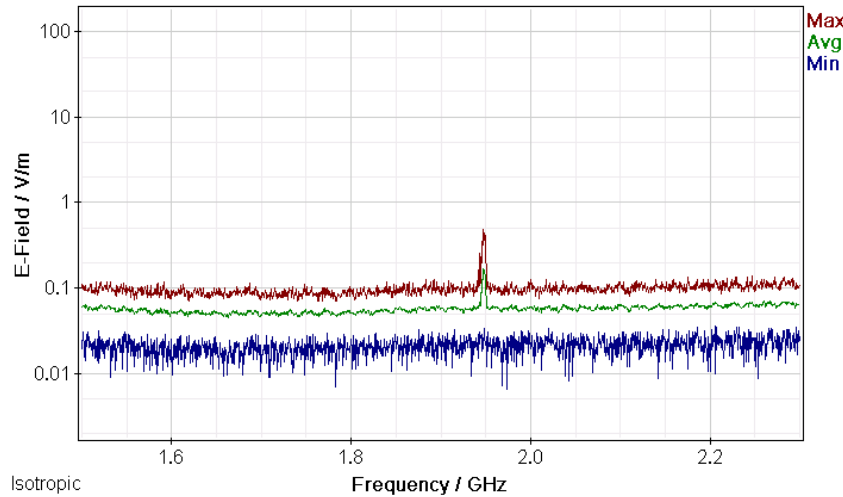
Σχήμα 671: Διακυμάνσεις (α) ελάχιστης (Min), (β) μέσης (Avg) και (γ) μέγιστης (Max) έντασης ηλεκτρικού πεδίου (E-Field) ως συνάρτηση της συχνότητας (Frequency) του πεδίου για μετρήσεις με οργανολογία τύπου NARDA SMR-3006 σε συσκευή κινητής τηλεφωνίας τύπου SAMSUNG GALAXY GT-S7580 και παρόχου WIND σε απόσταση 1m από την κεραία της συσκευής κατά τη διάρκεια συνομιλίας δύομιση λεπτών χωρίς ενεργοποίηση δεδομένων κινητής τηλεφωνίας.



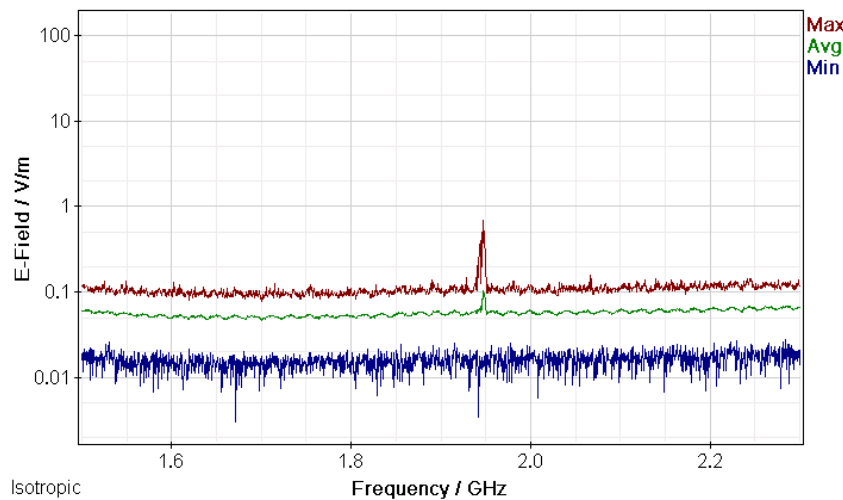
Σχήμα 672: Διακυμάνσεις (α) ελάχιστης (Min), (β) μέσης (Avg) και (γ) μέγιστης (Max) έντασης ηλεκτρικού πεδίου (E-Field) ως συνάρτηση της συχνότητας (Frequency) του πεδίου για μετρήσεις με οργάνολογία τύπου NARDA SMR-3006 σε συσκευή κινητής τηλεφωνίας τύπου SAMSUNG GALAXY GT-S7580 και παρόχου WIND σε απόσταση 1m από την κεραία της συσκευής κατά τη διάρκεια πεντάλεπτης συνομιλίας χωρίς ενεργοποίηση δεδομένων κινητής τηλεφωνίας.



Σχήμα 673: Διακυμάνσεις (α) ελάχιστης (Min), (β) μέσης (Avg) και (γ) μέγιστης (Max) έντασης ηλεκτρικού πεδίου (E-Field) ως συνάρτηση της συχνότητας (Frequency) του πεδίου για μετρήσεις με οργάνολογία τύπου NARDA SMR-3006 σε συσκευή κινητής τηλεφωνίας τύπου SAMSUNG GALAXY GT-S7580 και παρόχου WIND σε απόσταση 1m από την κεραία της συσκευής κατά τη διάρκεια τερματισμού της κλήσης χωρίς ενεργοποίηση δεδομένων κινητής τηλεφωνίας.



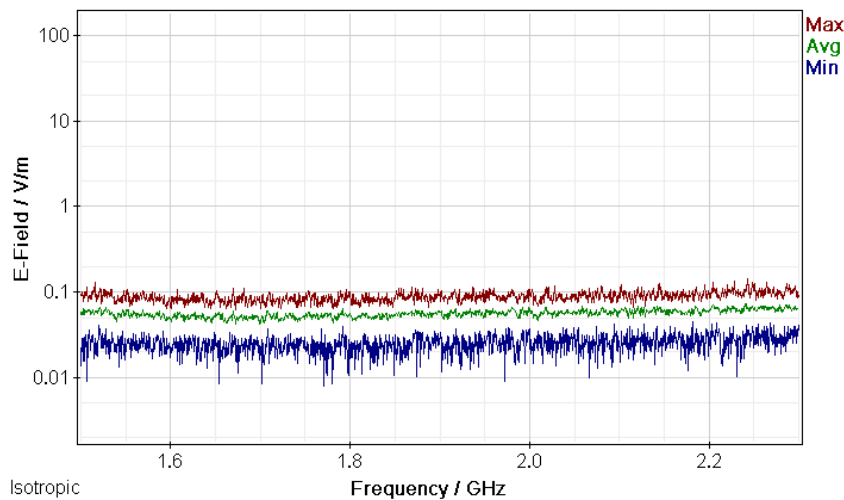
Σχήμα 674: Διακυμάνσεις (α) ελάχιστης (Min), (β) μέσης (Avg) και (γ) μέγιστης (Max) έντασης ηλεκτρικού πεδίου (E-Field) ως συνάρτηση της συχνότητας (Frequency) του πεδίου για μετρήσεις με οργανολογία τύπου NARDA SMR-3006 σε συσκευή κινητής τηλεφωνίας τύπου SAMSUNG GALAXY GT-S7580 και παρόχου WIND σε απόσταση 1m από την κεραία της συσκευής κατα τη διάρκεια αναμονής χρήσης της συσκευής με ενεργοποίηση των δεδομένων κινητής τηλεφωνίας χωρίς πρόσβαση στον παγόσμιο ιστό.



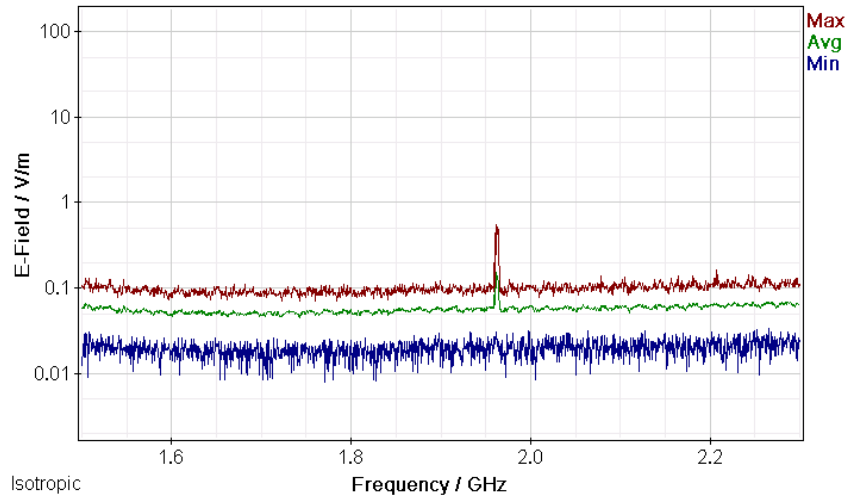
Σχήμα 675: Διακυμάνσεις (α) ελάχιστης (Min), (β) μέσης (Avg) και (γ) μέγιστης (Max) έντασης ηλεκτρικού πεδίου (E-Field) ως συνάρτηση της συχνότητας (Frequency) του πεδίου για μετρήσεις με οργανολογία τύπου NARDA SMR-3006 σε συσκευή κινητής τηλεφωνίας τύπου SAMSUNG GALAXY GT-S7580 και παρόχου WIND σε απόσταση 1m από την κεραία της συσκευής κατα τη διάρκεια αναμονής χρήσης της συσκευής με ενεργοποίηση των δεδομένων κινητής τηλεφωνίας και αναζήτησης δεδομένων στον παγόσμιο ιστό.

ΠΑΡΑΡΤΗΜΑ 1

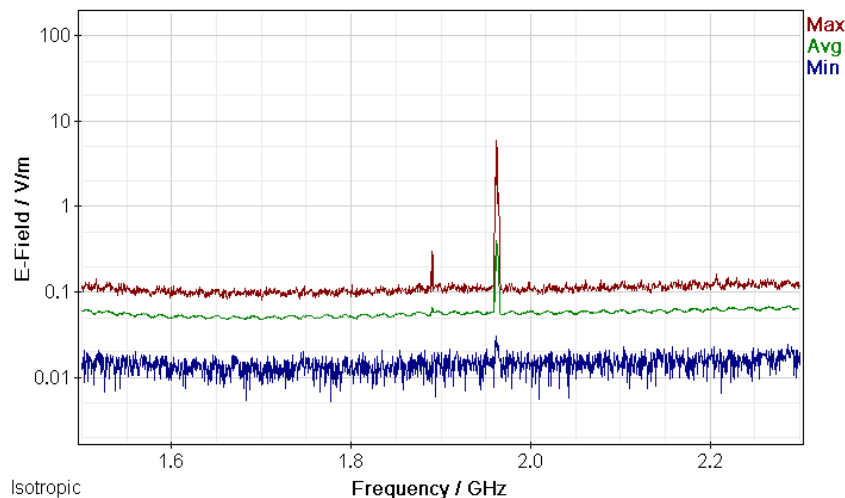
Μετρήσεις διακυμάνσεων (α) ελάχιστης (Min), (β) μέσης (Avg) και (γ) μέγιστης (Max) έντασης ηλεκτρικού πεδίου (E-Field) ως συνάρτηση της συχνότητας (Frequency) του πεδίου για μετρήσεις με οργανολογία τύπου NARDA SMR-3006 σε συσκευές κινητής τηλεφωνίας διαφόρων τύπων και παρόχων σε απόσταση 0 m από την κεραία των συσκευών.



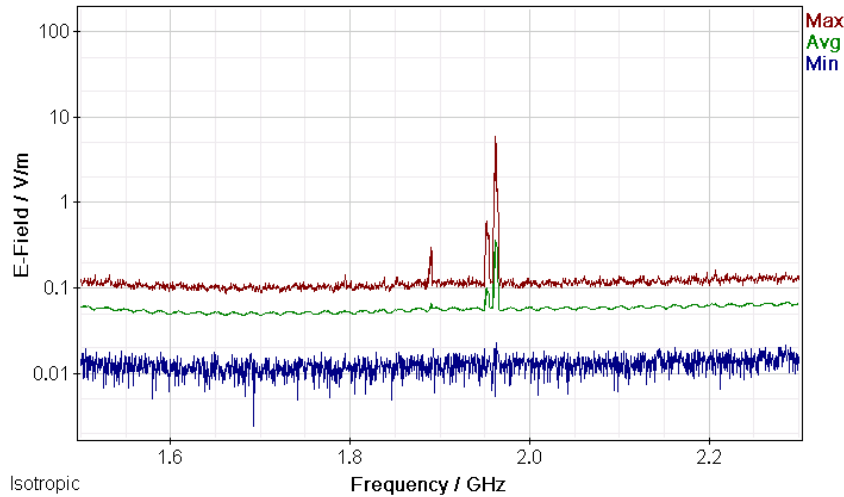
Σχήμα 676: Διακυμάνσεις (α) ελάχιστης (Min), (β) μέσης (Avg) και (γ) μέγιστης (Max) έντασης ηλεκτρικού πεδίου (E-Field) ως συνάρτηση της συχνότητας (Frequency) του πεδίου για μετρήσεις με οργανολογία τύπου NARDA SMR-3006 σε συσκευή κινητής τηλεφωνίας τύπου SAMSUNG GALAXY GT-P5100 και παρόχου COSMOTE σε απόσταση 0m από την κεραία της συσκευής κατά τη διάρκεια αναμονής χρήσης της συσκευής και χωρίς την ενεργοποίηση δεδομένων κινητής τηλεφωνίας.



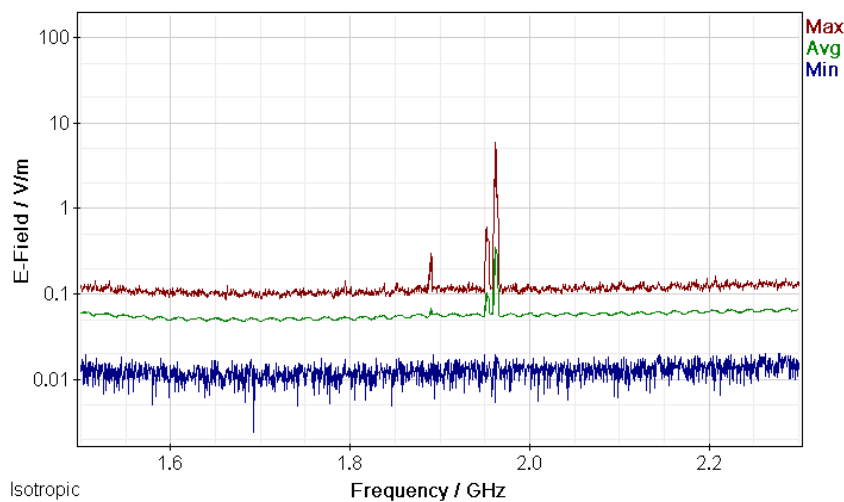
Σχήμα 677: Διακυμάνσεις (α) ελάχιστης (Min), (β) μέσης (Avg) και (γ) μέγιστης (Max) έντασης ηλεκτρικού πεδίου (E-Field) ως συνάρτηση της συχνότητας (Frequency) του πεδίου για μετρήσεις με οργάνολογία τύπου NARDA SMR-3006 σε συσκευή κινητής τηλεφωνίας τύπου SAMSUNG GALAXY GT-P5100 και παρόχου COSMOTE σε απόσταση 0m από την κεραία της συσκευής κατα τη διάρκεια κλήσης χωρίς συνομιλία και ενεργοποίηση δεδομένων κινητής τηλεφωνίας .



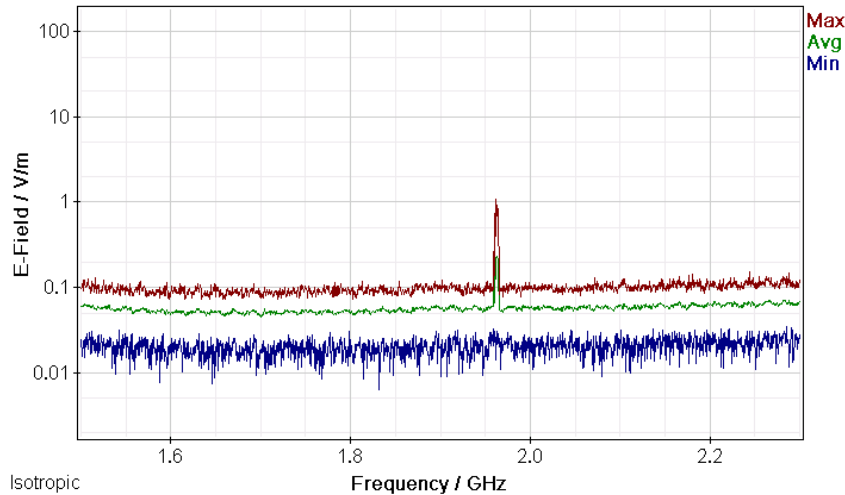
Σχήμα 678: Διακυμάνσεις (α) ελάχιστης (Min), (β) μέσης (Avg) και (γ) μέγιστης (Max) έντασης ηλεκτρικού πεδίου (E-Field) ως συνάρτηση της συχνότητας (Frequency) του πεδίου για μετρήσεις με οργάνολογία τύπου NARDA SMR-3006 σε συσκευή κινητής τηλεφωνίας τύπου SAMSUNG GALAXY GT-P5100 και παρόχου COSMOTE σε απόσταση 0m από την κεραία της συσκευής κατα τη διάρκεια συνομιλίας δυόμιση λεπτών χωρίς ενεργοποίηση δεδομένων κινητής τηλεφωνίας.



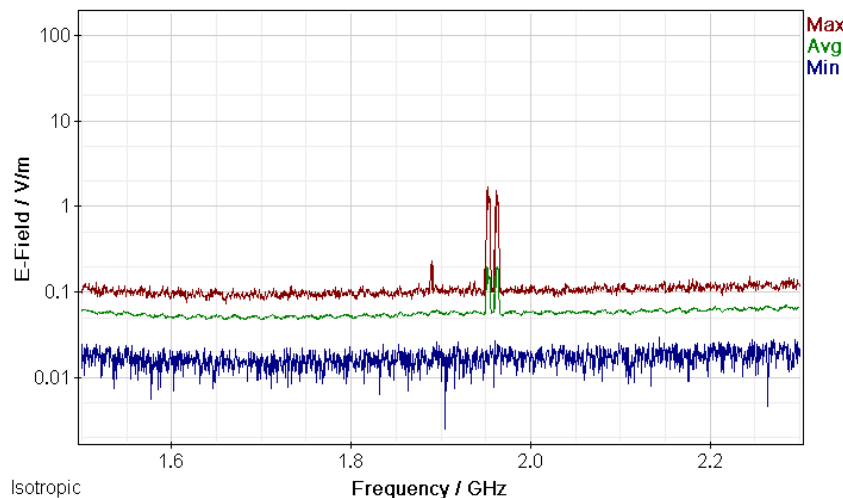
Σχήμα 679: Διακυμάνσεις (α) ελάχιστης (Min), (β) μέσης (Avg) και (γ) μέγιστης (Max) έντασης ηλεκτρικού πεδίου (E-Field) ως συνάρτηση της συχνότητας (Frequency) του πεδίου για μετρήσεις με οργάνολογία τύπου NARDA SMR-3006 σε συσκευή κινητής τηλεφωνίας τύπου SAMSUNG GALAXY GT-P5100 και παρόχου COSMOTE σε απόσταση 0m από την κεραία της συσκευής κατα τη διάρκεια πεντάλεπτης συνομιλίας χωρίς ενεργοποίηση δεδομένων κινητής τηλεφωνίας.



Σχήμα 680: Διακυμάνσεις (α) ελάχιστης (Min), (β) μέσης (Avg) και (γ) μέγιστης (Max) έντασης ηλεκτρικού πεδίου (E-Field) ως συνάρτηση της συχνότητας (Frequency) του πεδίου για μετρήσεις με οργάνολογία τύπου NARDA SMR-3006 σε συσκευή κινητής τηλεφωνίας τύπου SAMSUNG GALAXY GT-P5100 και παρόχου COMOTE σε απόσταση 0m από την κεραία της συσκευής κατα τη διάρκεια τερματισμού της κλήσης χωρίς ενεργοποίηση δεδομένων κινητής τηλεφωνίας.



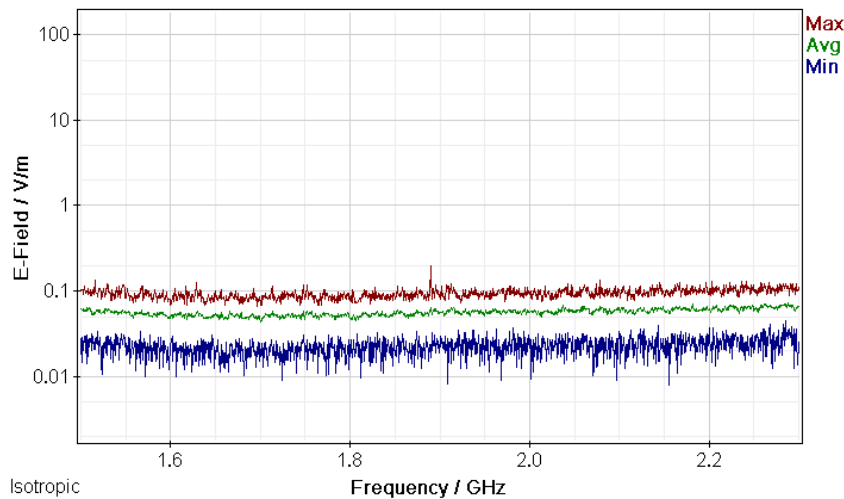
Σχήμα 681: Διακυμάνσεις (α) ελάχιστης (Min), (β) μέσης (Avg) και (γ) μέγιστης (Max) έντασης ηλεκτρικού πεδίου (E-Field) ως συνάρτηση της συχνότητας (Frequency) του πεδίου για μετρήσεις με οργανολογία τύπου NARDA SMR-3006 σε συσκευή κινητής τηλεφωνίας τύπου SAMSUNG GALAXY GT-P5100 και παρόχου COSMOTE σε απόσταση 0m από την κεραία της συσκευής κατά τη διάρκεια αναμονής χρήσης της συσκευής με ενεργοποίηση των δεδομένων κινητής τηλεφωνίας χωρίς πρόσβαση στον παγώσιμο ιστό.



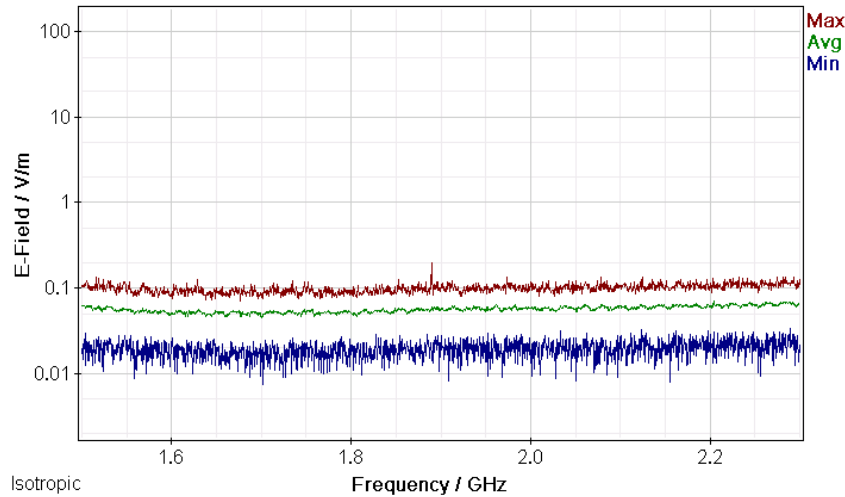
Σχήμα 682: Διακυμάνσεις (α) ελάχιστης (Min), (β) μέσης (Avg) και (γ) μέγιστης (Max) έντασης ηλεκτρικού πεδίου (E-Field) ως συνάρτηση της συχνότητας (Frequency) του πεδίου για μετρήσεις με οργανολογία τύπου NARDA SMR-3006 σε συσκευή κινητής τηλεφωνίας τύπου SAMSUNG GALAXY GT-P5100 και παρόχου COSMOTE σε απόσταση 0m από την κεραία της συσκευής κατά τη διάρκεια αναμονής χρήσης της συσκευής με ενεργοποίηση των δεδομένων κινητής τηλεφωνίας και αναζήτησης δεδομένων στον παγώσιμο ιστό.

ΠΑΡΑΡΤΗΜΑ 2

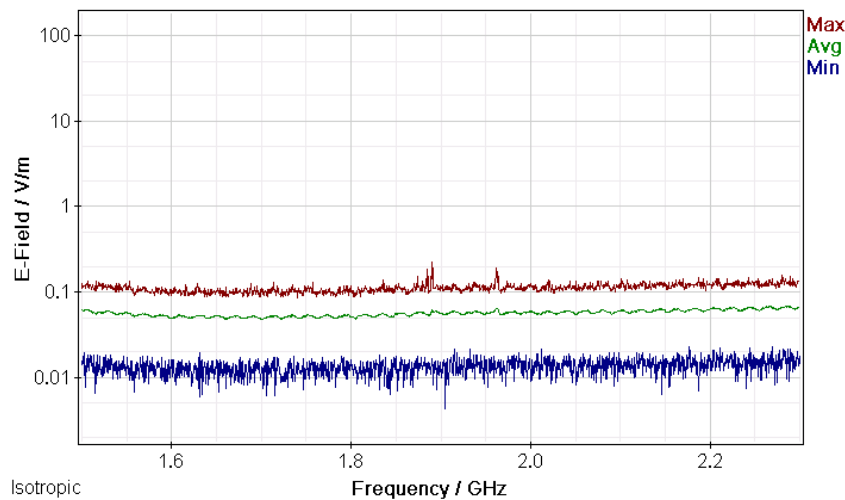
Μετρήσεις διακυμάνσεων (α) ελάχιστης (Min), (β) μέσης (Avg) και (γ) μέγιστης (Max) έντασης ηλεκτρικού πεδίου (E-Field) ως συνάρτηση της συχνότητας (Frequency) του πεδίου για μετρήσεις με οργανολογία τύπου NARDA SMR-3006 σε συσκευές κινητής τηλεφωνίας διαφόρων τύπων και παρόχων σε απόσταση 1 m από την κεραία των συσκευών.



Σχήμα 683: Διακυμάνσεις (α) ελάχιστης (Min), (β) μέσης (Avg) και (γ) μέγιστης (Max) έντασης ηλεκτρικού πεδίου (E-Field) ως συνάρτηση της συχνότητας (Frequency) του πεδίου για μετρήσεις με οργανολογία τύπου NARDA SMR-3006 σε συσκευή κινητής τηλεφωνίας τύπου SAMSUNG GALAXY GT-P5100 και παρόχου COSMOTE σε απόσταση 1m από την κεραία της συσκευής κατά τη διάρκεια αναμονής χρήσης της συσκευής και χωρίς την ενεργοποίηση δεδομένων κινητής τηλεφωνίας.

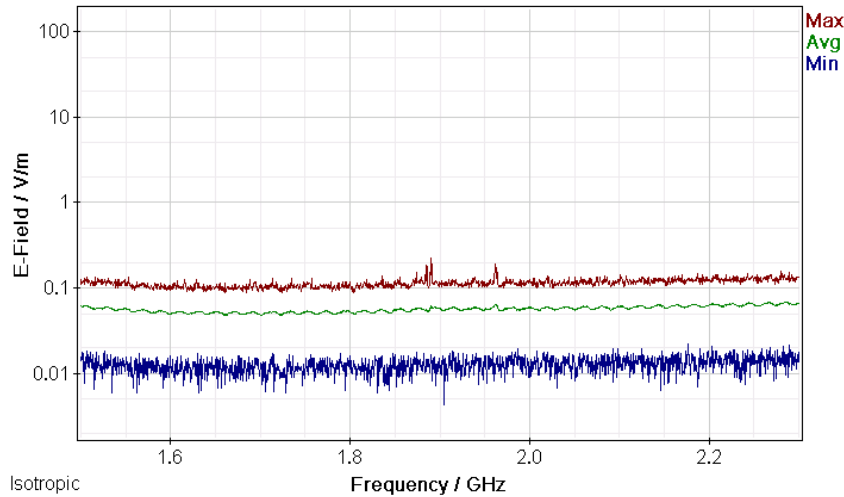


Σχήμα 684: Διακυμάνσεις (α) ελάχιστης (Min), (β) μέσης (Avg) και (γ) μέγιστης (Max) έντασης ηλεκτρικού πεδίου (E-Field) ως συνάρτηση της συχνότητας (Frequency) του πεδίου για μετρήσεις με οργάνολογία τύπου NARDA SMR-3006 σε συσκευή κινητής τηλεφωνίας τύπου SAMSUNG GALAXY GT-P5100 και παρόχου COSMOTE σε απόσταση 1m από την κεραία της συσκευής κατα τη διάρκεια κλήσης χωρίς συνομιλία και ενεργοποίηση δεδομένων κινητής τηλεφωνίας .

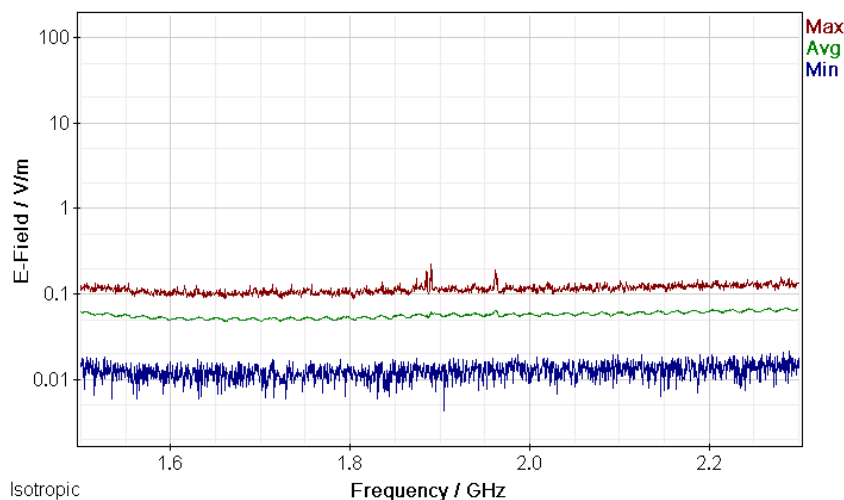


Σχήμα 685: Διακυμάνσεις (α) ελάχιστης (Min), (β) μέσης (Avg) και (γ) μέγιστης (Max) έντασης ηλεκτρικού πεδίου (E-Field) ως συνάρτηση της συχνότητας (Frequency) του πεδίου για μετρήσεις με οργάνολογία τύπου NARDA SMR-3006 σε συσκευή κινητής τηλεφωνίας τύπου SAMSUNG GALAXY GT-P5100 και παρόχου COSMOTE σε απόσταση 1m από την κεραία της συσκευής κατα τη διάρκεια συνομιλίας δυόμιση λεπτών χωρίς ενεργοποίηση δεδομένων κινητής τηλεφωνίας.

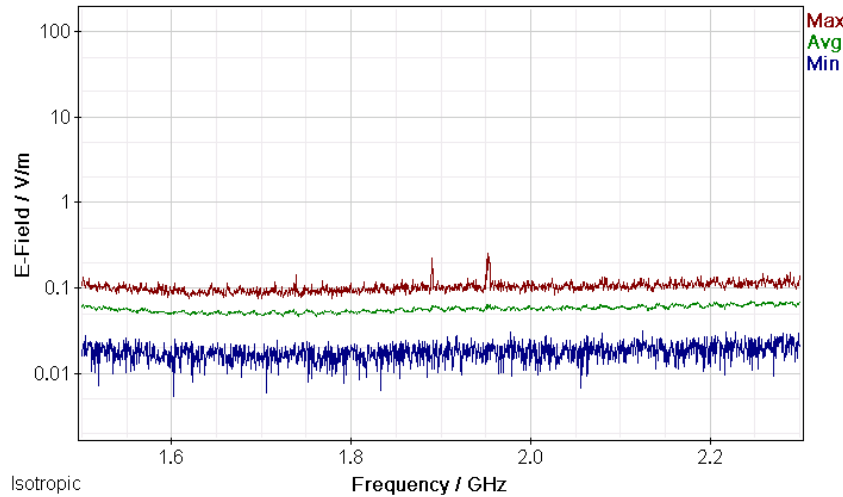
ΜΕΛΕΤΗ Η/Μ ΔΙΑΤΑΡΑΧΩΝ ΚΙΝΗΤΗΣ ΤΗΛΕΦΩΝΙΑΣ



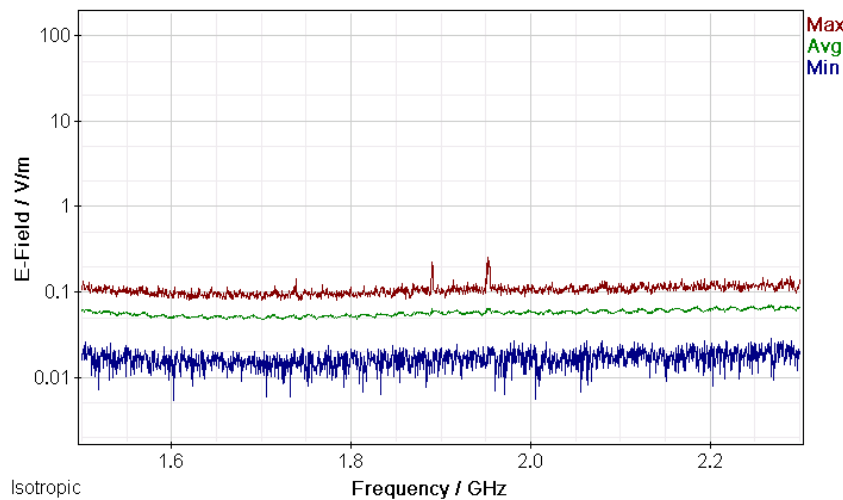
Σχήμα 686: Διακυμάνσεις (α) ελάχιστης (Min), (β) μέσης (Avg) και (γ) μέγιστης (Max) έντασης ηλεκτρικού πεδίου (E-Field) ως συνάρτηση της συχνότητας (Frequency) του πεδίου για μετρήσεις με οργάνολογία τύπου NARDA SMR-3006 σε συσκευή κινητής τηλεφωνίας τύπου SAMSUNG GALAXY GT-P5100 και παρόχου COSMOTE σε απόσταση 1m από την κεραία της συσκευής κατά τη διάρκεια πεντάλεπτης συνομιλίας χωρίς ενεργοποίηση δεδομένων κινητής τηλεφωνίας.



Σχήμα 687: Διακυμάνσεις (α) ελάχιστης (Min), (β) μέσης (Avg) και (γ) μέγιστης (Max) έντασης ηλεκτρικού πεδίου (E-Field) ως συνάρτηση της συχνότητας (Frequency) του πεδίου για μετρήσεις με οργάνολογία τύπου NARDA SMR-3006 σε συσκευή κινητής τηλεφωνίας τύπου SAMSUNG GALAXY GT-P5100 και παρόχου COSMOTE σε απόσταση 1m από την κεραία της συσκευής κατά τη διάρκεια τερματισμού της κλήσης χωρίς ενεργοποίηση δεδομένων κινητής τηλεφωνίας.



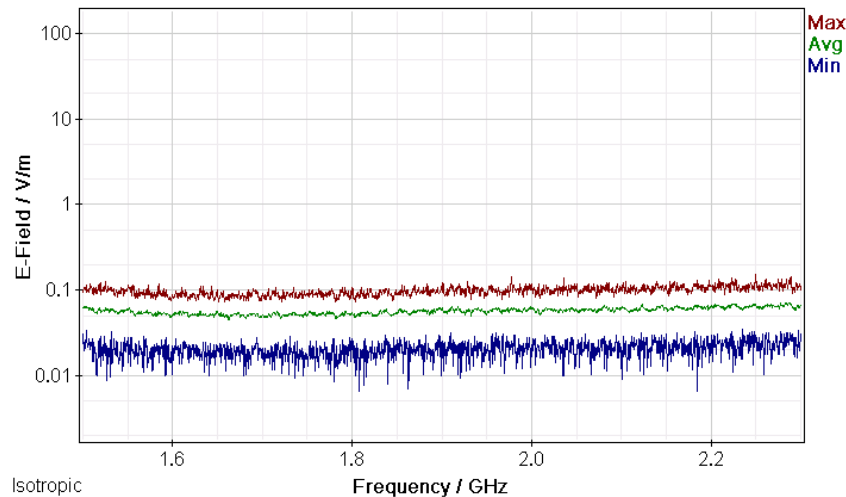
Σχήμα 688: Διακυμάνσεις (α) ελάχιστης (Min), (β) μέσης (Avg) και (γ) μέγιστης (Max) έντασης ηλεκτρικού πεδίου (E-Field) ως συνάρτηση της συχνότητας (Frequency) του πεδίου για μετρήσεις με οργανολογία τύπου NARDA SMR-3006 σε συσκευή κινητής τηλεφωνίας τύπου SAMSUNG GALAXY GT-P5100 και παρόχου COSMOTE σε απόσταση 1m από την κεραία της συσκευής κατά τη διάρκεια αναμονής χρήσης της συσκευής με ενεργοποίηση των δεδομένων κινητής τηλεφωνίας χωρίς πρόσβαση στον παγώσιμο ιστό.



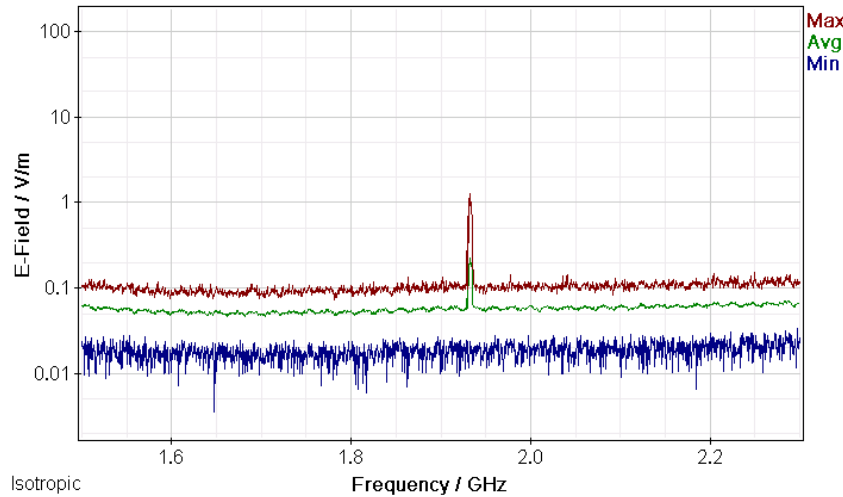
Σχήμα 689: Διακυμάνσεις (α) ελάχιστης (Min), (β) μέσης (Avg) και (γ) μέγιστης (Max) έντασης ηλεκτρικού πεδίου (E-Field) ως συνάρτηση της συχνότητας (Frequency) του πεδίου για μετρήσεις με οργανολογία τύπου NARDA SMR-3006 σε συσκευή κινητής τηλεφωνίας τύπου SAMSUNG GALAXY GT-P5100 και παρόχου COSMOTE σε απόσταση 1m από την κεραία της συσκευής κατά τη διάρκεια αναμονής χρήσης της συσκευής με ενεργοποίηση των δεδομένων κινητής τηλεφωνίας και αναζήτησης δεδομένων στον παγώσιμο ιστό.

ΠΑΡΑΡΤΗΜΑ 1

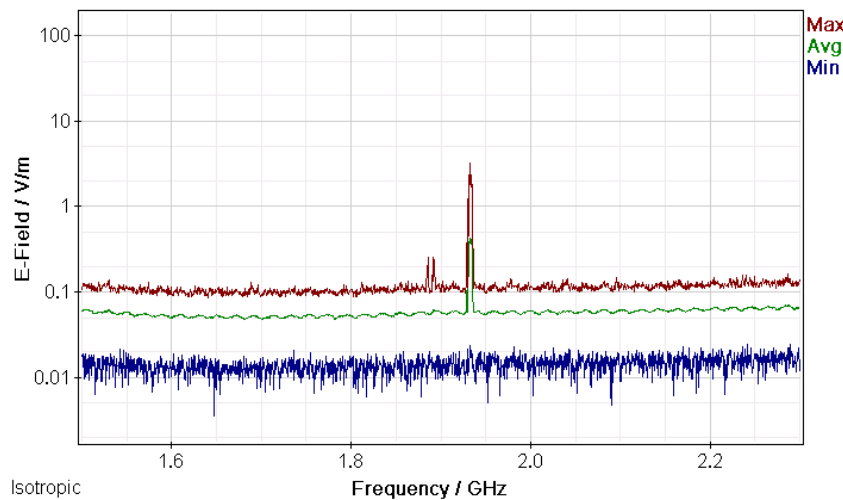
Μετρήσεις διακυμάνσεων (α) ελάχιστης (Min), (β) μέσης (Avg) και (γ) μέγιστης (Max) έντασης ηλεκτρικού πεδίου (E-Field) ως συνάρτηση της συχνότητας (Frequency) του πεδίου για μετρήσεις με οργανολογία τύπου NARDA SMR-3006 σε συσκευές κινητής τηλεφωνίας διαφόρων τύπων και παρόχων σε απόσταση 0 m από την κεραία των συσκευών.



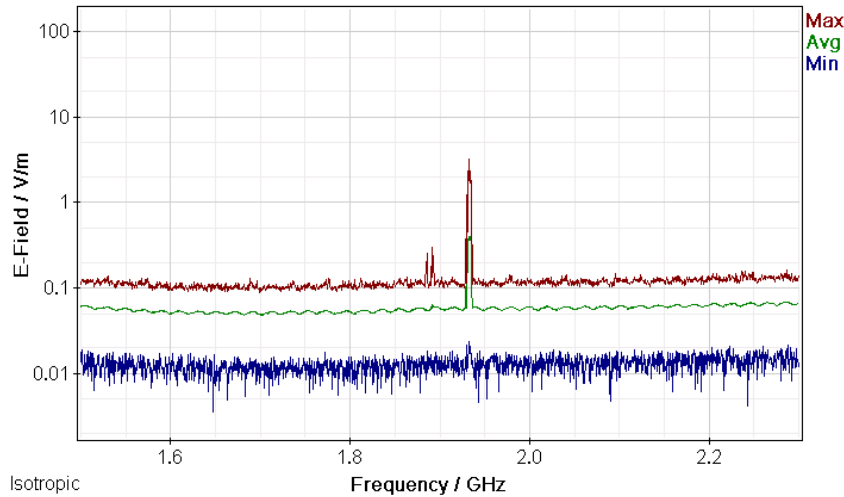
Σχήμα 690: Διακυμάνσεις (α) ελάχιστης (Min), (β) μέσης (Avg) και (γ) μέγιστης (Max) έντασης ηλεκτρικού πεδίου (E-Field) ως συνάρτηση της συχνότητας (Frequency) του πεδίου για μετρήσεις με οργανολογία τύπου NARDA SMR-3006 σε συσκευή κινητής τηλεφωνίας τύπου SAMSUNG GALAXY GT-P5100 και παρόχου VODAFONE σε απόσταση 0m από την κεραία της συσκευής κατά τη διάρκεια αναμονής χρήσης της συσκευής και χωρίς την ενεργοποίηση δεδομένων κινητής τηλεφωνίας.



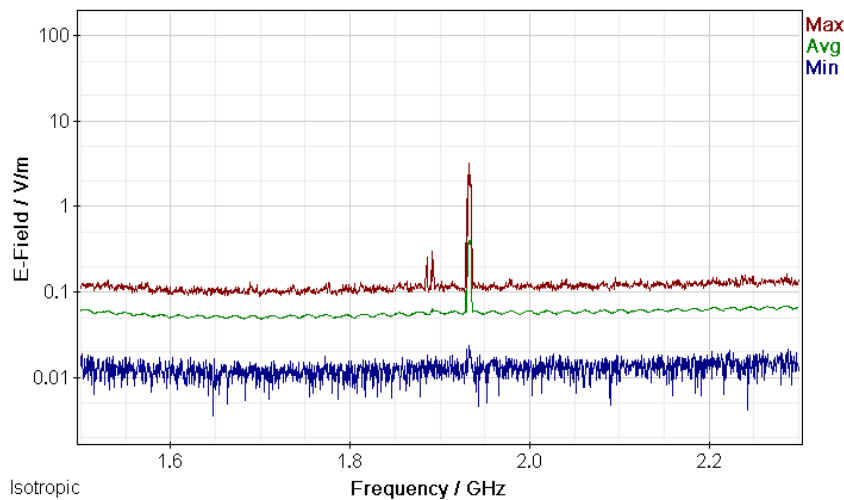
Σχήμα 691: Διακυμάνσεις (α) ελάχιστης (Min), (β) μέσης (Avg) και (γ) μέγιστης (Max) έντασης ηλεκτρικού πεδίου (E-Field) ως συνάρτηση της συχνότητας (Frequency) του πεδίου για μετρήσεις με οργανολογία τύπου NARDA SMR-3006 σε συσκευή κινητής τηλεφωνίας τύπου SAMSUNG GALAXY GT-P5100 και παρόχου VODAFONE σε απόσταση 0m από την κεραία της συσκευής κατα τη διάρκεια κλήσης χωρίς συνομιλία και ενεργοποίηση δεδομένων κινητής τηλεφωνίας



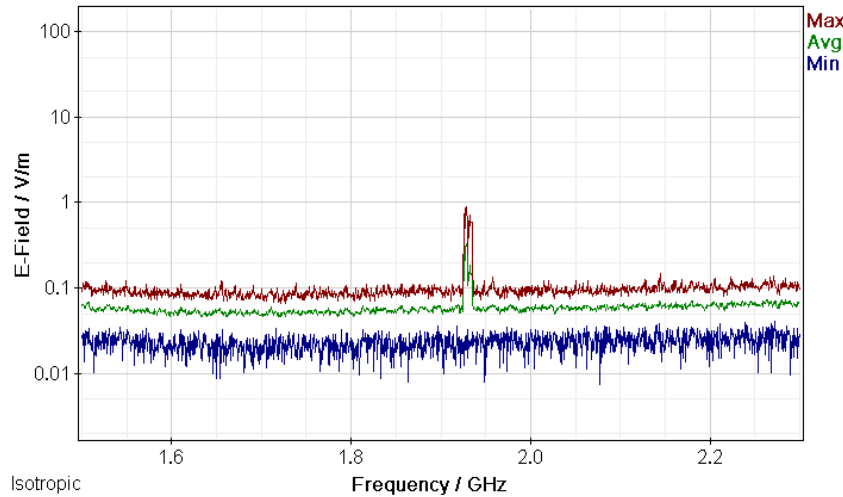
Σχήμα 692: Διακυμάνσεις (α) ελάχιστης (Min), (β) μέσης (Avg) και (γ) μέγιστης (Max) έντασης ηλεκτρικού πεδίου (E-Field) ως συνάρτηση της συχνότητας (Frequency) του πεδίου για μετρήσεις με οργανολογία τύπου NARDA SMR-3006 σε συσκευή κινητής τηλεφωνίας τύπου SAMSUNG GALAXY GT-P5100 και παρόχου VODAFONE σε απόσταση 0m από την κεραία της συσκευής κατα τη διάρκεια συνομιλίας δυόμιση λεπτών χωρίς ενεργοποίηση δεδομένων κινητής τηλεφωνίας.



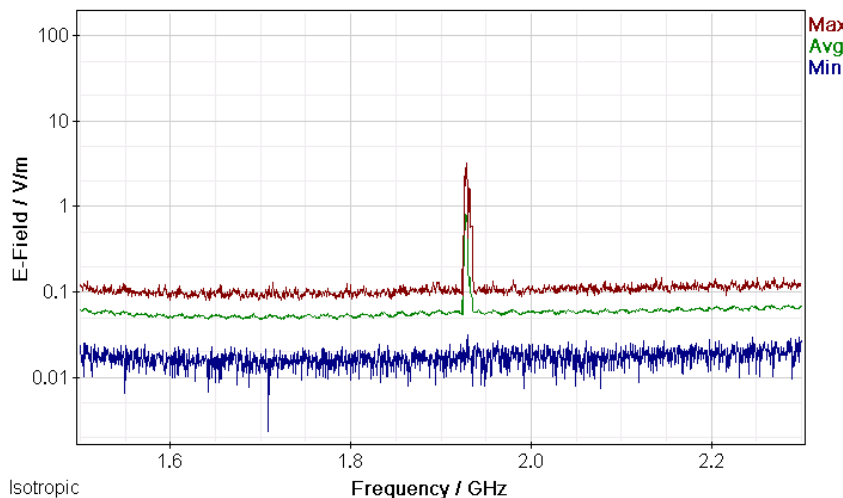
Σχήμα 693: Διακυμάνσεις (α) ελάχιστης (Min), (β) μέσης (Avg) και (γ) μέγιστης (Max) έντασης ηλεκτρικού πεδίου (E-Field) ως συνάρτηση της συχνότητας (Frequency) του πεδίου για μετρήσεις με οργανολογία τύπου NARDA SMR-3006 σε συσκευή κινητής τηλεφωνίας τύπου SAMSUNG GALAXY GT-P5100 και παρόχου VODAFONE σε απόσταση 0m από την κεραία της συσκευής κατά τη διάρκεια πεντάλεπτης συνομιλίας χωρίς ενεργοποίηση δεδομένων κινητής τηλεφωνίας.



Σχήμα 694: Διακυμάνσεις (α) ελάχιστης (Min), (β) μέσης (Avg) και (γ) μέγιστης (Max) έντασης ηλεκτρικού πεδίου (E-Field) ως συνάρτηση της συχνότητας (Frequency) του πεδίου για μετρήσεις με οργανολογία τύπου NARDA SMR-3006 σε συσκευή κινητής τηλεφωνίας τύπου SAMSUNG GALAXY GT-P5100 και παρόχου VODAFONE σε απόσταση 0m από την κεραία της συσκευής κατά τη διάρκεια τερματισμού της κλήσης χωρίς ενεργοποίηση δεδομένων κινητής τηλεφωνίας.



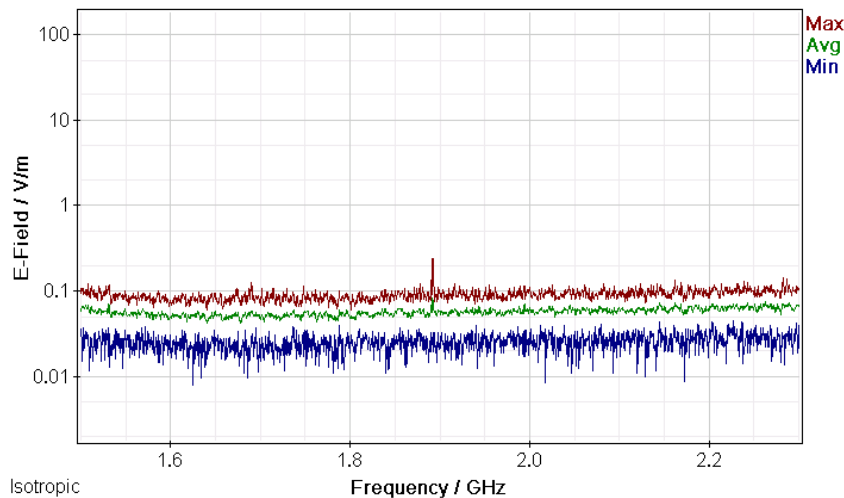
Σχήμα 695: Διακυμάνσεις (α) ελάχιστης (Min), (β) μέσης (Avg) και (γ) μέγιστης (Max) έντασης ηλεκτρικού πεδίου (E-Field) ως συνάρτηση της συχνότητας (Frequency) του πεδίου για μετρήσεις με οργανολογία τύπου NARDA SMR-3006 σε συσκευή κινητής τηλεφωνίας τύπου SAMSUNG GALAXY GT-P5100 και παρόχου VODAFONE σε απόσταση 0m από την κεραία της συσκευής κατά τη διάρκεια αναμονής χρήσης της συσκευής με ενεργοποίηση των δεδομένων κινητής τηλεφωνίας χωρίς πρόσβαση στον παγώσιμο ιστό.



Σχήμα 696: Διακυμάνσεις (α) ελάχιστης (Min), (β) μέσης (Avg) και (γ) μέγιστης (Max) έντασης ηλεκτρικού πεδίου (E-Field) ως συνάρτηση της συχνότητας (Frequency) του πεδίου για μετρήσεις με οργανολογία τύπου NARDA SMR-3006 σε συσκευή κινητής τηλεφωνίας τύπου SAMSUNG GALAXY GT-P5100 και παρόχου VODAFONE σε απόσταση 0m από την κεραία της συσκευής κατά τη διάρκεια αναμονής χρήσης της συσκευής με ενεργοποίηση των δεδομένων κινητής τηλεφωνίας και αναζήτησης δεδομένων στον παγώσιμο ιστό.

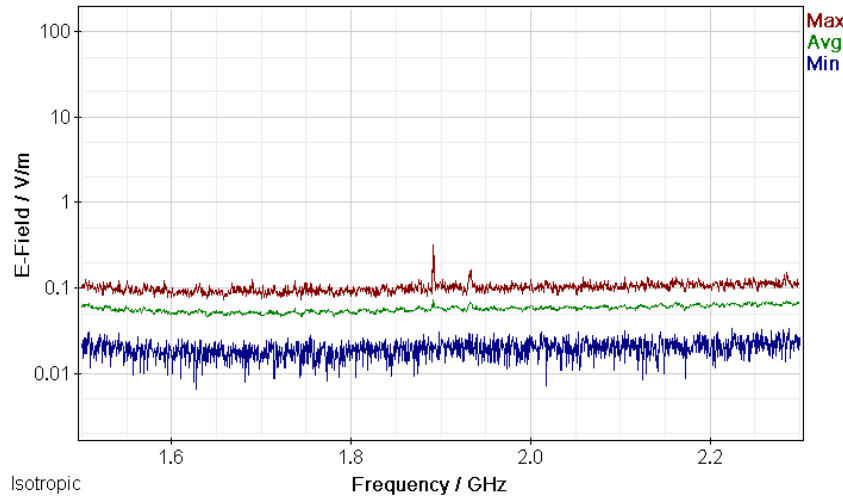
ΠΑΡΑΡΤΗΜΑ 2

Μετρήσεις διακυμάνσεων (α) ελάχιστης (Min), (β) μέσης (Avg) και (γ) μέγιστης (Max) έντασης ηλεκτρικού πεδίου (E-Field) ως συνάρτηση της συχνότητας (Frequency) του πεδίου για μετρήσεις με οργάνολογία τύπου NARDA SMR-3006 σε συσκευές κινητής τηλεφωνίας διαφόρων τύπων και παρόχων σε απόσταση 1 m από την κεραία των συσκευών.

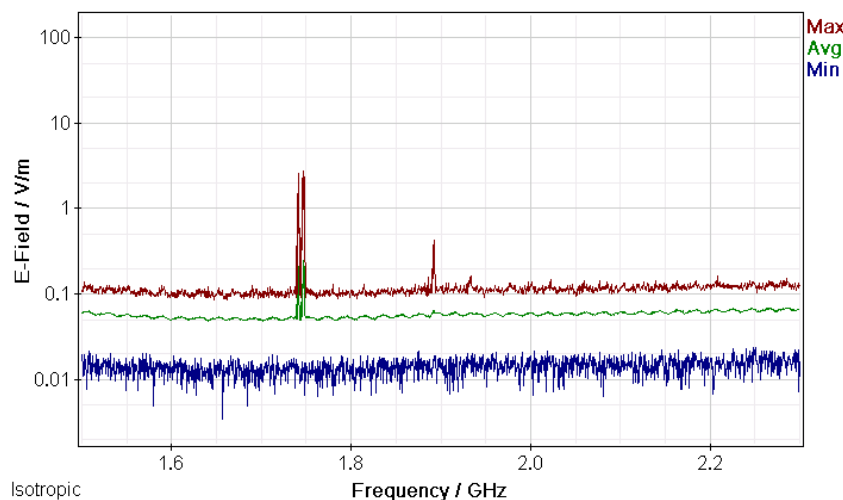


Σχήμα 697: Διακυμάνσεις (α) ελάχιστης (Min), (β) μέσης (Avg) και (γ) μέγιστης (Max) έντασης ηλεκτρικού πεδίου (E-Field) ως συνάρτηση της συχνότητας (Frequency) του πεδίου για μετρήσεις με οργάνολογία τύπου NARDA SMR-3006 σε συσκευή κινητής τηλεφωνίας τύπου SAMSUNG GALAXY GT-P5100 και παρόχου VODAFONE σε απόσταση 1m από την κεραία της συσκευής κατά τη διάρκεια αναμονής χρήσης της συσκευής και χωρίς την ενεργοποίηση δεδομένων κινητής τηλεφωνίας.

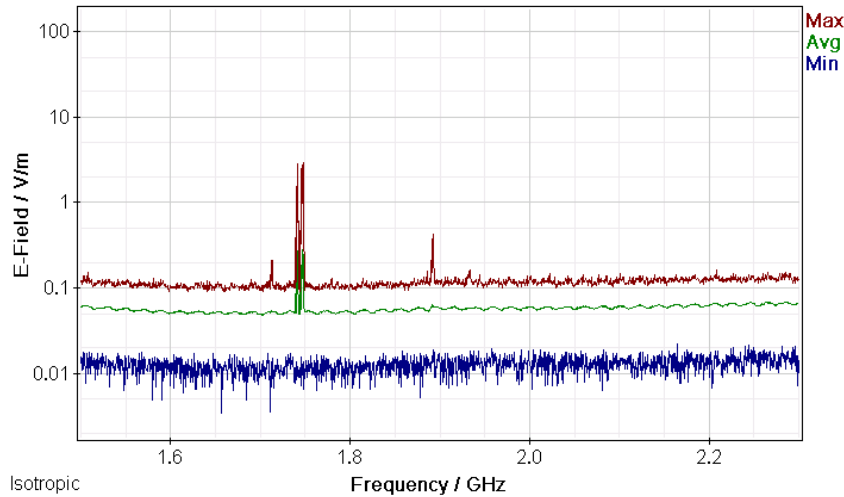
ΜΕΛΕΤΗ Η/Μ ΔΙΑΤΑΡΑΧΩΝ ΚΙΝΗΤΗΣ ΤΗΛΕΦΩΝΙΑΣ



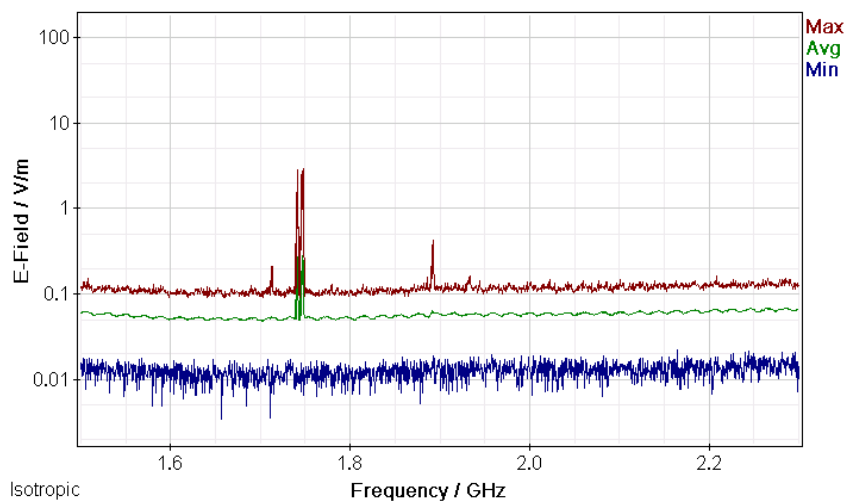
Σχήμα 698: Διακυμάνσεις (α) ελάχιστης (Min), (β) μέσης (Avg) και (γ) μέγιστης (Max) έντασης ηλεκτρικού πεδίου (E-Field) ως συνάρτηση της συχνότητας (Frequency) του πεδίου για μετρήσεις με οργανολογία τύπου NARDA SMR-3006 σε συσκευή κινητής τηλεφωνίας τύπου SAMSUNG GALAXY GT-P5100 και παρόχου VODAFONE σε απόσταση 1m από την κεραία της συσκευής κατα τη διάρκεια κλήσης χωρίς συνομιλία και ενεργοποίηση δεδομένων κινητής τηλεφωνίας .



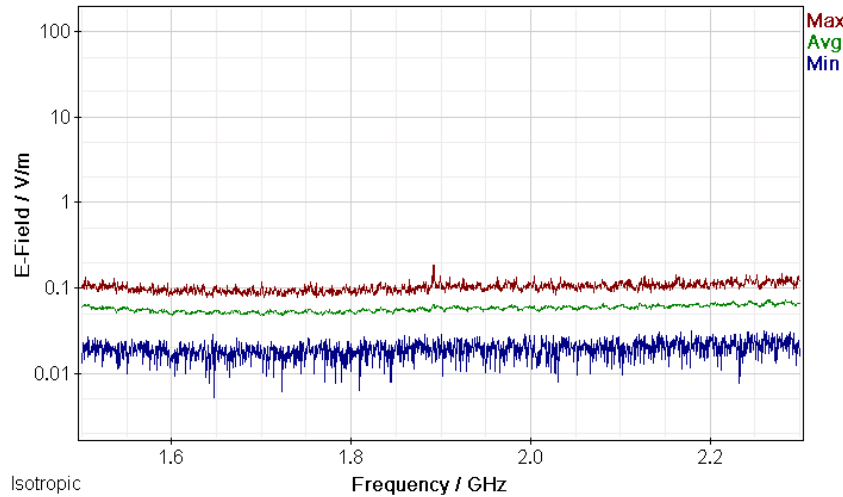
Σχήμα 699: Διακυμάνσεις (α) ελάχιστης (Min), (β) μέσης (Avg) και (γ) μέγιστης (Max) έντασης ηλεκτρικού πεδίου (E-Field) ως συνάρτηση της συχνότητας (Frequency) του πεδίου για μετρήσεις με οργανολογία τύπου NARDA SMR-3006 σε συσκευή κινητής τηλεφωνίας τύπου SAMSUNG GALAXY GT-P5100 και παρόχου VODAFONE σε απόσταση 1m από την κεραία της συσκευής κατα τη διάρκεια συνομιλίας δυόμιση λεπτών χωρίς ενεργοποίηση δεδομένων κινητής τηλεφωνίας.



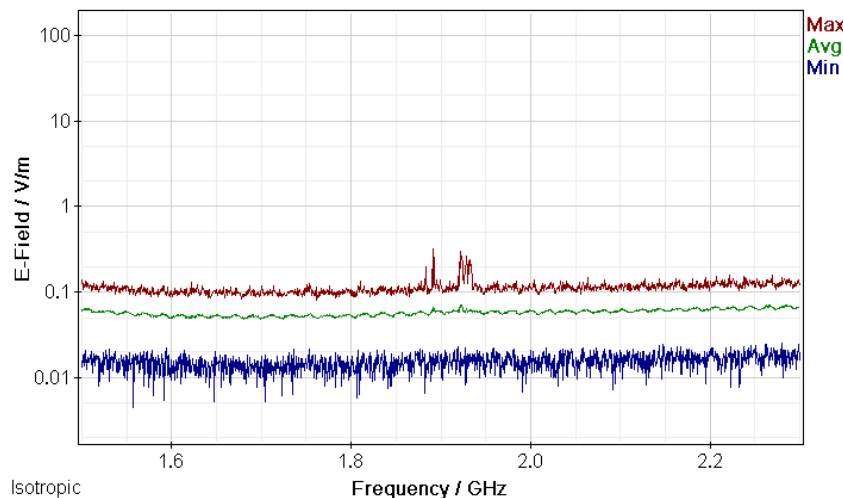
Σχήμα 700: Διακυμάνσεις (α) ελάχιστης (Min), (β) μέσης (Avg) και (γ) μέγιστης (Max) έντασης ηλεκτρικού πεδίου (E-Field) ως συνάρτηση της συχνότητας (Frequency) του πεδίου για μετρήσεις με οργάνολογία τύπου NARDA SMR-3006 σε συσκευή κινητής τηλεφωνίας τύπου SAMSUNG GALAXY GT-P5100 και παρόχου VODAFONE σε απόσταση 1m από την κεραία της συσκευής κατά τη διάρκεια πεντάλεπτης συνομιλίας χωρίς ενεργοποίηση δεδομένων κινητής τηλεφωνίας.



Σχήμα 701: Διακυμάνσεις (α) ελάχιστης (Min), (β) μέσης (Avg) και (γ) μέγιστης (Max) έντασης ηλεκτρικού πεδίου (E-Field) ως συνάρτηση της συχνότητας (Frequency) του πεδίου για μετρήσεις με οργάνολογία τύπου NARDA SMR-3006 σε συσκευή κινητής τηλεφωνίας τύπου SAMSUNG GALAXY GT-P5100 και παρόχου VODAFONE σε απόσταση 1m από την κεραία της συσκευής κατά τη διάρκεια τερματισμού της κλήσης χωρίς ενεργοποίηση δεδομένων κινητής τηλεφωνίας.



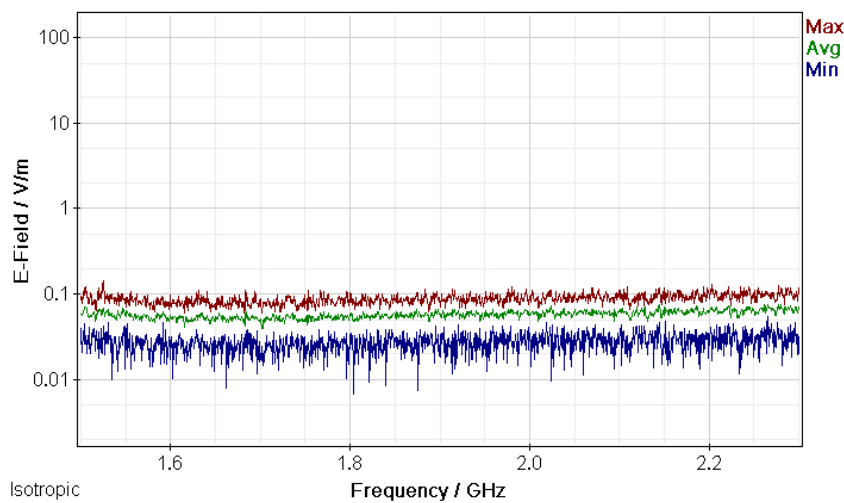
Σχήμα 702: Διακυμάνσεις (α) ελάχιστης (Min), (β) μέσης (Avg) και (γ) μέγιστης (Max) έντασης ηλεκτρικού πεδίου (E-Field) ως συνάρτηση της συχνότητας (Frequency) του πεδίου για μετρήσεις με οργανολογία τύπου NARDA SMR-3006 σε συσκευή κινητής τηλεφωνίας τύπου SAMSUNG GALAXY GT-P5100 και παρόχου VODAFONE σε απόσταση 1m από την κεραία της συσκευής κατα τη διάρκεια αναμονής χρήσης της συσκευής με ενεργοποίηση των δεδομένων κινητής τηλεφωνίας χωρίς πρόσβαση στον παγόσμιο ιστό.



Σχήμα 703: Διακυμάνσεις (α) ελάχιστης (Min), (β) μέσης (Avg) και (γ) μέγιστης (Max) έντασης ηλεκτρικού πεδίου (E-Field) ως συνάρτηση της συχνότητας (Frequency) του πεδίου για μετρήσεις με οργανολογία τύπου NARDA SMR-3006 σε συσκευή κινητής τηλεφωνίας τύπου SAMSUNG GALAXY GT-P5100 και παρόχου VODAFONE σε απόσταση 1m από την κεραία της συσκευής κατα τη διάρκεια αναμονής χρήσης της συσκευής με ενεργοποίηση των δεδομένων κινητής τηλεφωνίας και αναζήτησης δεδομένων στον παγόσμιο ιστό.

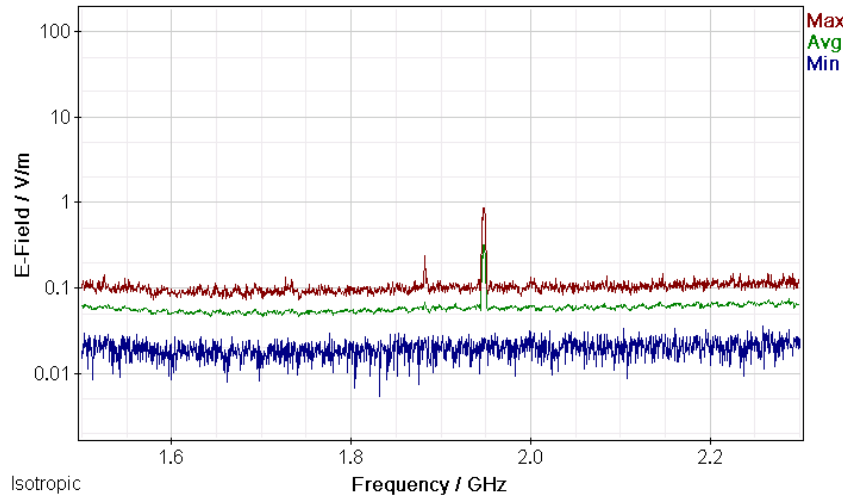
ΠΑΡΑΡΤΗΜΑ 1

Μετρήσεις διακυμάνσεων (α) ελάχιστης (Min), (β) μέσης (Avg) και (γ) μέγιστης (Max) έντασης ηλεκτρικού πεδίου (E-Field) ως συνάρτηση της συχνότητας (Frequency) του πεδίου για μετρήσεις με οργανολογία τύπου NARDA SMR-3006 σε συσκευές κινητής τηλεφωνίας διαφόρων τύπων και παρόχων σε απόσταση 0 m από την κεραία των συσκευών.

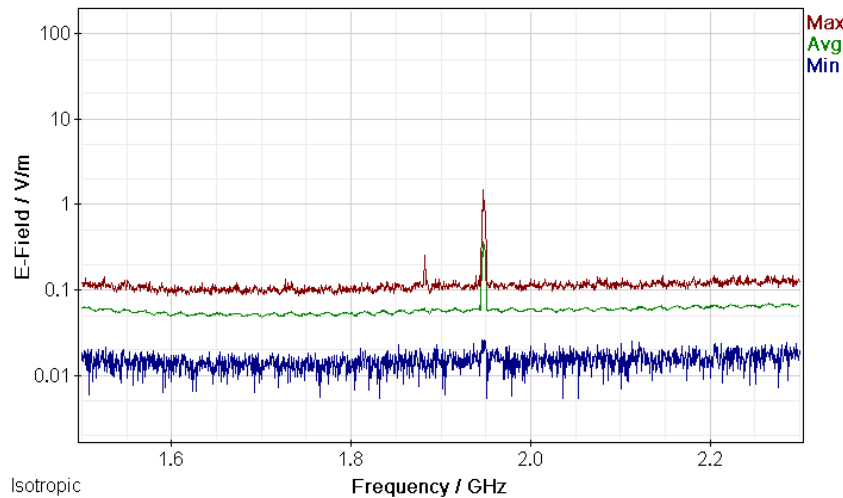


Σχήμα 704: Διακυμάνσεις (α) ελάχιστης (Min), (β) μέσης (Avg) και (γ) μέγιστης (Max) έντασης ηλεκτρικού πεδίου (E-Field) ως συνάρτηση της συχνότητας (Frequency) του πεδίου για μετρήσεις με οργανολογία τύπου NARDA SMR-3006 σε συσκευή κινητής τηλεφωνίας τύπου SAMSUNG GALAXY GT-P5100 και παρόχου WIND σε απόσταση 0m από την κεραία της συσκευής κατά τη διάρκεια αναμονής χρήσης της συσκευής και χωρίς την ενεργοποίηση δεδομένων κινητής τηλεφωνίας.

ΜΕΛΕΤΗ Η/Μ ΔΙΑΤΑΡΑΧΩΝ ΚΙΝΗΤΗΣ ΤΗΛΕΦΩΝΙΑΣ

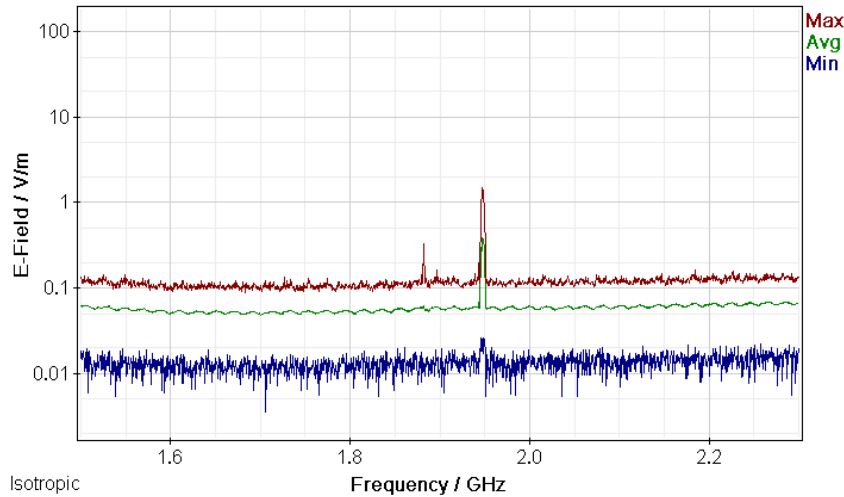


Σχήμα 705: Διακυμάνσεις (α) ελάχιστης (Min), (β) μέσης (Avg) και (γ) μέγιστης (Max) έντασης ηλεκτρικού πεδίου (E-Field) ως συνάρτηση της συχνότητας (Frequency) του πεδίου για μετρήσεις με οργανολογία τύπου NARDA SMR-3006 σε συσκευή κινητής τηλεφωνίας τύπου SAMSUNG GALAXY GT-P5100 και παρόχου WIND σε απόσταση 0m από την κεραία της συσκευής κατά τη διάρκεια κλήσης χωρίς συνομιλία και ενεργοποίηση δεδομένων κινητής τηλεφωνίας .

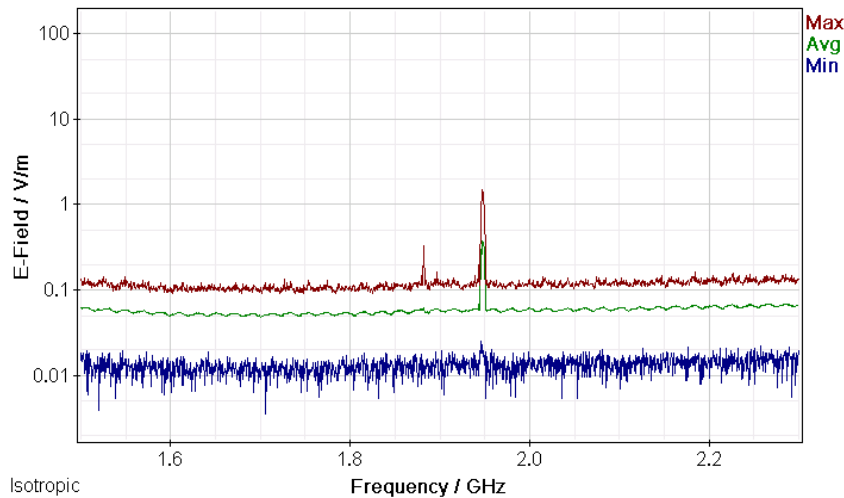


Σχήμα 706: Διακυμάνσεις (α) ελάχιστης (Min), (β) μέσης (Avg) και (γ) μέγιστης (Max) έντασης ηλεκτρικού πεδίου (E-Field) ως συνάρτηση της συχνότητας (Frequency) του πεδίου για μετρήσεις με οργανολογία τύπου NARDA SMR-3006 σε συσκευή κινητής τηλεφωνίας τύπου SAMSUNG GALAXY GT-P5100 και παρόχου WIND σε απόσταση 0m από την κεραία της συσκευής κατά τη διάρκεια συνομιλίας δυόμιση λεπτών χωρίς ενεργοποίηση δεδομένων κινητής τηλεφωνίας.

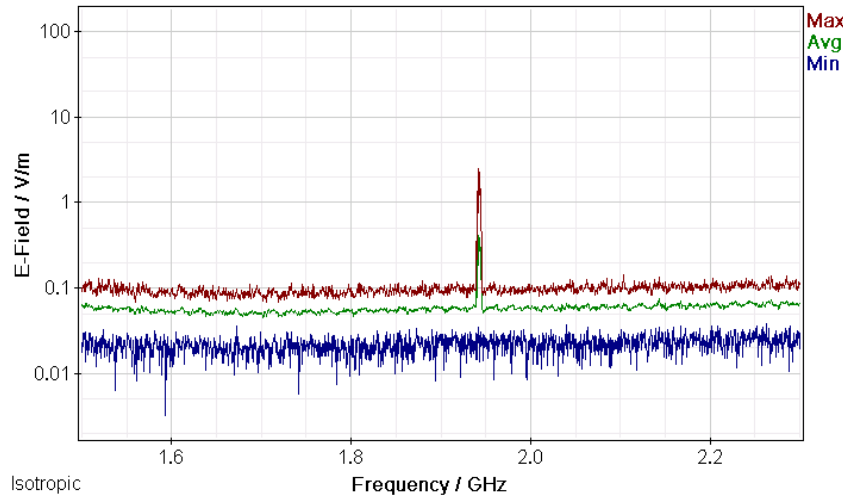
ΜΕΛΕΤΗ Η/Μ ΔΙΑΤΑΡΑΧΩΝ ΚΙΝΗΤΗΣ ΤΗΛΕΦΩΝΙΑΣ



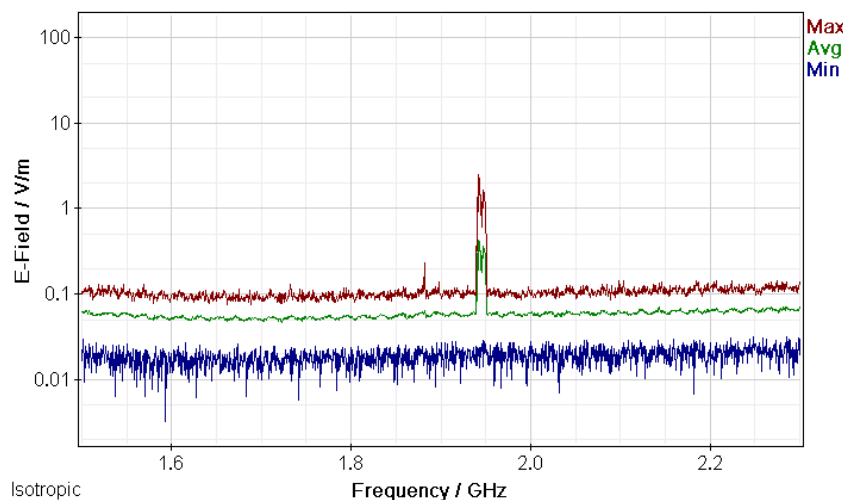
Σχήμα 707: Διακυμάνσεις (α) ελάχιστης (Min), (β) μέσης (Avg) και (γ) μέγιστης (Max) έντασης ηλεκτρικού πεδίου (E-Field) ως συνάρτηση της συχνότητας (Frequency) του πεδίου για μετρήσεις με οργάνολογία τύπου NARDA SMR-3006 σε συσκευή κινητής τηλεφωνίας τύπου SAMSUNG GALAXY GT-P5100 και παρόχου WIND σε απόσταση 0m από την κεραία της συσκευής κατά τη διάρκεια πεντάλεπτης συνομιλίας χωρίς ενεργοποίηση δεδομένων κινητής τηλεφωνίας.



Σχήμα 708: Διακυμάνσεις (α) ελάχιστης (Min), (β) μέσης (Avg) και (γ) μέγιστης (Max) έντασης ηλεκτρικού πεδίου (E-Field) ως συνάρτηση της συχνότητας (Frequency) του πεδίου για μετρήσεις με οργάνολογία τύπου NARDA SMR-3006 σε συσκευή κινητής τηλεφωνίας τύπου SAMSUNG GALAXY GT-P5100 και παρόχου WIND σε απόσταση 0m από την κεραία της συσκευής κατά τη διάρκεια τερματισμού της κλήσης χωρίς ενεργοποίηση δεδομένων κινητής τηλεφωνίας.



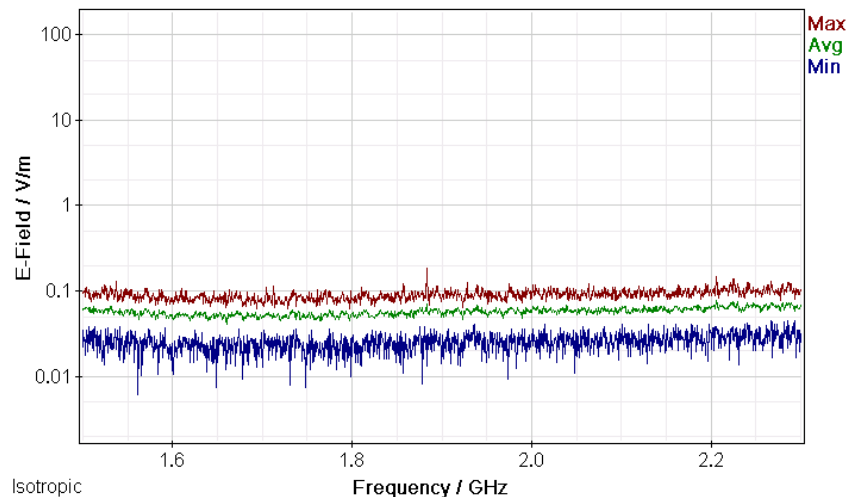
Σχήμα 709: Διακυμάνσεις (α) ελάχιστης (Min), (β) μέσης (Avg) και (γ) μέγιστης (Max) έντασης ηλεκτρικού πεδίου (E-Field) ως συνάρτηση της συχνότητας (Frequency) του πεδίου για μετρήσεις με οργανολογία τύπου NARDA SMR-3006 σε συσκευή κινητής τηλεφωνίας τύπου SAMSUNG GALAXY GT-P5100 και παρόχου WIND σε απόσταση 0m από την κεραία της συσκευής κατά τη διάρκεια αναμονής χρήσης της συσκευής με ενεργοποίηση των δεδομένων κινητής τηλεφωνίας χωρίς πρόσβαση στον παγώσμιο ιστό.



Σχήμα 710: Διακυμάνσεις (α) ελάχιστης (Min), (β) μέσης (Avg) και (γ) μέγιστης (Max) έντασης ηλεκτρικού πεδίου (E-Field) ως συνάρτηση της συχνότητας (Frequency) του πεδίου για μετρήσεις με οργανολογία τύπου NARDA SMR-3006 σε συσκευή κινητής τηλεφωνίας τύπου SAMSUNG GALAXY GT-P5100 και παρόχου WIND σε απόσταση 0m από την κεραία της συσκευής κατά τη διάρκεια αναμονής χρήσης της συσκευής με ενεργοποίηση των δεδομένων κινητής τηλεφωνίας και αναζήτησης δεδομένων στον παγώσμιο ιστό.

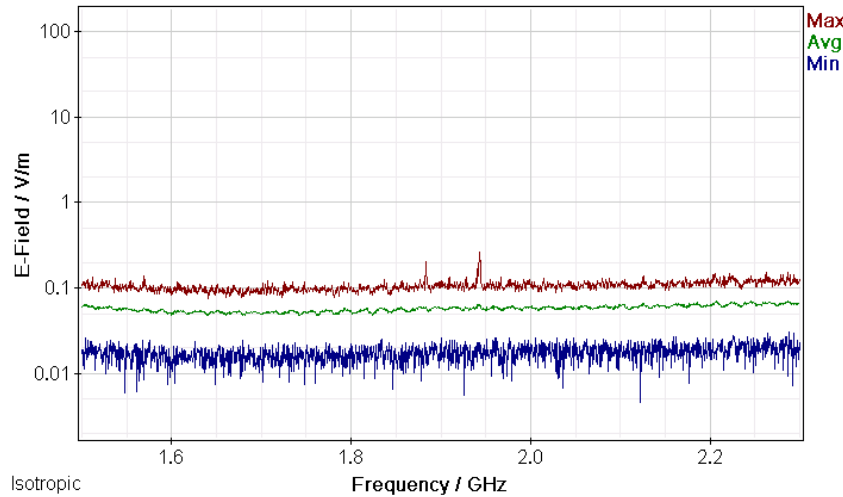
ΠΑΡΑΡΤΗΜΑ 2

Μετρήσεις διακυμάνσεων (α) ελάχιστης (Min), (β) μέσης (Avg) και (γ) μέγιστης (Max) έντασης ηλεκτρικού πεδίου (E-Field) ως συνάρτηση της συχνότητας (Frequency) του πεδίου για μετρήσεις με οργανολογία τύπου NARDA SMR-3006 σε συσκευές κινητής τηλεφωνίας διαφόρων τύπων και παρόχων σε απόσταση 1 m από την κεραία των συσκευών.

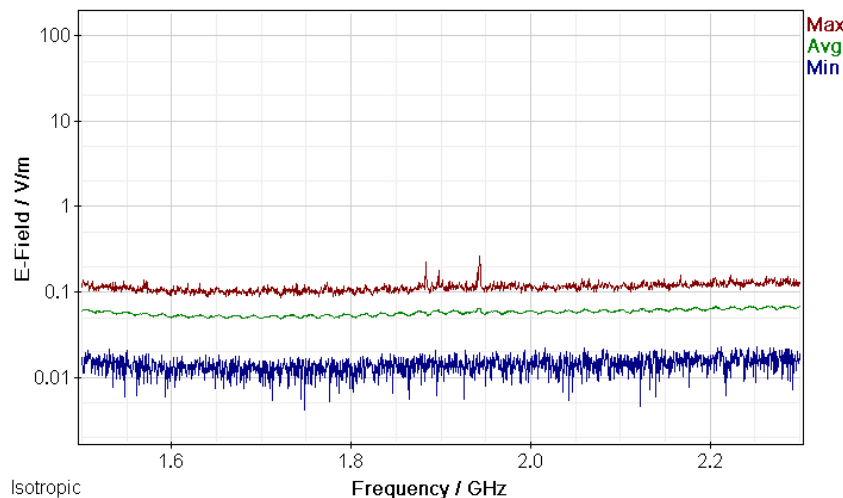


Σχήμα 711: Διακυμάνσεις (α) ελάχιστης (Min), (β) μέσης (Avg) και (γ) μέγιστης (Max) έντασης ηλεκτρικού πεδίου (E-Field) ως συνάρτηση της συχνότητας (Frequency) του πεδίου για μετρήσεις με οργανολογία τύπου NARDA SMR-3006 σε συσκευή κινητής τηλεφωνίας τύπου SAMSUNG GALAXY GT-P5100 και παρόχου WIND σε απόσταση 1m από την κεραία της συσκευής κατά τη διάρκεια αναμονής χρήσης της συσκευής και χωρίς την ενεργοποίηση δεδομένων κινητής τηλεφωνίας.

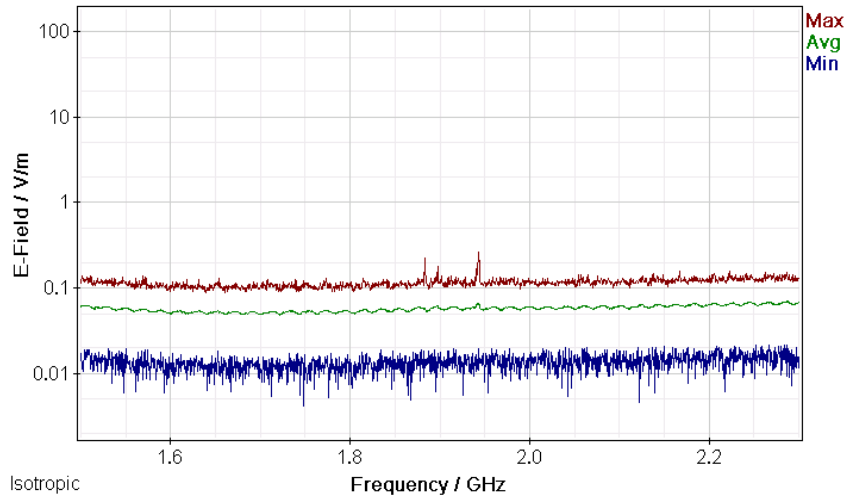
ΜΕΛΕΤΗ Η/Μ ΔΙΑΤΑΡΑΧΩΝ ΚΙΝΗΤΗΣ ΤΗΛΕΦΩΝΙΑΣ



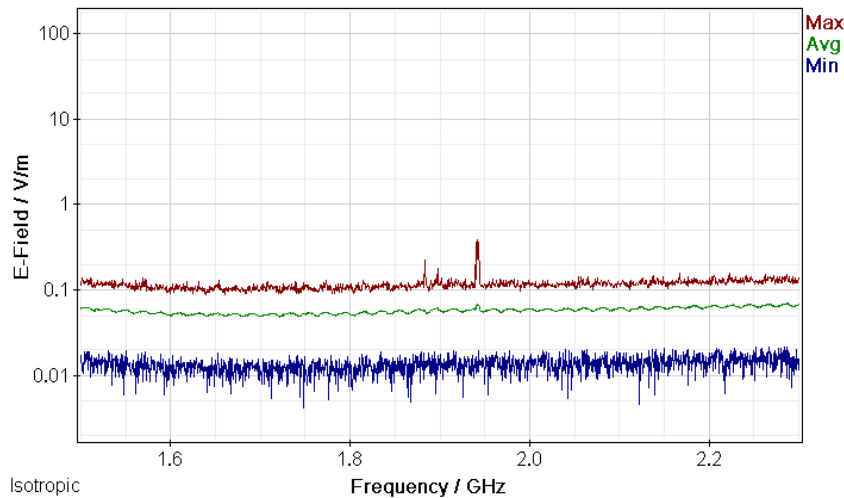
Σχήμα 712: Διακυμάνσεις (α) ελάχιστης (Min), (β) μέσης (Avg) και (γ) μέγιστης (Max) έντασης ηλεκτρικού πεδίου (E-Field) ως συνάρτηση της συχνότητας (Frequency) του πεδίου για μετρήσεις με οργάνολογία τύπου NARDA SMR-3006 σε συσκευή κινητής τηλεφωνίας τύπου SAMSUNG GALAXY GT-P5100 και παρόχου WIND σε απόσταση 1m από την κεραία της συσκευής κατά τη διάρκεια κλήσης χωρίς συνομιλία και ενεργοποίηση δεδομένων κινητής τηλεφωνίας .



Σχήμα 713: Διακυμάνσεις (α) ελάχιστης (Min), (β) μέσης (Avg) και (γ) μέγιστης (Max) έντασης ηλεκτρικού πεδίου (E-Field) ως συνάρτηση της συχνότητας (Frequency) του πεδίου για μετρήσεις με οργάνολογία τύπου NARDA SMR-3006 σε συσκευή κινητής τηλεφωνίας τύπου SAMSUNG GALAXY GT-P5100 και παρόχου WIND σε απόσταση 1m από την κεραία της συσκευής κατά τη διάρκεια συνομιλίας δύομιση λεπτών χωρίς ενεργοποίηση δεδομένων κινητής τηλεφωνίας.

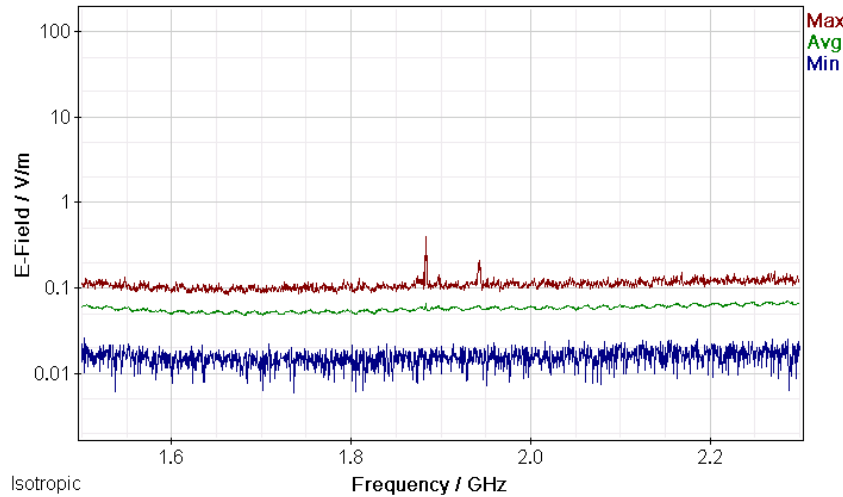


Σχήμα 714: Διακυμάνσεις (α) ελάχιστης (Min), (β) μέσης (Avg) και (γ) μέγιστης (Max) έντασης ηλεκτρικού πεδίου (E-Field) ως συνάρτηση της συχνότητας (Frequency) του πεδίου για μετρήσεις με οργάνολογία τύπου NARDA SMR-3006 σε συσκευή κινητής τηλεφωνίας τύπου SAMSUNG GALAXY GT-P5100 και παρόχου WIND σε απόσταση 1m από την κεραία της συσκευής κατα τη διάρκεια πεντάλεπτης συνομιλίας χωρίς ενεργοποίηση δεδομένων κινητής τηλεφωνίας.

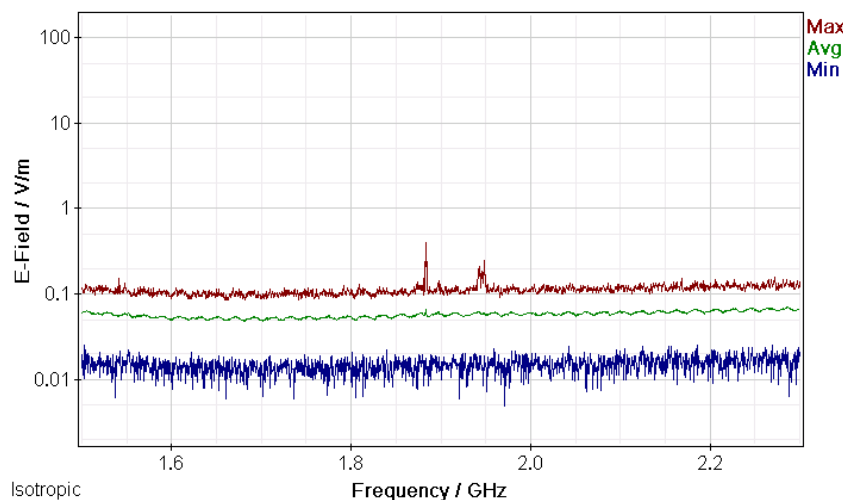


Σχήμα 715: Διακυμάνσεις (α) ελάχιστης (Min), (β) μέσης (Avg) και (γ) μέγιστης (Max) έντασης ηλεκτρικού πεδίου (E-Field) ως συνάρτηση της συχνότητας (Frequency) του πεδίου για μετρήσεις με οργάνολογία τύπου NARDA SMR-3006 σε συσκευή κινητής τηλεφωνίας τύπου SAMSUNG GALAXY GT-P5100 και παρόχου WIND σε απόσταση 1m από την κεραία της συσκευής κατα τη διάρκεια τερματισμού της κλήσης χωρίς ενεργοποίηση δεδομένων κινητής τηλεφωνίας.

ΜΕΛΕΤΗ Η/Μ ΔΙΑΤΑΡΑΧΩΝ ΚΙΝΗΤΗΣ ΤΗΛΕΦΩΝΙΑΣ



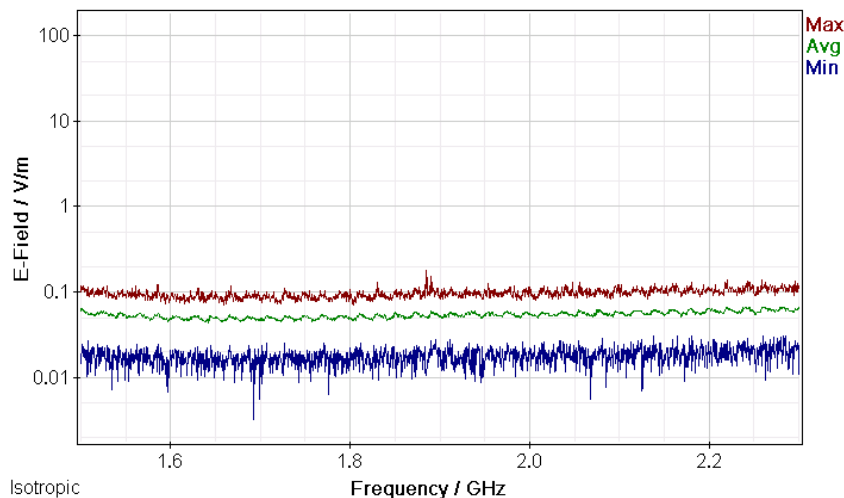
Σχήμα 716: Διακυμάνσεις (α) ελάχιστης (Min), (β) μέσης (Avg) και (γ) μέγιστης (Max) έντασης ηλεκτρικού πεδίου (E-Field) ως συνάρτηση της συχνότητας (Frequency) του πεδίου για μετρήσεις με οργανολογία τύπου NARDA SMR-3006 σε συσκευή κινητής τηλεφωνίας τύπου SAMSUNG GALAXY GT-P5100 και παρόχου WIND σε απόσταση 1m από την κεραία της συσκευής κατά τη διάρκεια αναμονής χρήσης της συσκευής με ενεργοποίηση των δεδομένων κινητής τηλεφωνίας χωρίς πρόσβαση στον παγώσιμο ιστό.



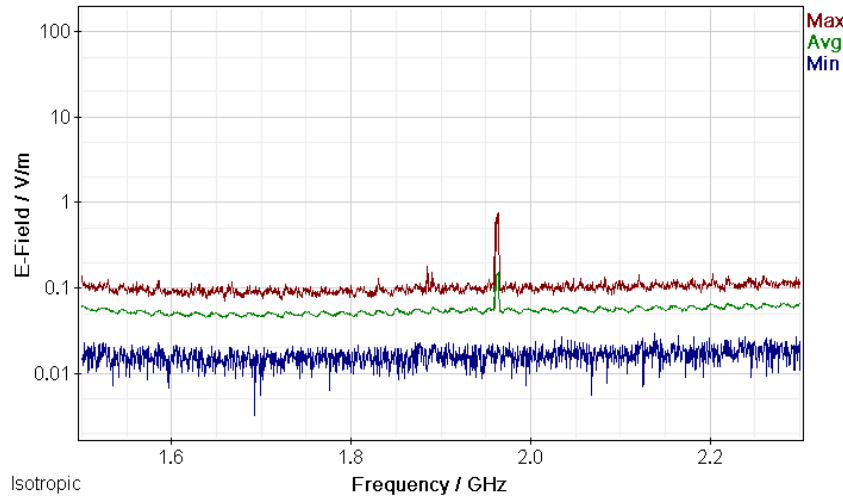
Σχήμα 717: Διακυμάνσεις (α) ελάχιστης (Min), (β) μέσης (Avg) και (γ) μέγιστης (Max) έντασης ηλεκτρικού πεδίου (E-Field) ως συνάρτηση της συχνότητας (Frequency) του πεδίου για μετρήσεις με οργανολογία τύπου NARDA SMR-3006 σε συσκευή κινητής τηλεφωνίας τύπου SAMSUNG GALAXY GT-P5100 και παρόχου WIND σε απόσταση 1m από την κεραία της συσκευής κατά τη διάρκεια αναμονής χρήσης της συσκευής με ενεργοποίηση των δεδομένων κινητής τηλεφωνίας και αναζήτησης δεδομένων στον παγώσιμο ιστό.

ΠΑΡΑΡΤΗΜΑ 1

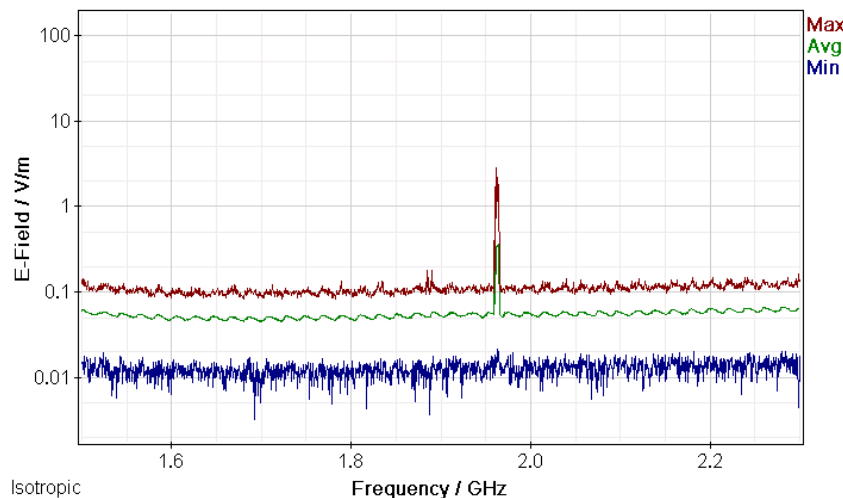
Μετρήσεις διακυμάνσεων (α) ελάχιστης (Min), (β) μέσης (Avg) και (γ) μέγιστης (Max) έντασης ηλεκτρικού πεδίου (E-Field) ως συνάρτηση της συχνότητας (Frequency) του πεδίου για μετρήσεις με οργάνολογία τύπου NARDA SMR-3006 σε συσκευές κινητής τηλεφωνίας διαφόρων τύπων και παρόχων σε απόσταση 0 m από την κεραία των συσκευών.



Σχήμα 718: Διακυμάνσεις (α) ελάχιστης (Min), (β) μέσης (Avg) και (γ) μέγιστης (Max) έντασης ηλεκτρικού πεδίου (E-Field) ως συνάρτηση της συχνότητας (Frequency) του πεδίου για μετρήσεις με οργάνολογία τύπου NARDA SMR-3006 σε συσκευή κινητής τηλεφωνίας τύπου SAMSUNG GALAXY GT-P1000 και παρόχου COSMOTE σε απόσταση 0m από την κεραία της συσκευής κατά τη διάρκεια αναμονής χρήσης της συσκευής και χωρίς την ενεργοποίηση δεδομένων κινητής τηλεφωνίας.

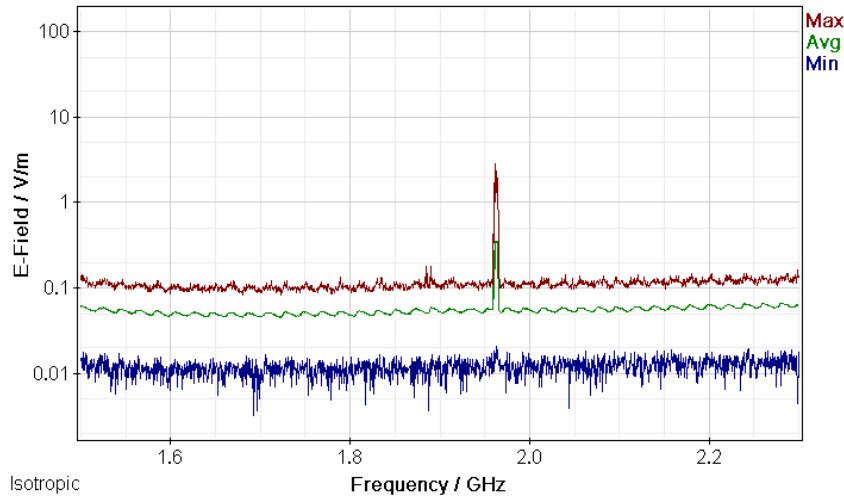


Σχήμα 719: Διακυμάνσεις (α) ελάχιστης (Min), (β) μέσης (Avg) και (γ) μέγιστης (Max) έντασης ηλεκτρικού πεδίου (E-Field) ως συνάρτηση της συχνότητας (Frequency) του πεδίου για μετρήσεις με οργανολογία τύπου NARDA SMR-3006 σε συσκευή κινητής τηλεφωνίας τύπου SAMSUNG GALAXY GT-P1000 και παρόχου COSMOTE σε απόσταση 0m από την κεραία της συσκευής κατα τη διάρκεια κλήσης χωρίς συνομιλία και ενεργοποίηση δεδομένων κινητής τηλεφωνίας .

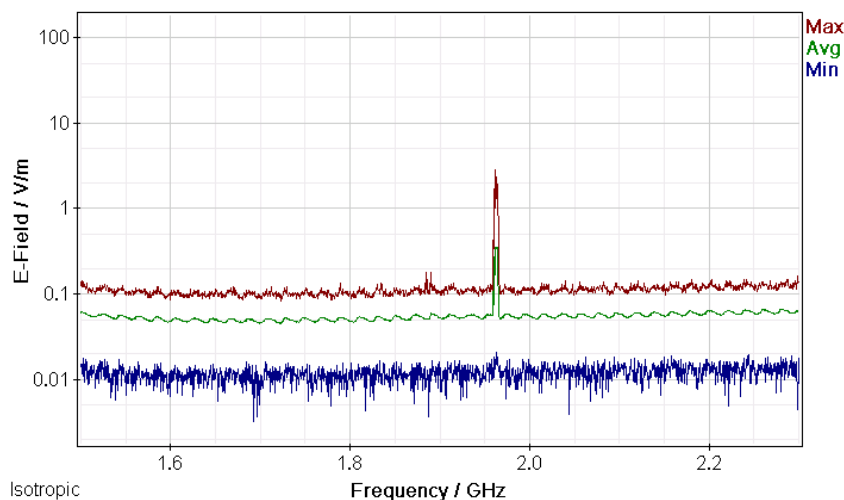


Σχήμα 720: Διακυμάνσεις (α) ελάχιστης (Min), (β) μέσης (Avg) και (γ) μέγιστης (Max) έντασης ηλεκτρικού πεδίου (E-Field) ως συνάρτηση της συχνότητας (Frequency) του πεδίου για μετρήσεις με οργανολογία τύπου NARDA SMR-3006 σε συσκευή κινητής τηλεφωνίας τύπου SAMSUNG GALAXY GT-P1000 και παρόχου COSMOTE σε απόσταση 0m από την κεραία της συσκευής κατα τη διάρκεια συνομιλίας δυόμιση λεπτών χωρίς ενεργοποίηση δεδομένων κινητής τηλεφωνίας.

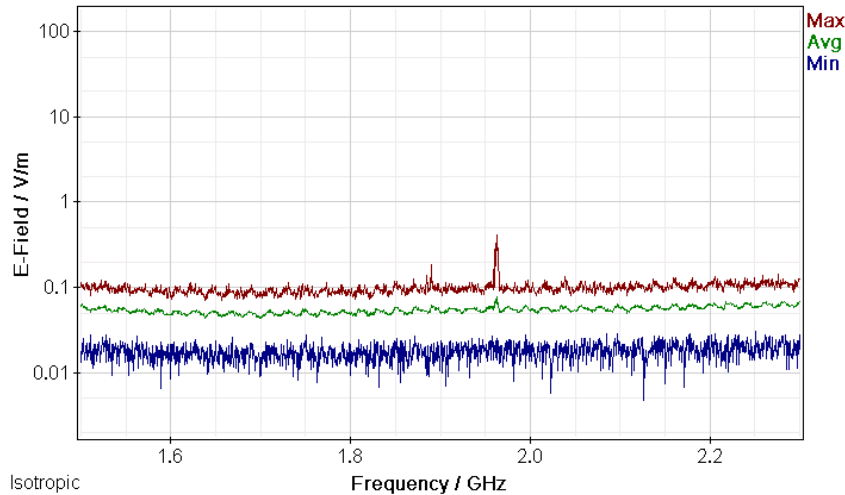
ΜΕΛΕΤΗ Η/Μ ΔΙΑΤΑΡΑΧΩΝ ΚΙΝΗΤΗΣ ΤΗΛΕΦΩΝΙΑΣ



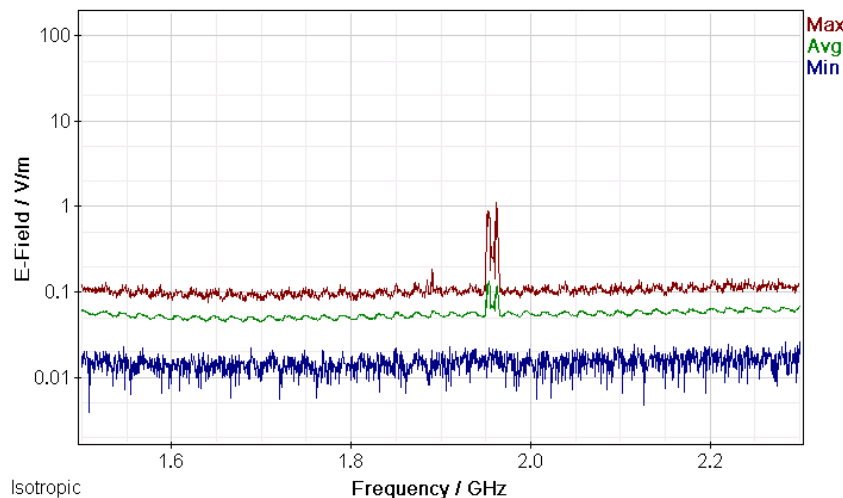
Σχήμα 721: Διακυμάνσεις (α) ελάχιστης (Min), (β) μέσης (Avg) και (γ) μέγιστης (Max) έντασης ηλεκτρικού πεδίου (E-Field) ως συνάρτηση της συχνότητας (Frequency) του πεδίου για μετρήσεις με οργάνολογία τύπου NARDA SMR-3006 σε συσκευή κινητής τηλεφωνίας τύπου SAMSUNG GALAXY GT-P1000 και παρόχου COSMOTE σε απόσταση 0m από την κεραία της συσκευής κατά τη διάρκεια πεντάλεπτης συνομιλίας χωρίς ενεργοποίηση δεδομένων κινητής τηλεφωνίας.



Σχήμα 722: Διακυμάνσεις (α) ελάχιστης (Min), (β) μέσης (Avg) και (γ) μέγιστης (Max) έντασης ηλεκτρικού πεδίου (E-Field) ως συνάρτηση της συχνότητας (Frequency) του πεδίου για μετρήσεις με οργάνολογία τύπου NARDA SMR-3006 σε συσκευή κινητής τηλεφωνίας τύπου SAMSUNG GALAXY GT-P1000 και παρόχου COMOTE σε απόσταση 0m από την κεραία της συσκευής κατά τη διάρκεια τερματισμού της κλήσης χωρίς ενεργοποίηση δεδομένων κινητής τηλεφωνίας.



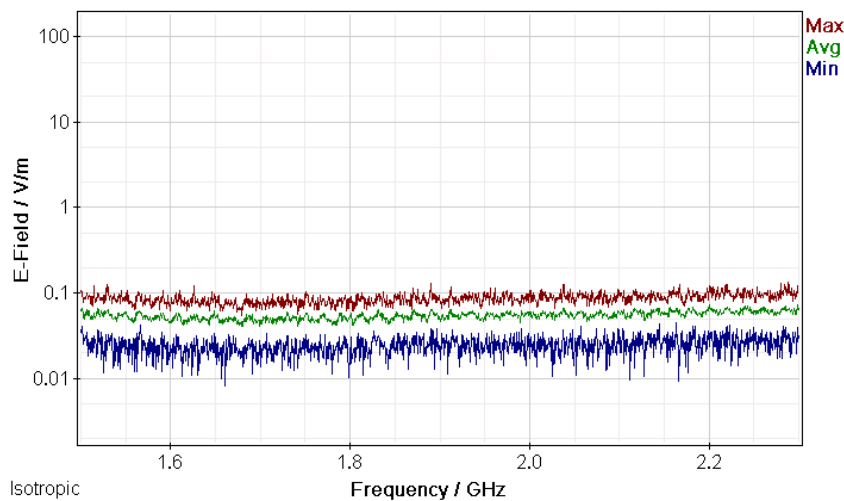
Σχήμα 723: Διακυμάνσεις (α) ελάχιστης (Min), (β) μέσης (Avg) και (γ) μέγιστης (Max) έντασης ηλεκτρικού πεδίου (E-Field) ως συνάρτηση της συχνότητας (Frequency) του πεδίου για μετρήσεις με οργανολογία τύπου NARDA SMR-3006 σε συσκευή κινητής τηλεφωνίας τύπου SAMSUNG GALAXY GT-P1000 και παρόχου COSMOTE σε απόσταση 0m από την κεραία της συσκευής κατά τη διάρκεια αναμονής χρήσης της συσκευής με ενεργοποίηση των δεδομένων κινητής τηλεφωνίας χωρίς πρόσβαση στον παγόσμιο ιστό.



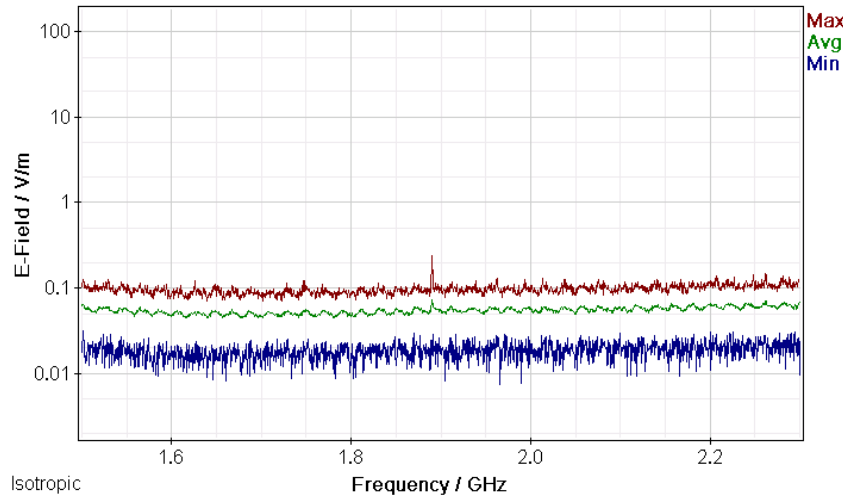
Σχήμα 724: Διακυμάνσεις (α) ελάχιστης (Min), (β) μέσης (Avg) και (γ) μέγιστης (Max) έντασης ηλεκτρικού πεδίου (E-Field) ως συνάρτηση της συχνότητας (Frequency) του πεδίου για μετρήσεις με οργανολογία τύπου NARDA SMR-3006 σε συσκευή κινητής τηλεφωνίας τύπου SAMSUNG GALAXY GT-P1000 και παρόχου COSMOTE σε απόσταση 0m από την κεραία της συσκευής κατά τη διάρκεια αναμονής χρήσης της συσκευής με ενεργοποίηση των δεδομένων κινητής τηλεφωνίας και αναζήτησης δεδομένων στον παγόσμιο ιστό.

ΠΑΡΑΡΤΗΜΑ 2

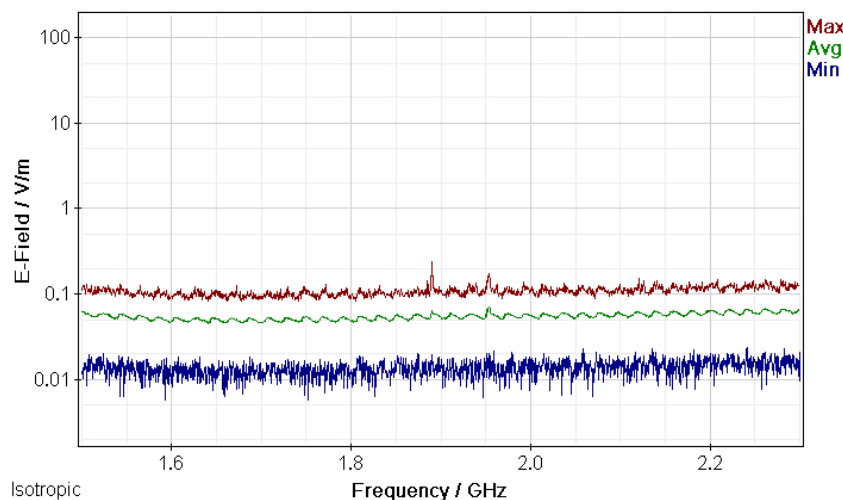
Μετρήσεις διακυμάνσεων (α) ελάχιστης (Min), (β) μέσης (Avg) και (γ) μέγιστης (Max) έντασης ηλεκτρικού πεδίου (E-Field) ως συνάρτηση της συχνότητας (Frequency) του πεδίου για μετρήσεις με οργανολογία τύπου NARDA SMR-3006 σε συσκευές κινητής τηλεφωνίας διαφόρων τύπων και παρόχων σε απόσταση 1 m από την κεραία των συσκευών.



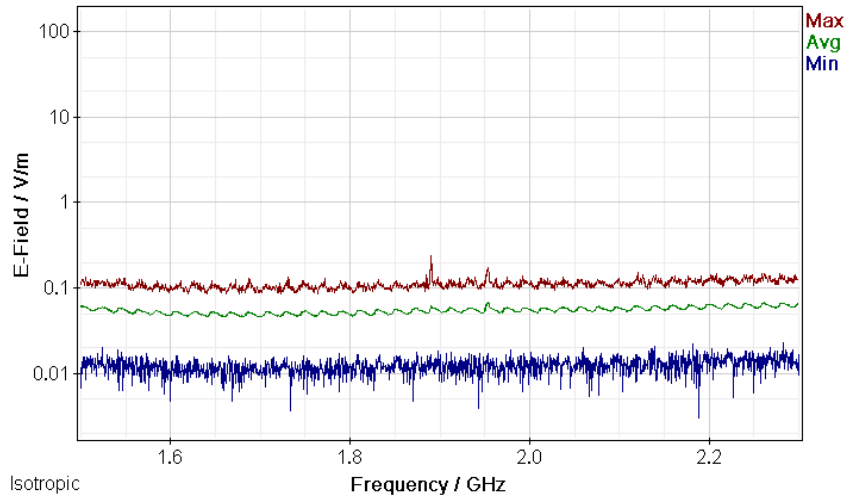
Σχήμα 725: Διακυμάνσεις (α) ελάχιστης (Min), (β) μέσης (Avg) και (γ) μέγιστης (Max) έντασης ηλεκτρικού πεδίου (E-Field) ως συνάρτηση της συχνότητας (Frequency) του πεδίου για μετρήσεις με οργανολογία τύπου NARDA SMR-3006 σε συσκευή κινητής τηλεφωνίας τύπου SAMSUNG GALAXY GT-P1000 και παρόχου COSMOTE σε απόσταση 1m από την κεραία της συσκευής κατά τη διάρκεια αναμονής χρήσης της συσκευής και χωρίς την ενεργοποίηση δεδομένων κινητής τηλεφωνίας.



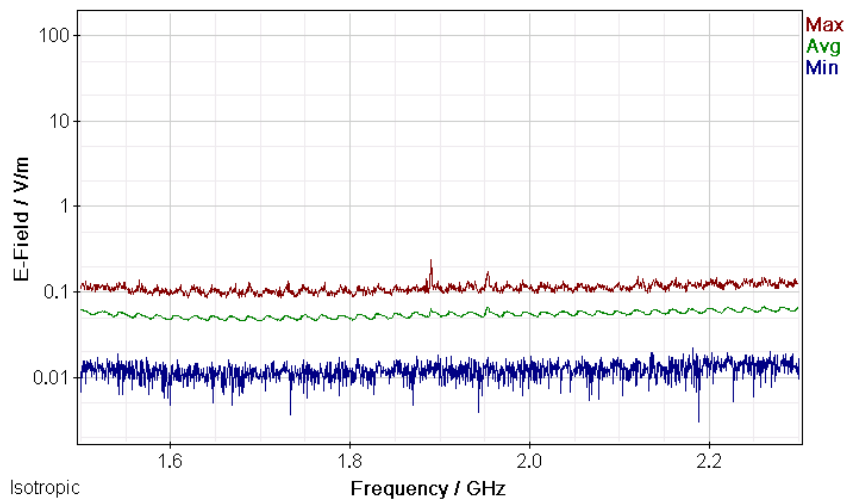
Σχήμα 726: Διακυμάνσεις (α) ελάχιστης (Min), (β) μέσης (Avg) και (γ) μέγιστης (Max) έντασης ηλεκτρικού πεδίου (E-Field) ως συνάρτηση της συχνότητας (Frequency) του πεδίου για μετρήσεις με οργανολογία τύπου NARDA SMR-3006 σε συσκευή κινητής τηλεφωνίας τύπου SAMSUNG GALAXY GT-P1000 και παρόχου COSMOTE σε απόσταση 1m από την κεραία της συσκευής κατα τη διάρκεια κλήσης χωρίς συνομιλία και ενεργοποίηση δεδομένων κινητής τηλεφωνίας .



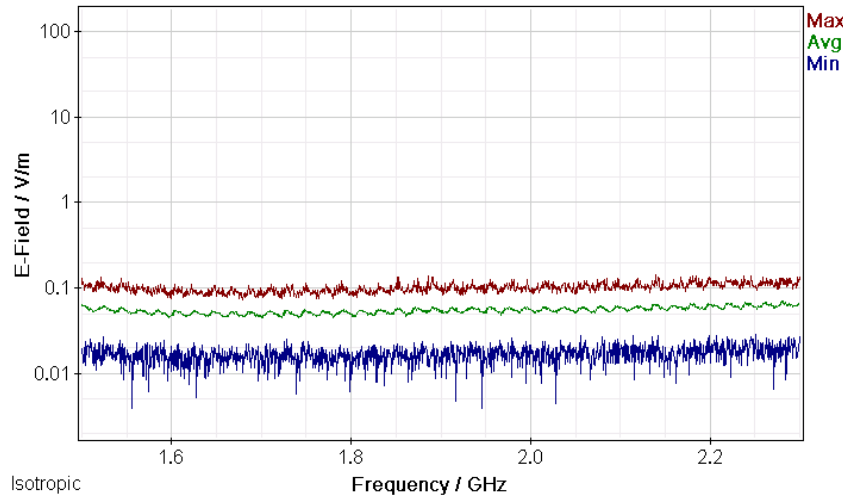
Σχήμα 727: Διακυμάνσεις (α) ελάχιστης (Min), (β) μέσης (Avg) και (γ) μέγιστης (Max) έντασης ηλεκτρικού πεδίου (E-Field) ως συνάρτηση της συχνότητας (Frequency) του πεδίου για μετρήσεις με οργανολογία τύπου NARDA SMR-3006 σε συσκευή κινητής τηλεφωνίας τύπου SAMSUNG GALAXY GT-P1000 και παρόχου COSMOTE σε απόσταση 1m από την κεραία της συσκευής κατα τη διάρκεια συνομιλίας δυόμιση λεπτών χωρίς ενεργοποίηση δεδομένων κινητής τηλεφωνίας.



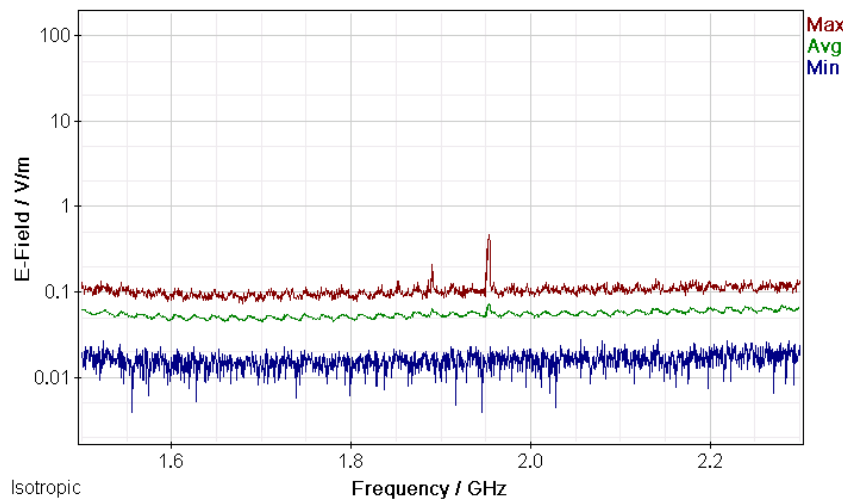
Σχήμα 728: Διακυμάνσεις (α) ελάχιστης (Min), (β) μέσης (Avg) και (γ) μέγιστης (Max) έντασης ηλεκτρικού πεδίου (E-Field) ως συνάρτηση της συχνότητας (Frequency) του πεδίου για μετρήσεις με οργάνολογία τύπου NARDA SMR-3006 σε συσκευή κινητής τηλεφωνίας τύπου SAMSUNG GALAXY GT-P1000 και παρόχου COSMOTE σε απόσταση 1m από την κεραία της συσκευής κατά τη διάρκεια πεντάλεπτης συνομιλίας χωρίς ενεργοποίηση δεδομένων κινητής τηλεφωνίας.



Σχήμα 729: Διακυμάνσεις (α) ελάχιστης (Min), (β) μέσης (Avg) και (γ) μέγιστης (Max) έντασης ηλεκτρικού πεδίου (E-Field) ως συνάρτηση της συχνότητας (Frequency) του πεδίου για μετρήσεις με οργάνολογία τύπου NARDA SMR-3006 σε συσκευή κινητής τηλεφωνίας τύπου SAMSUNG GALAXY GT-P1000 και παρόχου COSMOTE σε απόσταση 1m από την κεραία της συσκευής κατά τη διάρκεια τερματισμού της κλήσης χωρίς ενεργοποίηση δεδομένων κινητής τηλεφωνίας.



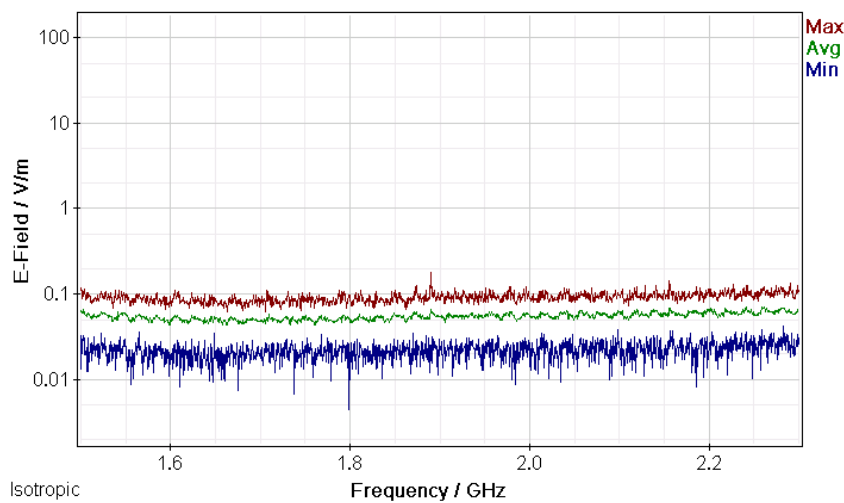
Σχήμα 730: Διακυμάνσεις (α) ελάχιστης (Min), (β) μέσης (Avg) και (γ) μέγιστης (Max) έντασης ηλεκτρικού πεδίου (E-Field) ως συνάρτηση της συχνότητας (Frequency) του πεδίου για μετρήσεις με οργανολογία τύπου NARDA SMR-3006 σε συσκευή κινητής τηλεφωνίας τύπου SAMSUNG GALAXY GT-P1000 και παρόχου COSMOTE σε απόσταση 1m από την κεραία της συσκευής κατά τη διάρκεια αναμονής χρήσης της συσκευής με ενεργοποίηση των δεδομένων κινητής τηλεφωνίας χωρίς πρόσβαση στον παγόσμιο ιστό.



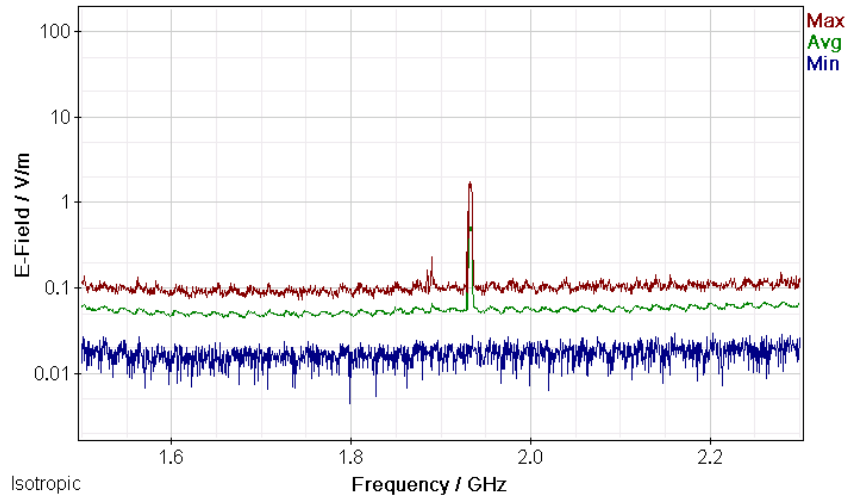
Σχήμα 731: Διακυμάνσεις (α) ελάχιστης (Min), (β) μέσης (Avg) και (γ) μέγιστης (Max) έντασης ηλεκτρικού πεδίου (E-Field) ως συνάρτηση της συχνότητας (Frequency) του πεδίου για μετρήσεις με οργανολογία τύπου NARDA SMR-3006 σε συσκευή κινητής τηλεφωνίας τύπου SAMSUNG GALAXY GT-P1000 και παρόχου COSMOTE σε απόσταση 1m από την κεραία της συσκευής κατά τη διάρκεια αναμονής χρήσης της συσκευής με ενεργοποίηση των δεδομένων κινητής τηλεφωνίας και αναζήτησης δεδομένων στον παγόσμιο ιστό.

ΠΑΡΑΡΤΗΜΑ 1

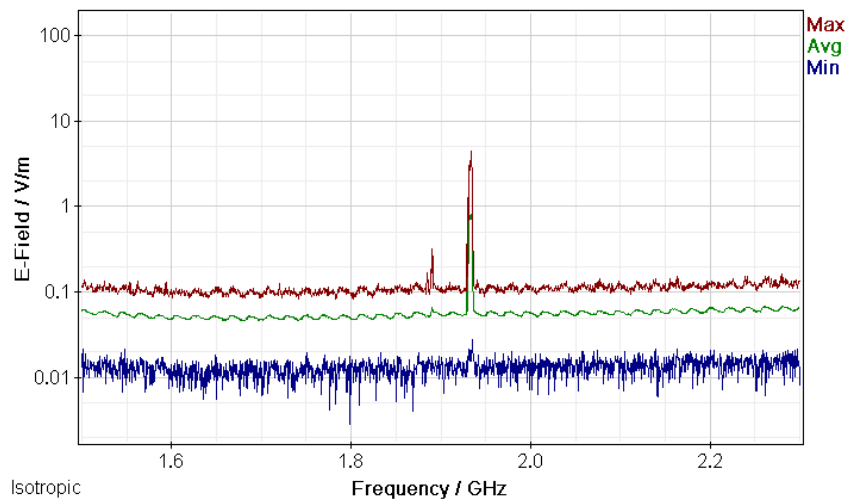
Μετρήσεις διακυμάνσεων (α) ελάχιστης (Min), (β) μέσης (Avg) και (γ) μέγιστης (Max) έντασης ηλεκτρικού πεδίου (E-Field) ως συνάρτηση της συχνότητας (Frequency) του πεδίου για μετρήσεις με οργανολογία τύπου NARDA SMR-3006 σε συσκευές κινητής τηλεφωνίας διαφόρων τύπων και παρόχων σε απόσταση 0 m από την κεραία των συσκευών.



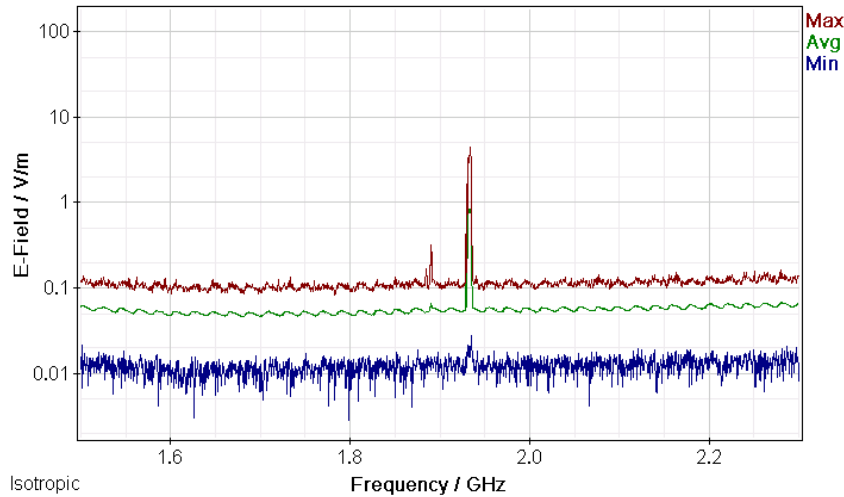
Σχήμα 732: Διακυμάνσεις (α) ελάχιστης (Min), (β) μέσης (Avg) και (γ) μέγιστης (Max) έντασης ηλεκτρικού πεδίου (E-Field) ως συνάρτηση της συχνότητας (Frequency) του πεδίου για μετρήσεις με οργανολογία τύπου NARDA SMR-3006 σε συσκευή κινητής τηλεφωνίας τύπου SAMSUNG GALAXY GT-P1000 και παρόχου VODAFONE σε απόσταση 0m από την κεραία της συσκευής κατά τη διάρκεια αναμονής χρήσης της συσκευής και χωρίς την ενεργοποίηση δεδομένων κινητής τηλεφωνίας.



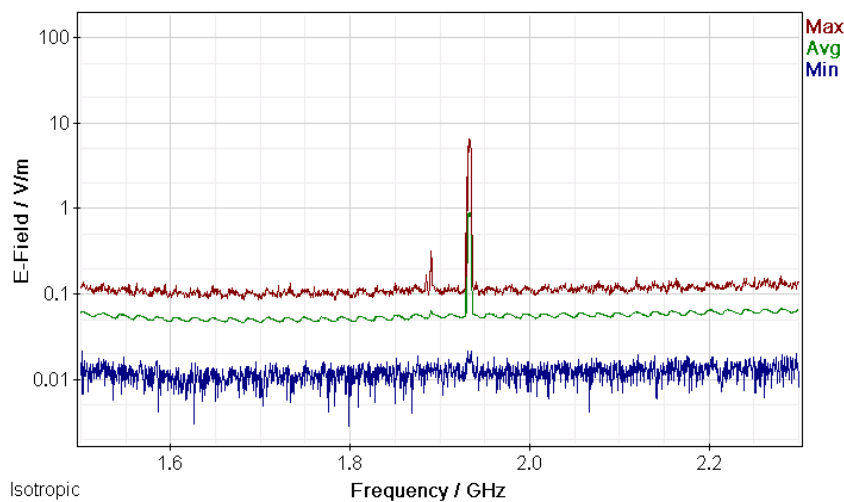
Σχήμα 733: Διακυμάνσεις (α) ελάχιστης (Min), (β) μέσης (Avg) και (γ) μέγιστης (Max) έντασης ηλεκτρικού πεδίου (E-Field) ως συνάρτηση της συχνότητας (Frequency) του πεδίου για μετρήσεις με οργανολογία τύπου NARDA SMR-3006 σε συσκευή κινητής τηλεφωνίας τύπου SAMSUNG GALAXY GT-P1000 και παρόχου VODAFONE σε απόσταση 0m από την κεραία της συσκευής κατα τη διάρκεια κλήσης χωρίς συνομιλία και ενεργοποίηση δεδομένων κινητής τηλεφωνίας



Σχήμα 734: Διακυμάνσεις (α) ελάχιστης (Min), (β) μέσης (Avg) και (γ) μέγιστης (Max) έντασης ηλεκτρικού πεδίου (E-Field) ως συνάρτηση της συχνότητας (Frequency) του πεδίου για μετρήσεις με οργανολογία τύπου NARDA SMR-3006 σε συσκευή κινητής τηλεφωνίας τύπου SAMSUNG GALAXY GT-P1000 και παρόχου VODAFONE σε απόσταση 0m από την κεραία της συσκευής κατα τη διάρκεια συνομιλίας δυόμιση λεπτών χωρίς ενεργοποίηση δεδομένων κινητής τηλεφωνίας.

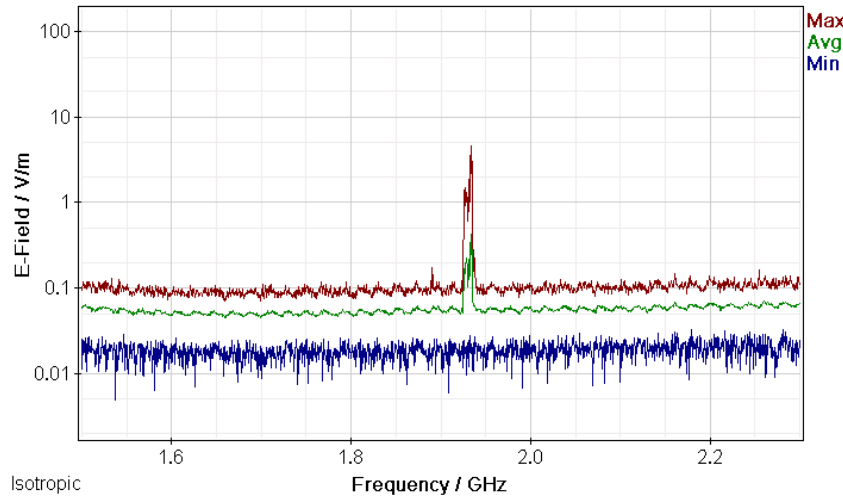


Σχήμα 735: Διακυμάνσεις (α) ελάχιστης (Min), (β) μέσης (Avg) και (γ) μέγιστης (Max) έντασης ηλεκτρικού πεδίου (E-Field) ως συνάρτηση της συχνότητας (Frequency) του πεδίου για μετρήσεις με οργάνολογία τύπου NARDA SMR-3006 σε συσκευή κινητής τηλεφωνίας τύπου SAMSUNG GALAXY GT-P1000 και παρόχου VODAFONE σε απόσταση 0m από την κεραία της συσκευής κατα τη διάρκεια πεντάλεπτης συνομιλίας χωρίς ενεργοποίηση δεδομένων κινητής τηλεφωνίας.

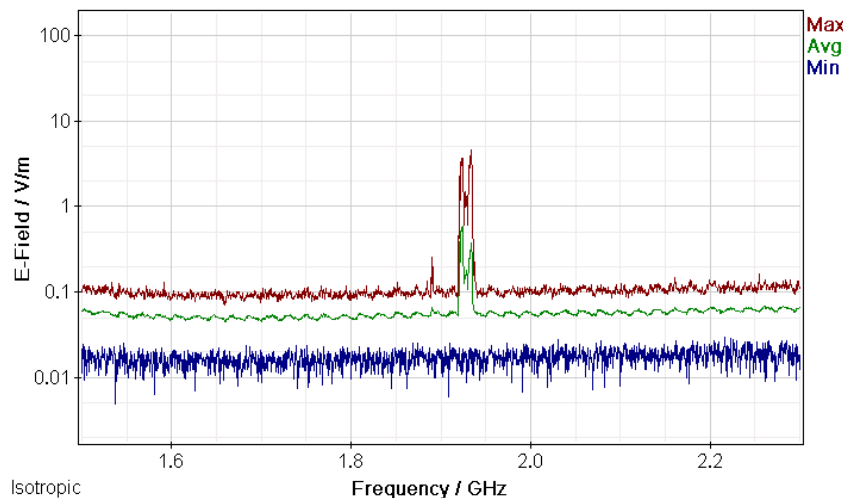


Σχήμα 736: Διακυμάνσεις (α) ελάχιστης (Min), (β) μέσης (Avg) και (γ) μέγιστης (Max) έντασης ηλεκτρικού πεδίου (E-Field) ως συνάρτηση της συχνότητας (Frequency) του πεδίου για μετρήσεις με οργάνολογία τύπου NARDA SMR-3006 σε συσκευή κινητής τηλεφωνίας τύπου SAMSUNG GALAXY GT-P1000 και παρόχου VODAFONE σε απόσταση 0m από την κεραία της συσκευής κατα τη διάρκεια τερματισμού της κλήσης χωρίς ενεργοποίηση δεδομένων κινητής τηλεφωνίας.

ΜΕΛΕΤΗ Η/Μ ΔΙΑΤΑΡΑΧΩΝ ΚΙΝΗΤΗΣ ΤΗΛΕΦΩΝΙΑΣ



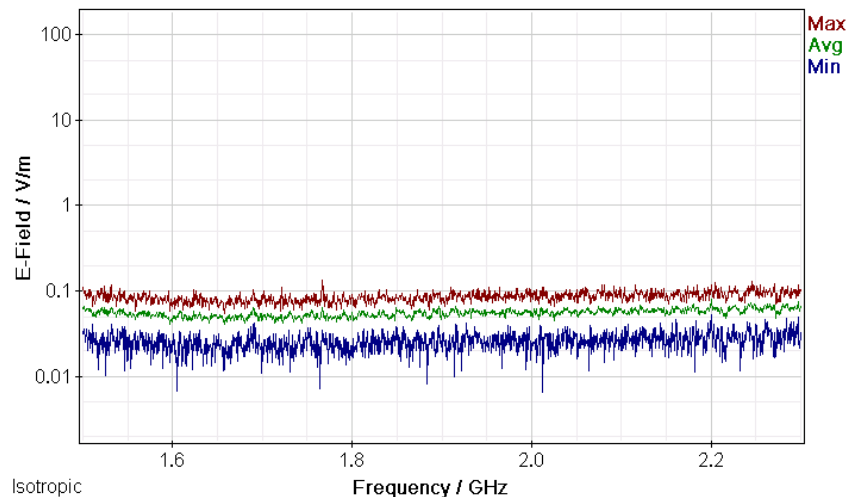
Σχήμα 737: Διακυμάνσεις (α) ελάχιστης (Min), (β) μέσης (Avg) και (γ) μέγιστης (Max) έντασης ηλεκτρικού πεδίου (E-Field) ως συνάρτηση της συχνότητας (Frequency) του πεδίου για μετρήσεις με οργάνολογία τύπου NARDA SMR-3006 σε συσκευή κινητής τηλεφωνίας τύπου SAMSUNG GALAXY GT-P1000 και παρόχου VODAFONE σε απόσταση 0m από την κεραία της συσκευής κατά τη διάρκεια αναμονής χρήσης της συσκευής με ενεργοποίηση των δεδομένων κινητής τηλεφωνίας χωρίς πρόσβαση στον παγώσιμο ιστό.



Σχήμα 738: Διακυμάνσεις (α) ελάχιστης (Min), (β) μέσης (Avg) και (γ) μέγιστης (Max) έντασης ηλεκτρικού πεδίου (E-Field) ως συνάρτηση της συχνότητας (Frequency) του πεδίου για μετρήσεις με οργάνολογία τύπου NARDA SMR-3006 σε συσκευή κινητής τηλεφωνίας τύπου SAMSUNG GALAXY GT-P1000 και παρόχου VODAFONE σε απόσταση 0m από την κεραία της συσκευής κατά τη διάρκεια αναμονής χρήσης της συσκευής με ενεργοποίηση των δεδομένων κινητής τηλεφωνίας και αναζήτησης δεδομένων στον παγώσιμο ιστό.

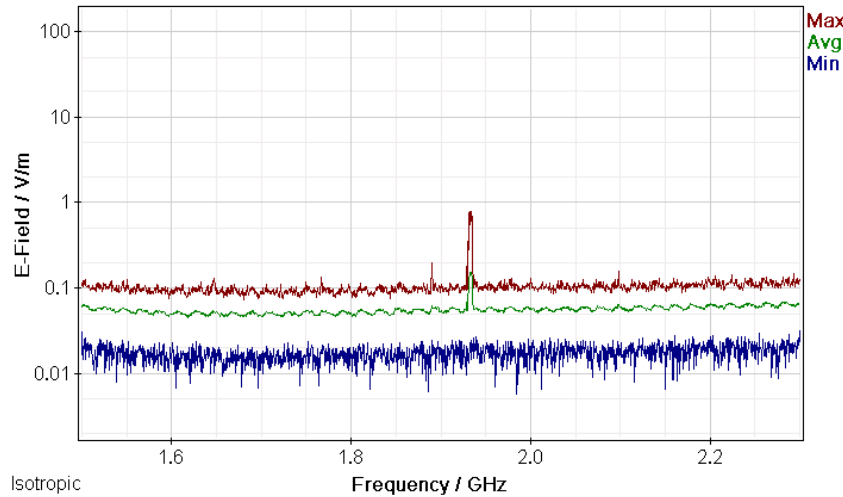
ΠΑΡΑΡΤΗΜΑ 2

Μετρήσεις διακυμάνσεων (α) ελάχιστης (Min), (β) μέσης (Avg) και (γ) μέγιστης (Max) έντασης ηλεκτρικού πεδίου (E-Field) ως συνάρτηση της συχνότητας (Frequency) του πεδίου για μετρήσεις με οργανολογία τύπου NARDA SMR-3006 σε συσκευές κινητής τηλεφωνίας διαφόρων τύπων και παρόχων σε απόσταση 1 m από την κεραία των συσκευών.

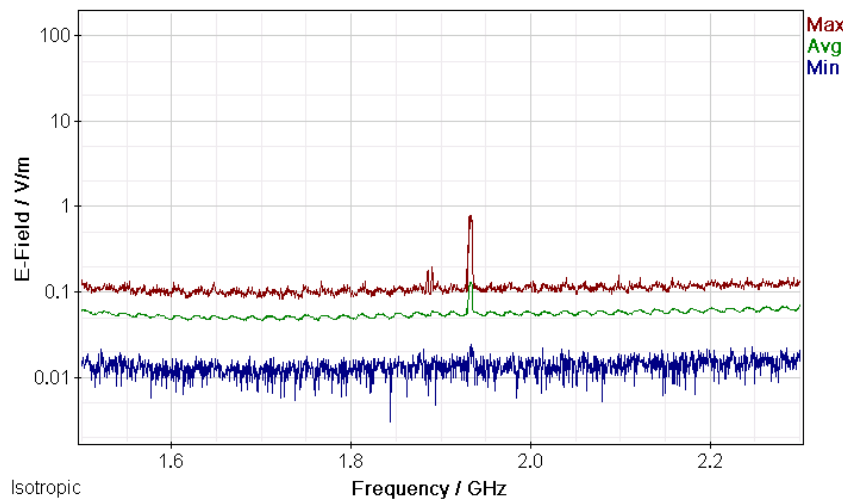


Σχήμα 739: Διακυμάνσεις (α) ελάχιστης (Min), (β) μέσης (Avg) και (γ) μέγιστης (Max) έντασης ηλεκτρικού πεδίου (E-Field) ως συνάρτηση της συχνότητας (Frequency) του πεδίου για μετρήσεις με οργανολογία τύπου NARDA SMR-3006 σε συσκευή κινητής τηλεφωνίας τύπου SAMSUNG GALAXY GT-P1000 και παρόχου VODAFONE σε απόσταση 1m από την κεραία της συσκευής κατά τη διάρκεια αναμονής χρήσης της συσκευής και χωρίς την ενεργοποίηση δεδομένων κινητής τηλεφωνίας.

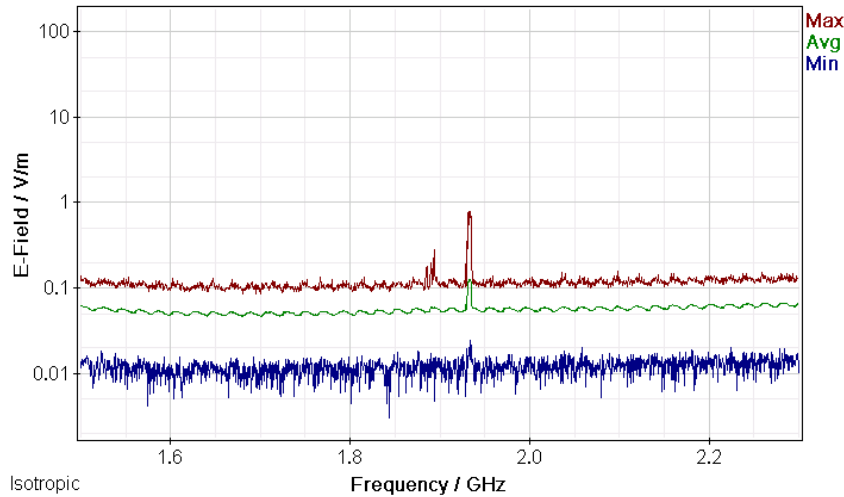
ΜΕΛΕΤΗ Η/Μ ΔΙΑΤΑΡΑΧΩΝ ΚΙΝΗΤΗΣ ΤΗΛΕΦΩΝΙΑΣ



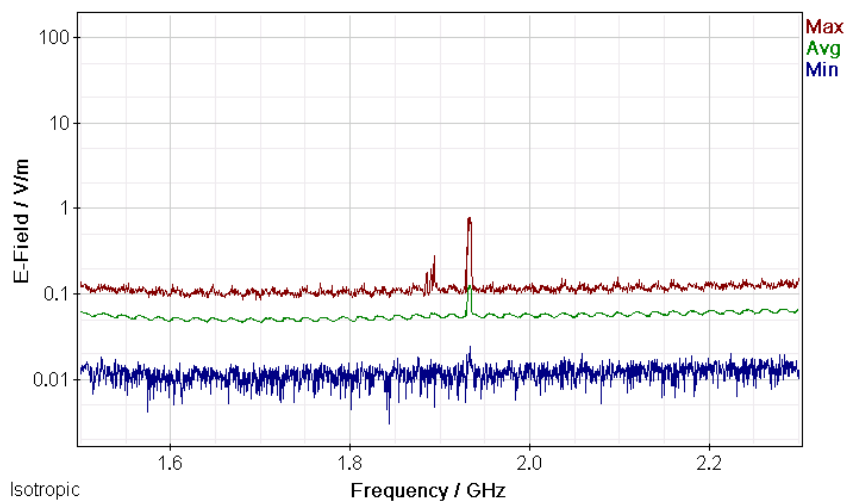
Σχήμα 740: Διακυμάνσεις (α) ελάχιστης (Min), (β) μέσης (Avg) και (γ) μέγιστης (Max) έντασης ηλεκτρικού πεδίου (E-Field) ως συνάρτηση της συχνότητας (Frequency) του πεδίου για μετρήσεις με οργάνολογία τύπου NARDA SMR-3006 σε συσκευή κινητής τηλεφωνίας τύπου SAMSUNG GALAXY GT-P1000 και παρόχου VODAFONE σε απόσταση 1m από την κεραία της συσκευής κατα τη διάρκεια κλήσης χωρίς συνομιλία και ενεργοποίηση δεδομένων κινητής τηλεφωνίας .



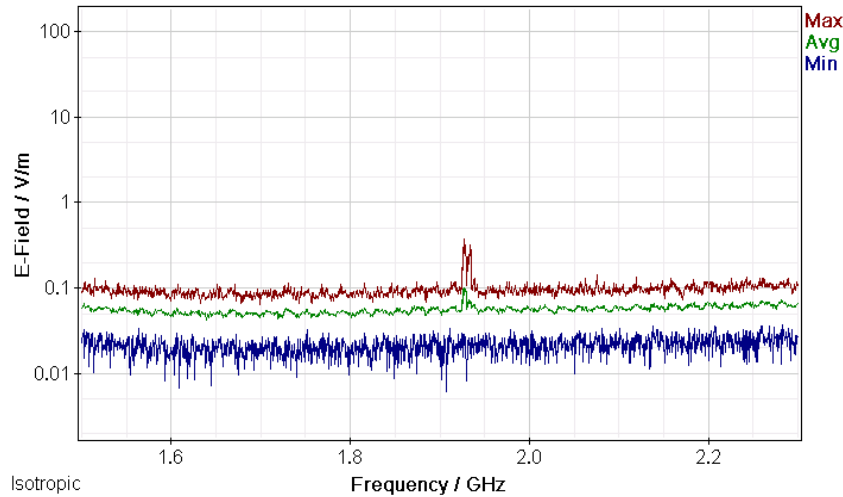
Σχήμα 741: Διακυμάνσεις (α) ελάχιστης (Min), (β) μέσης (Avg) και (γ) μέγιστης (Max) έντασης ηλεκτρικού πεδίου (E-Field) ως συνάρτηση της συχνότητας (Frequency) του πεδίου για μετρήσεις με οργάνολογία τύπου NARDA SMR-3006 σε συσκευή κινητής τηλεφωνίας τύπου SAMSUNG GALAXY GT-P1000 και παρόχου VODAFONE σε απόσταση 1m από την κεραία της συσκευής κατα τη διάρκεια συνομιλίας δυόμιση λεπτών χωρίς ενεργοποίηση δεδομένων κινητής τηλεφωνίας.



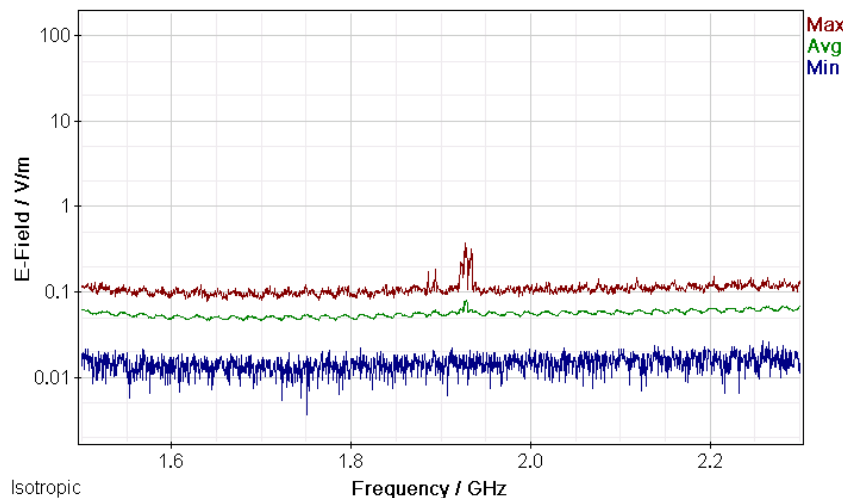
Σχήμα 742: Διακυμάνσεις (α) ελάχιστης (Min), (β) μέσης (Avg) και (γ) μέγιστης (Max) έντασης ηλεκτρικού πεδίου (E-Field) ως συνάρτηση της συχνότητας (Frequency) του πεδίου για μετρήσεις με οργάνολογία τύπου NARDA SMR-3006 σε συσκευή κινητής τηλεφωνίας τύπου SAMSUNG GALAXY GT-P1000 και παρόχου VODAFONE σε απόσταση 1m από την κεραία της συσκευής κατά τη διάρκεια πεντάλεπτης συνομιλίας χωρίς ενεργοποίηση δεδομένων κινητής τηλεφωνίας.



Σχήμα 743: Διακυμάνσεις (α) ελάχιστης (Min), (β) μέσης (Avg) και (γ) μέγιστης (Max) έντασης ηλεκτρικού πεδίου (E-Field) ως συνάρτηση της συχνότητας (Frequency) του πεδίου για μετρήσεις με οργάνολογία τύπου NARDA SMR-3006 σε συσκευή κινητής τηλεφωνίας τύπου SAMSUNG GALAXY GT-P1000 και παρόχου VODAFONE σε απόσταση 1m από την κεραία της συσκευής κατά τη διάρκεια τερματισμού της κλήσης χωρίς ενεργοποίηση δεδομένων κινητής τηλεφωνίας.



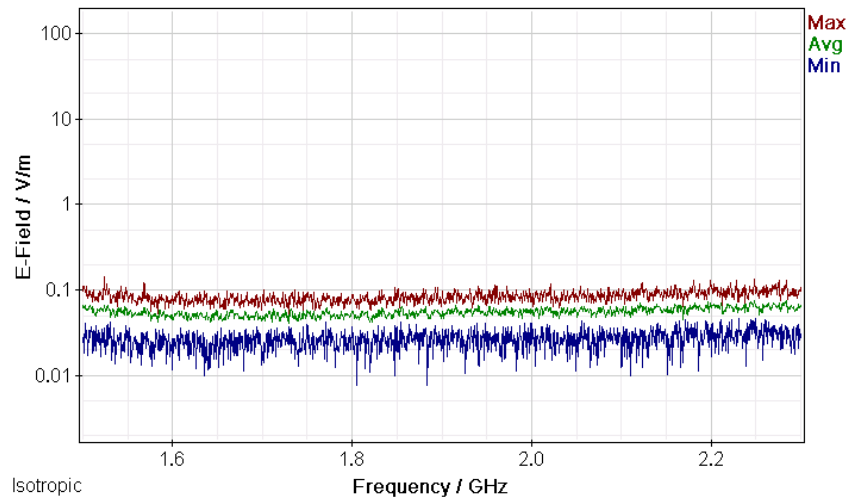
Σχήμα 744: Διακυμάνσεις (α) ελάχιστης (Min), (β) μέσης (Avg) και (γ) μέγιστης (Max) έντασης ηλεκτρικού πεδίου (E-Field) ως συνάρτηση της συχνότητας (Frequency) του πεδίου για μετρήσεις με οργανολογία τύπου NARDA SMR-3006 σε συσκευή κινητής τηλεφωνίας τύπου SAMSUNG GALAXY GT-P1000 και παρόχου VODAFONE σε απόσταση 1m από την κεραία της συσκευής κατά τη διάρκεια αναμονής χρήσης της συσκευής με ενεργοποίηση των δεδομένων κινητής τηλεφωνίας χωρίς πρόσβαση στον παγώσιμο ιστό.



Σχήμα 745: Διακυμάνσεις (α) ελάχιστης (Min), (β) μέσης (Avg) και (γ) μέγιστης (Max) έντασης ηλεκτρικού πεδίου (E-Field) ως συνάρτηση της συχνότητας (Frequency) του πεδίου για μετρήσεις με οργανολογία τύπου NARDA SMR-3006 σε συσκευή κινητής τηλεφωνίας τύπου SAMSUNG GALAXY GT-P1000 και παρόχου VODAFONE σε απόσταση 1m από την κεραία της συσκευής κατά τη διάρκεια αναμονής χρήσης της συσκευής με ενεργοποίηση των δεδομένων κινητής τηλεφωνίας και αναζήτησης δεδομένων στον παγώσιμο ιστό.

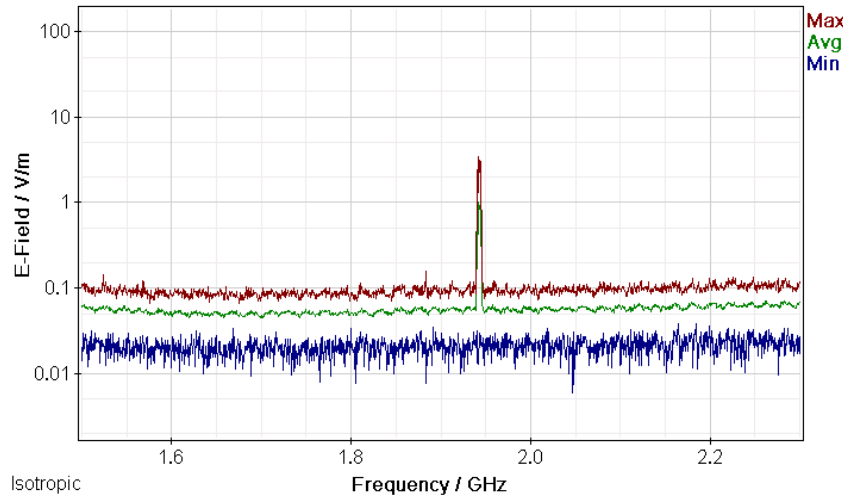
ΠΑΡΑΡΤΗΜΑ 1

Μετρήσεις διακυμάνσεων (α) ελάχιστης (Min), (β) μέσης (Avg) και (γ) μέγιστης (Max) έντασης ηλεκτρικού πεδίου (E-Field) ως συνάρτηση της συχνότητας (Frequency) του πεδίου για μετρήσεις με οργανολογία τύπου NARDA SMR-3006 σε συσκευές κινητής τηλεφωνίας διαφόρων τύπων και παρόχων σε απόσταση 0 m από την κεραία των συσκευών.

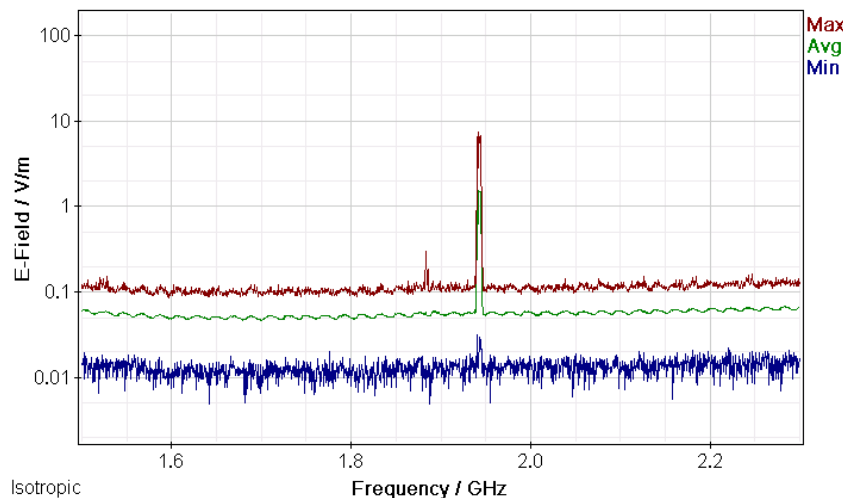


Σχήμα 746: Διακυμάνσεις (α) ελάχιστης (Min), (β) μέσης (Avg) και (γ) μέγιστης (Max) έντασης ηλεκτρικού πεδίου (E-Field) ως συνάρτηση της συχνότητας (Frequency) του πεδίου για μετρήσεις με οργανολογία τύπου NARDA SMR-3006 σε συσκευή κινητής τηλεφωνίας τύπου SAMSUNG GALAXY GT-P1000 και παρόχου WIND σε απόσταση 0m από την κεραία της συσκευής κατά τη διάρκεια αναμονής χρήσης της συσκευής και χωρίς την ενεργοποίηση δεδομένων κινητής τηλεφωνίας.

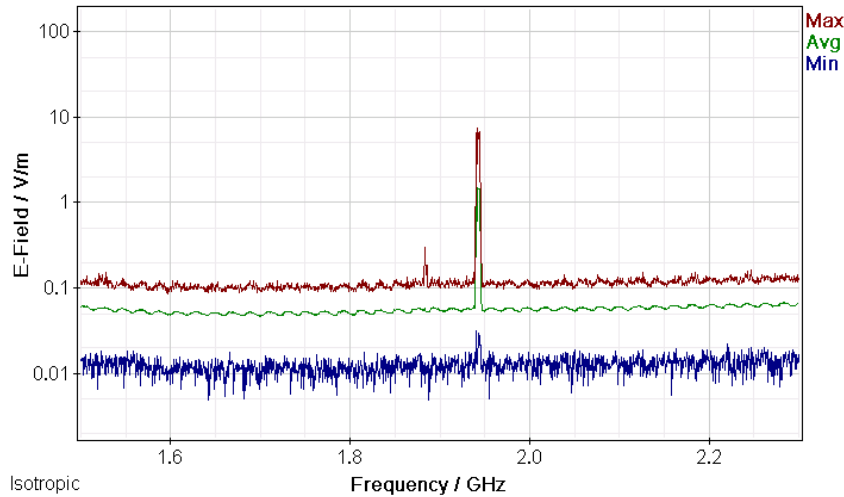
ΜΕΛΕΤΗ Η/Μ ΔΙΑΤΑΡΑΧΩΝ ΚΙΝΗΤΗΣ ΤΗΛΕΦΩΝΙΑΣ



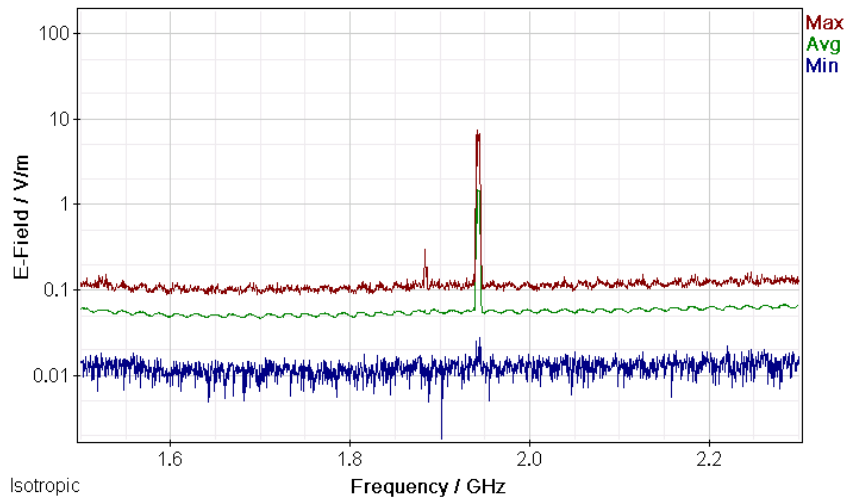
Σχήμα 747: Διακυμάνσεις (α) ελάχιστης (Min), (β) μέσης (Avg) και (γ) μέγιστης (Max) έντασης ηλεκτρικού πεδίου (E-Field) ως συνάρτηση της συχνότητας (Frequency) του πεδίου για μετρήσεις με οργανολογία τύπου NARDA SMR-3006 σε συσκευή κινητής τηλεφωνίας τύπου SAMSUNG GALAXY GT-P1000 και παρόχου WIND σε απόσταση 0m από την κεραία της συσκευής κατά τη διάρκεια κλήσης χωρίς συνομιλία και ενεργοποίηση δεδομένων κινητής τηλεφωνίας .



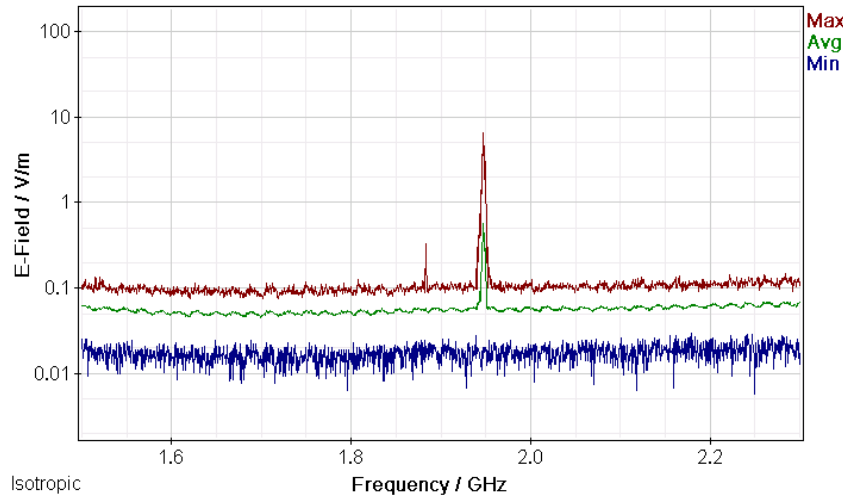
Σχήμα 748: Διακυμάνσεις (α) ελάχιστης (Min), (β) μέσης (Avg) και (γ) μέγιστης (Max) έντασης ηλεκτρικού πεδίου (E-Field) ως συνάρτηση της συχνότητας (Frequency) του πεδίου για μετρήσεις με οργανολογία τύπου NARDA SMR-3006 σε συσκευή κινητής τηλεφωνίας τύπου SAMSUNG GALAXY GT-P1000 και παρόχου WIND σε απόσταση 0m από την κεραία της συσκευής κατά τη διάρκεια συνομιλίας δύομιση λεπτών χωρίς ενεργοποίηση δεδομένων κινητής τηλεφωνίας.



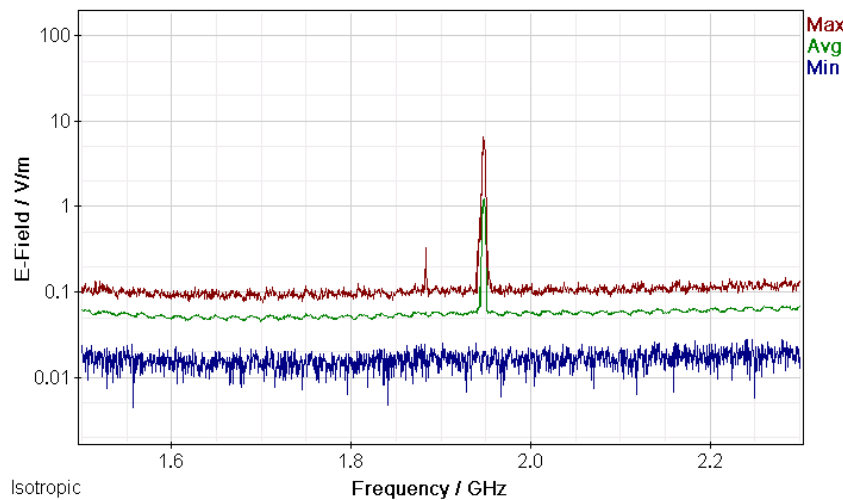
Σχήμα 749: Διακυμάνσεις (α) ελάχιστης (Min), (β) μέσης (Avg) και (γ) μέγιστης (Max) έντασης ηλεκτρικού πεδίου (E-Field) ως συνάρτηση της συχνότητας (Frequency) του πεδίου για μετρήσεις με οργάνολογία τύπου NARDA SMR-3006 σε συσκευή κινητής τηλεφωνίας τύπου SAMSUNG GALAXY GT-P1000 και παρόχου WIND σε απόσταση 0m από την κεραία της συσκευής κατά τη διάρκεια πεντάλεπτης συνομιλίας χωρίς ενεργοποίηση δεδομένων κινητής τηλεφωνίας.



Σχήμα 750: Διακυμάνσεις (α) ελάχιστης (Min), (β) μέσης (Avg) και (γ) μέγιστης (Max) έντασης ηλεκτρικού πεδίου (E-Field) ως συνάρτηση της συχνότητας (Frequency) του πεδίου για μετρήσεις με οργάνολογία τύπου NARDA SMR-3006 σε συσκευή κινητής τηλεφωνίας τύπου SAMSUNG GALAXY GT-P1000 και παρόχου WIND σε απόσταση 0m από την κεραία της συσκευής κατά τη διάρκεια τερματισμού της κλήσης χωρίς ενεργοποίηση δεδομένων κινητής τηλεφωνίας.



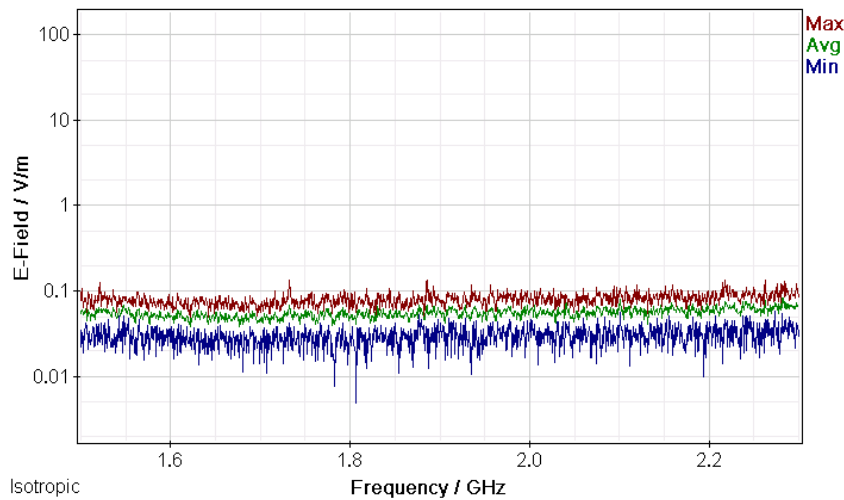
Σχήμα 751: Διακυμάνσεις (α) ελάχιστης (Min), (β) μέσης (Avg) και (γ) μέγιστης (Max) έντασης ηλεκτρικού πεδίου (E-Field) ως συνάρτηση της συχνότητας (Frequency) του πεδίου για μετρήσεις με οργανολογία τύπου NARDA SMR-3006 σε συσκευή κινητής τηλεφωνίας τύπου SAMSUNG GALAXY GT-P1000 και παρόχου WIND σε απόσταση 0m από την κεραία της συσκευής κατά τη διάρκεια αναμονής χρήσης της συσκευής με ενεργοποίηση των δεδομένων κινητής τηλεφωνίας χωρίς πρόσβαση στον παγώσιμο ιστό.



Σχήμα 752: Διακυμάνσεις (α) ελάχιστης (Min), (β) μέσης (Avg) και (γ) μέγιστης (Max) έντασης ηλεκτρικού πεδίου (E-Field) ως συνάρτηση της συχνότητας (Frequency) του πεδίου για μετρήσεις με οργανολογία τύπου NARDA SMR-3006 σε συσκευή κινητής τηλεφωνίας τύπου SAMSUNG GALAXY GT-P1000 και παρόχου WIND σε απόσταση 0m από την κεραία της συσκευής κατά τη διάρκεια αναμονής χρήσης της συσκευής με ενεργοποίηση των δεδομένων κινητής τηλεφωνίας και αναζήτησης δεδομένων στον παγώσιμο ιστό.

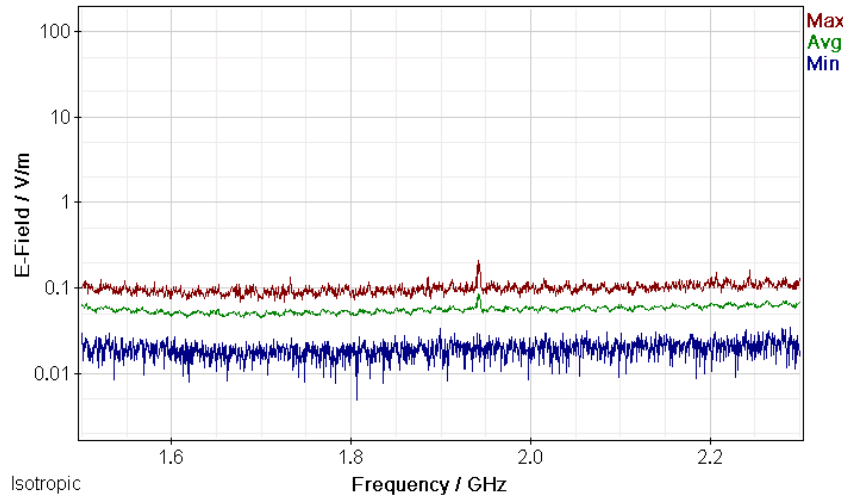
ΠΑΡΑΡΤΗΜΑ 2

Μετρήσεις διακυμάνσεων (α) ελάχιστης (Min), (β) μέσης (Avg) και (γ) μέγιστης (Max) έντασης ηλεκτρικού πεδίου (E-Field) ως συνάρτηση της συχνότητας (Frequency) του πεδίου για μετρήσεις με οργανολογία τύπου NARDA SMR-3006 σε συσκευές κινητής τηλεφωνίας διαφόρων τύπων και παρόχων σε απόσταση 1 m από την κεραία των συσκευών.

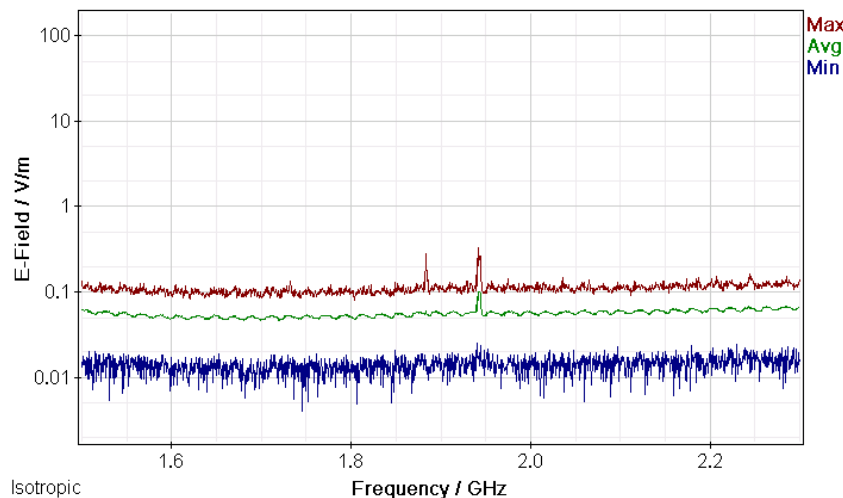


Σχήμα 753: Διακυμάνσεις (α) ελάχιστης (Min), (β) μέσης (Avg) και (γ) μέγιστης (Max) έντασης ηλεκτρικού πεδίου (E-Field) ως συνάρτηση της συχνότητας (Frequency) του πεδίου για μετρήσεις με οργανολογία τύπου NARDA SMR-3006 σε συσκευή κινητής τηλεφωνίας τύπου SAMSUNG GALAXY GT-P1000 και παρόχου WIND σε απόσταση 1m από την κεραία της συσκευής κατά τη διάρκεια αναμονής χρήσης της συσκευής και χωρίς την ενεργοποίηση δεδομένων κινητής τηλεφωνίας.

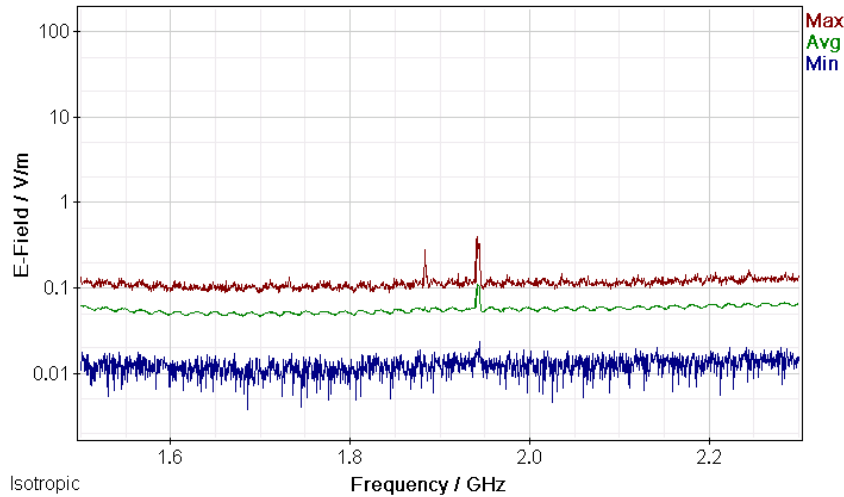
ΜΕΛΕΤΗ Η/Μ ΔΙΑΤΑΡΑΧΩΝ ΚΙΝΗΤΗΣ ΤΗΛΕΦΩΝΙΑΣ



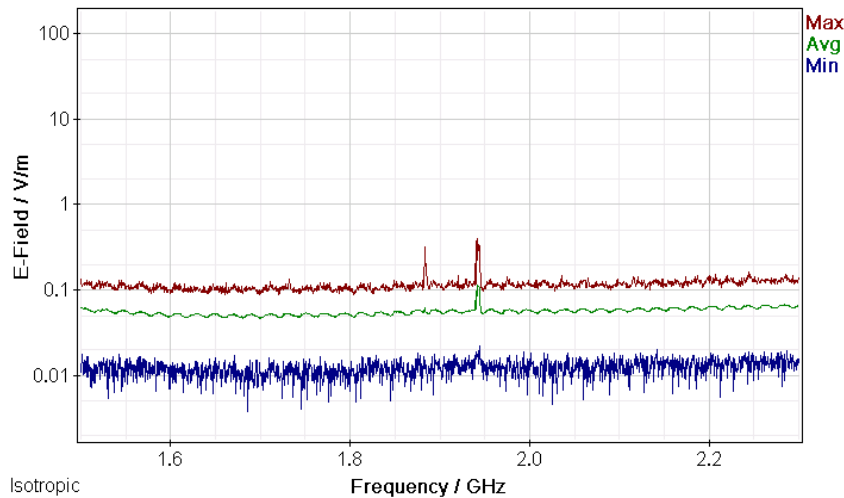
Σχήμα 754: Διακυμάνσεις (α) ελάχιστης (Min), (β) μέσης (Avg) και (γ) μέγιστης (Max) έντασης ηλεκτρικού πεδίου (E-Field) ως συνάρτηση της συχνότητας (Frequency) του πεδίου για μετρήσεις με οργάνολογία τύπου NARDA SMR-3006 σε συσκευή κινητής τηλεφωνίας τύπου SAMSUNG GALAXY GT-P1000 και παρόχου WIND σε απόσταση 1m από την κεραία της συσκευής κατά τη διάρκεια κλήσης χωρίς συνομιλία και ενεργοποίηση δεδομένων κινητής τηλεφωνίας .



Σχήμα 755: Διακυμάνσεις (α) ελάχιστης (Min), (β) μέσης (Avg) και (γ) μέγιστης (Max) έντασης ηλεκτρικού πεδίου (E-Field) ως συνάρτηση της συχνότητας (Frequency) του πεδίου για μετρήσεις με οργάνολογία τύπου NARDA SMR-3006 σε συσκευή κινητής τηλεφωνίας τύπου SAMSUNG GALAXY GT-P1000 και παρόχου WIND σε απόσταση 1m από την κεραία της συσκευής κατά τη διάρκεια συνομιλίας δύομιση λεπτών χωρίς ενεργοποίηση δεδομένων κινητής τηλεφωνίας.

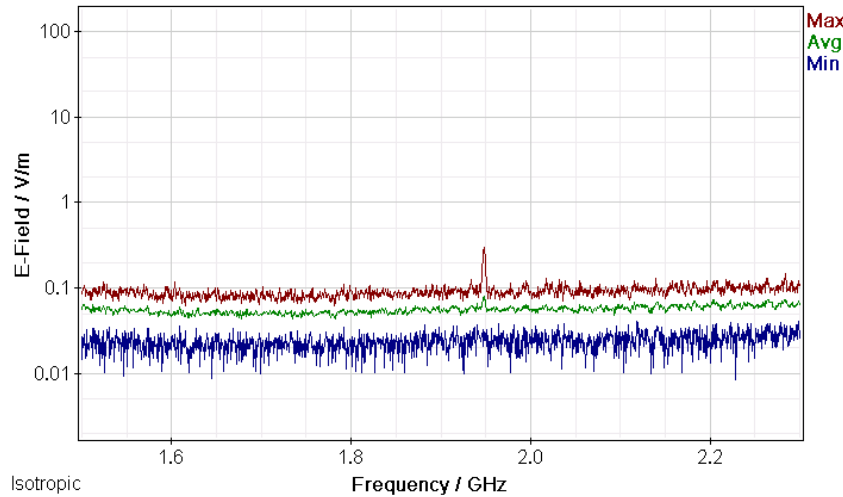


Σχήμα 756: Διακυμάνσεις (α) ελάχιστης (Min), (β) μέσης (Avg) και (γ) μέγιστης (Max) έντασης ηλεκτρικού πεδίου (E-Field) ως συνάρτηση της συχνότητας (Frequency) του πεδίου για μετρήσεις με οργάνολογία τύπου NARDA SMR-3006 σε συσκευή κινητής τηλεφωνίας τύπου SAMSUNG GALAXY GT-P1000 και παρόχου WIND σε απόσταση 1m από την κεραία της συσκευής κατά τη διάρκεια πεντάλεπτης συνομιλίας χωρίς ενεργοποίηση δεδομένων κινητής τηλεφωνίας.

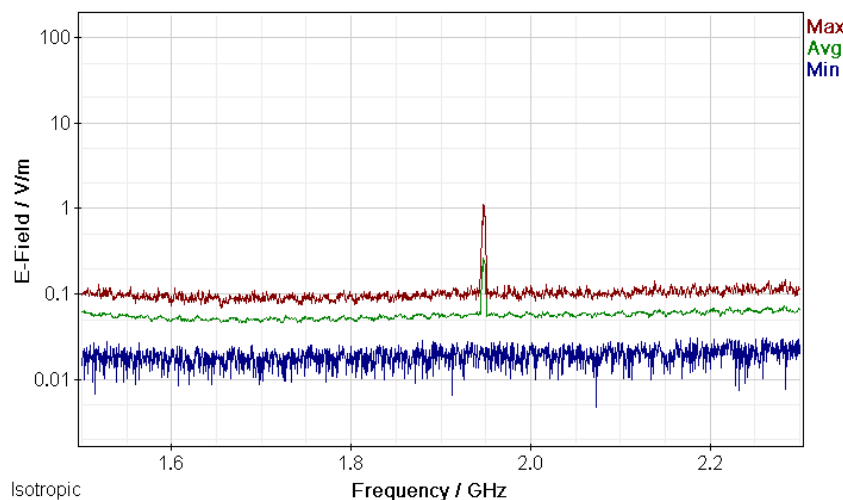


Σχήμα 757: Διακυμάνσεις (α) ελάχιστης (Min), (β) μέσης (Avg) και (γ) μέγιστης (Max) έντασης ηλεκτρικού πεδίου (E-Field) ως συνάρτηση της συχνότητας (Frequency) του πεδίου για μετρήσεις με οργάνολογία τύπου NARDA SMR-3006 σε συσκευή κινητής τηλεφωνίας τύπου SAMSUNG GALAXY GT-P1000 και παρόχου WIND σε απόσταση 1m από την κεραία της συσκευής κατά τη διάρκεια τερματισμού της κλήσης χωρίς ενεργοποίηση δεδομένων κινητής τηλεφωνίας.

ΜΕΛΕΤΗ Η/Μ ΔΙΑΤΑΡΑΧΩΝ ΚΙΝΗΤΗΣ ΤΗΛΕΦΩΝΙΑΣ



Σχήμα 758: Διακυμάνσεις (α) ελάχιστης (Min), (β) μέσης (Avg) και (γ) μέγιστης (Max) έντασης ηλεκτρικού πεδίου (E-Field) ως συνάρτηση της συχνότητας (Frequency) του πεδίου για μετρήσεις με οργανολογία τύπου NARDA SMR-3006 σε συσκευή κινητής τηλεφωνίας τύπου SAMSUNG GALAXY GT-P1000 και παρόχου WIND σε απόσταση 1m από την κεραία της συσκευής κατα τη διάρκεια αναμονής χρήσης της συσκευής με ενεργοποίηση των δεδομένων κινητής τηλεφωνίας χωρίς πρόσβαση στον παγώσιμο ιστό.



Σχήμα 759: Διακυμάνσεις (α) ελάχιστης (Min), (β) μέσης (Avg) και (γ) μέγιστης (Max) έντασης ηλεκτρικού πεδίου (E-Field) ως συνάρτηση της συχνότητας (Frequency) του πεδίου για μετρήσεις με οργανολογία τύπου NARDA SMR-3006 σε συσκευή κινητής τηλεφωνίας τύπου SAMSUNG GALAXY GT-P1000 και παρόχου WIND σε απόσταση 1m από την κεραία της συσκευής κατα τη διάρκεια αναμονής χρήσης της συσκευής με ενεργοποίηση των δεδομένων κινητής τηλεφωνίας και αναζήτησης δεδομένων στον παγώσιμο ιστό.

ΒΙΒΛΙΟΓΡΑΦΙΑ

- 1) Ahlbom, A., Green, A., Kheifets, L., Savitz, D., Swerdlow, A. 2004. Epidemiology of health effects of radiofrequency exposure. *Environmental Health Perspectives*, 112, 1741–1754
- 2) Ahlbom, A., Bridges, J., deSeze, R., Hillert, L., Juutilainen, J., Mattsson, M.O., et al. 2008. Possible effects of electromagnetic fields (EMF) on human health—opinion of the scientific committee on emerging and newly identified health risks (SCENIHR). *Toxicology*, 246, 248–250.
- 3) AGNIR. (2003). Health Effects from Radiofrequency Electromagnetic Fields Advisory Group on Non-ionising Radiation (Vol. 14(2)): NRPB National Radiological Protection Board.
- 4) AGNIR. (2012). Health Effects from Radiofrequency Electromagnetic Fields Advisory Group on Non-ionising Radiation: Health Protection Agency.
- 5) Chiabrera, A., Bianco, B., Moggia, E., & Kaufman, J. J. (2000). Zeeman-Stark modeling of the RF EMF interaction with ligand binding. *Bioelectromagnetics*, 21(4), 312-324.
- 6) Hardell, L., Sage, C., 2008. Biological effects from electromagnetic field exposure and public exposure standards. *Biomedicine and Pharmacotherapy*, 62(2), 104-109.
- 7) Hitchcock, R. T., & Patterson, R. M. (1995). Radio-frequency and ELF electromagnetic energies : a handbook for health professionals. New York: Van Nostrand Reinhold.
- 8) HPA Health Protection Agency. 2004a. Advice on Limiting Exposure to Electromagnetic Fields (0-300 GHz).
- 9) <http://www.hpa.org.uk/Publications/Radiation/NPRBArchive/DocumentsOfTheNRPB/Absd1502/> Accessed May 2013.
- 10) HPA Health Protection Agency. 2004b. Advice on Limiting Exposure to Electromagnetic Fields (0-300 GHz).
- 11) <http://www.hpa.org.uk/Publications/Radiation/NPRBArchive/DocumentsOfTheNRPB/Absd1503/> Accessed May 2013.

- 12) IARC. (2002). Non-ionizing radiation, Part 1: Static and extremely low-frequency (ELF) electric and magnetic fields Monographs on the Evaluation of Carcinogenic Risks to Humans. Lyon: International Agency for Research on Cancer.
- 13) IARC. (2013). Non-ionizing radiation, Part 2: Radiofrequency electromagnetic fields Monographs on the Evaluation of Carcinogenic Risks to Humans. Lyon: International Agency for Research on Cancer.
- 14) International Commission on Non-Ionizing Radiation Protection, 1998. Guidelines for limiting exposure to time-varying electric, magnetic, and electromagnetic fields (up to 300 GHz). Health Physics, 74, 494-522.
- 15) Joseph, W., Verloock, L., Goeminne, F., Vermeeren, G., & Martens, L. (2010). Assessment of general public exposure to LTE and RF sources present in an urban environment. Bioelectromagnetics, 31(7), 576-579. <http://dx.doi.org/10.1002/bem.20594>.
- 16) Ngo, D. T., & Le, N. T. (2014). Architectures of small-cell networks and interference management. Cham: Springer.
- 17) NRPB National Radiological Protection Board. 2003. Documents of the NRPB: Health effects from radiofrequency electromagnetic fields, 14(2).
- 18) Petridou, E., Trichopoulos, D., Kravaritis, A., Pourtsidis, A., Dessypris, N., et al. 1997. Electrical power lines and childhood leukemia: A study from Greece. International Journal of Cancer, 73(3), 345–348.
- 19) SCENIHR Scientific Committee on Emerging and Newly Identified Health Risks. 2007. Possible effects of Electromagnetic Fields (EMF) on Human Health. Brussels: European Commission.
- 20) SCENIHR. (2009a). Health Effects of Exposure to EMF Scientific Committee on Emerging and Newly Identified Health Risks: Health and Consumer Protection DG_EC.
- 21) SCENIHR. (2009b). Research needs and methodology to address the remaining knowledge gaps on the potential health effects of EMF Scientific Committee on Emerging and Newly Identified Health Risks: Health and Consumer Protection DG_EC.
- 22) ec.europa.eu.

- 23) SCENIHR Scientific Committee on Emerging and Newly Identified Health Risks. 2009. Health Effects of Exposure to EMF. Brussels: European Commission (ec.europa.eu).
- 24) Urbinello, D., & Roosli, M. (2013). Impact of one's own mobile phone in stand-by mode on personal radiofrequency electromagnetic field exposure. Journal of Exposure Science and Environmental Epidemiology, 23(5), 545-548 (dx.doi.org).
- 25) Valberg, P. A., van Deventer, T. E., Repacholi, M. H. 2007. Workgroup report: base stations and wireless networks-radiofrequency (RF) exposures and health consequences. Environmental Health Perspectives, 115, 416–424.
- 26) WHO. (2006). Static Fields Environmental Health Criteria. Geneva, Switzerland: World Health Organization. WHO. (2007). Extremely low frequency fields Environmental Health Criteria: International Labour Organization/International Commission on Non-Ionizing Radiation Protection/World Health Organization. WHO. (2010). WHO research agenda for radiofrequency fields. Geneva, Switzerland: World Health Organization.
- 27) Γιαννακόπουλος, Π. (2012). Ψηφιακές Επικοινωνίες, Εκδόσεις Σύγχρονη Εκδοτική.
- 28) Ρήγας, Δ. (2004). Λεξικό Ηλεκτρονικής Ηλεκτρολογίας, Εκδόσεις Μαλλιάρης Παιδεία.
- 29) Η ηλεκτρομαγνητική ακτινοβολία (ΗΜΑ) εκπέμπεται από την κεραία μαζί με κάποια ηλεκτρικά στοιχεία μέσα στην συσκευή μας. Η κεραία είναι συνήθως μια μεταλλική έλικα ή ένα μεταλλικό στέλεχος μήκους λίγων εκατοστών που προβάλλει από την κορυφή της συσκευής.
- 30) <http://eeae.gr/>